

This is a digital copy of a book that was preserved for generations on library shelves before it was carefully scanned by Google as part of a project to make the world's books discoverable online.

It has survived long enough for the copyright to expire and the book to enter the public domain. A public domain book is one that was never subject to copyright or whose legal copyright term has expired. Whether a book is in the public domain may vary country to country. Public domain books are our gateways to the past, representing a wealth of history, culture and knowledge that's often difficult to discover.

Marks, notations and other marginalia present in the original volume will appear in this file - a reminder of this book's long journey from the publisher to a library and finally to you.

Usage guidelines

Google is proud to partner with libraries to digitize public domain materials and make them widely accessible. Public domain books belong to the public and we are merely their custodians. Nevertheless, this work is expensive, so in order to keep providing this resource, we have taken steps to prevent abuse by commercial parties, including placing technical restrictions on automated querying.

We also ask that you:

- + *Make non-commercial use of the files* We designed Google Book Search for use by individuals, and we request that you use these files for personal, non-commercial purposes.
- + Refrain from automated querying Do not send automated queries of any sort to Google's system: If you are conducting research on machine translation, optical character recognition or other areas where access to a large amount of text is helpful, please contact us. We encourage the use of public domain materials for these purposes and may be able to help.
- + *Maintain attribution* The Google "watermark" you see on each file is essential for informing people about this project and helping them find additional materials through Google Book Search. Please do not remove it.
- + *Keep it legal* Whatever your use, remember that you are responsible for ensuring that what you are doing is legal. Do not assume that just because we believe a book is in the public domain for users in the United States, that the work is also in the public domain for users in other countries. Whether a book is still in copyright varies from country to country, and we can't offer guidance on whether any specific use of any specific book is allowed. Please do not assume that a book's appearance in Google Book Search means it can be used in any manner anywhere in the world. Copyright infringement liability can be quite severe.

About Google Book Search

Google's mission is to organize the world's information and to make it universally accessible and useful. Google Book Search helps readers discover the world's books while helping authors and publishers reach new audiences. You can search through the full text of this book on the web at http://books.google.com/



Über dieses Buch

Dies ist ein digitales Exemplar eines Buches, das seit Generationen in den Regalen der Bibliotheken aufbewahrt wurde, bevor es von Google im Rahmen eines Projekts, mit dem die Bücher dieser Welt online verfügbar gemacht werden sollen, sorgfältig gescannt wurde.

Das Buch hat das Urheberrecht überdauert und kann nun öffentlich zugänglich gemacht werden. Ein öffentlich zugängliches Buch ist ein Buch, das niemals Urheberrechten unterlag oder bei dem die Schutzfrist des Urheberrechts abgelaufen ist. Ob ein Buch öffentlich zugänglich ist, kann von Land zu Land unterschiedlich sein. Öffentlich zugängliche Bücher sind unser Tor zur Vergangenheit und stellen ein geschichtliches, kulturelles und wissenschaftliches Vermögen dar, das häufig nur schwierig zu entdecken ist.

Gebrauchsspuren, Anmerkungen und andere Randbemerkungen, die im Originalband enthalten sind, finden sich auch in dieser Datei – eine Erinnerung an die lange Reise, die das Buch vom Verleger zu einer Bibliothek und weiter zu Ihnen hinter sich gebracht hat.

Nutzungsrichtlinien

Google ist stolz, mit Bibliotheken in partnerschaftlicher Zusammenarbeit öffentlich zugängliches Material zu digitalisieren und einer breiten Masse zugänglich zu machen. Öffentlich zugängliche Bücher gehören der Öffentlichkeit, und wir sind nur ihre Hüter. Nichtsdestotrotz ist diese Arbeit kostspielig. Um diese Ressource weiterhin zur Verfügung stellen zu können, haben wir Schritte unternommen, um den Missbrauch durch kommerzielle Parteien zu verhindern. Dazu gehören technische Einschränkungen für automatisierte Abfragen.

Wir bitten Sie um Einhaltung folgender Richtlinien:

- + *Nutzung der Dateien zu nichtkommerziellen Zwecken* Wir haben Google Buchsuche für Endanwender konzipiert und möchten, dass Sie diese Dateien nur für persönliche, nichtkommerzielle Zwecke verwenden.
- + *Keine automatisierten Abfragen* Senden Sie keine automatisierten Abfragen irgendwelcher Art an das Google-System. Wenn Sie Recherchen über maschinelle Übersetzung, optische Zeichenerkennung oder andere Bereiche durchführen, in denen der Zugang zu Text in großen Mengen nützlich ist, wenden Sie sich bitte an uns. Wir fördern die Nutzung des öffentlich zugänglichen Materials für diese Zwecke und können Ihnen unter Umständen helfen.
- + Beibehaltung von Google-Markenelementen Das "Wasserzeichen" von Google, das Sie in jeder Datei finden, ist wichtig zur Information über dieses Projekt und hilft den Anwendern weiteres Material über Google Buchsuche zu finden. Bitte entfernen Sie das Wasserzeichen nicht.
- + Bewegen Sie sich innerhalb der Legalität Unabhängig von Ihrem Verwendungszweck müssen Sie sich Ihrer Verantwortung bewusst sein, sicherzustellen, dass Ihre Nutzung legal ist. Gehen Sie nicht davon aus, dass ein Buch, das nach unserem Dafürhalten für Nutzer in den USA öffentlich zugänglich ist, auch für Nutzer in anderen Ländern öffentlich zugänglich ist. Ob ein Buch noch dem Urheberrecht unterliegt, ist von Land zu Land verschieden. Wir können keine Beratung leisten, ob eine bestimmte Nutzung eines bestimmten Buches gesetzlich zulässig ist. Gehen Sie nicht davon aus, dass das Erscheinen eines Buchs in Google Buchsuche bedeutet, dass es in jeder Form und überall auf der Welt verwendet werden kann. Eine Urheberrechtsverletzung kann schwerwiegende Folgen haben.

Über Google Buchsuche

Das Ziel von Google besteht darin, die weltweiten Informationen zu organisieren und allgemein nutzbar und zugänglich zu machen. Google Buchsuche hilft Lesern dabei, die Bücher dieser Welt zu entdecken, und unterstützt Autoren und Verleger dabei, neue Zielgruppen zu erreichen. Den gesamten Buchtext können Sie im Internet unter http://books.google.com/durchsuchen.





HARVARD COLLEGE LIBRARY







•

• .

•

SITZUNGSBERICHTE

DER KAISEBLICHEN

AKADEMIE DER WISSENSCHAFTEN.

MATHEMATISCH-NATURWISSENSCHAFTLICHE CLASSE.

DREIZEHNTER BAND.

WIEN.

AUS DER K. K. HOF- UND STAATSDRUCKEREI.

IN COMMISSION BEI W. BRAUMÜLLER, BUCHHÄNDLER DES K. K. HOFES UND DER K. AKADEMIE DER WISSENSCHAFTEN.

1854.

SITZUNGSBERICHTE

DER

MATHEMATISCH-NATURWISSENSCHAFTLICHEN CLASSE

DER KAISERLICHEN

AKADEMIE DER WISSENSCHAFTEN.

13

DREIZEHNTER BAND.

JAHRGANG 1854. HEFT I UND II

(Mit 22 Cafelu.)



WIEN.

AUS DER K. K. HOF- UND STAATSDRUCKEREI.

EN COMMISSION BEI W. BRAUMÜLLER, BUCHHÄNDLER DES K. K. HOFES UND DER
K. AKADEMIE DER WISSENSCHAFTEN,

1854.

LS0c386.4

MARVARD SOLLEGE LIBRARY

1860 june 25 april 5000)

INHALT.

	Seite.
Sitzung vom 16. Juni 1854.	
Heidinger, Pleochroismus an mehreren einaxigen Krystallen in neuerer	
Zeit beobachtet	3
Pritech, Ergänzung der Belege für eine seculäre Änderung der Luft-	
temperatur, nachgewiesen aus vieljährigen an mehreren Orten	
angestellten Beobachtungen. (Mit 1 Tafel.)	18
Littrom, Bemerkungen zu dem folgenden Aufsatze: Proximitäten der	
Bahnen der Planeten und Kometen	37
Grumert, Über die Proximitäten der Bahnen der Planeten und Kometen	38
Hauer, Beiträge zur Kenntniss der Capricornier der österreichischen	
Alpen. (Mit 3 Tafeln.)	94
Rokitansky, Über das Auswachsen der Bindegewebs-Substanzen und die	
Beziehung desselben zur Entzündung. (Mit 1 Tafel.)	122
Sitzung vom 22. Juni 1854.	
Bericht des Herrn Dr. Bleiweis an den k. k. Statthalter von	
Krain, Herrn Gustav Grafen v. Chorinsky, über ein angeb-	
liches Bastardkalb von Hirsch und Kuh	141
b) Bericht des Herrn Professors Hyrtl an die kaiserliche Akademie	• • • •
über diesen Gegenstand	143
e) Bericht über die Untersuchung desselben Gegenstandes. Von	
Dr. L. J. Fitzinger	163
Rochleder, Notiz über Äsculetin und Origanum-Öl	169
Fritsch, Vegetations-Verhältnisse in Österreich im Jahre 1853	172
Gobans, Die fossilen Land- und Süsswasser-Mollusken des Beckens von	
Rein in Steiermark. (Mit 1 Tafel.)	180
Grailich, Beitrag zur Theorie der gemischten Farben. (Fortsetzung.)	
(Mit 4 Tafeln.)	201
Pebal, Über die Zusammensetzung der Stearinsäure	285
Say, Analyse des Hildegarde-Brunnens zu Ofen	298
Sitzung vom 30. Juni 1854.	
Haidinger, Pleochroismus an einigen zweiaxigen Krystallen in neuerer	
Zeit beobachtet	306
Petrina, Beiträge zur Physik. (1. Fortsetzung.) (Mit 1 Tafel.)	332
Anhang. Schreiben des Hrn. Prof. Magnus an Prof. Schrötter .	345
Verzeichniss der eingegangenen Druckschriften	348
Tabellarische Übersicht der Witterung in Österreich im Mai 1854.	
(Mit 2 Tafein.)	

	Seite
Situang vom 13. Juli 1854.	
Haidinger, Über zwei von Foetterle geologisch colorirte Karten von	255
Brasilien	900
una tavola.)	357
Engel, Die Bildung der Wirbel- und Extremitätsknochen. (Mit 2 Tafeln.)	375
Petsval, Über die Fortschritte der Photographie in Wien	400
Hauer, Frans Ritter v., Über einige unsymmetrische Ammoniten aus	
den Hierlatz-Schichten. (Mit 1 Tafel.)	401
Grailich und Pekarek, Das Skierometer, ein Apparat zur genaueren	•
Messung der Härte der Krystalle. (Mit 1 Tafel.)	410
Hofstädter, Über künstliches und mineralisches Parafin	436
Hauer, Karl Ritter v., Über die Darstellung und Zusammensetzung	
einiger Salze	443
Say, Analyse des Mineralwassers zu Lippa in Ungarn	457
Sitzung vom 20. Juli 1854.	
Kenngott, Mineralogische Notizen. (14. Folge.)	462
Brücke, Über die unechte innere Dispersion der dichroitischen Hämetin-	
Lösungen	485
Lenhossek, Über den feineren Bau der gesammten medulla spinalis .	487
Albini, Ricerche chimiche sul Frutto del Castagno	502
Sitzung vom 27. Juli 1854.	
Orth, Über die chinesischen Gelbechoten	509
Kawalier, Übor Thuja occidentalis	514
Hlasiwets, Über die Robinis-Säure	526
Pierre, Beitrag zur Theorie der Gaugain'schen Tangentenboussole	527
Kollar, Beitrag zum Haushalte der sehr lästigen Viehbremsen (Tabanidae)	531
Basslinger, Untersuchungen über die Schichtung des Darmcanals der	
Gans, über Gestelt und Lagerung seiner Peyer'schen Drüsen.	
(Mit 2 Tafeln.)	536
Diesing, Über eine naturgemässe Vertheilung der Cephalocotyleen	556
Oeltsen, Nachweis des Vorkommens von Sternen aus den Argelander'-	
schen nördlichen Zonen in anderen Quellen	617
Verseichniss der eingegangenen Druckschristen	683
Tabellarische Übersicht der Witterung in Österreich im Juni 1854. (Mit 2 Tafeln.)	

•

•





SITZUNGSBERICHTE

THE SAMESTOWN

AKADEMIE DER WISSENSCHAFTEN.

MATHEMATISCH-NATURWOSSENSCHAFTLICHE CLASSE,

BAND XIII.

Jahrgang 1814. — 1. Seft.

Mit 13 Cattin.

In Commonon ber W. BRAUMCALER, Buchhändler des k. k. Hotes und der k. Akademie der Wissenschaften.





HARVARD COLLEGE LIBRARY







12

•

•

Poggendorff's Annalen enthalten, und überhaupt ziemlich allgemein bekannt ist. Ich darf diese hier als bekannt voraussetzen. Aber seit jener Zeit habe ich selbst mehrere einzelne Fälle, die mir besonders merkwürdig schienen, oder die gelegentlich anderer Arbeiten erwähnt wurden, bekannt gemacht, und auch andere Forscher beschäftigten sich mit den schönen in den Kreis derselben gehörenden Erscheinungen, ein Rammelsberg. Beer, Schabus, so wie auch in dem neuesten englischen Werke über Mineralogie, der Bearbeitung von Phillips' Elementary Indroduction to Mineralogy durch die Herren Brooke und Miller von dem letzteren trefflichen Mineralogen und Physiker die Erscheinungen des Pleochroismus in die Beschreibungen der mineralogischen Species mit einbezogen sind.

Mehreres ist noch gar nirgends auch nur erwähnt; Einiges davon hätte ich wohl auch gern im Speciellen weiter verfolgt, das ich nun hier unvollendet gebe, als Einladung an Andere, weiter zu arbeiten.

Indessen muss ich doch auch hier wieder wie in meiner früheren Mittheilung bemerken, dass ich keine Geschichte, eben so wenig als eine Beurtheilung der früheren Beobachtungen beabsichtigen kann, die, nun schon recht umfassend durchgeführt, "ein Buch" machen würden. Die Geschichte ist langsam vorgeschritten, von der classischen Abhandlung Brewster's beginnend in den *Philosophical Transactions* des Jahres 1819 und den Beobachtungen und Arbeiten eines Biot, Arago, Soret, Marx, v. Kobell, Babinet, De Sénarmont bis auf die neueren Zeiten. Aber selbst die Beobachtungsmittel mussten verbessert, und namentlich einer grösseren Menge von Beobachtern zugänglich gemacht werden. Als ein Beitrag zu dieser Geschichte möge auch die gegenwärtige Zusammenstellung gelten.

Viele pleochromatische Species zeigen zugleich die Erscheinung der metallischen Oberflächenfarben. Diese habe ich hier übergangen. Mehrere derselben sind in einer früheren, von mir vorgelegten Mittheilung beschrieben: "Über den Zusammenhang der Körperfarben, "oder des farbig durchgelassenen, und der Oberflächenfarben, oder "des farbig zurückgeworfenen Lichtes gewisser Körper." Einige, welche ich seitdem untersuchte, und die zum Theil sehr ausgesprochene Gegensätze zeigen, beabsichtige ich für sich in einer abgesonderten Mittheilung zusammenzufassen.

Ich darf hier wohl die beste Art der Beobachtung des Pleochroismus als so bekannt voraussetzen, dass wenige Worte zur Erinnerung genügen. Man bedient sich dazu, bei nicht gar zu kleinen Krystallen mit grossem Vortheile der dichroskopischen Loupe, von der ich vor langer Zeit, in der Sitzung vom 17. Februar 1848, ein Exemplar der hochverehrten Classe überreichte, so wie auch die Beschreibung in den Sitzungsberichten (Band I, Seite 131) enthalten ist. Sie besteht bekanntlich aus einer länglichen Theilungsgestalt von Doppelspath, an welche an beiden Enden Glasprismen von 18° bis 20° geklebt sind, verbunden noch an der Ocularseite mit einer Loupe. Man sieht durch dasselbe die einzige Lichtöffnung auf der Objectivseite und den Gegenstand doppelt, und zwar in entgegengesetzt polarisirten Lichtströmen.

Ein Bild ist in der Richtung der beiden Bilder polarisirt, es entspricht dem ordinären Strahle, der durch den Doppelspath hindurchgegangen ist, das andere Bild ist senkrecht auf die Richtung oder Linie, welche beide Bilder mit einander verbindet polarisirt, und entspricht dem extraordinären Strahle. Wenn man nun die dichroskopische Loupe so vor das Auge hält, dass das erstere Bild über dem zweiten steht, so liegt die krystallographische Axe des Doppelspathes in einer Vertical-Ebene. Das obere Bild wird durch O das untere durch E bezeichnet, aber diese Bezeichnung bezieht sich natürlich nur auf den Doppelspath und dient zur Vergleichung mit den zu untersuchenden Krystallen. Nur bei den einaxigen gibt es einen ordinären und einen extraordinären Strahl, von welchen der erste in der Richtung der Axe, der andere senkrecht darauf polarisirt ist. Sie stimmen mit den gleichnamigen Bildern der dichroskopischen Loupe überein, wenn die krystallographische Axe des zu untersuchenden Krystalles in der nämlichen verticalen Ebene, demselben Hauptschnitte, liegt wie die Axe des Doppelspathes.

Die zu untersuchenden Krystalle klebt man auf Wachs um sie bequem gegen das Licht gehalten untersuchen zu können. Ganz kleine Krystalle oder Splitter, z. B. von Turmalin werden bei starker Vergrösserung mit einem Mikroskope untersucht. Die Polarisation wird dabei am besten hervorgebracht, indem man die dichroskopische Doppelspathvorrichtung ohne Loupe auf das Ocular des Miskroskopes stellt, oder indem man, wie bei dem Polarisations-Mikroskope von Amici, einfach ein Rhomboeder von Doppelspath auf dasselbe legt, Da aber der letztere sehr weich ist, und daher die Theilungsflächen, und noch leichter ganz vollkommen glatt geschliffene und polirte Flächen ihre Politur verlieren, so thut man gut, vollkommen schön geschliffene Spiegelglasplatten auf diese Flächen mit Canadabalsamkitt zu kleben.

- I. Einaxige dichromatische Krystalle.
- A. Rhomboedrisches System.
- 1. Kalkspath. Charakter der Axe negativ.

O, Farbe der Basis: | E, Farbe der Axe:

Schwach gelblich. | Weiss.

Odenwald | Schwach-weingelb,
dunkler | lichter.

Beides durchsichtige Krystalle: der erste zwei Zoll, der zweite anderthalb Zoll im Durchmesser.

Der in meiner früheren Mittheilung von St. Denys ist dunkler als die beiden hier erwähnten. Der ordinäre Strahl ist mehr absorbirt als der extraordinäre, wie dies auch Herr Beer 1) an farblosen Krystallen anführt, die nur Grau im obern, Weiss im untern Bilde zeigen.

2. Hydrargillit ^a) von Schischimskaja - Gora im Ural, kleine Krystalle, die ich Herrn Professor Gustav Rose verdanke.

Blass-apfelgrün. | Blass-spargelgrün.

Das obere Bild ein wenig dunkler, der entsprechende ordinäre Strahl etwas mehr absorbirt als der extraordinäre.

3. Pennin, von Zermatt, ein sehr schöner Krystall, Zwilling, den ich Herrn von Morlot verdanke.

Seladongrün. | Hyacinthroth.

Der ordinäre Strahl ist stärker absorbirt als der extraordinäre, und zwar mit so grossem Erfolge, dass auch im gewöhnlichen Lichte dünne Blättchen in der Richtung der Axe seladongrün, senkrecht auf dieselbe hyazinthroth ins Gelblichbraune geneigt erscheinen. Den letztern Ton sieht man an den scharfen Kanten des Grundrhomboeders.

¹⁾ Poggendorff's Annalen, 1851, Band 82, Seite 429.

Sitzungsberichte der kaiserlichen Akademie der Wissenschften, 1854, Band 12,
 S. 183. Der Felsöbanyt u. s. w.

Durch die dichroskopische Loupe erscheint der rothe Ton ganz im untern extraordinären Bilde, während sich überraschend in dem obern ordinären das Seladongrün zeigt. Dieser Dichroismus ist zwar sehon seit der ersten Beschreibung des Pennins überall erwähnt, stimmt auch ganz mit den Erscheinungen an allen Chloriten, Ripidolithen u. s. w. überein, dennoch glaubte ich seiner hier nochmals, nach den von mir angestellten Beobachtungen erwähnen zu sollen.

Es ist mir dabei vorzüglich darum zu thun, weil durch den deutlichen Gegensatz der beiden Farben der Einfluss des färbenden Stoffes, welcher den einen Ton hervorbringt, von dem Erscheinen des andern Tones gänzlich ausgeschlossen wird. Verglichen mit den Färbungen der eisenhaltigen Perlen von dem Löthrohre, gelb in der äussern, oxydirenden; grün in der innern, reducirenden Flamme entsteht die Farbe der Basis durch Eisenoxydul, die Farbe der Axe durch Eisenoxyd, erstere in der Richtung der Axe, letztere senkrecht auf dieselbe polarisirt.

4. Amethyst. Die gyroidische Austheilung der Farbentöne ausführlicher erörtert in den Sitzungsberichten der kaiserlichen Akademie der Wissenschaften 1854, Bd. 12, S. 401. Hier noch eine Bemerkung. In dieser meiner letzten Mittheilung über den Amethyst findet sich die Angabe, dass, durch die Prismenflächen beobachtet, das in der Richtung der Axe polarisirte ordinare Bild etwas mehr absorbirt ist, als das senkrecht auf die Axe polarisirte extraordinäre. Dies bezieht sich auf mehrere Krystalle aus Brasilien, Sibirien und Schemnitz. Es ist dort hervorgehoben, dass die eigenthümliche Einwirkung der Individuen auf das Licht durch die mosaikartige Schichtung der Theilchen verhüllt ist. Abweichend von jener Angabe hat Herr Dr. Beer 1) bei einem Amethyst von 30 Millimeter (11/8 Zoll) Dicke: "O. Helles Rothviolett; E. dunkles Blauviolett." Auch diese Angaben fand ich, und zwar bei einem tiefgefärbten einfachen Theile eines Krystalles von Meissau bestätigt. Bei einer Dicke von nur fünf Linien erschien durch zwei einem Hauptschnitt parallele geschliffene Flächen das obere Bild der dichroskopischen Loupe von einem tiefen Rosa, aber immer noch klar, während das tief blauviolette untere Bild nahe gänzlich absorbirt war. Indessen möge auch dieser Beobachtung hier nur einfache Erwähnung geschehen, da es mir bis-

¹⁾ Poggendorff's Annalen, 1851, Band 82, 8. 431.

her noch nicht gelang, sämmtliche Erscheinungen rund um die Axe bei einem und demselben Individuumtheile in einem Bilde darstellen zu können. Übrigens stimmt die obige Angabe Beer's und das Ergebniss der Untersuchung des Krystalls von Meissau mit der Angabe der Farbentöne 7 und 8 auf der Figur 3, Seite 404 derselben Mittheilung überein, wo die Farbentöne O röthlich-violett, E bläulichviolett genannt sind.

Ich benütze die Veranlassung um einen Fehler in jener Mittheilung über den Amethyst zu berichtigen. Es fehlt nämlich auf der Seite 413, Zeile 18, nach dem Worte "gesehen," der Satz: "rosenroth, in der Richtung von P gesehen", wodurch erst die Angabe mit der auf Seite 403, orientirt durch Fig. 3, in Einklang gebracht wird, es soll nämlich im Ganzen heissen, es sei "jederzeit die im Hauptschnitt in der Richtung der Axe polarisirte Farbe schön violblau, die senkrecht darauf polarisirte, senkrecht gegen P gesehen rosenroth, in der Richtung von P gesehen indigblau." Der aufmerksame Leser wird wohl bald diesen Abgang bemerken, aber er stört doch ein wenig auf den ersten Blick.

5. Turmalin. Von dieser Species hat Herr Prof. Rammelsberg eine Anzahl sehr werthvoller Angaben in Bezug auf die Varietäten verzeichnet, die er auch der chemischen Analyse unterwarf. 1) Auch in Herrn Dr. Beer's Verzeichnisse sind mehrere Beobachtungen gegeben. Überall ist der ordentliche Strahl mehr absorbirt als der ausserordentliche. Man erhält dadurch zwar Vergleichungspunkte zwischen den absoluten Farbentönen und den Mischungsverhältnissen der Eisen- und Mangan - Oxyde und Oxydule, aber für den gegenwärtigen Augenblick wage ich keine solche Vergleichung, wenn auch der Versuch sehr reizend erscheint. Namentlich würde die blaue Farbe gewisser Turmaline, wäre sie erst erklärt, einen festen Stützpunkt gewähren.

Schon in dem von Rammelsberg gegebenen Verzeichnisse sind die schwarzen Turmaline von Grönland, Snarum, Unity, Alabaschka, Saar, Langenbielau, Sarapulsk nach den kräftigen Gegensätzen ihrer dichromatischen Töne aufgeführt, so wie die Bemerkung, dass es wohl keinen Turmalin gibt, der nicht wenigstens in den feinsten Splittern Licht hindurch liesse.

¹⁾ Poggendorff's Annalen, 1850, Band 80, S. 449 und Band 81, S. 1.

Hier mögen noch einige Angaben folgen, die sich ebenfalls auf schwarze Turmaline beziehen, und welche in feinen Splittern bei sechzigfacher Vergrösserung untersucht worden sind.

1. Kragerõe, Norwegen, Sehr dunkel Dunkles Röthlich16. December 1844 olivengrün braun.

Die Farbe der Basis O viel dunkler als die Farbe der Axe E. In den allerdünnsten Splittern ist das erste noch fast undurchsichtig, während das zweite nahe farblos erscheint.

- 2. Käringbricka, Schwe- Sehr dunkel Hell röthlichbraun, den. 16. December 1844 olivengrün wenig gefärbt.

 Sehr starker Gegensatz.
- 3. Haddam, Connecticut. Schwarz, an den dünnsten Rändern schwach graulich in Dunkelin Dunkelbraun entenblau geneigt geneigt.

Im Ganzen sind die Längssplitter graulich nelkenbraun. Sehr starker Gegensatz der Farben. Diese Varietät ist die in Bezug auf die Farbe der Basis am tiefsten gefärbte aller von mir untersuchten Turmaline.

4. Krumau, Böhmen.
29. Jänner 1845

5. Eibiswald,
Steiermark.

Seladongrün

Licht nelkenbraun.

Blass violblau, nahe röthlich-weiss.

Charakter der optischen Hauptaxe negativ wie beim Kalkspath. Wenn man Krystalle hat, durchsichtig genug, um beide Strahlen hindurch zu lassen, so ist folgende Methode sehr praktisch, um den negativen Charakter der Axe zu erkennen. Man klebt kleine Glasplättehen auf zwei gegen einander geneigte der ohnedies ziemlich glatten Prismenflächen mit Canadabalsam, und betrachtet durch das solchergestalt hergestellte Turmalinprisma einen leuchtenden Punkt, etwa eine Kerzenflamme. Wären die Prismenflächen ohnedies vollkommen glatt und glänzend, so sind sogar die kleinen Glasplatten überflüssig. Man sieht um zwei Bilder, ein weniger und ein mehr abgelenktes oder gebrochenes. Das eine ist senkrecht auf die Axe, das andere parallel der Axe polarisirt; das erstere natürlich das extraordinäre, das andere das ordinäre Bild, oder dasjenige, welches im ersten Falle durch die extraordinäre Brechung, in dem andern

dasjenige, welches durch die ordinäre Brechung entsteht. Ist nun das in der Richtung der Axe polarisirte Bild das mehr abgelenkte oder stärker gebrochene, so hat man einen negativen Krystall vor sich, in Bezug auf die Axe des Prismas. Die Richtung der Polarisation aber erkennt man sehr leicht, wenn man ein dünnes Turmalinplättehen zwischen das Auge und das eben von demselben gehaltene brechende Prisma hineinschiebt. Man weiss nämlich, dass der vom Turmalin absorbirte Strahl der ordinäre, der von demselben durchgelassene der extraordinäre ist. Bei verticaler Stellung der Axe des Turmalinplättehens, wenn man die Axe als Kante des brechenden Prismas ebenfalls vertical hält, verschwindet das ordinär gebrochene Bild. Es ist dies bei einem durchsichtigen, brechenden Turmalinprisma das mehr abgelenkte, die Axe desselben ist also negativ oder repulsiv.

Es schien mir wünschenswerth die vorhergehende kurze Betrachtung einzuschalten, obwohl sie nichts Neues enthält; aber sie ist noch lange nicht so allgemein in die Praxis getreten, dass man nicht mit Vortheil wieder auf diese Methode aufmerksam machte, um Verwechslungen vorzubeugen. Namentlich aber gibt der Turmalin dazu die Veranlassung, weil man bei einigen Varietäten, wenn man wirkliche Prismen schleift, das mehr gebrochene Bild bei grösserer Dicke des Prismas in der That verschwinden sieht, während es näher der Kante deutlich sichtbar ist. Beide Strahlen werden in der Ebene senkrecht auf die Axe nach dem Gesetze der Sinus gebrochen. aber nur der in der Richtung der Axe polarisirte ist der ordentliche. Derjenige Strahl, welcher senkrecht auf die Axe des brechenden Prismas, oder senkrecht auf die Kante desselben überhaupt polarisirt ist, ist der extraordinäre. Wäre der Krystall zweiaxig, so würde, vorausgesetzt, dass die Kante des brechenden Prismas einer der Elasticitäts-Axen parallel ist, doch das nämliche Verhältniss stattfinden, dass der nach dem Gesetze der Sinus gebrochene Strahl, welcher senkrecht auf die brechende Kante polarisirt ist, doch kein ordinärer genannt werden kann, sondern die Lage eines extraordinären hat, in Bezug auf diejenige Elasticitäts-Axe, welche der Kante des Prismas parallel ist.

Namentlich wünschte ich dabei auf eine Verwechslung des ordinären und extraordinären Strahles in Bezug auf die untersuchten doppeltbrechenden Prismen aufmerksam zu machen, die sich in einer neueren Abhandlung findet, in der eine Anzahl genauer numerischer Ergebnisse einer sehr werthvollen Reihe von Beobachtungen mitgetheilt wird, nämlich der "Untersuchung über die Brechung des farbigen Lichtes in einigen krystallinischen Medien, von J. C. Heusser 1). Es ist nämlich dort 2) zur Orientirung der beiden Spectra der brechenden Kante durch die Polarisation gesagt: "das von einer "Prismenstäche reslectirte Licht war polarisirt, und schwang in der-"selben Ebene, wie das ordentliche Bild des durch das Prisma "gebrochenen Lichtes (parallel der Prismenkante nach Fresnel, "senkrecht darauf nach Neumann)." Das reflectirte Bild ist also senkrecht auf die Kante oder Axe des Prismas polarisirt, das hier "ordentlich" gebrochene Licht ebenfalls. Wenn man aber irgend einen einaxigen Krystall in irgend einem Hauptschnitte untersucht, sei es in ursprünglichen oder secundären Formen, in Platten oder Prismen, so findet man doch jederzeit unveränderlich den ordinären Strahl in der Richtung der Axe, den extraordinären senkrecht auf die Axe polarisirt. Der in Herrn Dr. Heusser's Abhandlung "ordentlich" genannte Strahl, welcher senkrecht auf die brechende Kante polarisirt ist, war also doch eigentlich der ausserordentliche. Beim Schwerspath, auf welchen sich zunächst die Orientirung dort bezieht, folgt allerdings nur dieser "ausserordentliche" Strahl dem einfachen Brechungsgesetze der Sinus; der dem ordentlichen entsprechende ist durch die zwei Axen, zwischen welchen eine der drei Elasticitäts-Axen liegt, in zwei unter 90° von einander abweichenden Maxima und Minima zertheilt, dennoch wird er dadurch kein "ordentlicher"; denn zweiaxige Krystalle besitzen zwar drei Grenzwerthe von Lichtgeschwindigkeiten, aber wie schon Fresnel zeigte. keinen ordentlichen Strahl. Die Grenzwerthe sind nämlich in den drei grössten Kreisen orientirt, so dass sie senkrecht auf die Elasticitäts - Axen stattfinden, welchen parallel, übereinstimmend mit Fresnel (entgegengesetzt von Neumann), die Schwingungen des Lichtäthers, senkrecht auf die Polarisations-Ebene folgen. Nur wenn die Schwingungen parallel der brechenden Kante geschehen, ist auch ein in allen parallel einer der Elasticitäts-Axen aus einem zweiaxigen Krystall geschnittenden Prismen gleichmäs-

¹⁾ Poggendorff's Annalen, 1852, Band 87, S. 454.

²⁾ Seite 458.

siger Einfluss derselben möglich, während er sonst für jedes Prisma eine andere Lage haben würde.

Für die drei rhomboedrischen Species: Apatit, Beryll, Turmalin findet man, Seite 466, folgende Bemerkung. "Beide Bilder wurden "durch den Nicol getrennt, hier war aber dasjenige Bild, welches "bei der Stellung das Nicols sich zeigte, wo ein reflectirter Gegen"stand im Maximum der Deutlichkeit erschien, das ungewöhnliche; "wurde der Nicol um 90° gedreht, so trat das gewöhnliche hervor." Daher ist auch für den Turmalin der ordentliche Strahl als der stärker gebrochene (für grünes Licht $\omega=1.64793$, $\varepsilon=1.62617$) angegeben.

In Bezug auf den Beryll macht Herr Dr. Beer ¹) folgende Bemerkung zu dem Citate aus Herrn Dr. Heusser 's Abhandlung: "Für grüne Strahlen ist $\omega=1.57068$, $\varepsilon=1.57513$. Hiernach wäre "der Beryll ein positiver Krystall; wahrscheinlich aber sind beide "Exponenten verwechselt."

Der Apatit hat nach Heusser ebenfalls zwei sehr nahe Werthe, wovon hier nur der für die Fraunhofersche Linie E, im Gelbgrün folgen mag, 1.64998 und 16.4543.

Den "gewöhnlichen" Strahl nennt Heusser beim Beryll den schwächer gebrochenen, beim Apatite den stärker gebrochenen. Wäre dieser "gewöhnliche" Strahl nun senkrecht auf die Kante des brechenden Prismas polarisirt, so besitzt die Axe des Berylls einen negativen Charakter, wie es oben Beer voraussetzt, der Apatit aber ist positiv. Nach dem Beisatze wäre in der That der Beryll positiv, der Apatit negativ. Dass bei dem Berylle die Verwechselung von ω und ε wirklich stattgefunden, ist wohl unzweifelhaft. Gewiss gehört der Beryll zu der Abtheilung der negativen Krystalle. Ich bin um so mehr vorbereitet obige Ansicht Dr. Beer's zu unterstützen, als ich mehrere Varietäten der Species eigens zu dem Zwecke untersuchte, geschnittene Steine, grösstentheils als Tafelstein mit Treppenschnitt, die mir unser hochverehrter College, Herr Director P. Partsch aus dem k. k. Hof-Mineraliencabinete freundlichst mittheilte. Sie waren von mir so gewählt, dass sie ziemlich die ganze Farbenreihe repräsentiren. Es waren folgende: 1. Honiggelb, 2 Spargelgrün, 3. Blass smaragdgrün, fast apfelgrün. 4. Berggrün,

¹⁾ Einleitung in die höhere Optik, Seite XIV.

5. Grünlichweiss, 6. Blass himmelblau. An allen konnte man deutlich die Lage der Axe durch die so charakteristischen Schichten der Krystallstructur in der Richtung senkrecht auf dieselbe erkennen. Die doppelte Strahlenbrechung, obwohl schwach, zeigte sich überall deutlich bei den grössern brechenden Winkeln. Bei allen war das stärker gebrochene oder abgelenkte, von der Lichtquelle entferntere Bild in der Richtung der Axe polarisirt, oder parallel der brechenden Kante, während das weniger gebrochene Bild die Polarisation senkrecht auf die Axe, oder senkrecht auf die brechende Kante zeigte. Ganz sicher ist also der Beryll optisch negativ. Die gelben Berylle, so wie der Smaragd, befolgen auch das Babin et'sche Gesetz, indem der ordinare Strahl etwas stärker absorbirt ist, der blauliche Beryll bildet aber auch jetzt noch, wie ich diess schon früher bemerkte (Über den Pleochroismus u. s. w. 1845, S. 19), eine Ausnahme, indem er zu den negativen Krystallen gehört, und doch der extraordinäre Strahl stärker absorbirt ist als der ordinäre. Bei gewissen Krystallen ist das ordinäre Bild der dichroskopischen Loupe nahe farblos, während das extraordinäre ein schönes, tiefes Himmelblau besitzt. Bei acht Linien Dicke zeigte ein Krystall O blass berggrün, E licht indigblau.

Die starken Gegensätze in den Absorptions-Tönen der schwarzen Turmaline veranlassten bei mir den Wunsch, zu versuchen, ob es nicht möglich wäre, auch von diesen so häufigen Vorkommen einen wirklichen Gebrauch zu machen, wenn es gelänge, sie in Platten zu schneiden, die überhaupt zur Anwendung dünn genug wären. Der Versuch gelang vollständig. Namentlich die sibirischen Krystalle gaben ausgezeichnet schöne Platten, die bei fast vollständiger Farblosigkeit höchstens mit einem schwach gelblichen Tone doch den ordinären Strahl vollständig absorbiren, so dass zwei gekreuzte Platten nicht einmal das Bild der Sonne zeigen. Aber man muss dabei folgende Vorsicht gebrauchen. Zuerst wird eine Seitenfläche des Krystalls vollkommen geschliffen und polirt, dann wird mit einem Canadabalsamkitt, dem jedoch etwas Wachs zugesetzt ist, um ihn zäher zu machen, auf eine zu beiden Seiten vollkommen polirte Glasplatte aufgeklebt. Hierauf wird ein dünnes Plättchen vom Krystall weggeschnitten, und nach und nach so dünn abgeschliffen als es thunlich ist. Nun wird die gewonnene Fläche möglichst gut polirt, und um die Politur sowohl zu erhöhen, als auch den Krystall besser zu bewahren

und zwar dieses Mal mit einem flüssigen Balsamkitt, so dass das Ganze nicht mehr erwärmt zu werden braucht, noch eine Glasplatte aufgeklebt. Das Abschleifen und Poliren wurde bei vielen Versuchen, die ich machte, von dem Steinschneider, Herrn Klement sehr gut ausgeführt. Von einer Platte verdanke ich dem Herrn Regierungsrathe von Ettingshausen die Messung der Dicke mittelst des Sphärimeters; sie fand sich sehr nahe = 0.224 Millimeter, oder nahe 1/8 Linie. Ich habe seit mehreren Jahren stets solche Platten bei Untersuchungen als Polarisirer im Gebrauche gehabt, sie auch vielen Personen gezeigt, doch hat, so viel mir bekannt ist, sich die Industrie dieses schönen Ergebnisses noch nicht bemächtiget, wie es ohne Zweisel späterhin der Fall sein wird.

Bei diesem Aufschneiden von schwarzen Turmalinkrystallen in Platten parallel der Axe, zeigte sich sehr allgemein eine an verschiedenen hellfarbigen Turmalinvarietäten längst beobachtete und beschriebene Erscheinung, dass nämlich ein Kernkrystall von Krystallschichten umschlossen ist, die eine von dem ersten verschiedene Farbe besitzen. Eines dieser Krystalle, aus Sibirien, möge hier etwas

ausführlicher gedacht werden. Die Fig. 1 stellt zwei aus demselben gewonnene Platten in dem Verhältniss von 4:3 vergrössert vor. Sie sind etwa 1/8 Linie dick, sehr homogen, mit wenigen Sprüngen. Die Farbe ist sehr hell und in den durch Buchstaben bezeichneten Theilen von folgender Beschaffenheit:



Im gewöhnlichen polarisirten oder ordinären Lichte

a. Blass-röthlichweiss

b. Blass-gelblichbraun

c. Gelblichweiss

f. Gelblichweiss mit einer Beimischung von Pflaumenblau, welches, in der Richtung von e beginnend, gegen d zu stärker wird.

Im extraordinăr-polarisirten Lichte der dichroskopischen Loupe

--- Tief-berlinerblau

Schwarz

--- Schwarz

- Schwarz.

Wenn man die Platte in der Richtung des Hauptschnittes derselben neigt, so verstärkt sich nach Maassgabe der Neigung die Einwirkung des ordinaren Strahles oder die Farbe der Basis; der Rand a wird

deutlich, aber rein blau, die Seiten b werden dunkler gelblichbraun, auch der mittlere Theil f wird dunkler; aber dann unterscheidet man erst recht deutlich das scharfe Abschneiden des blauen Randes a gegen den bei e angrenzenden gelblichbraunen Theil der Fläche, die allmählich gegen das untere Ende d in Blau, doch nicht so rein wie der Rand a, übergeht; die scharf abschneidenden Theile c sind deutlich gelblichbraun. Die Austheilung dieser Farbentone ist ungemein merkwürdig. Gewiss darf man annehmen, dass die mehr gesättiget gelbbraunen Theile b allmählich gegen das abgebrochene Ende des Krystalls an Dicke gewinnend, indem sie im Durchschnitte breiter werden, einen etwas höher oxydirten Zustand beurkunden, als die blaue Schicht a am freien Ende, ein wahrer elektronegativer Gegensatz gegen einen elektropositiven, aber beide getrennt durch den Mittelkörper. Eben so einen scharfen Gegensatz in der Berührung zwischen der Lage a und dem anschliessendem Theile dieses Mittelkörpers f. In dem letzteren aber ein allmähliches Fortschreiten in entgegengesetzter Richtung von e gelbbraun, zu d blau, verglichen mit der Lage von a blau gegen b gelbbraun. Die Austheilung mehr oder weniger oxydirter Materie in den Krystall-Individuen stimmt ganz überein mit den Erscheinungen der entgegengesetzten elektrischen Polarität derselben beim Wechsel der Temperatur. wird nicht mit Unrecht voraussetzen dürfen, dass auch an ihren natürlichen Fundstätten während der Bildung und der Veränderungen der Krystalle, ein solcher elektrischer Zustand obwaltete, der in einem Causalverbande mit einem im Innern der Krystalle elektropositiven, reducirenden, an der Aussenseite derselben elektronegativen, oxydirenden Strom moleculärer kleinster Bewegungen stand, die in paralleler aber entgegengesetzter Richtung stattfanden.

6. Mausit. In den Sitzungsberichten der kaiserlichen Akademie der Wissenschaften 1853. Bd. 11, S. 393.

Regelmässige sechsseitige Prismen
$$\frac{1}{2}$$
 Linie dick

O. Basis

Hyacinthroth

Olgrün.

Farbenreihen gleich, durch Schwarz, Hyazinthroth, Leberbraun, Ölgrün, Blassgelb, Weiss; senkrecht auf die Axe sind die Krystalle etwa zehnmal so durchsichtig, als in der Richtung derselben. Auf diesem Unterschiede der Durchsichtigkeit beruht der Dichroismus.

- B. Pyramidales System.
- 1. Kalomel. In dem Jahrbuche der k. k. geologischen Reichs-Anstalt 1852, N. 3, 148. Durch Sublimation in Rösthaufen zu Altwasser in Ungarn gebildet.

Combination O. Basis E. Axe $P \cdot \infty P'$ Hell weingelb Blass-nelkenbraun.

Der extraordinäre Strahl ist viel stärker absorbirt als der ordinäre. Aus dieser Erscheinung sollte man schliessen, dass der Charakter der Axe positiv ist.

2. Glaukolith.

Blau, hohe Farbe Perlgrau, schwach
zwischen Berlinerund Lasurblau.

Die Theilungsgestalten einer stark durchscheinenden Varietät aus dem k. k. Hof-Mineraliencabinete entnommen. Theilbarkeit in drei senkrecht auf einander stehenden Richtungen. Glasglanz auf den durch den Dichroismus als Seitenflächen ∞ P charakterisirten Flächen in den Perlmutterglanz geneigt, auf der weniger vollkommenen Fläche O (mehr Querbruch zu nennen) in den Fettglanz. Aber die Theilbarkeit ist doch im Ganzen unvollkommen und unterbrochen. Sie ist bei den meisten Varietäten so unvollkommen, dass in den mineralogischen Lehrbüchern nach Brooke unvollkommene Theilbarkeit nach zwei unter 143° 30' und 36° 30' sich schneidenden Richtungen angegeben wird. Die obige, sehr deutlich erkennbare Varietät stellt die Form des Glaukoliths in das pyramidale System und spricht dadurch sehr das Wort für die in der neuesten Zeit mehr bemerkte Verwandtschaft mit Skapolith. Namentlich die Varietäten von den Fundorten Malsjö, analysirt von Wolff 1), Hartwall und Hedberg*) Ersby und Petteby stehen sehr nahe dem von Bergemann *), und Giwartowski *) analysirten Glaukolith vom Baikalsee.

¹⁾ Kenngott. Übersicht mineralogischer Forschungen, 1844-1849, S. 123.

²⁾ Hausmann. Handbuch der Mineralogie, Band 1, 8. 618.

³) Poggendorff's Annalen, Band 9, 8. 267.

⁴⁾ Erdmann's Journal. Dand. 47, S. 380.

	Skapolith			Glaukolith	
	Malsjö	Ersby	Petteby	vom l	Baikalsee
1	nach Wolff.	Hartwall.	Hedberg.	Bergemann	. Giwartowski.
Kieselerde	49.98	52-11	51.34	50.583	50.494
Alaunerde	27.02	27.60	32.27	27.600	28.125
Kalkerde	12.71	13.53	9.33	10.266	11.309
Talkerde	0.85	_		3.733	2.678
Natron	7.59	3.86	5.12	2.966	3.103
Kali	0.87	_	_	1.266	1.006
			1	fanganoxyd	Manganoxydul
			1	Manganoxyd	
			1	fanganoxyd — Oxydul	Manganoxydul
Eisenoxyd	0-21	0.55	1·91		Manganoxydul 0·595
	0.21	0.55 Wasser		— Oxydul	Manganoxydul 0·595 Eisenoxydul
			1.91	— Oxydul	Manganoxydul 0·595 Eisenoxydul 0·397
Eisenoxyd		Wasser	1·91 Wasser	— Oxydul 1·100	Manganoxydul 0·595 Eisenoxydul 0·397 Wasser
Eisenoxyd		Wasser	1·91 Wasser	— Oxydul 1·100	Manganoxydul 0·595 Eisenoxydul 0·397 Wasser 1·786

^{3.} Zinnstein.

Schwarze Krystalle von Schlaggenwald und Zinnwald, in dünnen Splittern vollkommen klar, röthlichbraun durchsichtig.

O. Basis		E. Axe
Schlaggenwald	Blass gelblichbraun.	{ Reiches blutroth
Zinnwald	Gelblichweiss	{ Hyacinthroth
Braune Krystalle von Schlaggenwald	Gelblichbraun.	Gelblichbraun ins Rothe.

Die Tone bei der letzten Varietät wenig verschieden. Der extraordinäre Strahl stets mehr absorbirt als der ordinäre, übereinstimmend mit dem positiven Charakter der Axe. Zwei Platten von Zinnstein, die ich schleifen liess, aufgeklebt auf Glas, gaben gekreuzt
den dunkleren Ton des extraordinären Strahles, doch waren sie nicht
klar genug, um als eigentliche Polarisirer angewendet werden zu
können.

^{20.} December 1844.

Ergänzung der Belege für eine seculäre Änderung der Lufttemperatur, nachgewiesen aus vieljährigen an mehreren Orten angestellten Beobachtungen.

Von dem c. M. K. Fritsch.

(Mit I Tafel.)

Dove hat in einer Reihe von Abhandlungen 1) "Über die nicht periodischen Änderungen der Temperatur-Vertheilung auf der Oberfläche der Erde" als deren Fortsetzung man die Witterungs-Geschichte des letzten Jahrzehnts 1840 bis 1850 ansehen kann 2). für alle grösseren Untersuchungen über die Temperatur-Vertheilung auf der Erdoberfläche nach Zeit und Raum, das reichhaltige Materiale gesammelt, welches zu einer solchen Untersuchung dienen kann, im Laufe der Zeiten angewachsen ist, und bisher nicht viel weniger auf der Erde zerstreut war, wie die vielen Beobachtungs-Stationen, welchen wir dasselbe verdanken.

Es sind nicht weniger als 11 Hundert Beobachtungs-Stationen 3), für welche die Monatsmittel der Temperatur von den einzelnen Jahren vorliegen. Ich konnte daher hoffen, die Belege für eine seculäre Änderung der Lufttemperatur, welche ich schon früher in zwei kleinen Abhandlungen 4) niedergelegt habe, so zu vervollständigen, als es gegenwärtig möglich ist. Um darüber sicher zu sein, dass von mir jede Beobachtungsreihe benützt worden ist, welche sich über einen hinreichend langen Zeitraum erstreckt, um den seculären Gang der Luft-Temperatur erkennen zu lassen, habe ich die Mühe nicht gescheut, mir über das gesammte in den fünf Abhandlungen von Dove zerstreute Materiale ein Inhalts-Register zu entwerfen, welches für jede Station die Jahre ersichtlich machte, von welchen Temperatur-Mittel vorliegen, was um so nothwendiger war, als nur die wenigsten mehrjährigen Beobachtungsreihen eines Ortes in einer und

 ^{1) 1.} Theil, Berlin 1840; 2. Theil, Berlin 1841; 3. Theil, Berlin 1844; 4. Theil, Berlin 1847.

²) Berlin 1853.

³⁾ Die fortlaufenden Numern der Stationen reichen zwar bis 1162, es fehlen aber die Zahlen 780—795 und 1030—1122, im Ganzen 109, so dass eigentlich nur von 1053 Stationen Beobachtungen vorliegen.

⁴⁾ M. s. Band IX, S. 902 und Band XI, S. 499 der Sitzungsberichte der math.-naturw. Classe der kais. Akademie der Wissenschaften.

derselben Abhandlung vorkommen, sondern gewöhnlich in verschiedenen Theilen derselben zerstreut sind.

Da ich aus Gründen, die in meiner ersten Abhandlung erörtert worden sind ¹), nur jene Beobachtungsreihen zur Nachweisung einer seculären Änderung der Temperatur für geeignet halte, welche wenigstens einen fünfzigjährigen Zeitraum umfassen, so konnten blos von den in folgender Tabelle zusammengestellten Orten die mittleren Jahres-Temperaturen benutzt werden.

Übersicht der Orte, von welchen wenigstens 50 jährige Beobachtungsreihen vorliegen.
TAFEL I.

Auch von Warschau und Barcelona liegen mehr als 50jährige Beobachtungen, aber nicht in einzelnen Jahresmitteln, sondern nur im Gesammtmittel vor, wesshalb davon kein Gebrauch gemacht werden konnte. Die Jahresmittel von Kremsmünster, Mailand, Prag und Wien sind ganz meiner ersten Abhandlung über diesen Gegenstand entnommen, weil sie in Dove's Abhandlungen entweder ganz fehlten, wie jene von Kremsmünster, welche grösstentheils erst von mir gerechnet worden sind, oder doch wenigstens nicht so vollständig waren,

¹⁾ Seite 903 und 908 des XI. Bandes der Sitzungsberichte.

wie meine. Dagegen wurden wieder die Temperaturmittel von Berlin, Petersburg und Regensburg aus Dove's Abhandlungen ergänzt. Bei Greenwich, Harlem, London, Madras, Manchester und Zwanenberg ist zu bemerken, dass die Temperaturmittel in Fahrenheit'schen Graden angegeben waren, und auf Réaumur'sche reducirt worden sind.

Zur Darstellung des Ganges der seculären Änderung der Lufttemperatur genügt eine möglichst vieljährige Beobachtungsreihe, die Zeiten, zu welchen die einzelnen Beobachtungen angestellt worden sind, kommen dabei nicht in Betracht, vorausgesetzt, dass sie während der ganzen Beobachtungsreihe dieselben blieben. So weit die Beobachtungsreihen meinen früheren beiden Abhandlungen über den Gegenstand entlehnt sind, ist diese Bedingung vollständig erfüllt.

In Dove's Abhandlungen über die nicht periodischen Änderungen der Temperatur-Vertheilung an der Erdoberfläche sind die Beobachtungszeiten nicht immer ersichtlich und es war auch für den Zweck der Untersuchung nicht nothwendig, sie anzuführen. Man kann aber ohne Bedenken annehmen, dass Beobachtungsreihen, für welche ein mehrjähriges, dieselbe umfassendes Mittel mitgetheilt wird, übereinstimmende Beobachtungszeiten haben. Selbst für jene hat diese Annahme noch eine grosse Wahrscheinlichkeit für sich, welche verschiedenen mehrjährigen Mitteln angehören, aber der Jahresfolge nach sich unmittelbar einander anschliessen. Wo hingegen Letzteres nicht der Fall ist, und die einzelnen Beobachtungsreihen in einander greifen, indem ihnen einzelne Jahre gemeinschaftlich zukommen, muss man die einzelnen Jahresreihen als verschiedenen Beobachtungssystemen angehörig betrachten. Aber eben solche Beobachtungsreihen geben ein sicheres Mittel an die Hand, die Jahresmittel einer Reihe mit jenen der anderen vergleichbar zu machen - indem man das Mittel der Unterschiede der gemeinschaftlichen Jahre als Correction der früheren oder späteren Beobachtungsreihe ansieht. So wurden die Jahresmittel 1768 bis 1795 der Temperatur von Genf um + 0°.41 vergrössert, weil sich durch Vergleichung der Jahre 1796 bis 1800, welche der früheren und späteren Beobachtungsreihe gemeinschaftlich zukommen, ergab, dass die Jahresmittel von 1796 bis 1850 im Allgemeinen um diese Grösse höher sind, als jene von 1768 bis 1795. Für Madras verkleinerte ich aus einem ähnlichen Grunde die Mittel der Jahre 1826 bis 1843 um 0°.96 und vergrösserte jene der Jahre 1844 und 1845 um + 0°.2, wobei dort 1822 bis 1825, hier 1842 und 1843 die Vergleichjahre waren.

In den am Schlusse folgenden Tabellen (2 bis 5) sind die Jahresmittel der Lufttemperatur für alle Orte mit mehr als fünfzigjährigen Beobachtungen auf eine ähnliche Weise, wie früher, zusammengestellt und combinirt. Taf. 2 enthält die einzelnen Jahresmittel in chronologischer Ordnung von den ältesten zu den neuesten, abgetheilt in Gruppen von zehn Jahren. Taf. 3 die sich unmittelbar hieraus ergebenden zehnjährigen Mittel und die Normalmittel eines ieden Ortes, abgeleitet aus der ganzen Beobachtungsreihe, wobei auch die interpolirten Jahresmittel, welche dazu dienten, unvollständige Decennien zu ergänzen, berücksichtiget worden sind. Zur Interpolation der fehlenden Jahresmittel wurde in jedem Decennium abgesondert die mittlere Temperatur eines jeden Jahres mit der gleichzeitigen des der geographischen Lage nach sich zunächst anschliessenden Ortes verglichen, und die mittlere Differenz als die Verbesserung angesehen, welche an die Temperaturmittel der Vergleichstation in den fehlenden Jahren anzubringen ist, um jene des Decenniums zu erhalten, welches zu ergänzen war. Z. B. Im Decennium 1801 bis 1810 fehlen von Paris die Jahresmittel 1801 bis 1805. Die Unterschiede zwischen Carlsruhe und Paris waren:

```
1806 = 12^{9}08 - 9^{9}11 = + 2^{9}97
1807 = 10.76 - 8.59 = + 2.17
1808 = 10.35 - 7.77 = + 2.58
1809 = 10.64 - 8.07 = + 2.57
1810 = 10.62 - 8.03 = + 2.59
M = + 2.58
```

die fehlenden Jahresmittel von Paris sind demnach

```
1801 = 9°16 + 2°58 = 11°74

1802 = 8.58 + 2.58 = 11.16

1803 = 7.67 + 2.58 = 10.25

1804 = 8.38 + 2.58 = 10.96

1805 = 7.12 + 2.58 = 9.70
```

Die auf solche Weise interpolirten Jahresmittel sind mit einem Punkte (*) bezeichnet. Von Madras, wo die Vergleichsstation fehlte, sind die Mittel der unvollständigen Decennien mit einem Sternchen (*) angedeutet.

Die 5. Tafel stellt die zwanzigjährigen Temperaturmittel dar, und zwar durch Differenzen derselben gegen das Normalmittel, sie sind mit + oder - bezeichnet, je nachdem sie grösser oder kleiner sind, als letzteres. Diese Tafel ist blos für die graphische Darstellung des seculären Ganges der Lufttemperatur entworfen, welche dieser Arbeit beigefügt ist. Die daraus ersichtlichen Temperatur-Curven der einzelnen Orte liegen nach der geographischen Lage derselben unter einander, von den höheren zu den niederen Breitengraden herabsteigend, und bei gleichen Breitengraden mit den Orten grösserer östlicher Länge (von Greenwich gezählt) beginnend. Die stärkeren Horizontallinien entsprechen den normalen Jahres-Temperaturen der beiderseits angeschriebenen Orte. Die Abweichungen davon in den einzelnen Decennien sind die Theile der Verticallinien zwischen den Punkten und der genannten Horizontallinie. Die Punkte stehen über letzteren, wenn die mittlere Temperatur des Decenniums grösser ist, als die normale, im entgegengesetzten Falle unter derselben. Ein verticaler Netztheil entspricht einem Zehntel-Grade Réaumur, je zwei horizontale Netztheile stellen den Abstand der Epochen zweier Decennien dar.

Von den 19 Orten, für welche über die seculäre Bewegung der Lufttemperatur Curven entworfen sind, haben nur drei, nämlich Petersburg, Berlin und Zwanenberg eine hinreichende lange fortgesetzte Beobachtungsreihe, um auf die Dauer und Epochen einer Periode der seculären Änderung der Lufttemperatur und den Umfang ihrer Schwankung während derselben einen Schluss zu erlauben. Die Curven dieser drei Orte lehren, dass die Lufttemperatur etwa um das Jahr 1740 ein Minimum erreichte, sodann bis 1760 oder 1770 auf ein Maximum gesteigert wurde, um sofort wieder auf ein Minimum zu sinken, welches in Petersburg um 1780, in Zwanenberg um 1790, in Berlin um das Jahr 1810 eintraf, worauf ein abermaliges Steigen stattfand, welches zwischen 1820 und 1830 ein Maximum der Temperatur zur Folge hatte. Die Temperatur-Curven dieser drei Orte haben sonach einen ziemlich ähnlichen Verlauf, nur fallen die Epochen der positiven und negativen Scheitel nicht immer zusammen, was insbesondere von dem zweiten Minimum gilt. Beide Maxima sind durch einen Zeitraum von 60 bis 70 Jahren getrennt. Von Manchester, Harlem, London und Greenwich, welche sich zunächstan das Curvensystem obiger drei Orte anschliessen, lässt die kurze Dauer der Beobachtungen nur

Fragmente der Curven erkennen, welche dem Stücke zwischen dem 2. Minimum und 2. Maximum ähnlich sind, das in den Zeitraum von 1800 etwa bis 1830 fällt und daher die Zunahme der Lufttemperatur während dieses Zeitraumes im Allgemeinen bestätigen. Auf ähnliche Weise scheint es sich auch mit Carlsruhe und Paris zu verhalten, von welchen Orten noch kürzere Beobachtungsreihen als von den früher genannten Orten vorliegen.

Ein zweites System bilden die Curven aller übrigen Orte, es unterscheidet sieh von dem ersten wesentlich dadurch, dass die Maxima der Temperatur nahezu auf jene Epochen fallen, zu welchen im ersten Systeme die Minima eintreten. In das zweite System gehören Prag, Regensburg, Wien, Kremsmünster, Peissenberg, Stuttgard, Innsbruck, Genf und Mailand. Das Maximum der Temperatur fällt hier übereinstimmend auf das Jahr 1800, nur in Kremsmünster ausnahmsweise auf 1780, wodurch die Lage der Temperatur-Curve dieses Ortes sich jener des ersten Systems nähert, von welchem man im zweiten auch das zweite Maximum mehr oder weniger angedeutet findet. Auf ähnliche Weise verhält es sich mit Kopenhagen. Vom Jahre 1800 auf- und abwärts war die Lufttemperatur in stätiger Abnahme begriffen.

Auf die absolute Grösse der Temperatur-Schwankung während der seculären Periode lässt sich nur aus den Beobachtungen jener wenigen Orte ein Schluss ziehen, von welchen wenigstens für ein Maximum und Minimum die Epochen sicher gestellt sind. In Pertersburg beträgt die Abnahme von 1760 bis 1780 = 0°.87, die Zunahme von da bis 1820 = 0°.92. In Kopenhagen die Abnahme von 1790 bis 1810 = 0°.54. In Berlin erreicht die Abnahme von 1760 bis 1810 die auffallende Grösse von 1°.67, während die Zunahme von da bis 1830 nur 0°59 beträgt. In Zwanenberg ist die Abnahme von 1760 bis 1790 = 1°.01.

Die absolute Amplitude der seculären Temperatur-Schwankung ist von der Dauer der Periode abhängig, welche wir von den wenigsten Orten kennen. Um die Abhängigkeit von der geographischen und physikalischen Lage der Orte zu übersehen, ist es am zweckmässigsten, den mittleren Werth derselben für eine Zeiteinheit zu suchen. Nimmt man aus Tafel 4 die Differenzen der zwanzigjährigen Temperaturmittel z. B. bei Berlin (1731 bis 1750) — (1741 bis 1760), (1741 bis 1760) — (1751 bis 1770) u. s. f. addirt sie ohne Rücksicht auf ihr Zeichen und dividirt die Summe durch die Anzahl der

Differenzen, so erhält man für eine Zeiteinheit von 10 Jahren folgende mittlere Temperatur-Schwankung. Zu einem ähnlichen Resultate gelangt man auch auf einem kürzeren Wege, wenn man die stetig in demselben Sinne (Abnehmen oder Zunehmen) erfolgenden Änderungen ohne Rücksicht auf ihr Zeichen addirt und die Summe durch die Gesammtdauer der Beobachtungen dividirt.

Mittlere Temperaturschwankung in 20 Jahren.

Petersburg			. 0°23	Carlsruhe 0°19
Kopenhagen			. 0.23	Wien
Manchester			. 0.39	Kremsmünster 0.22
Berlin			. 0.41	Peissenberg 0.14
Zwanenberg			. 0.26	Stuttgart
Harlem				Paris 0.08
London			. 0.08	Innsbruck 0.22
Greenwich .			. 0.13	Genf 0.20
Prag				Mailand 0.20
Regensburg				

Eine Abhängigkeit der seculären Temperatur-Schwankung von der geographischen und physikalischen Lage der Orte ist nicht zu verkennen. An den nördlichen Stationen ist sie im Allgemeinen grösser als an den südlichen, sie ist aber auch noch grösser im Innern des Continentes als an den Meeresküsten. In ersterer Beziehung eignen sich am besten Orte zur Vergleichung, welche nahezu in demselben Meridian liegen, in letzterer Orte, welche denselben Breitenkreis haben. So beträgt z. B. die zwanzigjährige Temperatur-Änderung in Wien nur 0°.19, während sie in dem zwei Grade nördlicher liegenden Prag 0º.28 erreicht, und in Berlin, das weitere 2 Grade nördlich liegt. bis auf 0°31 steigt. Die grössere oder geringere Entfernung von der Meeresküste übt aber auf dieses Verhältniss einen so mächtigen Einfluss, dass man es kaum zu erkennen im Stande ist. Harlem und Berlin z. B., welche in demselben Parallele liegen, aber um 13º in der Länge verschieden sind, zeigen einen Unterschied von 0°.26, es ist nämlich die zwanzigjährige Änderung in Harlem nur 0º.15, während sie in Berlin auf 0º.41 steigt. In Wien beträgt die Änderung 0º.19, in dem 19° westlicher liegenden Paris nur 0°.08 u. s. w.

Die seculären Temperatur-Schwankungen scheinen demnach ähnlichen Gesetzen, wie die Temperatur-Schwankungen überhaupt zu unterliegen. Dennoch dürfte es sehr gewagt sein, beide einer

gemeinsamen Ursache zuzuschreiben. Andererseits lehren die Untersuchungen von Dove, dass die mittlere Temperatur der ganzen Erdoberfläche nahezu constant sei, indem bedeutende Anomalien der Lufttemperatur in einer Erdzone, durch Anomalien entgegengesetzten Sinnes in einer anderen ausgeglichen werden, so dass sich diese Unterschiede schon in derselben Jahreszeit compensiren. Um so mehr ist dies von den mittleren Temperaturen der einzelnen Jahre anzunehmen, wie es auch durch die geringen Schwankungen derselben an einer und derselben Beobachtungsstation bestätiget wird. Erhöhungen und Erniedrigungen der Temperatur, welche mehrere Jahrzehente hindurch anhalten, wenn sie überhaupt stattfinden. sollten daher auf allen Punkten der Erde in demselben Sinne sich äussern. Was von der ganzen Erde gilt, muss um so mehr von einem Welttheile gelten. Es sollte daher der seculäre Gang der Temperatur an allen Orten, für welche derselbe berechnet worden ist, ähnlich, d. i. gleichlaufend sein, da sie fast alle in den engen Grenzen Mittel-Europas zerstreut sind. Es sollten ferner die Epochen der Maxima und Minima der mittleren Temperatur nahezu übereinstimmen. Eine solche Übereinstimmung finden wir aber nur bei enger beisammen liegenden Stationen, so dass selbst schon innerhalb der engen Grenzen von Mittel-Europa sich, wie wir gesehen haben, zweierlei Systeme von Curven unterscheiden lassen, wenn gleich in jedem derselben noch Anomalien vorkommen, die es zweifelhaft lassen, ob einzelne Orte dem einen oder anderen Systeme einzuverleiben sei. Das Zusammentreffen eines Minimums in einem Systeme mit einem Maximum in dem anderen, deutet auf eine Compensation der seculären Temperatur-Änderungen, welche sich wahrscheinlich noch entschiedener herausstellen würde, wenn die Beobachtungen der südlichen Stationen einen eben so grossen Zeitraum umfassen würden, wie jene der nördlichen.

Die Orte Zwanenberg, Harlem, London, Greenwich einerseits, andererseits Prag, Regensburg, Wien sind der geographischen Breite nach so wenig verschieden, dass es unerklärlich bliebe, wie sie verschiedenen Systemen angehören können, wenn sie nicht auch durch die geographische Länge so auffallend verschieden wären, indem sie um mehr als 10 Grade westlicher liegen. Dadurch erhalten die Länderzonen der beiden Systeme eine Richtung von SW. nach NO., oder umgekehrt. Dieselbe Richtung der Linie, welche Orte verbindet, die

einen ähnlichen Gang der seculären Temperatur haben, erhält man auch, wann man in jedem Systeme die nördlichen Stationen mit den südlichen vergleicht.

Diese Betrachtungen deuten unmittelbar auf einen Zusammenhang der seculären Temperatur-Änderungen mit den Passatwinden, welche in unseren Breiten die Richtung von SW. nach NO., oder von NO. nach SW. einschlagen und je nachdem sie in einer oder der anderen Richtung wehen, der Witterung eines Ortes den Charakter eines See- oder Continental-Klimas verleihen, dort die Lufttemperatur im Allgemeinen erhöhen, hier deprimiren. Ein solches Nebeneinanderströmen der beiden Passate findet in unseren Breiten, wie die Erfahrung lehrt, nun allerdings Statt. In einer Richtung, welche jene der Passate im Allgemeinen unter einem rechten Winkel schneidet, finden wir gleichzeitig nicht selten auf kurzen Strecken die auffallendsten Contraste der Witterung, wie sie dem Umschlagen der Windrichtung eigenthümlich sind. Wie aber solche Contraste sich Jahr-Decennien hindurch erhalten und die entgegengesetzten Passate gleichsam genöthiget sein können, in unveränderlichen Beeten neben einander zu strömen, ist eine Frage, die sich aus dem bis heute verfügbaren Schatze unserer Kenntnisse kaum lösen lassen dürfte.

So viel kann indess als wahrscheinlich angenommen werden, dass die entgegengesetzten Passate desto beharrlicher neben einander strömen werden, je grösser der Gegensatz zwischen der Lufttemperatur der Polar- und Äquinoctial-Gegenden ist. Sie werden also auch beharrlicher neben einander strömen, wenn die Lufttemperatur der Polarzonen in schnellerer Abnahme, als jene der Äquinoctialzonen begriffen ist. Wenn Fourier's Schluss richtig ist, dass die Temperatur des Weltraumes nicht weniger als - 55°.0. betragen könne, weil die mittlere Temperatur der Erdpole sonst sich nicht auf jener Höhe erhalten könnte, als es in der That der Fall ist, so wird immer, wenn unser Sonnensystem während seiner Bewegung um die centrale Sonne, allmählich kältere oder wärmere Himmelsräume durchwandelt, die Ab- oder Zunahme der Temperatur des Weltraumes sich vorzugsweise durch eine entsprechende Änderung der Polartemperatur unseres Planeten kund geben und das Verhalten der Passate auf die oben angeführte Weise afficiren.

Alle diese Betrachtungen führen zu der Vermuthung, dass die Ursache der seculären Änderung der Lufttemperatur ausserhalb der

Erde zu suchen sei. Man wird sie selbst noch in dem Falle ausserhalb der Erde suchen müssen, wenn die Temperatur des Weltraumes als constant anzunehen wäre, weil die Temperatur des Erdkörpers nach den bisher angestellten Untersuchungen ebenfalls als constant anzunehmen ist, da selbst bei heftigen Revolutionen in seinem Innern ein Einfluss auf die Witterung sich nicht herausgestellt hat.

Da die Lufttemperatur, wie ich vor kurzem nachgewiesen habe 1), in einer analogen eilfjährigen Periode steigt und sinkt, in welcher sich die Sonnenflecken vermehren und vermindern, so ist die Möglichkeit nicht ausgeschlossen, letztere als die Ursachen der seculären Bewegung der Lufttemperatur anzusehen, wenn man nur voraussetzt, dass sie sich mehrere Perioden hindurch vermehren und vermindern, also ebenfalls einer seculären Zu- und Abnahme unterliegen. Die Entscheidung hierüber muss aber der Zukunft vorbehalten bleiben, da eine solche Combination der Beobachtungen, welche diesen Punkt aufzuhellen im Stande wäre, noch nicht vorgenommen worden ist, und die genaueren Sonnenflecken-Beobachtungen selbst noch nicht lange genug fortgesetzt worden sind.

Mittlere Jahrestemperaturen.

TAFEL II.

	eriode : — 1740.	2.	Period	o: 17 4 1—	1750.	8. 1	Periode :	1751-	1760.
	Berlin.		Berlia.	Peters- burg.	Zwanea- berg.		Berlin.	Peters- burg.	Zwaten- berg.
1731	+6:11	1741	+6.64	+2:12.	+7:30.	1751	+7:61	+3:6	+7:32
1732	7.03	1742	6.40	1.88	7.00	1752	9 86.	4.3	8.05
1733	5.37	1743	6.13	1.61.	8.58	1753	9 · 36.	3.8	7.79
1734	7.06	1744	7.09	2.60	7.37	1754	8 · 76.	3.2	7.30
1735	6.79	1745	7.20	2.1	8.20	1755	8.86.	3.3	7:31
1736	6.47	1746	6.12	2.9	6.88	1756	9.90	3.4	7.75
1737	7.07	1747	7.55	3.05.	7.84	1757	8.72	4.0	7 .77
1738	6.74	1748	7.04	2.52.	7.62	1758	7.63	2.7	7.89
1739	6.52	1749	7.72	2.5	7.86	1759	9.05	2.8	8.35
1740	4.40	1750	8.19	2.6	8.04	1760	7 · 36	1.1	8.13

¹⁾ M. s. Denkschriften der mathem.-naturw. Classe, VII. Bd.

		4. P	eriode : 176	1-1770.		
	Berlin.	Kopenhagen.	Kremsmänster.	Mailand.	Petersburg	. Zwanenberg.
1761	+9.71	+7:87.	+6.35.	+10:22	+2:9	+8:32
1762	7 93	6.09	5.68	9.55		7.65
1763	7.60	5.76.	5.40	9.27		7.37
1764	8.95	7.11.	6.31	10.2	2.7	8.28
1765	7.71	5.87.	6.33.	10.2	2.2	8.30
1766	8.59	6.75.	6.09.	9.8	2.9	8.06
1767	7.90	5 · 34	6.16.	10.03	. 2.7	8.13
1768	7.22	5.84	5 · 75	9.69	. 2.8	7.79
1769	7.88	6.09	6.46	9.7	1.7	8.08
1770	7.79	6.17	2.80	10.5	4.1	8.18
		5. P	eriode : 177	1-1780.		
	Berlis.	Genf.	Greenwich.	Kopenhagen.	Kremsminster,	Innsbruck.
1771	+7:33	+7:33	+ 5 94	+5:13	+6:16	+6.74
1772	8 34		6.70	5 · 76	8.11	8.69.
1773	8.44		6.20	6 · 75	6.76	7.34.
1774	7 · 88		6.95	5 · 29	7 · 23	7.81.
1775	8.88		7.99	7.00	7 · 23	7.81.
1776	7.33		7.24	6.20	5 · 94	6.52.
1777	6.98		7.15	5.03.	6.74	8.13
1778	7.08		7.64	5.12.	7.59	8.20
1779	8.91		8.2	6.95.	7.94	8 26
1780	7.71	7.93	7 · 46	5.75.	7.00	7.01
	Mailand,	Petersburg.	Prag.	Regensburg.	Wien.	Zwanenberg.
1771	+1091	+1.0	+6.88	+6.49.	+7.01.	+7:55
1772	11.5	3.6	8.73	8.44.	8.96	8.50
1773	9.2	2.9	7.48.	7.48	7.61.	8.74
1774	10 · 4	2.0	7.95.	6.81	8.08.	8.27
1775	10.2	2.9	8.73	7.56.	8.08.	9.00
1776	10.2	1.9	6.99	6.27.	7.04	8.12
1777	9.8	1.9	7.12	7.00	7.21	7.97
1778	10.2	2.2	8.05	8 · 27	8.18	7.82
1779 1780	10·9 10·8	2·6 1·2	8·50 7·38	8·21 7·47	8·98 8·04	8.59
1780	10.9	1.2	1.30	1.41	8.04	7.56
		6. P	eriode: 178:	1-1790.		
	Berlin.	Genf.	Greenwich.	Innebruck.	Karlsruhe.	Kopenhagen.
1781	+8:09	+8974	+7:90	+7:23	+9:14	+7:29.
1782	7.39	6.85	5.99	6.87	7.21	6.29
1783	8.52	8 · 29	7.10	7.91	8.20	7.51
1784	5.73	7.17	5.82	6.31	6.43	5.55
1785	5.88	6.55	6.44	5 · 61		5.64
 1786 	5.92	7.53	6.13	8.00	- 1	5.55
			77.12	7.37		6.72
1787	7.07	7.89	7.15			
1787 1788	8.35	8.06	7.06	7.64	_	6.00
1787 1788 1789	8·35 5·23	8·06 7·48	7·06 6·53	7·64 7·58	_	6·00 4·43.
1787 1788	8.35	8.06	7.06	7.64	_	6.00

l i	Krems- minster.	Mailand.	Petersbur	r. P	rag.	Rege	ns-	Wien.	Zwanen-
.	Bunster.			-		bur	<u>. </u>		berg.
1781	+7:80	+10.6	+2:1	1 +	8906	+79	18 ·	+8:5	2 +8911
1782	7.24	10.1	1.2		6.90	6.		8.4	
1783	8.00	9.6	2.3		8.31	7.		9.7	
1784	6.09	10.2	2.0		6 · 46	6		7.5	-
1785	5.95	10.1	ő·ŏ		6 · 25	5.		7.0	
1786	6.28	10.3	1.5		5 . 99	6.		7.4	
1787	7.52				7·93	7.		8.1	
		10.4	3.2						-
1788	7.78	10.9	2.4		8.08	1 -	_	8.7	
1789	6.95	10.0	2.4		6.49	6.		7.9	
1790	7.94	9.8	1 • 4		8 · 16	7.1	29	8.4	3 7.14
						İ			
		7.	Periode	: 179:	l — 18	100.			
	Berlia.	Genf.	Greenwich	. Har	lem.	Innabru	ek.	Karleruhe	Kopen- hagen.
	· ·								
1791	+7:95	+8:85	+7:15		.54	+9:3		_	+7.50.
1792	7.33	8.70	7.10		15	8 - 3		_	6.88.
1793	7.37	8.78	7.06		∙08	10.0)6	_	6 92.
1794	8.79	8.67	7.50) 8	•40	6.4	15	_	8 · 34.
1795	6.44	8 · 21	6.75	i 8	.03	6.3	32	_	5.99.
1796	8 · 26	7.87	7.02	: 8	30 ∖	6 - 1	16		7.81.
1797	7.53	8.34	6 . 75	: 8	·40	7.4	19		7.08.
1798	8.74	8.00	7.37		.30	6.7			7.45
1799	5.42	7.47	6.08		.54	8.0		+7:30	
1800	5.85	8.38	7.24		.85	7.		8.5	
1000	5 05	0 00	. 47	'	00		-	0 0	" "
	Krems- münster.	London	. Mad	ras.	Ma	iland.	Ma	nchester.	Peissenberg.
H		+			├──		-		
1791	+8:22	+8:30			+1	10:7	+	-7:17.	+5.60
1792	2.80	8.2		_	1	l0·8		7.02.	5.38
1793	4.89	8.3	- I		1 1	10·6	l	7.17.	5.47.
1794	5.33	8.5			1 1	11.4	l	7.10	6.66
1795	5.74	7.8			1 1	10.0	1	6 · 39	5.66
1796	7 · 22	8.0		1 ! 69		10.6	l	7.41	5.36
1797	7.08	7.7	3 2	2 · 35		10·5	l	7.64	8.06
1798	7.30	8.4		2 · 36		i0·6	l	7.73	5 ⋅30
1799	6.05	7.0		1 . 95	l '	9.6	1	5.59	3.68
1800	6.26.			2.06	4	10.9	İ	6.66	6.29
1.500	3.20.	"	~		Ι΄			3 30	0 20
	Batan-har-	P	Bassa	sburg.		Manari	_	W:	7
1	Petersburg.	+			3181	itgart.		Wien.	Zwanenberg.
1791	+3.3	+9:1		.35		.52 .	+	8:84	+7:31
1792	2.4	7.7		•23	8	.22		8.08	7.39
1793	3.4	8.1		· 22	8	.35		8.26	7.14
1794	3.8	9.1		.33	8	.07		9.53	7.55
1795	2.6	7.6	9 6	97		3.72		7.86	7.02
1796	2.8	8.1		.37		3.20		8.83	7.43
1797	2.8	8.6	- 1	.07		05		9.13	7.58
1798	2.4	9.1		•48		3 · 42		8.98	7.55
1799	1.5	7.8		·43		1.00		7.41	5.79
	1.4	9.2		• 51		3.20			7.10
1800	1.4	1 5.6	•••	OI	, ,	שט כ	1	8.39	1.10

1				s,					
<u> </u>			8. Peri	ode: 180	1-1	810.			
Į.	Berlin	. Ge	af.	Greenwich.	H	ariem.	Ins	obruck.	Karlsruhe.
1801	+7:6	1 +8	:49	+7:55	1 +	8:25	; ₊	8:12	+9:16
1802	7.2		.49	7.10	1 '	7.90		7.82	8.58
1803	7.0		27	7.19		7.10		7.82	7.67
1804	6.2	- -	.57	7.77	1	7.48		8.22	8.38
1805	2.3		12	6.97	ł	6.23		6.43	7.12
1806	7.1		73	8.21	1	8.53		8.33	9.11
1807	7.3		.78	7.24		8.13		7.73	8.59
1808 1809	6.5		·68	7·15 7·10		7·67 7·84		6 · 66 8 · 36	8.07
1810	8.8	-	57	7.10]	7.63	- 1	8·84	8.03
1010	0.2	0		1.41		1.03	'	U 07	0 03
	Kopenhag	en. Krei		London.	М	adras.	M	iland.	Manchester.
1801	+7:50	+69	61 .	+8:47	+2	22:23	3 +	1095	+7:06
1802	6.20		35	8.08		22·62	-	11 · 3	6.84
1803	5.17		29	8.14	1	22 - 41		10.4	6.75
1804	8.71		13	8.76		22.90	- 1	10.7	7.19
1805	4.94		74	7.99		22 · 20		9.4	7.10
1806	6.36		81	9.20		22 · 07		10.1	6.88
1807	6 23		91	8·30 8·21	2	21 · 2(']	10.8	6 · 66
1808 1809	5.73		91	8·26	l	_	1	9·8	6.79
1810	5.68		18	8.66	ļ	_	1 .	10.1	6.84
1010					_				
	Paris.	Peissen- berg.	Peters- burg.	Prag.	Regulation		Stutt- gari,	Wiez.	Beig.
1801	+11:74.	4 11	+2:9				+9:36		
1802	11 16.	5.65	2.57			46	8.60		2 7.44
1803	10.25.	4.85	2.38			.98	7.60		
1804	10.96.	2.30	1.86		1	26	8.64		
1805	9.70.	4.09	0.64	-		.93	6.66		
1806 1807	12·08 10·76	6·24 5·87	3·1 3·1	8·76 9·02	_	·10 ·91	8·31 8·22		-
1808	10.35	4.90	3·1	7.80		31	7 · 21		
1809	10.33	6.09	0.9	7.58		87	8.12		
1810	10.62	6.56	1.0	7.87		.97	7.60		
					L				
		•	. Perio	ide: 1811	l— 1 6	20.			
	Berlin.	Genf.	Green	rich. Har	lem.	inasb	ruck. I	Carloruho	Kopen- hagen
1811	+7:71	+8:89	+79					+9:33	+6:87
1812	6.02	7.10	6.		·60	_	-54	7.48	5.11
1813	6.16	7.48	6.		·13		22	8.01	6.22
1814	5.73	7.34	6.		.09	_	21	7.70	4.88
1815 1816	6.57	8.03	7.	, -	·06	_	.32	8.16	5.93
1817	5·67 7·02	7·09 8·11	6.	1 -	·21 ·19	_	·96 ·20	7·16 8·20	5·19 6·20
1818	7.41	7.96	8.		.56	_	-38	8 • 54	7.00
1819	8.04	8.21	_	1 -	.63		.03	8.85	7.50
1820	5.86	7.63	6.		.17		.22	7.80	5.84
-0.00	-		1	~- •		•			1 52

										-	
	Krems- münster.	London.	¥	adras.	Mai	land.	Mane ster		Paris.		Peissen- berg.
1811	+7:68	+9:19		_	+1	1:3	+79	68	+11!	97	+6.70.
1812	6-19	7.19	ì	_	1	9 · 4	6.	70	9.8	39	4.52.
1813	5 · 89	7.86	ł		l	$9 \cdot 9$		24	10.2	24	4.39
1814	5 · 77	7.19	+2	21:89	1	9 • 4	5.	95	9.8	30	4 · 39
1815	6.28	8.70	1	21·89	1	0.3	6.	30	10.4	19	4.55
1816	5.47	7.73		21·50		8.8		75	9.4	ю	3.66
1817	7.47	8 · 13		1.78		9.7	1 7	33	10.4	-	5.03.
1818	6.62	9.22		81 · 80		0.6		86	11.3		5.57
1819	6.72	9.19		22.02		0.6		55	11.1		R · 20
1820	5.86	7.99] ?	22·00	1	0.3	7.	24	9.8	51	4.38
	<u> </u>						1		ļ		
	Petersburg	. Prag.		Regens	burg.	Stat	igari.		Wien.	Z	wanenberg.
1811	+2:5	+9:2	3	+7:	92	+8	.55	+	9:47		+8.79
1812	1.9	7.4			72		.70		7.70	1	7.02
1813	3.0	7.5		_	97		87		7.44		7.58
1814	2.1	6.4			60		·81		7.47		6.63
1815	2.7	7.8	_	_	09		.42		7.85	ŀ	7.54
1816	2.8	6.8	-	-	50		•46		7.46		6.82
1817	2.8	7.8	-		23	-	· 48		8.54	l	7.77
1818	3,5	8.3	-		52	_	.23	ŀ	9 · 22	1	8.07
1819	3.0	8.3	-		84		.24		8.73	ļ	8.19
1820	2.5	7.4	W	.	58	ď	•94		7.98		6.80
		10.	Pe	riode :	183	1 — 1	830.				
	Berlin.	Genf.	Gre	enwich.	Har	em.	Innsbru	ck.	Karlerah	e.	Kopen- hagen.
1821	+7:29	+8:28	1 +	7:68	+8	!41	+7:8	33	+9:55	;	+6.50
1822	8.16	8.28		8.44		26	7.8		9.98		7.70
1823	6.31	6.50	l	6 79		.62	7.3		8.28	1	6 · 34
1824	7.92	6.66	1	7 · 24	8	.78	7.8	36	9.02	}	7.23
1825	7.78	7.55	1	7.81	8	·98	7.8)1	9 · 04	.	7.15
1826	8.04	7.76		7.95	9	.00	7.7	75	8 · 94		7.41.
1827	7.53	8.07		7 · 33		.35	7.8	- 1	8 · 64		6.75
1828	7.53	8.40		8.04		85	8.0		8.03		6.84
1829	6.38	6.59		6.48		85	6.7		7.19		5.16
1830	6.26	7.25		7.02	'7	. 58	8.8	ا ۵۰	7.97		2.80
	Krema-	London.	-	- 1			Manel	1e-			Peissen-
1	mönster.	Loudon.	j #4	adres.	<u> </u>	land.	ster		Paris.	_	berg.
1821	+5:99	+ 8.79		32:35		0:0	+79		+11:0		+5:43
1822	5 85	10.21		22.85		1.3	8.		12.1		6.37
1823	8.12	8.61		2.05		9.9	7.		10.4		8.07
1824	6.33	8.26		33.18		0.2	7.		11.1		8 . 33
1825	6.92	8.75		3.02		0.5	7.	1	11.0		8.16
1826	6.56	9.14.		3.12	_	0.6	8.	1	11 · 4	_	8.15
1827 1828	6·54 6·78	8·30 9·06		32·67 32·87		0.2	8.		10.8	-	5.07
1829	5.42	7.37		2.78		0·9 9·8	8·		11·4 9·3		5·47 3·99
1839	\$. 66	7.81		2.46		0.0	7.		10.1	_	4.99
1 -200	- ~	. 01	١ 1				• •	~~	TA I	٠ ا	- 00

	Petersburg	Prag.		Regen	burg.	8tu	ttgart.		Wien.	Zwancaber
1821	+391	+7:3	5	+59	57	+7	7:95	4	-7:81	+7:76
1822	4.5	9.2	4	7	47	١ ١	3.70	Ι΄	9.74	8.67
1823	3.0	7.5	6	6	52	7	7·47		7.62	7 · 22
1824	3.0	8.4	9	7	04		3 · 24		8 · 26	8.31
1825	3.2	8.2	_		25	1 .	3 33		8 · 29	8.48
1826	4.9	8.3	_		55		3.30		8 · 20	8.64
1827	3.8	7.7	_		38		7.92		8.23	7.89
1828	2.4	7.6	-		80		3.34		8.02	8.33
1829 1830	1.8	6.3			12 14	1	3 · 34 7 · 23		6·47 7·25	6·31 7·15
1000		1 0.1	~		17		- 20		1 23	, 10
		11.	Pe	riode :	183	1-16	3 40 .			-
	Berlin.	Genf.		Green	wich.	Ha	rlem.	K	arierahe.	Kopenhage
1831	+7910	+8:0	_	, 04	47	-	9:24	<u> </u>	909	+ 6:90
1832	6.99	7.8		+89	59		3:24 3:07	⁺	-8•87 8•29	6.66
1833	7.26	8.1			55		3.38	ı	8.57	6.52
1834	8.84	8.9	_		44		.47		9.59	7.58
1835	7.34	7.4	_		64		3.46		8.03	6.40
1836	7.19	7.5	7	7	15	8	3.08		8.20	5.94
1837	7.01	7.0	-		79		7.76		8 · 02	5.75
1838	6.17	6.6			39		3.74		7.43	4.51
1839	7.48	7.6		-	97		7 · 89		8 · 66	3.21
1840	7.24	7.0	8	7	02	7	7.65		7.58	4 · 45
	Krems- mänster.	Londo	١.	Mad	ras.	Mai	land.	Ma	nebester.	Paris.
1831	+6:34	+9:1	5	+22	90	+1	0:1	+	8:79	+11970
1832	6.36	8.4			04	'-	9.6	'	8.35	10.82
1833	5.75	8.5	2	22	· 63		9.6		8.44	10.94
1834	7.49	9.3			•14	1	0.1		9.22	11.73
1835	2.83	8.2			· 42	l	8.8		8.39	10.83
1836	5 · 84	7.9			· 51		8.2		8.08	10.28
1837	5.87	7.9			·74	}	8.4		7.95	10.03
1838 1839	5·47 6·13	7.5	-		·87 ·87	l	8·1 9·6	1	7·41 8·13	9·16 10·87
1840	5.18	8.0	-		84		9.6		8.08	10.32
	Peissen- 1	<u> </u>			Reg	ens-	a		***	Zwanea
	berg.	Petersburg.		Prag.		rg.	Stattg	er.	Wien.	berg.
1831	+5:39	+2!7		7:54		·67	+89		+8:08	
1832 1833	4·96 5·17	2·6 3·0		7·44 7·52		·73 ·08	7.		7.62	
1834	5.17	2.0		9.09		28	8.		9.88	
1835	4.69	2.7		7·82		. 50.	7.		8.21	
1836	4.97	3.4		7.51		·78·	7.		7.92	
1837	4 . 23	2.9		6.82		·04·	7.		7.07	
1838	4.20	1.8		5.71		·01·	6.	9 0	6 · 45	
1839	5.10	2.2	1	7.37	, -	•91•	7.	1	7.71	
1840	4.38	1.8		6 · 05	6	· 19·	7.	21	7.35	7.1

		12. Pe	riode:	184	1 — 185	D.		
	Berlin.	Geaf.	Green	rich.	Harles	n.	Karlsrahe	Kopenhagen.
1841	+7:40	+7:56	+79	41	+892	4	+8:87	+5.80
1842	6.99	6.60	7.			-		B.75
1843	7.52	7.24	7.		_			B·48
1844	6.37	7.34	7.	41	_			5.44
1845	6.40	7-44	6.				_	5.40
1846	7.89	8.31	8.		_		_	6 · 73 ·
1847	6.84	6.68	7.		_	- 1	_	5 · 68 ·
1848	6.70	7.14	8.		-	- 1	_	2.26.
1849	6.67	7.16	7.		_		-	5.21.
1850	6.83	6.78	7.	44.	_	1	_	5 · 67 ·
	Krems- mänster.	London.	Madr	M.	Mailan	d.	Paris.	Peissenberg.
1841	+6:39	+8.88	+219	61	+ 9	8	+11.55	. +5.59
1842	5.87	9.02	22	26	9.	4	10.90	. 5.09
1843	6.39		21	87	9.		11.08	. 5.23
1844	6.39		22	56	9.		10.23	4.67
1845	5.23	_	22	88	8.	-	9 · 63	1 1
1846	7.66	_	_	-	9.		11.77	
1847	5.67	-	_	- 1	9.		10.78	
1848	6.67		-		9.	-	11.37	
1849	6.15	-	-	•	10.	- 1	11.32	
1850	5.86	_	-	•	9.	1	10 64	4.77
	Petersburg.	Prag	ş.	Rege	asburg.	8	tuttgard.	Wien.
1841	+3:8	+6:	94	+	7:00		+8:52	+7:50
1842	3.3	7.		•	_	l	7.87	7.18
1843	3.8	7.			_	1	8.05	7.82
1844	2.2	7.	26		_	1	7.49	7.86
1845	2.3	6.	39			1	6.77	6.99
1846	3.0	8.					8.84	6.97
1847	3.2	6.			-		7.25	7.01
1848	3.4	7.			_	l	7·78	8.11
1849	2.8	7.	,		_	l	8 · 29.	7.46
1850	2.5	7.	08			l	7.61.	7.46

Zehnjährige Mittel der Temperatur. TAFEL UI.

	1731 bis	1741 bis	1751 bis	1761 bis	1771 bis	1781 bis	1791 bis	1804 bis	1841 bis	1821 bis	1831 bis	1841 bis	Allge- meines
	1740.	1750.	1760.	1770.	1780.	1786.	1886.	1810.	1820.	1830.	1840.	1850.	Mittel.
Berlin	6:36	7:01	8:61	8:13	7.89	7.02	7637		6.62	7:32	7.26	96-9	7:28
Genf	:	:	•	:	7.75	7.69	8.33		7.78	7.53	7.65	7.23	7.75
Greenwich	•	•	•	:	7.31	6.73	7.03	7.37	4.09	7.48	7.37	7.71	7.25
Harlem	:	•	•	•	•	•	8.06		7.97	8.36	8.17	•	8.08
Innsbruck	:	:	•	:	7.68	7.11	7.57		6.91	7.77	•	•	7.47
Karlsruhe	:	:	•	:	•	•	:		8.12	8.79	8.35	•	89 88
Kopenhagen	•	:	•	6.29	5.93	6.22	8.85		8.07	69.9	8.02	6.26	
Kremsmünster	•	•	•	6.43	7.07	7.15	6.40		6.39	6.42	6.03	6.26	
London	:	•	•	:	•	•	80.8		8.27	8.63	8.32	•	8.34
Madras	:	:	•	•	:	:	• 22 · 14		*21.84	22.79	22 · 10	·22.24	_
Mailand	:	:	•	8.83	10.33	10.20	10.57		10.03	10.37	8.6	9-53	
Manchester	•	:	:	:	:				2.08	7.93	8.32	•	
Paris	:	:	•	:	:		•		10.45	10.97	10.10	10.93	
Peissenberg	:	•	•	:	:	•	8.55	8.81	₹ -88	8.20	4.91	8.09	
Petersburg	:	2.39	3.22	29.8	3.22	1.88	2.64		2.68	8.28	2.81		
Prag	:	•	:	:	7.78	7.26	8.50		7.75	7.80	7.20		
Regensburg	· ·	:	•	•	7.40	8.67	7.30		8.10	8.18	8.73		
Stuttgart	:	:	:	•	•	•	8.40		7.37	7.88	7.73	7.88	
Wien	•	:	•	•	7.92	8.20	8.53	8.28	8.19	8.01	7.77		8.04
Zwanenberg	:	7.67	7.77	8.02	8.21	7.01	7.19		7.82	7-88	7.67	•	7.62
,	_	_	_	_	_		_	_	_	_			

Zwanzigjährige Anomalien der Lufttemperatur. Tafel V.

88:0-	+0.48 -0.68	0000 SP00 0000		2000	2000				1190. 1180. 1780. 1000. 1000. 1000.
6		anial or at leriat		+0:02 +1:00 +0:13 +0.18 -0:08	+0:22 +1:06 +0:18 +0:19 -0:26 -	+0:03 +4:00 +0:13 +0:18 -0:68	+1100 +0:73 +0.18 -0:68	+0:03 +1:00 +0:78 +0:18 -0:68	+0:03 +1:00 +0:78 +0:18 -0:68
92.0+	-0.03 +0.26 +0.42	-0.03 +0.28	-0.03 +0.28	-0.03 +0.28	-0.03 +0.28	-0.03 +0.28	-0.03 +0.28	-0.03 +0.28	-0.03 +0.28
_0.280.380.06	-0.38	-0.38	-0.38	-0.38	-0.38	-0.38	-0.38	-0.38	-0.38
-0.18 -0.21	- 2 • • • • • • • • • • • • • • • • • • •	- 2 • • • • • • • • • • • • • • • • • • •	- 2 • • • • • • • • • • • • • • • • • • •	- 2 • • • • • • • • • • • • • • • • • • •	- 2 • • • • • • • • • • • • • • • • • • •	- 2 • • • • • • • • • • • • • • • • • • •	- 2 • • • • • • • • • • • • • • • • • • •	- 2 • • • • • • • • • • • • • • • • • • •	- 2 • • • • • • • • • • • • • • • • • • •
-0.00 -0.13 +0.23 -0.10	-0.43 +0.33	-0.43 +0.33	-0.43 +0.33	-0.43 +0.33	-0.43 +0.33	-0.43 +0.33	-0.43 +0.33	-0.43 +0.33	-0.43 +0.33
-0.18 +0.31 +0.19 -0.23	+0.31 +0.19	-0.18 +0.31 +0.19	-0.18 +0.31 +0.19	-0.18 +0.31 +0.19	-0.18 +0.31 +0.19	-0.18 +0.31 +0.19	-0.18 +0.31 +0.19	-0.18 +0.31 +0.19	-0.18 +0.31 +0.19
+0.66 +0.33 -0.09 -0.10	60.07	60.0-83 -0.08	60.0-83 -0.08	60.0-83 -0.08	60.0-83 -0.08	60.0-83 -0.08	60.0-83 -0.08	60.0	60.0-83 -0.08
0.00 0.00 0.00	01.0-	01.0-	01.0-	01.0-	01.0-	01.0-	01.0-	01.0-	01.0-
-0.03 -0.18 +0.19									
+0.32 +0.33 +0.37 +0.10 +0.15	+0.33 +0.37 +0.10	+0.22 +0.33 +0.37 +0.10	+0.22 +0.33 +0.37 +0.10	+0.22 +0.33 +0.37 +0.10	+0.22 +0.33 +0.37 +0.10	+0.22 +0.33 +0.37 +0.10	+0.22 +0.33 +0.37 +0.10	+0.22 +0.33 +0.37 +0.10	+0.22 +0.33 +0.37 +0.10
	04-0	04-0	04-0	04-0	04-0	04-0	04-0	04-0	04-0
4.0	4.0	4.0	4.0	4.0	4.0	4.0	4.0	4.0	
*1.0-	41.0-	41.014	41.014	41.014	41.014	41.014	41.0-	41.014	71.0
+0.83 +0.87	+0.82 +0.83 +0.87	+0.82 +0.53 +0.54	+0.82 +0.53 +0.54	+0.82 +0.53 +0.54	+0.82 +0.53 +0.54	+0.82 +0.53 +0.54	+0.82 +0.83 +0.87	+0.82 +0.53 +0.54	+0.22 +0.33 +0.35 +0.35 +0.37
+0.53 +0.57	+0.22 +0.33 +0.37 +	+0.22 +0.33 +0.37 +	+0.22 +0.33 +0.37 +	+0.22 +0.33 +0.37 +	+0.22 +0.33 +0.37 +	+0.22 +0.33 +0.37 +	+0.22 +0.33 +0.37 +	+0.22 +0.33 +0.37 +	+0.08 +0.83 +0.87 +
15.60 · · · · · · · · · · · · · · · · · · ·	+0.18 +0.66 +0.83 +0.83 +0.83 +0.83 +0.83	+0.18 +0.66 +0.83	+ 0 · 18 · · · · · · · · · · · · · · · · ·	+ 0 · 18 · · · · · · · · · · · · · · · · ·	+ 0 · 18 · · · · · · · · · · · · · · · · ·	+ 0 · 18 · · · · · · · · · · · · · · · · ·	+0.18 +0.66 +0.83 +0.83 +0.83 +0.83 +0.83	-0.15 -0.18 +0.31 +0.80 +0.66 +0.83 +0.80 +0.68 +0.83 +0.82 +0.83	-0.15 -0.18 +0.31 +0.80 +0.66 +0.83 +0.80 +0.68 +0.83 +0.08 +0.83 -
	-0·18 +0·66 · · · · · · · · · · · · · · · · · ·	-0.18 +0.66 	-0.18 +0.66 	-0.18 +0.66 	-0.18 +0.66 	-0.18 +0.66 	-0·18 +0·66 · · · · · · · · · · · · · · · · · ·	-0.18 -0.18	6r 0.18 - 0.
								- 0.18 - 0.18 - 0.08 - 0.08	or

6.18 6.18 6.18 6.18 6.00 7.77 7.73 7.74 7.75 7.76 7.76

				ZΔ	vanzigjåh	Zwanzigjährige Mittel der Temperatur.	al der Tei	mperatur.				
						TAFEL IV.	, IV.					
	ı		1731	1771	1781	1761	1771	1781	1791	1801	1811	1821
			bis	bis	bis	bis	Þie	pie	bis	Dis.	bis	pie
			1750.	1760.	1770.	1780.	1790.	1800.	1810.	1820.	1830.	1840.
Berlin	:	•	89;9	18:1	8.37	₩.	7:48	7:20	7907	8:70	28:9	7:29
Genf	•	•	:	:	•	•	7.72	8.01	8.17	7.80	7.68	7.59
Greenwich	•	•	:	:	•	•	6.97	6.87	7.19	7.23	7.29	7.42
Harlem		•	:	·	:	:	:	•	7.87	7.8	8.18	8.28
Innsbruck	•	:	•	:	:	•	7.38	7.34	7.70	7.03	7.34	•
Karlsruhe		•	:	:	•	:	:	•	:	8.20	8.48	8.57
Kopenhagen	•	•		:	•	6.11	80.9	6.87	8.45	6.32	6.38	6.36
Kremsmünster	•	•	:	•	•	8.78	7-11	8.78	8.38	6.32	8.40	6.22
London		:	:	:	:	:	:	•	8.24	8.34	8.48	8.47
Madras		:		•	:	:	:	•	22.19	22.04	22.41	22.44
Mailand	•	:	•	:	:	10.13	10.27	10.38	10.42	10.18	10.20	9.81
Manchester .	•	:	. :	:	:	:	•	•	8.92	86.98	7.49	8.13
Paris	•	:		:	•	:	:	•	•	10.64	10.71	10.84
Peissenberg .		:	•	:	:		:	•	5.53	2.30	2.04	80.9
Petersburg	:	•	•	2.81	29.	2.43	30.8	2.28	2.38	8.38	2.97	88
Prag		:	•	:	•	•	7.52	7.88	8.34	7.87	7.77	7.85
Regensburg .	:	:	:	:	:	:	7.03	8.9	7.13	6.83	6.44	8.78
Stuttgart	•	:	•	:	•	:	•	•	8.21	7.70	7.62	1.80
Wien	•	•	:	:	:	•	8.08	8.37	8.40	8.23	8·10	7.89
Zwanenberg .	:	:	:	7.72	2.80	8·11	7.61	7.10	7.33	7.80	7 · 70	7.77

γ •

. .

.

.		•	!
			1
-			
,			·
			i i
			l .

Bemerkungen zu dem folgenden Aufsatze: Proximitäten der Bahnen der Planeten und Kometen.

Von dem w. M. K. v. Littrow.

"Das rege Interesse, welches unser verehrter College, Herr Prof. Grunert, an mathematischen Untersuchungen auf astronomischem Gebiete nimmt, bewog mich, ihm gleich nach Erscheinen meiner Arbeit über die Bahnnähen der periodischen Gestirne des Sonnensystems im heurigen Jännerhefte dieser Sitzungsberichte einen Sonderabdruck mit der Bitte zuzusenden, dem Gegenstande, wenn er die nothige Musse dazu fände, nähere Aufmerksamkeit zu widmen. Ich selbst fuhr indessen fort mich gelegentlich mit der weiteren Lösung jenes Problems zu beschäftigen, von der ich in dem genannten Aufsatze eben nur die ersten Ergebnisse mitgetheilt hatte. Mein Streben ging dahin, den dort (p. 68) bereits angezeigten Weg für eine genauere Bestimmung der kürzesten Distanz zwischen zwei gegebenen Bahnen mit möglichster Benützung aller vorbereitenden a. a. O. auseinander gesetzten Näherungen umständlicher auszuführen. Ich glaube jetzt die bequemsten Mittel, welche zu diesem Ziele führen, zu kennen, und behalte mir vor, das Detail der Untersuchung der Classe vorzulegen, sobald einige daran geknüpfte Rechnungen beendigt sein werden. Heute genüge die Mittheilung, dass diese Methode, welche meine Arbeit im allgemeinen zum Schlusse bringt, darin besteht, in der bereits nahezu bekannten Gegend der Bahnnähe auf einer der beiden Curven in verschiedenen, einander benachbarten Anomalien, Normalebenen zu errichten, und die Distanzen zu suchen, welche zwischen den Durchschnittspunkten dieser Ebenen mit beiden Carven stattfinden. Die Beschaffenheit solcher Distanzen. ihre Homogeneität mit dem gesuchten kürzesten Abstande lässt die Anwendung des bekannten Satzes zu, dass sich Functionen in der Nähe eines grössten oder kleinsten Werthes im quadratischen Verhältnisse ihrer Stammgrössen ändern, und befähigt so mit geringer Mübe diejenige Anomalie der einen Bahn, für welche die Entfernung von der anderen ein Minimum ist, so wie dieses Minimum selbst zu finden. Ich theilte nun vor kurzem Herrn Prof. Grunert mit, dass ich mit der Lösung der Aufgabe völlig zu Stande gekommen zu sein glaube. Als Antwort auf diese Anzeige erhielt ich unmittelbar die

vorliegende Bearbeitung des Problems, welche der Verfasser eben vollendet hatte und mir zuzuschicken ohnehin im Begriffe war. Ich glaube dieser Umstände erwähnen zu müssen, um von vornherein die völlige Selbstständigkeit unserer beiderseitigen Arbeiten ausser Zweifel zu setzen, wenn dieselbe gleich jedem aufmerksamen Leser der betreffenden Aufsätze von selbst erhellen wird, wie dens in der That Herr Prof. Grun ert hauptsächlich den theoretischen Gesichtspunkt festgehalten hat, während ich die Sache vorzugsweise praktisch aufzufassen mich bemühte."

Über die Proximitäten der Bahnen der Planeten und Kometen.

Von dem c. M. J. A. Grunert.

(Vorgelegt von dem w. M., Herrn Director v. Littrow.)

Einleitung.

Unter einer Proximität der Bahnen zweier Planeten, zweier Kometen, oder eines Planeten und eines Kometen, wollen wir ein Paar von Punkten dieser beiden Bahnen, von denen natürlich der eine Punkt in der einen, der andere Punkt in der anderen Bahn liegt, verstehen, deren Entfernung von einander, im Sinne der Lehre von den Maximis und Minimis in der Differentialrechnung, ein Minimum ist, und die Eutfernung dieser beiden Punkte von einander selbst wollen wir die Grösse der Proximität nennen. Solcher Proximitäten kann es für jede zwei Bahnen mehrere geben, ebenso wie es in der Differentialrechnung mehrere Maxima oder Minima, auch Maxima und Minima zugleich, geben kann. Ist man aber im Besitz allgemeiner analytischer Methoden, durch welche sich alle möglichen Proximitäten zweier Bahnen in allen Fällen bestimmen lassen, so ist es. indem man die Grössen aller dieser Proximitäten mittelst bekannter Formeln der analytischen Geometrie des Raumes berechnet und dann mit einander vergleicht, natürlich auch leicht, unter diesen Proximitäten diejenige herauszufinden, welche, nach dem obigen allgemeinen Begriffe der Grösse der Proximität, die kleinste Grösse hat.

In einer ausgezeichneten Abhandlung über die "Bahnnähen zwischen den periodischen Gestirnen des Sonnensystems", die man in den Sitzungsberichten der mathematisch-naturwissenschaftlichen Classe der kaiser-

lichen Akademie der Wissenschaften, 1854, Jännerheft (Bd. XII, S. 44) findet, sagt Herr v. Littrow: "Die Frage, ob irgend Planeten oder Kometen sich einander in solchem Maasse nähern können, dass aussergewöhnliche wechselweise Wirkungen entstehen müssten, hat sehr an Interesse gewonnen, seit die Chancen für ihre Bejahung mit der raschen Zunahme der Bevölkerung dieses Systems durch entschieden bleibende Bewohner so sehr gestiegen sind. Daher kommt es denn auch, dass Versuche, klare und umfassende Anschauungen dieser Verhältnisse zu gewinnen, in unseren Tagen immer häufiger werden, während ähnliche Arbeiten in früheren Zeiten selten oder nur durch besondere Veranlassungen entstanden. Ein specieller Fall der Aufgabe, die uns hier beschäftigen wird, lenkte schon früh die Aufmerksamkeit der Astronomen auf sich und verbreitete sogar von Zeit zu Zeit in weiteren Kreisen eine gewisse Ängstlichkeit; die Möglichkeit des Zusammentreffens von Kometen mit der Erde trat mit allen ihren eingebildeten Schrecknissen an die Stelle der abergläubischen Befürchtungen, mit denen man früher diese Himmelskörper betrachtete, sobald man erkannt hatte, dass sie zwar gesetzmässig, aber nach allen Richtungen um die Sonne kreisen, und das ganze den Planeten angewiesene Gebiet durchkreuzen."

Soviel mir bekannt geworden ist, haben sich in neuester Zeit mit dem in Rede stehenden Gegenstande zunächst die Herren Gould, d'Arrest und Jahn beschäftigt. Aber alle diese Astronomen suchten in übereinstimmender Weise die kürzeste Distanz zweier Bahnen in deren gegenseitiger Knotenlinie. Dadurch wird freilich die mathematische Behandlung des Problems äusserst einfach und leicht; aber eben so gewiss ist es, dass die Ansicht, welche dieser Auffassung der Aufgabe zu Grunde liegt, von dem geometrischen Standpunkte aus, auf den es doch hierbei zunächst nur allein ankommen kann, als eine ganz verfehlte bezeichnet werden muss, als eine Ansicht, die auf einer strengen mathematischen Basis zu fussen gar nicht im Stande ist, und eine innere Berechtigung dazu gar nicht besitzt, sondern. insofern es sich um die wirklichen Proximitäten zweier Bahnen handelt, blos auf einer ganz vagen Anschauungsweise beruht. Herrn v. Littrow gebührt unstreitig das Verdienst, in der oben angeführten Abhandlung das Problem zuerst aus dem allein richtigen geometrischen Gesichtspunkte aufgefasst zu haben. Indess kam es Herrn v. Littrow zunächst weniger auf die theoretische Seite der Aufgabe

- wenn gleich er dieselbe keineswegs ganz unberücksichtigt gelassen und auch in dieser Beziehung schon Wesentliches geleistet hat, - als vielmehr auf deren praktische Seite an, nämlich auf die in unserem Sonnensysteme sich wirklich findenden Proximitäten. Desshalb zog er es für jetzt in sehr sinnreicher Weise vor, die Aufgabe von dem in Rede stehenden praktischen Standpunkte aus mit Hülfe eines von Herrn Gustav Starke, der sich zur Zeit auf der Wiener Sternwarte erfolgreichen astronomischen Studien widmete, mit ungemeiner Genauigkeit und Sauberkeit angefertigten Modells aller hier zur Betrachtung kommenden Planeten- und Kometen-Bahnen, dessen nähere Beschreibung man a. a. O. mit grossem Vergnügen lesen wird, und daran angeknüpfter graphischer Methoden zu lösen. und zwar in so ausgezeichneter und vollständiger Weise, dass in dieser Beziehung wenig mehr zu thun übrig zu sein scheint. Dagegen dürfte die rein mathematische Behandlung der Aufgabe noch manche interessante und bemerkenswerthe Gesichtspunkte darbieten. Von diesem rein geometrischen Standpunkte aus habe ich die Aufgabe von den Proximitäten der Bahnen der Planeten und Kometen in der vorliegenden Abhandlung zu behandeln gesucht, wobei sich freilich gezeigt hat, dass man fast in allen Fällen auf Gleichungen höherer Grade geführt wird, deren Auflösung die Kräfte der jetzigen Algebra, insofern man sich nicht auf blosse Näherungsmethoden beschränken will, übersteigt. Geleitet von der Ansicht, dass die vollständige Entwickelung dieser höheren Gleichungen einen wesentlichen Nutzen nicht gewähren würde, habe ich vielmehr die Auflösung der verschiedenen Aufgaben so weit zu führen gesucht, dass dieselben blos mittelst Gleichungen des ersten und des zweiten Grades auf dem Wege der successiven Näherungen ausgeführt werden kann, wobei ich es mir zugleich habe angelegen sein lassen, die betreffenden Auflösungen so anzuordnen, dass die zu bestimmende unbekannte Grösse bei dem Anfange der successiven Näherung zwischen so engen Grenzen eingeschlossen wurde, als die Natur der Aufgabe irgend gestattete. Wenn ich auch gern zuzugeben geneigt bin, dass sich noch manche Abkürzungen und Vereinfachungen der von mir gegebenen Auflösungen werden auffinden lassen: so hoffe ich doch auf der anderen Seite. dass man mir das Zeugniss nicht versagen wird, nach möglichster Einfachheit und Leichtigkeit wenigstens eifrig gestrebt, und die Grundlagen festgestellt zu haben, von denen man bei allen weiteren Forschungen über diesen wichtigen und interessanten Gegenstand nothwendig ausgehen müssen wird. Habe ich auch vorzugsweise die geometrische Seite des Problems im Auge gehabt, so habe ich doch zugleich die Darstellung so einzurichten gesucht, dass eine unmittelbare Anwendung der entwickelten Formeln und Gleichungen in der Astronomie möglich ist; und um diese Anwendung noch mehr zu fördern und zu erleichtern, habe ich in einigen der Abhandlung am Ende beigefügten Anmerkungen die astronomische Bedeutung der gebrauchten Symbole, nachgewiesen und an Beispielen erläutert.

I. Entwickelung der allgemeinen Grundformeln.

Wir wollen, um eine sichere Basis für das Folgende zu gewinnen und von möglichst einfachen Principien auszugehen, zuerst die Proximitaten zweier beliebigen geraden Linien im Raume auf analytischem Wege bestimmen, welche Betrachtung uns unmittelbar zu dem richtigen Gesichtspunkte, aus welchem wir unser Problem im Allgemeinen zu betrachten, und dann auch leicht zu den allgemeinen Formeln oder Gleichungen, aus denen wir dessen Auflösung in allen Fällen abzuleiten haben, führen wird.

Die Gleichungen der beiden gegebenen geraden Linien im Raume in einer bekannten besonders eleganten Form seien:

(1)
$$\begin{cases} \frac{x-a}{\cos \alpha} = \frac{y-b}{\cos \beta} = \frac{z-c}{\cos \gamma}, \\ \frac{x-a_1}{\cos \alpha_1} = \frac{y-b_1}{\cos \beta_1} = \frac{z-c_1}{\cos \gamma_1}; \end{cases}$$

immer unter Voraussetzung rechtwinkeliger Coordinaten. (r, p, 3) und (r, , p, , 31) die beiden Punkte dieser geraden Linien, deren Entfernung $oldsymbol{E}$ von einander ein Minimum werden soll, so haben wir zur Bestimmung der Coordinaten r, p, z und r, p, z dieser beiden Punkte nach (1) zuvörderst die vier folgenden Gleichungen:

(2)
$$\begin{cases} \frac{x-a}{\cos \alpha} = \frac{y-b}{\cos \beta} = \frac{b-c}{\cos \gamma}, \\ \frac{x_1-a_1}{\cos \alpha_1} = \frac{y_1-b_1}{\cos \beta_1} = \frac{b_1-c_1}{\cos \gamma_1}; \\ \text{zu denen wegen der Bedingungen der Aufgabe noch die Gleichung} \end{cases}$$

(3)
$$E = \sqrt{(x-x_1)^2 + (y-y_1)^2 + (y-y_1)^2} = \text{Minimum,}$$
oder, was dasselbe ist, die Gleichung

(4)
$$E^2 = (x-x_1)^2 + (y-y_1)^2 + (\delta-\delta_1)^2 = \text{Minimum tritt.}$$

Da wir uns vermöge der Gleichungen (2) die Coordinaten \mathfrak{p}_1 , \mathfrak{z}_1 durch \mathfrak{x}_1 ausgedrückt denken können, so ist E oder E^2 als eine Function der beiden von einander unabhängigen veränderlichen Grössen \mathfrak{x} und \mathfrak{x}_1 zu betrachten, und man kann dann in dieser Beziehung die aus der Differentialrechnung bekannten Bedingungen des Minimums anwenden. Zu dem Ende müssen wir zuerst die, natürlich partiellen, Differentialquotienten

$$\frac{dE}{dr}$$
 und $\frac{dE}{dr}$

entwickeln. Aus der Gleichung

$$E^2 = (r-r_1)^2 + (p-p_1)^2 + (p-p_1)^2$$

folgt aber durch partielle. Differentiation nach r und r_1 , wobei man zu beachten hat, dass y und z nur von z, y_1 und z nur von z abhängen

$$E \frac{dE}{dr} = (r-r_1) + (y-y_1) \frac{dy}{dr} + (y-y_1) \frac{dy}{dr},$$

$$E \frac{dE}{dr_1} = -(r-r_1) - (y-y_1) \frac{dy_1}{dr_1} - (y-y_1) \frac{dy_1}{dr_2}.$$

Weil nun nach den bekannten Bedingungen des Maximums und Minimums

$$\frac{dE}{dr}=0, \quad \frac{dE}{dr_1}=0$$

sein muss, so liefert das Vorhergehende unmittelbar die beiden Gleichungen:

$$r^{1}-r + (y-y_{1}) \frac{dy}{dr} + (y-y_{1}) \frac{dy}{dr} = 0,$$

$$r-r_{1} + (y-y_{1}) \frac{dy_{1}}{dr_{1}} + (y-y_{1}) \frac{dy_{1}}{dr_{1}} = 0.$$

Wegen der Gleichungen (2) ist aber:

$$\frac{dy}{dr} = \frac{\cos \beta}{\cos \alpha}, \quad \frac{d_{\delta}}{dr} = \frac{\cos \gamma}{\cos \alpha};$$

$$\frac{dy_1}{dr_1} = \frac{\cos \beta_1}{\cos \alpha_1}, \quad \frac{d_{\delta_1}}{dr_1} = \frac{\cos \gamma_1}{\cos \alpha_1};$$

also nach dem Vorhergehenden:

(5)
$$\begin{cases} (\mathbf{r}-\mathbf{r}_1)\cos\alpha + (\mathbf{p}-\mathbf{p}_1)\cos\beta + (\mathbf{p}-\mathbf{p}_1)\cos\gamma = 0, \\ (\mathbf{r}-\mathbf{r}_1)\cos\alpha_1 + (\mathbf{p}-\mathbf{p}_1)\cos\beta_1 + (\mathbf{p}-\mathbf{p}_1)\cos\gamma_1 = 0. \\ \text{Die sechs Gleichungen (2) und (5), nämlich die Gleichungen:} \end{cases}$$

(6)
$$\begin{cases} \frac{r-a}{\cos \alpha} = \frac{y-b}{\cos \beta} = \frac{y-c}{\cos \gamma}, \\ \frac{r_1-a_1}{\cos \alpha_1} = \frac{y_1-b_1}{\cos \beta_1} = \frac{y_1-c_1}{\cos \gamma_1}, \end{cases}$$

(6)
$$\begin{cases} (\mathbf{r}-\mathbf{r}_1)\cos\alpha + (\mathbf{r}-\mathbf{r}_1)\cos\beta + (\mathbf{r}-\mathbf{r}_1)\cos\gamma = 0, \\ (\mathbf{r}-\mathbf{r}_1)\cos\alpha_1 + (\mathbf{r}-\mathbf{r}_1)\cos\beta_1 + (\mathbf{r}-\mathbf{r}_1)\cos\gamma_1 = 0; \\ \text{sind zur vollständigen Bestimmung der sechs gesuchten Coordinaten } \mathbf{r}, \mathbf{$$

Um über Letzteres zu entscheiden, d. h. um zu entscheiden, ob die Entfernung der beiden Punkte $(x, y, \frac{1}{2})$ und $(x_1, y_1, \frac{1}{2})$, deren Coordinaten durch die Gleichungen (6) bestimmt werden, von einander wirklich ein Minimum ist, müssen wir mit Rücksicht auf die Gleichungen

$$\frac{dE}{dr} = 0 , \frac{dE}{dr} = 0$$

noch die zweiten Differentialquotienten

$$\frac{d^3E}{dx^3}$$
, $\frac{d^3E}{dx_1^3}$, $\frac{d^3E}{dx\,dx_1}$

entwickeln. Aus den aus dem Vorhergehenden bekannten Gleichungen

$$E \frac{dE}{dr} = (r-r_1) + (v-v_1) \frac{dv}{dr} + (v-v_1) \frac{dv}{dr},$$

$$E \frac{dE}{dr_1} = -(r-r_1) - (v-v_1) \frac{dv_1}{dr_2} - (v-v_1) \frac{dv_1}{dr_2}$$

folgt aber durch fernere Differentiation:

also, weil nach dem Obigen offenbar

$$\frac{d^2y}{dr^2} = 0 , \frac{d^3b}{dr^2} = 0 ; \frac{d^3y_1}{dr_1^2} = 0 , \frac{d^3b_1}{dr_1^2} = 0$$

ist, zugleich mit Rücksicht darauf, dass

$$\frac{dE}{dr}=0, \ \frac{dE}{dr}=0$$

44

Grunert.

ist:

$$E \frac{d^{2}E}{dx^{3}} = 1 + \left(\frac{dy}{dx}\right)^{2} + \left(\frac{d_{\delta}}{dx}\right)^{2},$$

$$E \frac{d^{3}E}{dx_{1}^{2}} = 1 + \left(\frac{dy_{1}}{dx_{1}}\right)^{2} + \left(\frac{db_{1}}{dx_{1}}\right)^{2};$$

woraus man sieht, dass die zweiten Differentialquotienten

$$\frac{d^2E}{dr^2} \quad \text{und} \quad \frac{d^2E}{dr_1^2}$$

beide positiv sind, wie es zu einem Minimum bekanntlich erforderlich ist.

Differentiirt man ferner die Gleichung

$$E\frac{dE}{dr}=(r-r_1)+(v-v_1)\frac{dv}{dr}+(v-v_1)\frac{dv}{dr}$$

nach r₁, so erhält man

$$\frac{dE}{dr} \cdot \frac{dE}{dr_1} + E \frac{d^2E}{dr dr_1}$$

$$= -1 - \frac{dy}{dr} \cdot \frac{dy_1}{dr_1} - \frac{d\delta}{dr} \cdot \frac{d\delta_1}{dr_1} + (y - y_1) \frac{d^2y}{dr dr_1} + (\delta - \delta_1) \frac{d^3\delta}{dr dr_1},$$

also, weil nach dem Obigen offenbar

$$\frac{d^2y}{dr\,dr_1} = 0 \; , \; \; \frac{d^2y}{dr\,dr_1} = 0$$

ist, indem man zugleich wieder die Gleichungen

$$\frac{dE}{dr}=0, \quad \frac{dE}{dr}=0$$

berücksichtigt.

$$E \frac{d^3E}{dr dr_1} = -1 - \frac{d\eta}{dr} \cdot \frac{d\eta_1}{dr_1} - \frac{d\delta}{dr} \cdot \frac{d\delta_1}{dr_1}.$$

Nun ist aber bekanntlich

$$\frac{d\eta}{dr} = \frac{\cos \beta}{\cos \alpha}, \quad \frac{d\delta}{dr} = \frac{\cos \gamma}{\cos \alpha};$$

$$\frac{d\eta_1}{dr_1} = \frac{\cos \beta_1}{\cos \alpha_1}, \quad \frac{d\delta_1}{dr_1} = \frac{\cos \gamma_1}{\cos \alpha_1};$$

also

$$1 + \left(\frac{dy}{dr}\right)^{3} + \left(\frac{d_{\delta}}{dr}\right)^{3} = \frac{\cos \alpha^{3} + \cos \beta^{3} + \cos \gamma^{3}}{\cos \alpha^{3}} = \frac{1}{\cos \alpha^{2}},$$

$$1 + \left(\frac{dy_{1}}{dr_{1}}\right)^{2} + \left(\frac{d_{\delta 1}}{dr_{1}}\right)^{3} = \frac{\cos \alpha_{1}^{2} + \cos \beta_{1}^{3} + \cos \gamma_{1}^{3}}{\cos \alpha_{1}^{3}} = \frac{1}{\cos \alpha_{1}^{3}},$$

$$1 + \frac{dy}{dr} \cdot \frac{dy_{1}}{dr_{1}} + \frac{d_{\delta}}{dr} \cdot \frac{d_{\delta 1}}{dr_{1}} = \frac{\cos \alpha \cos \alpha_{1} + \cos \beta \cos \beta_{1} + \cos \gamma \cos \gamma_{1}}{\cos \alpha \cos \alpha_{1}},$$

Folglich ist nach dem Obigen:

$$E \frac{d^3E}{dr^3} = \frac{1}{\cos \alpha^3}, \quad E \frac{d^3E}{dr_1^3} = \frac{1}{\cos \alpha_1^3};$$

$$E \frac{d^3E}{dr dr_1} = -\frac{\cos \alpha \cos \alpha_1 + \cos \beta \cos \beta_1 + \cos \gamma \cos \gamma_1}{\cos \alpha \cos \alpha_1};$$

und daher:

$$E^{2}\left\{\left(\frac{d^{2}E}{dr\,dr_{1}}\right)^{2}-\frac{d^{2}E}{dr^{2}}\cdot\frac{d^{2}E}{dr_{1}^{2}}\right\}$$

$$=\frac{(\cos\alpha\,\cos\alpha_{1}+\cos\beta\,\cos\beta_{1}+\cos\gamma\,\cos\gamma_{1})^{2}-1}{\cos\alpha^{2}\,\cos\alpha_{1}^{2}}$$

Nun ist aber, wenn wir einen jeden der zwei von den beiden gegebenen geraden Linien eingeschlossenen, 180° nicht übersteigenden Winkel durch Θ bezeichnen, bekanntlich:

 $\cos \Theta = \pm (\cos \alpha \cos \alpha_1 + \cos \beta \cos \beta_1 + \cos \gamma \cos \gamma_1),$ also nach dem Obigen:

$$E^{2}\left\{\left(\frac{d^{2}E}{dr\,dr_{1}}\right)^{2}-\frac{d^{2}E}{dr^{2}}\cdot\frac{d^{2}E}{dr_{1}^{2}}\right\}=\frac{\cos\theta^{2}-1}{\cos\alpha^{2}\cos\alpha_{1}^{2}}=-\frac{\sin\theta^{2}}{\cos\alpha^{2}\cos\alpha_{1}^{2}},$$
 folglich offenbar

$$\left(\frac{d^2E}{dr\,dr}\right)^2 = \frac{d^2E}{dr^2} \cdot \frac{d^2E}{dr^2}$$

eine negative Grösse, wie es bekanntlich das Minimum erfordert.

Hiernach sind also alle Bedingungen des Minimums vollständig erfüllt, und es findet daher wirklich ein Minimum, aber auch nur ein es, Statt.

Hat man die Coordinaten x, y, z und x₁, y₁, z₁, mittelst der Gleichungen (6) bestimmt, so findet man deren kürzeste Entfernung E selbst mittelst der Formel

(7)
$$E = V(x-x_1)^2 + (y-y_1)^2 + (y-y_1)^2,$$

und man kann also jetzt im vorliegenden Falle nicht blos die Lage der beiden, der einen Proximität, die es gibt, entsprechenden Punkte der zwei gegebenen geraden Linien, sondern auch die Grösse dieser Proximität bestimmen.

Wir wollen jetzt die gerade Linie, welche auf den beiden durch die Gleichungen

(8)
$$\begin{cases} \frac{x-a}{\cos \alpha} = \frac{y-b}{\cos \beta} = \frac{z-c}{\cos \gamma}, \\ \frac{x-a_1}{\cos \alpha_1} = \frac{y-b_1}{\cos \beta_1} = \frac{z-c_1}{\cos \gamma_1} \end{cases}$$

46 Grunert.

gegebenen geraden Linien zugleich senkrecht steht, bestimmen. Sind u, v, w und u_1 , v_1 , w_1 die Coordinaten der Punkte, in denen die beiden gegebenen geraden Linien von der gesuchten geraden Linie geschnitten werden, so haben wir zu deren Bestimmung zuvörderst die vier folgenden Gleichungen:

$$\frac{\mathbf{z}-\mathbf{a}}{\cos \mathbf{a}} = \frac{\mathbf{v}-\mathbf{b}}{\cos \beta} = \frac{\mathbf{w}-\mathbf{c}}{\cos \gamma},$$

$$\frac{\mathbf{u}_1-\mathbf{a}_1}{\cos \mathbf{a}_1} = \frac{\mathbf{v}_1-\mathbf{b}_1}{\cos \beta_1} = \frac{\mathbf{w}_1-\mathbf{c}_1}{\cos \gamma_1}.$$

$$\mathbf{z}-\mathbf{u} \qquad \mathbf{y}-\mathbf{v} \qquad \mathbf{z}-\mathbf{w}$$

Weil ferner

 $\frac{x-u}{u-u_1} = \frac{y-v}{v-v_1} = \frac{x-w}{w-w_1}$,

oder

$$\frac{x-u_1}{u-u_1} = \frac{y-v_1}{v-v_1} = \frac{z-w_1}{w-w_1}$$

die Gleichungen der gesuchten, durch die Punkte (u, v, w) und (u_1, v_1, w_1) gehenden geraden Linie, die auf den beiden gegebenen geraden Linien senkrecht stehen soll, sind; so liefern uns die Lehren der analytischen Geometrie die beiden folgenden Bedingungsgleichungen:

$$1 + \frac{v - v_1}{u - u_1} \cdot \frac{\cos \beta}{\cos \alpha} + \frac{w - w_1}{u - u_1} \cdot \frac{\cos \gamma}{\cos \alpha} = 0.$$

$$1 + \frac{v - v_1}{u - u_1} \cdot \frac{\cos \beta_1}{\cos \alpha_1} + \frac{w - w_1}{u - u_1} \cdot \frac{\cos \gamma_1}{\cos \alpha_1} = 0$$

oder

 $(u-u_1)\cos\alpha+(v-v_1)\cos\beta+(w-w_1)\cos\gamma=0,$ $(u-u_1)\cos\alpha_1+(v-v_1)\cos\beta_1+(w-w_1)\cos\gamma_1=0,$ und zur Bestimmung von u, v, w und u_1 , v_1 , w_1 haben wir daher die sechs folgenden Gleichungen:

(9)
$$\begin{cases} \frac{u-a}{\cos a} = \frac{v-b}{\cos \beta} = \frac{w-c}{\cos \gamma}, \\ \frac{u_1-a_1}{\cos a_1} = \frac{v_1-b_1}{\cos \beta_1} = \frac{w_1-c_1}{\cos \gamma_1}, \\ (u-u_1)\cos \alpha + (v-v_1)\cos \beta + (w-w_1)\cos \gamma = 0, \\ (u-u_1)\cos \alpha_1 + (v-v_1)\cos \beta_1 + (w-w_1)\cos \gamma_1 = 0. \end{cases}$$

Vergleicht man diese Gleichungen mit den Gleichungen (6), so ist klar, dass

$$u = r$$
, $v = y$, $w = i$;
 $u_1 = r_1$, $v_2 = y_1$, $w_3 = i_1$

ist. Also steht die kürzeste Entfernung zweier geräden Linien auf diesen bei den geräden Linien senkrecht 1), und um die kürzeste Entfernung zweier geräden Linien zu finden, wird man also die Lage der auf diesen bei den geräden Linien senkrecht stehenden geräden Linie zu ermitteln, und die Coordinaten der Durchschnittspunkte dieser geräden Linie mit den beiden gegebenen geräden Linien zu suchen haben.

Zu der Aufgabe, welche uns in dieser Abhandlung beschäftigen wird, steht nun das Vorhergehende in der folgenden sehr engen Beziehung. Weil die Richtung jeder Curve in der unmittelbarsten Nähe eines beliebigen ihrer Punkte durch ihre Berührende in diesem Punkte dargestellt wird, so ist aus dem Vorhergehenden unmittelbar klar. dass, um die Punkte zweier beliebigen Curven im Raume zu ermitteln, deren Entfernungen von einander Minima darbieten, d. h. um die Proximitaten zweier Curven im Raume zu finden, man die auf diesen beiden Curven zugleich senkrecht stehenden geraden Linien und deren Durchschnittspunkte mit den beiden Curven zu bestimmen suchen Da es solcher auf den beiden Curven zugleich senkrecht stehender gerader Linien in gewissen Fällen mehrere geben kann, so kann es in gewissen Fällen auch mehrere Paare von Punkten der beiden Curven geben, deren Entfernungen von einander, natürlich im Sinne der Lehre von den Maximis und Minimis in der Differentialrechnung, Minima darbieten, d. h. es kann in gewissen Fällen mehrere Proximitäten der beiden Curven geben. Das kleinste unter diesen Minimis, ein sogenanntes Minimum Minimorum, wird dann das Paar zusammengehörender Punkte der beiden gegebenen Curven bestimmen, deren Entfernung von einander wirklich die allerkleinste ist. Diesen Gesichtspunkt werden wir im Folgenden bei der Ermittelung der Proximitäten der Bahnen der Planeten und Kometen stets festhalten.

Das Bisberige setzt uns nun auch unmittelbar in den Stand, mit Leichtigkeit die allgemeinen Formeln oder Gleichungen aufzustellen, auf welche wir bei der Ermittelung der Proximitäten zweier

Dass man dies auch leicht elementar-geometrisch beweisen kann, ist bekannt; die Vorzöge der allgemeinen analytischen Darstellung liegen aber hauptsächlich derin, dass durch dieselbe der bestimmte Nachweis geführt wird, dass es nur ein Minimum, auch kein Maximum gibt.

48 Grunert

beliebigen Curven im Raume immer werden zurückkommen müssen. Sind nämlich

$$(10) v = f(u), w = F(u)$$

die Gleichungen einer beliebigen Curve im Raume, so ist für x, y, z als veränderliche Coordinaten nach den Lehren der höheren Geometrie

(11)
$$x - u + (y - v) \frac{dv}{du} + (z - w) \frac{dw}{du} = 0$$

die Gleichung der Normalebene dieser Curve in dem Punkte (uvw); und sind ferner

(10*)
$$v = f_1(u), w = F_1(u)$$

die Gleichungen einer zweiten Curve im Raume, so ist ebenso, wenn für Punkte dieser zweiten Curve die Coordinaten durch u_1 , v_1 , w_2 bezeichnet werden,

(11*)
$$x-u_1+(y-v_1)\frac{dv_1}{du_1}+(z-w_1)\frac{dw_1}{du_1}=0$$

die Gleichung der Normalebene dieser zweiten Curve in dem Punkte $(u_1 \ v_1 \ w_1)$. Soll nun die durch die Punkte $(u \ v \ w)$ und $(u_1 \ v_1 \ w_1)$ der Lage nach bestimmte gerade Linie, deren Gleichungen

(12)
$$\frac{x-u}{\cos \varphi} = \frac{y-v}{\cos \psi} = \frac{s-w}{\cos y}$$

oder

(12*)
$$\frac{x-u_1}{\cos \varphi} = \frac{y-v_1}{\cos \psi} = \frac{s-w_1}{\cos \chi}$$

sein mögen, auf den beiden gegebenen Curven zugleich senkrecht stehen, so muss diese gerade Linie in den beiden Normalebenen unserer Curven in den Punkten $(u\ v\ w)$ und $(u_1\ v_1\ w_1)$ zugleich liegen, was nach dem Obigen die beiden Gleichungen

(13)
$$\begin{cases} \cos \varphi + \frac{dv}{du} \cos \psi + \frac{dw}{du} \cos \chi = 0, \\ \cos \varphi + \frac{dv_1}{du_1} \cos \psi + \frac{dw_1}{du_1} \cos \chi = 0 \end{cases}$$

gibt. Ausserdem ergeben sich aus (12) oder (12*) die beiden Gleichungen

(14)
$$\frac{u-u_1}{\cos\varphi} = \frac{v-v_1}{\cos\psi} = \frac{v-w_1}{\cos\chi}.$$

so dass man also jetzt überhaupt die folgenden neun Gleichungen hat:

$$\begin{cases} v = f(u), w = F(u); \\ v_1 = f_1(u_1), w_1 = F_1(u_1); \\ \frac{w - u_1}{\cos \varphi} = \frac{p - v_1}{\cos \psi} = \frac{w - w_1}{\cos \chi}; \\ \cos \varphi + \frac{dv}{du} \cos \psi + \frac{dw}{du} \cos \chi = 0, \\ \cos \varphi + \frac{dv_1}{du_1} \cos \psi + \frac{dw_1}{du_1} \cos \chi = 0; \\ \cos \varphi^2 + \cos \psi^2 + \cos \chi^2 = 1; \end{cases}$$

mittelst welcher sich die neun unbekannten Grössen

$$u, v, w; u_1, v_1, w_1; \varphi, \psi, \chi$$

bestimmen lassen; kennt man aber diese Grössen, so ist offenbar die Lage der auf den beiden gegebenen Curven senkrecht stehenden geraden Linie vollkommen bestimmt.

Übrigens lassen φ , ψ , χ aus den vorstehenden Gleichungen sich sogleich eliminiren. Weil nämlich

$$\cos \psi = \frac{v - v_1}{u - u_1} \cos \varphi$$
, $\cos \chi = \frac{w - w_1}{u - u_1} \cos \varphi$

ist, so führen die beiden Gleichungen

$$\cos \varphi + \frac{dv}{du}\cos \psi + \frac{dw}{du}\cos \chi = 0,$$

$$\cos \varphi + \frac{dv_1}{du_1}\cos \psi + \frac{dw_1}{du_1}\cos \chi = 0$$

auf der Stelle zu den Gleichungen:

$$u-u_1 + (v-v_1)\frac{dv}{du} + (w-w_1)\frac{dw}{du} = 0,$$

$$u-u_1 + (v-v_1)\frac{dv_1}{du_1} + (w-w_1)\frac{dw_1}{du_1} = 0;$$

und man hat daher zur Bestimmung der sechs Coordinaten u, v, w und u_1 , v_1 , w_1 die sechs folgenden Gleichungen:

(16)
$$\begin{cases} v = f(u), w = F(u); \\ v_1 = f_1(u_1), w_1 = F_1(u_1); \\ u - u_1 + (v - v_1) \frac{dv}{du} + (w - w_1) \frac{dw}{du} = 0, \\ u - u_1 + (v - v_1) \frac{dv_1}{du_1} + (w - w_1) \frac{dw_1}{du_1} = 0; \end{cases}$$

Sitzb. d. mathem.-naturw. Cl. XIII. Bd. I. Hft.

welche wir unseren folgenden Untersuchungen hauptsächlich zu Grunde legen werden. Nachdem man u, v, w und u_1 , v_1 , w_1 mittelst dieser Gleichungen gefunden hat, dienen zur Bestimmung der Winkel φ , ψ , χ die Gleichungen:

(17)
$$\begin{cases} \frac{u-u_1}{\cos \varphi} = \frac{v-v_1}{\cos \psi} = \frac{w-w_1}{\cos \chi}.\\ \cos \varphi^2 + \cos \psi^2 + \cos \chi^2 = 1; \end{cases}$$

und zur Bestimmung der kürzesten Entfernung \boldsymbol{E} selbst, hat man die Formel

(18)
$$E = \sqrt{(u-u_1)^2 + (v-v_1)^2 + (w-w_1)^2},$$

oder auch, wie man mittels (17) leicht findet, die Formeln:

(19)
$$E = val. \ abs. \frac{u-u_1}{\cos \varphi} = val. \ abs. \frac{v-v_1}{\cos \psi} = val. \ abs. \frac{w-w_1}{\cos \chi}$$

Wenn die eine der beiden gegebenen Curven, etwa die erste, ganz in der Ebene der xy liegt, so ist allgemein

$$w = o$$
, also auch $\frac{dw}{dz} = o$;

und die allgemeinen Gleichungen (16) werden folglich in diesem Falle:

(20)
$$\begin{cases} v = f(u), w = 0; \\ v_1 = f_1(u_1), w_1 = F_1(u_1); \\ u - u_1 + (v - v_1) \frac{dv}{du} = 0, \\ u - u_1 + (v - v_1) \frac{dv_1}{du_1} - w_1 \frac{dw_1}{du_1} = 0. \end{cases}$$

II. Allgemeine Gleichungen einer elliptischen Bahn.

Den von dem Mittelpunkte der Sonne eingenommenen Brennpunkt einer elliptischen Bahn, wollen wir als Anfang eines rechtwinkligen Coordinatensystems der xyz, übrigens aber die Axen der
x, y, z willkürlich annehmen, und wollen unter dieser Voraussetzung
jetzt die allgemeinen Gleichungen der elliptischen Bahn, indem wir
dieselbe als eine Curve im Raume betrachten, entwickeln, indem die
Kenntniss dieser Gleichungen für die Auflösung unsers Problems
natürlich von der grössten Wichtigkeit ist.

Die Knotenlinie der Bahn, worunter wir die Durchschnittslinie ihrer Ebene mit der Ebene der xyz verstehen, wird durch den

Anfang der Coordinaten in zwei Theile getheilt, von denen wir der Kürze wegen den einen den positiven, den anderen den negativen Theil der Knotenlinie nennen wollen. Der von dem positiven Theile der Knotenlinie mit dem positiven Theile der Axe der x eingeschlossene Winkel, indem wir diesen Winkel von dem positiven Theile der Axe der x an durch den rechten Winkel (xy) hindurch von 0 bis 360° zählen, soll durch w bezeichnet werden. Den positiven Theil der Knotenlinie nehmen wir als den positiven Theil der Axe der x_1 eines rechtwinkligen Coordinatensystems der x_1 y_1 z_1 an, welches mit dem Coordinatensysteme der x y z den Anfang gemein hat, und lassen die Ebene der x_1 y_1 mit der Ebene der xy zusammenfallen; der positive Theil der Axe der y_1 wird so angenommen, dass man sich, um von dem positiven Theile der Axe der x_1 an durch den rechten Winkel (x_1, y_1) hindurch zu dem positiven Theile der Axe der y_1 zu gelangen, nach derselben Seite hin bewegen muss, nach welcher man sich bewegen muss, um von dem positiven Theile der Axe der x an durch den rechten Winkel (xy) hindurch zu dem positiven Theile der Axe der y zu gelangen; den positiven Theil der Axe der z_1 lassen wir mit dem positiven Theile der Axe der z zusammenfallen. Unter diesen Voraussetzungen haben wir nach der Lehre von der Verwandlung der Coordinaten zwischen den Coordinaten der Systeme der xyz und x_1 y_1 z_1 die folgenden Gleichungen:

(1)
$$\begin{cases} x = x_1 \cos \omega - y_1 \sin \omega, \\ y = x_1 \sin \omega + y_1 \cos \omega, \\ z = z_1; \end{cases}$$

aus denen sich leicht umgekehrt

(2)
$$\begin{cases} x_1 = x \cos \omega + y \sin \omega, \\ y_1 = -x \sin \omega + y \cos \omega, \\ z_1 = z \end{cases}$$

ergibt. Den 1800 nicht übersteigenden Winkel, welchen der auf der positiven Seite der Ebene der xy oder x_1 y_1 liegende Theil der Ebene der Bahn mit dem der beiden Theile, in welche die Ebene der xy oder x_1 y_1 durch die Axe der x_1 getheilt wird, in dem der positive Theil der Axe der y_1 liegt, einschliesst, wollen wir durch i bezeichnen. Dann ist offenbar in völliger Allgemeinheit

$$z_i = y_i \ tang \ i$$

die Gleichung der Ebene der Bahn in dem Systeme der x_1 y_1 z_1 . Folglich ist nach (2)

$$z = -(x \sin \omega - y \cos \omega) \tan y i,$$

(4) $x \sin \omega \tan \alpha i - y \cos \omega \tan \alpha i + z = 0$,

oder (4*)

oder

$$x \sin \omega \sin i - y \cos \omega \sin i + z \cos i = 0$$

die Gleichung der Ebene der Bahn in dem Systeme der xyz.

Den 180° nicht übersteigenden Winkel, welchen der auf der positiven Seite der Ebene der xy oder x_1 y_1 liegende Theil der Hauptaxe der Bahn mit dem positiven Theile der Axe der x_1 einschliesst, wollen wir durch x_2 bezeichnen. Sind dann x_1 , x_2 , x_3 die Coordinaten eines beliebigen Punktes der Hauptaxe der Bahn, dessen Entfernung von dem Anfange der xyz oder x_1 y_1 z_1 durch p bezeichnet werden mag, im Systeme der x_1 y_1 z_1 ; so ist offenbar mit Beziehung der oberen und unteren Zeichen auf einander in völliger Allgemeinheit:

(5)
$$\begin{cases} x_1 = \pm \rho \cos \mathcal{G}, \\ y_1 = \pm \rho \sin \mathcal{G} \cos i, \\ z_1 = \pm \rho \sin \mathcal{G} \sin i; \end{cases}$$

wenn man die oberen oder unteren Zeichen nimmt, je nachdem der Punkt $(x_1 \ y_1 \ z_1)$ auf der positiven oder negativen Seite der Ebene der xy oder $x_1 \ y_1$ liegt. Also ist

(6)
$$\pm \rho = \frac{x_1}{\cos \varpi} = \frac{y_1}{\sin \varpi \cos i} = \frac{x_1}{\sin \varpi \sin i};$$

und

(7)
$$\frac{x_1}{\cos w} = \frac{y_1}{\sin w \cos i} = \frac{x_1}{\sin w \sin i}$$

oder

$$\begin{cases} y_i = x_i \text{ tang } \forall \text{ cos } i, \\ z_i = x_i \text{ tang } \forall \text{ sin } i \end{cases}$$

sind daher die Gleichungen der Hauptaxe der Bahn im Systeme der x_1 y_1 z_1 .

Folglich sind nach (2) im Systeme der xyz die Gleichungen der Hauptaxe der Bahn:

(8)
$$\begin{cases} x \sin \omega - y \cos \omega = -(x \cos \omega + y \sin \omega) \tan y & \cos i, \\ z = (x \cos \omega + y \sin \omega) \tan y & \sin i. \end{cases}$$

Aus diesen beiden Gleichungen folgt durch Division:

(9)
$$tang i = -\frac{s}{sin \omega - y \cos \omega}$$

oder

(9°) $x \sin \omega \sin i - y \cos \omega \sin i + z \cos i = 0$, welche Gleichung nach (4°) die Bedingung ausdrückt, dass die Hauptaxe in der Ebene der Bahn liegt.

Die erste der beiden Gleichungen (8) bringt man leicht auf die Form

(10)
$$\frac{x}{y} = \frac{\cos w - \sin w \tan w}{\sin w + \cos w \tan w} \cos \omega$$

oder

(10°)
$$\frac{x}{y} = \frac{\cos \omega \cos \varpi - \sin \omega \sin \varpi \cos i}{\sin \omega \cos \varpi + \cos \omega \sin \varpi \cos i}.$$

Also ist, wie man leicht findet:

$$x \cos \omega + y \sin \omega$$

$$= \frac{\cos \omega \cos \omega - \sin \omega \sin \omega \cos i}{\cos \omega \cos \omega + \cos \omega \sin \omega \cos i} x$$

$$= \frac{\cos \omega}{\sin \omega \cos \omega + \cos \omega \sin \omega \cos i} y,$$

und die Gleichungen der Hauptaxe sind daher nach (8):

(11)
$$\begin{cases} z = \frac{\sin \varpi \sin i}{\cos \omega \cos \varpi - \sin \omega \sin \varpi \cos i} x, \\ z = \frac{\sin \varpi \sin i}{\sin \omega \cos \varpi + \cos \omega \sin \varpi \cos i} y; \end{cases}$$

oder

(11*)
$$\frac{x}{\cos \omega \cos \varpi - \sin \omega \sin \varpi \cos i}$$

$$= \frac{y}{\sin \omega \cos \varpi + \cos \omega \sin \varpi \cos i}$$

$$= \frac{x}{\sin \omega \cos \varpi + \cos \omega \sin \varpi \cos i}$$

Von einem Punkte in der Ebene der Bahn, dessen Coordinaten im Systeme der xyz wir durch u, v, w bezeichnen wollen, werde jetzt auf die Hauptaxe der Bahn ein Perpendikel gefällt, dessen Gleichungen

$$\frac{x-u}{A} = \frac{y-v}{B} = \frac{x-w}{C}$$

sein mögen. Weil der Punkt (uvw) in der Ebene der Bahn liegt, so findet nach (4*) zwischen dessen Coordinaten u, v, w die Gleichung

(13)
$$u \sin \omega \sin i - v \cos \omega \sin i + w \cos i = 0$$

Statt; und man kann also offenbar die Gleichung (4*) der Ebene der Bahn auch auf folgende Art darstellen:

(14)
$$(x-u) \sin \omega \sin i - (y-v) \cos \omega \sin i + (z-w) \cos i = 0$$
.

Also muss, weil das durch die Gleichungen (12) charakterisirte Perpendikel in der Ebene der Bahn liegen soll, offenbar

(15) A sin
$$\omega$$
 sin $i - B \cos \omega$ sin $i + C \cos i = 0$

sein. Ferner ergiebt sich nach den Lehren der analytischen Geometrie wegen der Gleichungen (11*) und (12) die Gleichung

$$1 + \frac{\cos \omega \cos \varpi - \sin \omega \sin \varpi \cos i}{\sin \varpi \sin i} \cdot \frac{A}{C} + \frac{\sin \omega \cos \varpi + \cos \omega \sin \varpi \cos i}{\sin \varpi \sin i} \cdot \frac{B}{C}$$

oder

(16)
$$A (\cos \omega \cos \varpi - \sin \omega \sin \varpi \cos i) + B (\sin \omega \cos \varpi + \cos \omega \sin \varpi \cos i) + C \sin \varpi \sin i$$

welche Gleichung nämlich die Bedingung ausdrückt, dass die durch die Gleichungen (12) charakterisirte gerade Linie auf der Hauptaxe der Bahn senkrecht steht.

Wenn man aus den Gleichungen (15) und (16) zuerst C, dann B eliminirt, so erhält man die beiden folgenden Gleichungen:

$$= B (\cos \omega \sin \varpi + \sin \omega \cos \varpi \cos i),$$

— A cos ϖ sin i = C (cos ω sin $\varpi + \sin \omega$ cos ϖ cos i); aus denen sich unmittelbar ergibt, dass

(17)
$$\begin{cases} A = \cos \omega \sin \varpi + \sin \omega \cos \varpi \cos i, \\ B = \sin \omega \sin \varpi - \cos \omega \cos \varpi \cos i, \\ C = -\cos \varpi \sin i \end{cases}$$

gesetzt werden kann, so dass also die Gleichungen des von dem Punkte (u v w) in der Ebene der Bahn auf deren Hauptaxe gefällten Perpendikels die folgenden sind:

(18)
$$\frac{x-u}{\cos \omega \sin \varpi + \sin \omega \cos \varpi \cos i}$$

Bezeichnen jetzt x, y, z die Coordinaten des Durchschnittspunktes des von dem Punkte (uvw) auf die Hauptaxe gefällten Perpendikels mit der Hauptaxe, so müssen x, y, z aus den Gleichungen

$$\frac{x}{\cos \omega \cos \varpi - \sin \omega \sin \varpi \cos i}$$

$$= \frac{y}{\sin \omega \cos \varpi + \cos \omega \sin \varpi \cos i}$$

$$= \frac{z}{\sin \varpi \sin i}$$

$$x - u$$

$$\cos \omega \sin \varpi + \sin \omega \cos \varpi \cos i$$

$$= \frac{y - v}{\sin \omega \sin \varpi - \cos \omega \cos \varpi \cos i}$$

bestimmt werden.

und

Zuvörderst erhält man leicht für z die beiden folgenden Ausdrücke:

(19)
$$\begin{cases} z = \frac{\sin \varpi}{\cos \omega} \left\{ u \cos \varpi \sin i + w \left(\cos \omega \sin \varpi + \sin \omega \cos \varpi \cos i \right) \right\}, \\ z = \frac{\sin \varpi}{\sin \omega} \left\{ v \cos \varpi \sin i + w \left(\sin \omega \sin \varpi - \cos \omega \cos \varpi \cos i \right) \right\}. \end{cases}$$

Dass diese beiden Ausdrücke von z wirklich einander gleich sind, ergibt sich leicht mittelst der aus dem Obigen bekannten Gleichung

$$u \sin \omega \sin i - v \cos \omega \sin i + w \cos i = 0.$$

Mit Rücksicht auf diese letztere Gleichung erhält man für z leicht noch die folgenden Ausdrücke:

$$\begin{cases} \mathbf{s} = \sin \mathbf{w} \ (u \cos \omega \cos \mathbf{w} \sin i + v \sin \omega \cos \mathbf{w} \sin i + w \sin \mathbf{w}), \\ \mathbf{s} = -\sin \mathbf{w} \tan g \ i \ \{(\sin \omega \sin \mathbf{w} - \cos \omega \cos \mathbf{w} \cos i) \ u - (\cos \omega \sin \mathbf{w} + \sin \omega \cos \mathbf{w} \cos i) \ v\}. \end{cases}$$

Für z-w erhält man aus (19) die beiden folgenden Ausdrücke:

(20)
$$\begin{cases} z-w = \frac{\cos \varpi}{\cos \omega} \left\{ u \sin \varpi \sin i - w \left(\cos \omega \cos \varpi - \sin \omega \sin \varpi \cos i \right) \right\}, \\ z-w = \frac{\cos \varpi}{\sin \omega} \left\{ v \sin \varpi \sin i - w \left(\sin \omega \cos \varpi + \cos \omega \sin \varpi \cos i \right) \right\}; \end{cases}$$

und mit Rücksicht auf die Gleichung

$$u \sin \omega \sin i - v \cos \omega \sin i + w \cos i = 0$$
,

ferner die beiden folgenden Ausdrücke:

$$(20^*) \begin{cases} z-w = \cos \varpi \ (u \cos \omega \sin \varpi \sin i + v \sin \omega \sin \varpi \sin i - w \cos \varpi) \\ z-w = \cos \varpi \ tang \ i \ \{(\sin \omega \cos \varpi + \cos \omega \sin \varpi \cos i) \ u - (\cos \omega \cos \varpi - \sin \omega \sin \varpi \cos i) \ v\} \end{cases}.$$

Die Grössen x, y und x-u, y-v findet man mittelst der folgenden sich unmittelbar aus dem Obigen ergebenden Formeln:

(21)
$$\begin{cases} x = \frac{\cos \omega \cos \varpi - \sin \omega \sin \varpi \cos i}{\sin \varpi \sin i} z, \\ y = \frac{\sin \omega \cos \varpi + \cos \omega \sin \varpi \cos i}{\sin \varpi \sin i} z \end{cases}$$

und

(22)
$$\begin{cases} x-u = -\frac{\cos \omega \sin \varpi + \sin \omega \cos \varpi \cos i}{\cos \varpi \sin i} (z-w), \\ y-v = -\frac{\sin \omega \sin \varpi - \cos \omega \cos \varpi \cos i}{\cos \varpi \sin i} (z-w). \end{cases}$$

Aus diesen Formeln erhält man auch sehr leicht:

$$(23) x^2 + y^3 + z^3 = \frac{z^3}{\sin x^2 \sin i^3}$$

und

(24)
$$(x-u)^2 + (y-v)^2 + (z-w)^3 = \frac{(z-w)^2}{\cos w^2 \sin i^2}.$$

Die Entfernung des Punktes (xyz) von dem als Anfang der Coordinaten angenommenen Brennpunkte der Ellipse ist

$$\sqrt{x^2+y^2+z^2}.$$

Die Entfernung des Mittelpunktes der Ellipse von ihrem als Anfang der Coordinaten angenommenen Brennpunkte, indem wir diese Entfernung als positiv oder als negativ betrachten, jenachdem der Mittelpunkt der Ellipse auf der positiven oder negativen Seite der Ebene der xy liegt, soll mit Rücksicht hierauf durch e bezeichnet werden.

Sei nun zuerst e positiv. Liegt dann der Punkt (xyz) auf der positiven Seite der Ebene der xy, so ist die Entfernung des Punktes (xyz) von dem Mittelpunkte der Ellipse offenbar

$$\sqrt{x^2+y^2+z^2}-e$$

oder

$$e - \sqrt{x^2 + y^2 + z^2}$$

jenachdem

$$\sqrt{x^2 + y^2 + z^2} > e$$
 oder $\sqrt{x^2 + y^2 + z^2} < e$

ist. Liegt dagegen der Punkt (xyz) auf der negativen Seite der Ebene der xy, so ist die Entfernung des Punktes (xyz) von dem Mittelpunkte der Ellipse allgemein

$$e + \sqrt{x^2 + y^2 + z^2}$$
.

Sei ferner e negativ. Liegt dann der Punkt (xyz) auf der positiven Seite der Ebene der xy, so ist die Entfernung des Punktes (xyz) von dem Mittelpunkte der Ellipse offenbar allgemein

$$\sqrt{x^2+y^2+z^2}+(-e),$$

also

$$\sqrt{x^2+y^2+z^2}-e$$
.

Liegt dagegen der Punkt (xyz) auf der negativen Seite der Ebene der xy, so ist die Entfernung des Punktes (xyz) von dem Mittelpunkte der Ellipse

$$\sqrt{x^2+y^2+z^2}-(-e)$$

oder

$$(-e) - \sqrt{x^2 + y^2 + z^2}$$

also

$$e + \sqrt{x^2 + y^2 + z^2}$$

oder

$$-(e+\sqrt{x^2+y^2+z^2})$$

jenachdem

$$\sqrt{x^2+y^2+z^2}>-e \text{ oder } \sqrt{x^2+y^2+z^2}<-e$$

ist.

Nimmt man alles Vorhergehende zusammen, so ergibt sich Folgendes:

Wenn der Punkt (xyz) auf der positiven Seite der Ebene der xy liegt, so ist die Entfernung des Punktes (xyz) von dem Mittelpunkte der Ellipse immer

$$\pm (e-\sqrt{x^2+y^2+z^2)}$$

Wenn der Punkt (xyz) auf der negativen Seite der Ebene der xy liegt, so ist die Entfernung des Punktes (xyz) von dem Mittelpunkte der Ellipse immer

$$\pm (e + \sqrt{x^2 + y^2 + z^2}).$$

Nach (23) ist nun

$$x^2 + y^2 + z^3 = \frac{x^3}{\sin w^2 \sin i^2}$$

und folglich, weil keiner der Winkel & und i grösser als 180°, also sowohl sin &, als auch sin i positiv ist,

$$\sqrt{x^2+y^2+z^2}=\pm\,\frac{z}{\sin\,\pi\,\sin\,i}\,,$$

wo man das obere oder untere Zeichen nimmt, je nachdem z positiv oder negativ ist, d. h. jenachdem der Punkt (xyz) auf der positiven oder negativen Seite der Ebene der xy liegt.

Halten wir dies mit dem Vorhergehenden zusammen, so ergibt sich unmittelbar, dass die Entfernung des Punktes (xyz) von dem Mittelpunkte der Ellipse immer

$$\pm \left(e - \frac{2}{\sin 2 \sin i}\right)$$

ist.

Werden nun wie gewöhnlich die grosse und kleine Halbaxe der Ellipse durch a und b bezeichnet, wo also

$$(25) e^2 = a^2 - b^2$$

ist, so ergibt sich, wenn nun der oben betrachtete Punkt (uvw) ein Punkt der Ellipse ist, wegen der Natur der Ellipse auf der Stelle die Gleichung

$$(26) \frac{1}{a^3} \left(e - \frac{s}{\sin w \sin i} \right)^2 + \frac{(x-u)^3 + (y \cdot v)^3 + (s-w)^3}{b^2} = 1,$$

also nach (24) die Gleichung

(27)
$$\frac{1}{a^3}\left(e - \frac{s}{\sin w \sin i}\right)^2 + \frac{1}{b^3} \cdot \frac{(s-w)^2}{\cos w^2 \sin i^2} = 1,$$

in welche man alle obengefundenen Ausdrücke von z und z—w durch u, v, w einführen kann. Diese Gleichung nebst der aus dem Obigen bekannten Gleichung

(28)
$$u \sin \omega \sin i - v \cos \omega \sin i + w \cos i = 0$$

sind die allgemeinen Gleichungen der als eine Curve im Raume betrachteten elliptischen Bahn.

Der Fall, wenn i = 0 ist, d. h. wenn die elliptische Bahn ganz in der Ebene der xy liegt, erfordert noch eine besondere Betrachtung. In diesem Falle sei w der 180° nicht übersteigende Winkel, welchen der auf der positiven Seite der Axe der x liegende Theil der Hauptaxe der Bahn mit dem positiven Theile der Axe der x einschliesst; dann ist offenbar in völliger Allgemeinheit

$$y = x \tan g \, \nabla s$$

die Gleichung der Hauptaxe. Ist nun (uv) ein beliebiger Punkt in der Ebene der xy, so ist die Gleichung jeder durch denselben gehenden geraden Linie:

$$y-v=A(x-u).$$

Soll diese gerade Linie auf der Hauptaxe senkrecht stehen, so muss

$$1 + A tang = 0, A = -cot = 0$$

sein, so dass also

$$y-v=-(x-u)$$
 cot ∇

die Gleichung der durch den Punkt (uv) gehenden und auf der Hauptaxe senkrecht stehenden geraden Linie ist. Ist nun (xy) der Durchschnittspunkt dieses Perpendikels mit der Hauptaxe, so müssen die Coordinaten x, y aus den beiden Gleichungen

$$y = x tang \, \, \overline{w},$$
 $y - v = -(x - u) \cot \, \overline{w}$

bestimmt werden. Mittelst leichter Rechnung erhält man aus diesen Gleichungen:

(30)
$$\begin{cases} x = (u \cos \varpi + v \sin \varpi) \cos \varpi, \\ y = (u \cos \varpi + v \sin \varpi) \sin \varpi \end{cases}$$

und

(31)
$$\begin{cases} x - u = - (u \sin \varpi - v \cos \varpi) \sin \varpi, \\ y - v = (u \sin \varpi - v \cos \varpi) \cos \varpi; \end{cases}$$

also:

$$\begin{cases} x^2 + y^2 = (u \cos \varpi + v \sin \varpi)^2, \\ x - u)^2 + (y - v)^2 = (u \sin \varpi - v \cos \varpi)^2. \end{cases}$$

Bezeichnen wir die Entfernung des Mittelpunktes der Ellipse von ihrem als Anfang der Coordinaten angenommenen Brennpunkte, indem wir diese Entfernung als positiv oder als negativ betrachten. jenachdem der Mittelpunkt der Ellipse auf der positiven oder negativen Seite der Axe der x liegt, mit Rücksicht hierauf durch e, so sind allgemein e cos v, e sin v die Coordinaten des Mittelpunktes der Ellipse, und das Quadrat der Entfernung des Punktes (xy) von dem Mittelpunkte der Ellipse ist folglich

$$(x - e \cos \varpi)^2 + (y - e \sin \varpi)^2$$
,

also nach (30):

$$(u \cos \varpi + v \sin \varpi - e)^2 \cos \varpi^2 + (u \cos \varpi + v \sin \varpi - e)^2 \sin \varpi^2$$

= $(u \cos \varpi + v \sin \varpi - e)^2$.

Weil

$$(x-u)^2 + (y-v)^2 = (u \sin \varpi - v \cos \varpi)^2$$

das Quadrat der Entfernung des Punktes (uv) von der Hauptaxe der Ellipse ist, so ist, wenn (uv) in der Ellipse liegt, nach der Natur dieser Curve:

$$(33) \left(\frac{u \cos \varpi + v \sin \varpi - e}{a}\right)^{3} + \left(\frac{u \sin \varpi - v \cos \varpi}{b}\right)^{3} = 1,$$

welches also die Gleichung der Ellipse im vorliegenden Falle ist.

III. Allgemeine Gleichungen einer parabolischen Bahn.

Indem wir wieder den Brennpunkt der Bahn als Anfang der xyz annehmen, werde jetzt die Entfernung des Scheitels der Parabel von ihrem Brennpunkte, indem wir dieselbe als positiv oder als negativ betrachten, je nachdem der Scheitel auf der positiven oder negativen Seite der Ebene der xy liegt, durch a bezeichnet, wo also der absolute Werth von a der vierte Theil des Parameters ist.

Sei zuerst a positiv. Unter der Voraussetzung, dass der in II, worauf wir uns hier überhaupt beziehen, durch (uvw) bezeichnete Punkt der Parabel wirklich angehört, ist in diesem Falle die Entfernung des dort durch (xyz) bezeichneten Punktes von dem Scheitel der Parabel offenbar

$$a = \sqrt{x^2 + y^2 + z^2}$$

oder

$$a + \sqrt{x^2 + y^2 + z^2}$$

je nachdem der Punkt (xyz) auf der positiven oder auf der negativen Seite der Ebene der xy liegt.

Sei ferner a negativ. Unter der Voraussetzung, dass der Punkt (u v w) der Parabel wirklich angehört, ist in diesem Falle die Entfernung des Punktes (x y z) von dem Scheitel der Parabel

oder
$$(-a) + \sqrt{x^2 + y^2 + z^2}$$

$$(-a) - \sqrt{x^2 + y^2 + z^2}$$
also
$$-(a - \sqrt{x^2 + y^2 + z^2})$$
oder
$$-(a + \sqrt{x^2 + y^2 + z^2})$$

oder

je nachdem der Punkt $(x \ y \ z)$ auf der positiven oder negativen Seite der Ebene der x y liegt.

Nun ist aber nach II, indem w, お, i ihre dortigen Bedeutungen auch jetzt unverändert beibehalten,

$$\sqrt{x^2+y^2+z^2}=\pm \frac{z}{\sin w \sin i},$$

wenn man das obere oder untere Zeichen nimmt, je nachdem der P unkt (xyz) auf der positiven oder auf der negativen Seite der Ebene der xy liegt.

Liegt also der Punkt (xyz) auf der positiven Seite der Ebene der xy, so ist nach dem Vorhergehenden

$$\pm \left(a - \frac{\pi}{\sin \varpi \sin i}\right)$$
,

wenn man das obere oder untere Zeichen nimmt, je nachdem a positiv oder negativ ist, die Entfernung des Punktes (xyz) von dem Scheitel der Parabel.

Liegt der Punkt (xyz) auf der negativen Seite der Ebene der xy, so ist nach dem Vorhergehenden wieder

$$\pm \left(a - \frac{s}{\sin \pi i \sin i}\right)$$
,

wenn man das obere oder untere Zeichen nimmt, je nachdem a positiv oder negativ ist, die Entfernung des Punktes (xyz) von dem Scheitel der Parabel.

Also ist allgemein die Entfernung des Punktes (xyz) von dem Scheitel der Parabel

$$\pm \left(a - \frac{z}{\sin z \sin i}\right)$$
,

wenn man das obere oder untere Zeichen nimmt, je nachdem α positiv oder negativ ist.

Bezeichnen wir nun den Parameter der Parabel durch p, so ist nach der Natur der Parabel

$$(x-u)^2 + (y-v)^2 + (z-w)^2 = \pm p \left(a - \frac{2}{\sin \frac{\pi t}{2} \sin \frac{\pi t}{2}}\right)$$

das obere oder untere Zeichen genommen, je nachdem a positiv oder negativ ist; es ist aber mit derselben Bestimmung wegen des Zeichens $p=\pm 4a$, also $\pm p=4a$, und folglich nach dem Obigen allgemein:

$$(x-u)^2 + (y-v)^2 + (z-w)^2 = 4a \left(a - \frac{3}{\sin 3 \sin i}\right)$$
, also, weil nach II. (24)

$$(x-u)^2 + (y-v)^3 + (z-w)^3 = \frac{(3-w)^3}{\cos w^2 \sin i^3}$$

ist:

$$\frac{(z-w)^2}{\cos \varpi^2 \sin i^2} = 4 a \left(a - \frac{2}{\sin \varpi \sin i}\right)$$

oder:

(1)
$$(z-w)^2 = 4a \cos \varpi^2 \sin i^2 \left(a - \frac{2}{\sin \varpi \sin i}\right)$$

wo man für z und z-w alle aus II. bekannten Ausdrücke dieser Grössen durch u, v, w setzen kann. Vorstehende Gleichung nebst der aus II. bekannten Gleichung

(2) $u \sin \omega \sin i - v \cos \omega \sin i + w \cos i = 0$ sind die allgemeinen Gleichungen der als eine Curve im Raume betrachteten parabolischen Bahn.

Betrachtet man den Parameter p der Parabel als positiv oder als negativ, je nachdem der Scheitel derselben auf der positiven oder negativen Seite der Ebene der xy liegt, so ist allgemein $a = \frac{1}{4}p$; also nach (1):

(3)
$$(z-w)^2 = p \cos \varpi^2 \sin i^2 \left(\frac{1}{4}p - \frac{2}{\sin \varpi \sin i}\right)$$
oder

(3*)
$$(z-w)^2 = \frac{1}{4} p \cos \varpi^2 \sin i^2 \left(p - \frac{4z}{\sin \varpi \sin i} \right)$$

Liegt die Bahn ganz in der Ebene der xy, so wollen wir auf ähnliche Art wie in II. durch of den 180 nicht übersteigenden Win-

kel bezeichnen, welchen der auf der positiven Seite der Axe der x liegende Theil der Axe der Parabel mit dem positiven Theile der Axe der x einschließt; die Entfernung des Scheitels der Parabel von ihrem Brennpunkte oder dem Anfange der Coordinaten, indem man dieße Entfernung als positiv oder als negativ betrachtet, je nachdem der Scheitel auf der positiven oder negativen Seite der Axe der x liegt, soll aber durch a bezeichnet werden. Ist dann (uv) ein beliebiger Punkt in der Ebene der xy, und sind x, y die Coordinaten des Fusspunktes des von dem Punkte (uv) auf die Axe der Parabel gefällten Perpendikels, so ist nach der Lehre von der Verwandlung der Coordinaten offenbar $u\cos w + v\sin w$ die Entfernung des Punktes (xy) von dem Anfange der Coordinaten, wenn man diese Entfernung als positiv oder als negativ betrachtet, je nachdem der Punkt (xy) auf der positiven oder negativen Seite der Axe der x liegt. Hieraus ergibt sich mittelst einer einfachen Betrachtung, dass

$$\pm \{a - (u \cos \varpi + v \sin \varpi)\},$$

das obere oder untere Zeichen genommen, je nachdem a positiv oder negativ ist, die Entfernung des Punktes (xy) von dem Scheitel der Parabel ist. Also ist, mit derselben Bestimmung wegen des Vorzeichens, wenn (uv) ein Punkt der Parabel ist und p deren Parameter bezeichnet, nach der Natur der Parabel:

$$(x-u)^2 + (y-v)^2 = \pm p \{ a - (u \cos \varpi + v \sin \varpi) \},$$

und folglich, weil $\pm p = 4a$ ist:

$$(x-u)^2 + (y-v)^2 = 4 a \{ a - (u \cos \varpi + v \sin \varpi) \}.$$
Ganz wie in II, ist aber

$$(x-u)^2 + (y-v)^2 = (u \sin \varpi - v \cos \varpi)^2,$$
 folglich

(4) $(u \sin \varpi - v \cos \varpi)^2 = 4a \{ a - (u \cos \varpi + v \sin \varpi) \}$ die Gleichung der Parabel im vorliegenden Falle.

Betrachtet man den Parameter p als positiv oder negativ, je nachdem der Scheitel der Parabel auf der positiven oder negativen Seite der Axe der x liegt, so ist $a = \frac{1}{4}p$, also nach (4)

(5)
$$(u \sin \varpi - v \cos \varpi)^2 = p \left\{ \frac{1}{4} p - (u \cos \varpi + v \sin \varpi) \right\}$$

$$(5^{\circ}) (u \sin \varpi - v \cos \varpi)^{2} = \frac{1}{4} p \{ p-4 (u \cos \varpi + v \sin \varpi) \}.$$

IV. Proximitaten zweier elliptischen Bahnen, die einen Brennpunkt mit einander gemein haben.

Wir werden im Folgenden für beide Bahnen gleichbedeutende Grössen immer mit denselben Buchstaben, die nur für die eine der beiden Bahnen mit unteren Accenten, welche bei der anderen Bahn wegbleiben, versehen werden, bezeichnen; übrigens behalten alle in II gebrauchten Symbole ganz dieselbe Bedeutung wie dort, welche wir daher hier nicht wieder von Neuem angeben werden ¹).

Setzen wir nun der Kürze wegen:

(1)
$$\begin{cases} \cos \theta &= \sin \omega \sin \varpi - \cos \omega \cos \varpi \cos i, \\ \cos \tau &= \cos \omega \sin \varpi + \sin \omega \cos \varpi \cos i, \\ \cos \theta &= \sin \omega \cos \varpi + \cos \omega \sin \varpi \cos i, \\ \cos \mathfrak{T} &= \cos \omega \cos \varpi - \sin \omega \sin \varpi \cos i, \end{cases}$$

so erhalten wir nach II. (19), (19 *) und II. (20), (20 *) für z und z-w die folgenden Ausdrücke:

(2)
$$z = -\sin \varpi \tan g i (u \cos \theta - v \cos \tau)$$

$$= \frac{\sin \varpi}{\cos \omega} (u \cos \varpi \sin i + w \cos \tau)$$

$$= \frac{\sin \varpi}{\sin \omega} (v \cos \varpi \sin i + w \cos \theta)$$

$$= \sin \varpi (u \cos \omega \cos \varpi \sin i + v \sin \omega \cos \varpi \sin i + w \sin \varpi)$$

und

(3)
$$z-w=\cos \varpi \ tang \ i \ (u \cos \Theta - v \cos \mathfrak{T})$$

$$= \frac{\cos \varpi}{\cos \omega} \ (u \sin \varpi \sin i - w \cos \mathfrak{T})$$

$$= \frac{\cos \varpi}{\cos \omega} \ (v \sin \varpi \sin i - w \cos \Theta)$$

$$= \cos \varpi \ (u \cos \omega \sin \varpi \sin i + v \sin \omega \sin \varpi \sin i - w \cos \Theta).$$

Hieraus erhält man leicht:

$$\frac{dz}{du} = -\sin \varpi \tan g \, i \, \left(\cos \Theta - \cos \tau \, \frac{dv}{du}\right) \\
= \frac{\sin \varpi}{\cos \omega} \, \left(\cos \varpi \, \sin i + \cos \tau \, \frac{dw}{du}\right),$$

¹⁾ Natürlich haben die mit unteren Accenten versehenen Buchstaben hier eine andere Bedeutung als die mit unteren Accenten versehenen Buchstaben in II.

$$\frac{d(z-w)}{du} = \cos \varpi \ tang \ i \ (\cos \Theta - \cos \mathfrak{T} \frac{dv}{du})$$
$$= \frac{\cos \varpi}{\cos w} \left(\sin \varpi \ \sin i - \cos \mathfrak{T} \frac{dw}{du} \right);$$

und weil nun wegen der aus II. (27) bekannten Gleichung
$$\frac{1}{a^2} \left(c - \frac{z}{\sin \varpi \sin i} \right)^2 + \frac{1}{b^2} \cdot \frac{(z-\varpi)^2}{\cos \varpi^2 \sin i^2} = 1.$$

wie man leicht findet.

$$\frac{1}{a^2 \sin \varpi} \left(e^i \sin i - \frac{s}{\sin \varpi} \right) \frac{ds}{du} = \frac{1}{b^2 \cos \varpi^2} \left(z - w \right) \frac{d(z - w)}{du}$$

ist, so erhält man durch Substitution der obigen Ausdrücke von

$$\frac{dz}{du}$$
 und $\frac{d(z-w)}{du}$

in diese Gleichung leicht die folgenden Formeln:

$$\frac{dv}{du} = \frac{\frac{1}{a^2 \sin \varpi} (e \sin \varpi \sin i - z) \cos \Theta + \frac{1}{b^2 \cos \varpi} (z - w) \cos \Theta}{\frac{1}{a^2 \sin \varpi} (e \sin \varpi \sin i - z) \cos \tau + \frac{1}{b^2 \cos \varpi} (z - w) \cos \Sigma}$$

$$\frac{dw}{du} = -\sin i \frac{\frac{1}{a^2 \sin \varpi} (e \sin \varpi \sin i - z) \cos \varpi - \frac{1}{b^2 \cos \varpi} (z - w) \sin \varpi}{\frac{1}{a^2 \sin \varpi} (e \sin \varpi \sin i - z) \cos \tau + \frac{1}{b^2 \cos \varpi} (z - w) \cos \Sigma}$$

Nach II. (28) haben wir auch die Gleichung

 $u \sin \omega \sin i - v \cos \omega \sin i + w \cos i = 0$,

aus der sich

$$\sin \omega \sin i - \cos \omega \sin i \frac{dv}{du} + \cos i \frac{dw}{du} = 0$$

ergibt; führt man in diese Gleichung die Ausdrücke (4) von

$$\frac{dv}{du}$$
 und $\frac{dw}{du}$

ein, so findet sich dieselbe, mit Rücksicht darauf, dass wie sich aus (1) mittelst leichter Rechnung ergibt,

 $\sin i (\cos \omega \cos \theta + \cos i \cos \varpi) = \sin i \sin \omega \cos \tau$ sin i (cos ω cos θ — cos i sin v) = sin i sin ω cos T

ist, vollständig erfüllt, woraus die Richtigkeit der Ausdrücke (4) erhellet.

Setzen wir nun der Kürze wegen

(5)
$$i = z - w, w = z - i$$

Sitzb. d. mathem.-naturw. Cl. XIII. Bd. I. Hft.

66

so haben wir nach II. (19°), (20°) die Gleichungen $z = \sin \varpi$ ($u \cos \omega \cos \varpi \sin i + v \sin \omega \cos \varpi \sin i + w \sin \varpi$), $= \cos \varpi$ ($u \cos \omega \sin \varpi \sin i + v \sin \omega \sin \varpi \sin i - w \cos \varpi$); aus denen sich durch Elimination von w leicht

$$(u \cos \omega + v \sin \omega) \sin i = \frac{2 \cos \varpi^2 + i \sin \varpi^2}{\sin \varpi \cos \varpi}$$

ergibt. Verbindet man hiermit die aus der Gleichung II. (28) sogleich folgende Gleichung

 $(u \sin \omega - v \cos \omega) \sin i = -w \cos i = (z-z) \cos i$ und bestimmt dann u, v, w durch z, z, so erhält man mittelst leichter Rechnung die folgenden bemerkenswerthen Ausdrücke:

(6)
$$\begin{cases} u = \left(z \frac{\cos x}{\sin w} + \frac{\cos x}{\cos w}\right) \operatorname{cosec} i, \\ v = \left(z \frac{\cos \theta}{\sin w} + \frac{\cos \theta}{\cos w}\right) \operatorname{cosec} i, \\ w = z - \frac{1}{h}. \end{cases}$$

Setzen wir aber grösserer Einfachheit wegen noch

(7)
$$Z = e - \frac{s}{\sin \varpi \sin i}, \ 3 = \frac{s - w}{\cos \varpi \sin i}.$$

so werden vorstehende Ausdrücke:

(8)
$$\begin{cases} u = (e - Z) \cos \mathcal{I} + \beta \cos \tau, \\ v = (e - Z) \cos \theta + \beta \cos \theta, \\ w = \{(e - Z) \sin \varpi - \beta \cos \varpi\} \sin i; \end{cases}$$

und für die andere Bahn ist für

(7*)
$$Z_1 = e_1 - \frac{z_1}{\sin w_1 \sin i_1}$$
, $\beta_1 = \frac{z_1 - w_1}{\cos w_1 \sin i_1}$

natürlich in ganz ähnlicher Weise:

(8*)
$$\begin{cases} u_1 = (e_1 - Z_1) \cos \mathfrak{T}_1 + \mathfrak{F}_1 \cos \tau_1, \\ v_1 = (e_1 - Z_1) \cos \theta_1 + \mathfrak{F}_1 \cos \theta_1, \\ w_1 = \{(e_1 - Z_1) \sin \varpi_1 - \mathfrak{F}_1 \cos \varpi_1\} \sin i_1. \end{cases}$$

Nach II. (27) und den beiden vorhergehenden Gleichungen (7) und (7 *) hat man nun zunächst die beiden folgenden Gleichungen:

(9)
$$\left(\frac{Z}{a}\right)^{3} + \left(\frac{3}{b}\right)^{2} = 1, \left(\frac{Z_{1}}{a_{1}}\right)^{3} + \left(\frac{\vartheta_{1}}{b_{1}}\right)^{3} = 1.$$

Ferner muss nach I. (16)

$$u-u_{1}+(v-v_{1})\frac{dv}{du}+(w-w_{1})\frac{dw}{du}=0,$$

$$u-u_{1}+(v-v_{1})\frac{dv_{1}}{du}+(w-w_{1})\frac{dw_{1}}{du}=0$$

sein. Diese Gleichungen führen mittelst (4) sehr leicht zu den beiden folgenden Gleichungen:

$$0 = \frac{Z}{a^3} \left\{ (u - u_1) \cos \tau + (v - v_1) \cos \theta - (w - w_1) \cos \varpi \sin i \right\}$$

$$+ \frac{3}{b^3} \left\{ (w - u_1) \cos \mathfrak{T} + (v - v_1) \cos \theta + (w - w_1) \sin \varpi \sin i \right\},$$

$$0 = \frac{Z_1}{a_1^3} \left\{ (u - u_1) \cos \tau_1 + (v - v_1) \cos \theta_1 - (w - w_1) \cos \varpi_1 \sin i_1 \right\}$$

$$+ \frac{3}{b_1^3} \left\{ (u - u_1) \cos \mathfrak{T}_1 + (v - v_1) \cos \theta_1 + (w - w_1) \sin \varpi_1 \sin i_1 \right\},$$
and fibrt map pup in diese Gleichungen für u_1 as and u_2 v_3 and v_4 v_4 and v_4 v_5 and

und führt man nun in diese Gleichungen für u, v, w und u_1 , v_1 , w_2 ihre Werthe aus (8) und (8*) ein, so erhält man:

Three werthe aus (8) and (8°) ein, so erhalt man:

$$\begin{pmatrix}
(e-Z)(\cos\tau\cos\xi + \cos\theta\cos\theta - \sin\theta\cos\theta\sin^2\theta) \\
+3(\cos\tau\cos\tau + \cos\theta\cos\theta + \cos\theta\cos\cos\sin^2\theta) \\
-(e_1-Z_1)(\cos\tau\cos\xi_1 + \cos\theta\cos\theta_1 - \cos\theta\sin\sin\sin\sini\theta) \\
-3_1(\cos\tau\cos\xi_1 + \cos\theta\cos\theta_1 - \cos\theta\sin\sin\sin\sini\theta)
\end{pmatrix} \\
+\frac{3}{b^2} \begin{pmatrix}
(e-Z)(\cos\xi\cos\xi + \cos\theta\cos\theta + \sin\theta\sin\sin\sini\theta) \\
+3(\cos\tau\cos\xi + \cos\theta\cos\theta + \sin\theta\sin\sin\sini\theta) \\
-(e_1-Z_1)(\cos\xi\cos\xi_1 + \cos\theta\cos\theta - \sin\theta\cos\sin^2\theta) \\
-(e_1-Z_1)(\cos\xi\cos\xi_1 + \cos\theta\cos\theta + \sin\theta\sin\sin\theta_1\sin\sin\sin\theta_1) \\
-3_1(\cos\xi\cos\xi_1 + \cos\theta\cos\theta_1 - \sin\theta\cos\theta_1\sin\sin\sin\theta_1)
\end{pmatrix} \\
-\frac{2_1}{a_1^2} \begin{pmatrix}
(e-Z)(\cos\xi\cos\xi_1 + \cos\theta\cos\theta_1 - \sin\theta\cos\theta_1\sin\sin\sin\theta_1) \\
+3(\cos\tau\cos\xi_1 + \cos\theta\cos\theta_1 - \sin\theta\cos\theta_1\sin\sin\theta_1) \\
-3(\cos\xi\cos\xi_1 + \cos\theta_1\cos\theta_1 - \sin\theta\cos\theta_1\sin\theta_1)
\end{pmatrix} \\
-3_1(\cos\xi\cos\xi_1 + \cos\theta_1\cos\theta_1 + \cos\theta_1\cos\theta_1\sin\theta_1) \\
+3(\cos\tau\cos\xi_1 + \cos\theta_1\cos\theta_1 + \cos\theta_1\cos\theta_1\sin\theta_1\sin\theta_1) \\
-3_1(\cos\xi\cos\xi_1 + \cos\theta_1\cos\theta_1 + \cos\theta_1\cos\theta_1\sin\theta_1\sin\theta_1) \\
-3_1(\cos\xi_1\cos\xi_1 + \cos\theta_1\cos\theta_1 + \sin\theta_1\sin\theta_1\sin\theta_1) \\
-3_1(\cos\xi_1\cos\xi_1 + \cos\theta_1\cos\theta_1 + \sin\theta_1\sin\theta_1\sin\theta_1)
\end{pmatrix} \\
-3_1(\cos\xi_1\cos\xi_1 + \cos\theta_1\cos\theta_1 + \sin\theta_1\sin\theta_1\sin\theta_1) \\
-3_1(\cos\xi_1\cos\xi_1 + \cos\theta_1\cos\theta_1 - \sin\theta_1\cos\theta_1\sin\theta_1\sin\theta_1)
\end{pmatrix} \\
-3_1(\cos\xi_1\cos\xi_1 + \cos\theta_1\cos\theta_1 - \sin\theta_1\cos\theta_1\sin\theta_1)
\end{pmatrix} \\$$
Sehr leicht üherzeugt man sich aber von der Richtigkeit der

Sehr leicht überzeugt man sich aber von der Richtigkeit der folgenden Gleichungen:

```
cos \tau cos \mathfrak{T} + cos \theta cos \theta — sin \mathfrak{T} cos \mathfrak{T} sin i^3 = 0, cos \tau_1 cos \mathfrak{T}_1 + cos \theta_1 cos \theta_1 — sin \mathfrak{T}_1 cos \mathfrak{T}_1 sin i_1^2 = 0; cos \tau cos \tau + cos \theta cos \theta + cos \mathfrak{T} cos \mathfrak{T} sin i^3 = 1, cos \tau_1 cos \tau_1 + cos \theta_1 cos \theta_1 + cos \mathfrak{T}_1 cos \mathfrak{T}_1 sin i_1^2 = 1; cos \mathfrak{T} cos \mathfrak{T} + cos \theta cos \theta + sin \mathfrak{T} sin \mathfrak{T} sin i_1^3 = 1; cos \mathfrak{T}_1 cos \mathfrak{T}_1 + cos \theta_1 cos \theta_1 + sin \mathfrak{T}_1 sin \mathfrak{T}_1 sin i_1^3 = 1;
```

und setzt man dann der Kürze wegen:

$$A = \cos \tau \cos \mathfrak{T}_1 + \cos \theta \cos \theta_1 - \cos \varpi \sin \varpi_1 \sin i \sin i_1$$

$$= \cos (\omega - \omega_1) (\sin \varpi \cos \varpi_1 - \cos \varpi \sin \varpi_1 \cos i \cos i_1)$$

$$+ \sin (\omega - \omega_1) (\cos \varpi \cos \varpi_1 \cos i + \sin \varpi \sin \varpi_1 \cos i_1)$$

$$- \cos \varpi \sin \varpi_1 \sin i \sin i_1,$$

$$B = \cos \tau \cos \tau_1 + \cos \theta \cos \theta_1 + \cos \theta \cos \theta_1 \sin i \sin i_1$$

$$= \cos (\omega - \omega_1) (\sin \theta \sin \theta_1 + \cos \theta \cos \theta_1 \cos i \cos i_1)$$

$$+ \sin (\omega - \omega_1) (\cos \theta \sin \theta_1 \cos i - \sin \theta \cos \theta_1 \cos i_1)$$

$$+ \cos \theta \cos \theta_1 \sin i \sin i_1$$

$$C = \cos \xi \cos \xi_1 + \cos \theta \cos \theta_1 + \sin \theta \sin \theta_1 \sin i \sin i_1$$

$$= \cos (\omega - \omega_1) (\cos \theta \cos \theta_1 + \sin \theta \sin \theta_1 \cos i \cos i_1)$$

$$- \sin (\omega - \omega_1) (\sin \theta \cos \theta_1 \cos i - \cos \theta \sin \theta_1 \cos i_1)$$

$$+ \sin \theta \sin \theta_1 \sin i \sin i_1$$

$$\begin{array}{lll} D = & \cos \mathfrak{T} \cos \tau_1 & + \cos \theta & \cos \theta_1 - \sin \varpi \cos \varpi_1 \sin i \sin i_1 \\ = & \cos \left(\omega - \omega_1\right) \left(\cos \varpi \sin \varpi_1 - \sin \varpi \cos \varpi_1 \cos i \cos i_1\right) \\ - & \sin \left(\omega - \omega_1\right) \left(\sin \varpi \sin \varpi_1 \cos i + \cos \varpi \cos \varpi_1 \cos i_1\right) \\ - & \sin \varpi \cos \varpi_1 \sin i \sin i_1, \end{array}$$

so werden die beiden obigen Gleichungen:

(11)
$$\begin{cases} \frac{Z}{a^3} \left\{ 3 - A \left(e_1 - Z_1 \right) - B \beta_1 \right\} + \\ + \frac{3}{b_2} \left\{ \left(e - Z \right) - C \left(e_1 - Z_1 \right) - D \beta_1 \right\} = 0, \\ \frac{Z_1}{a_1^2} \left\{ D \left(e - Z \right) + B \beta_1 - \beta_1 \right\} + \\ + \frac{3}{b_1^2} \left\{ C \left(e - Z \right) + A \beta_1 - \left(e_1 - Z_1 \right) \right\} = 0; \end{cases}$$

und zur Bestimmung der vier Grössen Z, Z, Z, Z, Z, haben wir daher nach (9) und (11) die vier folgenden Gleichungen:

(12)
$$\left(\frac{Z}{a}\right)^{3} + \left(\frac{3}{b}\right)^{2} = 1, \left(\frac{Z_{i}}{a_{i}}\right)^{3} + \left(\frac{3_{1}}{b_{i}}\right)^{3} = 1;$$

$$\frac{Z}{a^{3}} \left\{ 3 - A \left(e_{1} - Z_{1}\right) - B \beta_{1} \right\} +$$

$$+ \frac{3}{b^{3}} \left\{ (e - Z) - C(e_{1} - Z_{1}) - D \beta_{1} \right\} = 0,$$

$$\frac{Z_{1}}{a_{1}^{3}} \left\{ D \left(e - Z\right) + B \beta_{1} - \beta_{1} \right\} +$$

$$+ \frac{Z_{1}}{b_{1}^{3}} \left\{ C \left(e - Z\right) + A \beta_{1} - \left(e_{1} - Z_{1}\right) \right\} = 0.$$

Hat man Z, B; Z_1 , B_1 mittelst dieser Gleichungen gefunden, so ergeben sich u, v, w; u_1 , v_1 , v_2 mittelst der Formeln (8) und (8*)-

Zwischen den Grössen A, B, C, D existiren verschiedene bemerkenswerthe Relationen, deren man sich bedienen kann, um, wenn man die in Rede stehenden Grössen berechnet hat, die Richtigkeit der Rechnung zu prüfen; unter diesen verschiedenen Relationen wollen wir hier jedoch nur auf die folgenden aufmerksam machen:

(13) A sin
$$\varpi$$
 cos $\varpi_1 + B$ sin ϖ sin $\varpi_1 + \cdots + C$ cos ϖ cos $\varpi_1 + D$ cos ϖ sin $\varpi_1 = \cos(\omega - \omega_1)$

oder

oder
$$(A \cos \varpi_1 + B \sin \varpi_1) \sin \varpi + \\
+ (C \cos \varpi_1 + D \sin \varpi_1) \cos \varpi \\
+ D \cos \varpi) \sin \varpi_1 + \\
+ (A \sin \varpi + C \cos \varpi) \cos \varpi_1$$

$$= \cos(\omega - \omega_1);$$

ferner:

$$(A+D) \cos (\varpi + \varpi_1) + (B-C) \sin (\varpi + \varpi_1) = \\ -2 \sin \omega - \omega_1) \sin \frac{1}{2} (i-i_1) \sin \frac{1}{2} (i+i_1),$$

$$(A-D) \cos (\varpi - \varpi_1) - (B+C) \sin (\varpi - \varpi_1) = \\ -2 \sin (\omega - \omega_1) \cos \frac{1}{2} (i-i_1) \cos \frac{1}{2} (i+i_1).$$

Alles kommt nun auf die Auflösung der vier Gleichungen (12) an; aber so einfach diese Gleichungen auch an sich zu sein scheinen, so führt ihre vollständige Auflösung doch in grosse Verwickelung und man gelangt dadurch zu einer Gleichung, deren Auflösung die Kräste der Algebra weit übersteigt. Es bleibt daher nichts Anderes übrig, als diese Gleichungen auf dem Wege der successiven Annäherung aufzulösen, wozu wir jetzt die uns am zweckmässigsten scheinende Methode angeben wollen.

Setzen wir der Kürze wegen

(16)
$$U = \frac{Z}{a}, V = \frac{3}{b}; U_1 = \frac{Z}{a_1}, V_1 = \frac{3_1}{b_1};$$

so werden unsere Gleichungen:

$$U^{3} + V^{3} = 1, \ U_{1}^{3} + V_{1}^{3} = 1;$$

$$0 = \frac{U}{a} \left\{ b \ V - A \left(e_{1} - a_{1} \ U_{1} \right) - Bb_{1} \ V_{1} \right\}$$

$$+ \frac{V}{b} \left\{ \left(e - a \ U \right) - C \left(e_{1} - a_{1} \ U_{1} \right) - Db_{1} \ V_{1} \right\},$$

$$0 = \frac{U_{1}}{a_{1}} \left\{ D \left(e - a \ U \right) + Bb \ V - b_{1} \ V_{1} \right\}$$

$$+ \frac{V_{1}}{b_{1}} \left\{ C \left(e - a \ U \right) + Ab \ V - \left(e_{1} - a_{1} \ U_{1} \right) \right\};$$

(17)
$$\begin{cases} \varepsilon = \frac{e}{a} = \frac{\sqrt{a^3 - b^3}}{a} = \sqrt{1 - \left(\frac{b}{a}\right)^2}, \\ \varepsilon_1 = \frac{e_1}{a_1} = \frac{\sqrt{a_1^3 - b_1^3}}{a_1} = \sqrt{1 - \left(\frac{b_1}{a_1}\right)^3} \end{cases}$$

setzen:

$$U^{2} + V^{3} = 1, U_{1}^{2} + V_{1}^{2} = 1;$$

$$0 = \frac{U}{a} \left\{ bV - Aa_{1} \left(\varepsilon_{1} - U_{1} \right) - Bb_{1} V_{1} \right\} + \frac{V}{b} \left\{ a \left(\varepsilon - U \right) - Ca_{1} \left(\varepsilon_{1} - U_{1} \right) - Db_{1} V_{1} \right\},$$

$$0 = \frac{U_{1}}{a_{1}} \left\{ Da \left(\varepsilon - U \right) + Bb V - b_{1} V_{1} \right\} + \frac{V_{1}}{b_{1}} \left\{ Ca \left(\varepsilon - U \right) + Ab V - a_{1} \left(\varepsilon_{1} - U_{1} \right) \right\};$$

oder, wenn der Kürze wegen

(18)
$$W = \varepsilon - U, W_1 = \varepsilon_1 - U_1$$

gesetzt wird:

$$U^{2} + V^{2} = 1, \quad U_{1}^{2} + V_{1}^{2} = 1;$$

$$0 = \frac{\epsilon - W}{a} (bV - Aa_{1} W_{1} - Bb_{1} V_{1})$$

$$+ \frac{V}{b} (aW - Ca_{1} W_{1} - Db_{1} V_{1})$$

$$0 = \frac{\epsilon_{1} - W_{1}}{a_{1}} (DaW + BbV - b_{1} V_{1})$$

$$+ \frac{V_{1}}{b_{1}} (CaW + AbV - a_{1} W_{1}.$$

Aus den beiden letzten Gleichungen erhält man:

$$V_{1} = \frac{\left(\frac{b}{a} \ V - \frac{a_{1}}{a} \ A \ W_{1}\right) \left(\varepsilon - W\right) + \left(\frac{a}{b} \ W - \frac{a_{1}}{b} \ C \ W_{1}\right) \ V}{\frac{b_{1}}{a} B \left(\varepsilon - W\right) + \frac{b_{1}}{b} D V}$$

$$V_{1} = \frac{\left(\frac{a}{a_{1}} D W + \frac{b}{a_{1}} B V\right) \left(\varepsilon_{1} - W_{1}\right)}{\frac{b_{1}}{a_{1}} \left(\varepsilon_{1} - W_{1}\right) - \left(\frac{a}{b_{1}} C W + \frac{b}{b_{1}} A V - \frac{a_{1}}{b_{1}} W_{1}\right)}$$
oder, wenn man
$$F = \frac{b}{a} V \left(\varepsilon - W\right) + \frac{a}{b} V W,$$

$$G = -\frac{a_{1}}{a} A \left(\varepsilon - W\right) - \frac{a_{1}}{b} C V,$$

 $H = \frac{b_1}{\pi} B (\varepsilon - W) + \frac{b_1}{\pi} DV;$

 $J = \epsilon_1 \left(\frac{a}{a} DW + \frac{b}{a} BV \right),$

$$K = -\left(\frac{a}{a_1}DW + \frac{b}{a_1}BV\right),$$

$$L = \frac{b_1}{a_1}\epsilon_1 - \left(\frac{a}{b_1}CW + \frac{b}{b_1}AV\right),$$

$$M = \frac{a_1}{b_1} - \frac{b_1}{a_1}$$

setzt:

(19)
$$V_i = \frac{F + G W_1}{H}, V_i = \frac{J + KW_1}{L + MW_1};$$

woraus sich die Gleichung

$$\frac{F+GW_1}{H}=\frac{J+KW_1}{L+MW_1}.$$

also nach gehöriger Entwickelung die Gleichung

(20)
$$G M W_1^2 + (FM + GL - HK) W_1 + FL - HJ = 0$$
 ergibt.

Die obigen Ausdrücke von F, G, H, J, K, L, M bringt man leicht auf die folgende Form:

The second and the foligendary Form:
$$F = \left\{ (\varepsilon - W) \sqrt{1 - \varepsilon^2} + \frac{W}{\sqrt{1 - \varepsilon^3}} \right\} V,$$

$$G = -\frac{a_1}{a} \left\{ A(\varepsilon - W) + \frac{CV}{\sqrt{1 - \varepsilon^3}} \right\},$$

$$H = \frac{a_1}{a} \left\{ B(\varepsilon - W) + \frac{DV}{\sqrt{1 - \varepsilon^3}} \right\} \sqrt{1 - \varepsilon_1^3};$$

$$J = \varepsilon_1 \frac{a}{a_1} \left\{ DW + BV\sqrt{1 - \varepsilon^3} \right\} = -\varepsilon_1 K,$$

$$K = -\frac{a}{a_1} \left\{ DW + BV\sqrt{1 - \varepsilon^3} \right\} = -\frac{J}{\varepsilon_1},$$

$$L = \varepsilon_1 \sqrt{1 - \varepsilon_1^3} - \frac{a}{a_1} \cdot \frac{CW + AV\sqrt{1 - \varepsilon^3}}{\sqrt{1 - \varepsilon_1^3}},$$

$$M = \frac{1}{\sqrt{1 - \varepsilon_1^3}} - \sqrt{1 - \varepsilon_1^3} = \frac{\varepsilon_1^3}{\sqrt{1 - \varepsilon_1^3}};$$

und bedient sich nun der vorhergehenden Formeln auf folgende Art Wegen der Gleichung

$$U^3 + V^3 = 1$$

liegt U zwischen den Grenzen — 1 und + 1. Man muss also das Intervall zwischen — 1 und + 1 in eine gewisse Anzahl gleicher Theile theilen, und die dadurch erhaltenen numerischen Werthe

nach und nach für $m{U}$ setzen, worauf man die entsprechenden Werthe von $m{W}$ mittelst der Formel

$$W = \epsilon - U$$
.

und die entsprechenden Werthe von V mittelst der Formel

$$V = \pm V \overline{1 - U^2} = \pm V \overline{(1 - U)(1 + U)}$$

findet. Dann kann man die entsprechenden Werthe von F, G, H, J, K, L, M mittelst der Formeln (21) berechnen, und die entsprechenden Werthe von W_1 erhält man hierauf durch Auflösung der quadratischen Gleichung (20). Die entsprechenden Werthe von V_1 werden endlich mittelst einer der beiden Formeln

$$V_1 = \frac{F + GW_1}{H}, V_1 = \frac{J + KW_1}{L + MW_1}$$

erhalten. Die gefundenen Werthe von W_1 und V_2 setzt man nun, nachdem man noch U_1 mittelst der Formel

$$U_1 = \varepsilon_1 - W_1$$

berechnet hat, in die Gleichung

$$U_1^2 + V_1^2 = 1.$$

und untersucht, in wie weit dieselbe erfüllt ist. Eigentlich berechnet man die Werthe der Function

$$U_1^2 + V_1^2 - 1$$

die zum Verschwinden gebracht werden muss, und beurtheilt aus den Zeichenwechseln dieser Werthe in bekannter Weise die engeren Grenzen, zwischen denen U liegen muss. Eine weitere Erläuterung bedarf dieses allgemein bekannte Verfahren der successiven Annäherung hier nicht; es genügt, gezeigt zu haben, dass man durch das Obige immer alle Werthe, die U haben kann, mit jedem beliebigen Grade der Genauigkeit auf einem völlig sichern Wege zu berechnen im Stande ist.

Bemerkt zu werden verdient auch noch Folgendes.

Wegen der Gleichungen

$$\left(\frac{Z}{a}\right) + \left(\frac{3}{b}\right)^2 = 1, \left(\frac{Z_1}{a_1}\right)^2 + \left(\frac{3}{b_1}\right)^2 = 1$$

kann man

(22)
$$\frac{Z}{a} = \cos \Omega$$
, $\frac{3}{b} = \sin \Omega$; $\frac{Z_1}{a_1} = \cos \Omega_1$, $\frac{3_1}{b_1} = \sin \Omega_1$;

also

$$Z = a \cos \Omega$$
, $\beta = b \sin \Omega$; $Z_1 = a_1 \cos \Omega_1$, $\beta_1 = b_1 \sin \Omega_1$

setzen. Dadurch werden die beiden letzten der Gleichungen (12):

$$0 = \frac{\cos \Omega}{a} \left\{ b \sin \Omega - A \left(e_1 - a_1 \cos \Omega_1 \right) - Bb_1 \sin \Omega_1 \right\}$$

$$+ \frac{\sin \Omega}{b} \left\{ \left(e - a \cos \Omega \right) - C \left(e_1 - a_1 \cos \Omega_1 \right) - Db_1 \sin \Omega_1 \right\},$$

$$0 = \frac{\cos \Omega_1}{a_1} \left\{ D \left(e - a \cos \Omega \right) + Bb \sin \Omega - b_1 \sin \Omega_1 \right\}$$

$$+ \frac{\sin \Omega_1}{b_1} \left\{ C \left(e - a \cos \Omega \right) + Ab \sin \Omega - \left(e - a_1 \cos \Omega_1 \right) \right\}$$
oder:

$$0 = \frac{e - Ce_1}{b} \sin \Omega - \frac{e_1}{a} A \cos \Omega - \left(\frac{a}{b} - \frac{b}{a}\right) \sin \Omega \cos \Omega + \left(\frac{a_1}{a} A \cos \Omega + \frac{a_1}{b} C \sin \Omega\right) \cos \Omega_1 - \left(\frac{b_1}{a} B \cos \Omega + \frac{b_1}{b} D \sin \Omega\right) \sin \Omega_1,$$

$$0 = \frac{e_1 - Ce}{b_1} \sin \Omega_1 - \frac{e}{a_1} D \cos \Omega_1 - \left(\frac{a_1}{b_1} - \frac{b_1}{a_1}\right) \sin \Omega_1 \cos \Omega_1 + \left(\frac{a}{a_1} D \cos \Omega_1 + \frac{a}{b_1} C \sin \Omega_1\right) \cos \Omega - \left(\frac{b}{a_1} B \cos \Omega_1 + \frac{b}{b_1} A \sin \Omega_1\right) \sin \Omega;$$

oder auch:

$$0 = \left(\frac{\varepsilon}{\sqrt{1-\varepsilon^{2}}} - \frac{a_{1}}{a} C \cdot \frac{\varepsilon_{1}}{\sqrt{1-\varepsilon^{2}}}\right) \sin \Omega - \frac{a_{1}}{a} \varepsilon_{1} A \cos \Omega$$

$$-\left(\frac{1}{\sqrt{1-\varepsilon^{2}}} - V \cdot 1-\varepsilon^{2}\right) \sin \Omega \cos \Omega$$

$$+ \frac{a_{1}}{a} \left(A \cos \Omega + \frac{C}{\sqrt{1-\varepsilon^{2}}} \sin \Omega\right) \cos \Omega_{1}$$

$$- \frac{a_{1}}{a} \left(B \cos \Omega + \frac{D}{\sqrt{1-\varepsilon^{2}}} \sin \Omega\right) V \cdot 1-\varepsilon_{1}^{3} \cdot \sin \Omega_{1},$$

$$0 = \left(\frac{\varepsilon_{1}}{\sqrt{1-\varepsilon_{1}^{3}}} - \frac{a}{a_{1}} C \cdot \frac{\varepsilon}{\sqrt{1-\varepsilon_{1}^{2}}}\right) \sin \Omega_{1} - \frac{a}{a_{1}} \varepsilon D \cos \Omega_{1}$$

$$-\left(\frac{1}{\sqrt{1-\varepsilon_{1}^{3}}} - V \cdot 1-\varepsilon_{1}^{2}\right) \sin \Omega_{1} \cos \Omega_{1}$$

$$+ \frac{a}{a_{1}} \left(D \cos \Omega_{1} + \frac{C}{\sqrt{1-\varepsilon_{1}^{3}}} \sin \Omega_{1}\right) \cos \Omega$$

$$- \frac{a}{a_{2}} \left(B \cos \Omega_{1} + \frac{A}{\sqrt{1-\varepsilon_{2}^{3}}} \sin \Omega_{1}\right) V \cdot 1-\varepsilon^{3} \cdot \sin \Omega.$$

Wie man sich bei der näherungsweisen Auflösung dieser Gleichungen zu verhalten haben würde, bedarf kaum noch einer besonderen Erläuterung. Für angenommene Werthe von Ω bestimmt man das entsprechende Ω_1 mittelst der ersten Gleichung, wobei man sich der bekannten Auflösungsmethode der Gleichungen von der Form

$$\alpha + \beta \cos \varphi + \gamma \sin \varphi = 0$$

bedient, und untersucht dann, ob durch die beiden in Rede stehenden Werthe von Ω und Ω_1 die zweite Gleichung erfüllt wird. Ich glaube aber, dass die erste vorher entwickelte Auflösungsmethode sicherer und leichter zum Zweck führt, weil das Intervall der Grenzen — 1 und + 1, zwischen denen unser obiges U nothwendig liegen muss, ein ganz bestimmtes und nicht sehr grosses ist. Übrigens bemerke ich noch, dass die beiden Gleichungen (23) denen sehr ähnlich sind, auf die schon Herr von Littrow a. a. O. unser Problem zurückgeführt hat.

V. Proximităten zweier kreisf\u00f6rmigen Bahnen, welche die Mittelpunkte gemein haben.

Wenn man die beiden in IV. betrachteten elliptischen Bahnen als kreisförmig annimmt, und demzufolge a=b=r, $a_1=b_1=r_1$, e=o, $e_1=o$ setzt; so werden die Gleichungen IV, (12):

$$Z^{2} + \beta^{3} = r^{2}, Z_{1}^{2} + \beta_{1}^{2} = r_{1}^{2};$$

$$Z(\beta + AZ_{1} - B\beta_{1}) - \beta(Z - CZ_{1} + D\beta_{1}) = 0,$$

$$Z_{1}(DZ - B\beta + \beta_{1}) + \beta_{1}(CZ - A\beta - Z_{1}) = 0;$$

oder kürzer:

(1)
$$\begin{cases} Z^{2} + \beta^{3} = r^{3}, Z_{1}^{2} + \beta_{1}^{3} = r_{1}^{2}; \\ (AZ_{1} - B\beta_{1}) Z + (CZ_{1} - D\beta_{1}) \beta = 0, \\ (DZ - B\beta) Z_{1} + (CZ - A\beta) \beta_{1} = 0. \end{cases}$$

Aus den zwei letzten Gleichungen folgt:

(2)
$$\beta_1 = \frac{AZ + C\beta}{BZ + D\beta} Z_1, \ \beta_1 = -\frac{DZ - B\beta}{CZ - A\beta} Z_1;$$

und durch Gleichsetzung dieser beiden Werthe von 3, erhält man die Gleichung:

$$(AZ + C3) (CZ - A3) + (BZ + D3) (DZ - B3) = 0$$
, welche, weiter entwickelt, zu der Gleichung

$$(AC + BD)(Z^3 - 3^3) - (A^3 + B^2 - C^3 - D^2)Z3 = 0$$

führt, so dass man also jetzt zur Bestimmung von Z und β die beiden Gleichungen

 $3^2 = r^2 - Z^2$

ist, so wird die zweite Gleichung

$$(AC+BD) (2Z^2-r^2)-(A^2+B^2-C^2-D^2) Z_3=0$$
, woraus sich

(4)
$$\beta = \frac{(AC + BD)(2 3^3 - r^3)}{(A^3 + B^3 - C^3 - D^3)Z}$$

ergibt. Führt man aber diesen Werth von 3 in die erste der beiden Gleichungen (3) ein, so erhält man zur Bestimmung von Z die Gleichung:

(5)
$$Z^{2} + \frac{(AC+BD)^{2} (2 Z^{2}-r^{2})^{2}}{(A^{2}+B^{2}-C^{2}-D^{3})^{2} Z^{3}} = r^{2}.$$

Nach gehöriger Entwickelung erhält man aus dieser Gleichung die Gleichung

$$\left. \begin{array}{l} \left\{ (A^2 + B^2 - C^2 - D^2)^2 + 4(AC + BD)^2 \right\} & Z^4 \\ -\left\{ (A^2 + B^2 - C^2 - D^2)^2 + 4(AC + BD)^2 \right\} r^2 Z^2 \\ & + (AC + BD)^2 r^4 \end{array} \right\} = 0,$$

und löst man diese Gleichung wie eine quadratische Gleichung auf gewöhnliche Weise auf, so erhält man nach einigen leichten Transformationen:

(6)
$$Z^2 = \frac{1}{2} r^2 \left\{ 1 \pm \frac{A^2 + B^2 - C^2 - D^2}{\sqrt{(A^2 + B^2 - C^2 - D^2)^2 + 2(AC + BD)^2}} \right\}$$

Auch überzeugt man sich leicht von der Richtigkeit der nachstehenden Gleichung:

$$(A^2 + B^2 - C^2 - D^2)^2 + 4(AC + BD)^2$$

= $(A^2 + B^2 + C^2 + D^2)^2 - 4(AD - BC)^2$,

und kann daher die Formel (6) auch auf folgende Art darstellen:
(6*)
$$Z^2 = \frac{1}{2}r^2 \left\{ 1 \pm \frac{A^2 + B^2 - C^2 - D^2}{\sqrt{(A^2 + B^2 + C^2 + D^2)^2 - 4^4(AD - BC)^2}} \right\}$$

Weil der absolute Werth des Bruches

$$\frac{A^{9}+B^{3}-C^{2}-D^{2}}{\sqrt{A^{3}+B^{2}-C^{3}-D^{2})^{3}+4(AC+BD)^{3}}}$$

offenbar immer kleiner als die Einheit ist, so erhellet aus (6), dass die beiden Werthe von Z² immer positiv sind, also Z jederzeit vier reelle Werthe hat.

Aus Z ergibt sich \mathfrak{Z} mittelst der Formel (4) ohne alle Zweideutigkeit, und zur Bestimmung von Z_1 erhält man aus (1) und (2):

$$\frac{(AZ+C3)^3+(BZ+D3)^3}{(BZ+D3)^3} Z_1^3 = \frac{(A3-CZ)^3+(B3-DZ)^3}{(A3-CZ)^3} Z_1^2 = r_1^3,$$
also

$$(7) Z_{1} = \pm \frac{(BZ-D3) r_{1}}{\sqrt{(AZ+C3)^{3}+(BZ+D3)^{3}}} = \pm \frac{(A3-CZ) r_{1}}{\sqrt{(A3-CZ)^{3}+(B3-DZ)^{2}}}$$

Endlich findet man 3, mittelst einer der beiden Formeln (2).

Man kann sich die Rechnung nach vorstehenden Formeln durch Einführung von Hülfswinkeln auf verschiedene Arten erleichtern, wobei ich jedoch nicht verweilen will, da dergleichen Transformationen einem Jeden geläufig sind. Bemerken will ich indess, dass, wenn man

(8)
$$\frac{z}{r} = \cos \varphi, \frac{s}{r} = \sin \varphi$$

setzte, was wegen der ersten der Gleichungen (3) verstattet ist, die zweite der Gleichungen (3) die Form

$$(AC + BD)(\cos \varphi^2 - \sin \varphi^2) - (A^2 + B^2 - C^2 - D^2) \sin \varphi \cos \varphi = 0,$$
 also die Form

2 (AC + BD) cos 2
$$\varphi$$
 — (A²+B²—C²—D²) sin 2 φ = 0 erhalten würde, woraus sich zur Bestimmung von φ die Formel

(9)
$$tang 2 \varphi = \frac{2(AC+BD)}{A^2+B^2-C^2-D^2}$$

ergibt. Hat man mittelst dieser Formel φ gefunden, so erhält man Z und \Im mittelst der aus (8) unmittelbar fliessenden Formeln:

(10)
$$Z = r \cos \varphi, \ \beta = r \sin \varphi.$$

Die Grössen Z_i und β_i erhält man wie vorher.

VI. Proximitaten zweier parabolischen Bahnen, welche die Brennpunkte mit einander gemein haben.

Die Proximitäten zweier parabolischen Bahnen mit gemeinschaftlichen Brennpunkten gestatten eine ganz ähnliche Behandlung wie die Proximitäten zweier elliptischen Bahnen in IV; nur müssen wir hier die aus III (3) bekannte Gleichung der Parabel

$$\frac{(s-w)^2}{\cos \varpi^2 \sin i^2} = \frac{1}{4} p^2 - \frac{ps}{\sin \varpi \sin i}$$

in Anwendung bringen. Aus dieser Gleichung folgt:

$$\frac{2(z-w)}{\cos \varpi^2 \sin i} \cdot \frac{d(z-w)}{du} = -\frac{p}{\sin \varpi} \cdot \frac{dz}{du};$$

nach IV ist aber

$$\frac{dz}{du} = -\sin \varpi \tan g i \left(\cos \theta - \cos \tau \frac{dv}{du}\right)$$

$$= \frac{\sin \varpi}{\cos \omega} \left(\cos \varpi \sin i + \cos \tau \frac{dw}{du}\right),$$

$$\frac{d(z-w)}{du} = \cos \varpi \tan g i \left(\cos \theta - \cos \mathfrak{T} \frac{dv}{du}\right)$$

$$= \frac{\cos \varpi}{\cos w} \left(\sin \varpi \sin i - \cos \mathfrak{T} \frac{dw}{du}\right);$$

also durch Substitution in die vorher aus der Gleichung der Parabel durch Differentiation abgeleitete Gleichung

$$\frac{2\left(\mathbf{z}-\mathbf{w}\right)}{\cos\mathbf{w}\sin i}\left(\cos\Theta-\cos\mathfrak{T}\,\frac{dv}{du}\right)=p\left(\cos\theta-\cos\tau\,\frac{dv}{du}\right), \\ \frac{2\left(\mathbf{z}-\mathbf{w}\right)}{\cos\mathbf{w}\sin i}\left(\sin\mathbf{w}\sin i-\cos\mathfrak{T}\,\frac{dw}{du}\right)=-p\left(\cos\mathbf{w}\sin i+\cos\tau\frac{dw}{du}\right)$$

woraus man leicht

(1)
$$\begin{cases} \frac{dv}{du} = \frac{p \cos \theta - \frac{2(z-w)}{\cos \varpi \sin i} \cos \theta}{p \cos \tau - \frac{2(z-w)}{\cos \varpi \sin i} \cos \mathfrak{T}}, \\ \frac{dw}{du} = -\sin i \frac{p \cos \varpi + \frac{2(z-w)}{\cos \varpi \sin i} \sin \varpi}{p \cos \tau - \frac{2(z-w)}{\cos \varpi \sin i} \cos \mathfrak{T}}; \end{cases}$$

oder

(1*)
$$\begin{cases} \frac{dv}{du} = \frac{p \cos w \sin i \cos \theta - 2(z-w) \cos \theta}{p \cos w \sin i \cos \tau - 2(z-w) \cos x}, \\ \frac{dw}{du} = -\sin i \frac{p \cos w \cos w \sin i + 2(z-w) \sin w}{p \cos w \cos \tau \sin i - 2(z-w) \cos x} \end{cases}$$

erhält.

Ganz wie in IV haben wir:

$$u = \left(z \frac{\cos x}{\sin w} + \frac{1}{2} \frac{\cos x}{\cos w}\right) \operatorname{cosec} i,$$

$$v = \left(z \frac{\cos \theta}{\sin w} + \frac{\cos \theta}{\cos w}\right) \operatorname{cosec} i,$$

$$w = z - \frac{1}{2};$$

und natürlich eben so:

$$u_1 = \left(z_1 \frac{\cos \mathfrak{X}_1}{\sin \mathfrak{A}_1} + b_1 \frac{\cos \mathfrak{X}_1}{\cos \mathfrak{A}_1}\right) \operatorname{cosec} i_1,$$

$$v_1 = \left(z_1 \frac{\cos \theta_1}{\sin \mathfrak{A}_1} + b_1 \frac{\cos \theta_1}{\cos \mathfrak{A}_1}\right) \operatorname{cosec} i_1,$$

$$w_1 = z_1 - b_1;$$

so dass also, wenn wir jetzt

(2)
$$Z = \frac{x}{\sin \varpi \sin i}$$
, $\beta = \frac{x-\omega}{\cos \varpi \sin i}$

und

$$(2^{\bullet}) Z_1 = \frac{x_1}{\sin w_1 \sin i_1}, \ \beta_1 = \frac{x_1 - w_1}{\cos w_1 \sin i_1}$$

setzen:

(3)
$$\begin{cases} u = Z \cos \mathfrak{T} + \mathfrak{Z} \cos \tau, \\ v = Z \cos \theta + \mathfrak{Z} \cos \theta, \\ w = (Z \sin \varpi - \mathfrak{Z} \cos \varpi) \sin i \end{cases}$$

und

$$(3^*) \begin{cases} u_1 = Z_1 \cos \mathfrak{T}_1 + \beta_1 \cos \tau_1, \\ v_1 = Z_1 \cos \theta_1 + \beta_1 \cos \theta_1, \\ w_1 = (Z_1 \sin \mathfrak{W}_1 - \beta_1 \cos \mathfrak{W}_1) \sin i_1 \end{cases}$$

ist.

Wegen der Gleichung der Parabel hat man nun zuvörderst die beiden folgenden Gleichungen:

(4)
$$\beta^2 = p \left(\frac{1}{4} p - Z \right), \ \beta_1^2 = p_1 \left(\frac{1}{4} p_1 - Z_1 \right).$$

Ferner muss nach I. (16).

$$u-u_{1} + (v-v_{1})\frac{dv}{du} + (w-w_{1})\frac{dw}{du} = 0,$$

$$u-u_{1} + (v-v_{1})\frac{dv_{1}}{du_{1}} + (w-w_{1})\frac{dw_{1}}{du_{1}} = 0.$$

sein, woraus sich nach (1 *) die Gleichungen

$$\begin{array}{lll} 0 = p \cos \varpi \sin i & \{(u-u_1)\cos \tau + (v-v_1)\cos \theta - (w-w_1)\cos \varpi \sin i \} \\ & - 2 (z & w) & \{(u-u_1)\cos \mathfrak{T} + (v-v_1)\cos \theta - (w+w_1)\sin \varpi \sin i \}, \\ 0 = p_1 \cos \varpi_1 \sin i_1 & \{(u-u_1)\cos \tau_1 + (v-v_1)\cos \theta_1 - (w-w_1)\cos \varpi_1 \sin i_1 \} \\ & - 2 (z_1-w_1) & \{(u-u_1)\cos \mathfrak{T}_1 + (v-v_1)\cos \theta_1 + (w-w_1)\sin \varpi_1 \sin i_1 \}; \\ \text{oder nach } (2^*) & \text{ die Gleichungen} \end{array}$$

$$0 = \frac{1}{2} p \left\{ (u-u_1) \cos \tau + (v-v_1) \cos \theta - (w-w_1) \cos \varpi \sin i \right\} \\ - 3 \left\{ (u-u_1) \cos \mathfrak{X} + (v-v_1) \cos \theta + (w-w_1) \sin \varpi \sin i \right\},$$

$$0 = \frac{1}{2} p_1 \left\{ \begin{array}{l} (u-u_1) \cos \tau_1 + (v-v_1) \cos \theta_1 + (w-w_1) \cos \varpi_1 \sin i_1 \\ -\theta_1 \end{array} \right\} \left(u-u_1) \cos \mathcal{X}_1 + (v-v_1) \cos \theta_1 + (w-w_1) \sin \varpi_1 \sin i_1 \right\}$$
 ergeben.

Führt man nun in diese Gleichungen für u, v, w und u_1 , v_1 , w_1 ihre obigen Werthe ein, so werden dieselben:

$$0 = \frac{1}{2}p \begin{cases} Z \left(\cos \tau \cos \mathfrak{T} + \cos \theta \cos \theta - \sin \mathfrak{T} \cos \mathfrak{T} \sin i \frac{\vartheta}{\vartheta}\right) \\ + \Im \left(\cos \tau \cos \tau + \cos \theta \cos \theta + \cos \mathfrak{T} \cos \mathfrak{T} \sin i \frac{\vartheta}{\vartheta}\right) \\ - Z_1(\cos \tau \cos \mathfrak{T}_1 + \cos \theta \cos \theta_1 - \cos \mathfrak{T} \sin \mathfrak{T}_1 \sin i \sin i_1) \\ - \Im_1(\cos \tau \cos \mathfrak{T}_1 + \cos \theta \cos \theta_1 - \cos \mathfrak{T} \sin \mathfrak{T}_2 \sin i \sin i_1) \\ - \Im_1(\cos \tau \cos \mathfrak{T}_1 + \cos \theta \cos \theta_1 + \cos \mathfrak{T} \cos \mathfrak{T}_1 \sin i \sin i_1) \\ - \Im_1(\cos \mathfrak{T} \cos \mathfrak{T}_1 + \cos \theta \cos \theta + \sin \mathfrak{T} \sin \mathfrak{T} \sin i \sin i_1) \\ - Z_1(\cos \mathfrak{T} \cos \mathfrak{T}_1 + \cos \theta \cos \theta_1 + \sin \mathfrak{T} \sin \mathfrak{T}_3 \sin i \sin i_1) \\ - \Im_1(\cos \mathfrak{T} \cos \mathfrak{T}_1 + \cos \theta \cos \theta_1 + \sin \mathfrak{T} \cos \mathfrak{T}_1 \sin i \sin i_1) \\ + \Im \left(\cos \mathfrak{T} \cos \tau_1 + \cos \theta \cos \theta_1 - \sin \mathfrak{T} \cos \mathfrak{T}_1 \sin i \sin i_1) \\ + \Im \left(\cos \tau \cos \tau_1 + \cos \theta \cos \theta_1 - \sin \mathfrak{T} \cos \mathfrak{T}_1 \sin i \sin i_1) \\ - Z_1(\cos \tau_1 \cos \tau_1 + \cos \theta \cos \theta_1 + \sin \mathfrak{T}_1 \cos \mathfrak{T}_1 \sin i \sin i_1) \\ - \Im_1(\cos \tau_1 \cos \tau_1 + \cos \theta_1 \cos \theta_1 + \sin \mathfrak{T}_1 \cos \mathfrak{T}_1 \sin i \sin i_1) \\ + \Im \left(\cos \tau \cos \mathfrak{T}_1 + \cos \theta \cos \theta_1 + \sin \mathfrak{T}_1 \sin \mathfrak{T}_1 \sin i \sin i_1) \\ - Z_1(\cos \mathfrak{T}_1 \cos \mathfrak{T}_1 + \cos \theta \cos \theta_1 - \cos \mathfrak{T}_1 \sin \mathfrak{T}_1 \sin i \sin i_1) \\ - \Im_1(\cos \mathfrak{T}_1 \cos \mathfrak{T}_1 + \cos \theta \cos \theta_1 + \sin \mathfrak{T}_1 \sin \mathfrak{T}_1 \sin i \sin i_1) \\ - \Im_1(\cos \mathfrak{T}_1 \cos \mathfrak{T}_1 + \cos \theta_1 \cos \theta_1 + \sin \mathfrak{T}_1 \sin \mathfrak{T}_1 \sin i \sin i_1) \\ - \Im_1(\cos \mathfrak{T}_1 \cos \mathfrak{T}_1 + \cos \theta_1 \cos \theta_1 + \sin \mathfrak{T}_1 \sin \mathfrak{T}_1 \sin i_1^3) \\ - \Im_1(\cos \tau_1 \cos \mathfrak{T}_1 + \cos \theta_1 \cos \theta_1 + \sin \mathfrak{T}_1 \sin \mathfrak{T}_1 \sin i_1^3) \\ - \Im_1(\cos \tau_1 \cos \mathfrak{T}_1 + \cos \theta_1 \cos \theta_1 - \sin \mathfrak{T}_1 \cos \mathfrak{T}_1 \sin i_1^3) \\ - \Im_1(\cos \tau_1 \cos \mathfrak{T}_1 + \cos \theta_1 \cos \theta_1 - \sin \mathfrak{T}_1 \cos \mathfrak{T}_1 \sin i_1^3) \\ - \Im_1(\cos \tau_1 \cos \mathfrak{T}_1 + \cos \theta_1 \cos \theta_1 - \sin \mathfrak{T}_1 \cos \mathfrak{T}_1 \sin i_1^3) \\ - \Im_1(\cos \tau_1 \cos \mathfrak{T}_1 + \cos \theta_1 \cos \theta_1 - \sin \mathfrak{T}_1 \cos \mathfrak{T}_1 \sin i_1^3) \\ - \Im_1(\cos \tau_1 \cos \mathfrak{T}_1 + \cos \theta_1 \cos \theta_1 - \sin \mathfrak{T}_1 \sin \mathfrak{T}_1 \sin i_1^3) \\ - \Im_1(\cos \tau_1 \cos \mathfrak{T}_1 + \cos \theta_1 \cos \theta_1 - \sin \mathfrak{T}_1 \sin \mathfrak{T}_1 \sin i_1^3) \\ - \Im_1(\cos \tau_1 \cos \mathfrak{T}_1 + \cos \theta_1 \cos \theta_1 - \sin \mathfrak{T}_1 \sin \mathfrak{T}_1 \sin i_1^3) \\ - \Im_1(\cos \tau_1 \cos \mathfrak{T}_1 + \cos \theta_1 \cos \theta_1 - \sin \mathfrak{T}_1 \cos \mathfrak{T}_1 \sin i_1^3) \\ - \Im_1(\cos \tau_1 \cos \mathfrak{T}_1 + \cos \theta_1 \cos \theta_1 - \sin \mathfrak{T}_1 \cos \mathfrak{T}_1 \sin i_1^3) \\ - \Im_1(\cos \tau_1 \cos \mathfrak{T}_1 + \cos \theta_1 \cos \theta_1 - \sin \mathfrak{T}_1 \cos \mathfrak{T}_1 \sin i_1^3) \\ - \Im_1(\cos \tau_1 \cos \mathfrak{T}_1 + \cos \theta_1 \cos \theta_1 - \sin \mathfrak{T}_1 \cos \mathfrak{T}_1 \sin i_1^3) \\ - \Im_1(\cos \tau_1 \cos \mathfrak{T}_1 + \cos \theta_1 - \sin \mathfrak{T}_1 \cos \mathfrak{T}_1 - \sin \mathfrak{T}_1 \cos \mathfrak{T}_1 + \cos \mathfrak{T}_1 - \cos \mathfrak{T}_1 - \sin \mathfrak{T}_1 - \cos \mathfrak{T}_1 - \cos \mathfrak{T}_1 - \cos \mathfrak{T}_1 - \sin \mathfrak{T}_1 - \cos \mathfrak{T}_1$$

also ebenso wie in IV:

(5)
$$\begin{cases} \frac{1}{2} p & (3 - AZ_1 - B\beta_1) - \beta & (Z - CZ_1 - D\beta_1) = 0, \\ \frac{1}{2} p_1 & (DZ + B\beta_1 - \beta_1) - \beta_1 & (CZ + A\beta_1 - Z_1) = 0. \end{cases}$$

Felglich haben wir nach (4) und (5) zur Bestimmung von Z_i , Z_i , Z_i , die vier folgenden Gleichungen:

$$\beta^{2} = p \left(\frac{1}{4} p - Z \right), \ \beta_{1}^{2} = p_{1} \left(\frac{1}{4} p_{1} - Z_{1} \right); \\
\frac{1}{2} p \left(\beta - AZ_{1} - B\beta_{1} \right) - \beta \left(Z - CZ_{1} - D\beta_{1} \right) = 0, \\
\frac{1}{2} p_{1} \left(DZ + B\beta_{1} - \beta_{1} \right) - \beta_{1} \left(CZ + A\beta_{1} - Z_{1} \right) = 0.$$

Aus den beiden ersten Gleichungen ergibt sich:

(7)
$$Z = \frac{\frac{1}{4} p^2 - \beta^2}{p}, Z_1 = \frac{\frac{1}{4} p_1^2 - \beta_1^2}{p_1};$$

und führt man diese Ausdrücke von Z und Z_1 in die beiden letzteren Gleichungen ein, so erhält man zwischen \mathfrak{Z} und \mathfrak{Z}_1 die beiden folgenden Gleichungen:

(8)
$$\begin{cases} \frac{1}{8} A p^{3} p_{1}^{2} - \frac{1}{4} (p + Cp_{1}) p p_{1} 3 - p_{1} 3^{2} \\ + (\frac{1}{2} Bp - D3) p p_{1} 3_{1} - (\frac{1}{2} Ap - C3) p 3_{1}^{2} \\ + (\frac{1}{2} Bp_{1}^{2} - D3) p p_{1} 3_{1} - (\frac{1}{2} Ap - C3) p 3_{1}^{2} \\ + (\frac{1}{2} Bp_{1} - A3_{1}) p p_{1} 3 - (\frac{1}{2} Dp_{1} - C3_{1}) p_{1} 3^{2} \\ + (\frac{1}{2} B - D \frac{3}{p}) \frac{3}{p} - \frac{p}{p_{1}} (\frac{3}{p})^{3} \\ + (\frac{1}{2} B - D \frac{3}{p}) \frac{3}{p_{1}} - (\frac{1}{2} A - C \frac{3}{p}) (\frac{3}{p_{1}})^{2} = 0, \end{cases}$$

$$(9)$$

$$\begin{cases} \frac{1}{8} D - \frac{1}{4} (C + \frac{p_{1}}{p}) \frac{3}{p} - \frac{p_{1}}{p} (\frac{3}{p})^{3} \\ + (\frac{1}{2} B - A \frac{3}{p_{1}}) \frac{3}{p} - (\frac{1}{2} D - C \frac{3}{p_{1}}) (\frac{3}{p})^{3} = 0. \end{cases}$$

Die erste dieser beiden Gleichungen ist in Bezug auf $\frac{3_1}{p_1}$ als unbekannte Grösse nur vom zweiten Grade. Man wird also für $\frac{8}{p}$ beliebige Werthe annehmen, $\frac{8_1}{p_1}$ mittelst der ersten der beiden obigen Gleichungen, welche nur vom zweiten Grade ist, bestimmen, und untersuchen, ob durch die auf diese Weise erhaltenen, einander entsprechenden Werthe von $\frac{8}{p}$ und $\frac{8_1}{p_1}$ die zweite der beiden obigen Gleichungen erfüllt wird. Ist es auf diese Weise gelungen, $\frac{8}{p}$ und $\frac{8_1}{p_1}$, also auch $\frac{8}{p}$ und $\frac{8_1}{p_1}$, also auch $\frac{8}{p}$ und $\frac{8_1}{p_1}$, also auch $\frac{8}{p}$ und $\frac{8_1}{p_1}$, in bestimmen, so ergeben sich ferner $\frac{8}{p}$ und $\frac{8_1}{p_1}$, also auch $\frac{8}{p}$ und $\frac{8_1}{p_1}$, winschenswerth wäre es freilich, Grenzen angeben können, zwischen denen $\frac{8}{p}$ nothwendig liegen muss; theoretisch lassen sich aber für diese Grösse nur die praktisch ganz unbrauchbaren Grenzen $-\infty$ und $+\infty$ angeben, und ich glube daher, dass bei der vorliegenden Aufgabe ein Modell der beiden parabolischen Bahnen, wie es schon Herr v. Littrow gebraucht hat, wesentliche Dienste leisten kann, um erste Näherungswerthe von $\frac{3}{p}$ zu finden, die dann mittelst der obigen Gleichungen

leicht weiter verbessert und zu völliger Genauigkeit erhoben werden können.

VII. Proximitaten einer elliptischen und einer parabolischen Bahn, die einen gemeinschaftlichen Brennpunkt haben.

Für

(1)
$$Z = e - \frac{s}{\sin \vartheta \sin i}$$
, $3 = \frac{s - \omega}{\cos \vartheta \sin i}$

and

(2)
$$Z_1 = \frac{z_1}{\sin w_1 \sin z_1}, \ \beta_1 = \frac{z_1 - w_1}{\cos w_1 \sin z_1}$$

haben wir nach IV und VI die beiden folgenden

(3)
$$\left(\frac{Z}{a}\right)^2 + \left(\frac{3}{b}\right)^2 = 1, \ \beta_1^2 = p_1 \left(\frac{1}{b}p_1 - Z_1\right)$$

Ferner haben wir für

(4)
$$\begin{cases} u = (e-Z)\cos x + 3\cos \tau, \\ v = (e-Z)\cos \theta + 3\cos \theta, \\ w = \{(e-Z)\sin w - 3\cos w\}\sin i \end{cases}$$

und

(5)
$$\begin{cases} u_1 = Z_1 \cos \mathfrak{T}_1 + \mathfrak{Z}_1 \cos \tau_1, \\ v_1 = Z_1 \cos \theta_1 + \mathfrak{Z}_1 \cos \theta_1, \\ w_1 = (Z_1 \sin \varpi_1 - \mathfrak{Z}_1 \cos \varpi_1) \sin i \end{cases}$$

nach IV und VI, die beiden folgenden Gleichungen:

$$0 = \frac{Z}{a^3} \{ (u-u_1) \cos \tau + (v-v_1) \cos \theta - (w-w_1) \cos \varpi \sin i \}$$

$$+ \frac{3}{b^3} \{ (u-u_1) \cos \Sigma + (v-v_1) \cos \Theta + (w-w_1) \sin \varpi \sin i \}$$

$$0 = \frac{1}{2} p_1 \{ (u-u_1) \cos \tau_1 + (v-v_1) \cos \theta_1 - (w-w_1) \cos \varpi_1 \sin i_1 \}$$

$$-3_1 \{ (u-u_1) \cos \Sigma_1 + (v-v_1) \cos \Theta_1 + (w-w_1) \sin \varpi_1 \sin i_1 \}$$
aus denen sich, wenn man die obigen Ausdrücke von u, v, w

and u_1, v_1, w_1 einführt, die folgenden Gleichungen ergeben:

$$0 = \frac{Z}{a^2} \begin{cases} (e-Z) (\cos \tau \cos \mathfrak{X} + \cos \theta \cos \theta - \sin \mathfrak{W} \cos \mathfrak{W} \sin i^2) \\ +3 (\cos \tau \cos \tau + \cos \theta \cos \theta + \cos \mathfrak{W} \cos \mathfrak{W} \sin i^2) \\ -Z_1 (\cos \tau \cos \mathfrak{X}_1 + \cos \theta \cos \theta_1 - \cos \mathfrak{W} \sin \mathfrak{W}_1 \sin i \sin i_1) \\ -8_1 (\cos \tau \cos \mathfrak{X}_1 + \cos \theta \cos \theta_1 + \cos \mathfrak{W} \cos \mathfrak{W}_1 \sin i \sin i_1) \end{cases} \\ +\frac{3}{b^2} \begin{cases} (e-Z) (\cos \mathfrak{X} \cos \mathfrak{X} + \cos \theta \cos \theta + \sin \mathfrak{W} \sin \mathfrak{W} \sin i^2) \\ +3 (\cos \tau \cos \mathfrak{X} + \cos \theta \cos \theta + \sin \mathfrak{W} \cos \mathfrak{W} \sin i^2) \\ -Z_1 (\cos \mathfrak{X} \cos \mathfrak{X}_1 + \cos \theta \cos \theta_1 + \sin \mathfrak{W} \sin \mathfrak{W}_1 \sin i \sin i_1) \\ -8_1 (\cos \mathfrak{X} \cos \mathfrak{X}_1 + \cos \theta \cos \theta_1 - \sin \mathfrak{W} \cos \mathfrak{W}_1 \sin i \sin i_1) \end{cases}$$

$$0 = \frac{1}{2}p_1 \begin{cases} (e-Z) & (\cos \mathcal{X} \cos \tau_1 + \cos \theta \cos \theta_1 - \sin \mathcal{W} \cos \mathcal{U}_1 \sin i \sin i_1) \\ +8 & (\cos \tau \cos \tau_1 + \cos \theta \cos \theta_1 + \cos \mathcal{W} \cos \mathcal{U}_1 \sin i \sin i_1) \\ -Z_1 & (\cos \tau_1 \cos \mathcal{X}_1 + \cos \theta_1 \cos \theta_1 - \sin \mathcal{U}_1 \cos \mathcal{U}_1 \sin i_1^2) \\ -8_1 & (\cos \tau_1 \cos \tau_1 + \cos \theta_1 \cos \theta_1 + \cos \mathcal{U}_1 \cos \mathcal{U}_1 \sin i_1^2) \end{cases}$$

$$= \frac{1}{2}p_1 \begin{cases} (e-Z) & (\cos \mathcal{X}_1 \cos \tau_1 + \cos \theta_1 \cos \theta_1 + \cos \mathcal{U}_1 \cos \mathcal{U}_1 \sin i_1^2) \\ +8 & (\cos \tau \cos \mathcal{X}_1 + \cos \theta \cos \theta_1 + \sin \mathcal{U}_1 \sin \mathcal{U}_1 \sin i \sin i_1) \\ +8 & (\cos \tau \cos \mathcal{X}_1 + \cos \theta \cos \theta_1 - \cos \mathcal{U}_1 \sin \mathcal{U}_1 \sin i \sin i_1) \\ -Z_1 & (\cos \mathcal{X}_1 \cos \mathcal{X}_1 + \cos \theta_1 \cos \theta_1 + \sin \mathcal{U}_1 \sin \mathcal{U}_1 \sin i_1^2) \end{cases}$$

also nach IV die beiden folgenden Gleichungen:

(6)
$$\begin{cases} \frac{Z}{a^{2}} & \left\{ 3 - AZ_{1} - B\beta_{1} \right\} + \frac{3}{b^{2}} \left\{ (e - Z) - CZ_{1} - D\beta_{1} \right\} = 0, \\ \frac{1}{2} p_{1} & \left\{ D(e - Z) + B\beta_{1} - \beta_{1} \right\} - \beta_{1} \left\{ C(e - Z) + A\beta_{1} - Z_{1} \right\} = 0. \end{cases}$$

Also haben wir jetzt nach (3) und (6) zur Bestimmung von Z, B, Z_1 , B_1 die vier folgenden Gleichungen:

(7)
$$\begin{cases}
\left(\frac{Z}{a}\right)^{3} + \left(\frac{3}{b}\right)^{2} = 1, & \beta_{1}^{3} = p_{1}\left(\frac{1}{4}p_{1} - Z_{1}\right); \\
\frac{Z}{a^{3}} \quad \left\{3 - AZ_{1} - B\beta_{1}\right\} + \frac{3}{b^{3}}\left\{(e - Z) - CZ_{1} - D\beta_{1}\right\} = 0, \\
\left(\frac{1}{2}p_{1}\left\{D\left(e - Z\right) + B\beta_{1} - \beta_{1}\right\} - \beta_{1}\left\{C\left(e - Z\right) + A\beta_{1} - Z_{1}\right\} = 0.
\end{cases}$$

Setzt man

(8)
$$U = \frac{Z}{a}, V = \frac{3}{b}; U_1 = \frac{3_1}{p_1}, V_1 = \frac{3_1}{p_1};$$

und wie gewöhnlich

(9)
$$\varepsilon = \frac{e}{a} = \frac{\sqrt{a^2 - b^2}}{a} = \sqrt{1 - \left(\frac{b}{a}\right)^2};$$

so werden die Gleichungen (7):

$$U^{2} + V^{2} = 1, V_{1}^{2} = \frac{1}{4} - U_{1};$$

$$\frac{U}{a} \left\{ bV - Ap_{1} U_{1} - Bp_{1} V_{1} \right\}$$

$$+ \frac{V}{b} \left\{ a(\epsilon - U) - Cp_{1} U_{1} - Dp_{1} V_{1} \right\}$$

$$\left\{ Da(\epsilon - U) + BbV - p_{1} V_{1} \right\}$$

$$- 2 V_{1} \left\{ Ca(\epsilon - U) + AbV - p_{1} U_{1} \right\}$$

oder, wenn wir

$$(10) W = \varepsilon - U$$

setzen:

$$U^{2} + V^{2} = 1, V_{1}^{2} = \frac{1}{4} - U_{1};$$

$$\frac{e - W}{a} (bV - Ap_{1}U_{1} - Bp_{1}V_{1}) + \frac{V}{b} (aW - Cp_{1}U_{1} - Dp_{1}V_{1}) = 0,$$

$$(DaW + BbV - p_{1}V_{1}) - 2V_{1} (CaW + AbV - p_{1}U_{1}) = 0.$$
Aus den beiden letzten Gleichungen folgt:

$$V_{1} = \frac{\frac{b}{a} V - \frac{p_{1}}{a} AU_{1} (\epsilon - W) + (\frac{a}{b} W - \frac{p_{1}}{b} CU_{1}) V}{\frac{p_{1}}{a} B (\epsilon - W) + \frac{p_{1}}{b} DV},$$

$$V = \frac{DW + \frac{b}{a} BV}{\frac{p_{1}}{a} + 2 (CW + \frac{b}{a} AV - \frac{p_{1}}{a} U_{1})};$$

oder, wenn der Kürze wegen:

$$F = \frac{b}{a} V(\varepsilon - W) + \frac{a}{b} VW,$$

$$G = -\frac{p_1}{a} A(\varepsilon - W) - \frac{p_1}{b} CV,$$

$$H = \frac{p_1}{a} B(\varepsilon - W) + \frac{p_1}{b} DV,$$

$$J = DW + \frac{b}{a} BV,$$

$$K = \frac{p_1}{a} + 2(CW + \frac{b}{a} AV),$$

$$L = -\frac{2p_1}{a}$$

oder auch

(11)
$$\begin{cases}
F = \left\{ (\varepsilon - W) \sqrt{1 - \varepsilon^2} + \frac{W}{\sqrt{1 - \varepsilon}} \right\} V, \\
G = -\frac{p_1}{a} \left\{ A(\varepsilon - W) + \frac{CV}{\sqrt{1 - \varepsilon^2}} \right\}, \\
H = \frac{p_1}{a} \left\{ B(\varepsilon - W) + \frac{DV}{\sqrt{1 - \varepsilon^2}} \right\}, \\
J = DW + BV\sqrt{1 - \varepsilon}, \\
K = \frac{p_1}{a} + 2(CW + AV\sqrt{1 - \varepsilon^2}), \\
L = -\frac{2p_1}{a_1}
\end{cases}$$

84

gesetzt wird:

(12)
$$V_i = \frac{F + G U_i}{H}, V_i = \frac{J}{K + L U_i}$$

Setzt man diese beiden Werthe von V_1 einander gleich, so erhält man nach gehöriger Entwickelung die Gleichung:

(13)
$$G L U_1^2 + (F L + G K) U_1 + F K - H J = 0$$

und auf ähnliche Art wie in IV bedient man sich nun dieser Gleichungen und Formeln in folgender Weise.

Wegen der Gleichung

$$U^2+V^2=1$$

liegt U zwischen den Grenzen — 1 und + 1. Man muss also das Intervall zwischen — 1 und + 1 in eine gewisse Anzahl gleicher Theile theilen, und die dadurch erhaltenen Werthe nach und nach für U setzen, worauf man die entsprechenden Werthe von W mittelst der Formel

$$W = \varepsilon - U$$

und die entsprechenden Werthe von V mittelst der Formel

$$V = \pm \sqrt{1 - U^2} = \pm \sqrt{(1 - U)(1 + U)}$$

findet. Dann kann man die entsprechenden Werthe von F, G, H, J, K, L mittelst der Formeln (11) berechnen, und die entsprechenden Werthe von U_1 erhält man hierauf durch Auflösung der quadratischen Gleichung (13). Die entsprechenden Werthe von V_1 werden endlich mittelst einer der Formeln (12) gefunden, und hierauf durch Einführung der Werthe von U_1 und V_2 in die Gleichung

$$V_1^2 = \frac{1}{4} - U_1$$

untersucht, in wie weit diese Gleichung erfüllt ist. Eigentlich berechnet man die Werthe der Function

$$U_1+V_1^3-\frac{1}{4},$$

die zum Verschwinden gebracht werden muss, und beurtheilt aus den Zeichenwechseln dieser Werthe in bekannter Weise die engeren Grenzen, zwischen denen U liegen muss. Eine weitere Erläuterung bedarf dieses allgemein bekannte Verfahren der successiven Annäherung hier nicht.

VIII. Besondere Betrachtung des Falls, wenn die eine der beiden einen gemeinschaftlichen Brennpunkt habenden Bahnen eine ganz in der Ebene der xy liegende Ellipse ist.

Zuerst wollen wir annehmen, dass beide Bahnen Ellipsen seien, Dann ist nach II. (33) die Gleichung der ganz in der Ebene der zy liegenden Bahn:

(1)
$$\left(\frac{u\cos w + v\sin w - e}{a}\right)^{2} + \left(\frac{u\sin w - v\cos w}{b}\right)^{2} = 1,$$

und für die andere Bahn behalten im Folgenden alle accentuirten Buchstaben die ihnen in IV. beigelegte Bedeutung.

Durch Differentiation erhält man aus (1) leicht

$$\frac{dv}{du} = \frac{\frac{(u \cos \varpi + v \sin \varpi - e) \cos \varpi}{a^2} + \frac{(u \sin \varpi - v \cos \varpi) \sin \varpi}{b^2}}{\frac{(u \cos \varpi + v \sin \varpi - e) \sin \varpi}{a^2} + \frac{(u \sin \varpi - v \cos \varpi) \cos \varpi}{b^2}}$$

also, wenn man

(2)
$$\begin{cases} Z = e - u \cos \varpi - v \sin \varpi, \\ 3 = u \sin \varpi - v \cos \varpi \end{cases}$$

setzt;

$$\frac{dv}{du} = -\frac{\frac{Z\cos \varpi}{a^2} - \frac{8\sin \varpi}{b^2}}{\frac{Z\sin \varpi}{a^2} - \frac{8\cos \varpi}{b^2}}$$

Aus den Gleichungen (2) erhält man aber:

(3)
$$\begin{cases} u = (e - Z) \cos \varpi + \beta \sin \varpi, \\ u = (e - Z) \sin \varpi - \beta \cos \varpi, \\ w = 0; \end{cases}$$

und man hat nun jetzt zuvörderst die beiden folgenden Gleichungen:

(4)
$$\left(\frac{Z}{a}\right)^3 + \left(\frac{3}{b}\right)^3 = 1, \left(\frac{Z_i}{a_i}\right)^3 + \left(\frac{3_i}{b_i}\right)^3 = 1.$$

Nun muss bekanntlich

$$u-u_1 + (v-v_1) \frac{dv}{du} + (w-w) \frac{dw}{du} = 0$$

sein, woraus man nach dem Vorhergehenden, mit Rücksicht darauf, dass

$$w=0,\frac{dw}{du}=0$$

ist, die Gleichung

$$\frac{Z}{a^{2}}\left\{\begin{array}{c}(u-u_{1})\sin \varpi-(v-v_{1})\cos \varpi\right\}+\\\frac{3}{h^{2}}\left\{\begin{array}{c}(u-u_{1})\cos \varpi+(v-v_{1})\sin \varpi\end{array}\right\}=0.$$

erhält. Ausserdem hat man wie in IV die Gleichung

$$\frac{z_{1}}{a_{1}^{3}} \left\{ (u-u_{1}) \cos \tau_{1} + (v-v_{1}) \cos \theta_{1} \\
- (w-w_{1}) \cos \mathfrak{V}_{1} \sin i_{1} \right\} \\
+ \frac{\vartheta_{1}}{b_{1}^{3}} \left\{ (u-u_{1}) \cos \mathfrak{T}_{1} + (v-v_{1}) \cos \theta_{1} \\
+ (w-w_{1}) \sin \mathfrak{V}_{1} \sin i_{1} \right\}$$

Führt man in diese beiden Gleichungen für u, v, w und u_1 , v_1 w_1 ihre Werthe aus dem Vorhergenden und aus IV. ein, so erhält man die beiden folgenden Gleichungen:

$$0 = \frac{Z}{a^2} \begin{cases} (e-Z) (\sin w \cos w - \sin w \cos w) \\ +8 (\sin w \sin w + \cos w \cos w) \\ -(e_1 Z_1) (\sin w \cos x_1 - \cos w \cos \theta_1) \\ -3_1 (\sin w \cos x_1 - \cos w \cos \theta_1) \end{cases}$$

$$+ \frac{8}{b^2} \begin{cases} (e-Z) (\cos w \cos w + \sin w \sin w) \\ +3 (\sin w \cos w - \sin w \cos w) \\ -(e_1 Z_1) (\cos w \cos x_1 + \sin w \cos \theta_1) \\ -3_1 (\cos w \cos x_1 + \sin w \cos \theta_1) \end{cases}$$

$$= \frac{Z_1}{a_1^3} \begin{cases} (e-Z) (\cos w \cos x_1 + \sin w \cos \theta_1) \\ +8 (\sin w \cos x_1 + \sin w \cos \theta_1) \\ -8_1 (\cos x_1 \cos x_1 + \cos w \cos \theta_1) \\ -8_1 (\cos x_1 \cos x_1 + \cos \theta_1 \cos \theta_1) \\ -(e_1 - Z_1) (\cos x_1 \cos x_1 + \cos \theta_1 \cos \theta_1) \\ -\sin w \cos x_1 \sin i_1^2) \end{cases}$$

$$+ \frac{8_1}{b_1^3} \begin{cases} (e-Z) (\cos w \cos x_1 + \sin w \cos \theta_1) \\ +8 (\sin w \cos x_1 + \cos \theta_1 \cos \theta_1) \\ -\sin w \cos x_1 + \cos \theta_1 \cos \theta_1 \\ -\sin w \cos x_1 + \cos \theta_1 \cos x_1 + \cos \theta_1 \cos \theta_1 \\ -\sin w \cos x_1 + \cos \theta_1 \cos x_1 + \cos \theta_1 \cos \theta_1 \\ -\sin w \cos x_1 + \cos w \cos x_1 + \cos w \cos x_1 + \sin w \cos x_2 \\ -\cos w \cos x_1 + \cos w \cos x_2 + \cos w \cos x_1 + \cos w \cos x_2 + \cos w \cos x_1 + \cos w \cos x_2 + \cos w \cos x_2 + \cos w \cos x_1 + \cos w \cos x_2 + \cos w \cos x_2 + \cos w \cos x_1 + \cos w \cos x_2 + \cos w \cos x_2 + \cos w \cos x_2 + \cos w \cos x_3 + \cos w \cos x_4 + \cos w \cos x_2 + \cos w \cos x_2 + \cos w \cos x_3 + \cos w \cos x_4 + \cos w \cos x_2 + \cos w \cos x_3 + \cos w \cos x_4 + \cos w \cos x_4 + \cos w \cos x_4 + \cos w \cos x_4 + \cos w \cos x_4 + \cos w \cos x_4 + \cos w \cos x_4 + \cos w \cos x_4 +$$

Setzt man nun

(5)
$$\begin{cases} A = & \sin \varpi \cos \mathfrak{T}_1 - \cos \varpi \cos \theta_1 \\ = & \cos \omega_1 \text{ (sin } \varpi \cos \varpi_1 - \cos \varpi \sin \varpi_1 \cos i_1) \\ - & \sin \omega_1 \text{ (ces } \varpi \cos \varpi_1 + \sin \varpi \sin \varpi_1 \cos i_1), \\ B = & \sin \varpi \cos \tau_1 - \cos \varpi \cos \theta_1 \\ = & \cos \varpi_1 \text{ (sin } \varpi \sin \varpi_1 + \cos \varpi \cos \varpi_1 \cos i_1), \\ - & \sin \varpi_1 \text{ (cos } \varpi \sin \varpi_1 - \sin \varpi \cos \varpi_1 \cos i_1), \end{cases}$$

(5)
$$\begin{cases} C = \cos \varpi \cos \mathfrak{T}_1 + \sin \varpi \cos \theta_1 \\ = \cos \omega_1 (\cos \varpi \cos \varpi_1 + \sin \varpi \sin \varpi_1 \cos i_1) \\ + \sin \omega_1 (\sin \varpi \cos \varpi_1 - \cos \varpi \sin \varpi_1 \cos i_1), \\ D = \cos \varpi \cos \tau_1 - \sin \varpi \cos \theta_1 \\ = \cos \omega_1 (\cos \varpi \sin \varpi_1 - \sin \varpi \cos \varpi_1 \cos i_1) \\ + \sin \omega_1 (\sin \varpi \sin \varpi_1 + \cos \varpi \cos \varpi_1 \cos i_1); \end{cases}$$

so werden die beiden obigen Gleichungen:

(6)
$$\begin{cases} \frac{Z}{a^3} \left\{ \beta - A(e_1 - Z_1) - B\beta_1 \right\} + \\ \frac{\beta}{b^3} \left\{ (e - Z) - C(e_1 - Z_1) - D\beta_1 \right\} = 0, \\ \frac{Z_1}{a_1^3} \left\{ D(e - Z) + B\beta - \beta_1 \right\} + \\ \frac{\beta_1}{b_1^2} \left\{ C(e - Z) + A\beta - (e_1 - Z_1) \right\} = 0; \end{cases}$$

und man hat daher zur Bestimmung von Z, β , Z_i , β_i jetzt die folgenden Gleichungen:

$$\left(\frac{Z}{a}\right)^{2} + \left(\frac{3}{b}\right)^{3} = 1, \left(\frac{Z_{1}}{a_{1}}\right)^{3} + \left(\frac{3_{1}}{b_{1}}\right)^{3} = 1;$$

$$\frac{Z}{a^{2}} \left\{ 3 - A \left(e_{1} - Z_{1}\right) - B \beta_{1} \right\}$$

$$+ \frac{3}{b^{3}} \left\{ (e - Z) - C \left(e_{1} - Z_{1}\right) - D \beta_{1} \right\} = 0,$$

$$\frac{Z_{1}}{a_{1}^{3}} \left\{ D \left(e - Z\right) + B \beta_{1} - \beta_{1} \right\}$$

$$+ \frac{3_{1}}{b_{1}^{3}} \left\{ C \left(e - Z\right) + A \beta_{1} - \left(e_{1} - Z_{1}\right) \right\} = 0.$$

Bei der Auflösung dieser Gleichungen durch successive Annäherung hat man sich ganz eben so zu verhalten wie in IV. bei der Auflösung der entsprechenden Gleichungen.

Ferner wollen wir annehmen, dass die zweite der beiden Bahnen eine Parabel sei, auf welche sich im Folgenden die accentuirten Buchstaben beziehen, welche hier ganz dieselbe Bedeutung wie in VII haben.

Dann haben wir zuvörderst die beiden Gleichungen:

(8)
$$\left(\frac{Z}{a}\right)^{3} + \left(\frac{3}{a}\right)^{3} = 1, \ \beta_{1}^{3} = p_{1}\left(\frac{1}{a}p_{1} - Z_{1}\right)$$

Ferner haben wir ganz wie oben die Gleichung

$$\frac{Z}{a^2} \left\{ (u-u_1) \sin \varpi - (v-v_1) \cos \varpi \right\}$$

$$+\frac{8}{b^2} \left\{ (u-u_1) \cos \varpi + (v-v_1) \sin \varpi \right\} = 0,$$

und eben so wie in VII. haben wir die Gleichung

$$\frac{1}{2} p_{i} \left\{ (u-u_{i}) \cos \tau_{i} + (v-v_{i}) \cos \theta_{i} - (w-w_{i}) \cos \theta_{i} \sin i_{i} \right\} \\
-\beta_{i} \left\{ (u-u_{i}) \cos \mathfrak{T}_{i} + (v-v_{i}) \cos \theta_{i} + (w-w_{i}) \sin \mathfrak{T}_{i} \sin i_{i} \right\} = 0.$$

Führt man nun in diese beiden Gleichungen für u, v, w und u_1 , v_1 , w_1 ihre Werthe aus dem Vorhergehenden und aus VII ein, so erhält man die beiden folgenden Gleichungen:

$$0 = \frac{Z}{a^3} \begin{cases} (e-Z) & (\sin \varpi) \cos \varpi - \sin \varpi) \cos \varpi \\ + 3 & (\sin \varpi) \sin \varpi + \cos \varpi) \cos \varpi \\ - Z_1 & (\sin \varpi) \cos \Xi_1 - \cos \varpi) \cos \Theta_1 \\ - 3_1 & (\sin \varpi) \cos \Xi_1 - \cos \varpi) \cos \Theta_1 \end{cases} \\ + \frac{3}{b^3} \begin{cases} (e-Z) & (\cos \varpi) \cos \varpi + \sin \varpi) \sin \varpi \\ + 3 & (\sin \varpi) \cos \varpi - \sin \varpi) \cos \Theta_1 \\ - Z_1 & (\cos \varpi) \cos \Xi_1 + \sin \varpi) \cos \Theta_1 \\ - 3_1 & (\cos \varpi) \cos \Xi_1 + \sin \varpi) \cos \Theta_1 \\ - 3_1 & (\cos \varpi) \cos \Xi_1 + \sin \varpi) \cos \Theta_1 \\ + 3 & (\sin \varpi) \cos \Xi_1 + \cos \Theta_1 \cos \Theta_1 \\ - Z_1 & (\cos \Xi_1 \cos \Xi_1 + \cos \Theta_1 \cos \Theta_1) \\ - - 3_1 & (\cos \Xi_1 \cos \Xi_1 + \cos \Theta_1 \cos \Theta_1) \\ + \cos \varpi_1 \cos \Xi_1 \sin i_1^2) \\ - 3_1 & (\cos \Xi_1 \cos \Xi_1 + \cos \Theta_1 \cos \Theta_1) \\ - - Z_1 & (\cos \Xi_1 \cos \Xi_1 + \cos \Theta_1 \cos \Theta_1) \\ - - 3_1 & (\cos \Xi_1 \cos \Xi_1 + \cos \Theta_1 \cos \Theta_1) \\ - - 3_1 & (\cos \Xi_1 \cos \Xi_1 + \cos \Theta_1 \cos \Theta_1) \\ - - 3_1 & (\cos \Xi_1 \cos \Xi_1 + \cos \Theta_1 \cos \Theta_1) \\ - - 3_1 & (\cos \Xi_1 \cos \Xi_1 + \cos \Theta_1 \cos \Theta_1) \\ - - 3_1 & (\cos \Xi_1 \cos \Xi_1 + \cos \Theta_1 \cos \Theta_1) \\ - - \sin \varpi_1 \cos \varpi_1 \sin i_1^2) \\ - \sin \varpi_1 \sin \varpi_1 \sin i_1^2) \\ - \sin \varpi_1 \sin \varpi_1 \sin i_1^2) \\ - \sin \varpi_1 \sin \varpi_1 \sin i_1^2) \\ - \sin \varpi_1 \sin \varpi_1 \sin i_1^2) \\ - \sin \varpi_1 \sin \varpi_1 \sin i_1^2) \\ - \sin \varpi_1 \sin \varpi_1 \sin i_1^2) \\ - \sin \varpi_1 \sin \varpi_1 \sin i_1^2) \\ - \sin \varpi_1 \sin \varpi_1 \sin i_1^2) \\ - \sin \varpi_1 \sin \varpi_1 \sin i_1^2) \\ - \sin \varpi_1 \sin \varpi_1 \sin i_1^2) \\ - \sin \varpi_1 \sin \varpi_1 \sin i_1^2) \\ - \sin \varpi_1 \cos \varpi_1 \sin i_1^2) \\ - \sin \varpi_1 \cos \varpi_1 \sin i_1^2) \\ - \sin \varpi_1 \cos \varpi_1 \sin i_1^2) \\ - \sin \varpi_1 \cos \varpi_1 \sin i_1^2) \\ - \sin \varpi_1 \cos \varpi_1 \sin i_1^2) \\ - \sin \varpi_1 \cos \varpi_1 \sin i_1^2) \\ - \sin \varpi_1 \cos \varpi_1 \sin i_1^2) \\ - \sin \varpi_1 \cos \varpi_1 \sin i_1^2) \\ - \sin \varpi_1 \cos \varpi_1 \sin i_1^2) \\ - \sin \varpi_1 \cos \varpi_1 \sin i_1^2) \\ - \sin \varpi_1 \cos \varpi_1 \sin i_1^2) \\ - \sin \varpi_1 \cos$$

also nach dem Obigen:

(9)
$$\begin{cases} \frac{Z}{a^3} & \left\{ \beta - AZ_1 - B\beta_1 \right\} + \\ + \frac{\beta}{b^3} & \left\{ (e - Z) - CZ_1 - D\beta_1 \right\} = 0, \\ \frac{1}{2} p_1 & \left\{ D(e - Z) + B\beta_1 - \beta_1 \right\} \\ -\beta_1 & \left\{ C(e - Z) + A\beta_1 - Z_1 \right\} = 0. \end{cases}$$

Also haben wir nach (8) und (9) zur Bestimmung von \mathbb{Z} , \mathbb{R} , \mathbb{Z}_1 , \mathbb{R}_1 , die Gleichungen:

(10)
$$\begin{cases} \left(\frac{Z}{a}\right)^{2} + \left(\frac{3}{b}\right)^{2} = 1, 3_{1}^{2} = p_{1} \left(\frac{1}{4} p_{1} - Z_{1}\right); \\ \frac{Z}{a^{2}} \left\{3 - AZ_{1} - B3_{1}\right\} \\ + \frac{3}{b^{2}} \left\{(e-Z) - CZ_{1} - D3_{1}\right\} = 0, \\ \frac{1}{2} p_{1} \left\{D(e-Z) + B3 - 3_{1}\right\} \\ -3_{1} \left\{C(e-Z) + A3 - Z_{1}\right\} = 0; \end{cases}$$

bei deren Auflösung man sich ganz eben so zu verhalten hat wie bei der Auflösung der entsprechenden Gleichungen in VII.

Anmerkungen.

Die wenigen Bemerkungen zu dem Vorhergehenden, welche nun noch folgen werden, haben, weil wir uns im Obigen absichtlich nicht ganz an die Elemente gehalten haben, durch welche man in der Astronomie die Lage und Grösse der Bahnen der Planeten und Kometen zu charakterisiren oder zu bestimmen pflegt, den Zweck, die Bedeutung einiger in den obigen Entwickelungen gebrauchten Symbole im Sinne dieser letzteren Bestimmung anzugeben und nachzuweisen.

Wir wollen zuerst die Bahnen der Plan eten etwas näher ins Auge fassen. Als Ebene der xy in II nehmen wir die Ekliptik an, und legen den Anfang der xyz in den Mittelpunkt der Sonne. Der positive Theil der Axe der x sei nach dem Anfangspunkte des Widders gerichtet, der positive Theil der Axe der y gehe durch den neunzigsten Grad der Längen, und der positive Theil der Axe der z nach dem Nordpole der Ekliptik. In dem mit dem Systeme der xyz gleichen Anfang habenden Systeme der x_1 y_1 z_1 sei der positive Theil der Axe der x_1 nach dem aufsteigenden Knoten der Planetenbahn hin gerichtet, und die positiven Theile der Axen der y_1 und z_1 werden dann ferner auf die aus II bekannte Weise genommen. Unter diesen Voraussetzungen ist der in II durch ω bezeichnete Winkel die Länge des aufsteigenden Knotens, welche Herr von Littrow a. a. O. mit k bezeichnet. Der in II mit i bezeichnete Winkel ist die Neigung der Bahn, die Herr v. Littrow a. a. O. mit n bezeichnet. Den in II mit & bezeichneten, 1800 nicht übersteigenden Winkel, und die dort mit e bezeichnete Grösse findet man auf folgende Art. Man bezeichne die Distanz-des Perihels vom aufsteigenden Knoten in der Ekliptik, welche Herr von Littrow a. a. O. ω nennt, durch Ω , und das, was man in der Astronomie die Excentricität der Planetenbahn nennt, von Herrn von Littrow a. a. O. durch ε bezeichnet, durch (ε). Wenn ersteres Ω kleiner als 180° ist, so liegt das Perihel auf der positiven Seite der Ebene der Ekliptik, der Mittelpunkt der Bahn also auf der negativen Seite derselben, und die in II durch e bezeichnete Grösse ist folglich negativ; bezeichnen wir nun wie gewöhnlich die halbe grosse und kleine Axe der Bahn durch a und b, so ist bekanntlich

$$(\varepsilon)^2 = \frac{a^3 - b^2}{a^3}, \ (\varepsilon) = \frac{1}{a} \sqrt{a^2 - b^2},$$

und da nun $e^2 = a^2 - b^2$ ist, so ist im vorliegenden Falle

$$e = -\sqrt{a^2 - b^2}$$
, also $e = -a$ (ϵ)

zu setzen, oder in IV (17) würde man das dortige $\varepsilon = -(\varepsilon)$ zu setzen haben. Bezeichnen wir die Distanz des Perihels von der Sonne durch Δ , so ist offenbar $\Delta = a - (-e) = a + e = a - a(\varepsilon) = a\{1-(\varepsilon)\}$; und wenn nun x_1 y_1 z_1 die Coordinaten des Perihels im Systeme der x_1 y_1 z_1 bezeichnen, so ist offenbar in völliger Allgemeinheit:

 $x_1 = \Delta \cos \varpi$, $y_1 = \Delta \sin \varpi \cos i$, $z_1 = \Delta \sin \varpi \sin i$; es ist aber auch, wenn wir den 90° nicht übersteigenden Neigungswinkel der von der Sonne nach dem Perihel gezogenen Linie gegen die Ebene der Ekliptik durch J bezeichnen, offenbar:

 $x_1 = \Delta \cos J \cos \Omega$, $y_1 = \Delta \cos J \sin \Omega$, $z_1 = \Delta \sin J$; also, wenn man dieses mit dem Vorhergehenden vergleicht:

$$\cos \varpi = \cos J \cos \Omega,$$

 $\sin \varpi \cos i = \cos J \sin \Omega,$
 $\sin \varpi \sin i = \sin J;$

woraus sich

tang
$$\varpi = \frac{\tan g \Omega}{\cos i}$$
, $\sin J = \sin \varpi \sin i$

ergibt, mittelst welcher Formeln das zwischen 0 und 180° liegende &, und das zwischen 0 und 90° liegende J ohne alle Zweideutigkeit gefunden werden können. Wenn zweitens Q grösser als 180° ist,

so liegt das Perihel auf der negativen Seite der Ebene der Ekliptik, der Mittelpunkt der Bahn also auf der positiven Seite derselben, und die in II durch e bezeichnete Grösse ist folglich positiv; daher ist

$$e = + \sqrt{a^2 - b^2}$$
, also $e = + a(\varepsilon)$,

und in IV (17) würde $\varepsilon = +$ (ε) zu setzen sein. Jetzt ist die Distanz des Perihels von der Sonne $\Delta = a - (+e) = a - e = a - a$ (ε) = a {1 - (ε)}, wie vorher; und wenn x_1 , y_1 , z_1 dieselbe Bedeutung behalten wie oben, so ist offenbar in diesem Falle, da bekanntlich das 180° nicht übersteigende ϖ den von dem auf der positiven Seite der Ebene der Ekliptik liegenden Theile der Haupt-Axe mit der von der Sonne nach dem aufsteigenden Knoten gezogenen Linie eingeschlossenen Winkel bezeichnet:

 $x_1 = -\Delta \cos \varpi$, $y_1 = -\Delta \sin \varpi \cos i$, $z_1 = -\Delta \sin \varpi \sin i$ und ganz wie vorher:

 $x_1 = \Delta \cos J \cos \Omega$, $y_1 = \Delta \cos J \sin \Omega$, $z_1 = -\Delta \sin J$; also

$$\cos \varpi = -\cos J\cos \Omega,$$

 $\sin \varpi \cos i = -\cos J\sin \Omega,$
 $\sin \varpi \sin i = \sin J;$

woraus sich

tang
$$\mathfrak{T} = \frac{\tan g \,\Omega}{\cos i}$$
, $\sin J = \sin \mathfrak{T} \sin i$

ergibt, mittelst welcher Formeln das zwischen 0 und 180° liegende &, und das zwischen 0 und 90° liegende J wieder ohne alle Zweideutigkeit gefunden werden können. Das zwischen 0 und 180° liegende &, welches wir hier nur allein gebrauchen, wird also in beiden Fällen, folglich allgemein, mittelst der Formel

$$tang \, \varpi = \frac{tang \, \Omega}{cos \, i}$$

leicht gefunden.

Wir wellen das Vorhergende durch ein paar Beispiele erläutern. Für die Egeria ist nach Herrn von Littrow in unseren vorhergehenden Zeichen:

$$a = 2.577$$

 $(\epsilon) = 0.085$
 $Q = 760.18',$
 $\omega = 430.19',$
 $i = 160.33'.$

Also ist nach dem Vorhergehenden in diesem Falle zu setzen:

Für die Asträa ist:

$$a = 2.577$$

 $(\epsilon) = 0.189$
 $Q = 3540.15',$
 $\omega = 1410.28',$
 $i = 50.19'.$

Also ist nach dem Vorhergehenden in diesem Falle zu setzen:

Um nun auch ferner die Bahnen der Kometen einer näheren Betrachtung zu unterwerfen, bemerken wir zuvörderst, dass wir, eben so wie Herr von Littrow a. a. O. der Kürze wegen hier blos elliptische Kometen betrachten werden, wenn auch übrigens natürlich die Betrachtung parabolischer Kometen gleichfalls nicht der geringsten Schwierigkeit unterworfen sein würde. Für rechtläufige Kometen gilt nun natürlich ganz dasselbe, was vorher in Bezug auf die Planeten gesagt worden ist; und es bleibt daher blos noch die Betrachtung der rückläufigen Kometen übrig. Auch hier ist natürlich ω die Länge des aufsteigenden Knotens; der in II mit i bezeichnete Winkel ist aber jetzt die Ergänzung der Neigung der Bahn zu 180°. Die Distanz des Perihels vom aufsteigenden Knoten in der Ekliptik bezeichnen wir auch jetzt durch Q, die Excentricität der Bahn durch (ε). Wenn erstens Ω kleiner als 180° ist, so liegt das Perihel auf der negativen Seite der Ebene der Ekliptik, der Mittelpunkt der Bahn also auf der positiven Seite derselben, und die in II. durch e bezeichnete Grösse ist folglich positiv: da nun bekanntlich

$$(\varepsilon)^2 = \frac{a^3 - b^2}{a^4}, \ (\varepsilon) = \frac{1}{a} \sqrt{a^2 - b^2}$$

und $e^2 = a^2 - b^2$ ist, so ist im vorliegenden Falle $e = + \sqrt{a^2 - b^2}$, also e = + a (ϵ)

su setzen, oder in IV (17) würde man das dortige $\varepsilon = + (\varepsilon)$ zu setzen haben. Bezeichnen wir die Distanz des Perihels von der Sonne wieder durch Δ , so ist offenbar $\Delta = a - (+e) = a - e = a - a (\varepsilon) = a \{1 - (\varepsilon)\}$; und wenn nun x_1, y_1, z_1 die Coordinaten des Perihels im Systeme der x_1, y_1, z_1 bezeichnen, so ist offenbar in völliger Allgemeinheit:

 $x_1 = -\Delta \cos \varpi$, $y_1 = -\Delta \sin \varpi \cos i$, $z_1 = -\Delta \sin \varpi \sin i$ und

 $x_1 = \Delta \cos J \cos \Omega$, $y_1 = \Delta \cos J \sin \Omega$, $z_1 = -\Delta \sin J$; also

$$\cos \varpi = -\cos J\cos \Omega,$$

 $\sin \varpi \cos i = -\cos J\sin \Omega,$
 $\sin \varpi \sin i = \sin J;$

woraus sich

tang
$$\mathfrak{G} = \frac{\tan g \, \Omega}{\cos i}$$
, $\sin J = \sin \, \mathfrak{G} \sin i$

ergibt. Wenn zweitens Q grösser als 180° ist, so liegt das Perihel auf der positiven Seite der Ebene der Ekliptik, der Mittelpunkt der Bahn also auf der negativen Seite derselben, und die in II durch e bezeichnete Grösse ist folglich negativ; Da nun bekanntlich

$$(\epsilon)^2 = \frac{a^2 - b^2}{a^2}, \ (\epsilon) = \frac{1}{a} \sqrt{a^2 - b^2}$$

und $e^2 = a^2 - b^2$ ist, so ist im vorliegenden Falle

$$e = -\sqrt{a^2 - b^2}$$
, also $e = -a(\varepsilon)$

zu setzen, oder in IV (17) würde man das dortige $\varepsilon = -(\varepsilon)$ zu setzen haben. Die Distanz des Perihels von der Sonne ist $\Delta = a - (-e) = a + e = a - a$ (ε) = a {1 $-(\varepsilon)$ }; und wenn x_1, y_1, z_1 wie früher die Coordinaten des Perihels im Systeme der x_1, y_1, z_1 bezeichnen, so ist in völliger Allgemeinheit:

$$x_i = \Delta \cos \varpi$$
, $y_i = \Delta \sin \varpi \cos i$, $z_i = \Delta \sin \varpi \sin i$ and $x_i = \Delta \cos J \cos \Omega$, $y_i = \Delta \cos J \sin \Omega$, $z_i = \Delta \sin J$; also

$$\cos \varpi = \cos J \cos \Omega$$

 $\sin \varpi \cos i = \cos J \sin \Omega$
 $\sin \varpi \sin i = \sin J;$

ergibt.

woraus sich

tang
$$\mathfrak{G} = \frac{\tan g \, \Omega}{\cos i}$$
, $\sin J = \sin \, \mathfrak{G} \sin i$

Für den Halley'schen rückläufigen Kometen ist

$$a = 17.988$$
 $(s) = 0.967$
 $Q = 110.38'$
 $\omega = 55.10'$
 $i = 180. - 17.45' = 162.15'$

Also ist nach dem Vorhergehenden in diesem Falle, wo $\Omega < 180^{\circ}$ ist. zu setzen:

Verträge.

Beiträge zur Kenntniss der Capricornier der österreichischen Alpen.

Von dem c. M. Frans Ritter v. Hauer,

k. k. Bergrath.

(Mit III Tafeln.)

(Vorgelegt in der Sitzung am 18. Mai 1854.)

In ähnlicher Weise wie in einer früheren Abhandlung 1) die Heterophyllen, habe ich es versucht im Nachstehenden die Ammoniten aus der Familie der Capricornier, welche bisher in unseren Alpen aufgefunden wurden, zu schildern.

Auch hier sind Abbildungen nur von den drei neuen Arten, die ich aufstellen zu dürfen glaube, beigegeben. Die übrigen schliessen sich so vollständig an schon bekannte und gut abgebildete Formen an, dass ihre sichere Bestimmung keiner Schwierigkeit unterlag.

¹⁾ Sitzungsberichte der kais. Akad. d. Wissensch, Mathem.-naturw. Cl. Bd. XII, S. 861.

Die Abbildungen der Lobenzeichnungen hat mir freundlichst Herr J. Jokély gefertigt.

Sämmtliche Arten, 11 an der Zahl, gehören dem oberen Lias der österreichischen Alpen, und zwar theils den Adnether Schichten, theils den Hierlatz-Schichten an, über deren Stellung im geologischen Systeme ich mir erlaube auf meine jüngst erschienene Arbeit: "Über die Gliederung der Trias-, Lias- und Jura Gebilde in den österreichischen Alpen" 1) zu verweisen. In anderen Schichtengruppen wurden bei uns bisher keine Capricornier beobachtet, wenn man von dem in seiner Form allerdings sehr an diese Familie erinnernden A. Pöschli Hauer aus den Hallstätter Schichten absieht, den Giebel in seiner fleissigen und sehr nützlichen Arbeit über die "Cephalopoden der Vorwelt")" ebenfalls hieher stellt, der sich aber durch seine Lobenzeichnung und andere Merkmale, wie mir scheint, noch näher an A. Aon und die diesem verwandten Arten anschliesst.

I. Ammonites raricostatus Zieten.

- 1830. A. raricestatus Zieten. Die Versteinerungen Würtembergs, S. 18, Taf. XIII, Fig. 4.
- 1844. A. raricostatus d'Orbigny. Paléont. franç. Terr. jur., p. 213, pl. 54.
- 1846. A. Johnstoni Schafh autl. v. Leonh. und Bronn's Jahrb. S. 645.
- 1847. A. cf. raricostatus Quenste dt. Die Cephalopoden, S. 261.
- 1848. A. raricostatus Schafhautl. v. Leonh. und Bronn's Jahrb. S. 139.
- 1850. A. raricestatus Hauer. Sitzb. d. kais. Akademie, IV. S. 294.
- 1851. A. raricostatus Schafhäutl. Geogn. Unters. des südbayerischen Alpengebirges, Tabelle zu Seite 138.
- 1851. A. raricostatus Kudernatsch. Jahrb. d. k. k. geol. Reichsanstalt, Bd. II., Heft 2, Seite 173.
- 1853. A. raricostatus Emmrich. Jahrb. derk. k. geol. Reichsanstalt, IV.S. 382.
- 1853. A. raricostatus Hauer. Jahrb. d. k. k. geol. Reichsanst., IV. S. 745, 748.

Diese Art an zahlreichen Fundorten in unseren Alpen vorkommend, bildet offenbar einen Übergang von den Capricorniern zu den Arieten. Der Gestalt nach sich mehr den Ersteren anschliessend, trägt ihre Lobenzeichnung den Charakter der Letzteren. Mit wenigen Arten aus diesen Familien näber verwandt, wurde sie bisher auch selten verkannt und ihre Verbreitung durch England, Deutschland und Frankreich kann als sichergestellt betrachtet werden.

¹⁾ Jahrbuch der k. k. geologischen Reichsanstalt 1853. Bd. IV, S. 715.

²⁾ Fauna der Vorweit. Erste Abtheilung des dritten Bandes, S. 692.

Fundorte:

a) In den Nordalpen.

- 1. Wolfsgrub N. von Pernitz. Unvollständige und darum nicht ganz sicher zu bestimmende Bruchstücke kleiner Exemplare, in einem gelblich-grauen Kalkstein, der den gelben Schichten von Enzesfeld, die dem unteren Lias angehören, ähnlich sieht.
- 2. Steinbauer. Westlich von der Haxenmühle NNW. von Klein-Zell. Zahlreiche Exemplare im grauen Mergelkalk (Fleckenmergel), in Gestalt und Grösse ganz stimmend mit den später zu beschreibenden Stücken von Adneth. Aufgefunden von Hrn. D. Stur.
- 3. Neustiftgraben bei Losenstein im Ennsthale; im selben Gestein wie die vorigen.
- 4. St. Gallen. Ein sehr wohl erhaltenes Exemplar von 1 ½ Zoll Durchmesser, mit 6 oder 7 Umgängen und 24 etwas schief nach vorne gerichteten Rippen auf dem letzten Umgang. Die Rippen gegen den Rücken zu nur wenig verdickt.
- 5. Adneth (Quenstedt, Schafhäutl, Kudernatsch.) Mehrere Exemplare von verschiedener Grösse im rothen und grauen Kalkstein. Die grössten erreichen 3 Zoll Durchmesser und lassen bis zu 7 Umgänge erkennen. Bei den grössten Exemplaren sind Höhe und Breite der letzten Umgänge ziemlich gleich, während bei kleineren die Breite um ein Beträchtliches die Höhe überragt. Umstand trägt nicht wenig dazu bei, der Schale ihr flach scheibenförmiges Ansehen zu verleihen. Der Rücken trägt einen markirten öfter ziemlich dicken Kiel, wie ihn Zieten und d'Orbigny auch abbilden, während Quenstedt ausdrücklich hervorhebt, dass der Kiel bei verkiesten Stücken aus Würtemberg fein und fadenförmig erscheint, eine Bemerkung, die sich auch bei allen Stücken von dort in den hiesigen Sammlungen bestätigt findet. Die Zahl der Rippen bei zwei bis drei Zoll Durchmesser schwankt zwischen 24 und 28. Dieselben sind schmäler, als die sie trennenden Zwischenräume; gegen den Rücken zu sind sie häufig, aber nicht immer merklich verdickt, und verschwinden meist, noch bevor sie den Kiel erreichen, gänzlich. Bei einigen Exemplaren sind sie jedoch bis zum Kiel hin zu verfolgen. Ein Exemplar von nicht ganz zwei Zoll Durchmesser zeigt etwas excentrische Windungen. Die Lobenzeichnung an einem Exemplare ringsum blossgelegt, unterscheidet sich in etwas von d'Orbingny's Abbildung durch den Umstand, dass der

Lateralsattel noch etwas höher ist als der Dorsal. Dasselbe Verhältniss, welches den A. raricostatus so sehr den Arieten nähert, beobachtete Quenstedt¹) an den würtembergischen Exemplaren. Der schmale Bauchlobus, ganz mit Quenstedt's Abbildung übereinstimmend, ist so tief wie der Dorsallobus.

- 6, Thurnberg bei Hallein. Ein Exemplar von 3 Zoll Durchmesser mit 28 Rippen auf dem letzten Umgange, ganz stimmend mit den Exemplaren von Adneth. An einem zweiten Exemplare erkennt man an den innersten Windungen die dünnen dicht an einander gedrängten Rippen, wie sie auch d'Orbigny's Zeichnung zeigt. Ungefähr ein Drittel des ganzen Kernes ist erhalten. Der äusserste Umgang entspricht einem Durchmesser von ungefähr 2 Zoll. Auf diesem Drittel der Scheibe nun finden sich auf jedem der drei äusseren Umgänge 8 Rippen, auf dem vierten 9, auf dem fünften 11, auf dem sechsten, dem letzten, der zu erkennen ist und der einen Durchmesser von ungefähr drei Linien haben mochte, ihrer 12. Die Zahl der Rippen ist also auf dem innersten Umgange am grössten, nimmt bis zu einem Durchmesser von etwa 9 Linien stätig ab, und bleibt dann constant.
- 8. Haselberg und Wundergraben bei Ruhpolding, (Schafhäutl, Emmerich).

6) Südalpen.

- 9. Erba bei Como. Ein Exemplar von nahe drei Zoll Durchmesser im rothen Kalkstein. Ungefähr 6 Windungen dürften vorhanden gewesen sein, die letzte mit 25 Rippen. Der Kiel dick und stark. In der Sammlung des k. k. Hof-Mineralien-Cabinetes.
- 10. Saltrio. Ein kleines Exemplar von nicht ganz ein Zoll Durchmesser, mit 23 Rippen. Lobenzeichnung nicht sichtbar. Gesendet von Hrn. Dr. Lavizzari.

Auch in den Karpathen kommt die Species, die uns beschäftigt, nicht selten vor. In den hiesigen Sammlungen befinden sich Stücke von:

11. Der Umgegend von Modern in grauem Fleckenmergel. Bruchstücke mehrerer Exemplare, die auf einen Durchmesser von zwei bis drei Zoll deuten. Ein Exemplar von 1½ Zoll Durchmesser hat 20 Rippen. Gesammelt von Hrn. D. Stur.

¹⁾ Das Flötzgebirge Würtemberg's S. 159.

12. Schloss Arva im Arvaer Comitate in Ungarn; Hr. Fr. Foetterle brachte aus dem grauen, fucoidenreichen Fleckenmergel zahlreiche meist verdrückte Exemplare.

2. Ammonites planicostatus Sowerby.

- 1814. A. planicostatus Sowerby. Mineral. Conchology, I, p. 167, Tab. 73, Fig. 5-7.
- 1820. A. capricornus Schlotheim, Petrefactenkunde, S. 71 n. 18.
- 1830. A. capricornus Zieten. Die Verstein. Würtembergs, S. 6, Taf. IV, Fig. 8.
- 1841. A. planicosta Zeuschner. v. Leonh. und Bronn's Jahrbuch, S. 89.
- 1844. A. planicosta d'Orbigny. Paléont. franç. Terr. jur., p. 242, pl. 65.
- 1844. A. Dudressieri d'Orbigny. Paléont. franç. Terr. jur., p. 325, pl. 103.
- 1845. A. capricornus Quenstedt. Die Cephalopoden, S. 81, Taf. 4, Fig. 6.
- 1845. A. maculatus Qu en stedt. Die Cephalopoden, S. 85, Taf. 4, Fig. 7.
- 1847. A. planicosta Zeuschner. Petersb. Min. Gesellsch., S. 110.
- 1852. A. planicosta Giebel. Die Cephalopoden der Verwelt, S. 679.
- 1852. A. planicosta Merian. Berichte über die Verhandlungen der naturforschenden Gesellschaft in Basel, X. S. 150.
- 1852? A. planicosta Zeuschner. Wapienia Liasowego w Tatrach e. c. p. 91, 92, 158.
- 1853. A. planicosta Escher. Vorarlberg, S. 7.
- 1853. A. planicestatus Ha u e r. Jahrbuch der k. k. geologischen Reichsanstalt, IV, S. 748, 754.

Wohl mit Recht vereinigt Giebel alle unter den oben angeführten Namen beschriebenen Formen zu einer einzigen Species, und fügt ihnen noch manche andere bei, namentlich den A. maculatus Young und Bird¹), dann den A. anguliferus und A. arcigerens Phillips²), deren Abbildungen und Beschreibungen jedoch so unvollständig sind, dass man schwer mit Sicherheit über ihre specifische Selbstständigkeit urtheilen kann.

Dass der Sowerby'sche A. planicostatus (meist liest man A. planicosta, ein Name, den Sowerby, pag. 148, der Mineral-conchology als unrichtig erklärt), wirklich mit dem Schlotheim'schen A. capricornus übereinstimmt; darüber sind die meisten Schriftsteller einig. Selbst d'Orbigny führt noch in der Paléontologie française unter den Synonymen des A. planicostatus, den A. capricornus auf, erst später³) wendet er diesen Namen für

¹⁾ Geological Survey of the Yorkshire Coast S. 248, Pl. XIV, fig. 12.

²⁾ Illustrations of the Geology of Yorkshire, p. 168, Tab. 13, fig. 19 und fig. 9.

³) Paléontologie stratigraphique I. S. 246.

die mit Knoten auf den Seitenrippen versehene Varietät, die er in dem erstgenannten Werke als A. Dudressieri beschrieben hatte, an. Dieselbe wird dem Terrain toarcien zugerechnet; der A. planicostatus dagegen in dem Liasien aufgeführt.

Rine andere Trennung versuchte Quenstedt; er hält den würtemberg'schen A. capricornus für identisch mit dem englischen A, planicostatus, betrachtet diese Art als bezeichnend für den Lias β, findet aber doch auch damit vollkommen übereinstimmend den französischen A. Dudressieri, der in Frankreich der obersten Lias-Etage angehört. Als verschieden davon, betrachtet er die Form aus dem höheren würtembergischen Lias y, nennt dieselbe A. maculatus und vereinigt mit ihr den von d'Orbigny abgebildeten A. planicostatus aus dem mittleren Lias dem Terrain liasien. In wie fern diese beiden Formen mit den Exemplaren, welche Young und Bird benannten, übereinstimmen, ist bei der unvollständigen Abbildung in den obenangeführten Werken wohl nicht zu entscheiden, aber auch eine specifische Trennung des Quenstedt'schen A. maculatus vom eigentlichen A. planicostatus dürfte sich kaum rechtfertigen lassen. Als unterscheidendes Merkmal wird angeführt, dass bei A. maculatus die Rippen auf dem Rücken nicht breiter werden, und daselbst eine entschiedene Biegung nach vorne machen, allein weder das eine noch das andere Merkmal trifft bei d'Orbigny's Abbildung zu, und bei der Beschreibung wird sogar ausdrücklich hervorgehoben, dass die Rippen am Rücken breiter werden. In Betreff der würtembergischen Exemplare aber gibt Quenstedt's eifriger Schüler, Hr. Dr. Oppel, an 1), dass das Lager allein gegen eine Verwechslung des A. maculatus mit A. capricornus schützt; d. h. man nennt in Würtemberg die Exemplare aus dem Lias y A. maculatus, die aus dem Lias & dagegen A. capricornus, ohne sie weiter durch naturhistorische Merkmale unterscheiden zu können.

Wie unrichtig es übrigens ist, aus dem Umstande, dass irgend eine Art in einer Gegend auf ein fest bestimmtes Niveau beschränkt ist, den Schluss zu ziehen, dass dieselbe Art auch in allen übrigen Gegenden dieses Niveau nicht verlassen könne, dafür gibt A. planicostatus den sprechendsten Beweis. Die gewiss volles Zutrauen verdienenden, genauen Beobachtungen Quenstedt's, Faber's 2),

¹⁾ Würtembergische naturwissenschaftliche Jahreshefte X, 1, 8.72.

Würtembergische naturw. Jahresh. VIII, 1, S. 60.

Oppels u. A., weisen nach, dass die Art, die uns beschäftigt, in Würtemberg nach oben den oberen Lias y nicht überschreitet, und demnach nie mit A. amaltheus, der nicht tiefer als bis in den unteren Lias & reicht, zusammen angetroffen wird. In Frankreich dagegen sind nach den Angaben von d'Orbigny, die man doch ohne sie durch directe Beobachtungen wiederlegen zu können, eben so wenig in Abrede stellen darf, die zwei genannten Arten stete Begleiter, und dieselbe Vereinigung beobachtete Strombeck 1) am Schmalenberg zwischen Gardessen und Schandelah bei Braunschweig und Dr. F. Römer 3) im schwarzen Liasschiefer, im Bette der Ems unmittelbar an der preussisch-hannover'schen Grenze. Da nun endlich Engelhardt 3) den A. planicostatus auch im Liaskalk mit Gryph. arcuata, zusammen mit A. psilonotus, A. bisulcatus, A. Conybeari u. s. w. beobachtete, so sind wir zur Annahme gezwungen, dass die genannte Art durch alle Etagen der Liasformation hindurchreicht.

So häufig und weit verbreitet der A. planicostatus in den Lias-Schichten der verschiedensten Länder beobachtet wurde, so selten wurde er bisher in den österreichischen Alpen angetroffen. Von jedem der im Folgenden angeführten Fundorte liegt mir nur ein Exemplar vor.

Fundorte:

- a) In den Nordalpen.
- 1. Enzesfeld. Ein Exemplar von 1½ Zoll Durchmessersehr gut erhalten. Höhe und Breite der Umgänge gleich, Rücken und Seiten abgeflacht, der Querschnitt demnach beinahe quadratisch. Auf dem letzten Umgange 24 Rippen, die auf der Rückenkante nur undeutlich entwickelte Knoten ansetzen, am Rücken selbst merklich breiter werden als auf den Seiten. Die Lobenzeichnung stimmt sehr gut mit d'Orbigny's Abbildung. Der obere Laterallobus endigt unsymmetrisch in drei Spitzen. Im dunkel braunrothen Kalkstein. Mitgetheilt von Hrn. A. Grunow.
- 2. Hierlatz. Ein Exemplar von 1 Zoll Durchmesser. Die Umgänge eben so hoch als breit, Rücken und Seiten mehr abgerundet. Am letzten Umgange 23 Rippen, die am Rücken, über den sie

¹⁾ Zeitschrift der deutschen geologischen Gesellschaft V 1, S. 82.

Verhandlungen des naturhistorischen Vereines der preussischen Rheinlande. 1854.
 Jahrg. Heft 1 und 2, 8. 34.

³⁾ Daubrée, Description géologique et minéralogique du Deptm. du Bas Rhin. p. 153.

gerade verlaufen, nur wenig breiter werden und keine Knoten ansetzen. Lobenzeichnung, da die Kammern mit krystallinischem Kalkstein ausgefüllt sind, nicht zu erkennen.

- 3. Thörlklamm am Schafberg. Ein kleines Bruchstück. Die Breite des Umganges etwas grösser als gewöhnlich.
- 4. St. Wolfgang. Ein Exemplar von 23/4 Zoll Durchmesser. Die Umgänge etwas höher als breit; auf dem letzten Umgange der bis ganz nahe zum Ende gekammert ist, 28 Rippen, die am Rücken breiter werden, nur eine beinahe unmerkliche Biegung nach vorne zeigen, und nur undeutliche Rudimente von Knoten tragen. Die Lobenzeichnung, so weit sie sich auf dem etwas abgeriebenen Kerne erkennen lässt, war mehr verwickelt als sie d'Orbign y's Zeichnung angibt und nähert sich mehr der Zeichnung Quenstedt's, insbesondere der ebenfalls unsymmetrische obere Laterallobus. Im rothen, den Adnether-Schichten angehörigen Kalksteine; zur Untersuchung, mitgetheilt vom Hrn. Hofrath v. Fischer in München.
- 5. Reinangeralpe, westlich von Golling. Ein ziemlich abgeriebenes Exemplar von 2³/₄ Zoll Durchmesser. Die Rippen laufen gerade über den Rücken und sind kaum verdickt. Lobenzeichnung nicht zu erkennen.
- 6. Kammenkarplatte bei Lofer. Ein Exemplar von nahe 1½ Zoll Durchmesser zur Hälfte erhalten. Die Rippen, auf den Seiten sehmal, werden auf den Rücken sehr breit und krümmen sich dabei beträchtlich nach vorne; sie schwellen an der Rückenkante zu nicht sehr deutlichen Knoten an. Lobenzeichnung ist nicht zu erkennen. Aufgefunden von Hrn. Dr. K. Peters.
- 7. Spullers-Alpe, südwestlich von Thannberg. (Merian, Escher).

Nach Zeuschner findet sich A. planicostatus auch in der Tatra. Von Turezka bei Neusohl brachte Hr. A. Patera ein Stück, welches mit ziemlicher Sicherheit als hieher gehörig zu bestimmen ist. Die Rippen, auf den Seitenflächen schmal, werden am Rücken sehr breit.

3. Ammonites Adnethicus Hauer.

Taf. I, Fig. 1-3.

1853. A. Adnethicus Hauer. Jahrb. d. k. k. geol. Reichsanst., IV, S. 748.

Die ganz evolute Schale besteht aus drei bis vier Umgängen die ein wenig breiter als hoch sind. Der Rücken ist sehr flach

gewölbt beinahe eben; die Seiten erreicken, schon in der Nähe des Rückens die grösste Breite und fallen in einer regelmässig bogenförmigen Wölbung gegen die tiefe Naht ab, über welche sich die Seiten des nächst vorhergehenden Umganges wieder beträchtlich emporheben.

Die Seitenflächen sind mit starken gerundeten Radialrippen bedeckt, welche von der Seite gegen den Rücken zu etwas schief nach vorne laufen, an der Kante zwischen Seiten und Rücken bisweilen zu einem undeutlichen Knoten anschwellen, und am Rücken, ohne daselbst wesentlich an Breite zuzunehmen, mit einer flachen Bucht nach vorne zusammenlaufen. Diese Rippen sind etwas sehmäler als die sie trennenden Zwischenräume; ihre Zahl beträgt bei dem in natürlicher Grösse abgebildeten Exemplare 33 ein zweites eben so wohl erhaltenes und von gleicher Grösse in allen übrigen Verhältnissen vollkommen übereinstimmend, trägt ihrer 45. Andere Exemplare liegen zwischen diesen Extremen mitten inne. Auf dem letzten vorhergehenden Umgange bleibt sich die Zahl der Rippen nach übereinstimmenden Beobachtungen an mehreren Exemplaren gleich. Die inneren Umgänge sind an keinem Exemplare erhalten.

Die Beschaffenheit der Schalenoberfläche ist an keinem Exemplare ganz deutlich zu erkennen. Nach einem Bruchstäcke vom Hierlatz zu schliessen, scheint sie ganz glatt gewesen zu sein. Alle vollständiger erhaltenen Exemplare aus den Adnether Schichten sind Steinkerne.

Die Lobenzeichnung konnte an einem Exemplare ringsum bis zum Bauchlobus blossgelegt werden. Sie mag durch Abwitterung der Kerne schon etwas gelitten haben und sich unmittelbar unter der Schale noch mehr verzweigt darstellen, als die Zeichnung sie wieder gibt.

Zwischen Rückenlobus und Bauchlobus erkennt man jederseits die drei normalen Sättel und Loben, ohne weitere Hülfssättel. Der Rückenlobus ist auffallend klein, durch einen sehr schmalen aber bis zur Hälfte seiner Höhe hinaufreichenden Siphosattel getheilt. Der beinahe doppelt so tiefe obere Laterallobus greift mit seinen Spitzen beinahe bis auf die Mittellinie des Rückens vor, so dass der Stamm der Rückensättel sehr verschmälert wird, und diese gewissermassen nur als die Äste eines einzigen durch den Rückenlobus paarig getheilten Sattels erscheinen. Der untere Laterallobus ist bedeutend

kleiner und seichter als der obere, aber immer noch tiefer als der Dorsallobus. Sehr eigenthümlich gestaltet ist der Bauchsattel; er wird durch den nur wenig entwickelten Nahtlobus in zwei ungleiche Äste getheilt, deren oberer gerade nach vorne gerichtet, der untere aber knieförmig gebogen erscheint. Der zweispitzige Bauchlobus reicht beträchtlich tiefer hinab als der Dorsallobus, er zeichnet sich durch zwei beinahe unter rechtem Winkel vom Stamme abstehende Äste aus, so dass er im Ganzen ziemlich getreu die Form eines Kreuzes vorstellt.

Das grösste in den hiesigen Sammlungen befindliche Exemplar, zur Hälfte erhalten, erreichte einen Durchmesser von 5 Zoll. Der letzte Umgang desselben, so weit er erhalten ist, gehörte der Wohnkammer an. Auch an dem abgebildeten Exemplare von beinahe 4 Zoll Durchmesser, sind nur die ersten zwei Drittel des letzten Umganges mit Kammern versehen. Die Grössenverhältnisse desselben sind:

D: H: B: N: h: b = 100: 28: 30: 52: 16: 17. Bei einem zweiten ebenfalls sehr wohl erhaltenen Exemplare mit engeren Rippen fand sich

D: H: B: N = 100: 31: 32: 43.

A. Adnethicus unterscheidet sich leicht von allen bisher bekannten Arten. Was die äussere Gestalt betrifft, so hat er Ähnlichkeit mit manchen Varietäten des A. planicostatus Sow. Von ihnen trennt ihn die ganz abweichende Lobenzeichnung. diese schliesst er sich enge an jene Gruppe der Capricornier, die Quenstedt unter dem Namen der Natrices zusammenfasst. In dieser Gruppe könnte er vielleicht noch am ersten mit jener Form verglichen werden, die Quenstedt unter dem Doppelnamen A. natrix rotundus abbildet 1), die aber nach Oppel 2) vollständig in die in Würtemberg als A. lataecosta bezeichnete Art übergeht, und daher mit ihr vereinigt werden muss. Unsere Art unterscheidet sich von der genannten durch raschere Wachsthumszunahme, durch zahlreichere, enger aneinander stehende Rippen, durch das gleichmässig starke Hervortreten derselben auf dem Rücken durch die Abslachung desselben, endlich durch viele Details der Lobenzeichnung, namentlich den ganz abweichenden Bau des Bauchsattels und

¹⁾ Die Cephalopoden. Taf. IV, Fig. 17.

²⁾ Würtembergische naturwissenschaftliche Jahreshefte. X. 1. Heft. S. 74,

des Naht- und Bauchlobus. Ähnlich ist auch Zieten's Abbildung von Hamites spiniger 1), welchen Quenstedt zu seinem A. lataecosta zieht 2). Das Stück stammt aus dem Lias von Zell bei Boll und wird von Zieten selbst in den Berichtigungen beim Index (S. 100) als das Bruchstück eines Ammoniten anerkannt. Der Querschnitt ist mehr zusammengedrückt als bei unserer Form, sonst ist die Übereinstimmung in der That gross.

Fundorte:

- 1. Hierlatz bei Hallstatt. Einzwar nur unvollständiges Bruchstück, das aber durch Gestalt und Beschaffenheit der Rippen so genau mit der enger gerippten Varietät von Adneth übereinstimmt, dass die Identität sicher scheint. Ein zweites, wahrscheinlich auch hieher gehöriges Bruchstück befindet sich in der Sammlung des Hrn. Hofrathes v. Fischer, es deutet auf einen Durchmesser, wie ihn die grössten Exemplare von Adneth haben. Das Vorkommen dieser Art in den Hierlatz-Schichten liefert einen neuen Beweis für den innigen Zusammenhang, in welchem diese Schichten mit den Adnether Schichten stehen.
- 2. Hoch leiten graben in der Gaisau. Ein ebenfalls nur unvollständiges, aber sicher zu bestimmendes Exemplar.
- 3. Adneth. Zahlreiche Exemplare, nach welchen die obige Beschreibung entworfen ist.

4. Ammonites Ferstil Hauer. Taf. II, Fig. 1—3.

1853. A. Ferstli Hauer. Jahrb. d. k. k. geolog. Reichsanst.. IV, S. 748.

Die Schale ist vollkommen evolut, so dass sich die Umgänge nur berühren, ohne sich zu umschliessen. Man zählt ihrer vier, sie sind breiter als hoch, der Rücken beinahe flach, die Seiten stark gewölbt. Sehr starke, aber sehr weit von einander abstehende Radialrippen laufen über die Seiten und den ungekielten Rücken, woselbst sie eine sanfte Bucht nach vorne machen. Ihre Zahl beträgt bei dem einzigen vorliegenden Exemplare von nahe vier Zoll Durchmesser, auf der letzten Windung 11, auf der vorletzten ungefähr 10. Sie werden auf dem Rücken nicht wesentlich dicker als auf den Seiten, und sind

¹⁾ Die Versteinerungen Würtemberg's. Taf. XVI, Fig. 7.

³⁾ Das Flötzgebirge Würtemberg's. S. 170.

durch breite Zwischenräume getrennt, die ungefähr viermal breiter sind als sie selbst.

Die Details der Lobenzeichnung sind der zu stark ausgewitterten Beschaffenheit des Kernes wegen nicht mit der ganzen wünschenswerthen Schärfe zu erkennen, doch sind die Umrisse, wie die Abbildung sie gibt, im Allgemeinen jedenfalls richtig. Sie stimmt beinahe vollständig mit der der vorhergehenden Art überein, namentlich ist auch die Bildung des Naht- und Bauchlobus, dann des Bauchsattels sehr analog. Nur der Rückenlobus reicht um etwas tiefer hinab.

Für D = 100 verhalten sich

$$H: B: N: h: b = 33:38:46:16:18.$$

Der vorhergehenden Art sehr nahe verwandt, unterscheidet sich A. Ferstli hauptsächlich nur durch die weniger zahlreichen, entfernt von einander stehenden Rippen, ein sehr augenfälliges Merkmal, welches so lange berücksichtigt werden muss, als es nicht etwa gelingt, bestimmte Übergänge zwischen beiden Formen nachzuweisen.

Der Fundort des einzigen mir bekannten Exemplares ist der rothe wahrscheinlich den Adnether Schichten angehörige Kalkstein in den Steinbrüchen bei Dotis in Ungarn, woselbst es von Hrn. Dr. J. v. Ferstl aufgefunden wurde.

5. Ammonites Maugenesti d'Orbigny.

- 1844. A. Maugenestii d'Orbigny. Paléon. franç. Terr. jur., p. 254, pl. 70.
- 1845. A. Maugenestii Quenstedt. Die Cephalopoden, S. 89, Taf. IV, Fig. 1.
- 1851. A. Mangenesti Kudernatsch. Jahrbuch der k. k. geolog. Reichsanstalt, Bd. II. Heft 2, S. 173.
- 1853. A. Maugenesti Oppel. Würtembergische naturwissenschaftliche Jahreshefte, X. Jahrg. 1. Heft, S. 47, 77. Taf. II, Fig. 3.
- 1853. A. Maugenesti Hauer. Jahrb. d. k. k. geolog. Reichsanst., IV, 748.

Das einzige aus unseren Alpen mir bekannt gewordene Exemplar dieser Art, stimmt mit der Abbildung und Beschreibung d'Orbign y's zu der auch die späteren Abbildungen Quenstedt's und Oppel's sehr gut passen, beinahe vollständig überein.

Der Durchmesser der bis zum Ende gekammerten Schale heträgt 2½ Zoll. Vier Umgänge sind zu erkennen, zwei weitere mögen unter dem den innersten Theil des Nabels verhüllenden Gestein verborgen sein. Dieselben sind ungefähr zu ein Viertel umhüllend, nur wenig höher als breit; der dachförmige Rücken auf seiner Mittellinie

mit einem nicht starken aber deutlichen Kiel versehen; die Seitenflächen sind mit schmalen, weit von einander abstehenden Rippen versehen, die auf der Rückenkante einen starken Knoten tragen. Auf dem letzten Umgange zählt man ihrer 21. auf dem vorletzten 20.

Die Lobenzeichnung stimmt gut mit d'Orbign v's, in mancher Beziehung aber noch besser mit Quenstedt's Abbildung. Der Rückenlobus ist beinahe eben so tief wie der Laterallobus, nur die mittlere Spitze des letzteren reicht etwas tiefer hinab. Der Rückensattel und der obere Lateralsattel sind ungefähr gleich hoch, der untere Lateralsattel dagegen sehr klein. Der Rückenlobus ist beträchtlich tiefer als breit und schmäler als ihn d'Orbigny's Abbildung angibt. Er trägt vier grössere Arme, von denen die unteren zwei durch den Siphosattel, der halb so hoch ist wie der Dorsalsattel, getrennt werden. Der Rückensattel hat einen breiten Stamm und ist in zwei deutlich getrennte Partien getheilt, deren jede wieder mehrere Äste erkennen lässt; die noch auf der Rückenfläche gelegene Partie ist die kleinere, die grössere fällt auf die Kante zwischen der Rücken- und Seitenfläche. Der Laterallobus zeigt einen schmalen Stamm und trägt drei grössere sparrig auseinander laufende Äste. Der obere Lateralsattel hat einen schmalen Stamm wie bei Quenstedt's Zeichnung, während ihn d'Orbigny und Oppel viel breiter abbilden; er ist ziemlich regelmässig zweitheilig. Die noch folgenden zwei kleinen Loben mit dem zwischen ihnen gelegenen Sattel zeichnen sich durch ihre schiefe Stellung aus.

Fundort:

Adneth bei Hallein im rothen Kalkstein.

6. Ammonites Valdani d'Orbigny.

- 1844. A. Valdani d'Orbigny. Paléont. franç. Terr. jurr., p. 255, pl. 71.
- 1845. A. Valdani Quenstedt. Die Cephalopoden, S. 90, Taf. V. Fig. 3.
- 1851. A. Valdani, A. Maugenesti Stur. Jahrbuch der k. k. geologischen Reichsanstalt, Bd. II, Heft 3, Seite 25, 26.
- 1851. A. Valdani Schafhautl. Geogn. Unters. des sädbayerischen Alpengebirges, S. 39.
- 1852. A. Valdani Merian. Verh. d. naturf. Gesellschaft in Basel, X. S. 151.
- 1853. A. Valdani Merian. In Studer's Geologie der Schweiz, II, S. 39 und in Escher's Vorarlberg, S. 7.
- 1853. A. Valdani Oppel. Würtembergische naturwissenschaftliche Jahreshefte, X, Heft 1, S. 78, Taf. II, Fig. 2.

A. Valdani Emmrich. Jahrb. der k. k. geol. Reichsanstalt, IV, S. 382.
 A. Valdani Hauer. Jahrb. der k. k. geol. Reichsanstalt, IV, Seite 748.

D'Orbigny selbst und später Quenstedt weisen auf die überaus grosse Verwandtschaft dieser Art mit der vorhergehenden hin. Oppel führt sogar an, dass sie in Würtemberg in der That vollständig in einander übergehen, ohne sie jedoch beide wirklich zu vereinigen.

Ich glaube dieser Art alle Exemplare zuzählen zu dürfen, welche Hr. D. Stur bei Enzesfeld auffand, und unter den oben bezeichneten Namen aufführt. Sie gehören wohl sicher zusammen, unterscheiden sich aber durch mehrere bezeichnende Merkmale von dem oben angeführten Exemplare von Adneth, welches sehr genau mit den Abbildungen von A. Maugenesti übereinstimmt.

Die Umgänge unserer Exemplare sind gut um ein Drittel höher als breit, übereinstimmend mit der von Quenstedt als A. Valdani compressus bezeichneten Varietät, doch ist der Querschnitt mehr übereinstimmend mit d'Orbigny's und Oppel's Abbildungen als mit der von Quenstedt, indem die Schale schon in der Gegend der Knoten an der Rückenkante ihre grösste Breite erreicht. Der Rücken ist ziemlich flach, dachförmig, der Kiel auf demselben sehr gut markirt. Die ebenen und parallelen Seitenkanten tragen die bezeichnenden Rippen mit je zwei Knoten, von denen der eine an der Rückenkante, der andere ziemlich nahe an der Naht steht. Die unteren Knoten sind an einigen Exemplaren weniger deutlich ausgebildet und veranlassten so sie als A. Maugenesti zu bezeichnen.

Die Zahl der Rippen beträgt bei einem Exemplar von 1½ Zoll Durchmesser 26, bei einem zweiten von 1½ Zoll 20, bei einem dritten von ½ Zoll 25. Alle diese Exemplare sind bis zum Ende mit Kammerscheidewänden versehen. Die Lobenzeichnung in der allgemeinen Austheilung viel Übereinstimmung zeigend mit der des A. Maugenesti, unterscheidet sieh doch auch hier wie in d'Orbigny's Abbildung durch viel weniger zerschnittene Loben und Sättel. Sie stimmt mit dieser Abbildung sehr gut überein, nur sind die Spitzen des Dorsallobus parallel wie sie Quenstedt abbildet, während sie dort sehr auffallend divergirend gezeichnet sind.

Fundorte:

1. Enzesfeld, im rothen Kalkstein der Adnether Schichten, der einzige Fundort, von dem mir Exemplare vorliegen.

- 2. Adneth (?). Das Vorkommen an dieser Localität ist sehr zweifelhaft. Quenstedt 1) eitirt von dort nur eine dem A. Valdani zu vergleichende Form, die sich durch Mangel der Stacheln und durch länger gezähnte Loben unterscheidet. Unter den Ammoniten von Adneth in den hiesigen Sammlungen befindet sich Nichts, was zu diesen Angaben passt.
- 3. Zellergraben bei Ruhpolding in Baiern. Emmrich führt a. a. O. die Species von dort an. Die Exemplare tragen 42 Rippen.
 - 4. Elbingenalp im Bernhardsthal (Merian, Escher).
 - 5. Spullers-Alp S. W. von Thannberg (Merian, Escher).

7. Ammonites brevispina Sowerby.

- 1827. A. brevispina Sowerby? Mineral Conchology, p. 106, tab. 556.
- 1844. A. brevispina d'Orbigny. Paléont. franç. Terr. jur., p. 272, pl. 79.
- 1853. A. brevispina Hauer. Jahrbuch der k. k. geologischen Reichsanstalt, IV, S. 754.

Die unter den Namen A. brevispina und A. lataecosta von Sowerby aufgestellten, aber leider sehr unvollständig charakterisirten und abgebildeten Arten werden von den meisten späteren Schriftstellern wieder vereinigt, aber wie mir scheint, von d'Orbigny und Zieten dem Quenstedt folgte, verschieden gedeutet. D'Orbigny, der den Namen A. brevispina beibehält, zieht in der Paléontologie française beide Arten zusammen, und rechnet eine Form hierher, deren Umgänge in der Jugend breiter als hoch, in ausgewachsenem Zustande, dagegen höher als breit sind, und derengerade Rippen schon bei einem Durchmesser von 21/2 Zoll gänzlich verschwinden. Der Rücken ist sehr breit, gerundet, die Rippen setzen nur undeutlich über ihn fort, die Seitenflächen ebenfalls leicht gewölbt. Die Schale ist auf Seiten und Rücken mit starken Querstreifen versehen, welche selbst auch noch auf dem Steinkerne sichtbar bleiben. In der Paléontologie stratigraphique werden aber wieder A. latecosta und A. brevispina getrennt aufgeführt; ihre Unterscheidungsmerkmale jedoch nicht näher angegeben. Zieten *) und Quenstedt *)

¹⁾ Die Cephalopoden. S. 261.

²⁾ Die Versteinerungen Würtemberg's. S. 18, Taf XIII, Fig. 4.

³⁾ Die Cephalopoden. S. 68, Taf. IV, Fig. 15.

dagegen, die den anderen Sowerhy'schen Namen A. lataecosta anwenden, ziehen eine Form hierher, die einen dachförmig erhobenen oder auch undeutlich gekielten Rücken, ganz ebene Seitenflächen und gerade radial laufende Rippen besitzt. Die Umgänge der abgebildeten Exemplare sind beträchtlich höher als breit, die Knoten verschwinden erst in hohem Alter. Die Rippen bleiben aber nach Oppel's 1) Zeugniss auch auf den Wohnkammern ausgewachsener Exemplare noch unverändert sichtbar. Die Lobenzeichnungen beider bieten übrigens, nach den Abbildungen zu urtheilen, keine bemerkenswerthen Unterschiede dar. Mit den Sowerby'schen Abbildungen und Beschreibungen, so weit dieselben specifische Charaktere wahrnehmen lassen, stimmt strenge-genommen, weder die französische noch die würtembergische Form. Sein A. lataecosta hat einen gerundeten Rücken und etwas wellig gebogene Rippen, die bei dem Durchmesser von nahe vier Zoll noch in ihrer vollen Deutlichkeit zu beobachten sind. Das erstere Merkmal unterscheidet ihn von der würtembergischen, das letztere von der französischen Art. Sow e rby's A. brevispina dagegen unterscheidet sich von beiden durch den ausdrücklich hervorgehobenen Umstand, dass die Rippen auf den Seitenslächen nur wenig erhaben, auf dem Rücken dagegen sehr vorstehend sind.

Wohl nur eine Vergleichung der Sowerby'schen Original-Exemplare könnte hier die Synonymik ganz sicher feststellen. Quenstedt selbst gibt zu 2), dass es nicht zu ermitteln sei, ob die würtembergische Art wirklich mit der Sowerby's übereinstimme oder nicht; ich muss mich damit begnügen, mich an das Gegebene anzuschliessen und bezeichne als A. brevispina eine in unsern Hierlatz-Schichten häufig vorkommende Form, die sehr genau mit d'Orbig ny's Art übereinstimmt.

Die grosse Mehrzahl der Exemplare in den hiesigen Sammlungen zeigt einen Durchmesser von 1 bis 1½ Zoll. Diese bestehen aus 4 oder höchstens 5 wenig involuten Umgängen, die in Breite und Höhe etwas rascher zunehmen als dies bei d'Orbigny's Abbildung der Fall zu sein scheint. Bei gleichem Durchmesser sind dort um einen oder zwei Umgänge mehr vorhanden. Der Rücken ist gerundet, die

¹⁾ Würtembergische naturwissenschaftliche Jahreshefte X 1. Heft, S. 74.

²⁾ Das Flötzgebirge Würtembergs. S. 169,

Seiten flacher gewölbt. Sie tragen durchschnittlich 25 gerade Rippen mit je zwei Knoten, deren unterer im Drittel der Höhe von der Naht weg steht. Der obere Knoten sieht wie bei d'Orbigny's Abbildung eben noch unter dem nächst folgenden Umgang hervor. Am Rücken verlieren sich die Rippen, dagegen werden hier die Streifen, die auf den Seitenflächen nur selten gut zu erkennen sind, viel deutlicher. Die allmähliche Veränderung der Gestalt ergibt sich aus den nachfolgenden Abmessungen:

	Fü	D = 1	00
Durchmesser	\widehat{H} .	\widetilde{B} .	N.
8 Linien	. 35	47	33
12 "	. 35	37	42
151/	. 37	34	46

Bei noch weiterem Fortwachsen verlieren sich die Knoten auf den Rippen, diese werden flacher und flacher und verschwinden endlich beinahe ganz; dagegen treten die Streifen immer deutlicher und deutlicher hervor. Bei einem Exemplare, welches Hr. Prof. Reuss einsendete, ist bei 2 Zoll Durchmesser, die Breite der Mundöffnung beträchtlicher als die Höhe. Es ist dieses Exemplar noch bis zum Ende gekammert. Bei einem zweiten, einem Bruchstücke, das auf einen Durchmesser der Schale von etwa 2½ Zoll deutet, findet sich ebenfalls noch nichts von der Wohnkammer. Die Höhe ist hier ungefähr um ½ beträchtlicher als die Breite.

Die Lobenzeichnung, die rings herum vollständig blossgelegt werden konnte, stimmt sehr genau mit den Abbildungen von d'Orbigny und Quenstedt. Der zweispitzige Bauchlobus reicht so tief hinab als der Rückenlobus.

Fundorte:

- 1. Hierlatz bei Hallstatt.
- 2. Thörlklamm am Schafberg.
- 3. Gratzalpe.

An allen drei Orten in den Hierlatzschichten, nur von Nr. 2 liegen Exemplare in grösserer Zahl, darunter auch die vollständig ausgewachsenen vor.

Noch möge schliesslich erwähntwerden, dass nach einem Exemplare, welches ich Hrn. Pechioli in Florenz verdanke, der von Meneghini 1) vom Mte. Calvi angeführte A. brevispina sehr gut mit unseren Exemplaren vom Hierlatz übereinstimmt. Nur ist dasselbe noch etwas schmäler.

8. Ammenites natrix Zieten.

- 1830. A. natrix Zieten. Die Versteinerungen Würtembergs, Seite 5, Taf. IV, Fig. 5.
- 1843. A. natrix 2. Varietat, Quenstedt. Das Flötzgebirge Würtembergs, Seite 169.
- 1845. A. natrix oblongus Quen stedt. Die Cephalopoden, S. 85, Taf. 4, Fig. 16.
- 1851. A. natrix oblongus Schafhäutl. Geognostische Untersuchungen des südbayerischen Alpengebirges. Tabelle zu Seite 138.
- 1853. A. natrix oblongus Oppel, Würtembergische naturwissenschaftliche Jahreshefte, X, Heft 1, S. 73, Taf. 1, Fig. 5.

Sorgfältiger als bei Unterscheidung anderer Ammoniten berücksichtigt Quenstedt bei den von ihm sogenannten Natrices auch sehr geringfügige Merkmale zur Trennung verschiedener Arten. Ob nur die Hälfte, oder mehr als die Hälfte des Nahtlobus noch über der Naht auf der Seitenfläche Platz findet, oder mit anderen Worten, ob der Nahtlobus durch die Naht selbst genau halbirt wird oder nicht, dies bildet nach seiner Angabe das Hauptmerkmal, durch welches sich seine zwei Arten A. lataecosta und A. natrix unterscheiden. Von der letzteren Species werden zwei Varietäten aufgeführt, die eine A. natrix rotundus mit niederer Mundöffnung, und, in der Jugend wenigstens, zwei Stacheln auf jeder Rippe, und A. natrix oblongus mit höherer mehr comprimirter Mundöffnung und Rippen, die nur an der Rückenkante Stacheln tragen. Nach Oppel geht die erstere dieser Varietäten in der That vollständig in A. lataecosta über, und muss daher damit vereinigt werden. Die zweite Varietät dagegen scheint mehr Ansprüche auf Selbstständigkeit zu haben; ihr dürfte ein Exemplar angehören, welches ich aus den Steinbrüchen von Adneth erhielt. Dasselbe hat drei Zoll Durchmesser, einen sanft gerundeten nicht gekielten Rücken, ungefähr 35 gerade an der Rückenkante mit einem

Nuovi fossili Toscani S. 10; aus derselben Sammlung des Hrn. Pechioli entnehme ich, dass der von Stur (Jahrb. d. k. k. geol. Reichsanstalt 1831. 3. Heft,
 S. 26) benannte und von mir (Sitzb. d. kais. Akad. d. Wissenschaften XII. Bd.,
 S. 881) beschriebene A. Partschi aus der Familie der Heterophyllen identisch ist mit dem A. striatocostatus von dem Mte. Calvi den Meneghini in der genannten Abhandlung S. 28 beschreibt.

Knoten versehene Rippen und eine Lobenzeichnung, die mit Quenstedt's Abbildung gut übereinstimmt; namentlich ist auch ein ansehnlicher Theil des Nahtlobus noch über der Naht sichtbar. Für einen Durchmesser = 100 verhalten sich

D: H: B: N = 100: 30: 22: 52.

Nach Schafhäutl's Angabe findet sich dieselbe Art auch zu Ruhpolding.

9. Ammonites Birchi Sowerby.

- 1820. A. Birchi Sowerby. Mineral Conchology, t. 3, p. 121, tab. 267.
- 1844. A. Birchi d'Orbigny. Paléont. franç. Terr. jur., p. 287, pl. 86.
- 1847, A. Birchi Zeuschner. Verhandlungen der k. russischen Gesellschaft für Mineralogie, S. 73.
 - ? A. Birchi Zeuschner. Ogniwa Formacyi kredy ezyli Opoki Wyżyny Krakowskiej, p. 17.
- 1853. A. Birchi Hauer. Jahrb. d. k. k. geol. Reichsanstalt, IV, S. 754.

Die weit ansehnlichere Grösse, die viel langsamere Wachsthumszunahme, die nach d'Orbigny's Zeichnung ziemlich wesentlich verschiedene Lobenzeichnung, endlich vor Allem der Umstand, dass die Rippen und Knoten auch bei ausgewachsenen Exemplaren bei einem Durchmesser bis zu ein Fuss in unveränderter Stärke hervortreten, unterscheiden diese Art gut und sicher von A. brevispina. Aus den österreichischen Alpen ist sie mir bisher nur von den folgenden Localitäten bekannt geworden.

Fundorte:

- 1. St. Wolfgang ohne nähere Bezeichnung des Fundortes. Ein unvollständiges, jedoch wahrscheinlich hierher gehöriges Exemplar in der Sammlung des Hrn. Hofrathes v. Fischer.
- 2. Adneth. Die Exemplare, die sicher hierher gehören, erreichen bis 7 Zoll Durchmesser. Gewöhnlich haben sie eine Wohnkammer, die einen Umgang und darüber einnimmt. Am vollständigsten stimmt mit d'Orbigny's Abbildung ein kleineres Exemplar von 4½ Zoll Durchmesser. Die Grössenverhältnisse desselben sind:

$$D: H: B: N = 100: 24: 22: 55.$$

D'Orbigny gibt die Höhe des letzten Umganges zu 20, d. i. ein Fünstel des Durchmessers, an, in der Abbildung beträgt sie aber auch kaum weniger als ein Viertel, die Breite dagegen ist bei seinen Stücken im Verhältnisse zur Höhe etwas beträchtlicher. Die Lobenzeichnung, an unserem Exemplare ziemlich gut zu beobachten, stimmt

in den allgemeinen Verhältnissen; doch erscheint der obere Laterallobus verhältnissmässig noch tiefer und mehr verzweigt.

Ein zweites Exemplar von 7 Zoll Durchmesser trägt auf dem letzten Umgang 30 Rippen für D = 100 ist H = 21 und N = 58. Die Breite ist, da die eine Seite der Schale eingedrückt ist, nicht gut zu ermitteln, doch scheint sie im Verhältnisse zur Höhe noch geringer gewesen zu sein, als bei dem vorhergehenden Exemplare.

Dem A. Birchi schliessen sich noch andere Exemplare von Adneth zunächst an, die wohl eine eigenthümliche Species bilden, mir aber nicht in zur Charakterisirung genügenden Exemplaren vorliegen. Sie erreichen bis nahe einen Fuss Durchmesser und zeichnen sich hauptsächlich durch ganz abgeflachten Rücken und Seiten aus. Die sehr starken Rippen, ungefähr 30 an der Zahl, tragen an der Rückenkante einen sehr markirten dicken Knoten und laufen gerade über dem Rücken zusammen. Auf dem grössten Exemplare jedoch enden sie mit dem Rückenknoten, und der Rücken erscheint hier ganz eben und glatt. Die Schale gleicht durch zahlreiche Windungen und langsame Wachsthumszunahme der des A. Birchi, doch sind die Umgänge beträchtlich höher als breit.

- 3. Reinanger Alpe, westl. von Golling. Ein Bruchsück einer Windung eines grossen Exemplares. Aufgefunden von Herrn Dr. K. Peters.
- 4. (?) Borgo di Terzo im Val Cavalina Prov. Bergamo. Ein Exemplar im grauen Kalkstein, gesendet von Hrn. Dr. Venanzio stimmt annähernd, aber nicht vollständig mit A. Birchi überein. Die Umgänge sind etwas höher als breit. Die zwei Knoten auf jeder Rippe etwas in die Höhe gezogen. Die Rippen stehen auf dem letzten Umgange etwas entfernter als auf den vorhergehenden.

10. Ammonites Jamesoni Sowerby.

- 1827. A. Jamesoni Sowerby. Mineral Conchology, p. 579, tab. 555, f. 1, 2.
- 1844. A. Regnardi d'Orbigny. Pal. franç. Terr. jur., p. 257, pl. 72.
- 1851. A. Jamesoni Kudernatsch, Jahrb. d. k. k. geolog. Reichsanstalt Bd. II, Heft 2, S. 173.
- 1851. A. Jamesoni Stur. Jahrb. d. k. k. geol. Reichsanst., Bd. II, Hft. 3, S. 25, 30.
- 1851. A. Bronni Schafhautl. Geognostische Untersuchungen im südbayerischen Alpengebirge, S. 138.
- 1852. A. Regnardi Merian. Verhandlungen der naturforschenden Gesellschaft in Basel, X, S. 151.

1853. A. Regnardi Merian. Studer's Geologie der Schweiz, II, S. 39. 1853. A. Jamesoni Hauer. Jahrb. d. k. k. geolog. Reichsanst., IV, S. 748, 754.

Diese Art zuerst von Sowerby in unvollständigen Bruchstücken aus dem englischen Lias abgebildet und beschrieben, wurde später an zahlreichen Fundorten in Deutschland und Frankreich nachgewiesen. D'Orbig ny wagte nicht die französischen Exemplare, die sich durch kleine Knoten auf den Rippen an der Rückenkante von Sowerby's Abbildung unterscheiden, mit A. Jamesoni zu verbinden und ertheilte ihnen den Namen A. Regnardi. bildet ein sehr vollständiges ausgewachsenes Exemplar ab, und fügt diesem die Abbildung eines Jugendexemplares bei, welche sich wie Giebel 1) mit Recht bemerkt, in Nichts von Ammonites Bronni Römer³) unterscheidet. Quenstedt unterscheidet zwei Varietäten, die eine mit dicken Rippen und breiterem Rücken, Sowerby's Normalform; die zweite mit schmalem Rücken und feineren bisweilen an der Rückenkante mit Knoten versehenen Rippen, der sich d'Orbigny's A. Regnardi anschliesst. Oppel's 3) neuere Beobachtungen scheinen darauf hinzuweisen, dass diese zwei Varietäten wirklich zwei abgesonderte Arten bilden, denn während er ebenfalls den kleinen gekielten A. Bronni als die Jugendform der schmalen Varietät anerkennt, theilt er die Abbildung einer ungekielten ganz abweichenden Formals die der Jugendexemplare des echten A. Jamesoni mit, der nach seinen Beobachtungen erst bei weit ansehnlicherer Grösse seine bekannte Gestalt annimmt.

Da übrigens die Lobenzeichnung beider Formen nicht verschieden zu sein scheint, lassen sich die angegebenen Differenzen vielleicht auf eine Geschlechtsverschiedenheit zurückführen, um so mehr, da beide Formen nach Oppel's Mittheilung stets zusammen vorkommen.

Die Exemplare aus unseren Alpen stimmen theils mit dem typischen A. Jamesoni, theils mit der als A. Regnardi beschriebenen Form überein. Auch wir haben es meistens nur mit Bruchstücken einzelner Umgänge zu thun, doch liegen mir von beiden Varietäten auch vollständige Exemplare vor.

¹⁾ Die Cephalopoden der Vorwelt. S. 687.

³⁾ Die Versteinerungen des norddeutsehen Oolithgebirges. S. 181, Taf. 12, Fig. 8.

³⁾ Würtembergische naturwissenschaftliche Jahresbeste X, 8.76.

Fundorte:

- 1. Hörnstein. Ein Exemplar von 4½ Zoll Durchmesser mit 5 Windungen.
- 2. Enzesfeld. Ein vollständiges schmales Exemplar von 3½. Zoll Durchmesser. Die Höhe der Umgänge beinahe doppelt so gross wie ihre Breite. Rücken gerundet schmal, Seitenflächen des letzten Umganges mit 52 sehr gut markirten Falten, die auf den Seitenflächen in gerader radialer Richtung laufen, am Rücken aber sich verdicken und eine sehr deutliche Bucht nach vorne machen. Von Knoten an den Rückenkanten ist an diesem Exemplare, einem Steinkern, nichts zu sehen.

Die Hälfte eines zweiten Exemplares deutet auf einen Durchmesser von 6 Zoll.

- 3. Hierlatz bei Hallstatt. Ein einziges sehr unvollständiges Bruchstück, an dem aber doch die Rippen mit ihrer charakteristischen Bucht nach vorne so gut erhalten sind, dass die Bestimmung ziemlich sicher scheint.
- 4. Hoslgraben bei St. Wolfgang. Ein vollständig erhaltenes Exemplar von drei Zoll Durchmesser, sehr genau übereinstimmend mit dem ersterwähnten Stücke von Enzesfeld. Zahl der Rippen auf dem letzten Umgang ungefähr 50. Die flachen Seiten erreichen ihre grösste Breite erst in der Nähe des Nabels, gegen den zu sie steil abfallen.

$$D: H: B: N = 100: 30: 17: 47.$$

Eingesendet vom Hrn. Prof. Dr. Reuss.

- 5. Bisch ofsteinbruch im Wiesthal. Ein Bruchstück eines Umganges mit breitem Rücken und dicken, minder zahlreichen Falten. Diese letzteren sind auf den Seitenflächen etwas gekrümmt, ähnlich wie bei Sowerby's Abbildung. In hell-grauem Kalkstein.
- 6. Adneth bei Hallein. Exemplare bis zu 81/2 Zoll Durchmesser mit 45 sehr starken dicken Rippen, der Sowerby'schen Normalform angehörig.
- 7. Kammerkar Alpe bei Waidring. Ein Bruchstück aus rothem Kalkstein, gut übereinstimmend mit dem Exemplare vom Bischofsteinbruch. Hr. Dr. Schafhäutl citirt von diesem Fundorte den A. Bronni, der wie oben erwähnt auch hierher zu beziehen wäre.
 - 8. Elbingenalp.
 - 9. Lechthal zwischen Stög und Kaisers.

10. Spullers Alpe SW. von Thannberg. Alle drei Orte angeführt von Merian und Escher.

11. Auch zu Tureczka bei Neusohl in den Karpathen findet sich die Art, die uns beschäftigt, nicht selten vor. Unter den Stücken, die Hr. Adolph Patera daselbst sammelte, befindet sich ein etwas verdrücktes, aber vollständig erhaltenes Exemplar von 6 Zoll Durchmesser, der breitrückigen Normalform angehörig. Auf dem letzten Umgang befinden sich 54 Rippen, die an der Rückenkante etwas verdickt sind, doch ohne eigentliche Knoten zu tragen.

An einem zweiten Exemplare liess sich die Lobenzeichnung ringsum vollständig blosslegen. Die höheren über der Naht liegenden Loben und Sättel stimmen, so weit es bei dem etwas abgewitterten Kerne möglich ist, gut mit den Abbildungen die d'Orbign y und Quenstedt geben, überein. Der Nahtlobus ist sehr breit und wird durch die Naht selbst halbirt, unter ihr folgt noch ein schmaler Sattel, der nicht ganz die Höhe des letzten über der Naht stehenden Sattels erreicht, und der sehr schmale zweispitzige Bauchlobus, der so tief hinabreicht wie der Rückenlobus und jederseits vier einfache Zähne trägt.

II. Ammonites Roberti Hauer.

Taf. III, Fig. 1-3.

1851. A. Birchi Stur. Jahrb. d. k. k. geol. Reichsanst., Bd. II, Heft, 3. S. 28. 1853. A. Roberti Hauer. Jahrb. der k. k. geolog. Beichsanstalt, Bd. IV., S. 748.

Eine der häufigsten und best erhaltenen Arten aus den Adnether Schichten, die, wenn es auch noch nicht gelang, Exemplare mit der Schale aufzufinden, doch schon an den Kernen hinreichende Merkmale bietet, um sie von allen bekannten Arten zu unterscheiden.

Die in ihren Gestaltsverhältnissen ziemlich variable Schale besteht aus 4—5 Umgängen, die bald mehr, bald weniger involut sind, dem entsprechend auch in Bezug ihrer Höhe beträchtliche Schwankungen erleiden. Die evolutesten Exemplare sind nicht mehr als ½ bis ¼ umfassend. Die Höhe des letzten Umganges beträgt dabei etwas weniger als ein Drittel des Durchmessers und ist nur unbedeutend beträchtlicher als die Breite. Die involutesten Exemplare dagegen sind bis zur Hälfte umfassend, die Höhe des letzten Umganges beträgt über ¾ des Durchmessers und die Breite erreicht noch nicht zwei Drittel der Höhe. Der Durchmesser des Nabels

erreicht bei den Ersteren die Hälfte, bei den Letzteren kaum über ein Drittel des Durchmessers der Schale.

Das abgebildete Exemplar, Taf. III, steht zwischen diesen Extremen in der Mitte, nähert sich aber schon mehr den hochmündigen Varietäten.

Der Rücken ist regelmässig gerundet, er verläuft allmählich ohne Kante in die mehr abgeflachten Seiten, die erst in der Nähe des Nabels ihre grösste Breite erreichen, und gegen diesen zu steil abfallen. Die Seiten sind mit starken geraden Radialfalten bedeckt, die zunächst an der Naht am höchsten erhoben sind, gegen den Rücken zu, mehr und mehr verflachen und meist, noch bevor sie diesen erreicht haben, gänzlich verschwinden. Der Rücken erscheint ganz glatt ohne Falten und ohne Kiel.

Bei den am wenigsten involuten Exemplaren setzen die Falten weiter gegen den Rücken zu fort als bei den übrigen. Bei älteren Exemplaren verflachen die Rippen mehr und mehr, und mitunter werden die Seitenflächen vollkommen glatt; doch ist dies nicht immer der Fall, denn bei einem der grössten Exemplare von 12 Zoll Durchmesser, welches die ganze Wohnkammer, die zwei Drittel des letzten Umganges einnimmt, erhalten trägt, sind die Falten, wenn auch flacher bis zum Ende wahrzunehmen. Die Mundöffnung selbst ist hier durch eine tiefe und breite Einschnürung bezeichnet.

Die Zahl der Falten schwankt zwischen 30 und 40, sie ist bei den ausgewachsenen Exemplaren nicht grösser als bei den am häufigsten vorkommenden von 3 bis 5 Zoll Durchmesser. Die Falten sind flach, gerundet und meist etwas schmäler als die sie trennenden Zwischenräume. An einigen Exemplaren glaubt man auf der Nabeltante Spuren von Knoten wahrzunehmen, doch sind sie jedenfalls sehr wenig markirt.

Die Lobenlinien sind durch ausserordentliche Complication der Loben und Sättel ausgezeichnet. Die Seitenflächen schwach angewitterter Exemplare erscheinen ganz von diesen Zeichnungen bedeckt, so dass es oft schwer hält eine Linie vom Rücken bis zum Nabel zu verfolgen. Der verschiedene Grad der Auswitterung bedingt manche Verschiedenheiten in den Details der einzelnen Äste und Zacken, doch bleibt der Bau im Allgemeinen, bei allen Exemplaren sowohl den hochmündigen, wie den mehr evoluten, regelmässig derselbe.

Vom Rücken bis zur Naht zählt man jederseits die Normalzahl von drei Sätteln, von denen jedoch die zwei unteren, da der sie trennende untere Laterallobus nur wenig tief hinabreicht, sich unten zu einem gemeinschaftlichen Stamm zu vereinigen scheinen. Alle Sättel haben schmale Stämme und sehr verzweigte Äste, die durch tiefe Secundärzacken getrennt sind. Die Zeichnung gibt den Dorsalsattel als den höchsten, doch reicht mitunter der obere Lateralsattel eben so hoch hinauf wie dieser. Der untere Lateralsattel dagegen ist beträchtlich kleiner und schief gegen den Nabel zu gerichtet.

Der Rückenlobus ist beträchtlich seichter als der obere Laterallobus, welch letzterer den grösseren Theil der Seitenfläche der Schale einnimmt. Sein oberer Seitenarm greift oft bis nahe zur Rückenlinie, noch weiter als es die Zeichnung angibt, vor. Der untere Laterallobus ist nur so tief wie der Rückenlobus und überhaupt sehrwenig entwickelt. Von der Nahtlinie weg greift ein Lobenzacken in beinahe radialer Richtung, bis weit auf die Seitenfläche herauf, vor.

Die grössten mir vorliegenden Exemplare von *A. Roberti* haben etwas über einen Fuss Durchmesser. Die Dimensionen eines der involutesten Exemplare von 4 Zoll Durchmesser betragen:

$$D: H: B: N = 100: 40: 23: 37$$

bei dem abgebildeten Exemplare von nahe der gleichen Grösse

$$D: H: B: N = 100: 36: 23: 40$$

endlich bei einem der evolutesten Exemplare von 3½ Zoll Durchmesser.

$$D: H: B: N = 100: 30: 24: 48.$$

Gestalt und Lobenzeichnung weisen den A. Roberti unstreitig in die Familie der Capricornier und zwar schliesst er sich durch die Lobenzeichnung am meisten jener Abtheilung derselben an, die Quenstedt mit dem Namen Natrices bezeichnet. Von allen bekannten Arten unterscheidet er sich durch die involutere Schale und durch das rasche Verslachen der Falten gegen den Rücken zu.

Fundorte:

Bisher habe ich A. Roberti nur aus den Nordalpen kennen gelernt, und zwar von den folgenden Localitäten:

1. Hörnstein. In einem gelbgrauen Fleckenmergel, der nach Stur's Beobachtung unter den rothen Adnether Kalken liegt. Das in dem k. k. Hof-Mineralien-Cabinete befindliche, sehr wohl erhaltene Stück schliesst sich den Varietäten mit sehr wenig umhüllenden Umgängen und niederer Mundöffnung an. Die Rippen bleiben bis zum Rücken hin sichtbar und schwellen am Ende zu undeutlichen Knoten an. Bei nahe 5 Zoll Durchmesser verhalten sich

$$D: H: N = 100: 29: 48.$$

- 2. Zinkenbachgraben bei St. Wolfgang. Kleinere, schlecht erhaltene Exemplare, mitgetheilt vom Hrn. Prof. Reuss.
- 3. Schreinbachgraben bei St. Wolfgang. Ein Exemplar von 71/2 Zoll Durchmesser zeigt, vielleicht nur in Folge der schon weit vorgerückten Verwitterung des Kernes den letzten Umgang ganz glatt.
- 4. Breitenberg am St. Wolfgang-See. Ein ziemlich hochmundiges Exemplar von 6 Zoll Durchmesser, gesendet vom Hrn. Prof. Reuss.
- 5. Königsbachgraben bei St. Wolfgang. Ein ganz abgeriebenes und nur unsicher zu bestimmendes Exemplar.
- 6. Bischofssteinbruch im Wiesthale. Exemplare bis zu 7 Zoll Durchmesser, alle sehr evolut. Gesammelt von Hrn. M. V. Lipold.
- 7. Ad neth bei Hallein. Sehr zahlreiche Exemplare. Nach diesen hauptsächlich ist die oben gegebene Beschreibung entworfen.
- 8. Thurnberg bei Hallein. Ein ganz evolutes Exemplar von 3 Zoll Durchmesser mit 34 Falten auf dem letzten Umgang.
- 9. Auch zu Tureczka bei Neusohl in den Karpathen kömmt A. Roberti vor. Ein Bruchstück eines grösseren Exemplares, das Hr. A. Patera daselbst auffand, lässt die Gestalt und Lobenzeichnung deutlich erkennen.

Ausser den im Obigen aufgezählten Arten finden sich noch einige in der Literatur erwähnt, von denen es mir leider nicht gelang, mir Exemplare zu verschaffen. Dahin gehören:

A. Keindelii. Unter diesem Namen erwähnt Emmrich 1) einen Capricornier aus dem Amaltheen-Mergel der bayerischen Alpen und theilt eine kurze Charakteristik mit, die auf keine der von mir erwähnten Arten passt.

¹⁾ Jahrbuch der k. k. geologischen Reichsanstalt 1853, IV, S. 382.

Von einer zweiten unbenannten Art theilt Emmrich nur die Beschreibung der Lobenzeichnung, von einer dritten ebenfalls ohne sie zu nennen, einige Notizen über die äussere Gestalt mit. Diese Angaben sind nicht genügend, um diese Arten mit schon bekannten zu vergleichen. Auch die von ihm mitgetheilte Schilderung einer Art aus dem rothen Liasmarmor (S. 385), vermag ich nicht zn deuten.

A. cf. natrix Quenstedt 1) von Adneth. In Betreff der äusseren Gestalt wird nur angegeben, dass die Rippen ähnlicher denen des A. Jamesoni sind. Die Loben in der citirten Figur abgebildet, sind ähnlich denen des A. natrix zerschnitten. Besonders hervorgehoben wird die ganz eigenthümliche Form des Nahtlobus, "welcher mit "seinen beiden horizontal gespreizten Armen aussen fast ganz sicht"bar wird. Er gleicht einem Kreuze, dessen Stiel sich in der Nähe "des Querbalkens auffallend verengt." Eine sehr ähnliche Beschaffenheit, besonders in letzterer Beziehung, zeigt die Lobenzeichnung des A. muticus d'Orbigny 2). Bei Beschreibung dieser Art theilt d'Orbigny mit, dass sie in Betreff ihrer Rippen und Knoten mit A. Jamesoni (Regnardi d'Orb.) Ähnlichkeit habe. Es erscheint demnach nicht unwahrscheinlich, dass Quenstedt's Exemplar in der That zu A. muticus d'Orbigny gehöre.

Amm. ähnlich dem A. armatus Sow. Emmrich 3) fand denselben im Wundergraben bei Ruhpolding. Eine von Akner 3), als A. armatus bezeichnete Form von Michelsberg in Siebenbürgen, scheint unrichtig bestimmt, denn vom selben Fundorte werden Scaphiten, Hamiten und andere Kreidepetrefacte aufgeführt.

In der folgenden Tabelle ist das Vorkommen der Capricornier in den österreichischen Alpen mit Hinzufügung der in Bayern gelegenen Fundstelle bei Ruhpolding noch einmal zusammengestellt. Als Anhang sind auch die mir bekannt gewordenen Fundorte in Ungarn beigeschlossen. Zur näheren Bezeichnung der Schichtengruppe bedeutet in der letzten Columne r. A. = rothe Adnetherkalke. gr. A. = graue Adnether Schichten, die sogenannten Amaltheener Fleckenmergel, H. die Hierlatz Schichten. Alle diese Schichtengruppen gehören dem oberen Lias der Alpen an.

¹⁾ Die Cephalopoden S. 261, d, Taf. 19, Fig. 9.

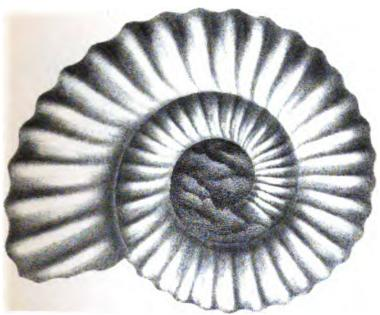
²) Paléontologie française terrains jurassiques, p. 274, pl. 80.

³⁾ Jahrb. der k. k. geologischen Reichsanstalt IV, S. 383.

⁴⁾ Verhandl. d. siehenbürgischen Vereines für Naturwissenschaften. l. 1850. S. 183.







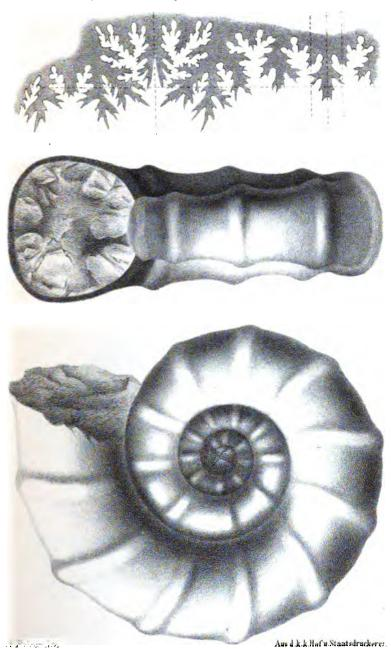
A. Frizer Lot

Aus d.k.k.Hof u. Stantodruckerei.

Ammonites Adnethicus Hau.

Sitsungab. d. k. Akad. d.W.math. naturw. CLXIII.Bd. 1. Heft. 1854.

			•	
·				
			•	
		·		



Ammonites Ferstli Hon.
Sitzungsb. d.k.Akad.d.W. math. naturw. CLXIII. Bd. LHeft. 1854.

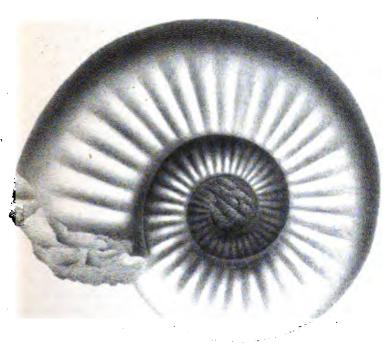
•				
•		,		
	•			

Fr.v. Hauer. Capricornier der Alpen.

Taf. III.







A 6 Gar 140

Aug d. k.k.Hof u. Stantsdruckerei.

Ammonites Roberti Hau.
Sitsungsb. d. k. Akad. d.W. math. maturw. ('L XIII. Bd. 1. Heft. 1854.

			1
	·		•
,			
			·
<u> </u>			

Capricornier der österreichischen Alpen.	A. ruricostatus Ziet.	A. planicostatus Sow.	A. Adnethieus Hau.	A. Ferstli Hau.	A. Maugenesti d'Orb.	A. Valdani d'Orb.	A. brevispina Sow.	A. natrix Ziet.	A. Birchi Sow.	A. Jamesoni Sow.	A. Roberti Hau.	Schichtengruppe,
a) Nordalpen.		11								M		
Hörnstein						•		•		+	+	g. } A
Enzesfeld	١. ا	+				+				+		r. A.
Wolfsgrub N. v. Pernitz	+											
Steinbauer N.N. W.v.Kleinzell				•.	$ \cdot $							g. A
Neustiftgraben	+					•						g. A
St. Gallen	+		•	•		•	•	•	•	•	•	g. A
Hierlatz	•	+	+	•	•	•	+	•	•	+		H.
Thöriklamm (Schafberg) .		+	•	•	•	•	+	•	:	•	•	H?
St. Wolfgang	•	+	•	•	•		•	٠	+	;	•	r. A.
Zinkenbachgraben bei St.	•	•	•	•	•	•	•	• 1	•	+	•	r. A.
Wolfgang											+	r. A
Schreinbachgraben bei St.	١.	١.	•	•	١.	1	.	•	•	•	Т	1. A
Wolfgang					١. ا						+	r. A.
Breitenberg bei St. Wolf-											'	
gang	١.										+	r. A
Königsbachgraben bei St.											Ť	
Wolfgang											+	r. A
	•		+		•	•	•	•				r. A.
Bischofsteinbruch (Wies-		1										
thal)	:	•	:	•	:	;	•	•	•	+	+	r. A.
Adneth	+		+	•	+	1 1	•	+	+	+	+	r. A
Thurnberg (Hallein) Gratzalpe (Golling)	+	١.	•	•	•	•	:	•	•	•	+	r. A. H
Reinangeralpe (Golling)	:	+	•	•	•	•	+	•	+	:	•	r. A.
Buhnolding	+					+		+	•	•	:	g. A
Ruhpolding		+						.		+		r. A
Slbingenalp						+				+		
Kaisers (Lechthal)										+		
Spullersålp (S. W. Thann-	1											
berg)		+	•		•	+	•		+	+	•	
b) Südalpen.												
Val Cavalina									?			
Brba bei Como		•		•	•					•	•	r. A.
Saltrio	+	+						: 1		•	•	1. A.
		'		•				-	•	•	•	
c) Uugarn.												
Modern	+		.									g. A
Schloss Arva	+		.	•			•			•	•	g. A
Tureczka bei Neusohl	•	+	•	•	$ \cdot $	•	•	•	•	+	+	r. A.
Dotis	۱ . ۱			+			١.١	.	.			r. A.

Über das Auswachsen der Bindegewebs-Substanzen und die Beziehung desselben zur Entzündung.

Von dem w. M. Prof. Rekitansky.
(Mit I Tafel.)

Ich habe in meiner Abhandlung über die Entwickelung der Krebsgerüste und anderer Maschenwerke (Sitzungsb. der mathem.naturw. Classe 1852, Märzheft) auf die Structur der pseudomembranösen Bildungen auf serösen Häuten und einigermassen auch auf deren Entwickelung, d.i. auf das Wachsthum derselben aufmerksam gemacht und die Identität derselben in jeder dieser Rücksichten mit den Krebsgerüsten als Maschenwerken nachgewiesen. Ich habe nämlich daselbst gezeigt, dass die gegebenen Lamellen der Pseudomembran in Form von konischen oder kolbigen Excrescenzen als Zellen erzeugenden structurlosen Hohlgebilden oder massenhafter in Form von leistenartigen derlei Wucherungen auswachsen, dass diese zu Maschenwerken werden, als solche einander durchsetzen und auf diese Weise dichte, faserige Filze constituiren. In der Abhandlung über den Zottenkrebs (Sitzungsb. der mathem.-naturw. Classe 1852, Aprilheft) habe ich bemerkt, dass der structurlose Hohlkolben von pathologischen sowohl wie physiologischen Gewebsmassen her spriesse und sofort habe ich vielfach gelehrt, dass Bindegewebsneubildungen nebstdem, dass sie in jenen structurlosen Gebilden zur Entwickelung kommen, auch aus nackten Zellenmassen hervorgehen, zu denen Bindegewebe in Form von Papillen, Zotten, Leisten auswächst.

Ich war damit von früheren Ansichten über das ursprüngliche Zustandekommen der obgedachten Pseudomembranen, d. i. über deren Grundlage (Blastem) und Entwickelung sowohl, als auch über deren Beziehung zu dem Substrate des Exsudations-Vorganges abgekommen. Es waren dies Ansichten, welche bis auf heute allgemein adoptirt waren, welche Vogel in der Aufstellung des Hydrops fibrinosus, der ihm auch eine Theorie der Entwickelung der Cyste bot, und in der weiteren Aufstellung des Gesetzes der sogenannten analogen Bildung zusammengefasst hatte, — Ansichten, nach welchen das Exsudat sowohl das Blastem für die Entwickelung der Elemente des Ergusses (Eiters), als auch das Material der Gewebs-Bildung enthielt, nach welchen eben ein Antheil des Exsudates in Contact mit dem Gewebe,

von diesem influencirt, nach dem Gesetze der analogen Bildung zur Gewebsentwickelung bestimmt wurde; Ansichten endlich, welche zur Behauptung führten, dass sich grosse Exsudatmassen zu Eiter, kleine Exsudatmengen dagegen leichter wegen der Möglichkeit hinlänglicher Influencirung zu Geweben entwickeln u. s. w.

Virchow hat seitdem in seiner spec. Pathologie und Therapie (i. Bd., 1854), nachdem er dem papillaren Auswachsen der Intercellularsubstanzen einen entsprechenden Bereich vindicirt hatte und nachdem mit Luschka's Nachweisung des Baues der sogenannten Pacchionischen Granulationen die Structur und Entwickelung vieler anderer ähnlicher Gebilde aufgeklärt war, in der Skizzirung der Vorgänge, die zur Neubildung führen, den der Knospung (Knospenbildung) aufgestellt. Zugleich stellt er andeutungweise die Entwickelung von Geweben aus Exsudat, Extravasat als zweifelhaft hin, will aber mit Bestimmtheit eine Entwickelung neuer Zellen aus einem flüssigen freien Blasteme nicht anerkennen.

Ich habe, seitdem ich durch fortgesetzte Untersuchung der Krebsgerüste darüber ins Klare kam, dass das structurlose kolbige Hehlgebilde, welches in seiner weiteren Entwickelung zur dendritischen Vegetation wird oder die Grundlage eines Maschenwerkes abgibt, unmittelbar aus Bindegewebsmassen (pathologischen und physiologischen) auswächst, gefunden, dass auch ein Auswachsen von Bindegewebsmassen in anderer Art vorkömmt. Es kömmt nämlich überhaupt vor:

- 1. Das Auswachsen in Form eines kolbigen, structurlosen Bläschens (des primitiven Hohlkolbens) mit hyalinem Inhalte; dieses Gebilde ist ausgezeichnet durch seine vielgestaltige endogene Productivität, die ich bereits mehrfach zu erörtern und nachzuweisen bemüht gewesen.
- 2. Ausserdem wachsen, wie Eingangs bemerkt worden, Bindegewebsmassen in nackten Zellenmassen meist von konischer, papillärer,
 Zotten-Form, in Form von glatten oder krausen Leistchen u. s. w.
 aus. Ein exquisites Beispiel hiefür gibt in Fig. 1. das aus langen
 faserigen Balken bestehende Stroma eines Medullarkrebses. Bei *
 sieht man, wie eine Zellenmasse aus dem faserigen Balken und zwar
 innerhalb eines hyalin, structurlos gewordenen Bezirkes desselben
 auswächst. Andere häufige Beispiele geben nebst anderen die in Entwickelung stehenden Pseudomembranen auf serösen Säcken Fig. 2.

welche eben einen wesentlichen Gegenstand der Verhandlung abgeben sollen. Die Zellen verschmelzen zu einer hyalinen Masse, welche selbst später zu Bindegewebsfibrillen zerfällt.

3. Endlich wächst die gallertige Bindegewebsmasse als ursprünglich solche oder als aus Reduction des faserigen Bindegewebes hervorgegangene in papillarer oder Zotten-Form aus. Solches kommt vor als Auswachsen von (physiologischen) Papillen der allgemeinen Decke, der Scheidenschleimhaut und der Schleimhaut des Uterus-cervix, im Condyloma, Blumenkohlgewächs, — als Auswachsen des Bindegewebslagers der Talgfollikel bei subcutanen Warzen und Condylomen, des Bindegewebslagers der zu Cysten erweiterten physiologischen Acini der Brustdrüse, so wie solcher von neuer Bildung im Cystosarcoma mammae, — als Auswachsen der Arachnoidea, der dura mater zu den Pacchionischen Granulationen, des Ependyma, seröser Häute zu ähnlichen Formen u. a.

Diese sämmtlichen Gebilde oder Sprossen, so wie auch die aus ihnen hervorgehenden dendritischen, papillaren Wucherungen, Maschen und Fachwerke sind nackt oder es tritt neben ihnen eine Neubildung anderer Art auf, welche auf Papillen und Zotten eine Beleg-, in den Maschen- und Fachwerken eine Ausfüllungs-Masse darstellt. Sie besteht gegenüber der Textur ihrer Träger und Gerüste aus persistenten (resp. vergänglichen) Zellen, welche nicht selten eben den Charakter eines wuchernden Epidermidalbeleges haben.

Dieses Auswachsen betrifft übrigens nicht allein das eigentliche Bindegewebe, sondern die Bindegewebssubstanzen (Virchow) überhaupt, nachdem sie in den Zustand von gallertähnlichem (schleimhaltigen) Bindegewebe überführt worden sind. Die denselben angehörigen Zellen und Zellenderivate sind hierbei allerdings betheiligt, indem in Bindegewebskörperchen sowohl, als auch besonders in Knorpelund Knochenzellen eine endogene Production auftritt, d. i. jene Zellen zu bruterzeugenden Mutterzellen heranwachsen. Für den Knochen muss ich ausdrücklich erwähnen, dass die großen eine endogene Kernbrut enthaltenden Zellen im Knochenmarke (Kölliker), wie mich vielfache Untersuchungen der im Knochensysteme fortan stattfindenden fluctuirenden Rück- und Fortbildungsprocesse lehren, zu Mutterzellen entwickelte Knochenzellen seien. Bei allem dem bin ich nie zu einer Anschauung gelangt, nach welcher die Gebilde, zu denen die Bindegewebssubstanzen auswachsen und namentlich der hyaline Hohl-

kolben sich hätten auf ein Auswachsen einer Zelle oder eines Zellenderivates beziehen lassen. Immer traten diese als Brutelemente erzeugende und sich demgemäss zu Mutterzellen entwickelnde, niemals aber als selbst auswachsende Gebilde auf.

Die oberwähnten Untersuchungen führten mich, nachdem ich seit den Nachweisungen, die ich in meiner Schrift über die Maschenwerke gegeben, in das Stadium der ersten Entwickelung der Pseudomembranen auf serösen Säcken vorgedrungen, auf Thatsachen und zu Anschauungen, welche mich sofort vermochten, eine Revision der bisherigen Lehre über die Exsudate und deren Entwickelung, zu der ich in ihrer bisherigen Form selbst Wesentliches beigetragen, vorzunehmen. Dabei erschienen die Beziehungen, welche allenthalben zwischen den obgedachten Trägern und Gerüsten und ihrer Belegund Ausfüllungsmasse obwalten und die differente Bedeutung beider dieser Bestandtheile alsbald von Wichtigkeit und auf die Verhältnisse bei den Exsudaten anwendbar.

Als das geeignetste Object für die einschlägigen Untersuchungen fand ich eben die serösen Häute: hier lässt sich Alles leicht sondern, oder es tritt als Ausdruck wesentlicher Differenz nach Anordnung und Zeitfolge bereits gesondert auf, das Substrat ist eine übersichtliche einfache, wohl bekannte Textur, und die unmittelbaren Objecte der Untersuchung bieten sich in grosser Mannigfaltigkeit und in zulänglicher Menge dar.

Bei der Besichtigung eines serösen Sackes, auf welchem ein Essudationsprocess (Entzündung) Statt gehabt hatte, beebachtet man, wenn die Krankheit nicht sehr frühzeitig tödtlich geworden ist, zwei verschiedene gesonderte Dinge, d. i. der anomale Zustand zeigt auf den ersten Anblick zwei Bestandtheile. Einer derselben ist eine in den Raum des serösen Sackes ergossene Flüssigkeit, welche man gemeinhin vorzugsweise mit dem Namen Exsudat belegt; er ist in der That das eigentliche Exsudat, Entzündungs-Product; wir wollen ihn den Erguss — pleuritischen, peritonitischen Erguss — nennen. Der andere Bestandtheil haftet an der serösen Haut und constituirt dasjenige, was gemeinhin als der sogenannte plastische, organisable Antheil des Exsudates angesehen und Pseudomembran, pseudomembranöse Bildung genannt wird. Er besteht aus den Rudimenten von Gewebsneubildung und wir wollen ihn den pse ud om embranöse n Bestandtheil nennen. Schein und Missdeutung von Thatsachen

haben den Glauben begründet, dass dieser Bestandtheil des Befundes ursprünglich ein Theil des Ergusses (Exsudates) sei, dass er aus diesem entweder alsbald nach der Exsudation, ja schon im Exsudationsvorgange austrete und als fibrinöser Natur auf der exsudirenden Oberfläche durch Erstarrung festgehalten und fixirt werde, oder nachträglich sich ans dem Ergusse in Folge innerer Vorgänge und äusserer Bestimmungen heraus und an die Innenfläche der serösen Haut anbilde. Mancherlei Ähnlichkeit mit erstarrter Fibrin, in welcher bereits Veränderungen eingetreten waren, nach äusserer Form und innerer Anordnung, insbesondere aber die Thatsache, dass oft ein Erguss wirklich in seiner Gesammtheit oder zu einem gewissen Antheile auf der Innenfläche des serösen Sackes membranähnlich erstarrt, haben mich ehedem vermocht, den in Rede stehenden Bestandtheil als eine aus dem Ergusse hervorgegangene per i phere Ger innung anzusehen und zu bezeichnen.

Überblickt man die Ergüsse, so ergibt sich, dass die Verschiedenheiten derselben, abgesehen, wie sich von selbst versteht von den durch fremdartige Beimischungen z. B. Blut oder durch Metamorphose bedingten, sich in formeller Hinsicht auf rein quantitative Differenzen zurückführen lassen. Die Formelemente derselben bestehen nämlich immer und überall in jenen Gebilden, welche Henle mit dem Namen Elementarkörnchen, Elementarkörperchen und cytoide Körperchen belegte, von welchen die Elementakörperchen auch die Namen Exsudatkörperchen (Valentin), plastische Körperchen (plastic corpuscules, Bennett) und im Eiter pyoide Körperchen (Corps pyoides Lebert) erhielten. Es wäre überflüssig, hier in eine Kritik dieser Bezeichnungen einzugehen, eine jede soll augenscheinlich irgend eine dem Beobachter besonders wichtig scheinende thatsächliche oder eingebildete Eigenschaft hervorheben. Es genügt zu bemerken, dass die cytoiden Körperchen Henle's Zellen sind, welche vor Allem mit den farblosen Blutzellen, es mögen diese wo immer herstammen, übereinkommen.

Die Quantität dieser Elemente ist nun eben sehr verschieden: in manchen Ergüssen ist sie gering, in anderen sehr bedeutend. Wo das letztere der Fall ist, erscheint der Erguss als Eiter, d. i. als ein Erguss, in welchem eine wuchernde Erzeugung derselben und namentlich der entwickeltsten, d. i. der Zellen stattfand, so dass er

die eben den Eiter bezeichnende dickliche, rahmähnliche Consistenz, eine gelbliche, gelblichgrünliche Färbung erhielt.

Der Eiter weicht demnach in Bezug seiner formellen Zusammensetzung, seiner Organisation nicht nur nicht von anderen Ergüssen ab, sondern ist vielmehr ihnen gleich, er steht somit in einer Reihe mit ihnen, nimmt aber allerdings in dieser einen der beiden extremen Punkte ein. Es ergibt sich hieraus, dass, obgleich der Eiter allerdings ein ausgezeichnetes Gebilde in der Reihe der Ergüsse ist, ihm doch die Sonderstellung nicht zukömmt, welche derselbe bisher gewöhnlich eingenommen hat. Dasselbe muss auch von dem Processe gelten, in dessen Gefolge ein Exsudat auftritt, welches sich zu Eiter entwickelt. Er lässt sich nur in Ansehung der quantitativen und Intensitäts-Verhältnisse von anderen verschieden denken, denen zu Folge in dem Ergusse sowohl ein bildsames Material an und für sich überwiegt, als auch die molekularen Spannungen am leichtesten in dem elementaren Organisationsprocesse zur Ausgleichung gelangen.

Es wäre eben auch überflüssig, in eine Beschreibung des Eiters einzugehen, einer organisirten Flüssigkeit, deren Elemente so vielfachen Forschungen unterworfen worden sind. Dagegen ist es für den vorliegenden Zweck von Belang, einen Hinblick auf den Entwickelungsvorgang der Elemente des Eiters und respective der Formelemente der Ergüsse überhaupt zu thun.

Wenn irgend ein Gebilde im Stande ist, den Nachweis für die Entwickelung seiner Elemente aus einem freien Blasteme, d. i. für einen extracellulären Bildungsvorgang derselben zu geben, so ist es, wie bisher von den bedeutendsten Beobachtern theils behauptet, theils zugestanden wurde, der Eiter (die Exsudate überhaupt).

Ich war in diesem Betreff bisher nicht im Stande, irgend Etwas zu beobachten, was stichhältig berechtigen könnte, die Entwickelung derselben auf einen endogenen Vorgang in physiologischen Zellen und deren nächsten Derivaten als Bestandtheilen des Substrates der Exsudation zurückzuführen.

Diesen Ergebnissen zur Seite scheinen mir die erstarrten fibrinösen Ergüsse, welche die fraglichen Elemente in verschiedener Menge einschliessen, beachtenswerth. Solche kommen auf serösen Häuten häufig massenhaft vor als membranartig ausgebreitete locker haftende Gerinnungen, welche sich als ein zu dem bekannten Faserfize erstarrter Faserstoff ausweisen, in welchem die gedachten Elemente eingelagert sind. Es beweisen diese Exsudate, dass, soferne die Ergüsse früher erstarrten, als die Entwickelung jener Elemente eingeleitet ward, diese jedenfalls aus einem freien Blasteme und als extracelluläre aus dem in den Maschen des Faserstoff-Faserfilzes enthaltenen Antheile des Ergusses entstanden sind.

In Bezug auf die Vermehrung der gegebenen Elemente lässt sich dagegen allerdings eine intracelluläre Bildung kaum bezweifeln, soferne sich in der Eiter-Zelle theils neue Kerne neben dem ursprünglichen selbstständig entwickeln, theils die Kerne sich durch Theilung vermehren. Bei allem dem ist es schwer, zu der Überzeugung zu gelangen, dass diese mehrkernigen Zellen wirklich als Mutterzellen fungiren.

Eben so, ja noch belangreicher als das eben Gesagte, ist hier die Frage über die weitere Entwickelungsfähigkeit dieser Elemente.

Die Veränderungen, welche dieselben eingehen, bestehen vorzüglich in Fettmetamorphose, in dem Zerfall zu einem feinkörnigen Detritus, der Umwandlung zu einer dem gelben Tuberkel gleichen morschen Masse, endlich die Umwandlung zu Colloid. Es ist natürlich, dass diese Veränderungen besonders ersichtlich und palpabel dort sind, wo sie eine Masse von Formelementen betreffen, während sie sich dort der Beobachtung leicht entziehen, wo diese Elemente nur spärlich zugegen sind. Am exquisitesten werden sie daher am Eiter hervortreten, und von ihm werden auch, wo er in deren Folge nicht resorptionsfähig geworden ist, am gewöhnlichsten und die bedeutendsten Reste im Entzündungsherde zurückbleiben.

Diese Veränderungen sind sämmtlich retrograde Metamorphosen, in denen die Organisation des Ergusses untergeht. In der That sind sie es allein, welche den Formelementen der Ergüsse zukommen; diese sind somit keiner weiteren Entwickelung fähig, sie geben namentlich nirgends die Grundlage von Gewebe ab.

Wenngleich demnach aus und in dem freien Ergusse keine höhere Organisation als die Entwickelung der bekannten auf der Stufe der Zelle persistirenden Elemente von transitorischem, ephemerem Bestande statthat, und hierin allerdings die Anschauung des Eiters als eines excrementiellen, zersetzbaren Gebildes als begründet erscheint, so ist doch damit nicht in Abrede gestellt und ausgeschlossen, dass der Erguss ernährendes Material enthalte, welches

Bildungsvorgängen zu Statten kömmt, die neben ihm im Gefolge des Ersudationsprocesses in dessen Substrate Platz greifen und zu Gewebs-Neubildung führen.

Diese Bildungsvorgänge und ihr Ergebniss stellen den zweiten, den pseudomembranösen Bestandtheil der Anomalie dar, die eine seröse Haut darbietet, welche der Sitz eines Exsudationsprocesses geworden war. Fortgesetzte, in der angedeuteten Weise motivirte Untersuchungen haben mich, wie schon bemerkt, in Betreff des Wesens und der Entstehung dieses Bestandtheiles und hiermit auch in Betreff seiner Beziehung zu dem Ergusse zu Ansichten und Überzeugungen geführt, welche durchaus von den bisher gehegten abweichen.

Nachdem ich, wie meine Abhandlung über die Maschenwerke nichweist, schon seit Längerem zu wichtigen Aufklärungen über den Bau und das Wachsthum der Pseudomembranen auf serösen Häuten and über deren Übereinstimmung mit anderen Bindegewebs-Neubildungen gelangt war, blieb mir für Alle die Nachweisung der Uranlange, der Form des primitiven Erscheinens dieser Vegetation übrig. Sie liess sich meiner Meinung nach vor Allem von der Untersuchung entzündeter seröser Häute und zwar solcher Fälle erwarten, wo die Entzündung, sei es als die eigentlich tödtende Krankheit oder als irgendeine secundare, als Theil-Erscheinung, Complication, kurze Zeit vor dem Tode aufgetreten war. Als solche bieten sich insbesondere die puerperalen Peritonitides einerseits, andererseits die leichteren pleuritischen Affectionen neben Hepatisation, metastatischen Infarcten, Tuberkulose der Lungen u. dgl. dar. Das allergünstigste Object ist wohl das Peritonäum unter einem puerperalen Exsudate in jenem Zustande von Verlust seines Glanzes und seiner Glätte, von jenem matten, filzigen Ansehen, wie es seit Gendrin unter den Kennzeichen der Entzündung seröser Häute angeführt und als der Ausdruck von last angesehen wurde. Hier lässt sich der Vorgang der pseudomembrandsen Neubildung in seinen frühesten Stadien wahrnehmen, während er in den anderen Fällen und selbst schon dort gemeinhin über diese hinaus ist, wo die Neubildung den zartesten eben wahrnehmbaren Anflug darstellt, der an mehr oder weniger zahlreichen Stellen inniger haftet, an welchen nach dessen Entfernung die seröse Haut wie vand, excoriirt aussieht.

Besichtigt man ein derlei Peritonäum, wie oben angegeben worden, mit dem Mikroskope, so nimmt man in demselben Anhäufungen von Zellen wahr, welche über die Oberfläche der serösen Haut emporstreben und dieselbe in Form von konischen, kolbigen, papillenartigen, leistenähnlichen Vegetationen überragen (Fig. 2). Sie sind es, welche der serösen Haut das obenbemerkte matte, filzige Ansehen verleihen. Zugleich bemerkt man, was in mehrfacher Hinsicht von Bedeutung erscheint, dass die oberflächliche Schichte des Bauchfells, in der eben jene Zellenlager nisten, ihre faserige Textur verloren und eine hyaline gallertähnliche Beschaffenheit angenommen hat. Diese Zellen sind rund, oder oval, auch wohl hier und da von wechselseitiger Anlagerung etwas abgeplattet, von 1/50 Mill. Durchm., mit einem (runden oder ovalen) Kerne von 1/100 Mill. Durchm. versehen, oder sie sind endlich auch spindelförmig. Sie sind also auf den ersten Anblick von jenen verschieden, welche in dem Ergusse zur Entwickelung gekommen sind.

Einen Schritt weiter wachsen diese Zellenlager heran, indem sie sowohl in jener Lamelle der serösen Haut sich ausbreiten, dieselbe in Form geschlängelter sich abzweigender Ausläufer durchsetzen, als auch über dieselbe in Form von zarten Villis, Papillen, von einfachen und glatten oder sich abgrenzenden krausen Fältchen und Leisten herauswachsen und dieselbe überwuchern.

Die Zusammensetzung der Neubildung aus Zellen zu erkennen hat hier, wie im weiteren Verfolge ihrer Vegetation oft seine Schwierigkeit. Sehr gewöhnlich stellt sich dem Auge ein Aggregat schollenartiger, in Verschmelzung begriffener Körperchen dar, durchsetzt von vielerlei Schatten in Folge der durch ungleichmässige Metamorphose und Aggregation der Elemente gegebenen Ungleichförmigkeit von Lichtpenetration und Reflexion. Es verschmelzen diese Zellen als runde und ovale, oder nachdem sie eine Spindelform angenommen haben, der Hauptmasse nach unter einander zu einer hyalinen Substanz, welche zu Bindegewebsfibrillen zerfällt, wobei die Kerne als runde oder ovale zurückbleiben oder zerfallen und resorbirt werden. Einzelne Zellen gehen nebstbei allerdings als spindelförmige auch selbstständig die Metamorphose zu einem Bündel von Bindegewebsfibrillen ein. Dabei ordnen sich die Zellenmassen unter einander. indem sie confluiren, so, dass daraus eine einfache mit der serösen Haut bald innig, bald nur lose verwachsene über ihr verschiebbare Bindegewebslamelle wird, oder sie constituiren sich, indem in ihnen eine Lückenbildung stattfindet, zu einem areolirten Stratum, einer gesensterten Membran, einem Gitter.

Während dieser inneren Fortbildung wächst nun die Neubildung weiters in derselben Weise aus und so tritt eine zweite Lamelle zu jener hinzu. Die Beziehungen beider zu einander bestehen entweder einfach in einer Übereinanderlagerung oder sie durchsetzen einander in dem Falle, als die erste sich zu einem Gitter gestaltet hatte, der Art, dass sich die Balken des einen Gitters durch die Räume des anderen (älteren) hindurchschlingen.

Indem diese Vegetation so fortschreitet, kommen endlich nicht selten Pseudomembranen von einer ganz ausserordentlichen Dicke, namentlich auf dem Rippenfelle, zu Stande. Häufig wuchert die Vegetation in Form ansehnlicher Zotten, Leisten, Sepimenta nach dem Raume der serösen Cavität herein, welche, indem sie, vom parietalen und vom visceralen Blatte herkommend, mit einander verwachsen, in Form eines groben Balken- oder Fachwerkes durch die Cavität und den Erguss in ihr hinziehen, so, dass letzterer oft gleichsam mehrfach abgesackt erscheint.

Je wuchernder die Vegetation ist, und je mehr sie sich in ihren Einzel-Ergebnissen zu Maschenwerken gestaltet, desto mehr stellt die Pseudomembran im reifen Zustande eine dichte Masse dar, die in Bezug auf ihre Structur einen Filz darstellt, der aus Maschenwerken besteht, die einander so durchsetzen, dass die faserigen Balken des einen die Räume des anderen ausfüllen.

Die Form, unter welcher das Auswachsen einer gegebenen Lamelle, eines gegebenen Gitters oder Maschenwerkes stattfinden ist, wie bisher vorausgesetzt worden, die von nackten Zellenmassen; bisweilen ist es auch die von hyalinen structurlosen Kölbchen, welche in ihrem Inneren Zellen produciren und sich auf die von mir in meiner Schrift über die Krebsgerüste erledigte Weise zu Maschenwerken ausbilden.

Die Pseudomembranen verwachsen also nicht, wie man im Eintlange mit früheren Anschauungen meint, mit der serösen Haut, sondern sie sind, indem ihre Anfänge aus der serösen Haut hervorspriessen, gleich ursprünglich mit derselben verwachsen — ja die seröse Haut ist endlich, indem sie von der Neubildung selbst durchsetzt ist, als ein selbstständiges Stratum untergegangen.

Die Frage, wie lange diese Vegetation fortdauert, hängt innig mit der zusammen, woher dieselbe ihr Material beziehe. Zur Erläuterung der letzteren ergibt die Betrachtung der Vorgänge auf serösen Häuten als höchst wahrscheinlich, dass die Neubildung ihr Materiale nicht allein aus dem in sie herein auswachsenden Gefässapparate der serösen Haut, sondern, wie oben angedeutet worden, auch aus dem Ergusse selbst beziehe. Es lässt sich dies aus der Abnahme der in demselben ursprünglich enthaltenen histogenetischen Stoffe, d. i. seiner mit dem Fortschreiten der Vegetation ehenmässig vorgehenden allmählichen Reduction zu einem dünnen serösen Fluidum abnehmen. In dieser Rücksicht kann man als theilweise richtig annehmen, was Paget als Unterscheidungsmerkmal zwischen dem Wachsthume der durch Entzündung veranlassten und der ohne diese zu Stande gekommenen Neubildungen angeführt hat, dass nämlich das Wachsthum jener mit der Aufzehrung des mit und in dem Exsudate gegebenen Materiales seine Grenzen finde. Andererseits findet die Neubildung dort, wo Substanzverlust zu ersetzen (Regeneration), wo wie immer entstandene und unterhaltene Lücken auszufüllen sind, mit Erreichung dieses Zweckes ihr typisches Ende, überschreitet aber auch zuweilen, in autonomer Weise fortwachsend, die mit der Idee des Organismus und seiner Integrität vereinbarlichen Grenzen.

Die sonstigen Metamorphosen, welche die Neubildung zuweilen in ihrem embryonalen Zustande betreffen, die Rückbildung, die sie selbst im reifen Zustande häufig noch erfährt, mögen hier füglich übergangen werden.

Wie aus dem Gesagten zu entnehmen, so scheidet sich bei Entzündungen seröser Häute dasjenige, was bisher in seiner Gesammtheit als Entzündungsproduct aufgefasst worden ist, in ganz palpabler Weise in einen Bestandtheil, welcher augenscheinlich und sicherlich Exsudat ist, und als solches seiner Zusammensetzung und Entwickelungsfähigkeit nach unzweifelhaft mit den innerhalb der Capillaren während der Stase stattfindenden Vorgängen in dem innigsten Nexus steht — der Erguss (Exsudat): er gibt je nach seinem in der Stase acquirirten Blastemgehalte das Materiale ab zu einer bald spärlichen, bald reichlichen, wuchernden Entwickelung von Zellen, welche persistiren, d. i. keiner weiteren Fortbildung fähig sind. — Ich kann nicht umhin, hier eine Beobachtung anzuführen, welche jenen Nexus und damit meine zeitherigen Ansichten über die Vor-

gänge in den Gefässen eines von Entzündung befällenen Theiles ganz vorzüglich zu bestätigen geeignet ist: Bei den vielfachen einschlägigen Untersuchungen seröser Häute stiess ich auf das Peritonäumeiner an puerperaler Metritis sehr schnell verstorbenen Weibsperson, auf dem sich kein wahrnehmbares Exsudat vorfand, an dem sich aber eine leichte Wulstung und Trübung nicht verkennen liess. Ausgehend aber auf den Befund der auf unmerkliche Exsudation folgenden Neubildung in ihrem ersten Beginne untersuchte ich dasselbe, fand aber weder Erguss, noch Neubildung; dagegen waren die Gefässe seines hypogastrischen Abschnittes strotzend mit farblosen Elementen angefüllt — es war noch zu keiner (peritonitischen) Exsudation gekommen.

Der and ere Bestandtheil ersteht in dem Substrate der Exsudation, indem in dessen Intercellularsubstanz und zwar in einem in den Zustand des gallertähnlichen Bindegewebes reducirten Stratum (Bezirke) desselben Zellenlager zur Entwickelung kommen, welche sofort in der angegebenen Weise fortwachsen. Hier handelt es sich wesentlich um mehrere Dinge, welche sämmtlich in der Frage begriffen sind, in welcher Weise der Entzündungsprocess die Vegetation im Substrate veranlasse? Ob es ein Antheil des Ergusses (Exsudates) sei, welcher als Blastem im Gewebe während der Exsudation zurückgehalten oder nachträglich aus dem Exsudate durch Imbibition aufgenommen wurde, oder ob das Exsudat hieran keinen Theil habe, ob vielmehr die Neubildung in Bezug einer materiellen Grundlegung vom Exsudate völlig unabhängig sei u. s. w. Die Beantvortung mag auf ein Späteres verwiesen sein, indem sich im Nächstfolgenden noch Daten zu diesem Behufe ergeben dürften.

Dieselben Vorgänge finden zunächst bei und im Gefolge der Entzündung der inneren Herzauskleidung (Endocarditis) und der Elsppenentzündung Statt, woraus eine mehrfache Berichtigung der bisherigen Anschauungen hervorgeht. Der Erguss auf die freie Oberfiche des Endocardiums ist allerdings nicht unmittelbar erweislich, er lässt sich aber durchaus nicht in Abrede stellen; vielmehr sprechen alle Analogien dafür, dass er stattfinde, dass er jedoch im Momente seines Erscheinens vom Blute abgeschwemmt werde und in demselben dyskrasische Erscheinungen begründe. Dagegen ist die Neubildung deutlich ausgeprägt und zwar in Form der bisher als angefilzter Faserstoff aus dem Blute, als Faserstoffabsatz auf excortirte Stellen des

Endocardiums, als erstarrtes Exsudat angesehenen, von Luschka als das nach innen durchbrechende Exsudat im Gewebe des Endocardiums gehaltenen Vegetationen, Klappen-Vegetationen. Die Masse. zu der sie bald gleichmässig innerhalb eines gewissen Bereiches. bald ungleichmässig in Form einzelner die anderen überragender, breit oder gestielt aufsitzender Excrescenzen heranwuchern, gibt beim Abgange eines seiner Quantität und Qualität nach einer directen Schätzung entzogenen Ergusses hier zunächst einen Maasstab für die Beurtheilung der Intensität der Entzundung ab. Die aus dem Endocardium spriessende Vegetation muss möglichst von angefilztem Faserstoff unterschieden und dabei beachtet werden, dass die Menge eines solchen Faserstoffabsatzes um so bedeutender ist, je mehr der Faserstoff des Blutes durch Aufnahme eines blastemreichen die Anlage zu wuchernder Zellenbildung (Eiter) involvirenden Ergusses eine Geneigtheit zur Gerinnung acquirirt hatte. Die Vegetation wuchert überdies auf einem Bezirke von sehr variablem Flächeninhalte: insbesondere breitet sie sich öfter von den venösen Klappen des linken Herzens auf grosse Strecken des Vorhofs (Lungenvenensackes) und in der andern Richtung auf die Papillarsehnen aus, welche dabei verdickt, häufig völlig verdeckt und überwuchert erscheinen. bedingt die bekannten weissen Plaques (Sehnenflecken) auf dem Endocardium, die Verdickungen desselben, die Verdickungen, Verwachsungen u. s. w. der venösen Klappen, die bekanntlich besonders hohe Grade erreichen, wegen der reichlicheren Masse vascularisirten Gewebes, welches in ihnen Substrat der Entzündung geworden ist.

Auf der andern Seite ist eben die wuchernde Neubildung, indem sie die Textur des Endocardiums durchsetzt, dieselbe in ihrem primitiven Zustande als Zellenaggregat auseinander drängt, um so mehr die Grundlage der die intensiveren Fälle von Endocarditis (Klappen-Entzündung) bezeichnenden Zerreissungen, als neben ihr zugleich eine Reduction des faserigen Bindegewebes zu gallertartigem stattfand, was an und für sich eine leichtere Zerreisslichkeit begründet.

Die aus dem Gewebe bald in Form eines zartvillösen, granulirten Anfluges, bald in ansehnlichen Massen spriessende Vegetation besteht auch hier in nackten Zellenmassen; ihre Entfernung hinterlässt, indem sie eine laesio continui setzt, eine matt, wund aussehende Stelle.

Im weiteren Verfolge wächst die zu faserigem Bindegewebe gewordene Neubildung gelegentlich auch hier in Form structurloser

sich mit Bindegewebe ausfüllender Schläuche oder unmittelbar in soliden Papillen aus. So finde ich eben an einem ausgebreiteten Sehnenslecke auf dem Septum ventriculorum im Aortenventrikel ein blassgrauröthliches gallertähnliches Stratum haften, welches, für das freie Auge fast gleichartig, unter Wasser sich zu Villositäten entfaltet. Ein senkrechter Durchschnitt (Fig. 3) zeigt unter dem Mikroskope, dass sich aus einer faserigen Bindegewebsmasse Papillen erheben, welche zum Theile zu ausserordentlich langen Zotten herangewachsen sind und bis zu 12/100 — 15/100 Millimeter dick waren. Die zarteren waren hell, opalisirend, die stärkeren hatten ein matt- und sehr zartfaseriges Ansehen. Einzelne derselben zeigten innerhalb eines von oblongen Kernen, von oblongen auf zerfallene Kerne zu deutenden Körnchenhaufen und von spiralig geringelten sogenannten Kernfasern durchsetzten hier und da zartfaserigen Bindegewebsstratums einen centralen hyalinen Raum, welcher eine Menge dunkler zusammengehäufter und discreter Molekel enthielt - einen von einer sich selbstständig faltenden Membran begrenzten Raum, der wohl an das Hohlsein der Balken mancher Maschenwerke (siehe Krebsgerüste a. a. O.) erinnert, hier aber jedenfalls mit mehr Recht als Rudiment eines Blutgefässes zu deuten ist. Nebstdem fanden sich hyaline mit Zellen gefüllte Kolben und überdies Zellenlager als Constituentia jener gallertähnlichen inneren Schichte des Sehnenfleckes vor.

Eben so, wie bei Endocarditis, verhält es sich bei der Entzündung der Vene, bei der Entzündung der Arterie. Auch hier efflorescirt aus der Gefässwand eine Neubildung, welche mit dem durch den Erguss (das Exsudat) veranlassten, zu einem schwieligen Strange sich umbildenden Thrombus verwächst — mit dem Ergebnisse einer vollständigen oder unvollständigen Obliteration des Gefässes.

Wenn man sich von der Entzündung der bisher betrachteten häutigen Gebilde zu den Entzündungen von Bindegewebe mit interstitialem und parenchymatösem Exsudat wendet, so wiederholen sich eben auch die gedachten Verhältnisse, es mag die Entzündung reines Bindegewebe oder Bindegewebe als Lager oder Gerüste für specifische Texturelemente betreffen. Einerseits wird das Exsudat (der Erguss), nachdem es die Elemente des Gewebes als interstitiales aus ihrem Cortiguum gebracht, Continuitätstrennungen derselben (Zertrümmerung) gesetzt, nachdem es als parenchymatöses deren Zerfall eingeleitet hat, sammt eben den zerfallenen Gewebselementen resor-

birt oder eliminirt — während andererseits die Neubildung aus der unversehrt gebliebenen Gewebsmasse, zumal in der Umgebung des Exsudationsherdes spriesst. Sie erscheint in und auf Eiterherden in der Form der sogenannten Fleischwärzchen (Fleischgranulationen) und führt zur Einkapselung des Eiterheerdes, zur Ausfüllung des Substanzverlustes nach Entfernung des Eiters u. s. w. mittelst der Narbe.

Wenn sich im Besonderen diese Verhältnisse auch im Gehirne mit Einschluss der höheren Sinnesnerven und im Rückenmarke so gestalten, so fordert dies den Nachweis einer Bindegewebssubstanz als Grundlage und Ausgangspunkt der Neubildung. Eine Bindegewebssubstanz ist hier in der That als eine zarte, weiche, in der Leiche chagrinirt aussehende, besonders in der gangliösen Substanz reichlicher angehäufte und auch besonders bier mit reichlichen Kernen ausgestattete Substanz zugegen, in welcher die Elemente der Gehirntextur sämmtlich eingebettet sind. Sie ist es, welche in den Ventrikeln als Auskleidung derselben, Ependyma austritt. Aber nicht nur hier, sondern auch auf der Oberfläche des Gehirns erscheint sie als eine zarte Bekleidung der Gehirnrinde, eine äussere Ependyma-Formation, die sich so, wie die der Ventrikel, durch das Vorkommen einfacher und geschichteter amyloider Körperchen auszeichnet. Demgemäss gibt es in den Nervencentris eine Lager- und Bindemasse, welche auf der äussern Oberfläche und in den inneren Räumen ein Involucrum und eine Auskleidung abgibt. Sie ist eine formlose durchscheinende Substanz, welche, wie sehr gewöhnlich im Ependyma, so auch an anderen Stellen gelegenheitlich die Umstaltung zu faserigem Bindegewebe eingeht. Sie ist es, welche bei der Hypertrophie des Gehirns betroffen ist (s. m. Handb. der p. A. 2. Bd.), welche der Retraction, der lederartigen Zähigkeit des Gehirnmarks bei Atrophie, der Kräuselung desselben auf Durchschnitten zu Grunde liegt, - welche die Adhäsion bei den Verwachsungen der pia mater mit der Gehirnrinde nach Meningitis und peripherer Encephalitis vermittelt. Sie ist der Sitz des Ödems des Gehirns. Sie häuft sich in der Umgebung des hämorrhagischen Herdes an und wird, indem sie sich zu faserigem Bindegewebe umstaltet, zur einkapselnden Schwiele, wobei sie zugleich nach innen in die Lücke herein in Form einer gallertartigen, faserig werdenden Auskleidung oder eines die Lücke ausfüllenden schwammigen Bindegewebes auswächst und das aus dem

Extravasate zurückbleibende Pigment aufnimmt. Eben so häuft sie sich in der Umgebung des encephalitischen Herdes an und wächst als ein mehr oder weniger dichtes Strick- und Fachwerk in die denselben einnehmende aus zertrümmerter Gehirntextur, Exsudat und Extravasat bestehende Masse herein. Eben so häuft sie sich ringsum Aftergebilde im Gehirne an; sie ist es, von und aus der das Gerüste des Gehirnkrebses auswächst, welche gelegenheitlich sowohl in der Gehirnmasse, als auch insbesondere als Ependyma der Ventrikel zu gallertartigen und faserigen Bindegewebstumoren (Sarcom, fibröse Geschwulst), - welche zuweilen zum Bindegewebslager von Fettzellen (eines Lipoms) eben auch besonders auf dem Ependyma der Ventrikel auswächst. — Besonders wichtig und merkwürdig ist ihre unmerklich auftretende Wucherung im Gehirnmarke und den höheren Sinnesnerven (zumal Opticus), in der Medulla, an umschriebenen Stellen oder in grossen Strecken gleichförmig, in Form einer graulichen durchscheinenden klebrigzähen Feuchtigkeit, in welcher, während sie sich zu einer starren gallertähnlichen Masse verdichtet und sofort zu einer schrumpfenden faserigen Schwiele umstaltet, die aus einauder geworfenen Nervenelemente schwinden. Diese Wucherung liegt den schleichend verlaufenden Atrophien des Rückenmarks mit schwieliger Degeneration desselben zu Grunde, im Gehirne führt sie zu umschriebenen Callositäten (von denen Frerichs 1849 in Häser's Archiv Band 10, Heft 3, gehandelt), deren Entwickelung sich an keinen voragegangenen Process von Entzündung anknüpfen lässt. Die Degenention des Opticus zu einem graulichen durchscheinenden Strange ist bekannt und namentlich in neuerer Zeit durch das Vorkommen der myloiden Körper bekannt worden; diese sind, wie ich in meiner Abhandlung über die Cyste (1849) angegeben, wie in derlei Sehverven so auch immer in dem in gleicher Weise atrophirtem Rückenmarke und Gehirne in Menge zugegen-

Erst kürzlich hatte ich Gelegenheit in der pigmenthaltigen galkrtähnlichen Ausfüllungsmasse eines ansehnlichen apoplektischen
Berdes in einem der Streifenhügel und dann in der Wucherung
einer graulichen, weichen gallertähnlichen Masse in der Umgebung
eines zusammengesetzten meist verödeten Cystengebildes im Marke
der linken Hirnhemisphäre eine durchaus mit der Ependym-Formation übereinkommende Neubildung zu erkennen, in der sich auch die
anyloiden Körperchen in reichlicher Menge vorfanden.

Die gleichen Vorgänge wie im eigentlichen Bindegewebe finden im Gefolge der Entzündung auch in den anderen Bindegewebssubstanzen, in Knorpeln und in den Knochen Statt.

Aus dem Gesagten lässt sich überhaupt, und als Erledigung der im Verlaufe ausdrücklich hervorgehobenen Fragen, entnehmen:

- a) Der thierische Organismus besitzt im Bindegewebe den Bindegewebssubstanzen ein allenthalben verbreitetes Materiale, welches eines pflanzenartigen Auswachsens seiner Intercellularsubstanz fähig ist. Das faserige Bindegewebe wie die übrigen Bindegewebssubstanzen erleiden zu dem Behufe eine Reduction zu gallertartiger Bindegewebsmasse.
- b) Oft wird dasselbe (Bindegewebszubstanzen) hierzu durch Entzündung veranlasst. Und zwar wächst dasselbe hier in Form nackter Zellenmassen aus, die sich im Wesentlichen auf dem Wege von Verschmelzung zu einer hyalinen Substanz und Spaltung dieser zu Fasern in faseriges Bindegewebe umstalten.
- c) Da das Exsudat (der Erguss) sich zu Elementen entwickelt, welche in persistenten Kernen und Zellen bestehen, die als solche früher oder später zerfallen, so frägt es sich um die Grundlage der daneben erstehenden, bleibenden Gewebs-Neubildung, und da eine materielle, blastematische Grundlegung doch am Ende wie bei jeder Massenzunahme (Wachsthum) nehen dem anregenden Momente unabweislich ist, so frägt es sich weiter, woher das Blastem komme und namentlich, ob es in dem Ergusse (dem Exsudat, Entzündungsproducte) enthalten sei.
- d) In dem Exsudat ist dasselbe, wie aus dem Gesagten hervorgeht, höchst wahrscheinlich nicht enthalten und eine weitere Stütze hiefür lässt sich aus dem Umstande entnehmen, dass Bindegewebs-Neubildung als Auswachsen gegebener Bindegewebsmassen auch ohne alle Concurrenz eines Entzündungsvorganges und Exsudats stattfindet. Demungeachtet mag dieses immerhin, wie S. 131 angedeutet worden, ein zur Fortsetzung der eingeleiteten Vegetation verwendbares Material enthalten.
- e) Die Neubildung ist demnach ohne Zweifel in einem durch den Entzündungsvorgang angeregten und in seinem Gefolge zurückbleibenden Überwiegen der Exsudation im Ernährungsprocesse des Substrats begründet. Die Neubildung und der Erguss stehen übrigens durchaus nicht in einem geraden Quantitäts-Ver-

hältnisse und es kann in dieser Beziehung die Menge des Ergusses keinen absolut giltigen Maasstab für die Grösse der in dem Substrate der Exsudation stattgehabten Anregung und blastematischen Grundlegung zur Gewebs-Vegetation abgeben. Ein Gleiches lässt sich von den Verhältnissen zwischen Qualität des Exsudats, d. i. seinem Blastemgehalte und der Intensität der Gewebs-Vegetation sagen, soferne häufig neben sehr blastemreichen in wuchernde Zellen-Bildung übergehenden (eitrigen) Ergüssen die Neubildung eine geringe ist, und umgekehrt.

- f) Der Entzündung kömmt somit eine eigentlich productive Seite nur in mittelbarer Weise zu, wogegen sie in der Einwirkung ihrer Producte (der Exsudate) auf die Substrate eine directe destructive Natur entwickelt.
- g) Sie ist auch nicht nothwendig zur Einleitung der Neubildung: in den meisten Fällen etablirt sich die bezügliche Anomalie im Ernährungsprocesse durchaus ohne dem Voraufgehen von Entzündung und Exsudat. — Eine Neubildung, welche hier im Besonderen im Interesse geläuterter Anschauung erwähnt zu werden verdient, ist die meinen früheren Ansichten gemäss als Auflagerung aufgefasste Bindegewebs-Neubildung auf der Innensläche der Arterien. Das von mir erhobene Thatsächliche erhält nunmehr eine andere Grundlage und Auslegung: Die innerste gallertähnliche, glasartig-helle Schichte der Neubildung ist nicht die jüngste Auflagerung aus dem Blute der Arterie, sondern die aus den älteren unterliegenden aus einfachen oder gefensterten Lamellen bestehenden faserigen Bindegewebsstraten ausgewachsene jüngste, aus einem aus verschmelzenden Zellen hervorgegangenen, unreifen, gallertähnlichen Bindegewebe bestehende Vegetation. Die ursprünglich auswachsende Matrix ist eine unter dem Epithel der Gefässe liegende, sehr zartfaserige Bindegewebsschichte (Donders und Jansen, Kölliker). Diese Neubildung kömmt allem Anscheine nach ohne Entzündung, mindestens ohne Entzündung mit freiem Ergusse auf die innere Gefässhaut zu Stande.
- h) Die Rolle von Exsudaten spielen auch die Feuchtigkeiten, welche als Blasteme des Tuberkels, der Typhusmasse, der Krebsmasse gelten, wenn sie auch nicht immer im Gefolge einer augenscheinlichen Entzündungsstase exsudiren. Sie kom-

men mit den Exsudaten in Rücksicht sowohl ihrer Organisation zu persistenten (vergänglichen) Kernen und Zellen und der ursprünglich extracellulären Entwickelung dieser Elemente aus einem freien Blasteme als auch darin überein, dass neben und im Gefolge ihrer Production eine Bindegewebsneubildung (zum Theil in Form typischer Gerüste) stattfindet. Auch hier walten, wie z. B. das Vorkommen von Carcinom ohne Gerüstbildung nachweist, durchaus nicht gerade Quantitäts-Beziehungen zwischen der Wucherung der Krebsmasse und der Gewebsvegetation ob.

i) Wenn auch, dem Gesagten zufolge, die Neubildung von Bindegewebe immer aus der Wucherung des vorhandenen Bindegewebes, als Ergebniss einer überwiegenden Exsudation im Ernährungsprocesse und Einverleibung einer grösseren Menge ernährenden Materials — somit aus parenchymatösem Exsudat hervorgeht, so kommt doch auch Bindegewebe aus freiem Blasteme zu Stande. Hier ist allerdings die Entwickelung aus einem freien Exsudat ausserordentlich schwierig nachweisbar und ich möchte vorläufig besonders die Entwickelung von Bindegewebe im Inneren structurloser Canäle wie z. B. der Harncanälchen für eine solche halten; desto weniger zweifelhaft ist mir dagegen die Entwickelung von Bindegewebe aus Extravasat, aus Blutgerinnung im Gefässe (Thrombus) als einem freien Blasteme.

Zu der Tafel.

Das w. M., Herr Prof. Brücke zeigte und erklärte das von dem — als Gast der Sitzung beiwohnenden — Herrn Dr. v. Hagenau erfundene Dikatopter.

Fig. 1. In nackten Zellenmassen von papillärer Form auswachsender faseriger Balken eines Krebsgerüstes. Vergr. 400. S. 123.

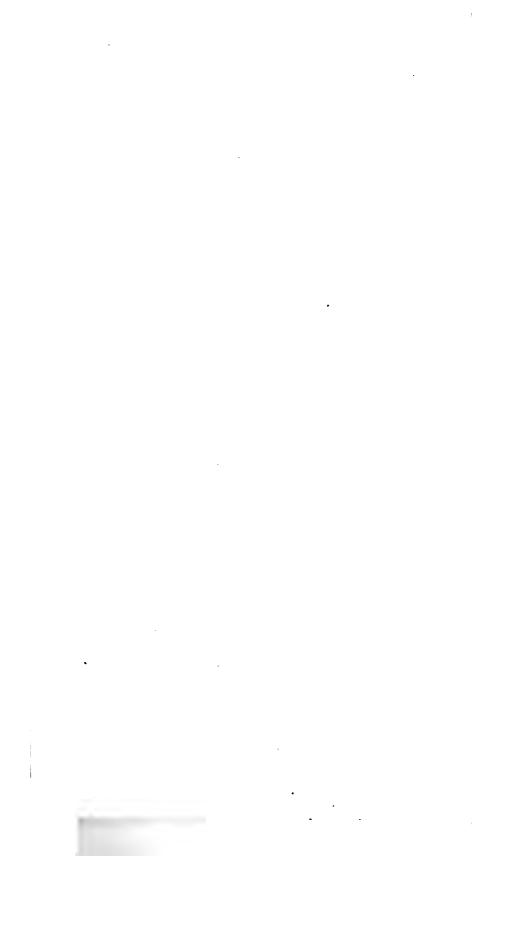
Fig. 2. Aus einem Peritonaum in Form von Papillen und Leisten auswachsende Zellenmassen. Vergr. 400. S. 123 u. 129.

Fig. 3. In lange Zotten auswachsende sehnige Plaques des Endocardiums; senkrechter Durchschnitt. Vergr. 480. S. 134.

Rokitansky. Veber das Auswachsen der Bindegewebs Substanzen.

Fig.1.

Fig. 2.



SITZUNG VOM 22. JUNI 1854.

Von Seite des hohen k. k. Ministeriums des Innern wurde der Akademie, mit Erlass vom 1. Mai d. J., Zahl 8590, der Bericht zugesendet, welchen Herr Dr. Bleiweis in Laibach der dortigen k. k. Statthalterei über ein Bastard-Kalb von Hirsch und Kuh erstattet hatte, das sich im Besitze des Präsidenten der k. k. Krainer Landwirthschaftsgesellschaft, Herrn Terpinz, auf dessen Schlosse Kaltenbrunn bei Laibach befindet.

Die mathematisch - naturwissenschaftliche Classe hat in ihrer Sitzung am 11. Mai diesen Gegenstand ihrem w. M., Herrn Prof. Hyrtl, zur Berichterstattung übergeben. Derselbe trug in der Sitzung am 23. Mai sein diesfälliges Gutachten vor, und stellte den Antrag: das w. M., den Herrn Custos-Adjuncten Dr. Fitzinger, auf Kosten der Akademie nach Laibach zu senden, um nach Autopsie einen gründlichen Bericht über das angebliche Bastard-Kalb abfassen zu können. Die Classe stimmte diesem Antrage bei, Herr Dr. Fitzinger unternahm die Reise und erstattete in der Sitzung am 22. Juni seinen Bericht.

Es folgen hier demnach die angeführten Berichte:

a) Bericht des Herrn Dr. Ble iweis an den k. k. Statthalter von Krain, Herrn Gustav Grafen v. Chorinsky.

Hochgeborner Herr Graf!

Beauftragt von Ew. Hochgeboren, über das gestern von Ober-Krain nach Laibach gebrachte Kalb, welches von Landwirthen und Jägern als Bastard von Kuh und Hirsch erklärt und als naturhistorisches Curiosum von dem Präsidenten der hierländischen landwirthschaftlichen Gesellschaft, Herrn F. Terpinz, angekauft wurde, ein-Gutachten zu erstatten, unterbreitet der gehorsamst Gefertigte nachstehende Relation:

Das noch saugende Kalb ist 3 Wochen alt, 30 Zoll hoch, 34 Zoll lang, wurde von einer 7 Jahr alten rothen Kuh, gemeinen Land-

schlages, geworfen, welche bereits 4 andere ganz normale Kälber erzeugte und den verflossenen Sommer, wie gewöhnlich, in der Heerde auf der Alpe pod Zelenico in Ober-Krain gehalten wurde, wohin sich zeitweise aus den jenseitigen kärtnerischen Waldungen Hirsche verlaufen; Beweis davon ist, dass voriges Jahr in den Alpen Ober-Krains eine Hirschkuh erlegt wurde. Weil auf dem Weidegange eine sogenannte wilde Zucht durch den beigegebenen Stier stattfindet, kümmern sich die Kühebesitzer um die weitere Paarung nicht, und entnehmen nur aus dem Vollwerden des Bauches und allenfalls dem Nachlassen an der Milch, dass ihr Vieh trächtig ist.

Erst als der Eigenthümer des in Rede stehenden Kalbes, nachdem es geworfen war, auffallende Verschiedenheiten an dem Jungen sah, dachte er an die Möglichkeit einer Kreuzung mit einem Hirschen, ohne übrigens einen besondern Werth von seinem Standpunkte darauf zu legen, da im hohen Ober-Krain auch Bastardirungen der Schafe mit Gemsböcken nichts Unerhörtes sind.

Fraglicher Eigenthümer trieb nun zwei Melkkühe sammt den Kälbern zum Verkaufe nach Triest, wie dies die Ober-Krainer häufig thun, und darunter war das sogleich in Laibach Aufsehen erregende Kalb.

Sein Exterieur ist folgendes:

Die Hautfarbe ist grau (mausfahl). Ganz im Gegensatze zu der gewöhnlichen Hautbedeckung des Rindes, ist sie bei diesem Kalbe ganz kurz, so, dass sie viele Ähnlichkeit mit einem grauen Filzgewebe hat.

Der Kopf ist entschieden Kalbskopf; es fehlt unter dem innern Augenwinkel der den Hirschen eigenthümliche Thränenbalg. Die Hörneransätze sind wie beim Rinde; ob die zwischen denselben fühlbaren zwei Erhöhungen am Stirnbein etwas mehr sind als blosse gewöhnliche Knochen-Protuberanzen, traue ich mich einstweilen mit Bestimmtheit nicht zu entscheiden, dagegen sind die Ohren auffallend schmäler als beim Rinde, auch werden sie mit ungewöhnlicher Lebhaftigkeit bewegt, wie überhaupt das Thier viel hirschartiges Temperament zu besitzen scheint.

In der Formation des Halses und des übrigen Körpers ist bis auf eine grössere Leichtigkeit und eine mehr hirschartige Croup, mehr der rindartige Typus ausgesprochen, dagegen die Extremitäten dünner am Knie, vorn weniger knorrig als sonst bei Kälbern sind, ohne jedoch auch das Graziöse des Hirsches zu erreichen; kurz sie siad ein Mittelding zwischen dem sogenannten Kalbsgestelle und den Läufern des Hirsches. Die Klauen sind gerader gestellt als gewöhnlich beim Rinde und nähern sich dadurch den Hirschklauen. Die freiere Bewegung im Gange könnte man mehr hirschartig nennen.

Der Schweif ist zwar fast so lange als beim Kalbe, aber er ist, wie der Körper, ganz kurz behaart, und am Ende fehlt der dem Rinde eigenthümliche Haarbüschel.

Der Pinsel beim männlichen Gliede ist ähnlich wie beim Hirschen. Der Hodensack ist ungewöhnlich klein und zusammengesehrumpft, wie das sogenannte Kurzwildbrett beim Hirschen.

Von besonderer Wichtigkeit ist die Form der Excremente dieses Thieres, die nicht als kuchenförmiger Fladen wie beim Rinde auf die Erde fallen, sondern in feuchten, konischen Ballen, zeitweise in förmlichen Klümpchen, wie die Losung beim Hirsche.

In Berücksichtigung aller dieser Erscheinungen steht der Gefertigte nicht an, das fragliche Kalb als einen durch die Kreuzung der Kuh mit einem Hirschen entstandenen Bastard zu erklären, deren Möglichkeit, wenn auch Seltenheit, durch anderweitige Erfahrungen (in Lannop's und Fischer's Sylvan, 1820 und 1822 — Wildung's Taschenbuch u. s. w.) ausser Zweifel gesetzt ist.

Interessant wird die Beobachtung der weitern Entwickelung des Thieres sein, durch welche erst genau wird bestimmt werden können, ob sich der fragliche Bastard im Ganzen wird mehr dem Hirschoder dem Rindgeschlechte zuneigen, wofür auch bezüglich seiner Paarung auf dem Schlosse Kaltenbrunn die Möglichkeit geboten ist, da Herr Terpinz daselbst auch eine Hirschkuh besitzt.

b) Bericht des Herrn Professors Hyrtl an die kaiserliche Akademie.

Dass zwei verschiedene Species einer Gattung, ja selbst Arten verschiedener, aber naheverwandter Gattungen, sich unter besonderen Umständen fruchtbar verbinden können, ist durch nicht zu beanständende Beobachtungen festgestellt. Um blos auf die Classe der Säugethiere einzugehen, finde ich in den Schriften, welche ich zur Abfassung dieses Gutachtens über den vorliegenden angeblichen

Paarungsfall einer Kuh mit einem Hirsch, nachgesehen habe, folgende constatirte Bastardzeugungen erwähnt, welche ich in zwei Gruppen:

A. häufig vorkommende und allgemein bekannte, und B. selten, oder nur einmal gesehene, zusammenstelle.

A. Häufig vorkommende Bastardirungen:

1. Zwischen Pferdstutte und Eselhengst (Maulthier, mulus), zwischen Eselin und Pferdhengst (Maulesel, hinnus 1).

Die Bastardirung gelingt nur unter dem Einflusse des Menschen, und unter besonderen Vorsichten 3). Nur von Mulus fem., ist eine fruchtbare Paarung mit den älterlichen Arten bekannt 3), jedoch immer als grosse Seltenheit. Auch sind die Früchte dieser Paarung meistens schwächlich, und sterben häusig bald nach der Geburt. Mulus mas hat in der Regel keine Samenthiere 4), ebenso Hinnus mas, nach Spallanzani 5). Mulus und Hinnus begatten sich unter einander nicht; — äusserst selten Männchen und Weibchen von einer dieser beiden Bastardarten 4). — Ich habe die auf die factische Paarung der weiblichen und männlichen Muli bezügliche Stelle von Morton in Silliman's Journal nachgesehen, finde jedoch nur eine Angabe, welche sagt, dass die weiblichen Muli im südlichen Spanien Junge hervor bringen; — es ist nicht gesagt, dass sie von männlichen Muli stammen. Ebenso wenig klar ist es, ob die in Morton's

¹) Bei Linné (Amoenitates academicae, Vol. VI, p. 12, seqq.) werden die Namen mulus und hinnus im verkehrten Sinne gebraucht.

So darf der Pferdehengst, um an der Eselin Gefallen zu finden, früher keine Stutte seiner Art gesehen haben, und die Pferdestutte lässt den Eselhengst nur im Dunklen, oder mit bedeckten Augen zu. (Ausführlich bei Andr. Wagner, Fortsetzung von Schreber's Säugethieren, 6. Band, 185 sqq.)

Buffon, A. Wagner, Link bei Rud. Wagner, in den Zusätzen zum 2. Buche des 1. Bandes von J. C. Prichard's Naturgeschichte des Menschengeschlechtes.— Es scheint selbst bei dem Maulthierweibehen eine Brunst vorzukommen, da maa Corpora lutea in ihren Ovarien gesehen. (De Nauzio, im Atenee, Napoli, 1847, pag. 581—594). Gerber, Raciborski und De Martino sollen, nach Valentin (Physiologie, 2. Bd., 3. Abthl. S. 4693), Ähnliches beobachtet haben.

⁴⁾ Prevost und Dumas, Annales des sciences nat., I, p. 182, und Hausmann, über den Mangel der Saamenthierchen bei Maulthieren, 1844.

⁵⁾ Versuch über die Erzeugung der Thiere, Leipzig 1786, p. 228.

⁶⁾ Bronn, Handbuch der Geschichte der Natur, 2. Bd., p. 276. — Morton's Angabe (Hybridity in Animals, in Silliman, American Journ. 1847, pag. 39 seqq. und pag. 203), von fruchtbarer Paarung männlicher und weiblicher Maulthiere in Spanien, wird von Leuckart mit Recht bezweifelt (Art. Zeugung, in R. Wagner's Handwörterbuch der Physiologie).

Aufsatz citirte Bemerkung von de la Malle¹), über die Fruchtbarkeit der weiblichen Muli, auf eine Paarung der männlichen und weiblichen Muli, oder der weiblichen Muli mit dem Pferdehengst gemeint ist. Es wird nur von "fecundity of the mule" gesprochen, und diese hat Niemand bezweifelt, wenn es sich um Begattung mit Pferdehengsten handelt.

2. Zwischen Hund und Wolf, — meist Wölfinnen mit Hundemannchen (Canes laconici, Alonnuöss, der Alten 2). Die Bastarde sind unter sich, und mit den Stammältern fruchtbar 2). Buff on bemerkt, dass die Paarung viele Schwierigkeiten habe, und dass bei den von ihm eingeleiteten Versuchen zwischen Wölfinnen, welche in der Gefangenschaft aufgezogen wurden, und zahmen Hunden, sich erstere selbst in der Brunstzeit gegen den geschlechtlichen Ungestüm der männlichen Hunde, wüthend zur Wehre setzten.

Der neuholländische Hund (Dingo) paart sich leicht mit jeder anderen Varietät *), allein schon in der vierten Generation hört die Fruchtbarkeit auf. Er ist wohl keine Varietät, sondern eine Art des Hundegeschlechtes.

3. Die Paarung zwischem wildem Eber und zahmem Schwein, hat wohl, bei der Identität der Art, nichts Auffallendes 5), und es handelt sich dabei eigentlich nicht um Bastardzeugung 6).

Die von Sparrman?) erwähnten fruchtbaren Bastarde vom äthiopischen und gemeinen Schwein, stammen sicherlich, wie aus der daselbst gegebenen Beschreibung des äthiopischen Schweines zu ersehen ist, nicht von *Phacochoerus aethiopicus*, sondern von Sus

¹⁾ Annales des sciences naturelles, XXVII, pag. 235.

³⁾ Buffon, Palías, Huntar, Bechstein, Masch, Geoffroy St. Hilaire, Wiegmann, u.m.a. — Richardsonsagtin Franklin's Reise and en Küsten des Polarmeeres in den Jahren 1819 u.s. w. (1. Abth. Weimar 1853, S. 101): Das Weibehen des in dem Lande der Creeks-Indianer sehr gemeinen grauen Wolfes, begatte sich im Monat März häufig mit dem Haushunde, obwohl zu anderen Zeiten eine starke Abneigung zwischen ihnen Statt findet.

^{*)} Siebe Reichenbach, der Hund in seinen Haupt- und Nebenracen, Leipzig 1836, S. 191; und Naturalist's Library, Vol. 1, pag. 104.

⁴⁾ Sehr ausführliche Zusammenstellung über Paarung der verschiedenen Arten der Gattung Canis, in Nott and Gliddon, Types of mankind, London 1854, p. 381 seqq.

b) Masch, über Bastarde von einem wilden Eber und einer zahmen Sau, im Naturforscher, 15. Stück, pag. 28.

⁶⁾ R. Wagner, a. o. O., p. 444.

⁷⁾ Reise nach dem Vorgebirge der guten Hoffnung, S. 352.

larvatus Cuv., (Sus africanus, Schreb.), und sind in diesem Falle verständlich. — Dass das chinesische Schwein sich mit dem englischen Hausschwein fortpflanzt, ist nicht im geringsten auffallend; beide sind ja nur Varietäten einer Art. Eyton sucht sie zu zwei verschiedenen Species zu erheben, da die Zahl ihrer Lenden- und Schwanzwirbel (letztere sehr bedeutend, von 14—20) verschieden ist. Die Zahl der Schwanzwirbel hat jedoch keinen Werth, da die Differenz bei Spitz- und Windhund (Dogge) noch grösser ist.

4. Die Vermischung von Schaf und Ziege ist hinlänglich bekannt¹). Sie hat jedoch ihre Schwierigkeiten²). Die bekannten Fälle betreffen sowohl männliche Schafe und weibliche Ziegen, als umgekehrt.

Wenn nach den gewiegten Ansichten von A. Wagner³) die Gattungen Ovis und Capra, in eine Gattung zu vereinigen sind⁴), wird ihre Paarung ebenso wenig auffallend erscheinen, wie die von Fitzinger in der kaiserlichen Menagerie zu Schönbrunn bei Wien viermal beobachtete Kreuzung von Ovis aries, fem., mit Ovis musimon, mas⁵), und die dreimal Statt gefundene Vermischung von Ovis aries, fem., mit Ovis guineensis, mas⁶), oder die von demselben Beobachter in demselben Aufsatze citirten 6 Fälle von Paarung zwischen Capra ibex, mas und Capra hircus, fem., ⁷) — oder die

¹⁾ Siehe Buffon, Ribbe, Hellenius, so wie Bechstein, gemeinnützige Naturgeschichte Deutschlands, 2. Aufl. 1. Bd., p. 427, und C. A. Rudolphi, Reisebemerkungen, 2. Bd., p. 24, auch dessen Schwedische Annalen, Bd. 1, Stück 2, p. 192; ferner Chevreul, Journal des Savants, Juin, 1846, pag. 357 (Paarung von Ovis musimon mit der gemeinen Ziege).

²⁾ Andr. Wagner, a. a. O., Bd. V, S. 1281.

³⁾ A. a. O., Seite 1277 und 1286.

⁴⁾ Selbst der specifische Unterschied derselben erscheint bei Rud. Wagner nicht ganz sichergestellt, a. a. O., p. 443.

by Versuch einer Geschichte der Menagerien des österr. kais. Hofes, in den Sitzungsberichten der kais. Akademie, 1853, März- und Aprilheft. Auch von Cetti angegeben, in der Naturgeschichte von Sardinien, 1. Band, pag. 165.

⁶⁾ Fitzinger, a. a. O.

⁷⁾ Hieher gehören auch die Angaben von Pallas und Ith bei A. Wagner, und der in F. v. Wildungen's Taschenbuch für Forst- und Jagdfreunde, 1803 und 1804, pag. 36 und 37 (nicht pag. 3, wie bei Bronn angegeben) erzählte Fall, wo ein von einer Hausziege gesäugter Steinbock sich später mit seiner Pflegemutter begattete (ein adulterium jumentale im Sinne des St. Ambrosius), und der Vater zweier Böcke wurde, welche in ihrem Exterieur, ihren Geberden und ihrer Behendigkeit im Springen und Klettern, dem Erzeuger — nicht der Mutter glichen. Ferner eine ähnliche Angabe von Bonafous, Biblioth. univers. 1832, XLIX, p. 43—46.

von Godine 1) zwischen Ovis steatopygos, mas, mit 12 anderen Racen, und von Ovis steatopygos, fem., mit Ovis aries hispanicus eingeleitete fruchtbare Paarung, — oder die von Durieu 2) erzweckte Vermischung von Ovis musimon, fem., mit dem Merinobocke. — Alle Versuche, das Mufflonschaf mit dem Ziegenbocke zu paaren, waren fruchtlos.

5. Ja selbst die angeführte Paarung von Capra hircus (zahm) und Antilope rupicapra, verliert, wenn sie wirklich constatirt wäre, an ihrer Sonderbarkeit, da bei der Übereinstimmung in Grösse, Lebensweise, Temperament, Tragzeit, bei den gleichen Dimensionen der Genitalien, und bei der nach Andr. Wagn er's gründlichen Untersuchungen wirklich nicht so erheblichen generischen Differenz dieser beiden Thiergattungen, eine Vermischung derselben nicht eben als unmöglich erscheint. Wie wenig verbürgt, und wie unwahrscheinlich jedoch diese Begattung von Capra und Antilope ist, kann aus folgendem Fragmente über die Gemsziegen ersehen werden, welches ich, als den einzigen mir bekannten Anhaltspunkt dieser Blendlinge, hier wörtlich folgen lasse.

"In der aus mehr als einer Ansicht interessanten Menagerie zu "Ludwigsburg, befinden sich unter mehreren gemeinen Ziegen "(welche jedoch alle mit einem Transporte Rindvieh aus der Schweiz "dahin gekommen sind), zwei Individuen, welche man Gemsziegen "nannte, und als Bastarde von Ziegen und Gemsen vorzeigte. So auffällend sich nun wirklich diese Thiere von den übrigen Ziegen auszeichnen, und so sehr sie auch an Gestalt des Körpers und der "Hörner, so wie an Farbe den Gemsen ähnlich waren, so konnte ich "mich doch nicht ganz von der Wahrheit dieser Angabe überzeugen, "da bekanntlich die anatomische Untersuchung der Gemse so bedeutende Abweichung von der Ziege gegeben hat."

¹⁾ Dupuy, Journal méd. vétérin., 1828, III, pag. 105, seqq.

^{*)} Wieg mann's Archiv, 1839, II, S. 416.

³⁾ Siehe über die Schwierigkeit der Trennung der Antilopen, von Schaf und Ziege, die früher citirten Stellen in A. Wagner's Fortsetzung von Schreber's Säugethieren.

⁴⁾ Bronn (Geschichte der Natur, 2. Band, pag. 167) citirt noch Wattewyl und Bonafous.

⁵⁾ Aus dem v. Wildung'schen Taschenbuche für Forst- und Jagdfreunde, 1808, pag. 168 seqq.

"Ich unterliess keine Gelegenheit, später in der Schweiz über "diese Gemsziegen Nachricht einzuziehen, und hörte alsdann die "Existenz dieser Mittelgattung nicht nur als eine längst bekannte "Sache bestätigen, sondern sah auch im Canton Appenzell mehrere "dergleichen Ziegen, welche denen von Ludwigsburg völlig ähnlich "waren."

"Da ich nunmehr die Richtigkeit der Sache nicht mehr bezwei-"feln konnte, so zog ich im Canton Appenzell darüber noch folgende "nähere Auskunft ein."

"Die aus der Begattung des Gemsbockes und der Hausziege "entstehende Mittelgattung ist etwas stärker von Körper, als die "gemeine Ziege, und besonders durch einen viel stärkeren Knochenbau "ausgezeichnet, welcher sie in den Stand setzt, weit steilere Klippen, "als jene, auf Gemsenart zu besteigen, und dieses ist der Hauptgrund, "warum die Alpenhirten am hohen Sentis (woher sich meine Beobach-"tungen schreiben) diese Bastarde ausserordentlich schätzen, indem "sie mit diesen Ziegen Alpenhöhen abweiden können, welche den "gemeinen Ziegen zum Theil unersteiglich sind, und hiedurch den "doppelten Vortheil haben, sonst unbenutzbare Höhen abzuweiden, "und eine bessere Milch zu gewinnen."

"Hieraus folgt nun ganz natürlich, dass es die Sennen sehr "gerne sehen, wenn ein Gemsbock sich ihren Herden nähert, wess-"halb sie in diesem Falle auch sogleich die Böcke von ihren Ziegen-"herden absondern, um dadurch deren Begattung mit dem Gemsbock "zu befördern (wenn es nicht schon zu spät ist! Hyrtl)."

"Wenn daher ihre Ziegen sich mit diesem wirklich begatten "(wie gewöhnlich bald geschieht), so sehen sie dieses als ein ihrer "Herde wiederfahrenes grosses Glück an. Aus demselben Grunde "haben die Ziegenhirten der Alpen einen unauslöschlichen Hass "gegen die Gemsenjäger. Ich erinnere mich, dass, als während "meines Aufenthaltes in Geiss, ein Gemsjäger einen starken Gems"bock, den er vor wenig Stunden am hohen Sentis erlegt hatte, zum "Verkauf brachte, und am folgenden Morgen der Senne, welcher "alle Tage die Ziegenmolken ebendaher bringt, dieses hörte, er in "die grösste Wuth gerieth, und jenem, welcher (wie er es nannte) "ihm seinen Gemsbock todt geschossen hätte, den Untergang "schwur, wenn er ihn je in den Alpen begegnen würde. Daher auch "kein Gemsjäger einen Hirten nach dem Weg oder sonst etwas fragt,

"sondern ihn vermeidet; ja man behauptet sogar, dass die Sennen "oft einem verunglückten und um Hülfe rufenden Gemsjäger ihren "Beistand versagten."

Die in Schinz (Säugethiere, pag. 306) enthaltene Angabe, dass Kasthofer "die Vermischung seiner thibetanischen Ziegen mit "Gemsen zu Stande gebracht habe", entbehrt jeder weiteren Belege, und ist somit ganz werthlos.

6. Die allgemein bekannte Paarung von wilder und zahmer Katze. Bechstein 1) sagt: Es verwildern oft zahme Katzen wiederum, und paaren sich in den Wäldern mit den wilden, daher sich die Verschiedenheit in der Farbe der wilden Katzen erklären lässt, da man nicht allein röthliche, sondern auch schwarzgraue und grau gesprengte antrifft.

Azara²) erwähnt, dass *Felis Yaguarundi* und *Felis Eyra* .in den Wäldern Paraguay's sich mit verlaufenen Hauskatzen paaren.

B. Selten, oder nur einmal gesehene Bastardirungen.

- 1. Cercocebus cynomolgus mit Macacus nemestrinus. In Worell's Menagerie zu Wien 1852 gesehen (Fitzinger).
- 2. Felis tigris, fem., mit Felis leo, mas, kam in Kreutzberg's Menagerie in Wien, im Jahre 1851 vor. R. Wagner sah einen ähnlichen in einer Menagerie zu Verona. Geoffroy St. Hilaire und Fr. Cuvier haben ein Junges dieser Zucht abgebildet 3).
- 3. Lepus cuniculus mit Lepus timidus. Ein älterer Fall von Amoretti⁴). Ein neuer, von männlichen Hasen und weiblichen Kaninchen, wird von R. Owen⁵), welcher den Bastard anatomisch untersuchte, angegeben.

Die Paarung erfolgt nur selten, Bechstein) sagt: Ich hahe mit aller Mühe weder einen wilden, noch gezähmten Hasen, mit einem grauen, zahmen Kaninchen paaren können, so ähnlich sich auch beide Arten sind.

¹⁾ Gemeinnützige Naturgeschichte Deutschland's, Leipzig 1789, 1. Bd., Seite 265.

²⁾ Quadrupeds of Paraguay, I, pag. 174.

³⁾ Histoire natur. des mammifères, Tab. 106.

⁴⁾ Opuscoli scelti, Milano, 1779, T. 2 und Göttinger Anzeigen, 1796, S. 977.

⁵⁾ Proceedings of the Committee of the Zoological Society, Part I, p. 66.

⁶⁾ Gemeinnützige Naturgeschichte Deutschlands. Leipzig 1789, 1. Band, pag. 87.

4. Canis aureus, fem., mit Canis familiaris, mas. Von Hunter 1), Pennant, Pallas, Gmelin, Oedmann erwähnt, und mit anderen zusammengestellt von Reichenbach 2).

Gmelin erwähnt selbst der Begattung zwischen Canis aureus und Canis lupus.

- 5. Eine Paarung von Canis aureus indicus, mas, mit Canis aureus anthus, fem., ereignete sich in der Menagerie des Pariser Jardin des plantes³). Eine Paarung vom gemeinen Schakal mit Canis aureus anthus wird von Morton erwähnt⁴).
- 6. Eine ähnliche zwischen Schakal von Algier und Fuchs, wird im Institut 5), mitgetheilt.
- 7. Canis familiaris, mas, mit Canis vulpes, fem., fruchtbar begattet. Umgekehrte Paarung von Zimmermann erwähnt. Pallas?) theilt einen Brief von Pennant mit, worin derselbe, ausser einigen Fällen von Begattung zwischen Hund und Wolf, auch eine von Hund und Fuchs anführt, wo der weibliche Bastard wieder Junge warf, nachdem er von einem Hunde belegt worden war.
 - 8. Putorius vulgaris mit Putorius furo, nach Lewiss).
- 9. Equus caballus, fem., mit Asinus Quagga mas. Dieser merkwürdige, von Ev. Home in seinen Lectures on Comparative Anatomy T. III, p. 307, aus den Philosophical Transactions 1821, entlehnte Fall •), betrifft eine im Jahre 1815 mit einem Quaggahengst gepaarte Pferdestutte, welche hierauf einen dem Vater ähnlichen Bastard warf. Im Jahre 1817, 1818 und 1823 wurde dieselbe Stutte von arabischen Hengsten belegt, und warf jederzeit ein braunes Füllen, mit schwarzer Mähne, dunklem Längenstreif am Rücken, und Querstreifen am Oberarm und Unterschenkel. Das mit

¹⁾ Dieser in den Philos. Transact. 1787, p. 2, enthaltene Fall, betrifft einen weiblichen Schakal, welcher auf einer Seereise nach England von einem spasischen Wachtelhunde belegt wurde.

³⁾ Lib. cit. pag. 191. — Ein neuerer Fall von Seringe im Institut, 1836.

³⁾ Geoffroy et Cuvier, histoire natur. des mammifères.

⁴⁾ Lib. cit., pag. 46.

⁵⁾ IV, pag. 293.

⁶⁾ Erwähnt in v. Wildung en's Neujahrs-Geschenk für 1795, Seite 108.

⁷⁾ Nordische Beiträge, I, Seite 153.

⁸⁾ Bei Bronn, pag. 167, ohne nähere Bezeichnung.

⁹⁾ Die Stutte und ihre Würfe abgebildet in Hamilton Smith, Equidae (The Naturalist's Library, Vol. XII), tab. XIV (Stutte), tab. XXVI, XXVII und XXIX.

dem Quaggahengst erzeugte gestreifte Junge hatte die Stutte seit 1816 nicht mehr gesehen. (Man könnte sonst die Streifen der drei folgenden für ein Versehen der Mutter am eigenen Jungen halten, während sie doch nur als ein Beweis dienen, dass der erste Begattungsact auch auf den physischen Charakter der späteren Nachkommenschaft Einfluss äusserte.)

Haller bemerkte schon (Elementa physiol., VIII. pag. 101), dass Stutten, welche, einmal von Eselhengsten belegt, ein Maulthier warfen, bei später erfolgter Paarung mit Pferdehengsten, Füllen zur Welt bringen, welche "aliquid de asino" an sich haben.

10. Equus Zebra, fem., mit Equus asinus, mas. In mehreren Fällen bekannt¹). Auch in Wien 1841 und 1844, in der kaiserlichen Menagerie vorgekommen³).

In dem von Banks *) erwähnten Falle liess die Zebrastutte den Esel nicht früher zu, als bis er mit ebenso bunten Streifen wie das Zebra bemalt war.

Geoffroy) citirt einen Fall, wo es dieser Toilette nicht bedurfte, und beschrieb das Junge).

- 11. Equus Zebra, fem., mit Equus caballus, mas, von Cuvier⁶) beschrieben. Die Paarung von Equus hemionus⁷) oder Equus montanus mit Equus caballus ist gleichfalls eine bekannte Thatsache⁸).
- 12. Asinus Burchellii, fem., mit Asinus vulgaris. Die fruchtbare Paarung wurde von Fitzinger im Jahre 1840 in Schönbrunn (im früher citirten Aufsatze) erwähnt. Das Füllen wurde von A. Wagner irrthümlich als Quaggabastard bezeichnet.
- 13. Dass der Büffel (Bos bubalus Linn.) sich nie mit der zahmen Kuh paare, wurde von Buffon ') behauptet. Allein

Giorna, Mémoire de l'Académie de Turin, an IX. A. Wagner bei Schreber VI. Bd., pag. 207.

²⁾ Fitzinger, Versuch einer Geschichte der kais. Menagerien.

Nic holson, Journal of Natural Philosophy, Sept. 1789; und Göttinger Anzeigen, 1800, Seite 1260.

⁴⁾ Annales du Musée d'hist. nat. T. VII, pag. 243.

⁵⁾ ibid. T. IX, pag. 223.

⁶⁾ Annales du Musée, Tom. IX, pag. 238—240, und Regue animal, I. pag. 135.

⁷⁾ Equus hemionus steht dem Pferde näher als der Esel.

Nott and Gliddon, Types of mankind, Lond. 1854, pag. 377: all Species of the Genus Equats, breed freely inter se, so far as experiments prove.

⁹⁾ Hist. natur., Tom. XI, pag. 329.

Pallas¹) bestätigte dieses Factum. Das Junge kommt jedoch gewöhnlich todt zur Welt, oder stirbt bald nach der Geburt. — Eine Vermischung von Bos taurus und Bos grunniens wird von Turner²) erwähnt; — ebenso eine zwischen Bos gavaeus (Bos frontalis Lambert), und Bos taurus²), — dessgleichen Bos americanus Gm. (Bos Bison. Linn.) und Bos taurus²).

- 14. Das ein- und zweihöckerige Kameel paaren sich fruchtbar. Angaben hierüber von Eversmann und Burckhard⁵). Auch in Paris ein hieher gehöriger Fall gesehen⁶). Nach A. Wagner ist es zweifelhaft, ob die beiden genannten Kameelarten, wirklich selbstständige Arten sind⁷).
- 15. Rudolphi erwähnt in seinen Beiträgen zur Anthropologie und allgemeinen Naturgeschichte, Berlin, 1812, pag. 165, dass Steller auf der Behringsinsel den Seelöwen (*Phoca jubata*) mit dem Weibchen des Seebären (*Phoca ursina*) sich begatten lässt⁵).

Die nahe Verwandtschaft der in den angeführten, von den achtbarsten Autoritäten bezeugten Fällen, fruchtbar gepaarten Thiere, nimmt ihrer geschlechtlichen Verbindung das Merkmal der Unwahrscheinlichkeit, besonders wenn man bedenkt, dass sie nicht im wilden, freien Naturzustande, sondern unter dem vermittelnden Einflusse des Menschen Statt fanden, und dass die in der Brunstzeit so mächtige Begierde nach Stillung geschlechtlicher Triebe, in Ermanglung adäquater Befriedigungsmittel, sich auch zum Genusse bereitgehaltener, wenn auch ungewohnter Gelegenheiten, bestimmen lässt.

Den in diesen beiden Rubriken angeführten, nicht zu beanständigenden Beobachtungen, füge ich noch eine dritte Reihe von theils

¹⁾ Neue nordische Beiträge, 1. Band, Seite 9. Auch Hofacker (Eigenschaften, welche sich vererben, Tübingen 1828) spricht von diseer Paarung, so wie von jener des Bison mit der Kuh, und des gemeinen Stieres mit der Büffelkuh.

²⁾ Gesandtschaftsreise, Berlin 1801, pag. 190-191.

³⁾ Morton, in Silliman's Journal, 2. Series, Vol. 3, 1847, pag. 43.

⁴⁾ Diese Bastardrace hat in den amerikanischen Staaten von Missouri und Kentucky das ursprüngliche Hornvieh g\u00e4nzlich verdr\u00e4ngt.

⁵⁾ C. Ritter, Geographie von Asien, VIII, pag. 655, 659.

⁶⁾ A. Wagner, a. a. O., Bd. V, pag. 1281, nach Cuvier, Regne animal., I, p. 187.

⁷⁾ Schon Buffon erklärte sie für Varietäten ein er Art.

⁸⁾ Steller's Buch: Ausführliche Beschreibung von sonderbaren Meerthieren. Halle, 1753, wo Seite 147 und 160 dieser Fall erzählt wird, habe ich nicht näber einsehen können.

unverbürgten und höchst zweifelhaften, theils gänzlich verwerflichen hybriden Paarungen bei, in deren Kategorie, nach meiner Meinung, auch der der kaiserlichen Akademie vorliegende Begattungsfall von Kuh und Hirsch, aufzunehmen ist.

a) Die Jumarts 1) im südlichen Frankreich (Jumari bei Blumenbach, sonst Hippotauri), deren Gesner 2) erwähnt. Sie sollen Bastarde von Stier und Eselin, auch von Stier und Stutte sein. Nach Jean Leger 2), der sie auch abbildet, heisst ersterer Bastard in der Mundart des Volkes Bif, letzterer Baf. Er charakterisirt sie ferner in folgender Weise: "Capite, caudaque bovi simillima esse "kybrida, cornuum vestigia exiguis tuberculis significari; quoad "cetera asino aut equo simillima esse."

Nach Shaw) sollen sie auch in Tunis und Algier gekannt sein, und Kumrah heissen. Offenbar ist dies eine Verwechslung mit dem *Equus hippagrus* (Hamilton Smith⁵).

Buffon, welcher einen Jumart aus den Pyrenäen, und einen aus der Dauphiné anatomisch untersuchte, fand nichts, was auf die Betheiligung eines Stieres bei der Zeugung derselben hindeutete, ja die gesammte Anatomie, wie jene der Bastarde von Pferd und Esel, entsprach nur der Gattung Equus. Auch Haller, welcher nur anatomische Zeichnungen über die Jumarts vorliegen hatte, fand: omnia

Das Wort stammt aus dem arabischen Ahmar oder Hymar. Es scheint, dass das Koomrah (Equus hippagrus) mit seinem dicken Leib und breiter wolliger Stirn, zwerst den Gedanken an die Möglichkeit einer Paarung zwischen den Gattungen Bos und Equus bei den Arabern des westlichen Afrikas entstehen machte.

^{*)} Historia quadrup. vivipar. pag. 19, 106, 799, und sein Zeitgenosse Hieronymus Cardanus, in seinen Contradict. med., I, II, Tract. VI, — so wie J. B. Porta, der ein solches Thier in Ferrara gesehen (Mag. natur. Lib. I, cop. 9).

³⁾ Histoire générale des églises évangeliques de Vallées de Piemont ou Vaudoises. Leyde, 1669, pag. 6, und im Gothaer Almanach 1767, pag. 63.

⁴⁾ Bl u men bach, de gen. hum. varietate nativa. Edit. 2, §. 9, wo auch ältere Literatur zu finden.

⁵⁾ Hamilton sagt (Naturalist's Library, Vol. XXII, "Horses" pag. 295): The Koomrah in Northern Africa is held to be a species of monstre-mule between a mare and a ball. similar to the produce of the same kind known in Europe by the name of Hippotaurus, which was believed to be a possible creatur down to the middle of the last century, when the real Hinny, was pretended to be that monstre. In truth the Koomrah and Hinny are sufficiently similar, to serve the purpose of an imposture, or of a wonder among the vulgar; but the first is a wild animal, the second a scarce result of domestication.

equino generi simillima esse, — a bovino vero longe abhorrere 1) Blumenbach selbst, welcher zwei angebliche Jumarts zu Cassel beobachtete, erklärte sie unbedingt für Maulesel (hinni) 2).

b) Der von Hellenius *) erzählte Fall von fruchtbarer Begattung zwischen Cervus capreolus. fem., und Ovis aries mas. Eine sardinische Rehkuh, die er zugesendet erhielt, liess keinen Ziegenbock, wohl aber einen Schafbock zu. Die Jungen, welche in der Gestalt dem Vater ähnlich waren, in der Farbe aber vieles von der Mutter hatten, wurden mit finnischen Schafböcken belegt. Nach mehrmaligen Paarungen wurden die Jungen zu gemeinen finnischen Schafen. — Andreas Wagner hat diesen Fall gründlich analysirt, und es höchst wahrscheinlich gemacht, dass die vermeintliche sardinische Rehgeiss ein Mufflonschaf war, wodurch der Fall alles Sonderbare verliert*). Sardinien hat keine Rehe (Cetti).

Der von Göze s) angeführte Paarungsfall von Rehbock und Schaf, ist nach R. Wagner s) keineswegs so beobachtet worden, dass er Anspruch auf Glaubwürdigkeit hätte. Gänzlich unverbürgt ist die Paarung von Widder und Rehgeiss?).

Gott stärke uns im Glauben, wenn es wahr ist, dass ein Stier sich mit einem Schafe begattete⁸). Morton zweifelt nicht daran⁹).

c) Der für die Pfauen-Insel bei Berlin angekauste angebliche Bastard von Hirsch und Pferdestutte ist sehr dubiös, da seine Abstammung nur "par les autorités de l'endroit" bestätigt wird. Die äusserst kurze Note hierüber findet sich als Auszug eines Schreibens

¹⁾ Magen, Gallenwege und Larynx sind bei Equus und Bos so auffallend verschieden, dass es nicht begreiflich ist, wie selbst Buffon einige Unentschiedenheit über die vermeintliche Abstammung der Jumarts durchblicken lassen konnte. Supplem. T. Ill, pag. 4, seqq. und pag. 34, seqq.

Lib. cit., pag. 16. Nulla penis taurini ad vaginam equae relatio, — novimestris vaccae graviditas, — undecimestris equae.

³⁾ Cogitationes quaedam de animalibus hybridis, praes. C. N. Hellenio, resp. J. J. Holmberg. Aboae 1798, im Auszug bei C. A. Rudolphi (Schwedische Annalen, 1. Band, pag. 192).

⁴⁾ Münchner gelehrte Anzeigen, 4. Bd., 1837, Seite 941.

⁵⁾ Europäische Fauna, 3. Bd., pag. 72.

⁶⁾ Zusätze zu Prichard's Naturgeschichte des Menschengeschlechtes, I. Bd., p. 444.

⁷⁾ In v. Wildungen, Weidmann's Feierabende, 1819.

⁸⁾ Brande, Dictionary of Literature and Science, Article "Hybrid!"

⁹⁾ A. a. O., pag. 43.

aus Berlin (ohne Namen) an Herrn v. Férussac¹). Le devant du cheval, le derrière du cerf, mais le pied du cheval partout! Was ist also der eigentliche väterliche Antheil? Das Ganze ist wohl nur ein vitium primae formationis des Schwanzes. Das wissenschaftliche Berlin scheint diesen Bastard verdientermassen vollkommen ignorirt zu haben, da nichts weiter von ihm verlautete.

d) Die Paarung von Hirsch und Rind. Von dieser sind nur zwei Fälle erwähnt, und zwar Paarung zwischen männlichem Hirsch und Kuh.

Wir wollen nun beide näher besehen. Der erste ist im Sylvan²) enthalten, und vom Herrn Forstmeister A. Borchmayer erzählt.

Ich citire ihn ganz, und die Beurtheilung desselben wird dem Leser nicht schwer werden.

"In einem Bergstädtchen, Namens Eversberg, im Herzogthum "Westphalen, ist es den besseren Forstgrundsätzen zuwieder herge-"bracht, das nicht milchgebende Hornvieh in dem angrenzenden "Arnsberger Walde hüten zu lassen, wo, wenn auch durch die vielen "Wilddiebe das sonst so häufige Wildpret vernichtet ist, doch immer-"hin noch einige Stücke zu finden sind. In der Gegend dieser Waldweide hielten sich zur Brunstzeit des Jahres 1817 ein altes Thier und ein Hirsch auf, wovon aber das erstere durch Wilddiebe ge-"schossen wurde. Nachher zeigte sich der Hirsch mehreremal zwischen dem Hornvieh, und der Hirte will (was ich nicht weiter "verbürgen kann) gesehen haben, dass er ein ochsiges Rind wieder-_holt beschlagen habe. Im folgenden Jahre setzte nun dieses Rind ein "Kalb, was sich gleich dadurch als etwas Seltenes ankündigte, dass ihm "der, diesem Geschlechte sonst eigenthümliche Schwanz fehlte; auch zeigte es gleich in den ersten Tagen mehr das Leichte und Gewandte "eines Wildkalbes, als das Steife und Schwerfällige eines zahmen _Kalbes. Die Mutter mit dem Kalbe wurden nun von dem in der "Nähe wohnenden Postmeister und Wirth, Spanke, in Meschede "gekauft. Bei diesem, der das Kalb sorgfältig pflegen liess, sah ich es nvor einigen Tagen. An Grösse ist es nicht von anderen Kälbern des-

²⁾ Extrait d'une lettre adressée à M. de Férussac. Berlin 1827. 27. Février, im Bulletin des sciences naturelles et de géologie. Tome XI, 1827, pag. 105.

^{*)} C. P. Laurop's (nicht Lanrop's wie es bei Bronn heisst) und V. F. Tischler's Sylvan, 1820 und 1811, pag. 124, Nr. 5, "Der Bastard von einem Hirsch und einem Rind."

"selben Alters unterschieden; das Haar ist etwas heller, als es am häu-"figsten bei Hornvieh zu sein pflegt, jedoch nicht so selten, dass es "besondere Aufmerksamkeit erregen könnte. Auffallend "aber ist das genau abgezirkelte Schild, und der kurze Schweif. Beatrachtet man hierbei die feinen gedrechselten Füsse, die weniger "denen eines zahmen Viehes als den Läufen eines Stück Wildprets ähnnlich sind, so wird man gleich an Rothwild erinnert. Die Vermuthung "eines Bastards wächst, wenn man das Thier im Freien sieht, wo es "nicht allein in seinem schüchternen Blicke, in dem raschen Hin-und "Hersehen, in dem schnellen Beachten und Horchen auf jedes Ge-"räusch, sondern auch in seinen ganzen Bewegungen, vorzüglich in "dem gleichzeitigen Auftreten aller vier Läuse beim Springen (ganz "gegen die Natur des zahmen Viehes), und in dem gewandten Über-"setzen über Gräben, sich ganz dem Wilde nähert. Wenn es nun "auch zweiselhaft bleibt, dass dieses Kalb in wirklicher Ver-"wandtschaft mit dem Hirsche steht, so ist es doch gewiss, dass es "als eine seltene Spielart anzusehen ist, die etwa durch Er-"schrecken der Mutter vor dem Hirsche entstanden sein konnte. "Mehr Gewissheit wird die Sache erhalten, wenn dieses Thier, weib-"lichen Geschlechtes, unfruchtbar bleiben sollte 1). Die Hörner zei-"gen sich, wie bei jedem zahmen Kalbe".

Der zweite Fall wird in derselben Zeitschrift²) erzählt. Er betrifft einen männlichen Hirsch, welcher als 8—10 tägiges Kalb gefangen und von einer Kuh aufgesäugt wurde. Als er brünstig wurde, beschlug er eine brünstige Kuh, zu welcher er gelassen wurde "zur grossen Verwunderung mehrerer männlicher Zuschauer nach kurzem Verweilen, und unbedeutenden Liebkosungen". Der Versuch, "welchen die Kuh gerne geschehen liess", wurde noch einigemale wiederholt. Die Kuh blieb "hitzig, gab wenig Milch und wurde desshalb verkauft". Von einer Descendenz keine Rede. —

Ich war so glücklich noch einen dritten Fall aufzutreiben, welcher eben so wenig beweist. In Morton's Aufsatz: *Hybridity* in *Animals*) lese ich, dass Baron Larrey in seinen Memoiren

¹⁾ Es ist keine spätere Mittheilung erfolgt.

³⁾ Sylvan 1822, pag. 141, unter dem Titel "Leben und tragisches Ende eines Rothhirsches" vom Oberforstrath Graf v. Sponeck.

³⁾ Silliman, American Journal. pag. 43.

erwähnt, dass während seines Aufenthaltes in Neufundland, der Carabon (Cervus Wapiti) zuweilen sich der Niederlassung näherte, und ein Männchen dieser Art in die Schafhürde einbrach, wo eine Kuhstand, welche von dem Hirsch trächtig wurde. Ohne Zweifel (sagt Larrey) gebar die Kuh, aber wir hörten nichts mehr von ihr, denn sie wurde nach Brest zurückgebracht 1).

- e) Eine Paarung von Bär und Hündin wird von Bechstein²) angeführt. In der ersten Auflage des Bechstein'schen Buches wird dieser höchst unwahrscheinlichen Paarung nicht Erwähnung gethan. Der Bastard wurde von Fischer²) beschrieben. Er hatte einen Bärenkopf²), keinen Schwanz, war zottig, und bellte und brummte zugleich. Er belief sich mit einer Hündin. Von den 16 Jungen, die diese warf, waren nur sechs dem Vater ähnlich. Vielleicht sind die Bären hunde hiermit gemeint. Die Verhältnisse der Genitalien, die Brunst- und Tragzeit⁵) beider Thiergattungen, sind doch zu different, um dem Gedanken an die Möglichkeit einer erfolgreichen Paarung Raum zu geben. Dass die Bären sich ventre obverso begatten, wozu sich die Hündin nicht versteht, wurde durch Augenzeugen (Fitzinger) widerlegt.
- f) Osbeck's Angabe von fruchtbarer Begattung zwischen Hund und Affe) wird sicherlich Niemand glauben, wahrscheinlich der Autor selbst nicht. Blumen bach erwähnt sehr richtig, dass man in Häusern, wo ein Affe mit Hunden gehalten wird, und beide häufig zusammen spielen, si quid fortuito pulli peculiare habeant, statim id diversis parentibus tribui soleat. An eine Begattung von Felis und Sciurus) konnte man nur zu Zeiten der an possirlichen Daten so reichen Ephemeriden glauben.
- g) Der in Bronn⁸) aufgeführte, angeblich von Haller⁹) gesehene Paarungsfall von Canis familiaris, mas, und Felis catus

²⁾ Larrey ist ein guter Chirurg gewesen, allein wir misstrauen dem Militärarzt, wenn es sich um wissenschaftliche Gegenstände handelt.

²) Gemeinnätzige Naturgeschichte Deutschlands, 2. Aufl., 1. Bd., pag. 702.

³⁾ Naturgeschichte von Liefland.

⁴⁾ Doch nicht auch das Gebiss?

⁵⁾ Der Bär 6 Monate, der Hund höchstens 10 Wochen.

⁶⁾ Ostindik Resa, pag. 99.

⁷⁾ Clauderus, Eph. Nat. Cur. Dec. II. ann. IX, pag. 371.

⁶) Lib. cit., pag. 167.

⁹⁾ Riementa physiol., Tom. VIII, pag. 101.

domesticus, fem., ist nur ein Citat aus dem obscuren Veratti 1), welchem freilich Haller den Ehrentitel autoptes beifügt. Haller war in diesem Punkte sehr starkgläubig. Er lässt ja an demselben Orte die erfolgreiche Begattung von männlichen Kaninchen und weiblichen Katzen, obwohl "aegre" zu, und sagt nur, pag. 99: se non valde fidem adhibere, feminas conganas, a simiis majoribus compressas, veros homines parere.

h) Die gleichfalls in Bronn aus der Isis, 1841, pag. 893 citirte Paarung von Felis catus dom., und Mustela foina, ist durch das dem letztgenannten Thiere vorgesetzte Fragezeichen hinlänglich markirt ²). Die langhaarige Katze "mit dem Mardercolorit "unter dem Bauche, an den Hinterschenkeln, und an der unteren "Seite des Schwanzes", welcher diese Abstammung zugemuthet wird ²), ist gewiss nur die auch im südlichen Norwegen vorkommende, langharige Varietät.

Die von Pallas's) erwähnte und abgebildete Varietät (oder Bastard) von Hauskatzen, wird ohne allen Grund der Vermischung mit Mardern zugeschrieben, da dem beschriebenen Exemplare ganz ähnliche Thiere, nach Boie notorisch Abkömmlinge gewöhnlicher Katzen sind.

Eben so nichtig ist die in Morton's früher citirtem Aufsatze angeführte Vermischung von Katze und Marder, aus London, Magaz. of Natur. History, IX, pag. 616. Eine auf Liebesabenteuer ausgegangene Hauskatze kam trächtig zurück, und warf vier Junge, deren zwei strongly resembled the marten*).

i) Bastarde von Katze und Opossum, von Waschbär und Fuchs werden angegeben 5). Diese Angaben sind jedoch gänzlich zu ver-

¹⁾ Galer minery., Tom. VII, pag. 67.

²⁾ Das Citat betrifft einen Auszug aus einem in Kroyer's naturhist. Zeitschrift. 1841, Heft 9, pag. 325—328 mitgetheilten Aufsatz von F. Boie, über eine Race lang-haariger Katzen.

²⁾ Es heisst daselbst, dass der Förster Hansen zu Rantzau, früher auf dem Gute Wittenberg, einen Marder während der Paarung mit einer Katze erlegte, und dass eine ähnliche Vermischung der Gärtner Brede zu Rantzau wahrgenommen habe.

⁴⁾ Bemerkungen auf einer Reise in die südlichen Statthalterschaften des russischen Reiches, in den Jahren 1793 und 1794, pag. 37, und desselben Autora Zoographia rosso-asiatica, pag. 22.

⁵⁾ Treviranus, Biologie, 3. Bd., Seite 414 und Rafinesque in den Brüssler Anusles de physique, Tom. VII.

werfen. Man sah nur Missbildungen für Bastarde an, und muthmasste blos, dass zweierlei Thiere, denen sie ganz zufällig ähnlich waren, die Erzeuger derselben gewesen seien.

k) Dass Cervus axis, mas, sich mit Sus scrofa paart, wird von Hamilton¹) vorübergehend erwähnt. Der Bastard ist das Spotted Hog-deer.

Was der Glaube an das Wunderbare und Seltsame bei älteren Autoren erzählt ²), oder was die Einfalt und Selbsttäuschung von Landwirthen und Jägern glaubt, verdient hier keine Erwähnung.

Es ist mir nicht unbekannt, dass viele wissenschaftliche Naturforscher der Bastardzeugung einen grossen Einfluss auf die Entstehung der ungeheueren Anzahl von Arten unseres jetzigen zoologischen Systems zuschreiben 3), welche doch nicht alle ursprünglich erschaffen worden sein konnten, da die Arche Noah's, selbst wenn sie die Grösse des Duc of Wellington von 130 Kanonen gehabt hätte, nur den kleinsten Theil derselben aufzunehmen hingereicht haben würde. Allein, wenn auch diese Bastardirungen für die Classe der Vögel zugegeben werden müssen, wo die auch im wilden Zustande vorkommende Vermischung verschiedener Species einer oder zweier Geschlechter, durch die Paarung von Fasan und Birkhuhn, von Birkhahn und Auerhuhn, von Birkhahn und Moorschnepfhenne u. a. m., sichergestellt ist 4), wenn dieselbe Vervielfältigung in der Classe der

¹⁾ Hamilton Smith, Natural History of the Equidae, in Naturalist's Library, Vol. XII, pag. 340. Völlig unverbürgt. Ich führe die betreffende Stelle wörtlich an: We may point out likewise, in the rut of Indian repudiated Axine buks, producing, among the unspeckled Porcine, the intermediate well known breed of spotted hog-deer, an instance where both species are wild. Die gefleckte Race mag eine wohl bekannte sein, minder aber ihre Abstammung von dem gefleckten Cervus axis und dem Schweine (welche Species?), da weder Cuvier noch irgend ein anderer Zoologe der Sache gedenkt, und die angebliche Bastardirang wohl eben nur im Volksglauben beruht, wie bei den früher erwähnten Gemsxiegen.

²⁾ Z. B. Die Entstehung des Gürtelthiers aus dem Connubium von Affe und Schildkröte und jene des Murmelthiers aus der Verbindung von Affe und Dachs, bei Athanasius Kircherus.

³⁾ Im Gegensatze zur Lamarck'schen, von Lyell weiter ausgeführten Umbildungs-Theorie, Principles of Geology, Book III, chap. 2.

⁴⁾ Es handelt sich jedoch hiebei immer nur um höch stähntiche Formen, und die gepaarten Genera der neueren Zoologen: Turdus - Merula, Mareca - Anas, Fringilla - Carduelis, Phasianus - Numida, sind nach zoologischen Grundsätzen einander viel näher verwandt, als Dachshund und Pudel.

Insecten, und in der Pflanzenwelt, durch die zahlreichsten Beobachtungen zur unläugbaren Thatsache erhoben wurde 1), so liegt doch für die Säugethiere keine ähnliche Auswahl von Fällen vor. und es wäre auch kein Grund vorhanden, warum diese hybriden Paarungen nur in der Vorzeit Statt gefunden haben sollten, und sich nicht täglich unter unseren Augen erneuten. Wenn Gefangenschaft und Zähmung wilder Säugethierarten zuweilen hybride Begattungen veranlasste, so scheiterten viel öfter die mit der berechnendsten Vorsicht eingeleiteten, oder nur durch List 2) ermöglichten Paarungsversuche solcher Thiere, an einer völligen Gleichgültigkeit derselben gegen einander, oder an einer unüberwindlichen Abneigung, und es ist somit anzunehmen, dass auch der vorliegende Fall von fruchtbarer Verbindung zweier, in Lebensweise, Körpergrösse und Temperament so verschiedener Thiere, wie Hirsch und Kuh, auch eine andere Deutung zulässt, und sich wahrscheinlich, bei weiterer Beobachtung des angeblichen Blendlings, als Varietät, oder als ein für die Geschichte der Generatio hybrida bedeutungsloses Curiosum herausstellt.

Die Zusammenstellung obiger Fälle beweist, dass nur die nächst verwandten Arten eines Genus sich unter ganz besonderen Bedingungen und Umständen beim Begattungsacte vertreten können (Pferd, Esel und Zebra, — Hund und Wolf, — Löwe und Tieger — Schaf und Ziege, — Hase und Kaninchen), und wir können es, ohne die gesicherte Existenz der einzelnen Arten, ja die der gesammten thierischen Schöpfung umzustossen, nicht einmal denken, dass die Eier einer Thiergattung, für die moleculare Einwirkung der Samenelemente einer anderen disponirt seien. Wenn es je geschähe, dass heterogene Zeugungsstoffe eine neue Lebensform hervorriefen, müsste dieselbe an den inneren und äusseren Widersprüchen ihres Baues zu Grunde gehen.

Siehe die Zusammenstellung der hieher gehörigen Erfahrungen bei Bronn, lib. cit., und S.G. Morton Hybridity in Animals, in Silliman, American Journal of Science and Art. 2. Series, Vol. III, May 1847, pag. 39 seqq. und pag. 203 seqq.
 Wie die Eingangs berührten Angaben über Maulthier und Zebra bestätigen.

³) Bei den von Rusconi (Müller's Archiv 1840, pag. 185) vorgenommenen Befruchtungen der Eier von Fröschen mit dem Samen der braunen Kröte, blieb der Erfolg grösstentheils gänzlich aus. Nur bei sehr wenigen Eiern zeigte sich die Dotterfurchung. Aber sie verlief so unordentlich und tumultuarisch, dass es niemals zur Entwickelung des Embryo kam.

Die räumlichen Verhältnisse der Genitalien des Hirsches und der Kuh schliessen wohl die Möglichkeit einer Begattung nicht aus, — ich glaube nur, dass die Disparität des Naturells sie nicht suchen lässt, und wenn sie wirklich Statt fände, eine Befruchtung nimmermehr erfolgen kann. Die Möglichkeit der letzteren zuzugeben, wäre ein Verstoss gegen die Grundsätze der Physiologie, — gegen die Logik der Schöpfung.

Wer immer ohne vorgefasste Meinung, sich in die Beurtheilung des gegenwärtigen Falles einlässt, wird in dem Gerüchte, von dem zeitweiligen Herüberkommen von Hirschen auf die Alpen Oberkrains, keinen Schlüssel zur Erklärung desselben finden. Ich, für meine Person, kann an solche Paarungsfälle nur dann glauben, wenn ein Naturforscher, der bei ähnlichen Hymeneus die Fackel gehalten, als Augenzeuge darüber Bericht erstattet.

Kein einziges der von Dr. und Prof. Bleiweis erwähnten Merkmale des fraglichen Kalbes, deutet absolut auf einen Vater aus dem Hirschgeschlechte hin, und es erscheint mir nicht unmöglich, dass der Bericht unter dem Einflusse jener Anschauungsweise geschrieben wurde, welche die hypothetische Vaterschaft des Hirsches als thatsächlich voraussetzt.

Was das einzige interessante Phänomen: die Feces scybalosae, anbelangt, so lege ich darauf keinen besonderen Werth. Ich kenne zwar den Dickdarm des Hirsches nicht, habe aber jenen des Rehes, des Kalbes, der Ziege, des Schafes (O. aries und ecaudatus), der Gemse, des Steinbockes und der Antilopen (A. dorcas und leucoryx) öfters unter den Händen gehabt, und keinen wesentlichen Unterschied, weder in der Lagerung noch an den Structurverhältnissen der Tunica muscularis des Dickdarms bemerkt. Der Wassergehalt des Darmkothes hat auf seine Consistenz und seine Form (nach der Ausleerung) einen grösseren Einfluss, als die Kreismuskeln des Dickdarms. Die Fladen des Rindes verdanken ihre Form nicht dem Darmcanal, sondern 1. dem grossen Wassergehalte der Nahrung eines grasfressenden Thieres; 2. der reichlichen Tränke, die auch auf den Alpen nicht gänzlich ausgesetzt wird, und 3. der bedeutenden Höhe, von welcher die Kothmassen beim Misten herabfallen. Der Hirsch ist nicht ausschliesslich ein grasfressendes Thier, sondern liebt auch trockenere, an Holzfasern reichere Nahrung: Sprossen, Blätter, junges Holz und Rinde, und darum mögen seine Feces auch

härter sein, und, wenn sie zur Erde fallen, nicht zusammensliessen wie beim Rinde, von welchem es übrigens hinlänglich bekannt ist, das seine Excremente bei trockener Fütterung die Knollenform (die sie im Dickdarm erhalten) auch beim Herabsallen kenntlich beibehalten. Wenn ich nun bedenke, dass bei einem Kalbe während eines längeren Triebes ein guter Theil seines genossenen Wassers durch die gesteigerte Respiration verdampst wird, so kann ich es mir leicht erklären, dass seine desshalb trockeneren Feces, beim Herabsallen von einer geringeren Höhe als bei der Kuh, jene geballte Form, die sie im Dickdarm erhielten, auch extra alvum einigermassen beibehielten. In dem Berichte des Hrn. Prof. Bleiweis wird überdies nicht geradezu von Scybala, sondern nur von einer Ähnlichkeit der Feces mit diesen gesprochen.

Ich habe nun ein standhaftes Bekenntniss meines Unglaubens an der vorgeblichen Abstammung dieses Kalbes abgelegt. Eine schafe, wissenschaftliche Entscheidung ist, so lange das anatomische Messer nicht mitwirken kann, zu geben unmöglich, — und selbst dann noch sehr schwer.

Nichtsdestoweniger glaube ich, dass der Fall der Veröffentlichung nicht vorzuenthalten wäre, indem es nicht Jedermann als bewiesen erscheinen wird, dass meine Ansicht von der Nicht-Intervention des Hirsches die richtige ist.

Schliesslich würde ich zugleich ersuchen, die kaiserliche Akademie möge die gefällige Verfügung treffen, dass das fragliche Objectum litis durch einen Fachmann 1) untersucht, und, im Falle des Eingehens des Thieres, sein Cadaver in Weingeist, oder Salz, oder Zinkchlorid, oder, wenn dieses vom Besitzer nicht zugestanden wird, eine möglichst genaue Sectionsbeschreibung— wo möglich mit Abbildungen — eingeliefert würde, welche, mit den übrigen Daten zusammengehalten, der hier ausgesprochenen Ansicht entweder Gewissheit geben, oder dieselbe zu widerlegen helfen wird. Letzteres fürchte ich nicht zu erleben.

¹⁾ Ich lege unter Einem, einen hierauf bezüglichen Antrag vor.

c) Bericht über die Untersuchung eines angeblichen Bastardkalbes von Hirsch und Kuh.

Von dem w. M., Dr. L. J. Fitzinger.

Es liegt mir ob. Bericht über meine Sendung nach Laibach zu erstatten, welche ich im Auftrage der kaiserl. Akademie der Wissenschaften zur autoptischen Untersuchung jenes angebliehen Bastardtalbes von Hirsch und Kuh übernommen, welches sieh im Besitze des Herrn Präsidenten der k. k. Landwirthschafts-Gesellschaft im Herzogthume Krain, Fidelis Terpinz, befindet und auf seinem unfern von Laibach befindlichen Schlosse Kaltenbrunn gehalten wird.

Bevor ich der geehrten Classe das Ergebniss meiner, in Gegenwart des Herrn Besitzers gemeinschaftlich mit Herrn Professor Dr. Bleiweis vorgenommenen Untersuchung mittheile, erlauhe ich mir einige Worte über meine Ansieht, bezüglich der Möglichkeit einer Bastardirung von Hirseh und Kuh überhaupt, vorauszuschicken.

Schon in meinem in dieser Angelegenheit an Herrn Professor Hyrtl gerichteten Schreiben habe ich mich dahin ausgesprochen, dass ich die Paarung des Hirsches mit der Kuh, insbesondere im freien Zustande, wenn auch nicht für unmöglich, doch keinesweges für wahrscheinlich halte.

Damals war mir auch noch keine Beobachtung dieser Art bekannt und obgleich ich später zur Kenntniss solcher Beobachtungen gelangte, so finde ich mich auch jetzt noch nicht geneigt, meine früher ausgesprochene Ansicht wesentlich zu ändern. Ich will die Möglichkeit der Paarung des Hirsches mit der Kuh keinesweges und selbst auch nicht im freien Zustande gänzlich in Abrede stellen; denn wenn auch bisher eine solche Beobachtung noch von keinem Naturferscher gemacht wurde, so liegen doch Berichte anderer Personen vor, welche Augenzeugen derselben gewesen zu sein behaupten und denen man Glaubwürdigkeit nicht wohl versagen kann.

So ist die Paarung des Edelbirsches mit der Kuh im Zustande der Gefangenschaft von dem Oberforstrathe Grafen von Sponeck in Gegenwart mehrerer Personen und zwar zu wiederholten Malen beobachtet worden. Dieser Hirsch, welcher eine brünstige Kuh belegte, war aber schon als 8-10tagiges Kalb in die Gefangenschaft gebracht, und wurde selbst von einer Kuh gesäugt. (Laurop's und Fischer's Sylvan. 1822, Seite 141.)

Ebenso beobachtete auch Baron Larrey, während seines Aufenthaltes in Neufoundland und zwar im freien Zustande, die Paaarung des Wapiti-Hirsches mit der Kuh, indem der Hirsch in eine Schafhürde einbrach, in welcher sich auch eine Kuh befand. (Silliman, American Journal. Second Series, Vol. III, pag. 43.)

Ausser diesen beiden, von glaubwürdigen Personen gemachten Beobachtungen, liegt nur noch eine vor, welche von einem Hirten im Jahre 1817 im Arnsberger-Walde im Herzogthume Westphalen, also gleichfalls im freien Zustande gemacht worden sein soll und welche vom Forstmeister Borchmayer veröffentlicht wurde. Es war ein Edelhirsch, dessen Weihchen während der Brunstzeit durch Wilddiebe geschossen worden war, welcher sich nach der Angabe jenes Hirten mehrmals zwischen der Rinderherde zeigte und mit einer Kuhzu wiederholten Malen gepaart haben soll. (Laurop's und Fischer's Sylvan. 1820 und 1821, Seite 124.)

Unter den beiden Fällen, wo nach glaubwürdigen Zeugen wirklich eine Paarung des Hirsches mit der Kuh Statt gefunden hatte, liefert nur die von Baron Larrey am Wapiti-Hirsche und zwar im freien Zustande gemachte Beobachtung den Beweis, dass die Paarung auch eine fruchtbare war, indem er ausdrücklich angibt, dass die Kuh vom Hirsche trächtig wurde; denn die Beobachtung der Paarung, welche Graf von Sponeck an in der Gefangenschaft gehaltenen Thieren zu machen Gelegenheit hatte, entbehrt durchaus jeder Nachricht über einen weiteren Erfolg.

Der dritte, von Borchmayer angeführte Fall, wo die Paarung des Hirsches mit der Kuh nur von einem Hirten beobachtet wurde, und wohl mehr nur nach dem Zusammentreffen von Umständen vorausgesetzt werden kann, ist übrigens der einzige, wo das für einen Bastard angesprochene Kalb, nach seinen äusseren Merkmalen und sonstigen Eigenthümlichkeiten beschrieben wird.

Es wurde im Jahre 1818 geworfen, war ein Weibchen und von der Grösse eines gewöhnlichen Rindkalbes. Sein Haar war etwas heller als es in der Regel bei Kälbern zu sein pflegt und in der Steissgegend zeigte sich ein scharf abgegrenzter Spiegel wie beim Hirsche. Die Hörner waren die des Kalbes, die Füsse jedoch zart und mehr denen des Hirsches ähnlich. Höchst auffallend war der

kurze Schwanz, wodurch es sich am meisten dem Hirsche näherte. Es zeigte mehr Leichtigkeit und Gewandtheit in seinen Bewegungen, als dies bei Rindkälbern der Fall ist, ging raschen Schrittes hin und her, war schüchtern in seinem Blicke, beachtete horchend jedes Geräusch, setzte mit Gewandtheit über Gräben und trat beim Springen gleichzeitig mit allen vier Beinen auf.

Berücksichtiget man diese Angaben, so kann man allerdings zugeben, dass hier Merkmale des Hirsches vorhanden waren, welche vielleicht die Folge einer Bastardirung sein konnten; obgleich sie immer noch weit entfernt sind, zu einer bestimmten Annahme einer solchen zu berechtigen.

Ganz anders verhält es sich aber mit dem angeblichen Hirsch-Bastarde, über welchen ich zu berichten babe, der kein einziges, für den Hirsch bezeichnendes Merkmal an sich trägt.

Bei diesem wurde die Abkunft von einem Hirsche nur vermuthet. Der etwas zartere Bau, die Abweichung in der Behaarung von der gewöhnlicher Kälber und die zufällige Form der Excremente, mochten wohl die Hauptursache gewesen sein, welche zuerst die Aufmerksamkeit der Landleute auf jenes Kalb zogen und sie bestimmten es für einen Hirsch-Bastard zu halten.

Der Umstand, dass auf der Zelenico-Alpe in Ober-Krain, wo die Kuh, welche jenes Kalb geworfen, den verflossenen Sommer über weidete, bisweilen Hirsche aus den kärntnerischen Alpen hinüberwechseln und im verflossenen Jahre auch eine Hirschkuh in den Alpen Ober-Krains geschossen wurde, genügte, um die Richtigkeit dieser Ansicht auch bei Landwirthen und Jägern zu bekräftigen. welche jenes Kalb, als es mit zwei Melkkühen und einem anderen Kalbe zum Verkaufe auf dem Triebe nach Triest nach Laibach kam, daselbst zu sehen Gelegenheit hatten. Obgleich ich, nach der mir vorgelegenen naturhistorischen Beschreibung, welche Herr Professor Dr. Bleiweiss von jenem Kalbe entworfen, meine Reise nach Laibach keinesweges mit allzugrossen Erwartungen angetreten habe, besonders auffallende Merkmale zu treffen, welche auf eine Abkunft vom Hirsche schliessen lassen würden, so habe ich doch gehofft, wenigstens irgend ein Merkmal aufzufinden, welches eine solche. wenn auch von Nicht-Naturforschern ausgegangene Annahme, auch nur zum Theile hätte rechtfertigen können; selbst bei der Voraussetzung, dass auch in diesem Falle die Kennzeichen der mütterlichen Abkunft, so wie dies bei Bastarden meistens der Fall ist, bedeutend prävaliren würden.

Ich kann nicht leugnen, dass das fragliche Bastardkalb allerdings gewisse Eigenthümlichkeiten an sich trage, die es von dem gewöhnlichen Rindkalbe unterscheiden und zwar Eigenthümlichkeiten, welche auch dem Laien, selbst bei der oberflächlichsten Betrachtung nicht entgehen können. Ich verstehe hierunter nicht etwa die suhtilen Unterschiede, welche sich durch die verhältnissmässig geringere Grösse, die etwas schlankeren Beine, die minder dicken und auch weniger gegen einander geneigten Beuggelenke der Vorderfüsse kund geben, oder sich auch durch die nicht so hohe und minder höckerige Croupe, die fleischigeren Schenkel, die etwas längeren und spitzeren Hufe, so wie die auch längeren und schmäleren Afterklauen aussprechen oder wohl gar den verhältnissmässig kürzeren und auch mehr zusammengeschrumpsten Hodensack, sondern jene Unterschiede, welche sich für den Zoologen als wichtigere darstellen; nämlich die eigenthümliche kurze und feine, hell bräunlichgraue Behaarung an sämmtlichen Theilen des Körpers, mit Ausnahme des mit weissen, gewöhnlichen Kalbshaaren bedeckten Gesichtes, eines Haarbüschels am unteren Ende der Wamme und eines sehr kleinen Büschels an der linken Schulter; ferner die etwas schmäleren, an der Aussenseite nur höchst spärlich behaarten, ja beinahe nackten Ohren; den mit dem Rindkalbe an Länge zwar übereinkommenden, aber an seinem Ende büschellosen Schwanz und endlich den längeren und keineswegs hängenden, sondern gerade nach Vorne gestreckten Haarpinsel an der Hautscheide des männlichen Geschleschtstheiles.

Alle diese Unterschiede können aber nicht als Merkmale betrachtet werden, um die Abkunft dieses Kalbes von dem Hirsche abzuleiten. Nur das Haar hat sowohl in Farbe als auch in der mehr als gewöhnlichen Kürze und Feinheit eine entfernte Ähnlichkeit mit dem Wollhaare des Hirsches und könnte allenfalls zwischen diesem und dem Kalbshaare als gleichsam in der Mitte stehend betrachtet werden. Die Excremente, welche allerdings — wie ich mich selbst überzeugte, — nicht in Fladen, sondern in Klumpen zur Erde fallen, welche aus einzelnen kleinen, mehr kugelförmigen Klümpchen zusammengeballt sind und schon bei geringer Austrocknung sehr bald in dieselben zerfallen, indem die dünne Schleimschichte, welche sie

umhült und zusammenhält, sehr schnell vertrocknet, kann ich gleichfalls nicht als Anhaltspunkt betrachten, um hierauf die Abstammung vom Hirsche zu begründen, da diese Verschiedenheit in der Gestalt der Excremente zu sehr von der grösseren oder geringeren Trockenheit des Futters abhängig ist, welches den Thieren gereicht wird, oder dem häufigeren oder selteneren Genusse des Wassers. sowie auch seiner Quantität.

Somit erübriget mir nichts, als zuzugestehen, dass dieses fragliche Bastardkalb zwar allerdings einige ungewöhnliche Unterschiede vom gemeinen Rindkalbe darbiete, dass aber kein einziger derselben zur Annahme berechtige, dass es eine Bastardbildung überhaupt und insbesondere des Hirsches sei.

Die Abkunft desselben vom Hirsche muss ich sogar aus mehrfachen, gewichtigen Gründen geradezu in Abrede stellen; und zwar:

- 1. Weil alle Bastarde, welche ich bisher zu sehen Gelegenheit hatte, mochten sie auch von was immer für Arten von Thieren abgestammt haben, die Merkmale ihrer beiderseitigen älterlichen Abstammung stets unverkennbar an sich trugen, während das fragliche Kalb kein einziges deutliches Merkmal vom Hirsche aufzuweisen hat;
- 2. weil die Brunstzeit des Hirsches erst mit Ende August oder mit Anfang des Septembers beginnt und die Kuh 283—285 Tage, also 9 Monate und einige Tage trächtig geht, daher dieses für einen Bastard angesprochene Kalb erst im Juni hätte geworfen werden müssen, während es doch, so wie dies bei den Rindkälbern am häufigsten Statt findet, schon vor der Mitte des März geworfen worden war, wie dies aus dem Berichte des Herrn Professors Dr. Ble iw eis vom 1. April deutlich hervorgeht, wo jenes Kalb schon 3 Wochen zählte und daher, als ich es am 11. Juni in Kaltenbrunn sah, schon 13 Wochen alt war;
- 3. endlich, weil die Herleitung desselben von einem Hirsche einzig und allein nur auf einer Vermuthung beruht und weder durch eine thatsächliche Beobachtung, noch selbst auch nur durch ein blosses Zusammentreffen der Umstände begründet werden kann.

Ich glaube den viel zu frühen Wurf dieses Kalbes als den schlagendsten Beweis für die Richtigkeit meiner Ansicht betrachten zu dürfen, wenn ich demselben seine Abkunft von einem Hirsche auf das Bestimmteste abzusprechen mir erlaube. Man müsste nur annehmen, um eine entgegengesetzte Ansicht zu vertheidigen, dass es unausgetragen war, als es geworfen wurde und 3 Monate früher zur Welt kam, als dies nach dem Eintritte der Brunstzeit des Hirsches hätte Statt finden müssen; eine Annahme, welche sich durchaus auf keine Wabrnehmung stützt und daher jeder Begründung entbehrt.

Kann man hiernach aber nicht zugeben, dass jenes Kalb von einem Hirsche stamme, so fällt auch jeder andere Gedanke an eine Bastardhildung von selbst hinweg und es stellt sich sonach nur eine eigenthümliche Abünderung eines reinen Rindkalbes dar, deren ursächliche Entstehung zu ergründen, zur Zeit noch ausser dem Bereiche unseres Wissens liegt.

Da es jedoch jedenfalls für die Wissenschaft von Interesse ist, zu sehen, wie sich dieses Kalb allmählich entwickeln und welche Veränderungen es hei zunehmendem Alter erleiden wird, die Unterbringung und Erhaltung desselben in Wien aber, wohin es der Herr Besitzer befördern zu lassen sich gerne bereit gefunden hat, jedenfalls mit zu vielen Schwierigkeiten verbunden ist, so erlaube ich mir den Antrag zu stellen, die kaiserliche Akademie möge mich ermächtigen, dem Herrn Besitzer in ihrem Namen den Wunsch auszudrücken, jenes Kalb in seinem dermaligen Aufbehaltungsorte gross ziehen und seiner Zeit der kais. Akademie über die heobachteten Veränderungen durch Herrn Professor Dr. Blei weis berichten zu wollen.

Indem ich hiermit meinen Bericht über diese Angelegenheit beendige und dadurch den Gegenstand der Frage für hinreichend erlediget betrachte, muss ich aber auch noch der überaus freundlichen Aufnahme und höchst zuvorkommenden Bereitwilligkeit und Güte erwähnen, welche mir während meines Aufenthaltes in Laibach, sowohl von dem Herrn Präsidenten der k. k. Landwirthschafts-Gesellschaft in Krain, Fidelis Terpinz, als vom Herrn Professor Dr. Bleiweis zu Theil geworden ist und wofür ich denselben meinen innigen Dank öffentlich auszusprechen mich verpflichtet fühle.

Kingesendete Abhandlungen.

Notiz über Äsculetin und Origanum-Öl.

Von dem w. M., Dr. Pr. Rochleder.

Bei der Untersuchung der Wirkungen, welche schwefligsaure Alkalien auf organische Substanzen ausüben, habe ich auch das Verhalten des Äsculetin und Origanum-Öls geprüft. Die Untersuchung der Producte, welche diese Körper liefern, ist noch nicht vollendet. Da aber eine längere Zeit erforderlich sein dürfte, ihr Studium zu vollenden, so will ich in der Kürze die gewonnenen Resultate mittheilen.

Das Origanum-Öl mit doppelt-schwesligsaurem Ammoniak oder Natron in concentrirter Lösung erwärmt, trennt sich in einen slüssigen Theil und eine seste, weisse Masse. Ob das Natron- oder Ammoniak-Salz angewendet wird, ist gleichgültig, die Producte bleiben dieselben. Der slüssige Antheil wird mechanisch von dem sesten Producte getrennt, das letztere zerrieben und mit Alkohol, Äther und Wasser gewaschen. Es stellt ein amorphes, weisses Pulver dar. Weder Schwesel noch Natron oder Ammoniak sind darin enthalten. Es besteht aus Kohlenstoss, Wasserstoss und Sauerstoss. Die Analysen werde ich später mittheilen. Der slüssig bleibende Theil des Origanum-Öls wird durch Destillation mit Wasser gereinigt, wodurch er farblos erhalten wird. Dieses Öl gehört zur Classe der Camphene.

Das Äsculetin löst sich in einer concentrirten, wässerigen Lösung von doppelt-schwesligsaurem Ammoniak in der Siedhitze mit Leichtigkeit. Wird das Sieden kurze Zeit fortgesetzt, so scheidet sich von dem schwerlöslichen Äsculetin keine Spur mehr ab. Die gelbliche Lösung zieht auf Zusatz von Alkalien mit grosser Begierde Sauerstoss an. Einige Tropsen Ammoniak bewirken eine dunklere gelbe Färbung, die durch Schütteln mit Lust sogleich in eine blutrothe übergeht. Zuletzt färbt sich die Lösung dunkel-indigblau. Setzt man statt Ammoniak vorsichtig Barythydratlösung zu, so sällt die schweslige Säure des überschüssigen doppelt-schwesligsauren Ammoniaks als schwesligsaurer Baryt nieder. So wie die überschüssige, schweslige Säure entsernt ist, wird die Flüssigkeit durch Aufnahme von Sauerstoss

blutroth. Es ist bis jetzt nicht gelungen, die Substanz, welche durch schwesligsaures Ammoniak aus Äsculetin erzeugt wird, von dem schwesligsauren Ammoniak zu trennen. Dagegen gelingt es, das Product der Oxydation dieses Körpers zu erhalten. Wird eine Lösung, die durch Ammoniakzusatz und Schütteln mit Luft blau geworden ist, mit Barvt- oder Blei-Salzen versetzt, so entsteht ein dunkelvioletter oder ein dunkel-indigblauer Niederschlag, je nachdem die Flüssigkeiten etwas angesäuert oder neutral sind. Wird das indigblaue Bleisalz mit Wasser angerührt und durch Schweselwasserstoffgas zersetzt, so entsteht eine schöne, grüne Lösung. die mit wenig Wasser vermischt die grüne Farbe verliert, fast farblos mit einem Stich ins Gelbliche wird. Durch Concentration kommt die grüne Farbe wieder zum Vorschein. Die grüne Flüssigkeit mehrere Tage an die Luft gestellt, wird prachtvoll blutroth. Der Rückstand, den die grüne Flüssigkeit lässt, ist dunkelschwarzgrün und löst sich wieder mit grüner Farbe; die roth gewordene Flüssigkeit lässt einen dunkeln, dem Carthamin ähnlichen Rückstand. Die rothe Substanz gibt mit Basen blaue Salze. Bei der trockenen Destillation entsteht ein orangegelber Farbestoff und viel eines weissen Ammoniaksalzes, das mit Salzsäure erwärmt, viel Schwefel abscheidet, während sich Salmiak bildet und schweflige Säure entweicht. Nebenbei ist ein Körper unter den Destillationsproducten enthalten, der durch Reagentien leicht in grüne und rothe Producte verwandelt wird. Wird die Lösung des Äsculetin in kochendem doppelt-schwefligsauren Ammoniak mit soviel Barytwasser vermischt, als nöthig ist um die freie schweflige Säure zu entfernen, vom schwesligsauren Baryt absiltrirt und das Filtrat auf dem Wasserbade erwärmt, so hat man eine dunkelrothe Flüssigkeit von dunkelkirschrother Farbe im durchfallenden Lichte, von prachtvoll blutrother Farbe im reflectirten Lichte. Mit sehr viel Wasser verdünnt, wird die Flüssigkeit schwachgelblich im durchfallenden Lichte, im auffallenden Lichte ist sie noch intensiv blutroth. Diese rothe Flüssigkeit wird, mit Kohlensäure gesättigt, dunkel, nimmt aber nach Austreiben der Kohlensäure ihre hellrothe Farbe wiederum an. Alle erwähnten Substanzen enthalten Kohlen, Wasserstoff, Sauerstoff, Stickstoff und Schwefel. Der Schwefelgehalt ist erst nach der Zerstörung der Substanz darin nachzuweisen. Kochen mit Salzsäure entwickelt weder Schwefelwasserstoff noch schweflige Säure. Auch ist der Stickstoff nicht als Ammoniak in diesen Verbindungen enthalten. - Ich habe geglaubt, diese Notiz der kaiserlichen Akademie vorläufig mittheilen zu müssen, damit ich nicht später gezwungen bin, an mir selbst zum Plagiator zu werden, da sich Herr Zwenger mit dem Äsculin beschäftigt, wie aus dem Aprilhefte der Annalen von Liebig und Wöhler ersichtlich ist. Ich werde in der Abhandlung über das Äsculetin auf die Arbeit des Herrn Zwenger zurückkommen und dort die Differenzen besprechen, welche sich zwischen seinen Elementar-Analysen und denen finden, welche Herr Dr. Schwarz in meinem Laboratorium ausgeführt hat. Die Formel des Äsculetins von Zwenger scheint mir höchst unwahrscheinlich; das Asculetin ist nach Zwenger eine siebenbasische Säure! Die direct bestimmten Mengen von Zucker und Äsculetin, die aus der Zersetzung des Äsculins resultiren, sind nicht mit der Formel des Äsculins von Zwenger in Einklang zu bringen. Der Kohlenstoff des, durch mehrere Tage bei 100° C. getrockenten Asculins ist ganz derselbe, welchen Herr Zwenger für das geschmolzene Äsculin aufstellt. Langes Troknen bei 100° C. hat daher denselben Erfolg wie das Schmelzen. Es handelt sich also um keine Differenz im Kohlegehalt, sondern um eine Differenz im Wasserstoffgehalt. Der Wasserstoff des von Schwarz verbrannten Äsculins ist gleich dem von Zwenger in dem nicht geschmolzenen Äsculin gefundenen. Für das Asculetin wurden beiderseits dieselben Zahlen gefunden, ebenso für dessen Bleiverbindung. Nach den Formeln von Zwenger wäre das Zerfallen des Äsculins in Zucker und Äsculetin nicht verbunden mit einer Aufnahme von Wasser, wie dies beinahe immer bei derlei Zersetzungen der Fall ist. Das Äsculetin löst sich in concentrirter Schwefelsäure und wird durch Wasser grösstentheils unverändert ausgefällt. Es scheint mir ganz unwahrscheinlich, dass ein Körper von solcher Beständigkeit eine so hohe Zusammensetzung, wie sie Zwenger durch die Formel C64 H23 O28 + 5 Aq. ausdrückt, besitzen

Vegetations-Verhültnisse in Österreich im Jahre 1853. Zusammengestellt von dem c. M. Karl Fritsch.

und Sträuchern.
Baumen v
bei einiger
Belaubung
der
Eintrittes
des
Monat
pun 3
Tag
- :

	Admont	Alt- Aussee	Alt- Gradiska	Boden- bach	Deutsch- brod	Deutsch- Hermans- brod stadt	Holitseb	Kroms- münster	Kron- stadt	Laipa	Leut-
Aesculus Hippocastanum	3—8	I	1	9	9-2	29 4	4-5		1	30	3-6
Alnus glutinosa	1	ı		ı	ı	2-2	20 - 22	13-4	1	12-8	% %
Amygdalus communis	I	1	i	1	ı	ı	١	1	1	!	I
persica	12-5	I	1	1	i	ļ	30-4	7-5	ı	ı	١
Berberis vulgaris	12-2	I	1	ı	ı	1	1	2-5	I	1-5	
Betula alba	10-5	1	ı	4-5	١	30_4	١	1	١	10-5	Ī
Carpinus Betulus	29—4	١	1	30	١	23—4	ł	29—4	1	9-2	ı
Castanea vesca	ı	1	1	ı	1	١	١	9-5	١	ì	ļ
Cornus mascula	10-5	I	1	ı	1	١	1-5	ı	1	l	١
Corylus Avellana	10-8	1	1	1	l	1	2-5	25-4	1	2-5	ı
Cytisus Laburnum	1-6	1	I		l	١	20	4-5	1	1	١
Daphne Mezereum	14-5	ı	1	I	I	١	28 4	I	l	ı	1
Fagus silvatica	10-5	12-5	ı	10-5	ı	ı	ı	7-5	I	14-5	1
Ficus Carica	1	ı	ı	١	ì	1	}	22-5	l	ı	ı
Fraxinus excelsior	8 - 2	l	l	l]	200	9-8	1	20-B	1
Hedera Helix	1	i	ı	ļ	1	1	1	1	l	18 18	ı
Juglans regia	1	ı	1	1	i	I	7-15	12-5	1	18—8	18-5
Morus alba	1	1	i	1	I	13—8	9-8	12-8	i	21-8	I
Olea europæa	1	1	1	ļ	İ	1	I	l	1	1	1
Philadelphus coronarius	١	1	1	1	i	1	1-8	İ	ı	1	ı
Pinus Larynx	28 -4	28 -4 12B	1	28_4	1	-		, ya	1	•	

Populus pyramidalis	:			-	-	,	:	27-4	-	1	1	!
Prunus svium	:	2 2	:	ı	ı	20-2	ļ	4	2	18-4	10 - B	9-8
iomestica		2 6	-	1	i	I	ı	¥	ļ	١	42-K	١
epinosa	:	1 2							2		: :	:
communis	:	8	Ì	25-4	1	ļ	20 - 4	9	27-4	ı	15-3	1
Mahna	•	2	1	1	ı	١	ı	9	1	1	136	8 - 8
Onerone nedmonlate	•	10	Į	ı	Ş	1	1-12	2	12-8	l	20-12	ı
Ribes Grossularia		28 4	i	1	١	30-4			8-4	l	12-4	25-4
Robinia Pseudoacacia	•	3	١	1	1	30-5	10-8	-	13-5	1	200	25-5
Rosa canina	•	8-8	1	1	1	1	ı	1-5	30-4	29-4	3 	l
centifolia	•	1	ı	j	ı	17-5	ı	3-8		15-4	I	8-8
Rubus Idæus	•	1	1	ı	10-8		١	30-4	30-4	15-4	ı	27-4
Salix babylonica	•	ı	1	1	1	1	l	7-5	20 20	1	8-12	i
Sambucus nigra	•	1-6	١	1	1	١	#	8	17-4	15-4	1	25-4
Sorbus aucuparia	•	*? &	١	1	10-5	ı	1	ı	30-4	ı	30	7-5
Syringa vulgaris	•	10-8	ł	l	١	1	8-4	8-4	18-4	29-4	1-5	26-4
Tilia grandifolia	•	12_E	ı	1	* 67	i	1-5	9-8	!	1	12-5	ļ
" parvifolia	•	ı	1	1	7.6	I	١	10-5	4-5	I	1	15-5
Ulmus campestris	:	ı	Ì	ı	ı	I	1	3 - 5	i	١	10-5	I
Viburnum Opulus	•	18 - 5	1	ı	ı	l	١	I	1-5	29-4	29-4	i
Vitis vinifera	•	18-8	1	26-4	1	1	7-5	10-5	•	I	15-5	15-5

in Alt-Gradiska Herr Artillerie-Lieutenant Gold, in Bodenbach Herr Forstmeister Seidl, in Deutschbrod Herr Prof. Sychrawa, in Hermannstadt Herr Prof. Reisenberger, in Holitsch Herr Dr. Krzisch, in Kremsmünster Herr P. A. Reslbuber, Director der Sternwarte, in Kronstadt Herr Prof. Lurtz, in Laipa Herr Dr. Watzel, in Leutschau Herr Prof. Hlavaczek, in Linz Herr Prof. Die Theilnehmer an den Beobachtungen waren: in Admont Herr P. Ferdinand Glaser, in Alt-Aussee Herr v. Roithberg, Dr. Columbus, in Oderberg Herr Telegraphist Wagner, in Prag Fraulein W. Fritsch, in Saybusch Herr Dr. Kržiž, in Senftenberg Herr Observator Brorsen, in Stanislau Herr Dr. Rohrer, in Strakonitz Herr Dr. Stropnicki, in Udine Herr Telegraphist Humpel, in Wallendorf bei Bistritz in Siebenbürgen Herr Prof. Herzog, in Wien Adjunct Fritsch, in Zawalje Herr Dr. Soucha.

Tag und Monat des Eintrittes der Belaubung bei einigen Bäumen und Sträuchern.

				,	,						
	Lins	Oderberg	Prag	Saybusch	Senften- Stanislau berg	Stanislau	Strake- nits	Udine	Walles- dorf	Wien	Lavalje
Aesculus Hippocastanum	I	7-2	25-4	22 4	125	30	Ĵ	ı	29-4	25-4	1
Alnus glutinosa	l	2—5	ı	12-5	8 - 5	ı	4-00	1	l	4 ─8	١
Amygdalus communis	I	1	1	1	1	I	1	١	1	Ţ	1
" persica	I	1	18-5	i	1	İ	1	8-4	1	1	1
Berberia vulgaria	ı	١	30	17-5	12-2	4-5	8 - 5	* 8	١	23	1
Betula alba	1	9—5	3-15	10-5	12-5	3-5	6-5	1	25-4	23_4	I
Carpinus Betulus	1	i	1	12-5	12-5	10-2	1	1	27-4	21-4	١
Castanea vesca	I	1	ı	i	1	l	t		I	I	1
Cornus mascula	l	١	3-5	12-5	20-2	1	1	1	1	28-4	I
Corylus Avellana	1	1	25 4	ı	30 10	1	10-2	ı	1	22-4	28-4
Cytisus Laburnum	1	1	1-5	i		1	Ī	2-2	1	14-4	I
Daphne Mezereum	ı	I	17-4	ı	% - 2	I	ı	1	l	10-4	1
Fagus silvatica	1-5	ł	39	12-5	11-5	4-5	1	l	1	27-4	26-4
Ficus Carica	i	I	ı	1	1	1	i	9	ı	3-5	1
Frazinus excelsior	1	1	14-5	28-5	28-5	14-5	ı	1	I	8-8	l
Hedera Helix	1	I	3-5	ı	1	1	İ	21-4	ı	١	١
Juglans regia	14-5	1	18-5	I	ı	1	1	ŀ	1	70	70
Morus alba	11-6	ı	1-6	1	ı	١	ſ	20-3	I	30 80	l
Olea europæa	l	I	1	ı	I	I	1	ı	ı	ı	1
Philadelphus coronarius	1	ı	25-4	17—8	10-6	I	ı	ı	ı	7-4	i
Pinus Laryax	1	11-5	25-4	10-6	11-5	24-4	9-8	ı	1	7-8	1
" silvestris	1	1	I	1	i	١	١	ı	i	23	ļ
Platanus occidentalis	8-1	ı	188	:	23—E	ı	ı	30 1	1	2-2	۱ :
Populue persuidalia		13_K	10K	43 K	34 46	7	1			- •	

	29-4		 2	1 5 10-8 22 8	25 - 5 25 - 5	٠ ١	12 - 5 18 - 8	13 - 8 - 4	- 1	-08 4-08	₹-08
	1	1	38	19 -8	17 . 8	4-18	12-5	12-5 12-4	I	1	29 -4
Querous pedunculata		ı	10-8	i	28 - B	1	28 - 8	I	1	1-8	4-K
Ribes Grossularia	10-4	1	1-1	1-4 22-4	26-4	\$-0%	28-4	i	i	1-1	ı
Robinia Pseudoacacia	12 5	ı	16-5	16-5 29-5	29—8	l	27-12	1	7-8	8-8	ı
Rosa canina	1	I	17-4	1	i	ı	\$ \$	I	1	8-4	١
centifolia	7 82	ı	7-4	ı	19—8	I	12-5	1	20-4	23-4	22-4
Rubus Idæus	ı	3-5	3-5	ı	ı	30-4	ı	1	1	1-1	2-2
Salix babylonica	1	ļ	1-5	ı	1	1	I	ı	ı	4-6	ı
Sambucus nigra	17-4	1	12-4	12-4 11-5 2-5	2-2	ı	1-5	i	1	ı	l
Sorbus aucuparia	ł	١	25-4	25-4 17-5 12-5	12—5	1-8 11-8	11-8	1	1	28—4	ł
Syringa vulgaris	17.4	30-4	1-4	1-4 23-4 5-5	50 -	1	80	I	20-4	10-4	7 0- 7
Tilia grandifolia	l	ı	i	- 13-5 18-5 240 2 20 2	18 - 5	3	3	24-4	1 08	10	I
" parvifolia	23_4	1	16-5	13_5	27-5	- Ot (9 2	1	l	6-5	l
Ulmus campestris	l	ı	16-5	ı	25-5	1	ı	22_4	ı	8 - 5	i
Viburnum Opulus	ì	ı	25-4	1	12-5	1	1	10-4	İ	12-4	1
Vitis vinifera	80	ı	16-5		1	15-5	ı	ا ا ا	ı	8	8-5 13-5

14 - 5 == 14 Mai u. s. w. Es sind bei dieser Zusammenstellung nur jene Pflanzen berücksichtiget, welche in der Instruction, die im April 1853 an sümmtliche meteorologische Stationen vertheilt worden ist, enthalten sind. Für die Fruchtreife und Entlaubung waren dje eingesendeten Daten noch zu unvollständig, als dass sie zu einer allgemeinen Zusammenstellung hatten dienen konnen. Eine Von den durch eine Pause getrennten Zahlen bedeutet die erste den Tag, die zweite den Monat. Es ist z. B. 26 — 4 = 26 April, vollständige Zusammenstellung sämmtlicher Vegetations-Beobachtungen, also auch solcher, welche Pflanzen und Phasen der Entwickelung betreffen, die nicht in die Instruction aufgenommen worden sind, wird ein besonderer "Anhang" zu den "Meteorologischen Jahrbüchern" enthalten.

Tag und Monat des Eintrittes der Belaubung bei einigen Bäumen und Sträuchern.

					,						
	Lins	Oderberg	Prag	Saybusch	Senften-	Stanislau	Strako- nits	Udine	Walles- dorf	Wien	Lavalje
		;			3				, 00		
Aesculus Hippocastanum	ŀ	7	122	7 22	12-2	2-2		t	87	100	I
Alnus glutinosa	ı	2-2	ı	12-5	95	I	4-5	1	1	*	I
Amygdalus communis	1	ı	1	1	I	ı	i	i	١	1	1
" persica	i	}	18-5	1	l	i	1	8-4	1	ı	I
Berberis vulgaris	i	ı	3	17-5	12-5	4-5	8	8-4	l	23 4	I
Betula alba	1	9-5	30	10-5	12-5	3—5	8-5	ł	25-4	23	ı
Carpinus Betulus	ı	1	ı	12-5	12-5	10-2	1	ı	27-4	21-4	1
Castanea vesca	1	ı	ı	ı	I	1	1	1	ł	i	ı
Cornus mascula	ı	l	3-5	12-5	20-5	1	١	1	I	28-4	İ
Corylus Avellana	١	I	25-4	l	تن ا تن	1	10-5	١	l	22_4	28-4
Cytisus Laburnum	ı	I	1-12	I	I	I	ı	2-5	1	14-4	I
Daphne Mezereum	1	1	17-4	1	8 	1	i	1	1	10-4	
Fagus silvatica	1-5	١	3-55	12-5	11-5	4-5	I	I	l	27_4	26-4
Ficus Carica	1	J	1	1	1	1	i	6	ı	3-5	1
Fraxinus excelsior	1	ı	14-5	28-5	26-5	14-5	ı	1	I	6-5	١
Hedera Helix	i	1	3 -	ı	1	1	ı	21-4	1	i	١
Juglans regia	14-5	١	18-5	I	ı	i	1	1	1	7	70 70
Morus alba	11-5	ı	1-6	ı	1	1	1	20-3	1	3 - 8	I
Olea europæa	ı	1	1	ı	1	1	1	ı	I	1	I
Philadelphus coronarius	I	١	25-4	17-5	10-5	1	i	ı	I	7-4	l
Pinus Laryax	1	11-6	25-4	10-5	11-5	24-4	9-2	1	l	8-4	1
" silvestris	1	ı	ı	I	I	ı	١	ı	ı	25-5	1
Platanus occidentalis	8 — 5	I	18-5	I	23—b	1	1	3-5	١	2-2	I
Populus pyramidalis	1	13—5	19-2	13-5	24-5	12-5	21-2	1	ı	19-	l
Prunus avium	35	125	1,	138	14-6	1	1	1		4 105	

	1 1 1 1 1	: מנפג פגנב	1
30 - 6	1		
	29 - 4		
2	1 1 1		* ************************************
	111		
1:1111	111	111181111	23 6 6 6 6 7 1 1 1 1 1 1 1 1 1 1 1 1 1 1 1
.	1 1 1	4	
1:1111			28.28 1 1 1 1 1 1 1 1 1 1
. 6	1	8 5 5 4 5 5 1 1 1 1 1 1 1	00000000000000000000000000000000000000
	•	• • • • • •	
nariue	•		lata
ber alba . suropea . a officinalie leiphue coror Larynx . alvestrie . alvestrie .	yramus	domestica spinosa . communis Malus	ium . mestica . inosa . nemunis . nemunis . neduncul lus . seudaria seudoaca na ifolia eus
Nupher luteum Nympher alba Olea europea Peonia officinalis Philadelphue coronarius Pinus Larynx alvestris alvestris Platanus occidentalis Pormius nymemidalis	ropulus pyrau Dennus azium	dor ppi rus com Mal	A domestica

Tag und Monat des Beginnens der Blüthe bei mehreren ausdauernden Pflanzen.

	Lins	Oderberg	Prag	Saibusch Schösel		Seaften- berg	Seaften- Stanislau berg	Strako- nitz	Wallen- dorf	Wien	Zawalje
Aesculus Hippocastanum	17-5	26-5	22—5	29—5	ı	I	24 - 5	28—5	21-5	12—5	1
Alnus glutinosa	ŀ	ı	1	1	1	ŀ	1	١	1	14-3	1
Amygdalus communis	١	1	١	ï	1		1	I	1	7 2	ı
persica	1	I	ı	ŀ	1	17-5	ı	ı	İ	1	l
	31-5	ı	26-5	1	l	4	29 - 2	8 7	1	21-5	1
Betula alba		1	30	1	١	13-5	١	1	30 - 4	1-5	1
Calluna vulgaris	1	ŀ	1	15-8	ı	l	1	Ì	1	1	I
Carpinus Betulus	1	١	1	ı	ı	ı	1	1	29-4	30-4	1
Castanea vesca	1	1	i	1	1	1	ı	1	1	i	1
Colchicum autumnale	ł	l	1	i	1	24-8	١	ı	1	8 9	ı
	22—2	1	1	í	i	١	1	i	ţ	15-5	1
Cornus mascula	7 0	I	17.	i	ı	١	1	1	1	7	1
Corylus Aveilana	1	١	18 3	1	1	11-4	1	1	1	1-3	1
Cytisus Laburnum	25-5	ı	29_6	i	I	7-6	1	1	1	18-5	ı
Daphne Mezereum	l	ı	١	ı	1	11-4	4	١	1	ı	1
Digitalis purpurea	1	1	19—6	İ	1	24-6	18-8	İ	١	9-6	1
Fagus silvatica	ı	1	١	١	1	1	I	l	1	89 —	I
Ficus Carica	1	1	i	١	١	l	ì	1	i	I	1
Fragaria vesca	I	28—82	24—5	28 - 5	29-2	21-5	22-5	9	İ	14-8	29 68
Frazinus excelsior	1	l	j	i	ı	1	1	1	}	27-4	1
Fritillaria imperialis	l	1	1-12	1	I	1	1	ı	ı	7 −92	I
Galanthus nivalis	1	7-02	1-4	١	ı	1	1	i	1	11-2	1
Hedera Helix	ı	1	I	1	ı	1	ì	ſ	ı	1	1
Hemerocallie fulva	ı	ı	9-7	1	ı	١	I	I	1	1-7	I
Hepatica triloba	94	ı	1	1	1	I	12-4	1	1	12-3	1
Humulus Lupulus	24- 67	1	!	;	ı	{	ı	1	1	36	ŀ

	111	111]	111	1	١ٵ	12 12 13 14 15 15 15 15 15 15 15
2 - 2 - 2 - 2 - 2 - 2 - 2 - 2 - 2 - 2 -	7 2 2 2 2 2 2 2 2 2 2 2 2 2 2 2 2 2 2 2	1 1 2 3 3 3 3 3 3 3 3 3 3 3 3 3 3 3 3 3	8 - 8 2 - 8 3 - 5 3 - 5	\$ 5 7 9 9	18 -6 27 -8	20 - 10 mg	19 - 5 18 - 6 18 - 6 2 - 7 2 - 7 2 - 7 13 - 4 13 - 4
11111	! !]	[]]	7	9	1 9 7	1 1 1]
1111 1 1 1		21 - 12 - 17 - 17 - 18 - 17 - 18	25 - 25 23 - 35 - 35 - 35				8 - 6 - 7 - 9 - 9 - 9 - 9 - 9 - 9 - 9 - 9 - 9
	1 1 1	100 101 101 101	1 0 2 2	10-6	20_6	14-6	
		17 - 8 - 82 - 8	8 8 5 8 1 1 1 8 1	🖁	10 - 6 30 - 6 13 - 6	1 1 💆	
	111	1 1	22 - 22	111	111	18 6	9 1 1 1 1
1:1111	111	20 1 10 1 10 10 10 10 10	27 - 5 27 - 5 27 - 5	1 1 1	9-08	111	29 - 7 - 7 - 7 - 7 - 7 - 7 - 7 - 7 - 7 -
3 3 6 4 3 1 9 1 4 3 1 9 1 4	7-11	֓֞֞֓֓֓֓֓֓֓֓֓֓֓֓֓֓֓֓֓֓֓֓֓֓֓֓֓֓֓֓֓֓֓֓֓֓	1 9 9 9 9 9 9 9 9 9 9 9 9 9 9 9 9 9 9 9	200	2 1 0 2 1 0 8 1 0 8 1 0	5 5 5 5 5 5 5 5 5 5 5 5 5 5 5 5 5 5 5	2 2 3 4 5 4 5 6 7
	111	1 1 2 1	22 - 22 - 23 - 23 - 23 - 23 - 23 - 23 -	١١٩	111	111	27_8 10_7
	1 1 1	111	10 15 5 10 5) i i	9 1 1	1 0	
						• • •	
					• • •		• • • • • • •
• • • • • •		• • •	• • •	• • •	• • •		• • • • • • •
• • • • •	• • •	• • •					
				• • _			
_ · · · · <u>F</u>	• • • =	<u>.e</u>					
	4	. 의		. E S	• • •	e .e	
in a si	. is big	pyramid avium . domestica	spinosa communi Malus .	클물		nal igr	gar foli lia yest fa
Page 1	Larynx . silvestria nus occide	Min M	commic Malus		canina centifolia is Idæus	oyk Bei	bus aucupa inga vulgar a grandifolia paryifolia ius campes urnum Opu urnum Opu
o de de	۾ ۾ ڇا ڇ		5 g	5	cen cen		ga a gra gra s ca nun odd
Nareiseus peëticus Nupher lutcum Nymphes sibs Oles curopæs Peonis officinalis Philadelphus coronariu	Pinus Larynx silvostris Platanus occidentalis	Populus pyramidalis Prunus avium domestica .	" spinosa Pyrus communis " Malus .	Ribes Grossularia . Robinia Pseudoacacia	Rosa canina ,, centifol Rubus Idæus	Salix babylonica Salvia officinalia Sambucus nigra	Sorpus auculgaris Syringa vulgaris Tilia graedifolia " parvifolia Viburnum Opulue Viola odorata.
N N N N N N N N N N N N N N N N N N N	품 , 돌	<u>8</u> F ,	<u> </u>	& E.	2 °2	5 5 5	S & II "II II II II II II II II II II II II

Die fossilen Land- und Süsswasser-Mollusken des Beckens von Rein in Steiermark.

Von Jes. Gebans.

(Mit I Tafel.)

Das tertiäre Becken von Rein hat schon früher die Aufmerksamkeit der mit der Untersuchung der Steiermark beschäftigten Geologen
auf sich gezogen. Unger gibt die erste Nachricht darüber in seiner
geognostischen Skizze der Umgebung von Graz 1). Dieselbe hat
v. Morlot in der geologischen Bearbeitung der VIII. Section der
General-Quartiermeister-Stabs-Karte von Steiermark (Erläuterungen
dazu, Seite 36) benützt, ohne auf die geologischen Details dieses
nur zum Theil im Bereich der Karte liegenden Beckens weiter einzugehen. Die von Unger aufgeführten Versteinerungen veranlassten
ihn, die hervorragendsten Schichten dieser Localität, einen an Thierresten überaus reichen Süsswasserkalk, mit der obern Süsswasserformation des Pariser Beckens in eine beiläufige Parallele zu bringen.

Dr. C. Peters hat zu Anfange des Jahres 1852 das Thal von Rein und dessen Umgebung näher untersucht und in der Sitzung der k. k. geologischen Reichsanstalt am 29. April 1853 2) eine kurze Notiz darüber veröffentlicht, in welcher sämmtliche Schiehten dieses ringsum abgeschlossenen Tertiärgebildes als eine Süsswasserablagerung dargestellt und zufolge einer nur flüchtigen Bestimmung der Petrefacten mit den böhmischen und würtembergischen Miocenablagerungen parallelisirt wurden. Ihm verdanke ich die nachstehende geologische Beschreibung und die Mittheilung des gesammten Materials, welches Gegenstand meiner paläontologischen Untersuchung war.

"Je mehr die Kenntniss der geologischen und paläontologischen Verhältnisse der miocenen Meeresablagerungen, welche einen so grossen Theil des südlichen und südöstlichen Mittel-Europas einnehmen, fortschreitet, um so interessanter werden die einzelnen mehr oder weniger tief im Innern der Gebirge verborgenen Gebilde gleichzeitiger oder nahezu gleichzeitiger Entstehung. Die durch die

¹⁾ Graz, ein topographisches Gemälde etc. von Schreiner, Graz 1843

³⁾ Jahrbuch der k. k. geolog. Reichsanstalt, 4. Jahrgang, 3. Heft, Seite 453.

k. k. geologische Reichsanstalt vollendete Untersuchung der nordöstlichen und östlichen Alpen hat die Verbreitung der jüngsten Formationen derselben in ein nicht minder klares Licht gestellt, als die der älteren Gebilde. Wenn nichts destoweniger über die Entstehung jener noch mancherlei Meinungsverschiedenheit herrscht, so liegt der Grund einzig im Mangel an Versteinerungen, der die Geologen über Zeit und Art der Ablagerung, nicht allein der in Thälern und auf Höhen liegenden Schotter und Conglomeratmassen, sondern auch vieler zerstreut vorkommender Mergel und Sandsteingebilde in Zweifel erhält. Was insbesondere die im Murgebiet befindlichen neutertiären Ablagerungen anbelangt, so haben schon in früher Zeit ausgezeichnete Naturforscher, namentlich Unger, durch seine phytopaläontologischen Untersuchungen zur Lösung jener Fragen sehr wesentliche Beiträge geliefert. Die Schichten von Parschlug, von Leoben und Bruck werden auf Grundlage derselben als Süsswasserbildungen angesprochen, wie dies ihr ganzes Auftreten voraussetzen liess.

Die in den letzten Jahren angestellten Detailaufnahmen haben im Innern der Alpen keine Spur eines der neutertiären Zeit angehörigen Meeresbewohners, dagegen hart am Rande der grossen Meeresbuchten mehrere einzelne Süsswasserbildungen nachgewiesen, wie denn die am genauesten gekannte dieser Buchten, das niederösterreichische mährische Becken, nicht einen mehrfachen Wechsel von marinen und lymnischen Schichten, sondern letztere, eigentlich brackische Bildungen, nur als jüngste, stellenweise an den Beckenrändern, zumeist aber im Innern der Seitenbuchten entwickelte Ablagerung enthält. Bei alldem hat die geistreich entworfene Ansicht v. Morlot's über den Stand des Miocenmeeres im Bereiche der östlichen Alpen, obgleich manche ihrer Stützen, doch nicht allen Einfluss auf die Deutung der jüngsten Formationen unserer Alpen verloren.

Wo es sich um die Entscheidung zwischen Meeres- (Fiords-) und Süsswasserbildung handelt, haben Molluskenreste einen überaus grossen Werth, um so mehr, wenn sie geeignet sind, die Schichten, denen sie angehören, mit weiter entlegenen und vollständiger gekannten in eine Parallele zu bringen. Dies gilt in sehr befriedigender Weise von den hier beschriebenen Gasteropoden der Süsswasserschichten von Rein, welche in neuester Zeit ein noch höheres Interesse erlangten durch die Entdeckung eines völlig analogen Gebildes bei Strassgang, südwestlich von Graz, an einer Stelle, wo dergleichen kaum

vermuthet wurde und durch eine Beobachtung des Herrn Dr. Rolle, welcher etwas Ähnliches im Kessel von Thal unweit Graz auffand.

Die bisher bekannte urweltliche Fauna von Voitsberg, Eibiswald, Wies, welche zumeist aus Wirbelthieren besteht, z. B. Crocodilus, Trionyx, Chelydra, der Landbewohner nicht zu gedenken, von welchen kein einziges auf eine marine Bildung hindeutet, ferner der Umstand, dass der Leithakalk, der, wenn nicht an der Küste selbst, doch nur auf einem der Küste nahen Riff abgesetzt sein kann, erst bei Wildon und Leibnitz, und da in schönster Entwickelung beginnt, lassen uns vermuthen, dass das Miocenmeer an der umfänglichen nordwestlichen Partie des Tertiär-Terrains von Mittel-Steiermark entweder gar keinen Antheil hatte, oder sich so frühe davon zurückzog, dass die etwa vorhandenen Meeresabsätze im Liegenden der mächtigen, braunkohlenreichen Süsswassermergel gegen die Masse derselben verschwinden. Eine nach vollendeter Bildung dieser Schichten erfolgte Meeresüberfluthung haben wir nicht Grund vorauszusetzen. Alle diese Verhältnisse werden durch die im Sommer des laufenden Jahres vorzunehmenden Aufnahmsarbeiten des geologisch - montanistischen Vereines für Steiermark gründlich erörtert werden.

Der Süsswasserkalk und Mergel von Rein, Thal und Strassgang sind jedenfalls eine von den Voitsberg-Eibiswalder Schichten getrennte Bildung, und tragen aufs entschiedenste den Charakter einer wenig umfangreichen Beckenablagerung, während die Thierreste der letzteren von der Existenz eines ausgebreiteten Gewässersystems Zeugniss geben. Ich kenne sie nur bei Rein und Strassgang durch meine eigene Beobachtung und dieser zufolge vermag ich nicht mit Bestimmtheit zu entscheiden, ob die bisher bekannten drei Punkte ursprünglich zu einem Becken vereinigt oder als eben so viele kleine Becken getrennt waren. Die Schichten von Strassgang, welche in einer gegen die Grazer Ebene weit sich öffnenden Thalmulde liegen, mögen unter den mächtigen Schottermassen des Murthales sich fortsetzen, doch ist östlich von der Mur nichts Ähnliches aufgefunden worden. Im Hinblick aber auf das tertiäre Hügelland im Osten, welches als Meeresbildung nicht zu verkennen ist, und eine nicht unbeträchtliche Höhe erreicht, findet man sich genöthigt, sehr spät erfolgte Niveauveränderungen anzunehmen, durch welche die selbstständigen Süsswassergebilde im Verhältnisse zu den Meeresablagerungen tiefer

gelegt wurden. — Einzelsenkungen können zur Zersplitterung jener wesentlich beigetragen haben, doch ist es mir — für die von Rein wenigstens — sehr wahrscheinlich, dass sie von jeher so isolirt waren, wie wir sie jetzt finden.

Das Becken von Rein besteht eigentlich aus zwei kleinen Thälern, welche durch enge Schluchten in das kurze Seitenthal von Gratwein und mittelst desselben ins Murthal münden. Es liegt ganz und gar im devonischen (?) Übergangskalk, der Höhen bis zu 3000' Meereshöhe bildend, in seiner petrographischen Beschaffenheit häufig wechselt. Die Lagerung seiner Schichten ist schwer in ein System zu bringen, ich will hier nur erwähnen, dass dieselben nirgends steil aufgebrochen vom Mittelpu kte des Beckens abfallen, vielmehr gegen denselben geneigt sind. Zwischen den Ausgängen beider Abtheilungen desselben steht der Kalk als ein isolirter Berg da, welcher ins Innere des Beckens vorspringt und so der Träger eines allmählich gegen West sich senkenden Rückens wird, der das in die Länge gezogene Reiner Thal von der südlichen Abtheilung des Beckens, einer elliptischen Mulde, scheidet. Dieser Rücken aber besteht zum grössten Theil aus den tertiären Schichten und die beiderseitigen Vertiefungen sind wahre Auswaschungsthäler. Während im Thale von Rein die oberen Schichten nur zum Theil entfernt sind, hat die Zerstörung in jener Mulde so tief eingegriffen, dass am südlichen Rande des Beckens die untersten Schichten frei zu Tage liegen. Diese Art von Thalbildung macht, dass die Schichten zum Theil der gegenwärtigen Oberflächengestaltung widersinnig gelagert sind. So fallen sie in der untern Hälfte des Reiner Thales von dem Rücken oder vielmehr von dem Vorsprung des Grundgebirges, an den er sich lehnt, unter einem Winkel von 10-15° ab, während sie in der obern Hälfte beider Abtheilungen gegen die Axe des Rückens unter einem Winkel von 6-11º einschiessen. Der tiefste Punkt des ganzen Beckens liegt somit ziemlich in dessen Mittellinie, jedoch excentrisch. Es bestehen hier drei Bergbaue auf Braunkohlen und ein alter Schurf auf Zinnober, welcher in den Übergangskalk des Scheiderückens sparsam eingesprengt vorkommt. Von den Kohlenbauen ist der bedeutendste hauptgewerkschaftlich, ein zweiter gehört dem Besitzer der Papierfabrik von Gratwein Herrn Zitz et Comp., der dritte (mindest betriebene) dem Hammergewerken, Hrn. Pachernegg in Feistritz.

2. Tag und Monat des Beginnens der Blüthe bei mehreren ausdauernden Pflanzen.

,	Admont	Alt- Gradiska	Boden- bach	Deutsch- Hermann- brod stadt	Hermann- stadt	Holitseh	Krems- münster	Kron- stadt	Laipa	Leut- schau	Lember
Aesculus Hippocastanum	14-5	-	16-5 30-5	30—5	10—5	20—5	24-5	ı	26-5	235	22
Alnus glutinosa	2-4	ı	I	ı	ı	3-4	13-3	1	8-4		1
Amygdalus communis	1	1	ı	ı	ı	1	l	ļ	1	l	-
" persica	30	ı	ı	İ	1	8-4	23-4	13—4	ı	١	4
Berberis vulgaris	12-5	١	ı	ı	i	1	28-5	1	31-5	I	. 1
Betula alba	10-5		30	1	1	1	4-5	I	22-4	1	
Calluna vulgaris	l	l	ı	١	-	30-7	ļ	Į	١	l	1
Carpinus Betulus	10-5	1	7-5	١	13-4	ı	9-2	1	1	1	١
Castanea vesca	1	1	ı	ı	1	1	9-7	ì	1	1	ı
Colchicum autumnale	1	ı	ı	i	ı	25-8	27-8	25-8	1	ı	
Convallaria majalis	ı	1	1	ı	ı	20-5	į	1	26-5	1	
Cornus mascula	16-4	Į	J	1	l	₹	1	١			1 6
Corylus Avellana	12-4	1	ı	1	1	15-3	13-3	1	23 3	١	[
Cytisus Laburnum	9	1	i	1	1	3-6	27-5	ı		!	
Daphne Mezereum	4-4	ı	١	2-4	ı	Ţ	12 - 3	ļ	١	4-4	2
Digitalis purpurea	20-6	ı	1	l	1	l	I	ı	19-6		
Fagus silvatica	12-5	1	20-2	ı	1	1	16-5	!	1	١	13
Ficus Carica	ı	ı	I	l	1	1	ı	I	ı	1	
Fragaria vesca	4-5	23-4	1	I	3—5	17-5	8-5	١	25-5	15 - 5	I
Fraxinus excelsior	12-8	ı	1	i	ĺ	17-5	12-5	I			1
Fritillaria imperialis	8-5	ı	i	14-67	1	25-4	1	1	١	ı	i
Galanthus nivalis	100	I	l	١	١	l	12 - 3	١	ŀ	1	I
Hedera Helix	ı	1	1	1	١	30-0	l	l	ŀ	ı	1
Hemerocallis fulva	1	1	ı	I	!	1	ı	1	ı	١	١
Hepatica triloba	20-3		1	7	ı	ı	10-3	I	1	ı	2-4
Humulus Lupulus	l	1	1	i	1	1	27-7	l	1	15-8	1
Jugians regia	ı	ı	ļ	1	1	1-6	17-5	1	I	3-6	ı
Lilium candidum	ı	1	1	1	1	1-7	10-7	i]	Ĭ

Der Süsswasserkalk ist durch seinen Reichthum an Versteinerungen die interessanteste aller Schichten. Er steht auf dem Scheiderücken (im hauptgewerkschaftlichen Schacht 6', im Zitzsch. Wasserschacht 30' mächtig) und am nördlichen Gehänge des Reiner Thales allenthalben an; am Westgehänge, oberhalb dem Kloster reicht er so hoch hinauf, dass die oben angegebene Mächtigkeit kaum das Maximum ausdrückt. Die herrschende Varietät ist ein durchaus ungeschichteter, dichter, gelblichgrauer Kieselkalk von muschligem Bruch, welcher nur in den Hohlräumen der Versteinerungen krystallisirten Kalkspath enthält und so fest er auch im frischen Zustande ist, an der Atmosphäre sehr bald zerfällt. Diese Eigenschaft, welche sich bis zur Schlemmbarkeit steigert, ermöglicht das Ausbringen wohl erhaltener Versteinerungen.

Der Kieselerdegehalt ist im Allgemeinen sehr bedeutend, doch unbeständig; der grössere Theil der Kieselerde bleibt schon nach der ersten Behandlung des Gesteines mit Salzsäure im gelatinösen Zustande zurück. Dieser Wechsel in der chemischen Zusammensetzung macht sich schon im äussern Ansehen bemerklich. Hie und da trifft man mehr kalkige, lichtgefärbte Partien von einer festen gelbbraunen, kieselreichen Masse, mitunter concentrisch umhüllt, ädrig durchzogen. Am reichsten an Versteinerungen fand ich den Kieselkalk in der Nähe des Zitzschen Bergbaues und das beim Schachtabteufen geförderte Gestein hat den bei weitem grössten Theil meiner Ausbeute geliefert. Am pordlichen Gehänge des Reiner Thales wird der Kieselkalk durch Aufnahme von Trümmern des Grundgebirges zu einer Breccie, die auf den ersten Aublick fremdartig aussieht, bei vorherrschendem Bindemittel aber sich durch ihren Gehalt an Versteinerungen leicht verräth. — Eine besondere Varietät steht am Südabhange des Rückens (unweitdem grösseren Teiche der Mulde) an. Das Gestein ist spröde, uneben, brüchig, klingend, leicht abfärbend, graulichweiss bis schneeweiss, und ausnahmsweise geschichtet. Es enthält keine mit freiem Auge wahrnehmbaren Versteinerungen. Man verwendet es gemahlen als Poliermittel und als Farbmaterial.

Die Schichten 2, 3 und 5, darf ich zusammenfassen. Sie bestehen in der Hauptmasse aus einem grauen, zum Theile aus einem festeren, kalkigen Mergel, der wenig und niemals gut erhaltene Schnecken, dagegen zahlreiche Pflanzentrümmer und einzelne Kohleuschnürchen enthält. — Im unmittelbar Hangenden der Flötze wird

der Mergel zu einem dünnblättrigen erdigen Schiefer, der voll von zerquetschten Schalentrümmern ist.

Die besonderen Einlagerungen in der 3. und 5. Schichte sind trotz ihrer geringen Mächtigkeit ein völlig constantes Gebilde und erleichtern so wesentlich die Orientirung in der Grube. Der blaugraue Tegel (in 3) enthält minder verdrückte Schneckenschalen, doch zerfallen sie so leicht, dass es schwer hält sie zu bewahren. Ich beklage den Verlust von zwei Exemplaren einer Helix-Art, welche von den im obern Kieselkalk vorkommenden verschieden und wahrscheinlich neu ist. Die auffallend grosse Cypris concinna Reuss ist dieser Schichte ausschliesslich eigen. Im hauptgewerkschaftlichen Bau wird der Tegel an einigen Stellen so mächtig, dass er die andern Mittel zwischen dem I. und II. Flötz völlig verdrängt. Der sogenannte "Seifenschiefer" (in 5) enthält undeutliche Pflanzenreste, aber gar nichts von Schalen.

Unter den tieferen Schichten verdient die 8., der verkieselte Mergel, näher betrachtet zuwerden. Der Verkieselungsprocess hat hier offenbar theils ein kalkreiches Gestein, theils dünne, bituminöse, sogar Kohle führende Mergelschiefer ergriffen. Nach aufwärts ist diese Schichte ziemlich scharf geschieden, nach abwärts verläuft sie allmählich und uneben in den Kalkmergel. In dem ersteren ist die Verkieselung sehr ungleichmässig und zeigen sich während der Infiltration von Kieselerde gebildete Hohlräume, welche mit Chalcedon und Quarzkrystallen überzogen sind. Während das Gestein zum grossen Theil in einen schwarzbraunen Hornstein umgewandelt ist, sind einzelne kalkige Partien von verschiedenem Umfange darin enthalten und in concentrischen Lagen von der Kieselmasse durchdrungen. Im Innern derselben tritt unter dem Einflusse der Atmosphäre und der Grubenwasser eine überraschend schnelle Auflösung ein, welche von der Bildung jener Hohlräume wohl zu unterscheiden ist. Die Erden werden fortgeführt und ein feines Kieselskelet bleibt zurück, welches sich durch Behandlung mit verdünnter Säure sehr schön darstellen lässt. Die Schalen des ziemlich häufig vorkommenden Planorbis pseudoammonius Voltz scheinen gar keine Kieselerde aufgenommen zu haben, selbst dann nicht, wenn sie mitten im Hornstein liegen.

Der Mergelschiefer ist sammt seinen Pflanzenresten und Kohlenschnüren verkieselt, auf Klüften gibt es darin besonders schönen Chalcedon von lavendelblauer Farbe. Derselbe ist in schr kleinen, doch hinreichend deutlichen stumpfen Rhomboedern krystallisirt, dergleichen von unsern Mineralogen für Pheudomorphosen gehalten wurden. In diesem Falle ist an eine Pseudomorphosenbildung kaum zu denken. Im Zitz'schen Bergbaue ist diese Schichte in grösserer Ausdehnung durchsunken worden, im hauptgewerkschaftlichen hat man sie in der Sohle behalten, wodurch viel an Arbeitskraft erspart wurde. Die Schichten 9 und 10, deren Mächtigkeit durch einen Bohrversuch erkannt wurde, enthalten meines Wissens weder Thier-noch Pflanzen-Überreste. Dies gilt mit Sicherheit von dem Sande, der in der südlichen Abtheilung des Beckens frei zu Tage liegt und im Pachernegg'schen Stollen angefahren wurde.

Die Flötze bestehen zum grössten Theile aus Ligniten. Grössere Stämme und Äste sind meist sehr stark zusammengedrückt und zerbrochen; ich konnte nur wenige, gut erhaltene Stücke herauslesen. Specifisch bestimmbare Pflanzentheile habe ich gar nicht gefunden, im oberen Mergel und dem verkieselten Mergelschiefer scheinen sie noch am besten erhalten zu sein. Unger nennt (l. c.) Culmites anomalus Brong. und Typhaelopium lacustre Unger. Die Flötze zeigen wenig Unregelmässigkeiten. Einzelne Verdrückungen, welche alle Flötze gleichmässig betreffen, und mit einer beträchtlichen Verschmälerung derselben verbunden sind, beobachtete ich in beiden Bergbauen des Reiner Thales.

Ich muss auch des Conglomerates gedenken, das v. Morlot (1. c.) bespricht. Westlich vom Kloster fand ich es bis zu sehr bedeutenden Höhen auf dem Übergangskalk anstehend, weiter unten unmittelbar vom Süsswasserkalk überlagert, der da einzelne Brocken desselben einschliesst. Dieses Conglomerat, von dem ich nur lebhaft rothgefärbte Varietäten kenne, die aus verschiedenen Kalken, Dolomit und rothbraunen Schiefern (buntem Sandsteine?) bestehen, und von Conglomeraten der oberen Kreide- (Gosau-)Formation schwer zu unterscheiden sind, scheint in dem Gebirge eine beträchtliche Verbreitung zu erlangen. Über Schichtung und Lagerung fand ich keinen Aufschluss; v. Morlot hat es bekanntlich als miocen betrachtet. Ob diese Annahme haltbar sei oder ob man nach den genauen Untersuchungen, die im verflossenen Jahre von Dr. Andrae angestellt wurden, und nun fortgesetzt werden sollen, Grund haben wird dergleichen isolirt auftretende, wahrscheinlich gehobene Conglomerate als der Kreide angehörig zu betrachten, bleibt vorläufig in Frage.

Soviel ist gewiss, dass es mit den miocenen Süsswasserschichten von Rein in keinem wesentlichen Zusammenhange steht."

Was die Fossilreste selbst betrifft, so hat sich bei ihrer Untersuchung herausgestellt, dass die Identificirung dieser Ablagerung mit einer der verschiedenen Süsswasserschichten des Pariserbeckens nicht durchzuführen ist; unter den bisher aufgefundenen Versteinerungen befindet sich keine einzige beiden Becken gemeinsame Form. In näherer Beziehung stehen die Süsswassergebilde des nördlichen Böhmens 1), mit denen von Reuss vortrefflich beschriebenen Fauna, das Becken von Rein folgende sechs Arten gemein hat: Helix stenospira Reuss, Helix plicatella Reuss, Succinea Pfeifferi Rossm., Planorbis pseudoammonius Voltz und Plan. applanatus Thom. Interessant ist dessen nahe Verwandtschaft mit den verschiedenen Süsswasserkalken Würtembergs, deren Einschüsse theilweise schon von Zieten 2), besonders aber von Klein 3) Krauss u. A. vortrefflich beschrieben und abgebildet worden sind. Die Hälfte der Petrefacten ist in den besagten Ablagerungen Würtembergs vertreten.

Die Zahl der deutlich erkennbaren Arten mit Einschluss der drei neuen Cypris, deren Bestimmung Prof. Reuss in Prag gütigst übernommen hatte, beläuft sich auf L; doch glaube ich, dass ihre Anzahl bei genauerer Aufsammlung bestimmt aufs Doppelte steigen würde, zu welcher Annahme mich die vielen unbestimmbaren Fragmente einigermassen berechtigen. Die Beschaffenheit des blaugrauen Tegels sowie des unter ihm liegenden Kohlenflötzes, der unzählige zerdrückte Schalentrümmer enthält, ist der Isolirung derselben so ungünstig, dass jeder derartige Versuch scheiterte. In diesem traf ich einen runden Ancylus, der grossen ausgewachsenen Exemplare des lebenden A, fluviatilis Müll. ähnlich war, sowie eine gekielte Helix von der Grösse der lebenden H. incarnata Müll. Unter den übrigen zahlreichen Schalenresten glaube ich ausser einem kleinen, hübschen Cyclostoma noch den Planorbis Kraussi, Klein, Limnaeus subovatus Hartmann und L. turritus Klein erkannt zu haben.

¹⁾ Die tertiären Süsswassergebilde des nördlichen Böhmens und ihre fossilen Thierreste von Prof. E. A. Reuss in "Palaeontographica" von Herm. v. Meyer und W. Dunker, II. Band, Cassel 1852.

²⁾ v. Zieten. Die Versteinerungen Würtembergs, Stuttgart 1830.

³⁾ Klein, Conchylien der Süsswasserkalkformationen Würtembergs. In den würtemberg naturwissensch. Jahresheften, Stuttgart 1846—1852.

Unter allen Formen ist der in Nordböhmen, Würtemberg und Nassau¹) häufig erscheinende *Planorbis pseudoammonius* Voltz und *Planorbis applanatus* Thom. die gemeinste. Die Gehäuse des erstern zeigen bisweilen eine dendritische Zeichnung, und die innersten Umgänge derselben sind meist, wie dies auch bei den würtembergischen Exemplaren der Fall ist, mit kleinen zierlichen Kalkspathkrystallen besetzt, die in den noch freien Raum der Windungen hineinragen.

CRÚSTACEA.

ENTOMOSTRACA Mull.

l. Cypris similis Reuss.

Fig. 1, a, b.

Testa parva, laevi, ovato-reniformi, parum convexa; margine superiore valde arcuato, inferiore subrecto, paucissime inflexo, utroque latere obtuso. Long. 0.735mm.

Im Umrisse sehr ähnlich der Cypris faba Desm. aber stets viel kleiner, nur halb so gross. Länglich nierenförmig, wenig gewölbt, am stärksten ist die Wölbung ein wenig hinter der Mitte der Länge und dacht sich gegen beide Enden allmählich ab. Der obere Rand ist stark bogenförmig, der untere fast gerade, sehr wenig eingebogen. Beide Enden sind stumpf, das vordere wenig breiter, das hintere, besonders an manchen Exemplaren etwas winklig. Die Oberffäche der dünnen Schalen ist glatt.

Häufig im obersten Süsswasserkalk.

2. Cypris elengata Reuss.

Fig. 2, a, b.

Sehr klein und schmal, wenig gewölbt, sanft gegen beide Enden abfallend. Oberer Rand gewölbt, unterer fast gerade, sehr wenig eingebogen. Vorderes Ende ein wenig breiter, das hintere undeutlich

Thomae, fossile Conchylien aus den Tertiärschichten bei Hochheim und Wiesbaden. In den Jahrbüchern des Vereines für Naturkunde im Herzogthume Nassau,
 Heft, Wiesbaden 1845.

schräg abgestutzt und dadurch etwas winklig. — Der vorigen Art in der Form sehr verwandt, aber durch die geringere Breite verschieden. Häufig im obersten Süsswasserkalk.

3. Cypris concinna Reuss.

Fig. 3, a, b.

Testa majuscula, ovali, laevi; margine superiore arcuato, inferiore subrecto; in medio longitudinis convexa; utroque latere aequaliter lato, postico parum angustato, valde compresso. Long. 1:1 lat. 0:48mm.

Grösser als die vorigen beiden Arten, breit, im Umrisse der lebenden C. pilosa Müll. ähnlich, oval; am oberen Rande bogenförmig, am unteren beinahe gerade. Mässig gewölbt, die stärkste Wölbung fast in der Mitte der Länge, von da sich nach allen Seiten gleichförmig abdachend. Beide Enden fast gleich breit, das hintere nur wenig verschmälert, die Schale selbst stark zusammengedrückt einen schmalen dünnen Saum bildend. Schalenoberfläche glatt.

Selten im blauen Tegel (Schichte Nr. 3).

M A L A C O Z O A. GASTROPODA.

4. Succines Pfeifferi Rossm.

Rossmässler, Iconograph. 1. Hft., S. 92, Taf. II, Fig. 16. Reuss (l. c.) S. 18, Taf. 1, Fig. 2.

Testa ovato-elongota, infra late rotundata, striata; spira brevi, acuminata; anfract. 3, ultimo ventricoso tumido, quadruplum totius spirae aequante; apertura ampla, perobliqua, elongato-ovata, peristomate acuto, simplici. Alt. 14—15, lat. 8—10.5 mm.

Gehäuse eiförmig verlängert, bauchig, unten breit gerundet, gestreift; Umgänge 3, die schnell zunehmen, der letzte aufgetriebene ist 4mal so gross als das ganze übrige Gehäuse, das er fast allein zu bilden scheint; Mündung verlängert eiförmig, schief, unten breit rundlich, oben spitz; Mundsaum gerade, einfach.

Von dieser nach Reuss auch in Tuchorschitz in Böhmen erscheinenden lebenden Art wurden bisher nur zwei junge Exemplare im obersten Süsswasserkalke gefunden.

5. Helix Beinensis m.

Fig. 4, a, b, c.

Tosta obtecte umbilicata, utrinque (infra vero magis) convexa, obtuse carinata, subtiliter striata; anfract. 5 deplanatis, ultimo versus aperturam dilatato; apertura rotundato-lunata, marginibus callo laevi conjunctis; umbilico calloso margine collumellari obtecto. Alt. 14, lat. 24mm.

Gehäuse gross, verdeckt, genabelt, beiderseits convex, die Unterseite jedoch doppelt so hoch als das sich wenig erhebende Gewinde, fein gestreift, durch den stumpfen Kiel in zwei ungleiche Hälften getheilt; 5 fast ebene Umgänge mit seichten Näthen, der letzte wird durch den gegen die Mündung sich mehr und mehr verlierenden Kiel rundlich; Mundöffnung gerundet mondförmig, der Nabel durch den verdickt höckerigen, umgeschlagenen Spindelrand verdeckt; ob der Mundsaum gerade oder umgeschlagen war, lässt sich nicht sicher bestimmen, da ich kein vollständig erhaltenes Exemplar besitze, doch lässt der stark verdickte Spindelrand das letztere vermuthen. Diese Form besitzt unter der lebenden Fauna keinen verwandten. Nicht selten im obersten Süsswasserkalk.

6. Helix depressa v. Martens.

Klein (l. c.) 2. Jahrg. 1. Hft. S. 68, Taf. I, Fig. 7, a, b. v. Zieten (l. c.) tab. XXIX, fig. 6.

Testa imperforata, depressa, striata; spira conica; anfract. 5¹/₂ subplanis, ultimo subcarinato, suturis simplicibus, apertura oblique lunata, peristomate reflexiusculo. Alt. 13. lat. 22^{mm}.

Gehäuse gross, ungenabelt, niedergedrückt, gestreift mit konisch sich erhebendem Gewinde; 5½ fast ebene Umgänge mit seichten Näthen, am letzten Umgange läuft vom oberen Mündungsrand ein gegen die Mündung verschwindender stumpfer Kiel; Mundöffnung schief mondförmig, etwas nach abwärts gebogen; Mundsaum umgeschlagen, Spindelrand stark verdickt und umgelegt.

Nur in einem Exemplare vorhanden. Nach Klein auch am Kuhberge und Michelsberge bei Ulm und a. a. O.

7. Helix carinulata. Klein.

Klein (l. c.) 9. Jahrg. 2. Hft. S. 208. Taf. V, Fig. 5.

Testa semiobtecte perforata, depresso conoidea, subtus convexa, carinatula, subtiliter striata; sub microscopio testae super-

ficies subtilissimis granulis confertis ornata, anfr. 5½ subconvexis, sensim crescentibus; apertura subdepressa, ovatolunata; marginibus nullo callo conjunctis, margine collumellari reflexiusculo; peristomate recto acuto. Alt. 4—5, lat. 6—8***

Gehäuse halbverdeckt durchbohrt, gedrückt conisch, unten convex mit leichtem Kiel, der sich in gleicher Höhe mit den Näthen fortzieht; fein gestreift, unter der Loupe zeigt die ganze Oberfläche eine sehr feine Granulirung; 5—5½ kaum gewölbte Umgänge, die langsam zunehmen; der letzte verdickt sich gegen die Mündung merklich und erhöht dadurch das Gewinde; Mündung etwas herabgebogen und nach beiden Seiten verlängert; Mundsaum einfach, scharf; der Spindelrand ist am Nabel, den er fast ganz verdeckt, umgeschlagen und durch keinen Callus mit dem Aussenrande verbunden.

Häufig im obersten Süsswasserkalke, findet sich auch bei Mörsingen in Würtemberg.

8. Helix inflexa v. Martens.

Klein (l. c.) 2. Jahrg. 1. Hft. S. 71, Taf. I, Fig. 12, α, δ. v. Zieten (l. c.) tab. XXXI, fig. 1.

Testa magna, umbilicata, orbiculata depressa, unifasciata; anfract. 5½ convexiusculis, subtiliter striatis; apertura deflexa, rotundato lunata, marginibus remotis; peristomate incrassato, reflexo, Alt. 12. lat. 22—25****

Gehäuse gross, offen genabelt, kreisförmig niedergedrückt, fein gestreift, 5½, etwas gewölbte Umgänge; Mundöffnung niedergedrückt, breiter als hoch, gerundet mondförmig, Mundsaum verdickt, stark umgeschlagen, der Nabel wird durch den Spindelrand etwas verdeckt. Ist der lebenden H. planospira Lam. sehr ähnlich. Von der ebenfalls verwandten lebenden H. cingulata Stud., und der fossilen H. Arnoldii Thom. (pag. 136, Taf. 3, Fig. 6) unterscheidet sie sich durch die mehr verbreiterte als gerundete Mündung, die grüssere Entfernung der Mundränder sowie die nicht castöse Mündungswand.

Sehr selten im Süsswasserkalke und im blauen Tegel. Im letzteren zeigt sie noch die Farbenreste auf der Mitte des letzten Umganges. Nach Klein auch bei Dächingen, Giengen, Zwiefaltern und m. a. O.

9. Helix orbicularis Klein.

Klein (l. c.), pag. 71, Fig. 13 a, b.

Testa late et aperte, umbilicata, planiuscula, subtiliter striata; anfr. 5 subplanis, ultimo demum dilatato; suturis simplicibus; apertura semilunari, parum depressa; peristomate recto, acuto, simplici. Alt. 5, lat 12***.

Gehäuse offen und weit genabelt, niedergedrückt, fast flach, fein gestreift; 5 sich wenig erhebende fast ebene Umgänge, der letzte verbreitert sich gegen die Mündung; Mündung halbmondförmig, etwas herabgebogen; Mundsaum gerade, einfach, scharf.

Diese seltene Art gehört in die Gruppe der lebenden H. cellaria Müll., glabra Stud., und nitens Mich., und steht in ihrem Habitus ersterer am nächsten.

10. Helix Giengensis 1) Krauss.

Klein (l. e.), pag. 69, Taf. I, Fig. 8 a, b und 9. Jahrgang, 2. Hft., pag. 209.

Testa umbilicata, supra convexiuscula, subtus subplana, subtilissime striato; anfr. 5½ convexis, lente accrescentibus, apertura oblique lunata, marginibus callo laevi conjunctis, umbilico margine collumellari subobtecto, peristomate reflexo. Alt. 2—4, lat. 4—6***

Gehäuse genabelt, konisch niedergedrückt mit stumpf erhobenem Gewinde, Unterseite wenig gewölbt. Die Obersläche der Schale ist mit sehr kleinen dichtstehenden Pünktchen besetzt, die wahrscheinlich von den frühern Haaransätzen herrühren (wie bei ihren lebenden Verwandten); die 5½ gewölbten Umgänge sind durch deutliche Näthe geschieden; der Nabel ist durch den umgelegten Spindelrand etwas bedeckt, der Mundsaum stark umgeschlagen mit scharfem Rande, Mundränder durch einen schwachen Callus verbunden.

Sie gehört in die Gruppe der lebenden H. obvoluta Müll., angigyra Zgl., ist jedoch durch die geringere Zahl der Umgänge, das mehr erhobene Gewinde und den kleineren Nabel von ihnen verschieden. Ihre nächste fossile Verwandte H. osculum Thom. (l. c. pag. 137, Taf. III, Fig. 4), (Reuss, l. c. pag. 27, Taf. 3, Fig. 2) ist mehr kugelig, die Ober- und Unterfläche gerundeter, der Nabel

¹⁾ Etymologisch richtiger: Giengenensis.

mehr (bis zur Hälfte und darüber) bedckt und der Innenrand des Mundsaumes gegen die Spndel etwas ausgebuchtet.

Selten; nach Klein auch bei Mörsingen, Michelsberg u. s. w.

II. Helix stenespira Reuss.

Reuss (l. c.) pag. 22, Taf. 1, Fig. 11.

Testa late umbilicata, depressa, arctispira, spira subconvexa, subtiliter costulato-striata; anfr. 5—6 subteretibus, convexis; apertura ovato-lunata, peristomate recto, acuto, simplici. Alt. 2·2, lat. 5***.

Gehäuse weit, fast perspectivisch genabelt, niedergedrückt, dicht gewunden mit etwas erhobenem Gewinde, fein rippenstreifig; 5—6 fast stielrunde Umgänge ohne Spur eines Kieles, langsam zunehmend und unten stärker als oben gewölbt; Näthe tief, Mündung ei-mondförmig, Mundsaum geradeaus, einfach, scharf.

Gehört in die Sippschaft der lebenden *H. rotundata* Müll., ruderata Stud., und steht letzterer am nächsten, ist jedoch kleiner und zeigt mehr und stärker gewölbte Umgänge und einen engeren Nabel; häufig im Süsswasser-Kalk.

12. Helix plicatella Reuss.

Reuss (l. c.) pag. 21, Taf. 1, Fig. 10.

Testa parva, globulosa, profunde umbilicata, utrinque convexa, eleganter, suboblique et remote plicatella; anfr. 5 convexis, sensim accrescentibus, sutura profunda; apertura anguste lunata, peristomate, recto, acuto, simplici. Alt. 4, lat. 2.2mm.

Gehäuse klein, kugelig, enge doch tief genabelt, sehr zierlich, etwas schief und entfernt gefältelt; 5 convexe, runde Umgänge, die sehr langsam an Dicke zunehmen und sich fast treppenartig absenken; Näthe tief; Mündung schmal-mondförmig, Mundsaum gerade, einfach, scharf.

Von der Form der lebenden *H. rupestris* Drap.; ziemlich selten; auch bei Tuchorschitz in Böhmen.

13. Pupa quadridentata Klein.

Klein (l. c.), 9. Jahrg., 2. Heft, pag. 216, Fig. 13.

Testa parva, vix rimata, ovato conoidea, vertice obtusa; anfract. 5 convexiusculis, laevibus, ultimo attenuato; cervice pro-

ducto, compressa, callo albido cincta; apertura ovato-rotundata, quatuor dentibus angustata; uno in columella, duobus in margine externo peristomatis, ultimo in pariete aperturali immerso, peristomate reflexo. Alt. 2·8, lat. 1·5 ***.

Gehäuse klein mit schwachem Nabelritz, konisch eiförmig mit verschmälerter stumpfer Spitze, 5 wenig gewölbte, glatte Umgänge, der letzte gegen die Mündung verschmälert; Nacken vorgezogen, etwas zusammengedrückt und mit einem weissen Rand umgeben. Die Mündung ist durch 4 Zähne verengt, von denen einer am Spindelrand, zwei andere am Aussenrand und der letzte an der Mündungswand sitzen; Mundsaum zurückgeschlagen.

Häufig im Süsswasser-Kalk, auch bei der Birk und bei Mörsingen in Würtemberg

14. Clausilia grandis (!) Klein. Fig. 6,

Klein (l. c.), 2. Jahrg. 1. Hft., pag. 73, Taf. I, Fig. 16 a, b.

Testa elongata, fusiformi, ventricosa solida, imperforata, transverse striata; anfr. 14—15 subplanis, suturis simplicibus; peristomate convexo, margine collumellari acuato reflexo, lamelliformi elevato, canaliformi cum margine externo confluente, margine externo recto; apertura pyriformi, fauce triplicato, plica collumellari horizontali, alteris obliquis immersis; cervice non contracto. Alt.? lat. 9^{mm.} (Klein.)

Die Verletzung der am meisten charakteristischen Theile der Mundöffnung und der oberen Hälfte des Gewindes lässt keine absolut genaue Bestimmung dieses Restes zu, es rechtfertigen jedoch die Residua den Schluss, dass sie mit Cl. grandis, wenn nicht identisch, doch sehr nahe verwandt sei. Die fast ebenen, schön und deutlich gestreiften Umgänge sind durch eine sehr seichte Nath geschieden; die Mündung zeigt noch alle 3 specifischen Falten, von denen die obere mehr horizontal, die beiden unteren sehr schief verlausen. Auch der mit der Mündungswand einen spitzen Winkel bildende Aussenrand deutet auf eine birnförmige Mündung.

Von Cl. bulimoides Al. Braun (Thom. pag. 149, Taf. 4, Fig. 6) unterscheidet sie sich durch die weniger bauchige Form, den mehr geraden Aussenrand der Mündung, die Zahl und die Stellung der Falten.

15. Achatina perrecta m., Fig. 5.

Testa magna eleongato-elliptica, apice obtusa, striata; anfractibus 4, superioribus subplanis costulato striatis; ultimo maximo, convexo, quinquiplum totius testa aequante; apertura acutissimo ovato-elongata, 26mm. alta, 9mm. lata, collumella non callosa; margine collumellari inflexo, externo subrepando. Alt. 37, lat. 11mm.

Gehäuse gross, gestreckt elliptisch mit stumpfem Wirbel, gestreift, an den obern Umgängen regelmässig rippenstreifig; Windungen 4, die obern fast eben, die letzte gross, fast das ganze Gehäuse bildend, dem 5fachen des übrigen Gewindes gleichend; Mündung sehr verlängert, scharf spitz-eiförmig, unten gerundet; die Mündungswand mit kleinem Callus bedeckt, der Spindelrand etwas nach vorn gebogen; ob er zuletzt abgestutzt war, lässt die Verletzung nicht erkennen.

Dies bisher nur in einem Exemplar bei Strassgang aufgefundene Fossil unterscheidet sich von der verwandten A. inflata Reuss (l. c. pag. 33, Taf. 3, Fig. 14) durch den schlankeren Habitus, die weniger breite mehr spitz-eiförmige Mündung und den etwas bogig-geschweiften Aussenrand. Die ebenfalls nahe stehende Glandina antiqua Klein (l. c. 8. Jahrg., 2. Hft., Taf. 3, Fig. 9, p. 162) ist ausser anderen Merkmalen schon durch die verdickte Mündungswand und den Mangel der Streifung an den oberen Umgängen verschieden.

16. Planerbis pseudoammenius Voltz, Fig. 8 a, b.

Helicites pseudoammonius Schlotheim, Lehrbuch der Petrefactenkunde. v. Zieten (l. c.), Tab. XXIX, Fig. 8.

Thomae, Plan. solidus (l. c.), pag. 153, 154.

Kle in (l. c.), 2. Jahrg., 1. Hft., pag. 77, Taf. 1, Fig. 23 a, b, c.

Reuss (l. c.), pag. 37, Taf. 4, Fig. 7.

Testa magna, discoidea, utrinque infra vero profundius concava. oblique striata; anfr. 5—6, subtus convexiusculis, ultimo superne complanato; apertura oblique lunato-rotundata, peristomate simplici, interdum subtus retracto. Alt. 5—7, lat. 12—25****

Gehäuse gross, scheibenförmig, an beiden Seiten an der untern jedoch stärker concav; schief gestreift; 5-6 unten ziemlich convexe

Umgänge, die oben treppenförmig eingesenkt sind, so dass die zwei ersten Umgänge fast verschlungen erscheinen und erst an der regelmässig ausgehöhlten Unterseite wieder sichtbar sind, der letzte ist oben etwas abgeplattet und zeigt an der Unterseite manchmal gitterförmige narbige Eindrücke; Mündung schief rund-mondförmig, Mundsaum besonders an grossen Exemplaren zurückgebogen, Mundränder durch einen meist schwachen Callus verbunden.

Der ähnliche lebende Plan. corneus Drap. unterscheidet sich von diesem durch den grösseren Höhen- und Breitendurchmesser und die grössere Concavität an der Oberseite hinlänglich. Auch der fossile Plan. rotundatus Brogn. (Annal. du mus. d'hist. nat., Tom. XV, pag. 370, pl. 22, fig. 4) ist an der Oberseite mehr ausgehöhlt, dünner und flacher. Plan. pseudoamm. kann als Verbindungsglied zwischen den beiden erwähnt werden. Thomae beschreibt aus dem Mühlthale bei Wiesbaden einen Plan. solidus (l. c.), der höchst wahrscheinlich unsere Art ist, wie schon Klein und Reussrichtig bemerkten; denn er führt genau dieselben diagnostischen Merkmale zur Unterscheidung von seinen verwandten Formen an.

Sehr häufig im Süsswasser-Kalk (zu Rein und Strassgang) im blauen und den oberen Kohlenflötzen.

17. Planerbis corniculum Thomae.

Thomae (l. c.), pag. 154, Taf. 4, Fig. 7 a, b, c.

Testa magna, discoidea, utrinque (supra plerumque profundius) concava, striata; anfr. 5, subangulato-cylindraceis, apertura rotundato lunata, peristomate simplici, acuto. Alt. 5, lat. 12—16***

Gehäuse gross, scheibenförmig, beiderseits (oben jedoch meist mehr) gegen den Mittelpunkt eingesenkt, schief gestreift; 5 cylindrische Umgänge, der letzte wird parallel den erhabenen Längsstreifen etwas kantig; Mündung gerundet mondförmig mit einfach scharfem Mundsaum.

Nahe verwandt ist *Plan. rotundatus* Brong., unterscheidet sich jedoch durch die geringere Concavität und die Zahl der Umgänge (6).

Ziemlich häufig; an Fundorten ist noch ausser dem Mühlthale bei Wiesbaden, Zwiefaltern in Würtemberg bekannt.

Planerbis platystema Klein, Fig. 9 a, b, c. Klein (l. c.), 9. Jahrg., 2. Heft, pag. 216.

Testa parva, superne concava, infra planiuscula, anfr. 3—4, convexis celeriter crescentibus, internis in medio impressis, ultimo maximo utrinque prominente, reliquos amplectente, apertura dilatata lunata, peristomate simplici, acuto. Alt. 2—3, lat. 3—4**

Gehäuse klein, oben concav, unten fast 'eben; 3—4 convexe Umgänge, die schnell zunehmen und höher als breit sind, der letzte, der alle übrigen umfasst, ist gross und ragt auf beiden Seiten besonders der obere vor, die beiden innersten sind auf der Oberseite versenkt, auf der Unterseite wieder sichtbar; Mundöffnung weit gerundet mondförmig, Mündungsrand ohne Callus, Mundsaum einfach, scharf.

Häufig; nach Klein auch bei Mörsingen.

19. Planerbis nitidifermis m., Fig. 7.

Testa basi carinata, convexa, supra plana, infra excavata, umbilicata, nitida, subtiliter striata, anfr. 4—5 sex. invicem amplectentibus, apertura oblique cordata margine exteriore deflexo, inferiore subhorizontali; peristomate simplici acuto. Alt. 2—3, lat. 4—7***

Gehäuse unten gekielt, einem abgestutzten Kegel gleichend, oben eben, unten seicht ausgehöhlt, genabelt, glänzend, fein gestreist; die 4—5 sich umfassenden Umgänge sind nur auf der Oberseite sichtbar und können durch den Kiel in keine Hälsten getheilt werden, da dieser den untersten peripherischen Theil des Gewindes einnimmt; die Obernath bildet eine 2^{mm.} breite Spirale; Mündung schief, herzförmig; Aussenrand herabgebogen und bildet mit dem fast horizontalen Innenrand einen spitzen Winkel, Mundsaum einfach, scharf.

Ist dem lebenden *Pl. nitidus* sehr verwandt, ist jedoch verhältnissmässig höher, unten ausgehöhlt, auch konnte ich keine der drei hinter der Mündung stehenden Verbindungsleisten entdecken, die dem *Pl. nitidus* jene nautilus-artige Concameration verleihen.

Häufig; seltener im Süsswasser-Kalk von Strassgang, wo bisher nur 2 Exemplare aufgefunden wurden.

20. Planerbis applanatus Thom. Fig. 10 a, b, c.

Thomae (l. c.), pag. 155.

Reuss (l. c.), pag. 38, Taf. 4, Fig. 8 a, b, c.

Klein (l. c.), 9. Jahrg., 2. Heft, pag. 218, Taf. 5, Fig. 15.

Syn. Planorbis declivis Al. Braun.

Testa parva, discoidea, supra subplana medio vix immersa, basi angulata, excavata, nitida subtiliter striato; anfr. 5—6 lente accrescentibus, supra convexis, infra subplanis; apertura oblique cordata, peristomate recto, acuto, simplici Alt. 1—1·5, lat. 2·6—6·3•••

Gehäuse klein, scheibenförmig niedergedrückt, oben fast eben, in der Mitte etwas eingesenkt, an der Unterseite gekielt, seicht ausgehöhlt, auf beiden Seiten alle Windungen zeigend; 5—6 langsam zunehmende, oben convexe, unten fast ebene Umgänge; Mündung schief herzförmig; Mundsaum gerade, einfach, scharf.

Ist das häufigste Fossil, sowohl im Süsswasser-Kalk als im Mergel und den Kohlenflötzen; in Nordböhmen sehr gemein, auch bei Mörsingen in Würtemberg und im Mühlthale bei Wiesbaden und Weisenau bei Mainz.

21. Limnaeus parvulus Al. Braun, Fig. 11 a, b.

Testa parvula, vix rimata, conico-ovata, subtiliter striata; anfr. 3—4 convexis maximo, duplum totius spirae adaequante, sutura profunda; apertura elongato ovata, peristomate recto, acuto, interdum subalbilabiato. Alt. 3.5, lat. 1.8mm.

Gehäuse klein mit schwachem Nabelritz, konisch eiförmig, fein gestreift; 3—4 sehr gewölbte Umgänge mit tiefer Nath, der letzte ist doppelt so gross als das ganze übrige Gewinde; Mündung verlängert-eiförmig, unten gerundet, oben etwas stumpfwinkelig; Mundsaum gerade, scharf, bisweilen mit einer schwachen weissen Lippe bedeckt; Mundränder durch einen leichten Callus verbunden.

Von der Form des lebenden *L. minutus* Drap., var. minor, doch durch die Kleinheit und die bedeutend in die Länge gezogene Mündung hinlänglich verschieden; nicht selten.

22. Limnaeus subpalustris Thom.

Thomae (l. e.), pag. 156, Taf. 4, Fig. 9 α, δ. Reuss (l. c.), pag. 35, Taf. 4, Fig. 3.

Syn. Limn. acutus Al. Braun.

Testa magna imperforata, ovato-elongata, striata; spira brevi, vertice acuto; anfr. 5—6 convexiusculis, ultimo elongato, ventricoso, reliquam spiram duplo longo; apertura acute ovata, pariete aperturali callosa, peristomate recte acuto. Alt. 22, lat. 11^{mm}.

Gehäuse gross, ungenabelt, eiförmig verlängert, gestreift, Gewinde kurz mit spitzem Wirbel, 5—6 schwach convexe Umgänge, die fast treppenförmig über einander stehen, der letzte gross, bauchig und gleich dem doppelten des übrigen Gewindes; Mundöffnung spitz-eiförmig, Mündungswand mit einem Callus bedeckt, Mundsaum gerade, scharf, Spindelrand umgelegt.

Der Hauptunterschied zwischen dieser Art und dem lebenden L. palustris Müll. liegt im Grössen-Verhältniss des letzten Umganges; denn bei diesem ist die Höhe desselben kaum beträchtlicher, oft geringer als die des übrigen Gehäuses, auch ist die Mundöffnung etwas kleiner und ein Umgang mehr vorhanden.

Selten.

23. Paludina exigua m., Fig. 12 a, b.

Testa minima, ventricosa vix rimata vertice acuto, subtilissime striata; anfr. 4—5 teretiusculis, ultimo maximo, sutura profunda; apertura ovato rotundata; peristomate simplici, non continuo. Alt. 1.8, lat. 1.2

Gehäuse mikroskopisch klein, kaum geritzt, bauchig mit spitzem Wirbel, sehr fein gestreift; 4—5 fast stielrunde Umgänge, der letzte gross; Nath tief; Mundöffnung gerundet eiförmig, Mundsaum einfach, nicht zusammenhängend.

Eine sehr ähnliche Form besitzt die im plastischen Thon von Ciry-Salsogne im Pariserbecken häufige Pal. miliola Melle ville 1), ist jedoch durch den grössern Höhen- und geringeren Breitendurchmesser, die Zahl der Umgänge und den zusammenhängenden fast lostretenden Mundsaum verschieden.

Häufig im obersten Süsswasser-Kalk.

Aus dem Süsswasser-Kalk bei Strassgang, welchem die oben beschriebenen Achatina porrecta angehört, besitzen wir noch zu wenig Materiale, um seine Fauna vollständig beurtheilen zu können.

¹⁾ Mémoire sur les Sables tertiaires inférieurs du bassin de Paris, par M. Melle ville; in Rivière, Annales des sciences géologiques; deuxième année, Nr. 2, pag. 95, tab. IV, Nr. 1, 2, 3.

Gobanz. Die fossilen Mollusken von Rein. Fig.1. Fig. 4. Åulling & Horon Stuamboukere . * Fig. 1. Oppris ainitir Reuft.

2. dengata Reuft.

3. concinna Reuft.

4 Holix Reinensis m. Fig. 5. Achatina porrecta in.
6. Claustin grandis. Klein.
7. Plancebis nitidiformis m.
8. Plan. pseudeamenius. Velts. Fig. 9. Planerbis platystema klen. ... 10. applanatus Thom. ... 11. Limnerbis parvulus A.Br.

Sitzungeb. d. k. Akad. d. W. math.naturw. Cl. XIII Bd. 1 Heft. 1854.

. 12. Paludina seigua m

• . • .

Zwei neue Arten, welche in dem Becken von Rein nicht vorkommen, lassen mich vermuthen, dass zwischen diesen nahe benachbarten und petrographisch so ähnlichen Ablagerungen doch einige Verschiedenheit bestehe. Ich hoffe bald ein Weiteres darüber mittheilen zu können.

Verträge.

Beitrag zur Theorie der gemischten Farben 1).

Von J. Grailich, Zögling am k. k. physicalischen Seminar.

(Mit 4 Tafeln.)

VIERTER ABSCHNITT.

Betrachtung der aus dem Zusammenwirken zweier homogener Strahlen des Spectrums resultirenden Schwingungscurven.

Es werden auch hier wieder zwei geradlinige, nach derselben Ebene polarisirte Strahlen von verschiedener Wellenlänge zur Interferenz gebracht; bei der resultirenden Curve sind dann 3 Elemente zu bestimmen:

- 1. Die rhythmisch wiederkehrenden Wellenlängen innerhalb einer grossen Periode;
 - 2. die Amplitude, welche jedem dieser Wellenschläge entspricht;
- 3. die Intensität, mit welcher jeder dieser Wellenschläge zur Bildung des Gesammtlichteindruckes mitwirkt.

Die Wellenlängen und Amplituden sind gewählt worden, wie sie aus dem dritten Abschnitte (siehe Sitzungsberichte, Bd. XII, 1854) sich ergaben.

A. Wellenlängen des resultirenden Strahles.

Strenge genommen kann man hier nicht von Wellenlängen sprechen, wenigstens nicht in dem Sinne, wie es gemeiniglich zu geschehen pflegt, wo es gleichgiltig ist, ob man die Wegstrecke von einem Wellenberge zum anderen (Fresnel) oder das Intervall zwischen zwei homologen Knotenpunkten (Cauchy) so nennt; es sei jedoch erlaubt, hier unter diesem Namen jene Distanzen zu verstehen, welche zwischen je 2 Knotenpunkten der Resultirenden liegen: es wird nicht schwer sein diese Betrachtungsweise später zu rechtfertigen.

¹⁾ Fortsetzung des Aufsatzes in den Sitzungsberichten, Bd. XII, S. 783; 1854.

Ist $oldsymbol{a}$ die Amplitude des einen, $oldsymbol{b}$ die des anderen Strahles, so wird

$$a \sin \frac{2\pi}{\lambda_1} \left(vt - \frac{n}{2} \lambda_1 \right) + b \sin \frac{2\pi}{\lambda_2} \left(vt - \frac{m}{2} \lambda_2 \right) = 0$$

die Lage dieser Knotenpunkte bestimmen. Setzen wir $\frac{a}{h} = A_1$ $\frac{2\pi}{\lambda_1} = c_1$, $\frac{2\pi}{\lambda_2} = c_2$ und vt = x, und lösen die Sinusse auf, so verwandelt sich diese Gleichung, da m und n ganze Zahlen sind, in die einfachere

$$A \sin c_1 x + \sin c_2 x = 0,$$

aus welcher nun x für die verschiedenen Mischfarben zu bestimmen ist. Zur Auflösung dieser transcendenten Gleichung diente die Methode, die Herr Simon Spitzer (Denkschriften der kais. Akademie der Wissenschaften, 1850) angegeben hat; setzt man nämlich voraus, x sei nahezu bekannt (und die Tafeln des zweiten Abschnittes enthalten die Näherungswerthe dieser Variablen, da sie für A = 1 berechnet wurden), so kann man setzen

$$x = x_1 + \Delta x$$

folglich, wenn f(x) = 0 auch $f(x_1 + \Delta x) = 0$. Nun ist aber nach dem Taylor'schen Theoreme

$$f(x_1 + \Delta x) = f(x_1) + \Delta x \frac{df(x_1)}{dx_1} + \frac{(\Delta x)^2}{1\cdot 2}.$$

$$\frac{d^3 f(x_1)}{dx_1^2} + \frac{(\Delta x)^3}{1\cdot 2\cdot 3} \cdot \frac{d^3 f(x_1)}{dx_1} + \cdots$$

$$\Delta x \text{ in unserem Falle stets eine gebrochene Zahl is}$$

und da Δx in unserem Falle stets eine gebrochene Zahl ist, da die ganzen Zahlen und zum Theil auch die erste Decimalstelle von $oldsymbol{x}$ bekannt sind, die Rechnung aber nicht über die dritte Decimalstelle hinaus genau zu sein braucht, so verwandelt sich die transcendente Gleichung in eine algebraische des 3. Grades:

$$a_0 + a_1 \Delta x + a_2 (\Delta x)^2 + a_3 (\Delta x)^3 = 0$$

$$a_{0} = f(x_{1}) = A \sin c_{1} x_{1} + \sin c_{2} x_{1}$$

$$a_{1} = \frac{df(x_{1})}{dx_{1}} = Ac_{1} \cos c_{1} x_{1} + c_{2} \cos c_{2} x_{1}$$

$$a_{3} = \frac{1}{2} \cdot \frac{d^{3} f(x_{1})}{dx_{1}^{3}} = -\frac{1}{2} (Ac_{1}^{3} \sin c_{1} x_{1} + c_{2}^{3} \sin c_{2} x_{1})$$

$$a_{3} = \frac{1}{6} \cdot \frac{d^{3} f(x_{1})}{dx_{1}^{3}} = -\frac{1}{6} (Ac_{1}^{3} \cos c_{1} x_{1} + c_{2}^{3} \cos c_{2} x_{1})$$

bedeutet, welche Gleichung nach der bekannten Horner-Schulz'schen Methode leicht aufzulösen ist.

I. Violett. Als violette Grundfarbe wird in den folgenden Rechnungen jener Strahl genommen werden, der im Spectrum ganz nahe an H, an der Seite gegen G hin liegt; seine Wellenlänge ist 400, seine Amplitude 0.07.

Violett-Indigo; $\lambda_r: \lambda_l = 12:13$, folglich ein Indigo zwischen G und F, etwa ein Achtel der Distanz GF an G; die Wellenlänge ist 436, die Amplitude 0·17. Die Gleichung, aus der x zu bestimmen ist, wird demnach sein

 $0.41 \sin 30x + \sin 27.692 x = 0$ und man erhält hieraus folgende Werthe von x innerhalb einer grossen Periode:

Abscisse der Knotenpaakte	Differenz	Wellenlänge	Differenz	Entsprechende Stelle im Spectrum
0 6·347	6·347 6·351	423·1 423·4	+0.3	Violettlich Indigo.
12.698	6.354	423 6	+0.2	n n
19.052	6.366	424 - 4	+0.8	" "
25.418	1000000		+1.0	Indigo. "
31.799	6.381	425 · 4	+1.7	Indigo.
38-206	6.407	427 · 1	2.1	(G) Indigo.
44-644	6.438	429 - 2	3.1	Mitte des Indigo.
51 - 129	6.485	432.3	4.7	Tiefschattig Blau.
10000000	6.555	437.0	1	Schattig Blau.
57.684	6.658	443.8	6.8	Grenze des Blau und Indigo.
64 342	6.782	452-1	8.3	Orenze des bitta titta maigo.
71 - 124	6.876	458-4	6.3	Mitte Blau.
78.000	6.876	458.4	0	mine Diag.
84.876	6.782	452.1	-6.3	Grenze des Blau und Indigo.
91 - 658			8.3	Schattig Blau.
98-316	6.658	443.8	6.8	Tiefschattig Blau.
104 - 871	6.555	437.0	4.7	Mitte Indigo.
111.356	6.485	432·3 429·2	3.1	(G) Indigo.
117.794	6.407	427 1	2.1	Indigo.
124 - 201	6.381	425.4	1.7	Indigo.
130.582	6.366	424 - 4	1.0	Violettlich Indigo.
136-948	6.354	423.6	0.8	, ,
143 - 302	6.351	423 4	0.2	, ,
149 - 653	6.347	423 1	0.3	n n
156.000	0 041		ginn einer	neuen Periode.

Das kürzeste Intervall 423 liegt schon entschieden im Indigo, während das längste 458 in die Mitte des Blau fällt.

Violett-Blau; $\lambda_r:\lambda_b=7:8$. Das Blau entspricht der Wellenlänge 458, der zugehörige Strahl im Spectrum liegt also nahezu mitten zwischen F und G, etwas näher an F; seine Amplitude ist 0·26. Die Gleichung zur Bestimmung der Intervalle ist folglich

 $0\cdot 27 \sin 51\cdot 429 x + \sin 45 x = 0$ woraus für x folgende Werthe innerhalb der grossen Periode sich ergeben:

Abscisse der Knotenpunkte	Differens	Wellenlänge	Differenz	Entsprechende Stelle im Speetrum
0 3·887 7·778 11·695 15·651 19·678 23·796 28·000 32·204 36·322 40·349 44·305 48·222 52·113 56·000	3·887 3·891 3·917 3·956 4·027 4·118 4·204 4·118 4·027 3·956 3·917 3·891 3·887	444 · 23 444 · 69 447 · 66 452 · 12 460 · 23 470 · 63 480 · 45 470 · 63 460 · 23 452 · 12 447 · 66 444 · 69 444 · 23 Be	0·46 2·97 4·46 + 8·11 10·40 9·82 0 — 9·82 10·40 8·11 4·46 2·97 0·46	Grenze Indigo-Blau. Mitte Blau. Mitte Blau. Grenze Indigo-Blau. neuen Periode.

Die kürzere Welle 444.23 liegt im Indigo an der Grenze zwischen Indigo und Blau, die längste 480.45 im Blau nahe an der Übergangsstelle von Blau in Grün.

Violett-Grün; $\lambda_r:\lambda_{gr}=7:9$. Der grüne Strahl, dessen Wellenlänge diesem Verhältnisse entspricht, liegt zwischen F und E, von E um den vierten Theil des Intervalles EF entfernt; seine Wellenlänge ist 515, seine Amplitude 0.58. Zur Bestimmung der x erhalten wir folglich die Gleichung

 $0.12 \sin 51.429 x + \sin 40 x = 0$

woraus folgende Werthe für die Dauer der grossen Periode berechnet werden:

Abscisse der Knotenpankte	Diferens	Wellenlänge	Diferens	Entsprechende Stelle im Speetrum
0 4·385 8·829 13·414 18·097 22·672 27·122 31·500 35·878 40·328 44·903 49·586 54·171 58·615 63·000	4·385 4·444 4·585 4·683 4·575 4·450 4·378 4·378 4·450 4·574 4·683 4·585 4·444 4·385	501·16 507·89 524·00 535·20 522·86 508·57 500·34 500·34 508·57 522·86 535·20 524·00 507·89 501·16 Be	+ 6.73 16.11 11.20 12.34 14.29 8.23 0 + 8.23 14.29 12.34 11.20 16.11 6.73 ginn einer	Mitte Grün. Grenze Grün-Gelb. Mitte Grün. Mitte Grün. Grenze Grün-Gelb. Mitte Grün. neuen Periode.

Die Wellenlängen 500·34 und 535·20 liegen zwischen der Mitte des Grün und der Grenze von Gelb-Grün.

Violett-Gelb; $\lambda_r: \lambda_{go} = 5:7$. Das Gelb, welches hier betrachtet wird, liegt im Spectrum etwas vor dem Maximum der Intensität, etwa in der Mitte zwischen D und E; seine Wellenlänge ist 560, seine Amplitude 0.93. Die transcendente Gleichung in x ist somit

 $0 \cdot 07 \sin 72 x + \sin 51 \cdot 429 x = 0$ woraus folgende Werthe für die Knotenpunkte abgeleitet wurden:

Abscisse der Knotenpunkte	Differens	Wellenlänge	Differens	Entsprechende Stello im Speetrum
0 3·428 6·947 10·495 14·071 17·500 20 929 24·505 28·053 31·572 35·000	3·428 3·519 3·548 3·576 3·426 3·576 3·548 3·519 3·428	548 · 48 563 · 04 567 · 68 572 · 16 548 · 64 548 · 64 572 · 16 567 · 68 563 · 04 548 · 48 Be	+ 14·56 4·64 4·48 -23·52 - 4·48 4·64 14·56 ginn einer	Mitte Gelb. (Maximum der Intensität.) Grüngelb. (Maximum der Intensität.) Mitte Gelb. neuen Periode.

Sowohl 548.48 als auch 573.16 sind Wellenlängen gelber Strahlen, wenn man als die Grenzen dieser Farbe die Zahlen 538 und 588 betrachtet.

Violett-Orange; $\lambda_{\tau}:\lambda_{o}=2:3$. Das Orange dieser Mischung hat die Wellenlänge 600; es liegt ziemlich in der Mitte des Orange, etwa $^{1}/_{5}$ der Distanz D C von D entfernt; seine Amplitude beträgt 0.71, demnach wird die Gleichung für x

$$0.09 \sin 180 x + \sin 120 x = 0$$

wo x folgende Werthe entsprechen:

Abseisse der Knotespunkte	Differenz	Wellenlänge	Differens .	Eatsprechende Stelle im Spectrum
0 1·457 3·000 4·543 6·000	1 · 457 1 · 543 1 · 543 1 · 457	582·8 617·2 617·2 582·8	+34·4 0 -34·4	Gelblich Orange. Orangelich Roth. Orangelich Roth. Gelblich Orange.

582·8 gehört dem oheren Ende von Gelb, 617·2 dem oheren Ende von Orange an.

Violett-Roth; $\lambda_r : \lambda_r = 8:13$. Das Roth liegt dicht an C gegen D hin; es hat die Wellenlänge 650, und die Amplitude 0:37. Hieraus leitet man folgende Gleichung ab:

$$0.19 \sin 45 x + \sin 27.692 x = 0$$

der folgende Werthe Genüge leisten:

Abscisse der Knotenpunkte	Differenz	Wellenlänge	Differens	Entsprechende Stelle im Spectrum
0 6·106 13·344 19·617 25·621 32·708 39·226 45·184 52·000 58·816 64·774 71·292 78·379 85·396 91·666 98·904 104·000	6·106 7·238 6·273 7·017 7·087 6·518 5·958 6·816 6·816 5·958 6·518 7·087 7·017 6·273 7·238 6·106	610·6 724·8 627·3 701·7 708·7 651·8 595·8 681·6 681·6 595·8 651·8 708·7 701·7 627·3 723·8 610·6	+114·2 - 97·8 + 74·4 - 7·0 - 56·9 - 85·8 - 85·8 + 56 - 56·9 - 7 - 74·4 + 97·8 - 114·2	Orange. (Purpur.) Orangelich Roth. (Purpur.) Roth nahe C. Gelblich Orange. Roth nahe B. Roth nahe B. Gelblich Orange. Roth nahe C. (Purpur.) Orangelich Roth. (Purpur.) Orange. neuen Periode.

Das Minimum der hier vorkommenden Wellen, 595.8, ist in der unteren Hälfte des Orange, das Maximum, 724.8, fällt weit über das sichtbare obere Ende hinaus.

II. In dig o. Als Grundfarbe wurde jener Strahl gewählt, der im Spectrum zunächst G gegen F hin liegt; die Wellenlänge ist 433, die Amplitude 0·16. Die übrigen Farben wurden wieder so genommen, dass das Verhältniss der Wellenlänge der gemischten Componenten möglichst einfach wurde.

In digo-Blau; $\lambda_1:\lambda_5=15:16$. Das entsprechende Blau gehört einem Strahle an, der im Spectrum zwischen G und F liegt, etwa $^2/_5$ dieser Distanz von F entfernt; die Wellenlänge ist 462, die Amplitude 0.27; hieraus leitet man die Gleichung

$$0.65 \sin 24 x + \sin 22.5 x = 0$$

ab, wo x folgende Werthe darstellt:

7:795 15:592 23:390 31:193 39:000 46:817 54:642 62:484 70:348 78:246 86:206 94:244 102:459 111:004 120:000 128:996 137:541 145:756 153:794 161:754	7·795 7·796 7·798 7·803 7·807 7·817 7·825 7·842 7·864 7·896 8·038 8·215 8·3545 8·996	450·0 450·1 450·2 450·5 450·8 451·3 451·8 452·7 454·0 456·0 459·6 464·0 474·3 493·3 519·3	+ 0·1 0·3 0·3 0·3 0·5 0·5 0·9 1·3 2·0 3·6 4·4 10·3 19·0 26·0 0·0	Blau, gegen Indigo. Mitte Blau. F. Grenze Blau-Grün. Mitte Grün.
7·795 15·592 23·390 31·193 39·000 46·817 54·642 62·484 70·348 78·246 86·206 94·244 102·459 111·004 120·000 128·996 137·541 145·756 153·794 161·754 169·652	7·796 7·798 7·803 7·807 7·817 7·825 7·842 7·898 7·898 8·996 8·996	450·1 450·2 450·8 451·8 451·8 452·7 454·0 456·0 459·6 464·0 474·3 493·3 519·3	0·1 0·3 0·3 0·5 0·5 0·9 1·3 2·0 3·6 4·4 10·3 19·0 26·0	Mitte Blau. F. Grenze Blau-Grün.
15 · 592 23 · 390 31 · 193 39 · 000 46 · 817 54 · 642 62 · 484 70 · 348 78 · 246 86 · 206 94 · 244 102 · 459 111 · 004 120 · 000 128 · 996 137 · 541 145 · 756 153 · 794 161 · 754 169 · 652	7·798 7·803 7·807 7·817 7·825 7·842 7·864 7·898 7·960 8·038 8·215 8·545 8·966	450·2 450·5 450·8 451·8 451·8 452·7 454·0 456·0 459·6 464·0 474·3 493·3 519·3	0·3 0·3 0·5 0·5 0·9 1·3 2·0 3·6 4·4 10·3 19·0 26·0	Mitte Blau. F. Grenze Blau-Grün.
23 · 390 31 · 193 39 · 000 46 · 817 54 · 642 62 · 484 70 · 348 78 · 246 86 · 206 94 · 244 102 · 459 111 · 004 120 · 000 128 · 996 137 · 541 145 · 756 153 · 794 161 · 754 169 · 652	7 · 803 7 · 807 7 · 817 7 · 825 7 · 842 7 · 864 7 · 898 7 · 960 8 · 038 8 · 215 8 · 545 8 · 996	450·5 450·8 451·3 451·8 452·7 454·0 456·0 459·6 464·0 474·3 493·3 519·3	0·3 0·5 0·5 0·9 1·3 2·0 3·6 4·4 10·3 19·0 26·0	F. Grenze Blau-Grün.
31·193 39·000 46·817 54·642 62·484 70·348 78·246 86·206 94·244 102·459 111·004 120·000 128·996 137·541 145·756 153·794 161·754 169·652	7·807 7·817 7·825 7·842 7·864 7·898 7·960 8·038 8·215 8·215 8·545 8·996	450·8 451·3 451·8 452·7 456·0 459·6 464·0 474·3 493·3 519·3	0·5 0·5 0·9 1·3 2·0 3·6 4·4 10·3 19·0 26·0	F. Grenze Blau-Grün.
39·000 46·817 54·642 62·484 70·348 78·246 86·206 94·244 10·459 111·004 120·000 128·996 137·541 145·756 153·794 161·754 169·652	7·817 7·825 7·842 7·864 7·898 7·960 8·038 8·215 8·545 8·996	451·3 451·8 452·7 454·0 456·0 459·6 464·0 474·3 493·3 519·3	0·5 0·9 1·3 2·0 3·6 4·4 10·3 19·0 26·0	F. Grenze Blau-Grün.
46·817 54·642 62·484 70·348 78·246 86·206 94·244 102·459 111·004 120·000 128·996 137·541 145·756 153·794 161·754 169·652	7·825 7·842 7·864 7·898 7·960 8·038 8·215 8·545 8·996	451·8 452·7 454·0 456·0 459·6 464·0 474·3 493·3 519·3	0·9 1·3 2·0 3·6 4·4 10·3 19·0 26·0	F. Grenze Blau-Grün.
54 · 642 62 · 484 70 · 348 78 · 246 86 · 206 94 · 244 102 · 459 111 · 004 120 · 000 128 · 996 137 · 541 145 · 756 153 · 794 161 · 754 169 · 652	7 · 842 7 · 864 7 · 898 7 · 960 8 · 038 8 · 215 8 · 545 8 · 996	452.7 454.0 456.0 459.6 464.0 474.3 493.3 519.3	1·3 2·0 3·6 4·4 10·3 19·0 26·0	F. Grenze Blau-Grün.
62·484 70·348 78·246 86·206 94·244 102·459 111·004 120·000 128·996 137·541 145·756 153·794 161·754 169·652	7·864 7·898 7·960 8·038 8·215 8·545 8·996	454.0 456.0 459.6 464.0 474.3 493.3 519.3	2·0 3·6 4·4 10·3 19·0 26·0	F. Grenze Blau-Grün.
70·348 78·246 86·206 94·244 102·459 111·004 120·000 128·996 137·541 145·756 153·794 161·754 169·652	7·898 7·960 8·038 8·215 8·545 8·996	456·0 459·6 464·0 474·3 493·3 519·3	3·6 4·4 10·3 19·0 26·0	F. Grenze Blau-Grün.
78·246 86·206 94·244 102·459 111·004 120·000 128·996 137·541 145·756 153·794 161·754 169·652	7 · 960 8 · 038 8 · 215 8 · 545 8 · 996	459·6 464·0 474·3 493·3 519·3	4·4 10·3 19·0 26·0	F. Grenze Blau-Grün.
86 · 206 94 · 244 10 · 2459 111 · 004 120 · 000 128 · 996 137 · 541 145 · 756 153 · 794 161 · 754 169 · 652	8·038 8·215 8·545 8·996	464·0 474·3 493·3 519·3	10·3 19·0 26·0	F. Grenze Blau-Grün.
94 · 244 102 · 459 111 · 004 120 · 000 128 · 996 137 · 541 145 · 756 153 · 794 161 · 754 169 · 652	3·215 3·545 3·996	474·3 493·3 519·3	19·0 26·0	
102 · 459 111 · 004 120 · 000 128 · 996 137 · 541 145 · 756 153 · 794 161 · 754 169 · 652	8·545 8·996	493·3 519·3	26.0	
111 · 004 120 · 000 128 · 996 137 · 541 145 · 756 153 · 794 161 · 754 169 · 652	8.996	519.3	17.5	Mitte Grün.
120 · 000 128 · 996 137 · 541 145 · 756 153 · 794 161 · 754 169 · 652			0.0	
128 · 996 137 · 541 145 · 756 153 · 794 161 · 754 169 · 652			0.0	
137·541 145·756 153·794 161·754 169·652	3.996		-26.0	Mitte Grün.
145 · 756 153 · 794 161 · 754 169 · 652	8.545	493 · 3	19.0	F. Grenze Blau-Grün.
153·794 161·754 169·652	3-215	474.3	10.3	
161 · 754 169 · 652	3.038	464.0	4-4	Mitte Blau.
169 652	7.960	459.6	3.6	
	7.898	456.0	2.0	
111 910	7.864	454.0	1.3	
185.358	7.842	452.7	0.9	
103 - 183	7.825	451.8	0.5	
201 - 000	7.817	451.3	0.5	
208 - 807	7.807	450.8	0.3	
948.640	7.803	450.5	0.3	
224 - 408	7.798	450.2	0.1	
939.908	7.796	450.1	0.1	200
240 000	7.795	450.0	ginn einer	Blau, gegen Indigo.

Die Wellenlängen dieser Mischung liegen von der untern Grenze des Blau bis boch in der Mitte des Grün; $450\cdot02$ liegt nahe an der Grenze von Indigo-Blau $(446\cdot2)$, $519\cdot3$ aber nahe E $(526\cdot5)$, jenseits der Mitte des Grün (512).

Indigo-Grün; $\lambda_1:\lambda_{gr}=5:6$. Das Grün dieser Mischung hat eine Wellenlänge von 519, eine Amplitude von 0·6, es liegt im Spectrum ganz nahe an E, gegen F hin, etwa ein Sechstel dieser Distanz von E entfernt. Die Gleichung für die Knotenpunkte des resultirenden Strahles ist

$$0.29 \sin 72 x + \sin 60 x = 0$$

woraus für x folgende Werthe gefunden werden:

Abscisse der Knotenpunkte	Differenz	Wellenlänge	Diferenz	Entsprechende Stelle im Speetrum
0 2·874 5·769 8·719 11·781 15·000 18·219 21·281 24·231 27·126 30·000	2·874 2·895 2·950 3·062 3·219 3·219 3·062 2·950 2·895 2·874	497·8 501·5 511·0 530·3 557·4 557·4 530·3 511·0 501·5 497·8	+ 3·7 9·5 19·3 27·1 0 27·1 19·3 9·5 3·7 ginn einer	Bläulich Grün. Mitte Grün. Gelblich Grün. Gelb. Gelb. Gelblich Grün. Mitte Grün. Bläulich Grün. neuen Periode.

Das Minimum 497·8 liegt nahezu an der Grenze von Blau und Grün, das Maximum 557·4 dagegen fast in der Mitte des Gelb.

In dig o - Gelb; $\lambda_i:\lambda_{go}=13:17$. Das Gelb liegt nahe am Maximum der Lichtintensität des Spectrums, etwa $^{1}/_{3}$ der Distanz ED von D gegen E; seine Wellenlänge ist 566, seine Amplitude 0.95; die Gleichung der x wird folglich

 $0.17 \sin 27.615 x + \sin 21.176 x$ woraus folgende x berechnet werden:

Abscisse der Knotenpunkte	Differenz	Wellenlänge	Differenz	Entsprechende Stelle im Speetrum
0 8·260 16·541 25·360 34·363 42·937 51·179 59·325 67·583	8·260 8·281 8·819 9·003 8·574 8·242 8·146 8·258 8·554	550·0 551·5 587·3 599·6 570·9 548·9 542·5 549·9 569·6	+ 1:5 35:8 12:3 -28:7 22:0 6:4 + 7:4 19:7	Gelb. (D) Grenze Gelb-Orange. Gelblich Orange. Orangelich Gelb. Grünlich Gelb. Gelb (Max.).
76 · 137 85 · 140 93 · 960 102 · 335 110 · 500	9·003 8·820 8·375 8·165	599·6 587·4 557·7 543·8	30·0 -12·2 29·7 13·9	Orange. (D) Grenze Gelb-Orange. Gelb.
118 · 665 127 · 040 135 · 860 144 · 863 153 · 417 161 · 675	8·165 8·375 8·820 9·003 8·554 8·258	543·8 557·7 587·4 599·6 569·6 549·9	+13·9 29·7 12·2 -30·0 19·7 7·4	Gelb. (D) Grenze Gelb-Orange. Orange. Gelb (Max.).
169 · 821 178 · 063 186 · 637 195 · 640 204 · 459 212 · 740 221 · 000	8·146 8·242 8·574 9·003 8·819 8·281 8·260	542.5 548.9 570.9 599.6 587.3 551.5 550.5	+ 6.4 22·0 28·7 —12·3 35·8 1·5	Gelb. Orangelich Gelb. Orange. (D) Grenze Gelb-Orange, Gelb.

Das Minimum der Wellenschläge 542.5 liegt in der grünlich gelben Region des Spectrums, jedoch mehr im Gelb als Grün; das Maximum 599.6 dagegen im Orange, gegen die gelbe Seite hin.

In dig o-Orange; $\lambda_1:\lambda_0=13:18$. Das Orange dieser Mischung hat eine Wellenlänge von 599, eine Amplitude von 0.73; es gehört einem Strahle an, der im Spectrum nahe an D, etwa $\frac{1}{6}$ der Distanz CD gegen C hin, liegt. Die transcendente Gleichung in x wird somit

 $0.22 \sin 27.692 x + \sin 20 x = 0$ woraus folgende x berechnet wurden:

Absciase der Knotenpankte	Differenz	Wellenlänge	Differenz	Entsprechende Stelle im Spectrum
0 8·482 17·474 27·395 36·583 45·116 53·566 62·464 72·230 81·625 90·229 98·664 107·375 117·000 126·625 135·336 143·771 152·375 161·770 171·536 180·434 188·884	8·482 8·992 9·921 9·188 8·533 8·450 8·998 9·766 9·395 8·604 8·435 8·711 9·625 8·711 8·435 8·711 9·625 8·711 8·435 8·711 8·	564 · 9 598 · 8 660 · 7 611 · 9 568 · 2 562 · 8 592 · 5 650 · 4 623 · 7 573 · 0 561 · 8 580 · 0 641 · 0 580 · 0 541 · 0 551 · 8 573 · 0 623 · 7 650 · 4 592 · 5 650 · 4 592 · 5 650 · 8 573 · 0 641 · 0 580 · 0 581 · 8 573 · 0 623 · 7 650 · 4 592 · 5 650 · 8 573 · 0 623 · 7 650 · 8 573 · 0 623 · 7 650 · 8 573 · 0 623 · 7 650 · 8 573 · 0 623 · 7 650 · 8 573 · 0 623 · 7 650 · 8 573 · 0 623 · 7 650 · 8 573 · 0 623 · 7 650 · 8 573 · 0 623 · 7 650 · 8 573 · 0 623 · 7 650 · 8 573 · 0 623 · 7 650 · 8 573 · 0 623 · 7 650 · 8 573 · 0 623 · 7 650 · 8 573 · 0 623 · 7 650 · 8 573 · 0 623 · 7 650 · 8 573 · 0 623 · 7 650 · 8 574 · 9 575 · 9 677	+33·9 61·9 -48·8 43·7 5·4 +29·7 57·9 -26·7 11·2 +18·2 61·0 0 18·2 +11·2 50·7 -57·9 29·7 + 5·4	Mitte Gelb. Gelblich Orange. Roth. Röthlich Orange. Gelb. Gelblich Orange. Gelb. Gelblich Orange. Roth. Orangelich Roth. Gelb. Roth. Gelb. Gelb. Gelb. Gelb. Orangelich Roth. Gelb. Gelb. Orangelich Roth. Gelb. Orangelich Roth. Roth. Gelblich Orange. Gelb.
197 · 417 206 · 605 216 · 526 225 · 518 234 · 000	9·188 9·921 8·992 8·482	611.9 660.7 598.8 564.9	43·7 48·8 —61·9 33·9	Röthlich Orange. Roth. Gelblich Orange. Mitte Gelb. neuen Periode.

Die Wellenschläge dieses Gemisches schwanken zwischen 562·8, genau der Mitte von Gelb, und 660·7 aus der oberen Hälfte des Roth.

In digo-Roth; $\lambda_i:\lambda_r=2:3$. Das Roth dieser Mischung ist nahe an C, etwa ein Zehntel der Distanz CD gegen D hin; die Wellenlänge, welche dieser Stelle des Spectrums entspricht, ist 649, die Amplitude 0·37. Zur Ermittelung der Knotenpunkte dient daher die Gleichung

 $0.43 \sin 180 x + \sin 120 x = 0$ woraus folgende Werthe abgeleitet wurden

Abscisse der Knotenpunkte	Differenz	Wellenlänge	Differenz	Entoprochendo Stello im Spectrum
0 1·322	1 · 322	572 · 43	+154.14	Im Gelb, nahe am Maximum.
3·000 4·678	1 · 678 1 · 678	726·57 726·57	0 154·14	Purpur.
6.000	1 · 322	572·43 Be	!	Im Gelb, nahe am Maximum. neuen Periode.

Die abwechselnden Wellenschläge dieses Gemenges liegen theils im Gelb des Spectrums, theils weit ausserhalb des sichtbaren Endes des Roth.

III. Blau. Die einfachsten Verhältnisse gegen die Wellenlängen der übrigen in der Mitte der 7 Hauptfarben liegenden Strahlen zeigt jener blaue Strahl, der in der Mitte des Blau, etwa $\frac{1}{8}$ der Distanz FG von F gegen G entfernt ist; seine Wellenlänge ist 460, seine Amplitude 0.26.

Blau-Grün; $\lambda_s:\lambda_{gr}=8:9$. Das entsprechende Grün hat die Wellenlänge 502, die Amplitude 0·52; im Spectrum liegt es etwa $\frac{3}{4}$ der Distanz EF von E gegen F hin. Die Gleichung für die Knotenpunkte der resultirenden Curve ist somit

 $0.5 \sin 55 x + \sin 40 x = 0$ woraus folgende Werthe für x sich ergeben:

0 4·320 4·327 497·5 1·0 12·982 4·370 502·6 5·0 21·764 4·414 507·6 9·3 26·259 4·681 538·3 43·6 36·000 5·060 581·9 0 41·060 4·681 538·3 21·4 50·236 4·414 507·6 9·3 45·741 4·495 516·9 9·3 45·741 4·495 516·9 9·3 54·650 4·414 507·6 9·3 54·650 4·370 502·6 4·1 50·236 4·414 507·6 9·3 54·650 4·314 507·6 9·3 54·650 63·355 4·327 497·5 0·7 67·682 4·320 496·8 0·7 67·682 72·000 Beginn einer neuen Periode.	Abscisse der Knotenpunkte	Differens	Wellenlänge	Differenz	Entsprechende Stelle im Spectrum
ll Degini einer neuen i er oue.	4 · 320 8 · 647 12 · 982 17 · 352 21 · 764 26 · 259 30 · 940 36 · 000 41 · 060 45 · 741 50 · 236 54 · 650 59 · 020 63 · 355 67 · 682	4·327 4·335 4·370 4·414 4·495 4·681 5·060 4·681 4·495 4·414 4·370 4·335 4·327	497·5 498·5 502·6 507·6 516·9 538·3 581·9 538·3 516·9 507·6 498·5 497·5	1·0 4·1 5·0 9·3 21·4 43·6 21·4 9·3 5·0 4·1 1·0	Mitte Grün. Grenze Gelb-Grün. Orangelich Gelb. Grenze Gelb-Grün. Mitte Grün. Bläulich Grün.

Die Wellenschläge schwanken zwischen 496.8, das nahe an der

Grenze des Blau und Grün (486·4), im Grün, und 581·9, das am obern Ende des gelben Streifens liegt.

Blau-Gelb; $\lambda_s:\lambda_{r^o}=4:5$. Das Gelb, das diesem Verhältnisse entspricht, hat die Wellenlänge 575, die Amplitude 0.95; es liegt im Spectrum nahe am Maximum der Lichtintensität, jedoch schon etwas gegen das obere (rothe) Ende hin. Die Gleichung zur Ermittelung der x wird folglich

 $0.27 \sin 90 x + \sin 72 x = 0$ woraus wir ableiten:

Abscisse der Knotenpunkte	Differens	Wellenlänge	Differenz	Entsprechendo Stelle im Speetrum
0 2·379 4·794 7·307 10·000 12·693 15·206 17·621 20·000	2·379 2·415 2·513 2·693 2·693 2·513 2·415 2·379	547·17 555·45 577·99 619·39 619·39 577·90 555·45 547·17	+ 8.28 22.54 41.40 0 -41.40 22.54 8.28 ginn einer	Gelb. Orangelich Gelb. Röthlich Orange. Orangelich Gelb. Gelb. neuen Periode.

Die Wellenlängen dieses Gemisches liegen sämmtlich im Gelb und Orange; das Minimum 547·17 ist in der unteren grünlichen Hälfte des Gelb, das Maximum 619·39 ganz nahe an der Grenze, wo Roth und Orange sich das Gleichgewicht halten (622).

Blau-Orange; $\lambda_b:\lambda_b:=16:21$. Das Orange hat die Wellenlänge 604, die Amplitude 0.67; es liegt im Spectrum ziemlich genau in der Mitte des Orange, etwa $^3/_b$ der Distanz CD von C gegen D hin. Die Gleichung für x ist demnach

 $0.39 \sin 22.5 x + \sin 17.143 x = 0$ woraus folgende Intervalle innerhalb einer grossen Periode sich ergeben:

Abscisse der Knotenpunkte	Diferenz	Wellenlänge	Differenz	Entsprechende Stelle im Spectrum
0 9·285 19·673 31·000 43·287 53·579 63·340 73·000 82·797	9·285 10·388 11·327 12·287 10·292 9·761 9·660 9·797 10·556	532.96 597.31 651.30 706.50 592.10 561.26 555.45 563.33 606.97	+64·35 53·99 55·20 114·40 30·84 5·81 + 7·88 43·64	Gelblich Grün. Orange. Roth. (Purpur.) Gelblich Orange. Gelb. Gelb. Gelb. Orange.

Abscisse der Knotenpunkte	Differens	Wellenlänge	Diferenz	Entsprechende Stelle im Spectrum
93·353 105·876 116·773 126·658 136·329 146·047 156·263 168·000 179·737 189·953 199·671 209·342 219·227 230·124 242·647 253·203 264·000 272·660 282·421 292·713 305·000 316·327 326·715 336·000	12·523 10·897 9·885 9·671 9·718 10·216 11·737 11·737 10·216 9·718 9·671 9·671 9·671 9·671 9·670 9·797 9·660 9·761 10·292 12·287 11·327 10·388 9·285	720·07 626·58 568·39 556·08 558·79 587·42 674·88 674·88 587·42 556·08 568·39 626·58 720·07 606·97 563·33 555·45 561·26 592·10 706·50 651·30 597·31 537·96	113·10 -93·49 58·19 12·31 3·04 +34·38 87·46 0 -87·46 34·38 + 3·04 12·31 58:19 93·49 -113.10 43·64 7·88 + 5·81 30·84 114·55·20 53·99 64·35	Grenze Orange Gelb. Roth. Grenze Orange Gelb. Gelb. Gelb. Orangelich Roth. (Purpur.) Orange. Gelb. Gelb. Gelb. Gelb. Gelb. Gelb. Gelb. Gelb. Gelbich Orange. (Purpur.)
1		De	P.mm cimer i	Honou Touron

Die Grenzwerthe der Wellenlängen dieses Gemisches sind 532.96, das noch im Grün liegt, wenn man nämlich 537.7 als Grenze zwischen Gelb und Grün annimmt, — und 720.07, das weit ausser der äussersten Grenze des Roth in den unsichtbaren Theil des Spectrums fällt.

Blau-Roth; $\lambda_b:\lambda_r=16:23$. Das Roth entspricht der Wellenlänge 661, der Amplitude 0·3; liegt also $\frac{1}{5}$ der Distanz BC von B gegen C hin. Hieraus leitet man folgende Gleichung ab:

 $0.86 \sin 22.5 x + \sin 15.652 x = 0$ wo x folgende Werthe repräsentirt:

Abscisse der Knotenpunkte	Differens	Wellenlänge	Differenz	Entsprechende Stelle im Spectrum
0 8·998 19·382 37·457 47·096 56·676	8·998 10·384 18·075 9·639 9·580	517·4 597·0 1039·3 554·2 550·8	+79·6 442·3485·1 3·4 + 2·2	Grün. Orange. (?) Gelb.
66 · 293 84 · 260	9·617 17·967 9·962	553·0 1033·0 567·1	480·0 —465·9	(?) Gelb.

Abscisse der Kaotenpunkte	Differenz	Wellenfänge	Differenz	Entspreehende Stelle im Spectrum
94 · 162	9.615	552.9	14.2	
103 - 777		552-1	0.8	
113 - 379	9.602			
123-113	9.734	559.6	+ 7.5	(9)
141-199	18.086	1030.9	480.3	(2)
150.878	9.679	556.5	-473.4	Gelb.
160-449	9.571	550.3	- 6.2	
170.009	9.560	549.6	0	4
184 . 000	13.991	804 - 5	-254.9	Purpur.
197 . 991	13.991	804.5	0	Purpur.
207-551	9.560	549.6	-254.9	Gelb.
217-122	9.571	550.3	+ 0.7	
226 . 801	9.679	556.5	6.2	
244 887	18.086	1039.9	-480.3	(?)
254 621	9.734	559.6	7.5	Gelb.
264 223	9.602	552-1	+ 0.8	Geib.
273 - 838	9.615	552.9	14.2	
283 - 740	9.902	567-1	465.9	(2)
	17.967	1033 . 0	-480.0	(?)
301 - 707	9.617	553.0	2.2	Gelb.
311-424	9.580	550.8		
321.004	9.639	554 . 2	+ 3.4	
330 - 643	18.075	1039 - 3	485-1	(?)
348.718	10.384	597.0	-442.3	Orange.
359-102	8.998	517.4	79.6	Grün.
368 · 000			ginn einer	neuen Periode.

IV. Grün. Das Grün, das der Berechunng der folgenden Mischungen zu Grunde gelegt wurde, hat die Wellenlänge 512, die Amplitude 0.55; es liegt daher im Spectrum genau in der Mitte des grünen Streifens, oder genau in der Mitte des Raumes EF.

Grün-Gelb; $\lambda_{gr}:\lambda_{ge}=9:10$. Dieses Gelb entspricht einer Wellenlänge 569, deren Amplitude 0.99 ist; es befindet sich daher fast genau an der Stelle des Maximums der Lichtintensität des Spectrums. Die Gleichung zur Berechnung der Knotenpunkte erhält daher folgende Gestalt:

 $0.55 \sin 40 x + \sin 36 x = 0$ woraus folgende x abgeleitet werden:

Abseisse der Knotenpunkte	Differenz	Wellenlänge	Differenz	Batsprechende Stelle im Spectrum
0 4·811 9·628 14·450 19·290 24·159	4·811 4·817 4·822 4·840 4·869 4·922	547·4 548·1 548·6 550·7 554·0 560·0	+ 0·7 0·5 2·1 3·3 6·0	Grünlich Gelb. Mitte Gelb.

Abscisse der Knotenpunkte	Differenz	Wellenlänge	Differens	Estsprechende Stelle im Spectrum
29·081 34·104 39·355 45·000 50·645 55·896 60·919 65·841 70·710 75·850 80·372 85·189 90·000	5·023 5·251 5·645 5·645 5·251 5·023 4·922 4·860 4·840 4·822 4·817 4·811	571 · 5 597 · 4 642 · 3 642 · 3 597 · 4 571 · 5 560 · 0 554 · 0 550 · 7 548 · 6 548 · 1 547 · 4	11·5 25·9 44·9 25·9 11·5 6·0 3·3 2·1 0·5	Gelblich Orange. Roth. Gelblich Orange. Mitte Gelb. Grünlich Gelb.
80.000		Be	ginn einer	neuen Periode.

Grün-Orange; λ_r : $\lambda_o = 6$: 7. Das Orange befindet sich im Spectrum mehr an der fixen Linie D, etwa $^1/_7$ der Distanz DC von D entfernt; es hat eine Wellenlänge = 597, eine Amplitude = 0.73. Die Gleichung zur Ermittelung'der Intervalle wird daher

 $0.75 \sin 60 x + \sin 51.429 x$ wonach folgende Tafel berechnet wurde:

Abscisse der Knotenpunkte	Differens	Welleziänge	Diferens	Entsprechende Stelle im Spectrum
0 3·267 6·539 9·819 13·132 16·558 21·000 25·442 28·858 32·171 35·451 38·723 42·000	3·267 3·272 3·280 3·313 3·416 4·442 4·442 3·416 3·313 3·280 3·272 3·267	557·57 558·42 559·78 565·42 582·99 758·08 758·08 582·99 565·42 559·78 558·42 559·78	+0.85 1.36 5.64 17.57 165.09 0 165.09 17.57 5.64 1.36 0.85	Gelb. Orangelich Gelb. Purpur. Orangelich Gelb. Gelb.
300		Be	ginn einer	neuen Periode.

Grün-Roth; $\lambda_{\rm gr}:\lambda_{\rm r}=18:23$. Das Roth, das diesem Verhältnisse entspricht, hat eine Wellenlänge von 654, eine Amplitude von 0·33; es liegt im Spectrum dicht an der fixen Linie C, und zwar auf der unteren Seite. Die transcendente Gleichung, die aus diesen Daten abgeleitet wird, ist

 $1.66 \sin 20 x + \sin 15.652 x = 0$ nach welcher folgende Oscillations-Intervalle berechnet wurden:

Abseisse der Knotenpunkte	Differenz	Wellenlänge	Differenz	Entsprechende Stelle im Spectrum
0	9.789	220.0	Part of	Gelb.
9.789	2000	556.9	- 5.5	
19.481	9.692	551.4	18.3	Grünlich Gelb.
28.850	9.369	533 · 1	58.4	Grünlich Blau.
37.192	8.342	474.7	78.6	H in d. untern Hälfte d. Violet
44 153	6.961	396-1	+66.0	Blau.
52.275	8.122	462.1	57.5	Gelblich Grün.
61 - 407	9.132	519.6	29.7	Grünlich Gelb.
71.062	9.655	549.3	6.9	Gelb.
80.837	9.775	556.2	1.2	GCID.
90.634	9.797	557.4	- 4.2	
100.358	9.724	553.2	15.9	Grenze zwischen Grün u. Gell
109.802	9.444	537.3	33.9	Schwach bläulich Grün.
118 650	8.848	503 - 4	111.1	Violett, jenseits H.
125 - 546	6.896	392.3	+44.1	Indigo.
133-218	7.672	436 4	137.8	Gelb.
143-310	10.092	574.2	-84.5	Grün-Blau.
151 917	8.607	489.7	+65.8	Gelb.
161-681	9.764	555.5	2.1	Geib.
171 478	9.797	557.4	- 2.9	
181-224	9.746	554.5	11.4	Grünlich Gelb.
190.769	9.545	543.1	37.3	Bläulich Grün.
199-658	8.889	505.8	88.0	biautien Grun.
207 . 000	7 342	417.8	0	Bläulich Violett.
214 - 342	7.342	417.8	+88.0	Bläulich Grün.
224 . 231	8.889	505.8	37.3	Grünlich Gelb.
233-776	9.545	543.1	11.4	Gelb.
243 - 522	9.746	554.5	2.9	Gelb.
253 - 319	9.797	557.4	- 2.1	
263 . 083	9.764	555-5	65.8	Grün-Blau.
271 - 690	8.607	489.7		
281 - 782	10.092	574.2	+84·5 -137·8	Gelb.
289 - 454	7.672	436 4	44.1	Indigo.
296 - 350	6.896	392.3	+111.1	Violett, jenseits H.
305 - 198	8.848	503.4		Schwach bläulich Grün.
314 642	9.444	573.3	33·9 15·9	Grün-Gelb.
324 . 366	9.724	553 - 2	4.2	Gelb.
334 - 163	9.797	557.4		
343.938	9.775	556.2	-1.2	0 - 0 - 0 -
353 - 593	9.655	549.3	16.9	Grünlich Gelb.
362 - 725	9.132	519.6	29 7	Gelblich Grün.
370 847	8.122	462-1	57.5	Blau.
377.808	6 961	396 -1	66.0	H in d. untern Hälfte d. Violet
386 150	8.342	474.7	+78.6	Grünlich Blau.
395.519	9.369	533 - 1	58.4	Grünlich Gelb.
405 211	9.692	551 -4	18.3	Gelb.
100 611	9.789	556.9	5.5	

V. Gelb. Als Grundfarbe in den folgenden Mischungen wurde ein Gelb gewählt, das zwischen E und D etwa $^2/_3$ dieser Strecke von E gegen D liegt. Die Wellenlänge daselbst ist 563, die Amplitude 0.94.

Gelb-Orange; $\lambda_{gr}: \lambda_o = 14:15$. Das Orange hat die Wellenlänge 603, die Amplitude 0.68 und entspricht einem Strahle, der im Spectrum etwa 1/2 der Distanz DC von D gegen C hin sich befindet. Die Gleichung in x wird daher

1.38 $\sin 25.714 x + \sin 24 x = 0$ wonach folgende Daten gewonnen werden:

Abscisse der Knotenpunkte	Differenz	Wellenlänge	Differenz	Entsprechende Stelle im Spectrum
0	7.202	579-1		Orangelich Gelb.
7 . 202		578.9	- 0.2	
14 - 402	7.200		0.2	
21 . 601	7.199	578.7	0.2	
28.797	7.196	578.5		
35.988	7 191	578.1	0.4	
43 - 173	7.185	577.6	0.2	
50.348	7.175	576.8	0.8	
57.508	7.160	575.6	1.2	
64 651	7.143	574.2	1.4	
71.756	7.105	571.2	3.0	22000 00000
78.807	7.051	566.9	4.3	Mitte Gelb.
85.743	6.936	557.7	9.2	
	6.708	539.3	18.4	Grün-Gelb.
92 · 451	6.502	522 - 7	26.6	Gelblich Grün.
99.993	6.047	486.2	36.5	
105.000		55087	0	Blau-Grün.
111.000	6.047	486.2	+36.5	100
111.047	6.502	522.7		Gelblich Grün.
117.549	0.500	539.3	26.6	General Gran
124 - 257	6.708	557.7	18.4	Grün-Gelb.
130 - 193	6.936	1 1 2 2 2 2 2 2 2 2	9.2	Mitte Gelb.
137-244	7.051	566.9	4.3	1000
144 - 349	7.105		3.0	
151 - 492	7:143	574.2	1.4	
158 - 652	7.160	575.6	1.2	
165 - 827	7.175	576.8	0.8	
173 . 012	7.185	577.6	0.5	
180 - 203	7.191	578.1	0.4	
187 - 399	7.196	578.5	0.2	
194 - 598	7.199	578.7	0.2	
202 - 798	7.200	578.9	0.2	
210.000	7.202	579.1		neuen Periode.

Gelb-Roth; $\lambda_{go}: \lambda_r = 7:8$. Diesem Roth entspricht jener Farbenton des Spectrums, der ½ der Distanz CD von C gegen D hin liegt; die zugehörige Wellenlänge ist 643, und die Amplitude 0.40, woraus folgende Gleichung abzuleiten ist:

 $2\cdot35 \sin 51\cdot429 \ x + \sin 45 \ x = 0$ nach welcher für x die nachfolgenden Werthe gewonnen werden:

Abseisse der Enotenpunkte	Differens	Wellenlänge	Differens	Entsprechende Stelle im Spectrum
0 3·634 7·262	3·634 3·628	584·3 583·4	- 0·9	Orangelich Gelb.
10·873 14·455 17·990	3·611 3·582 3·535	580·7 576·0 568·4	4·7 7·6 13·9	Gelb.
21·439 24·774 28·000	3 · 449 3 · 235 3 · 226	554·5 520·1 518·8	34·4 1·3	Gelblich Grün.
31·226 34·461 37·910	3·226 3·235 3·449	518·8 520·1 554·5	+ 1·3 34·4 13·9	Gelblich Grün. Gelb.
41 · 445 45 · 027 48 · 638	3·535 3·582 3·611 3·628	568·4 576·0 580·7 583·4	7·6 4·7 2·7	Orangelich Gelb.
52·266 56·000	3.634	584.3	0·9 ginn einer	neuen Periode.

VI. Orange. Das Orange, das der folgenden Rechnung zu Grunde gelegt wurde, befindet sich im Spectrum genau in der Mitte des orangenen Streifens, etwa $\frac{1}{4}$ der Distanz DC von D gegen C hin. Seine Wellenlänge ist = 605, die Amplitude = 0.67.

Orange-Roth; $\lambda_0:\lambda_r=12:13$. Das Roth dieser Mischung hat eine Wellenlänge von 655, eine Amplitude von 0·33; es befindet sich im Spectrum dicht neben der fixen Linie C_r , an der unteren Seite. Aus diesen Daten erhalten wir folgende Gleichung

 $2 \cdot 03 \sin 30 \ x + \sin 27 \cdot 692 \ x = 0$ aus der die Werthe der folgenden Tafel berechnet wurden:

Abseisse der Knotenpunk te	Diferens	Wellenlänge	Differens	Entsprechende Stelle im Spectrum
0 6·177 12·309 18·449 24·600 30·727 36·840 42·927 49·021 54·974 60·893 66·707 72·359 78·000 83·641 89·293	6·177 6·132 6·140 6·151 6·127 6·113 6·087 6·094 5·953 5·919 5·814 5·652 5·641 5·652	622·7 618·1 618·9 620·0 617·6 616·2 613·5 614·2 600·0 596·6 586·0 569·7 568·6 568·6	- 4.6 + 0.8 1.1 - 2.4 1.4 2.7 + 0.7 - 14.2 3.4 10.6 17.3 1.1 0 + 1.1	Orange-Roth. Röthlich Orange. Orange. Gelblich Orange. Orangelich Gelb. Gelb.

Abseisse der Knotenpunkte	Differenz	Wellenlänge	Differenz	Entsprechende Stelle im Speetrum
95·107	5·814	586·0	10.6	Gelblich Orange. Orange. Röthlich Orange. Orange-Roth. neuen Periode.
101·026	5·919	596·6	3.4	
106·979	5·953	600·0	14.2	
113·073	6·094	614·2	0.7	
119·160	6·087	613·5	+ 2.7	
125·273	6·113	616·2	1.4	
131·400	6·127	617·6	2.4	
137·551	6·151	620·0	— 1.1	
143·691	6·140	618·9	0.8	
149·823	6·132	618·1	+ 4.6	
156·000	6·177	622·7	ginn einer	

B. Amplituden des resultirenden Strahles.

Die Gleichung des resultirenden Strahles ist

$$y = a \sin \frac{2\pi}{\lambda_1} x + b \sin \frac{2\pi}{\lambda_2} x;$$

um die grössten Abweichungen aus der Ruhelage der oscillirenden Theilchen zu erfahren, muss diese Gleichung differentiirt und der erste Differentialquotient gleich Null gesetzt werden; man erhält so

$$\frac{dy}{dx} = a \frac{2\pi}{\lambda_1} \cos \frac{2\pi}{\lambda_1} x + b \frac{2\pi}{\lambda_2} \cos \frac{2\pi}{\lambda_2} x = 0$$

das ist

$$\frac{a}{b} \cdot \frac{\lambda_a}{\lambda_1} \cos \frac{2\pi}{\lambda_1} x + \cos \frac{2\pi}{\lambda_a} x = 0,$$

nach welcher Gleichung die folgenden Tafeln gerechnet worden sind. Die erste Columne enthält die Abscisse, für welche ein Maximum eintritt; die zweite die Phase des einen Strahles in dieser Abscisse; die dritte den zu dieser Phase gehörigen Ausschlag; die vierte die Phase des anderen componirenden Strahles für die Abscisse der ersten Columne; die fünfte den zu dieser Phase gehörigen Ausschlag des zweiten Strahles; dies echste die Amplitude des resultirenden Strahles.

Es versteht sich von selbst, dass dieselben Componenten beibehalten wurden, welche in den Tafeln der Wellenlängen der Rechnung zu Grunde gelegt wurden.

I. Violett.
$$\lambda = 400$$
; $a = 0.07$.

Violett-Indigo; $\lambda_r: \lambda_i = 12:13$. Es ist $\lambda_i = 436$, b = 0.17; folglich die Gleichung zur Bestimmung der Abscissen

$$0.44 \cos 30 x + \cos 27.692 x = 0$$

wonach folgende Tafel berechnet wurde:

Abscisse	V i o	lett	lad	ligo	Amplitude
der Maxima	Phase	Ausschlag	Phase	Ausschlag	
3.170	95°10	+0.0697	87°78	+0.1698	+0.2395
9.510	285 · 30	-0.0675	26 3 · 35	-0·1688	-0.2363
15.855	115 - 65	+0.0631	79.05	+0.1669	+0.2300
22 · 206	306 · 18	-0.0565	254 · 92	-0.1642	-0.2207
28 · 571	137 · 13	+0.0476	71 - 17	+0.1280	+0.2056
34.954	328 · 62	-0·0364	247 · 94	-0.1575	-0·1939
41 · 369	161 - 07	+0.0227	62.29	+0.1548	+0.1775
47.853	355 · 59	-0.0054	245.06	-0·1542	-0.1596
54 · 323	189 · 69	-0·0118	64 · 31	+0.1532	+0.1414
60 · 924	27 · 72	+0.0326	247 · 10	-0.1567	-0.1241
67 · 653	229 · 59	0.0233	73 - 43	+0.1629	+0.1096
74 · 526	75.78	+0.0678	263 · 78	-0·1690	0·1012
81 - 474	284 · 22	-0.0678	96 · 22	+0.1690	+0.1012
88 - 347	130 - 41	+0.0533	286 · 57	-0·1629	0.1096
95.076	332 · 2 8	-0.0326	112.90	+0.1567	+0.1241
101 - 677	110.31	+0.0118	295 · 69	0·1532	-0·1414
108 · 147	4-41	+0.0084	54.94	+0.1542	+0.1596
114 · 631	198 · 93	-0.0227	294 · 41	0·1548	— 0·1775
121 · 046	31.38	+0.0364	112.06	+0.1575	+0.1939
127 - 429	222 · 87	-0.0476	288 · 83	0·1580	-0.2056
133 · 794	53 · 82	+0.0565	105.08	+0.1642	+0.2207
140-145	244 · 35	-0.0631	280 · 95	-0·1669	0 ⋅2300
146 · 490	74.70	+0.0675	96 · 65	+0.1688	+ 0 · 2363
152 · 820	264 · 90	0.0697	272 · 22	-0·1698	-0·2395

Violett-Blau; $\lambda_v: \lambda_b = 7:8$. Es ist $\lambda_b = 458$, b = 0.26; daher die gesuchte transcendente Gleichung $0.309 \cos 51.429 x + \cos 45 x = 0$

woraus folgende Werthe erhalten werden:

Abscisse	Violett		Blau		Amplitude
der Maxima	Phase	Ausschlag	Phase	Ausschlag	
1.935	99°51	+0.0690	87°07	+0.2596	+0.3286
5.810	298 - 79	-0.0613	261 45	-0.2571	-0 3184
10.069	157 83	+0.0264	93 · 11	+0.2598	+0.2862
13.788	349 · 10	-0.0132	260 · 46	-0.2564	-0·2696
17 · 602	185 · 25	-0·0064	72 · 09	+0.2474	+0.2410
21.711	36 · 57	+0.0417	257.00	-0.2533	-0·2116
25 - 897	251 · 85	-0·0665	85 · 37	+0.2591	+0.1926
30 · 103	108 · 15	+0.0665	274 · 63	-0.2591	-0.1926
34 · 289	323 · 43	-0.0417	103.00	+0.2533	+0.2116
38 398	174.75	+0.0064	187 · 91	-0.2474	-0.2410
42 · 212	10.90	+0 0132	99 · 54	+0.2564	+0.2696
45 · 931	202 · 17	-0.0264	266 · 89	-0.2598	-0.2862
50-190	61 · 21	+0.0613	98 · 55	+0.2571	+0.3184
54 · 065	260 · 49	-0.0690	272 · 93	-0·2596	-0·3286

Violett-Grün; $\lambda_r:\lambda_{gr}=7:9$. Es ist $\lambda_{gr}=515$, b=0.58; daher die Gleichung zur Ermittelung der Abscissen der Maximumausschläge

 $0.15 \cos 51.429 x + \cos 40 x = 0$ woraus die Daten dieser Tafel berechnet werden:

Abscisse	Violett		Grin		Amplitude
der Maxima	Phase	Ausschlag	Phase	Ausschlag	
2.171	111°65	+0.0650	86°84	+0.5791	+0.6441
6.552	336 · 95	-0.0274	262 · 04	-0.5744	-0.6018
11.055	191 - 45	-0·0334	82 · 20	+0.5746	+0.5412
15.753	90 · 15	+0.0699	270 · 12	-0.5799	-0.5100
20·503	334 · 44	-0.0302	100 · 12	+0.5709	+0.5407
24 · 946	202 · 96	-0.0274	277 · 84	-0.5746	-0·6018
29 · 329	68 · 36	+0.0620	93 · 16	+0.5791	+0.6441
33 · 671	291 · 64	-0.0650	266 · 84	-0.5791	- 0.6441
38.054	157 · 04	+0.0274	82 · 16	+0.5746	+0.6018
42.497	25 · 56	+0.0302	259 ·88	-0·5709	-0.5407
47.247	269 · 85	-0.0699	89 · 88	+0.5799	+0.2100
51 · 945	168 - 55	+0.0334	277 · 80	-0.5746	-0.5412
56.448	23 · 05	+0.0274	97 96	+0.5744	+0.6018
60 · 829	248 · 35	-0.0820	273 · 16	-0·5791	-0·6441

Violett-Gelb; $\lambda_r:\lambda_{ge}=5:7$. Es ist $\lambda_{ge}=560$, b=0.93; folglich die Gleichung zur Bestimmung der Maxima

 $0.1 \cos 72 x + \cos 51.429 x = 0$ woraus folgende Werthe sich ergeben:

Abscisse	Violett		Gelb		Amplitude
der Maxima	Phase	Ausschlag	Phase	Ausschlag	
1 · 710	123°12	+0.0583	87°94	+0.9294	+0.9877
5 · 188	12.54	+0.0164	266 · 80	-0.9285	-0.9121
8.751	270 · 07	- 0.0699	90.02	+0.9299	+0.8600
12.361	170.00	+0.0164	275 · 71	-0.9285	-0.9121
15.811	58 · 39	+0.0583	93 · 13	+0.9294	+0.9877
19.189	301 · 61	0.0583	266 · 87	-0.9294	-0.9877
22 · 639	190.00	-0.0164	84 · 29	+0.9285	+0.9121
26 · 249	89·93	+0.0699	269 · 95	-0.9299	-0.8600
29 812	346 · 46	-0.0164	93 · 20	+0.9285	+0.9121
33 · 290	236·88	-0·0583	272 · 06	-0.9294	-0.9877

Violett-Orange $\lambda_r: \lambda_o = 2:3$. Es ist $\lambda_o = 600$, b = 0.71; folglich die Gleichung zur Bestimmung der Maxima

 $0.13 \ cos \ 180 \ x + cos \ 120 \ x = 0$ woraus die Daten der folgenden Tafel berechnet werden:

Abscisse der Maxima Phase	Vic	lett	Orange		Amplitude
	Phase	Ausschlag	Phase	Ausschlag	
0.712	128°16	+0.0548	85°44	+0.7077	+0.7625
2 · 200	36.00	+0.0411	264 · 00	-0.7061	-0.6650
3 · 800	324.00	-0 0411	96.00	+0.7061	+0.6650
5·288	231 · 84	-0.0548	274·56	-0.7077	-0.7625

Violett-Roth; $\lambda_r:\lambda_r=8:13$. Es ist $\lambda_r=650$, b=0.37; folglich die Gleichung zur Ermittelung der Maxima

 $0.31 \cos 45 x + \cos 27.692 x = 0$

aus welcher folgende Tafel berechnet wurde:

Abscisso	Vi.	Violett		Rotb		
der Maxima	Phase	Ausschlag	Phase	Ausschlag	Amplitude	
2.848	128°16	+0.0550	78 ⁹ 85	+0.3630	+0.4180	
9.511	68.00	+0.0649	263 ·38	-0.3675	0.3026	
16.787	35 · 42	+0.0405	104-85	+0.3879	+0.3984	
22 · 503	292 · 64	-0.0645	263 · 15	-0.3672	-0.4317	
28 · 696	211.32	0.0363	74 · 64	+0.3567	+0.3204	
36 · 373	196 · 79	-0.0202	287 · 24	-0.3534	-0·3736	
42 - 176	97.92	+0.0693	87 · 93	+0.3697	+0.4390	
48-100	4.50	+0.0055	252.00	-0.3159	-0.3464	
55.900	355 50	-0.0055	108 - 00	+0.3159	+0.3464	
61 · 824	262 · 08	-0.0693	272 · 07	-0.3697	-0 4390	
67.827	103 · 21	+0.0202	72 · 76	+0.3534	+0.3736	
75 304	148-68	+0.0363	285 · 36	-0.3567	-0.3204	
81 - 497	67 · 36	+0.0645	96 · 85	+0.3672	+0.4317	
87 · 213	324 · 58	0.0405	255 · 15	-0.3579	-0.3984	
94 · 489	292 · 00	0.0649	96 · 62	+0.3675	+0.3026	
101 - 152	231 84	-0.0220	281 · 15	-0.3630	-0.4180	

II. In dig o. $\lambda = 433$; a = 0.16.

In dig o - Blau; $\lambda_i : \lambda_b = 15 : 16$. Es ist $\lambda_b = 462$, b = 0.27; folglich die Gleichung zur Berechnung der Maxima:

 $0.69 \cos 24 x + \cos 22.5 x = 0$

mittelst welcher die Zahlen der folgenden Tafel erhalten wurden:

Abscisse	Ind	Indigo		Blau		
der Maxima	Phase	Ausschlag	Phase	Ausschlag	Amplitude	
3.892	93°41	+0.1597	87°67	+0.2697	+0.4294	
11 · 683 19 · 463	280·39 67·11	-0.1574 + 0.1529	262·87 77·92	-0.2678 + 0.2640	-0.4252 + 0.4169	
27·265 35·057	294·36 121·36	-0·1443 +0·1366	253 · 46 68 · 78	-0.2588 + 0.2516	$-0.4031 \\ +0.3882$	
42.861	308 · 66	-0.1249	244 · 37	-0.2434	-0·3683	
50·673 58·495	136·15 323·88	+0·1108 0·0942	60·14 236·14	+0.2341 -0.2242	+0.3449 -0.3184	
66·333 74·195	151 · 99 340 · 68	+0·0751 0·0530	52·49 229·39	+0.2142 -0.2049	+0.2893 -0.2579	
82 · 118	170.83	+0.0254	47 · 66	+0.1995	+0.2249	
90·061 98·148	1 · 46 205 · 55	+0·0008 0·0429	226 · 37 48 · 32	-0.1953 + 0.2017	-0·1945 +0·1588	
106·483 115·316	35·59 247·58	+0·0931 0·1478	235 · 96 73 · 61	-0.2234 + 0.2603	-0.1303 + 0.1125	
124 · 684 133 · 517	52 · 42	+0.1478	286 · 39	-0.2603	-0.1125	
141.852	324 · 41 154 · 45	-0.0931 + 0.0429	124 · 04 311 · 68	+0.2234 -0.2017	$+0.1303 \\ -0.1588$	

Abscisse	Indigo		Blau		Amplitude
der Maxima	Phase	Ausschlag	Phase	Ausschlag	
149·939	358°54	-0.0008	133°63	+0·1953	+0·1945
157·882	189·17	-0.0254	312·34	-0·1995	-0·2249
165·805	19·32	+0.0530	130·61	+0·2049	+0·2579
173·667	208·01	-0.0751	307·51	-0·2142	-0·2893
181·505	36·12	+0.0942	123·86	+0·2242	+0·3184
189·327	223·85	-0.1108	299·86	-0·2341	-0·3449
197·139	51·34	+0.1249	115·63	+0·2434	+0·3683
204·943	238·64	-0.1366	291·22	-0·2516	-0·3882
212·735	65 · 64	+0·1443	106 · 54	+0.2588	+0.4031
220·537	292 · 89	-0·1529	282 · 08	-0.2640	-0.4169
228·317	79 · 61	+0·1574	97 · 13	+0.2678	+0.4252
236·108	266 · 59	-0.1597	272 · 33	-0.2697	-0.4294

Indigo-Grün; $\lambda_i : \lambda_{gr} = 5 : 6$. Es ist $\lambda_{gr} = 519$, b = 0.60; folglich die Gleichung in x

 $0.35 \cos 72 x + \cos 60 x = 0$ aus der folgende Werthe berechnet wurden:

Abscisse	Indigo		G 1	Amplitude	
der Maxima	Phase	Ausschlag	Phase	Ausschlag	
1 · 426 4 · 289 7 · 186 10 · 166 13 · 331 16 · 669 19 · 834 22 · 814 25 · 711 28 · 574	102°37 308·80 157·39 11·95 229·83 130·17 348·05 202·61 51·20 257·63	+0·1561 -0·1246 +0·0613 +0·0331 -0·1383 +0·1383 -0·0613 +0·1246 -0·1561	85°56 257·34 71·16 249·96 79·86 280·14 110·04 288·84 102·66 274·44	+0·5982 -0·5854 +0·5679 -0·5637 +0·5906 -0·5906 +0·5637 -0·5679 +0·5854 -0·5982	+0.7543 -0.7100 +0.6292 -0.5306 +0.4523 -0.4523 +0.5306 -0.6292 +0.7100 -0.7543

In digo-Gelb; $\lambda_1:\lambda_{so}=13:17$. Es ist $\lambda_{so}=566$, b=0.95; folglich die transcendente Gleichung zur Ermittelung der Abscissen der Maxima

 $0.22 \cos 27.692 x + \cos 21.176 x = 0$ woraus die Zahlen der folgenden Tafel bestimmt wurden:

Abscisse	Indige		G	Amplitude	
der Maxima	Phase	Auschiag	Phase	Ausschlag	
4·008 12·196 20·759	110°99 337·72 214·75	+0·1495 -0·0606 -0·0912	84°87 258·07 79·59	+0.9462 -0.9115 +0.9344	+1·0957 -0·9721 +0·8432 -0·8080
29·950 38·850 47·160 55·245	119·37 355·83 226·12 89·85	+0·1394 -0·0115 -0·1153 +0·1599	274 · 22 102 · 69 278 · 66 89 · 86	-0.9474 +0.9267 -0.9391 +0.9499	+0.9152 -1.0544 +1.0098
63 · 335 71 · 660	313·88 184·40	-0·1153 -0·0130	291·18 77·48	$ \begin{array}{r} -0.9387 \\ +0.9272 \end{array} $	-1 0540 +0.9142

Thecrees		igo	Gelb		Amplitade
der Maxima	Phase	Ausschlag	Phase	Ausschlag	
80 · 555 89 · 774 98 · 303 106 · 433 114 · 567 122 · 697 131 · 226 140 · 445 149 · 340 157 · 665 165 · 755 173 · 840	70°73 326·02 202·21 67·33 292·67 157·79 33·98 289·27 175·60 46·12 270·15 33·88	+0·1510 -0·0894 -0·0605 +0·1476 -0·1476 +0·0605 +0·0894 -0·1510 +0·1153 -0·1599 +0·1153	265°84 101·04 281·66 93·82 266·18 78·34 258·96 94·16 282·52 98·82 270·14 81·34	-0.9475 +0.9295 -0.9304 +0.9479 -0.9479 +0.9304 -0.9295 +0.9475 -0.9272 +0.9387 -0.9499 +0.9391	-0·7965 +0·8401 -0·9909 +1·0957 -1·0957 +0·9909 -0·8401 +0·7965 -0·9142 +1·0540 -1·0098 +1·0544
182 · 150 190 · 050 200 · 241 208 · 804 216 · 992	4·17 240·63 145·25 22·28 249·01	+0·0115 -0·1394 +0·0912 +0·0606 -0·1495	257·31 85·78 280·41 101·93 275·13	-0·9267 +0·9474 -0·9344 +0·9115 -0·9462	-0.9152 +0.8080 -0.8432 +0.9721 -1.0957

In digo-Orange; $\lambda_1: \lambda_0=13:18$. Es ist $\lambda_0=599$, b=0.73; folglich die Gleichung der Maxima

 $0.3 \cos 27.692 x + \cos 20 x = 0$ woraus die Daten der folgenden Tafel gezogen sind:

Abscisse	l a d	igo	Ora	nge	Amplitude
der Maxima	Phase	Aussehlag	Phase	Ausschlag	_
4.139	114°61	+0.1454	82 ⁹ 78	+0.7243	+0.8697
12 · 638	349.96	-0.0278	252 · 76	-0.6971	0·7 24 9
22 · 324	258 · 19	-0.1566	86 · 48	+0.7286	+0.5720
32 · 374	176 · 50	+0.0098	287.48	0.6962	0·68 64
40.998	55 · 31	+0.1315	99 · 96	+0.7189	+0.8504
49 283	284 · 75	-0.1547	265 · 66	-0.7279	0·8826
57 · 693	147-62	+0.0855	73 · 86	+0.7011	+0.7866
67 · 007	55 · 55	+0.1318	260 · 14	-0.7193	0·5875
77 · 265	339 · 62	-0·0555	105 · 30	+0.7040	+0.6485
86 · 116	224 · 72	-0.1126	282·32	—0·7131	_0·8257
94 • 478	96 · 29	+0.1590	89.56	+0.7299	+0.8889
102.775	326 · 04	-0·0894	255 · 50	—0·7067	0·7961
111 · 781	215 · 43	0·0926	75 · 62	+0.7070	+0·6144
122 · 219	144 · 57	+0.0926	284·38	-0.7070	0·61 44
131 · 225	33 · 96	+0.0894	104.50	+0.7067	+0.7961
139 · 522	263 · 71	-0.1590	270 · 44	_0.7299	0·8889
147 · 884	135 · 28	+0.1126	77 ·88	+0.7131	+0.8257
156.735	20.38	+0.0555	254·7 0	_0 7040	-0·6485
166-993	304 · 45	-0·1318	99 · 86	+0.7193	+0.5875
176-307	212.38	-0.0855	286 · 14	-0·7011	-0.7866
184 · 717	75 · 25	+0.1547	94 · 34	+0.7279	+0.8826
193 · 002	304 · 69	-0·1315	260·04	-0.7189	-0.8504
201 · 626	183 · 50	0·0098	72 · 52	+0.6962	+0.6864
211 · 676	101 · 81	+0.1566	273 · 51	0·7286	_0·5720
221 · 362	10.04	+0.0278	107 · 24	+0.6971	+0.7249
229·861	24 5 · 39	 0·1454	277 · 22	-0.7243	—0·869 7

In dig o-Roth; $\lambda_i:\lambda_r=2:3$. Es ist $\lambda_r=649$, b=0.37; folglich die Gleichung zur Ermittelung der Abscissen der Maxima der resultirenden Curve

$$0.64 \cos 180 x + \cos 120 x = 0$$

woraus folgende Tafel berechnet wurde:

Abscisse	Indigo		Roth		Amplitude
der Maxima	Phase	Ausschlag	Phase	Ausschlag	
0.628	113°04	+0.1473	75°36	+0.3579	+0.5052
1 · 928 4 · 072	347·04 12·96	-0.0359	231 · 36 128 · 64	-0.2888 + 0.2888	-0.3247 + 0.3247
5.372	246 · 96	-0.1473	284 · 64	-0.3579	-0.5052

III. Blau. $\lambda = 460$; a = 0.26.

Blau-Grün; $\lambda_b:\lambda_{gr}=8:9$. Es ist $\lambda_{gr}=502$, b=0.52; folglich die Gleichung der Maxima

$$0.56 \cos 45 x + \cos 40 x = 0$$

wonach folgende Werthe gefunden wurden:

Abscisse der Maxima	Grün		Blau		Amplitude
	Phase	Ausschlag	Phase	Ausschlag	Ampirede
2.153	85°12	+0.2181	95°88	+0.2585	+0.7766
6 · 463	257 · 52	-0.5077	289 · 84	-0.2445	-0.7522
10.780	71 · 20	+0.4922	125 · 10	+0.2127	+0.7049
15.135	245 · 4 0	-0.4728	321 · 08	-0.1633	-0.6361
19 479	59 · 16	+0.4466	156.56	+0.1075	+0.5541
23.901	236 · 04	-0.4312	355 · 55	-0.0201	-0.4513
28 · 460	58·40	+0.4429	200.70	0.0919	+0.3210
33 · 357	254 · 28	-0.2002	61 · 07	+0.2275	-0.2730
38 · 643	105.72	+0.5005	298 · 93	-0.2275	+0.2730
43.540	301 . 60	-0.4429	159 · 30	+0.0919	-0.3510
48.099	123.96	+0.4312	4 · 45	+0.0201	+0.4513
52 · 521	300 · 84	-0.4466	204 · 44	-0.1075	-0.5541
56 · 865	114 · 60	+0.4728	38.92	+0.1633	+0.6361
61 · 220	288 · 80	-0.4922	234.90	-0.2127	-0·7049
65 - 537	102 48	+0.5077	70 16	+0.2445	+0.7522
69 · 847	274 · 88	-0.5181	264 - 12	-0·2585	-0.7766

Blau-Gelb; $\lambda_b:\lambda_{go}=4:5$. Es ist $\lambda_{go}=575$, b=0.95; folglich die Gleichung zur Bestimmung der grössten Abweichungen aus der Ruhelage

$$0.34 \cos 90 x + \cos 72 x = 0$$

aus der wir folgende Tafel berechnen:

Abscisse der Maxima	Blau		Gelb		Amplitude
	Phase	Ausschlag	Phase	Aussehlag	, , , , , , , , , , , , , , , , , , ,
1-177	105 · 93	+0.2500	84 · 84	+ 0.9461	+1.1961
3.544	318 · 96	-0.1707	255 17	-0·9182	-1.0889
5.974	177 - 66	+0.0102	70.33	+0.8946	+0.9051
8 584	52.56	+0.2064	258 · 05	-0.9292	-1·1356
11 416	307 · 44	-0·2064	101.95	+0.9292	+1.1356
14.026	182 · 34	-0.0102	289 · 67	-0.8946	-0.9051
16 456	41.04	+0.1707	104 · 83	+0.9182	+1.0889
18.823	254.07	-0.2500	275 · 16	-0.9461	-1·1961

Blau-Orange; $\lambda_s : \lambda_a = 16 : 21$. Es ist $\lambda_a = 604$, b = 0.67; folglich die transcendente Gleichung der Maxima

 $0.51 \cos 22.5 x + \cos 17.143 x = 0$

nach welcher die Daten der folgenden Tafel bestimmt wurden:

Abscisse	BI	A 4	0 r a	nge	Amplitude
der Maxima	Phase	Ausschlag	Phase	Ausschlag	
4.752	106 · 92	+0.2487	81 · 35	+0.6624	+0.9111
14.347	322 · 80	-0.1570	245·94	-0.6118	0 ⋅7688
24 · 435	189 • 79	-0.0440	5 8 · 88	+0.5734	+0.5294
37.965	134 · 21	+0.1865	290 · 83	0 · 6272	-0·4407
48·910	20.48	+0.0910	118-46	+0.2889	+0.6799
58 · 627	239·1 0	-0.2230	235 03	-0· 543 8	- 0.7718
68 154	93 · 46	+0.2595	87.55	+0.6693	+0.9288
77 · 686	307 · 93	-0.2061	251 · 76	-0.6362	~· 0·8 423
87 · 636	171 · 81	+0.0369	62 · 34	+0.5935	+0.6304
99.054	68 · 72	+0.2423	258 08	-0.6555	-0·4132
112-041	0.90	+0.0040	120 · 71	+0.5760	+ 0.2800
121 · 991	224 · 80	-0·1833	291 · 28	-0.6243	-0·8076
131 - 547	79 80	+0.2559	95 · 10	+0.6673	÷ 0·9232
140 960	291 · 60	-0.2416	256·4 8	-0.6514	-0·8930
150.703	150 · 82	+0.1267	63 · 48	+0.2992	+ 0 · 7262
161 · 151	25 · 90	+0.1136	242 · 60	-0.5951	-0· 4 815
174 - 849	334·10	-0.1136	117-40	+0.5951	+0.4815
185 · 297	209 · 18	- 0 · 1267	296 · 52	—0·5995	-0.7262
195.040	68 · 40	+0.2416	103 · 52	+0.6514	+0.8930
204 · 453	280 · 20	-0.2559	264 · 90	-0.6673	-0.9232
214 009	135 · 20	+0.1833	68 72	+0.6243	+0.8076
223 - 959	359 · 10	-0.0040	239 · 29	-0.5760	-0.2800
236 946	291 · 28	_0·2423	101 · 92	+0.6555	+0.4132
248 · 364	188 · 19	-0·0 369	297 · 66	0·5935	-0.6304
258 · 314	52 · 07	+0.2061	108 · 24	+0.6362	+0.8423
267 · 846	266 · 54	-0·2595	272 · 45	- 0·6693	-0.9288
277 · 373	120 · 90	+0.2230	124 · 97	+0.5488	+0.7718
287 · 090	339 · 52	- 0.0910	241.54	-0·5889	-0 ⋅6799
298 · 035	225 · 79	- 0 · 1865	69 17	+ 0 · 6272	+0.4407
311 - 565	170.21	+0.0440	301 · 12	-0.5734	-0.5294
321 - 653	37 · 20	+0.1570	114.06	+0.6118	+0.7688
331 · 248	253 08	-0·2487	278 · 65	-0.6624	0.9111

Blau-Roth; $\lambda_b:\lambda_r=16:23$. Es ist $\lambda_r=661$, b=0.30; folglich die Gleichung zur Bestimmung der grössten Ausschläge des

resultirenden Strahles

 $1.24 \cos 22.5 x + \cos 15.652 x = 0$ woraus folgende Tafel berechnet wurde:

Abscisse	Blau		Roth		Amplitude
der Maxima	Phase	Ausschlag	Phase	Ausschlag	vmbiiteat.
4.624	104 · 04	+0.2522	72 · 37	+0.2859	+0.5381
13.811	310.75	0·1969	216 · 17	-0.1771	-0.3740
22 · 256	140.76	+0.1644	348 · 34	-0.0607	+0.1037
33 · 667	37.50	+0.1283	166 · 96	+0.0675	+0 2258
42.668	240 · 03	-0.2252	307 · 83	0·2369	-0.4621
51.911	88.00	+0.2599	92 · 51	+0.2997	+0.2296
61 · 152	295 · 92	0·2338	237 · 14	0·252 0	-0.4858
70 · 225	140.06	+0.1669	19.05	+0.0978	+0.2647
77 · 467	303.00	-0.5180	132 · 51	+0.2212	+0.0032
90 · 043	225 · 97	-0.1869	329 · 35	-0.1530	0 3399
99 · 195	71 · 89	+0.2471	112.60	+0.2769	+0.5240
108 • 445	280 · 01	0.2560	257 · 38	-0.2927	-0.5487
117.632	126 · 72	+0.0498	41 16	+0.1975	+0.2473
127 · 884	357 · 39	- 0 · 0120	201 · 63	0·1108	-0·1228
131 · 694	83 · 12	+0.2580	261 · 07	0·2963	0 · 0383
137 · 642	216.94	-0.1563	354 · 37	-0.2960	0·4493
146 · 511	56.50	+0.2168	133 · 19	+0.2188	+0.4356
155 · 665	262 46	0.2548	276 · 47	-0· 29 81	-0·5 52 9
164 979	112.02	+0.2410	62 · 25	+0.2655	+0.2062
174 · 100	317.25	-0·1764	225.01	-0.2121	0·3885
193.900	42.75	+0.1764	134 · 99	+0.2121	+0.3882
203 · 021	247 · 97	-0· 24 10	297 · 75	0· 265 5	-0·5065
212.335	97.54	+0.2548	83 · 53	+0.2981	+0.5529
221 · 489	303 · 50	_0· 216 8	226 · 81	0·2188	0·4356]
230 · 358	143.06	+0.1563	5 ⋅ 63	+0.2960	+0· 44 93
236 · 306	276 · 88	-0.2580	98 · 93	+0.2963	+0.0383
240.116	2.61	+0.0120	158 · 37	+0.1108	+0.1228
250 · 368	233 · 28	-0.0498	318 84	0·1975	-0.2473
259.555	79.99	+0.2560	102.62	+0.2927	+0.5487
268 · 805	288-11	-0.2471	247 - 40	0.2769	0·5240
277.957	134.03	+0.1869	30.65	+0.1530	+0 3399
280.533	57.00	+0.2180	227 · 49	0·2212	-0.0032
297.775	219.94	0.1669	340 95	-0.0978	-0·2647
306 · 848	64.08	+0.2338	122 · 86	+0.2220	+0.4858
316.089	272.00	-0.2599	267 · 49	-0.2997	-0·5596
325.332	119.97	+0.2252	52.17	+0.2369	+0.4621
334 · 333	322.50	-0.1583	193 · 04	0.0675	0·2258
345.744	219.24	-0·1644	11.66	+0.0607	-0.1037
354 · 189	49.25	+0.1969	143 · 83	+0.1771	+0.3740
363 · 376	255 · 96	-0.2522	287 · 63	0· 2859	-0·5 3 81

IV. Grün. $\lambda = 512$; a = 0.55

Grün-Gelb; $\lambda_{gr}:\lambda_{ge}=9:10$. Es ist $\lambda_{ge}=569$, b=0.99; folglich die aus diesen Constanten abgeleitete Maximumgleichung

 $0.61 \cos 40 x + \cos 36 x = 0$

nach welcher diese Tafel berechnet wurde:

Abscisso	G :	- 6 a	G	1 b .	Amplitude
der Maxima	Phase	Ausschlag	Phase	Ausschlag	
2.399	96.00	+0.5470	86 40	+0.9880	+1.5350
7 · 199	288.00	-0.5232	259 · 20	-0.9725	—1·4957
12.004	120 · 16	+0.4755	72 · 14	+0.9424	+1.4179
16.818	312.72	-0.4030	245 · 45	0·9006	1·3036
21 · 654	146 · 16	+0.3062	59.54	+0.8534	+1.1596
26 · 522	340 · 88	-0·1804	314.36	0· 708 0	-0.8884
31 · 454	178 · 16	+0.0176	52·34	+0.7837	+0.8013
36 · 637	25 · 48	+0.2365	238 · 93	-0.8480	-0·6115
42.184	247 · 36	-0.5076	78 · 62	+0.9704	+0.4628
47.816	112-64	+0.5076	281 · 38	-0.9704	-0·4628
53 · 363	334 · 52	-0·2365	121 · 07	+0.8480	+0.6115
58 - 546	181 · 84	-0.0176	307 · 66	0.7837	-0.8013
63 · 478	19-12	+0.1804	45.64	+0.7080	+0.8884
68 · 346	213 · 84	-0.3062	300 · 46	0.8534	1 · 1596
73 192	47.28	+0.4030	114.55	+0.9006	+1.3036
77.996	239 · 24	- 0.4755	287 · 86	-0.9424	-1.4179
82 - 801	72.00	+0.5232	100 · 80	+0.9725	+1.4957
87-601	264.00	-0.5470	273 · 60	0.9880	-1·5 35 0

Grün-Orange; $\lambda_{\rm gr}:\lambda_{\rm o}=6:7$. Es ist $\lambda_{\rm o}=597$, b=0.73; folglich die Gleichung zur Ableitung der Amplituden

 $0.87 \cos 60 x + \cos 51.429 x = 0$

woraus folgende Werthe gefunden wurden:

Abseisse	Grán		Orange		Amplitude
der Mazima	Phase	Ausschlag	Phase	Ausschlag	
1·624	97 · 44	+0.5454	83 · 53	+0.7253	+1·2707
4·873	292 · 38	-0.5085	250 · 03	-0.6867	-1·1952
8·127	127 · 62	+5.4356	57 · 96	+0.6188	+1·0544
11·389	323 · 34	-0.3285	225 · 72	-0.5227	-0·8512
14·677	160 · 62	+0.1806	34 · 40	+0.4125	+0·5931
18·106	6 · 36	+0.0608	211·17	-0·3778	-0·3170
23·894	353 · 64	-0.0608	148·83	+0·3778	+0·3170
27·323	199 · 38	-0.1806	325·60	-0·4125	-0·5931
30·611	36 · 66	+0.3285	134·27	+0·5227	+0·8512
33·873	232 · 38	-0.4356	302·04	-0·6188	-1·0544
37·127	67 · 62	+0.5085	109·97	+0.6867	+1·1952
40·376	262 · 56	-0.5454	276·47	-0.7253	-1·2707

Grün-Roth; $\lambda_{gr}: \lambda_{r} = 18:23$. Es ist $\lambda_{r} = 654$, b = 0.33; folglich die Gleichung der Maxima

 $2.12 \cos 20 x + \cos 15.652 x = 0$

woraus folgt:

Abscisse	Gran		R	Amplitude	
der Maxima	Phase	Ausschlag	Phase	Ausschlag	
4·835 14·456 23·864	96°70 289 · 12 117 · 28	+0.5463 0.5192 +0.4886	75·67 226·26 13·52	+0·3197 -0·2384 +0·0772	+0.8660 0.7576 +0.5658

Abscisse	G r	6 a	Re	t h	Amplitude
der Maxima	Phase	Ausschlag	Phase	Ausschlag	an partie
32 · 528	290 · 56	-0.5149	149-11	+0.1693	-0·3456
40.649	92.98	+0.5492	276 · 24	- 0· 32 80	+0.2212
48 · 409	248 · 18	-0.5106	37.70	+0.2017	0⋅3089
57.119	62.38	+0.4872	174.01	+0.0344	+0.5216
66 · 462 75 · 920	248 · 24 78 · 40	-0·5108 +0·5387	320 · 26	-0.2110	-0·7218
85 · 702	274 04	-0·5497	108·30 261·41	+0·3133 0·3263	+0.8520 -0.8760
95.341	106.82	+0.265	52 · 26	+0.2608	+0.7873
104 593	291 · 86	-0·5105	197.09	-0·0966	-0.6071
113 · 827	116.54	+0.4920	339 · 61	-0.1149	+0.3771
121 - 929	278 · 58	-0.5438	108 - 43	+0.3131	-0.2307
129 · 585	71.70	+0.5222	228 · 27	-9·2462	+0.2760
138 · 060	241 · 20	-0· 4 819	1.26	+0.0033	-0 4786
147 · 346	66.92	+0.2028	146 · 24	+0.1834	+0 6893
156.905	258 · 10	-0.5382	295.88	0.2972	0·8 354
166 - 353	87.06	+0.5495	83.74	+0.3280	+0.8775
176 · 219 185 · 865	284·38 117·30	-0.5327	238 · 07	-0.2804	-0.8131
194 · 885	297.70	+0·4887 -0 4870	29·15 171·04	+0.1607	+0.6494
203 · 188	103.76	+0.5342	300 · 29	-0·2849	-0·4357 +0·2493
210.812	256.24	-0.5342	59.71	+0.2849	-0·2493
219-115	62 · 30	+0.4870	188.96	-0.0513	+0.4357
228 · 135	242.70	-0.4887	330.82	-0.1607	-0.6494
237 · 781	75 - 62	+0.5327	121 . 93	+0.2804	+0.8131
247 - 647	272 - 94	-0.5495	276 · 26	-0.3280	-0·8775
257 · 095	101.90	+0.5382	64 · 12	+0.2972	+0.8354
266 · 654	293 · 08	0·50 59	213 · 76	-0·1834	-0·6893
275 · 940	118.80	+0.4819	358 · 44	-0·0033	+0.4786
284 · 415	288 · 30	-0.5222	131 · 73	+0.2462	-0.2760
292 · 081 300 · 173	81 · 42	+0.5438	251.57	-0.3131	+0.2307
309 407	243 · 46 68 · 14	$-0.4920 \\ +0.5105$	20:39	+0.1149	—0·3771
318 659	253 · 18	-0.265	162·91 307·74	+0.0966 -0.2608	+0.6071 -0.7873
328 · 298	65.96	+0.5497	98.59	+0.3263	+0.8760
338 · 080	281.60	-0·5387	251.70	-0·3133	-0·8520
347.538	111.76	+0.2108	39.74	+0.2110	+0.7218
356 · 881	297 · 62	- 0.4872	185 . 99	-0.0344	-0·5216
365 · 591	111.92	+0.5106	322.30	-0·2017	+0.3089
374.351	267 · 02	-0.5492	83 · 76	+0.3280	-0.2212
381 - 472	69 · 44	+0.5149	210.89	-0.1693	+0.3456
390 · 136	242.72	0· 4 886	346 · 48	—0∙0772	-0·5658
399.544	70 88	+0.5192	133 · 74	+0.2384	+0.7576
409 · 165	263 · 30	-0.5463	284·33	-0.3197	-0.8660

V. Gelb. $\lambda = 563$; a = 0.94.

Gelb-Orange; $\lambda_{ge}: \lambda_{o} = 14:15$. Es ist $\lambda_{o} = 603$, b = 0.68; folglich die aus diesen Daten bestimmte Gleichung:

 $1.48 \cos 25.714 x + \cos 24 x = 0$

woraus folgende Tafel berechnet wurde:

Abseisse der Maxima	6	116	Ora	28.	Amplitude
OFF MAXIMA	Phase	Aussehlag	Phase	Ausschlag	
3 · 596	92°46	+0.9391	86.30	+0.9979	+1.6176
10.789	277 · 42	0·9330	258 · 94	0·9814	1·6005
17·980	102 · 34	+0.9182	71 · 52	+0.9484	+1.5630
25 ·169	287 · 19	-0.8980	244 · 06	-0·8992	1 · 5094
32 · 355	111 · 98	+0.8726	56 · 52	+0.5671	+1.4397
39 · 529	296 · 44	-0·8417	228·70	—0.2108	1 · 3525
46 • 699	120 · 81	+0.8072	40.78	+0.4441	+1.2513
53 · 855	304 · 82	0·8037	212.52	-0·3655	-1·1692
60 · 985	128 · 16	+0.7390	23 · 64	+0.2725	+1.0112
68 ·099	311.09	-0.7084	194 38	-0·1689	0.8773
75 · 159	132 · 65	+0.6913	3.82	+0.0453	+0.7366
82 · 117	311.56	0·7031	170.81	+0.1082	-0.2946
88 · 725	121 - 47	+0.8017	339·40	0· 2 392	+0.2622
95 · 6 00	298 · 26 ·	-0.8278	134 · 40	+0.4857	-0·3421
101 · 817	98 · 11	+0.9316	283 · 61	0·630 9	+0.3007
108 · 183	261 89	-0.9316	76 · 39	+0.6309	0:3007
114.400	61 · 74	+0.8278	225 · 60	0·4857	+0.3421
121.275	238 · 53	-0.8017	20.60	+0.2392	-0.2625
127.883	48.44	+0.7031	189 - 19	 0 · 1085	+0.5946
134 · 841	227.35	-0.6913	356 · 18	-0.0453	-0.7366
141.901	48 91	+0.7084	165 · 62	+0.1689	+0.8773
149.015	231 · 84	0.7390	336 · 36	-0 2725	-1.0112
156 145	82.18	+0.8037	147 48	+0.3655	+1.1692
163 · 301	239 · 19	-0.8072	319 22	0.4441	1·2513
170 · 471	63.26	+0.8417	131 · 30	+0.5108	+1.3525
177 · 645	248.02	-0.8726	303 · 48	-0·5671	-1·4397
184 · 831	72.81	+0.8980	115.94	+0.6114	+1.5094
192.020	257 · 66	-0.9182	288 · 48	0.6448	1 · 563 0
199 · 211	82.28	+0.9330	101.06	+0.6675	+1.6002
206 · 404	267 · 54	-0.9391	273.70	0·6785	1·6176

Gelb-Roth; $\lambda_{\rm ge}:\lambda_{\rm r}=7:8.$ Es ist $\lambda_{\rm r}=643,\,b=0.40$; folglich unsere Gleichung der Maxima

 $2.69 \cos 51.429 \ x + \cos 45 \ x = 0$

woraus folgt:

Abocioso	G e l b		Roth		Amplitude
der Maxima	Phase	Ausschlag	Phase	Aussehlag	warba.
1.812	93 · 18	+0.9382	86°54	+0.3956	+1.3341
. 5429	280 · 20	-0.9252	244 · 31	0 3605	—1 · 2857
9 · 037	104.76	+0.9088	46 67	+0.2909	+1.1997
12 · 621	289 · 09	-0·8883	207 · 95	-0.1874	-1 0757
16 - 174	111 · 81	+0.8727	7 · 73	+0.0548	+0.9275
19.644	290 · 27	-0.8827	163 · 98	+0.1104	-0.7723
23 · 059	105 · 90	+0.9038	317.66	-0·2694	+0.6344
26 · 368	276 · 08	-0 9348	106.56	+0.3834	-0.5514
29 · 632	83 · 92	+0.9348	253 · 44	-0.3834	+0.5514
32 · 941	254·10	-0.9038	42.34	+0.2694	-0.6344
36 · 356	69 · 73	+0.8827	196 - 02	-0.1104	+0.7723
3.9826	248 · 19	-0.8727	352.27	-0.0548	0.9275

VBactate		elb 1		o t h	Amplitude
der Maxima	Phase	Ausschlag	Phase	Ansschlag	Amparage
43·379 46·963 50·571 54·188	70·91 255·24 79·80 266·82	+0.8883 -0.9088 +0.9252 -0.9385	152·05 313·33 115·69 278·46	+0·1874 -0·2909 +0·3605 -0·3956	+1·0757 -1·1997 +1·2857 -1·3341

VI. Orange. $\lambda = 605$; a = 0.67.

Orange-Roth; $\lambda_o:\lambda_r=12:13$. Es ist $\lambda_r=655$, $\delta=0.33$; folglich die durch diese Constanten bestimmte Gleichung der grössten Ausschläge im resultirenden Strahle

 $2.2 \cos 30 \ x + \cos 27.692 \ x = 0$ wonach die Angaben für folgende Tafel gerechnet sind:

Abscisse	0 r	анде	Roth		Amplitude
der Maxima	Phase	Ausschlag	Phase	Aussehlag	Amplitude
3.074	92922	+0.6694	85.11	+0.3288	+0.9982
9.220	276 - 60	-0.6654	255 32	-0.3192	-0.9846
15.363	100.89	+0.6579	65 . 43	+0.3001	+0.9580
21 - 498	284 . 94	-0.6473	235.32	-0.2736	-0.9209
27.624	108 - 72	+0.6345	44.95	+0.2331	+0.8676
33.736	291 . 78	-0.6228	213.94	-0.1841	-0.8069
39.835	115.05	+0.6069	23.11	+0.1296	+0.7365
45 . 885	296 - 55	-0.5994	190.64	-0.0608	-0.6602
51 . 900	117.00	+0.5970	357 - 21	+0.0161	+0.5809
57.858	295 - 74	- 0.6035	161-19	+0.1065	-0.4970
63 - 726	111.78	+0.6222	324.70	-0.1907	+0.4315
69 - 497	284 . 91	-0.6479	124.51	+0.2719	-0.3760
75 - 179	95.37	+0.6670	281 . 86	-0.3230	+0.3440
80 . 821	264 · 63	-0.6670	78.14	+0.3230	-0.3440
86.503	75.09	+0.6479	235 · 49	-0.2719	+0.3760
92-274	248 - 22	-0.6222	35.30	+0.1907	-0.4315
98.142	64 . 26	+0.6035	198 · 81	-0.1065	+0.4970
104-100	243.00	-0.5970	2.79	+0.0161	-0.5809
110-115	63 - 45	+0.5994	169.36	+0.0608	+0.6602
116-165	244.95	-0.6069	336.89	-0.1296	-0.7365
122 - 264	68 - 22	+0.6228	146.06	+0.1841	+0.8069
128 - 376	251 . 28	-0.6345	315.05	-0.2331	-0.8676
134-502	75.06	+0.6473	124 · 68	+0.2736	+0.9209
140 - 637	259-11	-0.6579	294 - 57	-0.3001	-0.9580
146.780	83 · 40	+0.6654	104 · 68	+0.3192	+0.9846
152-926	267.78	-0.6694	274.89	-0.3288	-0.9982

C. Intensität im resultirenden Strahle.

Es wurde im dritten Abschnitte ') dieses Aufsatzes der strenge Beweis geführt, dass die Intensität des aus zwei oder mehreren verschieden gefärbten Strahlen beliebiger Amplitude resultirenden

¹⁾ S. Sitzungsberichte der k. Akad. der Wissensch. Maiheft 1854.

gefärbten oder weissen Strahles gleich sein müsse der Summe der Intensitäten der componirenden Strahlen. Dies kann also hier keiner weiteren Ausführung unterliegen. Dagegen ist es für die Beurtheilung der Empfindung, welche ein gemischter Strahl erregt, von Wichtigkeit, die Intensitäten der einzelnen rhythmisch wiederkehrenden Wellenschläge zu kennen, und die folgenden Tafeln enthalten die entsprechenden Verhältnisszahlen. Sie sind berechnet nach der allgemeinen Formel der Intensitäten, nach welcher die Intensitäten verschieden gefärbter Strahlen sich direct verhalten, wie die Quadrate der Amplituden und verkehrt wie die Wellenlängen. Strenge genommen ist diese Formel nur giltig für den nach der Sinuslinie schwingenden einfachen homogenen Strahl, da in demselben eine reine Pendelbewegung der einzelnen Ätherpunkte stattfindet; hier dagegen weder von einer Amplitude noch auch von einer Wellenlänge im Sinne jener einfachsten Bewegung die Rede sein kann, vielmehr die Intensitäten, die rhythmisch entwickelt werden, aus dem Integrale

$$\int_{t_{1}}^{t_{2}} \left(\frac{dy}{dt}\right)^{2} dt$$

bestimmt werden sollten, wo die Grenzen t_1 und t_2 den Zeitmomenten entsprechen, in welchen ein schwingender Punkt durch die Ruhelage passirt. Da aber die auf diesem strengen Wege erhaltenen Zahlen nur sehr wenig von den nach der einfachen Formel gerechneten Verhältnissgrössen abweichen, so können letztere als brauchbare, für die hier beabsichtigte Näherung vollkommen richtige Näherungswerthe betrachtet werden, wodurch die Rechnung vielfach erleichtert und vereinfacht wird.

I. Violett. $\lambda = 400$; $\alpha = 0.07$.

Violett-Indigo; λ_i : $\lambda_i = 12:13$; mithin $\lambda_i = 436$, b = 0.17. Die Intensität des Violett ist im Verlaufe einer grossen Periode = 0.088; die des Indigo = 0.453. Diese vertheilen sich im resultirenden Strahle wie folgt:

Wellenlänge	Eatsprechende Farbe im	Amplitude	Intensität		
Mettenrange	8peetrum		Gelb (570) = 1	Eigenes Verhältniss	
423 · 1	Violettlich Indigo	0·2395	0·0764	1·000	
423 · 4		0·2363	0·0747	0·977	
423 · 6		0·2300	0·0713	0·920	
424·4	"	0·2207	0·0656	0.858	
425·4	Indigo	0·2056	0·0569	0.745	

	Entsprechende Farbe im		Intensität		
Wellenlange Spectrum	Amplitude	Gelb (570) = 1	Eigenes Verhältniss		
427 · 1	Indigo	0.1939	0.0502	0.657	
429 · 2	n	0.1775	0.0416	0.544	
432.3	Mitte Indigo	0.1596	0.0336	0.439	
437.0	Tiefschattig Blau	0.1414	0.0257	0.337	
443.8	Schattig Blau	0.1241	0.0200	0.262	
452 · 1	Blau	0.1096	0.0154	0.202	
458.4	Hellblau	0.1912	0.0126	0.164	

Summe der im Verlaufe einer grossen Periode entwickelten Intensität des Violett = 0.088.

Summe der im Verlaufe einer grossen Periode entwickelten Intensität des Indigo = 0.453

Summen beider = 0.541.

Summe der im Verlaufe einer grossen Periode im resultirenden Strahle entwickelten Intensität = 0.544.

Violett-Blau; $\lambda_r: \lambda_b = 7:8$; mithin $\lambda_b = 458$, b = 0.26. Es ist daher

$$J_{v}:J_{b}=68:838.$$

Die Intensitäten im resultirenden Strahle vertheilen sich daher folgendermassen:

	Entsprechende Farbe im	Amplitude	Intensität		
Wellenlänge	Spectrum		Gelb (570) = 1	Eigenes Verhältniss	
444 · 23	Dunkelblau	0.3286	0.1391	1.000	
444-69	•	0.3184	0.1300	0.935	
447.66	77	0 · 2862	0.1037	0.745	
452-12	Blau	0 · 2696	0.0918	0.659	
460 · 23	,	0.2410	0.0718	0.516	
470-63	Hellblau	0.2116	0.0547	0.393	
480.45	Grünlich Blau	0.1926	0.0439	0.315	

Summe der im Verlaufe einer grossen Periode entwickelten Intensität des Violett = 0.054.

Summe der im Verlaufe einer grossen Periode entwickelten Intensität des Blau = 0.641.

Summe beider = 0.641.

Summe der im Verlaufe einer grossen Periode im resultirenden Strahle entwickelten Intensität = 0.635.

Violett-Grün; $\lambda_r:\lambda_{gr}=7:9$; somit $\lambda_{gr}=515$, b=0.58. Es ist daher

$$J_r:J_{rr}=68:3722.$$

Im resultirenden Strahle vertheilen sich die Intensitäten auf folgende Weise:

	Entsprechende Farbe im	Amplitude	Intensität		
Wellcalange	Spectram		Gelb (570) = 1	Eigenes Verhältniss	
501 · 16	Grün	0.6441	0.4714	1.000	
507 - 89	_	0.6018	0.4064	0.862	
524 . 00	<u> </u>	0.5412	0.3181	0.674	
535 · 20	Gelblich Grün	0.5100	0.2770	0.587	
522 · 86	Grün	0.5407	0.3186	0.674	
508 - 57		0.6018	0.4064	0.862	
500 · 34	"	0.6441	0.4714	1.000	

Gesammtbetrag der im Verlaufe einer grossen Periode entwickelten Intensität des Violett = 0.061.

Gesammtbetrag der im Verlaufe einer grossen Periode entwickelten Intensität des Grün = 2.605.

Summe beider = 2.666.

Gesammtbetrag der im Verlaufe einer grossen Periode entwickelten Intensität im resultirenden Strahle = 2.669.

Violett-Gelb; $\lambda_r:\lambda_{go}=5:7$; mithin $\lambda_{go}=560$; b=0.94. Es verbălt sich daher

$$J_{\mathbf{v}}:J_{\mathbf{g}\bullet}=68:8801.$$

Im resultirenden Strahle sind die Intensitäten folgendermassen vertheilt

Wellenlänge	Estsprochende Farbo im Spectrum	Amplitude	Intensität		
			Gelb (570)=1	Eigenes Verhältniss	
548-48	Gelblich Grün	0.9877	1.0152	1.000	
563 · 04	Gelb	0.9121	0.8419	0.829	
567 · 68	•	0.8600	0.7421	0.730	
572 · 16	 #	0.9121	0.8288	0.816	
548 - 64	Gelblich Grün	0.9877	1.0129	0.998	

Gesammtbetrag der im Verlaufe einer grossen Periode entwickelten Intensität des Violett = 0.048.

Gesammtbetrag der im Verlaufe einer grossen Periode entwickelten Intensität des Gelb — 4.401.

Summe beider = 4.449.

Gesammtbetrag der im Verlaufe einer grossen Periode entwickelten Intensität im resultirenden Strahle = 4.441. Differenz = 0.008: Fehler = 0.002.

Violett-Orange; $\lambda_v: \lambda_o = 2:3$; mithin $\lambda_o = 600$; b = 0.71. Es verhält sich daher

 $J_{r}:J_{o}=68:4788.$

Im resultirenden Strahle werden diese Intensitäten auf folgende Weise sich vertheilen:

Wellenlänge	Entsprechende Farbe im Spectrum	I	Intensität	
		Amplitude	Gelb (570) = 1	Eigenes Verhältniss
582·8 617·2	Orangelich Gelb Röthlich Orange	0·7625 0·6650	0·5577 0·4087	1·000 0·734

Gesammtbetrag der im Verlaufe einer grossen Periode entwickelten Intensität des Violett = 0.020.

Gesammtbetrag der im Verlaufe einer grossen Periode entwickelten Intensität des Orange = 0.957.

Summe beider = 0.977.

Gesammtbetrag der im Verlaufe einer grossen Periode entwickelten Intensität im resultirenden Strahle = 0.966.

Violett-Roth; $\lambda_r:\lambda_r=8:13$; mithin $\lambda_r=650$, b=0.37. Es verhält sich daher in dieser Mischung

$$J_r:J_r=68:1197.$$

Im resultirenden Strahle sind die Intensitäten auf folgende Weise vertheilt:

	Entsprechende Farbe im Spectrum	Amplitude	Intensität		
Wellenlänge			Gelb (570) = 1	Eigenes Verhältniss	
610-6	Orange	0.4180	6 · 1630	0.885	
724 · 8	Purpur	0.3026	0.0724	0.393	
627 · 3	Orangelich Roth	0.3984	0.1436	0.779	
701 . 7	Röthlich Purpur	0.4317	0.1516	0.823	
708 · 7	2 2	0.3204	0.0821	0.446	
651 · 8	" Roth "	0.3736	0 · 1221	0.663	
595 · 8	Gelblich Orange	0.4390	0.1841	1.000	
681 · 6	Purpurlich Roth	0.3464	0.0998	0 542	

Gesammtbetrag der im Verlaufe einer grossen Periode entwickelten Intensität des Violett = 0.088.

Gesammtbetrag der im Verlaufe einer grossen Periode entwickelten Intensität des Roth = 0.957.

Summen beider = 1.046.

Gesammtbetrag der im Verlaufe einer grossen Periode entwickelten Intensität im resultirenden Strahle (nach unserer Näherungsmethode) = 1.018. Fehler = 0.028.

II. Indigo. $\lambda = 433$; $\alpha = 0.16$; J = 0.0336.

In digo-Blau; $\lambda_i : \lambda_b = 15 : 16$; mithin $\lambda_b = 462$, b = 0.27.

Es verhält sich daher für diese Strahlen

 $J_1:J_2=336:901.$

Im resultirenden Strahle vertheilen sich diese Intensitäten in der folgenden Weise:

W-1112	Entspreehende Farbe im	4	Intensität		
Wellenlänge	Spectrum	Amplitude	Gelb (570) = 1	Eigenes Verhāltniss	
450.0	Dunkelblau	0.4294	0.2331	1.000	
450-1	"	0 · 4252	0.2286	0.987	
450 · 2	 9	0.4169	0.2200	0.944	
450-5		0.4031	0.2052	0.880	
450-8	 20	0.3882	0 · 1904	0.816	
451 - 3		0.3683	0.1710	0.733	
451.8	,	0.3449	0.1545	0.663	
452 · 7	•	0.3184	0.1271	0.546	
454 . 0	Blau	0.2893	0.1049	0.450	
456.0		0.2579	0.0832	0.357	
459.6	Hellblau	0.2249	0.0775	0.332	
464 0		0 · 1945	0.0462	0.198	
474 - 3		0.1588	0.0302	0 · 129	
493 · 3	Blaulich Grün	0.1303	0.0194	0.083	
519.3	Grün	0.1125	0.0121	0.052	

Gesammtbetrag der im Verlaufe einer grossen Periode entwickelten Intensität des Indigo = 0.538.

Gesammthetrag der im Verlaufe einer grossen Periode entwickelten Intensität des Blau = 1.352.

Summe beider = 1.890.

Gesammtbetrag der im Verlaufe einer grossen Periode entwickelten Intensität des resultirenden Strahles (nach unserer Näherungsformel) = 1.903 Differenz = 0.013.

In dig o-Grün; $\lambda_i:\lambda_{gr}=5:6$; mithin $\lambda_{gr}=519$, b=0.60. Es ist daher das Verhältniss der Intensität der beiden interferirenden Strahlen

$$J_{\rm i}:J_{\rm gr}=336:3956$$

Diese Intensitäten sind in resultirenden Strahlen nach folgenden Verhältnissen vertheilt:

Wellenlänge	Entspreehende Farbe im Speetram	Amplitude	Intensität		
			Gelb (570) = 1	Bigenes Verhältniss	
497.8	Bläulich Grün	0.7543	0.6504	1.000	
501.5	Grün	0.7100	0.5723	0.881	
511.0	_	0.6292	0.4412	0.678	
530.3	Gelblich Grün	0.5306	0.3032	0.466	
557-4	Gelb	0.4523	0.2086	0.320	

Gesammtbetrag der im Verlaufe einer grossen Periode entwickelten Intensität des Indigo = 0.201.

Gesammtbetrag der im Verlaufe einer grossen Periode entwickelten Intensität des Grün = 1.978.

Summe beider = 2.179.

Gesammtbetrag der im Verlaufe einer grossen Periode entwickelten Intensität des resultirenden Strahles (nach unserer Näherungsformel) = 2.176. Differenz = 0.003.

In digo-Gelb; $\lambda_i:\lambda_{go}=13:17$; mithin $\lambda_{go}=566$, b=0.95. Es ist daher das Verhältniss der Intensitäten der beiden interferirenden Strahlen

 $J_{\mathbf{i}}:J_{\mathbf{go}}=336:9092$

Diese Intensitäten sind im resultirenden Strahle nach folgenden Verhältnissen vertheilt:

Wellenlänge	Entsprechende Farbe im	A	Intensität		
Metterrande	Spectrum	Amplitude	Gelb (\$70) = 1	Rigenes Verhältniss	
550.0	Gelb	1.0957	1 · 2449	0.989	
551.5		0.9721	0.9753	0.776	
587.3	Gelb-Örunge	0.8432	0.6903	0.248	
599·6	Orange	0.8080	0.6202	0.493	
570.9	Gelb	0.9152	0.8356	0.663	
548·9	Schwachgrünlich Gelb	1.0544	1 · 1531	0.916	
442.5	Grünlich Gelb	1.0098	1.0705	0.820	
549.9	Schwachgrünlich Gelb	1.0540	1 · 1508	0.914	
¥69·6	Gelb	0.9142	0.8204	0.652	
599.6	Orange	0.7965	0.6031	0.480	
587.4	Gelb-Orange	0.8401	0.6851	0.544	
557.7	Gelb	0.9909	1.0032	0.797	
543.8	Grünlich Gelb	1.0957	1 · 2586	1.000	

Gesammtbetrag der im Verlaufe einer grossen Periode entwickelten Intensität des Indigo = 0.571.

Gesammtbetrag der im Verlaufe einer grossen Periode entwickelten Intensität des Gelb = 11.819.

Summe beider = 12.390.

Gesammtbetrag der im resultirenden Strahle im Verlaufe einer grossen Periode entwickelten Intensität (nach unserer Näherungsrechnung) = 12·111. Differenz = 0·280; Fehler = 0·022.

In digo-Orange; $\lambda_i : \lambda_o = 13 : 18$; mithin $\lambda_o = 599$, b = 0.73. Es verhalten sich demnach die Intensitäten der beiden interferirenden Strahlen wie

 $J_1:J_2=336:5064.$

Im resultirenden Strahle vertheilen sich diese Intensitäten auf folgende Weise:

Wellenlänge	Entepreehende Farbe im	A 124 - 3 -	Intensität		
wenermage	Spectrum	Amplitude	Gelb (570) = 1	Eigenes Verhältniss	
564 · 9	Gelb	0.8697	0.7632	0.950	
598 ·8	Orange	0.7249	0.4999	0.622	
660 · 7	Roth	0.5720	0-2822	0 · 351	
611.9	Röthlich Orange	9.6864	0 · 4383	0.545	
568 · 2	Gelb	0.8504	0.7250	0 · 903	
562.8		0.8826	0.7895	0 · 983	
592.5	Gelblich Orange	0.7866	0.5951	0.741	
650-4	Roth	0.5875	0 · 3032	0.377	
623.7	Roth-Orange	0.6485	0.3836	0.477	
573.0	Gelb	0.8257	0 · 6789	0.845	
561.8	9	0.8889	0.8031	1.000	
580·0	Orangelich Gelb	0.7961	0.6224	0.775	
641.0	Roth	0.6144	0.3352	Ŏ·417	

Gesammtbetrag der im Verlaufe einer grossen Periode entwickelten Intensität des Indigo = 0.605.

Gesammtbetrag der im Verlaufe einer grossen Periode entwickelten Intensität des Orange = 6.583.

Summe beider = 7.188.

Gesammtbetrag der im Verlaufe einer grossen Periode entwickelten Intensität des resultirenden Strahles = 7.219. Differenz = 0.031; Fehler = 0.004.

Indigo-Roth; $\lambda_1:\lambda_2=2:3$; mithin $\lambda_1=649$, $\delta=0.37$. Es verhalten sich demnach die Intensitäten der beiden interferirenden Strahlen wie

$$J_1:J_r=336:1203.$$

Diese Intensitäten vertheilen sich im resultirenden Strahle auf folgende Weise:

Wellenlänge	Entsprechende Farbe im Spectrum	Amplitude	Intensität	
			Gelb (570) = 1	Eigenes Verbāltaiss
572·43 726·57	Gelb (Purpur)	0·5052 0·3247	0·2542 0·0826	1·000 0·325

Gesammtbetrag der im Verlaufe einer grossen Periode entwickelten Intensität des Indigo = 1.008.

Gesammtbetrag der im Verlaufe einer grossen Periode entwickelten Intensität des Roth = 2.406.

Summe beider = 3.414.

Gesammtbetrag der im Verlaufe einer grossen Periode ent-

wickelten Intensität des resultirenden Strahles = 3.368. Differenz = 0.046. Fehler = 0.013.

III. Blau. $\lambda = 460$; a = 0.26; J = 0.0838.

Blau-Grün; $\lambda_b:\lambda_{gr}=8:9$; mithin $\lambda_{gr}=502$, b=0.52. Es verhält sich die Intensität der beiden interferirenden Strahlen wie $J_b:J_{gr}=838:3067$.

Im resultirenden Strahle vertheilen sich diese Intensitäten auf folgende Weise:

Wellenlänge	Entsprechende Farbe im Spectrum	Amplitude	Intensität		
			Gelb (570) = 1	Eigenes Verhāltniss	
496.8	Schwachbläulich Grün	0.7766	0.6920	1.000	
497.5	, ,	0.7522	0.6481	0.936	
498.5	Grün "	0.7049	0.5689	0.822	
562·6	,	0.6361	0.4583	0.662	
507.6		0.5541	0.3443	0.497	
516.9		0.4513	0.2240	0.323	
538 · 3	Grün-Gelb	0.3510	0.1305	0.188	
581 · 9	Schwachorangelich Gelb	$0 \cdot 2730$	0.0730	0.105	

Gesammtbetrag der im Verlaufe einer grossen Periode entwickelten Intensität des Blau = 0.754.

Gesammtbetrag der im Verlaufe einer grossen Periode entwickelten Intensität des Grün = 2.453.

Summe beider = 3.207.

Gesammtbetrag der im Verlaufe einer grossen Periode im resultirenden Strahle entwickelten Intensität = 3.140. Differenz = 0.067. Fehler = 0.021.

Blau-Gelb; $\lambda_b:\lambda_{go}=4:5$; mithin $\lambda_{go}=575$, b=0.95. Es verhält sich daher die Intensität der beiden interferirenden Strablen wie

$$J_b:J_{go}=838:8949.$$

Im resultirenden Strahle sind die Intensitäten auf folgende Weise vertheilt:

Wellenlänge	Entsprechende Farbe im Spectrum	Entangechende Farbe im		Intensität		
		Amplitude	Gelb (570) = 1	Eigenes Verhältniss		
547·17 555·45 577·99 619·39	Grünlich Gelb Gelb Röthlich Orange	1 · 1961 1 · 0889 0 · 9051 1 · 1356	1·4906 1·2180 0·8077 1·1885	1·000 0·817 0·542 0·796		

Gesammtbetrag der im Verlaufe einer grossen Periode entwickelten Intensität des Blau = 0.419.

Gesammtbetrag der im Verlaufe einer grossen Periode entwickelten Intensität des Gelb = 3.580.

Summe beider = 3.999.

Gesammtbetrag der im Verlaufe einer grossen Periode entwickelten Intensität des resultirenden Strahles (nach der Näherungsformel) = 4.704. Differenz = 0.705. Fehler 0.175.

Blau-Orange; $\lambda_b:\lambda_o=16:21$; mithin $\lambda_o=604$, b=0.67. Es verhält sich die Intensität in den beiden interferirenden Strahlen wie

$$J_{\rm b}:J_{\rm a}=838:4235.$$

Im resultirenden Strahle sind die Intensitäten folgendermassen vertheilt:

	Estaprechende Farbe im		Intensität		
Wellenlänge	Spectrum	Amplitude	Gelb (570) = 1	Eigenes Verhältniss	
532-96	Gelblich Grün	0.9111	0.8875	1.000	
597 - 31	Orange	0.7688	0.5659	0.637	
651 · 30	Roth	0.5294	0.2445	0 · 275	
706.50	(Röthlich Purpur?)	0.4407	0.1568	0.177	
592-10	Gelblich Orange	0.6799	0.3329	0.375	
561 26	Gelb	0.7718	0.6053	0.682	
555-45	_	0.9288	0.8874	1.000	
563 · 33		0.8423	0.7176	0.809	
606 - 97	Orange	0.6304	0.3728	0.420	
720 - 07	(Purpur)	0.4132	0.1351	0.152	
626 · 58	Orangelich Roth	0.2800	0.3055	0.344	
568 · 39	Gelb	0.8076	0.6555	0.738	
556.08		0.9232	0.8732	3 · 985	
553.04	-	0.8930	0.8219	0.926	
587-42	Gelb-Őrange	0.7262	0.5119	0.576	
674 · 88	Purpurlich Roth	0.4815	0.1955	0 · 220	

Gesammtbetrag der im Verlaufe einer grossen Periode entwickelten Intensität im blauen Strahle = 1.759.

Gesammtbetrag der im Verlaufe einer grossen Periode entwickelten Intensität im orangenen Strahle = 6.776.

Summe beider = 8.535.

Gesammtbetrag der im Verlaufe einer grossen Periode entwickelten Intensität des resultirenden Strahles = 8.270. Differenz = 0.265. Fehler = 0.031.

Blau-Roth; $\lambda_b: \lambda_r = 16:23$; mithin $\lambda_r = 661$, b = 0.30. Es verhalten sich die Intensitäten der interferirenden Strahlen wie $J_b: J_r = 838:775$.

Diese Intensitäten	vertheilen	sich	im	resultirenden	Strahle	auf
folgende Weise:						

Wellenlänge	Eatsprechende Farbe im Spectrum	Amplitade	Intensität	
			Gelb (570) = 1	Eigenes Verhältniss
517 - 4	Grün	0.5381	0.3186	0.982
442.3	Tiefschattig Blau	0.3740	0.1801	0.555
1039 · 3	(?)	0.2258	0.0279	0.086
554 · 2	Gelb	0.4621	0.2195	0.677
550.8	Schwachgrünlich Gelb	0.2296	0.3243	1.000
223.0	Gelb	0·4858	0.2434	0.707
1033 · 0	(?)	0.2647	0.0388	0.119
567 · 1	Gelb	0.3399	0.1163	0.358
552 · 9	2	0.5240	0.2827	0.871
552 · 1	"	0.5487	0.3112	0.959
559.6	"_	0.2473	0.0621	0 · 191
1039 · 9	(?)	0.4493	0 1106	0.341
556 · 5	Gelb	0 · 4356	0.1949	0.601
550.3	Schwachgrünlich Gelb	0.5529	0.3169	0.977
549.6	"	0.5065	0 · 2651	0.817
804.5	"(?)	0.3885	0.1066	0.325

Gesammtbetrag der im Verlaufe einer grossen Periode entwickelten Intensität im blauen Strahle = 1.240.

Gesammtbetrag der im Verlaufe einer grossen Periode entwickelten Intensität im rothen Strahle = 1.927.

Summe beider = 3.167.

Gesammtbetrag der im Verlaufe einer grossen Periode entwickelten Intensität im resultirenden Strahle = 3.119. Differenz = 0.048. Fehler = 0.015.

IV. Grün.
$$\lambda = 512$$
; $\alpha = 0.55$; $J = 0.3369$.

Grün-Gelb; $\lambda_{\rm gr}:\lambda_{\rm ge}=9:10$; mithin $\lambda_{\rm ge}=569,b=0.99$; folglich das Verhältniss der Intensitäten der beiden interferirenden Strahlen $J_{\rm gr}:J_{\rm ge}=3369:9821.$

Diese Intensitäten sind im resultirenden Strahle auf folgende Weise vertheilt:

Wellenlänge	Entsprechende Farbe im 8pectram	Amplitade	Intensität	
			Gelb (570) = 1	Eigenes Verhältniss
547·4 548·1 548·6 550·7 554·0 560·0 571·5 597·4 642·3	Schwachgrünlich Gelb """ "Gelb "" Orange Roth	1 · 5350 1 · 4957 1 · 4179 1 · 3036 1 · 1596 0 · 8884 0 · 8013 0 · 6115 0 · 4628	2·4550 2·3250 2·0873 1·7590 1·3845 0·8026 0·6195 0·3563 0·1903	1.000 0.947 0.850 0.716 0.564 0.327 0.252 0.145

Gesammtbetrag der im Verlaufe einer grossen Periode entwickelten Intensität im grünen Strahle = 8.838.

Gesammtbetrag der im Verlaufe einer grossen Periode entwickelten Intensität im gelben Strahle = 3.369.

Summe beider 12.207.

Gesammtbetrag der im Verlaufe einer grossen Periode entwickelten Intensität im resultirenden Strahle = 11.970. Differenz = 0.237. Fehler = 0.019.

Grün-Orange; $\lambda_{gr}: \lambda_o = 6:7$; mithin $\lambda_o = 597$, b = 0.73. Das Verhältniss der Intensitäten der beiden interferirenden Strahlen wird daher sein

$$J_{cc}: J_{o} = 3369:5084.$$

Diese Intensitäten vertheilen sich im resultirenden Strahle auf folgende Weise:

Wellenlänge	Entsprechende Farbe im	Amplitude	Intensität	
	Spectrum		Gelb (570) = 1	Eigenes Verhältniss
557 - 57	Gelb	1.2707	1.7502	1.000
558 - 42	"	1.1952	1 · 4586	0.833
559.78		1.0544	1 · 1303	0.646
565 · 42		0.8512	0.7308	0.418
582 · 99	Orangelich Gelb	0.5931	0.3449	0.197
758 · 08	(Purpur)	0.3170	0.0752	0.043

Gesammtbetrag der im Verlaufe einer grossen Periode entwickelten Intensität im grünen Strahle = 3.051.

Gesammtbetrag der im Verlaufe einer grossen Periode entwickelten Intensität im orangenen Strahle = 2.358.

Summe beider = 5.409.

Gesammtbetrag der im Verlaufe einer grossen Periode entwickelten Intensität im resultirenden Strahle = 5.490. Differenz = 0.081. Fehler = 0.015.

Grün-Roth; $\lambda_r:\lambda_r=18:23$; mithin $\lambda_r=654$, b=0.33. Es ist daher das Verhältniss der Intensitäten der beiden interferirenden Strahlen

$$J_{\rm gr}:J_{\rm r}=3369:946.$$

Im resultirenden Strahle sind diese Intensitäten nahezu folgendermassen vertheilt:

	Entsprechende Farbe im Spectrum	Amplitude	Intensität	
Wellenlänge			Gelb (570) = 1	Eigenes Verbāltniss
556.9	Gelb	0.8660	0.7672	0.974
551 · 4	Schwachgrünlich Gelb J	0.7576	0.5944	0.755
533 • 1	Gelblich Grün	0.5658	0.3426	0 · 435
474.7	Schwachgrünlich Blau	0.3456	0.1436	0.182
396 · 1	Violett	0.2212	0.0707	0.089
462 · 1	Blau	0.3089	0.1179	0.149
519.6	Grün	0.5216	0.2987	0.379
549.3	Grünlich Gelb	0.7218	0.5409	0.687
556.2	Gelb	0.8520	0.7444	0.945
557 • 4	,	0.8760	0.7849	0.997
553 · 2	Schwachgrünlich Gelb	0.7873	0.6384	0.811
537 · 3	Grün-Gelb	0.6071	0.3910	0.497
503· 4	Schwachbläulich Grün	0.3771	0.1607	0.204
392 · 3	Violett	$0 \cdot 2307$	0.0775	0.098
436 · 4	Indigo	0 · 2760	0.0992	0.126
574 · 2	Gelb	0 · 4786	0.2274	0 · 289
489.7	Grün	0.6893	0.2218	0.701
555.5	Gelb	0.8354	0.7159	0.909
557 · 4	۱ ,	0.8775	0.7872	1.000
554.5	1 .	0.8131	0.6800	0.864
543.1	Grünlich Gelb	0.6494	0.4418	0.561
805.8	Grün	0 · 4357	0.2137	0.271
417.8	Schwachbläulich Violett	0.2493	0.0844	0.108

Gesammtbetrag der im Verlaufe einer grossen Periode entwickelten Intensität des grünen Strahles = 7.748.

Gesammtbetrag der im Verlaufe einer grossen Periode entwickelten Intensität des rothen Strahles = 1.702.

Summe beider = 9.450.

Gesammtbetrag der im Verlaufe einer grossen Periode entwickelten Intensität im resultirenden Strahle = 9.474. Differenz = 0.024. Fehler = 0.002.

V. Gelb.
$$\lambda = 563$$
; $a = 0.94$; $J = 0.8943$.

Gelb-Orange; λ_{so} : λ_{o} = 14:15; mithin λ_{o} = 603, b = 0.68. Es verhalten sich die Intensitäten der beiden interferirenden Strahlen wie

$$J_{\rm go}:J_{\rm o}=8943:4366.$$

Diese Intensitäten vertheilen sich im resultirenden Strahle auf folgende Weise:

Wellenlänge	Entsprechende Farbe im	Amplitude G. H. (770)	Intensität	
	Spectrum		Eigenes Verhältniss	
579·1 578·9 578·7	Orangelich Gelb Schwachorangelich Gelb	1 · 6176 1 · 6005 1 · 5630	2·5770 2·5234 2·4048	1·000 0·979 0·933

	Entspreehende Farbe im Spectrum	Amplitude	Intensität	
Wellenlinge			Gelb (370) = 1	Eigenes Verbāltniss
578.5	Schwachorangelich Gelb	1.5094	2 · 2355	0.867
578-1	, , ,	1 · 4397	2.0446	0.793
577.6	1	1 · 3525	1 · 8052	0.700
576.8	Gelb	1 · 2513	1 • 5487	0.600
575 · 6		1 · 1692	1 · 3543	0.525
574.2	, ,	1 · 0115	1.0169	0.394
571.2	1 ,	0.8773	0.5777	$0 \cdot 224$
566.9		0.7366	0.5461	0.212
557.7	"	0.5946	0.3608	0.140
539· 3	Grünlich Gelb	0.5625	0.3352	0 · 130
522.7	Grün	0.3421	0.1271	0.049
486.2	Grün-Blau	0.3007	0.1060	0.041

Gesammtbetrag der im Verlaufe einer grossen Periode entwickelten Intensität des Gelb = 13.415.

Gesammtbetrag der im Verlaufe einer grossen Periode entwickelten Intensität des Orange = 6:113.

Summe beider = 19.528.

Gesammtbetrag der im Verlaufe einer grossen Periode entwickelten Intensität des resultirenden Strahles = 19.563. Differenz = 0.035. Fehler = 0.002.

Gelb-Roth; $\lambda_{so}: \lambda_r = 7:8$; mithin $\lambda_r = 643$, b = 0.40. Es verhält sich in den interferirenden Strahlen

$$J_{\rm ge}:J_{\rm r}=8943:1419.$$

Diese Intensitäten sind im resultirenden Strahle auf folgende Weise vertheilt:

Wellenlänge	Entsprechende Farbe im Spectrum	Amplitude	Intensität	
			Gelb (570) = 1	Eigenes Verhältoiss
584 · 3	Orangelich Gelb	1 · 3341	1.7368	1.000
583 · 4	"	1 · 2857	1.6165	0.930
580 · 7	~ ~	1 · 1997	1 • 4097	0.811
576·0	Schwachorangelich Gelb	1.0757	1 · 1457	0.659
568 · 4	Gelb	0.9275	0.8624	0.497
554.5	1 . 1	0.7723	0.6121	0.352
520 · 1	Gelblich Grün	0.6344	0.4306	0.248
518.8	Schwachgelblich Grün	0.5514	0.3335	0.192

Gesammtbetrag der im Verlaufe einer grossen Periode entwickelten Intensität des Gelb = 7.154.

Gesammtbetrag der im Verlaufe einer grossen Periode entwickelten Intensität des Roth = 0.993.

Summe beider = 8.147.

folgendermassen:

Gesammtbetrag der im Verlaufe einer grossen Periode im resultirenden Strahle entwickelten Intensität = 8.147. Differenz = 0. Fehler = 0.

VI. Orange. $\lambda = 605$; a = 0.67; J = 0.4229.

Orange-Roth; $\lambda_o: \lambda_r = 12:13$; mithin $\lambda_r = 655$, b = 0.33. Es verhalten sich die Intensitäten der beiden interferirenden Strahlen wie

 $J_{\circ}:J_{r}=4229:946.$ Im resultirenden Strahle vertheilen sich diese Intensitäten

Wellenlänge	Entsprechende Farbe im Spectrum	Amplitude	latensität	
			Gelb (570) = 1	Eigenes Verhältniss
622.7	Roth-Orange	0.9982	0.9109	1.000
618-1	Röthlich Orange	0.9846	0.8943	0.982
618-9	, ,	0.9580	0.8464	0.928
620.0	, , , , , , , , , , , , , , , , , , ,	0.9209	0.7798	0.856
617.6	,, ,, ,, ,, ,, ,,	0.8676	0.6948	0.762
616.2	,, ,, ,, ,, ,, ,, ,, ,, ,, ,, ,, ,, ,,	0.8069	0.6025	0.661
613.5	"Orange"	0.7365	0.5123	0.562
614.2		0.6602	0.4041	0.443
600.0	-	0.5809	0.3203	0.351
596 · 6	Gelblich Orange	0.4970	0.2360	0.259
586.0	Orangelich Gelb	0.4315	0.1807	0.198
569.7	Gelb	0.3760	0.1414	0.155
568.6	_	0.3440	0.1186	0.130

Gesammtbetrag der im Verlaufe einer grossen Periode entwickelten Intensität im orangenen Strahle = 5.497.

Gesammtbetrag der im Verlause einer grossen Periode entwickelten Intensität im rothen Strahle = 1.135.

Summe beider = 6.632.

Gesammtbetrag der im Verlaufe einer grossen Periode entwickelten Intensität im resultirenden Strahle = 6.642. Differenz = 0.010. Fehler = 0.001.

FÜNFTER ABSCHNITT.

Discussion, Rechtfertigung, Resultat.

- Dem Physiker sind die Farben ein Process, von welchem er sich Rechenschaft abzulegen hat, nicht ein Product, welches ihm überliefert wird.

 Dove.
- Es ist ein grosser Fehler, dessen man sich bei der Naturforschung schuldig macht, wenn man hofft ein complicirtes Phänomen als solches erklären zu können, da schon viel dazu gehört, dasselbe auf seine einfachsten Elemente zurückzubringen; aber es durch alle verwickelten Fälle mit eben der Klarheit durchführen zu wollen, ist ein vergebnes Bestreben. Wir müssen einsehen lernen, dass wir dasjenige, was wir im Einfachsten erkannt und geschaut, im Zusammengesetzten supponiren und glauben müssen, denn das Einfache birgt sich im Mannichfaltigen und da ist es wo bei mir der Glaube eintritt, der nicht der Anfang, sondern das Ende alles Wissens ist.
- §. 1. Es ist nothwendig der Discussion der im letzten Abschnitte mitgetheilten Tafeln eine kurze Besprechung über die Art ihrer Ableitung voranzuschicken, da es leicht geschehen könnte, dass die gegenwärtige Untersuchung in ihrer Grundlage angegriffen und gemissbilligt würde. So scheint es ein gewichtiger Einwurf, wenn es in Frage gestellt wird, ob die Natur der Aufgabe an sich eine rein geometrische Behandlung zulässt, ob das Problem der einfachen und gemischten Farben überhaupt einer mathematischen Lösung zugänglich sei. Denn die Farbenlehre trennt sich zum Theil aus dem Verbande mit der übrigen Optik ab; sie tritt durch ihre physiologische Seite wesentlich aus dem Bereiche der gegenwärtigen mathematischen Physik; die Unmittelbarkeit der Empfindung, die Rückwirkung des Organs gegen äussere Anregung von dem leisesten, unmerklichen Nachklingen bis zu den energischsten subjectiven Farbenerscheinungen, die ganze Reihe der physiologischen und pathologischen Farben alles scheint eine geometrische Behandlung der Farbenlehre unzulässig, und die Resultate einer solchen in hohem Grade unsicher und zweifelhaft zu machen. Ich habe diese Schwierigkeiten keinen Augenblick übersehen; was mich aber dennoch versuchen liess die Aufgabe von dieser Seite anzugreifen, war folgende Betrachtung. Wenn es bisher auch noch nicht gelungen ist die Schwingungen, welche der Lichtempfindung nach der jetzt allgemein adoptirten Theorie zu Grunde liegen, thatsächlich nachzuweisen, so kann man

doch nicht wohl mehr, nach so vielen ja zahllosen Bestätigungen der Hypothese in den Erscheinungen der Interferenz und Polarisation, da auch nicht eine Thatsache mit ihr in Widerspruch steht, an der Realität jener Schwingungen zweifeln. Nach dieser Theorie ist aber die Farbe allein abhängig von der Schwingungsdauer; specifische Medien für verschiedene Farben hat noch Niemand in der Undulationstheorie für nöthig erachtet, obschon die Theorie Brewster's unstreitig solche erfordern würde, sobald es nämlich wirklich verschiedenfarbige Strahlen von gleicher Brechbarkeit gäbe. Es ist die verschiedene Schwingungsweise eines und desselben Äthers, welche die verschiedenen Farbenempfindungen erregt. Sobald nun gleichzeitig durch dasselbe Raum-Element eine zwei- oder mehrfache Bewegung fortschreitet, so wird auch ein und derselbe Ätherpunkt von zwei oder mehreren Kräften sollicitirt, und es ist nicht einzusehen, warum derselbe eine andere Bewegung annehmen sollte, als die aus den Einzelbewegungen resultirende. Bei homogenen Strahlen von gleicher oder verschiedener Amplitude und gleicher oder verschiedener Phase hat man dies seit jeher so gehalten und es auf alle Weise bestätigt gefunden; es ist aber auch für verschiedenfarbige nicht zu bezweifeln, und es findet in diesem Falle so gewiss als in jenem eine Interferenz, d. i. ein Zusammenwirken mehrerer Kräfte auf einen Punkt Statt. Wird aber das empfindende Organ die Componenten aus den resultirenden Bewegungen herauslesen, oder nur die letzteren wahrnehmen? Beim Schalle findet gewiss das erstere Statt: es wäre jede Harmonie unmöglich, wenn nicht das Ohr die verschiedenen rhythmischen Bewegungen, die es gleichzeitig oder doch in sehr geringen Zeitintervallen treffen, zu scheiden und eben darum das Gesetzmässige und Symmetrische in denselben wahrzunehmen vermochte; für das Auge aber gibt es keine Harmonie in diesem Sinne: dies begründet den tiefinnersten Unterschied zwischen der Malerei und Musik 1). Das Auge empfindet allein die resultirende Bewegung, und da sich diese geometrisch scharf erfassen lässt, so ist a priori keine Unmöglichkeit vorhanden, den Fall, wo das Organ sich rein receptiv verhält, der Berechnung zu unterziehen und ihn mathematisch zu prüfen. Es kann geschehen, dass die Rechnung Resultate liefert, die unmittelbar nicht auszulegen sind: dann aber kann das Experiment Aufklärung schaffen und in der That wäre die vorliegende Arbeit unmöglich gewesen ohne das wichtige empirische

Materiale, das die Untersuchungen Helmholtz's geboten haben. Da also von der Reaction des Organes möglichst abgesehen wird, so muss wohl alles, was auf subjective Farbenerscheinungen Bezug hat, von dieser Arbeit ausgeschlossen bleiben, obschon eine strenge Grenze einzuhalten nach der Natur des Gegenstandes nicht möglich war.

Der Einwurf, dass bei dem Auffallen von parallelen oder nahezu parallelen Lichtbündeln auf das Auge eine solche Interferenz, wie wir sie hier betrachten, gar nicht stattfinden könne, indem es wegen der verschiedenen Brechbarkeit der Farben in der Linse (welche in der That nicht vollkommen achromatisch ist) keine gerade Linie gibt zwischen Linse und Retina, in der gleichzeitig zwei verschiedene Lichtbewegungen fortschreiten, lässt sich dadurch beseitigen, dass doch jede der einzelnen Bewegungen endlich ein Nerven-Element trifft, dem wir mit demselben Rechte transversale Schwingungen zuschreiben dürfen wie dem Ätherpunkte selbst; es wäre in der That schwer einzusehen, warum in dem Seh-Apparate die übertragenen Bewegungen anderer Art sein sollten als in dem die Bewegung bis dahin vermittelnden Medium. An der Nervenfaser decomponirt sich jede der einfallenden Bewegungen in eine transversale und longitudinale Erregung: die letzteren verschwinden entweder oder interferiren so wie die ersteren, und es schreitet die Bewegung dann im Nerven in der Weise fort wie wir sie hier betrachten. Bei zerstreutem Lichte aber, wo die verschiedensten Lichtkegel das Auge treffen, tritt die Interferenz in der That schon hinter der Linse ein und die Retina empfängt bereits die resultirende Bewegung.

§. 2. Die Geschwindigkeit der Fortpflanzung wurde für alle Farben gleich gesetzt. Dies ist strenge genommen nicht richtig; weder im freien Raume noch in der Luft verbreiten sich die Schwingungen der verschiedenen Wellenlängen mit gleicher Geschwindigkeit. Für jene Annahme sprechen theoretische Gründe, in soferne die Ätherpunkte, so nahe sie auch immer sein mögen²), doch noch immer kein Continuum ausmachen, in welchem Falle allein allen Farben im freien Raume gleiche Geschwindigkeit zukäme³); für letzteres spricht die Erfahrung, welche die atmosphärische Dispersion ausser Zweifel gesetzt hat. Es wird daher nachzuweisen sein, dass auf die Richtigkeit der im zweiten und vierten Abschnitte gegebenen Tafeln dieser Umstand nicht den geringsten Einfluss nehmen kann. Wir setzten den Anfangspunkt der Coordinaten in jenen Punkt der Bahn der beiden

interferirenden Strahlen, wo zwei Anfangspunkte der Sinuscurve zusammenfielen. Offenbar wird es irgendwo, die ursprüngliche Schwingungsweise sei welche immer, bei commensurablen Längenverhältnissen der Wellen, einen solchen Punkt in ihrer gemeinschaftlichen Bahn geben, und wenn die Geschwindigkeiten beider Strahlen gleich wären, müssten diese Punkte regelmässig nach dem Durchlaufen einer Strecke, die wir die grosse Periode nannten, wiederkehren. Sind aber die Geschwindigkeiten verschieden, so wird es geschehen, dass diese Anfangspunkte in ihrer Wiederkehr verzögert und allmählich in verschiedene Stellen der Bahn versetzt werden, wohin sie der Rechnung nach nicht fallen sollten. Ist v. die Geschwindigkeit des ersten, v2 die des zweiten Strahles und

$$v_1 \geq v_3$$

so sind die nach einer gewissen Zeit t durchlaufenen Räume:

$$s_1 = v_1 t$$

$$s_2 = v_2 t$$

folglich

$$s_1:s_2=v_1:v_2$$

und

$$s_1 - s_2 : s_2 = v_1 - v_2 : v_2$$

und wenn wir die Differenz der Wege mit As, die der Geschwindigkeiten mit Δv bezeichnen

$$\Delta s: s_2 = \Delta v: v_2$$

Nun ist aber die Brechung und noch mehr die Dispersion 4) in den Gasen eine höchst geringe; daher, wenn wir V die Geschwindigkeit des Lichtes im Raume nennen.

$$v_1 = V(1 + \varepsilon_1)$$

$$v_2 = V(1 + \varepsilon_2)$$

 $v_1 = V(1+\epsilon_1)$ $v_2 = V(1+\epsilon_2)$ wo ϵ_1 und ϵ_2 sehr kleine von $\frac{1}{1,000,000}$ nur sehr wenig verschiedene Zahlen bedeuten. Es ist somit

$$\Delta v = V(\varepsilon_1 - \varepsilon_2)$$

und hieraus

$$s_2 = \Delta s \, \frac{1 + \epsilon_2}{\epsilon_1 - \epsilon_2}$$

Damit aber die aus der Verschiedenheit der Fortpflanzungsgeschwindigkeit entspringende Abweichung in der Berechnung einen merklichen Betrag erlange, muss Δs die Grösse eines nicht unbedeutenden Bruchtheiles einer Lichtwelle erreichen, also

$$\Delta s = \frac{\lambda}{m}$$

werden, wo m jedenfalls hundert nicht übersteigen darf; es ist sodann wegen $s_s = n\lambda$

$$n=\frac{1}{m}\cdot\frac{1+\epsilon_3}{\epsilon_1-\epsilon_3}$$

da 1 + e2 stets eine sehr grosse, wenigstens einer Million gleiche Zahl ist, so muss eine bedeutende Zahl grosser Perioden ablaufen, ehe dieser Einfluss sich in der Rechnung merklich macht; aber selbst dann beeinträchtigt er die Richtigkeit unserer aus der Länge der grossen Periode gefolgerten Resultate nicht im geringsten, denn diese Länge bleibt stets dieselbe und ebenso der Rhythmus der über sie vertheilten Bewegungen, und es wird somit die verschiedene Geschwindigkeit der verschiedenen farbigen Strahlen durchaus keinen Einfluss auf die resultirende Mischfarbe ausüben.

§. 3. Es war von grosser Wichtigkeit vor der Untersuchung der aus der Mischung der einzelnen Farben des Spectrums entstehenden resultirenden Töne den Begriff der Intensität der verschiedenen homogenen Farben festzustellen. Dass die Amplitude dabei nicht allein ausreicht — indem das Quadrat derselben allerdings für einfarbiges Licht massgebend sein kann, aber nicht für die Intensität mehrerer verschiedengefärbter Strahlen — lehrt schon der Schall; es ist Niemand entgangen, wie gewisse sehr hohe Töne, deren Schwingungsweite nicht beträchtlich ist, ihre durchdringende Wirkung, ja die Fähigkeit, selbst donnerähnliche, gewaltigschallende tiefe Tone von mächtigen Amplituden zu übertönen, oder sich gegen dieselben abzuheben, nur der grossen Schnelligkeit, mit der ihre Schwingungen auf einander folgen, also der Kürze ihrer Wellen, verdanken; dies deutet auf ein Wachsen der Intensität im verkehrten Verhältniss der Wellenlängen, wie es eben das Integrale

$$\int \left(\frac{dy}{dt}\right)^a dt = k \frac{a^a}{\lambda}$$

ausdrückt. Es ist dabei nur auf eines zu merken. Jede Farbenempfindung lässt sich in zwei ganz verschiedene Momente zerlegen: das Auge nimmt nämlich erstens eine gewisse Erleuchtung wahr,

die ihr Mass in der Schärfe der Abgrenzung der Körperumrisse findet, in dem lebhaften Gegensatze gegen die Empfindung der Ruhe, welche das Dunkel gewährt; dann aber erhält es noch einen specifisch chromatischen Eindruck. Die erstere dieser Wahrnehmungen lässt nur quantitative Abstufungen zu; sie ist das, was eigentlich Intensität, Leuchtkraft genannt werden soll. Die andere aber ist sowohl qualitativer als auch quantitativer Übergänge fähig; die qualitativen rollt das prismatische Spectrum vor dem Auge auf, die quantitativen dagegen werden durch die grössere oder geringere Energie gemessen, mit der ein gewisser Farbenton gegen das indifferente Weiss absticht. Vischer 5) nennt die qualitativen Abstufungen Farbenschattirungen, die quantitativen Farbentöne; es scheint aber, dass die Bennenungen vielmehr umgekehrt gewählt werden sollten, indem die Tone des Schalles nach der Wellenlänge unterschieden werden und es kaum zu billigen ist einen aus einer benachbarten verwandten Disciplin entlehnten Ausdruck seiner ursprünglichen Bedeutung zu entkleiden, zumal wenn analoge Verhältnisse dort und da das gleiche Bedürfniss eines terminus technicus erzeugten; auch liegt es schon in dem Worte Schattirung, dasselbe lieber für die Grade der Beschattung, "der Verdünnung in Weiss, der Verdichtung in Dunkel" zu gebrauchen. Grassmann 6), der dieselbe Unterscheidung betreff der Momente der Farbenempfindung macht, wählt, wie es mich dünkt, richtiger Farbenton für die qualitativen, Intensität des beigemischten Weiss für die quantitativen Abstufungen; da ich Gründe habe letztere Benennung zu vermeiden (s. unten §. 4), so werde ich einfach zwischen den Farbentönen?) und zwischen den Graden der Reinheit jedes Tones unterscheiden, indem ich als den höchsten Grad der Reinheit eines Farbentones jenen ansehe, der sich im prismatischen Spectrum zeigt, von wo aus derselbe Ton bei gleichbleibender Lichtstärke durch alle Grade der Verfahlung bis ins Weiss übergehen kann: jener höchste Grad der Reinheit kömmt also allein dem homogenen Lichte zu, das keine Abstufungen haben kann, da die Homogenität kein relativer, sondern ein absoluter Begriff ist, wenn auch homogenes Licht nur so weit dies bei der Beschaffenheit unserer brechenden Mittel möglich ist, dargestellt werden kann. Von einer Intensität der Farben aber sollte gar nicht gesprochen werden, da dieser Ausdruck mindestens zweideutig ist.

Der analytische Ausdruck der Leuchtkraft ist der Quotient $2\pi^2\frac{a^2}{\lambda}$, d. i. die durch die schwingenden Partikel ins Werk gesetzte Arbeit; diese ist durch die Fraunhofer'schen Messungen in erster Annäherung bestimmt (vergl. unten §. 5, 6). Nach diesen Messungen ist die leuchtendste aller Farben das Gelb, indem die Intensität der Erleuchtung von da gegen beide Enden des Spectrums hin abnimmt, und zwar rascher gegen Violett als gegen Roth. Es ist aber wohl zu bemerken, dass dieses Verhältniss nicht in der Natur der Farben begründet ist, es ist eben so gut eine Lichtquelle denkbar, in deren Spectrum die leuchtendste Stelle anderswo als im Gelb liegt; wenigstens ist durchaus nicht einzusehen, warum im Allgemeinen die Amplituden Functionen der Wellenlängen sein sollten, vielmehr muss für jede Lichtquelle und jedes durchsichtige Mittel das Verhältniss jener beiden Bestimmungsstücke des Lichtes eine Function der specifischen Beschaffenheit der leuchtenden oder erleuchteten Medien sein. Wenn wir daher von diesem allgemeinen Standpunkte über die Leuchtkraft der einzelnen Farben urtheilen, wenn wir untersuchen, in wiefern die Wellenlänge die Lichtstärke bedingt, so finden wir, dass bei gleichen Amplituden (und durch entsprechendes Abdämpfen könnte man dies ungefähr bewerkstelligen) die Intensitäten umgekehrt wachsen wie die Wellenlängen, d. i. die leuchtendsten Farben unter übrigens gleichen Umständen sind die des violetten Endes und die Leuchtkraft nimmt in den Masse ab, als man sich dem rothen Ende des Spectrums nähert.

Es kostet einige Anstrengung sich in eine Anschauungsweise zu ergeben, nach welcher die Leuchtkraft strenge geschieden wird von der chromatischen Intensität, deren Maximum wohl Niemand in dem unteren Ende des Spectrums suchen wird, und es würde Goethe, dessen hohen Farbensinn Jedermann anerkennt, man halte von seiner Theorie was immer, und der sich zu Zeiten gefiel die Realität der blauen Farbe als Farbe, ihres schattigen Ansehens wegen zu leugnen, darin keinen geringen Anlass gefunden haben, der Undulationstheorie sowie der Emissionshypothese Unnatur und Künstelei vorzuwerfen.

Versuchen wir aber, ob sich nicht Thatsachen auffinden lassen, die jenen paradoxen Satz wenigstens in etwas zu bestätigen scheinen. In der Liechtenstein'schen Gallerie machte ich im vorigen Sommer

zu wiederholten Malen die Beobachtung, dass bei einer dauernden Beschattung des mittleren Saales, der auf der einen Wand die Decius-Bilder des Rubens enthält, in denen viel Roth, auf der anderen mythologische Gemälde Franceschini's, in denen gewisse blaue Gewänder vorkommen, endlich die rothen Partien verschwanden, obschon die blauen Stellen noch immer sichtbar blieben, bis endlich auch sie bei zunehmender Dunkelheit sich in den Schatten verloren. Ich konnte mir damals keine Rechenschaft darüber geben und verfolgte diese Erfahrung auch nicht weiter; nun finde ich aber dieselbe Beobachtung von Dove ⁸) mitgetheilt, der sie durch stereoskopische Versuche noch weiter prüfte und folgende Erklärung gibt:

"Bekanntlich gelangen nur unmittelbare Eindrücke auf die Sinnesorgane zu unserem Bewusstsein; die schwächsten auf dieselben wirkenden Bewegungen werden nicht mehr einzeln empfunden, aber dann, wenn sie sich schnell gleichmässig wiederholen. Daraus ist deutlich, warum um vernommen zu werden, die Saiten des Contrabasses weiter schwingen müssen als die der Violine, da bei der geringen Anzahl der Schwingungen sie energischer sein müssen, warum wir in höherem Tone sprechen, wenn wir ohne grosse Anstrengung gehört werden wollen, warum, wenn die tiefe durch das Sprachrohr verstärkte Stimme des Seemannes im Sturme verhallt, noch der schrillende Ton der Bootspfeife durch das Brausen der Wogen und das Geheul des Windes hindurch dringt. Savart hat vermittelst der Speichensirene gezeigt, dass die Grenze der Wahrnehmbarkeit der Töne nach der Tiefe hin durch die Stärke der Töne erweitert werden kann. Die volle Gleichartigkeit der Schwingungen bewirkt das Summiren der Eindrücke am vollständigsten, indem die durch ungleiche Schwingungsdauer bewirkten Interferenzen dann wegfallen. Diese Gleichförmigkeit bewirkt bei den Tönen die Reinheit, bei den Farben die Homogenität. Das Blau verhält sich aber zum Roth wie ein höherer Ton zu einem tieferen: bei dem ersteren sind die Schwingungen der Netzhaut häufiger als bei dem letzteren, wie die des Trommelfelles zahlreicher bei höheren Tonen als bei tieferen. Da nun bei schwächer werdendem Tone die Grenze der Wahrnehmbarkeit tiefer Tone abnimmt, so ist es vollkommen dem entsprechend, dass bei abnehmender Helligkeit die Grenze der Wahrnehmung des Roth sich ebenfalls verengert. Die rothe Farbe wird daher bei schwacher Beleuchtung nicht mehr gesehen werden,

während die grosse Anzahl der Schwingungen bei blauem Lichte dessen Wahrnehmbarkeit länger erhält. Auf diese Weise erkläre ich mir die wunderbare Erscheinung, über welche sich aber merkwürdiger Weise noch Niemand gewundert hat, dass bei dem schwachen Sternenlichte sich das Blau des Himmels noch deutlich geltend macht."

Hier ist nur eines zu bemerken. Tone verschiedener Höhe müssen für ihre Wahrnehmbarkeit allerdings auch nach unserer Intensitätsformel verschiedene Grenzen der Schwingungsweiten haben; denn wenn die Grenze der Empfindlichkeit des Organes (die bei verschiedenen Individuen sehr verschieden sein kann) durch einen gewissen empirischen Minimumwerth des Quotienten $2\pi^2 \frac{a^2}{\lambda}$ gegeben ist, so sieht man, dass für kleinere λ (höhere Töne) die Amplitude viel tiefer sinken kann als für grössere (tiefere Tone), so dass sehr hohe Tone noch bei einer Oscillationsweite deutlich vernommen werden, bei der tiefe Tone längst über die Grenzen der Wahrnehmbarkeit hinausfallen. Nehmen wir aber an, dass in einem gegebenen System von Tonen die Schwingungsweiten aller verschiedenen in demselben enthaltenen Wellen gleichzeitig um gleiche Theile gewisser ursprünglicher Amplituden ab- oder zunehmen, so werden auch in dem ganzen Systeme die Intensitäten gleichförmig sich ändern, so dass das Verhältniss der Intensitäten nicht afficirt wird, die Töne seien der Höhe nach wie verschieden immer. Ein so gleichförmiges Anwachsen oder Abnehmen der Schwingungsweite eines ganzen Tonsystemes wäre beim Schalle sehr schwer hervorzubringen; beim Lichte dagegen kann man es kaum anders haben, indem es durchaus wahrscheinlich, und mehr als wahrscheinlich ist, dass bei variirender Helligkeit die Amplituden aller Theile des farblosen Strahles um gleiche Theile ihrer ursprünglichen Beträge sich ändern, wenigstens liegt bis jetzt keine genügend studirte Thatsache vor, welche den Beweis lieferte, dass gegen die Dämmerung hin die rothen und gelben Strahlen mehr absorbirt würden als die blauen und violetten und Seebeck's Ausspruch, dass "in der Dämmerung die wenigst brechbaren Strahlen zuerst aus dem Lichte der Atmosphäre verschwinden"), wird, wie es scheint, von Dove selbst nicht zugegeben, der gleich darauf das Experiment von Hassenfratz¹⁰) anführt, welches gerade das Gegentheil lehrt. Hassenfratz fand die Länge des Spectrums bei hohem Sonnenstande 185 Millimeter, bei Sonnenuntergang 70 Millimeter und dabei fehlten gerade die Strahlen der blauen Seite, so dass das ganze Farbenbild aus Roth, Orange und Grün bestand. Dies stimmt ganz mit den Fraunhofer'schen Intensitätsmessungen, nach welchen bei gleichförmig abnehmender Helligkeit erst Violett, dann Indigo und das obere Ende von Roth, hierauf Blau und der grössere Theil von Roth aus dem Spectrum verschwinden müssen. Wenn nun die Körperfarben durch eine Änderung der Amplituden des auffallenden Lichtes entstehen, indem die Absorption die einzelnen Bestandtheile desselben ungleich afficirt, so kann die Erklärung Dove's nicht bestehen, so lange die Fraunhofer'schen Messungen als richtig betrachtet werden. Aus demselben Grunde muss auch eine Beobachtung Pouillet's, auf die wir später zurückkommen werden, unter die bisher unerklärlichen Thatsachen gereiht werden.

Eine Erscheinung, auf welche die Aufmerksamkeit in neuester Zeit sich gewandt hat, scheint auf den ersten Augenblick mit der hier vorgetragenen Ansicht über die Intensität des Lichtes in offenem Widerspruche zu stehen; es ist die innere Dispersion (internal dispersion). Stokes hat gezeigt, dass dieselbe sich einfach aus einer Veränderung der Brechbarkeit des einfallenden Lichtes erklären lasse, und zwar einer solchen Veränderung, durch welche die Oscillationsdauer, also auch die Wellenlänge, wächst. Ist nun die Intensität gleich $2\pi^2\frac{a^2}{\lambda}$, so muss jede Vergrösserung der Wellenlänge die Sichtbarkeit verringern statt sie zu erhöhen, und was die unsichtbaren Strahlen sichtbar machen sollte, muss vielmehr selbst die sichtbaren auslöschen. Wenn wir nun, wie es gewöhnlich geschieht, statuiren, dass das Auge überhaupt nicht fähig sei Strahlen von einer Wellenlänge, die ausser der Grenzen 380 und 680 liegen, wahrzunehmen, wenn wir also eine physiologische Thatsache, über welche die mathematische Betrachtung keine Rechenschaft abzulegen, von welcher sie vielmehr auszugehen hat, als ein Grundphänomen in die Untersuchung einführen, so kann das Integrale $\int \left(\frac{dy}{dt}\right)^2 dt$ überhaupt die Intensität nicht repräsentiren, da es auf keine Weise mit jenen Grenzen in Zusammenhang zu bringen ist; ich glaube aber, dass nichts nöthigt eine solche Beschränkung zuzugeben, ich hoffe vielmehr nachzuweisen, dass das Auge noch für Wellenlängen

empfindlich ist, die weit ausserhalb jener octroyirten Grenzen liegen, und dass es nur darum im Spectrum diesseits Roth und jenseits Violett nichts mehr wahrnimmt, weil da die Amplituden zu gering sind, um eine Lichtempfindung hervorzurufen, ein Umstand, der nicht in der Natur des Auges sondern in der Beschaffenheit der verschiedenen Lichtquellen begründet und folglich rein objectiver Natur ist. Ein subjectives Datum ist nur das durch das Organ gesetzte Minimum der zur Sichtbarkeit erforderlichen Intensität, und das Auge empfindet keine weitere Erregung, jenes Minimum werde durch übermässige Verzögerung der Oscillationszeiten oder durch übermässiges Schwinden der Amplituden überschritten. Würde nun bei der inneren Dispersion blos die Wellenlänge afficirt, ohne dass zugleich ein Wachsthum der Amplituden stattfände, so gäbe es allerdings einen unlösbaren Widerspruch zwischen der Theorie Stokes und jener Annahme, die die Intensität des Lichtes nach der Arbeit schätzt, die durch die Schwingungen erzeugt wird. Aber nichts berechtigt in der Stoke s'schen Theorie eine Erhaltung der Amplituden anzunehmen. Stokes 11) sagt: "Nichts scheint natürlicher als vorauszusetzen, dass die einfallenden Schwingungen des Lichtäthers schwingende Bewegungen unter den letzten Moleculen der empfindlichen Substanz hervorrusen, und dass umgekehrt die für sich schwingenden (swinging on their own account) Molecule wiederum Vibrationen im Lichtäther erzeugen und dadurch die Lichtempfindung verursachen. Die Perioden dieser Vibrationen hängen ab von den Perioden, in welchen die Molecule zu schwingen geneigt sind, nicht von denen der einfallenden Vibrationen." Es müssen demnach die Amplituden im Allgemeinen andere werden und die Sichtbarkeit der Strahlen zeigt, dass die Amplituden des neuerzeugten Lichtes grösser sein müssen als die des einfallenden. Die Zulässigkeit dieser Folgerung aus der Stokes'schen Theorie nach den Principien der Mechanik zu prüfen, ist nicht unsere Aufgabe.

§.4. Die Ungewissheit über den Begriff der Intensität des Lichtes der verschiedenen Farben hat manche schätzbare Bemühung unfruchtbar gemacht. So hat Doppler 12) einen Vorschlag zu einer neuen Classification der Farben gemacht, von welchem er glaubt, dass er, auf klaren und richtigen Principien beruhend, zu wichtigen Folgerungen führen müsse; während gerade die Pricipien willkürlich und unmotivirt sind, indem er einerseits die Intensität eines Farben-

gemisches nach dem Kräften-Parallelogramm zusammensetzt, andererseits das weisse Licht aus rothen, blauen und gelben Elementen, die unter einander gleich sind, construirt.

Bedeutender ist die Arbeit Grassmanns 13), der die Helmholtz'schen Beobachtungen mit der Newton'schen Farbenregel in Einklang zu bringen, und diese selbst strenge zu begründen versucht. Ich muss des Folgenden wegen diese Arbeit etwas genauer analysiren. Grassmann stützt sich auf folgende Voraussetzungen:

- Jeder Farbeneindruck setzt sich aus den 3 Momenten: des Farbentones, der Intensität der Farbe und der Intensität des beigemischten Weiss zusammen und zwar ausschliesslich nur aus diesen 3 Momenten.
- 2) Wenn man von zwei zu vermischenden Lichtern das eine stätig ändert, während das andere unverändert bleibt, so ändert sich auch der Eindruck der Mischung stätig.
- 3) Zwei Farben, deren jede constanten Farbenton, constante Farbenintensität und constante Intensität des beigemischten Weiss hat, geben auch eine constante Mischung, gleichviel, aus welchen homogenen Farben sie zusammengesetzt seien.
- 4) Die gesammte Lichtintensität der Mischung ist gleich der Summe der Intensitäten der gemischten Lichter.

Gegen die erste dieser Voraussetzungen lässt sich nichts bemerken; nur, glaube ich, ist es nicht richtig anzunehmen, dass das Spectrum alle Farbentone enthalte, wie dies in der Exposition der ersten Voraussetzung geschieht; nicht nur sind im Spectrum viele homogene Tone nicht sichtbar, an deren Existenz jenseits der beschränkten Grenzen man doch nicht zweifeln kann, und die nur durch die Vermittelung gewisser Substanzen wahrnehmbar werden. sondern es erzeugen sich durch Mischung mehrerer homogener Töne völlig neue, im Spectrum nicht vorhandene Farbentone, was schon Newton 14), Musschenbroeck und Andere bemerkt haben und was eine genaue Vergleichung des Spectrums mit den Körperfarben lehrt. Wenn daher Grassmann aus den beiden ersten Voraussetzungen schliesst, dass es zu jeder homogenen Farbe eine andere homogene Farbe gebe, die mit ihr vermischt farbloses Licht liefert, so folgt dies wenigstens nicht mit Strenge aus seinen Voraussetzungen. Wie denn auch in der That der Übergang aus den bläulichen Mischtönen in die röthlichen ohne einen Durchgang durch Weiss nicht so undenkbar ist,

wie Grassmann behauptet, da es eine Grenze gibt, gegen welche bin die gelben Eindrücke so an Intensität überwiegen, dass das allmähliche Schwinden der blauen gegen das Wachsen der rothen nimmermehr einen rein weissen Eindruck zu erzeugen im Stande sein wird. So müssen die Mischfarben, welche entstehen, wenn Blau mit den oberen Theilen des Spectrums (von grün bis roth) interferirt, nach meinen Berechnungen folgende sein:

blau,
hellblau,
hellgrünlichblau,
hellgrünlichblau,
hellbläulichgrün,
sehr bleichgrün,
sehr bleich gelblichgrün,
sehr fahl gelb (fleischfarben),
schwach röthlichfleischfarben,
sehr hellgelblichroth,
hellrosaroth,
rosaroth.

Dies stimmt vollkommen mit Helmholtz's Beobachtungen (die letzten rothen Töne sind vielleicht stärker roth als es nach diesen sein sollte, doch das wird weiter unten genügend aufgeklärt); es findet also hier ein Übergang aus den blauen in die rothen Töne ohne Sprung, und doch auch ohne einen Durchgang durch Weiss Statt: unser Blau hat daher im Spectrum keinen complementären Ton. Ähnliche Erfahrungen haben alle genaueren Experimentatoren, von Newton 15) bis auf Biot 16) und Helmholtz 17), gemacht.

Wenn Grassmann in den Newton'schen Farbenkreis die Fraunhofer'schen Linien einträgt, so ist damit nur eine scheinbare Genauigkeit erzielt. Denn erstens sind die Bögen, welche Newton den einzelnen Farben anweist, nicht proportional den Räumen, welche diese Farben im Spectrum einnehmen; es ist daher gar nicht möglich diese Linien genau einzutragen, da entweder ihre relativen Intervalle verrückt oder ihre Lagen in andere Farbenräume verlegt werden müssen; zweitens ist es sehr misslich mit der Bestimmung der Länge der rothen und violetten Streifen und der Vertheilung ihrer fixen Linien in dem Farbenkreise (wenn Grassmann B mit H zusammenfallen lässt, so ist dies eine reine Willkürlichkeit, die sich kaum mit einer mathematischen Begründung verträgt). Man wird einwenden,

die Abweichungen von der Natur würden trotzdem nie besonders merklich; ich lasse es gelten, nur gebe man dann auch andererseits zu, dass es nicht möglich sei, von dieser Regel irgend ein entscheidendes, theoretisches, genaues Resultat zu erwarten.

Die dritte Vorausetzung lautet unklar. In der Discussion derselben lehrt Grassmann eine Construction zur Darstellung der Mischfarben aus 2 einfachen oder gemischten Farben, indem er im Farbenkreise die Componenten durch radiale Linien darstellt, deren Richtung den Farbenton, deren Länge ihre Leuchtkraft repräsentirt, und hieraus mittelst des Kräfte-Parallelogramms die Resultirende sucht. Dabei erhält er als Intensität der Resultirenden die geometrische Summe der Intensitäten der Componenten, während sie doch gleich ist der arithmetischen Summe, und einen Farbenton, der nothwendig im Spectrum enthalten sein muss, während er in der That doch auch in demselben fehlen kann. Man würde daher auch die an sich richtige vierte Voraussetzung nicht im Einklange mit dieser Construction finden, wenn nicht in dem Commentar zu derselben die Richtigkeit des Satzes und der Widerspruch mit der Construction aufgehoben würde, indem es da heisst: "Ich verstehe unter der gesammten Lichtintensität die Summe aus der Intensität der Farbe, aus der Intensität des beigemischten Weiss und die Intensität des Weiss wie auch jeder einzelnen Farbe setze ich dabei nicht dem Quadrat der Vibrations-Intensität, sondern dieser selbst proportional, so dass also bei der Vermischung zweier weisser oder gleichfarbiger Lichter die Intensität der Mischung die Summe wird aus der Intensität der vermischten Lichter. Es ist diese Voraussetzung nicht so wohl begründet wie die vorigen, obschon sie sich aus theoretischen Betrachtungen durchaus als die wahrscheinlichste ergibt." Ich muss meine Unfähigkeit bekennen diese Erklärung ganz zu verstehen. Soll es oben statt Vibrations-Intensität, Schwingungsweite heissen? Was heisst aber dann Schwingungsweite des Weiss? Wie lässt sich überhaupt Weiss mathematisch mit gleicher Einfachheit wie homogenes Licht behandeln? Welches sind die theoretischen Gründe, die es wahrscheinlich machen. dass die Intensität eines Lichtes der Vibrations-Intensität oder der Amplitude einfach proportional sind, und nach welchen die Wellenlänge ganz ausser Betracht kömmt?

Aus all diesem geht hervor, dass Grassmann kaum berechtigt ist, seine Darstellung der New ton schen Regel als strenge begründet

zu betrachten, und dass es überhaupt ein vergebliches Bemühen ist, dieser, als empirischer Regel an sich höchst werthvollen Construction, einen höheren theoretischen Sinn beilegen zu wollen. Newton selbst hat dies klar ausgesprochen, und es scheint nicht, dass er in diesem Falle sein Werk unterschätzt hat 18).

§. 5. Während so der Ausdruck für die Leuchtkraft aus dem Princip der Erhaltung der Arbeit auf eine ganz klare und naturgemässe Weise sich herstellen lässt, ergeben sich grössere Schwierigkeiten, die rein chromatische Seite der Farbenempfindung analytisch zu erfassen. Der Ton der homogenen Farbe ist allerdings durch die Wellenlänge vollkommen bestimmt, und in sofern muss auch der resultirende Ton eines Farbengemisches eine Function der Wellenlängen sein, die sich periodisch in demselben erzeugen; aber hier erwächst schon eine Schwierigkeit. Während es nämlich im homogenen Strahle für die Rechnung einerlei ist, ob man Wellenlänge die Distanz zweier Maxima der Sinuslinie oder das Intervall zwischen zwei homologen Knotenpunkten derselben nennt, tritt bei gemischten Farben, deren Schwingungscurve unter keiner Bedingung die Sinuslinie werden kann, ein Unterschied zwischen jenen Grössen ein, indem die Maxima der Ausschläge im Allgemeinen nicht mit der Mitte des Abstandes zweier Knotenpunkte zusammenfallen, sondern bald näher dem einen, bald dem anderen Knotenpunkte liegen und ausserdem bei manchen der resultirenden Curven selbst zwei (bei mehr als zwei homogenen Componenten zuweilen sogar mehr) Maxima auf einander folgen, ohne dass die Curve inzwischen die Axe geschuitten hätte, wie z. B. bei der Intenferenz blauer und rother Strahlen. Es war hier nothwendig sich für eine bestimmte Vorstellung zu entscheiden, da der Gang der weiteren Berechnung wesentlich von dem Begriffe der Wellenlänge im resultirenden Strahle abhing; die Entscheidung aber konnte aus dem Calculnicht gezogen werden, und ich musste auf den Act des Sehens selbst zurückgehen. Es scheint aber, dass, sobald man annimmt, die Bewegung des Äthers theile sich den Nervenelementen mit und versetze diese in eine ähnliche schwingende Bewegung, es auch mit Nothwendigkeit folge, dass für den Act der specifischen Farbenempfindung nur die Entfernung der Knotenpunkte eine Bedeutung haben könne, oder die Zeit, während welcher ein Nerven-Theilchen aus seiner Ruhelage verrückt bleibt. wesshalb es auch nur eine mathematische Fiction ist bei dem homogenen Lichte Wellenlänge die ganze Strecke zu nennen, die in der

Sinusformel einem Bogen von 2π zukömmt, da für das Auge in der That jedes Intervall zwischen 2 Knotenpunkten die Bedeutung einer Wellenlänge haben muss. Aus diesem Gesichtspunkte gewinnen wir dann auch eine merkwürdige Einsicht in die Wirksamkeit der verschiedenen homogenen Farben selbst, denn da der Reiz um so grösser ist, je länger (innerhalb gewisser Grenzen) die Erregung dauert, Reiz aber gleichbedeutend ist der geweckten Lebensthätigkeit, so kann man es wagen aus der Undulationstheorie eine Deutung der ästhetischen Wirkung der Farben zu versuchen, die zwar nicht symbolisirt 19) aber an Wahrscheinlichkeit kaum hinter den aus anderen Theorien gewonnenen Erklärungen zurückbleibt. Dunkelheit, Schatten, Nacht gewährt der Netzhaut Ruhe, und wirkt psychisch wie jeder dauernde Mangel an äusserer Anregung: in sich versenkend, dem Leben abkehrend; um so mehr als die Lichterregung unter die gewöhnlichsten, dauerndsten, und gleichförmigsten Empfindungen gehört, und somit eine der ersten Bedingungen jeder Lebensthätigkeit nach aussen bildet. Je dauernder der Reiz der Gesichtsnerven ist, desto kräftiger wird die Seele in den Conflict mit der Aussenwelt gezogen, desto mehr kehrt das Gemüth dem Leben sich zu. Kürzere Wellen erlauben eine öftere Wiederkehr in die Ruhelage, daher die schattige Beschaffenheit des Blau, die jeder wahrnimmt, der sich eine Zeitlang unbefangen in Tiefen des reinen Himmels versenkt, und welche die Täuschung der Aristotelischen Schule so begreiflich, ihre Hartnäckigkeit so erklärlich macht. Die "kalte, lichtreizende und doch in ein Nichts versenkende Natur" des Blau liegt in den verhältnissmässig öfter wiederkehrenden Durchgängen durch die Ruhelage, den Nullpunkt der Empfindung, während seine Lichtarmuth zugleich auf Rechnung der geringen Amplitude kömmt. Im Roth dagegen ist der Reiz der dauerndste, folglich die Lebensregung in der Retina die mächtigste: daher die mächtig aufregende, erhebende Wirkung, des "feurigen, vollen, prächtigen Roth"; gesellt sich hiezu noch ein bedeutender Ausschlag, so wird es unerträglich, gewaltsam und für die Dauer jede gesunde Farbenempfindung zerstörend. Es ist darum fürs Auge höchst wohlthätig, dass im Sonnenlichte die gelben, zwischen jenem schattenverwandten reizlosen Blau und diesem überreizenden Roth, dem Farbenreiz (Wellenlänge) nach mitten inneliegenden Tone, die grössten Amplituden und folglich auch den grössten Antheil an der Beleuchtung besitzen; denn das Gelb wirkt durch seinen mittleren Zustand

zwischen Reizlosigkeit und höchstem Reize psychisch sanft erregend, klar und warm; es ertheilt die für eine dauernde harmonische Thätigkeit günstigste Stimmung und man kann mit voller physikalischer Wahrhaftigkeit und Nüchternheit sagen, das Auge sei der Sonne gemäss geschaffen, und so den ahnungsvollen Spruch der Alten bestätigen, welche dem Auge sonnenhafte Natur zueigneten 20). Überall begegnen wir dieser Ökonomie der Schöpfung; wir athmen sehr verdünnten Sauerstoff, da sich in reinem Sauerstoff das Leben in schnellem Taumel bald erschöpfte; wir sind auf Wasser als unser naturgemässes Getränk gewiesen, das nur nährt und erfrischt ohne zu reizen; wir sehen in einem Lichte, dessen Hauptbestandtheile Oscillationen sind, die fast farhig indifferent wirken; überall stehen die allgemeinen irdischen Agentien in einem solchen Verhältnisse zu unserem Organismus, dass daraus eine mässige und dauernde Lebensthätigkeit ermöglicht wird.

Eine weitere Bestätigung der hier entwickelten Ansichten über den specifischen Farbenreiz wird das Folgende bieten, wo ich zeigen werde, dass es allerdings Vibrationen gebe, die viel länger dauern als die des äussersten Roth, dass dieselben aber dann nur nach Unterbrechungen wiederkehren und so dem gereizten Nervenelemente die Möglichkeit einer Erholung und Abwechslung lassen; zugleich wird sich zeigen, wie dieselben trotz ihrer geringen Amplituden dennoch entscheidend sind für den Ton des Gemisches, in welchem sie sich bilden, und folglich diese "tonangebende Kraft" einzig ihrer Dauer verdanken.

Dass daher zwischen Lichtstärke (proportional dem Quadrate der Amplituden und dem reciproken Werthe der Wellenlänge) und Lebhaftigkeit (proportional der Wellenlänge) einer homogenen Farbe wohl zu unterscheiden sei, leuchtet ein; auch wird Niemand aus der Länge der Wellen einen directen Schluss auf die Länge der Dauer einer Lichtempfindung machen wollen, da diese ein sehr complicirter Effect ist und natürlich nicht von der Wellenlänge allein abhängt, sondern sowohl von dem specifischen Farbenreize als auch von der Grösse des Ausschlages, was denn auch durch die Erfahrung bestätigt wird 21).

§. 6. Nach diesen Präliminarien kann zur Besprechung der in den Tafeln enthaltenen Resultate geschritten werden. Meine Vorstellung über die Empfindung einer nicht homogenen Farbe ist aber diese das Auge empfängt in rascher Folge verschiedene rhythmisch wiederkehrende Eindrücke, aus welchen sich nach einer gewissen Dauer
dieser Einwirkung die Licht- oder Farbenempfindung entwickelt; auf
den resultirenden Ton werden die Particular-Erregungen einen um so
entscheidenderen Einfluss nehmen, je dauernder und je weiter sie
das Nervenelement aus seiner Ruhelage verrückt halten. Es werden
daher im Allgemeinen die den rothen Tönen entsprechenden Wellenlängen und die mit den grössten Ausschlägen begabten Vibrationen
den grössten Einfluss üben und derselbe lässt sich demnach messen
durch die Flächen, welche die einzelnen Curvenstücke von Knotenpunkt zu Knotenpunkt mit der Abscissenaxe einschliessen, d. i. durch
das Integrale

$$\int_{x_a}^{x_a'} \left(a \sin \frac{2\pi}{\lambda_1} x + b \sin \frac{2\pi}{\lambda_2} x\right) dx$$

unter x_0 und x_0 solche Abscissen verstanden, für welche die Ordinaten durch den Nullpunkt gehen. Dies Integrale aber ist, wenn wir mit A die grösste Ordinate innerhalb der Strecke (x_0, x_0) , mit A die Differenz x_0' — x_0 bezeichnen nahezu proportional dem Quotienten AΛ; es wird derselbe daher als Mass des Einflusses gelten können. den eine bestimmte Particularwelle auf den farbigen Charakter des resultirenden Strahles nimmt. Wie sich aber die verschiedenen Einzelwirkungen bei der Bildung einer totalen Empfindung stören und modificiren, lässt sich a priori durchaus nicht vermuthen, und es muss dies eben aus der Vergleichung der Rechnungsdaten mit der Erfahrung gelehrt werden. Bei der Untersuchung der Resultate unserer Tafeln muss jedoch das eine fest im Auge behalten werden. dass dieselben die Folge der Partialerregungen darstellen, aus deren rhythmischer Wiederkehr ein Farbenton sich bildet: es kann daher objectiv (durch Brechung) eine Farbe in ganz andere Elemente zerlegt werden, als in dem Acte der Empfindung thätig sind. Die gewöhnliche Betrachtungsweise setzt zwei oder mehrere homogene Farben neben einander, und indem sie sagt: roth und gelb gibt orange, kümmert sie sich nicht weiter um Art und Ursache dieser Wirkung; hier aber ist der Versuch gemacht, das Nebeneinander in ein Nacheinander zu verwandeln, und jene Thatsache zu analysiren

und wo möglich einen Schritt weiter gegen die geheimnissvolle Grenze der subjectiven Empfindung zu wagen.

Es liegt in der Natur der behandelten transcendenten Gleichung keine allgemeine Discussion zu erlauben; darum müssen wir uns an eine inductive Entwickelung der Resultate halten, was zwar der Eleganz der Discussion, aber nicht der Richtigkeit der gewonnenen Ergebnisse Eintrag thun kann, denn es bedingt nicht die Allgemeinheit in der Form der Discussion die Stichhältigkeit ihrer Resultate.

Folgende Sätze gelten allgemein für alle binären Mischungen:

- a) Die Wellenlängen am Beginne und Ablauf der grossen Periode haben einen mittleren Werth zwischen den Wellenlängen der beiden Componenten, und dieser Werth erstreckt sich auf um so mehr auf einander folgende Vibrationen, je näher im Spectrum die beiden Componenten liegen.
- b) Die Länge der Periode nimmt stätig ab, je weiter im Spectrum die Componenten auseinanderrücken. Obschon nämlich die Perioden auch weit auseinanderliegender homogener Strahlen in unseren Tafeln oft eine beträchtliche Länge haben, so sieht man doch bei genauerer Betrachtung, dass dieselben sämmtlich wieder in rhythmische Unterabtheilungen zerfallen, die unter einander so wenig verschieden sind, dass sie gewiss für die Entstehung der Empfindung gleichbedeutend sind.
- c) Von jenem mittleren unter a) erwähnten Werthe nähern sich die Wellenlängen gegen die Mitte der Periode (unter dieser weiteren Bezeichnung nun auch die in b) angegebenen Unterabtheilungen der grossen Periode verstanden) immer mehr der Wellenlänge jenes Strahles, dessen Amplitude in der Combination vorwiegt, und überschreiten den Werth dieser mit rasch zunehmenden Differenzen.
- (So beginnt z. B. in der Combination Gelb-Grün die Periode mit Gelblichgrün, behauptet sich eine Strecke in dieser Region, indem sie aber gegen Gelb dessen Amplitude in der Combination vorwiegt fortschreitet, erreicht sie endlich die Wellenlänge des Gelb und schweift nun in raschen Sprüngen bis Roth hinauf während in der Combination Gelb Orange die Periode anfangs aus wenig verschiedenen orangelichgelben Tönen besteht, die allmählich in Gelb übergehen und sodann in schneller Abnahme bis ins Blaugrün hinab fortschreiten.)

d) Die Amplituden der einzelnen eine Periode constituirenden Vibrationen nehmen ab vom Anfange gegen die Mitte und ihre Ungleichförmigkeit wächst in dem Masse, als der Unterschied zwischen den Wellenlängen und Amplituden des Componenten zunimmt.

Man könnte nach unseren Taseln die auf einander solgenden chromatischen Elemente, aus denen sich die Empsindung einer gemischten Farbe zusammensetzt, etwa in der Weise graphisch darstellen, dass man auf einer Abscissenlinie in gleichen Abständen Ordinaten von der Grösse der Amplituden austrägt und den Zwischenraum zwischen 2 solchen Ordinaten mit der Farbe malt, welche der Wellenlänge, zu der diese Amplitude gehört, entspricht.

Aus a, b und d lässt sich der Begriff des homogenen Lichtes reconstruiren. Rücken nämlich die beiden Componenten im Spectrum einander unendlich nahe, so folgt aus b, dass die Länge der Periode ins Unendliche wächst; bei unendlichem Wachsthum der Periode muss nach a die Farbe, nach d die Amplitude ohne Ende der Gleichheit sich nähern, so dass wir für die Grenze — das homogene Licht, Gleichheit der Wellenlängen und Amplituden erhalten, was bekanntlich die Bedingungen der Homogenität sind 22).

Aus c folgt, dass Wellenlängen in Combinationen von Strahlen ungleicher Amplituden vorkommen können, die weit über die Grenzen der im Spectrum vorkommenden Strahlen hinaus fallen.

Ich komme nun zur Untersuchung der einzelnen Farbenmischungen.

Betrachten wir zuerst die farblosesten, dem Weiss zunächst liegenden Mischtöne. Reines Weiss soll nach Helmholtz nur durch Indigo-Gelb zu erhalten sein; demnächst aber sind die fahlsten Töne Violett-Gelb (weisslich fleischfarben) und Blau-Gelb (schwach grünlich-weiss). Da die Componenten, die wir hier wegen der Vereinfachung der Berechnung gewählt, nicht genau die Helmholtz'schen sind (das GelbHelmholtz's 23) liegt in einem sehr schmalen Streifen zwischen D und E, etwa ¼ der Distanz von D entfernt, fällt also nahezu mit dem Orte der grössten Lichtintensität zusammen; sein Indigo erstreckt sich von der Mitte des Raumes F G bis gegen G hin; unser Indigo liegt eben an der oberen Grenze, würde also allenfalls noch stimmen; wogegen unser Gelb bedeutend gegen die grüne Grenze hin liegt und darum jedenfalls mit zu geringer Amplitude in die Mischung tritt), so darf auch hier auf die Combination Indigo-

Gelb kein besonderes Gewicht gelegt werden, es sei denn, man berücksichtige die, später deutlich nachzuweisende Mangelhaftigkeit der Fraunhofer'schen Zahlen. Stellen wir nun die diesen drei Mischungen entsprechenden Rhythmen zusammen, so finden wir:

Violett-Gelb.	Violett-Gelb. Indigo-Gelb.	
)99 Gelblichgrän.	(109 Schwachgrünlichgelb.	(120 Grünlichgelb.
91 Gelb (unser Normalta).	97 Gelb.	109 Gelb.
86 Gelb.	84 Orange-Gelb.	90 Gelblichorange.
91 Gelb (Helmholtze Nmr.	/ 80 Gelblichorange.	113 Röthlichorange.
Ton).	91 Schwachorangelich-	113 Röthlichorange.
(99 Gelblichgrün.	gelb.	90 Gelblichorange.
99 Gelblichgrün.)105 Granlichgelb.	109 Gelb.
91 Gelb.	101 Grünlichgelb.	120 Grünlichgelb.
\86 Gelb.	105 Grünlichgelb.	120 Grünlichgelb.
(91 Gelb.	91 Gelb.	109 Gelb.
99 Gelblichgrün.	80 Orange.	90 Gelblichorange.
⟨99 Gelbliehgrün.	/ 84 Orangegelb.	113 Röthlichorange.
91 Gelb.	99 Gelb.	/113 Rötblichorange.
(86 Gelb.	109 Gränlichgelb.	109 Gelblichorange.
(91 Gelb.	(109 Grünlichgelb.	120 Gelb.
99 Gelblichgrön.	97 Gelb.	120 Grünlichgelb.
⟨99 Gelblichgrün.	84 Orangegelb.	\120 Grünlichgelb.
91 Gelb.	80 Orange.	109 Gelb.
¹ 86 Gelb.	(91 Gelb.	90 Gelblichorange.
(91 Gelb.	105 Grünlichgelb.	113 Rothlichorange.
99 Gelblichgrün.	101 Grünlichgelb.	/113 Röthlichorange.
99 Gelblichgrün.)105 Grünlichgelb.	90 Gelblichorange.
)91 Gelb.	91 Orangelichgelb.	109 Gelb.
86 Gelb.	80 Gelblichorange.	130 Grünlichgelb.
⁹¹ Gelb u. s. f.	(84 Orangegelb.	(130 Grünlichgelb u. s. f.
•	90 Gelb.	•
	(109 Schwachgrünlichgelb.	•

(Die Zahlen sind die Amplituden der Particular-Erregungen; die Klammern zeigen die einzelnen, in einer grossen Periode enthaltenen; bei der Farbenwirkung allein in Betracht kommenden Nebenperioden an.)

e) Die Empfindung des Weiss setzt sich also zusammen aus den rasch abwechselnden Eindrücken der mittleren Töne des Spectrums von Gelblichgrün bis Orange ²⁴).

Auf diese Weise ist der mässige Reiz des weissen Lichtes erklärlich; kranke Augen empfinden eine rothe Beleuchtung schmerzlicher als eine weisse, und selbst dem gesunden wird eine dauernde

rothe Empfindung viel eher ermüdend als die des farblosen Lichtes. Diejenigen, welche die Empfindung des Weiss aus den Empfindungen der einzelnen, durch Brechung darstellbaren Farben zusammensetzen, müssen, um die milde Wirkung weisser Beleuchtung zu erklären, eine hestige Erregung (roth, orange) durch das Hinzusügen einer Anzahl schwacher Reize (grün, blau, violett) temperiren, was in der That nicht leicht zu begreifen ist.

Untersuchen wir ferner die gewöhnlich als Complementärfarben bezeichneten Combinationen von Blau und Orange, Grün und Roth: die erste gibt nach Helmholtz einen fleischfarbenen, die letztere einen fahlgelben Ton.

Gran-Roth. Blau-Orange. 91 Gelblichgrün. 87 Gelb. 76 Gelb. 77 Orange. 53 Roth. 57 Granlichgelb. 44 (Purpur). 34 Grünlichblau. 66 Gelblichorange. 22 Violett. 34 Blau. 77 Gelb. 52 Gelblichgrün. 93 Gelb. 72 Grünlichgelb. 84 Gelb 85 Gelb. 63 Orange. 88 Gelb. 41 (Purpur). 79 Gelb. 58 Orangelichroth. 81 Gelb. 61 Grüngelb. 92 Gelb. 38 Schwachbläulichgrün. 89 Gelb. 23 Violett. 73 Orangegelb. 28 Indigo. 48 Gelb. 48 Roth. 69 Gran. 48 Roth. 83 Gelb. 73 Orangegelb. 88 Gelb. 89 Gelb. 02 Gelb. 81 Gelb. 81 Gelb. 65 Grünlichgelb. 44 Gran. 58 Orangelichroth. 25 Schwachbläulichviolett. 41 (Purpur). 25 Schwachbläulichviolett. 63 Orange. 84 Gelb. 44 Grün. 65 Grünlichgelb. 93 Gelb. 81 Gelb. 77 Gelb. 88 Gelb. 66 Gelblichorange. \ 83 Gelb. 44 (Purpur).

Gran-Roth. Blau-Orange. 69 Grün. 35 Roth. 77 Orange-48 Gelb. 91 Gelblichgrün. 28 Indigo. 91 Gelblichgrün. 23 Violett. 77 Orange. 38 Schwachbläulichviolett. 61 Grüngelb. 53 Roth. 44 (Purpur). 79 Geib. 66 Gelblichorange. 88 Gelb. 77 Gelb. 85 Gelb. 93 Gelb. 72 Grünlichgelb. 84 Gelb. 52 Gelblichgrün. 63 Orange. 31 Blau. 41 (Purpur). 22 Violett. 58 Orangelichroth. 34 Granlichblau. 81 Gelb. 57 Grünlichgelb. 92 Gelb u. s. f. 76 Gelb. 87 Gelb.

Die gelben und grünlichen Elemente sind der Zahl und dem Gewichte nach vorherrschend, sie werden daher bei der raschen Abwechslung, in der sie aufeinander folgen, nach e) eine ganz fahle Mischung bedingen. Bei Grün und Roth wird dies um so gewisser eintreten, als die reizlosen blauen und violetten Elemente allein mit den gelblichen und grünlichen in den Kampf treten; bei Blau und Orange aber steht jedenfalls ein mehr röthlicher Ton zu erwarten, als nach Helmholtz's Beobachtungen stattfinden sollte. Wir werden unten zeigen, wie dies aufzuklären ist, und folgern aus den bisher betrachteten Combinationen, dass

u. s. f. da capo.

f) die fahlsten Mischtöne jene sind, in welchen die gelben und benachbarten Elemente vorherrschen. Man sollte daher von einem beigemischten Weiss in der mathematischen Physik nicht sprechen, so brauchbar diese Ausdrucksweise auch für den Maler und Physiologen ist; man müsste folgerichtig in der Akustik von beigemischtem Geräusch reden, und eine fernher tönende Musik eine Mischung von Ton und Geräusch nennen; in der Logik von beigemischter Unbestimmtheit und müsste eine unvollkommene Begriffsbestimmung einen durch Unklarheit diluirten Gedanken definiren; es ist aber noch Niemandén eingefallen, so zu thun und am wenigsten diese Bestandtheile nach bestimmten

Verhältnissen zu messen. Jede Farbe ist für die Physik ein eigenthümlicher Bewegungszustand, die Empfindung der Farbe die Wahrnehmung dieser Bewegung; das Gesetz derselben kann einfacher und complicirter und die Empfindung dieser Bewegungszustände energischer, reiner und minder lebendig, verwischter sein; aber nach Verhältnissen messen lässt sich hier nichts und wo es geschieht, da ist es nur zu rechtfertigen, wenn man das weisse Licht aus bestimmten Quantitäten rother, gelber und blauer Strahlen bestehen lässt, wie es in der Emissionstheorie allenfalls möglich ist, was der Undulationstheorie aber gründlich widerstrebt. Es ist nicht unmöglich, dass man das Gewicht bestimmen lernt, mit welchem ein Element sich in der Totalempfindung geltend macht, wie ich an einem anderen Orte zeigen werde; aber darüber lässt sich noch bei weitem nicht mit Gewissheit entscheiden.

So lange die Componenten im Spectrum nicht sehr weit entlegen sind, entstehen Mischtöne, deren Ton nach der Erfahrung in der Mitte zwischen den homogenen Grundfarben liegt. In der That, sieht man unsere Tafeln an, so wird man finden, dass die herrschenden Elemente jedes Rhythmus die mittleren Töne sind; so hat man bei Violett und Indigo die vorherrschenden Particulartöne violettlichindigo; bei Violett und Blau, indigo und dunkelblau; bei Blau und Grün, bläulichgrün; bei Gelb und Grün, gelblichgrün u. s. f. Dies findet um so reiner Statt, je weniger zugleich die Amplituden der beiden Strahlen differiren (vergl. die Tafeln des zweiten Abschnittes). Da aber niemals ein Element allein vorherrscht, und die Maxima und Minima in den Rhythmen bei einigermassen entschieden verschieden gefärbten Componenten rasch auf einander folgen, so sehen wir

g) dass der Mischton zweier homogener Componenten von verschiedener Wellenlänge niemalsgleich sein kann einem homogenen Tone des Spectrums, sondern stets minder gesättigt erscheinen muss, woraus dann weiter nothwendig hervorgeht, dass es nicht möglich ist aus Blau, Roth und Gelb, oder Violett, Grün und Roth, oder Roth, Gelb, Grün, Blau und Violett oder irgend einer anderen beliebigen Anzahl von Grundfarben die anderen Farben des Spectrums darzustellen, sondern dass

h) gar kein, einer homogenen Farbe identischer Farbenton durch Mischung erzeugt werden kann 25).

Hier liegt zugleich die Lösung des vielbesprochenen Problemes der Hauptfarben.

Man kann unter Hauptfarben entweder jene Farbentöne verstehen, deren Wellenlängen unter einander eine so beträchtliche Verschiedenheit haben, dass sie auch eine merklich verschiedene Empfindung erregen, oder aber jene, sogenannten einfachen, aus welchen sich durch Mischung alle anderen Farbentöne herstellen lassen. Hauptfarben der ersten Art sind die 7, oder, wenn man Indigo 26) unter Blau begreift, 6 Newton'schen Farben im Spectrum und es muss immer als eine sehr bemerkenswerthe Thatsache anerkannt werden, dass das Auge aller Menschen (die Seebeck'schen Ausnahmen können diese Regel nicht erschüttern) eben nur auf jenen 7 Tönen ruhen bleibt, denn es ist an sich gar nicht einzusehen, warum es nicht eben so gut auf den Mitteltonen jener 7, oder irgend anderen merklich von einander entlegenen, als den charakteristischen Farben des Spectrums beruhen sollte; es ist dies eine physiologische Thatsache, über die man sich nicht Rechenschaft ablegen kann. Hauptfarben der zweiten Art sind alle die von den verschiedenen Physikern als einfache bezeichneten, wie sie im ersten Abschnitte aufgezählt sind. Man sieht ein, dass es nach dem letzten Satze im Spectrum nur einfache Farben geben könne, und dass ihre Zahl unbestimmt und unendlich gross sei. Es trägt auch die Beschaffenheit des Spectrums verschiedener Lichtquellen nicht wenig dazu bei, den bisherigen Begriff der einfachen Farben seiner Allgemeinheit zu entkleiden. So sehen wir, dass bei einer speeiellen Beschaffenheit des Spectrums allerdings aus Grün und Violett Blau hergestellt werden kann, so wie man aber dem Violett eine geringere Amplitude gibt, so rücken die Elemente des resultirenden Strahles nach c) mehr gegen Gelb und der Mischton wird durch Hellblau und Hellgrün endlich entschieden in Grün übergehen, so wie er andererseits durch Dämpfung des Gelb durch Dunkelblau und Indigo ins Violett hinabrückt. Da aber nicht in allen Lichtquellen die Intensitäten auf einerlei Weise vertheilt sind, so werden homologe Theile der Spectra verschiedener Lichtquellen verschiedene Mischtöne liefern und man müsste jedenfalls für jeden selhstleuchtenden Körper ein eigenes System einfacher Farben bestimmen. Wollte man, um diesen Einwurf abzulehnen, einwenden, dass von Haupt- und einfachen Farben nur in Bezug aufs Sonnenspectrum die Rede sein kõnne, da erfahrungsmässig jede irdische Farhe nur Bestandtheile

dieses enthalte, indem die Körper- und Oberflächentarben in der Regel nur im Sonnenlichte beurtheilt werden, so kann auch dies die Möglichkeit einer beschränkten Anzahl einfacher Farben nicht retten. Denn es entstehen die Körper- und Spectrumfarben dadurch, dass weisses Licht dispergirt wird, wobei dann das Auge jene Theile desselben wahrnimmt, deren Amplituden durch Absorption und andere Interferenzfälle nicht allzusehr verringert wurden; aber bei keinem Spectrum können wir behaupten, die Amplituden des aus dem Prisma austretenden Lichtes seien dieselben, oder nur in denselben Verhältnissen wie die des eintretenden. Das vollkommenste Glasprisma absorbirt bedeutend die Strahlen jenseits Violett; da aber die Wellenlängen des sichtbaren Spectrums stätig in die des unsichtbaren übergehen, so ist gar nicht einzusehen, dass nicht auch die Amplituden des Violett durch Absorption gelitten haben sollten: es geben auch in der That Quarzprismen ein stärkeres Violett als Glasprismen. So wie bei Violett, so ist bei allen Farben die Grösse der Absorption verschieden nach den verschiedenen zerstreuenden Substanzen, und es richten sich daher auch die Amplituden und Intensitäten nach diesen. Da aber, um durch Mischung dieselbe Farbe zu erhalten, das Verhältniss der Wellenlängen und Amplituden in den Componenten ungeändert bleiben muss, so sieht man ein, dass es wegen dieser Abhängigkeit von Lichtquelle und brechender Substanz nicht möglich ist irgend welche Farben als einfache vor den anderen herauszuheben 27).

Es sind nun noch diejenigen Combinationen zu untersuchen, deren Componenten im Spectrum weit aus einander liegen: die Interferenz der violetten und dunkelblauen Strahlen mit den orangenen und rothen. Wir finden, dass die Rhythmen noch kürzer als bei den zuerst betrachteten Mischungen geworden sind, so dass sie zum Theil nur aus 2 Elementen bestehen; dabei nehmen aber die Unterschiede in den Amplituden ab, so dass die krumme Linie, welche wir erhalten, wenn wir die Amplituden der auf einander folgenden Vibrationen auf die oben erwähnte Weise als Ordinaten auftragen, geringere wenngleich zahlreichere Ausbuchtungen zeigen wird, als es bei den bisher betrachteten Combinationen der Fall war. Dabei nehmen die gelben Elemente an Zahl und Grösse ab; während in der Combination Blau-Rothselbst noch (sehrschwach) grünliche Töne vorkommen, nimmt die relative Grösse der gelben Elemente schon im Indigo-Orange, Indigo-Roth ab und die Combination Violett-Roth enthält fast gar kein gelb-

liches Element mehr: es werden daher die Mischtöne auch in demselben Verhältnisse lebendiger, entschiedener, farbiger werden. In den Combinationen mit Roth entstehen nun auch Wellen, deren Oscillationsdauer über die Grenzen hinaus fallen, innerhalb welcher die Farben des Sonnenspectrums noch sichtbar sind; und gerade diese sind es, die auf die farbige Constitution der Mischung den entschiedensten Einfluss üben müssen; man weiss, welch' ein schönes, einer homogenen Farbe an Lebhaftigkeit und Reinheit in nichts nachstehendes Scharlachroth die Interferenz von Roth mit Violett und Indigo liefert; es kann aber, wenn wir die Rhythmen derselben betrachten:

Violett-Roth.	Indige-Roth.
42 Orange.	50 Gelb.
30 (Porpur).	32 (P urpur).
40 Orangelichroth.	32 (Purper).
43 (Röthlichpurpur).	50 Gelb.
32 (Röthlichparpur).	50 Gelb.
37 Roth.	32 (Purpur).
44 Gelblichorange.	32 (Purpur).
35 (Purpurlichroth).	50 Gelb.
35 (Purpurliehroth).	etc. da capo.
44 Gelblichorange.	•
37 Roth.	
32 (Röthlichpurpur).	
43 (Rothlichpurpur).	
40 Orangelichroth.	
30 (Purpur).	
42 Orange.	
u. s. f. da capo.	

diese Intensität der Färbung nur auf Rechnung der eingeklammerten Töne kommen, von denen ich übrigens gar nicht behaupten will, dass sie wirklich so aussehen, wie ihre vorläufig gewählten Namen andeuten 28). Es folgt hieraus, worauf wir schon zu wiederholten Malen aufmerksam gemacht haben

- i) dass das Auge noch für Vibrationen empfindlich sei, deren Längen weit ausser der gewöhnlich angenommenen Grenze von 380 und 680 Milliontel Millimeter liegen; und als Bestätigung der im vorigen Paragraphen ausgesprochenen Ansicht über die Natur der Farben, dass
- k) die chromatische Intensität (Lebhaftigkeit, Reiz) der Strahlen in dem Masse zunimmt, als die Wellen-

längen wachsen, also vom violetten gegen das rothe Ende hin.

Der erste dieser Sätze kann vielleicht der Schlüssel werden zur Erklärung manches physiologischen Phänomens. So dürfte das Abklingen der durch das Schauen in die Sonne erzeugten Blendungsbilder bei gut bedeckten Augen von dem Gesichtspunkte aus erklärlich sein, dass das Abklingen in einer Aufzehrung der durch die Äthervibrationen an die Netzhaut übertragenen lebendigen Kraft durch die Widerstände der Nervenelemente bestehe, oder mit anderen Worten, in einer Abnahme der erzeugten Lichtintensitäts - Empfindung, die gleichzeitig durch ein Verringern der Amplituden und Verlängern der Wellen bewirkt wird. Es ist wie ein elastisches Pendel, das im Verlaufe der Bewegung immer grössere und grössere Längen erhält, indess seine Ausschläge kleiner und kleiner werden. Die Farbenempfindungen, welche sich in dieser Erscheinung succediren, sind nach den vielfachen Beobachtungen Fechner's 20)

eine äusserst schnell schwindende, nur bei den heftigsten Erregungen sichtbare weisse Phase;

lichtblau, zuweilen mit violettem Randschein,
lichtgrün, mit rothgelbem Rande, der bald in einen rothgelben Centralfleck übergeht;
(dunkelroth, lange dauernd;

II. dunkelblau (zuweilen erst lila); schwarzgrün.

In der ersten Reihe ist die Lichterscheinung heller, in der zweiten dunkler als der Grund des Auges. Es wäre nun nicht undenkbar, dass die Farben der ersten Reihe durch eine Zunahme der Wellenlänge (Pendellänge) der schwingenden Nervenelemente his an die obere Grenze des Spectrums entstünden, die der zweiten aber durch ein noch weiteres Wachsen der Oscillationsintervalle bis zu einer Grenze, die durch die Länge und Elasticität der schwingenden Fäden selbst gesetzt ist; die Abnahme ist am raschesten anfangs, wird aber um so langsamer je mehr die Bewegung der erregten Theile gegen den Zustand der Ruhe hin convergirt, so dass die Endphasen lichtschwächer aber zugleich dauernder werden.

Der zweite Satz k) macht es uns möglich einige Thatsachen aufzuklären, die auf eine andere Weise kaum verständlich wären. So die scheinbare Lichtstärke der rothen Farben. Niemand hat bisher

scharf unterschieden zwischen Leuchtkraft und Lebhaftigkeit, zwischen photometrischer und chromatischer Intensität der Farben und doch schliesst die eine die andere fast aus, wenigstens bei gleichen Amplituden. So haben wir in der Combination Grün-Roth zwischen den blauen und gelbgrünen Elementen fast dasselbe Verhältniss wie in der Combination Blau-Roth zwischen den rothen und gelbgrünen Elementen, und doch ist das Resultat jener nur ein höchst fahler Ton, während hier die Empfindung eines schönen Rosenroth erzeugt wird. Das Auge aber kann die beiden Momente des Lichtreizes (Helligkeit, Leuchtkraft) und Farbenreizes (Lebhaftigkeit, Energie der Färbung) nicht scheiden, und es wird daher die rothen Töne für heller, die blauen für lichtarmer halten als es beide sind. Darin liegt der Mangel der Fraunhofer'schen Intensitätsmessungen, und es fällt nicht schwer zu zeigen, wie sehr seine Resultate von den wirklichen Verhältnissen in der Natur abweichen: unsere Tafeln reichen dazu völlig aus, wir brauchen nur die Combinationen des Violett, Indigo und Blau mit den übrigen Farben durchzugehen und mit den Helmholtz'schen Resultaten zu vergleichen. Wir setzen dabei als zugegeben woraus, dass, wenn wir auch nicht genau wissen, wie aus der Particularerregung sich die Totalempfindung einer Mischfarbe zusammensetzt, der resultirende Ton gewiss an Farbenkraft und Lichtstärke nicht die energischsten Elementartöne übertreffen, sondern höchstens in ihrer Nähe kommen werde.

Übergehen wir die Combination Violett-Indigo wegen der grossen Ähnlichkeit der Componenten, so finden wir schon, dass nach unseren Tafeln Violett-Blau einen Mischton geben werde, der ungefähr der unteren Hälfte des Blau entspricht, während nach Helm holtz derselbe an die Grenze von Indigo fällt; es ist somit nach den obigen Sätzen die Amplitude und folglich auch die Leuchtkraft des Violett grösser als sie Fraunhofer gefunden.

Violett-Grün gibt nach unseren Tafeln ein entschiedenes bläulichgrün, nach Helmholtz hellblau; die Amplitude und folglich auch die Leuchtkraft des Violett ist daher (mit der des Grün verglichen) um ein gutes grösser als Fraunhofer angibt.

Violett - Gelb u. s. f. lassen keine sicheren Schlüsse zu; dagegen

Indigo-Blau gibt nach unseren Tafeln ein Blau, das nicht so tief ist, als wie # Helmholtz gefunden; es ist daher die Amplitude und

folglich auch die Leuchtkraft des Indigo (mit der des Blau verglichen) grösser als es Fraunhofer angibt.

Indigo-Grün gibt nach unseren Tafeln ein ähnliches Grün wie die Combination Violett-Grün, nach Helmholtz hellblau; es ist daher die Amplitude und Leuchtkraft des Indigo (mit der des Grün verglichen) grösser als es Fraunhofer gefunden.

Indigo-Gelb gibt nach unseren Tafeln einen schwach orangelichen Ton, während er nach Helmholtz rein weiss ist; da aber unsere Componenten nicht die Helmholtz'schen sind, und der resultirende Ton bei der Annahme dieser noch mehr in Roth gezogen würde, so ist die Amplitude und Leuchtkraft des Indigo (verglichen mit der des Gelb) gewiss viel grösser als es Fraunhofer gefunden.

Indigo - Orange etc. lassen keine sichere Schlüsse zu. Dagegen

Blau-Grün gibt nach unseren Tafeln ein entschiedenes Grün, nach Helmholtz grünblau; folglich ist die Amplitude und Leuchtkraft des Blau (im Vergleiche zu der des Grün) gewiss grösser als es Fraunhofer gefunden.

Blau-Gelb lässt keinen sicheren Schluss zu.

Blau-Orange ist nach unsern Tafeln ein bleicher Purpur oder ein bleiches Roth, nach Helmholtz fleischfarben; es ist also die Amplitude und Lichtstärke des Blau (verglichen mit der des Orange) grösser als es Fraunhofer gefunden.

Blau-Roth lässt nach unseren Tafeln noch keine genaue Bezeichnung des resultirenden Tones zu, da noch zu erforschen ist, was für eine Farbenempfindung mit so hohen Wellenlängen verbunden ist, wie sie in dieser Interferenz vorkommen; jedenfalls aber ist der Ton um vieles höher gerückt, als er nach Helmholtz sein sollte, so dass auch hier nachgewiesen ist wie Fraunhofer die Leuchtkraft des Blau zu niedrig angegeben hat.

Aus all' diesem folgt nun

l) dass die Leuchtkraft im Spectrum am blauen Ende viel stärker ist als es die Fraunhofer'schen Messungen angeben.

Dieser, aus unseren theoretischen Betrachtungen durch Vergleich mit genauen Beobachtungen abgeleitete Satz erlaubt nun eine sehr einfache Erklärung der oben mitgetheilten, von Dove und mir gemachten Erfahrung. Wenn nämlich die Amplituden des Blau im

Spectrum nahezu gleich oder gleich denen des Roth angenommen werden (und dass man dies muss, lässt sich kaum mehr bezweifeln), so wird die Leuchtkraft des Blau stärker, wenn auch der Farbenreiz des Roth beträchtlich überwiegend bleibt, und daher auch die Lichtstärke der letzteren Farbe scheinbar prävaliren macht. Dann wird aber bei allmählicher Abnahme der Gesammtbeleuchtung das Roth früher die Grenze der zur Sichtbarkeit nothwendigen Intensität erreichen, und das Blau vermöge seiner kürzeren Wellen noch durch einige Zeit deutlich sichtbar bleiben, wo kein Roth mehr wahrgenommen werden kann.

So erklärt sich auch eine Beobachtung Pouillets, der eine interessante Reihe von Versuchen über das Beleuchtungsvermögen verschiedengefärbter Substanzen angestellt 20), in der er das Verhältniss der zerstreuten Lichter bestimmte, die fähig sind der Wirkung der direct gespiegelten Beleuchtung an Daguerre'schen Bildern das Gleichgewicht zu halten. Er fand, dass das glänzendste Roth eines Wollen- oder Baumwollenstoffes ein geringeres Beleuchtungsvermögen besitzt als ein sehr dunkles Blau, welches wieder ein etwas schwächeres Beleuchtungsvermögen hat als Grau, das doch nur ein helleres Schwarz sei.

Der Versuch Fechners mit der Farbenspirale entscheidet nicht für die grössere Lichtstärke des Roth, denn indem das Auge zwei gefärbte Flächen gleichzeitig betrachtet, addirt es im Vergleichen unwillkürlich und nothwendig Lichtstärke und Farbenreiz, und kann daher aus diesem Versuche keinerlei Schluss über das gezogen werden, was wir hier Leuchtkraft nennen.

Es wäre daher sehr zu wünschen, dass die Messungen über die Leuchtkraft der einzelnen Farben nach einer anderen Methode wiederholt würden, bei welcher mit möglichster Strenge die hier erwähnte Fehlerquelle vermieden würde; dies geschähe, wenn man nicht die Farbe selbst mit irgend einer beleuchteten Fläche vergliche, sondern etwas, das reine Function der Lichtstärke ist, der Messung unterzöge und auf die Lichtstärke zurückschlösse. Etwa durch eine Bestimmung der unter dem Mikroskope bei verschiedenfarbiger Beleuchtung noch wahrnehmbaren Theilstriche einer Scale, die verschieden tief- und scharfgeritzt sind, oder dergleichen. Auch die Hassenfratz'schen Beobachtungen über die Absorption des Sonnenlichtes bei zunehmender Dämmerung bedürfen einer Revision.

§.7. Da die Brewster'sche Theorie über die Zusammensetzung des Spectrums auf zahlreiche Thatsachen sich gründet, so kann sie auch nur so widerlegt werden, dass man zeigt, wie diese Thatsachen zu erklären seien ohne Zuhilfenahme einer eigenen Theorie und wie die Folgerungen, die aus diesen Thatsachen gewonnen werden, nicht mit der nothwendigen Consequenz sich denselben anschliessen; beides ist geschehen ²¹) und wenn ich zum Schlusse auf diese Theorie zurückkomme, so geschieht es nur um meine eigene, dem Vorigen zu Grunde gelegte Ansicht über die Art der Farbenwirkung noch indirect zu rechtfertigen.

Brewster's Anschauungsweise ist identisch mit der Mayer's, Wollaston's und Young's, wenn man sie näher analysirt. Wenn die letzteren das Spectrum aus 3 oder 4 homogenen Farbenstreisen bestehen lassen, so gestehen sie zu, dass alle Mitteltöne durch Übereinandersallen der Grenzen dieser Streisen entstehen müssen und in sosern spricht Brewster nur in bestimmter aber allgemeiner Weise aus, was jene mehr oder weniger deutlich als selbstverständlich supponiren. Wenn er dagegen die Farben an allen Orten des Spectrums aus drei Elementen zusammensetzt, so muss er nothwendig die Young'sche Erklärung der dreisach specifischen Farbenempfindung adoptiren. Denn, dass die Farben durch Schwingungen der Netzhaut dem Bewusstsein übermittelt werden, ist eine Ansicht, die der Emission so wenig wie der Theorie der Undulation fremd ist; hat ja selbst Newton am Schlusse seiner Optik die Fragen gestellt:

Ob nicht die Lichtstrahlen auf der Netzhaut gewisse Schwingungen erregen, die längs der soliden Fasern des Sehnerven nach dem Gehirn zu verpflanzt werden, und daselbst die Empfindung des Sehens hervorbringen? Ob nicht die Strahlen von verschiedener Art Schwingungen verschiedener Art erregen, so wie verschiedener Schwingungen der Luft die Ursache der Töne sind, und ob nicht die am meisten brechbaren Strahlen die längsten Schwingungen hervorbringen? Ob nicht die Harmonie oder Disharmonie von dem Verhältnisse dieser Farbe abhängt? 32)

Gibt man aber zu, dass die Farbenempfindung hlos durch die Schwingungen, in welche die Nerven versetzt werden, erregt wird, so kann man in dieser Erregung keine anderen Elemente betrachten, als die Dauer einer Vibration (Schwingungsdauer, Wellenlänge) und die Weite des Ausschlages (Amplitude); da aber nach Brewster weder das eine noch das andere, noch beide zusammen zur Bestimmung der Farbe ausreichen, so sieht man, dass die theoretische Möglichkeit, trotzdem verschiedene Farben zu sehen, nur dadurch noch gerettet werden kann, dass man annimmt, für jede der 3 Farbenelemente sei ein eigener die Empfindung vermittelnder Apparat da; so wird man umgekehrt durch die Brewster'sche Theorie wieder auf die Young'sche zurückgeführt, die eben dreierlei solche Nervenelemente — entsprechend den 3 einfachen Farben — anzunehmen geneigt ist 33).

Diese Hypothese, die die heutige Undulationstheorie an ihrer Grundlage angriffe, wäre einzig nur dann zu rechtfertigen, wenn es irgend eine Nöthigung gäbe, die einfachere von einerlei Nervenelementen und die von der Brechbarkeit abhängigen Farben aufzugeben; aber dieser bequemt sich Alles und selbst die gemischten Farben finden, wie ich glaube gezeigt zu haben, durch sie eine genügende Aufklärung. Wollte man nun nicht zugeben, dass die Empfindung der Mischfarben in der Weise erregt werde, wie es in dieser Abhandlung angenommen wurde, so müsste man der Young'schen Hypothese folgen, und diese ist, abgesehen von ihrer inneren Unwahrscheinlichkeit, durch die Widerlegung der Brewster'schen auch selbst widerlegt.

Manches lässt sich noch aus unseren Tafeln folgern, was ich hier nicht berührt habe; doch ich schliesse für jetzt und ergreise nur noch die Gelegenheit, meinen wärmsten Dank dem Hrn. Regierungsrath v. Ettingshausen und Professor Schrötter auszusprechen, die es mir wiederholt erlaubten, meine Gedanken über diesen Gegenstand vor, ihnen zu entwickeln und durch zahlreiche Bemerkungen es mir erleichterten zur klaren Einsicht der hier vorgetragenen Sätze zu gelangen.

Nachdem der gegenwärtige Aufsatz bereits zum Druck befördert war, wurde mir von Seiten einer berühmten Autorität ein Einwurf bekannt, welcher meine Arbeit in ihrer Grundlage vernichten müsste, falls er unabweisbar wäre. Ich wurde nämlich aufmerksam gemacht, dass es einen Fall gebe, wo die Empfindung einer gemischten Farbe entstehe, und welcher alle Interferenz als unmöglich ausschliesst. Sieht man nämlich unter den gehörigen Vorsichten mit den 2 Augen

durch verschiedenfarbige Gläser, so erhält man nicht die Empfindung der einzelnen Farben, sondern die ihrer Resultirenden; so geben rothe und gelbe Gläser ein gleichförmig oraniengelbes, rothe und blaue ein gleichförmig violettes Gesichtsfeld etc. Hierzu erlaube ich nun folgende Bemerkung zu machen:

- 1. Ich habe in meinem Aufsatze wesentlich Alles ausgeschieden, was muthmasslich seine Entstehung, weniger der unmittelbaren Erregung von aussen als einer Reaction des Organes verdankt, d. i. alle subjectiven Erscheinungen. Nun ist aber das Phänomen, das hier angeführt wird, kaum unter die Kategorie der von mir ausschliesslich betrachteten Erscheinung zu zählen.
- 2. Sollte auch dies nicht zugegeben werden, so kann ich doch in der ganzen Erscheinung nichts als einen Interferenzfall sehen.

Kommt nämlich eine Erregung nicht bereits im Nerven zum Bewusstsein, leitet derselbe vielmehr jene in ein tiefer liegendes Organ, das Gehirn, wo diese Übermittelung des Objects an das Subject geschieht, so kann diese doch nur in einer Weise stattfinden, die wir entweder als Strömung oder als Schwingung ansprechen; es scheint nicht im geringsten unwahrscheinlich, dass das von einer Lichtwelle getroffene Element des Sehnerven eine Erschütterung ins Innere fortpflanzt: es kann ja in der That durch eine Erschütterung die Empfindung des Lichtes pathologisch erregt werden. Ist nun der Sehnerv Leiter einer schwingenden Bewegung, so liegt es auf der Hand, dass bei der Durchkreuzung und völligen Durchwachsung bis in die feinsten Fäden, der beiden optischen Nerven im Chiasma eine Mittheilung der Bewegung des einen an den andern stattfinden müsse (ich erinnere an das Wahrnehmen eines Lichteindruckes in beiden Augen, während nur das eine der Lichtquelle geöffnet ist), d. i. eine völlige Interferenz. Wäre die Thatsache selbst isolirt, so könnte diese Anschauungsweise doch nicht unbedingt verworfen werden, denn eben weil man gar nichts weiss von dem, was jenseits der Retina im Nerven vor sich geht, so ist kein Grund vorhanden, eine Hypothese, die sich natürlich an die übrigen Thatsachen schliesst, zu verwerfen. So aber erscheint es, als ob unsere Theorie im Vereine mit der erwähnten Thatsache vielmehr dazu dienen könne über das, was im Nerven selbst und bei der Durchkreuzung desselben geschieht, einiges Licht zu verbreiten.

Anmerkungen.

- 1) "Die Malerei fordert eine simultane Harmonie, die Musik eine successive." Goethe. Vergleiche auch De Mairan in den Mém. de l'académie royale 1737, p. 61. Dove erklärt die Empfindung der gemischten Farben analog der Wahrnehmung mehrerer gleichzeitiger Tone (Darstellung der Farbenlehre und optische Studien. Berlin 1833). Das Folgende mag entscheiden, in wie ferne wir berechtigt waren von der Ansicht des berühmten Physikers abzuweichen.
- 2) Die Distanzen sind gewiss geringer als ¹/₂₀₀ einer Lichtwellenlänge. Cauchy. exerc. de math. phys., p. 292.
- 3) C'est en supposant les sommes aux différences finies transformées en intégrales aux différences infiniment petites que j'ai pu déduire de la théorie la propriété que l'éther isolé paraît offrir de transmettre avec la même vitesse de propogation les rayons diversement colorés. La possibilité d'une semblable transformation résulte de la loi de répulsion que j'ai indiquée et du rapprochement, comme on ne peut supposer la distance de deux molécules voisines réduite absolument à zéro il est naturel de penser que, dans le vide, la dispersion n'est pas non plus rigoureusement nulle, qu'elle est seulement assez petite pour avoir jusqu'à ce jour échappé aux observateurs. S'il y avait possibilité de la mesurer, ce serait par exemple à l'aide d'observations faites sur les étoiles périodiques, particulièrement sur celles qui paraissent et disparaissent et sur les étoiles temporaires. En effet dans l'hypothèse de la dispersion, les rayons colorés qui en partant d'une étoile, suivent la même route, se propageraient avec des vîtesses inégales et par suite des vibrations, excitées au même instant dans le voisinage de l'étoile pourraient parvenir à notre oeil à des époques séparées entre elles par des intervalles de temps d'autant plus considérables que l'étoile serait plus éloignée. Anisi dans l'hypothèse dont il s'agit, la clarté d'une étoile venant à varier dans un temps peu considerable, cette variation devrait à des distances suffisamment grandes, occasionner un changement de couleur qui aurait lieu dans un sens ou dans un autre, suivant que l'étoile deviendrait plus ou moins brillante une même partie du spectre devant s'ajouter, dans le premier cas, à la lumière propre de l'étoile dont elle devrait être construite au soustraire dans le second cas. It était donc important d'examiner sous ce point de vue les étoiles périodiques et en particulier Algol qui passe dans un temps assex court de la seconde grandeur à la quatrième: c'est ce qu'à fait M. Arago dans le but que nous venons d'indiquer. Mais les observations qu'il a entreprises sur Algol comme celles qui avaient pour objet l'ombre portée sur Jupiter par les satellites, n'ont laissé apercevoir aucune trace de la dispersion des couleurs. Cauchy, mémoire sur les deux éspèces d'ondes planes qui peuvent se propager dans un système isotrope des points matériels. Exerc. de math. phys., p. 291. Auf den Mangel aller Dispersion im Raume - wenigstens soweit sich dieselbe in der Distanz vom Jupiter bis zu uns kundgeben musste - schloss schon Musschenbroeck Introd. etc. §. 1813, wegen des farblosen Verlöschens der beschatteten Jupitersmonde. Dass übrigens die Dispersion selbst auf unendlich weiteren Räumen noch unwahrnehmbar sei, beweist die Gleichheit der Aberrations-Konstante für alle Fixsterne, die weissen so gut als die blauen, gelben, rothen und grünen. Vergi. Dove, a. a. O.

- 4) Es scheint, dass über den numerischen Betrag der atmosphärischen Dispersion nichts bekannt gemacht worden ist. Alles was ich hierüber gefunden habe, beschränkt sich auf ein Paar kurze Notizen in den Annales de ph. chim. I, pag. 5; Comptes rendues 1836, II, pag. 459; Pogg. Ann. XXXIX, p. 224; aus denen hervorgeht, dass sich mit der Nachweisung und Messung der Lichtzerstreuung in den Gasen bereits Bouguer (1748), Lemonier (1761), Dollond (1779), Herschel (1783, 1785, 1805), Lindenau (1812), Stephan Lee (1815) und endlich Arago beschäftigten, dass aber niemals ein genaues numerisches Detail veröffentlicht wurde, obschon besonders Arago ein solches ausdrücklich versprach. Vielleicht dass dasselbe jetzt in seinen nachgelassenen Werken mitgetheilt werden wird, wenn es überhaupt noch erhalten ist.
- 5) Aesthetik oder Wissenschaft des Schönen. 2. Bd., \$. 250, 251.
- 6) Poggendorff's Annalen, LXXXIX, p. 70.
- 7) Dove (Darstellung der Farbenlehre etc.) gebraucht Ton noch in einer anderen Bedeutung, indem er ihn mit "Klang"parallelisirt.
- 6) Poggendorff's Annalen LXXXV, 397.
- 9) Poggendorff's Annalen XL, 222.
- 10) Ann. ph. chim. LXVI, 60.
- 11) Poggen dorff's Annalen Ergänzungsband IV, p. 323.
- 12) Zwei neuere Abhandlungen aus dem Gebiete der Optik von Christ. Doppler, Prag 1848.
- 13) Zur Theorie der Farbenmischungen, Poggendorff's Annalen LXXXIX, 69 f.
- 14) Fieri quoque potest, ut colores compositione producantur, qui nullis homogenei luminis coloribus prorsus similes sunt futuri. Opt. lib. 1, pars II, prop. IV, theor. III.
- 18) I could never yet by mixing only two primary colours produce a perfect white. Whether it may be compounded of a mixture of three taken at equal distances in the circumference, I do not know; but of four or fife I do not much question but it may. But there are curiosities of little or no moment to the unterstanding of the phenomena of nature. For in all whites produced by nature there uses to be a mixture of all sorts of rays and by consequence a composition of all colours. Optics, pag. 136 (I, II, prop. VI) edit. 1730.
- 16) Traité de physique, III, 450.
- 17) Poggendorff's Annalen, LXXXVII.
- 18) Vergleiche Note 55 des ersten Abschnittes.
- 19) Vischer (Ästhetik II, §. 247) macht darauf aufmerksam, dass die Lichtwellentheorie für die ästhetische Auslegung noch gar keinen Anhaltspunkt gegeben. Man wird finden, dass die oben versuchte Erklärung mit den Thatsachen nicht im Widerspruche stehe, selbst wenn man zugeben muss, was pag. 44 gesagt wird: "Völker und Einzelne lieben die Farben nach ihrem eigenen Temperamente, nach ihrem Ergänzungsgefühl, und man muss daher ihren Geschmack mit ihrem eigenen Wesen, der Färbung der Haut, ihrem Himmel, ihrem Temperamente n. s. w. zusammennehmen. Jetzt freilich ist bei uns gebildeten Völkern der Farbensinn ganz erstorben, jede volle Farbe wird verachtet, nur die schmutzige, der aufgelöste Koth gefällt etc." Denn das Organ nimmt Theil an der ganzen leiblichen und geistigen Beschaffenheit des Individuums: so muss der verschiedenen Reizbarkeit für Farbeneindrücke verschiedener Menschen und Völker eine Verschiedenheit in der Organisation der Netzhaut entsprechen, in welchem Falle die hier entwickelte Ansicht eher als irgend eine andere Aufklärung gibt.
- **O) Hipparch in Plutarch's "Über die Meinungen der Philosophen". IV, 13. Auch Plato, ebenda, und Tämaeus.

Über die ästhetische Bedeutung der Farben, vergleiche: Goethe, Farbenlehre Seite 758 fl.; Oersted, Naturlehre des Schönen. Ins Deutsche übersetzt von Zeiher, Seite 43 fl.; Vischer, Ästhetik, Seite 249 fl.; Chevreuil, Sur la loi du contraste simultané des Couleurs. (Ich kenne dieses Werk nur aus Citaten, da ich es nicht in die Hand bekommen konnte trotz eifrigstem Suchen; es ist desshalb auch in der historischen Einleitung keine Rücksicht auf seine Farbennomenklatur genommen, da die kurze Notiz in dem Compt. rend. XXXII, pag. 695, nicht hinreicht um darüber zu belehren.)

21) Plateau findet (Poggendorff's Annalen XX), dass die Dauer der Eindrücke in Sexagesimalsecunden bei gewöhnlicher Beleuchtung folgende ist:

Weiss	Gelb	Roth	Blau
0738	0 4 38	0734	0732

während die Geschwindigkeit der Abnahme dieser Farbenempfindungen sich umgekehrt verhält wie die Zahlen:

Weiss	Gelb	Roth	Blau
191	199	238	295

was mit unserer Anschauungsweise übereinstimmt, da die lebhaftesten Eindrücke nothwendig am raschesten abnehmen, wenn sie auch am längsten brauchen um ganz zu verschwinden. Plate au macht hier auch (p. 326) eine Bemerkung, die ieh nicht unterlassen kann mitzutheilen, da sie bei scheinbarem Widerspruche wirklich in wahrer Übereinstimmung mit den im Texte entwickelten Ansichten steht: "Die Stelle, welche das Roth hier einnimmt, stimmt nicht mit der allgemein angenommenen Meinung, dass diese Farbe am meisten angreife; allein es bedarf, wie mir scheint, nur der Bemerkung, dass man die Ermüdung des Auges nicht nothwendig als abhängig von der Stärke der Empfindung betrachten dürfe: sind doch die stärksten Töne nicht immer die, welche das Ohr am meisten angreifen". Neuester Zeit hat Emsmann (Poggendorff's Annalen XC, 611—619) die Plate au'schen Messungen mit grosser Genauigkeit wiederholt und gefunden:

Bei Tage:

Dunkelbiau	Gelb	Mittelgrün	Dunkelgrün	Weiss	Roth	Mittelblau
0 29	0 27	0126	0 26	0 7 2 5	0 24	0 ? 22

Bei Lampenlichte:

Dunkelbiau	Dunkelgrün	Gelb	Weiss	Roth	Mittelgrän	Mittelblau
0735	0 7 35	0731	0730	0129	0 726	0 °26

woraus er die Reihenfolge der Dauer der Eindrücke abweichend von Plateau (welcher zwischen Weiss und Gelb nicht unterscheiden konnte, da beide gleiche Zahlen geben):

Gelb, Weiss, Roth, Blau

findet. Ich werde unten zeigen, wie dies aus der Zusammensetzung eines gewissen Weiss zu folgern wäre. Es wäre nur zu wünschen gewesen, dass Emsmann auch die Einzelwerthe gegeben hätte, aus denen diese Mittelzahlen gewonnen wurden. Wenn Emsmann bezüglich der bei Lampenlichte gleichen Dauer der Eindrücke der blauen und grünen Töne bemerkt, dass hieraus der Umstand zu erklären sei, dass bei dieser Beleuchtung diese Farben nicht zu unterscheiden seien, so dürfte es richtiger sein diese Erklärung umzukehren; diese Farben zeigen nämlich gleiche Dauer, weil sie in der That bei der Beleuchtung durch eine Flamme, in welcher wenig blaue Strahlen enthalten sind, einander ähnlich werden müssen, d. i. von den auf sie einfallenden Strahlen gleiche Theile reflectiren; sie werden dadurch gleich, und können somit keine verschieden dauernde Empfindung mehr erregen.

- 23) Eine theoretische Untersuchung muss die Begriffe scharf fassen. Ieh kann daher die Begriffsbestimmung Dove's (die Farbe eines leuchtenden Körpers heisst homogen oder rein, wenn ihre Beleuchtung alle nicht leuchtenden Körper nur Abwechslung von grösserer oder geringerer Helligkeit zeigen, ohne den Unterschied, den wir als Farbendifferenz ansprechen), welche für den beobachtenden Physiker und Physiologen vollkommen ausreicht, nicht annehmen, da die Empfindlichkeit des Auges sehr geringe Differenzen in den Wellenlängen nicht mehr verräth und folglich für meine Betrachtung manches Licht nicht mehr homogen ist, das nach dieser Definition alle Ansprüche hat als rein und homogen zu gelten.
- 23) Poggendorff's Annalen LXXXVII, pag. 55, 56.
- ²⁴) Dies stimmt auffallend mit einer Bemerkung Prévost's: "La blancheur n'est qu'une sensation relative, c'est toujours celle, que fait naître la lumière dominante;" denn da in jedem von uns weiss genannten Lichte die gelben Empfindungen vorherrschen, so erklärt sich somit die Verwandtschaft des Weiss und Gelb in der gleichen Dauer der Eindrücke, der gleichen milden Wirkung, und die Vermuthung Newton's, dass im weissen Sonnenlichte ein gelblicher Ton liege, wird nun unter einer andern Gestalt zur Gewischeit: wir nennen eben dies abgefahlte Gelb, Weiss und Weiss tritt dadurch strenge genommen ebenso gut in die Reihe der Farben, wie Braun, Scharlach und jeder andere im Spectrum nicht vorhandene Mischton. Dass übrigens bei der Empfindung von Weiss die Annahme unstatthaft sei, dass die sämmtlichen Farben des Spectrums gleichzeitig ihre eigenthümlichen Eindrücke hervorrufen, bemerkt schon Fechner; "denn", sagt er (Poggendorff's Annalen, LI: Über die subjectiven Nach- und Nebenbilder, pag. 203), "die Thatsache, dass sich die Complementarwirkung des auf schwarzem Grunde angeschauten Weiss dadurch geltend macht, dass sich das Weiss immer mehr verdunkelt und mit einer Art dunklem Schleier überzieht, scheint zu beweisen, dass durch Anschauung einer Farbe die Empfindlichkeit für die complementäre nicht positiv vermehrt wird, denn sonst könnte das Weiss während der Betrachtung an Helligkeit weder gewinnen noch verlieren. Denn wenn z. B. die Empfindlichkeit für das in Weiss enthaltene Roth, vermöge seiner directen Betrachtung, abnähme, so müsste sie zugleich für das Grün zunehmen und umgekehrt, mithin beide Einflüsse, wenigstens unter Voraussetzung der Gleichheit ihrer Stärke, sich für alle Farben compensiren". Man sieht, in welche Widersprüche man verwickelt wird, wenn man den Act der Zerstreuung des weissen Lichtes durch brechende Medien tout bonnement umkehrt, um die Empfindung des Weiss zu erklären. - Was die objective Erscheinung betrifft, und das Verhältniss des Weiss zu Grau und Schwarz, so lässt sich heweisen, dass das Weiss der undurchsichtigen Körper nur eine Wahrnehmung der Oberstäche, das Grau, so wie jede vom Weiss disterente Farbenempfindung dagegen die vereinigte Wahrnehmung von Oberfläche und Materie, das Schwarz aber die der Materie bei mangelnder Oberfläche sei. Vollkommen durchsichtige oder spiegelnde Körper sind, so lange ihre Begrenzung nicht wahrgenommen wird, vollkommen unsichtbar; z. B. Luft, Glas, Kalkspath, Eisspath, Wasser, Eis, die Krystallinse, die Zellwand; denn da eine einzige Oberfläche vor dem Auge zu stehen scheint, zur Erkenntniss der Körperlichkeit aber vor Allem die der Oberfläche gehört, so nehmen wir gar nichts wahr. "Tritt zur Durchsichtigkeit noch Glanz und Spiegelung in so vollkommenem Grade hinzu wie im Wasser und im menschlichen Auge, so wird man sich nicht wundern, wenn ein sinnvoller Zuschauer, durchdrungen von der Schönheit der Lichtwirkungen im

Wasser, ausruft, es sehe aus wie Geist, und wenn das Auge, dieser durchsichtige, glänzende, spiegelnde Lichtkörper, als der reinste Ausdruck der geistigen Tiefe im Menschen erscheint". (Vischer, a.a.O., p. 33.) Neigt man zwei vollkommen farblose und polirte Glasplatten gegen einander und sieht durch oder lässt sie spiegeln, so verräth die Verschiedenheit der durchgegangenen oder reflectirten Lichtmenge die zwei Oberflächen; vermehrt sich die Anzahl der gebrochenen Flächen bis ins Uneudliche auf einem beschränkten Raume, so dass das Auge nicht mehr die verschiedenen Begrenzungen derselben, sondern nur die manuigfachsten Beleuchtungezustände auf einmal überschaut, so erhält man das Weiss der Pulver und undurchsichtigen, aus mikroskopischen Bruchstücken vollkommen durchsichtiger Körper bestehenden Substanzen, also Schnee, Caolin, Glaspulver, Kreide, Papier, Leinwand (von der vielfachen Dispersion und Wiederzusammensetzung des welssen Lichtes kann abstrahirt werden, da dies an dem eigentlichen Vorgange, wie er hier betrachtet wird, nichts ändert, und zur Bildung des Totaleindruckes eben nur in so ferne etwas beiträgt, als es durch die Mannigfaltigkeit der Oberfischen bedingt wird); darum werden weisse Körper vollkommen durchsichtig, wenn sie in eine Plüssigkeit von gleicher Brechkraft getaucht werden: an die Stelle der unzähligen Oberflächen tritt eine einzige (Oberfläche im optischen Sinne ist die Grenze zweier verschieden brechender Mittel) und wenn sonst vollkommene Durchsichtigkeit stattfindet und ein hinreichend grosser Theil des Geaichtsfeldes gedacht wird, so wird Alles unsiehtbar. Es ist daher das Weiss der undurchsichtigen Körper die Wahrnehmung gebrochener Oberflächen. Wird nun ein Theil des farblosen Lichtes von einem Körper durchgelassen oder reflectirt, doch so, dass alle Bestandtheile gleichförmig vermindert werden, so entstehen schattige Zustände, und wir nennen die Lichterscheinung düster wo wir keine, grau wo wir Oberflächen wahrnehmen; es gesellt sich also hier zur Wahrnehmung der Oberflächen noch die der inneren, körperlichen Textur. Ob man nun weisse Pulver mit schwarzen mengt, oder farbige Pulver nach den Verbältnissen wie sie durchs Spectrum geboten werden, oder endlich einen grauen Körper, wie er eben charakterisirt wurde, betrachtet, so ist dies thatsächlich immer dasselbe: dort ist der Körper nur zum Theil fähig, das Licht zu reflectiren; im zweiten Falle ist jede Partikel auf eine andere Weise fähig nur einen Theil des weissen Lichtes durchzulassen, doch so, dass eine Ausgleichung stattfindet und in den Verhältnissen seiner Bestandtheile nichts geändert wird; im letzten endlich haben alle Körpertheilchen gleichmässig die Fähigkeit dem weissen Lichte einen Theil zu entziehen, doch ohne seine Zusammensetzung zu ulteriren. — Dies Raisonnement kann dann auf farbige und schwarze Körper ausgedehnt werden.

- 25) Wenn Newton in einem Briefe an Oldenburg (Horstley edit. of Newton's woorks, IV, 303) sagt, dass man durch Mischung zweier in der Reihe der prismatischen Farben nicht zu weit entlegenen Töne einen mittleren erhält, so ist dies wie alles andere, was seitdem von Wollaston, Young, Biot, Wünsch etc. über diesen Gegenstand beobachtet und geschrieben wurde, keine Widerlegung des allgemeinen, oben ausgesprochenen Satzes, da die Empfindlichkeit des Auges hier nicht entscheiden kann, wo andere Hilfsmittel, wie Brechung, Absorption, Beugung u. s. w., den deutlichen Beweis liefern, dass das Auge für die Sättigung und Reinheit der Farbentöne nicht die höchste Autorität ist.
- 26) For bes macht mit Recht darauf aufmerksam, dass man eigentlich mit Unrecht, von unserem heutigen Gesichtspunkte aus, noch von sieben Farben spricht: perhaps it is not presumptuous to say, that but for some peculiar respect for the number 7, and more particularly from a fancied analogy between the

spaces occupied by the colours and musical intervals Newton would not have classed blue and indigo as distinct colours. Man wird daher richtiger nur von sechs Hauptfarben sprechen.

- 27) Es ist das kein neuer Gedanke; denn schon Lambert ("Daraus, dass sich die prismatischen Farben stufenweise in einander verlieren, folgt, dass davon weder die 7 Newton'schen noch mehrere von Anderen angegebene Farben sich eigentlich als Grundfarben ansehen lassen") und d'Alembert (Opus l. c. III, 393) sprechen es klar aus, und zumal hat noch kein Anhänger der Undulationstheorie eine abweichende Ansicht aufgestellt; wenn aber trotzdem berühmte Autoren erklären können: "die Lichtwellentheorie zählt zwar 7 selbetständige Farben, da sie aber Orange und Violett doch auch als Übergänge, jenes zwischen Roth und Gelb, dieses zwischen Roth und Blau fassen muss, da sie ferner Hellblau und Dunkelblau (Indigo) als zwei Farben zu unterscheiden müssig ist — wesshalb die meisten lieber nur sechs zählen — so bleiben als Hauptfarben Roth, Gelb, Blau und Grün; da aber das Grün auch hier als Mitte von Gelb und Blau gefasst wird, so kann sie drei Hauptfarben zählen: Roth, Gelb und Blau und das Grün als vierte auffassen oder nicht" - (Vischer, Ästhetik, II, p. 43), so dürfte es nicht überstüssig sein hervorzuheben, dass die Undulationstheorie in dieser Frage ganz anders entscheidet. Es ist auf das Problem der einfachen Farben viele Zeit und Mühe verschwendet worden und die ganze Frucht ist eine reinere Nomenklatur, aber keine Aufklärung über die Natur der Farben.
- 28) Dass das Spectrum noch farbig ist ausserhalb der gewöhnlich gesehenen Grenzen, ist zu verschiedenen Zeiten beobachtet worden, z. B. Fra unh of er (Gilbert's Annalen LVI, 301), Herschel (Philos. trans. Ed. Soc. IX); ich glaube aber nicht, dass jenseits einer Wellenlänge von 700 noch ein homogenes Licht sichtbar ist.
- 29) Poggendorff's Annalen, L, 453 ff.
- 30) Poggendorff's Annalen, LXXXVII, 496. Compt. rend. XXXV, 373.
- 31) Helmholtz in Poggendorff's Annalen, LXXXVI, 501. Bernard in Ann. ph. chem., XXXV, 385. Vergl. Moigno, Cosmos, II, 491, der eine übersichtliche Darstellung der angreifbaren Punkte in den Brewster'schen Schlüssen gibt, und die 59. Note des ersten Abschnittes dieses Aufsatzes, Sitzungsberichte Bd. XII.
- 32) Qu. 13, 14. Vergleiche Malbranche, Réflexions sur la lumière et les couleurs et la génération du feu. Mém. de l'Acad. royale, 1699.
- ²³) Vergl. Note 58 des ersten Abschnittes.

\$ - \(\sigma \) 4 -M.

J • •

u

•

.n

		ŗ	
•			
		•	
	•		

Über die Zusammensetzung der Stearinsäure.

Von L. Pebal.

Assistenten am chemischen Laboratorium des Joanneums in Gratz.

Der günstige Erfolg, welcher sich aus der von Heintz zur Trennung fetter Säuren angewandten Methode der partiellen Fällung ergeben hatte, bestimmte mich, die von Redtenbacher zu einer Zeit, wo die Methoden der Analyse minder ausgebildet waren, angegebene Zusammensetzung der Stearinsäure, mit Zuhülfenahme dieser verbesserten Methoden zu controliren. Inmitten meiner Versuche veröffentlichte He intz seine Abhandlung über die Zusammensetzung des Hammeltalges, des Menschenfettes und des Wallrathes, worin für die Stearinsäure die Formel C₃₆H₃₆O₄ aufgestellt ist. Ich würde nun meine Arbeit sogleich unterbrochen haben, wenn ich im Stande gewesen wäre, aus der erwähnten Abhandlung die volle Überzeugung zu schöpfen, dass die von Heintz für reine Stearinsäure erklärte Substanz kein Gemenge fetter Säuren gewesen sein konnte¹).

Der Beweis für die Reinheit einer derartigen Säure ist nur dann hergestellt, wenn es erwiesen ist, dass sich dieselbe durch die geeigneten Scheidungsmittel in verschiedene Substanzen nicht zerlegen lässt.

Die Versuche von Heintz zielen nun allerdings darauf ab, diesen Beweis zu liefern, ich glaube aber im Nachstehenden genügende Gründe zu geben, welche zeigen, dass die erwähnten Versuche nicht geeignet sind, jeden Zweifel über die Individualität der Heintz'schen Stearinsäure auszuschliessen. Heintz hat die fürreine Stearinsäure gehaltene Substanz einer Krystallisation aus so viel Weingeist unterworfen, dass sich beim Erkalten der Lösung nur eine geringe Menge abschied. Die Säure war dadurch in ihren beobachteten Eigenschaften nicht verändert. Die Wiederholung dieser Operation führte zu demselben Resultate. Weiters hat Heintz die

¹⁾ Jeder, der sich mit Untersuchung fetter Säuren beschäftiget hat, wird einsehen, wie leicht man sich in diesem Punkte täuschen kann. Als Beleg dafür erinnere ich nur an das Schicksal der von Heintz selbst längere Zeit für reine Substanzen gehaltenen Anthropinsäure und der Margarinsäure. Ich glaube daher nicht anmassend zu erscheinen, wenn ich es unternehme die nicht vollständig genügende Beweisführung von Heintz durch neue Versuche zu ergänzen.

Säure durch Fällung mit essigsaurer Baryt- oder Bittererde in mehrere Theile geschieden und gefunden, dass dieselben sowohl im Schmelzpunkte, als in den übrigen beobachteten Eigenschaften mit der zum Versuche verwendeten Säure übereinstimmten. — Wie wenig Schmelzpunkt und andere physikalische Eigenschaften als Kriterien der Identität fetter Säuren, jetzt, wo man weder die Glieder der Reihe C_{2.}H_{2.}O₄ vollständig, noch ein Gesetz der Schmelzpunkte von Gemengen derselben kennt, zu bedeuten haben, indem dieselben immerhin noch verschiedenartige Gemenge sein können, ist wohl begreiflich. Ich glaube auch in meinen Versuchen eine gute Stütze für die Ansicht zu finden, dass der Schmelzpunkt nur einen sehr unsicheren Schluss auf die Zusammensetzung der betreffenden Säure erlaubt, und dass die Elementaranalyse bis jetzt das einzige Mittel ist, wodurch man sich Gewissheit verschaffen kann. Gegen die Versuche von Heintz wäre nun gar nichts einzuwenden, wenn er durch die Elementaranalyse der vorhin erwähnten Säureportionen eine genügende Übereinstimmung der Zusammensetzung dieser Theile, sowohl unter sich, als mit der theoretischen Zusammensetzung, nachgewiesen bätte. Die Analysen von Heintzi) zeigen einen Abgang an Kohlenstoff von 0,2 bis zu 0,5 Procent, von denen 0,1 dem gewöhnlichen Fehler der Analyse zugeschrieben werden könnte. Ich glaube, dass in dem gegebenen Falle solche Analysen eine unsichere Grundlage zur Aufstellung einer Formel bilden, weil hier die mög-Weise verunreinigenden Substanzen in ihrer Zusammensetzung der vorausgesetzten Substanz sehr nahe kommen, und weil weder eine bekannte Entstehungsweise, noch die Natur der Zersetzungsproducte, jenen Ersatz bietet, der in anderen Fällen noch viel weniger stimmende Analysen als vollkommen genügend erscheinen lässt.

Ist nun die Reinheit des Hydrates der Säure nicht vollständig dargethan, so hat die Analyse eines damit dargestellten Salzes selbst dann, wenn dieselbe, wie dieses bei den meisten von Heintz dargestellten Salzen der Fall ist, sehr gut mit der berechneten Zusammen-

ı. H. III. IV. VI. Berechnet. V. Kohlenstoff . . . 75-58 75.78 75-85 75-71 78-57 75-64 76.06 36*C* 12:68 Wasserstoff . . . 12-64 12-59 12.67 12-71 12-85 12.67 36*H* 11-69 11.26 **Saucratoff** 11·78 11.68 11.48 11.58 11.28 40 100 100 100 100 100 100 100

setzung übereinstimmt, nur einen zweiselhaften Werth, indem dasselbe immerhin ein Gemenge verschiedener Salze sein kann. Dieses Bedenken ist ganz vorzüglich bei den sesten setten Säuren begründet, deren Sättigungspunkt für Basen so wenig markirt ist. Das sprechen auch alle älteren Untersuchungen setter Säuren. Jeder Chemiker, welcher sich damit beschäftiget hat, stellte Salze seiner für rein gehaltenen Säuren dar, und sand die Zusammensetzung wenigstens einiger derselben seiner Ansicht günstig.

Obschon ich zu wiederholten Malen mit Verseifung von Hammeltalg begonnen, und Säureportionen so wie Salze derselben erhalten hatte, deren Analysen sehr gut mit der Heintzischen Formel in Übereinstimmung zu bringen waren, so konnte ich doch nie so viel davon darstellen, um mich durch weitere Versuche von ihrer Reinheit zu überzeugen. Diese zeitraubenden Versuche haben mich endlich auf den nachstehend beschriebenen Weg geleitet, wobei ich von der Benützung des Bleizuckers als Scheidungsmittel nicht abging, weil er leicht zu beschaffen ist, und wegen seiner grossen Löslichkeit in Weingeist einigen Vorzug vor anderen Salzen zu verdienen schien.

Etwas mehr als 3 Pfund, durch Erhitzen im Wasserbade und Abpressen von den Geweben befreiten Hammeltalges wurden mit Kalilauge vollständig verseift. Das durch Zerlegen der Seife mit verdünnter Schwefelsäure erhaltene Gemenge von fetten Säuren (etwa 3 Pfund) wurde filtrirt und durch viermaliges Umkrystallisiren aus je 4 Mass 82%. Weingeist und jedesmaliges starkes Abpressen von den flüssigen und leichter schmelzbaren Säuren befreit. 25 Loth des Rückstandes wurden in 5 grosse Glaskolben gleich vertheilt, in je 5 Mass 83% Weingeist unter Erwärmen gelöst und kochend mit je 1 Loth in Weingeist gelösten Bleizuckers gefällt. Nach etwa 10 Minuten andauerndem Kochen wurden die Niederschläge in warm gehaltenen Trichtern filtrirt und nach dem Abpressen vereinigt 1). Diese 5 vereinigten Niederschläge, so wie die daraus abgeschiedene Säureportion bezeichne ich mit I. Die Filtrate, wieder zum Kochen erhitzt,

Diese Methode wurde bei allen Fällungen befolgt. Die Bleizucker-Lösung wurde jedesmal unter Schwenken der zu fällenden Flüssigkeit sehr allmählich zugegossen. Ich bin bei früheren Versuchen nach der Heintz'schen Methode vorgegangen, wornach die Bildung eines Niederschlages in der heissen Lösung verhindert wird. Für meine Zwecke schien die erstere Methode vortheilhafter zu sein, da ich dadurch sogleich Säuren von hohem Schmelzpunkte erhielt.

mit derselben Menge Bleizuckers versetzt, und siedend filtrirt, gaben den Niederschlag II. Nach dem Erkalten des Filtrates krystallisirte die Portion III beraus, welche mir aber bei einer folgenden Operation durch ein Versehen verloren ging. Mit IV sei der durch Zusatz eines Überschusses an Bleizucker in der vom Niederschlag III abfiltrirten kalten Flüssigkeit erzeugte Niederschlag bezeichnet. Diese Bleisalze so wie alle übrigen wurden unter Weingeist mit Salzsäure zerlegt, die gebildeten Äther vollständig verseift, und die Seifen mit verdünnter Schwefelsäure zersetzt. Die zur Analyse zu verwendenden Theile wurden durch mehrmaliges Auskochen mit reinem Wasser und Trocknen zwischen Filtrirpapier von der anhängenden Schwefelsäure vollständig befreit, in wenig Weingeist gelöst, filtrirt, und der Krystallisation überlassen. Die Krystalle, zwischen Filtrirpapier durch Abpressen vom Weingeist befreit, wurden in einem Uhrglase geschmolzen, längere Zeit einer Temperatur von 100° ausgesetzt, um jede Spur von Weingeist zu entfernen und sorgfältig auf einen Kaligehalt geprüft.

Die der partiellen Fällung unterworfene Substanz hatte den Schmelzpunkt 66°. Die Schmelzpunkte und Quantitäten der getrennten Portionen waren folgende:

- I. (61/4 Loth) 67,9°.
- II. (zwischen 5 und 6 Loth) 67,4°.
- III. ging verloren.
- IV. (5 Loth) 58,5%.

Von der Portion I. wurden 6 Loth in 6 Mass Weingeist gelöst, kochend mit einer weingeistigen Lösung von 2 Loth Bleizucker gefällt, und heiss filtrirt. Die von diesem Niederschlage (I. 1) abfiltrirte Flüssigkeit, kochend mit der Lösung von 2 Loth Bleizucker versetzt, gab sehr wenig Niederschlag. Ich liess daher das Ganze erkalten und erhielt so das Bleisalz I. 2. Quantitäten und Schmelzpunkte der daraus geschiedenen Säuren waren:

- I. 1. (bei 21/2 Loth) Schmelzpunkt?
- I. 2. (2½ Loth) 66, 5.
- I. 0.3045 Grm. von I. 1 gaben im Sauerstoffstrome verbrannt 1) 0.8456 Grm. Kohlensäure und 0.3463 Grm. Wasser.

²⁾ Der Sauerstoff wurde aus einem Gasometer zugeleitet und nach vollendeter Verbrennung durch einen langsamen wenigstens ½ Stunde dauernden Strom von

II. 0·3018 Grm. derselben Substanz gaben 0·8394 Grm. Kohlensäure und 0·3455 Grm. Wasser.

In 100 Theilen:

	I.	IJ.	Mittel.
Kohlenstoff	75.73	75.85	75.79
Wasserstoff	12.61	12.72	
Sauerstoff	11.66	11.43	
-	100.00	100.00	

Von dieser Substanz (I. 1) wurden 2½. Loth in 5 Mass Weingeist gelöst, siedend mit der Lösung von 1 Loth Bleizucker gefällt und heiss filtrirt. Die von dem Niederschlage (I. 1 a) abfiltrirte Lösung setzte bei dem Erkalten das Bleisalz I. 1 b ab. Das Filtrat wieder heiss mit 1 Loth Bleizucker gefällt, gab den Niederschlag I. 1 c.

Diese Theile wogen:

- I. 0.3033 Grm. von I. 1 a gaben 0.8438 Grm. Kohlensäure und 0.3483 Grm. Wasser.
- II. 0.3049 Grm. von I. 1 b gaben 0.8448 Grm. Kohlensäure und 0.3488 Grm. Wasser.
- III. 0·3050 Grm. derselben Substanz gaben 0·8469 Grm. Kohlensäure und 0·3512 Grm. Wasser.
- IV. 0.3068 Grm. von der Portion I. 1 c gaben 0.8499 Grm. Kohlensäure und 0.3505 Grm. Wasser.
- V. 0.2998 Grm. von I. 1 c lieferten 0.8324 Grm. Kohlensäure und 0.3450 Grm. Wasser.

Diese Substanzen enthielten somit in 100 Theilen:

	l. i, α		l. 1, b			I. 1, c	
	ī.	II.	111.	Mittel	IV.	v.	Mittel.
Kohlenstoff	75.87	75.57	75.74	75.65	75.55	75.72	75.63
Wasserstoff	12.76	12.69	12.79		12.70	12.78	
Sauerstoff	11.37	11.74	11.47		11.75	11.20	_
-	100-00	100-00	100.00		100.00	100.00	

trockener und kohlensäurefreier atmosphärischer Luft verdrängt. Vor dem Glasschiffehen mit der Substanz befand sich noch eine etwa 20 Zoll lange Schichte von Kupferoxyd.

Dies sind ungefähr dieselben Zahlen wie sie Heintz zur Begründung der Formel C_{26} H_{36} O_{4} angibt. Diese verlangt in 100 Theilen:

	Ăqui v .	•	
Kohlenstoff	36	216	76 ·0 5
Wasserstoff	36	36	12.68
Sauerstoff	4	32	11.27
		284	100.00

Es ist nun die Frage zu erörtern, ob diese Differenzen im Kohlenstoffgehalte auf Rechnung der Fehler der Analyse kommen, oder ob sie durch eine Verunreinigung bedingt seien; ferner ob die verunreinigende Substanz in grösserer Menge vorhanden sein könne?

Um über den ersten Punkt Aufschluss zu erlangen, fand ich für gut, den Grad der Genauigkeit meiner Analysen durch die Analyse von Zucker zu ermitteln.

- I. 0·3075 Grm. bei 100° getrockneten, besten, vollkommen aschenfreien Rohrzuckers, gaben ganz unter denselben Verhältnissen verbrannt, wie sie bei den vorigen Analysen Statt hatten, 0·4748 Grm. Kohlensäure und 0·1828 Grm. Wasser.
- II. 0·3048 Grm. gaben 0·4697 Grm. Kohlensäure und 0·1803 Grm. Wasser.

In 100 Theilen:

7 .			Gefu	nden.	
Äquiv	Re	rechnet.	Ĩ.	11.	
Cis	72	42.10	42.11	42.03	
H11	11	6.43	6.60	6.56	
$\mathbf{0_{11}}$	88	51 47	51.29	51-41	
	171	100.00	100.00	100.00	

Man sieht, dass diese Methode der Verbrennung in Bezug auf den Kohlenstoff sehr genaue Resultate gibt. Verbrennt man etwas zu schnell, so kann übrigens 0.1% Kohlenstoff leicht verloren gehen.

Dass die obigen Differenzen weder in fehlerhaften Analysen, noch in einer Veränderung der Substanz durch die chemischen Agentien ihren Grund haben, geht aus der Berechnung der Kohlenstoffmenge des Gemisches der Portionen I. 1 a, I. 1 b, und I. 1 c hervor. Diese ergibt sich nach der Gleichung

$$\frac{p_1 q_1 + p_2 q_3 + p_3 q_2 + \ldots + p_n q_n}{q_1 + q_3 + q_3 + \ldots + q_n} = P$$

wenn man für p_1 p_2 p_3 die in Procenten ausgedrückten Kohlenstoffgehalte der Substanzen, und für q_1 , q_2 , q_3 , deren Quantitäten setzt. Es ist dann P = 75.76. Die Theile I. 1 a, I. 1 b und I. 1 c würden also gemischt dieselbe Zusammensetzung zeigen, wie die Substanz I. 1, aus der sie durch Scheidung hervorgegangen sind. Der Abgang an Kohlenstoff kann somit nur durch die Annahme einer verunreinigenden Substanz erklärt werden. Da sich durch die Scheidung der Substanz I. 1 in 3 Portionen der Kohlenstoffgehalt der ersten derselben der Kohlenstoffmenge einer Säure C. H. O. nur etwas angenähert hat, ohne ihn zu erreichen, oder gar zu überschreiten, während der Gehalt an diesem Elemente in den folgenden Portionen gesunken ist, so kann man (dafür sprechen auch die folgenden Versuche) nicht annehmen, dass sich in dem Gemenge eine Säure mit mehr als 36 Aquivalenten Kohlenstoff befunden habe. Die Substanz I. 1 also, so wie die daraus geschiedenen Theile, waren Gemenge einer Säure C. H. O. und einer oder mehrerer von geringerem Kohlenstoffgehalte. Nimmt man nun an, die verunreinigende Substanz ware eine Saure Cat Hat Ot gewesen, so lässt sich ihre Menge in der Portion I. 1 durch folgende Gleichungen bestimmen:

$$x + y = 100$$

$$76.05 x + 75.56 y = 75.79 (x + y)$$

worin æ Procente der Säure C₃₆ H₃₆ O₄, y solche der Säure C₃₄ H₃₄ O₄, 76·05 der Kohlenstoffgehalt in 100 Theilen der ersten, 75·56 dieser der zweiten sind. 75·79 ist das Mittel der gefundenen Kohlenstoffgehalte der Substanz I. 1. Daraus berechnet sich

$$y = 53.$$

Dieses Resultat scheint ganz unzuverlässig, weil der Werth von y, selbst bei geringen Differenzen der Analyse, bedeutend schwanken würde. Berechnet man aber den Gehalt an diesen Säuren in den Portionen I. 1 a, I. 1 b, und I, 1 c aus den Analysen derselben, und dann diesen Gehalt für das Gemenge der erwähnten Portionen, so ergibt sich nahezu dasselbe Resultat; denn es ist:

für I. 1
$$a$$
 $y = 36.73$
" I. 1 b $y = 81.63$
" I. 1 c $y = 85.72$

und somit nach obenstehender Formel:

$$\frac{36.73 \times 19.1 + 81.63 \times 2.7 + 85.72 \times 11.0}{19.1 + 2.7 + 11.0} = 56.8 \dots$$

Gegen die Annahme einer solchen Verunreinigung kann man mit Grund die Schmelzpunkte geltend machen, welche sich sowohl bei den erwähnten Substanzen, als bei der von mir möglichst gereinigten Säure sehr wenig unterscheiden. Dagegen könnte man aber erwiedern, dass nach den Versuchen von Heintz, die Säure C34 H24 O4 nicht bekannt ist. Da die Palmitinsäure schon einen Schmelzpunkt von 62º hat, so dürfte sich der Schmelzpunkt der obigen Säure, wenn sie wirklich existirt, dem der Stearinsäure bedeutend nähern. Die Ansicht von Heintz, dass in den Fetten blos Säuren von der allgemeinen Form C4n H4n O4 vorkommen sollten, kann einer weiteren experimentellen Begründung wohl nicht entbehren. Wenn man auch gefunden hat, dass durch Vermischung der Palmitinsäure mit Stearinsäure der Schmelzpunkt bedeutend herabgedrückt wird, so ist damit noch immer kein allgemeines Gesetz ermittelt. Ich muss übrigens gestehen, dass mir selbst die obige Annahme weniger wahrscheinlich ist. Um für die Thatsachen eine Erklärung zu finden, bliebe dann nichts übrig, als den Werth von y durch die Annahme einer Säure mit bedeutend geringerem Kohlenstoffgehalte zu vermindern. Diese Ansicht gewinnt einigen Halt, weil es sehr wahrscheinlich ist, dass sich bei der Abscheidung der Bleisalze einerseits die Schwerlöslichkeit der Salze von Säuren mit hohem, und anderseits die grössere Verwandtschaft der Säuren mit niederem Kohlenstoffgehalte geltend macht. Ich hoffe durch die weitere Untersuchung der Portion I. 1 c über diesen Punkt Aufklärung zu erhalten.

Um die Säure C_{36} H_{36} O_4 rein darzustellen, wurden $^3/_4$ Loth der Portion I. 1 α in 3 Mass Weingeist gelöst, und siedend mit der Lösung von $^4/_2$ Loth Bleizucker versetzt. Erst nach einigem Kochen entstand der Niederschlag I. 1 α , welcher heiss filtrirt wurde. Nach dem Erkalten der filtrirten Lösung krystallisirte das Bleisalz I. 1 α . Weiterer Zusatz von Bleizucker brachte in der von letzterem Niederschlage abfiltrirten kalten Flüssigkeit keinen Niederschlag hervor. Nach Einengen der Flüssigkeit auf die Hälfte, kamen nur wenige Flocken von Bleisalz zum Vorschein. Die Analysen der abgeschiedenen Säuren führten zu folgenden Zahlen:

- I. 0.3021 Grm. von I. 1 α α gaben 0.8402 Grm. Kohlensäure und 0.3490 Grm. Wasser.
- II. 0.3033 Grm. derselben Substanz gaben 0.8439 Grm. Kohlensäure und 0.3491 Grm. Wasser.

- III. 0.3036 Grm. von I. 1 α β gaben 0.8476 Grm. Kohlensäure und 0.3477 Grm. Wasser.
- IV. 0·3030 Grm. der letzteren Substanz gaben 0·8443 Grm. Kohlensäure und 0·3485 Grm. Wasser.

In 100 Theilen:

				I.	iaα.	I. 1	a β.		
				Ĩ.	→ II.	III.	IV.	ber	chnet
Kohlenstoff				. 75.84	75.87	76.15	76.01	C26	76.05
Wasserstoff				. 12·83	12.79	12.71	12.77	H26	12.68
Sauerstoff .		•		. 11-33	11.34	11-14	11.22	0,	11.27
			-	100.00	100.00	100.00	100.00		100.00

Es wäre nun noch nöthig gewesen, einen Trennungsversuch mit der Portion I. 1 α β anzustellen, welche der Formel C_{26} H_{36} O_{4} am besten entspricht; leider hatte ich den grössten Theil derselben schon zu anderen Versuchen benützt. Trotzdem glaube ich an der Richtigkeit der Heintz'schen Formel der Stearinsäure nicht länger zweifeln zu dürfen, da bei der letzten Scheidung offenbar eine Substanz von höherem Kohlenstoffgehalte hätte resultiren müssen, wenn eine Säure von mehr als 36 Äquivalenten Kohlenstoff vorhanden gewesen wäre.

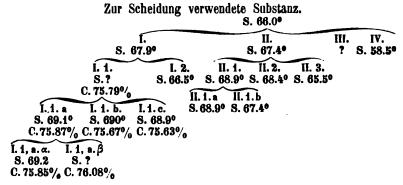
Zur Bestimmung der Schmelzpunkte konnte ich leider kein Thermometer nach meinem Wunsche benützen, da einer längst erfolgten Bestellung von Seite des Mechanikers noch immer nicht entsprochen wurde. Ich musste mich daher mit einem solchen begnügen, welches mir, seines kleinen cylindrischen Quecksilbergesässes wegen, noch am tauglichsten erschien. Dasselbe ist luftleer, und erlaubt sehr gut eine Abschätzung von 0·1° C. Die Gleichförmigkeit des Kalibers lässt Einiges zu wünschen übrig, daher die Angaben bis zu Einem Grade ungenau sein können. Ich habe Schmelz- und Siedepunkt controlirt und die Angaben für den Normalbarometerstand umgerechnet. Die Ungleichförmigkeit im Kaliber, welche in einer sehr allmählichen Erweiterung der Röhre nach oben besteht, beeinträchtiget jedoch die Verlässlichkeit relativer Angaben von sich nahe stehenden Temperaturen ungemein wenig.

Die zu untersuchenden Substanzen wurden in möglichst dünnwandigen Glasröhrchen, von etwa ½ Millimeter Durchmesser im Lichten, aufgesaugt, und diese, an dem Quecksilbergefässe des Thermometers befestiget, in einer entsprechend grossen Wassermenge sehr allmählich erwärmt. Zur Controle wurden nach den einzelnen

Bestimmungen die Röhrchen paarweise am Thermometer befestigt, und die Schmelzpunkte neuerlich beobachtet. Es ist dies ein Verfahren, welches zur Ermittelung kleiner Differenzen sehr zu empfehlen ist.

Zur besseren Übersicht der gewonnenen Säureportionen habe ich in der folgenden Tabelle die Schmelzpunkte und Kohlenstoffgehalte derselben zusammengestellt.

Ich finde es unnöthig, die mit der Substanz II. gemachten Scheidungsversuche näher auseinander zu setzen, da sie ganz in der bereits angeführten Weise ausgeführt wurden.



Ein Blick auf die Zahlen zeigt, dass bei dieser Methode zur Trennung fetter Säuren vorzugsweise die Schwerlöslichkeit der Salze zur Geltung kommt; denn man kann nicht annehmen, dass mit dem Wachsen des Kohlenstoffgehaltes in der Reihe $C_{2n}H_{2n}O_4$ die Verwandtschaftskraft zunehme.

Zur Feststellung des Äquivalentes der Stearinsäure versuchte ich ebenfalls das Silbersalz derselben darzustellen, da Silberoxyd in der Regel selbst dann noch neutrale constant zusammengesetzte Verbindungen gibt, wenn andere Basen zu ungenügenden Resultaten führen. Zu dem Zwecke wurde möglichst gereinigte Stearinsäure in 98% Weingeist gelöst, in die siedende Lösung reines, schwach geglühtes kohlensaures Natron gebracht, und mit dem Sieden so lange fortgefahren, bis sich eine schwache alkalische Reaction zeigte. Die Lösung wurde nun in einem warm gehaltenen Trichter vom ungelöst gebliebenen kohlensauren Natron abfiltrirt, und das Filtrat, mit etwas Wasser verdünnt, heiss mit einem Überschusse einer wässerigen Lösung von salpetersaurem Silber gefällt. Der Niederschlag wurde dann mit

heissem Wasser gewaschen, und nach dem Abpressen zwischen Filtrirpapier, über Schweselsäure und endlich bei 100° getrocknet.

I. Das Silbersalz einer Portion Säure aus einer früheren hier nicht angeführten Versuchsreihe, deren Analyse 75.95% C. und 12.92% H ergeben hatte, enthielt nach zwei Bestimmungen etwa 27.1% Silber. Da das Salz offenbar freie Säure enthielt, kochte ich dasselbe mit Weingeist aus. 0.4078 Grm. desselben gaben 0.1123 Grm. Silber.

II. 0-4131 Grm. aus der Portion I. 1 a β bereitet, gaben 0-1187 Grm. Silber.

In 100 Theilen:

	_			Gefi	ınden.
	Äquiv.	Bere	chnet.	Ĩ.	II.
Kohlenstoff	36	216	55.23	_	
Wasserstoff	35	35	8.95		
Sauerstoff	4	32	8.18	_	
Silber	1	108.1	27.64	27.54	28.73
_		391.1	100.00		

Das letztere Resultat lässt mich an der Zuverlässigkeit meiner Bereitungsweise zweifeln, und ich gebe zu, dass die Methode von Heintz sicherer zum Ziele führen mag. Die Schwierigkeit der Bereitung vollkommen constant zusammengesetzter Salze führte mich aber auf eine Verbindung, welche sich durch ihre leichte und sichere Darstellungsweise zur Feststellung des Atomgewichtes der Säure vor den Salzen empfiehlt, und ich zweifle nicht, dass dieses auch für andere feste fette Säuren gilt, immer natürlich vorausgesetzt, dass man sich durch vorläufige Scheidungsversuche von ihrer Reinheit überzeugt hat. Diese Verbindung ist das Anilid der Stearinsäure.

Versetzt man eine warme Lösung von Stearinsäure in Weingeist mit einem Überschusse von Anilin, so krystallisirt beim Erkalten reine Stearinsäure aus der Lösung. Auch wenn man die mit Anilin versetzte Lösung mit Wasser fällt, bekommt man blos die Säure im Niederschlage. Destillirt man über Stearinsäure einen Überschuss von Anilin bei einer Temperatur des Ölbades von ungefäbr 230° ab, so bildet sich aus aller vorhandenen Stearinsäure unter Abgabe von Wasser das Anilid derselben. Mehrere Male aus Weingeist umkrystallisirt, erscheint dasselbe in weissen, ungemein feinen glänzenden Nadeln. Geschmolzen, erstarrt es beim Erkalten zu einer festen,

strahlig-krystallinischen Masse. Sein Schmelzpunkt liegt bei 93.6°. Eine wässerige Lösung von salpetersaurem Silber zur Auflösung des Anilides in Weingeist gebracht, bringt keinen silberhältigen Niederschlag hervor.

- I. 0·3105 Grm. bei 100° getrocknet, aus derselben Säure dargestellt, wovon ein Th'eil zur Bereitung des vorhin unter I. angeführten Silbersalzes diente, gaben verbrannt 0·9121 Grm. Kohlensäure und 0·3268 Grm. Wasser.
- II. 0·3098 Grm. gaben 0·9089 Grm. Kohlensäure und 0·3220 Grm. Wasser.
- III. 0·3028 Grm. aus der Säure I. 1 α α bereitet, gaben 0·8874 Grm. Kohlensäure und 0·3149 Grm. Wasser.
- IV. 0·3026 Grm. derselben Substanz gaben 0·8872 Grm. Kohlensäure und 0·3142 Grm. Wasser.

Daraus ergibt sich die Formel C₄₈ H₄₁ NO₂. Diese verlangt in 100 Theilen der Substanz

				gefui	den	
	ber	echnet	1.	11.	111.	IV.
48 Åq. Kohlenstof	f 288	80.22	80.10	80.02	79-92	79-97
41 " Wassersto	ff . 41	11.42	11.69	11.51	11.56	11.53
1 " Stickstoff	14	3.90				_
2 " Sauerstoff	16	4.46	_		_	_
	359	100.00				

Diese Verbindung entsteht somit aus je Einem Äquivalent Anilin und Stearinsäure unter Abgabavon 2 Äquivalenten Wasser:

$$C_{12}H_7N \cdot C_{36}H_{36}O_4 - 2HO = C_{48}H_{41}NO_3.$$

Aus den Analysen III. und IV. ersieht man, wie selbst eine, vielleicht minder bedeutende Verunreinigung der zur Darstellung der Substanz verwendeten Säure in der Verbindung sich bemerklich macht.

In dem Umstande, dass neben dem Anilide kein Anil entstanden ist, glaube ich einen Grund mehr sehen zu dürfen, dass die Stearinsäure nicht zweibasisch ist; denn in der Mehrzahl der Fälle macht sich bei der Darstellung von Aniliden zweibasischer Säuren ein solcher Körper bemerklich.

Da die von Gerhardt entdeckte Bildungsweise der wasserfreien einbasischen Säuren und der Chloride ihrer sauerstoffhältigen Radicale noch bei keiner der festen fetten Säuren studirt worden ist, so schien es mir interessant, die Einwirkung des Phosphoroxychlorides auf neutrales stearinsaures Kali zu untersuchen. Vollständig getrocknetes, neutrales stearinsaues Kali in einer Glasröhre mit einem Überschusse von Phosphoroxychlorid zusammengebracht, erwärmte sich nicht sehr bedeutend. Ich hielt desshalb die Reaction nicht für vollständig beendet, und setzte daher die zugeschmolzene Röhre einer Temperatur von etwa 150° aus. Die Masse quoll dabei zu einer Gallerte auf, und färbte sich endlich etwas dunkler. Bei dem Öffnen der erkalteten Röhre entwich nur etwas Dampf von Phosphoroxychlorid, welches letztere von den neu entstandenen Körpern abdestillirt wurde. Da diese Substanzen schwer flüchtig schienen, so fürchtete ich durch Destillation derselben die ohnedies geringe Menge derselben ganz zu verlieren. Ich behandelte daher die vom Phosphoroxychlorid möglichst befreite Substanz mit Äther, den ich für frei von Weingeist hielt. Die von den Salzen abfiltrirte Lösung eingedampft, hinterliess eine braune Flüssigkeit, welche beim Erkalten sehr langsam krystallinisch erstarrte. Da ich bemerkte, dass sich die aus Äther umkrystallisirte Substanz durch Behandlung mit Weingeist nicht veränderte, so wiederholte ich die Krystallisation aus Weingeist so lange, bis die Krystalle vollständig farblos wurden. Der Schmelzpunkt dieses Körpers liegt bei 32.90.

0·3231 Grm. der bei 100° getrockneten Substanz gaben 0·9097 Grm. Kohlensäure und 0·3752 Grm. Wasser.

Diese Zahlen entsprechen der Zusammensetzung des Äthers der Stearinsäure:

	Ber	Gefunden	
C ₄₀	240	76.92	76.79
H	40	12.82	12.91
0,	32	10.26	10.30
	312	100.00	100.00

Wasserfreie Stearinsäure würde 78.55% Kohlenstoff verlangen. Die Bildung des Äthers der Stearinsäure lässt voraussetzen, dass der oben zur Lösung angewendete Äther Alkohol enthalten hatte. Seine Entstehung lässt sich in folgender Weise erklären:

$$\begin{array}{c|c} 3C_{36}H_{35}KO_4 & + PO_2CI_5 \\ \text{Stearinsaures} & Phosphor-oxychlorid \\ \text{und} \\ \hline \\ C_4 & H_5 \\ H & O_2 + C_{36} & H_{35} & O_2CI \\ \hline \\ Alkohol & & \\ \hline \end{array} \begin{array}{c} PO_8K_2 & + 3C_{36}H_{35}O_2CI. \\ Phosphors. & Stearylchlorid \\ Kali & \\ \hline \\ Kali & \\ \hline \\ C_4 & H_5 \\ \hline \\ C_{36} & H_{35} & O_2 \end{array} \right\} O_2 + HCI.$$

Da es sich also zeigte, dass der Äther als Lösungsmittel zur Scheidung des Stearylchlorides vom phosphorsauren Natron nicht brauchbar war, so versuchte ich bei einer neu bereiteten Substanz Schwefelkohlenstoff anzuwenden. Nach dem Verdampfen der damit angefertigten Lösung blieb eine Substanz zurück, welche beim Erkalten erstarrte und einen viel tiefer liegenden Schmelzpunkt hatte, als die Stearinsäure. Bei Behandlung mit Kalilauge schien sich ein Theil leichter verseifen zu lassen, als ein anderer. Natrium wirkte selbst in höherer Temperatur ungemein träge ein. — Ich bin leider durch den herannahenden Sommer an der weitern Untersuchung gehindert worden, da das immer unangenehme Arbeiten mit Phosphoroxychlorid bei höherer Temperatur völlig unerträglich wird.

Zum Schlusse fühle ich mich verpflichtet zu erwähnen, dass ich sowohl Aufnahme, als Durchführung dieser Arbeit der Anregung und Aufmunterung des Herrn Prof. Gottlieb verdanke.

Analyse des Hildegarde-Brunnens zu Ofen.

Von Meris Say.

Das Wasser des Hildegarde-Brunnens ist klar, geruchlos, von bitterlich salzigem Geschmack.

Die Temperatur der Quelle ist 9° Cels.

Eine genaue qualitative Analyse des Wassers wies folgende Basen und Säuren nach; von den Basen: Kalk, Bittererde und Natron in bedeutender Menge, Kali und Thonerde wenig, von Eisenoxyd nur Spuren; von den Säuren: Schwefelsäure viel, Chlor weniger, Kohlensäure und Kieselsäure noch weniger, endlich kleine Spuren von Phosphorsäure.

Das Verfahren bei der quantitativen Bestimmung der Bestandtheile war folgendes:

Um die Gesammtmenge der fixen Bestandtheile zu finden, wurde eine gewogene Menge des Wassers vorsichtig eingedampft, der erhaltene Rückstand aber bis zur Erreichung eines constanten Gewichtes abwechselnd schwach geglüht und gewogen.

Die so erhaltenen fixen Bestandtheile wurden durch Aufkochen mit destillirtem Wasser, Filtriren und vollkommenes Aussüssen des Rückstandes in zwei Theile getheilt, nämlich in die im Wasser löslichen und unlöslichen.

Zur Controle wurde jede Operation zweimal vollzogen; bei kleinen Abweichungen wurde das arithmetische Mittel als richtig angenommen, ebenso wurde auch die Lösung der im Wasser löslichen Bestandtheile für sich eingedampft, abwechselnd so lange geglüht und gewogen, bis kein Gewichtsverlust mehr stattfand.

Unlösliche Bestandtheile:

Der im Wasser unlösliche Rückstand wurde in Salzsäure gelöst, zur staubigen Trockene gebracht, mit einigen Tropfen Salzsäure angefeuchtet, nach längerem Einwirken in heissem Wasser gelöst, filtrirt und gut ausgewaschen.

Der am Filter gebliebene Rückstand wurde getrocknet, geglüht und gewogen. Es war die Kieselsäure. Die Lösung wurde mit überschüssigem Chlorammonium versetzt und dann mit Ammoniak übersättigt.

Dieses bewirkte einen voluminösen Niederschlag von Thonerde, welcher einen Stich ins Braunrothe hatte. Dieser Niederschlag wurde nach dem Abfiltriren gut ausgewaschen, getrocknet, geglüht und gewogen.

Eisenoxyd konnte davon, der geringen Menge wegen, nicht getrennt werden. — Die Lösung desselben in Salpetersäure mit molybodänsaurem Ammoniak versetzt und erhitzt, färbte sich gelb und nach längerem Stehen bildete sich sogar ein gelber Niederschlag, als Beweis von der Gegenwart der Phosphorsäure.

Aus der, von der Thonerde abfiltrirten ammoniakalischen Flüssigkeit wurde der Kalk mit Oxalsäure gefällt, abfiltrirt, ausgewaschen, mit der erforderlichen Vorsicht geglüht, und als kohlensaurer Kalk gewogen.

Die durchgelaufene Flüssigkeit enthielt noch Bittererde. Diese wurde daraus mit phosphorsaurem Natron als phosphorsaure Bittererde-Ammoniak herausgefällt, nach zwölfstündigem Stehen abfiltrirt, mit ammoniakalischem Wasser ausgewaschen, getrocknet, geglüht und als pyrophosphorsaure Bittererde gewogen; daraus wurde die kohlensaure Bittererde berechnet.

Kalk und Bittererde waren als kohlensaure Salze in im Wasser unlöslichen Rückstande, denn beim Auflösen desselben in Salzsäure entwickelte sich eine reichliche Menge Kohlensäure.

Um die Gesammtmenge der Bestandtheile zu finden, wurde zur Bestimmung eines jeden Bestandtheiles eine genau gewogene Menge Wassers genommen, und folgendermassen verfahren:

Aus einer solchen Menge Wassers, welche früher mit Chlorwasserstoffsäure angesäuert und dann erhitzt wurde, ist die Schwefelsäure mit Chlorbaryum als schwefelsaurer Baryt herausgefällt, abfiltrirt, gewaschen, geglüht und gewogen worden.

Eine andere, ebensoviel wiegende Menge wurde mit Salpetersäure angesäuert, und nach dem Erhitzen mit salpetersaurem Silberoxyde im Überschusse versetzt; alles Chlor wurde dadurch als Chlorsilber gefällt, welches vom Lichte geschützt ausgewaschen, getrocknet, mit der gehörigen Vorsicht geschmolzen und dann gewogen wurde.

Zur Bestimmung der im Wasser enthaltenen freien und gebundenen Kohlensäure wurde ein Stechheber von bekanntem Inhalte in der Quelle selbst gefüllt und in eine, mit wohlpassendem Stöpsel versehene Flasche, welche reines Ätzammoniak und Chlorbaryum-Lösung enthielt, entleert, die Flasche aber sogleich zugebunden und gut geschüttelt. — Nachdem sich der Niederschlag vollkommen abgesetzt hatte, brachte man ihn auf ein Filter, wo er, so wie auch die Flasche vollkommen ausgewaschen wurde; dann wurde daraus - der kleinen Menge der vorhandenen Kohlensäure halber — der kohlensaure Baryt mit verdünnter Salzsäure vollkommen ausgezogen, ebenso wurde die Flasche und der Stöpsel, an welche sich eine Spur vom Niederschlage festhing, mit dieser Säure ausgewaschen und mit reinem Wasser nachgespült. - Der in die Lösung übergegangene Baryt wurde nach dem Erhitzen mit verdünnter Schwefelsäure gefällt, abfiltrirt, gewaschen, geglüht und als schweselsaurer Baryt gewogen; daraus wurde die ihm entsprechende Kohlensäure berechnet.

Der Kalk wurde aus einer Menge Wassers, nachdem daraus die Thonerde und das Eisenoxyd entfernt waren, wie oben mit Oxalsäure gefällt und als kohlensaurer Kalk gewogen. Ebenso wurde die im Filtrate sich befindende Bittererde mit phosphorsaurem Natron gefällt, nach zwölfstündigem Stehen abfiltrirt, geglüht, und als pyrophosphorsaure Bittererde gewogen.

Zur Bestimmung der Alkalien wurde eine neue Menge Wassers, nachdem Thonerde, Eisenoxyd und Kalk daraus entfernt waren, zur Trockene eingedampft, der Rückstand bis zur gänzlichen Zerstörung der Oxalsäure und Verflüchtigung der ammoniakalischen Salze geglüht, dann im Wasser aufgelöst, und die Bittererde daraus mit Barytwasser gefällt. Aus dem Filtrate wurde der überschüssige Baryt durch Kohlensäure und nachheriges Erhitzen entfernt. Das nunmehrige Filtrat, welches die Alkalien enthielt, wurde zur Trockene eingedampft, dann in Wasser gelöst, und nach dem Filtriren mit Salzsäure gesättigt. Die behutsam eingedampfte Lösung wurde schwach geglüht und der Rückstand gewogen.

Dieses Gemenge von Chlorkalium und Chlornatrium wurde in Wasser gelöst, mit überschüssigem Platinchlorid versetzt, nahe bis zur Krystallisation eingedampft und dann mit starkem Alkohol übergossen.

Der entstandene Niederschlag von Kalium-Platinchlorid wurde auf einem gewogenen Filter gesammelt, mit starkem Alkohol ausgewaschen, bei 100° Cels. getrocknet und gewogen.

Daraus konnte man den Gehalt an Chlorkalium berechnen, welcher von der Gesammtmenge der Chlormetalle abgezogen, die Menge des Chlornatriums gab. — Aus den Chlormetallen berechnete man die Mengen von Kalium und Natriumoxyd.

Ergebnisse der Analyse des Hildegarde-Brunnens.

Specifisches Gewicht:

Ein Fläschchen fasste an Wasser des Brunnens
bei 12° Cels
dasselbe fasste an destillirtem Wasser bei 12º Cels. 298·183 "
Somit ist das specifische Gewicht des Wasssers
der Quelle
In 1000 Gew. Theilen 1512-335 Grm. Wasser gaben: Wasser.
Fixe Bestandtheile = 22.647 Grm
Davon waren in Wasser löslich = 22·101 Grm. — 14·614
" " " unlösliche 0·543 " — 0·359
Sämmtliche fixe Bestandtheile analysirt gaben:
1 in 1512·335 Grm. Wasser Kieselsäure —
0.038 Grm
2 in 1512·335 Grm. Wasser Thonerde, mit Spu-
ren von Eisenoxyd und Phosphorsäure 🕳
0·072 Grm

		ew. Theilen
3 in 1512-335 Grm. Wasser; kohlensaurer Kalk = 0.246 Grm	_	0.163
halten Ätzkalk	0.091	
halten Kohlensäure	0.072	
0·188 Grm. kohlensaure Bittererde 0·124 Gew. Th. kohlensaure Bittererde ent-	_	0.124
halten: Bittererde		
Kohlensäure	0.062	
Diese 4 zusammen bilden den im Wasser unlös- lichen Rückstand.		
5 in 302·467 Grm. Wasser; schwefelsaurer Baryt = 7·139 Grm., darinnen sind Schwefelsäure =		
2·451 Grm	_	8·10 3
6 in 302.467 Grm. Wasser; Chlorsilber = 0.782 Grm., diesem entsprechen 0.193 Grm.		
Chlor		0.638
7 in 202.873 Grm. Wasser; kohlensaurer Baryt = 0.304 Grm., diesem entsprechen 0.068 Grm.		
Kohlensäure		0.335
0·207 Grm., diese enthalten 0·116 Grm. Ätz- kalk		0.383
9 in 302·467 Grm. Wasser; phosphor. Bittererde		
=1.344 Grm., darinnen 0.488 Grm. Bittererde 10 in 302.467 Grm. Wasser: Chlorkalium und		1.613
Chlornatrium = 2.369 Grm	7.832	_
11 in 302·467 Grm. Wasser; Kaliumplatinchlorid		
=0.079 Grm., darin Chlorkalium 0.024 Grm.,	0-079	
diesem entsprechen 0.015 Grm. Kali		0.049
Von der Gesammtmenge der Chlormetalle 2·369 Grm. abgezogen das Chlorkalium=0·024Grm.		
bleibt Chlornatrium = 2.345 Grm	7.753	

		lew. Theilen
diesen 7.753 Gew. Th. Chlornatrium entsprechen		
Ätznatron	_	4.122
Aus diesen Ergebnissen berechnen sich die	Verbind	ungen der
Bestandtheile folgendermassen:		J
1. Schwefelsaures Kali.		
0.049 Gew. Th. Kaliumoxyd sättigen 0.042 Gew.		
Th. Schwefelsäure, und bilden schwefelsaures		
Kali		0.091
2. Zweifach kohlensaurer Kalk.		0 001
Dieser wurde aus dem im Wasser unlöslichen		
Rückstande als kohlensaurer Kalk gefunden .	0.183	
Diese enthalten 0.091 Kalk und 0.072 Kohlen-	0 100	
	0.070	
	0.072	
Zusammen .		. 0.235
3. Schwefelsaurer Kalk.		
Totalmenge des Kalkes ist 0.383 Gew. Th., davon		
sind an Kohlensäure gebunden 0.091 Gew. Th.		
Der Rest =0.292 Gew. Th. sättigt 0.416 Gew.		
Th. Schwefelsäure, und bildet schwefelsauren		
Kalk		0.708
4. Chlornatrium.		
Totalmenge des Chlors = 0.638 Gew. Th., diese		
sattigen 0.560 Gew. Th. Natriumoxyd = 0.416		
Natrium und bilden Chlornatrium		1.054
5. Schwefelsaures Natron.		
Totalmenge des Natrons ist 4·122 Gew. Th., da-		
von sind 0.560 Gew. Th. an Chlor gebunden,		
der Rest = 3.562 Gew. Th. verbindet sich mit		
4.581 Gew. Th. Schwefelsäure zu schwefel-		
saurem Natron		8.143
6. Zweifach kohlensaure Bittererde.		
In dem im Wasser unlöslichen Rückstande wurde		
gefunden kohlensaure Bittererde	0.124	
Darinnen sind Bittererde = 0.059, Kohlensäure	J 167	
0.065, dazu noch ein Atom Kohlensäure	0.065	
, wash noon our atom avhichsame	-	0.189
•		0 109

		ew. Theilen sser.
7. Schwefelsaure Bittererde.	`-	
Totalmenge der Bittererde ist 1.613 Gew. Th.		
Davon an Kohlensäure gebunden 0.059 Gew.		
Th., der Rest = 1.554 Gew. Th. verbindet sich		
mit 3.062 Gew. Th. Schwefelsäure zu schwe-		
felsaurer Bittererde		4.616
8. Totalmenge der Schwefelsäure		8.103
Davon an 0.049 Gew. Th. Kali	0.042	
" " 0·292 " " Kalk	0.416	_
" " 3·562 " " Natron	4.581	
" "1·554 " " Bittererde	3.062	
Zusammen .		. 8-101
9. Freie Kohlensäure.		
Totalmenge der Kohlensäure ist 0.335 Gew. Th.		
Davon an Kalk gebunden 0 072 " "		
" "Bittererde gebunden 0·065 " "		
Zusammen 0·137 Gew. Th.		
Diese Mengen gedoppelt, da diese Salze als Bi-		
carbonate gelöst sind = 0.274 Gew. Th. Diese		
von der Gesammtmenge abgezogen bleibt freie		
Kohlensäure	_	0.061
Controlen.		
I. Die Gesammtmenge der im Wasser unlöslichen		0.040
Bestandtheile war		0.359
Die Analyse gab: Kieselsäure	0.025	
Thonerde, mit Spuren von Eisen-	0.04*	
oxyd und Phosphorsäure .	0.047	
Kohlensauren Kalk	0.163	
Kohlensaure Bittererde		
Zusammen .		. 0.359
II. Die Gesammtmenge aller fixen Bestandtheile		
war		14.974
Die Analyse gab: Kieselsäure	0.025	
Thonerde mit Spuren von Eisen-		
oxyd und Phosphorsäure	0.047	_

	In 1000 Gew. Theilen Wasser.
Kohlensauren Kalk	0.163 —
Kohlensaure Bittererde	0.124 —
Chlornatrium	1.054 —
Schwefelsaures Kali	0.091
Natron	8.143 —
Schwefelsauren Kalk	0.708 —
Schwefelsaure Bittererde	
-	14.971

Recapitulation der Analyse.

Das Wasser des Hildegarde-Brunnens in Ofen enthält:

	ln 1000	In 7680 Gran		la cinem	
	Gewichts-	= 1 Wiener		Wiener	
	Theilen	Pfund	Mass	Beitel .	
Fixe Bestandtheile:	Gewichte-]	Gráse		
	Theile	ļ,			
Doppelkohlensauren Kalk	0.235	1.805	4.622	1.1555	
Doppelkohlensaure Bittererde .	0.189	1.451	3.715	0.9287	
Chlornatrium	1.054	8.095	20.727	5.1817	
Schwefelsaures Kali	0.091	0.699	1 · 790	0.4475	
Natron	8.143	62 - 538	160-131	40.0327	
Schwefelsauren Kalk	0.708	5.437	13.922	3.4805	
Schwefelsaure Bittererde	4.616	35.451	90.773	22.6932	
Thonerde	0.047	0.361	0.924	0.2310	
Kieselsäure	0.025	0.192	0.492	0.1230	
	0.059	0.192	0.40%	0 1230	
Bisenoxyd, Phosphorsaure and	}	Spu	ren.		
indifferente organische Stoffe	5	•			
Flüchtige Bestandtheile:					
Freie Kohlensäure	0 · 061	0.468	1 · 198	0 · 2995	
Summe aller Bestandtheile	15 · 169	116 · 497	298 · 294	74 · 5733	
Das aus dem Gewichte berechne	te Volum				
der Kohlensäure im freien Zusta	nde gibt				
bei 0.760 mètre Barometerstand und der Cubik-Zelle					
Temperatur der Quelle von 9° Ce	ls	1 · 26	3 · 23	0.81	
Die Analyse wurde im Laboratorium des Herrn Professors Dr. Joseph Redtenbacher ausgeführt.					

SITZUNG VOM 30. JUNI 1854.

Eingesendete Abhandlungen.

Pleochroismus an einigen zweiaxigen Krystallen in neuerer Zeit beobachtet

von dem w. M. W. Haidinger.

Man wird bei jedem Versuche, eine Anzahl von Angaben über mehrere zweiaxige Krystallspecies neben einander zu stellen von dem peinlichen Gefühle eines Mangels an einer allgemein annehmbaren Regel ergriffen. Eine solche gibt es in der That gegenwärtig noch gar nicht. Schon die Krystallographen blieben ohne sichern Grundsatz, welche der drei senkrecht auf einander stehenden Axen sie als Hauptaxe wählen sollten. Die mannigfaltigen optischen Verhältnisse, in der Lage der beiden Axen, der eigentlichen Mittellinie, der Ebene der Axen, des Charakters der Mittellinie oder Hauptaxe, der Verschiedenheit, ob die rothen oder die violetten Axen grössere Winkel mit einander und der Mittellinie einschliessen, vermehrten eigentlich die Schwierigkeit noch viel mehr, wenn man auch gerade von ihnen eine Vereinfachung und Richtschnur gehofft hatte. Dazu kommt noch unser so sehr fragmentarisches Wissen. Möchte einst ein wahrer Ordner, wenn auch vorläufig nur das was bekannt ist, nach allen Richtungen in einem einzigen klaren Bilde darstellen. Herr Dr. A. Beer hat grosses Verdienst, indem er Angaben von ein und vierzig verschiedenen orthotypen Krystallen mit Projection und Skizzen zur Orientirung zusammenstellte 1). Man erkennt an denselben eigentlich erst recht wie viel noch fehlt, bei den meisten ist nur Einzelnes vorhanden, ohne Orientirung, oft widersprechend. Noch mangelhafter ist unsere Kenntniss jeder einzelnen Art der Krystalle bei den fünfzig augitischen, den sechs anorthischen, und den fünfzehn zweifelhaften. Im Ganzen hat Beer 112 zweiaxige Krystalle in Bezug auf die optischen Angaben verzeichnet, welche nach und nach über dieselben

¹⁾ Einleitung in die höhere Optik. Seite 387.

bekannt gemacht wurden. Aber ich möchte wünschen, den Gesichtspunkt einer solchen Anordnung den des Mineralogen, nicht den des Physikers zu verlangen. Hier Kenntniss der Gesetze, dort Kenntniss des Individuums. Freilich ist die Lehre in allen Richtungen noch so neu, dass das hohe Interesse der Erforschung von Naturgesetzen noch fortwährend das weniger ansprechende oder glänzende Streben der Ergänzung in den Hintergrund stellt. Aber welche Schwierigkeit, um nach und nach nur Eines oder das Andere zu ergänzen. Es bleibt auch mir heute Nichts übrig, als die wenigen Angaben, welche ich darbringe, nur möglichst so zu orientiren, dass sie späterhin in einem erst zusammenzusetzenden systematischen Rahmen geordnet werden können.

A. Orthotypes System.

Fig. 1.

Zur Orientirung der drei senkrecht auf einander stehenden Farbentone entlehne ich aus meiner früheren Mittheilung in den Abhandlungen der königl. böhm. Gesellschaft der Wissenschaften 1845, V. Folge, Band 3, die nachstehende Übersicht. Fig. 1. An diese mögen dann die einzelnen Daten angeschlossen werden. Es ist gewiss sehr dieser Art auch durch eine orientirende Skizze für

wichtig, Angaben dieser Art auch durch eine orientirende Skizze für jede Species zu begleiten.

	Flächenfarbe	1	pol	Axenfarben arisirt senkrecht	auf
A Basis	B Querfläche	C Längsfäche	Ø Aze	b Längs- diagonale	C Quer- diagonale
bestehen aus			erschei	nen auf den F	lächen
b and c	a und c	a und b	B und C	A und C	A und B

1. Aragon. Fig. 2.

Ď(c b

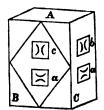
X

Fig. 2.

Die Axe a ist die optische Mittellinie; den Dichroismus des Aragons hat bereits auch Herr Dr. Beer bemerkt und in Poggendorff's Annalen (Band 82, S. 435) bekannt gemacht. Die stärkere Absorption der in der Richtung der Axe polarisirten Lichtströme (den ordinären Strahlen in Bezug auf die Mittellinien entsprechend) stimmt mit dem negativen Charakter dieser Axe überein.

Flächenfarben	Axenfarben			
a	G Axe	b und c beide Diagonalen		
Gelblichweiss	Sehr blass gelblichweiss	Etwas dunkler gelb- lichweiss		

Fig. 3.

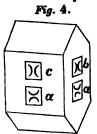


- 2. Baryt. Fig. 3, Fortsetzung zu den Angaben in den Abhandlungen der königl. böhm. Gesellschaft der Wissenschaften. V. F., Bd. 3.—Beer, Poggendorff's Annalen. 82, 435.
- 1. Nach drei senkrecht auf einander stehenden Richtungen geschnitten. Dicke zwischen dem gegenüber stehenden A und $A'=2\frac{1}{6}$ Zoll, zwischen

 $B(\infty \breve{D})$ und $B'=2^{1}/_{2}$ Zoll, zwischen $C(\infty \bar{D})$ und $C'=1^{2}/_{2}$ Zoll. Jahrbuch der k. k. geologischen Reichsanstalt 1852, 4, 26.

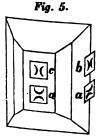
	F	lächenfarbe	0		Axenfarben	
	A Basis	B Querfliche	C Längsfläche	a Axe	ð Längs- diagonale	C Quer- diagonale
1. Přibram.	Perlgrau	Perlgrau in Violett geneigt	Gelblich- grau	Blass weingelb	Perigrau	Blaulich- violett (purple)
				Hellster	Mittlerer	Dunkel- ster
					Ton.	
					Blass-	
2. Beira.	G	raulichweis	8	Spangrün	Lavendel- blau	Perlgrau
3. Janig.		Honiggelb		Citronen-	Blasser weingelb	Dunkler weingelb
				gelb	in das Ho	niggelbe
4. Přibram.	Honiggelb		Citroneng Honig	elb in das gelbe	Honig- gelb	

- 2. Diese Varietät, in tafelartigen Krystallen, zeigt, obwohl ganz blass, dieselben Farbentöne, wie der von Herrn Prof. v. Kobell beschriebene schöne Baryt vom Stahlberg in Zweibrücken. Im Innern derselben sind feine Krystalle von Schwefeleisen wahrnehmbar, wahrscheinlich Markasit, da sie höchst zarte Fasern darstellen. Sie deuten zweifellos auf einen reductiven, katogenen Vorgang während der Krystallisation des Baryts, daher die Farbe.
- 3. Auf Sandstein aufsitzend von Janig bei Teplitz, genau wie die gelben Baryte von Felsőbánya.
- 4. Die äusseren Theile, namentlich die Spitzen der Krystalle, vollkommen durchsichtig; während die Prismen gelblichweiss halbdurchsichtig sind. Die gelbe Färbung, wohl von Eisenoxydhydrat, auf einen oxydirenden, anogenen Vorgang deutend.



3. Caledonit. Fig. 4. Von Rézbánya, kleine Krystalle von einer Stufe in dem k. k. Hof-Mineralien-Cabinete. Die Farbe ist im Ganzen spangrün, die Farbenunterschiede sehr gering. Diese Krystalle sind übrigens ganzähnlich den älteren bekannten Varietäten von Leadhills.

Axenfarben					
Axe	b Längsdiagonale	c Querdiagonale			
Rein spangrün.	Spangrün in das Smaragd- grüne.	Spangrün in das Himmel- blaue.			

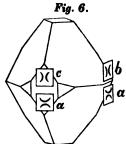


4. Cerussit. Fig. 5. Weissbleierz von Leadhills, offenbar durch eine kleine Menge Kupferoxyd gefärbt, in paralleler Stellung mit dem Aragon. Den 12. December 1847. Die schön ausgebildeten Krystalle sind an den freistehenden Enden nahe farblos, die Farbentöne werden lebhafter gegen die Stelle zu, wo die Zwillings-Individuen aneinanderstossen und wo sie aufgewach-

sen sind. Die grünen Töne sind wirkliche Farben, die beim Cerussit vorkommenden grauen Färbungen sind nur Folge eingemengter fremdartiger Theilchen.

Axenfarben.				
a Aze	b Längsdiagonale	c Querdiagouale		
Spargelgrün ins Gelbe bis hell grasgrün	Spargelgrün fast wie æ, wenig lichter bis hell grasgrün	Grünlichweiss ins Graue		
Dunkelster	Mittlerer	Hellster		
	Ten.			

Bei gleicher Stellung ist die Absorption beim Cerussit und beim Aragon verschieden. Bei dem letzteren übereinstimmend mit dem Babinet'schen Gesetze, dass bei negativen Krystallen der ordinäre, also stärker gebrochene Strahl mehr absorbirt ist. Hier fände gerade das Entgegengesetzte Statt. Vielleicht aber sind manche der Angaben noch nicht vollständig nach der Krystallform orientirt.



5. Skorodit. Fig. 6. Aus Brasilien auf braunem Glaskopf. Die Stücke im k. k. Hof-Mineralien-Cabinete. Den 22. October 1845.

Breithaupt hat bereits vor langer Zeit auf den Dichroismus aufmerksam gemacht 1). "Durchsichtige Krystalle sind dichromatisch: grünlichblau in der Makrodiagonale, gelblichgrün in der Brachydiagonale gesehen", was

vollkommen mit der gegenwärtigen ausführlicheren Darstellung übereinstimmt. Bei der Untersuchung durch die dichroskopische Loupe erscheinen aber die Gegensätze der Farben ungemein schön und ordnen sich nach den drei Elasticitäts-Axen, wie sie hier angegeben sind.

Flächenfarben			Axenfarben		
A (o) Basis	B $(\infty \overline{D})$ Querfiche	C (∞ $reve{D}$) Längsfläche	a Axe	b Längsdiagonale	C Querdiagonale
Entenblau	Lauchgrün		Lauchgrün	Entenblau	Perlgrau
	Graulich	Blaulich	Mittlerer	Dunkelster	Hellster
			Ton.		

¹⁾ Vollständiges Handbuch der Mineralogie. 1841, Bd. 2, Seite 176.

Bei Kerzenlicht:

	Axenfarben.	
G Aze	ð Längsdingonale	C Querdiagonale
Grünlichgrau	Schmalteblau ins Indigblaue	Nelkenbraun, heli

6. Antigorit. Sitzungsberichte der kaiserlichen Akademie der Wissenschaften 1848, Band 1, Seite 278.

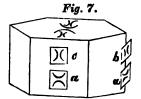
Axe	Längediagonale	Querdiagonale	
Hell lauchgrün ins Leberbraune	Dunkel lauchgrün		
Hellster	Gleicher dunklerer		
Ten.			

7. Glimmer. Wenn auch die Absorptionsverhältnisse des Glimmers im Ganzen bekannt genannt werden dürfen, so glaube ich doch einen Augenblick auf der Idiostaurophanie desselben verweilen zu sollen, der Erscheinung heller Büschel in der Richtung der Ebenen der Axen, von dunkeln hyperbolischen Räumen begleitet, wie sie bekanntlich Sir David Brewster zuerst am Cordierit beschrieb. In meinem früheren Verzeichnisse hatte ich den Glimmer, der so oft vorkommenden schiefen Flächen wegen unter den augitischen Krystallen aufgeführt. Es wird wohl jetzt seit den Arbeiten von Sillimann, Blake, Dana, vorzüglich aber seit denen von De Sénarmont 1) und Grailich 2) immer nothwendiger, ihn als orthotyp zu betrachten, wie ihn auch Beer in seinem Verzeichnisse aufführt.

Die Farbe des brasilianischen Glimmers ist von Weiss — farblos beginnend, die, welche Eisenoxyd gibt, in der vollständigen Reihe Gelblichweiss, Ölgrün, Leberbraun, Hyacinthroth, Blutroth, Schwarz—

Observations sur les propriétés optiques des micas etc. Annales de Chimie et de Phys.
 série. T. 34.

³⁾ Untersuchungen über den ein- und zweiazigen Glimmer. Sitzungsberichte der kaiserlichen Akademie der Wissenschaften. 1853, Bd 11, 8. 36.

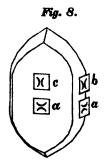


undurchsichtig. Die Absorption erfolgt in allen drei senkrecht auf einander stehenden Ebenen, doch ungleich intensiv. Die Fig. 7 und das folgende Schema, aus meinem frühern Verzeichnisse

	Flächenfarbe			Axenfarbe	
A Basis	B Querfläche	C Längofliche	& Aze	Š Längsdiagonale	C Querdiagonale
Gelblichw	chweiss ins Hyacinthrothe,		hrothe, Gelblich-		throth,
dunkel	hell	hell	weiss	heller	dunkler

zeigt die einzelnen Verhältnisse. Sieht man senkrecht durch die Basis A hin, so ist das Glimmerblatt, namentlich bei der Varietät von Uton (Winkel der Axen nach Grailich 72º 30') bei einer gewissen Dicke, etwa von einer Linie, weniger durchsichtig, als wenn man schief dagegen hindurchsieht, weil bereits die Einwirkung des weniger absorbirten Tones der Axe a beginnt. Sieht man gerade in der Richtung der optischen Axen, so ist der helle, in der Richtung der Ebene der Axen liegende Lichtbüschel von zwei dunkleren Räumen begleitet. Der dunklere Ton derselben wird durch die Einwirkung des senkrecht auf die Querdiagonale c polarisirten am stärksten absorbirten Strahles bedingt. Man sieht daraus, dass, wie immer auch die relativen Geschwindigkeiten des Lichtes in den drei senkrecht aufeinander stehenden Richtungen sein mögen, doch ganz gewiss die Absorption senkrecht auf die Axe der mittleren Geschwindigkeit am stärksten ist, welche auf der Ebene der Axen senkrecht steht, da in dieser letztern die Linie der grössten und kleinsten Elasticität liegen. Die hellen Büschel bestehen übereinstimmend aus querpolarisirtem Lichte, wie die des sogleich zu erwähnenden Cordierites.

Im gewöhnlichen Lichte erscheinen an den Axenbüscheln des Glimmers aus Brasilien (Axenwinkel in Luft etwa 68° nach Grailich), die inneren Keile roth, die äusseren blau. Bei gekreuzten Polarisirern, also dunkeln Balken sind die innern Keile blau, die äussern roth, daher entgegengesetzt von den Erscheinungen am Aragon, aber analog denjenigen am Topas, also $v < \rho$.

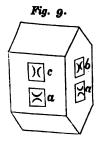


8. Diaspor. Fig. 8. Von Schemnitz. Abhandl. der kön. böhm. Ges. der Wiss. V. Folge, Band 3. Über den Diaspor u. s. w. Über den Pleochroismus u. s. w. Ein sehr stark gefärbter Krystall.

Die Krystalle bleichen nach und nach aus, wodurch namentlich der blassrosenrothe Ton der Axe dem gewöhnlichen hell himmelblauen weicht. Der untersuchte Krystall war eben aus der um-

schliessenden Masse herausgenommen worden. In der Mittheilung "Über Pleochroismus u. s. w." erwähnte ich bereits der Erfahrung Patera's, dass die Krystalle beim Licht der Grubenlampe frisch aufgebrochen einen auffallenden Anblick durch ihre lebhaft rothe Farbe gewähren. Auch beim Kerzenlichte ist dies der Fall, namentlich ist der untersuchte Krystall, senkrecht auf die Basis besehen, sehr schön karminroth.

Flächenfarben			Axenfarben		
A Basis	B Querdiche	C Längsfläche	a Axe	b Längs- diagonale	C Quer- diagonale
Karmesin- roth	Blass viol- blau	Pfiaumen- blau	Blass rosa (in dickeren Schichten blaulich- violett)	Zwischen orange und nelken- braun	Violblau
			hellster	mittlerer	dunkelster
				Ton.	



- 9. Chrysoberyll. Fig. 9. Berichte über die Mittheilungen von Freunden der Naturwissenschaften, Band II, Mai 1847.
- Alexandrit, Krystalle, die ich Herrn Cramer in St. Petersburg verdanke.
 - 2. Dieselben bei Kerzenlicht.
 - 3. Spargelgrüne Krystalle aus Brasilien.

		Axenfarben		
	a Aze	ð Längsdiagonale	C Querdiagonale	
	Spangrün	Ölgrün in das Honig- gelbe	Seladongrün, in dickers Stellen violett	
1.	Dunkelster	Hellster	Mittlerer	
		Ton.		
	Rein smaragdgrün	Orangegelb	Colombinroth	
2.	Dunkelster	Helister	Mittlerer	
		Ten.		
•	Spargelgrün	Spargelgrün, blasser als a	Spargelgrün, in das Ölgrüne	
3.	Mittlerer	Hellster	Dunkelster	
		Ton.		

Die optische Mittellinie ist nach Soret ¹) die hier vertical stehende Axe, die Ebene der optischen Axe ist parallel der Querfläche $\infty \check{D}$, der Winkel = 27°51′. Charakter der Mittellinie positiv oder attractiv nach Biot und Brewster. Entsprechend dem Babinetschen Gesetz ist der extraordinäre Strahl, die Axenfarbe, am stärksten absorbirt, bei den dunkelfarbigen, Alexandrit genannten Varietäten. Die brasilianischen stimmen in der Stärke der Töne nicht vollständig überein, aber diese sind selbst überhaupt nur sehr schwach.

10. Cordierit. Fig. 10. Über den Cordierit. Abhandlungen der königl. böhm. Gesellschaft der Wissenschaften. V. Folge, Band



Es werden hier nur die Axenfarben verzeichnet. Die Flächenfarben erscheinen in stärkeren Krystallen und geschliffenen Stücken übereinstimmend mit der sehr starken Absorption der in der Richtung der Axe polarisirten

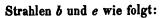


Fig. 10.

¹⁾ Recherches sur la position des axes de double Refraction, u. s. w. Genève 1821.

1. In einem in	0 Basis	∞ \overline{D} ∞ D 0 Querliche Lingsfäche	
Würfelform ge- schnittenen Kry- stall von vier Linien Seite.	von der blauen Farbe des weni- ger absorbirten Strahls.		
2. In einem Wür- fel von zwei Linien Seiten.	Basis blau; et- was tiefer blau, als c, gemischt aus b und c.	blaulichweiss ge- mischt aus a und c.	gelblichweiss bloss a, die Farbe 5 ganz absorbirt.

Den ersten der hier beschriebenen Würfel, der k. k. geologischen Reichsanstalt gehörig, liess ich aus einem sehr dunkelfarbigen Stücke von Bodenmais schneiden, einem Geschenke des königl. bayerischen Herrn Regierungs- und Forstrathes L. Wine berger in Regensburg.

Der zweite Würfel, den ich schon früher beschrieb, befindet sich in dem k. k. Hof-Mineraliencabinete.

	a Aze	b Längs-Diagonale	C Quer-Diagonale	
1. Orrjerfvi, Finn- land.	Röthlich nelken- braun, blass	Hell berliner- blau	Dunkel berliner- blau, röthlich	
2. Bodenmais, von Hrn. Wineberger.	Gelblichweiss	Hell berliner- blau	Dunkel berliner- blau, nahe schwarz	
3. Arendal. Inne- res eines Kry- stalles.	Gelblichweiss	Hell blau	Dunkel blau	
4. Arendal. Äus- res eines Kry- stalles.	Röthlich nelken- braun, blass	Pflaumenblau	Violblau, stark blaulich	
5. Ceylon. K. k. HMCab.	Gelblichweiss	Blaulichweiss	Hell berlinerblau	
6. Haddam, Con- necticut.	Hell gelblich- weiss	Weiss, sehr schwach blaulich	Schön blassblau	
7. Bodenmais. Schwach gefärbte Krystalltheile.	Gelblichweiss in das Weingelbe	Graulichweiss	Milchweiss, stark blaulich	
0 0:-:-4-1 0:	Sch	wärzliches Aschgr	au	
8. Simiutak, Grōn- land.	in das Rauchgraue	neutral	schwach blaulich	
9. Fahlun, Schwe-	Leberbraun in	las Olivengrüne	Dunkel-röthlich-	
den.	wenig blasser	wenig dunkler	braun, in das Ho- niggelbe	
	Hellster	Mittlerer	Dunkelster	
Ton.				

Die Ebene der optischen Axen ist die Quersläche $\infty \bar{D}$; die hier senkrecht stehende Axe ist die optische Mittellinie. der Axenwinkel im Innern des Krystalls = 62°30′ nach Brewster, so auch der Charakter negativ oder repulsiv. Mit Letzterem stimmt die Absorption wohl insoferne nach dem Bab in et'schen Gesetze, dass überhaupt die ordinären oder in der Richtung der Axe polarisirten Strahlen stärker absorbirt sind, als die extraordinären, oder senkrecht auf dieselben polarisirten, aber es verdient besondere Aufmerksamkeit, dass der am stärksten absorbirte dunkelblaue Strahl gerade der Axe der mittleren Geschwindigkeit angehören muss, in dem die Ebene der optischen Axen senkrecht auf der Längsdiagonale b steht, deren Farbe eben das dunkelste Blau ist.

Fig. 11. Fig. 12. Der Cordierit ist idiostaurophan,





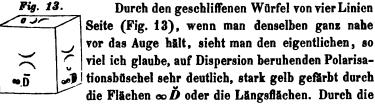
er zeigt, wie Sir David Brewster zuerst gezeigt hat, schon im gewöhnlichen Lichte die merkwürdige Erscheinung der in der

Richtung der Axen wahrnehmbaren farbigen Kreuze, die uns kürzlich Herr von Sénarmont in so grosser Pracht durch die künstliche Färbung des salpetersauren Strontians mit Blauholz hervorzubringen gelehrt hat. Bekanntlich zeigt auch der Andalusit ähnliche Absorptions-Farbenkreuze: aber zwischen denen des Cordierits und denen des Andalusits findet eine sehr beachtenswerthe Verschiedenheit Statt, welche in den beiden Fig. 11 und 12 dargestellt ist. Helle Garbenbüschel der am wenigsten absorbirten, hellsten Farbentöne in der Ebene der optischen Axen liegend, sondern in beiden die dunkleren Räume von einander ab, aber die Polarisationsrichtung derselben ist beim Cordierit Fig. 11, senkrecht auf die Ebene der Axen, beim Andalusit Fig. 12, in der Richtung derselben. Wenn man wie in den Figuren die dunklen Räume neben einander stellt, so erscheint gewissermassen beim Cordierit die dunkle Figur auf einem quer-polarisirten, beim Andalusit auf einem längs-polarisirten Lichtfelde. Denselben Charakter wie Cordierit zeigen in Bezug auf die Lage der Polarisation des hellen Büschels auch Epidot, Diopsid, Glimmer und Sénarmont's Strontian-Nitrat. Auch die violetten, schief gegen die Ebene der Axe gestellten Axenbüschel des Axinits heben sich aus einem querpolarisirten Lichtfelde heraus. Bei allen ist der Strahl von mittlerer

Brechbarkeit am meisten absorbirt, beim Andalusit aber ist sogar der am wenigsten gebrochene Strahl der am stärksten absorbirte.

Bei der werthvollen Zusammenstellung in Hrn. Dr. Beer's Einleitung in die höhere Optik (S. 386) sind auch die so wichtigen Unterschiede der Winkel der rothen und violetten Axen gegeben. Die Beobachtung derselben erfordert homogenes Licht der verschiedenen Farben. Es bleibt indessen immer wünschenswerth die Angaben auch so zu stellen, dass man sie durch Untersuchung in weissem an und für sich polarisirten Lichte revidiren kann, ohne weitere Beziehungen zu dem positiven oder negativen Charakter der Mittellinie.

Untersucht man nämlich durch parallele Polarisirer, so erhält man das Entgegengesetzte von dem Ergebnisse der Untersuchung durch gekreuzte Polarisirer. So ist bei Aragon ($v > \rho$ Be er, Seite 387) der Winkel der violetten Axen grösser als der Winkel der rothen; bei gekreuzten Polarisirern, oder durch ungleichartiges Licht untersucht, erscheinen an den Ringsystemen innen rothe Keile, die äusseren Enden sind blau. Bei parallelen Polarisirern sind die innern Keile blau, die äusseren Enden roth. Beim Cordierit ist angegeben ho < v(a. a. O., Seite 381) also ebenfalls der Winkel der violetten Axen grösser als der der rothen. So erscheint er in der That, wenn man eine dünne Platte Cordierit in die Turmalinzange oder überhaupt zwischen gekreuzte Polarisirer bringt. An den im gewöhnlichen Lichte sichtbaren Büschelkreuzen stehen aber die blauen Keile zunächst an einander, und an der blauen Fläche, der Basis o, dagegen sind die rothen Keile gegen die gelblichweissen Flächen $\infty \check{D}$ gewendet, und die zugehörigen Axen schliessen den grössern Winkel ein. Die Wirkung der natürlichen Absorption ist nämlich analog derjenigen der Untersuchung einer Platte durch parallele Polarisirer.



Querstächen $\infty \bar{D}$ ist er etwas weniger lebhaft, in beiden senkrecht auf die Axe. Durch die Endstächen o sieht man ihn zwar ebenfalls, und in der Lage entsprechend der Polarisationsrichtung des weniger absorbirten hellblauen Strahles, also parallel der Kante zwischen o

und $\infty \check{D}$, oder der Längsdiagonale b, aber er ist dann von schwarzer Farbe, auch von dem Löwe'schen Dispersions-Ringe umgeben, weil in der Farbe bereits die weniger brechbare Hälfte des Spectrums gänzlich fehlt, wie dies bei der Betrachtung der Büschel durch eine Schieht von reinblauer Kupferoxydammoniaklösung erfolgt 1).

Es sei mir erlaubt, hier eine Mittheilung über die gegenwärtige Species in Erinnerung zu bringen, die es wohl verdient hätte, läugst in der Geschichte derselben erwähnt zu werden, da sie mehrere wichtige und genaue Angaben enthält, wenn auch die Richtung des Verfassers dahin ging, eine specifische Identität mit dem gewöhnlichen Quarze zu beweisen. Mir ist diese Erinnerung besonders theuer, denn die Angaben rühren von meinem verewigten Vater her, und sind in einer Abhandlung enthalten, die ungemein wichtig für ihre Zeit, doch auch mir erst vor wenigen Wochen bekannt geworden ist. Sie ist unter dem Titel: "Etwas über den Durchgang der Blätter bei Fossilien, über Saphir, Rubin und Spinell. Von dem k. k. Bergrath Karl Haidinger", in dem zweiten Bande, Seite 95, der neuern Abhandlungen der k. böhmischen Gesellschaft der Wissenschaften enthalten, der im Jahre 1795 herauskam. Ich bitte die hochverehrte Classe mir zu erlauben, dass ich meine Freude darüber ausdrücke. dass es mir beschieden war, im Schoosse einer kaiserlichen Akademie der Wissenschaften in Wien der sorgsamen Angaben meines Vaters mit einem wahren Gefühle kindlicher Ehrfurcht gedenken zu dürfen, während ihm vor sechzig Jahren dieser Vortheil fehlte.

Die auf den Gegenstand bezügliche Stelle lautet wie folgt: "Bei meinen Untersuchungen über diese Edelgesteinarten, wo ich mehrere Saphire zerschlug, und ihre specifische Schwere bestimmte, stiess ich auf einen indigblauen Stein, der als Ringstein von etwa ³/4 Zoll in der Länge und ¹/2 Zoll in der Breite geschliffen war, und den ich als einen macedonischen Saphir, dergleichen armenische Kaufleute öfter nach Wien bringen, gekauft hatte. Dieser Stein hatte eine dunkel indigblaue ziemlich gleich vertheilte Farbe, nur in der Mitte hatte er einen weingelben Fleck, der nach einigen Richtungen durch die Mischung des blauen mancherlei Grün zeigte, wie dies bei Saphiren

Die Löwe'schen Ringe u. s. w. Sitzungsberichte der kaiserlichen Akademie der Wissenschaften, Mathem,-naturw, Classe, Bd. IX, S. 249.

oft der Fall ist; er war übrigens sehr rein, und hatte eine schöne Spielung. Ich fand sein specifisches Gewicht 2.592."

"Diese geringe specifische Schwere machte, dass ich einen Irrthum vermuthete, allein wiederholte Wiegungen gaben genau denselben Ausschlag, es konnte daher diese Steinart wohl nichts Anderes als Quarz sein, dessen specifische Schwere ziemlich genau mit dieser Wiegung eintrifft. Nun war mir zwar bekannt, dass zu Bodenmais in Bayern ebenfalls ein blauer Quarz als Gemengtheil einer Art Gneusses vorkömmt, jedoch in so grossen und reinen Stücken hatte ich ihn noch nicht gesehen. Ich wog nun den bayerischen blauen Quarz, und fand seine specifische Schwere 2.598. Nun ward mir wahrscheinlich, dass auch jener angebliche Saphir, welchen vor einigen Jahren der Naturalienhändler Launoy in einer Art Granit vom Cap de Gates im Königreiche Murzia in Spanien brachte, ebenfalls blauer Quarz sein dürfte, und meine Vermuthung ward durch die Bestimmung der specifischen Schwere, die etwas über 2.500 war, bestätiget. Die Farbe dieses Quarzes ist dunkel berlinerblau."

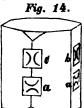
"Endlich fand ich in meiner Sammlung noch eine ähnliche dunkel indigblaue Steinart, die in einer Art Granit mit Granaten in ziemlich starken Lagen, oder Adern vorkömmt, und aus der Gegend von Bleistadt in Böhmen sein soll; ihr specifisches Gewicht war 2.679, und sie ist daher ebenfalls Quarz; denn der Bergkrystall ist nach Muschenbroek 2.650, der violblaue Amethyst nach meiner Wiegung 2.654 bis 2.657, der rosenrothe Quarz von Rabenstein in Bayern 2.661 so, dass also alle diese Quarz-Arten in Absicht der specifischen Schwere ziemlich unter einander übereinkommen. Wenn es nun wahr ist, dass die sogenannten macedonischen Saphire wirklich aus Macedonien kommen, so sind dermalen schon vier verschiedene Lagerstätte des blauen Quarzes bekannt, und man wird daher künftig in oryktognostischen Lehrbüchern, die berliner- und indigblaue Farbe als eine bei dem Quarze vorkommende Farbe aufführen müssen. Übrigens habe ich bei dieser Abänderung des Quarzes immer einen etwas unvollkommneren muschlichen Bruch gefunden."

Gewiss gibt schon die hier erwähnte Stelle der Abhandlung ein schönes Zeugniss für die Aufmerksamkeit und Schärfe der Beobachtung ihres Verfassers. Aber man muss die Zeit der Entwickelung der Wissenschaft erwägen. Auch Werner stand damals in seiner ersten Blüthe. Haüg gab erst sechs Jahre später die erste Auflage seines

grossen Werkes Traité de Minéralogie heraus. Kann ich also auch weder die Bestimmung der selbstständigen Species noch den Dichroismus für meinen Vater in Anspruch nehmen, so gebührt ihm doch gewiss von allen Seiten dafür volle Anerkennung, dass er damals schon die Übereinstimmung der Vorkommen von vier verschiedenen Fundorten ausgesprochen und durch die Erforschung des specifischen Gewichtes derselben nachgewiesen hat. Lange darnach wurden erst die Varietäten vom Cap de Gates als besondere Species unter dem Namen Jolith von Werner in sein System aufgenommen, wohl die erste gedruckte Nachricht mit dem Namen Jolith gibt Reuss (1806) in seiner Mineralogie II. 663. Unter demselben Namen ist er in Karstens Tabellen (1808), S. 47, aufgeführt. Über den spanischen Lazulith hatte v. Schlotheim eine Nachricht in K. E. A. v. Hoffs Magazin für die gesammte Mineralogie, I. S. 169, gegeben, ihn "entweder ein eigenes Fossil oder blos eine merkwürdige Abanderung des Quarzes" nennend. Cordier stellte 1809 diese Varietäten vom Cap de Gates als eigene Species auf (Journal des Mines, Nr. 25, p. 129). Er gab zuerst ein eigentliches Bild des Dichroismus der Flächenfarben, und entlehnte von diesem den Namen Dichroit, während er den Werner'schen Namen Jolith verwarf. In demselben Jahre gab v. Voit hin Amberg, unter dem Namen "blauer Quarz" Nachrichten über die Varietät von Herzogau. Er findet in einer Richtung die Farbe bis dunkel-indigblau, mit dem Beisatze, "dass er, unter einem rechten Winkel mit der vorigen Lage beschaut, eine rauchgraue Farbe zeigt." (v. Molls Neue Jahrbücher u. s. w. Band I, Seite 67.) Den sogenannten Wassersaphir von Ceylon vereinigte Cordier 1813 mit dem Jolith. Haüy war es, der den Namen Cordierit statt Dichroit einführte. Erst spät machte Werner noch aus dem Wassersaphir und den Varietäten von Bodenmais, nebst einem "blauen Fossil aus Sibirien" die neue Species "Peliom," von der nach Breithaupt's damaliger Anmerkung der Steinheilit ausgeschlossen bleibt (A. G. Werner's Letztes Mineralsystem 1817, S. 32), welcher letztere seinen Namen von Gadolin erhielt, so wie der braune harte Fahlunit von Fahlun von Hisinger benannt wurde.

Gegenwärtig sind alle Varietäten unter dem Namen Cordierit vereinigt. Wenn es aber billig ist, das Andenken des Mannes zu ehren, dessen Namen jetzt die Species trägt, so ist doch auch der erste Ausspruch der Übereinstimmung so vieler Varietäten, wie die in meines Vaters Abhandlung wichtig und dankenswerth, und mir namentlich ist es eine heilige Pflicht, die Thatsache in das wahre Licht zu stellen. Damals gab es keine Kaiserliche Akademie der Wissenschaften in Wien, ein Vortheil, der uns nun zu Theil geworden ist, und von ihrem Bestehen vorzüglich geht nach und nach erst Anerkennung wissenschaftlichen Werthes hervor.

Die grosse Ähnlichkeit mit Quarz hat später meinen verehrten Lehrer Mohs bestimmt, sie beide, Cordierit und Quarz, wenn auch als getrennte Species doch in einem Geschlechte als "prismatischen und rhomboedrischen Quarz" aufzuführen, eine Ähnlichkeit, die unzweifelhaft stattfindet, wenn auch noch so herber Tadel von grossen Authoritäten gegen die Benannung "prismatischer Quarz" ausgesprochen wurde.



11. Staurolith. (Fig. 14.) Kleine Krystalle vom St. Gotthard. 24. Jänner 1845. Beer, Poggendorff's Annalen 82, 433.

Nach Hrn. Dr. Beer, welcher auch dieselben Farbentone beschreibt, ist der Staurolith positiv. Damit übereinstimmend nach Babin et's Gesetz ist auch der extraordinare senkrecht auf die Axen pola-

risirte Strahl stärker absorbirt als die beiden, welche den ordinären Strahlen einaxiger Krystalle entsprechen.

	Axenfarben			
a Aze	ð Längsdiagonale	C Querdiagonale		
Hyacinthroth in das Blutrothe	Gelblich hyacinthroth			
Dunkelster Ton.	Gleiche nicht zu unterscheidende hellere Töne.			

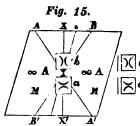
B. Augitisches System.

Bei den nachfolgenden Angaben suchte ich wenigstens im Einzelnen die Lage der Farbentöne möglichst deutlich orientirt darzustellen. Die von Neumann, Miller in seinen beiden schönen Abhandlungen in den Transactions of the Cambridge philosophical Society 1) und Beer befolgte Methode der Projection auf der Ebene

¹⁾ Vol. V, P. 3 und Vol. VII, P. 2.

der Abweichung der krystallographischen Axe in einer Kugel besitzt wohl viele Vortheile, indessen glaubte ich hier durch die Angabe der Beziehung auf die gewöhnlichste Krystallform in ihrer Projection auf der Ebene der Abweichung am einfachsten den Zweck der Übersicht zu erreichen.

Bei den neben der Krystallprojection auf der Ebene der Abweichung der Axe stehenden Lichtfeldern sind noch Linien beigefügt, um in Erinnerung zu bringen, dass dieselben in senkrechter Richtung gegen diejenigen beobachtet werden, welche in die Skizze selbst eingezeichnet sind.



1. Melanterit. Die Farbe des
Eisenvitriols ist im Ganzen bekanntlich
berggrün. In kleinen Krystallen ist kein
| C Unterschied von Farbentönen zu sehen.
| C Ich erhielt von meinem hochverehrten
Freunde, Herrn General-Probirer A.
Löwe sehr grosse, schön gebildete Kry-

stalle von Agordo mitgetheilt, die anderthalb bis zwei Zoll dicke Platten in den drei aufeinander senkrechten Richtungen zu untersuchen erlaubten. Ich fand (20. Februar 1845) folgende gut ausgesprochene Gegensätze:

Axenfarben			
Ø Axe	b Normale	C Queraxe	
Blaulich-	Graulich-	Gelblich-	
	berggrün		
Dunkelster	Mittlerer	Hellster	
Ton.			

Der Thatsache, dass der Eisenvitriol Plechroismus zeigt, erwähnte ich in meiner Mittheilung über den Cordierit, ohne indessen die Töne anzugeben, sondern nur die Orientirung derselben mach drei senkrecht auf einander stehenden Elasticitäts-Axen. Herr Prof. Mill er hat diese seitdem vollständig angegeben ¹). Die optischen Axen liegen wie sie

¹⁾ Phillips' Introduction to Mineralogy, S. 550.

in der Skizze, Fig. 15, AA' und BB' dargestellt sind, und machen mit einander einen Winkel von 81° 30', nahe gleiche Winkel aber mit der Axe XX'. Parallel der Basis 0 findet die vollkommenste Theilbarkeit Statt.

Für den Charakter der Axe XX' hat Beer die Angabe (S. 393), dass er der gleiche mit dem der ersten Mittellinie am Topas ist. Dieser ist aber positiv. Damit stimmt, wenn auch der Unterschied nicht gross ist, doch die etwas stärkere Absorption des der Axe oder Mittellinie a' (XX') angehörigen extraordinären Strahles.

2. Voglit. Jahrbuch der k. k. geologischen Reichs-Anstalt 1853, S. 223.

Fig. 16.

Die kleinen rhomboidalen höchstens etwa ½ Linie grossen Blättchen Fig. 16, dieses von Herrn k. k. Berggeschwornen J. Fl. Vogl in Joachimsthal ent-deckten Urankalkkupfercarbonates haben eine durch die nur nach einer Richtung gehende Streifung beurkundete augitische Form. Sie erscheinen im Ganzen

zwischen Berggrün und Grasgrün. Die Farbe löst sich im Mikroskope sehr schön auf in die zwei Töne a apfelgrün und b dunkelberggrün.

3. Vivianit. Eine neuere Acquisition des k. k. Hof-Mineralien-Cabinetes besteht in einer Druse von Moldowa von vollkommen klaren Krystallen, linsenförmig, bis anderthalb Zoll lang und einen Zoll breit, von einer gesättigt lauchgrünen Farbe. Nur an den schärfsten Rändern zeigt sich eine Spur von Blau. Verglichen mit den Angaben über gewöhnliche Krystalle (Über den Pleochroismus, Abh. der kön. böhm. Ges. d. W. 1845) zeigt sich folgende Austheilung:

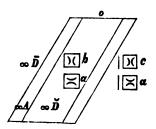
Axenfarben			
	a Aze	ð Normele	C Queraxe
Cornwall,	Helles Olivengrün		Schönes dunkles
Bodenmais, u. s. w.	schwach bräun- lich	rein grünlich	Berlinerblau
	Mittlerer	Hellster	Dunkelster
		Ten.	J

Axenfarben			
	a Axe	b Normale	Gaetare C
Moldowa.	Graulichweiss in das Bräunliche	Grünlichweiss	Schönes gesättig- tes Lauchgrün
	Mittlerer	Hellster	Dunkelster
Ten.			

Der Strich der grünen Krystalle ist weiss, aber selbst der von den blassesten, nahe weissen Krystallfragmenten wird bald an der Luft indigblau, gerade wie das Pulver der übrigen Varietäten.

4. Malachit. Die Skizze Fig. 17 bezieht sich auf denselben Krystall von Chessy, an welchem ich früher die krystallographischen Daten schon in Freiberg entwickelte, wie sie in Mohs' Grundriss vorkommen. Hier ist zur leichteren Orientirung der Elasticitäts-Axen

Fig. 17.



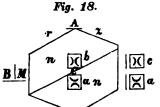
die Projection so gestellt, dass die Fläche der vollkommensten Theilbarkeit, als 0, Basis der Augitoide, erscheint. Die eine Elasticitäts - Axe steht nämlich auf der 0-Fläche senkrecht, oder nahe senkrecht. Folgendermassen sind die Farbentöne der bekanntlich im Ganzen smaragdgrün und grasgrün erscheinenden Krystalle orientirt.

a Axe	ð Normale	C Queraxe	
Gelblich-	Blaulich-	Neutral-	
ġrūn	grün zwischen smaragd- und grasgrün		
Hellster Dunkelster Mittlerer			
Ten.			

Der Gegensatz von a und b ist sehr deutlich ausgesprochen, b und c sind nahe gleich.

5. Epidot. Den 26. Jänner 1845. Der bekannte dunkelkirschrothe Manganepidot von St. Marcel, den Herr Dr. Kenngott kürzlich

sehr zweckmässig Piemontit benannte, zeigt in den dünnsten Splittern ungemein schöne Farbencontraste. Ich zerdrückte die Krystalle zu einem Staubsand, den ich bei 60facher Vergrösserung durch ein Mikroskop betrachtete, auf dem ein Stück Doppelspath lag. Die einzelnen Splitter hatten noch Spuren von Krystall- oder Theilungsgestalten an sich, so dass es mir am Ende doch mit genügender Sicherheit gelang, die einzelnen Töne der dickern und dünnern Splitter zu orientiren. Namentlich war es mir möglich gewesen, die Lage der vollkommensten Theilungsflächen und ihrer Beziehung zu der



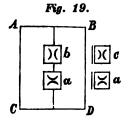
Längenausdehnung der Krystalle zu erkennen, und die Richtung der Polarisation der senkrecht auf die Flächen wahrzunehmenden Farben.

Die Form des Epidots nun vorausgesetzt, wie in Fig. 18, ordnen sich die Farbentöne wie folgt:

Plächenfarben		Axenfarben				
Dicke	A Basis	B Querfläche	C Längefläche	a Aze	b Normale	C Queraxe
Splitter	Schönstes Violblau	Colombin- roth	Röthlich- violblau	Blutroth	Blauviolett (dintenferben, purple)	Rein viol- blau
Dänne	Blassere den obigen analoge		Dunkel weingelb	Dunkel perigrau	Cochenille- roth	
Splitter	Töne		Blass öl- grün	Blass grau	Blass cochenille- roth	
			Hellster	Mittlerer	Dunkelster	
				Ton.		

Man sieht, dass die Reihung der Intensität der Farbentöne auch sehr gut mit der Reihe der analog liegenden Töne an den grünen Epidotvarietäten stimmt, namentlich der Ton der Queraxe c der dunkelste ist. Auf dem letzteren Umstand beruht die in der Richtung der optischen Axen am Epidot sichtbare Erscheinung der Büschelkreuze mit dem hellen Büschel in der Richtung senkrecht auf die Kantenzone zwischen r, M und z, und den begleitenden dunkeln Räumen. Bei dem Piemontit würde ähnlich wie bei Sénarmont's durch

Blauholzabsud gefärbtem salpetersauren Strontian die Figur auf blass röthlichem Grunde durch das schönste dunkle Violett ausgeführt sein.

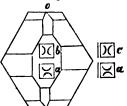


6. Zoisit. Der sogenannte Illuderit aus der Rauris. Ein kleines Krystallbruchstück Fig. 19, von im Ganzen blassgrasgrüner Farbe. Zwei Elasticitäts-Axen b und c stehen senkrecht auf den Prismenkanten, die dritte a ist parallel denselben. Die vollkommene Theilungsfläche ist A B C D.

Axenfarben		
a Axe	. B Normale	C Queraxe
Blass lauchgrün	Seladongrűn	Olivengrün
Mittlerer	Dunkelster	Hellster
Ton.		

Der Pleochroismus, obwohl gut ausgesprochen, ist doch sehr wenig lebhaft, namentlich stehen sich die zwei Farben a und b sehr nahe. Zugleich mit dem Illuderit kommen, aber viel kleiner, nadelförmige Krystalle von wirklichem Epidot vor, zum Theil in unregelmässig abweichenden Stellungen in denselben eingewachsen. Ihre Farbe ist ein dunkles grauliches Leberbraun. Sie zeigen die den übrigen Epidotvarietäten analogen Farbenintensitätsverhältnisse.

Fig. 20.

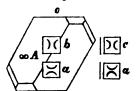


7. Lazulith. Vollkommen durchsichtige kleine Krystalle (Fig. 20) aus Salzburg; die augitischen Formen von Herrn Prüfer in dem ersten Bande der von mir herausgegebenen Naturwissenschaftlichen Abhandlungen beschrieben.

. a Axe	ð Normale	C Queraxe
Hell entenblau	Schönstes Berlinerblau	
Hellster Ton	Ganz gleiche dunklere Töne.	

Die Farben sind ungemein schön, ganz ähnlich den schönsten Tönen der Saphire. Die Elasticitäts-Axen, senkrecht auf einander sind nach den krystallographischen Axen orientirt, ob parallel der schiefliegenden Axe, oder senkrecht auf die Basis ist nicht zu unterscheiden, da diese doch nur um 1º35' (1º45' nach Miller) von einander abweichen. Die Beobachtung in der Richtung senkrecht auf 0 gibt die beiden Farben b und c vollkommen gleich, ohne Spur eines Unterschiedes.

8. Grüns pan. Die Elasticitäts-Axen haben ungefähr die Lage, Fig. 21.



wie in Fig. 21, eine derselben nicht viel abweichend von der Senkrechten gegen 0. Herr Dr. Beer (S. 394) fand sie nach der Lage der optischen Axe etwas mehr als 90° gegen diese Fläche geneigt, und zwar einen etwas kleineren Winkel mit der Axe des Pris-

mas & A einschliessen. Folgendes ist die Austheilung der Farben:

a Axe	ð Normale	C Queraxe
Sp engrün in das Smaragdgrüne	Dunkel berlinerblau	Spangrün in das Seladongrüne
Hellster	Dunkelster	Mittlerer
Ten.		



9. Piperin. Ich verdanke die Krystalle, Fig. 22, etwa vier Linien lang und eine Linie dick, Herrn Professor Theodor Wertheim. Sie wurden von mir am 27. October 1845 untersucht. Es ∥⊠a sind schiese Prismen von etwa 950, die Endsläche gegen die stumpfe Kante unter etwa 1080 geneigt.

G Axe	b Normale	C Queraxe	
Farblos	Dunkel gelblichweiss	Blass gelblichweiss	
Hellster	Dunkelster	Mittlerer	
	Ten.		

In den wie b und c gelegenen Bildern erscheinen überdies einzelne sehr lebhaft mit prismatischen Farben glänzende Streifen, die noch eine genauere Untersuchung verdienen, in b vorwaltend die mehr, in c die weniger brechbaren Farben. Die eine Elasticitäts-Axe steht ziemlich senkrecht auf der Basis O.

Fig. 23.

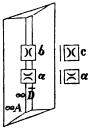


10. Piperin mit Chlormercur. diese Verbindung, Fig. 23, verdanke ich in Krystallen von der Länge etwa einer Linie und etwa 1/2 Linie Dicke Herrn Prof. Wertheim. Am 5. November 1845. Die Basis 0 ist geneigt gegen die stumpfere, wenig von 90° verschiedene Kante.

Die Elasticitäts-Axen sind nach der Axe des Prismas orientirt. In der Richtung der Axe gesehen geben die beiden Farben b und c einen sehr lebhaften Gegensatz.

a , Aze	b Normale	C Queraxe	
Schwefelgelb	Citronengelb	Honiggelb	
Helister	Mittlerer	Dunkelster	
	Ten.		

Fig. 24.



11. Gregorin. (Fig. 24.) Den Trichroismus dieses oxalsauren Chromoxydkalis beschrieb ich in den Sitzungsberichten der kaiserlichen Akademie der Wissenschaften 1848, Band I, S. 244.

Leider war mir damals die schöne Abhandlung | | α Sir David Brewster's in den Philosophical Transactions 1), in welcher er so viel Wichtiges über diese Krystalle mittheilt, entgangen. Die zweierlei Tone von Grün sind übrigens dort nicht unterschieden, und

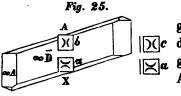
ist auch allerdings der Unterschied nicht sehr gross, so ist er doch immerhin deutlich vorhanden. Auch gelang es mir die Formen und die Orientirung der Elasticitäts-Axen etwas genauer darzustellen. Brewster findet in Bezug auf die Axe a den Krystall negativ, das grösste Brechungsverhältniss ungefähr 1.605, das kleinste ungefähr

¹⁾ Für 1835, P. I, pag. 91. - Poggendorff's Annalen 1836, Bd. 37, S. 315.

1.506 an der Grenze der blauen und grünen Strahlen. Letzteres ist ein sicherer Grenzwerth oder Haupt-Brechungs-Index. Übereinstimmend mit dem Charakter der Axe ist das senkrecht auf die Axe polarisirte Blau die hellste Farbe, der extraordinäre Strahl weniger absorbirt, als die beiden den ordinären Strahlen einaxiger Krystalle analogen.

a Axe	b c Normale Queraxe			
Berlinerblau	Grün, zwischen seladon- und lauchgrün in das Violette.			
	Wenig mehr violett- grau	Wenig mehr gelblich- grün		
. Hellster	Dunkelster Mittlerer			
	Ten.			

12. Oxalsaures Eisenoxyd-Kali. Fig. 25.



Die Farbe ist im Ganzen grasgrün, in der Richtung senkrecht auf
DCc die Seitenflächen etwas heller, mehr
gelblich als in der Richtung der
Axe.

Ø Aze	ð Normale	C Queraxe
Ölgrün	Schönster	Grasgrün
Hellster Ton	Dunklere gans	z gleiche Töne

Die Gestalt sowohl als die Austheilung der Farbentöne ist genau analog dem Gregorin. Man sieht leicht die doppelte Strahlenbrechung durch eine der Prismenflächen ∞ A, und die der ∞ \bar{D} gegenüberliegenden Längsfläche; die entgegenstehende Combinationskante erscheint dann doppelt, und zwar wird auf dem gelblichgrünen Grunde ein rein grasgrüner Streifen der Kante entlang sichtbar, weil dort die reine Farbe der horizontalen Axenlinien allein übrig ist. Die Exponenten sind ungefähr 1.508 und 1.642, und zwar ist der weniger gebrochene

ölgrüne, senkrecht auf die Kante polarisirt, und entspricht also in Bezug auf die Axe AX dem extraordinären Strahle und einem Grenzwerthe. Das vorwaltend grasgrüne Spectrum ist in der Richtung der Kante polarisirt. Die entsprechenden Strahlen sind stärker absorbirt, als die senkrecht auf die Axe AX polarisirten, übereinstimmend mit dem negativen Charakter dieser Linie.

Ganz ähnliche Farbenverhältnisse, eine ölgrüne, hellere, und zwei gesättigte grasgrüne Axen zeigen auch das oxalsaure Eisenoxyd-Ammoniak und das oxalsaure Eisenoxyd-Natron, doch mit eigenthümlichen Abweichungen der Formen. Ich verdanke Herrn Prof. Böttger schöne Krystalle dieser drei Species. Er gab sie mir während meiner Durchreise durch Frankfurt im September 1852, aus seiner berühmten Sammlung von ausgezeichneten Krystallen, die er selbst durch sorgsame Überwachung der Krystallisationsprocesse gebildet, und aus welcher er später eine sehr schöne Auswahl von 140 Species an die k. k. geologische Reichsanstalt schenkte. Ich übergab die drei Arten der Krystalle zur genauesten Ermittelung der regelmässigen Formen und Abmessungen Herrn J. Schabus, der sie auch in seiner Preisschrift aufführt.

Schlussbemerkung. Die Zusammenstellung einiger vereinzelter Beobachtungen und Forschungen, welche ich hiermit schliesse, besteht eigentlich aus den früher, am 16. März, 23. Mai und 16. Juni mitgetheilten Notizen über den Amethyst und Diopsid, über einaxige pleochromatische Krystalle und den gegenwärtigen über einige zweiaxige. Eine allgemeine Bemerkung glaube ich noch hinzufügen zu sollen, die sich mehr auf die Form der Mittheilung als auf den wissenschaftlichen Gegenstand bezieht. Ich möchte nämlich, so wie ich es mir auch fest vorgenommen habe für die Zukunft zu befolgen, wenn mir ja noch in dieser Richtung der Mittheilung werthe Wahrnehmungen beschieden sind, alle meine verehrten Freunde, denen die Kenntniss der Individuen am Herzen liegt, auf das Inständigste bitten, die einzelnen Ergebnisse ihrer Forschungen ja nicht auf längere unbestimmte Zeiträume für ähnliche Zusammenstellungen Viel besser ist es, jedem einzelnen Krystall, der die aufzusparen. Species repräsentirt, möglichst rasch sein Recht widerfahren zu lassen, und ihn selbstständig für sich zu betrachten. Eine langjährige Erfahrung gibt mir wohl in dieser Beziehung eine Stimme. Erst wenn der Abschluss gemacht werden soll, sieht man wie Vieles noch fehlt.

Neuerdings erfahre ich nun, wie ich manchen von den erwähnten Krystallen gerne einer erneuerten Untersuchung unterwerfen möchte, die vielleicht ganz überflüssig geworden wäre, hätte ich die, wenn auch unvollkommenen Ergebnisse früher veröffentlicht, und dadurch anderwärts genauere Forschungen angeregt. Es ist ein wahrer Entschluss nothwendig um etwas Aufgesammeltes dieser Art, sei es noch so geringfügig, zum Abschluss zu bringen, wenn es erst so lange gewartet hat. Man muss sich fest vor Augen halten, dass darin doch eigentlich die Pflicht des Naturforschers besteht, der ja nicht für sich, für seinen eigenen wissenschaftlichen Genuss, sondern nach Kräften für das Allgemeine, zur Förderung wissenschaftlicher Kenntniss durch Mittheilung und Anregung wirken soll.

Übersicht der in den Mittheilungen über Amethyst, Augit und den Pleochroismus einaxiger und zweiaxiger Krystalle in den Sitzungen vom 16. März, 23. Mai, 16. und 30. Juni erwähnten pleochromatischen Species.

nacucu opecica.	
Band, Seite	Band, Seite
1. Rhomboodrische.	8. Diaspor 13. 313
1. Calcit 6	9. Chrysoberyll — —
2. Hydrargillit — —	10. Cordierit 314
3. Pennin	11. Staurolith — 321
4. Amethyst 12. 401	4. Augitische.
5. Turmalin 13. 8	1. Melanterit 13. 322
6. Mausit	2. Voglit
2. Pyramidale.	<u> </u>
	3. Vivianit — —
1. Kalomel 13. 16	4. Malachit 324
2. Glaukolith — —	5. Amphibol 12. 1083
3. Zinnstein	6. Augit — 1074
3. Orthotype.	7. Epidot 13. 324
1. Aragon 13. 307	8. Zoisit
2. Baryt	9. Lazulith — —
3. Caledonit	10. Grünspan
4. Cerussit — —	11. Piperin — —
5. Skorodit	12. Piperin mit Chlormercur — 328
6. Antigorit	13. Gregoria — —
7. Glimmer — —	14. Oxalsaures Eisenoxyd-Kali — 320

Beiträge zur Physik. Von dem c. M., Prof. Petrina.

(Mit I Tafel.)

1. Fortsetzung.

V. Elektro-magnetischer Rotations-Apparat mit dreierlei Bewegung bei einer und derselben Stromrichtung.

Wir besitzen eine solche Menge von elektro-magnetischen Rotations-Apparaten, dass es überflüssig zu sein scheint ihre Zahl noch durch andere zu vermehren. Aber die Fortschritte der Physik stellen an uns die Forderung, auch unsere Hülfsmittel ihnen von Zeit zu Zeit anzupassen, und dies möge die Angabe nachstehenden Apparates entschuldigen.

Fig. I gibt die Ansicht des Apparates von vorn: a b c ist ein Gestell von Holz, d darauf befestigtes Messingsäulchen, das oben eine Vertiefung hat, und in der Mitte seiner Höhe mit einer Öffnung versehen ist, die zur Befestigung eines Drathes dient; ef ist eine senkrechte Axe von Stahl, die mit ihrer unteren etwas abgestumpften Spitze in der Vertiefung des Messingsäulchens d ruht, und mit der oberen feinen Spitze, wegen Isolirung von m, in die Öffnung eines Glasröhrchens g reicht; ns ist ein Magnetstäbchen mit zwei Schraubenmuttern an der Axe ef befestigt; hik sind drei, an eben dieser Axe mit Schräubchen befestigte Kreisausschnitte von Messing, deren Gestalt und Stellung weiter unten angegeben werden soll; A B ist ein Elektro-Magnet, von dessen Drathspirale das eine Ende bei d befestigt ist.

Fig. II gibt die Seitenansicht dieses Apparates: lm ist ein in dem Holzgestelle gut befestigter messingener Halter, der bei m eine Schraubenmutter hat, in der das Glasröhrchen g, welches in einer Schraubenspindel angebracht ist, sich auf und ab bewegen lässt, um die Axe ef leicht beweglich zu machen und um sie herausheben zu können; op stellt eine Klemme vor, an der bei p eine kreisförmige Stahlfeder (Uhrfeder) befestigt ist, und die auf und abwärts verschoben und in jeder Höhe mittelst des Schräubchens bei op befestigt werden kann; das messingene Säulchen p dient zur Befestigung des zweiten Drathendes vom Elektro-Magneten und eines Poldrathes vom galvanischen Elemente.

Fig. III sind die Kreissegmente i und k, von denen oben die Rede war, in ihrer natürlichen Grösse, wo hingegen die anderen Theile des Apparates in halben Dimensionen gegeben sind. Das dritte Segment h ist vollkommen gleich dem i und daher nicht gezeichnet. Ihre Stellung ist folgende: k liegt mit seiner Längenaxe $a\beta$ parallel zur Längenaxe des Magnetstäbchens, die Längenaxen von k und i machen aber mit dem Magnet einen Winkel von 40 bis 45° und zwar nach entgegengesetzten Seiten hin, so dass sie sich gleichsam schneiden, wie man dies in Fig. IV, welche die Ansicht des Apparates von oben gibt, sieht. Die Schräubchen dieser Segmente müssen kurz sein, damit sie beim Rotiren die Feder F nicht erreichen.

Will man den Apparat in Thätigkeit setzen, so befestigt man den einen Poldrath eines galvanischen Elementes bei q und den anderen am Halter lm bei r. Wird dann die Feder F gegenüber von h befestigt und das Magnetstäbehen ns so verschoben, dass h die Feder F berührt, so ist die Kette geschlossen und der Magnet rotirt augenblicklich mit grosser Geschwindigkeit, wobei an der Feder ein schöner stehender Funke erscheint.

Hebt man, selbst während der Rotation, die Feder bis in die Ebene von *i*, so entsteht sogleich eine eben so schnelle Drehung nach entgegengesetzter Richtung, und wird die Feder bis zur Ebene von *k* gehoben, so erhält man eine oscillirende Bewegung.

Die jedesmalige Richtung der Bewegung ist, wie leicht einzusehen, von der gegenseitigen Lage der Magnetpole abhängig und bedarf keiner weiteren Erläuterung.

Bei den Kreissegmenten h und i könnte auch die eine Hälfte kürzer sein, um bei jedesmaligem Umkreise die Feder F nur einmal zu berühren. Die Bewegung ist in diesem Falle noch schneller, was leicht einzusehen ist, aber sie ist nicht so ruhig, weil der Schwerpunkt des ganzen Drehers nicht in seiner Axe liegt und diese hiemit beim Rotiren hin und her wankt.

VI. Über das Magnetisiren hohler Eisencylinder durch galvanische Spiralen.

In Dove's Repertorium der Physik (Band I, S. 273 etc.) wird unter der Aufschrift "Hohle Eisencylinder als Elektro-Magnete" eine Erscheinung mitgetheilt und besprochen, die, wie mir däucht, von

Seite der Physiker eine grössere Beachtung verdient, als ihr bis jetzt zu Theil geworden ist.

Diese Erscheinung ist nämlich die von Parrot in Dorpat entdeckte, dass nämlich ein hohler Eisencylinder durch eine im Inneren desselben angebrachte galvanische Spirale gar nicht magnetisch wird. Jakobi bestätigte das Stattfinden dieser Erscheinung, und Moser fand bei seinen Versuchen, dass auf diese Weise in der That ein nur überaus schwacher Magnetismus erregt wird. Dieser zuletzt genannte Physiker gab auch eine Erklärung dieser Erscheinung, die wir hier mittheilen und später besprechen wollen.

Jakobi verband die Enden einer Drathspirale, die sich im Inneren eines hohlen Eisencylinders befand, mit einem Galvanometer, und legte dann diesen Eisencylinder einem starken Elektro-Magneten als Anker an. Weder beim Anlegen noch Abreissen dieses Cylinders entstand ein inducirter Strom. Wurde aber ein eiserner Stab in die Spirale gesteckt, so war der magneto-elektrische Strom sehr stark. Diese Versuche wiederholte Moser, und fand sie bestätigt, nur bei Anwendung sehr starker Elektro-Magnete fand er, dass auch die innere Spirale einen, wenn auch sehr schwachen, inducirten Strom gibt. Diese Versuche, sagt Moser, führen auf den Grund, warum Spiralen im Inneren hohler Cylinder angebracht, so unwirksam sind. "Nach den Versuchen von Lenz (siehe "Quantitative Bestimmungen über den Einfluss eines Magnetes auf eine Kupferspirale"), sagt Moser weiter, ist es gleichgültig, ob der Drath einen vollen cylindrischen Anker in engen oder weiten Kreisen umgibt; die elektromotorische Kraft bleibt dieselbe, weil in der weiten Spirale auch mehr erregbare Theilchen vorhanden sind; nur wegen der verringerten Leitungsfähigkeit bei längeren Dräthen liefert die weite Spirale einen weniger intensiven Strom. Bringt man aber eine Spirale im Inneren an, so ist das nicht der Fall, denn je kleiner die Windungen, je weniger also der erregbaren Theilchen, um so entfernter sind sie dann noch ausserdem, und der Einfluss des Ankers auf die Spirale im Inneren wird wie die Quadrate der Entfernung abnehmen, während derselbe auf eine äussere Spirale von der Entfernung ganz unabhängig ist. Hier ist also ein sehr wesentlicher Unterschied zwischen beiden Spiralen, und derselbe wird sich auch bei der Magnetisirung durch den galvanischen Strom geltend machen, und wegen der Unmöglichkeit, eine Spirale zu guter Umschliessung im Inneren zu bringen, werden diese letzteren dann sehr wenig magnetisiren. Somit glaube ich, sagt Moser am Ende seines Aufsatzes, dass die schwache Magnetisirung eines hohlen Cylinders durch eine innere Spirale daher rührt, dass der Einfluss des Stromes auf das Eisen in diesem Falle wie das Quadrat der Entfernung abnimmt."

Da mir diese Erklärung schon desswegen nicht entsprechen konnte, weil sie auf einem nach meiner Ansicht unrichtig aufgefassten Inductionsversuche beruht, und da ich mich vergebens in den mir zu Gebote stehenden Werken nach einer anderen Erklärung dieser mir wichtig scheinenden Erscheinung umsah, so nahm ich mir vor, diese Versuche mit mehr Vorsicht und wissenschaftlicher Strenge, als es bisher geschah, anzustellen, und eine andere der Wissenschaft entsprechendere Erklärung zu suchen. Wiewohl die Versuche über diesen Gegenstand schon vor mehreren Jahren von mir angestellt worden sind und seit vier Jahren jährlich mit verschiedenen Abänderungen bei meinen praktischen Vorlesungen wiederholt werden, so wäre die Veröffentlichung ihrer Resultate vielleicht noch lange ausgeblieben, wenn dieser Gegenstand nicht neuerdings zur Sprache gekommen wäre.

Dr. Lamont äussert sich in Poggendorff's Annalen (Bd. 88, Seite 231) über diesen Gegenstand vorläufig folgender Weise: "Auch habe ich Gelegenheit gefunden, einige besondere Verhältnisse näher zu untersuchen, welche für die Theorie nicht ohne Interesse sind. So wird allgemein angenommen, dass, wenn man eine Spirale in einen hohlen Eisencylinder bringt, so dass also das Eisen die Spirale umgibt, eine Magnetisirung des Eisens nicht Statt finde, eine Thatsache, wofür es schwer sein möchte, eine theoretische Erklärung zu geben."

Herr Dr. Lamont erweiset der Wissenschaft gewiss einen Dienst, wenn er mit seinen ausgezeichneten Mess-Apparaten diese Erscheinung näher untersucht und mit der Theorie in Einklang bringt. Denn gerade solche Erscheinungen, welche den bekannten Theorien und Hypothesen zu widersprechen scheinen, sind es, die, wenn sie einmal enträthselt sind, einen tieferen Blick in die Hypothesen und Theorien gestatten, und nicht selten Verknüpfungsglieder für andere Erscheinungen werden.

Eben dieser letzte Umstand hat mich endlich bewogen, meine Erfahrungen und Ansichten über diese noch unerklärte Erscheinung zu veröffentlichen, und ich hoffe, dass sie nicht unwilkommen sein, werden, auch in dem Falle, wenn sie mit denen des Dr. Lamont nicht im Einklange sein sollten (was nach den letzten Zeilen seiner oben angeführten Äusserung zu erwarten steht), weil verschiedene Ansichten über eine und dieselbe Erscheinung zur Wahrheit führen.

Als ich mich durch einen Vorversuch überzeugte, dass ein hohler Eisencylinder durch eine ihn umgebende galvanische Spirale stark, durch eine im Inneren desselben angehrachte Spirale aber durch gewöhnliche Prüfungsmittel kaum nachweisbar magnetisch wird, wurde zu strengeren und zugleich auch vergleichbaren Versuchen geschritten, bei denen alles mit Sorgfalt vermieden wurde, was man den früheren Versuchen vorwerfen kann, und was Herrn Moser bei seiner oben angeführten Erklärung beirrt haben mochte.

Zu diesem Zwecke liess ich von einem langen Flintenlause drei gleichlange Cylinder abschneiden, gut ausglühen und langsam abkühlen. Sie zeigten, genau geprüst, keinen freien Magnetismus. Die Länge eines jeden betrug 4 Zoll W.M., der äussere Durchmesser 10 und der innere 8 Wiener Linien. Auf den einen dieser Cylinder wurde eine Hülle von ²/₈ Linie dickem Papp-Papier angepasst, und auf diese mit Seide übersponnener 1 Linie dicker Kupserdrath zu einer einsachen Spirale ausgewickelt und an beiden Enden besetigt. Ein eben so langes Stück desselben Drathes wurde auf ein Holzstäbchen, dessen erforderliche Dieke früher ausgemittelt wurde, gleichfalls zu einer Spirale ausgewickelt, die eben so viele Gänge hatte und aus zwei über einander liegenden Lagen bestand. Die freien Drathenden hatten dieselbe Länge wie bei der oberen Spirale. Diese zweite Spirale mit einem einsachen Seidenbande überzogen, passte genau in die Höhlung des Eisencylinders.

Als durch die innere Spirale ein Strom von zwei bedeutend starken galvanischen Elementen geleitet wurde, zog der sie umgebende Eisencylinder keine Eisenfeilspäne an, wirkte aber, wenn auch schwach, auf eine empfindliche Magnetnadel. Derselbe Strom, geleitet durch die äussere den Eisencylinder umgebende Spirale, magnetisirte ihn auffallend stark, denn er zog nicht nur ziemlich schwere Eisenstücke an, sondern lenkte auch die Magnetnadel aus einer bedeutenden Entfernung ab. Derselbe Unterschied zeigte sich auch, wenn die Richtung des Stromes geändert oder wenn durch beide Spiralen zu gleicher Zeit ein und derselbe Strom geleitet wurde.

Da bei der inneren Spirale eben so viele Stromtheilchen auf den Cylinder gewirkt haben, wie bei der äusseren, und da, wie aus der ganzen Vorrichtung erhellet, mehr als die Hälfte derselben dem Cylinder noch näher lag, so ist leicht einzusehen, dass obige Erklärung Moser's unmöglich die richtige sein kann, da nach ihr unter solchen Umständen der Cylinder durch die innere Spirale hätte eben so stark, wenn nicht stärker, magnetisch werden müssen, wie durch die äussere Spirale.

Um das Verhältniss der in beiden Fällen hervorgerufenen magnetischen Kräfte genauer auszumitteln, habe ich einige Messversuche vorgenommen.

Bei diesen Versuchen bediente ich mich eines Apparates, der einem Declinatorium, wie man sie jetzt eingeführt hat, ähnlich ist, und der mir bei dem Nachweisen des magnetischen Fernwirkungsgesetzes, wozu er eigentlich angesertigt wurde, in doppelter Weise vortreffliche Dienste leistet.

In einem cylindrischen Glasgehäuse von 3" Breite, 1" Höhe, das mit einem 8" hohen Röhrenansatze versehen ist, hängt an einem feinen ungedrehten Seidenfaden eine prismatische Magnetnadel, die 1" lang und durch einen galvanischen Strom gut magnetisirt ist. Über dieser Nadel, parallel zu ihrer magnetischen Axe, befindet sich ein feines Glasstäbchen, das an einem feingetheilten Gradbogen spielt. Unter dem Glasgehäuse ist ein horizontal liegender und in Zolle getheilter Messingstab angebracht, der sich um die senkrechte Axe der Magnetnadel sanft drehen lässt. Seine Länge beträgt 12", von der Mitte der Nadel an genommen. Längs der Mitte seiner oberen Fläche ist ein feiner Strich angebracht, der, da diese Fläche des Stabes mit der Fläche der Kreiseintheilung im Innern des Gehäuses zusammenfällt, die Verlängerung der Eintheilungsstriche bildet, wodurch seine jedesmalige Lage gegen die Magnetnadel leicht bestimmt werden kann. Das Ganze steht auf einer mit Stellschrauben und zwei Libellen versehenen hinreichend starken Platte.

Dieser Apparat wurde gut eingestellt und der bewegliche Stab in die auf die Länge der Nadel lothrechte Lage gebracht.

Am Ende des Stabes, also 12" von der Nadel entfernt, wurde der schon gebrauchte Eisencylinder gelegt, und zwar so, dass seine Längenaxe senkrecht auf die Länge der Magnetnadel stand. Dieser Cylinder war etwas magnetisch und zog das Nord-Ende, und beim Umlegen das Süd-Ende der Magnetnadel um 0.5° an, wesswegen er mit einem noch ungebrauchten, der diesen Fehler nicht hatte, vertauscht werden musste.

Jetzt wurde der Strom eines galvanischen Elementes zuerst durch die innere Spirale geleitet und in die Kette ein Rheostat und ein einfacher Multiplicator eingeschaltet, um sicher zu sein, dass sich der Strom während des Versuches nicht geändert habe, oder um ihn, im Falle er nicht constant bleiben sollte, constant erhalten zu können.

Als die Stärke des Stromes durch längere Zeit dieselbe blieb, wurde die Spirale der Magnetnadel bis auf 12" genähert und in jene Lage gebracht, in welcher sich früher der Eisencylinder befand. Sie wirkte auf die Nadel und zog ihr Süd-Ende an. Dann wurde der Eisencylinder über die Spirale geschoben und die Wirkung abermals beobachtet und notirt.

Dieselben Versuche wurden dann mit der äusseren Spirale bei derselben Stromrichtung und Stromstärke vorgenommen, und ihre Resultate gleichfalls notirt.

Die innere Spirale allein zog den Südpol der Nadel um 30 Minuten an, als aber der Cylinder über sie geschoben wurde, ging die Nadel um 15 Minuten zurück, was eine Abstossung des Südpols erkennen liess.

Die äussere Spirale allein zog den Südpol um 40 Minuten an, und der Cylinder darin vergrösserte diese Anziehung um 5° 20'.

Da man in diesem Falle die Kräfte den Tangenten der Ablenkungswinkel proportional setzen kann, so verhielt sich die Stärke des freien Magnetismus des Cylinders im ersten Falle zur Stärke desselben im zweiten Falle wie 1:19·12.

Um zu sehen, ob und wie sich dieses Verhältniss etwa ändert bei Änderung der Stromstärke, wurden nachstehende zwei Versuche mit derselben Vorsicht angestellt.

Mit einem Strome von zwei starken galvanischen Elementen ergaben sich die Resultate:

Innere Spirale allein, 1º Anziehung des Südpols; Cylinder darüber, ging die Nadel um 40 Minuten zurück. Äussere Spirale allein, Anziehung des Südpols um 1º 30'; Cylinder darin, Anziehung des Südpols 19º 30'.

Daraus ergibt sich, dass sich die magnetischen Kräfte in beiden Fällen zu einander verhielten wie 1:28·18.

Der dritte mit einem noch stärkeren Strome vorgenommene Versuch ergab das Resultat:

Die innere Spirale zog den Südpol der Nadel um 1º 45' an.

Als der gut entmagnetisirte Cylinder über die Spirale geschoben wurde, betrug die Anziehung des Südpols nur 30'.

Die Anziehung der äusseren Spirale allein war 3° 35'.

Die Anziehung dieser und des hineingeschobenen Cylinders war 41 • 30'.

Aus diesem Versuche ergibt sich das Verhältniss der fraglichen Kräfte wie 1:37.67.

Um diese Verhältnisse auszumitteln, wurden noch andere Versuche angestellt. Es wurden die oberen Versuche derart abgeändert, dass man jedesmal der abgelenkten Nadel mit der Spirale und dem Cylinder nachging, so zwar, dass immer die Axen derselben die Länge der Nadel halbirten und lothrecht auf dieselbe standen. In diesem Falle können die ablenkenden Kräste den Sinusen der Ablenkungswinkel proportional gesetzt werden. Das Ergebniss war beinahe dasselbe wie oben.

Bei einem anderen Versuche leitete ich den galvanischen Strom durch die innere und äussere Spirale, zwischen denen sich der Cylinder befand, zu gleicher Zeit, und zwar einmal durch beide Spiralen in derselben, und einmal in entgegengesetzter Richtung, um sowohl die Differenz als auch die Summe der Einwirkungen zu erhalten.

Da der Apparat, dessen ich mich bei oben angeführten Versuchen bediente, keine ganz scharfe Ablesung zulässt, so sind die oben angegebenen Verhältnisse nicht so streng zu nehmen, wie sie die Zahlen angeben. Die Beobachtungsfehler, welche bei diesen Versuchen begangen werden konnten, haben jedoch auf das Charakteristische der Resultate keinen Einfluss.

Das gemeinschaftliche Charakteristische der drei angegebenen Versuche ist:

- 1. Dass ein hohler Eisencylinder von einer galvanischen Spirale, die sich im Inneren desselben befindet, fast unmerklich magnetisirt wird, sehr stark hingegen, wenn die Spirale den Cylinder umgibt.
- 2. Dass der Cylinder, wenn er die Spirale umgibt, gegen die Magnetnadel eine entgegengesetzte und kleinere Kraft äussert als die Spirale allein, hingegen eine bedeutend grössere und mit der Spirale gleichartige, wenn er sich in der Spirale befindet.

3. Dass die Grösse des Verhältnisses der magnetischen Kräfte des Cylinders in beiden Fällen von der Stromstärke abhängt.

Bevor ich meine Ansicht über diese Erscheinung ausspreche, sehe ich mich genöthiget, auf die oben von Moser angeführten Versuche, welche der Erscheinung, um die es sich hier handelt, zum Grunde liegen sollen, noch einmal zurückzukommen.

Aus dem Umstande, dass man keinen inducirten Strom erhält, wenn eine Drathspirale in einen hohlen Eisencylinder gelegt und dieser dann an die Pole eines Magnetes als Anker angelegt wird, scheint Moser gefolgert zu haben, dass der magnetisch gewordene Eisencylinder keine, oder nur eine sehr geringe Wirkung in der inneren Spirale hervorbringt, und dass daher auch umgekehrt eine galvanische Spirale keine Wirkung in dem sie umgebenden Eisencylinder hervorbringen könne.

Um sich in diesem Falle das Ausbleiben des inducirten Stromes zu erklären, muss man in Betracht ziehen, dass ein hohler Magnet in einer Spirale, über die er geschoben wird, einen Strom hervorbringt, der die entgegengesetzte Richtung von dem hat, der entsteht, wenn er auf gleiche Weise in die Spirale geschoben wird.

Diese Thatsache lässt sich zwar aus der Theorie der durch Magnete inducirten Ströme ableiten, ist aber nirgends, so weit ich mich zu erinnern weiss, experimental nachgewiesen und sollte es der Fall sein, so ist diese directe Nachweisung doch nicht so bekannt, wie sie es verdient, da es auch Versuche gibt, aus welchen man sehr leicht das Gegentheil ableiten könnte. Um hierüber ins Klare zu kommen, nahm ich die Drathspirale, welche bei den oben angeführten Versuchen die innere genannt wurde, und verband ihre Drath-Enden mit einem empfindlichen Multiplicator. Wurde diese Spirale mit einem Ende, das wir A nennen wollen, dem Nordpole eines Magnetes genähert, so entstand in ihr ein Strom von der Richtung, die er gehabt hätte, wenn man mit dem Nordpole in die Spirale, und zwar an eben diesem Ende A, hineingefahren wäre, wobei es gleichgültig war, ob die Spirale in der Verlängerung des Magnetschenkels oder wie immer lothrecht auf denselben sich befand, oder aber über die beiden Schenkel des Magnetes so gelegt wurde, dass das Ende A den Nordnol berührte. Dass im letzten Falle der Strom am stärksten war, ist leicht einzusehen. Hält man die Spirale parallel zum Nordschenkel mit dem Ende A gegen die Krümmung des huseisenformigen Magnetes

gekehrt und nähert sie in dieser Lage dem Nordschenkel, so erhält man einen Strom von derselben Richtung wie früher, wiewohl man sich hier mit der äusseren Oberfläche der Spirale dem Magnet genähert hat. Bei diesem Versuche ist es für die Richtung des Stromes gleichgültig, ob die Spirale ihrer ganzen Länge nach den Magnet berührt, oder ob ihr Ende B über den Nordpol hervorragt. Dieser Versuch ist es eben, der leicht zu dem Fehlschlusse verleiten könnte. dass es für die Richtung des Stromes einerlei sei, ob der Magnetismus von innen oder von aussen auf eine Drathspirale wirkt. Um mich zu überzeugen, dass dies nicht der Fall ist, stellte ich folgenden Versuch an. Ich umgab die Spirale mit dem Eisencylinder und wiederholte die obigen Versuche über die Inducto-Elektricität. Schon bei dem ersten Versuche, als der Cylinder in der Richtung der Verlängerung des Nordpoles an diesen angelegt wurde, erhielt ich einen sehr schwachen Strom, jedoch von der früheren Richtung, woraus gefolgert werden konnte, dass der um die Spirale entstandene Magnetismus des Cylinders die directe Wirkung des Nordpoles auf die Spirale grösstentheils aufgehoben habe, weil es sich gerade so nehmen lässt, als wenn man einen Nordpol in die Spirale und einen zweiten in derselben Richtung um die Spirale geschoben hätte. Die Resultirende lässt sich aus der Differenz der magnetischen Kräfte erklären. Um dem Einwurfe zu begegnen, dass sich diese Schwächung des inducirten Stromes auch erklären lasse aus der durch das Anlegen des Eisencylinders geschwächten Kraft des Nordpoles, ohne irgend eine Wirkung des magnetisch gewordenen Cylinders auf die Spirale annehmen zu müssen, so wurde der Versuch noch auf folgende Weise abgeändert. Es wurde nämlich die andere Spirale genommen, in die sich der Eisencylinder hat einschieben lassen. Diese Spirale mit dem Multiplicator verbunden und mit einem Ende dem Nordpole des Magnetes genähert, gab einen bestimmten Strom, der aber bedeutend stärker war, wenn sich der Cylinder in der Spirale befand. Hier wirkte also der Magnetismus des Cylinders mit, und zwar in gleichem Sinne mit dem Nordpole des Magnetes.

Weil es mir jedoch schien, dass selbst durch diese Versuche der Zweifel, ob überhaupt der Magnetismus eines eine Spirale einschliessenden Cylinders auf dieselbe inducirend wirkt oder nicht, doch nicht streng genug behoben sei, so liess ich mir einen eben so grossen Cylinder von gutem und gut gehärtetem Stahl anfertigen. Diesen umgab ich mit einer Drathspirale, legte ihn zwischen die entgegengesetzten Pole zweier starken Magnete und leitete durch die Spirale einen starken galvanischen Strom in der Richtung, dass er den Stahlcylinder in demselben Sinne magnetisirte, wie die angelegten Pole der Magnete. Auf diese Weise erhielt ich einen kräftigen hohlen Stahlmagnet.

Wird dieser Magnet über die eine Drathspirale am Ende A und mit dem Nordpole verausgeschoben, so erhält man einen inducirten Strom, der die entgegengesetzte Richtung von dem hat, den man erhält, wenn diese Spirale mit demselben Ende A dem Nordpole eines Magnetes, wie es oben der Fall war, genähert, oder aber wenn der Cylindermagnet in die zweite Spirale auf gleiche Weise hineingeschoben wird.

Dieser Versuch behebt jeden in dieser Beziehung angeregten Zweifel, und eignet sich sehr gut zu einem Schulversuche über die Richtung und Theorie der magnet-indueirten Ströme.

Bei den Versuchen von Jakobi und Moser sollten daher in der Spirale zwei Ströme, und zwar von entgegengesetzter Richtung und meistentheils von gleicher Stärke entstehen, der eine inducirt von dem Magnete, dem man sich genähert hat, und der andere von dem magnetisch gewordenen die Spirale umgebenden Eisencylinder, was zur Folge hat, dass ihr Unterschied nur in dem von Moser angeführten Falle, wenn nämlich der Magnet sehr stark ist, nachweisbar wird. Bei diesem Unterschiede ist nach meinen Versuchen der vom Magnet unmittelbar inducirte Strom immer der stärkere. Das Übergewicht dieses Stromes hat seinen Grund besonders darin, dass der Magnetismus des Cylinders nicht in dem Verhältnisse zunimmt, in welchem der Magnet verstärkt wird und auf die Spirale inducirend einwirkt.

Da die inducirten Ströme im Gebiete des Galvanismus und Elektro-Magnetismus eine so wichtige Rolle spielen, und nicht selten Erscheinungen auf eine schwer begreifliche Weise hervorrufen oder modificiren, so durfte ich sie bei der von Parrot zuerst beobachteten und hier in Frage stehenden Erscheinung nicht ganz ausser Acht lassen.

Es ist hinreichend bekannt, erstens, dass in dem Eisencylinder inducirte Ströme entstehen sowohl, wenn er sich innerhalb einer galvanischen Spirale befindet, als auch, wenn er dieselbe umgibt;

zweitens, dass diese Ströme in beiden Fällen einerlei Richtung haben, and drittens, dass die Richtung dieser Ströme eine entgegengesetzte ist von der Richtung des eben geschlossenen und den Eisencylinder zu magnetisirenden galvanischen Stromes. Erwägt man ferner, dass nach den oben angeführten Messversuchen die galvanische Spirale im ersten wie im zweiten Falle auf die Magnetnadel in demselben Sinne wirkte, wie der Eisencylinder, wenn er sich im Inneren der Spirale befand, und im entgegengesetzten Sinne, als wenn er die Spirale umgab, so kommt man, die bisherigen Erfahrungen benützend, zu dem Schlusse, dass der im Eisencylinder inducirte Strom gerade in dem Falle, wenn sich der Cylinder im Inneren der Spirale befindet, dem so kräftigen Auftreten seines Magnetismus entgegenwirken, und in jenem Falle, wo er die Spirale umgibt, seine magnetische Einwirkung auf die Magnetnadel unterstützen müsste, und dass daher die in dem Eisencylinder inducirten Ströme nicht die Ursache sein können von der oben angeführten, von Parrot beobachteten Erscheinung. Um jedoch keine Erfahrung, ja keinen selbst nur vermutheten Einfluss auf diese Erscheinung unbeachtet zu lassen, wurden auch Versuche angestellt sowohl mit nach der Länge zerschnittenen, als auch mit aus isolirten Eisendräthen zusammengesetzten Cylindern. Wiewohl diese Versuche im Wesentlichen zu keinem anderen Resultate führten, als die ersten mit den bei obigen Messversuchen benützten Cylindern, so liessen sie doch deutlich erkennen, dass Manches, wenn auch in einer anderen als hier angeführten Richtung, nicht nur genauer untersucht, sondern auch berichtiget zu werden verdient.

Die Ursache, warum ein hohler Eisencylinder so schwach magnetisch wird, wenn er eine galvanische Spirale umgibt, dürfte nach meiner Ansicht und Erfahrung in Nachfolgendem zu suchen sein.

Die Art und Weise, wie eine hohle galvanische Spirale eine Magnetnadel afficirt, die sich in der Verlängerung ihrer inneren Oberfläche befindet, wie es bei den oben angeführten Versuchen der Fall war, führte mich auf die Untersuchung des ganzen Raumes um die Spirale herum. Aus dieser Untersuchung, die mit Magnetnadeln von verschiedener Empfindlichkeit geschah, konnte mit Bestimmtheit gefolgert werden, dass von der inneren Fläche der Spirale aus, und zwar nach auswärts, magnetische Kraftlinien ausgehen, die unmittelbar am Rande einer einfachen Spirale kreisförmig sind, etwas

weiter vom Rande in Ellipsen, und noch weiter davon in Hyperbeln zu übergehen scheinen. Alle diese Kraftlinien gehen von dem inneren Rande der Spirale aus, wesswegen auch hier die grösste magnetische Kraft ihren Sitz hat.

Diese magnetischen Kraftlinien sind es, die den Eisencylinder, wenn er die Spirale umgibt, im entgegengesetzten Sinne magnetisiren als es durch die äussere Oberfläche der Spirale geschieht. Der Cylinder wird daher nur durch die Differenz beider Einwirkungen magnetisch.

Das Entstehen dieser magnetischen Curven findet seinen Grund in der gegenseitigen Abstossung der magnetischen Zustände der Stromtheilchen an der inneren Oberfläche einer solchen Spirale.

Diese Abstossung und das Entstehen solcher Curven lässt sich wahrnehmen bei der Rotation der Flüssigkeiten über einem Magnetpol, noch deutlicher und bleibend lassen sich diese Curven darstellen bei Nobili'schen Farbenfiguren mit entgegengesetzt laufenden Strömen, und am einfachsten kann man sich von ihnen überzeugen, wenn man einen Drath in der Mitte so umbiegt, dass er zwei parallele Schenkel bildet, diese durch zwei im glatten Kartenpapier nicht weit von einander abstehende runde Öffnungen durchsteckt, ihre Enden mit den Polen eines starken galvanischen Elementes verbindet und dann auf das horizontal liegende Papier feine Eisenfeilspäne behutsam streut.

Aus der Concentration der magnetischen Kraft an der inneren Oberfläche einer galvanischen Spirale lässt sich ferner erklären, warum hohle Elektromagnete, im Vergleiche mit den massiven, stärker magnetisch werden, als sie es nach dem Verhältnisse ihrer Masse sein sollten, und warum bei hohlen Eisencylindern von gleichem Gewichte, die sich in einander schieben lassen, die magnetische Kraft von dem äussersten nach dem innersten zu immer mehr und mehr abnimmt.

In der Ursache, warum eine galvanische Spirale an ihrer äusseren Oberfläche so schwach magnetisirt oder magnetisch wirkt, findet auch die von Faraday in Poggendorff's Annalen (Band 68, S. 122, Nr. 2205) angeführte und mehrseitig bestätigte Erscheinung, dass nämlich im Wasser (oder wie ich mich überzeugt habe, im Terpentingeist) die Polarisationsebene durch den galvanischen Strom nicht im geringsten verschoben wird, ihre genügende Erklärung.

• • •

· • · •

.

.

Anhang.

Schreiben des Hrn. Prof. Magnus an Prof. Schrötter.

(Vorgelegt in der Sitzung vom 16. Juni 1) 1854.)

Ihnen, dem Entdecker des amorphen Phosphors, fühle ich mich gedrungen vor allen Andern einige Proben von zwei neuen allotropischen Zuständen des Schwefels mitzutheilen, die ich gefunden. Sie werden namentlich an dem einen Stücke eine auffallende Ähnlichkeit mit Ihrem Phosphor hemerken und daraus ersehen, wie richtig der Ausspruch war, den Sie in Ihrer Arbeit gemacht haben, dass ähnliche allotropische Zustände wie beim Phosphor auch bei andern einfachen Körpern und besonders beim Schwefel würden gefunden werden.

Die Bildung des rothen und des schwarzen Schwefels findet zwar, ähnlich wie beim Phosphor, auch nur durch Anwendung geeigneter Temperaturen Statt; allein beide gehen leicht in einander und in gewöhnlichen Schwefel über, und daher kommt es, dass, wenn man gewöhnlichen Schwefel bis zur geeigneten Temperatur erhitzt, man doch jene Modification nicht erhält, wenn der Schwefel auf gewöhnliche Weise, d. i. langsam erkaltet; nur wenn man ihn plötzlich abkühlt und erstarren lässt, ist es möglich sie zu erhalten, aber auch dann gewinnt man immer nur eine kleine Menge und nur durch wiederholte Schmelzung und plötzliche Abkühlungen lässt sich eine grössere Menge gewinnen²).

¹⁾ Konnte, da in der Zwischenzeit keine Sitzungen Statt funden, nicht früher vorgelegt werden.

²⁾ Durch mannigfache Geschäfte und Hindernisse eiler Art genöthigt, meine schon im Februar 1848 begonnenen Arbeiten über die alletropischen Modificationen des Schwefels zu unterbrechen, kann ich mich mit Jedem, dem die Fortschritte der Wissenschaft am Herzen liegen, nur freuen, dass dieser Gegenstand nun in so viel geschicktere Hände kam, als die meinen, in die Hände eines Mannes, dem die Wissenschaft schon so viel verdankt und der gläcklich genug ist die nöthige Musse zu besitzen, um derlei so schwierig zu verfolgende Erscheinungen in ihrem wahren Zusammenhange zu erforschen. Man wird mir daher gewiss nicht die Absieht zumuthen, die Verdienste, welche sich Magnus um unsere Kenntnisse von der Natur des Schwefels durch die Entdeckung der oben angeführten Thatsache erwarb, schmälern zu wollen, wenn ich hier anführe, was in den Sitzungsberichten der kais. Akademie Bd. I, S. 136, über diesen Gegenstand gedruckt ist:

Der wiederholt bei 300° C. geschmolzene und schnell gekühlte Schwefel enthält vier verschiedene Modificationen, gewöhnlichen gelben, unlöslichen gelben; löslichen rothen und schwarzen. Übergiesst man ihn mit Schwefelkohlenstoff, so löst sich der gewöhnlich gelbe und der lösliche rothe, der unlöslich gelbe und der schwarze bleiben zurück, sie bilden zusammen ein Pulver, das gelb, oder wenn es vielen schwarzen Schwefel enthält, bräunlich ist. Behandelt man dasselbe auf geeignete Weise bei 100° C., so wird der gelbe unlösliche leichter in löslichen umgewandelt als der schwarze; man kann deshalb durch wiederholtes Ausziehen mit Schwefelkohlenstoff den gelben Schwefel immer mehr entfernen. Wird dann das zurückbleibende Pulver bei 300° C. geschmolzen und schnell gekühlt, so erhält man eine schwarze Masse, die weich, schmierig, fadenziehend ist. Nach mehreren Stunden, oft erst nach Tagen, wird sie hart; sie ist alsdann glasig und ohne krystallinisches Gefüge von schwarzer Farbe. Diese nenne ich schwarzen Schwefel.

"Über die Fähigkeit des Schwefels amorph zu werden, hatte Prof. Schrötter "schon früher unter dem Datum vom 26. Februar in einem Briefe an den General-"Secretär Kunde gegeben, wovon in der Sitzung am 4. März Erwähnung geschah. "De ville hat in einem der Jännerhefte der "Comptes rendus" angezeigt, dass "der Schwefel unter gewissen Umständen in Kohlensulfid unlöslich gemacht wer-"den könne. Er fasst jedoch den eigentlichen Grund dieser Erscheinung nicht auf. "Prof. Schrötter zeigte Schwefel vor, welcher sieher mehr als 30 Procent "unlöslichen enthält. Um diese Modification zu bewirken, wurde derselbe durch "68 Stunden bei einer Temperatur von 360° C. erhalten, dann aber plötzlich "abgekühlt. Geschieht dies langsam, so löst sich der amorphe in dem übrigen "Schwefel auf. Der mit amorphem gemengte Schwefel ist viel härter und erzeugt "bei gelindem Erwärmen nicht das dem gewöhnlichen Schwefel eigenthümliche "Knistern und Zerspringen. Chlor verbindet sich mit dem amorphen Schwefel viel "langsamer als mit dem gewöhnlichen. Die Erscheinungen bei höherer Temperatur "sind übrigens dieselben, so z. B. das Verhalten gegen Kalium."

Ich darf daher wohl das Prioritäts-Recht für den Gedanken: dass der lange in geschmolzenem Zustande erhaltene Schwefel schnell abgekühlt werden müsse, um die in Schwefelkohlenstoff unlösliche gelbe Modification desselben in reichlicher Menge zu erhalten, in Auspruch nehmen. Dagegen muss ich aber erklären, dass es mir bis auf die Mittheilung von Magnus nicht in den Sinn gekommen wäre, die Erwärmung und schnelle Abkühlung des Schwefels zu wiederholen; ich sehe hierin einen glücklichen Fortschritt in einem noch so dunklen Gebiete, welches durch Arbeiten, die nach einer bestimmten Vorschrift gemacht werden, nicht erweitert und erhellt werden kann. Nun finde ich allerdings auch an den Stücken Schwefel, die aus der früheren Zeit noch in meinen Händen sind, jene Farbenänderungen, die von beigemengtem braun- und schwarz-modificirten Schwefel herrühren, welche mir aber damals nur durch zufällige Einflüsse entstanden erschienen, und welche ich mit dem Molecularzustande des Schwefels in keine Verbindung bringen konnte.

Von einer grossen Menge gewöhnlichen Schwefels gewinnt man nur eine sehr kleine Quantität schwarzen, aus 10 Pfund etwa 10 Grammen. Diese letzteren enthalten daher die ganze Menge der im angewandten Schwefel vorhanden gewesenen Verunreinigungen, die nicht in Schwefelkohlenstoff löslich sind. Daher hinterlässt der auf diese Weise dargestellte schwarze, wenn er sublimirt wird, einen sehr bedeutenden Rückstand. Man kann aber solchen Schwefel auch aus rothem Schwefel darstellen; dann ist er rein und hinterlässt beim Sublimiren nichts oder höchstens eine Spur von Staub, der bei der Darstellung des rothen Schwefels kaum abzuhalten möglich ist. — Das Sublimat des schwarzen Schwefels ist gewöhnlicher Schwefel. Der schwarze Schwefel ist unlöslich in Schwefelkohlenstoff, schmilzt man ihn aber bei 140° C., so ist er nach dem Erkalten braun und krystallinisch und löst sich nun mit rother Farbe in Schwefelkohlenstoff.

Dampst man die rothe Lösung langsam ein, so krystallisirt gelber Schwefel heraus, da sich bei jeder Schmelzung etwas gelber bildet. Die ersten Krystallisationen sind gelb, die späteren sind immer röther, zeigen aber stets die oktaedrische Form, nur ganz zuletzt bilden sich einzelne prismatische Krystalle. Endlich bleibt eine braune, zähe, syrupartige Mutterlauge übrig, die nach einiger Zeit ganz fest wird. Will man die feste Masse von schöner rother Farbe erhalten, so muss man sie vor dem vollständigen Erstarren in Stücke zerbröckeln; unterlässt man dies, so nimmt sie leicht eine fahle mehr fuchsrothe Farbe an. Die einmal fest gewordene Masse ist nun nicht mehr in Schwefelkohlenstoff löslich. Es ist dies Verhalten analog dem der Kieselsäure. Wird dieser rothe Schwefel bei 300° C. geschmolzen und sehr schnell gekühlt, so entsteht schwarzer Schwefel. Wird er bis 140° C. erhitzt, so erhält man eine rothe geschmolzene Masse, die krystallinisch ist, sich mit rother Farbe in Schwefelkohlenstofflöst, und nun neben rothem löslichen, auch gelben löslichen Schwefel enthält. Setzt man den rothen Schwefel während längerer Zeit der Temperatur von 100 °C. aus, so verwandelt er sich in gewöhnlichen Schwefel. Ebenso durch Sublimation. Dies sind einige von den gefundenen Resultaten . . .

Berlin, den 25. Mai 1854.

VERZEICHNISS

DER

EINGEGANGENEN DRUCKSCHRIFTEN.

(JUNI.)

- Académie d'Archéologie de Belgique. Annales, Tom. XI. livr. 2. Unfershofen, Gottlieb Freih. v., Sanbbuch ber Gefchichte bes her-
- Annalen der k. Sternwarte bei München. Herausgegeben von Dr. J. Lamont. Bd. VI u. Suppl. 1.
- Annales Accademici, 1849-50. Lugduni Batavor.

jogthums Rarnten. Bb. II, Bft. 3.

- Archives des missions scientifiques et littéraires. Vol. III, Nr. 9, 10. Paris 1853; 80.
- Batka, Joh., Über die Abstammung der Sennes Blätter. II. Abth. Prag 1854; 40.
- Berlanga, Manuel Rodriguez de, Estudios sobre los dos bronces encontrados en Malaga. Malaga 1853; 4º-
- Bianconi, J. Jos., Repertorio italiano per la storia naturale. Fasc. 2. Bonnoniae 1853; 80.
- Bizio, R., Dinamica chemica. Tom II, p. 4, 5. Venezia 1853; 8° Bleeker, P., Aanhangsel op de Bijdrage tot de kennis der Muraenoïden en Symbranchoiden van den indischen Archipel. Batavia 1853; 4°
 - Bijdrage tot de Kennis der ichthyologische Fauna van Japan. Amsterdam 1853; 4°
 - Zevende Bijdrage tot de Kennis der ichthyologischen Fauna van Borneo. Batavia 1853; 80.
 - Bibliothecae societatis artium scientiarumque, quae Bataviae floret, Catalogus system. 2. edit. curante J. Münnich. Bataviae 1853; 8°

- Bulletin du Comité de la langue de l'histoire et des arts de la France. 1853. Nr. 7. Paris 1853; 80-
- Cavalli, Ferd., Biografia di Stefano Ant. Morcelli. 2. ed. Padova 1851; 80.
- Studj economici sulle condizioni naturali e civili della provincia di Padova. Padova 1851; 8º.
- Cosmos. Vol. IV, No. 20, 21, 22, 24, 26.
- Fritsch, Ant., Naturgeschichte der Vögel Europa's. Hft. 1. Prag 1854; 8° mit Atlas in Folio.
- Genootschap Bataviaasch, van Kunsten en Wetenschappen. Verhandelingen, Deel 24. Batavia 1852; 40.
- Geschichtsblatter aus ber Schweiz. Herausgegeben von 3. C. Ropp. Jahrg. I, Hft. 3.
- Gesellschaft, naturforschende, in Bern. Mittheilungen Nr. 258 bis 313.
- Gesellschaft, schweizerische naturforschende. Verhandlungen a. d. J. 1852, 1853.
- Gesellschaft, allgemeine schweizerische, für die gesammten Naturwissenschaften. Denkschriften, Bd. 13.
- Gesellschaft, deutsche morgenländische. Zeitschr. Bd. VIII, Hft. 3.
- Gesellschaft, physikalisch-medicinische in Würzburg. Verhandlungen. Bd. IV, Hft. 3.
- Gesellschaft, königl. sächsische, der Wissenschaften. Abhandlungen der mathem.-physik. Classe. Bd. IV, Bogen 21—30.
- Gewerbe-Berein, Berhandlungen bes nieber-öfterreichischen. 1854. oft. 1.
- Hanus, Ign., Systematisch und chronologisch geordnetes Verzeichniss sämmtlicher Werke und Abhandlungen der königl. böhmischen Gesellschaft der Wissenschaften. Prag 1854; 80.
- Beibelberg, Universitatsschriften aus bem Jahre 1851.
- Istituto Lombardo di scienze, lettere ed arti, Giornale. Fasc.29, 30.
- Kandler, P., Per innalzamento di altare e statua in onore della beata vergine Maria delle grazie nella chiesa di S. M. Maggiore. Trieste 1853: 8°
- Labus, Giovanni. Milano 1853; 40.
- Lamont, J., Magnetische Ortsbestimmungen, ausgeführt an verschiedenen Punkten des Königreiches Bayern und an einigen auswärtigen Stationen. Th. I. München 1854: 80.

Lancet, nederlandsch. Jahrg. III. Nr. 3-7.

Leipzig, Universitätsschriften aus bem Jahre 1852.

Lisch, G. C. F., Joachim Maltzan oder Urkunden-Sammlung zur Geschichte Deutschlands, während der ersten Hälfte des 16. Jahrhunderts. Schwerin 1853; 80-

Louvain, Annuaire de l'université cathol. 1853 et 54.

Louvain, Universitateschriften aus bem Jahre 1852.

Maatschappij hollandsche der Wetenschappen te Haarlem, Natuurkund. Verhandel. Deel 9.

Magrini, Luigi, Ricerche sulla natura del principio elettrico.

Milano 1852; 40.

Patellani, Luigi, Abozzo per un trattato d'Anatomia e Fisiologica veterinaria. Vol. III. fasc. 1. porz. 3, 4.

Reichsanstalt, geologische. Jahrbuch. Jahrg. IV, Hft. 4.

Reumont, Alfred, Magliabechi, Muratori und Leibnitz. s. l. et d.; 8. Riebl v. Leuenstern, Interpolationen zu einer Gruppe von Bahnen höherer Gleichungen. (Zeitschrift b. öfterr. Ingenieur-Bereines. 1854. Rr. 5.)

Scheerer, Th., Ueber bie angeblichen Pseudomorphosen bes Serpentins nach Umphibol, Augit und Olivin. (Rachrichten v. b. Göttinger Univers. 1854, Rr. 4.)

Sirus-Pirondi, Des maladies qui ont régné à Marseille depuis le 1 Décembre 1852 jusqu'au 30 Nov. 1853. Marseille 1854; 8° Società d'incoraggiamento per l'agricoltura e l'industria in Padova. Anno I, II, III.

Société de physique et d'histoire naturelle de Génève. Mémoires T. XIII, p. 2.

Society, chemical, Quarterly Journal. Nr. 24.

Tübingen, Universitatsschriften aus bem Jahre 1853.

Berein, hiftorischer, ber funf Orte Lugern, Uri, Schwy, Unterwalben und Bug. Mittheilungen (ber Geschichtsfreund). Lief. 9.

Verein, naturwissensch. in Halle. Zeitschrift. Jahrg. 1853; Nr. 1-12.

Berein, physifalischer, zu Frankfurt a. M. Jahresbericht 1852—53.

Ville, Georges, Recherches expérimentelles sur la Végétation. Paris 1853; 4º-

Volpicelli, Paolo, Rettificazione delle formule per assegnare il numero delle somme ognuna di due quadrati nelle quali un interno può spezzarsi. Roma 1853; 40.

- Zambra, Bernardo, I principj e gli elementi della fisica. Fasc. 6. Milano 1854; 8°
- Zepharovich, V. Ritter v., Die Fossilreste von Mastodon angustidens aus der Jauling. Wien 1854; 4.
- Über einige interessante Mineral-Vorkommen von Mutenitz bei Strakonitz. Wien 1854; 4.

		1
		ı

Ĺ

:•

Am 5. um 8^h Ab. Blitze, am 6. Mittage **Gewitter**, am 7. [Früh Nebel auf dem Meere. Am 5. Früh dichter **Nebel**.

Am 13.6, 332⁷82, Gewitter, am 24. 25. u. 30.
 Am 18. Gewitter.

Am 6. 18. 19. u. 25. Gewitter, a. 19. Nebel a. 25. Starm. Am 9. u. 11. Gew. 19. Ab. St., a. 22. Reif, *a. 22.3 + 5.1. Am 2. u. 5. hft. St. a. SW. a. 13. 14. 18. G., a. 11. u. 17. Wttl. Am 19. Gew., a. 29. 7° 25. 'Ab. Sturm mit Regen u. Hagel.

Am 7. 18. 24. 25. u. 31. Gewitter, a. 22. Reif, 26. Wetterl. Am 12. 14. 15. u. 18. Gewitter.

Am 13.5: + 18.7, am 11. Wetterleuchten.

Am 7. 11. 12. 17. 19. 24. 31. Gewitter. Am 5. 6. 10. 11. 12. 13. 14. 15. 16. 23. 24. Ab. Blitze. Am 24.Gewitter aus SW.

Am 9. 12. 13. 14. 16. 18. 24. 28. 31. Gewitter, [am 9. und 28. Stürme.

Am 12. 13. 14. 16. 24. und 25. Gewitter.

*Am 13.6: + 19.2, am 5. 12. 14. 15. und 27. Gewitter.

Am 6. 12. 15. 17. 18. 24. 25. Gewitter, am 24. Hagel.

Am 5. um 6. 45. Ab. am 8. Nachte, und am 27.

Am 5. um 6. 45' Ab, am 8. Nachts, und am 27. [um 10. Ab. Stürme a. W.

Am 2. 9. 23. 24. 28. Gewitter.

Am 7. u. 21. Reif, am 14. 23. 24. 31. entfernte Gewitter.

"Am 20.9 324"90.

[am 24. etwas Hagel.

Am 6. 11. 16. 18. 23. u. 24. Gew., a. 7. Sturm a. NNW.

Am 9. 15. 23. 24. 28. Gew., am 1. u. 5. stürm. a. SW.

Am 15. v. 3" bis 5" 15' Ab. Gew., a. 25. Wetterl. gegen N.

Am 5. 14. 27. u. 28. stürmisch aus W.

Am 9. 15. u. 28. Gewitter, am 21. u. 31. Nebel.

Am 2. 9. 15. 23. u. 24. Gew., a. 15. Hagel a. 27. Starm. Am 29. 5 Ab. Gewitter, a. 21. u. 31. Nebel a. 7. Reif.

ces Gewitter im NW., in dem nahen Pintak Wolkenbruch. Das Gester durch zahllose Blitze ausgezeichnet. — b Krakau, stürmissehen. — 5 Laibach, Gewitter waren am 12. um 5 Ab., am 15 1 um 9 Ab. Wetterleuchten Gewitter waren am 1W., am 24. 8 Ab. von SW. gegen SO. — 7) Saybusch, am 5. vom on Saybusch ein Wolkenbruch, an dem gleichen Tage war bei Jah itz. am 14. von 1 56 bis 7 30 4 starke Gewitter mit etwas Hag wodurch strichweise das Laub der Eiche, Rothbuche und Esche erft

Herr- schender Wind	Anmerkungen.
SW. NO. 1 N. NW. SO. SO. W. W. SO. NO. 8W. SO. N. SO. —	[a. WNW.; am 21. Reif. Am 5. 12. 14. 15. 16. 25. Gewitter, a. 27. 7 Ab. Starm; Am 5. 12. 13. 14. 15. 16. 23. 24. 25. u. 27. Gewitter, Am 6. Schnee. [a. 7. Reif, 28. Starm a. W. Am 5. 12. 13. 14. 16. Gewitter, a. 15. u. 23. Wetterl. Am 2. u. 10. Gewitter, am 10. Hagel. Am 5. Starm a. W. Am 19. Ab. u. in der Nacht vom 25. auf 26. Gewitter. Am 6. Schnee. Am 6. Schnee, a. 24. u. 26. Gew., a. 11. u. 22. Wetterl. Am 12. Ab. Gewitter u. Starm aus SO. Am 5. 25. 29. Schnee, 26. Ris, a. 22. starkes Gewitter.
 SSW.	Viele Nebel u. Schnee, am 13. erster Regen.
SO. N. NW. SO. NW. SO. u. W. N. W.	Am 6. stürmisch. Am 23. von 4' bis 5' Ab. Gewitter. Am 4. 13. 17. 24. und 25. stürmisch a. N. Am 2. 9' Ab. Nebenmond, am 24. Gewitter u. Hagel. Am 4. stürmisch aus NW. am 30. Schnee. Am 17. stürmisch aus W. Vom 24. bis 30. oft Schnee. Vom 24. bis 30. öfter Schnee, Graupen und Hagel.

1. — 2) Tropelach, am 5. Gewitter, am 25. fünfmal Gewitter, dann er Sturm mit Hagel aus Ost, am 20. grosser Sonnenhof.

cheinung beobachtet. — ²) Zavalje, am 24. April rasche Wärmenn Schnee bis 26; am 28. um 8³ 50' Ab. Sturm aus WNW. durch 10', 8 im April am 4. aus W. und NW., am 8. aus NW., am 10. aus WNW., april 6⁷31, vom 5. bis 22. fiel kein Regen oder Schnee, der Niederses mit einem durch 3 **Minuten** sichtbaren Lichtschweif; in der Nacht

Krems

Kla

1

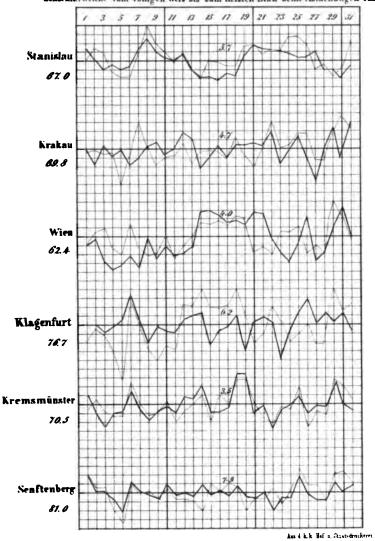
4

1

			-	
,				
	,			
				1
	,			1
				ı
		•		

tiang der Feuchtigkeit und des Ozongehaltes der Luft im Mai 1854.

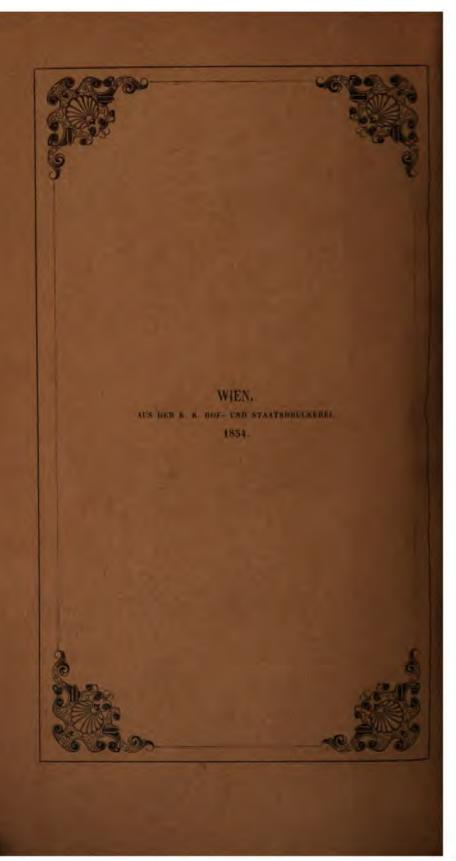
Die punktirten Linien stellen die Feuchtigkeit, die ausgezogenen den Oxongehalt dar. Die am Rande befindlichen Zahlen sind die Monstmittel der Feuchtigkeit, jene swischen den Curven die Monstmittel des Oxongehaltes. Den Monstmitteln entsprechen die stärkeren Hortzontallinien. Ein Netztheil beträgt für die Feuchtigkeit 5 Frocente, für den Oxongehalt einen Theil der Farbenscals, welche vom völligen Weis bis zum tießten Blau zehn Abtheilungen enthält.



Sitzungeb. d. k. Akad. d. W. math. naturw. Cl. XHI.Bd. 1, Heft. 1854.

Von den Sitzungsberichten jeder Classe der kais. Akademie der Wissenschaften erscheinen jährlich 10 Hefte, deren 5 einen Band bilden.

Von grösseren Abhandlungen sind Separatabdrücke in Braumüller's Buchhandlung zu haben.







SITZUNGSBERICHTE

DESK KADIERLICHEN

AKADEMIE DER WISSENSCHAFTEN.

WATHEMATISCH-NATURWISSENSCHAFTLICHE CLASSE.

BAND XIII.
Jahrgang 1854. — II. Reft.

Mit 9 Cafela.

In Commission bei W. BRAUMULLER, Buchhändler des k. k. Hofes und der k. Akademie der Wissenschaften.





INHALT.

Seit
Sitzung vom 13. Juli 1854.
Haidinger, Über zwei von Foetterle geologisch coloriste Karten von Brasilien
Carlini, Sulle proprietà delle funzioni algebriche conjugate. (Con una tavola.)
Engel, Die Bildung der Wirbel- und Extremitätsknochen. (Mit 2 Tafein.) 37 Petzval, Über die Fortschritte der Photographie in Wien 40
Hauer, Frans Ritter v., Über einige unsymmetrische Ammoniten au den Hierlatz-Schichten. (Mit 1 Tafel.)
Grailich und Pekárek, Das Sklerometer, ein Apparat zur genaueren Messung der Härte der Krystalle. (Mit 1 Tafel.)
Hofstädter, Über künstliches und mineralisches Paraffin 43
Hauer, Karl Ritter v., Über die Darstellung und Zusammensetzung einiger Salze
Say, Analyse des Mineralwassers zu Lippa in Ungarn
Sitzung vom 20. Juli 1854.
Kenngott, Mineralogische Notizen. (14. Folge.)
Lõsungen
Lenhossék, Über den feineren Bau der gesammten medulla spinalis 48 Albini, Ricerche chimiche sul Frutto del Castagno
Sitzung vom 27. Juli 1854.
Orth, Über die chinesischen Gelbschoten
Kawalier, Über Thuja occidentalis
Hlasiwetz, Über die Robinia-Säure
Pierre, Beitrag zur Theorie der Gaugain'schen Tangentenboussole 53
Kollar, Beitrag zum Haushalte der sehr lästigen Viehbremsen (Tabanidae) 53
Basslinger, Untersuchungen über die Schichtung des Darmeanals der
Gans, über Gestalt und Lagerung seiner Peyer'schen Drüsen. (Mit 2 Tafeln.)
(and a failure)
Diesing, Über eine naturgemässe Vertheilung der Cephalocotyleen 5: Oeltsen, Nachweis des Vorkommens von Sternen aus den Argelander.
schen nördlichen Zonen in anderen Quellen 6
Verseichniss der eingegangenen Druckschriften
To bottombo det cingogangemon bruckerinaen.
Tabellarische Übersicht der Witterung in Österreich im Juni 1854. (Mit 2 Tafeln.)

SITZUNGSBERICHTE

DER

KAISERLICHEN AKADEMIE DER WISSENSCHAFTEN.

MATHEMATISCH-NATURWISSENSCHAFTLICHE CLASSE.

XIII. BAND.

II. HRFT. — JULI.

JAHRGANG 1854.

		1
	·	

SITZUNG VOM 13. JULI 1854.

Eingesendete Abhandlungen.

Über zwei von Foetterle geologisch colorirte Karten von Brasilien.

Von dem w. M. W. Haidinger.

Seit dem 7. December 1852 veranlasste die Übersendung der Druckschriften der k. k. geologischen Reichsanstalt für das historischgeographische Institut in Rio Janeiro eine Correspondenz mit dem für Preussen accreditirten kaiserlich-brasilianischen General-Consul. Herrn J. D. Sturz in Dresden, an welchen sie durch die freundliche Vermittlung unseres hochverehrten Collegen aus der philosophisch-historischen Classe, Herrn Regierungsrathes Ritter v. Auer, geleitet worden war. Herr Sturz, ein Deutscher von Geburt, lange in Brasilien ansässig und nationalisirt, aus dieser Zeit unter andern auch mit dem gegenwärtigen k. k. Ministerial - Secretär Herrn J. K. Hocheder genau bekannt, welcher letztere viele Jahre als Bergwerks - Director in Minas Geraes zubrachte, ist fortwährend unermüdlich thätig, um von seiner Stellung aus möglichst nützlich für sein Adoptiv - Vaterland zu wirken. Er ist in Beziehungen mit Herrn Hofrath v. Martius in München, unserem hochverehrten correspondirenden Mitgliede, dem durch seine Reisen und wissenschaftlichen Erfolge Brasilien gleichfalls als ein zweites Vaterland gilt.

Es war natürlich, dass der Wunsch, die Frage nach einer geologischen Karte sehr bald Gegenstand unseres schriftlichen Ideen-Austausches werden musste. Herr Hofrath v. Martius bereitete für ein künftiges Heft seiner grossen Flora Brasiliensis eine Karte mit den Reiserouten der Botaniker vor. Er sprach in einem freundlichen Schreiben an mich am 1. Februar 1853 den Wunsch aus, dass wir in Wien, wo seit den Reisen von Mikan, Pohl, Natterer, Schott, so Vieles auf die Kenntniss Brasiliens bezügliche in den k. k. Hof-

Naturalien-Cabineten aufgesammelt ist, an der k. k. geologischen Reichsanstalt mit V. v. Helmreichen's Aufnahmen, und unterstützt von den Freunden Partsch, Hocheder und andern, eine geologische Karte Brasiliens zusammenstellen möchten, die in gleicher Weise viel Interessantes für ein physikalisches Bild Brasiliens bieten würde. Ich versprach wenigstens das Vorhandene näher zu prüfen, wenn es mir auch schien, dass Martius selbst durch die autoptische Kenntniss des Landes viel besser zu solchen Arbeiten vorbereitet wäre. Herr General-Consul Sturz seinerseits glaubte den Zweck auf kürzerem Wege zu erreichen, wenn er eine öffentliche Bewerbung einleitete, und Preise für die beste geologische Karte von Brasilien ausschrieb. Er hatte die Ehre der Beurtheilung der einzusendenden Arbeiten den Herren Prof. Cotta in Freiberg und Schafhäutl in München und mir zugedacht. Hier der Wendepunkt. Wer gegründet beurtheilen will, muss die Sache genau kennen. Hier war aber der Gegenstand noch gar nicht vorhanden. Also konnte Kritik gar Nichts helfen, wohl aber Arbeit, wie dies ja auch in anderen Dingen überhaupt der Fall ist. Ich hatte die Lage der in der Literatur vorliegenden Quellen vorläufig durch unsern hochverehrten Collegen, Herrn Dr. A. Boué in Erfahrung genommen, so wie mit andern Freunden das Wichtigste besprochen, und stand daher nicht an, zwar die Ehre der Beurtheilung abzulehnen, dagegen es zu übernehmen, dass eine geologische Übersichtskarte zusammengestellt werde, welche dann nicht nur der Beurtheilung der genannten zwei Herren, sondern dem Publikum überhaupt vorliegen würde. Meine eigene Zeit und Kraft würden zu der Arbeit nicht gereicht haben, aber ich hatte einen guten Rückhalt. Ich durfte auf die oft erprobte Kenntniss, Bereitwilligkeit, Geschicklichkeit und Ausdauer meines jungen Freundes, des Herrn Franz Foetterle, Assistenten der k. k. geologischen Reichsanstalt rechnen. Er hat mein Vertrauen glänzend bewährt. Dass ich heute der hochverehrten Classe das Ergebniss vorlege, beruht eben so wohl auf dem Wunsche von seiner und meiner Seite, derselben unsere Verehrung zu bezeigen, als auch darauf, dass es mir gleich sehr als Pflichterfüllung, wie als Befriedigung erscheint, ihm meinen Dank und meine Anerkennung für die Übernahme und Vollendung der Arbeit auszusprechen.

Die grössere Karte ist die für Herrn v. Martius Flora Brasiliensis bestimmte, Maßstab 1:7,000.000, die kleinere ist die Kiepert'sche Karte von Süd-Amerika aus dem geographischen Institute in Weimar 1849, Masstab 1:15,000.000. Exemplare von beiden sind nun ebenfalls zur beliebigen Benützung an die Herren von Martius und Sturz gesandt worden. Nach einer freundlichen Mittheilung des Ersteren dürsen wir noch eine weitere Arbeit, mit Zugrundelegung der neuen Karte von einem talentvollen jüngern Forscher, Herrn Dr. Pfaff in Erlangen, erwarten. Dieser hatte bereits auf Exemplare, die uns von Herrn v. Martius zukamen, einige Theile, namentlich das östliche Brasilien geologisch colorirt. Auf einem der Exemplare hatte auch Herr Prof. Cotta die Ergebnisse der d'Orbigny'schen Reise eingetragen.

Sulle proprietà delle funzioni algebriche conjugate.

Memoria presentata all' I. R. Accademia delle Scienze di Vienna dal Membro effettivo **Francesco Carlini.**

(Con una tavola.)

1. Le applicazioni che i matematici fecero dell'analisi alla trigonometria (che in origine era stata trattata soltanto con metodi geometrici) furono cagione che nell'analisi stessa s'introducesse la
considerazione delle funzioni che chiameremo "conjugate", cioè di
quelle le cui principali proprietà vengono alternativamente rappresentate l'una per l'altra, come appunto succede nelle formule
appartenenti ai seni e coseni.

Apertosi così un nuovo campo alle indagini analitiche, si estese il principio delle funzioni conjugate ad altre espressioni più elevate, e in modo assai rimarchevole se ne valse il celebre Abel nelle sue ricerche sulle trascendenti ellittiche.

Mi parve perciò pregio dell'opera il fare un passo indietro per indagare se le funzioni circolari siano realmente le più semplici fra quelle alle quali può applicarsi il principio suddetto, ed ho facilmente riconosciuto che fra le espressioni algebriche molte se ne trovano di tal natura; alcune delle quali conducono a formule pregevoli per la loro semplicità ed appropriate alla soluzione di diversi problemi per la quale si erano fin qui adoperate senza bisogno le funzioni trascendenti.

2. Allorchè una persona, che venga nuovamente iniziata nelle matematiche, impara a risolvere le equazioni di terzo grado per mezzo della trisezione dell'angolo e delle tavole trigonometriche, può facilmente prendere equivoco ed immaginarsi che le radici di quelle equazioni, anche fuori del caso irreduttibile, siano quantità trascendenti; mentre si deve riflettere che le funzioni circolari si prestano a quella soluzione solo in virtù della relazione

$$\sin^2 x - \frac{3}{4} \sin x + \frac{1}{4} \sin 3x = 0$$

indipendentemente dalla incommensurabilità fra il seno e l'arco.

Spero perciò che le indagini che ho intraprese sulle proprietà di due funzioni conjugate puramente algebriche, ancorchè non presentino un vero progresso della scienza, possano servire a rettificare le idee dei principianti ed a procurare nell' insegnamento una più regolare e continuata concatenazione.

3. Fra le varie funzioni algebriche conjungate che si potrebbero prendere in considerazione mi parve che le due $x-\frac{1}{x}$, $x+\frac{1}{x}$ siano delle più semplici, e siano nello stesso tempo rimarchevoli per le facili relazioni che presentano e per l'analogia che serbano colle funzioni circolari. Esprimeremo queste due funzioni con due simboli che terremo invariati in tutto il presente scritto e faremo

$$x-\frac{1}{x}=f(x),\ x+\frac{1}{x}=\varphi(x).$$

4. Le prime relazioni, che queste due formule ci somministrano,

sono
$$f(x) + \varphi(x) = 2x$$
, $\varphi(x) - f(x) = \frac{2}{x}$.

Facciamo in appresso il prodotto delle due funzioni, ed avremo

$$f(x) \times \varphi(x) = x^2 - \frac{1}{x^3} = f(x^3).$$

Formiamo i quadrati delle due funzioni, e troveremo

$$f^{2}(x) = \varphi(x^{2})-2$$
, $\varphi^{2}(x) = \varphi(x^{2}) + 2$,

e quindi

$$f^{2}(x) + \varphi^{2}(x) = 2\varphi(x^{2}), \quad f^{3}(x) - \varphi^{2}(x) = -4.$$

Eleviamole per ultimo al cubo, e sarà

$$f(x) = f(x^2) - 3f(x), \quad \varphi^2(x) = \varphi(x^2) + 3\varphi(x),$$

onde combinando le due equazioni

$$f^{2}(x)+\varphi^{2}(x)=f(x^{2})+\varphi(x^{2})+3(\varphi(x)-f(x))=2x^{2}+\frac{6}{x}$$

$$\varphi^{2}(x)-f^{2}(x)=\varphi(x^{2})-3f(x^{2})+3(\varphi(x)+f(x))=\frac{2}{x^{2}}+6x.$$

5. Se si dividono reciprocamente l'una per l'altra le due funzioni e si aggiungono i due quozienti, si ottiene

$$\frac{\varphi(x)}{f(x)} + \frac{f(x)}{\varphi(x)} = \frac{\varphi^3(x) + f^3(x)}{f(x) \varphi(x)}$$
e sostituendo i valori già trovati del numeratore e del denominatore

$$\frac{\varphi(x)}{f(x)} + \frac{f(x)}{\varphi(x)} = 2\frac{\varphi(x^2)}{f(x^2)}$$

Si avrà del pari

$$\frac{\varphi(x)}{f(x)} - \frac{f(x)}{\varphi(x)} = \frac{4}{f(x^4)}.$$

6. Formiamo i prodotti di f(x) per $\varphi(y)$ e di f(y) per $\varphi(x)$, ed avremo

$$f(x) \varphi(y) = xy - \frac{y}{x} + \frac{x}{y} - \frac{1}{xy}$$

$$f(y) \varphi(x) = xy + \frac{y}{x} - \frac{x}{y} - \frac{1}{xy}$$

La somma di queste due equazioni

$$f(x) \varphi(y) + f(y) \varphi(x) = 2xy - \frac{2}{xy} = 2f(xy)$$

$$f(x) \varphi(y) - f(y) \varphi(x) = 2\frac{y}{x} - 2\frac{x}{y} = 2f(\frac{y}{x}) = -2f(\frac{x}{y}).$$

Le funzioni della somma e della differenza di due variabli non presentano espressioni tanto semplici quanto quelle che si hanno dai seni e dai coseni: esse sono della forma

$$f(x+y) = f(x) + y \frac{\varphi(x) + y}{x+y}, \quad f(x-y) = f(x) - y \frac{\varphi(x) - y}{x-y},$$

$$\varphi(x+y) = f(x) + y \frac{f(x) + y}{x+y}, \quad \varphi(x-y) = \varphi(x) - y \frac{f(x) - y}{x-y}.$$

7. Sia x un radicale, eguale a 🗸 👼, sostituendo questo valore nell' equazione $f^2(x) = \varphi(x^2) - 2$, sarà $f(\sqrt{x}) = \sqrt{\varphi(x)} - 2$, come pure $\varphi(\sqrt[4]{s}) = \sqrt{\varphi(s)+2}$. Se poi z fosse una radice immaginaria eguale a $b\sqrt{-1}$, si trova subito

$$f(b\sqrt{-1}) = b\sqrt{-1} - \frac{1}{b\sqrt{-1}} = \sqrt{-1}\left(b + \frac{1}{b}\right) = \sqrt{-1}\varphi(b),$$

$$\varphi(b\sqrt{-1}) = b\sqrt{-1} + \frac{1}{b\sqrt{-1}} = \sqrt{-1}\left(b - \frac{1}{b}\right) = \sqrt{-1}f(b).$$

8. Sia ora x composta di quantità reali e d'immaginarie, ossia della forma $a + b\sqrt{-1}$, sarà $\frac{1}{x} = \frac{a - b\sqrt{-1}}{a^2 + b^2}$, e quindi

$$f(x) = a\left(1 - \frac{1}{a^3 + b^3}\right) + b\sqrt{-1}\left(1 + \frac{1}{a^3 + b^3}\right);$$

$$\varphi(x) = a\left(1 + \frac{1}{a^3 + b^3}\right) + b\sqrt{-1}\left(1 - \frac{1}{a^3 + b^3}\right).$$

Facciasi $\sqrt{a^2+b^2}=c$ e sarà

$$f(x) = \frac{a}{c}f(c) + \frac{b\sqrt{-1}}{c}\varphi(c), \ \varphi(x) = \frac{a}{c}\varphi(c) + \frac{b}{c}\frac{-1}{c}f(c)$$

e nel caso particolare di $b = \sqrt{1-a^2}$

$$f(x) = 2 b \sqrt{-1}, \quad \varphi(x) = 2a.$$

9. Facciamo nel caso generale b negativo ed indichiamo con x il valore che prende x, sarà

$$f(x') = \frac{a}{c} f(c) - \frac{b}{c} \sqrt{-1} \varphi(c),$$

$$\varphi(x') = \frac{a}{c} \varphi(c) - \frac{b}{c} \sqrt{-1} f(c).$$

e combinando queste equazioni colle precedenti

$$f(x) + f(x') = 2 \frac{a}{c} f(c) \qquad \varphi(x) + \varphi(x') = 2 \frac{a}{c} \varphi(c)$$

$$f(x) - f(x') = 2 \frac{b}{c} \sqrt{-1} \varphi(c) = \frac{b}{a} \sqrt{-1} \left(\varphi(x) + \varphi(x') \right)$$

$$\varphi(x) - \varphi(x') = 2 \frac{b}{c} \sqrt{-1} f(c) = \frac{b}{a} \sqrt{-1} \left(f(x) + f(x') \right)$$

10. Ora introdurremo due nuovi simboli, $f[x], \varphi[x]$ i quali rappresentino rispettivamente i valori di x nelle equazioni f(x) = z, $\varphi(x) = z$, sarà

$$f[z] = \frac{2 \pm \sqrt{z^2 + 4}}{2}, \quad \varphi[z] = \frac{z \pm \sqrt{z^2 - 4}}{2},$$

d'onde risulta $f^{s}[z] + \varphi^{s}[z] = z (f[z] + \varphi[z])$.

Se poi z fosse quantità immaginaria $= b \sqrt{-1}$, si troverebbe

$$f[b\sqrt{-1}] = \sqrt{-1}\varphi[b], \varphi[b\sqrt{-1}] = \sqrt{-1}f[b].$$

11. Rappresentiamo ancora la variabile col seno d'un angolo, e sia $x = \sin z$, avremo facilmente

$$f(\sin z) = \sin z - \frac{1}{\sin z} = -\frac{\cos^2 z}{\sin z} = -\frac{\cos z}{\tan g \cdot z},$$

$$\varphi(\sin z) = \sin z + \frac{1}{\sin z} = \frac{\sin z^2 + 1}{\sin z}.$$

Facciamo successivamente, $x = \cos z$, $x = \tan z$, ed otterremo

$$f(\cos z) = -\tan z \sin z, \quad f(\sin z) f \cos z = \frac{1}{2} \sin 2z,$$

$$f(\tan z) = -f(\cot z) = -\cot 2z.$$

12. Nella funzione inversa f[z] facciasi z = 2 tang y, sarà

$$f[z] = tang \ y \ \pm \sqrt{1 + tang^2 \ y} = tang \ y \ \pm \frac{1}{\cos y} = \frac{\sin y \pm 1}{\cos y}.$$

Nella funzione inversa $\varphi[z]$ facciasi $z=2\sin y$, sarà

$$\varphi[z] = \sin y \pm \sqrt{-1} \cos y = e^{\pm y\sqrt{-1}}.$$

13. Per trovare altre proprietà delle funzioni conjugate consideriamo le funzioni di funzioni, ossia le espressioni f(fx), $\varphi(\varphi x)$, $f(\varphi x)$, $\varphi(fx)$; avremo in primo luogo

$$f(fx) = x - \frac{1}{x} - \frac{1}{x - \frac{1}{x}} = \frac{x^3 - 3 + \frac{1}{x^2}}{x - \frac{1}{x}} = \frac{\varphi(x^3) - 3}{f(x)}$$

e collo stesso processo

$$\varphi\left(\varphi x\right)=\frac{\varphi\left(x^3\right)+3}{\varphi\left(x\right)}, \ f\left(\varphi x\right)=\frac{\varphi\left(x^3\right)+1}{\varphi\left(x\right)}, \ \varphi\left(f x\right)=\frac{\varphi\left(x^3\right)-1}{f\left(x\right)},$$
 ove si vede che, nelle funzioni che contempliamo, alternando i due simboli $f \in \varphi$ si ottengono valori differenti fra loro.

Formando la serie f(x), f(fx), f(ffx) ecc. ed indicando con F(n) il termine n-esimo, si avrebbe per determinarne il valore da risolvere l'equazione a differenze finite $\Delta F(n) = -\frac{1}{F(n)}$ e cambiando soltanto il segno si avrebbe l'equazione relativa alla funzione φ .

14. Il differenziale primo di ciascuna delle due funzioni f(x), $\varphi(x)$ viene facilmente rappresentato per mezzo della funzione conjugata; i differenziali secondi poi risultano eguali e di segno contrario; in fatti si ha

$$\frac{df(x)}{dx} = 1 + \frac{1}{x^3} = \frac{1}{x} \varphi(x),$$

$$\frac{d\varphi x}{dx} = 1 - \frac{1}{x^3} = \frac{1}{x} f(x),$$

$$\frac{d^3 f(x)}{dx^3} = \frac{-1}{x^3} (\varphi(x) - f(x)) = -\frac{2}{x^3},$$

$$\frac{d^3 \varphi(x)}{dx^3} = \frac{1}{x^3} (\varphi(x) - f(x)) = +\frac{2}{x^3}.$$

Per le funzioni inverse si ha

$$\frac{df[z]}{dz} = \frac{f^{2}[z]}{f^{2}[z]-1} , \quad \frac{d\varphi[z]}{dz} = \frac{\varphi^{2}[z]}{\varphi^{2}[z]-1}.$$

- 15. I differenziali di f(x) e $\varphi(x)$ danno subito i massimi e minimi di queste due funzioni. Fatto $\frac{df(x)}{dx} = \frac{1}{x} \varphi(x) = 0$ si ha $\varphi(x) = 0$, oppure $x = \infty$; ma $\varphi(x)$ non è mai zero, dunque f(x) non ha nè massimo nè minimo. Fatto $\frac{d\varphi(x)}{dx} = \frac{1}{x} f(x) = 0$ dovrà essere f(x) = 0, od $x = \infty$. Ora f(x) = 0 quando x = +1 e quando x = -1, dunque $\varphi(x)$ avrà un minimo positivo quando x = +1 ed un minimo negativo quando x = -1, il primo x = +2 ed il secondo x = -2.
- 16. Il Du Sejour e dopo di lui il Cagnoli insegnarono il modo con cui si possono risolvere le equazioni algebriche di secondo grado mediante l'uso delle tavole dei seni. In verità la formule dirette che danno le radici di queste equazioni sono tanto semplici che sembrerebbe cosa superflua il ricorrere alle tavole delle funzioni circolari. Il Cagnoli suddetto fa però osservare che "se i coefficienti delle "equazioni sono grandi, oppure frazionarj, il calcolo diretto divien "lungo e laborioso, mentre la trigonometria porge i mezzi di renderlo "facile e breve". Ma un obbiezione più forte contro il metodo trigonometrico è quella che abbiamo accennata da principio, di far dipendere la determinazione di quantità algebriche dalle funzioni circolari; le quali sono inoltre di un uso incomodo nella pratica per dover calcolare gli archi sul sistema sessagesimale non ancora bandito dalle moderne tavole e per dover porre attenzione al quadrante nel quale gli archi stessi devono essere presi. Ora questa scelta richiede diverse regole, nell'esposizion delle quali il citato autore impiega più di tre pagine della sua opera in quarto.
- 17. Tutte queste difficoltà non sussisterebbero se si usassero invece le funzioni f(x), $\varphi(x)$, ma bisognerebbe che di esse fossero già calcolate le tavole. Ora per mostrare con alcuni esempj l'uso che se ne potrebbe fare ho aggiunto a questa memoria un frammento di esse esteso da x = 1,060 ad x = 1,300 per ogni parte millesima dell'argomento, e con sei cifre decimali come nelle tavole logaritmiche di Ursinus e di Bremiker.
- 18. Tornando alle equazioni di secondo grado, sia data l'equazione generale p^2 —ap = b; facciasi $p = x\sqrt{b}$, e sarà bx^2 — $a\sqrt{b}x = b$,

ossia $x^2 - \frac{ax}{\sqrt{5}} = 1$, o finalmente $x - \frac{1}{x} = \frac{a}{\sqrt{5}}$. Si troverà dunque x cercando il numero che nella tavola corrisponde a $f(x) = \frac{a}{\sqrt{5}}$, ossia la funzione inversa che abbiamo rappresentata con $f\left[\frac{a}{\sqrt{5}}\right]$, e moltiplicando questo numero per $\sqrt{5}$ si avrà il valore di p; l'altra radice poi sarà = a - p.

Sia per un esempio $a = \frac{6}{7}$, b = 4, sarà $f(x) = \frac{a}{\sqrt{b}} = 0,428571$, a cui corrisponde nella tavola x = 1,236987. Di qui si deduce la radice cercata $p = x \sqrt{b} = 2,473974$.

Se il coefficiente a fosse positivo, invece della funzione f si farebbe uso della funzione φ .

- 19. Si osserverà senza dubbio che questo processo non dispensa al calcolo d'una radice quadrata, e che perciò non presenta un deciso vantaggio sulla soluzione diretta. Ma noi l'abbiamo qui esposto al solo intento di mostrare che quando fossero costrutte le necessarie tavole, sarebbe preferibile al processo trigonometrico del Cagnoli. Questa dichiarazione vale anche per la soluzione delle equazione di terzo grado che passiamo ad esporre.
- 20. Sia data a risolvere l'equazione cubica mancante del secondo termine $p^2 + ap = b$; facciasi $p = q\sqrt{\frac{a}{3}}$, sarà $q^3(\frac{a}{3})^{\frac{1}{2}} + a\sqrt{\frac{a}{3}}q = b$, ossia $q^3 + 3q = {3 \choose a}^{\frac{1}{2}}b$.

Paragonando quest' equazione coll' altra, trovata al Nro. 4, $f^{2}(x) + 3 f(x) = f(x^{2})$, si vede subito che devesi cercare nella tavola della funzione f(x) quel valore di x che corrisponde ad $f(x) = \left(\frac{3}{a}\right)^{\frac{1}{2}}b$. Questo valore sarà realmente quello di x^{2} , onde estraendo la radice terza si avrà quello di x e successivamente q = f(x) e $p = q \sqrt{\frac{a}{2}}$.

21. Sia data, per un caso particolare, l'equazione $p^3 + \frac{3}{4}p = \frac{1}{19}$, fatto $p = \frac{q}{2}$, verrà trasformata in $q^3 + 3q = 0.421053$. Cercando nella tavola di f(x) il valore di x che corrisponde a questo numero, si trova la cifra 1,232446 che rappresenta x^3 . Estraendo la radice terza si ha x = 1.072151, a cui corrisponde nella tavola f(x) = q = 0.139445, d'onde si deduce finalmente $p = \frac{q}{2} = 0.069725$.

Se si fossero cercate le funzioni f nella parte della tavola che corrisponde agli argomenti negativi, si sarebbe trovato, per f(x) = 0.421053, $x^3 = -0.811394$, x = -0.932705, ma per f(x) sarebbe risultato lo stesso valore 0.139445. L'equazione ha inoltre altre due radici immaginarie.

Qui noteremo che nel caso particolare dell'equazione cubica la quale dà l'anomalia vera nel moto parabolico delle comete in funzione del tempo, si risparmia la sostituzione di $q\sqrt{\frac{a}{3}}$ a p, essendo essa già della forma $p^2+3p=b$.

22. Quando nell'equazione da risolversi il coefficiente a è negativo, si farà uso della formula $\varphi^s(x) - 3\varphi(x) = \varphi(x^s)$ trovata nel Nro. 4, e si opererà come nel caso precedente. É però da avvertirsi che la funzione $\varphi(x)$, come si è detto al Nro. 15, non potendo mai esser minore di ± 2 , essa non può più servire alla soluzione dell' equazione quando $\left(\frac{3}{a}\right)^{\frac{3}{2}}b < 2$. È poi facile riconoscere che allora l'equazione proposta cade appunto nel caso irreduttibile.

23. Il metodo trigonometrico, oltre al valere anche per questo caso, sembra avere sul nostro il vantaggio di richiedere la trisezione d'un numero in luogo dell'estrazione d'una radice terza; ma da questo lato sarebbero pareggiate le partite quando in vece d'una tavola delle funzioni $f \in \varphi$ si costruissero quelle dei loro logaritmi, come si è fatto pei seni e coseni. Del resto (se non fosse una vista d'economia di mezzi che consiglia di servirsi di tavole già costrutte e che servono al tempo stesso ad altri usi) potendosi, come si è veduto, un equazione generale di terzo grado mancante del secondo termine ridurre ad un'altra che abbia per coefficiente del terzo termine un numero determinato, per esempio \pm 3, le suddette equazioni si protrebbero risolver tutte, senza un giro d'operazioni, con due tavole, inverse per rispetto ai valori delle radici della data equazione, le quali dassero immediatamente quelli delle due funzioni q^2 —3q e q^3+3q .

24. Dalla considerazione delle funzioni f(x), $\varphi(x)$ si passa facilmente a quella dei seni e coseni iperbolici trattati per la prima volta e ridotti in tavole dal celebre Lambert, nell'opera Beiträge zum Gebrauche der Mathematik. Basta supporre che nelle prime in vece della quantità x si sia preso per argomento il logaritmo iperbolico di x che indicheremo con y. Si ha allora $x = e^y$, e

quidin $\frac{1}{2}f(x) = \frac{e^x - e^{-x}}{2}$, $\frac{1}{2}\varphi(x) = \frac{e^x + e^{-x}}{2}$. Il valente calcolatore Gudermann di Cleves in una Dissertazione inserita nel "Giornale di Crelle" ha più estesamente trattato di queste, ch'egli chiama Potential-Functionen, e ne ha date delle ampie tavole. Finalmente di queste medesime funzioni ha recentemente trattato il Prof. Mossotti in un articolo inserito nel fascicolo di ottobre dell'anno 1851 del giornale che si pubblica a Roma dal Sig. Tortol i ni.

I seni e coseni iperbolici ossia le Funzioni potenziali si cambiano, come è noto, in seni e coseni circolari quando lo variabile y è della forma $h\sqrt{-1}$. Si rileva da ciò che, per progredire gradatamente nell'istruzione analitica, si sarebbe dovuto cominciare dalla considerazione delle funzioni che abbiamo disegnate sotto i simboli f e φ , indi passare ai seni e coseni iperbolici e da questi ai seni e coseni circolari; ma la stretta relazione che questi ultimi hanno colla geometria è stata cagione che si venisse alla loro trattazione senza seguire una via progressiva.

25. Esamineremo ora la natura delle curve che hanno per equazione $z = x - \frac{1}{x}$, $z = x + \frac{1}{x}$ e le relazioni che fra esse sustistono.

Sia AB l'asse delle ascisse comune ad entrambe, DE quello delle ordinate, Cn = CN la linea che si prende per unità; la curva che rappresenta la prima delle succenate equazioni avrà i due rami fnf', FNF e taglierà l'asse delle ascisse nei punti n ed N. L'asse delle ordinate sarà un assintoto dei due rami, e l'altro assintoto sarà una retta \mathcal{C} Il inclinata al primo di 45° . Infatti l'ordinata PII della retta, corrispondente all'ascissa CP = x è evidentemente eguale ad x, dunque la distanza MII sarà eguale a $-\frac{1}{x}$, e diverrà nulla quando $x = \infty$. E siccome l'equazione proposta è di secondo grado, la curva da essa rappresentata sarà necessariamente un' Iperbola, il cui asse sarà inclinato a quello delle ascisse di 22° 30'.

26. Le coordinate dei vertici v, V dell'iperbola si avranno facendo z=x tang 22° 30′, ossia $x-\frac{1}{x}=x$ ($\sqrt[4]{2-1}$), dalla quale equazione si deduce l'ascissa $x=\frac{1}{\sqrt[4]{2}}$, el'ordinata $z=\frac{1-\sqrt{2}}{\sqrt[4]{2}}$. Le distanze poi dei vertici suddetti dall'origine delle coordinate, ossia i semmiassi maggiori Cv=CV, saranno $=\sqrt{x^2+y^2}=\sqrt{2(\sqrt{2}-1)}$.

Sia l'ascissa CII (presa sull'assintoto $\mathfrak{S}(CII) = t$ e l'ordinata IIM parallela all'altro assintoto = u, si avrà, per ciò che si è detto, $u = -\frac{1}{x}$, ed essendo $t = x\sqrt{2}$, verrà l'equazione $tu = -\sqrt{2}$.

27. Gli stessi processi applicati ai rami $\varphi \varphi^1 \Phi \Phi^1$ dell'altra iperbola rappresentata dall'equazione $\varphi(x)=z$, ci fanno conoscere che gli assintoti sono i medesimi della curva già considerata, cioè l'asse delle ordinate ed una retta ad esso inclinata di 45°.

Le ordinate dei vertici si hanno ponendo $x+\frac{1}{x}=x tang$ 67°30′ = x ($\sqrt{2}+1$), onde risulta $x=\frac{1}{\sqrt[3]{2}}$. Si vede adunque che i vertici delle due iperbole hanno le medesime ascisse. L'ordinata z sarà = $\frac{1+\sqrt[3]{2}}{\sqrt[3]{2}}$, e quindi la reciproca distanza dei vertici = $2\sqrt[3]{2}$. Finalmente il semiasse maggiore risulterà = $\sqrt{2(\sqrt{2}+1)}$.

L'equazione riferita agli assintoti sarà per la secondo curva, $tu = + \sqrt{2}$, onde si vede che nelle due curve l'asse delle ascisse preso sull' assintoto essendo il medesimo, le ordinate riescono eguali ma di segno contrario.

Frammento della Tavola.

æ	f (x)	differ.	φ (x)	differ.
1.060	0.116604	+ 1889	2 · 003396	+111
1 · 061	0.118493	1887	2.003507	113
1.062	0.120380	1886	2 · 003620	114
1.063	0 · 122266	1884	2 · 003734	116
1 · 064	0 · 124150	1883	2·053850	117
1 - 065	0 · 126033	1881	2 · 003967	119
1.066	0-127914	1879	2.004086	121
1.067	0 · 129793	1877	2.004207	123
1.068	0 · 131670	1876	2.004330	124
1 · 069	0 · 133546	1875	2.004454	125
1-070	0-185421	1872	2 · 004579	128
1.071	0.137293	1871	2 · 004707	129
1.072	0-139164	1870	2 · 004836	130
1.073	0-141034	1867	2 · 004966	133
1 · 074	0 · 142901	1866	2.005099	134
1 · 075	0 · 144767	1865	2 · 005233	135
1 · 076	0 · 146632	1863	2 · 005368	137
1.077	0 148495	1861	2.005505	139
1.078	0 · 150356	1860	2·005644	. 140
1.079	0 · 152216	1858	2.005784	142
1.080	0.154074	1857	2.005926	143
1 · 081	0.155931	1855	2.006069	145
1.082	0.157786	1853	2.006214	147
1.083	0.159639	1852	2 · 006361	148
1 · 084	0·161491	1850	2.006509	150
1.085	0 · 163341	1849	2.006659	151
1.086	0 · 165190	1847	2 006 810	153
1 • 087	0 · 167037	1845	2.006963	155
1.068	0.168882	1844	2.007118	156
1 • 069	0 · 170726	1843	2.007274	157
1.090	0 · 172569		2.007431	

x	f (x)	differ.	φ (x)	differ.
1.090	0 · 172569	+ 1841	2.007431	+ 159
1 · 091	0.174410	1839	2.007590	161
1 · 092	0.176249	1838	2 · 007751	162
1.093	0 · 178087	1836	2.007913	164
1 · 094	0 · 179923	1835	2.008077	165
1 · 095	0 · 181758	1833	2.008242	107
1.096	0 · 183591	1832	2.008409	168
1.097	0.185423	1830	2 · 08577	170
1 · 098	0·189082	1829	2 · 008747	171
1 · 099	0.189082	1827	2·008918	173
1.100	0.190909	1826	2 · 009091	174
1 · 101	0 · 192735	1824	2 · 009265	176
1 · 102	0 · 194559	1823	2.009441	177
1 · 103	0 196382	1821	2.009618	179
1 · 104	0 · 198203	1820	2.009797	180
1.105	0.200023	1818	2 · 009977	182
1 · 106	0.201841	1817	2 · 010159	183
1 · 107	0 · 203658	1815	2.010342	185
1 · 108	0 · 205473	1814	2 · 010527	186
1 · 109	0.207287	1812	2.010713	188
1 · 110	0 · 209099	1811	2 · 010901	189
1-111	0.210910	1809	2.011090	191
1 · 112	0.212719	1808	2.011281	192
1 · 113	0.214527	1807	2.011473	193
1-114	0 · 216334	1805	2.011666	195
1 · 115	0.218139	1804	2.011861	196
1 · 116	0.219943	1802	2 · 012057	198
i · 1 17	0.221745	1801	2 · 012255	199
1 · 118	0.223546	1799	2 · 012454	201
1 · 119	0 · 225345	1798	2.012655	202
1 · 120	0 · 227143		2.012857	

x	f (x)	differ.	φ (x)	differ.
			7 (-)	
1 · 120	0.227143	+ 1796	2.012857	+ 204
1 · 121	0 · 228939	1795	2.013061	205
1 · 122	0 · 230734	1794	2.013266	206
1 · 123	0 · 232528	1792	2.013472	208
1-124	0.234320	1791	2.013680	209
1 · 125	0-236111	1789	2.013889	210
1 · 126	0.237900	1788	2.014099	212
1 · 127	0 · 239688	1787	2.014311	214
1 · 128	0.241475	1785	2.014525	215
1 · 129	0 · 243260	1784	2.014740	216
1 · 130	0.245044	1783	2.014956	217
1-131	0.246827	1781	2.015173	219
1 · 132	0.248608	1779	2.015392	221
1.133	0.250387	1779	2.015613	221
1 · 134	0 252166	1777	2.015834	223
1 · 135	0 · 253943	1776	2.016057	225
1 · 136	0 · 255719	1774	2.016282	226
1 · 137	0.257493	1773	2.016508	227
1 · 138	0.259266	1771	2.016735	228
1 · 139	0-261037	1770	2 016963	23 0
1-140	0 · 262807	1769	2.017193	231
1-141	0-264576	1767	2 017424	233
1 · 142	0.266343	1766	2.017657	234
1 · 143	0.268109	1765	2.017891	235
1-144	0 · 169874	1763	2.018126	236
1 - 145	0.271637	1762	2 · 018362	238
1 · 146	0 · 273399	1761	2.018600	239
1 · 147	0.275160	1760	2.018839	241
1 · 148	0.276920	1758	2.019080	242
1 - 149	0 · 278678	1757	2.019322	243
1-150	0 · 280435		2.019565	

x	f (x)	differ.	φ (x)	differ.
1.150	0 · 280435	+ 1755	2 · 019565	+ 245
1 - 151	0.282190	1754	2-019810	246
1 · 152	0.283944	1753	2 · 020056	247
1.153	0 · 285697	1752	2 · 020303	248
1.154	0.287449	1750	2-020551	250
1 · 155	0 · 289199	1749	2 · 020801	251
1 · 156	0.290948	1748	2.021052	252
1 · 157	0 · 292696	1746	2.021304	254
1 · 158	0.294442	1745	2.021558	255
1 · 159	0 · 296187	1744	2.021813	256
1 · 160	0 · 297931	1743	2.022069	257
1 · 161	0.299674	1741	2.022326	259
1 · 162	0.301415	1740	2 · 022585	260
1 · 163	0.303155	1738	2 · 022845	262
1 · 164	0.304893	1738	2 · 023107	262
1 · 165	0.306631	1736	2 · 023369	264
1 · 166	0 · 308367	1735	2 · 023633	265
1 · 167	0.310102	1734	2 · 023898	266
1 · 168	0.311836	1732	2 · 024164	268
1 · 169	0.313568	1731	2 · 024432	269
1 · 170	0.315299	1730	2 · 024701	270
1 · 171	0.317029	1729	2.024971	271
1 · 172	0.318758	1727	2 · 025242	273
1 · 173	0.320485	1726	2 · 025515	274
1 · 174	0.322211	1725	2 · 025789	275
1 · 175	0 · 323936	1724	2.026064	276
1 · 176	0.325660	1722	2 · 026340	278
1.177	0.327382	1722	2.026618	278
1.178	0.329104	1720	2.026896	280
1 · 179	0 · 330824	1718	2.027176	282
1.180	0.332542		2.027458	

#	f (2)	differ.	9 (x)	differ.
1 · 180	0.332842	+ 1718	2-627458	+ 282
1 · 181	0.334260	1716	2.027740	284
1 · 182	0 · 335976	1716	2-028024	284
1 · 183	0.337692	1714	2.028308	286
1.184	0.339406	1712	2 · 028594	288 1
1 · 185	0-341118	1712	2.028882	288
1 · 186	0·342830	1710	2.020170	29 0°
1 · 187	0.344540	1709	2.029460	291
1.188	0.346249	1708	2-029781	292
1 · 189	0 · 347957	1707	3-030043	29 3·
1 · 190	0.349684	1760	2·030336	294
1 · 191	0.351370	1/704	2-030630	296·
i · 192	0.333074	1703	2-030926	297
1 · 193	0.384777	1702	2.031223	29 8 ^j
1-194	0.356479	1701	2.031521	299
i · 195	0.388180	1700	3·031820	300
1 • 196	0.369680	1698	2·03/21/20	302
1 · 197	0.361578	1698	2.032422	302
1 · 198	0.383276	1696	Z·032724	304
1 · 199	0-364972	1695	2.633928	3 05
1 • 200	0.366667	1694	2.033333	306
1 . 201	0.368361	1692	2 · 093639	308
1 · 202	0.370063	1692	2.033947	30 8 [,]
1 · 203	0.376745	1690	2.034255	310 [.]
1 · 204	0 · 373485	1689	2 · 034565	311
1 · 205	0 · 375124	1688	2.034876	312
1 · 206	0.376812	1687	2-035168	313
1 · 207	0.378499	1686	2 · 035501	314
1 · 208	0.380188	1685	2.035815	315·
1 · 209	0 · 381870	1684	2.036130	346·
1 · 210	0-389554		2-036446	

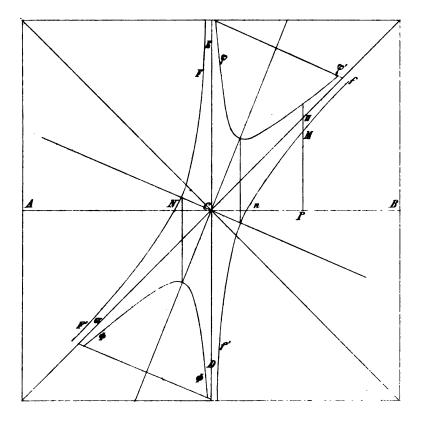
		 		
æ	f (x)	differ.	φ (x)	differ.
1 · 210	0.383554	+ 1682	2.036446	+ 318
1 · 211	0.385236	1682	2 · 036764	318
1 · 212	0.386918	1680	2 · 037082	320
1 · 213	0.388\$98	1679	2 · 037402	321
1 · 214	0 · 390277	1678	2.037723	322
1 · 215	0.391955	1677	2 · 038045	323
1 · 216	0 · 393632	1675	2 · 038368	325
1 · 217	0.395307	1675	2 · 038693	325
1 · 218	0.396982	1673	2 · 039018	327
1 · 219	0 · 398655	1673	2 · 039345	327
1 · 220	0.400328	1671	2 · 039672	329
1 · 221	0-401999	1671	2.040001	329
1 · 222	0 · 403670	1669	2 · 040330	331
1 · 223	0.405339	1668	2 · 040661	332
1 · 224	0.407007	1666	2.040993	334
1 · 225	0.408673	1666	2.041327	334
1 · 226	0.410339	1665	2.041661	335
1 · 227	0.412004	1664	2 · 041996	336
1 · 228	0.413668	1662	2 · 042332	33 8
1 · 229	0.415330	1662	2 · 042670	338
1 · 230	0 · 416992	1660	2.043008	34 0
1 · 231	0.418652	1660	2 · 043348	34 0
1 · 232	0 · 420312	1658	2 · 043688	342
1 · 233	0 · 421970	1657	2 · 044030	343
1 · 234	0 · 423627	1656	2 · 044373	344
1 · 235	0.425283	1655	2.044717	345
1 · 236	0.426938	1654	2 · 045062	346
1 · 237	0.428592	1653	2 · 045408	347
1 · 238	0.430245	1652	2 · 045755	34 8
1 · 239	0.431897	1651	2·046103	349
1 · 240	0· 43354 8		2.046452	

x	f (x)	differ.	9 (x)	differ.
1 · 240	0.433548	+ 1650	2.046452	+ 350
1 · 241	0 · 435198	1649	2.046802	351
1 · 242	0 · 436847	1648	2.047153	352
1 · 24 3	0 · 438495	1647	2 · 047505	353
1.244	0.440142	1645	2.047858	355
1 · 245	0-441787	1645	2.048213	355
1 · 246	0.443432	1643	2 · 048568	357
1 · 247	0 · 445075	1643	2 · 048925	357
1 • 248	0.446718	1641	2.049282	359
1 • 249	0 · 448359	1641	2 · 049641	359
1 · 250	0.450000	164 0	2 · 050000	36 0
1 · 251	0.451640	1638	2.050360	362
1 · 252	0 · 453278	1637	2.050722	363
1 · 253	0.454915	1637	2.051085	363
1 · 254	0 · 456552	1635	2·051448	365
1 · 255	0.458187	1635	2.051813	365
1 · 256	0-459822	1633	2.052178	367
1 · 257	0 · 461455	1632	2.052545	368
1 · 258	0 - 463087	1632	2.052913	36 8
1 · 259	0-464719	1630	2.053281	370
1 · 260	0.466349	1630	2 · 053651	370
1 · 261	0-467979	1628	2 · 654021	372
1 · 262	0 · 469607	1627	2 · 054393	373
1 · 263	0 · 471234	1627	2 · 65 4766	373
1 · 264	0-472861	1625	2 · 055139	375
1 · 265	0.474486	1625	2-055514	375
1 · 266	0-476111	1623	2.055889	377
1 · 267	0.477734	1622	2.056266	378·
1.268	0 · 479356	1622	2.056644	378
1 · 269	0.480978	1620	2.057022	380
1 · 270	0.482598		2 · 057402	

374 Carlini. Sulle proprietà delle funzioni algebriche conjugate.

æ	f (x)	differ.	φ (x)	differ.
1 · 270	0.482598	+ 1620	2.057402	+ 380
1.271	0.484218	1618	2.057782	262
1 · 272	0.485836	1618	2.058164	262
1 · 273	0.487454	1617	2.058546	383
1 · 274	0.489071	1615	2.058929	285
1.275	0 · 490686	1615	2.059314	365
1 · 276	0.492301	1614	2.029699	386
1.277	0.493915	1612	2.060085	268
1 · 278	0 · 495527	1612	2.060478	36 8
1 · 279	0.497139	1611	2.000861	289
1.260	0-498750	1610	2.061250	390
1.281	0.800360	1609	2.061640	391
1 · 282	0.801969	1608	2.062031	392
1.283	0.803577	1607	2.062423	303
1.284	0.808184	1606	2.062816	394
1 · 285	0-106790	1605	2.063210	395
1 · 286	0.518895	1604	2.063605	396
1 · 287	0.209999	1604	2-064001	396
1 · 288	0.501603	1602	2 · 064397	398
1 - 289	0 - 513205	1601	2 · 064795	399
1.290	0-514806	1601	2.965194	399
1 · 291	0.516407	1599	2.065593	401
1 · 292	0.218006	1599	2.065994	401
1 · 203	0.219602	1597	2.066398	403
1 · 294	0.\$21202	1597	2.066798	403
1 · 2 95	0 · 522799	1596	2-067201	404
1 · 296	0 - 524395	1595	2.067605	405
1 · 297	0.225990	1594	2.068010	406
1· 29 8	0.527584	1593	2.068416	407
1 • 299	0.529177	1592	2 · 068823	408
1 · 300	0-530769		2 · 069231	

Carlini. Sulle proprietà delle funzioni algebriche coniugate.



lan d. k. k. Naf- n. Maatodreckerei.

Sitzungub. d. k. Akad. d. W. math. naturw. Cl. XIII Bd.2 Heft. 1854.

. .

.

Die Bildung der Wirbel- und Extremitätsknochen. Von Prof. Engel in Prag.

(Mit II Tafeln.)

(Vorgelegt in der Sitzung vom 22. Juni 1854.)

Die Untersuchung der Knochenentwickelung hat etwas ungemein Anziehendes. Die starren und regelmässigen Formen, die scharfen Begrenzungsflächen, die verhältnissmässig frühzeitige Ausbildung erleichtern das Studium einerseits, andererseits stellen sie die Entwickelungsschemen in prägnanterer Weise dar und sind daher vor Allem geeignet, den bisher eingehaltenen Gang der Beobachtung so wie das von mir nachgewiesene Entwickelungsprincip noch fester zu begründen.

Nicht die histologische Entwickelung der Knochen, von der bereits in einer früheren Abhandlung die Rede war, sondern die Bildung und Umformung ganzer Knochen und Skeletabschnitte wird der Gegenstand der nachfolgenden Darstellung sein; ich glaube mit der Entwickelung der Wirbelsäule beginnen zu sollen, weil sich diese Untersuchung an meine frühere über die Bildung der Schädelknochen am natürlichsten anschliesst. Ich werde mit der Entwickelung des Kreuzbeines heginnen.

Untersucht man das Kreuzbeinblastem eines zarten Schwein-Embryos, wenn die verschiedenen Theile desselben sich von einander abzuscheiden und abzugrenzen beginnen, so gewährt die vordere Fläche das in der ersten Figur dargestellte Bild. An demselben lässt sich die Entwickelung in der Richtung von unten nach oben ganz deutlich verfolgen.

Zum Behufe der Erklärung denke man sich eine Reihe hinter (oder über) einander liegender Blasteme (Figur 2), die ihre ursprünglich kugelförmige Gestalt durch eine leichte Abplattung der Berührungsstellen verändert haben. Das Blastem 1 spaltet sich nun zuerst der Länge nach in zwei gleiche und symmetrische Hälften, wodurch das Blastem 2 (Fig. 2) entsteht. Dasselbe entwickelt ferner zwei neben einander liegende Keime und erhält dadurch die Form 3 (derselben Figur). Indem sich diese anfangs getrennten Keime wieder mit einander verbinden, entsteht die Form 4 (derselben Figur) und nach abermaliger Furchung der beiden neben einander liegenden

Blasteme die Form 5. Von den so entstandenen vier, neben einander liegenden Blastemen verschmelzen wieder die beiden innersten, sich unmittelbar berührenden Blastemschichten und so entsteht die Form 1 der dritten Figur, welche endlich nach dem Verschwinden der letzten Andeutung einer peripheren Schichtenbildung in die Form 2 (Fig. 3) übergeht. Das Blastemstück c, d, e, f dieser Figur übergeht am raschesten in Verknorpelung und Verknöcherung, es stellt einen Wirbelkörper von seiner vorderen Fläche aus gesehen dar; das Stück a, b, c, d einer planconvexen Linse ähnlich, verschmilzt mit dem gleichnamigen Stücke des überliegenden Wirbelblastems und entwickelt sich an den Brust- und Lendenwirbeln zum Ligamentum intervertebrale, welches somit anfänglich die Gestalt einer biconvexen Linse (Blastem 4, Fig. 3) darbietet. An dem Os sacrum bleibt diese Blastemschicht a, b, c, d noch lange knorpelig, wenn der Wirbelkörper längst verknöchert ist, und verknöchert erst später.

Isolirt man daher in dieser Entwickelungsperiode das Blastem des Wirbelkörpers (was nicht mit grossen Schwierigkeiten verbunden ist), so erhält man die Figur 4. Hier scheinen die Wirbelkörper A aus zwei seitlichen Hälften zu bestehen. Die Ligamenta intervertebralia B zerfallen durch einen Druck leicht in eine obere und untere Hälfte. Diese, jeden Bildungsact begleitende Furchung verleitete zur Annahme, dass die Wirbelkörper wirklich aus zwei Hälften entstünden, die erst später zusammenwüchsen, und man glaubte hieraus die angeborenen Spaltbildungen der Wirbelkörper erklären zu können. Aber diese Spaltbildungen beruhen auf einer wirklichen Trennung in zwei Hälften, wozu die Furchung zwar disponirt, der Anlass dazu muss aber erst anderweitig gegeben werden.

Wie die Kreuzwirbel, so entwickeln sich auch die übrigen Wirbelkörper und ich habe das Kreuzbeinblastem nur desswegen besonders gewählt, weil der Entwickelungsgang hier am leichtesten stufenweise zu verfolgen ist. Querdurchschnitte durch Wirbel habe ich bereits in meinen früheren Abhandlungen gegeben.

Bald nach dieser ersten Bildung erfolgt in dem noch übrig gebliebenen Blastem (C, Fig. 3) eine neue, quer oder horizontal verlaufende Furchung und so entsteht die Figur 5. Hier übergeht die Furchungsmasse 1 in die Keimbildung 2, und ans dieser entsteht durch Verschwinden der ursprünglichen und ersten Furchungslinie die Form 3. Mittlerweile hat sich aber das Blastem der Wirbelkörper A

(Fig. 5) über die übrige Blastemmasse C emporgehoben und ein Querschnitt durch den Wirbel bietet die in der 6. Figur wiedergegebene Gestalt wo A und C die eben angegebene Bedeutung haben.

Die in der 5. Figur bei 3 angegebene Querfurchung des Wirbelblastems gehört eigentlich den Seitenmassen desselben an, und es wird daher nothwendig, das Wirbelblastem von der Seite zu untersuchen. Es sei in der 7. Figur das Blastem mehrerer Wirbel in der Seitenansicht dargestellt. Es sind wieder kuglige Massen, die sich an den Berührungsstellen abgeplattet zeigen. Der Winkel a. an welchem zwei dieser Massen zusammenstossen, ist gleichfalls mit einer Lage plastischer Masse vollgefüllt. Durch die oben beschriebene senkrechte Furchung ist eine vordere, kleinere Hälfte A — das Blastem des künftigen Wirbelkörpers — und eine hintere grössere Abtheilung Centstanden, dessen äussere Lagen nun untersucht werden sollen. Durch eine in dem hinteren Blasteme C erfolgende Quertheilung bildet sich (2, Fig. 7) eine nach rückwärts weit geöffnete Furche m, n, o; das in dieser Furche abgelagerte Blastem verschmilzt rasch mit dem Blasteme des Wirbelkörpers A, verknorpelt, verknöchert und bildet den grössten Theil des Wirbelbogens. Zugleich ist in dem Raume a eine rundliche Blastemmasse entstanden, welche aber bald die Form dieses Raumes annimmt, demnach eine ungleich dreiseitige Form mit abgestumpften Ecken bildet. Auch dieses Blastem verknorpelt, verknöchert und bildet später den Processus spinosus der Wirbel. Das in dem vorderen Winkel bei a' liegende Blastem dient zur Verbreiterung des Ligamentum intervertebrale. Indem nun allmählich die noch übrigen nicht weiter verwendbaren Furchungsmulden verschwinden, erscheint die Wirbelsäule in der in der 8. Figur abgebildeten Gestalt. Man findet hier bei A die Seitenansicht des Wirbelkörpers; zwei über einander liegende Wirbel sieht man durch das Ligamentum intervertebrale a' von einander getrennt; m, n, o ist der Bogen des Wirbels, an dem sich der Processus transversus a ansetzt. Das in dem Raume C befindliche Blastem wird zur weichen Ausfüllungsmasse (der Muskel-Nerven, Fasermasse u. s. w.), welche man zwischen je 2 Wirbelbogen findet. - Nach der verschiedenen Region, in der man die künftigen Wirbel untersucht, sind denn auch die ursprünglichen Formen der Räume a, und mithin auch der Dornfortsatzblasteme verschieden, es hängt dies einerseits mit der Höhe, andererseits mit der Grössendifferenz zweier unmittelbar auf einander

folgender Wirbelblasteme zusammen. Die 8. Figur enthält eine Darstellung der Brustwirbel.

Das ursprüngliche Verhältniss zwischen den Bogenschenkeln m, n, o und dem zwischenliegenden Raume C ändert sich bald, und der letztgenannte Raum wird auf das bescheidene Mass reducirt, in dem wir ihn bei ausgetragenen Früchten finden.

Frühzeitig verwachsen auch die Bogenschenkel m, n, o mit dem Processus spinosus a, und bei Neugeborenen ist diese Verwachsung fast immer schon vollendet. Ebenso verwachsen auch die seitlichen Keime a der Processus spinosi unter einander, denn der Erfahrung zufolge sind 2 Keime für jeden derselben — einer an jeder Seite — vorhanden, die übrigens durch Furchung eines einfachen ursprünglich rundlichen Blastemes entstanden sind, und sonach nicht eigentlich zwei getrennte Keime, sondern zwei eine Zeitlang von einander geschiedene Hälften eines Keimes darstellen.

Entwickelt sich eine Spina bifda, so werden in der Regel diese zusammengehörigen Hälften auch wirklich getrennt; zugleich werden die Bogenschenkel der Wirbel aus ihrer Lage gerückt und sie verlaufen meistens in der verlängerten Richtung der hinteren Fläche der Wirbelkörper, mit der sie eigentlich einen rechten Winkel bilden sollten. Es entsteht daher das in der 9. Figur dargestellte Bild. Dies zeigt die hintere Fläche der Wirbelsäule eines Monstrums mit Hemicephalie und totaler Spina bifida. Man sieht hier bei A den Körper der Wirbel von seiner hinteren Fläche, m, n, o ist der aus seiner Lage gerückte Bogenschenkel, a die Hälfte eines Processus spinosus, welche entweder mit dem Bogenschenkel schon verwachsen, oder auch noch von demselben getrennt ist.

Nimmt man nun einen Querschnitt durch das ganze Blastem der Rumpfsäule, so nimmt er die unter 10 abgebildete Gestalt an. Man sieht hier bei A den stark nach vorne protuberirenden Wirbelkörper; bei C die Blasteme der Wirbelkörper, welche in der Entwickelungsgeschichte unter dem Namen der Rückenkämme bekannt sind; D sind die sogenannten Rückenplättchen, welche frühzeitig eine bedeutende Grösse erreichen, später in der Entwickelung zurückbleiben, von den anderen Theilen rasch überholt werden und dann zur bescheidenen Grösse der Processus transversi, in welche sie sich umgestalten, herabgehen; der Zwischenraum E wird zur Musculatur an der hinteren Fläche der Wirbelbogen und Körper; durch eine abermalige Theilung

entstehen hier 2 Muskelstrata (E' und E', Figur 11) zwischen denen noch ein drittes innerstes und kleinstes sich hineinschiebt; das Blastem F bildet das Rückenmark; hinter diesem befindet sich eine kleine Hervorragung, welche die Blasteme der Dornfortsätze aufzunehmen bestimmt ist, die übrigens, da sie in eine tiefere Ebene fallen, hier nicht weiter verzeichnet sind.

An dem Körper der Wirbel sowohl als auch an den sogenannten Rückenplättchen sieht man übrigens bei weiterer Grössenzunahme, wie ich dies auch schon in meiner früheren Abhandlung gezeigt habe, concentrische Ringe oder Lagen, ein Beweis, dass auch hier die Entwickelung von aussen nach innen erfolgt und immer mit einer dem bekannten Gesetze entsprechenden Schichtenbildung vor sich geht. Es sei nun die 12. Figur eine Seitenansicht mehrerer über einander liegender Blasteme von Wirbelkörpern mit den dazwischen liegenden Zwischenwirbelbändern. Es bilde sich nun in der Masse 1 eine senkrechte Spaltung mit nach unten von einander abstehenden Flächen; auf diese folge (Masse 2) eine transversale Spaltung; so entsteht in der Mitte eines Wirbelblastemes ein in mehrere strahlenartige Fortsätze auslaufender Raum m. der nach Abrundung seiner Ecken die Form m (Masse 3) erhält; verschwinden nun die noch übrigen Theilungsfurchen, so entsteht der Körper m, Masse 4, und dies ist der erste Verknöcherungspunkt. Ich habe diese Form des Verknöcherungspunktes bei Schaf-Embryonen unzählige Male beobachtet. Daneben kommen übrigens auch rundliche Verknöcherungspunkte vor, deren Erklärung aus den verschiedenartigen Furchungen noch weniger Schwierigkeiten unterliegen wird. Ich werde bald an anderen Beispielen zeigen können, das die ersten Verknöcherungspunkte an anderen Knochen eben so bestimmte Formen besitzen, die mit dem Furchungsprocesse im innigsten Zusammenhange stehen.

Übrigens vermehrt sich die Zahl der Verknöcherungspunkte sehr rasch; neue kreuzförmige Furchungen geben nämlich immer wieder zu Bildungen ähnlicher Räume Veranlassung und so sieht man die Menge der Verknöcherungspunkte überhaupt mit der weiteren Entwickelung zunehmen, so dass es zuletzt schwierig wird, die Anzahl derselben immer genau zu bestimmen.

Umgekehrt sind nun die Formen sowohl wie die Lagerungen der Verknöcherungspunkte zu benutzen, um auf die Richtung und Zahl der ursprünglichen Blastemfurchungen zu schliessen. Und ich glaube,

dies ist auch der praktische Vortheil meiner Entwickelungsgeschichte, dass man, nachdem einmal ein gewisses Bildungsgesetz erkannt ist, umgekehrt aus gegebenen Formen die Entwickelung ableiten kann, ohne gerade gezwungen zu sein, den Gang der Entwickelung Schritt für Schritt zu verfolgen.

Die in dem Raume (C Fig. 8) ursprünglich aus einer oberen und einer unteren Hälfte bestehende Blastemschicht furcht sich noch einmal, die Furchungsstelle wird zu einer rundlichen Öffnung und diese später zum Foramen intervertebrale.

Über die Bildung der Gelenksfortsätze habe ich keine Untersuchung angestellt.

Die Entwickelung des ersten und zweiten Halswirbels erfolgt in einer von dem bisher beschriebenen Gange abweichenden Art; diese soll in den folgenden Zeilen näher aus einander gesetzt werden; hierbei muss ich auf eine meiner früheren Figuren zurückgreifen.

In der 12.* Figur sei eine Ansicht des Kopfendes eines SchafFötus wiedergegeben, in der man bei 1, 2, 3 der Reihe nach das
Vorder-, Mittel- und Hinterhirn wahrnimmt; bei 4 bemerkt man das
kuglige Blastem des obersten Theiles der Rumpfsäule, in dessen
Innersten der oberste Theil des Rückenmarkes entsteht. Dies zur
vorläufigen Orientirung. Von m nach n und o sieht man die Knochenmasse der Schädelbasis verlaufen und namentlich stellt n, o, wie aus
meiner vorhergehenden Abhandlung bekannt ist, den Grundtheil des
Hinterhauptbeines dar. Ich werde im Folgenden blos die beiden
Blastemkugeln 3 und 4 betrachten. Sie sind in der 13. Figur mit
dem bereits entwickelten Basilartheile n, o des Hinterhauptbeines
dargestellt.

Die beiden Blastemkugeln 3 und 4 bilden dort wo sie zusammentressen eine ringsörmige, in einem senkrechten Durchschnitte dreiseitige Furche (p, Fig. 13), welche zur Aufnahme plastischer Masse bestimmt ist. Bald sieht man an senkrechten Längenschnitten des Schädels in dieser Furche ein elliptisches Blastem (p, Fig. 14) entwickelt, und ist dies der Durchschnitt des Blastems vom Körper des ersten Halswirbels. Indem dann das Blastem 4 durch eine senkrechte Furchung in eine vordere und hintere Hälste zerfällt (Fig. 14), trennt sich der Körper (A, Fig. 14) des zweiten Halswirbels von den übrigen Massen ab. Isolirt man ihn sammt dem Blasteme des ersten Halswirbels, so erhält man die 15. Durchschnittsfigur, in welcher die

Bezeichnung mit jener der vorausgegangenen Figur gleichbedeutend ist. Hier sieht man an dem Blasteme des 2. Halswirbels A einen oberen Theil a, den künftigen Zahnfortsatz, und einen unteren Theil b, den eigentlichen Körper des 2. Halswirbels.

Nimmt man eine Ansicht der beiden Blasteme 3 und 4 von der vorderen Seite des Fötus, so sind sie in der 16. Figur als senkrechter Querdurchschnitt zu sehen. In der ringförmigen Mulde zwischen beiden Blastemen sieht man wieder das Blastem p des ersten Halswirbels, während sich 4 mit den angrenzenden Blastemschichten in den Körper des 2. Halswirbels umwandelt. Isolirt man diese beiden Theile vom Blasteme 3 (Fig. 17), so hat man bei p den durchgeschnittenen 1. Halswirbel; A stellt den 2. Halswirbel dar, der an seinem oberen Ende den breiten und kurzen Zahnfortsatz b trägt, an dem die Trennung von Kopf und Hals noch nicht zu sehen ist. So weit habe ich die Entwickelung dieser Wirbel an Schaf-Embryonen verfolgt. — Eine Seitenansicht des 2. Halswirbels findet sich in der 18. Figur; eine Frontansicht des 1. Wirbels (gleichfalls von einem Schaf-Fötus) in der Figur 19. Sie hat die Form des ringförmigen Raumes p der Figur 16.

Die weitere Ausbildung der einzelnen Theile dieser Wirbel geht wieder mit Hülfe von Blastemfurchungen oder Theilungen vor sich. So sieht man Fig. 19 an der vorderen Hälfte des 1. Halswirbels deutlich genug eine Abtheilung in 3 Stücke, welche in den ersten Stadien der Entwickelung noch nicht zu erkennen waren; so zeigt ferner derselbe Halswirbel von seiner oberen Seite aus betrachtet (Fig. 20) ein Mittelstück und zwei seitliche Theile, welche letztere nach Art von entwickelten Keimen periphere und centrale Lagen deutlich von einander geschieden zeigen. So hat der Körper des 2. Halswirbels noch bei schon mehr entwickelten Schwein-Embryonen (Fig. 21) eine deutliche Abtheilung in zwei seitliche Hälften A und A', und auch die spätere Gestalt des Zahnfortsatzes dürfte in einer solchen Furchung begründet sein. Bei Schafen hat der Körper des 2. Halswirbels wieder eine andere Form (Fig. 22) und diese dürfte das Ergebniss einer longitudinalen und transversalen Furchung sein. Hier bleibt dem Detailstudium noch viele Arbeit überlassen und je mehr man in die Sache dringt, desto mehr überzeugt man sich über das Durchgreifen eines obersten Entwickelungsgesetzes und die mathematisch genaue Durchführung der Entwickelungsformen.

Über die Entwickelung der Rippen sowohl wie des Brustbeines habe ich wenig Beobachtungen gemacht; ich werde dieselben im Folgenden kurz erwähnen. Diese Entwickelung greift übrigens in die ersten Perioden des Fötuslebens zurück.

Es sei in der 23. Figur ein Querdurchsehnitt durch den Fötusleib dargestellt, der in die Mitte der künstigen Brustgegend fällt. Dieser Querdurchschnitt entsteht aus drei blasenähnlichen Keimen, A (dem Rumpfsäulekeim) nebst den Körperblasen B und B', die in der bekannten Weise mit einander verbunden und zugleich von einander getrennt sind. In den Wänden der Keime B und B' entstehen die Rippen sammt dem Brustbeine, an der aussersten Peripherie derselben die Muskel, die zu diesen Knochenstücken gehören. Der Raum nun, welcher von a nach b verläuft, gehört einem Blasteme an, welches genetisch von demjenigen verschieden ist, das von b nach c verläuft. Diese genetische Verschiedenheit spricht sich auch an der entwickelten Rippe durch Formverschiedenheiten aus und das Stück Blastem a, b wird zum hinteren Endstücke der Rippe, welches den Kopf, den Rippenhals bis zu dem Angulus costae enthält; das Stück b, c dagegen wird zum Mittelstück der Rippe. Demzufolge hat auch das hintere Endstück der Rippe eine nach innen keulenartig verdickte Form (man sehe ab, Fig. 24), aus der sich dann erst später durch eine transversale Furchung der Rippenkopf vom Halse ablöst. Von c nach d, Fig. 23, ist wieder eine von der übrigen Blastemschicht verschiedene Bildungsmasse, und diese entwickelt sich zum Brustbein.

Das Brustbeinblastem richtet sich, was die Form betrifft, ganz nach der Beschaffenheit des Muldenraumes cd, Fig. 23. Dieser ist aber der Querschnitt einer nach der Längenrichtung des Fötus verlaufenden kreuzförmigen Furche, welche in der 26. Figur bei m, n, o, p schematisch dargestellt ist. Das Brustbeinblastem A erscheint daher bei Schaf-Embryonen in der Form m, n, o, p, Fig. 25, und scheint sonach aus zwei nach unten divergirenden Hälften zu bestehen. Sein ursprüngliches Blastem ist ungetheilt; behufs der weiteren Ausbildung entsteht aber zuerst eine Längenfurchung, hierauf mehrere Querfurchungen, und so gewinnt es allerdings den Anschein, als entstände es aus 2 Hälften, die von den Seiten gegen die Mitte hin wachsen. In die Einzelheiten der Entwickelung und spätere Ausbildung werde ich zu einer anderen Zeit eingehen können.

Nun kann ich nicht umhin, den bisherigen praktisch dargestellten und beobachteten Fällen noch eine theoretische Erörterung beizufügen. Denkt man sich (Fig. 27) ein plattrundliches Blastem einer Furchung und bald darauf mehreren parallel laufenden Furchungen unterworfen (Fig. 28), so erscheinen, wenn die Furchungsmassen an den Berührungsstellen leicht abgeplattet gezeichnet werden, eine Reihe über und neben einander liegender Blasteme 1—7, von denen die Blasteme 2, 4, 6 in die Zwischenräume der sägeartig an den vorderen Rändern gestalteten Blasteme 1, 3, 5, 7 eingreifen (Fig. 29), und die Bildung aller sägeartig gestalteten und in einander greifenden Muskeln wäre hiermit auf's Einfachste erklärt, die etwaigen Abweichungen von der starren schematischen Form unterliegen keiner Schwierigkeit mehr. Das Ganze bedarf übrigens, ich wiederhole es erst der Bestätigung durch die Erfahrung.

Dagegen habe ich über die Entstehung anderer Muskel Beebachtungen gesammelt. Es sei die schematische Figur 30 die eines Säugethieres von der Rückenfläche aus gesehen; der Leib besteht hier noch aus zwei seitlichen blasenartigen Gebilden, die in der Mitte sich berühren und in der dadurch erzeugten Rinne das Rückenmarkund Hirnblastem aufnehmen; der vordere oder der obere Theil dieser Rinne (a, b, c, d, e) ist, soweit er von dem Hirn-Rückenmarksblasteme nicht erfüllt ist, mit einer ganz durchsichtigen und farblosen Blastemmasse gefüllt, welche jedoch bald Form erhält und in der Mitte einer Längenfurchung unterliegt. So entsteht die Figur a, b, c, d, e Fig. 31, und die ersten Umrisse des Cucullar-Muskels sind dadurch vorgezeichnet, seine Lage und seine Verhältnisse zu anderen Theilen damit genau gegeben. Ich werde bei mehreren Gelegenheiten noch auf die Muskelentwickelung zurückkommen.

Im Nachfolgenden werde ich mich mit der Entwickelung der Extremitäten im Ganzen sowohl wie auch der einzelnen Theile beschäftigen und ich beginne mit der Darstellung des Entwickelungsganges der oberen Extremität, mit der Schulter.

Die erste Form der oberen Extremität erscheint von der Seite aus gesehen als ein plattrundliches, in der Mitte anders als an der Peripherie gefärbtes Blastem (Fig. 32), das mithin bereits durch einen Furchungsprocess in einen Keim sich umgewandelt hat. Durch eine abermalige Furchung im Innern des Keimes entsteht die Figur 33 und hierdurch scheiden sich das Schulterblastem A von dem Extremitäten-

blasteme B; zwischen beiden entsteht ein kleines Blastem (C), das zur Entwickelung eines Muskels, wie unten gezeigt werden soll, bestimmt ist. Durch die Heranbildung dieses Blastems C werden die beiden unteren Enden der Blasteme' A und B von einander entfernt; der vordere Rand des Blastems A wird entweder geradlinig oder selbst concay; zugleich unterliegt das Blastem A einer abermaligen Furchung, wodurch zwei weitere Abtheilungen A' und A", Fig. 34, entstehen, worauf die bintere Abtheilung A' sich rasch vergrössert. so dass nun das ganze Blastem in der Form der Figur 35 erscheint. An Querschnitten, die nach der Linie a b, Fig. 35, geführt werden, sieht man bereits eine neue Theilung, Fig. 36, wodurch an dem vorderen Ende des Blastems A'' eine Mulde b entsteht, welche bald durch weitere Furchungen sich vergrössert. Das Blastem A zerfällt, Fig. 36. auf einem Querschnitte demnach in 3 Abtheilungen, eine aussere R, eine mittlere Schicht a, b, und eine innere dem Körper des Fötus anliegende Schicht R'. Durch eine weitere Furchung des Blastems Rsind nun (Fig. 37, ein Aufriss) zwei neue Blasteme R'' und R'''im ursprünglichen Schulterblasteme entstanden, zugleich hat sich der Raum b vergrössert. Er stösst an eine ähnliche Mulde m am Oberarmblasteme B, welches inzwischen durch eine Furchung in eine vordere und hintere Abtheilung B' und B'', so wie in eine dazwischen liegende Muldenmasse m, n zerfallen ist. Alle diese Furchungen sind aber äusserlich nur angedeutet, und nur im Innern tiefer greifend, so dass sie nur an Durchschnitten in ihrer ganzen Ausdehnung gesehen werden können und das Schulter-Oberarmblastem demnach von der äusseren Seite die Form der 38. Figur darbietet. Inzwischen haben die einzelnen Blastemmassen bereits eine Bedeutung erhalten. Das Blastem R'' (rechte Schulter, äussere Fläche) bildet den Obergrätenmuskel; das Blastem R''' den Untergrätenmuskel; das Blastem C, welches Schulterblatt und Oberarm zu verbinden scheint, wird zum langen Kopf des dreiköpfigen Armmuskels; das Blastem B" bildet die beiden anderen Köpfe dieses Muskels; das Blastem B' ist die vereinigte Muskelmasse an der vorderen Seite des Oberarmes.

Entfernt man nun die äussere Lage plastischer Masse R (Fig. 36), so kommt man auf das in der Furche a, b lagernde Blastem, welches das Blastem des eigentlichen Schulterblattes ist. Dieses Blastem hat in Folge der früher bemerkten weiteren Furchung die in der 37. Figur

angegebene Gestalt angenommen. Mittlerweile ist aber auch in der Mulde b ein rundliches Blastem entstanden, an das sich ein anderes Blastem anschliesst, das in der Furche verläuft, dessen Seitenansicht bei m, n zu sehen ist. Hebt man diese drei der Reihe nach hinter einander liegende Blasteme aus den sie umgebenden und theilweise bedeckenden Theilen bervor, so erhält man die 39. Figur; hier ist R das Blastem des Schulterblattes, S das Blastem des oberen Gelenksendes vom Humerus. T das Mittelstück des Oberarmknochens selbst. An das Blastem des Schulterblattes schliesst sich ein dünner Knorpelstreif f, g an, der der allgemeinen Umsäumung der 37. Figur angehört; von d nach e erhebt sich senkrecht auf die Ebene von R eine knorpelige Blastemschicht, welche in der Furche d, e der 37. Figur sich entwickelte und bei dem Punkte e, wo die horizontale mit der senkrechten Furchung zusammentrifft, ihr Ende erreicht. Diese Blastemschicht d. e wird zur Spina scapulae, der Hals des Schulterblattes endigt vorne in der Gelenksgrube b, c, in welche das obere Ende S des Oberarmknochens genau einpasst.

Da vor der Ausscheidung des Schulterblattblastems auch eine Furchung nach der Richtung von Fig. 35 vorausgegangen ist, so zerfällt das ganze Schulterblattblastem in drei genetisch von einander verschiedene Theile; nämlich das Stück b, c, Fig. 40, welches den Gelenkstheil des Schulterblattes enthält und selbst wieder nach hinten eine kleine Einkerbung als Rest der horizontalen Furchung zeigt; das Stück c, d, welches der verticalen Furche m, n der 35. Figur entspricht, und das grösste Stück e, d, welches am vorderen Rande eine leichte Einkerbung als Überbleibsel der horizontalen Furchung zeigt und an seinem hinteren Rande den Knorpelstreif f, g ausliegen hat. Diese verschiedenen Abtheilungen machen sich auch bei der späteren Entwickelung und Ausbildung geltend, und der Raum c, d bleibt in seiner anfänglichen Gestalt, er verknöchert zuerst, und der erste Knochenpunkt hat sonach die in der 41. Figur angedeutete Form c, d, h, k. So sind die Verhältnisse bei Schaf-Embryonen; bei Schweinen finde ich das Blastem des Schulterblattes mit seinem ersten Knochenpunkte von der Form der 42. Figur, welche zur Erklärung nicht vieler Worte bedarf. Bei Menschen sind die Hauptverhältnisse ähnliche, nur in der Ausführung untergeordneter Theile zeigen sich kleine Verschiedenheiten, deren Erklärung auf keine besonderen Schwierigkeiten stösst.

Das Akromium hat einen ähnlichen Ursprung wie die Schulterblattgräte. Durch die kreuzweise Furchung des Schulterblastems, Fig. 37, zerfällt die Furche d, l in zwei Theile, von denen der hintere d, e der längere ist und zur Bildung der Spina Veranlassung wird, der vordere kürzere aber e, l sich gegen den künftigen Gelenkstheil des Schulterblattes mehr öffnet. In dieser Furche e, l bildet sich nun das Blastem des Akromiums, das anfangs die Form dieser Furche darbietet und daher von der Form e, l der 43. Figur erscheint. Da es übrigens nur den äusseren Theil dieser Furche einnimmt, so muss es von dem Schulterblattblastem abstehen, und das ganze Schulterblattblastem von seiner oberen Seite aus gesehen bietet daher die Form der 44. Figur, wo A das Schulterblatt bedeutet, die anderen Bezeichnungen aber jenen der vorhergehenden Figur entsprechen.

Übrigens verknorpelt und verknöchert das Blastem des Akromiums nur spät und während die Spina eine Knochennadel darstellt, ist das Akromium noch knorpelig.

Der Rabenschnabel-Fortsatz ist schon frühzeitig entstanden und seine Ausbildung scheint mit den ersten Blastemfurchungen im Zusammenhange zu stehen; beim Schaf-Fötus tritt er namentlich anfänglich sehr markirt hervor und erscheint als ein gekrümmter Knorpelfortsatz (b, m, Fig. 40) am Gelenksende des Schulterblattblastems. Über die Entstehung desselben fehlen mir jedoch speciellere Erfahrungen.

Während das Schulterblastem diese Reihe von Veränderungen durchgemacht hat, sind auch in dem Oberarmblasteme (B, Fig. 34) neue Theilungen vor sich gegangen und so hatte sich eine obere Abtheilung B von der unteren B''' getrennt (Fig. 35). Die erste derselben theilt sich wieder in die beiden Abtheilungen B' und B'', von denen bereits die Rede war; die zweite derselben, nämlich B''', verlängert sich vorzüglich in der auf das Blastem B senkrechten Richtung. unterliegt gleichfalls einer Längenfurchung, und die obere Extremität sammt der Schulter zeigt dann die Form der Figur 35. Hierauf folgt rasch eine weitere Theilung des Blastems B", wobei das am Ende liegende Blastem wieder in einer auf B''' senkrechten Richtung sich verlängert und der ganze Keim der oberen Extremität nimmt dann die in 46 abgebildete Gestalt an. Ich erachte es von nun an für zweckmässiger, die Blasteme durch Namen und Zahlen von einander zu unterscheiden, und so bedeutet (Fig. 46) 1 das Schulterblastem, 2 das Oberarmblastem, 3 das Vorderarmblastem, 4 das Blastem der Hand.

Durch die Längenfurchung der Blasteme 1 und 2 bildet sich zwischen diesen beiden an ihrer Berührungsstelle ein vierseitiger, später rundlicher Raum, in welchem dann auch ein rundliches Blastem b (Fig. 37) entsteht, welches wieder einer Furchung unterliegt, so dass es dadurch in zwei Theile a und b (Fig. 46) zerfällt. Die eine dem Schulterblatte genau anliegende und in die Gelenksvertiefung desselben eingepasste Abtheilung a wird zum Gelenkskopf des Oberarmknochens, die zweite nach vorne liegende Abtheilung b vergrössert sich sehr rasch, furcht sich wieder und bildet zwei mit einander zusammenhängende Höcker. Diese zweite Abtheilung bildet die beiden Muskelhöcker des Oberarmknochens, die anfänglich an Grösse einander völlig gleich sind und den Oberarmkopf an Grösse bedeutend überragen.

Behufs der weiteren Darstellung der Entwickelung des Oberarmes wird es aber nothwendig, die beiden Blasteme 2 und 3 mit einander und in einem etwas vergrösserten Massstabe zu betrachten; sie sind beide in der 47. Figur dargestellt. Jedes dieser beiden Blasteme zeigt von der äusseren Seite her betrachtet eine Längenfurchung, welche aber auf einem nach der Linie m, n geführten Durchschnitte als eine doppelte und gekreuzte Furchung im Innern erscheint (Fig. 48). Dieser durch Furchung abgegrenzte Raum r (Fig. 48) ist es nun, welcher das Blastem für das Mittelstück des Oberarmknochens enthält, während die Stelle c, wo die Furchen der Blasteme 2 und 3 zusammentressen (Fig. 47), mit einem rundlichen Blasteme ausgefüllt wird. Denkt man sich nun das Blastem des Oberarmes pach der Linie m, n (Fig. 48) der Länge nach gespalten, so erscheint es aus mehreren genetisch von einander verschiedenen Theilen. Die beiden Gelenkstheile b und c gehören zu Blastemen, die sich ganz unabhängig und abgetrennt vom Mittelstücke des Oberarmblastems entwickeln; sie sind die künstigen Epiphysen, und es ist sonach deren Abgrenzung von dem Mittelstücke in der Entwickelungsgeschichte wohl begründet. Dies gilt übrigens von allen Röhrenknochen, und die Darstellung, welche ich hier von der Entwickelung des Oberarmbeines gebe, gilt mutatis mutandis auch von den anderen Knochen der Extremitäten.

Zu dem in der 49. Figur dargestellten Blasteme des Oberarmes tritt aber noch ein zarter nach aussen von einer geraden Linie begrenzter Blasenstreif m, n (Fig. 50) hinzu, welcher den beiden

Blastemen B' und B" angehört und sich mit dem Oberarmblasteme zu Knochenmasse umwandelt. Da dies von allen Seiten geschieht, so erhält das ganze Oberarmblastem, wenn es von allen Umgebungen isolirt wird, die 51. Figur. Der beiderseits naturgetreu abgezeichnete dunkle Streif m, n, der nach innen convex einbiegt, ist die künftige Corticalsubstanz des Oberarmknochens. In der Entwickelungs-Geschichte liegt sonach der Grund für die eigenthümliche Figur der Rindensubstanz langröhriger Knochen, welche bekanntermassen in der Mitte am dicksten ist und gegen die beiden Epiphysen sich allmählich zuschmälert.

Indem nun aber die Blastemmassen B' und B'', welche das künftige Oberarmblastem allseitig umschliessen, sich in Keime umwandeln, mithin deren periphere Lage von der centralen Schicht sich trennt (Fig. 50), bildet sich zunächst an der künftigen Rindensubstanz des Knochens noch eine hautartige, anfänglich ganz durchsichtige Blastemschicht (Fig. 52), welche sich auch in der That zu einer Membrane umstaltet. Diese Blastemschicht wird zum Periost.

Das Blastem des Mittelstückes vom Oberarmknochen zerfällt durch eine abermalige quere Furchung in zwei Hälften (Fig. 50), die demnach in der Mitte des Oberarmknochens mit zwei convexen Linien an einander stossen. Der zwischen den beiden Blastemen zurückgebliebene freie Raum (a, b, Fig. 52) wird nun zum ersten Verknöcherungspunkt, der diese seine ursprüngliche Gestalt noch lange beibehält.

An anderen Röhrenknochen scheiden sich Rinde und Mark in ähnlicher Weise von einander ab, und ebenso nimmt der Verknöcherungspunkt in den meisten Röhrenknochen die eben angegebene Form.

Übergeht man zu dem unteren Ende des Oberarmknochens, so stösst man bei Schafen zuerst auf die in 53 angegebene Gestalt c. Man sieht hier die bereits eingetretene Theilung in die Condyli und die Gelenksfläche, welche letztere durch eine weitere Furchung in zwei Theile zerfällt. Betrachtet man das Oberarmblastem sammt dem dabei befindlichen Blasteme des Vorderarmes von der Rückseite, so sieht man zwischen die bereits von einander getrennten beiden Condyli c (Fig. 54) ein ellipsoides Blastem d eingetragen, welches das künftige Olecranon von der Rückseite darstellt. Die weitere Entwickelung des Olecranums so wie des ganzen oberen Endes kann am füglichsten in einer Seitenansicht dargestellt werden. Die

Zeichnung 55 zeigt das Blastem des Ober- und Vorderarmes, nachdem sich bereits das Oberarmblastem mit den beiden Epiphysen ausgeschieden hatte. An der Rückseite beider Blasteme sieht man eine dreiseitige Mulde d, dessen Blastem sich zum späteren Olecranum entwickelt. Letzteres hat daher, in einer Seitenansicht aufgenommen, die Form dieses Raumes d mit abgerundeten Enden (Fig. 57); von der Rückseite gesehen die Form des Raumes d (Fig. 56) mit abgerundeten Ecken, daher die elliptische Gestalt der 54. Figur. Die am Vorderarmblasteme verlaufende Furche e, f (Fig. 56) ist wieder zur Aufnahme eines Blastems geschickt und bestimmt, nämlich zu jenem des Ellbogenbeines; nimmt man eine Seitenansicht (Fig. 55), so beginnt diese Furche hinter dem Condylus c des Humerus, dem sie genau anliegt bei e, verläuft unter einer leichten Biegung nach unten und dann nach vorne; genau in derselben Richtung verläuft auch das Ellbogenblastem, das nun, von allen übrigen Theilen getrennt, in der 57. Figur abgebildet ist. Die Vertiefung bei e ist die obere Gelenksfläche des Ellbogenbeines und zur Aufnahme des Humerus bestimmt. So sind die Entwickelungsverhältnisse bei Schaf- und Schwein-Embryonen. Das Ellbogenbein besteht sonach aus vier genetisch von einander verschiedenen Theilen, dem Mittelstücke $m{g}$, den Epiphysen $m{f}$ und e, an welche letztere das Olecranum d sich anfügt und bald mit e zu einem untrennbaren Ganzen verschmilzt. Das vordere Ende bei f verläuft in einer gleich zu erwähnenden Weise.

Das Mittelstück g trennt sich bald wieder in eine vordere und hintere Hälfte. Das zwischen beiden Hälften befindliche Blastemstück bildet den ersten Knochenpunkt, dessen Form mithin wieder eine genau bestimmte, scharf abgegrenzte ist.

Nach dieser ersten Abgrenzung, deren Resultat die Bildung des Ellbogenbeines ist, entsteht noch in dem Winkel h zwischen Vorderarm- und Handblasteme ein rundliches Blastem, das später verknöchert und an einem Theile des zum Raume e, f, Fig. 55, gehörigen Blastems zusammenbängt. Dieses rundliche Blastem h wird beim Menschen zum Os pisiforme, beim Schaf-Fötus zum dreieckigen Beine der Handwurzel. Hierauf folgt in dem noch übrig gebliebenen Blasteme 3 sowohl wie auch in 4— dem sogenannten Handblasteme—eine weitere longitudinale Furchung (Fig. 58), wodurch sich zwischen beiden ein ungleich vierseitiger Raum r abgrenzt, der bald darauf eine rundliche Gestalt erhält (Fig. 59). Dieser Raum r ist zur Bildung der

Handwurzel bestimmt; er schliesst sich alsobald gegen die anderen anliegenden Blasteme ab, erreicht in kurzer Zeit eine bedeutende Breite. Die Mulde m, n, Fig. 58, welche man sich im Innern des Blastems 3 gelagert denken muss, ist zur Entwickelung der Speiche bestimmt, und die Form dieser Mulde bestimmt auch die Form des künstigen Knochens. Nimmt man daher bei einem Schaf-Fötus die Blasteme beider Knochen sammt dem Handwurzelkeime aus der übrigen Blastemmasse heraus, so haben sie die in der 60. Figur angegebene Gestalt. Das vordere Ende a des Radiusblastems ist seiner ganzen Entstehungsart zufolge breiter als das hintere und auch weiter vorgeschoben als das vordere Ende des Blastems vom Ulnarbeine (beim Schafe dem Griffelbeine). Nach der ersten Ausscheidung des Blastems für den Radius (das Schienbein beim Schafe) beginnt in dem Mittelstücke desselben wieder die Abtheilung in zwei Hälften, eine vordere und eine hintere Hälfte, und damit die Ausscheidung des ersten Knochenpunktes b, Fig. 60; der erste Verknöcherungspunkt des Radius liegt daher weiter nach vorne als jener des Ellbogens, - ein Umstand, der nicht blos theoretisch angenommen ist, sondern leicht nachgewiesen werden kann.

Bevor ich weiter gehe, muss ich noch auf einen Punkt aufmerksam machen, dessen Erklärung nur in der Entwickelungsgeschichte gefunden werden kann.

Nimmt man Fig. 61 einen Durchschnitt eines rundlichen Blastems mit einer doppelten Furchung, so entstehen fünf mit einander parallellaufende Mulden; eine centrale von vierseitiger Durchschnittsfigur und vier an der Peripherie befindliche, deren Durchschnittsfiguren dreiseitig sind. Verfügt man über diese Mulden und die an dieselben sich anschliessenden Furchen in der Art, dass man einzelne Furchen bestehen, andere dagegen wieder verschwinden lässt, so erhält man z. B. die Figuren 62, 63. Die in den zurückgebliebenen Furchen befindlichen Blastemmassen unterliegen einer Metamorphose, welche von jener der umliegenden Blasteme verschieden zu sein pflegt. Das Blastem a der 62. Figur kann sich z. B. zu einem dreikuntigen Knochen, das Blastem b zu Blutgefässen entwickeln; dann wird die zwischen beiden Blastemen befindliche Furche dem Anheftungstheile der Vaqina vasorum entsprechen. So wird der fast nie fehlende Zusammenhang zwischen der Gefäss-Scheide und der nächstliegenden Kante röhriger Knochen durch die Entwickelungs-Geschichte erklärt und begründet,

Angenommen ferner, die Blasteme a und c der 63. Figur entwickeln sich zur Knochenmasse, so könnte das zwischen beiden befindliche streifenartig sich hinziehende Blastem zum Ligamentum interosseum sich umbilden. Der Umstand, dass zwei durch ein Ligamentum interosseum verbundene Knochen ihre scharfen Kanten einander zuwenden und an diesen eben durch das Zwischenknochenband zusammenhängen, findet in der Entwickelungsgeschichte seine natürlichste Erklärung.

Die eben besprochenen Umstände sind nun nicht vielleicht eine durch nichts begründete müssige Ersindung, sondern sind aus Naturanschauungen unmittelbar hervorgegangen. So ist z. B. die 64. Figur ganz geeignet, diese mit der ursprünglichen Blastemfurchung verbundene Raumbenützung und Vertheilung darzuthun. Man sieht hier bei a, b einen Querdurchschnitt durch die Fesselbeine eines Schaf-Fötus, bei c und d die durch eine Furche mit einander verbundenen Räume, an welchen die Sehnen der Beuger und Strecker für die Phalangen sich entwickeln. Derartige Durchschnitte habe ich viele angesertigt und ich füge noch Durchschnittsfiguren von menschlichen Extremitäten (Vorderarm beim Fötus) hinzu (Fig. 65), deren Betrachtung gewiss unwilkürlich an die Figuren 62, 63 erinnert.

Auch die Entwickelung des Handwurzelblastems hat inzwischen bedeutende Fortschritte gemacht. Betrachtet man eine noch ganz unversehrte und frische Extremität eines Schaf-Fötus unter dem Mikroskope bei durchgehendem Lichte, so ist an der Stelle der künstigen Handwurzel ein ganz deutlich abgegrenzter rundlicher Fleck, der vorund rückwärts in eine feine Furche ausläuft. Eine der nächsten Metamorphosen des Handwurzelblastems ist seine Furchung, die hier wieder eine doppelte und kreuzförmige ist. Nach dieser Furchung entstehen im Innern des Handwurzelkeimes rasch fünf neben einander liegende rundliche Blastemmassen und so erscheint die Figur 66, wo A das Handwurzelblastem bedeutet, das eine periphere Lage abgeschieden, in seinem Innern aber die 5 Blastemkugeln enthält. Diese kugligen Massen sind die Keime für die 5 Carpusknochen des Schafes. zu welchen noch das kuglige Blastem a hinzutritt, welches ausserhalb des eigentlichen Handwurzelblastems sich entwickelt hat. Diese 6 Knochenblasteme entwickeln sich der Reihe nach zu folgenden Knochen: a wird zum Hakenbeine, b zum halbmondförmigen, c zum

dreieckigen, d zum unregelmässigen Beine, f bildet das ungleich vierseitige, g das grosse Keilbein.

Die weitere Entwickelung dieser Blasteme der Carpusknochen erfolgt theils durch Abplattung der neben einander befindlichen Kugeln, theils durch weitere Furchung. In der 67. Figur sieht man bereits diese allmählich eintretende Abplattung, die 68. Figur zeigt neben der Abplattung auch die Furchung. Alle diese Umstände sind verhältnissmässig leicht zu untersuchen, wozu die bedeutende Durchsichtigkeit frischer Extremitäten von Schaf-Embryonen beiträgt.

Bei dem menschlichen Fötus erfolgt die Entwickelung der Carpusknochen zwar nach denselben Gesetzen, in der Ausführung ergeben sich aber natürlich kleine Varietäten. Fürs erste ist auch hier das Erbsenbein wie das Blastem a, Fig. 66, beim Schaf-Fötus ein ausserhalb des eigentlichen Carpusblastems entstandenes Gebilde, das mit dem Blasteme des Ellbogenbeines zusammenhängt. Daraus erklärt sich die isolirte Lage dieses Knochens der menschlichen Handwurzel, so wie sein Ausschluss aus der eigentlichen Gelenkskapsel. Die übrigen Knochenblasteme dagegen entstehen in folgender Weise. Die 69. Figur stelle das Handwurzelblastem nach seiner ersten Furchung dar. Man sieht hier vier neben einander liegende selbst wieder gefurchte Keime, welche paarweise mit einander verbunden und in zwei Reihen hinter einander befindlich sind. Bei der weiteren Entwickelung bleiben mehrere von diesen Furchungen, deren Endpunkte ich durch die fortlaufenden Buchstaben des Alphabetes bezeichnet habe, zurück, andere dagegen verschwinden. So vereiniget sich das Blastem des Raumes a, g, f zu einer einzigen Masse und entwickelt sich später zum Os naviculare (Fig. 70). Das Blastem des Raumes e, f, g, h trennt sich von den übrigen und bildet das Os lunatum. Fig. 70. Das Blastem e, h, d wird zum dreieckigen Beine. Hiermit ist die in der Gelenkskapsel enthaltene erste Reihe der Handwurzelknochen in ihrer ganzen Form beendet, und die etwa noch auftretenden Formverschiedenheiten sind unbedeutend. Die Knochenblasteme der zweiten Reihe theilen sich nach den verschiedenen Furchungen wieder, und zwar: das Stück a, b, g wird zu einem selbstständigen Blasteme und entwickelt sich zum *Os multangulum minus*. Von ihm trennt sich das Stück b, c, g, h, k, welches aus einem vorderen und hinteren Theile besteht. Der letztere ist kopfförmig abgerundet; die Seitentheile des Blastems sind dem Laufe der Furchungen

entsprechend leicht ausgehöhlt. So entsteht das Os capitatum, dessen Kopf sich gegen die erste Reihe der Handwurzelknochen einwölbt. Der Raum c, k, d entwickelt 2 Blasteme, welche aber bald zu einem einzigen verschmelzen, davon ist das vordere, grössere der Körper, das hintere kleinere der Hakenfortsatz vom Hakenbeine. Die Hauptverhältnisse sind auch hier vollendet, und etwaige Formverschiedenheiten, die bei der weiteren Ausbildung erfolgen, im Ganzen von untergeordneter Bedeutung. - Noch fehlt das Os multangulum majus. Sein Platz ist folgender: Die Figur 71 sei ein Durchschnitt, welcher nach der Linie m, n auf das Blastem 70 senkrecht geführt worden. Man sieht hier wieder die Abtheilung in ein oberes und ein unteres Blastem mit einer zu beiden Seiten erweiterten dazwischenliegenden Furche. Durch die Theilung des oberen Blastems sind drei von einander verschiedene Räume entstanden, welche denen der 70. Figur entsprechen. Es entwickeln sich nun: in dem Raume a, r, l das Os multangulum majus; in dem Raume a, b, r, s das Os multangulum minus; der Raum b, c, s, t bildet den vorderen Theil des Os capitatum; die beiden Räume c, t, d liefern das Blastem für das Os hamatum, dessen Haken bei d seine Spitze hat. Der untere, von der gebogenen Linie l, r, s, t, d begrenzte Raum wird zur Bildung der Sehnen an der Volarseite des Carpus verwendet. — Mit derselben Regelmässigkeit scheinen sich auch die Knochen des Tarsus zu entwickeln. Querund Längenschnitte durch denselben geben nämlich ein auf Grundlage der bisherigen Untersuchungen leicht zu erklärendes Bild; ich habe jedoch ausser ein paar mehr zufälligen Durchschnittsfiguren keine weiteren Beobachtungen hierüber angestellt und lasse daher hier eine übrigens leicht auszufüllende Lücke zurück.

An Schaf- und Schweins-Embryonen habe ich die Entwickelung des eigentlichen Handblastems untersucht. Nachdem das Handwurzelblastem sich innerhalb der Massen 3 und 4 (Fig. 66) abgeschieden hat, formt sich der Inhalt des Blastems 4 von neuem in eine rundliche oder ellipsoide Masse, wodurch vor und seitlich vom Handwurzelblasteme 2 Räume a, a' zurückbleiben. Indem das in diesen Räumen entstandene Blastem sich allmählich in der Richtung von hinten nach vorne vergrössert, entsteht die 72. Figur, und hiermit ist die Bildung der sogenannten Afterzehen (Schaf) angedeutet. Im Innern von a und a' entwickelt sich ein cylindrisches Knorpelblastem (Fig. 70) ganz nach den bisher angegebenen Regeln.

Der noch übrig gebliebene Theil des Handblastems zeigt aber bald darauf wieder eine longitudinale Furchung, wodurch 2 Blastemmassen m und m' (Fig. 72) entstehen, worauf dann, indem m und m'in der Richtung von hinten nach vorne über ihre ursprünglichen Grenzen hinauswachsen, das Blastem 4 beim Schaf-Fötus die Gestalt Fig. 73 darstellt. So scheidet sich die Peripherie hautartig von der inneren Blastemschicht aus, worauf eine neue Längenfurchung der letzteren eintritt. Bald darauf sieht man in jedem der so entstandenen Blasteme eine neue Abtheilung durch Furchung entstehen, und so erhält man in der 74. Figur an jeder Abtheilung ein Blastem s, bestimmt für die Entwickelung der Knochen des Metacarpus, und ein Blastem s" welches zur Bildung der Phalangen bestimmt ist. Die beiden Blasteme s und s' unterliegen einer Längenfurchung; wo die beiden Furchungen zusammentreffen, entsteht ein vierseitiger Raum t (Fig. 75), der später rundlich wird und vorne und hinten in eine Furche ausläuft t'. In dem für die Phalangen bestimmten Blasteme s'erscheint eine neue kreuzförmige Furchung, wodurch im Innern ein vierseitiger Raum u (Fig. 76) sich bildet, der eine mehr rundliche Form u' annimmt und sich in eine Längenfurche nach vorne und rückwärts verliert. Die Räume t', u' entsprechen den künstigen Gelenken zwischen Metacarpus- und Carpus-Knochen so wie zwischen den Phalangen. Und überall, so viele Gelenke sich bilden, so oft wiederholt sich der eben beschriebene Furchungsprocess, so dass es nur nothig wird, eines von den Gelenken zwischen den Phalangen nur näher zu betrachten.

Es seien in der 77. Figur zwei ellipsoide, unmittelbar einander berührende Blastemmassen, aus denen die Phalangen sich bilden, dargestellt. Im Innern eines jeden dieser Blastemmassen verläuft ein Furchungscanal in der Richtung a, b, und nicht blos in den Hauptblastemen 1, 2, sondern auch in den weiteren Abtheilungen derselben a, a ist die periphere von der mittleren Blastemschicht abgeschieden. Die in dem Canale von a nach b verlaufende Blastemmasse behält die ursprünglichen durch Furchung entstandenen Abtheilungen bei und wird zur Knochen- und Knorpelmasse, und so entsteht die Figur 78, in der der dunkel gehaltene Theil das Knochenblastem bedeutet, das bei a' und b' an ein dünnes Knorpelblastem — der künftigen Epiphyse — sich anschliesst. Die dem Knochenblasteme unmittelbar anliegende hautartige Blastemschicht übergeht bei c von dem Blasteme 1 auf das

Blastem 2 unmittelbar nach dem Verschwinden der ursprünglichen Furche, und wird zum Periost, soweit sie dem Knochen anliegt, zur Gelenkkapsel, dort wo sie über die künftige Epiphyse, mithin bei c, hinübergeht. Ebenso verschwinden die Querfurchen an den äusseren Lagen der Blasteme 1 und 2 und die die Phalangen überziehenden Weichtheile gehen dann ununterbrochen über das Gelenk hinüber (Fig. 78). Tritt in dem Knochenblasteme die Verknöcherung auf, so geht derselben wieder eine Querfurchung voraus, und der erste Verknöcherungspunkt hat wieder die unter d, Fig. 78, angegebene Form.

Was die Formen einzelner Phalangen oder der Phalangen verschiedener Thiere betrifft, so trifft man in der Ausführung auf mehrere Verschiedenheiten. Es seien Fig. 79 die der Reihe nach hinter einander liegenden Blasteme der Finger. Nachdem sich jedes derselben durch eine Längsfurchung zur Bildung des Fingerknochens gespalten, tritt noch eine transversale Furchung ein, wodurch sich jederseits noch die Blasteme a, b an jeder Phalanx bilden. Hiervon sind blos die Blasteme b bleibend, sie verknorpeln und verknöchern, verschmelzen dann mit dem Hauptknochen der Phalanx und die Reihe der hinter einander liegenden Phalangen zeigt die 80. Figur, welche aus der Vergleichung mit der Fig. 79 leicht verständlich ist. So ist die Entwickelung bei Schweins-Embryonen. Bei Schafen finden sich die ursprünglichen Formen der Phalangen in der 81. Figur dargestellt. Hier erinnert die Form der Phalanx 1 an ein longitudinal gefurchtes Blastem überhaupt. Die Phalangen 2 und 3 an noch ungefurchte Blasteme, deren obere Enden durch Berührung und Abplattung mit den überliegenden Blastemen eine leichte Formveränderung erlitten haben. Die späteren Formen, welche aus diesen scharf begrenzten, stereometrisch genauen, ursprünglichen Formen hervorgehen, finden sich in einer Schafsklaue (Fig. 82) dargestellt.

Einige dieser während ihrer Entwickelung von einander getrennten Knochenblasteme verschmelzen später wieder zu einem einzigen Knochen. Dies gilt nicht allein von den Knochen-Epiphysen, sondern auch von dem Ellbogenbeine und dem Radius, welche bei Schafen fast zu einem einzigen Knochen sich verbinden.

Die Blastemmasse, welche nach der Ausscheidung des Knochenblastems zurückbleibt, entwickelt sich zur Haut, Musculatur, zum Sehnengewebe, überhaupt zu den die Knochen umgebenden Weichtheilen. So sind namentlich die Räume *m* und *m'*, Fig. 76, bei m Auch an Querschnitten durch die Extremitäten ergeben sich für die Berechnung sehr günstige Verhältnisse, nur müssen diese Schnitte mit grösster Sorgfalt angefertigt werden, da sich sonst nur zu leicht Störungen in Form und Lage herausstellen, die auf das Resultat der Messung nicht ohne Einfluss bleiben können. Solche Querschnitte durch die Mittelhand z. B. bei Schafen geführt, haben die in Fig. 84 angegebene Form. Man hat hier bei ab die Durchschnitte der Blasteme der Metacarpusknochen, bei ab die Durchschnitte einer Sehne; überall ist bereits Pheripherie und Markraum (Scheide und eigentliche Sehne, oder Rinde und Mark des Knochens) geschieden. Ich gebe hier die Messungen zweier Fälle:

Es war im 1. Falle
$$mn = 436.0$$

op = 301.0.

Non ist (mit n = 2 berechnet) A = B = 108.75; = 218.5, folglich $C + 3 \left(\frac{B-1}{A} \right) = 300.3 = op$.

2. Fall.
$$mn = 518$$

 $op = 477$,

folglich (n - 2) ist A = B = 129.25; C = 259.5, daher:

$$C+B+2\left(\frac{A-1}{3}\right)+1=475\cdot 25=op.$$

Ebenso stehen die Knochen zu ihrem Periost, die Markhöhlen der Knochen zu ihrer Rinde, die Sehnen zu der sie umgebenden Scheide in einem angebbaren Durchmesser-Verhältnisse, nicht minder die Dicke der Gelenkskapsel zum Durchmesser der Gelenkshöhle, die Dicke eines Muskels zur Dicke der ihn umgebenden Fascia, mit einem Worte allenthalben dort, wo mehrere dem Anscheine nach getrennte Theile sich aus einem einzigen Keime durch fortgesetzte Schichtenspaltungen entwickelt haben, zeigen sich die einfachsten Durchmesser-Verhältnisse, die aus dem allgemeinen Entwickelungsgesetze um so leichter abgeleitet werden können, je weniger die Theile in der Entwickelung und Schichtenspaltung bereits Fortschritte gemacht haben. Ich hebe aus vielen Fällen nur ein paar hervor.

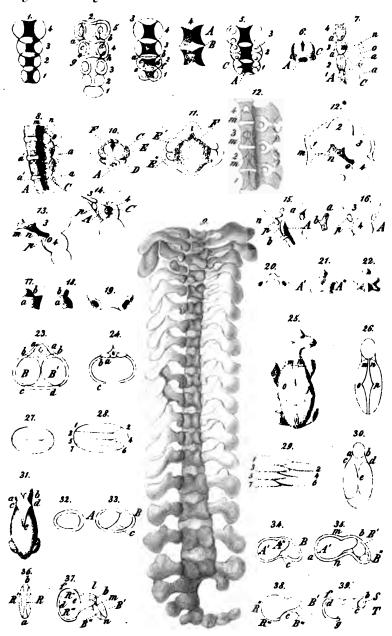
In der 84. Figur ist a'b' der Durchmesser einer Sehne c'd' mit ihrer Scheide. Es beträgt in einem Falle:

$$a'b' = 145.0$$

 $c'd' = 110.6$

Engel. Die Bildung der Wirbel und Extremitätsknochen.

Taf. I.



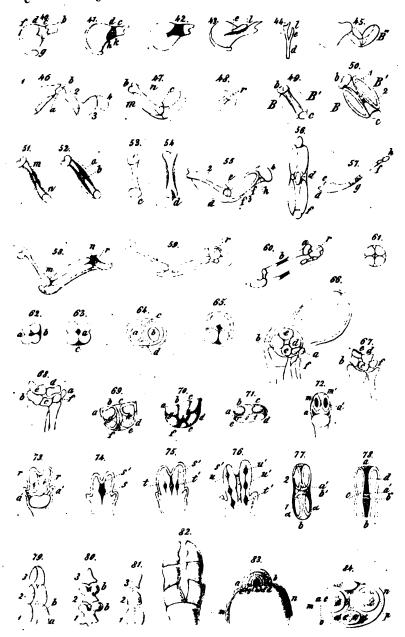
Aud Richard Land

Sitzungsb.d.k.Akad.d.W.math.naturw.CLXM.Bd.2.Heft. 1854.



Engel. Die Bildung der Wirbel und Extremitätsknochen.

Taf.II.



Am list tott du fram mutera

Sitzungeb.d.k.Akad.d.W.math.naturw.(T.XIII.Bd.2.Heft.1854.



mit
$$n = 2$$
 folgt $A = B = 36.0$; $C = 73.0$, folglich $C + B = 109 = c'd'$;

in einem 2. Falle:

$$a'b' = 214.0$$

 $c'd' = 180.0$

mit n = 2 folgt A = B = 53.25; C = 107.5, mithin

$$C+B+\left(\frac{A-1}{3}\right)+1=179\cdot 2=c'd'.$$

Ich könnte diese Beispiele noch mit vielen anderen vermehren, diese wenigen mögen genügen. Man sieht bei diesen Verhältnissen immer die Zahlen 2, 3, 4, oder deren Multipla wiederkehren, und wenn auch die numerischen Verhältnisse ausgewachsener Theile jeder Berechnung zu spotten scheinen, so wäre eine solche auf Grundlage des von mir aufgefundenen Entwickelungsgesetzes dennoch möglich.

Auch die verschiedenen Durchmesser ein und desselben Theiles, wie z. B. eines Knochens, werden in leicht angebbaren Verhältnissen stehen; so die Dicke eines Knochens zur Länge, die Breite des Mittelstückes zur Breite der Epiphyse u. s. w., so ist z. B. das Mittelstück eines Humerus-Knochens nur */4 der Dicke des Gelenkskopfes in der ersten Entwickelungszeit des Schaf-Embryo's. Mit der zunehmenden Ausbildung des Knochens ändern sich aber auch wieder diese Verhältnisse, und es wäre gewiss keine uninteressante Aufgabe, diesen Änderungen der Verhältnisse sowohl bei demselben als auch bei verschiedenen Thieren nachzuforschen.

Notis.

Die Fortschritte der Photographie in Wien betreffend.

Das wirkliche Mitglied, Professor Petzval, richtet die Aufmerksamkeit der Classe auf die neuesten Fortschritte der Photographie, indem er eine bedeutende Anzahl von Abbildungen der verschiedensten Gegenstände, Portraite, Landschaften u. s. w. vorzeigt, erhalten mit Apparaten, die nach seiner Angabe gebaut und aus der Werkstätte des Optikers Dietzler vorzüglich gelungen hervorgegangen sind, und verfertigt von verschiedenen Künstlern: Benitzky, Dietzler, Jagemann, Mansfeld, Streczek, Wawra mit einer Vollendung, die kaum etwas zu wünschen übrig lässt. Er äussert die Meinung, dass man in dieser interessanten Kunst an einem Rubepunkte angelangt sei, wo wenigstens momentan das Bedürfniss fernerer Fortschritte nicht gefühlt wird, nicht als ob es keine Wünsche der Photographen mehr gäbe, diese seien vielmehr da, sie seien aber in der Regel nicht rationell und erheischen z. B. viel mehr Licht, bei weitem mehr Gesichtsfeld, grosse Schärfe und billigen Preis, Alles auf einmal, Anforderungen, die sich gegenseitig aufheben. Er schliesst hieraus. dass zu neuen, allerdings möglichen und wesentlichen Verbesserungen nur dann die Zeit sein werde, wenn im Publicum über die Natur der optischen Apparate grundlichere Begriffe sich verbreitet haben werden, wesshalb er denn glaubt, dass es nicht ganz unnütz sei, diesen, wenn auch älteren Gegenstand, neu zur Sprache zu bringen.

Verträge.

Über einige unsymmetrische Ammoniten aus den Hierlatz-Schichten.

> Von dem c. M. Frans Ritter v. Hauer, k. k. Bergrath.

> > (Mit I Tafel.)

Unter den zahlreichen Ammoniten, welche die an Petrefacten so überaus reichen Hierlatz-Schichten am Hierlatz bei Hallstatt enthalten, befinden sich auch einige Arten, die entweder in der äusseren Gestalt, oder in ihrer Lobenzeichnung beträchtliche Abweichungen von der sonst gewöhnlichen Symmetrie der rechten und linken Seite erkennen lassen.

Zwar sind, wie weiter unten noch näher besprochen werden soll, ähnliche Abweichungen auch anderwärts schon mehrfach beschrieben, doch wurden sie bisher immer nur ausnahmsweise beobachtet, während bei den in den folgenden Blättern beschriebenen Arten, der Mangel an Symmetrie beinahe Regel zu sein scheint.

Bei den ersten zwei Arten, dem A. Suessi Hau., und A. abnormis Hau., zeigt bei normalem Baue der Schale die Lobenzeichnung eine höchst unsymmetrische Anordnung, bei der dritten Art dem A. Janus Hau. dagegen ist die Schale selbst unsymmetrisch, die Lobenzeichnung dagegen auf beiden Seiten gleich.

Ammonites Suessi Hauer.

Taf. I, Fig. 1-6.

Das flach scheibenförmige Gehäuse dieser Art besteht aus 4 bis 5 Umgängen, die beträchtlich höher als breit, aber so wenig umfassend sind, dass die früheren Umgänge beinahe vollständig im Nabel sichtbar bleiben.

Der schmale hochgewölbte Rücken trägt keinen Kiel, er verläuft ganz allmählich ohne Kante in die sehr flachen Seiten, welche ungefähr in der Mitte der Höhe ihre grösste Breite erreichen, und erst sehr allmäblich, dann aber nach und nach viel steiler, jedoch ohne Kante gegen den Nabel abfallen. Der Querschnitt stellt eine ziemlich regelmässige Ellipse dar.

Die Verzierungen der Schalenoberfläche sind sehr variabel und kaum 2 Exemplare befinden sich unter den mir vorliegenden Stücken, die in Betreff derselben vollständig mit einander übereinstimmen. Auf den Seitenflächen erheben sich nämlich meistens feine, ziemlich weit von einander abstehende, etwas sichelförmig gebogene Radialfalten. Gegen den Rücken zu schieben sich zwischen diese meist andere, etwas feinere Falten ein. Alle Falten biegen sich nun nach vorne, werden schwächer und schwächer, und verlieren sich entweder gänzlich, bevor sie noch die Mittellinie des Rückens erreicht haben, oder aber laufen auf diesem, eine Bucht nach vorne bildend, zusammen. Bei manchen Exemplaren sind diese Falten schon auf den innersten Umgängen zu erkennen und bleiben auf den späteren Umgängen eben so deutlich; bei anderen Exemplaren scheinen die inneren Umgänge glatt gewesen zu sein, während nur die äusseren die Falten tragen. Bei dem grössten mir vorliegenden Exemplare, welches in Fig. 1 - 2 abgebildet ist, erscheint dagegen wieder der äusserste Umgang glatt. Auf den inneren Umgängen sind die Falten meist dichter zusammengedrängt als auf den äusseren, sie sind dann daselbst eben so breit wie die sie trennenden Zwischenräume, während auf dem äusseren Umgange ihre Distanz doppelt und dreimal so gross ist als ihre Breite. Öfter finden sich aber auch an ein und demselben Umgang abwechselnd Stellen, an welchen die Rippen näher oder entfernter stehen, wie bei dem in Fig. 5 - 6 abgebildeten Exemplare. Gegen den Rücken zu erkennt man bisweilen feine, nur sehr wenig markirte Stacheln auf den Rippen.

Die Zahl der Falten ist, wie aus dem Gesagten von selbst folgt, sehr verschieden; so fanden sich bei einem Exemplare von 11 Linien Durchmesser auf dem äussersten Umgange 19, auf dem zweiten 26 Falten, während die inneren Umgänge glatt sind. Ein zweites Exemplar von 8 Linien Durchmesser trägt am letzten Umgange 23, ein drittes von 9 Linien am letzten 25, am vorletzten 19, am dritten 17; ein Exemplar von 9 Linien am letzten 26, am vorletzten 20 Falten u. s. w.

Das grösste Exemplar hat einen Durchmesser von 12½ Linien, bei den meisten Exemplaren beträgt er ½ bis 1 Zoll.

Bei dem grössten Exemplare von 12½ Linien betragen für den Durchmesser = 100 die Höhe des letzten Umganges 29, seine Breite 16, der Durchmesser des Nabels 51, die Höhe des vorletzten Umganges 18 und seine Breite 10.

Das auffallendste Merkmal, durch welches sich A. Suessi von allen bisher bekannten Arten unterscheidet, bietet die Lobenzeichnung. Bei allen untersuchten Exemplaren liegt sie unsymmetrisch gegen die Schale, der Rückenlobus und Siphosattel fallen nämlich nicht auf die Mittellinie desRückens, sondern weichen von dieser um ein beträchtliches Stück bald nach rechts, bald nach links ab. Eine ähnliche Erscheinung wurde bekanntlich bisweilen ausnahmsweise an verschiedenen Ammoniten-Arten beobachtet. So beobachtete Quenstedt 1), dass bei A. psilonotus der Sipho häufig sich von der Mittellinie des Rückens entfernt und hierdurch eine grosse Unsymmetrie der Loben entsteht, Savi und Moneghinia) fanden, dass bei vielen Exemplaren von A. Coregonensis Sow. und von A. Guidoni Sow. der Rückenlobus nach rechts oder nach links von der Mittellinie des Rückens abweicht. Ähnliche Beispiele liessen sich in der Literatur noch mehrere ausfinden; bei unserer Art jedoch scheint die Abweichung die Regel zu sein, denn noch nicht ein Exemplar konnte ich beobachten, bei welchem der Rückenlobus und Siphosattel ihre normale Stellung einnehmen, wenn ich auch nicht zweifle, dass es gelingen wird in der Folge auch solche aufzufinden.

Von besonderem Interesse schien es, zu untersuchen, an welcher Stelle der Schale der Bauchlobus, der sonst dem Rückenlobus diametral gegenüberliegt, sich befinde. Mit vieler Mühe gelang es endlich an einem Exemplare die Lobenzeichnung rings um einen Umgang herum blos zu legen (Fig. 3). Es ergab sich, dass die Stellung des Bauchlobus durch die veränderte Stellung des Rückenlobus nicht im Geringsten geändert wird; er besindet sich genau auf der Mitte der Bauchfläche; ein Verhältniss, welches nur dadurch ermöglicht wird, dass die sämmtlichen Loben und Sättel auf der einen Seite des Rückenlobus sehr verschmälert, auf der anderen dagegen ungemein in die Breite gezogen sind. Auch die Höhe der Sättel und die Tiefe der Loben bleibt beiderseits ziemlich gleich, der Raum aber, auf dem sich sämmtliche zwischen dem Siphosattel und dem Bauchlobus gelegene Sättel und Loben auf der einen Seite zusammendrängen, ist um ein volles Drittel schmäler als derjenige, den sie auf der andern Seite einnehmen.

Was nun die Beschaffenheit selbst der Lobenzeichnung betrifft, so verweist sie durch abgerundete Sättel und am Grunde einfach

¹⁾ Die Cephalopoden, 8. 73.

²⁾ Considerazioni sulla Geologia della Toscana, 8. 73 und 77.

gezähnte Loben den Ammonites Suessi in die Abtheilung der Ceratiten. Der Rückenlobus ist schmal aber sehr tief, er endet in zwei einfache Spitzen, die durch einen hohen Siphosattel getrennt werden. Der obere Laterallobus, nur halb so tief wie der Rückenlobus, trägt daselbst ebenfalls nur 2 Zähne. Der untere Laterallobus ist nur ganz unbedeutend seichter als der obere, und trägt am Grunde auf der breiten Seite 4, auf der schmalen Seite 3 Zähne. Unter der Nath folgt ein schmaler Hülfslobus, der eine einfache Spitze bildet und beinahe so tief hinabreicht wie der untere Laterallobus, dann der tiefe zweispitzige Bauchlobus, der beinahe noch etwas tiefer ist als der Rückenlobus.

Von den Sätteln ist der Lateralsattel der höchste, er ist beinahe doppelt so hoch wie der Dorsalsattel. Unter ihm folgt ein sehr breiter, durch einen secundären Zacken in zwei ungleiche Hälften getheilter Sattel, über dessen untere Hälfte die Nath läuft und unter diesem noch ein sehr schmaler Hülfssattel.

In den Details finden sich jedoch bei verschiedenen Exemplaren manche Abweichungen, so gestalten sich die Verhältnisse bei einem zweiten in Fig. 4 abgebildeten Exemplare schon etwas anders. Die Loben auf der breiteren Hälfte der Lobenzeichnung reichen hier etwas tiefer hinab als auf der anderen Seite. Der obere Laterallobus zeigt auf der breiteren Seite 4 bis 5 Zähne. Der Rückenlobus befindet sich bei dem ersteren Exemplare auf der linken, bei dem zweiten auf der rechten Seite der Mittellinie; die letztere läuft bei beiden über den breiten Dorsalsattel.

A. Suessi trägt vereinigt Charaktere an sich, welche sonst nur sehr von einander entfernt stehenden Typen aus verschiedenen Familien eigen sind. Während die glatten Sättel und einfach gezähnten Loben ihn als einen Ceratiten bezeichnen würden, erinnern der tiefe Dorsallobus und der sehr hohe Seitensattel lebhaft an die Lobenzeichnung der Arieten; die geraden oder sehr sanft sichelförmig gebogenen Rippen, die durch ihre nach vorne gebogene Bucht eine Art Kerbung des, wenn auch abgerundeten, doch schmalen Rückens hervorbringen, weisen dagegen wieder auf die Familie der Amaltheen hin.

Am nächsten stehend dem A. Suessi dürften aber wohl A. psilonotus Quenst. und A. Hagenowii Dunker zu betrachten sein. Mit der ersteren Art stimmt er durch die Gestalt des Gehäuses und durch den hohen Lateralsattel gut überein. Auch bei ihr kommen wie schon oben erwähnt häufig Abweichungen des Rückenlobus von der Mittellinie vor. Quenstedt unterscheidet bekanntlich zwei Varietäten, die aber von anderen Schriftstellern als getrenute Arten betrachtet werden. Die glatte, für welche man wohl den Quenstedt'schen Namen A. psilonotus beibehalten darf, denn Sowerby's älterer A. planorbis ist zur Wiedererkennung allzu mangelhaft charakterisirt, unterscheidet sich von A. Suessi durch die ganz glatte Schale; seine Lobenzeichnung ist von Quenstedt nicht abgebildet, an einem Exemplare im k. k. Hof-Mineralien-Cabinete, bei welchem der Rückenlobus ebenfalls um etwas aus der Mittellinie des Rückens weggeschoben ist, erkennt man bis zur Nath vier breite niedere, zwar nicht tiefer getheilte, aber doch ringsum deutlich eingekerbte und zerschnittene Sättel, und ausser dem Rückenlobus vier einfach gezähnte Loben. --Die gerippte Varietät von Quenstedt, als A. psilonotus plicatus bezeichnet, wird, wenn sie wirklich eine von der vorigen verschiedene Art bildet, den älteren Sowerby'schen Namen A. Johnstoni beibehalten können, sie wurde später von d'Orbigny als A. torus beschrieben und unterscheidet sich von A. Suessi sehr wesentlich durch die dicken kurzen Radialrippen und die ganz abweichende Lobenzeichnung.

Noch mehr Ähnlichkeit mit A. Suessi jedoch bietet der von Dunker¹) beschriebene A. Hagenowii aus dem Lias von Halberstadt und Exten. Namentlich die Abbildung Tab. XVII, Fig. 2, zeigt so viel Übereinstimmung, dass man sich versucht fühlen könnte, beide Arten zu vereinigen. Nicht nur die Gestalt des Gehäuses, sondern auch die Ceratiten- ähnliche Lobenzeichnung kommt beiden Arten gemeinschaftlich zu. Doch trägt die Oberfläche der Schale der Dunkerschen Art regelmässige, sehr feine, dicht gedrängte, einfache Radialrippchen, und ist der Rückenlobus nur eben so tief oder noch weniger tief als der obere Seitenlobus, und der Seitensattel nicht höher als der Rückensattel.

Ammonites Suessi gehört den Hierlatz-Schichten (oberem Lias) unserer Alpen an. Er wurde bisher nur am Hierlatz bei Hallstatt gefunden, in mehreren Exemplaren, die sich theils in der Sammlung

Palaeontographica von Dunker und H. v. Meyer, I. S. 115, Taf. XIII, Fig. 22 und Taf. XVIII, Fig. 2.

der k. k. geologischen Reichsanstalt befinden, theils vom Herrn Hofrath v. Fischer und vom Herrn Professor A. E. Reuss zur Vergleichung eingesendet wurden.

Ammonites abnormis Hauer.

Taf. I, Fig. 11-17.

1853. A. abnormis Hauer. Jahrbuch der k. k. geologischen Reichs-Anstalt. IV, Seite 758.

Das Gehäuse dieser kleinen Art besteht aus vier gar nicht, oder nur sehr wenig umhüllenden Umgängen, die von den inneren zu den äusseren fortschreitend, ihre Gestalt allmählich sehr wesentlich ändern. Die innersten Umgänge sind eben so breit, oder selbst breiter als hoch, Rücken und Seiten regelmässig gerundet. Weiter nach aussen überwiegt die Zunahme in die Höhe bald beträchtlich jene in die Breite, und der letzte Umgang namentlich ist beträchtlich höher als breit, aber kaum breiter als der vorletzte Umgang, gleichzeitig flachen sich Rücken und Seiten mehr und mehr ab und der Querschnitt des letzten Umganges der grösseren Exemplare wird beinahe rechteckig; die Nath gestaltet sich zu einer schmalen nur seicht eingesenkten Furche, und erst gegen die inneren Umgänge zu senkt sich der Nabel tiefer und tiefer ein.

Die Schalenoberfläche der äusseren Umgänge ist meistens volkommen glatt, nur unmittelbar vor der Mundöffnung zeigt sich eine tiefe, etwas schief nach vorne verlaufende Einschnürung, welche bei dem Exemplare Fig. 13 abgebildet ist. An den inneren Windungen einiger Exemplare gewahrt man dicke, aber unregelmässige wulstige Falten. Fig. 11 — 12 stellt ein Exemplar vor, an welchem dieselben besonders deutlich und regelmässiger als gewöhnlich hervortreten.

Der Durchmesser der grössten mir vorliegenden Exemplare beträgt kaum einen Zoll.

Bei einem dieser Exemplare von 11 Linien Durchmesser, bei welchem die ganze Wohnkammer bis zur Einschnürung, die etwas über die Hälfte des letzten Umganges einnimmt, erhalten ist, betragen, den Durchmesser — 100 gesetzt, am Ende des letzten Umganges die Höhe 31, die Breite 23, der Durchmesser des Nabels 46, für den vorletzten Umgang dagegen die Höhe und Breite gleich viel, nämlich 19, der Nabeldurchmesser 20. Aus diesen Zahlen ist ersichtlich, dass die inneren Umgänge, abgesehen von den schon im obigen berührten Unterschieden, auch einen verhältnissmässig viel engeren

Nabel haben als die äusseren. Übrigens sind die Grössenverhältnisse, wie bei der sehr veränderlichen Gestalt der vorliegenden Art auch nicht anders zu erwarten ist, ziemlich variabel; ein Exemplar von 10^{1} /, Linien ergab für D=100~H=34, B=28~N=40. Das in Fig. 15-16 abgebildete Exemplar endlich, das quer in der Mitte abgebrochen ist, und daher die Grössenzunahme besonders gut erkennen lässt, für den letzten Umgang H=36, B=23, N=39 und für den vorletzten Umgang h=20, h=21, h=18.

Auch bei Ammonites abnormis steht die Lobenzeichnung meist unsymmetrisch gegen die Schale, und zwar findet die Abweichung des Sipho meist gegen die linke Seite der Schale zu statt. Von 13 Exemplaren, deren Lobenzeichnung ganz oder theilweise blossgelegt werden konnte, liegt nur bei 2 Exemplaren der Sipho auf der Mittellinie des Rückens, bei 3 steht er rechts von dieser Linie, bei den anderen 8 links von ihr. Die Abweichung beträgt übrigens meistens nur so viel, dass noch der ganze Rückenlobus auf der Rückenfläche Platz findet.

Die Verzweigungen der Loben und Sättel (Fig. 17) sind sehr einfach. Die ersteren zeigen an ihrem Grunde ziemlich einfache Zähne, die letzteren tragen nur wenig eingekerbte Äste. Der Rückenlobus und obere Laterallobus sind ungefähr gleich tief, der untere Laterallobus dagegen erscheint beträchtlich seichter. Der Rückensattel, der so wie die übrigen Sättel einen breiten Stamm besitzt, ist der höchste.

A. abnormis mochte noch am ersten mit einigen Arten aus der Familie der Fimbriaten zu vergleichen sein, namentlich schliesst er sich auch in Betreff der Lobenzeichnung einigen der Arten von Spezzia, dem A. Phillipsii Sow., A. articulatus Sow. 1) u. s. w. an.

Näher aber als diesen Arten steht er durch die Gestalt seiner Schale dem A. pigmaeus d'Orb.²), dessen Lobenzeichnung leider nicht bekannt ist. Zahlreichere Umgänge und damit im Zusammenhange geringere Höhe des letzten Umganges im Verhältniss zum Durchmesser der Schale, dann grössere Gleichförmigkeit der äusseren und inneren Umgänge, endlich der Mangel von unregelmässigen Falten auf den inneren Umgängen scheinen übrigens doch die d'Orbigny'sche

¹⁾ D'Orbigny, Paléontologie franç. Terr. jurassiques, pl. 97.

²⁾ D'Orbigny a. a. O., S. 391, pl. 129, Fig. 12-13.

Art, die dem Unter-Oolith angehört, himlänglich von unserer dem Lias eigenthümlichen Form zu unterscheiden.

A. abnormis gehört zu den häufigeren Arten der Hierlatz-Schichten (oberen Lias) vom Hierlatz bei Hallstatt, von anderen Localitäten wurde er mir bisher nicht bekannt.

Ammonites Janus Hauer.

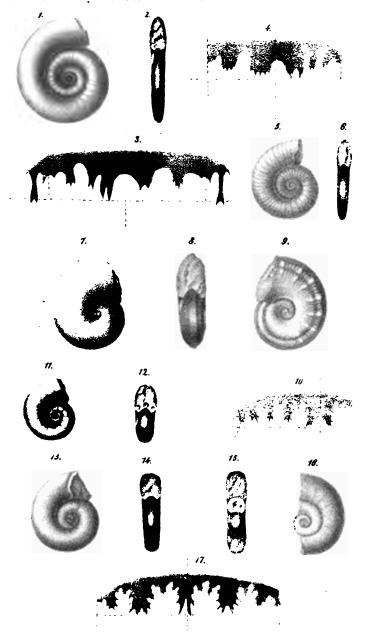
Taf. I, Fig. 7-10.

Anderer Art als bei den im vorigen beschriebenen Ammoniten sind die Unregelmässigkeiten im Baue einer dritten Species. Hier sind die beiden Seitenflächen rechts und links vom Rücken ganz verschieden ausgebildet, während die Lobenzeichnung ihre normale Stellung beibehalten hat, indem der Rückenlobus durch den scharfen Rücken genau halbirt wird.

Die Umgänge sind weit umfassend, doch ist der Nabel der rechten Seite (wenn man sich die Schale in der Stellung wie in der Abbildung [Fig. 8] gerade gegenüber denkt) beträchtlich weiter als der der linken Seite. Der Rücken ist scharf; die linke Seite der Umgänge (Fig. 7) flach gewölbt; die grösste Breite findet sich hier etwas unter der Mitte der Höhe, und weiter gegen den Nabel zu senkt sich die Wölbung allmählich abwärts. Die Oberfläche der Schale und des Kernes ist auf dieser Seite beinahe glatt, nur bei genauerer Betrachtung erkennt man sehr flache unregelmässige Radialstreifen und Falten, welche gegen den Rücken zu etwas nach vorwärts gebogen erscheinen.

Wesentlich anders gestaltet sich die rechte Seite (Fig. 9). Unmittelbar nehen dem scharfen Rücken erscheint hier eine tiefe Längsfurche, unter dieser eine dicke Längswulst und unter dieser noch eine etwas seichtere Furche. Die Radialfalten und Streifen treten auf dieser Seite viel deutlicher hervor als auf der anderen, insbesondere sind sie auf der Längswulst deutlich zu erkennen; sie bilden daselbst eine kleine Bucht nach vorne; die ganze Anordnung erinnert lebhaft an den gekerbten Kiel der Amalthun, nur dass sich hier der Kiel nicht auf dem Rücken, sondern auf der Seitenfläche findet. Noch gewahrt man auf der Längswulst von Strecke zu Strecke einen dickeren Knoten, dem auch weiter unten an der Seitenfläche dickere Falten entsprechen. Auf dieser rechten Seite fällt

Fr.v.Hauer. Unsymmetrische Ammoniten.



Aus dk. Mos Steatsdruckerei.

Fig. 1.6 A Suessi Hou, Fig. 1.10 A Janus Hau, Fig. 11.11 A abnormis Hau.

Sitzungsb.d.k. Akad.d.W. math. naturw. Cl. XW. Bd. 2. Heft. 1854.

•	•		
			l

übrigens die Schale plötzlich und steil gegen den wie schon erwähnt etwas weiteren Nabel ab, während die Fläche von der unteren Längsfurche bis zur Nabelkante beinahe ganz eben ist. Auch auf dieser Seite ist die Zeichnung des Kernes und die der theilweise erhaltenen Schale ganz gleich, nur bemerkt man auf der Letzteren unter der Loupe auf der Wulst und in den Furchen ein paar sehr feine fadenförmige Längslinien.

Der Durchmesser des einzigen mir vorliegenden Exemplares beträgt nahe einen Zoll, es ist bis zu seinem Ende mit Kammerscheidewänden versehen.

Die Lobenzeichnung ist sehr einfach und so weit sich erkennen lässt, auf beiden Seiten der Schale ziemlich gleichförmig ausgebildet. Sie ist auf dem aus krystallinischem Kalkspath bestehenden Kerne nicht in voller Schärfe auszunehmen, doch gibt die Zeichnung (Fig. 10) die Verhältnisse im Allgemeinen jedenfalls richtig.

Vom Rückenlobus bis zur Nabelkante, erkennt man jederseits vier Sättel und drei zwischen ihnen gelegene Loben; auf der steilen Nabelfläche bis zur Nath mögen noch weitere Sättel und Loben folgen, doch gelang es nicht dieselben bloss zu legen. Der Rückenlobus ist der tiefste von allen; seine durch den breiten Siphosattel getrennten Äste divergiren, wie dies bei den meisten Amaltheen der Fall ist. Die folgenden Loben sind schmal und ziemlich einfach gezähnt. Von den Sätteln ist der obere Lateralsattel der höchste. Auch die Sättel sind sehr einfach gekerbt, doch wird jeder durch einen etwas tieferen Zaken in zwei ungleiche Hälften getheilt.

Es liegt nahe zu vermuthen, dass die Unsymmetrie im Baue der beschriebenen Schale nicht als ein specifisches Merkmal zu betrachten ist, und dass es in der Folge gelingen wird, auch normal gebaute Individuen derselben Art aufzufinden, doch scheint es mir nicht möglich; das vorliegende Exemplar mit irgend einer der schon bekannten Arten vom Hierlatz, woselbst es gefunden wurde, zu verbinden. Betrachtet man die gekerbte Längsfurche als einen von der Rückenlinie weggedrängten Rückenkiel, so schliesst sich A. Janus sehr gut der Familie der Amaltheen an, womit auch die Lobenzeichnung übereinstimmt. Eine ganz ähnliche Deformität beschreibt Zieth en 1) als A. paradoxus, hält aber selbst dafür, dass das Exemplar zu

¹⁾ Die Versteinerungen Würtembergs, Taf. 11, Fig. 6.

A. amaltheus gehören möge und d'Orbigny¹) an einem Individuum derselben Species.

Mit dieser, einer der typischen Arten aus der Familie der Amaltheen, kann A. Janus demungeachtet nicht zusammen gestellt werden. Abgesehen davon, dass sie am Hierlatz bisher überhaupt noch nicht beobachtet wurde, unterscheidet sie sich leicht durch die Lobenzeichnung, namentlich den Dorsallobus, der beträchtlich seichter ist als der obere Laterallobus. Mehr Gründe würden vorliegen, den A. Janus als eine verkrüppelte Form von A. oxynotus Quenstedt zu betrachten. Diese Art findet sich häufig am Hierlatz, sie hat einen Rückenlobus, der eben so tief oder noch tiefer ist als der obere Laterallobus, und auch sonst liesse sich die Lobenzeichnung ziemlich in Übereinstimmung bringen; doch scheinen mir der weitere Nabel, die grössere Breite der Umgänge, dann hauptsächlich die Beschaffenheit der Längswulst und der sie begleitenden Furchen zu viel Abweichendes zu bieten, als dass ich wagen sollte, beide Arten zu vereinigen.

Das einzige mir bekannte Exemplar von A. Janus stammt aus den Hierlatz-Schichten vom Hierlatz selbst. Ich erhielt es vom Bergmeister Ramsauer für die Sammlung der k. k. geologischen Reichsanstalt.

Das Sklerometer, ein Apparat zur genaueren Messung der Härte der Krystalle.

Von J. Grailich und P. Pekarek.

(Mit I Tafel.)

Begriff der Härte und Härtemessung.

Unter die Reihe jener relativen Begriffe welche durch die Abstraction irgend einer nach Abstufungen (Graden) verschiedenartigen Wahrnehmung entstehen, wie warm und kalt, hell und dunkel, gross und klein u. s. w. gehört auch hart und weich. So lange es sich nur um den Ausdruck einer ästhetischen Thatsache handelt, müssen diese Begriffe in ihrer Relation aufgefasst werden.

Geht man aber von der Wahrnehmung zur Beobachtung über, vom Betrachten zum Messen, so tritt das Bedürfniss einer allge-

¹⁾ Paléontologie franç. Terr. jurassiques p. 249, pl. 68, Fig. 6-8.

meineren Auffassung ein, und mit der Bestimmung einer durchaus beliebigen Einheit verwandeln sich jene relativen Begriffe für den Forscher in absolute. Die Einheit kann aber nur durch die Erkenntniss der Wirkungen gewonnen werden, welche die, jenen sinnlichen Wahrnehmungen zu Grunde liegenden Ursachen, auch auf andere ausser uns liegende Objecte üben. So entstanden für die Physik längst die Begriffe der Wärme, der Lichtintensität u. s. w., denen sich die Kälte, das Dunkel etc. höchstens wie die Nulle der Zahl, aber nicht wie ein Negatives dem Positiven entgegensetzten.

Als in der zweiten Hälfte des vorigen Jahrhunderts die Gliederung innerhalb des Gesammtkörpers der Naturwissenschaften abschloss, fand die Naturgeschichte fast alle Begriffe für ihre Terminologie durch die Physik geläutert und sie brauchte blos diese richtig anzuwenden und ihrem Principe dienstbar zu machen, um sofort die Grundrisse ihres Baues zu gewinnen.

Nur die Härte, dieses wichtige Merkmal für die Mineralogie, figurirte noch in den Werken der Physiker in der Ursprünglichkeit der ersten Kindheit. Musschenbroek 1) hat noch keine Ahnung von einer Feststellung des absoluten Begriffes; nachdem er die Natur des Harten und Weichen dargethan, sagt er selbst: limites autem quando desinit mollities et contra, designi nequeunt, argilla humida vocatur mollis sed quousque est exsiccanda ut appelletur dura? Adulto, robustiorique molle dicitur quod durum est imbecilli infanti; elephanto lutum videbitur molle quod omnino durum est muscæ formicæque; adeo durities et mollities relationem ad nostros sensus, nostrasque vires habent. Es ist nicht das Verdienst der Physiker, wenn heut zu Tage eine allgemeine Ansicht möglich geworden. Von Agricola²), "dem Vater aller metallurgischen Wissenschaft 3)", der die Kennzeichen der Mineralien in 3 Kategorien vertheilt: sinnliche, dann qualitates a vi vel imbecillitate nominatæ, und morphologische, und durities et mollitudo in die erste unter die Wahrnehmungen des Tastsinnes, Spaltbarkeit aber unter die zweite einreiht; von Gehler 1), der

Introductio ad philosophiam naturalem auctore Petro van Musschenbroek. Lugd. Batav. 1762, 1, Cap. XVI. De Corpore duro, fragili, molli, flexibili, elastico 755.

²⁾ De natura fossilium. Basil. 1546. fol.

³⁾ Werner in "von den äusserlichen Kennzeichen der Fossilien."

⁴⁾ De characteribus fossilium externis. Lps. 1757.

die Härte dem Gesichtssinne allein zuweist; von Linné 1), der schon Structur und Härte als besondere mineralische Hauptmerkmale aus der Reihe der übrigen sondert, ähnlich wie Peithner*) und Hill*); bis auf Werner4), der die Härte zum ersten Mal deutlich als den Widerstand definirt, den die Körpertheile einer in sie eindringen wollenden Kraft entgegensetzen; Waller b) der, wenn er auch noch zwischen Weich und Hart, als terminologischen Gegensätzen, unterscheidet, doch schon als Ursache derselben auf die Structur und Krystallisation hinweist; Naumann 1), dem Härte das Mass der absoluten Cahärenz und Breithaupt?), nach dem sie der Grad des Widerstandes ist, den ein Körper bei der Trennung einzelner Theile an der Oberfläche leistet; - ist es nur der Mineraloge, der sich mit der Feststellung des Begriffes dieser allgemeinen Eigenschaft der Körper beschäftigt. Nach unseren Untersuchungen ist Härte von der Grösse der Elasticität abhängig, und wo diese nach verschiedenen Richtungen verschieden ist, wie bei krystallisirten Substanzen, muss auch die Härte eine verschiedene Grösse zeigen.

Sobald man Härte dem Widerstande der der Trennung unterworfenen Körpertheile gleichsetzte, war auch die Möglichkeit die Härte zu messen gefunden. Linné unterschied die Körper noch nach zufälligen auf die Härte bezüglichen Erscheinungen, als: scintillantia,

Systema naturae. Holmiae 1768, 8. III, pag. 29, 30. Eigentlich die ersten Andeutungen schon in den Amoenitates academ. Holmiae 1750.

^{*)} Erste Gründe der Bergwerkswissenschaften, zweite Abhandlung über die Mineralogie. Prag 1770.

³⁾ Fossils arranged according to their obvious characters. London 1771.

⁴⁾ Von den äusserlichen Kennzeichen der Fossilien. Leipzig 1774.

⁵⁾ Brevis introductio in historiam litterariam mineralogicam etc. Holm. 1779. Die angezogene Stelle heisst: Haec diversitas mineralium corporum dependet vel ad ab ipsa particularum duritie, ut in arenaceis et saxis; aut mollitie ut in Fissilibus, Steatite et Corneis; vel a particularum fortiori vel debiliori nexu qui diversus observatur in diversis speciebus, ut in Calcareis, gypseis etc., ac dependet vel a natura ipsuis glutinis diversa. vel a circumstantiis extriasecis quibus induratio glutinis promovetur ant retardatur; vel a generationis modo diverso: probabile enim est mineralia per coagulationem et crystallisationem producta, firmiori gaudere nexu ut a Quarzo, Crystallis patet, quam quae per praecipitationem seu appositionem externam sunt generata ut conspicimus in calcareis aliisre.

⁶⁾ Lehrbuch der Mineralogie, Berlin 1828.

⁷⁾ Vollständiges Handbuch der Mineralogie. Dresden und Leipzig 1836.

rasilia, dura, fragilia, sectilia, friabilia, rigida, flexibilia, malleabilia, inquinantia, und zwar inquinantia scriptura oder tritura je nachdem sie leichter oder schwieriger einen Strich lieferten; Werner, der in seiner tabellarischen Aufzählung die Härte unter die Merkmale einreiht, welche auf den Zusammenhang der festen Körper im engeren Sinne (Individuen, Mohs) sich beziehen, entwirft die erste Härtescale, welche 6 Glieder enthält:

Hart. Demanthart. Greifen die Feile an. Geben Funken. Demant. Saphir.

Hart. Quarzhart. Lassen sich kaum oder nur wenig feilen. Geben Funken. Granat. Quarz.

Hart. Feldspathhart. Lassen sich feilen. Lassen sich mit dem Messer nicht schaben. Geben mit dem Stahl Funken. Feldspath. Schwefelkies.

Halbhart. Geben mit dem Stable nicht Funken und lassen sich mit dem Messer ein wenig schaben. Zinkblende. Flussspath.

Weich. Lassen sich mit dem Messer leicht schaben, widerstehen aber dem Fingernagel. Kupferkies. Bleiglanz.

Sehr weich. Lassen sich nicht nur sehr leicht schaben, sondern gestatten auch Eindrücke mit dem Fingernagel. Gyps. Kreide.

So brauchbar diese Unterscheidungsmethode auch für eine oberflächliche Untersuchung ist, so konnte sie doch in keiner Weise befriedigen, da die Prüfungsmittel: Feile, Messer, Fingernagel verschiedene Härten haben können und das Funkenschlagen nicht allein von der Härte, sondern auch von der geringen Theilbarkeit abhängt; sehr theilbare Körper von grosser Härte springen ab, ehe sie noch einen Stahlfunken abgerissen. Darum musste Haüy's 1) Verfahren willkommen sein, der die relative Härte der Körper durch sie selbst prüfte indem er versuchte einen durch den andern zu ritzen; er erhielt auf diese Weise folgende Tafel:

1. Substances qui raient le quartz. Communément étincelantes.

Diamant, Corindon, Telesie, Cymophane, Rubis.

- 2. Substances qui raient le verre.
 - a) Communément étincelantes.
 Quartz, Peridot, Idocrase, Euclase, Axinite.

¹⁾ Traité de minéralogie. Paris 1801.

- b) Quelque fois étincelantes.
 Prehnite, Sphéne, Amphigéne, Amphibole.
- 3. Subétances qui raient la chaux carbonatée. Non étincelantes.

Diallage, Lazulite, Chaux phosphatée, Harmotome.

4. Substances qui ne raient pas la chaux carbonatée. Non étincelantes.

Talc. Chaux sulfatée, Mica.

Die hier angegebene Idee griff Mohs¹) auf, entwickelte sie in ihrer Reinheit und indem er das nicht hereingehörige Glas ausschloss, schuf er die noch jetzt allgemein gebräuchliche Scale von 10 Gliedern:

- 1. Prismatischer Talkglimmer (Talk).
- 2. Prismatisches Euklas-Haloid (Gyps) oder Steinsalz.
- 3. Rhomboedrisches Kalk-Haloid (Kalkspath).
- 4. Oktaedrisches Fluss-Haloid (Flussspath).
- 5. Rhomboedrisches Fluss-Haloid (Apatit).
- 6. Orthotomer Feldspath (Adular).
- 7. Rhomboedrischer Quarz (Bergkrystall).
- 8. Prismatischer Topas.
- 9. Rhomboedrischer Corund (Sapphir).
- 10. Oktaedrischer Demant (Demant).

Jedes der Glieder dieser Scale ritzt alle vorhergehenden und wird von allen folgenden geritzt; ein Mineral, welches von irgend einem derselben noch, von den vorhergehenden schon nicht mehr, geritzt wird, findet daher leicht seine Stelle in dieser Reihe; Mohs bezeichnet die Härten mit Zahlen 2) und lässt für die mittleren Werthe auch Brüche zu, so dass er z. B. die Härte des Schrift-Erzes mit 5.7—5.8, die des Wasserbleies mit 4.4—4.6 bezeichnet; doch bediente er sich zur Bestimmung der Decimalstellen der Feile, indem er selbst (Leichtfassliche Anfangsgründe der Naturgeschichte des Mineralreiches, Wien 1832, I, p. 333) bemerkt, dass das blosse Ritzen der Minerale an einander nicht hinreiche um feinste Unterscheidungen

¹⁾ Grundriss der Mineralogie 1.

²⁾ Die erste Idee, Zahlen für die Härtegrade zu setzen, rührt von Kirwan, Anfangsgründe der Mineralogie, übersetzt von L. v. Crell, 1, 52. Vergleiche Hausmann's Handbuch der Mineralogie. 2te Ausgabe. Göttingen 1828, p. 353.

zu machen. Hat man nämlich die ganzen Zahlen mittelst der Scale bestimmt, so werden die beiden Scalenglieder möglichst in derselben Gestalt wie der zu prüfende Körper genommen und nun alle drei auf einer Feile mit gleichem Drucke hingeführt: aus dem Widerstande der Feile, sowie aus dem Geräusche des gestrichenen Minerals wird auf die Härte geschlossen, da ein grösserer Widerstand und lauteres, kreischenderes Geräusch eine grössere Härte annehmen lassen. Es wird dabei die Härte der Feile nicht wie in Werner's Methode mit der des Minerals, sondern die Härte verschiedener Minerale unter einander vermittelst der Feile verglichen.

Diese Scale hat sich wegen ihrer leichten Anwendbarkeit und relativen Sicherheit bald allgemeine Anerkennung errungen. Zwei Umstände aber beeinträchtigen die Genauigkeit der nach dieser Methode erlangten Resultate; erstens ist, wie Mohs selbst bemerkt, die Härte der Flächen und Ecken an demselben Minerale gar verschieden, und es wird zuweilen möglich dasselbe durch sich selbst zu ritzen, wie z. B. Glimmer, Gyps, Disthen, so dass man ein und dasselbe Mineral nothwendig in mehre Scalen-Abtheilungen setzen muss und consequenter Weise bei manchen Härteangaben mitgetheilt werden sollte mit welcher Ecke oder Kante des ritzenden eine bestimmte Fläche des geritzten Körpers geprüft wurde; dadurch fällt zum Theil die Sicherheit und Bündigkeit, für den bestimmenden Mineralogen fort. Zweitens sind die Distanzen zwischen den Härtegraden ungleich und in der Scale auch gar keine Möglichkeit gegeben, diese Ungleichheit mit Sicherheit zu schätzen, so dass die durch sie gewonnenen Daten zwar für die Bestimmung der Minerale brauchbar und werthvoll, für die Erforschung der physikalischen Constitution der Körper aber als zusammenhangslos von untergeordneter Bedeutung werden, was nebst dem doch noch immer sehr geringen Grade der Empfindlichkeit für den Physiker den Werth dieser Scale vermindert.

Es sind darum auch zu verschiedenen Zeiten Versuche gemacht worden, durch Veränderungen in der Scale, oder durch ganz neue Verfahren ein feineres, zuverlässigeres Mass zu gewinnen. Hier wäre freilich noch zu bedenken, ob durch eine geringe Veränderung in dem Baue der Scale die Nachtheile einer unvermeidlichen Sprachverwirrung aufgewogen, ob durch eine Annäherung an scheinbar grössere Gleichförmigkeit in den Scalen-Intervallen die wirklichen, für den

Mineralogen empfindlichen Mängel, die aus der Verschiedenheit der Härte an einem und demselben Stücke entspringen, gehoben werden. Es scheint, dass das Urtheil der Respublica literaria verneinend lautet; wenigstens hat Breithaupt's 1) emendirte Scale von zwölf Gliedern, die sich nur dadurch von der Mohs'schen unterscheidet, dass zwischen Gyps und Kalkspath als drittes Glied Talkglimmer, und zwischen Apatit und Adular als siebentes Glied Skapolith eingeschoben wurde, so dass die Vergleichungsreihe beider

Mohs: 1 2 3 4 5 6 7 8 9 10 Breithaupt: 1 2 3 4 5 6 7 8 9 10 11 12

ist — weder in Deutschland noch im Auslande Beifall gefunden, und es bedient sich z. B. Dufrénoy in Frankreich, Brooke und Miller in England, Dana in Nordamerika nach wie vor der Mohs'schen Scale, und wie es scheint, ohne Nachtheil für die Genauigkeit und Brauchbarkeit ihrer Angaben.

Anders ist es mit den Versuchen, das Haüy-Mohs'sche Princip verlassend, ein neues bildungsfähigeres aufzufinden; diese geschehen ohne alle Prätension in der Mineralogie eine allgemeine Veränderung hervorzurufen und lehnen mehr an das Bedürfniss des Physikers, wenn es gleich zugegeben werden muss, dass man nicht dem einen Zweige des grossen wissenschaftlichen Organismus dienen kann, ohne die übrigen mittelbar zu fördern. Man fand, dass schnell rotirende Bleischeiben sehr harte Körper anzugreifen im Stande sind. doch liess die Form des Experimentes nichts für absolute Härtenbestimmungen hoffen. Man versuchte es mit Nadeln aus verschiedenen Metallen zu ritzen; der erste, der dies ausführte ist Pansnera), der darauf sogar den Versuch gründet einen analytischen Schlüssel zur Bestimmung der Minerale mit Hülfe der beiden Merkmale der Härte und Dichte zu entwerfen. Er stellt ein Verzeichniss von eirea 600 Mineralien zusammen, die er nach diesen Merkmalen ordnet: zur Prüfung der Härte bedient er sich des Diamants, gehärteter Stahl-, Kupfer- und Bleinadeln und theilt die Minerale in 4 Classen, je nachdem sie von diesen geritzt werden; in jeder Classe sind die Unterabtheilungen 1, 2..... welche dem Dichten-Index entsprechen.

¹⁾ Vollständiges Handbuch der Mineralogie. Dresden und Leipzig 1836.

²⁾ Resultate der Untersuchung über Härte und specifische Schwere der Mineralien. Petersburg 1813. 80.

So hat er für die Classe *D* in der Ordnung 4 den gemeinen Zircon, Zirconit, Rubin, Sapphir — in der Ordnung 3 den Chrysoberyll, Chrysolith, Spinell, Topas u. s. f. Es ist ein schwacher erfolgloser Versuch. Später hat Krutsch¹) den Vorschlag gemacht, Zinn-, Zink-, Eisen- und Stahlnadeln anzuwenden; wie es scheint ohne Beachtung.

Erst Frankenheim*) hat diese Methode mit Erfolg zur Prüfung der Härten der Krystallslächen nach verschiedenen Richtungen angewandt. Es scheint, dass vor ihm Niemand ausser Huyghens*) auf diese Verschiedenheit aufmerksam gemacht hat; die verschiedenen Härten verschiedener Flächen desselben Krystalles waren jedoch schon von Haüv und Mohs vorübergehend erwähnt worden. Frankenheim hat mit Scharfsinn und, wenn man die Unzulänglichkeit seiner Methode in Erwägung zieht, mit Genauigkeit eine Anzahl höchst interessanter Resultate gefunden. Er selbst gibt in folgenden Worten von seiner Beobachtungsweise Rechenschaft: Haud difficile erat apparatum excogitare, cui crystallus et corpus stringens affixa, vi semper æquali stringerentur. Sed ut duritiei varietates cognoscerentur, cum necesse esset crystalla positione saepe mutari et variis corporibus stringi nullum fuit compositioris apparatus commodum. Etiam manus ipsius, inde a pueritia ut eadem vi semper moveatur, consuetae tactus ea est subtilitate in his experimentis nullo egeat auxilio. Corporibus stringentibus usus sum bacillis et acubus zinci, plumbi, stanni, auri, argenti, cupri, ferri variae duritici et ad duriora corpora topazo et sapphyro. E quibus vel ea elegi, ques crystallum quem investigarem duritie quam minime superarent, vel si duriora essent ea vi strinxi ut rationes in differentia duritierum crystalli et corporis stringentis maximae evaderent. In omni crystallo autem eæ tantum observationes comparabantur, quae ope ejusdem bacilli vel acus et brevissimo temporis intervallo factæ sunt. — Hanc viam secuti etiamsi non eo pervenerint et cohæsionum rationes ad calculum revocare possint, tantum tamen proficiunt ut vel minimas duritiei differentias apprehendant. Modo plana observanda laevissima sint, purissima et

¹⁾ Mineralogischer Fingerzeig. Dresden 1820. Vergl. Breithaupt. Vollst. Hdb.

²⁾ De crystallorum cohaesione, dissertatio inauguralis. Bratislaviae 1829. Deutsch. Baumgartner's und Ettingshausen's Zeitschrift für Physik und Mathematik. Bd. 6. Wien 1841.

³⁾ Tractatus de Lumine. Paris, p. 72.

si fieri possit recens nudata. (§. 4.) Es wird nicht überflüssig sein, hier in Kürze die Resultate, die auf solche Weise gewonnen wurden, zusammenzustellen.

Jene Linien, die für den Krystallographen gleichwerthig sind, sind es auch in sklerometrischer Beziehung, und wo verschiedene Härten stattfinden, da entsprechen ihnen immer auch verschiedene Krystallrichtungen. Körper von gleicher Gestalt und ungleicher Zusammensetzung zeigen gleiche Härteverhältnisse, wenn die Spaltungsrichtungen gleichfalls übereinstimmen; sonst nicht. So stimmen die Härteverhältnisse von CaF und NaCl nicht überein, wohl aber die von CaO, CO, und NaO, NO,; von CaF und SrO, NO,

In Bezug auf die Härtedifferenzen auf einer und derselben Fläche fand Frankenheim: die grösste Härte folgt den Linien. nach welchen die Körper sich spalten; sollten mehre Spaltungsrichtungen vorhanden sein, so ist das Maximum in der Richtung der leichtesten, das Minimum in der schwierigsten Theilbarkeit. Im pyramidalen und tessularenSysteme treten daher immer gepaarte Maxima und Minima auf.

Betreff der Härte verschiedener Flächen desselben Krystalles aber: die Härte jener Flächen ist die grösste, zu welchen parallel die geringste Spaltbarkeit stattfindet oder die am meisten von den Spaltungs-Ebenen abweichen.

Hieran reihen wir die Aufzählung der einzelnen Resultate:

Tessularsystem: CaF (Theilungsgestalt O) H härter als O; in H: Maximum parallel den Rändern, Minimum parallel den Diagonalen. — Dasselbe gilt von SrO, NO₅. — NaCl. (Theilungsgestalt H). H: Maximum parallel den Diagonalen, Minimum parallel den Rändern. — PbS. Theilungsgestalt (H.) zeigt gar keine Differenz. — ZnS (Theilungsgestalt D). D: Maximum grössere Diagonale, Minimum kleinere Diagonale.

Rhomboedrisches System: die R— ∞ Flächen zeigen keine Differenz ("verum inde non sequitur differentiam esse nullam." Verglunsere Resultate unten) CaO, CO₂ (Theilungsgestalt R, stumpf). $R+\infty$ viel härter als R.—R: Grösste Härte in der grösseren Diagonale, kleinste in der kürzeren Diagonale.— Ebenso NaO, NO₅.

Pyramidalsystem: Zwei Maxima und zwei Minima in der P—∞ Fläche.

 Minima. BaO, SO₃, (Theilungsgestalt $Pr+\infty P-\infty$) $P-\infty$: grösseres Maximum in der grösseren Diagonale. Ebenso CaO, CO₃; KO, NO₅. Glünmer zeigt in $P-\infty$ keine Differenz.

CaO, SO_s (Theilungsgestalt $\bar{P}r+\infty$. $\bar{P}r+\infty$ $P-\infty$) $Pr+\infty$. Maximum parallel der Combinationskante $\bar{P}r+\infty$. $\bar{P}r+\infty$. Minimum parallel der Combinationskante $Pr+\infty$. $P-\infty$. Dabei soll eine der $Pr+\infty$ Flächen etwas härter sein als die andere (?).

Hemiorthotypes System. NaO, BO₃ (Theilungsgestalt $Pr + \infty$). $P-\infty$: Maximum parallel den Combinationskanten mit $Pr+\infty$. — 2 Al₂O₃ SiO₃ (Cyanit. Theilungsgestalt **P**r+∞ sehr vollkommen, $\frac{P+\infty}{2}$ weniger, $\frac{Pr}{2}$ am wenigsten vollkommen) die Flächen unter einander sehr verschieden hart, $Pr+\infty$ parallel zur Theilungsrichtung am weichsten — CaO,SO₃+2HO (Theilungsgestalt $Pr+\infty$ höchst vollkommen, — $\frac{\bar{P}r}{2}$. $Pr+\infty$ unvollkommen; ersteres faserig, letztere muschelig). Grosse Verschiedenheit in der Härte der einzelnen Flächen, am weichsten $Pr+\infty$; das Maximum der Härte liegt in dieser fast parallel — $\frac{\bar{P}_r}{2}$ doch der Unterschied vom Minimum kaum merklich. In den beiden anderen Spaltungeflächen ist die Richtung gegen die stumpfen Ränder hin weicher als die gegen die Spitzen. -Feldspath (Theilungsgestalt — $\frac{\check{P}r}{2}$ sehr vollkommen $\check{P}r+\infty$ vollkommen, zuweilen muschelig) die Theilungsfläche — $\frac{\check{P}r}{2}$ weicher als Pr+∞, und beide viel weicher als die übrigen Flächen. — 8 ph en $\left(\frac{P}{2}\right)$. weniger deutlich; $\frac{\bar{P}r}{2}$ und $-\frac{\frac{1}{2}P-2}{2}$. Grosser Unterschied in der Härte der verschiedenen Flächen. Die Flächen des unsymmetrischen Prismas viel weicher als die glänzenden Flächen des symmetrischen.

Seit Frankenheim hat Niemand auf diesem Wege die Untersuchung fortgesetzt. Da sie bei einiger Empfindlichkeit dennoch alle Vorwürfe treffen, die man der Mohs'schen machen kann und sie für den Mineralogen letztere in keiner Weise zu ersetzen vermag, indem man nicht jederzeit die Nadeln auf eine so kurze und einfache Weise wiederherstellen kann als dort die abgenutzten Scalenglieder. Auch darf keine Metbode auf allgemeinen Beifall rechnen, die eine gewisse Virtuosität voraussetzt, wie diese in dem feinen Gefühle der Hand, so lange populäre Methoden bekannt sind. Dagegen hat kurze Zeit

darauf Seebeck¹) ein Verfahren angegeben, das eine weitere Vervollkommnung zulässt und zu Resultaten von ungeahnter Schärfe führen kann. Er bringt einen Hebel über einem Brette an, das einen Schlitten trägt, auf dem der Krystall befestigt wird; zugleich ist in dem Schlitten ein Metallkreis eingesetzt und die Platte, auf welcher der Krystall ruht, innerhalb dieses Kreises drehbar, so dass man den Krystall durch alle Azimuthe führen kann. Die Spitze des Hebels wird belastet und der Krystall mit der Hand langsam darunter weggezogen, und das Gewicht gesucht, welches eben noch einen Ritz zu erzeugen im Stande ist. "Bei der hier angeordneten Bestimmungsmethode ist es nur der Druck der Spitze gegen die Fläche welcher gemessen wird; etwas anderes würde es sein, wenn bei constantem Drucke die zum Verschieben nöthige Kraft gemessen würde; auch hier würde man wohl, wenigstens bei einem ziemlich starken Drucke zwischen den verschiedenen Richtungen des Krystalls, Unterschiede finden, andere zwar als die vorigen, aber mit ihnen zusammenhängende. Bei der Prüfung mit der Hand (Frankenheim) werden sich beide Wirkungen durch das Gefühl ziemlich vermischen, wenn man auch vorzüglich auf den gegen die Fläche ausgeübten Druck achtet." (S. 7.) Seebeck hat in der angegebenen Weise den Kalkspath, Gyps und das Steinsalz untersucht.

Neuester Zeit hat Franz²) ein Instrument angegeben und ausführen lassen das im Wesentlichen das Seebeck'sche ist, nur mit dem Unterschiede, dass er den Schlitten nicht mit der Hand, sondern mit einer Kurbel in Bewegung setzt, wodurch er eine grössere Gleichförmigkeit in dieser erzielt, und dass er, statt wie Seebeck, Nadeln zu nehmen, eigene konische Spitzen benützt, die einen längeren und sicherern Gebrauch gewähren; für sehr harte Körper wird ein Diamantsplitter eingesetzt. Sehr weiche Substanzen, die bei dieser Vorrichtung keine Differenzen wahrnehmen lassen, werden nach der zweiten von Seebeck vorgeschlagenen Weise geprüft, zu welchem Ende ein Zusatz-Apparatchen erfunden wurde, das wegen seiner Leichtigkeit eine besonders feine Beobachtung zulässt. Nur dürfte es seiner

Über Härteprüfung an Krystallen, eine physikalische Abb. v. Dr. A. Seebeck im Prüfungs-Programme des Berliner Real-Gymnasiums 1833.

²⁾ De corporum duritie eamque metiendi methodo. Dissertatio inauguralis auctore. D. R. Frana, Bonnae 1850. Deutsch in Poggendorf's Annalen, Bd. LXXXVII.

äusserst labilen Constitution wegen sich nicht praktisch erweisen; Franz hat es auch nur in seltenen Fällen in Anwendung gebracht. Seine Untersuchungen erstrecken sich über eine grössere Zahl von Mineralien; nebst den Gliedern der Mohs'schen Scale wurde noch Disthen, Alaun, Honigstein, Dioptas, Diopsid, Pistazit, Zircon, Turmalin und Beryll in das Bereich derselben gezogen. Im Allgemeinen fanden sich die Resultate Frankenheim's bestätigt (zuweilen auch berichtigt), und das Verdienst dieser Arbeit beruht hauptsächlich darauf, jene ungefähren Schätzungen auf absolute Zahlenwerthe zurückgeführt zu haben.

Bedingungen der Richtigkeit eines sklerometrischen, nach Seebeck's Princip construirten Apparates.

Dieselben lassen sich zurückführen auf folgende Punkte:

- 1. Empfindlichkeit des Hebels. Sie wird erreicht durch genaue Aufhängung desselben in seinem Schwerpunkte; durch die Reduction der Reibung zwischen Axe und Hebel auf ein Minimum; durch möglichste Verringerung der Masse. Da für geringere Härten die Empfindlichkeit grösser sein muss als für grössere, und letztere auch eine bedeutende Belassung der Spitze fordern, welche einem Hebel von geringster Masse leicht verderblich werden könnte, so empfiehlt sich der Gebrauch von zweien, einem leichteren und stärkeren Hebel.
- 2. Ebene und glatte Beschaffenheit der Oberflächen. Man erlangt diese entweder durch frische Theilung oder wo diese nicht möglich ist oder nicht ausreicht, durch Schliff. Geprüft wird sie durch Spiegelung, wobei alle Bilder rein umgrenzt und unverzogen erscheinen müssen. Beim Schleifen ist die höchste Sorgfalt darauf zu verwenden, dass die Fläche wirklich diejenige Lage gegen die Axen des Krystalles behalte oder erhalte, welche man der Untersuchung zu unterziehen beabsichtiget. Eine vollkommen geschliffene Fläche weicht von der natürlichen in gleicher Vollkommenheit spiegelnden in den Härteverhältnissen fast nicht oder gar nicht ab; wenigstens sind die beobachteten Abweichungen immer innerhalb der Grenzen der unvermeidlichen Beobachtungsfehler gefunden worden.
- 3. Die ritzende Spitze oder Schneide sei der untersuchten Fläche an Härte so weit überlegen, dass die Abnützung, die sie beim Gebrauche erfährt nicht zu schnell merklich werde. Wendet man

daher Stahl und Diamant an, so wird Stahl nur bis zu einer Härte von 4, höchstens 5 (Mohs) zu benützen sein, sonst wird die Spitze nach oder während jeder Beobachtung so sehr alterirt, dass nur eine sehr geringe Genauigkeit zu erwarten steht. Am zweckmässigsten haben wir Spitzen zwischen 20—30• Öffnung befunden; ein geringerer Winkel macht die Spitzen gegen die Rückwirkung der geritzten Fläche zu sehr empfindlich, ein grösserer ist wieder zu unempfindlich.

- 4. Die Spitze soll möglichst viele und stets bestimmte Lagen gegen die Oberfläche einzunehmen fähig sein. Dazu ist erforderlich, dass die Mittel zu einer genauen Einstellung, und da vorzüglich der Widerstand gegen eine senkrecht eindringende Spitze gemessen werden soll, zu einer bequemen und sicheren Horizontalstellung der Krystallfläche einerseits und andererseits zu einer beliebigen Richtungsveränderung der Spitze gegeben seien. Dies ist der Hauptpunkt für die praktische Anwendbarkeit eines solchen Instrumentes.
- 5. Die Geschwindigkeit, mit der der Krystall unter der Spitze weggezogen wird, hat, sobald sie innerhalb gewisser, ziemlich weiter Grenzen bleibt, nach unseren Erfahrungen wenig Einfluss auf die Richtigkeit und Übereinstimmung der Resultate; erst, wenn sich Stösse und Risse mit einer geschwinderen Bewegung combiniren, wird die Beobachtung unsicher und fehlerhaft. Man muss daher ein Mittel besitzen, einerseits die Bewegung des Krystalles nach Belieben zu reguliren, andererseits zu beurtheilen ob dieselbe gleichförmig ohne momentane Beschleunigung und Verzögerung vor sich geht.
- 6. Der Apparat erlaube Körper der verchiedensten Gestalt und Dimensionen der Prüfung zu unterziehen. Obschon mehr für den Physiker und beschreibenden Mineralogen als für den gewöhnlichen mineralogischen Hausgebrauch bestimmt, denen in der Regel die zu untersuchenden Stücke zu etwas freierer Verfügung stehen, ist es doch eine werthvolle Bedingung, dass ein solcher Apparat in seiner Anwendbarkeit nicht auf zu enge Grenzen bezüglich dessen, was er aufnehmen soll, beschränkt sei.

Seit mehreren Jahren hat der an der Spitze dieses Aufsatzes Genannte sich mit der Idee eines nach diesen Principien gebauten Apparates getragen und dieselbe auch zwei Professoren des polytechnischen Institutes und correspondirenden Mitgliedern der kaiserlichen Akademie der Wissenschaften mit der Bitte um Ausführung derselben vorgelegt. Da es nicht möglich war in diese Bitte einzugehen, so ruhte das Project, bis der Genannte ins physikalische Institut eintrat, er seinen Freund Pekarek zur Theilnahme an demselben aufforderte und nach manchen Besprechungen es dem Director, Herrn Regierungsrathe von Ettingshausen vorlegte, der es auch in seinen freundlichen Schutz nahm und durch den Mechaniker Merker ausführen liess.

Erst beim Studium der Literatur auf die Arbeit von Franz aufmerksam geworden, können wir doch, da wir in der Veröffentlichung um mehrere Jahre zu spät kommen, unsere Arbeit nur an die seine reihen, sowie wir in der kurzen historischen Besprechung die von Franz an die Seebeck'sche schliessen mussten, ob er schon die seine selbstständig ersonnen und ausgeführt hat.

Wir nennen unseren Apparat Sklerometer (σχληρος == hart).

Beschreibung unseres Apparates.

Eine Messingscheibe A von 6'' Durchmesser sitzt auf einer kleineren Scheibe a so auf, dass sie, wenn die Schraube S_1 gelüftet wird, auf dieser um die Axe der Schraube beweglich ist. Die Scheibe a wird von 3 Füssen g getragen, die durch Stellschrauben T auf einer hölzernen Unterlage unverrückbar aufgestellt werden.

Die Scheibe A trägt 3 parallele, vollkommen politte dreikantige Prismen p von gehärtetem Stahle, welche als Schienen von möglichst geringer reibender Oberfläche dienen. Sie sind mit grosser Borgfalt geschliffen und justirt, so dass ihre nach aufwärts gerichteten Schneiden möglichst in eine Ebene fallen.

An einem Ende der Schienen befindet sich eine mit der Scheibe A unverrückbar verbundene hohle Säule K, in der ein solider messingener Cylinder C auf und ab bewegt werden kann. Seine Bewegung wird vermittelt durch eine Schraubenmutter c, die durch das mit A verbundene Messingstück k an ihrer Stelle festgehalten wird, und in welcher das untere schraubenförmige Ende des Cylinders C steckt, so dass eine Drehung der Mutter c den Cylinder hebt oder senkt, so weit es das schraubenförmige Ende desselben zulässt, das eine Länge von 2·5 Zollen hat.

Der solide Cylinder C trägt oben 2 Backen B und B', welche dazu dienen, zwei Schrauben b attfzunehmen, die mit gehätteten Stahlspitzen enden, und so justirt sind, dass sie eine Axe bilden für

eine messingene Hebelstange HH' (oder hh' Fig. 2), die senkrecht gegen ihre Längenrichtung, in der Linie die den Schwerpunkt derselben in sich enthält, zwei stählerne hohle konische Einsatzstücke trägt, so dass der Hebel zwischen den konischen Schraubenspitzen mit kleinster Reibung schwebt. Die Backe B' trägt einen Gradbogen; ausserdem sind beide bei $\beta\beta'$ noch einmal durchbohrt um zwei Schrauben aufzunehmen, von denen die eine β in ein elliptisches Cylinderstück eingeschraubt ist, während die andere β' nur dazu dient, das Stück centrisch zu stützen. Wird β' herausgeschraubt, so kann auch β , indem man das Cylinderstück m festhält, herausgeschraubt, und dadurch der vordere Raum zwischen den beiden Backen frei gemacht werden.

Der Hebel HH' trägt an seinem vorderen Ende H eine Schale k die an ihrem Stiele einen Gradbogen hat und um r mit bedeutender Reibung bewegt werden kann. Nach abwärts dagegen ist senkrecht gegen die Längenrichtung des Hebels ein Zapfen z gerichtet, dessen Ende schraubenförmig geschnitten ist, so dass an denselben die konische Spitze angeschraubt werden kann, die zum Ritzen der Flächen dienen soll. Auf der anderen Seite trägt der Hebel eine Libelle L mit kurzer Blase und eine Schraubenmutter H mittelst deren der Schwerpunkt in die Aufhänge-Axe gebracht werden kann, wenn er aus derselben durch irgend eine die Länge der beiden Arme afficirenden Ursache verrückt worden sein sollte. Über dem Mittelpunkte sowie im Punkte r sind stählerne Zungen und etwas seitwärts vom Mittelpunkte, doch noch über dem Ende des Cylinders C eine Schraube t, mittelst deren und der Schrauben $\beta \beta'$ der Hebel verhindert wird, allzu grosse Ausschläge zu machen, und beim Transport festgehalten werden kann. Das Gewicht des ganzen Hebels beträgt 41.623 Grammen.

Der Hebel hh' ist ein dünnes */4" hohes, */4" breites Stahlprisma, das bei h' in eine feine Schraube ausläuft, an welcher eine messingene Mutter sich befindet. An das Prisma ist eine kurze Scheide v gesteckt, die die konischen Bohrungen für die Drehungsaxe und oben eine Zunge trägt; die Drehungsaxe geht hier wieder durch den Schwerpunkt, so dass die Hebelstange in jeder Lage stehen bleibt. Am vorderen Ende ist eine ähnliche Scheide angesteckt und durch ein Schräubchen an das Prisma befestigt; es trägt das Schälchen h, das um r mit Reibung drehbar ist; nach unten befindet sich

der Zapfen z, an den die Spitze geschraubt werden kann. Das Gewicht des ganzen Hebels ist 4.573 Grammen.

Der zweite Hauptbestandtheil unseres Apparates ist der Wagen, der den zu untersuchenden Krystall trägt. Er besteht aus folgenden Theilen:

Eine Scheibe B, welche an ihrer untern Seite drei Füsse entsprechend den drei Schienen trägt, welche dazu dienen, die stählernen Räder R aufzunehmen, die zwischen Spitzen laufen und deren Peripherie eine Rinne ist, deren Öffnung etwa 10° grösser ist als die Schneide der Schienen; die beiden hinteren Räder laufen auf den äusseren, das vordere auf der mittleren Schiene. Oben trägt die Scheibe B eine Kreistheilung in ganze Grade.

Die Axe dieser Scheibe ist durchbohrt und lässt einen cylindrischen Stift durch, der unten eine Schraubenbohrung besitzt, in welche die Schraube S, eingeführt wird. Dieser Stift endigt nach oben in eine Kugel, welche in eine Nuss eingelassen ist; die Nuss aber trägt die Scheibe D. An dem Stifte steckt mittelst einer Einzahnung unverrückbar eine Scheibe C die auf der Scheibe B aufliegt und diametral zwei Linien-Indices hat. Wird die Schraube S, angezogen, so kann C mit dem Stifte gedreht werden und der Linien-Index wandert an der Peripherie des getheilten Kreises herum.

Die Scheibe D trägt einen Supportschlitten V, V und hat in Abständen von 120° drei Bohrungen, in welche Schrauben d, d, d eingeführt sind, die auf der Scheibe C stehen. Mit Hülfe dieser wird, wie unten gezeigt werden wird, der auf dem Supportschlitten befestigte Krystall horizontal eingestellt und zugleich die Scheibe D an C festgeklemmt, so dass keine Drehung um die Nuss, sondern einzig umdie Axe in B geschehen kann; es wird daher der Index auf C die Drehung des Krystalles auf der Theilung von B angeben.

Der Schlitten V ist mittelst der Schraube v auf der Scheibe D verschiebbar; er trägt eine Messingplatte, die senkrecht gegen seine Längenrichtung liegt und in der ein zweiter Schlitten V mittelst der Schraube v' bewegt wird, dieser Schlitten trägt einen messingenen Reif F, in welchen die Krystallträger N und N zu stecken sind.

N ist eine kreisrunde Platte auf einer Trommel, die in den Reif F genau passt und in demselben nur schwer verschoben werden kann (die Verschiebbarkeit kann durch eine einfache Einzahnung

ganz beseitigt werden). N ist ganz wie N, nur trägt die Platte vier kleine, um 90° von einander abstehende Aufsätze, in welchen Schrauben stecken, mittelst deren ein kleinerer Reif f festgeklemmt werden kann.

Die Scheibe B trägt vorne, an der der Säule K abgewandten Stelle einen Messinghaken, an welchen ein Faden geschlungen werden kann, der über die feste Rolle P geht und eine Schale Q trägt. In dem hölzernen Untersatz, in welches die Stellschrauben T, T, T eingelassen sind, ist unter der Schale Q eine Schraube mit flachem grossen Kopfe eingeführt, welche der Schale Q als Ruhelager dient, und mehr oder minder in die Unterlage versenkt werden kann.

Gebrauch des Apparates.

Die hölzerne Unterlage wird auf einen festen, nicht zitternden Tisch gestellt und durch eine Schraube, die statt des vierten Fusses durch dieselbe geführt ist, solid aufgestellt.

Hierauf wird der Wagen aus den Schienen gehoben und mittelst einer Libelle und der Stellschrauben T die Schienenscheibe A horizontal eingestellt. Man kann hierzu unmittelbar die Libelle des Hebels benützen, sobald man sich markirt hat, welchen Theilstrich die Zunge derselben auf den Gradbogen des Backens B bei vollkommener Horizontalstellung der Schienenscheibe und durch die Schraube β geschehener Einstellung der Libelle anzeigt. Man braucht dann nur vor jeder Horizontalstellung mittelst β den Hebel so zu stellen, dass die Zunge den entsprechenden Grad notirt (bei der ursprünglichen Justirung des Instrumentes ist dies 0°; es ist jedoch rathsam von Zeit zu Zeit mit Hülfe einer auf die Schienenscheibe gesetzten guten Libelle zu prüfen ob nichts verändert worden), und die Schienenscheibe auf der Unterscheibe a einmal in die Richtung zweier Stellschrauben, das anderemal senkrecht dagegen zu stellen und so durch Beobachtung der Luftblasen in L die Scheibe A in eine horizontale Lage zu bringen. Da dabei das untere schraubenförmige Ende des soliden Cylinders C an die Füsse g stossen könnte, so wird mittelst c der Cylinder so hoch geschraubt, dass dies nicht möglich wird. Ist die Scheibe horizontal gestellt, so wird sie so gedreht, dass die mittlere Schiene gegen die Schraube U und den Beobachter gerichtet ist, wesshalb man sogleich bei der ersten Aufstellung die hölzerne Unterlage so setzt, dass die Schraube U zunächst dem Beobachter, und der ganze Apparat nicht seiner Länge sondern seiner Höhe nach vor diesen zu stehen kommt.

Nun wird der Wagen sammt dem daran befestigten Krystalle auf die Schienen gesetzt. Ist der Krystall gross, so wird entweder seine untere (der zu untersuchenden Fläche entgegengesetzte) Seite abgeschliffen, oder wo dies nicht angeht durch Ansetzen von Wachs eine Fläche geschaffen, mittelst deren er auf die Platte N aufgesetzt werden kann. Die Platte wird zu dem Zwecke vorläufig mit einer dünnen Wachsschicht überzogen, indem man sie über den Schmelzpunkt des Wachses erwärmt und dann einigemal mit einem Wachsstücke darüber hinfährt: auf diese Wachsschicht wird die untere Fläche des Krystalles gelegt, wo sie sofort bei Erkalten des Wachses adhärirt und jedesmal wieder leicht durch geringes Erwärmen abgenommen werden kann. Sollte die untere Fläche auch benützt werden zur Härtebestimmung, so wird das anklebende Wachs durch Abwaschen mit warmem Spiritus und vorsichtiges Abwischen wieder gereinigt und im Nothfalle nachpolirt.

Es ist dabei, besonders wenn der Krystall bedeutende Dimensionen hat, schon beim Aufkleben wohl darauf zu achten, dass die zu untersuchende Stelle desselben möglichst über den Mittelpunkt der Scheibe N zu liegen komme. Denn oft hat man zwar grosse Flächen vor sich, aber nur einige Stellen derselben besitzen die für eine solche Untersuchung nöthige Politur und Beschaffenheit, wo es dann leicht geschehen kann, dass bei Nichtbeachtung der hier empfohlenen Vorsicht gerade diese Stelle, sehr unbequem, ausser die Drehungs-Axe des Scheibensystemes fällt.

Ist der Krystall nach allen Seiten hin durchsichtig, so werden die Spiegelungen der verschiedenen Flächen desselben, in sofern sie sich auf die beobachtete Fläche projiciren, so wie gewisse innere sichtbare Structurverhältnisse dem Beobachter störend und es ist nothwendig, solche Krystalle zu schwärzen bis auf die beobachtete Fläche, indem man sie mit einer Schicht von Kienruss, der in Gummiwasser oder Terpentinlösung vertheilt wurde, zu überziehen. Es lässt sich dieselbe immer leicht wieder unbeschadet der Politur der Krystallflächen nach der Beobachtung entfernen.

Liegen nur kleine Krystalle der Untersuchung vor und geht es nicht leicht, sie nahezu horizontal aufzukleben, so kann man sich der Aufsatzplatte N' bedienen. Es wird nämlich der Reif f mit einer

plastischen Masse von Gyps, Harz oder Wachs oder was eben nach der Natur der zu untersuchenden Substanz am passendsten erscheint, angefüllt und in diese der Krystall versenkt; ein Verfahren, das besonders bei der Untersuchung chemischer Präparate, die sehr weich sind, anzuwenden ist.

Der auf irgend eine der angegebenen Arten befestigte und vorläufig nach dem Augenmass horizontal eingestellte Krystall muss nun vollkommen horizontal gestellt werden, theils damit die ritzende Spitze auch bei der Drehung des Krystalles stets dieselbe Richtung gegen die Flächen behalte, theils um mit Sicherheit die Lage der Spaltungsflächen gegen die Direction der eindringenden Spitze jederzeit angeben zu können. Zu dem Zwecke wird zuerst mittelst der Schraube β der Hebel, auf dessen Gewichtsschale ein geringes Gewicht gelegt wird, um das freie Schwanken, das aus der Bewegung der Libellenblase entspringt, zu verhindern, so eingestellt, dass die Blase in der Mittellage einspielt, und hierauf mittelst der Schraubenmutter c der Cylinder C so lange gehoben oder gesenkt, bis die Spitze nahezu auf die zu ritzende Fläche trifft. Nun zieht man den Wagen vorsichtig (um das Anstossen der Spitze an die Krystallfläche bei schiefer Lage der Letzteren zu vermeiden) auf den Schienen weiter und beobachtet ob das Spiegelbild der Spitze in der blanken Krystallstäche immer in gleichem Abstande von der wirklichen Spitze sich hält: sollte dies der Fall sein, so dreht man die Scheibe C um 90° und versucht es nun auch in dieser Lage; wenn auch hier die Entfernung sich gleich bleibt, so ist an der Einstellung nichts weiter zu ändern. Sollte aber. wie dieses wohl in den meisten Fällen geschehen wird, die vorläufige nach freiem Augenmass geschehene Einstellung ungenau sein, so bringt man zuerst zwei der Stellschrauben d in die Richtung der Schienen und bringt durch abwechselndes Nachlassen und Anziehen derselben die Horizontalstellung erst für die eine Richtung in Ordnung; dann dreht man den Krystall um 90° und corrigirt die jetzt sich ergebende Abweichung mit der dritten Schraube. Hierbei ist nur darauf zu achten, dass einerseits nicht Gewalt gebraucht werde, da bei der Weichheit des Materials, aus dem die Scheiben verfertigt sind und der mächtigen Wirkung, die mit einer feinen Schraube ausgeübt werden kann, leicht alles verbogen wird, so dass es immer rathsam ist, ehe man eine Schraube anzieht, erst die andere oder die anderen nachzulassen; andererseits aber nach vollendeter Horizontalstellung alle 3 Schrauben anzuziehen, damit nicht die Drehung um die Nuss stattfinde, welche nur zur Ermöglichung der Horizontalstellung dienen darf.

Ehe man mit dem also eingestellten Krystalle zu operiren beginnt, muss die Richtung der Ritzlinie gegen die Krystallkante bestimmt werden, um einen Zusammenhang zu behaupten zwischen den untersuchten Richtungen und den Axen und Flächen des Krystalles. Zu dem Ende wird eine der die zu untersuchende Fläche begrenzenden Kanten, oder wenn etwa parallel zu einer derselben deutliche Spaltungslinien an der Oberfläche wahrnehmbar sind, eine solche mit Hülfe der Schrauben der beiden Schlitten V und V und einer entsprechenden Drehung der Scheibe C, parallel zur Richtung der durch die gespiegelte Spitze bestimmten Ritzlinie gestellt und hierauf an dem Index von C die Lage dieser Kante abgelesen und notirt. Auf diese Normalstellung wird sodann alles andere zurückgeführt. Hätte man z.B. einen Steinsalzkrystall auf der Aufsatzplatte, so wird man mittelst V, V und der entsprechenden Drehung die Lage desselben so verrücken, dass die gespiegelte Spitze bei einer Bewegung des Wagens knapp neben der Kante, und parallel an dieser sich fortbewegt; zeigt der Index an C etwa 35 $^{\circ}$, so wird man, um die Spitze in die Richtung der Diagonale zu bringen, die Scheibe C nur in $35 \mp 45 = -10^{\circ}$ oder $\pm 80^{\circ}$ einzustellen haben; ist man an die nächste Kante gelangt, so dreht man noch um ± 45°, und stellt somit den Index auf - 550 oder + 1250. Wäre aber ein Alaunkrystall zu untersuchen, und zeigte der Index in der Normalstellung + 35°, so würde um die Spitze in die zu den beiden anderen Kanten parallele Lage zu bringen, eine Drehung um $35 \pm 60^{\circ}$ nöthig u. s. f.

Man sieht, dass dieses Instrument zugleich mit grosser Genauigkeit die Messung ebener Winkel an gut polirten Flächen zulässt.

Ist der Krystall auf diese Weise eingestellt, so wird der Hebel bei vollkommenem Einspielen der Luftblase (oder bei Anwendung des kleineren Hebels, bei vollkommenem Einspielen der Zunge) mittelst c bis zur wirklichen Berührung herabgelassen, die an der geringsten Verrückung der Luftblase (oder Zunge) wahrgenommen wird. Nun kann die Untersuchung auf dreierlei Weise geführt werden.

Erstens. Constantes Minimum des Auflagegewichtes. Man bestimmt beiläufig das Gewichts-Minimum, mit welchem nach irgend einer Richtung noch eine Ritze möglich ist. Hierauf lässt man den

Krystall zu wiederholtenmalen unter der mit diesem Minimum auf ihn niedergedrückten Spitze weglaufen, indem man mittelst β die Spitze immer hebt, wenn der Wagen zurückgeschohen wird, und notirt die Zahl der auf diese Weise wiederholten Risse, welche endlich einen sichtbaren Ritz liefern. So fanden wir an einem kleinen Kalkspathkrystalle nach dieser Methode bei einem Auflagegewichte von 0.6 Grammen (die Richtung vom stumpfen (Axial-) Eck zum spitzen (Seiten-) Eck 0.0 gesetzt):

	•		,		
bei	00			18.5	bei 360° 15
*	150			17.5	"345 °18
,,	30•			17.5	" 330° 18·5
29	450			14	, 315° 12·5
,,	600			15.5	· " 300° 16
*	760			14	"285°12
,	80•			10	" 270° 11·5
n	105•			9.5	, 255° 9·5
,	1200			9	, 240°9
,,	1350			7	, 225° 10
39	1500			7.5	"210° 7
**	1650			7	" 195° 8
**	1800			6	" 180° 6,

d. i. bei 0° lief der Krystall im Mittel 18.5mal unter der mit 0.6 Grammen auf ihn niedergedrückten Spitze weg, bis ein deutlicher Riss entstand. Das Mittel ist überall aus 4 Beebachtungen genommen, indem der Krystall nach jeder einzelnen mittelst V und V parallel verschoben wurde. Die Abweichungen der zweiten Columne von der ersten rühren daher, dass die Krystallfläche durch die ersten Beobachtungen schon so zerkratzt war, dass dadurch minder zuverlässige Daten resultirten. — Diese Beobachtungsweise hat den Übelstand, dass sie die Spitzen erstens sehr abnützt, zweitens viel Zeit kostet und bei einem einigermassen raschen Arbeiten ein Stossen der Spitzen gegen die Krystallfläche unvermeidlich ist; drittens dass sie das vollkommene Wiedertreffen der Spitze auf dieselbe Stelle des Krystalles fordert, was wieder die vollkommene Unverrückbarkeit des Hehels und Krystalles voraussetzt, wovon das erstere wohl leicht und sicher, das letztere aber um so weniger verbürgt werden kann.

Zweitens. Constantes Maximum des Auflagegewichtes. Man bestimmt beiläufig das Gewichts-Maximum, mit welchem nach irgend einer Richtung ein Ritz möglich ist, d. i. das Gewichts-Minimum, mit welchem die härteste Richtung des Krystalles noch angegriffen wird. Hierauf hängt man die Schale Q an den Apparat und bestimmt die Gewichte, die aufgelegt werden müssen, um den Krystall unter der mit jenem Maximum auf ihn drückenden Spitze noch wegziehen zu können. Offenbar ist die Härte desto grösser je geringer dieses Gewicht ist, denn desto seichter ist die Furche, welche in diesem Falle die Spitze gräbt. Bei einem Auflagegewicht von 20 Grammen fanden wir an demselben Krystalle, dessen Flächen durch Spaltung erneuert und vollkommen geschliffen worden:

bei	0.		•	. 10.53	bei 360°.	. 11.20
29	150			. 10.89	, 345.	. 10.99
,,	300	•		. 11.62	" 330 .	. 11.57
29	450			. 13.22	" 315 .	. 12.59
,	60•			. 13.92	" 3 00 .	. 14.50
,	750			. 14.15	" 285 .	. 14.25
n	900			. 14.09	" 270 .	. 15.08
,,	1050			. 14.56	" 255 .	. 15.61
,,	1200			. 14.79	, 240 .	. 15.23
>1	135•			. 16.25	" 225 .	. 16.13
,,	1500			. 16.53	, 210 .	. 18.21
,,	1650			. 16.65	, 195 .	. 18.01
99	1800			. 18.90	" 180 .	. 18.90.

Um den Wagen allein in Bewegung zu setzen, bedurfte es eines Gewichtes von 8.53 Grammen; um den Wagen sammt einer Belastung von 20 Grammen fortzubewegen, war ein Gewicht von 9.69 Grammen nothwendig. Die Zahlen sind wiederum Mittelwerthe aus 4 Beobachtungen. Die Abweichungen der zweiten Columne entspringen aus derselben Quelle, wie im ersten Falle. Es fand sich, dass diese Methode nicht so genau wie die vorige ist, wenn sie auch weniger Zeit kostet; dass sie die Spitzen ungefähr ebenso abnützt, dass sie vollkommene Horizontalstellung der Schienenscheibe fordert; dass sie die zu untersuchenden Krystalle tiefer ritzt und folglich mehr beschädigt; dass eine geringe Zunahme in der Reibung zwischen Schienen und Rädern die mögliche Genauigkeit zerstört.

Drittens. Verschiedenes Auflagegewicht und Ermittelung des Minimums, welches nach einer gegebenen Richtung den Krystall noch ritzt. Diese von Seebeck zuerst und dann von Franz in

Anwendung gebrachte Methode (die zweite ist auch schon von Seebeck angegeben und auf derselben gründet sich der veränderte Apparat von Franz) bewährte sich als die brauchbarste und es sind die sogleich mitzutheilenden Untersuchungen sämmtlich nach derselben gemacht worden. Sie erfordert nicht die strenge Einstellung der Scheibe A; nützt die Spitzen am wenigsten ab; verletzt die Krystallfläche nur wenig und lässt eine rasche Arbeit zu. Ich konnte mit derselben Spitze im Durchschnitt 160 Beobachtungen machen, welche beiläufig 6 Stunden kosteten.

Um die Spitzen zu prüfen, bedienten wir uns des schönen brasilianischen Glimmers, der so gleichförmige und reine Flächen liefert als man nur immer wünschen kann. Gyps ist wegen seiner geringen Elasticität und daraus entspringenden Brüchigkeit in den kleinsten Dimensionen von uns nicht brauchbar befunden worden. Die Probeplatte wurde immer in der Richtung der grossen Diagonale geritzt, die sich mit Hülfe der Turmalinzange ein für allemal bestimmen lässt, und die Spitzen nach je 20 Beobachtungen an der Probeplatte versucht. Zeigte sich eine Veränderung, so wurden sie abgeschraubt und durch Schleifen wieder hergestellt, oder was wir zuletzt auch thunlich fanden, es wurden nach den Angaben der Probeplatte die Resultate reducirt.

Soll endlich die Untersuchung bei schief eindringender Spitze geführt werden, so wird β und β' herausgeschraubt und der Hebel so gestellt, dass die Spitze die geforderte Richtung erhält; hierzu dient der Bogen am Backen B'. Damit die Gewichte auf der Schale nicht abgleiten, dreht man letztere um die Drehungsaxe ihres Stieles bis sie die entsprechende Sicherheit gewährt; bei dem grösseren Hebel ist zu dem Ende auch noch unter der Gewichtsschale ein Gradbogen angebracht.

Sklerometrische Durchforschung des Kalkspathes.

Wir hahen viele Stücke isländischen Spathes untersucht und gefunden, dass die Härte derselben ziemlich variabel ist; constant sind nur die Verhältnisse in den Gewichten, die in bestimmten Flächen und Richtungen einen Ritz zu erzeugen noch fähig waren. Wir werden hier nur jene Untersuchungen im Detail mittheilen, welche an einem grossen Doppelspath gewonnen wurden, dessen Dimensionen es erlaubten, nebst den Flächen der Theilungsgestalt noch andere

anzuschleifen und der Prüfung zu unterziehen; gelegentlich schliessen sich dann die an kleinen Stücken erhaltenen, abweichenden Daten an. Sämmtliche Zahlen sind Mittelwerthe aus 4-10 Versuchen und es ist zu bemerken, dass die Abweichungen von diesen nicht in einer Unzuverlässigkeit des Instrumentes ihren Grund finden, sondern vielmehr aufs Innigste mit Structur-Verschiedenheiten zusammenhängen, da eine und dieselbe Spitze, abwechselnd an den abweichenden Stellen versucht, ausnahmslos immer dieselbe Abweichung angab. Die Versuche wurden entweder in der Weise angestellt, dass jede Richtung mehrfach geprüft und erst nach einer genügenden Anzahl (4-10) von Beobachtungen zur nächsten Richtung fortgeschritten wurde; oder dass der Reihe nach jede Richtung nur einmal, aber derselbe Cyklus mehrmal durchgenommen wurde. Letztere Methode kostet mehr Zeit, lässt aber vollkommener alle Veränderungen der Spitze eliminiren, indem sie den Einfluss derselben über alle Beobachtungen gleichförmig vertheilt: erstere ist kürzer und gewährt bei gehöriger Vorsicht kaum minder genaue Resultate.

c) Rhomboeder R.

Nach Frankenheim liegt die grösste Härte in der längeren, die geringste in der kürzeren Diagonale; nach Seebeck ist die härteste Richtung von der stumpfen Ecke gegen die spitze Seitenecke, die weichste in der längeren Diagonale; nach Franz fällt das Maximum in dieselbe Richtung wie Seebeck angibt, das Minimum dagegen in die entgegengesetzte, während die Härte längs der längeren Diagonale einen Mittelwerth behauptet. Unsere Beobachtungen bestätigen völlig die letzteren Angaben; wir erhalten nämlich die Richtung von der stumpfen Ecke nach abwärts als Ausgang nehmend.

0º (kleine	Diagonale, nach	al	w	irts	3)		285	Centigrammes
39• (senkred	eht zur Kante)						250	,,
51º (parallel	zur Kante) .						213	,
90• (grösser	e Diagonale)						152	"
129 (paralle	zur Kante) .						137	,
141º (senkre	cht zur Kante)						126	"
•	Diagonale, nach							,

Zur Beurtheilung der Unregelmässigkeiten in diesen Verhältnissen theilen wir hier die einzelnen Beobachtungen mit, aus denen die obigen Mittelwerthe gewonnen wurden.

00	305	265	300	290	285	265	275	305	290	280
390	280	242	222	260	258	240	238	261	274	205
510	245	215	200	235	215	212	212	215	200	200
90•	170	160	135	150	155	140	135	130	195	118
1290	150	140	120	100	140	120	140	130	140	148
1410	150	125	120	115	140	120	135	115	125	125
180•	100	105	120	80	115	80	80	100	100	90

Die jenseits 180° fallenden Richtungen wurden nicht untersucht, da sie der Krystall-Symmetrie wegen mit den der anderen Hälfte stimmen müssen; einzelne zur Versicherung über diese Annahme unternommene Beobachtungen lassen hierüber keinen Zweifel übrig.

An anderen Krystallstücken erhielten wir (Mittelwerthe aus je 6 Beobachtungen).

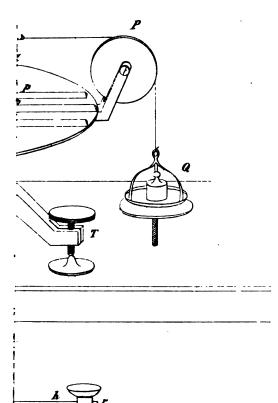
I.	Maximum	$0^{\circ} = 372$	Minimum	$180^{\circ} = 147$
II.	n	=365	,	 150
III.	,,	= 354	,,	= 140
IV.	n	=340	,	= 138
V.	n	=307	,	= 124
VI.	,,	=300	,,	= 120
VII.	n	=297	"	 115
VIII.	,	= 295	,	— 97
IX.	,,	= 290	,,	 85

Es gehört somit unser grosser Doppelspath, an dem die zunächst mitzutheilenden Untersuchungen ausgeführt wurden, unter die weichsten Stücke dieses Minerals.

b) Endfläche $R - \infty$.

Frankenheim fand gar keine Differenzen; Seebeck und Franz haben sie nicht untersucht.

Wir erhielten:



			,	
ı				
1				
		•		
				I

Diese Mittelwerthe verhalten sich ähnlich wie die bei R zu den Einzeldaten.

Offenbar ist, wie es schon aus der krystallographischen Anschauung folgt, 0°, 120° — 30°, 90°, 150° — 60°, 180° identisch; nimmt man aus diesen die Mittel, so findet man:

Härte-Maximum, senkrecht vom Scheitel des Dreieckes zur Dreieckseite, also parallel zur Prismafläche $P+\infty=489$.

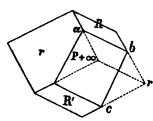
Mittlere Härte parallel zur Dreieckseite, also parallel zur Prismafläche $R+\infty=442$.

Härte-Minimum, senkrecht von der Dreieckseite gegen den Scheitel des Dreieckes, ebenfalls in der Prismafläche $P + \infty = 363$.

c) Prismafläche $P + \infty$.

Sie übertrifft R und $R-\infty$ bei weitem; eine Erfahrung, die jeder macht der sich mit dem Schneiden und Schleifen des Kalkspathes beschäftigt, da der Widerstand den die Feile dort und hier erfährt so auffallend verschieden ist, dass ihn die Hand beim ersten Striche gewahr wird. Franken heim erwähnt dieser Verschiedenheit.

Wir erhielten:



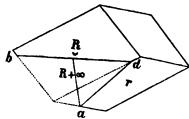
in der Richtung ab (parallel der Combinationskante $R.P+\infty$) 650 Centigrm.; in der Richtung bc (parallel der Combinationskante $r.P+\infty$) 780 Centigrm.; in der Richtung ba (parallel der Combinationskante $R.P+\infty$) 575 Centigrm.; in der Richtung cb (parallel der Combinationskante change cb)

nationskante r. $P+\infty$) 750 Centigrm.

Die Mittelwerthe weichen aber hier viel mehr von den Einzeldaten ab, wie folgende Tafel zeigt.

Richtung ab 600 580 710 640 690 670 690 840 800 bс 750 680 910 580 620 600 510 420 720 bа 800 820 720 750 680 730

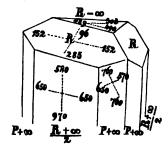
Diese Unsicherheit mag wohl von der Erschütterung und Auflockerung der in die Fläche mündenden Spaltungsblätter beim Schliffe herrühren. Die zwischenliegenden Härteverhältnisse sind so unregelmässig, dass wir die Resultate unserer oftmal wiederholten Messungen nicht mittheilen.



d) Prismenflächen $R + \infty$. Die härteste Fläche des Krystalles.

Wir erhielten in derselben: in der Richtung ac, parallel zur Axe, senkrecht gegen die Combinationskante R. $R + \infty$ 580 Centigrm.

menfläche.



Im Gesammtbild erhält man folglich folgende Übersicht der Härteverhältnisse des rhomboedrischen Kalkhaloides:

Härteste Fläche: $R + \infty$.

Weichste Fläche: R.

Härteste Richtung: 970 Centigrm. Weichste Richtung: 96 Centigrm.

Über künstliches und mineralisches Paraffin.

Von P. Gotthard Hofstädter.

Schon oft sind wissenschaftliche Entdeckungen gemacht worden, welche oft lange nachher eine Anwendung im Leben oder in der Industrie gefunden haben.

Mit dem Parassin scheint es fast ebenso zu gehen. Reichenbach hat vor einer Reihe von Jahren dasselbe gefunden, es aus den verschiedensten organischen Substanzen, auch aus Steinkohlen durch trockene Destillation erhalten und schon damals auf die vortresslichen Eigenschaften dieses Körpers ausmerksam gemacht, welche eine vielseitige Anwendung erlaubten, wenn es gelänge, grössere Mengen davon auf wohlseile Weise zu gewinnen.

Seither wurden von Zeit zu Zeit in der Moldau, in Galizien, in Nieder-Österreich, in Frankreich, in England und an anderen Orten paraffinartige Materien in der Erde gefunden. Diese wurden von Chemikern und Mineralogen gewöhnlich unter dem Namen: Erdwachs, Ozokerit oder fossiles Paraffin zusammengefasst, untersucht und beschrieben.

Zuerst machte darauf aufmerksam Meyer in der Naturforscher-Versammlung in Breslau 1833. Seine Substanz stammte aus Slanik im Packauer Districte in der Moldau. Glocker gab ihr zuerst den Namen "Ozokerit oder Erdwachs". Magnus¹) untersuchte ein Stück dieses Ozokerites von Meyer, fand seine Zusammensetzung identisch mit der des ölbildenden Gases oder was dasselbe ist mit Paraffin und überzeugte sich, dass er trotz seiner anscheinenden Gleichförmigkeit ein Gemenge mehrerer Substanzen sein müsse. Schrötter³) untersuchte ebenfalls diesen Ozokerit, und fand dieselbe Zusammensetzung wie Magnus. Schrötter's Substanz schmolz bei der Temperatur des Wachses (also 62°—63° C.), hatte ein specifisches Gewicht von 0,953, den Kochpunkt von 210° C.

Malaguti³) untersuchte den Ozokerit von Zietrisika, fand wieder die Zusammensetzung gleich der des ölbildenden Gases, trennte denselben durch Auflösen in Alkohol in Portionen von einem Schmelzpunkte von 75°—90° C. und des specifischen Gewichtes von 0,845—0,057. Er beobachtete, dass Salpetersäure darauf reagire, indem sich beim Sieden rothe Dämpfe entwickeln, sagt jedoch, dass das Wachs kaum eine Veränderung dadurch erleide. Malaguti macht ganz richtig die Bemerkung, dass der Ozokerit ein Gemenge verschiedener Substanzen sei von ungleicher Löslichkeit in Alkohol, aber gleicher Zusammensetzung, welcher jedenfalls von Paraffin verschieden und vielfacher Anwendung fähig sei.

Laurent untersuchte eine ähnliche Substanz aus dem bituminösen Schiefer von Autun, welche aber einen Schmelzpunkt von 33°C. hatte. Walter*) untersuchte ein fossiles Wachs von Trouskawiez in Galizien; es schmolz bei 59°C., hatte einen Kochpunkt über 300°C. und eine Zusammensetzung wie die vorhergehenden. Er hielt es für wirkliches Paraffin.

¹⁾ Ann. de Chim. et Phys. LV. 217.

²⁾ Baumgartner's Zeitschrift für Physik und verwandte Wissenschaften. 4. Band 2. Hft. 173.

³⁾ Ann. de Chim. et Phys. 63. 390.

⁴⁾ Ann. de Chim. et Phys. 1840. 75. 214.

Die fossilen krystallisirten Körper, welche unter den verschiedenen Namen: Scheererit, Hartit, Idrialit, Hatchetin, Midletonit bekannt und untersucht wurden, gehören wohl nicht hierher, weil sie ausser ihren abweichenden Eigenschaften auch eine von dem ölbildenden Gase verschiedene Zusammensetzung besitzen.

Im Herbste vor zwei Jahren übergab Herr Seybel dem Prof. Redtenbacher eine krystallinische, angeblich paraffinartige Substanz zur Untersuchung, welche in der Nähe von Bonn nebst flüssigen Ölen durch Destillation eines bituminösen Schiefers gewonnen wurde. Dieselbe wurde durch Pressen, Auflösen in Schwefelsäure. Abscheiden mit Wasser gereinigt und zeigte nebst ihren paraffinartigen Eigenschaften einen Schmelzpunkt von 55°C. Es ist bekannt, dass diese Substanz nun bei Bonn fabriksmässig im Grossen gewonnen. gepresst, mit Wasserdampf destillirt, zur Erzeugung von Lichtern verwendet wird. Die nachfolgenden Versuche wurden mit der ursprünglichen Substanz vorgenommen, welche nicht in der Fabrik gereinigt. sondern sich aus dem Destillate des bituminösen Schiefers abschied und wie oben bemerkt, durch Pressen, mit Schwefelsäure und Was-Im vorigen Sommer erhielt Prof. Redtenser gereinigt war. hacher von seinem Freunde R. A. Smith in Manchester Nachricht. dass dort Herr Young ebenfalls durch Destillation von Steinkohlen bei mässiger Temperatur Parassin gewinne und ein Patent auf diese Erzeugung zu nehmen gesonnen sei. Im Jänner laufenden Jahres überschickte Herr Robert Doms in Lemberg dem Prof. Redtenbacher ein Paar Pfunde einer braunen, wachsartigen, erdwachsoder paraffin-ähnlichen fossilen Substanz, welche in Borystow bei Drohobiez in Galizien vorkommt. Herr Doms schreibt darüber Folgendes: "Sehr häufig in der Nähe unserer Salzformation am Rande der Karpathen kommen mächtige Thonmassen angeschwängert mit Bergtheer, eine Lösung von Ozokerit, Paraffin, Brandharzen und Asphalt in Petrol vor. Die Gewinnung dieses Bergtheers zur späteren Darstellung des Petrols, um solches anstatt des Camphine's in Lampen zu verbrenuen, worauf ich ein Patent für die Monarchie genommen habe, veranlasste mich in Borystow bei Drohohietz einen Schacht abzuteufen, hoffend dieselben Verhältnisse wie in Backu am kaspischen Meere anzutreffen, wo einfache Brunnen ungeheure Mengen Naphta Wenige Spatenstiche unter der Oberfläche fängt der bituminose Thon an, der bei einem Schacht, den ich abteufte, in der 7.

und 8. Klaster am meisten mit Bergtheer durchdrungen ist, in welcher Tiese auch allein der Ozokerit in Ballen in den Thon eingeschlossen vorkam und habe ich bei ²/₂ Kubik-Klaster Erdeaushebung 220 Pfund rohen ausgeschmolzenen Ozokerit erhalten, während der Ihnen zukommende im ganz natürlichen Zustande ist. In den unteren Klastern wird der Thon weniger bitumenreich und habe ich durch Bohrungen bis zur 16. Klaster noch nicht sein Liegendes erreicht."

Das überschiekte Erdwachs war weicher als Wachs; übrigens von wachsartiger Consistenz, schon für sich zwischen den Fingern leicht in jede beliebige Form knetbar und jede Art Eindruck annehmend. Farbe: dunkelschwarzbraun, an dünnen Schichten mit röthlichbraunem Lichte durchscheinend, mit schwachem Dichroismus ins Lauchgrüne in dickeren Schichten undurchsichtig. Glanz: Fettglanz; Geruch: deutlich nach Naphta, kein Geschmack. Specifisches Gewicht bei 25° C. = 0,944, Schmelzpunkt 60° C.

Da diese zwei Arten paraffinartiger Substanzen von Herrn Seybel und Herrn Doms in ihrer Anwendung von Wichtigkeit zu werden scheinen, so veranjasste mich Prof. Redtenbacher dieselben in seinem Laboratorium in chemischer Beziehung etwas näher zu untersuchen.

Da es sich vor Allem um Vergleichung mit Parassin handelte, hatte Herr von Reichenbach die Güte, ein Stück Paraffin abzugeben, welches er aus Buchenholz dargestellt hatte. Der Schmelzpunkt desselben war 47,5° C., das specifische Gewicht 0,862. In genügender Menge kochenden Alkohols aufgelöst, schied es sich beim Erkalten in reichlicher Menge krystallinisch ab. So wie v. Reichenbach in seiner Original-Abhandlung über Paraffin schon bemerkte, lassen sich unter dem Mikroskope recht deutlich drei vorschiedene Arten von Krystallen erkennen. Sie erschienen mir als lange verfilzte Nadeln, als eckige Körner und als perlmutterglänzende Blättchen. Wenn das Paraffin nach und nach aus Alkohol krystallisirt wurde, so liess es sich in mehrere Portionen von verschiedenen Schmelzpunkten trennen. Der in Alkohol löslichste Theil hatte einen Schmelzpunkt von 45° C., die darauf folgenden Portionen von 46,5° C. bis 48° C. Daraus geht hervor, dass das Paraffin in mehrere isomere Kohlenwasserstoffe von verschiedenem Schmelzpunkte durch Alkohol sich spalten lässt.

Auf dieselbe Weise wurde die Substanz von Bonn und die aus Galizien untersucht. Beide lösten sich bei genügender Menge Alkohols vollständig in demselben auf, nur das aus Galizien liess eine kleine Menge Sand zurück. Beide schieden sich auf dieselbe Weise beim Erkalten der alkoholischen Lösung wie Paraffin ab und zeigten unter dem Mikroskope dieselben drei Arten von Krystallen und zwar zuerst immer die nadelförmigen und eckig körnigen und dann die perlmutterglänzenden Blättchen. Beide liessen sich durch fractionirte Krystallisationen in Körper von verschiedenem Schmelzpunkte trennen, und zwar zeigte die Substanz aus Bonn in 5 verschiedenen Portionen einen Schmelzpunkt von 57° C. bis 61° C.; die von Galizien in 11 verschiedenen Portionen einen Schmelzpunkt von 60° C. bis 65°,5 C. nämlich:

Substanz von Bonn:

Substanz aus Galizien:

Beim Verdampfen der letzten Mutterlauge der galizischen Substanz blieb ein steinölartiger Körper zurück. Beide Substanzen zeigten aus Alkohol krystallisirt bei der Analyse die Zusammensetzung des ölbildenden Gases oder des Paraffin. Und zwar gaben:

- I. Substanz aus Bonn, welche bei 61° C. schmolz:
 - 0,320 Grm. mit Kupferoxyd und im Sauerstoffstrome verbrannt:
 - 1.011 Grm. Kohlensäure und 0,4135 Wasser.
- II. Substanz aus Galizien, bei 61° C schmelzend:
 - 0.393 Grm. Substanz,
 - 1,224 Grm. Kohlensäure und 0,5259 Wasser.
- III. Dieselbe bei 65°,5 schmelzend:
 - 0.3281 Grm. Substanz,
 - 1,032 Kohlensäure und 0.422 Wasser.

Den Kochpunkt dieser Substanzen untersuchte ich nicht, weil es bekannt ist, dass die flüssigen so wie festen Kohlenwasserstoffe von der Zusammensetzung des ölbildenden Gases durch die Destillation ihre Kochpunkte ändern.

Aus den vorhergehenden Versuchen geht hervor, dass die paraffinartigen Substanzen aus Bonn und Galizien, wenngleich in der Zusammensetzung und den sonstigen Eigenschaften mit Paraffin übereinstimmend, doch durch ihre Schmelzpunkte von demselben verschieden sind, dass sie so wie das Paraffin selbst Gemenge mehrerer verschiedener isomerer Kohlenwasserstoffe wahrscheinlich von hohen aber verschiedenen Äquivalenten sind.

Die Erfahrung, dass die flüssigen Kohlenwasserstoffe der Fettdestillation mit concentrirter Salpetersäure sich oxydiren und flüchtige fette Säuren liefern, dass ferner die fetten Säuren von hohem
Äquivalente durch Salpetersäure, Bernsteinsäure geben, veranlassten
mich, dieselbe Reaction mit dem Paraffin von Reichenbach und
den Substanzen aus Bonn und Galizien vorzunehmen.

Ich habe jede der Substanzen mit einem grossen Überschusse von concentrirter Salpetersäure übergossen, durch mehrere Tage so lange unter Ersatz der verflüchtigten Säure mit derselben gekocht, bis jede Ölschicht verschwunden war und ein zur Probe herausgenommener Theil der Flüssigkeit mit Wasser sich kaum mehr milchig trübte. Zuletzt wurde die saure Flüssigkeit ziemlich weit eingedampft. Beim Erkalten schied sich aus allen dreien eine reichliche Krystallisation einer weissen Säure in körnigen Krystallen ab. Diese wurde aus Wasser umkrystallisirt und zeigte alle charakteristischen Eigenschaften der Bernsteinsäure.

Die Analyse des Silbersalzes gab folgende Resultate:

1) 0,3196 Grm. bernsteinsaures Silberoxyd aus Parassin von Reichenbach gab:

0.208 Grm. Silber.

- 2) 0,4572 Grm. desselben Salzes gaben, 0,2979 Grm. Silber.
- 3) 0,4887 Grm. desselben Salzes gaben:

0,2605 Grm. Kohlensäure und 0,0543 Grm. Wasser.

- 4) 0,4852 Gr. desselben Salzes gaben: 0,258 Gr. Kohlensäure und 0,0536 Gr. Wasser.
- 5) 0,389 Gr. bernsteinsaures Silberoxyd der Substanz aus Bonn gab: 0,253 Gr. Silber.
- 6) 0,7888 Gr. bernsteinsaures Silberoxyd der Substanz aus Galizien gaben 0,5127 Gr. Silber.
- 7) 0,7975 Gr. desselben Salzes gaben:

0,430 Gr. Kohlensäure und 0,0918 Gr. Wasser, somit

		be	reel	net:				ge	funden:	:	
						1	2	3	4	5	6 und 7
C_8		48		14,45	_			14,54	14,50	_	14,70
H.		4		1,20	_			1,23	1,23		1,28
0,		64	_	19,29					_		
2 Ag	:	216		65,06		65,08	65,00			65,04	64,997
1 Åq	—	232	_	10,000) be	rnstein	saures	Silbero	xyd.		

Wenn die erste Krystallisation der Bernsteinsäure erhalten wurde, roch die Mutterlauge immer sehr stark nach Butter- und Valeriansäure. Die Menge der Substanz bei dem Reichenbach'schen Paraffin so wie bei der aus Bonn, welche ich zur Disposition hatte, war so klein, dass ich die flüchtigen Producte nicht besonders auffing. Bei der Substanz aus Galizien unterwarf ich ein halbes Pfund der Reaction und erhielt 3 Lothe rohe trockene Bernsteinsäure. Dabei fing ich auch die flüchtigen Producte besonders auf. Die gesammte überdestillirte Salpetersäure wurde zum Theile mit Kalkerde gesättigt und die flüchtigen fetten Säuren abdestillirt. Diese wurden neuerdings mit kohlensaurem Natron gesättigt und eingedampft. Die concentrirte Lösung dieser Natronsalze war gelb gefärbt von einer kleinen Menge einer Nitro-Verbindung, welche sehr scharfen stechenden Geruch hatte, aber nicht in solcher Menge vorhanden war, dass sie abgeschieden und besonders untersucht werden konnte. Wurde das Natronsalz mit Schwefelsäure zerlegt, so zeigte sich das Glas mit öligen Striemen belegt und es entstand ein sehr starker Geruch nach Butter- und Valeriansäure. Ich habe es für überflüssig gefunden diese so bekannten Säuren hesonders zu isoliren und einer Analyse zu unterziehen.

Eine kleine Menge, ein Quentchen des moldauischen Ozokerits, welche ich der Güte des Herrn Directors Partsch verdanke, wurde auf dieselbe Weise mit Salpetersäure behandelt, auch er schien im Rückstande dieselben Producte zu geben, doch war die Menge zu klein um sichere Versuche damit anstellen zu können.

Das Paraffin von Reichenbach, die paraffinartigen Substanzen aus Bonn so wie aus Galizien geben also mit Salpetersäure dieselben Zerlegungsproducte und zwar solche, welche den Schluss erlauben, dass ursprünglich alle diese Paraffine durch einen Reductionsprocess aus fetten Körpern entstanden sind. v. Reichenbach theilte Prof. Red tenbacher die Beobachtung mit, dass er durch Destillation rindenreicheren Holzes eine grössere Ausbeute an Paraffin erhalten zu haben glaube, wie von blossem Holz. Der Destillations-Process in einer Richtung hin, so wie der Process der Bildung der Steinkohlen und ähnlicher Körper, ist ja doch stets ein und derselbe Reductions-Process.

Über die Darstellung und Zusammensetzung einiger Salze.

Von Karl Ritter v. Hauer.

Die nachstehenden Untersuchungen wurden im Laboratorium der k. k. geologischen Reichsanstalt bei verschiedenen Veranlassungen ausgeführt, und wiewohl dieselben mithin in keinem unmittelbaren Zusammenhange stehen, erschien es doch zweckmässig, diese einzelnen Beobachtungen als einen Beitrag zur Charakteristik einiger unorganischer Verbindungen zu sammeln und vereinigt mitzutheilen.

Unterschwefligsaures Kupferoxydul.

Nach Herschel¹) erhält man durch Fällen von unterschwefligsaurem Kupferoxyd, oder durch Digeriren von unterschwefligsaurem Kupferoxyd eine farblose, süss schmeckende Auflösung, die mit Ammoniak gesättigt, sich an der Luft bläut. Heinrich Rose²) führt unter den Reactionen welche beim Versetzen der Lösungen von Metallsalzen mit unterschwefligsauren Alkalien stattfinden, bezüglich der Kupfersalze an, dass die letzteren mit wässerigem Einfachchlorkupfer in der Kälte einen weissen Niederschlag von Halbchlorkupfer geben; mit sauerstoffsauren

¹⁾ L. Gmelin's Handbuch der Chemie, 5. Auflage. 3. Bd., S. 397.

²⁾ Poggendorffs Annalen, 21. Bd., S. 439.

Kupferoxydsalzen aber in der Kälte anfangs nichts, sondern erst nach langer Zeit eine Trübung; mit sämmtlichen Kupferoxydsalzen beim Kochen einen schwarzen Niederschlag von Schwefelkupfer. Endlich erwähnt Pfaff ¹), dass Kupferoxydsalze mit unterschwefligsauren Alkalien einen gelbgrünen Niederschlag geben, der nach einiger Zeit rothbraun wird.

Alle diese scheinbar nicht ganz in Einklang zu bringenden Reactionen finden Statt je nach der relativen Menge der zusammengebrachten Salze und der Temperatur, welcher das Gemische ausgesetzt wird. Bei den zahlreichen Säuren, welche der Schwefel mit Sauerstoff bildet, ist es natürlich, dass eine Menge verschiedener Zersetzungsproducte entstehen, welche Processe genau zu eruiren wohl nur dann möglich wird, wenn es gelingt, irgend eine oder die andere der entstehenden Verbindungen isolirt darzustellen.

Eine Untersuchung des Verhaltens von unterschwestigsaurem Natron zum schweselsauren Kupseroxyde führte zu dem Resultate, dass beim Vermischen der wässerigen Lösungen der beiden Salze, unter im Folgenden näher zu bezeichnenden Verhältnissen, unterschwestigsaures Kupseroxydul ziemlich rein dargestellt werden könne. Doch ist stets eine veränderliche Menge des leicht gleichzeitig entstehenden Natrondoppelsalzes beigemengt, welches Lenz beschrieben hat. Dasselbe erscheint krystallisirt und zeichnet sich durch eine intensiv gelbe Farbe aus, ist lustbeständig und ergab nach dem Trocknen über Schweselsäure eine Zusammensetzung nach der Formel:

$$Cu_3 O.3S_2 O_2 + 2HO.$$

Da die Darstellung dieses Salzes einige Vorsichtsmassregeln erheischt, bei deren Ausserachtlassung dasselbe ausser dem genannten Doppelsalze Schwefelkupfer beimengt enthält, so soll dieselbe umständlicher beschrieben werden.

Man bereitet eine in der Kälte gesättigte wässerige Lösung von unterschwefligsaurem Natron, und versetzt diese nach und nach mit einer concentrirten wässerigen Lösung von Kupfervitriol. Die Lösung bleibt anfangs, so lange das unterschwefligsaure Natron stark im Überschusse ist, wenn sie nach jedem neuen Zusatze von schwefelsaurem Kupferoxyde zur gleichmässigen Vermischung umgeschüttelt wird

¹⁾ Schweigger's Journal, 44. Bd., S. 490.

vollkommen farblos, und zeigt die von Herschel angeführten Eigenschaften. Bei mehr Zusatz wird die Flüssigkeit blassgelb, dann intensiv gelb, gelbgrün, endlich intensiv grün. So lange die Lösung farblos, was, wie angeführt, dann der Fall ist, wenn noch viel überschüssiges unterschwefligsaures Natron vorhanden ist, kann eine Abscheidung von unterschwefligsaurem Kupferoxydul nicht vor sich gehen, da dieses Salz in so reichlicher Menge in demselben löslich ist, namentlich in einer erwärmten Lösung, dass es damit eine dicke ölige Flüssigkeit bildet. Wird eine Lösung bei gelinder Wärme eingedampft, so dauert dies aus dem angeführten Grunde so lange, dass durch den Zutritt der atmosphärischen Luft eine Oxydation stattfindet; bei höherer Temperatur aber entsteht, wie H. Rose angibt, Schwefelkupfer.

Ist das Gemische der beiden Salze grün, so rührt die Farbe daher, dass schwefelsaures Kupferoxyd bereits im Überschusse vorhanden ist, welches mit dem gebildeten gelben Salze diese Farben-Nuance zeigt.

In dem Momente mithin, als die Mischung der beiden Lösungen eine intensiv gelbe oder höchstens grünlichgelbe Farbe zeigt, ist kein schwefelsaures Kupferoxyd mehr zuzusetzen.

Ein Versuch, welcher Mengen von schwefelsaurem Kupferoxyd und unterschwefligsaurem Natron es hierzu bedarf, erwies, dass mindestens 4 Atome des letzteren auf 2 Atome des ersteren nöthig sind. Bei überschüssigem schwefelsauren Kupferoxyd entsteht ausnahmsweise das angeführte Natrondoppelsalz. Das erhaltene Gemische zeigt übrigens schon eine grünliche Farbe, und es ist für die Darstellung des Salzes besser, noch etwas weniger Kupfervitriol in der angedeuteten Weise zuzusetzen.

Wird nunmehr die gelbe Lösung an einem nicht dem directen Sonnenlichte ausgesetzten Orte hingestellt, widrigenfalls eine Bildung von Schwefelkupfer stattfindet, und 12 Stunden stehen gelassen, so setzt sich ein reichlicher Niederschlag von der angegebenen Farbe ab, der aus mikroskopisch feinen, kurzen, goldglänzenden Nadeln hesteht, die theils warzenförmig gruppirt sind, theils Rinden an den Wandungen des Gefässes und auf der Oberfläche der Flüssigkeit bilden. Viel schneller wird dieser Niederschlag erhalten, wenn man das Gemische der beiden Lösungen gelinde erwärmt, doch darf diese Erwärmung 50° C. nicht übersteigen, bei welcher bereits

gleichzeitig ein brauner Niederschlag von etwas Schwefelkupfer entsteht, und dessen Bildung namentlich auf dem Boden des Gefässes, wo die stärkere Erwärmung beginnt, stattfindet. Um daher eine gleichmässige oder gelinde Erwärmung der Flüssigkeit zu bewerkstelligen, ist es am zweckmässigsten, das die Flüssigkeit enthaltende Gefäss in ein Wasserbad zu stellen, welches zuvor auf eine Temperatur von eirea 50° C. gebracht worden ist, und darin bis zur Abkühlung stehen zu lassen. Wird die Flüssigkeit längere Zeit über 50° erwärmt, so färbt sich, wie erwähnt, der ganze Niederschlag nach und nach dunkelbraun, endlich schwarz, und erscheint als Schwefelkupfer abgeschieden.

Der entstandene krystallinische Niederschlag wird nach dem Erkalten der Flüssigkeit auf ein Filter gebracht, anfangs einige Male mit wenig kalten Wasser, zuletzt mit Alkohol gewaschen. Da durch den Alkohol dem Salze der grösste Theil des überschüssigen Wassers genommen ist, so trocknet es bald so weit auf dem Filter an gewöhnlicher Luft, um dann etwas zwischen Fliesspapier gepresst und endlich vollends über Vitriolöl getrocknet werden zu können. Wird das Salz blos mit Wasser gewaschen, so zersetzt es sich dann ebenfalls beim Trocknen, ferner wird auch das getrocknete Salz bei 100° vollkommen, am directen Sonnenlichte theilweise zersetzt. Endlich darf es auch nicht über Schwefelsäure zu lange gelassen werden, wobei ebenfalls eine allmähliche Bräunung beginnt. Bei gewöhnlicher Temperatur ist es luftbeständig und verändert sich nicht weiter.

Analyse: Zum Behufe dieser wurde das über Schwefelsäure 24 Stunden lang getrocknete Salz mit rauchender Salpetersäure behandelt, der ausgeschiedene Schwefel für sich gewogen, die Menge der gebildeten Schwefelsäure aber durch Chlorbaryum gefällt. Die Bestimmung der Menge des Kupfers geschah durch Fällen desselben mit Kalihydrat.

0.808 Gramm Substanz gaben 0.282 Gramm Kupferoxyd = 31.41 Procente Kupferoxydul.

0.803 Gramm gaben 0.024 Gramm Schwefel und 2.267 Gramm schwefelsauren Baryt = 41.75 Procent Schwefel.

1.4056 Gramm gaben 0.070 Gramm Schwefel und 3.690 Gramm schwefelsauren Baryt — 41.00 Procent Schwefel, ferner 0.489 Gramm Kupferoxyd — 31.31 Procent Kupferoxydul.

			Gefunden.			
1	Atom	Cu ₂ O	72	30.77	31.41	31:31
6	,,	S	96	41.02	41.75	41.00
6	. ,	0	48	20.51		
2	n	НО	18	7.69		
Cu ₂ O	.3 S, O,	+ 2HO	234	99.99	•	

Beim Erhitzen des Salzes in einer Eprouvette entweicht Wasser, schweflige Säure, Schwefelsäure, es sublimirt Schwefel, und als Rückstand bleibt Schwefelkupfer von grünschwarzer Farbe; wohl nach der Gleichung:

$$Cu_{2} \ 0 \ .3S_{2} \ 0_{3} + 2H0 = 2Cu \ S + 2SO_{3} + SO_{4} + S + 2H0.$$

Das Salz löst sich in Salpetersäure unter heftiger Entwickelung rother Dämpfe von salpetriger Säure und Ausscheidung von Schwefel; in Chlorwasserstoffsäure unter Entwickelung von Schwefelwasserstoff und Abscheidung von Schwefel; in Ammoniak und kohlensaurem Ammoniak leicht zu einer anfangs farblosen Flüssigkeit, welche aber an der Luft bald blau wird. Die Lösung in Ätzammoniak setzt in kurzer Zeit ein krystallinisches Salz ab, welches dem durch Alkohol gefällten schwefelsauren Kupferoxyd-Ammoniak gleicht, doch entwickelt dieses Salz mit Salpetersäure ebenfalls salpetrige Säure und scheidet Schwefel ab, und dürfte sonach ein Gemenge von schwefelsauren und unterschwefligsauren Verbindungen sein. Auch unter dem Mikroskope erscheint es bezüglich der Form der Krystalle als ein inniges Gemenge mehrerer Salze. In unterschwefligsaurem Natron löst es sich in bedeutender Menge, die Lösung unter Vitriolöl abdunsten gelassen, lässt einen zähen, fettig anzufühlenden, schmutzigweissen Brei zurück.

In wässerigem Salmiak löst sich das Salz in reichlicher Menge auf, und setzt aus des Lösung die folgende Verbindung ab.

Unterschwesligsaures Kupferoxydul mit Chlorkupfer-Ammoniak.

Die Lösung des unterschwefligsauren Kupferoxyduls in erwärmter Salmiaklösung setzt nach dem Erkalten spiessige farblose Nadeln ab, welche an der Luft bald einen bläulichen Stich-zeigen. Selbst in zugeschmolzenen Glasröhren werden sie nach und nach bläulich gefärbt. Für die Darstellung dieses Salzes ist es nicht nöthig, dass das zu lösende unterschwefligsaure Kupferoxydul vollkommen rein

sei; ist nämlich demselben Schwefelkupfer beigemengt, so bleibt dieses ungelöst zurück und kann durch Filtration getrennt werden. Wenn sich das Salz abgesetzt hat, ist es sogleich aus der Mutterlauge zu entfernen, da es durch eine mehrstündige Berührung mit dieser, verunreinigt erscheint. Die Zusammensetzung desselben ergab sich für das über Schwefelsäure getrocknete Salz nach der Formel:

$$NH_s$$
 . $CuCl + Cu_2O . 3S_2O_2 + HO$

als eine Verbindung von einfach Chlorkupfer-Ammoniak mit unterschwefligsaurem Kupferoxydul und 1 Atom Wasser. Vielleicht liesse sich das Salz auch als eine Verbindung von Salmiak mit unterschwefligsaurem Kupferoxydoxydul ohne Wasser betrachten nach der Formel:

$$NH_{\bullet}Cl + (CuO \cdot Cu_{\bullet}O) 3S_{\bullet}O_{\bullet}$$

und es sprechen hierfür die beim Erhitzen des Salzes entweichenden Producte: Salmiak und viel schweflige Säure, während Schwefelkupfer zurückbleibt, ein Entweichen von Wasser und Schwefel bei dem vollkommen getrockneten Salze aber nicht zu bemerken ist.

$$NH_4Cl + (CuO \cdot Cu_2O) 3S_2O_2 = NH_4Cl + CuS + Cu_2S + 4SO_2$$

Analyse: Das Salz löst sich in Salpetersäure ebenfalls unter Entwickelung salpetriger Säure und Abscheidung von Schwefel.

0.452 Grm. Substanz mit rauchender Salpetersäure gelöst gaben 0.017 Grm. Schwefel und 0.900 Grm. schwefelsauren Baryt = 30.96 Procent Schwefel, ferner 0.171 Grm. Kupferoxyd = 30.20 Procent Kupfer.

0.548 Grm. Substanz gaben 0.259 Grm. Chlorsilber = 11.68 Procent Chlor.

		Berechnung.				Gefunden.
1	Atom	NH.	17	5.49		
1	n	Cl	35·4	11.44		11.68
3	,,	Cu	96	31.03	•	30.20
6	20	S	96	31.03		30.96
7		0	56	18.09		
1	n	но	9	2.91		
			309.4	99.99	-	

Bei 100° erhitzt wird das Salz schwarz mit Beibehalt der Krystallform.

Schwefelsaure Thonerde.

Versetzt man eine Lösung von Thonerdehydrat in verdünnter Schwefelsäure mit Alkohol, so entsteht ein krystallinischer Niederschlag in der Form der gewöhnlichen 18fach gewässerten Thonerde, nämlich in äusserst zarten, perlglänzenden Blättchen. Wird dieser Niederschlag mit Alkohol gewaschen und bei 100° getrocknet, so enthält das so dargestellte Salz um 8 Atome Wasser weniger als die durch Abdampfen erhaltene schwefelsaure Thonerde, ohne die geringste Veränderung bezüglich des äusseren Ansehens zu zeigen. In unverschlossenen Gefässen nimmt das Salz diese 8 Atome Wasser wieder aus der atmosphärischen Luft auf, ohne auch hierbei eine äusserliche Veränderung zu zeigen, und zwar werden 6 Atome Wasser rasch, binnen 24 Stunden, die letzten 2 Atome aber erst im Verlaufe längerer Zeit aufgenommen. Durch heftiges Glühen verliert es nebst Wasser die ganze Menge der Schwefelsäure.

Der Glühverlust betrug 81·13 und 81·19, im Mittel 81·16 Procente, die Menge der Schwefelsäure 46·63 Procente. Dies ergibt den Ausdruck

$$Al_2 O_3 . 3SO_3 + 10HO$$

für das bei 100° C. getrocknete Salz.

	Berechnung			Gefunden.
3 Atome	SO,	120	45.91	46.63
1,	Al _a O _a	51·4	19.66	18.84
10 "	НО	90	34.43	34.53
Al, 0, . 380,	+ 10 HO	261.4	100.00	100.00

Beim raschen Erhitzen verliert es, wie bekannt, unter Aufschwellen sein Wasser, bei allmählicher Steigerung der Hitze jedoch bleibt die Krystallgestalt unverändert, wenn auch diese dann so gesteigert wird, dass ein Austreiben der gesammten Schwefelsäure stattfindet.

Gewässertes Chlorcadmium.

Gewässertes Chlorcadmium oder salzsaures Cadmiumoxyd beschreiben Stromayer und John als aus durchsichtigen rechtwinkeligen Säulen bestehend, leicht in der Wärme verwitternd, und leicht in Wasser löslich.

Ein mit diesen Eigenschaften übereinstimmendes Salz wurde durch Auflösen von kohlensaurem Cadmiumoxyd in verdünnter Chlorwasserstoffsäure und Eindampfen der Lösung erhalten. Nach dem Erkalten der Lösung krystallisirt das Salz binnen kurzer Zeit. Die Zusammensetzung desselben entspricht der Formel:

für das über Schwefelsäure getrocknete Salz.

Analyse: 0.841 Grm. Substanz gaben nach dem Lösen in Wasser und Versetzen der angesäuerten Lösung mit kohlensaurem Kali nach dem Glühen des erhaltenen Niederschlages 0.494 Grm. Cadmiumoxyd = 51.36 Procent Cd.

			Gefanden.		
1	Atom	Cd	56	51.19	51·36
1	,,	Cl	35.4	32.36	32.46
2	n	НО	18	16.45	16.18
	CdCl+	2H0	109.4	100.00	100.00

Chlorcadmium und Salmiak.

Chlorcadmium bildet mit Salmiak, wie Croft angibt, zwei Salze, wovon das eine 1 Atom Wasser enthält, das andere wasserfrei ist. Es liefert nämlich nach ihm die concentrirte Lösung von Clorcadmium und Salmiak zu gleichen Atomen zuerst silberglänzende Nadeln, welche 1 Atom Wasser enthalten, diese verschwinden nach seiner Angabe und werden durch grosse Rhomboeder ersetzt, welche wasserfrei sind. Ich fand jedoch ausser der Verschiedenheit bezüglich des Wassergehaltes auch im Ührigen die Zusammensetzung der beiden Salze wesentlich differirend, indem das eine auf 1 Atom Salmiak 2 Atome Chlorcadmium, das andere aher 2 Atome Salmiak und 1 Atom Chlorcadmium enthält.

Zur Darstellung diente das zuerst angeführte Salz, dessen wässerige Lösung mit nahezu einem gleichen Volum einer concentrirten wässerigen Lösung von Salmiak vermengt wurde. Das eingedampste Gemische lieserte nach einigen Tagen seine glänzende, wasserhelle, dicht gruppirte Nadeln, deren Zusammensetzung sich für das über Schweselsäure getrocknete Salz nach der Formel

$$NH_{\bullet} Cl + 2 Cd Cl + HO$$

ergab.

Analyse: 1) 0.604 Grm. in Wasser gelöst und mit salpetersaurem Silberoxyd versetzt gaben 1.095 Grm. Chlorsilber = 44.70 Procent Chlor; dann durch Fällung mittelst kohlensaurem Kali 0.320 Grm. Cadmiumoxyd = 46.35 Procent Cd.

2) 0.634 Grm. gaben 1.149 Grm. Chlorsilber = 44.63 Procent Chlor und 0.333 Grm. Cadmiumoxyd = 45.94 Cd.

					Gefun	den.
		Berec	hnung.	1.	2.	
1	Atom	NH.	18	7.34		
2	,	Cd	112	45.68	46.35	45.94
3	,,	Cl	106.2	43.31	44.70	44.63
1	,,	но	9	3.67		
NH, C	+ 2 Cd C	1 + HO	245.2	100.00	_	

Obwohl die Krystalle, nachdem eine beträchtliche Quantität derselben angeschossen war, noch mehrere Tage unter der Mutterlauge gelassen wurden, blieben dieselben unverändert. Nachdem das Salz aus der Mutterlauge entfernt worden war, lieferte dieselbe beim weiteren freiwilligen Verdunsten grosse durchsichtige glänzende Rhomboeder. Wurden dieselben in Wasser gelöst, so krystallisirten sie unverändert wieder aus der Lösung. Ihre Zusammensetzung ergab sich nach der Formel:

für das über Schwefelsäure getrocknete Salz.

Analyse: 1.149 Grm. Substanz lieferten 2.461 Grm. Chlor-silber = 52.87 Procent Chlor und 0.379 Grm. Cadmiumoxyd = 28.85 Procent Cadmium.

	Gefunden.			
2 Atome	NH.	36	18-16	
1 "	Cd	56	28.25	28.85
3 "	Cl	106.2	53 ·58	52.87
		198.2	99.99	

Chlorkupfer mit Salmiak

Nach der Angabe von Cap und Henry 1) löst sich einfach Chlorkupfer-Salmiak in Wasser unter theilweiser Zersetzung, indem ein grünes Pulver ausgeschieden wird, während die Lösung sauer und grünlich ist. Dieses findet nicht Statt, wenn man dem behufs der Lösung dienenden Wasser Salmiak zusetzt. In diesem Falle krystallisirt das Salz unverändert heraus, erscheint aber dann vorzugsweise

¹⁾ Gmelin's Handbuch der Chemie, S. Aufl., III. Bd., S. 427.

von blauer Farbe. Die Zusammensetzung ergab sich nämlich für das bei 100° C. getrocknete Salz der Formel

$$NH_{\bullet}Cl + CuCl + 2HO$$

entsprechend, in Übereinstimmung mit der von Graham³) und Mitscherlich³) angegebenen Zusammensetzung des einfach Chlorkupfer-Salmiaks. Die von Cap und Henry ausgeführte Analyse, welche der Formel NH₄Cl + CuCl + HO entspricht, scheint sich auf das bei einer höheren Temperatur getrocknete Salz zu beziehen, bei welcher aber, wie Graham nachwies, auch eine Verflüchtigung von Salmiak stattfindet, daher sie nicht als Basis für die Zusammensetzung genommen werden kann.

Analyse: 0.801 Grm. Substanz gaben 1.638 Grm. Chlorsilber = 50.43 Procent Chlor, und durch Fällung mit Kalibydrat 0.239 Grm. Kupferoxyd = 23.84 Procent Kupfer.

Berechnung.					Gefunden.
1 A	tom	NH.	18	12.97	
1	,	Cu	32	23.05	23.84
· 2		Cl	70.8	B1·01	50-43
2	9	НО	18	12.96	
NH ₄ Cl+	CuCl +	2HO	138.8	99-99	

Chlormagnesium mit Salmiak.

Chlormagnesium-Ammonium oder salzsaures Bittererde-Ammoniak erhält man, nach Fourcroy *), wenn man die Lösungen von salzsaurer Bittererde und Salmiak mischt.

Zur Darstellung des Salzes wurden sowohl unbestimmte Mengen von salzsaurer Magnesia und Salmiak gelöst und vermischt, als auch eine Lösung von 1 Atom Salmiak mit einer Lösung von 2 Atomen salzsaurer Magnesia, erhalten durch Auflösen von kohlensaurer Magnesia in verdünnter Chlorwasserstoffsäure, vermengt, und zum Krystallisiren eingedampft. In beiden Fällen wurde ein Salz erhalten, dessen Zusammensetzung sich nach der Formel:

$$NH_A Cl + 2 Mg Cl + 12 HO$$

für die bei 100° C. getrocknete Substanz ergab. Das Salz löst sich unverändert und lässt sich daher durch Umkrystallisiren reinigen;

¹⁾ Annalen der Pharmacie, 29. Bd., 8. 32.

²⁾ Journal für praktische Chemie, 19. Bd., 8. 449.

²⁾ Gmelin's Handbuch der Chemie, 5. Auf., II. Bd., 8. 226.

die Krystallisation erfolgt erst bei starker Concentration der Lösung, da es leicht in Wasser löslich ist. An feuchter Luft ist es zerfliesslich. Es bildet theils sehr kleine Krystalle, wie sie Four croy beschreibt, theils grössere, die Form des Hexaeders zeigend, theils säulenförmige Krystalle, welche sich als sehr in die Länge gezogene Hexaeder betrachten lassen. Beim Glühen derselben entweicht Wasser, Salmiak und es bleibt Chlormagnesium; dieses wird bei fortgesetztem Erhitzen theilweise zerlegt und es erübrigt endlich ein Gemenge von Chlormagnesium mit Bittererde.

Analyse: 1) 1.057 Grm. Substanz gaben 1.750 Grm. Chlorsilber = 40.87 Procent Chlor, und 0.487 Grm. pyrophosphorsaure Magnesia = 9.87 Procent Magnesium.

2) 1.203 Grm. mit concentrirter Schwefelsäure versetzt und zur Trockne eingedampst gaben 0.556 Grm. schwefelsaure Magnesia — 9.22 Procent Magnesium.

	Berechnung.			Gefunden.			
				-		1.	2.
1	Atom	•	NH.	18	7.02		
2	,		Mg	24	9.36	9.87	9.22
3	n		Cl	106.2	41.45	40.87	
12	n		НО	108	42.15		
NH, CI+	2 Mg C	+12	2 HO	256.2	99.98		

Chlormangan und Salmiak.

Nach der Angabe von Hautz 1) erhält man krystallisirtes salzsaures Manganoxydul-Ammoniak, wenn man eine Lösung von 2 Atomen
einfach Chlormangan mit der Lösung von einem Atom Salmiak mengt
und krystallisiren lässt. Er beschreibt es als von blassrother Farbe
und von der Form des entsprechenden Bittererdesalzes. Eine Analyse
ist nicht angegeben, doch deuten die angeführten Mischungsverhältnisse darauf hin, dass supponirt wird, das Salz sei nach der Form:

$$NH_{\bullet} Cl + 2 Mn Cl + x HO$$

zusammengesetzt. Ich habe das Salz dargestellt und analysirt, jedoch gefunden, dass es nicht dem in gleicher Weise dargestellten Bittersalze analog zusammengesetzt sei, sondern auf ein Atom Salmiak nur ein Atom Chlormangan enthalte.

¹⁾ Annalen der Pharmacie, 66. Bd., S. 286.

Zur Darstellung diente eine Lösung von salzsaurem Manganoxydul, erhalten durch Auflösen von kohlensaurem Manganoxydul in verdünnter Chlorwasserstoffsäure, welche vermengt mit ungefähr einem gleichen Volum einer concentrirten wässerigen Lösung von Salmiak, etwas eingedampft und zum Krystallisiren hingestellt wurde. Die Zusammensetzung des nach einigen Tagen angeschossenen Salzes ergab sich nach dem Trocknen bei 100° C., wobei es nicht verwittert, der Formel NH, Cl + Mn Cl + 2 HO entsprechend.

Analyse: 1) 1.024 Grm. in Wasser gelöst und mit salpetersaurem Silheroxyd versetzt gaben 2.200 Grm. Chlorsilber = 53.02 Procent Chlor.

0.990 Grm. in Wasser gelöst, mit Hydrothion-Ammoniak gefällt, in verdünnter Salzsäure gelöst, mit kohlensaurem Natron versetzt ergaben nach dem Glühen des erhaltenen Niederschlages 0.284 Grm. Manganoxydoxydul = 30.73 Procent Mangan.

2) 1.373 Grm. gaben 2.900 Grm. Chlorsilber = 52.15 Procent Chlor.

0.861 Grm. gaben 0.245 Grm. Manganoxydoxydul = 20.60 Procent Mangan.

	Gefunden.				
1 Atom	NH	18	13-35	1.	2.
1 ,	Mn	28	20.77	20.73	20.60
2 "	Cl	70.8	52.52	53 ·02	52.15
2 "	НО	18	13.35		
NH ₄ Cl + Mn Cl +	- 2HO	134.8	99-99	_	

Das Salz ist in Wasser leicht löslich und krystallisirt unverändert aus der Lösung heraus. Die unter 2) angegebenen Mengen wurden bei einer Analyse des umkrystallisirten Salzes gefunden. Es bildet warzenförmig vereinigte kleine Hexaeder von gelblicher oder blass rosenrother Farbe, nach dem Umkrystallisiren erscheint es fast weiss. Beim Glühen desselben entweicht Wasser und Salmiak und es bleibt schmelzendes einfach Chlormangan. Es ist daher zur Darstellung dieses letzteren auch geeignet. Um es in grösseren Mengen zu erhalten, ist es am zweckmässigsten, nach dem von Faraday angegebenen Verfahren Salmiak mit überschüssigem Braunstein zu glühen, in welchem Falle die übrigen in demselben enthaltenen Metalle nicht in Verbindung mit Chlor treten, und nach dem Ausziehen des Chlor-

mangans mit Wasser die erhaltene Lösung mit Salmiak zu versetzen zur Krystallisation einzudampfen und die erhaltenen Krystalle durch Umkrystallisiren zu reinigen. Um aus dem Salze Chlormangan zu erhalten, erhitzt man bis das Wasser und ein Theil des Salmiaks ausgetrieben ist, zuletzt bei Abschluss der atmosphärischen Luft. Wird das Glühen des Chlormangans bei Zutritt der atmosphärischen Luft fortgesetzt, so verflüchtigt sich, wie bekannt, ein Theil desselben, ein Theil aber wird zersetzt, indem in feuchter Luft salzsaures Gas, in trockener aber Chlor entweicht, indem Manganoxydoxydul zurückbleibt. Gmelin 1) bemerkte, dass hierbei kein Chlor frei wird. Diese Angabe scheint sich demnach wohl nur auf den Fall zu beziehen, wenn das Glühen des Chlormangans an feuchter Luft stattfindet. Ich hatte hierbei Gelegenheit, ein interessantes Phänomen zu beobachten. Wurde nämlich das Glühen unter Zutritt der Luft so lange fortgesetzt bis die Entwickelung von Chlor oder salzsaurem Gas gänzlich beendigt war, so blieben endlich im Tiegel schwarze Rinden zurück, welche starken Metallglanz zeigten. Unter dem Mikroskope zeigten sich diese Rinden aus lauter kleinen Krystallen bestehend, von schwarzer Farbe, mit starkem Metallglanze, welche in ihrer Form, gleichkantige vierseitige Pyramiden, zum Theil mit abgestumpsten Spitzen, jener des Hausmannites ähnlich sind. Bei grösseren Mengen des Salzes erhielt ich die Krystalle etwas grösser und schon unter der Loupe ihrer Gestalt nach deutlich erkennbar. Bei grösseren Mengen des geglühten Chlormangan-Salmiaks bildete die im Tiegel zurückbleibende Masse hohle Drusenräume, in welchen sich, so wie an den Wandungen des Tiegels, die Krystalle ansetzten. Wahrscheinlich findet also in dem Momente. als das Chlormangan durch den Sauerstoff der atmosphärischen Luft zersetzt wird, eine Art Sublimationsprocess Statt, welcher die Krystallbildung des entstehenden Manganoxydoxyduls ermöglicht. Die vollkommene Zersetzung des Chlormangans durch Glühen bei Zutritt der Luft auf die gedachte Weise, erfordert lange Zeit und lebhafte Rothglühhitze.

In gleicher Weise erhält man diese dem Hausmannit ähnlichen Krystalle, wenn man eine beliebige Oxydationsstufe, auch gereinigten Braunstein, mit Salmiak gemengt so lange bei Zutritt der Luft glüht,

¹⁾ Gmelin's Handbuch der Chemie 5. Aufl., II. Bd., S. 647.

bis kein Entweichen von Chlor oder salzsaurem Gas mehr stattfindet. Unterbricht man das Glühen früher, so zieht das unzersetzt gebliebene Chlormangan rasch Wasser aus der Luftan, und verunreinigt durch sein Zerfliessen die bereits gebildeten Krystalle.

Krystallisirtes Eisenoxyd.

Dieses habe ich in zwei verschiedenen Formen erhalten, und zwar erstlich als Eisenoxydoxydul in Oktaedern, in gleicher Weise, wie Manganoxydoxydul durch Glühen von krystallisirtem einfach Chloreisen-Salmiak, bei Zutritt der atmosphärischen Luft; letzteres erhalten nach dem von Winkler angegebenen Verfahren 1) durch Vermischen einer heiss bereiteten Lösung von 1 Theil Chloreisen und 4 Theilen Salmiak und im verschlossenen Gefässe krystallisiren lassen. Nach Mitscherlich 2) entsteht dieses Oxyd des Eisens ebenfalls in der Form des Magneteisens durch rasches Verbrennen von Eisen in Sauerstoff oder der Gebläseluft. Die Krystalle waren jedoch bedeutend kleiner als die entsprechenden des Mangans, sie bildeten dünne schwarze Rinden, aus Oktaedern bestehend, die nur unter dem Mikroskope ihrer Form nach erkennbar waren.

Krystallisirtes Eisenoyd in dünnen Blättchen, welche das Licht mit rother Farbe durchfallen lassen, genau von der Form des natürlich vorkommenden Eisenglimmers, erhält man leicht durch Erhitzen von überschüssigem feingepulvertem Eisenoxyd mit borsaurem Natron. Wird die geschmolzene Masse mit verdünnter heisser Chlorwasserstoffsäure behandelt, so löst sich in dieser der Borax und ein Theil des Eisenoxyds, während die gebildeten Krystallblättchen, welche viel schwieriger löslich sind und fast concentrirte heisse Salzsäure hiezu benöthigen, in der Flüssigkeit suspendirt bleiben, durch Filtration von der Flüssigkeit getrennt, und durch Waschen gereinigt werden können.

¹⁾ Lommel's Repertorium, 59. Bd., S. 171.

³⁾ Poggendorffs Annalen, 15. Bd., 8. 632.

Analyse des Mineralwassers zu Lippa in Ungarn.

Von Meris Say.

Das Wasser des Lippaer Sauerbrunnens ist vollkommen klar, geruchlos, von angenehm säuerlich prickelndem Geschmacke, welcher später etwas tintenhaft wird. Die Temperatur der Quelle ist = 10° C.

An der Luft trübt sich das Wasser ziemlich rasch, während sich ein rothbrauner Bodensatz bildet.

Eine Probe mit Salpetersäure angesäuerten und ausgekochten Wassers gab mit salpetersaurem Silberoxyde ein Opalisiren zu erkennen, und erst am anderen Tage setzte sich daraus ein geringer Niederschlag von Chlorsilber nieder.

Schwefelsäure konnte nur aus grossen Mengen des mit Salzsäure angesäuerten und aufgekochten Wassers nachgewiesen werden; während das mit Ammoniak und Chlorharyum versetzte Wasser einen massenhaften Niederschlag von kohlensaurem Baryt gab, welcher bei zugesetzter überschüssiger Säure nahezu gänzlich verschwand.

Ammoniak bewirkte einen bedeutenden voluminösen Niederschlag in einer neuen, mit Salmiaklösung versetzten Probe. Die dunkelbraunrothe Farbe des Niederschlages liess schliessen, dass Eisenoxyd ihr Hauptbestandtheil sei, was die quantitative Analyse auch bestätigte

Ferner liessen sich noch Kalk und Bittererde, dann Kali, Natron, Kieselsäure und Spuren von Phosphorsäure und Manganoxydul nachweisen.

Die directen Ergebnisse der quantitativen Analyse, welche nach der üblichen Methode ausgeführt wurde, sind folgende:

Specifisches Gewicht:

Ein Fläschchen mit Mineralwasser wog bei 12°C. = 381·780. Dasselbe Fläschchen mit dest. Wasser wog bei 12°C. = 381·360. Mithin ist das specif. Gewicht des Mineralwassers = 1·0011.

In 10000 Gew. Th. Wasser.

2291.226 Grm. Wasser gaben fixen Rückstand = 2.184 Grm.

9.532

					00 Ge w. Wasser.
2673.097	Grm.	Wasser	gaben 0.068 Grm. schwe-		~
			felsauren Baryt, diesem		
			entsprechen 0.023 Grm.		
			Schwefelsäure		0.086
2673.097	_	7 7	gaben 0.116 Grm. Chlor-		
	~	•	silber, diese enthalten		
			0.040 Grm. Chlor	_	0.150
404.368	_	20	gaben 4.697 Grm. kohlen-		•
	77	<i>7</i> 7	sauren Baryt, diese ent-		
			halten 1:049Grm. Kohlen-		
			săure	_	25.941
2291-226	_	_	gaben 0·173 Grm. Kiesel-		
	,,	~	săure		0.755
	_	•	gaben 0.0985 Grm.Eisen-		
	•		oxyd	0.430	_
			diesem entsprechen Eisen-		
			oxydul		0.387
_	,,	,,	gaben 0.036 Grm. Thon-		
		~	erde		0.157
	,	,	gaben 1.145 Grm. koh-		
			lensauren Kalk		4.997
	,,	,,	gaben 0.444 Grm. schwe-		
			felsaure Bittererde, die-		
			ser entsprechen 0.311		
			Grm. kohlens. Bittererde.		1.357
	"	,	gaben ein Gemenge von		
			Chlorkalium und Chlor-		
			natrium 0.415 Grm.		
	,,	n	gaben 0·139Grm. Kalium-		
			platinchlorid, diese ent-		
			halten 0.042 Grm. Chlor-		
			kalium, diesem entspre-		
			chen 0.0265 Grm. Kali .		0.116
Von den C	hlorme	etallen —	· 0·415 Grm. abgezogen		

Von den Chlormetallen = 0.415 Grm. abgezogen das Chlorkalium 0.042 ,
bleiben Chlornatrium 0.373 Grm.

	In 10000 Gew. Th. Wasser.	
Diesem entsprechen 0.198 Natron	_	0.864
Aus diesen Ergebnissen berechnen sich die Ve Bestandtheile folgendermassen:		00 Gew.
 Schwefelsaures Kali. 0.086Gew.Th. Schwefelsäure sättigen 0.101Gew. Th. Kali und bilden schwefelsaures Kali Chlorkalium. Totalmenge des Kalis = 0.116 Gew. Th.; davon 	_	0.187
sind an Schwefelsäure gebunden 0·101 Gew. Th., der Rest 0·015 Gew. Th. = 0·013 Gew. Th. Kalium verbindet sich mit 0·011 Gew. Th. Chlor zu Chlorkalium		0.024
3. Chlornatrium. Totalmenge des Chlors 0·150 Gew. Th.; davon an Kali gebunden 0·011 Gew. Th., der Rest 0·139 Gew. Th. verbindet sich mit 0·122 Gew. Th. Natron = 0·091 Natrium zu Chlornatrium		0.230
 Doppelt kohlensaures Natron. Totalmenge des Natrons 0.864 Gew. Th.; davon an Chlor gebunden 0.122 Gew. Th., der Rest 0.742 Gew. Th. verbindet sich mit 0.525 Gew. Th. Kohlensäure und bildet kohlen- 		
saures Natron	1·267 0·525	_
Zusammen .	• •	. 17.92
5. Doppelt kohlensaurer Kalk.		
Gefunden wurde kohlensaurer Kalk	4.994	
dazu das zweite Atom Kohlensäure Zusammen .	2.193	
6. Doppelt kohlensaure Bittererde.	. •	
Die Analyse gab kohlensaure Bittererde	1.357	
dazu das zweite Atom Kohlensäure	0.706	-
Zusammen .		. 2.063

	In 10000 Gew. Th. Wasser.		
7. Doppelt kohlensaures Eisenoxydul.			
Gefunden wurden 0.430 Gew. Th. Eisenoxyd;			
diesem entsprechen an kohlensaur. Eisenoxydul	0.623		
Dazu das zweite Atom Kohlensäure	0.236	_	
Zusammen .		0.859	
8. Freie Kohlensäure.			
Totalmenge der Kohlensäure	25.941		
Davon gebunden an Natron . = 1.050 Gew. Th.			
Kalk = 4.386			
Bittererde = 1.412			
Figurerydul 0.479			
Zusammen .	7.320		
Dieses abgezogen, bleibt freie Kohlensäure. Controle.	• •		
Der gesammte fixe Rückstand betrug	_	9.532	
Die Analyse gab:			
Kieselsäure	0.755		
Eisenoxyd mit Spuren von Manganoxyd	0.430		
Thonerde	0.157		
Kohlensauren Kalk	4.997		
Kohlensaure Bittererde	1.358		
Schwefelsaures Kali	0.187		
Chlorkalium	0.024		
Chlornatrium	0.230		
Kohlensaures Natron	1.267		
Zusammen .		9.405	

Recapitulation der Analyse.

Das Wasser des Sauerbrunnens zu Lippa in Ungarn enthält:

	in 1000	In 7860 Gran	In einer	In cinem
	Gewichts-	= 1 Wiener	Wiener	Wiener
	Theilen	Pfund	Mass	Seitel
Fixe Bestandtheile:	Theile			
Schwefelsaures Kali	0.187	0.1436	0.3631	0.0908
Chlorkalium	0.024	0.0184	0.0456	0.0114
Chlornatrium	0.230	0.1766	0.4464	0.1116
Doppeltkohlensaures Natron	1.792	1 . 3762	3.4789	0.8697
Doppeltkohlensaurer Kalk	7 187	K-5196	13.9535	3.4884
	2.063	1.8843	4.0051	1.0013
Doppeltkohlensaure Bittererde	2.002	1.9049	4.0021	1.0019
Doppeltkohlensaures Eisenoxy-	Ì	1		
dul mit Spuren von Mangan-				
oxydul	0.828	0.6597	1 · 6677	0.4169
Thonerde	0.157	0 1205	0.3046	0.0761
Kieselsäure	0.755	0.5798	1 • 4647	0 · 3662
Phosphorsaure und indifferente		1	•	l
organische Stoffe	Spuren.			
Flüchtige Bestandtheile:				Ī
Freie Kohlensäure	18-621	14.3009	36 · 1526	9.0381
Summe aller Bestandtheile	31.875	24 · 4796	61 · 8822	15 - 4705
Die freie Kohlensäure beträgt imV	olum ane-	L		1
gedrückt, bei normalem Barometerstande		Cubik-Zolle		
und der Temperatur der Quelle v. 10° C.		30.0	45.9	19.0
Die Analyse wurde im chemischen Laboratorium des Prof. Redtenbacher ausgeführt.				

Aus der vorhergehenden Analyse des Lippaer Brunnens geht hervor, dass er zu den Säuerlingen gehört, und zwar zu den alkalischerdigen-eisenhaltigen.

Der Gehalt an schwefelsauren Salzen, an Kochsalz ist verschwindend klein. — Kohlensaurer Kalk 5 Gran, kohlensaure Magnesia 1½ Gran und kohlensaures Natron beinahe 2 Gran in 16 Unzen des Wassers bilden die Hauptbestandtheile. — In derselben Menge des Wassers ist etwa ein halber Gran kohlensaures Eisenoxydul enthalten, desshalb gehört der Brunnen zu den eisenhaltigen Säuerlingen.

Obwohl man zwischen den eisenhältigen Säuerlingen und Stahlwassern keine scharfe Grenze ziehen kann, so rechnet man doch gewöhnlich zu den ersteren jene, welche nicht mehr als etwa einen halben Gran kohlensaures Eisenoxydul — wie der Lippaer Brunnen — enthalten; ebenso enthält er 30 Kubikzoll freie Kohlensäure in einem Pfunde, was ein reicher Kohlensäure-Gehalt zu nennen ist.

Es ist also der Lippaer Brunnen gewiss ein werthvolles Geschenk der Natur, anwendbar in allen jenen Krankheiten, in welchen alkalischerdige-eisenhaltige Säuerlinge sich bewährt haben.

SITZUNG VOM 20. JULI 1854.

Eingesendete Abhandlungen.

Mineralogische Notizen.

Von Dr. A. Kenngett.

(Viersehnte Folge.)

(Vorgelegt in der Sitaung am 11. Mai 1854.)

1. Notiz über eine Krystallcombination des Smaltit. Obgleich bei dem Smaltit nicht selten Krystalle mit convexen Hexaederflächen vorkommen, so ist weiter kein Grund der Krümmung daran zu sehen; ein seltener Fall mag es daher sein, wenn man, wie an einem in den Sammlungen des k. k. Hof-Mineralien-Cabinetes befindlichen Exemplare von Schneeberg in Sachsen die Convexität deutlich durch die Ausbildung eines sehr stumpfen Tetrakishexaeders ersetzt sieht, wesshalb ich desselben hiermit in Kürze erwähne.

Der Smaltit bildet an diesem Exemplare schöne, aufgewachsene Krystalle mit scharf ausgebildeten glänzenden Flächen, welche die Combination des Hexaeders, des Oktaeders, des Rhombendodekaeders und eines Deltoidikositetraeders, wahrscheinlich 2O2, oder die Combination eines sehr stumpfen Tetrakishexaeders anstatt des Hexaeders mit denselben übrigen Krystallgestalten darstellen. Die letztere Combination ist die häufigere und die beiderlei Gestalten unterscheiden sich dadurch deutlich, dass, wenn das Hexaeder vorhanden ist, die Hexaederflächen ziemlich eben und glatt sind, während, wenn das stumpfe Tetrakishexaeder die Stelle desselben vertritt, die stumpfen vierflächigen Pyramiden, welche über die eingeschriebenen Hexaederflächen zu liegen kommen, deutlich hervortreten. Dabei sind die Tetrakishexaederflächen parallel den hexaedrischen Kanten gestreift.

Alle anderen Flächen sind eben und glatt und glänzen ziemlich stark, am wenigsten die Flächen des Deltoidikositetraeders.

Die stumpfen vierflächigen Pyramiden über den einbeschriebenen Hexaederflächen sind sehr niedrig und liessen sich nicht durch Messung bestimmen. Sie erinnern an die sehr stumpfen vierflächigen Pyramiden, welche ich an Bleiglanzkrystallen aus Derbyshire in England beobachtete, welcher die Combination des vorherrschenden Oktaeders und des untergeordneten Hexaeders darstellt und woran auf den Hexaederslächen ein Stück einspringend sehr stumpfe vierseitige Pyramiden, einem sehr stumpfen Deltoidikositetraeder entsprechend aufsassen. Die grösste Übereinstimmung aber haben die stumpfen Tetrakishexaeder des Smaltits mit den Krystallgestalten des Fluss von Weardale in Durham in England und von einigen anderen Fundorten. Die einfachste Combination ist in diesem Falle an den Krystallen von Weardale die zweier Tetrakishexaeder, von denen das eine sehr stumpf ist und vorherrscht, während das andere, gewöhnlich ∞ 03 schmale Zuschärfungsflächen der hexaedrischen Kanten bildet. Für gewöhnlich hält man diese Combination für die des Hexaeders mit einem Tetrakishexaeder, doch lässt man sich dann nur durch den Schein täuschen. Die genaue Betrachtung, ja selbst das Gefühl überzeugt deutlich von der Anwesenheit eines sehr stumpfen Tetrakishexaeders, welches zufolge der angestellten Messung die Formel co 022 erhält. Dabei ist ganz dasselbe Verhalten, wie an den Smaltitkrystallen zu beobachten, dass nämlich die Flächen des stumpfen Tetrakishexaeders parallel den hexaedrischen Kanten gestreift sind, während die Hexaederflächen, wenn sie an begleitenden Krystallen vorkommen, glatt sind. Besonders auffallend ist an diesen Krystallen, welche die zwei Tetrakishexaeder für sich oder auch noch mit anderen Flächen zeigen, die verschiedenartige Streifung der beiden Tetrakishexaeder; indem nämlich die Flächen des untergeordneten Tetrakishexaeders ∞ 03 senkrecht auf die hexaedrischen Kanten, also parallel den Höhenlinien der Triangel gestreift erscheinen. Endlich ist noch an diesen Krystallen des Fluss und an den damit zu vergleichenden Krystallen des Smaltits die eigenthümliche Anregung zur Bildung der sehr stumpfen Tetrakishexaeder zu beobachten, indem gewöhnlich bei verwachsenen und gemeinschaftlich aufgewachsenen Krystallen gerade da die Spitze der stumpfen vierseitigen Pyramide liegt, wo der andere Krystall hervorbricht, und es scheint, als würde durch die gegenseitige

Berührung und Durchschneidung die Bildung des Tetrakishexaeders angeregt. So sah ich oft Flusskrystalle, welche eine oder zwei oder drei Hexaedersächen glatt und glänzend zeigten, während auf den anderen Seiten des seinsollenden Hexaeders begleitende Krystalle einschnitten und da die gestreisten Tetrakishexaeder mit ihren sehr stumpsen aber deutlich sichtbaren und fühlbaren Kanten eintraten. In gleicher Weise zeigen auch die Smaltitkrystalle, welche die vorherrschende Gestalt coon mit gestreisten Flächen anstatt der glatten Hexaedersächen haben, bei dem Durchschnitte oder der Berührung mit anderen Krystallen die Spitzen der vierseitigen Pyramiden an den Berührungsstellen.

2. Notiz über die Beschaffenheit des Tombazits.

Die in den Sammlungen des k. k. Hof-Mineralien-Cabinetes befindlichen Exemplare des Tombazits von Lobenstein im Reussischen bestätigen sehr stark die Vermuthung, dass der Tombazit nichts weiter ist als Nickelin. Krystalle sind daran nicht zu sehen, nur zeigt eine zum Theil deutliche Spaltbarkeit in einer Richtung an, dass das Mineral krystallinisch ist. Die physikalischen Eigenschaften sind dieselben, wie die des Nickelins, nur erscheint die Farbe stärker ins Tombackbraune geneigt, was aber mehr die Folge äusserer Einwirkungen zu sein scheint, da die Stücke schon angegriffen sind und stellenweise grüne Efflorescenzen auf ihrer Oberfläche tragen. Auf den ganz frischen muscheligen Bruchflächen tritt die rothe Farbe mehr hervor.

Die Untersuchung hezüglich der Bestandtheile liess bei reinem Material keinen Schwefel finden, sondern nur Arsenik und damit in Verbindung wesentlich Nickel. In dem Glasrohre und vor dem Löthrohre auf Kohle ist das Verhalten ganz dasselbe, wie bei dem Nickelin, indem, im Glasrohre erhitzt, die Prohe arsenige Säure entwickelt, welche sich in oktaedrischen Krystallen an den Wänden des Glases absetzt, das sich dabei bildende grüne Pulver wurde mit Borax auf Nickel geprüft und dasselbe deutlich nachgewiesen. Auf Kohle schmilzt das Mineral ziemlich leicht vor dem Löthrohre unter Entwickelung von Arsenikdämpfen und Spuren eines Antimonbeschlags zu einem weissen spröden Metallkorn.

Dass Proben dieses Minerals bisweilen einen geringen Schwefelgehalt zeigen, ist sehr leicht erklärlich, da es mit einem grauen Nickel, Arsenik und Schwefel enthaltenden Minerale vorkommt, dessen geringste Beimischung die Anwesenheit von Schwefel hervorruft. Die von mir gewählte Probe war ganz frei davon und zeigte in der langgezogenen, zu solchen Untersuchungen geeigneten Glasröhre nur arsenige Säure und darunter das schwarze Suboxyd und metallisches Arsenik, nirgends eine Spur gelber oder rother Färbung.

Was die früher von mir beschriebenen Krystalle des Tombazits betrifft (vergl. Seite 71 des ersten Heftes meiner mineralogischen Untersuchungen), welche ich in der Sammlung des Hrn. Dr. Schneider in Breslau unter diesem Namen vorgefunden hatte, und welche abnorm linear verlängerte Combinationen des Hexaeders und Oktaeders darstellten, so glaube ich, wie die Bestimmung ähnlicher Krystalle von demselben Fundorte in den Sammlungen des k. k. Hof-Mineralien-Cabinetes gezeigt hat, dass dieselben Pyrit gewesen sind, und dass sie nur durch Verwechselung für Krystalle des Tombazits wegen der bräunlichen Anlauffarhe ausgegeben worden waren. Eine Prüfung bezüglich der Bestandtheile war mir damals nicht gestattet und ich konnte daher nur das Mineral, dessen Gestalten ich beschrieb, für das ausgeben, was es der Etiquette nach sein sollte. Ich hatte aber auch schon damals angegeben, dass sie im Aussehen nicht von Pyrit zu unterscheiden sind und dass die braune Farbe nur die Folge eines Überzuges sei, der stellenweise die messinggelhe ins Speisgelbe fallende Farbe der Kryställchen verdecke.

3. Krystallgestalten des Millerit.

In demselben ersten Hefte meiner mineralogischen Untersuchungen, Seite 40, beschrieb ich die Krystallgestalten, welche ich an dem Millerit (Nickelkies) von Joachimsthal in Böhmen bestimmt hatte und ich fand jetzt in den Sammlungen des k. k. Hof-Mineralien-Cabinetes ein Exemplar von demselben Fundorte mit messbaren Krystallen, welche mich in den Stand setzten, meine früheren Angaben zu bestätigen. Die langen, dünnen, haar- und nadelformigen Krystalle, aufgewachsen auf kugeligem, krystallinischen Quarz, der Drusenräume eines quarzigen röthlichen Gesteins auskleidete, liessen dieselbe Combination wie damals finden, nämlich die beiden hexagonalen Prismen, das in normaler und das in diagonaler Stellung, wobei die Flächen des einen, wie die Verschiedenheit der Lichtstärke zeigte, hemiedrisch, als zwei trigonale Prismen, erscheinen. Das eine der beiden hexagonalen Prismen, welches ich mit ∞P bezeichnen will, hat die glänzendsten Flächen und zeigt ganz deutliche Reflexion, das zweite $\infty P2$, welches hemiedrisch in seinen beiden Hälften $\frac{\infty P2}{2}$ auftritt, reflectirt nur das Licht und auf den abwechselnden Flächen entschieden ungleich.

Endflächen waren nicht aufzufinden. Die langen Kryställchen sind bis zu einem gewissen Grade elastisch biegsam, dabei aber spröde und leicht zerbrechlich.

Bei der Betrachtung der Kryställchen unter der Loupe, um die zur Messung tauglichsten heraus zu finden, sah ich einzelne kleine grüne Krystalle, welche kaum einen halben Millimeter im Durchmesser von den Milleritkryställchen schwebend gehalten wurden, indem sie von diesen durchdrungen und aufgespiesst waren. Diese kleinen grünen Krystalle, von denen sonst an dem Stücke keine Spur zu sehen war, stellen stumpfe Rhomboeder $R=105^{\circ}$ 15' nach einer möglichst genauen Messung dar, woran die Endkanten schwach abgestumpft, fast abgerundet, wie bisweilen an Sideritkrystallen sind, sie sind öl- bis spargelgrün, durchsichtig bis durchscheinend, schwach perlmutterartig glänzend und lassen vergrössert Sprünge erkennen, welche auf Spaltbarkeit parallel den Flächen R hindeuten. Die chemische Constitution war bei der geringen Anzahl nicht zu ermitteln, da nur einer weggenommen, gemessen und wieder aufbewahrt wurde, doch liegt die Frage sehr nahe, ob nicht diese Kryställchen Calcit mit kohlensaurem Nickeloxydul sein könnten. Interessant wäre es, wenn sich diese Kryställchen auch in anderen Sammlungen an Stücken von demselben Fundorte wiederfinden liessen. An einem anderen Exemplare von daher waren sie sehr undeutlich.

Ein zweites Exemplar, welches büschlich gestellte Milleritkrystalle auf ganz gleichem kuglig-krystallinischen Quarz in Drüsenräumen eines rothen hornsteinartigen Quarzes zeigte, angeblich von Annaberg in Sachsen stammen soll, wahrscheinlich aber auch von Joachimsthal in Böhmen stammt, liess kleine Quarzkryställchen $\infty P.P$, an beiden Enden ausgebildet und von den Milleritkryställchen getragen und aufgespiesst sehen, woraus zu ersehen ist, dass hier der Millerit und Quarz, dort der Millerit und das Carbonat gleichzeitig aus einer gemeinschaftlichen Lösung oder Flüssigkeit herauskrystallisirten.

An einem dritten Exemplare von Merthyr Tydvil in Wales in England waren sehr zarte Kryställchen auf krystallisirtem weissen Calcit. Derselbe bildete sehr stumpfe Rhomboeder, wahrscheinlich 1/2 R. welche dichtgedrängt einen Drusenraum in dichtem grauen Calcit

bekleideten. Die Milleritkrystalle zeigten sich so, als hätten sie sich schwebend in einem Fluidum gebildet und zu Flocken durch gegenseitige Durchkreuzung vieler Individuen vereinigt und seien dann so auf den Calcit herabgefallen. Den Mittelpunkt der Flocken bildeten kleine Knötchen, welche, unter der Loupe betrachtet, metallisch glänzend und grau waren und von ihnen aus gingen die haarförmigen Kryställchen strahlenförmig nach allen Seiten. Die kleinen Partien liegen ziemlich lose auf, dass man sie leicht hinwegnehmen kann. Dazwischen sind einzelne Kryställchen reichlich verstreut zu bemerken.

Die Messung liess auch an diesen das hexagonale Prisma in normaler und das in diagonaler Stellung erkennen, doch deutete der Unterschied des Glanzes und die verschiedene daraus zu entnehmende Breite auf keine Hemiedrie hin, indem die Reihenfolge der mehr und weniger glänzenden Flächen eine unregelmässige war.

4. Mispickel, pseudomorph nach Pyrrhotin.

An einem Exemplare aus Freiberg in Sachsen, welches sich in den Sammlungen des k. k. Hof-Mineralien-Cabinetes befindet, zeigten sich ausser kleinen aufgewachsenen Krystallen des Mispickels Gruppen unregelmässig verwachsener lichtgrauer, hexagonaler Tafeln, welche nach der Etiquette mit Arsenikkies (Mispickel) überzogene Krystalle von Schwefelkies sein sollten. Der Ausdruck Schwefelkies war zunächst nur durch Missverständniss gebraucht worden, weil die Krystallgestalten, dem hexagonalen Systeme angehörend und oP. ∞P darstellend nur auf Magneteisenkies (Pyrrhotin) hindeuten konnten.

Die sichtbaren kleinen Krystalle des Mispickels stellen die gewöhnliche Combination mit dem sehr stumpfen Doma dar und zeichnen sich durch starken Glanz aus, während die hexagonalen Tafeln nur schimmernd, fast matt auf oP sind, die Flächen ∞P durch viele kleine hervorragende Kryställchen glänzen, welche unter der Loupe als dem Mispickel zugehörig sich erkennen liessen und aus den Tafeln ein wenig herausragen. Die Tafeln erscheinen gekrümmt mit concaven Basisflächen, so dass sie in der Mitte am dünnsten, nach den Rändern an Dicke zunehmen. Unter der Loupe betrachtet, sind die Basisflächen oP nur concav gebogen und fast matt, die Prismenflächen ∞P aber horizontal unterbrochen gefurcht oder geborsten, wie durch eine hervortretende schaalige Absonderung parallel oP und die sehr kleinen hervorragenden Kryställchen des Mispickels setzen gleichsam der Aufblätterung ein Ende.

Um mich zu überzeugen, ob die hexagonalen Tafeln wirklich Pyrrhotin sind, zerbrach ich eine derselben und fand das Innere dicht (unter der Loupe feinkörnig, stellenweise poros), lichtgrau mit schwachem metallischen Glanze, mit einem schwachen. Stich ins Gelbe und durchaus gar nicht von dem Aussehen des Pyrrhotins. Die chemische Prüfung erwies, dass die ganze Masse wesentlich die des Mispickels ist und es sind somit die hexagonalen Krystalle, Pseudomorphosen des Mispickels nach Pyrrhotin, welche aus dem Pyrrhotin = Fe S durch Aufnahme von As, um Mispickel = $Fe As_2 + Fe S_2$ zu bilden, entstanden sind. Das Aussehen der Tafeln zeigt deutlich, dass in Folge der allmählichen Aufnahme von Arsenik eine Aufblätterung parallel oP eintrat und von aussen nach innen fortschritt, dass eine Umänderung in der Lage der kleinsten Theilchen (der Moleküle) eintrat und die Bildung von kleinen Kryställchen des Mispickels veranlasste, welche ringsum ein Wenig herausragend ein starkes Schimmern hervorbringen, und dass wegen des schwachen Stiches ins Gelbe anzunehmen ist, dass die Umbildung noch nicht vollständig erfolgt ist und noch ein Wenig der ursprünglichen Masse vorhanden sein mag.

Begleitend sind weisser krystallisirter Calcit und Quarz zu sehen, welche auf krystallinisch-körniger Blende als der nächsten Unterlage aufsitzen, welche letztere auch mit Mispickel und Quarz durchmengt ist und wenig Chalkopyrit eingesprengt enthält.

5. Notiz über eine besondere Varietät des Fluss. Herr E. A. Bielz, k. k. Finanz-Concipist in Hermannstadt, war so freundlich, mir ein Mineral zuzusenden, welches im Jahre 1847 zu Kapnik, bei seiner Anwesenheit daselbst, zuerst angebrochen wurde und sich durch sein besonders schönes Aussehen auszeichnet.

Auf krystallisirtem weissen Calcit nämlich erscheint dasselbe in kleinen vollkommenen Kugeln, einzeln oder in kleinen Gruppen, von der Grösse eines Hirsekorns oder darunter. Die Oberfläche der Kugeln ist matt, unter der Loupe rauh durch hervorragende Krystalltheilchen, mithin ist es mikrokrystallisch. Blassviolblau bis fast farblos, durchscheinend bis fast durchsichtig, schimmernd, spröde, Härte = 4·0, Strichpulver weiss, specifisches Gewicht = 3·16.

Das Verhalten vor dem Löthrohre und gegen Säuren war das des Fluss und die Bestandtheile Calcium und Fluor wurden nachgewiesen. Zur Bestätigung meiner Resultate übergab ich Herrn K. Ritter v. Hauer eine Probe, welcher dieselben Bestandtheile auffand.

Bei dem seltenen Vorkommen tessularisch-krystallisirender Minerale in Kugelgestalt benütze ich hiermit die Gelegenheit, dieser schönen Abänderung des Fluss zu gedenken, welche unter ganz besonderen Verhältnissen entstanden zu sein scheint, weil die Kugeln auf dem scharf auskrystallisirten Calcit wie darauf hingestreut oder wie durchsichtige Tröpfehen aufgewachsen sind. Wünschenswerth wäre es, wenn Exemplare davon in Kapnik gesammelt und in den Handel gebracht würden. Herr Bielz, im Besitze von zwei Exemplaren war so gütig, das mir übersendete zur Disposition zu stellen, wesshalb ich dasselbe für die Sammlungen des k. k. Hof-Mineralien-Cabinetes übergab und ihm im Namen desselben danke.

6. Graphit, Krystallgestalten desselben.

Durch die Güte des k. k. General-Land- und Haupt-Münzprobirers, Herrn A. Löwe, welcher mir die Durchsicht einer Partie schöner amerikanischer Minerale gestattete, in deren Besitz er vor kurzem gelangt war, wurde ich in den Stand gesetzt, die Krystallgestalten des Graphits näher zu bestimmen. Unter den Mineralen befand sich nämlich krystallisirter Graphit von Ticonderoga in New-York in Nordamerika, welcher in jeder Hinsicht ausgezeichnet ist.

Der Graphit ist in grosskörnigem, blassgrünlichem bis weissem oder gelbem krystallinischen Calcit eingewachsen und erscheint in einzelnen Krystallen oder in krystallinisch-blättrigen Partien, welche durch lamellare Krystalloide gebildet werden. Die einzelnen Individuen schneiden scharf in den Calcit ein, dessen ausgezeichnete krystallinische Bildung die Krystallisation des Graphits wenig hinderte und die beiden gleich vollkommen krystallinischen Minerale hinderten nur durch ihre gegenseitige Berührung, dass die kleineren Graphitkrystalle die Randflächen der Tafeln weniger scharf ausgebildet haben konnten, als es der Fall gewesen wäre, wenn das sie umschliessende Mineral geringere Krystallisationstendenz gehabt hätte. Wo jedoch der Graphit reichlicher austritt, da er wie ein breites Band den Calcit durchzieht, und wo die Calcitmasse durch den überwiegenden Graphit zurückgedrängt ist, erscheinen die Graphitkrystalle schärfer ausgebildet und einzelne mit Vorsicht herausgelöste Krystalle liessen die krystallographischen Verhältnisse, wie folgt, bestimmen.

Der Graphit bildet zunächst durch vorherrschende Ausdehnung der hexagonalen Basisflächen dünne, sechsseitige Tafeln, welche grosse Ähnlichkeit mit den tafelartigen Krystallen des Hämatits zeigen, indem nicht nur hexagonale Gestalten in normaler, sondern auch in diagonaler Stellung vorhanden sind, mit dem Unterschiede, dass die letzteren hier ausgedehnter auftreten. Es zeigen sich nämlich zunächst die Flächen eines hexagonalen Prisma und einer hexagonalen Pyramide in paralleler Stellung, welche als solche in diagonaler Stellung gewählt wurden. Die Messung mit dem Reflexionsgoniometer ergab als mittleren Werth 110° für den Combinations-Kantenwinkel zwischen der Basis und der Pyramide und 160° für den Combinations-Kantenwinkel zwischen dem Prisma und der Pyramide.

Man hätte die hexagonale Pyramide und das hexagonale Prisma als Gestalten in normaler Stellung wählen können, doch zeigte einerseits eine trianguläre Streifung auf den hexagonalen Basisflächen, deren Linien senkrecht auf den Combinationskanten der Basisflächen und der Pyramidenflächen standen, auf die Flächen eines Rhomboeders hin, welches als hexagonale Gestalt in normaler Stellung gewählt wurde, andererseits waren in der That die Flächen zweier Rhomboeder zu beobachten, von denen das eine durch Messung bestimmt werden konnte und dessen Flächen ein Blätterdurchgang entspricht, wodurch die trianguläre Streifung zum Theil bedingt wurde. Mit einiger Vorsicht konnte man durch Biegung der Tafel das Vorhandensein von Spaltungsflächen nachweisen, welche einem Rhomboeder entsprechen und bei Sprödigkeit des Minerals sich als vollkommen erwiesen haben würden.

Der Winkel, welchen die bestimmbaren Rhomboederflächen mit den hexagonalen Basisflächen bilden, wurde durchschnittlich — 122° oder 58° gefunden und wenn man aus diesem Winkel die Endkanten des Rhomboeders berechnet, so ist derselbe — 85° 30′ genau — 85° 28′ 54″. Jedenfalls erscheint es angemessener den Winkel in Kürze 85¹/₃° anzugeben, weil die Secunden hier nicht so von Einfluss sind, so lange die Winkelangaben nur als annähernde gelten können. Die Messung war im Allgemeinen eine schwierige, weil der Graphit sehr biegsam ist und die geringste Berührung bei dem Auslösen auf die Tafeln von Einfluss war, leider auch die schönsten Krystalle durch den Transport und die Umhüllung gelitten haben, so dass es nothwendig war, einige umgebogene durch sansten Druck zwischen

zwei polirten Stahlplatten in ihre regelrechte Lage zu bringen. Dergleichen Krystalle wurden aber nur der Controle wegen gemessen.

Ausser der bereits angegebenen hexagonalen Pyramide in diagonaler Stellung wurde noch eine zweite stumpfere gefunden, welche mit der Basisfäche einen Winkel = 137° bildete, wonach ihr Seitenkantenwinkel = 86° ist; sie war ebenfalls mit dem Prisma in paralleler Stellung und ist desshalb auch eine Pyramide in diagonaler Stellung.

Legt man nun das Rhomboeder, dessen Neigung zur Basisfläche = 122° gefunden wurde, der Berechnung zu Grunde und wählt es als Grundgestalt, R, so würden die beiden hexagonalen Pyramiden in diagonaler Stellung die Zeichen 2P2 und ½2P2 erhalten.

Herr Sectionsrath W. Hai dinger hat in seinem Handbuche der bestimmenden Mineralogie, Seite 513, ein Quarzoid $Q=159^{\circ}$ 52', 40° 56' angegeben, welches, wenn es als hexagonale Pyramide in diagonaler Stellung angesehen wird, der auf meine Grundgestalt passenden Pyramide $\frac{1}{4}P2$ am nächsten kommen würde. Für dieselbe würde sich nämlich der Seitenkantenwinkel = 38° 13' 14" ergeben, welcher nicht bedeutend von 40° 56' abweicht. In normaler Stellung aufgefasst kommt sie dagegen der Pyramide $\frac{1}{4}P$ am nächsten, deren Seitenkantenwinkel nach der Berechnung 43° 36' 40° sein würde, also um fast eben so viel zu gross ist.

Der Graphit von Ticonderoga ist eisenschwarz, stark glänzend, von vollkommenem Metallglanz und hat das specifische Gewicht—2·229 ergeben. Die Härte ist gleich der des Gypses, doch erscheint sie dadurch geringer, weil er sehr biegsam ist und der geringste Druck mit einem weniger biegsamen Körper einen Eindruck verursacht. Die übrigen Eigenschaften sind die bekannten.

Da jedenfalls das an Herrn Löwe übersandte Exemplar nicht das schönste von dem angegebenen Fundorte sein dürfte, so wäre es gewiss sehr wünschenswerth, wenn von amerikanischen Mineralogen, die im Besitze noch besserer Krystalle sind, wiederholte Messungen veranstaltet würden, um die krystallographischen Verhältnisse weiter zu erforschen. Ein solcher Graphit bestätigt nebenbei noch ausreichend die von mir dem Graphit gegebene Stellung unter den Metallen, da sein metallischer Habitus ein so ausgezeichneter ist, dass man ihn bis auf das weichere Aussehen mit krystallisirtem Hämatit sehr leicht verwechseln kann.

7. Junkerit, eine Abänderung des Siderit.

Ein Exemplar dieses für eine eigene und orthorhombisch-krystallisirende Species ausgegebenen Minerals von Poullaouen in der Bretagne in Frankreich, welches sich in den Sammlungen des k. k. Hof-Mineralien-Cabinetes befindet, bestätigt vollkommen die bereits von A. Breithaupt ausgesprochene und auf Untersuchung begründete Behauptung, dass der Junkerit rhomboedrisch krystallisire und dem Siderit angehöre.

Er bildet auf unreinem Quarz aufgewachsene Krystalle, welche einen krystallinischen Überzug darstellen, aber auch einzeln zu beobachten sind. Die einzelnen Krystalle, obgleich sehr klein, lassen sich als eine Combination eines spitzeren Rhomboeders in der Gegenstellung mR' (auf die Grundgestalt R des Siderits bezogen) mit den Basisflächen erkennen. Die Rhomboederflächen sind wenig glänzend und convex, während die Basisflächeu rauh und matt sind. Die Convexität wird durch die erkennbare Anwesenheit eines Skalenoeders erhöht, welches die Seitenkanten des Rhomboeders zuschärft, dessen Flächen aber bei der Convexität der Rhomboederflächen keine deutlichen Combinationskanten bilden können. Die Krystalle sind vollkommen spaltbar parallel den Flächen der Grundgestalt R, welche bei dem Siderit vorkommt und mit der auch die Neigung, wie ich durch Messung mit dem Reflexions-Goniometer fand, vollkommen übereinstimmt.

Die Krystalle sind gelblichbraun und durchscheinend, die übrigen Eigenschaften und die Qualität der Bestandtheile stimmen mit denen des Siderits überein, das specifische Gewicht allein konnte ich wegen unzureichenden Materials nicht bestimmen, was jedoch nichts schadet, da es Dufrénoy bereits = 3.815 gefunden hatte.

8. Notiz über den Bournonit und Wölchit von St. Gertraud bei Wolfsberg im Lavanthale in Kärnten.

Durch die Güte des Herrn Franz von Rosthorn erhielt ich ausser mehreren anderen zu bestimmenden Mineralen einen losen Krystall, im Durchmesser etwa ¾ Zoll, welcher Wölchit sein sollte, derbes Mineral ohne irgend eine Spur von Zersetzung in krystallnisch-körnigem Siderit eingewachsen, welches auch für Wölchit ausgegeben wird und ein Exemplar des bekannten Vorkommens, woran der Wölchit mit einem grünen Zersetzungsproducte innig verwachsen ist.

Der an mich ergangenen Aufforderung des Herrn v. Rosthorn gemäss, die betreffenden Stücke einer vergleichenden Untersuchung zu unterwerfen, um zu erfahren, ob der Krystall und das reine derbe Mineral, welche daselbst in grösserer Tiefe als der gewöhnlich bekannte Wölchit vorkommen, auch Wölchit seien, nahm ich diesen Gegenstand vor, welcher mich gleichzeitig veranlasst, auf die vom Herrn Professor Schrötter im Jahre 1830 gelieferte Analyse des Wölchit (des prismatoidischen Kupferglanzes nach Mohs) einzugehen. (Vergleiche Seite 284, VIII. Band, der Zeitschrift für Physik und Mathematik, herausgegeben von A. Baumgartner und A. v. Ettingshaus en. Wien 1830.)

Der lose Krystall, im Aussehen dem Bournonit gleichend, war durch Verwachsung mehrerer gebildet und liess durch annähernde Messungen mit dem Anlegegoniometer finden, dass er eine mit den Krystallen des Bournonits übereinstimmende Gestalt hat. Die einzelnen Individuen, eine Combination des orthorhombischen Prisma $\infty P = 93^{\circ}$ 30' mit den Quer- und Längsflächen und den Basisflächen darstellend, woran die Combinations-Kanten zwischen oP und $\infty P \approx$ durch ein Längsdoma $mP \approx$ abgestumpft werden, unter welchem sich die schmalen Flächen eines zweiten schärferen Längsdoma m'Poo vorfinden, waren zwillingsartig aber nicht ganz regelmässig und zu mehreren verwachsen, und zwar, wie die Lage der Flächen erkennen liess, nach dem Gesetze, dass die Prismenfläche ∞P die Verwachsungsfläche ist. Hierbei waren die einzelnen Individuen ein wenig verschoben und von verschiedener Ausdehnung, wodurch ringsum viele tiefe verticale Furchen entstanden und die gemeinschaftlich eine Ebene bilden sollenden Basissiächen nicht vollständig in einer Ebene zusammenfielen, daher auch die Bestimmung durch das Anlegegoniometer erschwert wurde.

Der Winkel der Combinationskante zwischen oP und dem stumpferen Längsdoma $mP \approx$ wurde annähernd = $146 \frac{4}{2}$ gefunden, wodurch die Endkante desselben einen Winkel um 113° herum bilden würde, die Neigung von $mP \approx$ zu $\approx P \approx$ war noch schwieriger zu bestimmen und liess sich nahe an 141° finden, wonach die Endkante von $mP \approx$ einen Winkel von ungefähr 78° bilden würde.

Ausser diesen Flächen war noch eine orthorhombische Pyramide mP zu sehen, welche die Combinationskante zwischen oP und ∞P

abgestumpft und deren Neigung nach dem Augenmasse zu urtheilen mit der Neigung von m'P∞ zu ∞P∞ ziemlich übereinstimmt.

Aus Allem geht hervor, dass der lose Krystall in der Gestalt mit dem Bournonit übereinstimmt, dazu kommt noch dasselbe Aussehen, die gleiche Härte, das specifische Gewicht — 5.828, der Strich, das Verhalten vor dem Löthrohre und die Übereinstimmung in den Bestandtheilen Kupfer, Blei, Antimon und Schwefel, so dass die Identität mit Bournonit bis zur Gewissheit wahrscheinlich wird. Auch das derbe in krystallinisch-körnigem Siderit eingewachsene Mineral, im Aussehen dem Bournonit gleichend und im Übrigen übereinstimmend gefunden, ist Bournonit, wozu noch das Fragment eines Krystalls an einer freien Stelle beiträgt, dessen Neigungswinkel zwischen den Flächen $\infty P \otimes \ldots \otimes P \otimes$ und ∞P mit dem Reflexionsgoniometer, von dem Herrn Victor Ritter v. Zepharovich bestimmt mit dem Bournonit vollkommen stimmen.

Es findet sich somit an dem Fundorte des Wölchit in der Wölch zu St. Gertraud bei Wolfsberg im Lavanthale in Kärnten, aber in grösserer Tiefe, auch Bournonit.

Da nun der Wölchit auch orthorhombisch krystallisirt, die davon bekannte, aber nicht durch Messung bestimmte Krystallcombination im Aussehen der des Bournonits ähnlich ist, so erscheint eine wiederholte chemische Untersuchung des Wölchits, welcher nach Herrn Professor Schrötter neben den Bestandtheilen des Bournonits auch Arsenik enthält, sehr wünschenswerth, weil die damals gewonnenen Resultate zu keiner annehmbaren Formel führen, wie Rammelsberg (in seinem Handwörterbuche der Mineralogie, I, 31) gezeigt hat, und der Gedanke in Anbetracht der gefundenen Bestandtheile nahe liegt, ob nicht der Wölchit eine dem Bournonit ähnliche Zusammensetzung haben könnte und derselbe sich durch Arsenikgehalt unterscheidet.

Herr Professor Schrötter fand damals in zwei Analysen:

a.		ь.
28.602		Schwefel
16:647	16.412	Antimon
6.036	8.166	Arsenik
17-352	16.326	Kupfer
29.902	26.424	Blei
1.404	1.307	Eisen
99.943		
2.307	_	Wasser
102.250		

berechnete

```
      14 Atome
      Schwefel
      = 28·161

      2
      " Antimon
      = 16·129

      2
      " Arsenik
      = 9·401

      4
      " Kupfer
      = 15·838

      2
      " Blei
      = 25·890

      95·419
```

und stellte die Formel $\tilde{C}u^2$ $\tilde{A}s$ + $\tilde{P}b^2$ $\tilde{S}b$ auf, welche mit denen ähnlicher Verbindungen wegen des zu grossen Schwefelgehaltes nicht harmonirt und ein Vorhandensein von Einfach-Schwefelkupfer neben Einfach-Schwefelblei zeigt, während man in ähnlichen Verbindungen von Kupfer, Blei, Antimon, Arsenik und Schwefel gewöhnlich Halbschwefelkupfer Cu_2S neben Einfach-Schwefelblei PbS gefunden hat.

Die mit grosser Sorgfalt ausgeführten Analysen lassen daher die Vermuthung aufkommen, dass irgend ein besonderer Umstand obwaltet, welcher durch eine Wiederholung der Analysen behoben oder bestätigt werden dürfte, die für die Species zu einem dringenden Bedürfnisse wird, weil die genaueste Durchsicht der gewonnenen Resultate nichts auffinden lässt, was zur Aufklärung beiträgt.

Ich habe, um von neuem auf diesen Gegenstand die Aufmerksamkeit zu lenken, veranlasst durch die mir zur Untersuchung übergebenen Exemplare, die damals gewonnenen Resultate verglichen und gefunden, dass die Zusammensetzung des Wölchits, namentlich zufolge der Analyse a die wahrscheinliche Annahme möglich macht, dass der Wölchit, abgesehen von dem Resultate in Betreff des Schwefelgehaltes der Formel 3Pb, Cu₂S. Sb₂As₂S₃ entsprechen könnte, und daher dem Bournonit 3Pb, Cu₂S. Sb₂S₃ sehr nahe steht.

Aus den Analysen lässt sich zwar direct nicht eine dem Bournonit entsprechende Formel herausfinden und die gefundenen Mengen berechtigen nicht die Voraussetzung, dass durch irgend einen Fehler der auffallend grosse Schwefelgehalt bedingt werde, wie man aus der Berechnung ersieht.

In 17.727 Gran des Wölchit nämlich wurden, wenn man den Elementen

As, Sb, Cu, Pb, Fe, S, O, Ba die Mischungs-Gewichtszahlen 37.5 64.5 31.7 103.7 28.0 16.0 8.0 68.5

zu Grunde legt

5 047 Gran Schwefel, 1·070 "Arsenik, 2·951 "Antimon, 3·077 "Kupfer, 5·305 "Blei, 0·239 "Kisen, 17·689 Gran

gefunden. Auf 100 Theile berechnet erfolgen daraus

28·471 Schwefel, 6·036 Arsenik, 16·647 Antimon, 17·352 Kupfer, 29·926 Blei, 1·348 Eisen, 99·790

und hieraus folgen nach der Berechnung der Äquivalentzahlen

17.794 Åq. Schwefel, 0.805 " Doppelt-Arsenik,

1.290 " Doppelt-Antimon,

2.737 " Doppelt-Kupfer,

2.886 " Blei,

0.481 " Eisen.

Summirt man Arsenik und Antimon einerseits, Kupfer, Blei und Eisen andererseits

Hierfür kann man die annähernden Zahlen

1 3

setzen und diese würden die Formel

ergeben, welche sich von der Formel des Bournonits, ausser dem Arsenikgehalte durch die höhere Schwefelungsstufe des negativen Theiles unterscheidet.

Gegen die Annahme aber dieser Formel spricht das specifische Gewicht, welches bei einer solchen höheren Schwefelungsstufe und der Übereinstimmung in den übrigen Eigenschaften, wie die Vergleichung anderer Mineralspecies zeigt, nicht gleich dem des Bournonits sein kann, sondern entschieden niedriger sein müsste.

Dazu kommt noch, dass, obgleich in 17·727 Gran 17·689 Gran S,As,Sb,Cu,Pb,Fe

oder in 100 Theilen Wölchit

99.780 Procente S, As, Sb, Cu, Pb, Fe

gefunden wurden, Herr Professor Schrötter 0.409 Gran oder 2.307 Procent Wasser fand, wodurch sich ein Überschuss von 2.087 Procenten ergab, welcher nicht erlaubt, das gefundene Wasser als hygroskopisches zu betrachten. Es enthalten nämlich derartige metallische Minerale niemals eine solche Menge hygroskopischen Wassers und wir können die Anwesenheit dieses Wassers nur mit der zersetzten grünen und braunen Substanz in Verbindung setzen, welche den Wölchit innig durchdringt. Hierdurch wird aber die Anwesenheit oxydirter Metalle und die Anwesenheit von Säuren bedingt und durch das Ausserachtlassen des betreffenden Sauerstoffs hätte die Summe der gefundenen Metalle u. s. w. ansehnlich niedriger ausfallen müssen. Dieser Umstand ist es also besonders, auf welchen aufmerksam zu machen ist, sobald der Wölchit einer neuen Untersuchung unterworfen wird. Das braune und grüne Zersetzungsproduct durchdringt den Wölchit und ist mit der Loupe überall zu entdecken, so dass bei der grössten Vorsicht bei der Auswahl der zu untersuchenden Stücke es nicht möglich ist, reines Material zu gewinnen, wie auch die Anwesenheit von 2.307 Procent Wasser bewiesen hat. Der Umstand endlich, dass der Schwefel schon bei 77°C. sich zu verflüchtigen anfängt, wie Herr Professor Schrötter gefunden hat, deutet darauf hin, dass ein schwefelsaures wasserhaltiges zu den Malachiten oder Salzen gehöriges Zersetzungsproduct anwesend gewesen ist, dessen Entfernung, sowie die des anwesenden Hydroferrats nothwendig wird, wenn die Beschaffenheit des Wölchits ermittelt werden soll.

Die zweite durch Behandlung mit Chlorgas ausgeführte Analyse ergab nur ein unvollständiges Resultat, weil nicht alle Stoffe quantitativ bestimmt wurden. In 31.519 Gran des Wölchits wurden

5·173 Gran Antimon, 2·574 " Arsenik, 8·336 " Blei, 5·147 " Kupfer, 0·864 " Eisen, bei Annahme der oben angegebenen Mischungs-Gewichtszahlen gefunden, welche in Procenten ausgedrückt

16-412 Antimon, 8-166 Arsenik, 26-448 Blei, 16-330 Kupfer, 2-741 Eisen,

ergeben. Hier glaube ich, sind wir nicht vollkommen berechtigt, den in der ersten Analyse gefundenen Schwefelgehalt einzutragen, um so mehr, weil die Berechnung der Äquivalentzahlen zeigt, dass diese Probe die betreffenden Metalle in einem abweichenden Verhältnisse enthielt, wodurch bei gleicher Menge des Schwefels die Abweichung beider Proben noch grösser wird.

Die Äquivalentzahlen nämlich sind:

1.272 Aq. Doppelt-Antimon,

1.089 " Doppelt-Arsenik,

2.550 " Blei,

2.576 " Doppelt-Kupfer,

0.979 " Eisen,

woraus, wenn man Antimon und Arsenik einerseits, und die Metalle andererseits summirt

hervorgeht, mithin hier nicht die beiderseitigen mit Schwefel verbundenen Stoffe in demselben Verhältnisse gefunden wurden. Schwefel und Wasser können daher nicht in gleichen Mengen, wie in der ersten Probe angenommen werden, denn die abweichenden Mengen der Metalle erfordern jedenfalls eine andere Schwefelmenge und das von Beimengungen herrührende Wasser kann nicht in allen Proben gleichviel betragen.

Es ergibt sich hiernach aus Allem, dass das Bedürfniss einer wiederholten Untersuchung vorhanden ist und dass dabei die beigemengten Substanzen besonders zu berücksichtigen sind, deren Einfluss durch die sorgfältigste Auswahl der Proben nicht vermieden werden kann, wie die Betrachtung des Wölchits unter der Loupe zeigt, und die so lange als anwesend zu betrachten sind, als der Wölchit einen Wassergehalt ergibt. Die Anwesenheit des Eisens wird auch jedenfalls nicht allein auf die Anwesenheit von Zweifach-

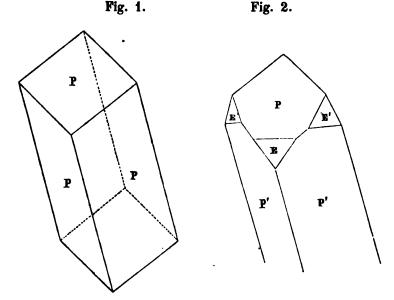
Schwefeleisen beruhen, denn wir finden oft kleine Mengen Eisen in Bournonit und anderen Blei und Kupfer enthaltenden Glanzen, so dass auch hier Eisen als vicarirender Bestandtheil vorhanden sein kann, dessgleichen ist es auch möglich, dass es in den Zersetzungsproducten vorhanden ist, wie namentlich das braune erkennen lässt.

9. Über eine besondere Krystallbildung des Quarzes.

Herr Franz von Rosthorn übergab mir zwei Exemplare der eigenthümlichen scheinbar orthorhombischen Krystalle, welche Ähnlichkeit mit Andalusitkrystallen haben, in dem bekannten, Eklogit genannten Gemenge der Sau-Alpe in Kärnten vorkommen und daselbst unter dem Namen weisser Topas bekannt sind.

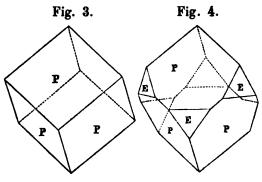
Die Eigenschaften der Substanz, abgesehen von der Krystallgestalt wurden übereinstimmend mit denen des gemeinen Quarzes gefunden und sind folgende: Bruch muschlig, weiss, ins Grauliche und Gelbliche, halbdurchsichtig bis an den Kanten durchscheinend, Glasglanz, im Bruche stärker als auf den Krystallflächen; spröde, Härte = 7.0, specifisches Gewicht = 2.6545. Vor dem Löthrohre, gegen Reagention und gegen Säuren war das Verhalten vollkommen das des Quarzes.

Die Krystalle im Gestein eingewachsen und durchgebrochen, haben einen nahezu quadratischen Durchschnitt und zeigen sich auf



den ersten Blick als wenig geschobene, rhombische Prismen begrenzt durch die Basisflächen, wie Fig. 1 angibt. Ein kleiner herausgelöster Krystall erschien mit Abstumpfungsflächen der Combinations-Ecken, wie Fig. 2 ihn angibt und erinnert an die Gestalten des Andalusit.

Die genauere Prüfung dieser Gestalt liess aber finden, dass diese Krystalle nichts weiter als eigenthümlich verbildete Krystalle des Quarzes sind. Geht man nämlich von der Hälftengestalt, dem hexaederähnlichen Rhomboeder aus, welches durch rhomboedrische Hemiedrie der hexagonalen Pyramide $P=133^{\circ}44$ entsteht, Fig. 3, so entsteht durch Verlängerung dieses Rhomboeders in der Richtung



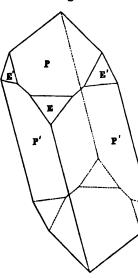
vier in einer Zone liegender Flächen, das scheinbar wenig geschobene rhombische Prisma mit wenig abweichender schiefer Basisfläche, wie in der ersten Figur angegeben wurde.

Mit diesem hexaeder ähnlichen Rhom-

boeder sind die Flächen des hexagonalen Prisma ∞P verbunden, wie man in Fig. 4 sieht und wenn diese Combination in der Richtung vier in einer Zone liegender Flächen unverhältnissmässig ausgedehnt wird, wie Fig. 5 angibt, so entsteht dadurch die an den Andalusit erinnernde Gestalt, welche dergleichen aus dem Grundgestein herausragende Krystalle zeigen.

Dieselben sind in der Regel unvollkommen ausgebildet, haben abgerundete Kanten und veranlassten daher die Benennung weisser Topas, weil sie auch eine entfernte Ähnlichkeit mit abgerundeten Topaskrystallen zeigen, von dem sie sich aber bald durch die

Fig. 5.



mindere Härte und den Mangel an Spaltbarkeit verschieden finden lassen.

Die mit dem Anlegegoniometer vorgenommenen Messungen der Rhomboederkanten und der Combinationskanten ergaben vollkommen mit dem Quarze übereinstimmende Resultate.

9. Notiz über eine besondere Farbenvertheilung an einem Flusskrystalle.

Ein Seitenstück zu den in der sechsten Folge meiner mineralogischen Notizen (siehe Octoberheft des Jahrganges 1853 der Sitzungsberichte der mathem.-naturw. Classe der kais. Akademie der Wissenschaften) beschriebenen Krystallgestalten des Fluss, welche sich
durch besondere Vertheilung der Farben auszeichnen, bildet krystallisirter Fluss von Schlackenwald in Böhmen, welcher mir vom Herrn
Dr. Glückselig in Elbogen zur Kenntnissnahme freundlichst übersendet wurde.

Eine Kluftstäche des feinkörnigen Granits ist mit kleinen Quarzkrystallen überzogen und auf diesem Überzuge sind Flusskrystalle zweierlei Art neben einander aufgewachsen, grüne Oktaeder neben violblauen Rhomboedodekaedern. Die letzteren vollkommen ausgebildet erscheinen auf den ersten Blick als Triakisoktaeder, indem weisse Streifen in der Lage der längeren Diagonalen der Rhombenflächen dem Auge entgegentreten. Genauer betrachtet, zeigt es sich

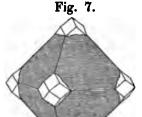


aber, dass gerade wie in den damals unter 1. beschriebenen Krystallen aus Sachsen, die den drei Hauptschnitten entsprechenden Schichten farblos sind, während die übrige Masse der Krystalle violblau ist. Auf diese Weise tritt, wie die beifolgende Fig. 6 angibt, der Schein hervor, als wären es Triakisoktaeder. Die drei farblosen Schichten sind schmal und scharf geschieden.

10. Notiz über eine eigenthümliche Krystallgestalt des Fluss.

Nicht zu selten findet man Krystalle des Fluss, welche durch homologe Gruppirung kleiner Krystalle gebildet werden und wobei die kleinen einen grossen zusammensetzenden Krystall eine andere Gestalt haben als der grosse durch die gemeinsame Gruppirung entstandene darbietet. So namentlich setzen kleine Hexaeder grosse Krystalle verschiedener Gestalt zusammen und bilden am häufigsten Combinationen des Hexaeders und Oktaeders, woran die Oktaederflächen rauh und mit kleinen Hexaederecken bekleidet erscheinen; sind die Oktaederflächen vorherrschend, oder erscheint das Oktaeder auf diese Weise als Summe der kleinen Kryställchen für sich, so treten anstatt der Oktaederecken kleine Hexaeder auf. An Krystallen aus Sachsen war dies manchmal zu sehen.

An diesen Fall schliesst sich ein Krystall an, welcher auf einem Gemenge von blassviolblauem Fluss und grauem gemeinen Quarz aufsass und eine Krystallgestalt zeigte, wie die beifolgende Fig. 7 angibt.



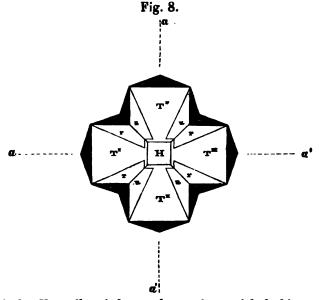
Ein blassblaues Oktaeder mit rauhen schimmernden Flächen zeigt anstatt der Oktaederecken vollkommen scharf begrenzte Rhombendodekaeder, welche aus der oktaedrischen Gestalt mit ebenen und glänzenden Flächen hervortreten, so dass die Oktaederkanten mit den Rhombendodekaederflächen, respective deren längeren Diagonalen zusammenfallen. Hierdurch

liegen die Oktaederstächen, wie in der Figur durch die Dunkelung angegeben ist, etwas tieser, so dass von den vier Rhombenstächen, welche unterhalb der vier die Ecken bildenden Rhombenstächen liegen, nahezu die Hälsten noch sichtbar sind und durch die rauhe Flächenbeschassenheit des Oktaeders nicht ganz scharf geradlinig abschneiden. Die anstatt der Oktaederecken eingetretenen kleinen Rhombendodekaeder sind auch ausfallend dunkler gesärbt als die Oktaeder.

Der Fundort dieses seltenen Exemplares, wozu ich in den Sammlungen des k. k. Hof-Mineralien-Cabinetes unter einer Summe von über 400 Exemplaren, unter denen viele abnorme Krystallbildungen vorkommen, kein Seitenstück finden konnte, ist Schlackenwald in Böhmen und es war dasselbe gleichfalls vom Herrn Dr. Glückselig in Elbogen zur Kenntnissnahme freundlichst zugesendet worden.

An dieses Exemplar reiht sich ein zweites von ebendaher und mit dem so eben beschriebenen gleichzeitig überschicktes. Auf Quarz aufgewachsene Krystalle, die Combination eines Tetrakiskexaeders, wahrscheinlich $\infty 03$, mit dem Hexaeder darstellend, violblau, halb-

durchsichtig und glänzend, zeigen weiter nichts Besonderes, nur wechselt ihre Grösse. Unter ihnen ragt ein grösserer Krystall hervor, welcher dem ersten Eindrucke nach einen Kreuzzwilling zweier Krystalle der angegebenen Combination bildet, von denen jeder in der Richtung einer der beiden horizontal gestellten Axen vorherrschend ausgedehnt ist, so dass dadurch die Bildung eines Kreuzzwillings um so entschiedener hervortritt. In der beifolgenden Fig. 8 ist der



Anblick des Krysfalls wiedergegeben, wie er sich darbietet, wenn man gerade auf ihn längs der vertical gestellten Axe sieht.

Das eine Individuum würde nach oben die vierslächige Pyramide, bestehend aus den Flächen T, T^{u} und r zeigen, das andere die vierslächige Pyramide bestehend aus den Flächen T', T^{v} und u. In der Mitte liegt die Hexaedersläche H, umsäumt von vier schmalen Tetrakishexaederslächen, in welche die Flächen T verlausen, während die Flächen u und r dadurch getrennt und zertheilt erscheinen. Die übrigen Flächen s, welche etwas dunkel gehalten sind, sind die übrigen Tetrakishexaederslächen, welche man auch bei der verticalen Draussicht oder in der Projection sieht; die punktirten Linien a a' deuten die Axen an, welche horizontal zu liegen kommen und in deren Richtung je eines der beiden Individuen vorherrsehend ausgedehnt erscheint.

Diese Deutung des Krystalls, welche sich zuerst darbietet, hat viel Wahrscheinlichkeit für sich und widerspricht im Allgemeinen nicht dem tessularischen Systeme, weil bisweilen Veränderungen in irgend einer Richtung vorkommen und darum hier die Verlängerung nicht auffallen könnte. Es lässt sich jedoch der Krystall anders deuten, nicht als Kreuzzwilling, und diese andere Deutung ist die richtige, welche diesem Krystall sich dem vorigen anreihend zeigt.

Es erhebt sich nämlich über der Oberfläche des Quarzes das Segment eines Oktaeders, welches durch homologe Gruppirung vieler kleiner Kryställchen der Combinationsgestalt $\infty 03. \infty 0\infty$ gebildet wird. Die vier Oktaederflächen dieses Segmentes werden durch die Summe der sechskantigen Tetrakishexaederecken gebildet, gerade wie in Combinationen $\infty 0 \infty$. O die Oktaederflächen oft durch die Summe vieler Hexaederecken repräsentirt werden. In der Richtung der vier Oktaederkanten dieses Segmentes gehen treppenförmig die Hauptkanten der kleinen componirenden Tetrakishexaeder herab und anstatt der Ecke des Oktaeder-Segmentes ist der grosse scheinbare Kreuzzwilling aufgesetzt, dessen in der Zeichnung dunkel gehaltene Flächen verhältnissmässig weit hinahreichen und die Aggregationsgestalt grossentheils verdecken, so dass bei oberflächiger Betrachtung die kleinen das Oktaeder - Segment zusammensetzenden Kryställchen der Combinationsgestalt $\infty 03$. $\infty 0\infty$ nur die unregelmässige Oberfläche des Quarzes ohne bestimmte Anordnung zu bedecken scheinen.

Hält man schliesslich noch das Stück gegen das Licht um längs einer der beiden horizontal gestellten Axen hindurchsehen zu können, so sieht man, dass der oktaedrische Kern, welcher der gesammten Anordnung der kleinen Krystalle $\infty 03$. $\infty 0\infty$ und des scheinbaren Kreuzzwillings zu Grunde liegt, dunkelviolblau gefärbt ist, während alle anderen Krystalltheile, welche ausserhalb dieses oktaedrischen Kernes zu liegen kommen, fast farblos sind, gerade wie diese Farbenvertheilung an dem in der sechsten Folge meiner mineralogischen Notizen beschriebenen Krystall $\infty 0n$. $\infty 0\infty$ zu sehen war. Die beiden bei dieser Stellung sichtbaren Hauptschnitte werden in dem dunkelviolblauen oktaedrischen Kerne durch lichtviolblaue Streifen bezeichnet, indem der sonst fast undurchsichtige oktaedrische Kern in der Richtung der Hauptschnitte, gerade wo am meisten Masse zu durchblicken ist, durchscheinend ist.

Vorträge.

Über die unechte innere Dispersion der dichroitischen Hämatin-Lösungen.

Von dem w. M., Pref. Ernst Brücke.

In der Sitzung vom 9. December 1853 habe ich mitgetheilt, dass der Blutfarbestoff in zwei Modificationen existirt, in einer, welche in Schichten von verschiedener Dicke ein mehr oder weniger gesättigtes Roth zeigt, und in einer andern, welche nur in dicken Schichten mit rother Farbe durchscheinend ist, in dünnen aber mit grüner; ferner dass das Hämatin, wenn das arterielle Blut venös wird aus dem ersteren in den letzteren Zustand übergeht, beim Zutritte von Sauerstoffgas aber wieder in den ersteren zurückkehrt. Ich habe den ersteren Zustand den 'nicht-dichroitischen' genannt, den letzteren den 'dichroitischen'. Es ist mir brieflich von einem hochgeschätzten Freunde bemerkt worden, dass diese Bezeichnung desshalb nicht wünschenswerth sei, weil man bekanntlich auch solche Körper dichromatische nennt, welche in verschiedenen Richtungen verschiedene Farben durchlassen. Es blieb mir aber keine Wahl, da in J. F. W. Herschel's allgemein geschätzter und auch in der Schmidt'schen Übersetzung 1) in Deutschland sehr verbreiteter Abhandlung über das Licht die Lösungen von Chlorchrom, mangansaurem Kali, Saftgrün und anderen Körpern, die ähnliche optische Eigenschaften haben, wie das Blutroth, als dichromatisch bezeichnet werden. In meinem Falle, wo es sich um eine Flüssigkeit handelte, war auch keine Verwechslung möglich; will man aber beide Arten von Erscheinungen von einander unterscheiden ohne den Namen Dichroismus für die eine von ihnen aufzugeben, so braucht man nur die Benennungen Pachodichroismus und Pleurodichroismus einzuführen.

Ich habe nun in neuerer Zeit bemerkt, dass alle dichromatischen Hämatin-Lösungen, mögen dieselben aus reinem oder unreinem Hämatin, mögen sie mit Kali, Natron, kaustischem oder kohlensaurem Ammoniak bereitet sein, in ihrem Innern Licht zerstreuen. Man

¹⁾ Stuttgart und Tübingen, 1831. 80-

bemerkt dies schon im gewöhnlichen Tageslichte an einem mattgrünen Schimmer, in welchem die Flüssigkeit bei auffallendem Lichte erscheint, noch besser aber, wenn man Sonnenlicht mittelst einer Linse concentrirt, oder das Glas mit der Lösung im dunkeln Zimmer den durch ein Loch im Fensterladen einfallenden Sonnenstrahlen aussetzt; dann sieht man die helle Bahn derselben schön und scharf gezeichnet wie in einer Chininlösung. Das dispergirte Licht erscheint an der Eintrittsstelle der Strahlen bläulich, dann wird es grünlich und geht endlich durch eine gelbbräunliche Farbe in lichtschwaches, bald verschwindendes Roth über. Man thut am besten ziemlich verdünnte Lösungen anzuwenden, indem dann der Lichtstreif länger wird und die Farben weiter aus einander rücken. Man glaubt dann auf den ersten Anblick eine jener Erscheinungen vor sich zu sehen, welche in neuerer Zeit durch die Untersuchungen von Stokes eine so grosse Berühmtheit erlangt haben; ein vor das Auge gehaltenes Nicol'sches Prisma üherzeugt aber bald, dass die innere Dispersion eine unechte ist, denn beim Drehen desselben verschwindet das zerstreute Licht je nach dem Reflectionswinkel mehr oder weniger vollständig. Das Licht wird also von Körpern reflectirt, welche anders brechen als die umgebende Flüssigkeit. Diese erscheint nur desshalb nicht getrübt, weil jene Körper zu klein sind um das durchfallende Licht derart von seiner Bahn abzulenken, dass dadurch das dioptrisch gesehene Bild der Gegenstände merklich an seiner Deutlichkeit verliert. Es ist dies ein Umstand, dessen ich bereits in meiner Abhandlung "über die Farben, welche trübe Medien im auffallenden und durchfallenden Lichte zeigen" 1) erwähnt habe.

Diese unechte innere Dispersion zeigt sich um so schwächer, je schwächer der Dichroismus ist, man kann sie in den nicht-dichromatischen Lösungen, deren Bereitung ich in meiner ersten Mittheilung 2) angegeben habe, hervorbringen, wenn man diese in dichromatische verwandelt; es ist also gewiss, dass beim Übergange einer Hämatin-Lösung aus dem nicht-dichroitischen in den dichroitischen Zustand, ein Körper, der eben jenes Licht reflectirt, in sehr kleinen Partikeln ausgeschieden wird.

¹⁾ Diese Berichte, Bd. XI, Seite 1070.

²⁾ Diese Berichte, Bd. 1X, Seite 530, daraus in Poggendorff's Annalen der Physik und Chemie, Bd. 88, Seite 363.

Über den feineren Bau der gesammten medulla spinalis.

Resultate neuer in dem physiologischen Institute der k. k. Wiener Hochschule gemachten Untersuchungen.

> Von Dr. Jeseph v. Lenhessék, Docenten d. t. Anatomie an der k. k. Universität zu Pesth.

(Auszug aus einer grosseren für die Denkschriften bestimmten Abhandlung.) (Vorgetragen den 20. und 27. Juli in der Sitzung der mathem.-naturw. Classe.)

§. 1. Die Gangliensubstanz.

Sie entspricht der substantia cinerea der Anatomen, und bildet die Grundlage der gesammten medulla spinalis. Sie verläuft ununterbrochen von der äussersten Spitze des conus medullaris bis zum infundibulum, wobei sie zuletzt durch ihre ganz oberflächliche Lage den Boden der vierten Hirnhöhle, den des aquaeductus Sylvii. und jenen der dritten Hirnhöhle bildet (G. Prochaska, G. Chr. Reil, A. Förg); aber gleichzeitig setzt sich dieselbe auch beiderseits nach aufwärts ununterbrochen fort, wobei sie die Grundlage der den aquaeductus Sylvii bedingenden Gebilde, sowie jene der Seitenwandungen der dritten Hirnhöhle - thalami nervorum opticorum, taeniae semicirculares und corpora striata — bildet.

Diese Gangliensubstanz zeigt vier säulenartige Hervorwölbungen oder Colonnen, 2 vordere: motorische, und 2 hintere: sensitive. Mit dem Beginne des bulbus rhachiticus (F. Chaussier) verändern aber diese Colonnen (Hörner) ihre Lage so, dass allmählich die vorderen zu inneren, und die hinteren zu äusseren werden, und so auch juxtaponirt am Boden der vierten Hirnhöhle als eminentiae teretes und alae cinereae Arnoldi (B. Stilling's hypoglossus und vagus später glossopharyngeus Kerne) zu liegen kommen.

Schon einige Linien oberhalb der äussersten Spitze des conus medullaris zieht sich der mittlere Theil dieser Gangliensubstanz nach der Quere aus: commissura, wodurch der übrige Theil derselben in zwei seitliche Gangliensäulen geschieden wird, die aber wieder mit dem Beginne des bulbus rhachiticus allmählich sich nähern und endlich mit einander verschmelzen. Gleichzeitig beginnt von hier aus die gesammte Gangliensubstanz in ihrem weiteren Verlaufe nach aufwärts sich nach rückwärts zu neigen, bis sie am Boden der vierten Hirnhöhle ganz oberflächlich daliegt. Aber in dem Masse als sich

dieselbe von dem Grunde der vorderen Längenspalte entfernt, zieht sich der mittlere Theil derselben in der Richtung von rück- nach vorwärts in ein neues vertical stehendes Gebilde aus: das septum medianum (G. Chr. Reil, J. Gordon, V. A. Bochdalek, A. Förg), dessen vorderer Rand durch die ganze Höhe der Pyramidenkreuzung gleich einer Firste in dem Grunde der vorderen Längenspalte hineinragt. (J. Hyrtl's eingekeilter Höcker, B. Stilling's processus mastoideus.) Oberhalb dieser Stelle spaltet sich das vordere Ende dieses Septums in zwei Blätter, deren jedwedes zum Theil die angrenzenden Pyramiden überzieht (A. Monro).

Fernere Hervorwulstungen treten, als unmittelbare Ausziehungen der Gangliensubstanz, an bestimmten Stellen beiderseits des Grundes der vorderen Längenspalte hervor, welche die theilweise Auskleidung der Seitenwände derselben übernehmen, so auch an einer Stelle in der Höhe des bulbus rhachiticus beiderseits des Grundes der hinteren Längenspalte, welche Hervorwulstung im Übrigen sich ganz in die zunächst gelegene weisse Substanz — funiculus gracilis — hineinsenkt. Eine weitere kantig-endigende Hervorwulstung liegt in derselben Höhe nach aussen der letztbenannten (B. Stilling's Kern des zarten und Keilstranges).

Selbstständig als grössere compacte Masse tritt die Gangliensubstanz beiderseits oberhalb der Nackenanschwellung auf, indem sie hier den Longet'schen Kegel bildet, welcher nach oben zu an Breite zunimmt und bis in dem pons Varoli hineinreicht. Er liegt nur unten ganz oberflächlich (tuberculum cinereum L. Rolando's, geballte gelatinose Substanz B. Stilling's, conus F. A. Longet's).

Die histologischen Elemente dieser von den Anatomen als "substantia cinerea" bezeichneten Substanz sind: eine structurlose durchsichtige Grundlage, in welcher Ganglienzellen eingebettet sind. Diese letzteren sind wieder:

- 1. Allgemein verbreitete Ganglienzellen, welche mit der obigen Grundlage die eigentliche "substantia cinerea" ausmachen. Sie sind fast durchgehends pigmentlos, und zeigen alle Übergangsformen der Grösse bis zum Herabsinken als scheinbare freie Zellenkerne, und Körnchen (A. Kölliker, J. Gerlach).
- 2. Gruppenkörper darstellende Ganglienzellen, sie sind als neu auftretende Gebilde zu betrachten, welche aus den grossen J. Müller'schen Spinalganglien bestehen, und sind fast ausschliesslich

stark pigmentirt. Sie bedingen namentlich die Lenden- und Nackenanschwellung.

Sowohl die grösseren Ganglienzellen der eigentlichen Gangliensubstanz, als auch die J. Müller'schen Spinalganglien haben stets
einen längeren Durchmesser, welcher mit der Spinal-Axe parallel
steht; sie sind ferner bei dem Menschen alle multipolar, und
stehen durch die weitverbreitetsten Anastomosen ihrer Fortsätze in
unmittelbarer Verbindung (R. Wagner, A. F. Günther, Schröder van der Kolk).

An jenen Stellen, wo die J. Müller'schen pigmentirten Ganglienzellen fehlen, namentlich wo die eigentliche Gangliensubstanz nur mehr scheinbare freie Zellenkerne und Körnchen zeigt, erscheint dieselbe dem unbewaffneten Auge als substantia gelatinosa Rolando's.

3. Zerstreute Ganglienzellen, welche sich durch ihre intensive rothbraune Pigmentirung, sphärische Form, und sehr feine fadenförmige Fortsätze auszeichnen, welche letztere plötzlich aus der Oberfläche derselben hervortreten. Sie sind der Form nach den Nervenzellen der retina von A. v. Vintschgau ganz ähnlich, kleiner als die J. Müller'schen, und kommen nur an gewissen Stellen hoch oben am bulbus rhachiticus vor. Diese bedingen namentlich die bläuliche Farbe, welche sich bei auffallendem Lichte an gewissen Stellen zeigt.

Weder Längsfasern, noch anderweitige der "substantia cinerea" angehörige Fasern sind vorhanden. Die sehr schief vorkommenden Faserzüge gehören entweder den aus dieser Gangliensubstanz sich entwickelnden Nervenwurzelfäden an, oder setzen dieselben nur durch, z. B. die Kreuzungsbündel der Pyramiden.

§. 2. Die Nervenfasersubstanz.

Die "substantia alba" der Anatomen wird schon an der äussersten Spitze des conus medullaris durch die hier bereits auftretende vordere und hintere Längenspalte in zwei vollkommen von einander getrennte Theile geschieden, welche jedwede Gangliensäule gleich einem eingerollten Blatte (F. J. Gall, C. Burdach) umgeben, und nie bis zum Grunde der beiden Längenspalten reichen. Sie nimmt an Dicke von unten nach aufwärts zu (A. Kölliker), ohne alle specielle Massenzunahme an den Lenden oder Nackenanschwellung (E. G. Schilling, A. W. Volkmann). In der Höhe des

bulbus rhachiticus wird die substantia alba als continuirliche Schieht durch das stratum zonale Arnol di vertreten, zieht sich aber gleichzeitig von rück- nach vorwärts, bis zuletzt die mittlerweile in entgegengesetzter Richtung nach aufwärts ziehende Gangliensubstanz unbedeckt zurückbleibt: Boden des ventriculus quartus. Da am bulbus rhachiticus ausser dem septum medianum noch anderweitige beiderseits desselben zu liegen kommende Gebilde neu auftreten, umgibt das stratum zonale nur die äussere Oberfläche dieser, als da sind die corpora restiformia Rydlei's, und die Oliven, verliert aber dann ihre oberflächliche Lage, indem sie sich zwischen den Oliven und Pyramiden hineinschiebt, so, dass letztere die vordere Fläche des bulbus rhachiticus ergänzen.

Die vordere und hintere Längenspalte verlaufen ununterbrochen durch die ganze Höhe der gesammten medulla spinalis, erstere bis zum foramen coecum, letztere als sulcus medianus des Bodens der vierten Hirnhöhle wieder weiter. Der Grund beider wird durch die Gangliensubstanz — graue Substanz — überall gebildet, an gewissen Stellen zum Theil auch die Seitenwände. Die vordere Längenspalte nimmt von unten nach aufwärts bis zur Höhe der Pyramidenkreuzung an Tiefe zu, von da an aber wieder ab. Ihre Form ist in der Höhe der beiden Anschwellungen dreieckig, da sie hier gleichzeitig mit der Gangliensubstanz auseinander gedrängt wird; wo das septum firstenartig sich auszieht, hat sie die Gestalt eines Y, von welchem wieder abwechselnd durch die ganze Höhe der Pyramidenkreuzung bald der linke, bald der rechte Schenkel aufgehoben wird, in Folge der hier stattfindenden Verlaufsweise der Decussationsbündel der Pyramiden. Die hintere Längenspalte ist überall enger als die vordere, hingegen bis oberhalb der Höhe der Pyramidenkreuzung stets bedeutend tiefer, namentlich durch den ganzen Dorsalabschnitt der medulla spinalis, wo dieselbe von Vielen geläugnet wird (J. J. Huber, Th. S. Sömmering, G. Chr. Frotscher, G. Keuffel, C. Eigenbrodt, Fr. Arnold, A. Kölliker etc.), ist aber ausserlich mit unbewaffnetem Auge oft kaum als sulcus wahrnehmbar, indem die pia mater sehr straff über selbe hinüberzieht.

Ausser dem sulcus lateralis prosterior am bulbus rhachiticus, welcher die Eintheilung in den sogenannten "Zarten- und Keilstrang" begründete (C. Burdach), sind an der gesammten medulla spina-lis keine weiteren Furchen oder Spalten vorhanden, sondern die

weisse Substanz verlauft ununterbrochen um die beiden Gangliensäulen oder aber als stratum zonale Arnoldi um die seitlichen Gebilde des bulbus rhachiticus herum. Der angenommene sulcus lateralis posterior der medulla spinalis ist nicht durchgreifend, da sowohl zwischen den einzelnen hinteren Spinalwurzeln, wie auch den einzelnen Wurzelfäden und den diesen entsprechenden centralen Primitivfaserzügen Interstitien vorkommen, wo die substantia alba ununterbrochen verlauft (C. F. Bellingeri, F. A. Longet).

Die histologischen Elemente der substantia alba sind Primitivfasern, welche von der äussersten Spitze des conus medullaris bis
zur Höhe der Pyramidenkreuzung gerade gestreckt verlaufen. Sie
kreuzen sich weder am Grunde der vorderen noch der hinteren Längenspalte, da der Grund beider von der nur ein Gebilde ausmachenden
quergestellten Commissur erzeugt wird, und die beiden Längenspalten
die weisse Substanz beider Seitenhälften vollkommen trennen.
Ebenso wenig ist ein Zusammenhang der Primitivfasern der weissen
Substanz mit den Faserzügen der Nervenwurzeln vorhanden, indem
dieselben unter sehr schiefen Winkeln die weisse Substanz nur einfach durchsetzen.

Die Primitivfasern der substantia alba sind viel feiner als jene der Nervenwurzeln (A. W. Volkmann, G. Valentin, R. Remak, J. Engel), und scheinen aus der gesammten Oberfläche der Gangliensäulen hervorzugehen, so wie auch durch Spaltung von unten nach aufwärts progressiv zuzunehmen (Th. v. Hessling, A. Kölliker).

Mit dem Beginne des bulbus rhachiticus verlassen, mit Ausnahme einer kleinen Partie, alle übrigen Längsfasern ihre ursprüngliche Richtung, wobei sie jedoch stets die allgemeine Tendenz nach aufwärts beibehalten, so dass sie nie rückgängig werden und nie Schlingen bilden, gruppiren sich alsdann, und gehen Bündelformationen ein, wobei auch die einzelnen Primitivfasern an Dicke allmählich zunehmen.

§. 3. Der Centralcanal.

Seine Existenz wurde schon von den ältesten Anatomen vertheidigt (C. Stephanus 1545, R. Columbus 1559, A. Piccolomini 1586, C. Bauhini 1605, M. Malpighi, J. Lieutaud etc.) aber erst von B. Stilling (1846) unumstösslich bewiesen.

Er ist als normale Bildung Zeitlebens vorhanden, zeigt aber eine Altersverschiedenheit. Er verlauft durch die gesammte medulla spinalis, und endigt am calamus scriptorius offen. Er verlauft stets in der Mittellinie und zwar innerhalb der Gangliensubstanz, durchbricht diese aber schon einige Linien unterhalb des calamus scriptorius, so dass er hier mit der hinteren Längenspalte zusammenfällt, welche bis zur benannten Stelle durch die quer hinüberziehende pia mater ebenfalls in einen Canal umgewandelt wird. Derselbe liegt bis zum bulbus rhachiticus hinauf im vorderen Drittel des geraden Durchmessers der medulla spinalis, neigt sich dann aber allmählich nach rückwärts, liegt oberhalb der Pyramidenkreuzung gerade im Mittelpunkte, und krümmt sich dann stärker nach auf- und rückwärts. Er setzt sich als offene Rinne — sulcus medianus —, bis zum infundibulum fort. Seine Form ist in verschiedenen Höhen sehr verschieden, in dem Dorsal-Abschnitte der medulla spinalis kreisrund, im Übrigen stellt derselbe mehr weniger eine Spalte dar, welche oben und unten nach der Länge, sonst aber nach der Quere gestellt ist.

ļ

Die histologischen Elemente der Wandungen dieses canalis centralis medullae spinalis sind:

- 1. Die Längsfaserschicht Clarke's, welche sich ununterbrochen auch auf alle Wandungen der Gehirnhöhle erstreckt. Sie bildet die äussere Schicht, und begrenzt sich scharf von der anstossenden Gangliensubstanz. Die sie bedingenden Fasern sind viel stärker als die Primitivnervenfasern, haben ein ganz verschiedenes Ansehen, und zeigen bei durchfallendem Lichte eine aschgraue Färbung.
- 2. Eine Schicht von eigenthümlichen cylinderartigen Epithelialzellen. (Entdeckt beim Kalbe von L. Clarke 1851, bei der Katze von E. G. Schilling 1852.) Die einzelnen Cylinder sind sehr regelmässig an einander gereiht, werden gegen den calamus scriptorius zu niedriger, sinken aber nie zu einer Plattenepithelialschicht herab, selbst nicht in den Gehirnhöhlen. Sie besitzen einen sehr kleinen runden Kern, welcher jedoch mit dem Niedrigwerden der Zellen grösser wird.
- 3. Eine eigenthümliche Körnerzwischenschicht, welche aber nur von der äussersten Spitze des conus medullaris bis zur Lendenanschwellung vorkommt. Die einzelnen Körner zeigen eine mehr gleichförmige rothbraune Färbung, und scheinen durch Fortsätze mit einander in Verbindung zu stehen (A. Kölliker's Zellen des centralen Kernstranges). Sie sind kaum Ganglienzellen, da sie durch

die Clark'sche Längsfaserschicht von der Gangliensubstanz vollkommen getrennt werden. Sie bedingen an der benannten Stelle die Form des canalis centralis.

§. 4. Die beiden centralen Blutgefässe.

Beiderseits längs des canalis centralis medullae spinalis verlauft, so lange die quergestellte Commissur vorhanden ist, ein Blutgefäss, dessen Richtung auf Querschnitten sich viermal grösser zeigt, als jene des centralen Canales, und einige Anatomen verleitete, einen doppelten Centralcanal anzunehmen (G. Blasius, N. Nymman, J. Clocquet, J. Calmeil, F. J. Gall u. G. Spurzheim). Diese beiden Blutgefässe verlaufen stets innerhalb der Gangliensubstanz, und zeigen das merkwürdige Verhältniss, dass, wo keine Quercommissur mehr vorhanden ist, dieselben sich in immer feinere Äste oben und unten dichotomisch zerästeln; wobei sie um den Centralcanal nach vorn zu in einem Halbkreise gestellt sind.

Jedwedes dieser beiden centralen Gefässe gibt an gewissen Stellen anfänglich sehr starke, dann aber gegen die Peripherie zu immer schwächer werdende Äste ab, welche stark geschlängelt die Ganglien- und weisse Substanz durchsetzen, und in das Gefässgeflecht der pia mater übergehen.

Anderseits aber gehen aus selben Gefässe hervor, welche schwach beginnen, und in ihrem weiteren viel weniger geschlängelten Verlaufe stärker werden. Solche sind:

- 1. Allseitig gegen die Peripherie strahlenförmig laufende Gefässe; sie veranlassten die Annahme der lamellösen Structur der medulla spinalis (L. Rolando, G. Valentin). Bei durchfallendem Lichte zeigen sie der ganzen Länge nach sehr scharfe Zickzacklinien, als den bekannten Ausdruck von Längsfalten feinerer Venen der Centralorgane des Nervensystems. (E. H. Ecker.) Sie übergehen sämmtlich in die sehr starken venösen Geslechte der pia mater.
- 2. Verbindungsäste mit dem sinus venosus anterior (und nicht Vene) der medulla spinalis. Sie gehen von jedwedem centralen Gefässe regelmässig ab, und verlaufen durch den processus anterior piae matris. (A. ab Haller.)
- 3. Verbindungsäste mit den venis spinalibus posterioribus. Sie verlaufen ebenfalls durch den processus piae matris posterior, sind aber viel zarter als die früheren.

4. Feine Quer-Anastomosen zwischen den beiden centralen Blutgefässen.

§. 5. Die Nervensysteme.

Die Primitivsasern der Nervenwurzeln treten aus der Gangliensubstanz hervor, welche als substantia cinerea schon von vielen Älteren als Ursprungsquelle angesehen wurde (Vicq d'Azyr, J. Chr. Reil, M. a Lenhossék, C. F. Bellingeri, C. Burdach), wobei der Übergang einzelner Fortsätze in Primitivsasern sich unzweiselhaft darstellt. (J. E. Purkyně, R. Remak, G. Valentin, G. R. Treviranus, H. Helmholtz, K. Axmann, A. Hannover, F. Will, R. Wagner, E. H. Ecker, A. Kölliker, etc.) Die Primitivsasern gruppiren sich noch innerhalb der Gangliensubstanz, und treten schon als einzelne oder mehrere Bündeln aus diesen heraus (J. Gerlach), durchsetzen einsach die Längsfasern der weissen Substanz, im bulbus rhachiticus theilweise auch gewisse Bündelsormationen, und gehen so direct in die Bildung eines ausserhalb liegenden Wurzelfadens über.

Es sind 4 anatomische Systeme von Nervenwurzeln vorhanden, welche aber alle dem Gesetze unterliegen, dass sie nach der Aufgabe ihrer physiologischen Function, entweder ausschliesslich aus den motorischen, oder sensitiven Colonnen, oder aber von beiden zugleich ihren elementären Ursprung nehmen.

1. Das vordere oder rein motorische System. Es umfasst nicht nur die sämmtlichen vorderen Spinalwurzeln, als welches es bisher bekannt war, sondern auch die rein motorischen Cerebrospinalnerven, welche in einer Reihenfolge so über einander gestellt sind, dass nach der vorderen Wurzel des ersten Spiralnervenpaares diejenigen des nervus hypoglossus (J. Hyrtl), dann bereits im Gebiete des pons Varoli, jene des nervus abducens, facialis, trochlearis und oculomotorius auf einander folgen. — Sämmtliche Nervenwurzeln dieses Systems entwickeln sich so, dass stets ein Theil der Primitivfasern auch aus den Ganglienzellen der motorischen Colonne der andern Seite seinen Ursprung nimmt, somit eine vollständige Kreuzung in der Medianlinie stattfindet, welche, so lange die quergestellte Commissur vorhanden ist, die nur aus Gangliensubstanz (substantia cinerea) gebildet wird, innerhalb derselben, und zwar unmittelbar vor dem Centralcanal stattfindet, und das vordere Kreuzfaser-

system der Commissur darstellt. (S. Th. Sömmering, A. Hannover, C. Eigenbrodt, A. Kölliker.) Die mehrfachen Primitivfaserbündel einer vorderen Spinalwurzel gehen in divergirender Richtung durch die weisse Substanz hindurch und sammeln sich wieder ausserhalb der medulla spinalis zur Bildung eines Wurzelfadens (G. Frotscher, J. Wallach, B. Stilling, E. G. Schilling, L. Clarke). Die Faserzüge des nervus hypoglossus bilden schon innerhalb des bulbus rhachiticus mehrere platte Bündeln, welche sich durch gewisse Organisationen hindurchzuwinden haben, sie sind zwar weniger zerstreut, haben sich aber auch äusserlich zur Bildung eines Wurzelfadens zu sammeln. Sämmtliche centrale Faserzüge bilden mit der Spinalaxe einen nach aufwärts gerichteten stumpfen Winkel, welcher zu der grösseren oder geringeren Neigung der ausserhalb liegenden Nervenwurzeln in gar keiner Beziehung steht. Eine Ausnahme machen davon nur die zwei untersten Spinalpaare. Zwischen allen über einander gestellten Faserzügen dieses Systems kommen Interstitien vor, wo die weisse Substanz ununterbrochen verlauft.

Zu diesem Systeme sind auch die seltener vorkommenden vorderen Interspinalwurzelfäden zu zählen, welche sich ausserhalb der medulla spinalis auf bekannte Weise gabelig theilen.

2. Das hintere oder rein sensitive System. Es umfasst die hinteren Spinalwurzeln allein, und fällt oben mit dem seitlichen Systeme zusammen, indem die Wurzelfäden der obersten hinteren Spinalwurzeln eine allmähliche Axendrehung nach vorn unternehmen. Sie verhalten sich bezüglich ihres elementären Ursprunges aus den sensitiven Colonnen, der dadurch eingeleiteten hinteren Kreuzfasersystem der Commissur (R. Wagner), ihrer Winkelbildung mit der Spinalaxe und den zwischen den centralen Faserzügen vorkommenden Interstitien ganz so wie die vorderen Spinalwurzeln. — Die viel zarteren Primitivfasern treten jedoch zu einem einzigen starken Bündel zusammen, welches die weisse Substanz zwar durchschneidet, aber nur mit seinen Seitenflächen, und nicht oben und unten, und geht so direct in die Bildung eines ausserhalb liegenden Wurzelfadens über, (J. Wallach, B. Stilling, L. Clarke) wobei dasselbe an der Durchtrittsstelle eine bedeutende Einschnürung durch die pia mater erleidet. Diejenigen Faserzüge, welche in der Höhe des Longet'schen Kegels fallen, durchsetzen selben vollkommen.

Zu diesem Systeme gehören auch die hinteren Interspinalwurzelfäden, welche an gewissen Stellen nie fehlen.

3. Das radiale System. Es beginnt schon an der äussersten Spitze des conus medullaris. Die allseitig ausstrahlenden Primitivfaserzüge gehen nicht unmittelbar aus den Colonnen hervor, sondern aus der gesammten Oberfläche jedweder Gangliensäule treten Fortsătze heraus, welche sehr bald seitlich beiderseits zur Bildung eines Netzwerkes zusammentreten, dessen Hauptzüge gegen die Peripherie zu verlaufen. Es wurde von Stilling und Schilling als solches schon gekannt, aber von den meisten als rete vasculosum unbedingt erklärt (Fr. Arnold, L. Clarke, A. Förg etc.). Es nimmt von unten nach aufwärts an Ausdehnung zu, und geht später am bulbus rhachiticus nicht nur aus den Gangliensäulen hervor (Stilling's fibrae arciformes internae) sondern auch aus den Seitenflächen des Septums (fibrae transversae cinereae), wobei es alle hier befindlichen Bündelformationen durchzieht, und theilweise sehr regelmässige Maschen darstellt. Diese processus reticulares werden durch die unmittelbare Fortsetzung der Gangliensubstanz selbst erzeugt, in welchen sich die bereits auf scheinbare freie Zellenkerne Kölliker's reducirten ursprünglichen Ganglienzellen continuirlich hinein fortsetzen. Dieses Netzwerk, welches sich namentlich an den hinteren Spinalwurzeln hinzieht, zeigt sich gemischt mit der weissen Substanz als substantia gelatinosa Rolando's.

Die Richtung dieser processus, sowie jener aus diesen unmittelbar hervorgehenden Primitivfaserzüge, ist eine solche, dass sie mit der Spinalaxe einen nach unten stumpfen Winkel bilden. Die einzelnen Faserzüge verlaufen nach aufwärts zu in immer unregelmässigeren Zügen, durchsetzen einfach die weisse Substanz, treten an den verschiedensten Punkten und in allen Höhen aus der Oberfläche der gesammten medulla spinalis heraus, und übergehen, indem sie sich nach aufwärts umbiegen, in die Bildung des plexus nervosus Purkyněi der pia mater über.

Dieser an der äusseren Oberstäche der pia mater verlaufende plexus nervosus besitzt eine Haupttendenz von unten nach aufwärts, gibt aber seitliche Primitivfaserzüge ab, welche theilweise auch in die Bildung der ausserhalb liegenden vorderen und hinteren Spinalwurzeln übergehen, von welchen letzteren auch Remak den Ursprung dieses Plexus herleitete.

An den Primitivfaserbündeln dieses Plexus kommen sehr schöne Ganglienzellen vor, welche theils innerhalb derselben eingeschaltet, theils äusserlich traubenförmig anhängend sind; letztere sind gewöhnlich sehr stark pigmentirt. Sie sind von jenen an anderen Stellen entdeckten (F. H. Bidder, K. B. Reichert, F. Leydig, H. Stannius, Ch. Robin, A. Ecker, R. Wagner, C. Ludwig) sehr verschieden.

4. Das seitliche, oder physiologisch genommen: das gemischte System. Es begreist in sich den nervus accessorius Willisii, vagus, glossopharyngeus, acusticus, trigeminus, opticus und olfactorius. — Der nervus accessorius Willisii verhaltet sich bis zu seinen obersten zwei Wurzeln gleich jenen des radialen Systems; die Wurzeln desselben entwickeln sich schon in der Lendenanschwellung (L. Clarke), als auffallend stärkere Faserzüge, welche, wie überhaupt überall, mehrere Wurzelfäden desselben darstellen. Sie bilden daher auch stärkere Primitivbundel innerhalb des plexus nervosus Purkyně, welche sich nur sehr spät oben allmählich von der pia mater ablösen, und zwar in immer kürzeren Strecken. Sie zeigen gleichfalls eingestreute und äusserlich anhängende Ganglienzellen, nur den stärkeren Faserzügen entsprechend, auch in grösserem Massstabe. Die ersteren bedingen namentlich förmliche Ganglienanschwellungen an gewissen Stellen, und sind daher als Wiederholungen der ganglia aberrantia Hyrtl's zu betrachten, welche im Innern auch Anhäufungen von Ganglienzellen besitzen. — Die obersten Wurzel des Nervus accessorius Willisii, ferner des vaqus und glossopharyngeus verhalten sich bezüglich ihres elementären Ursprunges ganz gleich, sie gehen nämlich sowohl aus den motorischen wie auch sensitiven Colonnen hervor, und zwar treten die Primitivfasern zu sehr starken Faserzügen aus der Gangliensubstanz heraus, wenden sich halbbogenförmig nach aussen (B. Stilling), durchsetzen je nach der verschiedenen Höhe den Longet'schen Kegel, oder die corpora restiformia, sammeln sich noch innerhalb zu einem collectiven Primitivfaserbündel, und treten so nach aussen. Die sämmtlichen in einer Reihe über einander gestellten und an gewissen Stellen durch grössere Interstitien getrennten centralen Faserzüge dieser Nerven, bilden mit der Spinalaxe einen nach unten stumpfen Winkel.

Der nervus acusticus entspringt so ausschliesslich aus der sensitiven Colonne, dass sich die Gangliensubstanz an ihrer äussersten Grenze gleichsam in diesem ununterbrochen fortzusetzen scheint. — Der nervus trigeminus, welcher bereits im Gebiete des pons Varoli fällt, bezieht seine elementären Wurzelfaserzüge sowohl aus der motorischen wie auch sensitiven Colonne der entsprechenden Seite. — Der nervus opticus und olfactorius entwickelt sich aus der Fortsetzung der sensitiven Colonne allein, indem in der Höhe der vorderen Grenze des pons Varoli, wo die motorischen Colonnen bereits aufgehoben sind, beiderseits jedwede sensitive Colonne in die Bildung des thalamus nervi optici und des corpus striatum übergeht.

§. 6. Die Oliven.

Sie sind vollkommen entwickelte kleine seitliche Hemisphären, (J. F. Autenrieth, J. Hyrtl), welche embryonell sehr spät auftreten. (K. G. Carus, F Tiedemann) und frühzeitig die Endgrenze ihrer Entwickelung erfahren. Sie besitzen alle wesentliche Bestandtheile der beiden Hemisphären des grossen Gehirns, und unterscheiden sich nur dadurch von diesen, dass sie nicht oberflächlich liegen, indem die Gürtelsehicht Arnold's über selbe hinwegzieht. Ihre Bestandtheile sind:

- 1. Die caudices olivarum, sie entspringen mit der mittleren Wurzel des nervus hypoglossus gleichzeitig und auf gleiche Weise, wie diese aus den motorischen Colonnen. Jedweder Caudex verlauft an der äusseren Seite der centralen Faserzüge des benannten Nervens, wendet sich aber später unter einer halbbogenförmigen Krümmung nach aussen, und dringt durch den hilus olivarum in das Innere der Olive.
- 2. Die commissura transversa olivarum. Dieselbe liegt in der Mitte der Gesammthöhe beider Oliven, und zeigt sich dem unbewaffneten Auge als ein ziemlich dickes weisses, quergestelltes Markband (K. G. Carus, F. Rosenthal), welches an beiden Enden ebenfalls durch den hilus olivarum in das Innere der Oliven eindringt.
- 3. Die substantia medullaris jedweder Olive. Dieselbe ist blendend weiss, und wird erzeugt durch die Ausbreitung des Caudex und der Commissur. Sobald nämlich diese aus platten Bündeln bestehenden Gebilde den Hilus überschritten haben, fahren die Primitivfasern derselben aus einander und erzeugen eine blumenkohlartige Ausstrahlung.
- 4. Die substantia corticalis jedweder Olive. Sie umschreibt eine Höhlung, welche nach innen und rückwärts offen ist (Vicq.,

d'Azyr, L. Rolando, B. Stilling, A. Förg) und den Hilus derselben darstellt. Sie bildet wie jene der Hemisphären des grossen Gehirns Darmwindungen, und zeigt sich desshalb auf Durchschnitten dem unbewaffneten Auge als Zickzacklinie, welche sehr scharf von der substantia medullaris absticht (corpus dentatum vel serratum Vicq. d'Azyr's, arber vitae olivarum G. Prochaska's). Sie ist eine reine Gangliensubstanz, welche selbstständig dasteht, und ziemlich grosse gleichmässig pigmentirte Ganglienzellen besitzt, aber auch von nicht unbedeutenden Venen durchzogen wird.

5. Die zona olivalis, sie ist nur ein Abschnitt der Gürtelschicht Arnold's. Sie überzieht nicht nur die äussere Oberfläche der Oliven, sondern schlägt sich auch nach einwärts bis zum hilus derselben hin, so dass die Corticalsubstanz allseitig von dieser umschlossen wird; sie passt sich jedoch nicht genau den Windungen derselben an.

Hierher gehören auch die äusseren und inneren Neben-Oliven, welche sehr unvollkommene in ihrer embryonellen Entwickelung frühzeitig stehen gebliebene seitliche Hemisphären darstellen. Ihre Corticalsubstanz umschreibt mehr weniger nur eine flache Nische.

§. 7. Die Bündelformationen.

Mit dem Beginne des bulbus rhachiticus grappiren sich die Längsfasern der weissen Substanz zu Bündeln (J. Chr. Reil) und nicht Stränge, und schlagen specielle Bahnen ein, welche jedoch die allgemeine Tendenz nach aufwärts nicht aufgeben. Der Typus eines jedweden Bündels ist der eines Pinsels; die Volumszunahme von unten nach aufwärts wird bedingt: durch das allmähliche Dickerwerden der Primitivfasern selbst, durch die gleichzeitige Verästlung derselben unter sehr spitzen Winkeln, aber namentlich durch die processus reticulares, welche theils von dem Septum ausgehend in der Richtung von innen nach aussen (fibrae transversae cinereae Stillingi), theils aber aus den sämmtlichen Colonnen hervorsprossend in der Richtung von rück- nach vorwärts (fibrae arciformes internae cinereae Stillingi) die einzelnen Bündeln netzartig durchziehen, und in secundare zerlegen (substantia gelatinosa der corpora restiformia etc. R. Remak, A. Kölliker). Diese Bündelformationen sind:

1. Die Pyramiden. Sie werden gebildet aus den Grundfasern Burdach's (fibrae primitivae B.), und den Kreuzungsbündeln.

Erstere bilden die äussere Schicht derselben, und sind die geradlinige Fortsetzung einer kleinen Partie von Längsfasern der vorderen Abtheilung der weissen Substanz; letztere bilden die innere Schicht derselben, liegen zum Theil in dem Grunde der vorderen Längenspalte frei, und werden durch die unmittelbare Fortsetzung einer gewissen Partie von Längsfasern der äusseren und hinteren Abtheilung der weissen Substanz erzeugt.

Jedwedes Kreuzungsbündel lauft von dieser Stelle aus schief nach vor- und aufwärts durch die Gangliensubstanz hindurch, und wandert dabei gleichzeitig auf die entgegengesetzte Seite bis zu den Grundfasern hin, richtet sich dann allmählich auf, so dass die Primitivfasern beider später parallel zu liegen kommen. Es kreuzen sich also die über einander gestellten Bündel in der Mittellinie (D. Mistichelli 1709, Fr. Petit 1710, Vicq d'Azyr, A. ab Haller, L. Rolando, M. a Lenhossék, C. Burdach, L. Türck), innerhalb der Gangliensubstanz (graue Substanz: J. Chr. Reil), und zwar vor dem Centralcanal.

Die Stelle der Pyramidenkreuzung im Grunde der vorderen Längenspalte entspricht der theilweisen oberflächlichen Lage der 6 Paare der Kreuzungsbündel. Das unterste linke verlauft vor dem gleichnamigen der anderen Seite, das oberste rechte vor jenem der anderen Seite, während alle zusammen eine Zickzacklinie erzeugen, deren Rückführungspunkte alternativ nach rechts und links der Mittellinie fallen. Da das Septum durch die Gesammthöhe dieser Stelle als Firste in den Grund der vorderen Längenspalte hineinragt, und ein jedes Kreuzungsbündel durch diese Firste schief hindurchzugehen hat, so wird auch gleichzeitig derjenige Zwischenraum, welcher durch diese und der angrenzenden weissen Substanz erzeugt wird, alternativ bald rechts bald links ausgeglichen, also auf Querschnitten ein Schenkel des Y, welches der Form dieser Längenspalte in dem Bereiche der Firste (processus mastoideus Stillingi) entspricht, aufgehoben. Durch diese verschiedene Verlaufsweise zweier sich kreuzenden Bündeln eines Paares wird eine Asymmetrie für beide Seitenhälften erzeugt, welche sich mit gleichem Typus durch die 5 Linien betragende Gesammthöhe der Decussationsstelle sechsmal auf jeder Seitenhälfte wiederholt, und durch das Hinüberdrängen der nachbarlichen inneren Gebilde auf die entgegengesetzte Seite noch erhöht wird.

Jedwede Pyramide wird über diese Stelle hinaus durch die Spaltung des Septums theilweise äusserlich überzogen (graue Substanz: A. Monro, J. Gordon, C. Burdach) aber auch innerlich durch anderweitige asymmetrische blattförmige Fortsetzungen desselben in unregelmässige Partien zerklüftet, während die processus reticulares unter den mannigfaltigsten Formen diese Bündelformation durchziehen.

- 2. Die corpora restiformia Ridley's (Keilstränge Burdach's). Sie liegen nicht oberflächlich, sondern wölben sich nur durch das stratum zonale Arnold's nach aussen hervor. Eine Partie nämlich der hinteren und seitlichen Abtheilung der Längsfasern der weissen Substanz, welche auch einen Theil derjenigen des "zarten Stranges" in sich begreift, lenkt sich etwas weniger nach einwärts, und geht in ihrem Weiterschreiten nach aufwärts die Bedingungen der Bündelformation ein. Dieselben werden nicht nur durch die processus reticulares gleich einem groben Gitter durchzogen, sondern auch nach den verschiedenen Höhen von den Faserzügen der Wurzeln des nervus vagus und glossopharyngeus durchsetzt.
- 3. Die Stilling'sche Bündelformation utrinque septi. Alle rückständigen Längsfasern der weissen Substanz, also auch die des "zarten Stranges" lenken sich allmählich nach einwärts, und gehen Bündelformationen ein, welche sich an die Seitenfläche des Septums in mehreren Schichten anreihen, und den grossen Raum zwischen den motorischen Colonnen und den Pyramiden ausfüllen, während sie nach aussen durch die centralen Faserzüge der Hypoglossuswurzeln begrenzt werden. Die diese Bündelformationen bedingenden Fasern durchziehen theilweise auch die Pyramiden und corpora restiformia, und erzeugen demnach mit jenen dieser eine specielle sehr schiefe Kreuzung (B. Stilling) innerhalb derselben. Die processus reticulares bilden sehr regelmässige längliche Vierecke.

§. 8. Das stratum zonale Arnoldi, und das Fasersystem des Septums.

F. Arnold's Gürtelschicht besteht aus einer dicken Lage von gleichmässigen parallel verlaufenden Primitivfasern, welche im Allgemeinen von unten und rückwärts nach vor- und aufwärts schief dahinziehen, und durch ihre specielle Aufschichtung nach aussen an gewissen Stellen riemenartige hervorspringende Streifen und Schleifen erzeugen (processus arciformes D. Santorini). Der Ursprung

dieser Fasern lässt sich nicht bestimmen, obwohl die ganze Schicht eines Theiles von dem äusseren Ende der beiden sensitiven Colonnea ihren Anfang nimmt, und anderseits nach innen zu sich an gewissen Stellen in wellenförmige Bündel auflöst, deren Enden mit jenen der processus reticulares in unmittelbarer Verbindung stehen. Diese Gürtelschicht wird nur durch die Faserzüge einzelner Nervenwurzeln einfach durchsetzt.

Das Fasersystem des Septums besteht aus Längsfasern, welche parallel über einander gestellt sind (G. R. Treviranus, J. Gordon, W. A. Bochdalek, A. Förg), aber nicht parallel in einer Ebene mit einander verlaufen, sondern das ganze Septum diagonal von rück- nach vorwärts durchsetzen, und sich in der Mittellinie daher unter sehr spitzen Winkeln kreuzen; ferner aus schiefen Fasern, welche mehr der Quere nach dasselbe durchsetzen, dichtere und mehr vereinzelte Faserzüge bilden, die von rück- nach vorwärts mehrere systematisch auf einander folgende Kreuzungen unter stumpfen Winkeln in der Mittellinie erzeugen. Die Bahnen dieser beiden Faserzüge sind die processus reticulares, durch welche sie von aussen nach einwärts zu dem Septum hin geleitet werden. Sie scheinen sowohl von der Arnold'schen Gürtelschicht wie auch unmittelbar aus den sämmtlichen Colonnen hervorzugehen.

Ricerche chimiche sul Frutto del Castagno

del Dr. Giuseppe Albini, Assistente di Fisiologia in Vienna.

(Presentate all' I. R. Accademia delle scienze in Vienna, nella seduta del 20 Luglio 1854.)

La Chimica, quella scienza che illustrava ed arrichiva il campo medico-fisiologico di sceperte e cognizioni assai importanti colle varie analisi delle sostanze nutrienti semplici e composte dividendole in classi, ordini, etc. non solo secondo l'analogia qualitativa e quantitativa degli elementi componenti, ma ben anco in rapporto del loro valore nutritivo, lasciava finora negletto (almeno in parte) un frutto di cui si pascono migliaja d'uomini in alcune provincie del continente europeo ed altrove, come nell' Asia minore, Assiria, Louisiana, Isola Formosa ed America. Questo si è il frutto del Castagno, Castanea vesca, Fagus castanea, Ordine VII. Classe XXI di Linneo.

Ben noto è il consumo che si fa d'un tal frutto come alimento nelle Cevenne, nel Limosino e nel Pèrigord in Francia, nella Corsica, nella Savoja, in alcune parti del Piemonte massime sui monti che circondano il Verbano ed il Lago di Cusio o d'Orta; in Lombardia sulle alpi che cingono il Lario e nel Varesotto; nel Canton Ticino in Isvizzera, in Toscana, nel Parmigiano, nell' Istria e Croazia 1).

Credo opportuno di pubblicare una lettera scrittami da persona degna di fede e non capace d'alterare la verità, onde provare quale e quanta importanza e valore ha il frutto del castagno quale sostanza nutriente composta.

"In aggiunta posso dirti, per la pratica che io ne ho, che gli abitanti delle montagne che circondano i nostri Laghi Maggiore, di Como, Lugano e Varese, dove la castagna abbonda, si cibano di questa che forma gran parte e forse la maggiore (in alcuni paesi però) del loro alimento per circa sei mesi dell'anno incominciando alla maturanza, cioè al principio d'Ottobre e continuando sino verso Pasqua ed alle volte più in là a seconda del raccolto.

"Mentre sono fresche le mangiano la mattina tigliate (Peladej in vernacolo) le donne col latte, gli uomini a preferenza col vino 2), quando possono; a pranzo lessate col guscio cioè succiole (farù) la sera arrostite (Boroeul o Biroeul) ed anco a questo pasto le mangiano nel latte e nel vino, egualmente nel vino durante l'inverno, secche."

A compimento della lettera riguardo al modo di mangiarle aggiungo che in alcuni paesi vengono disseccate e ridotte in farina dalla quale si prepara per esempio in Corsica, nel Parmigiano e Toscana una specie di pane (pane castagnino dè Corsi) di sapore dolce e piacevole, assai nutriente, oppure mescendola con farina di grano turco o di miglio se ne fa polenta ed altri manicari, come la catigna.

Merita essere accennato il lucroso commercio che si fa di castagne in alcuni paesi europei.

⁻ La Corsica spedisce annualmente per 100.000 Corone in castagne (Eichelberg). La Francia nel 1834 spediva 537.518 Kilogrammi, de'quali 360.364 in Inghilterra, 21.339 nel Belgio e 44.437 nell'Algeria (Eichelberg).

La Spagna spedisce annualmente 250 cariche di vascelli per lo più in Inghilterra ed al mar Baltico (Eichelberg), la Toscana 120.000 centinaja (Eichelberg).

²⁾ Alcuno de' Lettori di quest' analisi, mi dirà in tuono da critico: che la castagna non deve essere considerata come nutrimento principale, perchè vien mangiata quasi sempre col latte, ma a tale uopo lasciai stampare con caratteri differenti la parole e on vino fluido conosciuto per teorica e pratica poco o nulla nutriente.

Da tutto questo si vede che la Castagna è un surrogato ai cereali ed ai legumi in quei paesi ove a quest' ultimi non è più dato di vegetare. E quante e multiplici analisi istituiva la chimica per conoscere il rapporto proporzionale delle sostanze alimentari semplici contenute tanto nè legumi quanto nè cereali? Della castagna all' incontro si fecero disamine parziali 1) cioè ricerche che avevano per iscopo di trovare in esse una o l'altra sostanza trascurandone il restante. Così per esempio il Dr. Guerrazzi (sotto l'Impero Napoleonico) fù il primo che chiamò l'attenzione del pubblico sulla presenza dello zuccaro nelle castagne, ed insegnò il metodo di estrarnelo senza alterare la parte farinosa (fecola) nè le sostanze albuminoidi 2). Gmelin pure fa cenno dello zuccaro nelle castagne, del modo d'estrarlo e della quantità in esse contenuto. Secondo lui, le castagne toscane conterrebbero 14 per cento di zuccaro, e le francesi meno 2).

Payen estese di più le sue ricerche, determinando l'acqua, l'azoto e la cenere delle castagne domestiche; sotto questo nome, credo, egli intenda la Castagna vesca *).

Essendo oramai due anni che io m'occupo nello studio della chimica sotto la duplice guida dell'egregio mio Maestro Prof. Brücke e dell'amico Dr. Hinterberger, volli per mio proprio esercizio eseguire un analisi delle sostanze organiche contenute nel frutto del Fagus castanea, avendo per iscopo principale di conoscere i rapporti quantitativi delle medesime; in breve, un analisi tendente a determinare approssimativamente il loro valore nutritivo.

L'assiduo lavoro di più mesi venne coronato d'un numero di resultati abbastanza soddisfacenti per darmi animo a pubblicarli, massime che servono a riempiere una lacuna esistente nella chimica de nutrimenti.

La maggior parte delle castagne che sottoposi alla disamina chimica mi furono spedite dall' Italia per la gentilezza del Sigre Stefano Simonetta, il quale si prese cura di procurarmene di molte sorta e di varie provincie. In tal modo ebbi a mia disposizione castagne bianche (disseccate ed in uno affumicate) dei Laghi di Cusio e Como

¹⁾ Vedi Dr. Jac. Moleschott, Physiologie der Nahrungsmittel, pag. 309. (1850.)

³⁾ Sul frutto del Castagno. Euciclopedia popolare. Torino, Pomba e Compagno.

³⁾ Gmelin, Handbuch der Chemie II. Band. Ausgabe 1829, Seite 727.

⁴⁾ Jahresbericht über die Fortschritte der rein. pharm. u. techn. Chemie. Herausgegeben von Justus Liebig und Hermann Hoppe. 1849.

di quelle disseccate naturalmente nel guscio del Veronese, Valtellina, Val-Travaglia, ed altre d'incerta provenienza.

Il buon esite de'lavori materiali analitici dipende interamente dal piano o metodo che si propone seguire, e questo piano o metodo verrà poi reso differente 1. dallo scopo della disamina; 2. dagli ostacoli ehe si possono incontrare i quali (mediante anticipati esperimenti) verranno riconosciuti e si procurerà d'evitarli. Espongo perciò in breve l'andamento di tutta l'analisi, onde serva di guida per chi volesse ripeterla.

Ridussi prima di tutto le castagne spoglie del guscio e della cuticola, od in farina disseccandole cioè e pestandole poscia in un mortajo, oppure le tagliuzzai in fettucce finissime; a seconda della sostanza che io prendeva di mira a determinare, mi offrivano questi differenti metodi di riduzione vantaggi o svantaggi particolari; così per esempio io consiglierei di tagliare le castagne in fettucce per la determinazione della fecola (col metodo della separazione meccanica), della cenere e cellulosa, e di ridurle in farina per determinarne lo zuccaro, la destrina, proteina ecc. ecc.

Per la preparazione e determinazione quantitativa della cenere ossia sostanze anorganiche contenutevi seguii il metodo del Fresenius — Analyse der Pflanzenaschen, pag. 401, e seguenti der Anleitung zur quantitativen chemischen Analyse. 2. Auflage. — Nella cenere sono contenute le seguenti sostanze; Potassa, Soda, Calce, Magnesia, Ferro, Fosforo, Solfo, Silice, Cloro, Carbone ed acido carbonico.

Passai poscia alla disamina delle sostanze organiche semplici, cioè alla determinazione de' grassi od olii, della fecola, destrina, zuccaro, cellulosa ed in fine delle sostanze proteiche od albuminoidi.

I grassi od olii vennero determinati nel modo usato comunemente, cioè estraendo ripetutamente la farina con etere anidro finchè una goccia dello stesso non mi lasciava alcun resto dopo l'evaporazione. L'estratto eterico raccolto in una capsula di vetro veniva evaporato nel bagno-maria disseccato a 100° C. poscia pesato. Mi convinsi che era un olio o grasso, poichè trattato con Potassa e Soda dava un sapone il quale veniva decomposto dall'acido solforico.

Determinai la fecola od amido con due metodi differenti:

- 1. Col metodo della separazione meccanica.
- 2. Riducendo l'amido a zuccaro d'uva, mediante l'azione dell'acido solforico e del calorico.

Per la separazione meccanica vale quanto dissi più sopra, che cioè, è più agevole quando le castagne sono tagliuzzate in fettucce, pel secondo metodo, o riduzione in glucosa, il modo di divisione è indifferente. Ognuno ben sa in che consista il metodo della separazione meccanica per ottenere la fecola e ne conosce i difetti, ma sgraziatamente la chimica non ne possiede un migliore. Io pure incontrai molti ostacoli, ed ottenni in principio risultati che non mi contentavano punto, per cui mi posi a studiare i primi ed a cercare il mezzo per evitarli.

Le difficoltà principali erano le seguenti: 1. il lento cadere a fondo de' corpuscoli d'amido nell' acqua di lavamento: 2. la presenza d'una sostanza gommosa o mucilagginosa che veniva trasportata coll'amido dall'acqua; 3. in fine il passare de corpuscoli d'amido attraverso al filtro su cui lo portava per asciugarlo e pesarlo. Arrivai ad evitare in gran parte tutti questi inconvenienti aggiungendo all' acqua di lavamento alcune gocce di alcool; ed a tal' uopo estrassi prima ripetutamente le fettucce di castagne con acqua onde levarne l'albumina, la destrina e lo zuccaro, raccolsi poscia il restante in un sacchetto di tela grossolana e lo pestai sott'acqua alcoolizzata in un mortajo finchè l'acqua non diventava più lattiginosa, filtrai tutto su di un filtro di carta svedese lavai ben bene con acqua, acido acetico, acqua di nuovo, asciugai a 100° C. e pesai. Questo metodo mi offre i seguenti vantaggi: 1. non si scioglie nell'aqua di lavamento quella sostanza gommosa o muccilaginosa che mi tiene sospeso l'amido; 2. l'acqua diventa specificamente più leggiera e quest' anche coadjuva alla facile caduta dell' amido; 3. i corpuscoli della fecola non passano attraverso ai pori del filtro.

Le determinazioni fatte con questo metodo concordavano tutte le une colle altre, ma non erano eguali a quelle ottenute col 2. metodo o riduzione dell'amido a succaro nel qual caso le cifre sono più alte. Per una tale determinazione estrassi con acqua fredda la farina o le fettucce, poscia feci cuocere il restante con acqua acidulata d'acido solforico finchè il fluido non mi si colorava più in bleu col l'jodio, diluiva la soluzione e neutralizzava l'acido solforico con Carbonato di Barite chimicamente puro, filtrai ed evaporai il filtrato nel bagno maria. Estrassi il rimasto con alcool assoluto evaporai l'estratto alcoolico, asciugai a 100°C. e pesai. Dalla proporzione che 18 parti di zuccaro corrispondano a 16 di fecola, ne stabilii il valore di quest'ultima.

La cellulosa venne determinata versando sulle castagne in fettucce o farina dell'acido solferico inglese diluto con più del suo peso d'acqua distillata. Lasciai il tutto per 24 ore, pescia riscaldai nel bagno-maria finchè il fluido non intorbidiva aggiungendevi dell'acqua; filtrai poscia e lavai con acqua calda, diseccai a 100° C. e pesai.

Per avere la destrina estrassi i grassi dalle castagne con etere anidro e con alcool assoluto lo zuccaro, il restante ripetutamente con acqua in cui si scioglieva soltanto la destrina poichè l'albumina per l'azione anticipata dell' alcool era divenuta insolubile, L'estratto acquoso evaporato e disseccato a 100° C. veniva pesato.

Seguii in parte il metodo di Gmelin per determinare lo zuccaro, estrassi cioè le castagne prima con etere, onde privarle
dalle sostanze grasse, poscia con acqua, ed evaporai l'estratto
acquoso in un bagno ad acqua, estrassi il rimanente di quest'ultimo
con alcool assoluto, ed evaporai l'estratto alcoolico; i cristalli
(leggermente pigmentati) di zuccaro (che è analogo a quello di
canna) si riunivano e formavano come delle stellette più dense nel
centro che alla periferia.

La maggior parte de' chimici che si occuparono d'un tal genere di analisi, determinarono le sostanze albuminoidi dalla quantità d'azoto ottenuto decomponendo le sostanze ad analizzarsi.

Io non m'attenni però a questo metodo, ormai conosciuto erroneo, esistendo molte sostanze che contengono azoto in grande quantità, e non sono punto nutrienti, come per esempio la Cafeina, la Piperina, la Creatina, Creatinina, Urea ecc. ecc.

Volli all' incontro determinare le sostanze albuminoidi in forma di Proteina. Estraeva perciò delle castagne o meglio della farina delle medesime con etere, alcool, acido cloroidrico diluito, ed in fine con una soluzione concentrata di potassa caustica, nella quale si scioglievano tutte le sostanze albuminoidi. Riscaldai a 50° C., filtrai e lavai ben bene quanto restava sul filtro, poscia precipitava la Proteina, aggiungendo al filtrato dell'acido acetico, fino a legger reazione acida. Versai il precipitato su di un filtro di carta svedese, lo lavai ben bene, asciugai a 100° C. e pesai.

La perdita si puo ascrivere:

1) alla riduzione degli acidi organici, per l'inceneramento, in carbone ed acido carbonico;

- 2) alla presenza di sostanze azotate ma non proteiche;
- 3) alle così delle sostanze estrattive od ignote;
- 4) finalmente alla necessaria perdita assoluta di sostanza.

Tabella delle sestanze organiche ed anorganiche della Castagua.

Cenero		Grassi od oli	i	Amido o Pocola Destrina o Gomm d'amido			~
Bianche di Como Di Val Travaglia Italiane ma d'in- eerta provenienz	8-17	Biancho di Como Di Verena Val Travaglia Valtellina	1·78 1·21	Val Traveglia 5)	38-02		23-1
Zuecare		Cellulosa o Log	1001	Albumina veget	ale	Sostanzo albumis qual Proteina	
Bianche di Como id. id. Val Travaglia	17-6 17-9 17-68 17-5	Bianche di Como ^a Valtellina	•	Bianche di Como Italiano d'incerta provenicasa id.		Bianche di Como ⁶) Val Travaglia Valtellina	5-21 9-3 8-74

¹⁾ Amido determinato col 2. metodo o riduzione dello stesso in glucosa.

Poco o nessun interesse mi offriva la determinazione dell'acqua, la quantità della quale va soggetta a grandi variazioni essendo composte le castagne di sostanze igroscopiche per eccellenza, come la cellulosa, l'albumina, fecola ecc. Ad onta di ciò volli controllare i risultati pubblicati dal Payen, e venni a conchiudere, che, quel chimico analizzava delle castagne appena abbacchiate o comperate da un qualche speculante il quale vendeva acqua a prezzo di castagne. Payen da la cifra 54-21 per cento d'acqua, ed io non ebbi mai più di 37-7 per cento.

³⁾ Amido determinato col 1. metodo o separazione meccanica.

³⁾ Le castagne di Como non erano affatto prive della cuticola.

⁴⁾ In queste determinal le altre sostanze albuminoidi qual Proteina dopo d'aver levate dalle castagne l'Albumina solubile.

SITZUNG VOM 27. JULI 1854.

Eiugesendete Abhandlungen.

Über die chinesischen Gelbschoten.

Von H. v. Orth.

Unter dem Namen chinesischer Gelbschoten oder Wongski kommen Früchte einer unbekannten Pflanze aus China nach Europa. Diese Früchte sollen von einer Gentiana abstammen. Einige behaupten, dass es Früchte einer Gardenia, Andere Früchte einer Scitaminee seien. Auch wurden zwei Untersuchungen dieser Früchte publicirt. Herr Prof. Roch leder erhielt vom Herrn Apotheker Dittrich solche Gelbschoten und ich übernahm über Aufforderung des Ersteren deren Untersuchung in seinem Laboratorium.

Die Früchte wurden zerstossen und so lange mit erneuten Mengen Weingeist von 40° ausgekocht, als derselbe dabei merklich gelb gefärbt wurde. Diese vereinigten weingeistigen Auszüge wurden in einer Retorte im Wasserbade in einer Atmosphäre von Kohlensäure concentrirt. Beim Erkalten, mehr noch auf Zusatz von Wasser scheidet sich eine kleine Menge flüssigen Fettes ab, welches durch ein nasses Filter von der Flüssigkeit getrennt wurde. Die so gereinigte, schön rothgelbe Lösung wurde mit Bleizuckerlösung vermischt, wodurch ein gelber Niederschlag entsteht. Dieser Niederschlag wurde durch Schwefelwasserstoff unter Wasser zersetzt und die Flüssigkeit vom Schwefelblei abfiltrirt. Das Schwefelblei hält den Farbestoff grösstentheils zurück, und wird zur Gewinnung desselben aufbewahrt. Die vom Schwefelblei abfiltrirte Flüssigkeit wird abermals mit Bleizucker gefällt und der entstandene Niederschlag durch Schwefelwasserstoff zersetzt. Die neue Menge Schwefelblei hält den letzten Rest des Farbestoffes zurück, in der Flüssigkeit ist die eisengrünende Gerbsäure enthalten. Durch Eindampfen ihrer blassgelblich gefärbten, wässerigen Lösung in einer Atmosphäre von Kohlensäure und Trocknen des Rückstandes im Vacuo erhielt man eine amorphe, bräunlich-gelbliche Masse.

0.241 Substanz gaben 0.4015 Kohlensäure und 0.129 Wasser.

0.197 Substanz liessen 0.0085 oder 4.31% Asche.

In 100 Theilen nach Abzug der Asche:

						Berechne	et.	Gefunden.
46	Äquiv.	Kohlenstoff	=	276		47.26	_	47-47
36	,,,,,,,,,,,,,,,,,,,,,,,,,,,,,,,,,,,,,,	Wasserstoff	=	36		6.16	_	6.22
34	n	Sauerstoff	=	272	_	46.58	_	46.31
			•	584		100.00		100.00

Ein Theil der Gerbsäurelösung wurde erwärmt und mit dreibasisch-essigsaurem Bleioxyd ausgefällt, der ins Graulich-grünliche ziehende gelbe Niederschlag wurde mit Wasser gewaschen und bei 100° C. getrocknet.

0.392 Salz gaben 0.329 Kohlensäure und 0.0825 Wasser.

0.3267 " " 0.1875 Bleioxyd oder 57.39% PbO.

0·1324 " " 0·076 " " 57·40% PbO.

Dies entspricht nahe der Formel C_{4e} H_{25} O_{2e} + 6 PbO, welche verlangt:

					1	Gefunden.	
46	Äquiv.	Kohlenstoff	-	276		23.3	22.89
28	,,	Wasserstoff	===	28	_	2.3 —	2-34
26	,	Sauerstoff	=	208		17.7	17.38
6	,	Bleioxyd	=	670-428		56·7 —	57·39
		•		1182-428	_	100·0 —	100.00

Nach Abzug des Bleioxydes berechnet sich folgende Zusammensetzung:

Die im Vacuo getrocknete Säure enthält also 8 Äquiv. Wasser.

$$C_{46}H_{38}O_{26} + 8HO = C_{46}H_{36}O_{34}.$$

Die mit Bleizuckerlösung von Gerbsäure und Farbstoffen befreite Flüssigkeit gibt mit Salzsäure erwärmt zuerst einen geringen braunen Niederschlag, der durch ein Filter entfernt wird und dann bis zum Koehen erhitzt, Flocken eines dunkelgrünen Körpers, der in allen Eigenschaften die grösste Ähnlichkeit mit dem grünen Zersetzungsproducte hat, welches bei der Einwirkung von Säuren auf die Rubichlorsäure der Stellatae entsteht. Auch die Zusammensetzung ist eine ganz ähnliche.

Er wurde mit Wasser gewaschen, im Vacuo getrocknet zur Analyse verwendet.

0.084 Substanz gaben 0.2169 Kohlensäure und 0.046 Wasser. 0.017 "liessen 0.001 Asche oder 5.88%.

Dies gibt nach Abzug der Asche:

Diesen kleinen Mengen von diesem Körper ist es zuzuschreiben, dass kein Versuch angestellt wurde, die Substanz zu isoliren, welche durch die Einwirkung der Salzsäure dieses grüne Product kiefert.

Die sämmtlichen Mengen von Schwefelblei, welche auf die oben angegebenen Weisen entstanden waren, wurden mit 40° Weingeist ausgekecht, die Lösung heiss filtrirt und in einem Strome von Kohlensäuregas im Wasserbade auf ein Viertel des Volumens eingeengt. Der Rückstand wurde dann über Schwefelsäure im Vacuo zur Syrupsdicke gebracht. Diese Masse von der Farbe des doppelt chromsauren Kali wurde wiederholt mit Äther geschüttelt, so lange dieser dadurch gelb gefärbt wurde. Der Äther wurde verdunstet und der Rückstand mit Wasser behandelt. Der rothgelbe in Wasser unlösliche Rückstand wurde bei 100° C. getrocknet zur Analyse verwendet. Die Menge dieses harzartigen Farbestoffes ist äusserst gering.

0.225 Farbestoff gaben 0.508 Kohlensäure und 0.1355 Wasser. Auf 100 Theile berechnet:

80 Äquiv. Kohlenstoff =
$$480$$
 — 61.78 — 61.55
49 " Wasserstoff = 49 — 6.31 — 6.66
31 " Sauerstoff = 248 — 31.91 — 31.79
 777 — 100.00 — 100.00
 $C_{80}H_{40}O_{31}$ = $2(C_{40}H_{24}O_{15})$ + HO.

Der in Äther unlösliche Theil des Farbestoffes gibt an kochenden, absoluten Alkohol eine sehr geringe Menge eines gelben Farbestoffes ab, der in keiner hinreichenden Menge erhalten werden konnte um weitere Versuche oder eine Analyse davon anzustellen. Der auch in Alkohol unlösliche Antheil beträgt die grösste Menge des Farbestoffes, obwohl auch seine Menge im Verhältniss zur Masse der Früchte nur unbedeutend ist. Er enthält viel von feuerbeständigen Bestandtheilen, die als Kalk und etwas Eisenoxyd nach dem Einäschern erkannt wurden. Die geringe Menge dieses Körpers liess keine Versuche zu, ihn rein von diesen Mineral-Bestandtheilen darzustellen.

Bei 100° C. getrocknet, wurde diese schön gelbe, amorphe, in Alkohol und Äther unlösliche Masse zur Analyse verwendet.

0.2373 Substanz gaben 0.392 Kohlensäure und 0.14 Wasser. 0.550 Substanz gaben 0.06 feuerbeständigen Rückstand oder 10.91%.

Dies entspricht, nach Abzug der Asche, folgender Zusammensetzung:

 $C_{40}H_{24}O_{25} = C_{40}H_{24}O_{15} + 10H0.$

Die mit Alkohol erschöpften Gelbschoten wurden mit Wasser ausgekocht und das Decoct durch Abdampfen concentrirt. Auf Zusatz von Alkohol scheidet sich eine Gallertmasse ab, die durch ein Leinwandfilter von der weingeistigen Flüssigkeit getrennt wurde. Durch Pressen zwischen Leinwand entfernt man so viel als möglich die Mutterlauge, löst die Gallerte in Wasser, setzt Thierkohle zu und kocht. Die von der Thierkohle abfiltrirte Lösung der Gallerte wird mit Salzsäure versetzt und dann durch Alkohol die Gallerte wieder gefällt. Die ausgeschiedenen Flocken würden leicht das Filter verstopfen, wenn die Flüssigkeit, in der sie suspendirt sind, nicht erhitzt wird, dadurch werden sie weniger voluminös und das Filtriren geht rascher von Statten. Man wäscht mit Alkohol bis keine Spur Salzsäure in der ablaufenden Flüssigkeit enthalten ist, presst zwischen Leinwand und trocknet im Wasserbade. Bei 100° C. getrocknet, wurde die Gallerte zur Analyse verwendet.

0.340 Substanz gaben 0.52 Kohlensäure und 0.1626 Wasser. 0.1266 "liessen 0.001 Asche oder 0.79%.

Nach Abzug der Asche berechnet sich folgende Zusammensetzung:

32 Äquiv. Kohlenstoff =
$$192$$
 — $42 \cdot 10$ — $42 \cdot 04$
24 " Wasserstoff = 24 — $5 \cdot 26$ — $5 \cdot 36$
30 " Sauerstoff = 240 — $52 \cdot 64$ — $52 \cdot 60$
 456 — $100 \cdot 00$ — $100 \cdot 00$

 $C_{83} H_{84} O_{80}$ oder $C_{64} H_{48} O_{66}$ unterscheidet sich vom Pectin (nach Fremy = $C_{64} H_{48} O_{64}$) durch einen etwas geringeren Sauerstoffgehalt.

Die weingeistige Mutterlauge, aus welcher sich die Gallerte abgeschieden hatte, wurde mit Bleizuckerlösung ausgefällt und der Niederschlag abfiltrirt, mit Wasser übergossen, dem etwas Essigsäure zugesetzt war. Die saure Lösung wurde abfiltrirt, das Blei durch Schwefelwasserstoff entfernt, und die vom Schwefelblei getrennte Gerbsäurelösung im Wasserbade concentrirt; der Rückstand bei 100° C. getrocknet.

Diese Gerbsäure gab bei der Analyse folgendes Resultat:

- I. 0.3959 Säure gaben 0.6622 Kohlensäure und 0.1775 Wasser. 0.705 2 0.095 Asche oder 13.47%.
- II. 0.2383 " 0.398 Kohlensäure und 0.1094 Wasser.

In 100 Theilen nach Abzug der Asche:

Berechnet. Gefunden.

46 Äquiv. Kohlenstoff =
$$276$$
 — 52.98 — 52.73 — 52.62

29 " Wasserstoff = 29 — 5.56 — 5.75 — 5.86

27 " Sauerstoff = 216 — 41.46 — 41.52 — 41.52
 521 — 100.00 — 100.00 — 100.00 — 100.00

$$C_{46}H_{29}O_{87} = C_{46}H_{28}O_{86} + HO.$$

 C_{46} H_{28} O_{26} ist aber die Zusammensetzung der an Bleioxyd gebundenen Säure.

Die wasserfreie Gerbsäure ist daher == C₄₆ H₈₈ O₂₆.

Das Hydrat der Gerbsäure..... == C₄₆ H₂₈ O₂₆ + HO.

Die im Vacuo getrocknete Säure.. == C₄₆ H₈₈ O₂₆ + HO + 7 Aq.

Sitzb. d. mathem.-naturw. Cl. XIII. Bd. II. Hr.

Ob diese Säure ein gepaartes Kohlehydrat ist, konnte aus Mangel an Substanz nicht untersucht werden. Die Säure ist dem Äsculin homolog: $C_{42}H_{24}O_{26}+4CH=C_{46}H_{28}O_{26}$.

Über Thuja occidentalis. Von A. Kawalier.

Ich habe vor einem Jahre eine Untersuchung von Pinus sylvestris veröffentlicht und lasse hier die Beschreibung der Versuche folgen, welche ich auf Veranlassung des Professors Rochleder in seinem Laboratorium mit Thuja occidentalis angestellt habe. Die Resultate derselben zeigen die grösste Übereinstimmung in der Zusammensetzung der Abietinae und Cupressinae.

Die grünen Theile der Thuja wurden mit 40° Weingeist ausgekocht, das weingeistige, stark grün gefärbte Decoct trübt sich beim Erkalten. Es scheiden sich voluminöse, gelbe Flocken einer wachsartigen Materie aus, die auf einem Filter gesammelt wurden. Die abfiltrirte Flüssigkeit wurde im Wasserbade der Destillation unterworfen. Nachdem der grösste Theil des Weingeistes abdestillirt ist, wird dem Rückstande Wasser zugesetzt und die Destillation fortgeführt, bis aller Weingeist übergegangen ist.

Die überdestillirte, alkoholhaltige Flüssigkeit ist gelblich gefärbt und riecht eigenthümlich. Farbe und Geruch rühren von dem ätherischen Öle der Thuja her. Der Rückstand im Destillirgefässe besteht aus einer trüben, wässerigen Flüssigkeit und einer darin untersinkenden, grünen, klebrigen Harzmasse.

Die wässerige Flüssigkeit wird durch Eisenoxydsalze grün gefärbt; sie gibt mit Bleizuckerlösung einen gelben Niederschlag, in dem eine gelbe, krystallisirbare Gerbsäure enthalten ist. Die vom Bleiniederschlage abfiltrirte Flüssigkeit gibt, mit Bleiessig kochend heiss gefällt, einen schmutzig-gelben Niederschlag, der, nebst Spuren einer Säure, die Citronsäure zu sein scheint, eine amorphe Gerbsäure enthält.

Die von diesem zweiten Bleisalze abfiltrirte Flüssigkeit wird mit Schwefelwasserstoff von ihrem Bleigehalte befreit und die klare Lösung vom Schwefelblei abfiltrirt. Sie enthält Zucker und einen Bitterstoff. Werden die mit Weingeist ausgekochten grünen Theile der Thuja mit Wasser ausgekocht, dem eine Spur Alkali zugesetzt wurde, so erhält man ein Decoct, das auf Zusatz einer Säure eine Gallerte fallen lässt.

Von den hier erwähnten Stoffen sind mehrere identisch mit denen, welche in *Pinus sylvestris* von mir nachgewiesen wurden, und ich will diese den übrigen Bestandtheilen vorausgehen lassen.

Pinipierin.

In den grünen Theilen von Thuja ist, so wie in denen von *Pinus sylvestris*, ein Bitterstoff enthalten, den ich mit dem Namen Pinipierin bezeichnet habe.

Die Bereitung desselben ist hier ganz dieselbe, wie ich sie in der Untersuchung über *Pinus sylvestris* beschrieben habe. Es ist zweckmässig das Pinipicrin, bevor es in einem Kohlensäurestrom getrocknet wird, mit etwas reinem Äther zu schütteln, der zwar Spuren Pinipicrin löst, dagegen die ganze, hartnäckig anhängende Essigsäure wegnimmt. Die Eigenschaften des Pinipicrin aus Thuja hier anzugeben, halte ich für überflüssig; sie sind dieselben wie die des Pinipicrin aus *Pinus sylvestris*. Es wird durch Säuren ebenso in Zucker und Ericinol zerlegt. Zur grösseren Sicherheit wurde die Zusammensetzung eines aus Thuja dargestellten Pinipicrin durch die Analyse ausgemittelt.

0.3352 Substanz gaben 0.6816 Kohlensäure und 0.2301 Wasser. Dies entspricht der Formel:

						Berechnet		Gefunden
44 Ä	quiv.	Kohlenstoff	==	264	_	55.46		55.45
36	,	Wasserstoff	=	36		7.56		7.62
22	n	Sauerstoff	=	176	_	36.98		36.93
			-	476		100.00	_	100.00

Zucker.

Der Zucker bleibt bei der Bereitung des Pinipicrin, als unlöslich in einem Gemische von wasserfreiem Alkohol und Äther zurück. Er wird auf dieselbe Weise gereinigt, wie sich in der Untersuchung über *Pinus sylvestris* angegeben findet.

Gallerte.

Die Gallerte wurde auf dieselbe Weise dargestellt, wie die Gallerte aus den Nadeln von *Pinus sylvestris*.

- I. 0.4491 Gallerte, bei 100° C. getrocknet gaben 0.678 Kohlensäure und 0.2102 Wasser. Es hinterliessen 0.222 derselben 0.011 unverbrennlichen Rückstand, d. i. 0.5% Asche.
- II. 0.4826 Gallerte von einer andern Bereitung gaben 0.7254 Kohlensäure und 0.2285 Wasser.
 - 0.2811 Gallerte hinterliessen 0.0153 unverbrennlichen Rückstand = 5.44%.

Dies entspricht folgender procentischen Zusammensetzung nach Abzug der Asche.

	Ū					Gefund	
16	Äquiv.	Kohlenstoff	-	96 —	43.64 —	43.33 —	43.28
12	,,	Wasserstoff	=	12 —	5·45 —	5· 4 5 —	5.52
14	,,	Sauerstoff	=	112 —	50.91 —	51·22 —	51.20
				220 —	100.00 —	100.00 —	100.00

Diese Gallerte besitzt also die Zusammensetzung der Gallerte aus der Rinde von *Pinus sylvestris*, während die Zusammensetzung der Gallerte aus der Rinde der Nadeln von *Pinus sylvestris* durch die Formel C₁₆ H₁₀ O₁₀ ausgedrückt wird.

Wachs.

In der Borke von *Pinus sylvestris* ist ein Wachs enthalten, das die Zusammensetzung der Palmitinsäure oder Äthalsäure besitzt, in seinen Eigenschaften aber weit von diesen Säuren abweicht. Das Wachs der Thuya-Blätter hat dieselbe Zusammensetzung.

Die gelben Flocken, welche sich beim Erkalten des weingeistigen Thuja-Decoctes ausscheiden, wurden abfiltrirt und durch wiederholtes Lösen in siedendem Weingeist unter Beimengung von Thierkohle gereinigt. Das rein weisse Wachs gab bei der Analyse folgende Zahlen:

0.2419 Substanz lieferten bei 100° C. getrocknet 0.6649 Kohlensäure und 0.268 Wasser.

Dies entspricht in 100 Theilen folgender Zusammensetzung:

Da dieses Wachs geschmolzen noch gelblich war, wurde zur weiteren Reinigung so wie zur allfälligen Trennung in einen sauren und indifferenten Theil eine Portion davon in heissem 40° Weingeist gelöst und mit alkoholischer Bleizuckerlösung versetzt. Es erfolgt nur eine Spur Niederschlag, der durch ein Filter getrennt wurde. Die heiss filtrirte Lösung setzt beim Erkalten rein weisse Flocken ab. Diese wurden auf einem Filter gesammelt, im Alkohol vertheilt und durch Schwefelwasserstoff zersetzt, die Flüssigkeit mit dem Schwefelblei zum Sieden erhitzt und siedend filtrirt. Das Filtrat hinterlässt, am Wasserbade verdunstet, das Wachs vollkommen ungefärbt. Die Zusammensetzung war, wie die Analyse zeigte, dieselbe, wie vor dieser Behandlung, ein Beweis, dass keine Trennung in verschiedene Bestandtheile auf diese Art erfolgt war.

Diese Portion Wachs, welche sich beim Erkalten des Thujadecoctes absetzt, ist selbstverständlich, der schwerlöslichere Theil des Wachses. Der leichter lösliche Theil ist in dem erkalteten Decocte gelöst geblieben. Wird von dem Decocte der Weingeist abdestillirt und gegen Ende der Destillation der Rückstand mit Wasser vermischt, so scheidet sich, wie schon Eingangs erwähnt wurde, eine klebrige, grüne Harzmasse aus, die zu Boden sinkt. Dieses Harz enthält auch einen Antheil Wachs beigemengt. Dieser leichter lösliche Theil kann auf folgende Weise rein erhalten werden. Man löst die harzige Masse in kochendem 40° Weingeist, versetzt die Lösung mit alkoholischer Bleizuckerlösung, wobei ein anfangs gelber, später grüner, klebriger Niederschlag entsteht. Man wäscht diesen Niederschlag mit Weingeist und zersetzt ihn unter Alkohol mit Schwefelwasserstoff, erhitzt die Flüssigkeit mit dem Schwefelblei, filtrit auf einem mit heissem Wasser umgebenen Trichter und lässt das Filtrat erkalten. Es scheiden sich gelbe Flocken von Wachs aus, welches durch wiederholtes Lösen in heissem Weingeist unter Zusatz von Thierkohle gereinigt wird. Da man bei dem Trocknen des Wachses bei 100 °C. immer eine eintretende Veränderung durch Oxydation bemerkte, wurde das Wachs im Vacuo getrocknet.

0·1748 Wachs gaben 0·4799 Kohlensäure und 0·1982 Wasser oder in 100 Theilen:

						Berechne	t.	Gefunden.
32	Äquiv.	Kohlenstoff	=	192		75 ·00		74.87
32	,,	Wasserstoff	=	32	_	12.50		12.59
4	,,	Sauerstoff	_	32	_	12.50		12.54
			•	256	_	100.00	_	100.00

Der sich zuerst ausscheidende Antheil des Wachses hat also dieselbe Zusammensetzung, wie der noch gelöst bleibende Theil. Daraus geht ferner hervor, dass das Wachs der Thuja-Blätter dieselbe Zusammensetzung hat, wie das Wachs der Borke von *Pinus sylvestris*.

Da dieses Wachs zwar die Zusammensetzung, nicht aber die Eigenschaften der Palmitinsäure oder Äthalsäure besitzt und daher wahrscheinlich einer anderen Formel als der Formel C_{3.2} H_{3.2} O₄ entspricht, so war es nothwendig einige Versuche anzustellen, um über Constitution dieser Substanz etwas in Erfahrung zu bringen.

Die Resultate, die ich bei Behandlung dieses Wachses mit Natronkalk erhielt sind in den folgenden Zeilen beschrieben.

Das mit Natronkalk gemischte Wachs wurde in einer Retorte im Ölbade einer Temperatur von 240° — 250° (des Ölbades) ausgesetzt, wobei etwas Wasser und Spuren eines nach Seife riechenden, fetten Öles übergingen. Der bei Abschluss der Luft erkaltete Retorten-Inhalt wurde zerrieben und mit viel kaltem Wasser ausgezogen. Die wässerige Lösung, von dem unlöslichen Theile durch ein Filter getrennt, gab auf Zusatz von Salzsäure einen flockigen, weissen Niederschlag, der, mit Wasser gewaschen, geschmolzen und bei 100° C. getrocknet, folgende Zusammensetzung zeigte:

0.2188 Substanz gaben 0.5464 Kohlensäure und 0.2205 Wasser, oder auf 100 Theile berechnet:

-						Berechne	t.	Gefunden.
36	Āquiv.	Kohlenstoff	=	216	—	68·3 5	_	68.10
36	,	Wasserstoff	_	36		11.39	_	11.19
8	n	Sauerstoff	=	64	_	20.26	_	20.71
				316		100.00	_	100.00

Der in Wasser unlösliche Theil des Retorten-Inhaltes wurde im Wasserbade getrocknet, fein zerrieben und mit Äther ausgezogen. Der mit Äther erschöpfte Rückstand wurde mit salzsäurehaltendem Wasser zersetzt. Die Säure des Kalksalzes scheidet sich bald aus und schwimmt auf der Chlorcalciumlösung. Sie wird in ammoniakhaltigem Wasser gelöst, mit Thierkohle in Berührung, gebracht, und aus der Lösung durch Salzsäure gefällt.

0.2609 Substanz gaben bei 100° C. getrocknet 0.6928 Kohlensäure und 0.280 Wasser.

In 100 Theilen entspricht dieses folgender Zusammensetzung:

Dieses ist die Zusammensetzung der Ölsäure der nicht trocknenden Öle, von der dieser feste Körper in seinen Eigenschaften weit verschieden ist.

Das Wachs aus den Nadeln des *Pinus sylvestris*, welches ich mit dem Namen Ceropinsäure bezeichnet habe, entspricht in seiner Zusammensetzung der Formel C₅₀ H₅₀ O₅, unterscheidet sich nur durch einen geringeren Sauerstoffgehalt von der in Rede stehenden wachsartigen Säure. Die Säure, welche aus der wässerigen Lösung des Retorten-Inhaltes gewonnen wurde, enthält die Elemente von zwei Äquivalenten Wasser mehr als die Säure des Kalksalzes. C₃₆H₂₆O₆ + 2HO = C₃₆H₃₆O₆.

Es wurde erwähnt, dass das Kalksalz vor der Zersetzung durch Salzsäure mit Äther erschöpft wurde. Der ätherische Auszug hinterlässt nach Verflüchtigung des Äthers eine wachsartige, weisse, rissige, spröde Masse.

0·1698 dieser Substanz, bei 100° C. getrocknet, gaben 0·4972 Kohlensäure und 0·2145 Wasser.

Dies entspricht folgender Zusammensetzung:

Die Formel C₃₆H₃₈O₃ drückt die Zusammensetzung des Alkohols der Stearophansäure aus, so wie die Säure des Kalksalzes C₃₆H₃₄O₆ als Stearophansäure betrachtet werden kann, in der zwei Äquivalente Wasserstoff durch Sauerstoff substituirt sind, denn:

Ob bei dieser Zersetzung des Wachses wirklich der Alkohol der Stearophansäure erhalten wurde, konnte aus Mangel an Material nicht durch Versuche entschieden werden. Die Zusammensetzung des Wachses müsste, dieser Zersetzungsweise nach, nicht durch die Formel C₂₂H₃₂O₄ ausgedrückt werden, sondern würde der Formel C₂₁₆H₂₁₁O₂₇ entsprechen. Diese fordert folgende procentische Zusammensetzung:

Berechnet. Gefunden im Mittel. 216 Äquiv. Kohlenstoff =
$$1296 - 75 \cdot 21 - 75 \cdot 03$$
211 " Wasserstoff = $211 - 12 \cdot 25 - 12 \cdot 30$
27 " Sauerstoff = $216 - 12 \cdot 54 - 12 \cdot 67$

$$1723 - 100 \cdot 00$$

$$C_{316}H_{311}O_{37} = C_{106}H_{108}O_{11} + C_{108}H_{107}O_{15} - HO$$

$$C_{108}H_{108}O_{11} = \begin{cases} C_{36}H_{33}O_{5} & C_{108}H_{107}O_{15} & \begin{cases} C_{36}H_{45}O_{7} & C_{36}H_{45}O_{7} & C_{36}H_{45}O_{7} & C_{36}H_{45}O_{7} & C_{36}H_{47}O_{15} \end{cases}$$

Das Wachs wäre ein Gemenge zu gleichen Theilen aus zwei Wachs-Arten, wovon jede aus einem Äquivalent eines Äthers C₂₆H₆₇O und einer Säure im wasserfreien Zustande bestünde, die in dem einen Wachse C₃₆H₅₃O₇ in dem andern C₃₆H₅₃O₅ wäre.

Ich lege auf diese Zahlen keinen besonderen Werth, da ich bei Wiederholung des Versuches mit Wachs, welches aus einer andern Menge Thuja dargestellt war, ganz andere Spaltungsproducte erhielt. Das chinesische Pflanzenwachs von Rhus succedaneum ist nach Brodie nach der Formel C₁₀₈H₁₀₇O₄ zusammengesetzt, es enthält also ebenso viel Kohlenstoff-Äquivalente aber weit weniger Sauerstoff. Aus zwei Äquivalenten des Wachses aus China müssten 5 Äquivalente Wasserstoff austreten und 19 Äquivalente Sauerstoff aufgenommen werden um das Thuja-Wachs zu geben:

$$C_{216} H_{216} O_8 - H_5 + O_{19} = C_{216} H_{211} O_{27}$$

Wachs aus Thuja wurde längere Zeit mit Kalilauge gekocht, die Masse liess sich nicht filtriren, sie wurde mit Kochsalz und Chlor-calciumlösung versetzt und auf einem Filter mit Wasser ausgewaschen. Die ablaufende Flüssigkeit liess auf Zusatz von Chlorwasserstoffsäure Flocken fallen, die durch Behandlung in Alkohol in mehrere Producte zerlegt werden konnten, für deren Reinheit keine Bürgschaft zu geben ist. Der in Wasser unlösliche Theil wurde getrocknet und mit Äther erschöpft. Der Äther lässt nach dem Verdunsten einen Rückstand, der durch Lösen in siedendem Alkohol in einen sehr schwerlöslichen und einen etwas leichter löslichen Theil getrennt wurde.

Die folgenden Analysen sind mit Substanz von zwei verschiedenen Bereitungen ausgeführt. Die Analysen der bei 100° C. getrockneten Substanzen gab folgende Resultate:

- I. 0.2422 Substanz gaben 0.704 Kohlensäure und 0.2882 Wasser:
- II. 0·1705 Substanz gaben 0·4972 Kohlensäure und 0·2015 Wasser.

oder in 100 Theilen:

Berechnet. Gefunden.

58 Äquiv. Kohlenstoff =
$$348 - 79.45 - 79.27 - 79.53$$

58 " Wasserstoff = $58 - 13.24 - 13.22 - 13.13$

4 " Sauerstoff = $32 - 7.21 - 7.51 - 7.34$
 $438 - 100.00 - 100.00 - 100.00$

Diese Substanz hat demnach die Zusammensetzung des cerotinsauren Äthyloxydes, ohne mit diesem identisch zu sein.

Die mit Äther erschöpfte Kalkseife wurde durch salzsäurehaltiges Wasser zersetzt. Die ausgeschiedene, wachsartige Säure wurde in einem Gemenge von Alkohol und Äther gelöst und Thierkohle zugegeben, um die gelbliche Färbung zu entfernen. Wird aus der Lösung der Äther verjagt, so scheiden sich einige Flocken ab, die durch Filtriren entfernt wurden. Bei langsamem Verdunsten des Alkohols setzte sich die Säure in kleinen, blumenkohlartig gruppirten Krystallen ab.

- 0.3252 der im Vacuo getrockneten Säure gaben 0.835 Kohlensäure und 0.3517 Wasser.
- II. 0·1887 der im Vacuo getrockneten Säure gaben 0·4871 Kohlensäure und 0·205 Wasser.

Auf 100 Theile berechnet:

		Berechnet.	Gefunden.			
58 Āquiv. Kohler	nstoff = 348 —	70.44 —	70·01 —	II. 70·37		
•	erstoff = 58 —					
11 " Sauers	stoff = 88 -	17.82 —	17.97 —	17.61		
	494 —	100.00 —	100.00 —	100.00		

Das Material zu I. und II. war aus verschiedenen Portionen Thuja dargestellt worden.

Durch Fällen einer Portion dieser Säure aus ihrer Lösung im ammoniakhaltigen Wasser durch Chlorbaryum-Lösung wurde ein Barytsalz dieser Säure in Form weisser, etwas schleimiger Flocken dargestellt, die im Vacuo getrocknet zur Analyse verwendet wurden.

0.264 Substanz gaben 0.525 Kohlensäure und 0.2149 Wasser.

0.195 Substanz gaben 0.0725 schwefelsauren Baryt oder 24.41 % Baryt.

0·1703 Substanz gaben 0·0630 schwefelsauren Baryt oder 24·31 % Baryt.

Dies gibt auf 100 Theile berechnet:

					Berechnet.	Gefunden.
58 Äq	luiv	. Kohlenstoff =	348	_	54 ·54 —	54.20
57	99	Wasserstoff =	57	_	8.93	9.04
10	,	Sauerstoff =	80	_	12.54 —	12.45
2	n	Baryumoxyd =	153.066	_	23.99 —	24.31
		•	638.066	_	100.00 —	100.00

Eine andere Portion Wachs wurde mit Natronkalk behandelt, die Masse mit Wasser ausgezogen, der unlösliche Rückstand getrocknet, mit Äther erschöpft und das Kalksalz mit Salzsäure zersetzt.

Die Säure des Kalksalzes gab diesmal bei der Analyse folgende Zahlen:

0.3284 Substanz, bei 100° C. getrocknet, gaben 0.844 Kohlensäure und 0.3535 Wasser.

Dies entspricht folgender Formel:

Die Lösung der Säure in heissem 40° Weingeist wurde mit Wasser vermischt bis eine starke Trübung entstand, dann Ammoniak tropfenweise zugesetzt bis die Trübung verschwand und die klare Flüssigkeit mit Chlorbaryum gefällt. Der gelatinöse Niederschlag wurde im Vacuo getrocknet.

0.365 Salz gaben 0.720 Kohlensäure und 0.2963 Wasser.

0.2195 gaben 0.0785 schwefelsauren Baryt = 0.0515 oder 23.49 % Ba.O.

Dies entspricht folgender Formel:

Nach Abzug des Baryumoxydes berechnet sich die Säure zu 70·17 % C. — 11·79 % H und 18·04 % O.

Der aus dem Kalksalze dieser Säure durch Äther ausgezogene, wachsartige Körper, durch oftmaliges Umkrystallisiren aus Alkohol gereinigt, gab bei der Analyse:

0.2574 im Vacuo getrocknet 0.7622 Kohlensäure und 0.3247 Wasser;

oder auf 100 Theile berechnet:

Das Thuja-Wachs würde dieser Spaltung zu Folge aus einer Verbindung von $C_{48}H_{41}O$ und $C_{58}H_{57}O_{11}$ bestehen müssen.

Berechnet. Gefunden im Mittel.

$$C_{158} = 948 - 75.00 - 75.03$$
 $H_{156} = 156 - 12.34 - 12.30$
 $O_{20} = 160 - 12.66 - 12.67$
 $1264 - 100.00 - 100.00$.

 $C_{158}H_{156}O_{20} = \begin{cases} C_{58}H_{56}O_{9} \\ C_{158}H_{51}O_{10} \\ C_{158}H_{156}O_{20} \end{cases}$

Die grossen Schwierigkeiten, welche bei einer Untersuchung eines Wachses zu überwinden sind, konnten wegen der geringen Menge Material nicht vollkommen bewältigt werden. Selbst wenn man einen Viertelcentner Thuja auf einmal in die Arbeit nimmt, erhält man immer nur geringe Quantitäten von reinem Wachse zur weiteren Bearbeitung.

Harze.

Es wurde weiter oben erwähnt, dass das alkoholische Decoet der Thuja nach dem Abdestilliren des Weingeistes und Zusatz von Wasser ein grünes, klebendes Gemenge von Harz und etwas Wachs ausscheidet, welches in 40° Weingeist gelöst und mit alkoholischer Bleizuckerlösung versetzt, einen Niederschlag liefert, in dem der Antheil an Wachs enthalten ist. Die vom Bleiniederschlage abfiltrirte grüne Flüssigkeit wird mit Schwefelwasserstoff behandelt um das Blei zu entfernen. Das ausgeschiedene Schwefelblei nimmt alles Chlorophyl auf, so dass das Filtrat gelb erscheint.

Wird der Alkohol von dieser Flüssigkeit abdestillirt, so scheidet sich ein halbflüssiges Harz aus, welches in sehr verdünnter Kalilauge gelöst wird. Die klare, braune Lösung wird mit Chlorcalciumlösung vollständig ausgefällt, der gelbe Niederschlag, nachdem er sich abgesetzt hat von der Mutterlauge durch Decantiren getrennt und mit einer grossen Menge Wasser angerührt. Man sammelt ihn auf einem Filter. Die Mutterlauge und sämmtliche Waschwasser werden vereinigt und mit Salzsäure versetzt, worauf ein Niederschlag in Form von voluminösen, gelblichweissen Flocken entsteht. Diese werden auf ein Filter gebracht, mit Wasser gewaschen und wieder in Kalkwasser gelöst. Es gelingt nicht die braungelbe Farbe durch Thierkohle wegzunehmen. Die Reinigung wird aber auf folgende Art erzielt. Man leitet einen Strom Kohlensäuregas in die Lösung, so lange dadurch ein Niederschlag entsteht, filtrirt von dem entstandenen Niederschlage ab und fällt aus dem Filtrate durch Salzsäure. Der Niederschlag ist jetzt, so lange er grossflockig ist, weiss, wenn eraber zusammenbackt, ist er gelb. Diese Masse löst sich vollkommen in Äther und bleibt nach dem Verdunsten desselben, als eine durchsichtige Harzmasse zurück die sich zu einem citrongelben Pulver zerreiben lässt.

١

0.2727 Substanz, im Vacuo getrocknet, gaben 0.684 Kohlensäure und 0.1665 Wasser, oder in 100 Theilen:

					1	Berechnet.		Gefunden.
4 0	Äquiv.	Kohlenstoff	_	240		68.37	_	68· 39
23	"	Wasserstoff	=	23	_	6.55		6.78
11	,	Sauerstoff	=	88		25.08	_	24.83
			•	351	_	100.00	_	100.00

Dieser Körper kann als das Hydrat einer Verbindung betrachtet werden, die durch Substitution des Wasserstoffes durch Sauerstoff aus einem Camphene gebildet wurde.

$$C_{40}H_{23}O_{11} = C_{40}H_{23}O_{10} + HO \cdot C_{40}H_{23}O_{10} = C_{40}H_{33} - 10H + 100.$$

Der durch Kohlensäure in der eben erwähnten Flüssigkeit entstandene Niederschlag wird mit Wasser gewaschen, im Wasserbade getrocknet und mit Äther ausgezogen, wobei kohlensaurer Kalk zurückbleibt. Die ätherische Lösung lässt nach Vertreiben des Äthers im Wasserbade, eine schwach gelbliche, spröde Masse, die zerrieben ein weisses, stark elektrisches Pulver darstellt.

0.2187 Substanz, im Vacuo getrocknet, gaben 0.565 Kohlensäure und 0.1828 Wasser.

0·1615 liessen 0·001 feuerbeständigen Rückstand oder 0,6 % Asche.

0.2047 Substanz gaben 0.1735 Wasser.

Dies entspricht in 100 Theilen folgender Zusammensetzung:

Eigenschaften und Zusammensetzung dieses Körpers zeigen, dass er identisch ist mit jener Substanz in den Nadeln von *Pinus sylvestris*, die ich 'chinovige Säure' genannt habe.

Der Niederschlag, welcher durch Chlorcalcium in der alkalischen Harzlösung entsteht, löst sich getrocknet, grösstentheils in Äther auf. Der, nach Verjagen des Äthers bleibende Rückstand löst sich theilweise in Alkohol von 40°. Der ungelöste Theil enthält wenig eines schwarzbraunen Harzes und viel Kalk. Der gelöste Theil wurde durch Abdestilliren des Weingeistes und Behandeln des Rückstandes mit Salzsäure haltendem Wasser gereinigt. Es bleibt ein halbflüssiges, klebendes Harz von braungelber Farbe, mit einem sehr kleinen Sauerstoffgehalte zurück, was aber noch ein Gemenge zu sein schien von mehreren Körpern, wesshalb ich die Analysen desselben hier nicht anführe.

Gerbsäuren.

Die Gerbsäuren von Thuja occidentalis sind in der wässerigen Flüssigkeit enthalten, aus welcher sich die Harze und das Wachs

ausgeschieden haben. Diese Flüssigkeit gibt mit Bleizuckerlösung einen Niederschlag, worin die Hauptmenge der krystallisirten Gerbsäure enthalten ist, während aus der erhitzten Mutterlauge durch Bleiessig ein Niederschlag gefällt wird, welcher den grössten Theil der amorphen Gerbsäure enthält nebst einer kleinen Menge einer Säure, die Citronsäure zu sein scheint. Diese Säuren werden die zweite Abtheilung dieser Abhandlung ausmachen.

Über die Robinia-Säure.

Von Dr. H. Hlasiwets.

Unter diesem Namen beschrieb vor einigen Jahren Reinsch (Jahrbuch für prakt. Pharm. XI, S. 423) eine eigenthümliche Säure, die sich an Ammonium-Oxyd gebunden in der Wurzel der gemeinen Akazie (Robinia pseudacacia) finden sollte.

Da ich gerade eine Quantität dieses Materials zur Verfügung hatte, suchte ich dieselbe näher kennen zu lernen.

Die Wurzel wurde mit Wasser etwa eine Stunde lang gekocht, das trübe Decoct durch Absitzenlassen oder Filtriren geklärt, und bis zur Consistenz eines dünnen Syrups eingedampft.

Nach einigen Tagen findet man eine ansehnliche Menge harter, ziemlich grosser Krystalle gebildet, die, von der Flüssigkeit durch Leinwand getrennt, mit kaltem Wasser abgewaschen, in heissem gelöst, und wiederholt umkrystallisirt werden. Nach zweimaligem Umkrystallisiren sind sie vollkommen farblos, stark lichtbrechend, oktaedrisch, nicht verwitternd, zwischen den Zähnen knirschend, von einem schwach süsslichen, faden Geschmack. Ihre Lösung reagirt neutral, entwickelt beim Erhitzen mit Kalilauge Ammoniak, wird von essigsaurem Silberoxyd und Bleizucker nicht gefällt, Bleiessig aber und salpetersaures Quecksilberoxydul gaben weisse Niederschläge. Erhitzt schmelzen die Krystalle, die Masse bräunt sich dann, bläht sich auf, und stösst einen unangenehmen ammoniakalischen Geruch aus. Schliesslich verbrennen sie ohne Rückstand. Schwefelsäure und Salpetersäure lösen sie ohne äussere Veränderung.

Schon das Äussere dieses Körpers, sein Geschmack, seine Zersetzung mit Kali, und die angeführte Reaction liessen vermuthen,

dass man hier Asparagin vor sich habe, und die Analyse bestätigte dies vollkommen.

0.7628 Grammen Substanz bei 100° getrocknet, gaben mit vorgelegten Kupferspänen verbrannt: 1.016 Grammen CO₂ und 0.427 Grammen HO.

Endlich habe ich daraus eine Quantität Asparaginsäure dargestellt und dieselbe von vorzüglicher Schönheit, mit allen ihr zukommenden Eigenschaften erhalten.

Das Asparagin scheint in der Familie der Leguminosen ein sehr gewöhnliches Vorkommniss zu sein, da man es sonst noch in Erbsen, Bohnen, Wicken, Süssholz etc. gefunden hat.

Ich will nur noch bemerken, dass die Rebiniawurzel wohl eines der ausgiebigsten Materialien für dasselbe sein mag, und wie ich meine, dasjenige, aus dem die Darstellung am mühelosesten ausgeführt werden kann.

Durch blosses Abkochen, Eindampfen und höchstens zweimaliges Umkrystallisiren erhält man das schönste Präparat. Etwa 30 Pfund frische Wurzeln lieferten mir über 5 Loth reine Substanz.

Beitrag zur Theorie der Gaugain'schen Tangentenboussole.

Von Br. Victor Pierre.

k. k. Professor.

Der glückliche Einfall Gaugain's zu untersuchen, ob die in den bisher angewendeten Weber'schen Tangentenboussolen nur mit einem ziemlich geringen Grade von Annäherung stattfindende, einfache Proportionalität zwischen Stromstärke und Tangente des Ablenkungswinkels, nicht vielleicht dadurch erzielt werden könnte, dass man den Drehungspunkt der Nadel aus der Ebene des Kreisstromes um eine bestimmte Grösse herausrücken lässt, hat, von günstigem Erfolge begleitet, einem Instrumente Entstehung gegeben, dessen

Theorie Bravais in den Comptes rendus der Pariser Akademie T. XXXVI, p. 193, mitgetheilt hat. Aus dieser ganz allgemeinen Untersuchung geht hervor, dass, wenn die Nadellänge 1/6 bis 1/6 des Durchmessers des Kreisstromes nicht übersteigt, das Gaugain'sche Instrument mit einem für praktische Zwecke völlig genügenden Grade von Annäherung die Stromintensität der Tangente des Ablenkungswinkels der Nadel proportional finden lässt, selbst in dem Falle, dass die Ablenkungswinkel bedeutend gross würden, wo die Angaben der Weberschen Tangentenboussolen schon sehr unzuverlässig sind. Durch diesen Umstand ist die Gaugain'sche Boussole in bedeutendem Vortheile gegen die bisher üblichen, und dürfte daher die letzteren bald verdrängt haben, ihre Theorie aber in der Form, wie sie Bravais gegeben hat, würde wegen der Anwendung des höheren Calculs für das grössere Publikum unzugänglich bleiben. Ich glaube daher manchem Freunde oder Lehrer der Naturwissenschaften einen kleinen Dienst zu erweisen durch die Mittheilung einer auf die einfachsten mathematischen Hülfsmittel sich beschränkenden Darstellung. auf welche ich durch eine von der Bravais'schen etwas abweichende Anlage der Rechnung geführt wurde. Bezeichnet X die auf der Stromebene normale, Y die ihr parallelle Componente der Stromaction, so lassen sich allgemein X und Y in Reihenform darstellen; die einzelnen Glieder der Reihe für Y erscheinen sämmtlich mit Potenzen des Quotienten aus der halben Nadellänge in einer Grösse, welche grösser ist als der Abstand des Poles der Nadel vom Centrum des Kreisstromes multiplicirt. Der Ausdruck für X enthält aber ein von diesem Quotienten unabhängiges Glied. Wenn man daher die Nadellänge sehr klein werden lässt, verschwinden die Componenten Y für jeden Pol der Nadel, während die Componenten X sich auf einen Ausdruck reduciren, der ohne alle Integralrechnung mittelst elementarer Betrachtungen sich erhalten lässt, und auch in mehreren Lehrbüchern sich entwickelt findet 1). Dies vorausgeschickt kommt die Sache darauf hinaus, die Bedingungsgleichung des Gleichgewichtes aufzustellen für eine Magnetnadel, deren Mittelpunkt in einer auf die Ebene des Kreisstromes im Centrum des letzteren senkrechten

K u n z e k, Lehrbuch der Physik pag. 567. — Ettingshausen's Anfangegründe, 2te Auflage, p. 369 etc.

Geraden liegt, während ihre Pole einen zu vernachlässigenden Abstand von eben dieser Senkrechten haben.

Ist sodann x_i der Abstand des einen, x_i der des zweiten Poles von der Stromebene, 2l der gegenseitige Abstand beider Pole, 2ml das magnetische Moment der Magnetnadel, ρ der Halbmesser des Kreisstromes, so wirkt auf den einen Pol der Nadel normal zur Stromebene die Kraft:

$$X_{i} = \frac{2\pi k \rho^{2} m i}{(x_{i}^{2} + \rho^{2})^{\frac{1}{2}}}$$

auf den zweiten Pol hingegen die Kraft:

$$X_{3} = \frac{-2\pi k \rho^{3} mi}{(x_{3}^{2} + \rho^{3})^{\frac{3}{2}}}$$

wobei i die Stromintensität und k ein von der Wahl der Einheit dieser Intensitäten abhängiger constanter Factor ist. Die der Stromebene parallelen Componenten reduciren sich auf Null. Denken wir uns die Stromebene dem magnetischen Meridian parallel und die Nadel um den Winkel w aus diesem abgelenkt, so ist

$$(X_1 + X_2) l \cos w$$

das Drehungsmoment, mit welchem der Strom auf die Nadel wirkt, während

das Drehungsmoment ist, mit welcher die Horizontal-Componente des Erdmagnetismus die Nadel in den magnetischen Meridian zurückzudrehen strebt. Im Zustande des Gleichgewichtes ist:

$$(X_1 + X_2) \cos w = 2Hm \sin w.$$

Substituirt man statt X_1 und X_2 die obigen Werthe, und vollführt die nöthigen Reductionen, so erhält man

$$i = \frac{H \tan g w}{\pi k \rho^{3}} \cdot \frac{(x_{1}^{2} + \rho^{3})^{\frac{1}{2}} (x_{1}^{2} + \rho^{3})^{\frac{1}{2}}}{(x_{1}^{2} + \rho^{3})^{\frac{1}{2}} + (x_{1}^{2} + \rho^{3})^{\frac{1}{2}}} = \frac{H \tan g w}{\pi k \rho^{3}} F.$$

Unsere Aufgabe ist nun, zu zeigen, dass, wenn wie bei Gaugain's Boussole der Abstand des Nadel-Centrums von jenem des Kreises ein Viertel des Kreisdurchmessers ist, F ein von dem Ablenkungswinkel w unabhängiger, constanter Ausdruck ist. Es sei nun x der Abstand des Mittelpunktes der Magnetnadel von der Stromebene, so dass

$$x_1 = x + l \sin w$$
; $x_2 = x - l \sin w$.

Sustituirt man diese Werthe in F und setzt zur Abkürzung

$$x^2 + \rho^2 + l^2 \sin w^2 = A$$

34

so erhält man, wenn man die Ausdrücke für $(x_1^2 + \rho^2)^{\frac{1}{2}}$ und $(x_2^2 + \rho^2)^{\frac{1}{2}}$ nach dem binomischen Satze bis inclusive der Glieder mit sin x^2 entwickelt:

$$F = \frac{A^{\frac{1}{2}} \left(1 - \frac{4x^4 l^3 \sin w^4}{A^3}\right)^{\frac{1}{2}}}{2\left(1 + \frac{3}{2} \frac{x^4 l^3 \sin w^4}{A^3}\right)}.$$

Es ist aber auch

$$A = (x^2 + \rho^2) \left(1 + \frac{l^2 \sin w^2}{x^2 + \rho^2}\right)$$

und man kann daher, wenn man nur die Glieder behält, die sin w^2 enthalten, statt $\frac{x^3 l^3 \sin w^3}{A^3}$ setzen: $\frac{x^3 l^3 \sin w^3}{(x^3 + \rho^2)^3}$.

Auf diese Weise erhält man:

$$F = \frac{(x^{3} + \rho^{3})^{\frac{1}{4}} \left(1 + \frac{l^{3} \sin w^{3}}{x^{3} + \rho^{3}}\right)^{\frac{1}{4}} \left(1 - \frac{4x^{3} l^{3} \sin w^{3}}{(x^{3} + \rho^{3})^{3}}\right)^{\frac{1}{2}}}{2 \left(1 + \frac{3}{2} \frac{x^{3} l^{3} \sin w^{3}}{(x^{3} + \rho^{3})}\right)}.$$

Wenn man auch bei den weiteren Entwickelungen bei den Gliedern mit sin w² stehen bleibt, hat man:

$$\begin{split} F &= \frac{1}{2} \left(x^2 + \rho^3 \right)^{\frac{1}{4}} \left(1 + \frac{3}{2} \frac{l^3 \sin w^3}{x^3 + \rho^3} \right) \left(1 - \frac{3}{2} \cdot \frac{4x^2 \, l^3 \sin w^3}{(x^3 + \rho^2)^3} \right) \\ & \left(1 - \frac{3}{2} \frac{x^2 \, l^3 \sin w^3}{(x^3 + \rho^3)^3} \right). \end{split}$$

Durch wirkliche Multiplication ergibt sich, wenn man überdies das Glied $\frac{3}{2} \frac{l^2 \sin^2 w^2}{x^3 + \rho^2}$ im Zähler und Nenner mit $x^2 + \rho^2$ multiplicirt:

$$F = \frac{1}{2} \left(x^2 + \rho^2\right)^{\frac{1}{2}} \left\{1 + \frac{3}{2} \left(\rho^2 - 4x^2\right) \frac{l^2 \sin w^2}{(x^2 + \rho^2)^2} \right\}.$$

oder

$$i = \frac{(x^3 + \rho^3)^{\frac{3}{4}}}{2\pi k \, \rho^3} \, H \, tang \, w \, \left. \left\{ 1 + \frac{3}{2} \, \left(\rho^3 - 4x^3 \right) \, \frac{l^2 \, sin \, w^3}{(x^3 + \rho^2)^3} \right\} \, .$$

woraus sich für $x = \frac{\rho}{2}$ sogleich die Proportionalität zwischen i und tang w für jeden Werth von w (natürlich innerhalb gewisser Grenzen) ergibt.

Der in den Klammern stehende Ausdruck stimmt nicht völlig mit dem von Bravais überein, vielmehr enthält dieser noch einige Glieder, die in unserem Ausdrucke fehlen; es rührt dies davon her, dass wir die der Stromebene parallelen Componenten Y=o setzten und auch in den Ausdrücken für X gewisse Glieder vernachlässigten, die bei Bravais noch berücksichtigt sind, da aber die in obiger Formel nicht erscheinenden Glieder bei diesem mit dem Factor (ρ^2-4x^2) multiplicirt sind, und somit für $x=\rho$ verschwinden, ist diese Verschiedenheit nicht der Art, dass sie das von uns angestrebte Resultat zu beeinträchtigen vermöchte.

Verträge.

Beitrag zum Haushalte der sehr lästigen Viehbremsen (Tabanidae).

Von dem w. M. V. Kellar.

Der Haushalt der "Tabanidae, Viehbremsen oder Brems-Fliegen, einer den Hausthieren sehr lästigen Familie der Zweiflügler (Diptera) war bisher nur sehr unvollkommen bekannt.

Wir wussten nur, dass diese Insecten-Gruppe sehr artenreich sei, dass sie fast über die ganze Erde verbreitet, dass wärmere Klimate eine weit grössere Anzahl von Arten erzeugen, als gemässigte und kalte, dass die Arten der heissen Zone meist grösser seien als jene der kälteren Erdstriche; dass endlich unter allen Klimaten sehr bösartige Geschöpfe dieser Familie existiren.

Jedermann weiss, wie viel unsere Pferde und das Rindvieh in den heissen Sommermonaten sowohl auf der Weide als bei der Arbeit, vorzüglich in der Nähe von Wiesen, von Wäldern und in den Auen von grossen Fliegen, die man Viehbremsen oder Brems-Fliegen nennt, zu leiden haben. Am allerhäufigsten zeigen sich diese Fliegen in wasserreichen Gegenden. Sie setzen sich bei Pferden und dem Rind hauptsächlich an jene Körpertheile, wohin die Thiere weder mit dem Schwanze noch mit dem Kopfe langen können, um diese Quälgeister zu vertreiben.

Das arme Vieh ist in beständiger Unruhe; es stampft mit den Füssen; schlägt mit dem Schwanze und Kopfe bald nach dieser, bald nach jener Seite, die ganze Haut befindet sich in krampfhaften Zuckungen und das Blut fliesst oft wie nach einer Aderlass aus den verwundeten Stellen.

Es ist übrigens kein Wunder, dass die stärkste Haut von der Fliege durchbohrt wird, wenn man den Apparat betrachtet, mit welchem ihr Mund versehen ist. Sechs Werkzeuge, von denen einige die Form einer Nadel, die anderen einer zweischneidigen Lanzette haben, setzen den, eine steife Röhre darstellenden inneren Rüssel der Weibchen der Bremsfliegen — denn nur diese sind die blutdürstigen Vampyre, — zusammen, während dieses zugleich stechende und saugende Instrument von einer zu einem Saugnapf erweiterten Scheide, der Unterlippe, in seiner Wirkung unterstützt wird. In Folge dieser Einrichtung vermag das Insect nicht blos die Haut der Pferde und des Rindes zu durchbohren, sondern gewisse Arten, die in Africa einheimisch sind, sollen ein Gleiches beim Kameel, dem Elephanten und selbst dem Rhinoceros bewirken, wie der englische Reisende Bruce in seiner Reisebeschreibung durch Africa berichtet. Seiner Angabe zufolge (s. Travels in Africa, 8. II, 315) sind die Bewohner einiger Gegenden von Abyssinien zur Regenzeit gezwungen, ihre Wohnsitze mit ihren Heerden zu verlassen und nach den Sandgegenden zu ziehen. "Sobald diese Fliegen, erzählt er, welche in äthiopischer Sprache "Tsalt-salya", in arabischer "Zimb" genannt werden, erscheinen und ihr Gesumse gehört wird, verlässt alles Vieh seine Weide und rennt wild im Freien herum, his es endlich vor Müdigkeit. Schrecken und Hunger todt niederstürzt. Bei den Kameelen verursachen die Stiche Beulen und Geschwüre, an denen sie häufig zu Grunde gehen. Selbst den Elephanten und das Rhinoceros schützt die dicke Haut vor den Angriffen dieser Fliegen nicht."

Indess nicht blos in den gemässigten und heissen Erdstrichen haben die dem Menschen nützlichen Thiere von dieser Plage zu leiden, auch die kalten Zonen werden während ihres kurzen Sommers von dieser Geissel heimgesucht. Das Rennthier in Lappland wird von einer kleineren, auch bei uns einheimischen Bremsfliegen-Art, der Haematopota pluvialis, so grausam verfolgt, dass oft die ganze Haut in Folge der Stiche mit einem Grind überzogen ist.

Trotz der grossen Verbreitung dieser Insecten-Familie und trotzdem, dass sie in ihrer ausgebildeten Form und in ihren schädlichen Wirkungen seit den ältesten Zeiten bekannt sind, — denn das bei den griechischen Schriftstellern unter dem Namen nototpos" oft angeführte Insect, war nichts anderes als ein Tabanid — ist dennoch, wie bereits bemerkt worden, ihre Öconomie bei weitem noch nicht hinlänglich erforscht.

Vor fast hundert Jahren gelang es zwar dem berühmten schwedischen Naturforscher Baron Degeer beim Umgraben einer Wiese die Larven des Tabanus bovinus (Ochsenbremse), einer auch bei uns zu den lästigsten gehörigen Art zu entdecken, und vor 3 Jahren fanden meine zwei jungen Wissenschafts-Freunde, die Herren Friedr. Brauer und Gust. Göszy eine zweite Art, den Tabanus autumnalis, im Larven- und Puppenzustande an den Ufern und den seichten Stellen des Wienflusses; indess es blieb noch unbekannt, wohin und auf welche Art die Fliegen ihre Eier absetzen, wie lang der Eizustand dauere, welche Gestalt die jungen Larven haben, und wovon sie sich nähren. Endlich wusste man gar nichts darüber, ob und welche Feinde diese so äusserst lästigen und mitunter gefährlichen Insecten haben.

Durch einen glücklichen Zufall sind wir in den letzten Tagen in der Erkenntniss der Öconomie dieser wichtigen Insecten-Familie um einige Schritte vorgerückt. Herr Jos. Mann, erster Außeher am k. k. zoologischen Cabinete, welcher während des Monats Mai und Juni eine naturwissenschaftliche Reise nach Krain gemacht, hat Gelegenheit gehabt, bei Wippach auf einer feuchten Wiese das Weibchen des Tabanus quadrinotatus beim Eierlegen zu beobachten. "Den 25. Juni Vormittag um 11 Uhr, meldete er mir, fand ich einen Tabanus, wie er anfing an den Grasstengel Eier abzusetzen; da er nicht wegflog, schnitt ich den Stengel ab und nahm ihn mit nach Hause. Gegen 2 Uhr flog der Tabanus an das Fenster, ich sah sogleich nach dem Grasstengel und fand daran einen Klumpen von Eiern vollendet. Sie waren anfangs wachsgelb, später färbten sie sich etwas graulich und nach zwei Tagen erschienen sie fast schwarz."

Herr Mann fand dann im Freien noch mehrere ähnliche Eierklumpen auch auf andere Pflanzen abgesetzt und überbrachte alle nach Wien.

Wir haben also durch diese Beobachtung erfahren, dass die Bremsfliege ihre Eier nicht unmittelber in die Erde lege, wo ihre Larve lebt und der weiteren Entwickelung entgegengeht. Wir haben ferner gelernt, dass die Fliege nicht, wie so viele andere Fliegen-Arten ihre Brut zerstreut, sondern auf einen Haufen absetze; wir konnten uns ferner von der Zahl der Nachkommenschaft einer Bremsfliege überzeugen, die sich auf 350 bis 400 beläuft. Es ist uns ferner geglücht die eben aus dem Ei geschloffenen jungen Bremsfliegenlarven und die Dauer des Eizustandes kennen zu lernen; es kamen nämlich aus den mitgebrachten Eiern nach 10—12 Tagen die Larven zum Vorschein.

Wir sind indess durch diese dem Anschein nach sehr unbedeutende Beobachtung noch zu einer andern sehr wichtigen Kenntniss gelangt; wir haben nämlich erfahren, welche Schranken die Natur der so ausserordentlichen Vermehrung eines für andere Glieder der Schöpfung so lästigen Thierfamilie entgegensetzt.

Aus den Eierklumpen, welche Herr Mann mitgebracht, haben sich nämlich nicht blos Tabanus-Larven entwickelt, sondern auch ein anderes bereits vollkommenes Insect, welches einer ganz andern Ordnung und Familie angehört, ein Thierchen das zu dem ausserordentlich grossen, bisher noch unübersehbaren Heere der Schlupfwespen (Ichneumonidae) gehört.

Es hat also gleich nachdem das Tabanus-Weibchen seine Eier gelegt, sich eine Schlupfwespe eingefunden, die ihre Eier in die der Bremsfliege abgesetzt. Es war bisher allerdings schon bekannt, dass es Schlupfwespen gebe, welche ihre Verwandlung in den Eiern von Schmetterlingen, vorzüglich von Bombyciden, und von den Feld- oder Baum-Wanzen, Cimiciden, bestehen, und auf diese Art zur Verminderung auch vieler schädlichen Arten mitwirken. Dass aber die Eier der Fliegen (Diptera) ihre eigenen Schlupfwespen haben, war bisher noch nicht beobachtet worden.

Von welch geringer Grösse diese Schlupfwespen sein müssen, geht daraus hervor, dass das Ei der Bremsfliege, welches ihr zur Behausung und Nahrung gedient, kaum eine Linie lang und ½, Linie dick ist, und dass wahrscheinlich mehrere Schlupfwespen, wie dies bei den Schmetterlings-Eiern schon beobachtet worden, sich in ein einziges solches Ei theilen mussten. Bei vorgenommener Messung eines noch frischen Thierchens hat sich ergeben, dass es ½ Linie lang sei.

Dadurch, dass wir durch Mann's Beobachtung mit voller Gewissheit, die Eier einer Tabanus-Art kennen gelernt, und erfahren. wohin sie gelegt werden, wird es uns gelingen auch die Eier anderer Arten aufzufinden; denn Insecten derselben Familie und Gattung stimmen in allen ihren Entwickelungsphasen mit einander ziemlich überein.

Es wird, wenn der Haushalt auf diese Art auch den sehr lästigen Arten bekannt geworden, vielleicht auch der Mensch zu ihrer Vertilgung beitragen können.

In Folge der eben besprochenen Beobachtung habe ich versucht, in unserer Gegend Tabanus-Eier aufzufinden, und es ist mir wirklich gelungen, auf einer feuchten Wiese bei Dornbach frischgelegte Eier einer anderen Bremsfliegen-Art aufzufinden, aus welchen sich nach 9 Tagen ganz ähnliche Larven entwickelt, wie aus den von Mann aus Wippach mitgebrachten Eiern des Tab. 4 notatus und Herr Wirthschafts-Rath Fr. Hofman hat die Eier einer dritten Art aufgefunden.

Ich war auch so glücklich an den Eiern eine ähnliche, jedoch specifisch verschiedene Schlupfwespe anzutreffen, welche eben damit beschäftigt war, ihre Eier in die Bremsfliegen-Eier unterzubringen. Um zu erfahren, wie viel Zeit diese Schlupfwespe zu ihrer Entwickelung brauchen, bewahrte ich die aufgefundenen Tabanus-Eier in einem mit fein durchlöchertem Papier verbundenen Fläschchen auf und wurde am 15. Tage mit einer Nachkommenschaft von mehreren Hunderten von Schlupfwespen beglückt. Ich konnte aus der Menge der Parasiten mit voller Gewissheit annehmen, dass sich aus einem Tabanus-Ei mehr als eine Schlupfwespe entwickelt.

Ich habe bei dieser Gelegenheit auch mit voller Gewissheit die Unterschiede der beiden Geschlechter der Schlupfwespe in Erfahrung bringen können, was bei diesen Thierchen, wenn man sie nicht in der Entwickelung beobachtet, sehr schwer zu ermitteln ist. Die Beschreibung und Abbildung der von mir beobachteten Parasiten der Tabanus-Eier werde ich nachträglich zur Publication mittheilen, da es noch nicht möglich gewesen, die Untersuchung und Zeichnung zu beendigen.

Untersuchungen über die Schichtung des Darmcanals der Gans, über Gestalt und Lagerung seiner Peyer'schen Drüsen,

angestellt von J. Basslinger, im k. k. physiologischen Institute zu Wien.

(Mit II Tafein.)

(Vorgelegt von dem w. M., Hrn. Prof. Brücke.)

Die Peyer'schen Drüsen des Vogeldarmes sind in der letzten ihnen gewidmeten Arbeit, einer vor 20 Jahren erschienenen Abhandlung Böhm's 1), von denen der Säugethiere wesentlich unterschieden worden, indem er ihnen Ausführungsgänge zuschreibt. Um die Resultate zu schildern, welche mich an der Gans eine genauere mikroskopische Untersuchung derselben gelehrt hat, muss über den Bau und die Schichtung des Darmcanals das Nöthigste vorausgeschickt werden. Die dieser Abhandlung beigegebenen Zeichnungen verdanke ich der Theilnahme eines vortrefflichen gleichbestrebten Freundes, dem hier, noch ehe ich an die Entwickelung meines Gegenstandes schreite, mein herzlicher Dank gebracht sei.

I. Structur und Schichtung des Darmrohrs.

Jeder seiner drei äusserlich unterscheidbaren Theile hat auch eine andere Schichtung.

a) Der Dünndarm.

Man trifft, von aussen nach innen gehend:

- 1. Das Peritoneum, von dem des Sängethierdarmes durch grössere Breite ³) unterschieden, die aber stellenweise sehr bedeutend variirt. Die Chylusgefässe, schon He w son bekannt, bilden darin regelmässig-polygonale Netze, die man mit dem milchweissen festgeronnenen Inhalt häufig recht hübsch injieirt findet; ihr längster Durchmesser folgt im Allgemeinen der Längsaxe des Darmrohrs.
- 2. Die äussere Längsmuskelhaut. Sie besteht, wie die drei folgenden, aus contractilen Faserzellen, die durch umschnürendes Bindegewebe in Bündel geschieden werden. Die Bündel dieser äussern Schichte sind aber nicht immer auf grössere Strecken hin

¹⁾ L. Böhm de glandularum intestinalium structura penitiori. Berot. 1835. p. 28-30.

²⁾ Ich gebe keine Messungen an; die Abbildungen drücken die relative Breite der Schiehten sehr gut aus.

zusammenhängend, so dass ein durch scharfe Contouren begrenztes Lager entsteht, sehr häufig stehen sie auffallend locker (z. B. im Duodenum) und es schieben sich die Bindegewebszüge des Peritoneums zwischen die Muskelbündel hinein. Im letzteren Falle ist also das Peritoneum nicht eine blosse Umhüllungshaut des Darmrohrs, die sich leicht abziehen lässt, sondern man bekommt beim Abziehen desselben auch stets losgerissene Bündel der Längsmuskelhaut, die durch quere Bindegewebsbrücken am Peritoneum niedergehalten werden. Da an diesen Stellen ein Theil der Bindegewebsmasse des letzteren in die Muskelschicht aufgenommen wird, so ist dies der Grund der angeführten Schwankungen in der Dicke der Peritonealschicht.

- 3. Die äussere (breite) Ringmuskelhaut, von der 4—5fachen Breite der vorigen; ihre contractilen Faserzellen haben zuweilen gabelförmig gespaltene Enden.
- 4. Die innere (schmale) Ringmuskelhaut. Ihre contractilen Faserzellen sind schmäler als die vorigen, daher sie auf Querschnitten kleinere Kreise zeigen, auch die Bündel sind kleiner. Da bei dieser Schmalheit der Elemente mehr Gelegenheit zur totalen Reflexion gegeben ist, auch dieselben etwas dichter zusammengedrängt sind, erscheint diese Schicht auf allen Schnitten dunkler gefärbt als die vorige. Dieses und der Umstand, dass beim Zerfasern eines Durchschnittes der Riss an der Grenze der Schichte 3 und 4 mit besonderer Leichtigkeit geschieht, sind die Ursache, dass man dieselben nicht als eine einzige zusammenfassen darf, obgleich sie durch nichts Zwischenliegendes getrennt sind.
- 5. Die innere Längsmuskelhaut 1). Ihre beiden Ränder laufen auf Querschnitten nicht parallel wie die der übrigen Schichten, sondern während die äussere Contour mehr weniger eine gerade Linie vorstellt, springt die innere wellenartig vor, mit ihren Erhebungen gegen entsprechende Vertiefungen an der Basis der Krypten hinsehend. Auf Längsschnitten sieht man von derselben breite Bündel abgehen, welche den gleich anzuführenden Bindegewebstreifen durchbohren, an die convexe Basis der Krypten sich anlegen und zwischen ihnen weiter verlaufen.

¹⁾ leh will künftig die unter 2, 3, 4 und 5 beschriebenen Muskelschichten der Kürze wegen als erste, zweite, dritte und vierte Muskelschicht bezeichnen.

6. Ein sehr schmaler, heller, besonders an Querschnitten deutlicher Bindegewebsstreisen. Er ist von 2 Wellenlinien begrenzt, deren eine eben geschildert wurde, deren zweite von der Basis der Krypten in der Weise gebildet wird, dass die nach aussen sehenden Wellenberge durch diese Basis, die nach innen sehenden Wellenthäler aber durch den Zwischenraum zweier Krypten entstehen. Durch das Zusammenfallen der entgegengesetzten Biegungen wird die Breite dieser Schicht überall gleich erhalten. Vom gewöhnlichen wellenförmigen Bindegewebe verschieden, gleicht es in seiner Structur dem in der Schleimhaut des Säugethierdarms.

Auf Querschnitten sieht man darin oft zahlreiche (einzelne oder gruppirte) Durchschnittspunkte von Muskeln; wenn diese manchmal zu Linien an einander gereiht sind, so sieht es aus, als ob von den nach innen sehenden Wellenbergen der vierten Muskelschicht feine radienartig sich ausbreitende Muskelbündel zur Basis der Krypten gingen (ähnlich den Papillares des Herzens), eine Täuschung, die bei genauerer Untersuchung alsbald verschwindet.

7. Die Schicht der Krypten und Zotten. Die bisher besprochenen Verhältnisse sind auf Taf. I dargestellt worden: Fig. 1 stellt einen Querschnitt, Fig. 2 einen Längsschnitt des Dünndarms vor; Fig. 9 zeigt die von der vierten Muskelschicht zwischen den Krypten aufsteigenden Bündel; Fig. 8 stellt den Bindegewebsstreifen aus einem Querschnitte bei stärkerer Vergrösserung vor.

Die Krypten. Je 2 benachbarte Krypten weichen nach abwärts, gleich an einander gelehnten Säcken, zu einem dreieckigen Zwischenraume auseinander, der nebst jenem Bindegewebe auch glatte Muskelfasern enthält, die der Länge nach verlaufen. Zwar trifft man dieselben, man mag einen Längs- oder Querschnitt gemacht haben, meist querdurchschnitten, nur bei günstiger Schnittrichtung trifft man hier und da einzelne, ja selhst alle der Länge nach verlaufend an; allein da alle diese Bündel in die Zotten ziehen, so verlaufen sie in solchen Fällen zu Zotten, welche über oder unter der Schnittebene liegen. Man sieht auf Querschnitten auch un mittelbar unter der Basis der Krypten einen ganz schmalen Streif organischer Muskelfasern, man hat dann jene Bündel in dem Momente getroffen, wo sie sich um die Basis der Krypten herumschwingen. Der Umstand also, dass dieser Muskelstreifen mit der inneren Längsschichte durch jene Bündel zusammenhängt, macht, dass man keine Muskelschicht

un mittelbar unter den Krypten annehmen darf. Hier und da glaube ich auch bemerkt zu haben, dass einzelne längsverlaufende Fasern sich an die Aussenwand der Lieberkühn'schen Krypten inseriren.

Die Zotten, durch ihre Länge ausgezeichnet, erscheinen in vierfacher Gestalt: cylindrisch, breitgedrückt, kegelförmig, keulenformig; dass diese Gestalten in den verschiedenen Abschnitten des Darmcanals kleinen Schwankungen unterliegen, ist von selbst klar. Oft ist die Spitze ausgerandet, ja in 2 (selbst mehrere) Zungen gespalten, was entweder in der Spaltung einer einzelnen oder in theilweiser Verwachsung zweier Nachbarzotten seinen Grund hat. Beim Aufschneiden eines Darmstücks erblickt man sie entweder schlaff, mit umgebogenen Spitzen auf ihre Nachbarn überhängend, was den Anschein eines verworrenen Gestrüppes gibt, oder (und dies kommt vorzüglich den breiten Zotten zu) sie stehen straff und getrennt da und zeigen eine sehr regelmässige Anordnung. Da diese Anordnung, wie viele Exemplare man auch untersuchen mag, immer in derselben Weise wiederkehrt, so liegt ihr ein Gesetz zu Grunde. Die Zotten sind nämlich in Ringe geordnet, welche dem Verlaufe der Ouermuskeln entsprechen; alle Zotten eines Ringes sind mit ihren breiten Seiten unter einander parallel, zugleich gegen die Längsaxe des Darmes in der Weise gedreht, dass wenn die eines oberen Ringes mit derselben einen Winkel nach der rechten Seite machen, die des nächst unteren einen ähnlichen nach der entgegengesetzten Seite bilden, dadurch entstehen zweizeilige schiefe Kämme und indem sich dieses Verbältniss beständig wiederholt, jenes Bild der Regelmässigkeit.

Hinsichtlich der Structur der Zotten werde ich mehr die Autorität berühmter Beobachter als meine eigenen Resultate nennen, obwohl ich alles mit grosser Gewissenhaftigkeit nachgesucht habe. Den Chylusraum habe ich diesen Winter, wo ich die Chylusgefässe der Gans zu studiren begonnen hatte, sehr oft gesehen und erinnere mich, dass in manchen Zotten deren 2, selbst 3 vorkamen; fast stets war auch in der Zottenspitze jene dunkle Chylusmasse angehäuft, welche Brücke beim Wiesel und bei der Ratte beschreibt 1). Leider ist der Sommer diesen Untersuchungen wenig günstig, da die Chylus-

¹⁾ E. Brücke "über die Chylmageffisse und die Resorption des Chylus", pag. 11.

Injection sehr bald verdirbt. Die Blutgefässe sind an Hyrti's schönen, überall verbreiteten Präparaten weit prächtiger zu sehen, als ich sie beschreiben könnte. Was die Muskelfasern betrifft, so habe ich bereits oben gezeigt, wie von der innersten Muskelschichte radiale Bündel in die Zotten aufstreben. In diesen selbst sind sie durch Brücke 1) nachgewiesen worden. Ringfasern sah ich nicht, obwohl ich geslissentlich darnach gesucht habe; dagegen sind die Längsfasern an gut abgespülten Zotten, die man mit Äther entfettet und dann mit Essigsäure betupft, durch ihre charakteristischen langen Kerne kenntlich. Ob eine Membrana intermedia da sei, ob nicht, kann ich nicht entscheiden. Allerdings sieht man an jeder wohlabgespülten Zotte einen blassen Rand, doch ist dieser kein nothwendiges Zeichen einer Membran, vielmehr kann man ihn bei günstiger Beleuchtung und eingelegter Blendung an jedem beliebigen Object erzeugen, z. B. isolirten elastischen Fasern; daher er durch Lichtreslexion an den Grenzen des Präparates entstehen dürste. Die Epitheliumzellen, welche dem Strahle der Spritzflasche oft sehr hartnäckig trotzen, gleichen den bei den Krypten beschriebenen. Kölliker hat über sie bemerkenswerthe Stellen 2).

Unter den verschiedenen Untersuchungsweisen der Zotten sind die Querschnitte sehr belehrend über die Vertheilung der Blutgefässe in denselben; ein solches Blättehen erhält von den regelmässig eingestreuten klaffenden Gefässöffnungen das Ansehen einer durchschnittenen mehrfächerigen Frucht, indem von der dicken Zottenwand regelmässige Septa ins Innere zu ziehen scheinen. Diese Querschnitte, die nur am essiggekochten Darm gelingen, habe ich auf zweifache Weise gemacht: entweder spannte ich ein solches Stück mit der Zottenseite nach oben in eine ebene Fläche aus und machte nach dem Trocknen die Schnitte mit sehr schräg gehaltener Messerklinge, wodurch auf der einen Seite derselben die Zotten quer getroffen wurden, auf der andern z. B. Krypten und die innerste Muskelschicht erschienen, oder ich liess es mit convexer Zottenseite eintrocknen

^{1) &}quot;Meine fortgesetzten Untersuchungen...führten mich auf ein in den Darmzotten von Menschen, Hunden, Hühnern, Gänsen etc. befindliches System von Faserzellen." Brücke: Über ein in der Darmschleimhaut aufgefundenes Muskelsystem. Sitzungeb. 1851, p. 214.

³⁾ Mikroskopische Anatomie, II, pag. 166 und 167.

und schnitt in der die Krümmung tangirenden Ebene, wobei in der Mitte des Schnittes die Zotten tiefer, an den Rändern höher getroffen waren. Weil nun aber die kleinen Zottenquerschnitte, die gerade das Wesentliche des Präparates bilden, nur sehr lose unter einander zusammenhängen, so ist die Übertragung eines solchen Schnittes auf das Objectglas schwierig; man gibt daher ein Wassertröpfchen auf die Messerklinge, damit sich das Blättchen leichter löse und ein kleines recht kugliges Tröpfchen auch aufs Objectglas, — es gleitet dann leicht hinüber. Übrigens gelingen diese Schnitte nur mit einem sehr scharfen Messer.

An ihrer Basis hängen die Zotten durch Querfalten zusammen. die aus denselben Form-Elementen als sie bestehen; man untersucht ihre Structur, indem man zwei neben einander stehende Zotten mittelst der Cooper'schen Schere ausschneidet, wobei man immer die Querfalte mitbekommt. Durch das Zusammensliessen dieser Querfalten entstehen unregelmässige Maschenräume, in deren Tiefe die Lieberkühn'schen Krypten liegen; auf die Form dieser Maschenräume und also auch auf die Anordnung der Krypten ist die obenerwähnte Stellung der Zotten von wesentlichem Einflusse. Da man die Querfalten zwischen den Zotten erst durch Auseinanderdrängen dieser letzteren sieht, und grössere Schleimhautfalten, entsprechend den Kerkring'schen Falten des Menschen, fehlen, so bietet der Dünndarm der Gans dem Auge das Ansehen einer ebenen Fläche. Fast noch schöner als am frischen, sieht man diese Falten am essiggekochten Darm, wenn man das Kochen und nachherige Trocknen erst vornimmt, nachdem man das Peritoneum und die äusseren Muskelschichten durch Abziehen entfernt und die Zotten mittelst der Cooperschen Schere verkürzt hat; ein so bereitetes Stück zeigt, wenn man es im durchfallenden Lichte unter einer starken Loupe betrachtet, die Stellen der Krypten, die wegen der geringeren Dicke der Schichte durch Helligkeit gegen ihre Umgebung sich auszeichnen, von Falten umrandet.

Brunner'sche Drüsen kommen im Duodenum (ich meine damit in Ermangelung einer festen anatomischen Grenze jenes Stück des Dünndarms, das zunächst über und unter der Einmündung des Gallengangs liegt) nicht vor.

Locale Ausnahmen von der nun beschriebenen Schichtung erscheinen gar nicht selten, verbreiten sich zuweilen selbst über eine grössere Strecke, und sollen, um Andern ähnliche Verwirrungen zu ersparen (und weil meine Darstellung dadurch an Wahrheit gewinnt) hier angeführt werden:

- a) es drängt sich ein Theil der Bündel des Peritoneums in die äussere Längsmuskelhautein, wodurch dies in zwei scharf begrenzte Schichten zerfällt, die durch ein Bindegewebsstratum getrennt sind;
- b) in ähnliche Schichten kann die äussere Längshaut auch zerfallen durch Eindrängen der untersten Bündel des zweiten Muskelstratums, wo man dann auf Querschnitten die Stümpfe der Längshaut durch dazwischen laufende quere Bündel in 2 Reihen getrennt findet, als ob 2 äussere Längsschichten, durch eine dazwischen gelagerte dünne Querschicht getrennt, vorhanden wären;
- c) endlich kann auch die innere Längshaut durch Eindrängen der obersten Bündel des dritten Muskelstratums in ähnlicher Weise zerfallen. Es ist mir nicht gelungen, in diesen Störungen eine regelmässige Wiederkehr nachzuweisen, und ich muss sie daher für Zufälligkeiten halten, wie sie durch den Verlauf der Blutgefässe oder durch die Nähe grosser Peyer'scher Drüsen, die man aber auf dem Schnitt nicht gerade getroffen zu haben braucht, veranlasst sein möchten.

Dem 7—11" langen Divertikel, das der Dünndarm ungefähr in der Mitte seiner Länge trägt und welches ein Rest des embryonischen ductus omfalo-mesentericus ist, hat Rud. Wagner in den Münchner Denkschriften eine eigene Abhandlung gewidmet 1). Wenn man es von der Darmhöhle her aufschneidet, so findet man, wie Wagner bemerkt, dass auf seiner inneren Fläche die Zotten fehlen, dass die Zotten des Dünndarms sich in einem scharfen Ringe gegen dasselbe abgrenzen und dass die Schleimhaut seiner inneren Fläche von Längsthälern durchzogen ist, wie wenn man von oben her in ein schluchtenreiches Gebirg hineinsähe. Diese Unebenheiten sind die Kuppen grosser Peyer'scher Drüsen, die gerade in dem kleinen Raume in so unerhörter Menge zusammengedrängt sind, dass

¹) Abhandtungen der mathem.-physikalischen Classe der königl. baierischen Akademie der Wissenschaften. II. München 1837, pag. 286. Rud. Wagner: "Über das Divertikel am Darmcanal bei mehreren Vögeln."

die Musculatur mit Ausnahme einer äusseren Längshaut, die nie fehlt, stellenweise ganz ausgeschlossen wird. Die Schichtung zeigt sich, nach welcher Richtung man auch schneiden mag, mit Ausnahme dieser Längshaut (die bald in Bündel getrennt ist, bald ein dichtes und ungewöhnlich breites Stroma bildet) höchst undeutlich und verworren; doch trifft man zuweilen Schnitte, wo die Peyer'schen Follikel weniger dicht stehen, und man erkennt dann an deren schmalen Zwischenräumen, dass die Schichtung in ihrer Anlage der des Dünndarms gleicht, dass aber durch das stete Auseinanderweichen an den Follikeln die Fasern sich vielfach durchkreuzen, ein Theil der Ringmuskeln stellenweise längsverlaufend wird, breite Bindegewebsstreifen zwischen sich aufnimmt etc. Hier und da stehen auch halbverdrängte Krypten und ich habe selbst einzelne Zotten gesehen.

b) Die Blinddarme.

Das obere engere cylindrische Stück derselben zeigt schon dem blossen Auge sehr dicht stehende Zotten wie im Dünndarm (nur etwas länger und schmäler) und zahlreiche Peyer'sche Inseln; untersucht man seine Structur, so findet man sie der des Dünndarms gleich, nur dass die Bündel der inneren Längshaut von vielem Bindegewebe durchzogen sind, daher diese Schicht etwas breiter ist.

Ungefähr 2 Zoll von der Einmündung in den übrigen Darm wird die Schleimhaut glatt, indem die Zotten plötzlich schwinden, die erst zahlreichen Peyer'schen Follikel auffallend abnehmen, dafür bekommt die Schleimhaut Längsfalten, 6—7 an der Zahl, die, manchmal gablig sich theilend, gegen das blinde Ende des Coecums hinablaufen, aber schon etwas vor diesem verstreichen. Von jenem Punkte an, wo die Zotten schwinden, hat das Darmrohr, das sich nun keulenförmig erweitert, auch eine veränderte Schichtung angenommen 1), welche ganz dem Rectum des Menschen gleicht:

- 1. Peritoneum.
- 2. Äussere Längsmuskelhaut.
- 3. Ein breites (nicht mehr doppeltes) Ringlager.
- 4. Eine ziemlich breite Bindegewebsschicht.

¹⁾ Sie bold's und Stannius Lehrbuch der vergleichenden Anatomie, II, Berlin 1846, pag. 302, sagt zwar, dass sich manchmal die Zotten in die Höhle des Coecums hinein erstrecken, allein die Veränderung der Schichtung erwähnt es nicht.

- 5. Ein dünnes Längsmuskellager.
- 6. Ein eben solches Ringlager.
- 7. Die Schicht der Krypten (durch Faltenräume von einander getrennt), keine Zotten.

Diese Schichtung ist auf Taf. I, Fig. 6, im Querschnitte und Fig. 7 im Längsschnitte dargestellt. Die beiden innersten Muskelschichten sind sehr oft ins Bindegewebe eingebettet, ihre Elemente sehr diffus, und manchmal beide, häufiger aber das innere Längslager nicht als Schichte deutlich.

c) Der Dickdarm.

Dieser weiteste Theil des Darmcanals, der nach Stannius blos dem rectum der Säugthiere entspricht, zeigt an seiner Innenfläche Falten, die von beiden Seiten her nach abwärts convergiren. Dass er bis zum Kloakenrande mit sehr dichtgedrängten Zotten besetzt ist, ist schon länger bekannt. Seine Schichtung ist folgende:

- 1. Das Peritoneum.
- 2. Die äussere Längsmuskelhaut, die oft sehr breit angetroffen wird. Ihre Bündel sind nicht, wie beim Menschen, in drei sogenannte Tänien zusammengedrängt.
- 3. Die Ringmuskelhaut, deren Bündel durch ein sehr reichliches Bindegewebslager von einander getrennt werden, wodurch die charakteristische Form des Taf. I, Fig. 3 und 4 dargestellten Quer- und Längsschnittes entsteht. Es ist jedoch zu bemerken, dass diese Muskelschichten keineswegs so regelmässig sind als im Dünndarm, vielmehr sich mannigfaltig durchflechten, und es kann geschehen, dass die Ringmuskelschichte auf Querschnitten eine Menge längsdurchschnittener Bündel zeigt, dass also ein Querschnitt in gewissem Sinne dem Längsschnitte ähnlich wird.
 - 4. Die innere Längsmuskelhaut.
- 5. Die Schicht der Krypten und Zotten. Die Krypten sind etwas weniger regelmässig gestellt als im Dünndarm, an der Basis mehr gewunden; die Zotten sind niedriger aber viel breiter, auch von etwas anderer Gestalt. Sie stehen eng gedrängt (bei der Ente dagegen, wo sie breite Zungen bilden, sind sie in zierliche Längsreihen geordnet); unmittelbar vor dem Übergange in das hornige Epithelium des Afters verschmelzen sie durch seitliche Verwachsung zu sehr regelmässigen quergestellten Blättchen.

Fassen wir die Resultate kurz zusammen, um dann diesen Darmcanal mit dem der Säugethiere zu vergleichen, so finden wir:

- 1. Vom Magen gegen den After ist ein beständiges Abwärtsrücken des Bindegewebes zu bemerken; denn dieses lag im
 Dünndarm nach innen von der vierten Muskelschicht, im Coecum nach
 innen von der zweiten, im Rectum in der zweiten selbst.
- 2. Das Schema des Dünndarms ist: eine dicke Ringmuskelmasse zwischen zwei dünneren Längshäuten 1), deren jede an ihrer dem Ringlager abgewendeten Seite eine Bindegewebsschicht erhält; dies gilt auch für den oberen Theil des Coecums. Lassen wir die innere Bindegewebsschichte in der angegebenen Weise nach abwärts rücken (die äussere, das Peritoneum, ist stabil) und breiter sein, während gleichzeitig die Zotten schwinden und das innere Längslager in ein inneres Ring- und äusseres Längslager zerfällt, so hat man das Schema für den unteren Theil des Coecums. Lässt man, während alles Andere wie im Dünndarm bleibt, das Bindegewebe nicht mehr als selbstständige Schicht erscheinen, sondern zwischen die Bündel der Ringhaut treten, und die Regelmässigkeit des Verlaufs der Muskelbündel abnehmen, so hat man den Dickdarm.
- 3. Im Dünndarm und im oberen Theile des Coecums wird der innere Saum der Ringmuskelmasse durch ein besonderes Lager kleinerer contractiler Faserzellen gebildet, wovon in den übrigen Abschnitten des Darmcanals nichts zu sehen ist.

Die Vergleichung des nun festgestellten Bildes mit dem des Menschen- und Säugethierdarms zeigt folgende Unterschiede:

- a) Dickdarm und Coecum haben bei diesen vollkommen gleichen Bau; bei der Gans differiren sie, und zwar ist das untere Coecum dem Rectum der Säugthiere gleich.
- b) Der Dickdarm der Gans trägt Zotten.
- c) Dünndarm: die Zahl seiner Muskelschichten ist dieselbe wie beim Menschen, aber sie sind anders gelegt, so dass wenn

¹⁾ Ich muss also Stannius widersprechen, wenn er Seite 298 seines Lehrbuches allzu allgemein sagt: "Ihre Muskelhaut (die der Speiseröhre), welche gleich der des ganzen Tractus intestinalis durch äussere Quer- und innere Längenfascikel gebildet wird etc. So richtig dies für den Ösophagus ist (eine Ausnahme, indem sonst bei Muskelschichtungen immer die Längenfasern nach aussen von den queren liegen), so unwahr ist dies in der Gans für den Tractus intestinalis.

wir sie bei der Gans durch ausdrücken, ihre Lage beim Menschen ist; dabei ist die äussere Ringmuskelhaut so stark entwickelt, dass sie alle drei andern zusammen an Breite übertrifft und den dicksten Theil der Darmwand ausmacht.

- d) Die Gegenwart jener Schicht kleinerer Faserzellen.
- e) Das submuköse Bindegewebe, das beim Menschen die beiden äusseren Muskelschichten von den inneren trennt, fehlt als besondere Schicht gänzlich.
- f) Der Mangel des submukösen Bindegewebes, worin beim Menschen die stärksten Gefässverzweigungen liegen, bewirkt hier eine Lagen veränder ung derselben, indem sie unmittelbar unter dem Peritoneum liegen (das man von ihnen unverletzt und fast gefässfrei abziehen kann).
- g) Derselbe bewirkt auch das Fehlen einer selbstständigen Schleimhaut-Musculatur.

II. Die Peyer'schen Drüsen.

"Plane novam atque insignem speciem glandulae Peyeri in intestinis avium nobis offerunt, ut primo intuitu nihil quidquam eis cum plexibus mammalium commune esse videatur, quam quod iisdem ac illi locis insidentes reperiantur. Quod enim in mammalibus maxime in conspectum venit, corpuscula innuo sive colliculos eminentes et constipatos, horum nihil in avibus in facie loci glandulosi apparet. Villi contra admodum perspicui sunt, non solum quod in his plexibus magnitudine, copia ac densitate admodum augentur, sed etiam quod speciem a villis reliquae mucosae omnino ac plane discrepantem induunt. Plerumque enim super loco glanduloso in plexum quemdam sive rete inter se conjunguntur, quod cellulas continet alte in mucosam demissas. Ad quam plexuum conformationem ut ab ea, quae in mammalibus reperitur, quasi transitus fiat, has cellulas cum vaginis corpusculorum, in pluribus mammalibus admodum protractis, comparare licet. Verum in avibus in fundo cellularum corpuscula non latent sed loco corum foramina ulterius etiam descendentia reperiuntur, quae ad totidem sacculos in externa mucosae facie eminentes pertinent. Itaque, quod maxime

mirandum est, quum in mammalibus ductus excretorii certi ne vestigium quidem offendatur, tales ductus, iique satis perspicui, et qui pressione album quoddam fluidum effundunt, in avibus revera adsunt¹).

Dem Speciellen wird billig dasjenige vorausgeschickt, was allen zukommt.

Die Wandung dieser Drüsen wird entweder frisch untersucht. indem man sie einzeln mit der Pinzette aushebt, oder an Durchschnitten des getrockneten Darms, wobei man besonders auf den inneren Rand des Schnittes viele Sorgfalt verwenden muss und zwischen den unregelmässig durchschnittenen Muskelbündeln die hellen abgerundeten Enden der Peyer'schen Follikel oft unverletzt eine Strecke weit hervorragen sieht. Man sieht da einen sehr scharfen dunklen Umriss mit stellenweise lichteren Anschwellungen wie von eingelagerten Kernen, der sich bei starker Vergrösserung theils als ein kernhaltiges Bindegewebe zeigt, theils sind auch die musculösen Elemente der Umgebung so geordnet, dass sie zur Bildung der Wand mit beitragen. Dieselbe hat eine ziemliche Festigkeit; denn geschieht es, dass eine Peyer'sche Kapsel durch Riss von ihrer Umgebung isolirt ist, ohne selbst eingerissen zu sein, so kann man durch einseitigen Druck aufs Deckglas ihre Gestalt sehr verändern, indem sie auf der Seite des Druckes sich ausdehnt, auf der entgegengesetzten Seite etwas einschrumpft, man kann bei mehrseitigem Druck ihr Volum sogar verdoppeln.

Der Inhalt der Follikel besteht aus grösseren und kleineren rundlichen oder unregelmässig gestalteten Zellen mit blassen Contouren und dunklen scharf hervortretenden Kernen, vorzugsweise aber aus freien Kernen, wovon man sich leicht überzeugt, wenn man eine frische Drüse einzeln herausnimmt, mit der Staarnadel ansticht oder zerreisst und ihren durch Druck zwischen zwei Gläsern herausgepressten Inhalt erst für sich allein und dann mit Zusatz von Reagentien betrachtet; man wird zugleich Kölliker's Beobachtung bestätigt finden, dass auf Wasserzusatz die blasse Zellmembran sehr bald schwindet, und man dann blos Kerne vor sich hat, — ganz wie beim Menschen.

¹⁾ Böhm, l. c. p. 28.

Ihre Gestalt ist nach der Untersuchungsmethode verschieden: im frischen Zustande erscheint ein einzelner Follikel im Allgemeinen oval oder rundlich, bisweilen etwas eckig verzogen; untersucht man sie aber an essiggekochten oder auch blos getrockneten Präparaten, so sind die Gestalten wegen der mit dem Eintrocknen verbundenen Schrumpfung natürlich viel mannigfaltiger und schroffer. Man trifft zwar auch hier ovale oder runde an, doch meist sind sie unregelmässig, in Ecken ausgezogen, birnförmig mit nach oben oder unten gerichteter Spitze, quadratisch, rhombisch, biscuitförmig etc.

Über ihre Lage in der Tiefe der Darmwand ist Folgendes festgestellt: Nie liegt ein Follikel in der äusseren Längshaut, in allen davon nach innen gelegenen Schichten aber kommen sie vor; die meisten natürlich in der Ringmuskelhaut, weil diese am breitesten ist, und sie stehen selbst an deren äusserer Grenze an. Andere liegen in der inneren Längshaut, diese in zwei divergirende Lager theilend, noch andere endlich über derselben, zwischen die Krypten eingeschaltet; ja es gibt solche, deren tiefster Punkt selbst höher als die Basis der Krypten liegt, wie bei der Ente zuweilen gesehen werden kann. Man muss also sagen, dass es ihrer hoch- und tiefliegende gibt, d. h. solche, deren Hauptkörper zwischen den Krypten liegt, höchstens mit einem kleinen Theile der Basis etwas in die tieferen Schichten hineinragend, und solche, deren Hauptkörper in der Muskelschichte steckt, entweder ganz von derselben bedeckt, oder mit seiner Spitze zwischen den Krypten zu Tage tretend. Dass es wirklich solche gibt, die sich nie über die Muskelschichte erheben, habe ich durch stetig auf einander folgende Schnitte erforscht, wodurch man von derselben Drüse erst wachsende, dann die grösste, und endlich wieder abnehmende Durchschnittsflächen erhält, dabei nicht blos ein gutes Bild von ihrer Lage, sondern auch von ihrer Gestalt bekommt: doch sind diese Schnitte nicht so leicht zu machen, da die befeuchtete Fläche leicht zu sehr anquillt, und dann Alles verdorben ist. - Häufig trifft man die höchste und tiefste Lage unmittelbar neben einander an. Wie gross ein einzelner Follikel werden kann, sah ich an einem viereckig gestalteten, der mit seinen beiden breiten Enden die äussere und innere Längshaut wellenartig ausbuchtete, also die ganze Breite der Ringmuskelhaut hatte.

Hinsichtlich ihrer Lage nach der Länge des Darms sind sie, wie beim Menschen, entweder einzelnstehend (solitär) oder in Gruppen beisammen (Inseln).

Die solitären sind über die ganze Peripherie des Darmrohrs gleichmässig verbreitet, während die Inseln auch hier nur an dem der Anhestungsstelle des Mesenteriums gegenüberliegenden Rande getroffen werden. Auch kommen sie in allen Abschnitten desselben vor, selbst im Rectum und dem unteren Theile des Coecums, wo die Inseln fehlen. Sie sind schon im Duodenum sehr zahlreich, obgleich kleiner als im Ileum; auch die Inseln beginnen schon im Duodenum, doch sind sowohl sie selbst als die sie zusammensetzenden Elemente noch klein; von nun an werden sie, die langen Zwischenräume der Inseln ausfüllend, stets grösser, auch die Inseln wachsen und sind im unteren Ileum am grössten1); das Divertikel selbst ist eine Peyer'sche Insel, die aber statt der gewöhnlichen Flächenform die eines hohlen Cylinders hat, und fast zottenfrei ist. Somit ist es für den Dünndarm Gesetz, dass mit der Entfernung vom Magen die Zahl und Grösse der Follikel zunimmt. Im oberen, d. h. zottentragenden Theile des Coecums, kommen zahlreiche solitäre Follikel vor, zwischen denen kleine längliche Inseln liegen, die hier nach der Längsaxe des Darms gerichtet sind; im unteren Theile des Coecums und im Rectum selbst bis ans unterste Ende liegen solitäre Follikel. Bei der grossen Anzahl von Därmen desselben Thieres, die ich untersucht habe, habe ich mich überzeugt, dass das Vorkommen der Inseln an sehr bestimmte Stellen gebunden ist, vielleicht an so bestimmte als die Ursprünge der willkürlichen Muskeln. Ich habe zwar diese Lage der Inseln weder durch directe Messung noch durch Beziehung auf schon vorhandene fixe Punkte (z. B. auf die Einmündung des Gallenganges, des Divertikels, des Coecums, auf die verlängerte Richtung gewisser Arterien u. s. w.) näher bestimmt, allein die grosse und stets in derselben Weise wiederkehrende Gleichmässigkeit ihres Abstandes schliesst jede bedeutendere Veränderung des Standortes aus. Für einzelne Drüsen hat auch Böhm bei Säugethieren Ähnliches gesehen: "In plerisque animalibus ultima earum proxima ante valvulam coli collocata est, in lepore una eam transgreditur" 2).

¹⁾ Böhm, l. c. p. 29.

²⁾ Böhm, l. c. p. 9.

Was nun die specielle Beschreibung betrifft, so ist für die solitären dem im Vorausgegangenen Gesagten nur Folgendes beizufügen: Ihre häufigste Form ist die, wo der Drüsenkörper in der Ringmuskelmasse liegt, die er wellenartig nach aussen ausbuchtet, während er mit einem oberen spitzen Ende die Längshaut und das Bindegewebe durchbohrend frei zwischen die Krypten tritt. Als eine besondere Form will ich die hervorheben, wo ein Follikel einer Birne glich, deren Basis nach oben zwischen den Krypten lag, während die abgerundete Spitze im Bindegewebe und der ersten Muskelhaut steckte, eine Form, die ich im Duodenum oft und fast nur an hochliegenden gesehen habe. Oder es ragt eine grosse viereckigrundliche Drüse mit ihrer breiten Fläche, ohne also zu einer Kuppe sich zuzuspitzen, frei zwischen den Zotten in die Darmhöhle hinein, etc. — Taf. II, Fig. 1, stellt eine solitäre Drüse aus dem Rectum vor.

Die Inseln sind am frischen Darm schon äusserlich sehr gut wahrnehmbar, indem 1. die Stellen, wo sie liegen, weiter sind als das übrige Darmrohr (denn wo die Drüse ist, kann nicht Muskel sein, daher ist die Contraction hier minder energisch); 2. indem sie durch das Peritoneum weisslich durchschimmern. Im essiggekochten Darm bilden sie nach innen vorspringende, scharf umschriebene Hügel, die im auffallenden Lichte bräunlich erscheinen, im durchfallenden Lichte durch gelbe Färbung (wie mit Fett durchtränkt) und geringere Durchsichtigkeit vor der Umgebung sich auszeichnen; im blos getrockneten springen sie weniger vor, werden aber im durchfallenden Lichte an der geringeren Durchsichtigkeit und der gelben Färbung ihrer deutlich erkennbaren Bläschen sehr leicht von der Umgebung unterschieden.

Ihre Gestalt ist im Allgemeinen die ovale, und es steht im Dünndarm ihre Längsaxe, wie Böhm richtig angibt, im rechten Winkel zu der des Darmes; sie sind also, mit denen des Menschen verglichen, um 90° gedreht (bei der Ente dagegen stehen sie wie beim Menschen). Doch ist dies nicht in voller Allgemeinheit richtig, da es auch ganz runde gibt, ja sogar einzelne, die nach der Längsaxe des Darmes gelagert sind. Ob dieses Verhältniss ein constantes sei, d. b. ob aus der ganzen Summe der im Dünndarm vorkommenden Peyer'schen Inseln immer nur eine bestimmte diese Längslage zeige, habe nicht untersucht, es wäre aber wohl möglich.—

Die Zahl beträgt für den Dünndarm 8 — 10 "magnitudine unguis" wie Böhm sagt.

Wir wollen nun eine solche Insel, z. B. eine der grösseren aus dem lleum erst von aussen und dann von innen untersuchen, damit uns daraus ein schematisches Bild ihres Baues entstehe. Ein frisches Darmstück wird in einer mit schwarzem Wachse ausgegossenen Schale mit Nadeln so festgesteckt, dass die Peritonealseite nach oben kommt, dann Wasser darauf gegossen. Man sieht die Follikel als weissliche Ovale durchscheinen, die je nach der Richtung der Insel zuweilen der Längsaxe, bei weitem in den meisten Fällen aber der Queraxe des Darmrohrs folgen. Nach Entfernung des Peritoneums und der äusseren Längshaut (die in sehr grossen Stücken sich ablösen lassen) sieht man sie nun unbedeckt in Reihen liegen, die nach der erwähnten Richtung gelagert und durch zwischenliegende Bündel der Ringmuskelhaut getrennt sind. Die Zahl dieser Reihen wechselt nach der Grösse der Insel, im Mittel ist sie 10. Jede Reihe enthält wieder 4-6 eben so gelagerte längliche Follikel 1). Nun werden zuerst in der nächsten Umgebung die Bündel der Ringmuskelhaut durch Zupfen mit der Pinzette entfernt, die letzten und seinsten Bündel aber mit der Staarnadel aufgehoben und mit der Schere vorsichtig abgetragen. Es ist nöthig, nur wenig auf einmal zu entfernen, weil sonst das Darmstück leicht einreisst; da man jedoch nicht immer genau weiss, wie viel von der Musculatur man entfernt, so geschieht es, dass man in der Umgebung häufig schon die Bases der Lieberkühn'schen Krypten blosslegt, welche, da sie mit convexen Flächen aus der Ebene der Schleimhaut herausragen — man erinnere sich an den Anblick des Längs- und Querschnittes — unter der Loupe als helle Punkte gegen die dunkle, grubig eingesenkte Umgebung sich abheben. Unmittelbar an der Grenze der Insel erleidet das Abziehen der Musculatur einige Hemmung, indem die ausgerissenen Muskelstreifen stets schon knollig gruppirte Follikel enthalten, die man nun auf einer Glastafel mit Nadeln vorsichtig isolirt und mit der Loupe betrachtet. Man sieht das in Taf. II, Fig. 2, dargestellte Bild, erkennt ihre

¹⁾ Man solite nach diesem meinen, dass die Z\u00e4hlung der einzelnen Elemente einer Insel eine leichte Sache w\u00e4re; dennoch werden durch ihre \u00fcbereinanderschichtung und ihre vielfachen Communicationen Schwierigkeiten geboten, welche verl\u00e4seliche Resultate fast unm\u00f6glich machen. — B\u00f6h m hat Tab. II, Fig. 6 diesen Anblick abgebildet, den er aber auf umgekehrtem Wege erhielt (defracta mucosa).

Gestalt, und kann durch starke Vergrösserung und Reagentien die Wand, durch Zerreissen und Drücken in der vorhin angegebenen Weise den Inhalt untersuchen. Unter den weggenommenen Muskelschichten sieht man wieder neue Follikel liegen. — Da wir nun von aussen nichts weiter unternehmen können, so wollen wir ein anderes Darmstück mit der Schleimhautseite nach oben aufspannen und die Untersuchung von innen her beginnen.

Man erblickt da einen weisslichen vorspringenden Hügel, der mit seinen zahlreichen Falten und zottenartigen Hervorragungen auf den ersten Anblick den Eindruck grosser Unklarheit hervorbringt. Um sich nicht zu verwirren, muss man nun folgende Fragen stellen: Sind die (uns von der übrigen Schleimhaut her bekannten) Krypten und Zotten hier noch vorhanden? In derselben Form oder in veränderter? Kommt etwa noch Neues hinzu?

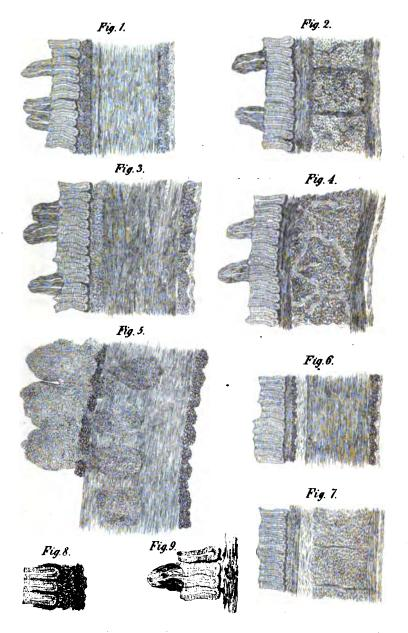
Wenn man zunächst eine Messerklinge zwischen die Falten hineinschiebt, so sieht man, dass sich darin nach der Richtung, in welcher wir die Elemente bei der Untersuchung von aussen her angeordnet fanden (also nach der Quere bei den guergelagerten, nach der Länge bei den längsgelagerten), leichter Furchen erzeugen lassen als nach der entgegengesetzten, doch sind auch diese nicht vollständig, indem sie durch häufige Querfalten unterbrochen werden. Zotten sind überall reichlich vorhanden, nur sind sie auffallend kürzer, sie haben meist dieselbe blasse Farbe als die der Umgebung, manche dagegen sind etwas weisslich. Sehr häufig sind mehrere an der Basis verwachsen, so dass ihre Spitzen ein Büschel frei flottirender Zungen darstellen. Die die Zotten verbindenden Querfalten sind zu einer ungewöhnlichen Grösse entwickelt, weisslich gefärbt, und unter einander zu einem Maschenwerke verwachsen, von dessen Rändern und besonders den Ecken die Zotten entspringen. In der Tiefe ihrer Zwischenräume sieht man häufig ovale Kuppen vorragen, die man, wenn man sie ausschneidet und auf ihren Inhalt untersucht, auf der Stelle als Peyer'sche Follikel erkennt. Um diese Kuppen, die noch deutlicher werden, wenn man die Zotten mit einer feinen Schere abträgt, sieht man, wenn man die Follikel unter der Loupe mit Nadeln auseinanderhält, Öffnungen eingestreut, die denen der Lieberkühn'schen Krypten ganz gleichen und die man auch sogleich dafür erklären müsste, wenn uns nicht Böhm's anfänglich citirte Stelle verwirrend vorschwebte. Wenn man ferner eine solche Falte sammt den von

ihr entspringenden Zotten ausschneidet, so kann man sie von einer Peyer'schen Drüse durch nichts unterscheiden, sie ist mit derselben Cytoblastenmasse angefüllt, die sich häufig auch eine Strecke weit in die Zotte fortsetzt, dort ohne irgend eine Grenze sich ins Undeutliche verliert, worüber alsbald die uns schon bekannte Zottenstructur zum Vorschein kommt.

Alles dieses muss nun auch auf Durchschnitten getrockneter Präparate untersucht werden, und da seien zuerst die essiggekochten genannt, die zwar über das zuletzt angeführte Verhältniss uns keine Sicherheit bieten können, dagegen über die Gestalt der Follikel und ihre Lage in der Tiefe der Darmwand uns sehr gut belehren. Ein solcher Durchschnitt durch eine Insel, sei er der Länge oder der Quere nach geführt, gibt uns Bilder, wie sie Taf. I in Fig. 5 und Taf. II in Fig. 4 und 5 dargestellt sind. Meistens sind mehrere Reihen von Follikeln über einander geschichtet, davon sich die unteren zwischen die oberen hineindrängen; sie sind nach der Art des Schnittes entweder durch schmale Streifen der Musculatur getrennt oder communiciren mit einander. Die Muskelfasern ändern an den Drüsen ihre Richtung, indem sie dieselben meist allseitig umgeben, so dass z. B. die Ringfasern im Zwischenraume zweier Follikel oft längsverlaufend werden. Wenn benachbarte Drüsen mit einander communiciren — und das geschieht so häufig, dass man das Gegentheil fast immer der ungunstigen Schnittführung zuschreiben darf - so entsteht manchmal der täuschende Anschein einer Theilung der Drüse, doch erkennt man bei genauerem Zusehen immer eine hellere begrenzende Contour, wie es Taf. II, Fig. 3, an drei Drüsen, die sämmtlich in der Ringmuskelschichte lagen, andeutet. Der häufigste Fall aber, den ich absichtlich zuletzt aufgespart habe, ist der, wo die in der Darmwand lagernden Drüsen mit flaschenartig verschmälerten Hälsen die innere Längshaut durchbohren, sich oben dann bedeutend ausbreiten, (welche Ausbreitung uns bereits als Querfalte zwischen den Zotten bekannt ist) und mit unbestimmter Grenze ihre Cytoblastenmasse in die Zotten treten lassen. Zwischen diesen Ausbreitungen, welche auf Durchschnitten oft stumpfen dreieckigen Zotten gleichen, aber alle Merkmale einer Peyer'schen Drüse haben, liegen zahlreiche Lieberkühn'sche Krypten, die oft kurz und unregelmässig gestaltet sind und halb verdrängt (Taf. I, Fig. 5) aussehen. Und nun können wir mit Gewissheit sagen, dass die von Böhm beschriebenen

Ausführungsgänge der Follikel nur die Ausmündungen der Lieberkühn'schen Krypten sind, und es ist in der That zu wundern, wie der fleissige Forscher, der bei den Säugethieren zuerst diesen Irrthum nachgewiesen und widerlegt hat, bei den Vögeln dennoch in denselben verfallen konnte. Ein einziger Durchschnitt hätte ihn belehren können, und es ist, der Wichtigkeit der Sache wegen, ein solcher in Fig. 4 der zweiten Tafel abgebildet worden.

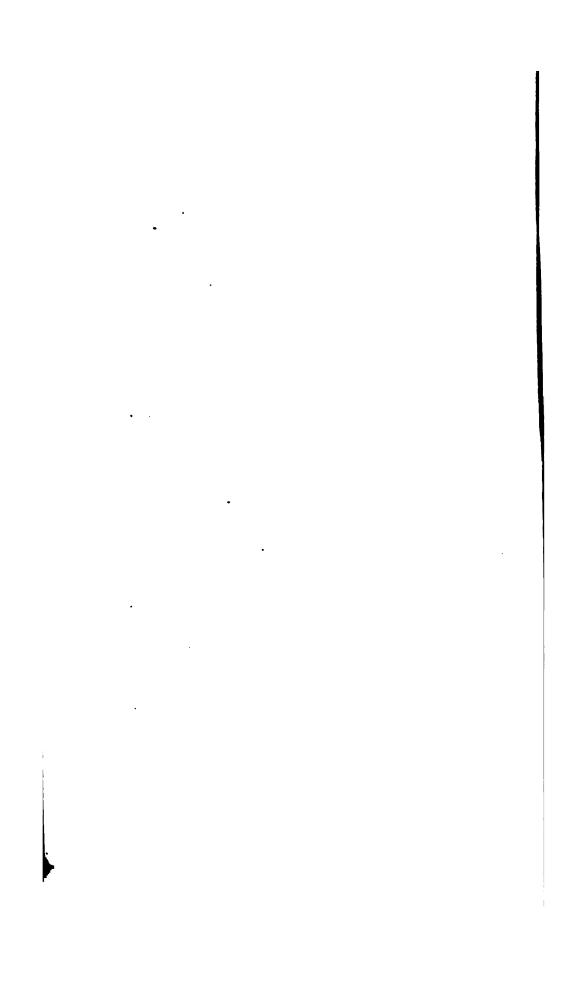
Die beste Art aber, sich von der directen Communication der Zotten mit den Peyer'schen Drüsen zu überzeugen, und wie ich sie auch zuerst gefunden habe, ist die Untersuchung des blos getrockneten (nicht essiggekochten) Darmes. Ich will diese ganz genau beschreiben, damit Jeder den von mir betretenen Weg erkenne, denselben zu prüfen und fortzusetzen Jedem Gelegenheit geboten sei. Ein ganz frisches Darmstück wird, nachdem es aufgeschnitten und mit der Spritzflasche sorgfältigst gereinigt worden ist, auf einem Brette mit Nadeln festgesteckt und trocknen gelassen, sodann macht man von einer Peyer'schen Insel (die man an ihrem gelben Colorit im durchfallenden Lichte recht leicht erkennt) mit einem scharfen Messer möglichst feine Durchschnitte, die man mit Essigsäure befeuchtet. Man wird zwar das Gesuchte vielleicht nicht gleich das erste Mal mit völliger Klarheit erkennen, allein bei einer grösseren Anzahl von Schnitten kann die verfolgte Wahrheit nicht lange verborgen bleiben. Es steht also fest: Die Peyer'schen Drüsen der Inseln (viele, die meisten) haben nach aussen in der Musculatur eine scharfe Grenze, durchbohren oben mit verschmächtigten Hälsen die innere Längshaut, breiten sich dann zwischen den Krypten bedeutend aus und lassen ihre Cytoblastenmasse ohne irgend eine Grenze in die Zotten übergehen. Die Zotten ain Fig. 6 und 7 Taf. II, zeigen dies, während die verschmächtigten Hälse in Taf. I, Fig. 5 und Taf. II, Fig. 7, zu sehen sind.

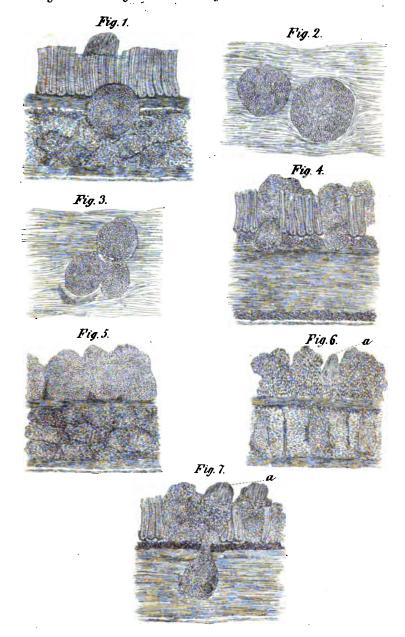


7. F. Bergmann del. 1854.

Av. Ut k Hetre translandketer.

Sitzungeb.d.k.Akad.d.W.math.n.aturw.CLXIII.Bd. 2. Heft. 1854.





C F Fergmann del 1854.

Als Jikk Hofu Staatsururkerei.

Sitzungsb.d.k.Akad.d.W. math.naturw. ('LXIII.Bd.2.Heft 1854.

•			
		·	

Erklärung der Tafeln.

Tafel I.

- Fig. 1 zeigt die Schichtung des Dünndarms im Querschnitt,
 - " 2 dieselbe im Längsschnitt,
 - " 3 ist ein Querschaitt aus dem Rectum,
 - .. 4 ein Längsschnitt daraus,
 - 5 ist ein Querschnitt aus einer Peyer'schen Plaque des Dünndarms, zeigt wie die tiefliegenden Drüsen mit flaschenartig verschmälerten Hälsen in die Zotten einmenden; auch ist eine halbverdrängte Krypte da.
 - " 6 ist ein Querschnitt aus dem untern (zottenleeren) Theile des Coeeums,
 - " 7 ein Längsschnitt daraus,
 - 8 zeigt den Bindegewebsstreifen, der im Dünndarm unter den Krypten liegt, bei einer stärkeren Vergösserung.
 - 9 zeigt die von der inneren Längshaut zwischen die Krypten hinaufziehenden Muskelbündel.

Tafel II.

- Fig. 1 eine solitare Drüse im Querschnitt des Rectums,
- " 2 zwei einzelne Follikel, wie man sie am frischen Darm mit der Pinzette aushebt.
- 3 zeigt drei in der Ringmuskelschichte gelegene Peyer'sche Drüsen, deren Vereinigungsstellen durch blasse Streifen angedeutet sind.
- 4 zeigt die zwischen die Follikel eingelagerten Krypten (Querschnitt aus einer Plaque des Ileums),
- 5 ein Querschnitt aus einer Plaque des Coecums, blos hochliegende mit einander communicirende Follikel enthaltend.
- 6 Längsschnitt aus einer Plaque des Ileums, zeigt in der Ringmuskelhaut mehrere einzeln stehende Follikel, darunter eine mit verschmächtigtem, doch abgeschnittenem Halse; oben sind hochliegende Follikel und in der Zotte α der Übergang der Cytoblasten in diese,
- 7 ein idealer Querschnitt aus dem Ileum, zeigt ebenfalls bei α den Übergang der Follikel in die Zotten.

Über eine naturgemässe Vertheilung der Cephalocotyleen.

Von dem w. M., Dr. Karl Heris Diesing.

(Vorgetragen in der Sitzung vom 18. Juli 1854.)

Die Cephalocotyleen sind Binnenwürmer mit ursprünglich scheibenförmigen Organen am Kopfe, deren Ränder sich mannigfaltig umstülpen und so durch Ansaugen zum Festhalten bestimmt sind.

Die Thiere dieser Ordnung bilden in ihrer wechselseitigen Entwickelung zwei grosse natürliche Gruppen, deren eine sich durch mehr oder weniger verlängerte (Sauggruben, bothria, Auct.), die andere aber durch fast kreisförmige (Saugnäpfe, acetabula, Auct.), Saug-Organe, auszeichnet.

In der ersteren, mit dem Namen Paramecocotylea zu bezeichnenden Abtheilung, welche blos Einzelthiere (animalcula solitaria) enthält, sind die Sauggruben ihrer Stellung nach entweder entgegengestellt (bothria opposita, enantiobothria) oder in einer Reihe geordnet (bothria uniserialia, Taxobothria).

Wir wollen zunächst die mit entgegengestellten Sauggruben versehenen Paramecocotyleen bezüglich ihrer äusseren und inneren Organisation ins Auge fassen.

Dieselben besitzen 2, 4 oder 8 Sauggruben, die Gattung Caryophyllaeus ausnahmsweise nur eine einzige am Vorderrande des Kopfes gelegene; ihre Ränder sind entweder frei oder verwachsen.

Die freirandigen Saugruben sind ihren wesentlichen Formen nach spaltförmig ¹), verlängert ²), fast dreieckig ³) oder viereckig ³), trompetenförmig ⁵) oder becherförmig ⁶) u. dgl.; ihre Ränder sind meist straff und ganz, manchmal ausgeschnitten ⁷), gelappt ⁹) oder gekraust ⁹) u. dgl. Der Boden der Sauggruben ist in den meisten Fällen glatt, bei einigen rippenförmig quer gefaltet ¹⁰) oder mit Grübchen versehen ¹¹).

Den Sauggruben fehlen entweder Scheidewände oder sie sind durch 1 oder 2 Querwände in 2 oder 3 Fächer ¹³) oder durch eine Längswand in 2 Fächer ¹⁵) getheilt.

Ligula.
 Tetrabothrium heteroclitum.
 Tetrabothrium triangulare.
 Tetrabothrium macrocephalum.
 Steganobothrium.
 Tetrabothrium cornucopiae.
 Acanthorhynchus.
 Tetrabothrium lactuca.
 Caryophyllacus, Tetrabothrium thridax.
 Echeneibothrium.
 Tetrabothrium perfectum et versatile.
 Scolea, Onchobothrium.
 Tetrarhynchus.

Die Verwachsung der Ränder der Sauggruben findet auf zweierlei Weise Statt, entweder durch Verwachsung der Ränder zweier Gruben oder durch Verwachsung der Ränder einer und derselben Grube.

Im ersten Fall ¹⁴) sind zwei halbkugelige Sauggruben, deren Hinterrand am Kopfe angeheftet ist, mit ihren Seitenrändern in ein kugelförmiges den Kopf einschliessendes Saug-Organ dergestalt innig verwachsen, dass nur die Vorderränder frei bleiben und so eine längliche Spalte bilden.

Im zweiten Falle vereinigen sich die Ränder einer und derselben Sauggrube entweder unmittelbar 15) oder mittelst einer Art von Joch 16).

Die Form der verwachsenen Gruben ist kugelförmig ¹⁷), flaschenförmig ¹⁸), eiförmig ¹⁹), röhrenförmig ²⁰), trichterförmig ²¹) u. s. w. Die freien Ränder sind entweder glatt oder gefranst ²²) *).

In beiden Abtheilungen (der frei- und verwachsenrandigen) liegen die Sauggruben entweder auf beiden Seiten des Kopfes in einer

Der merkwürdige Bothrimonus Sturionis (Disymphytobothrium) wurde im Jahre 1835 von Lesueur im Darmcanal des Acipenser oxyrrhynchus aus dem Flusse Wabasch in Nordamerika gesammelt und im Jahre 1842 von Duvernoy beschrieben und abgebildet.

Die Gattung Zygobothrium schliesslich, wurde aus Bothriocephaliden gebildet, welche Johann Natterer im Jahre 1826 im Darmcanale des Silurus Pirarara zu Matogrosso in Brasilien gefunden hatte.

¹⁴⁾ Disymphytobothrium. 18) Solenophorus. 19) Zygobothrium. 17) Disymphytobothrium. 18) Solenophorus megacephalus. 19) Solenophorus ovatus. 20) Solenophorus laticeps. 21) Solenophorus fimbriatus. 23) Solenophorus fimbriatus.

^{*)} Die Kenntniss dieser kleinen auf die Gattungen Solenophorus, Disymphytobothrium und Zygobothrium beschränkten Gruppe der Symphytocheilen verdankt man erst den Entdeckungen der neueren Zeit. Was zuerst die Gattung Solenophorus betrifft, so wurde die am längsten bekannte Art derselben von Blainville im Jahre 1824 nach Exemplaren, welche in der Pariser Menagerie von einer Riesenschlange abgegangen waren, unter dem Namen Bothridium Pythonis veröffentlicht. Hierauf folgte der Bothriocephalus Pythonis, welchen Retzius in Stockholm, der Gelegenheit hatte einen in einer Menagerie zu Grunde gegangenen Constrictor bivittatus zu untersuchen, in dessen Darm fand und im Jahre 1829 beschrieb. Einen recht lehrreichen Beleg über die Weise der Ränderverwachsung bei dieser Art gibt der Umstand, dass bei einem Exemplare, wie Retzius' Abbildung (Fig. 6) zeigt, zufälligerweise das Hinterende durch den Grund einer der flaschenförmigen Sauggruben durchgedrungen war. Die nächsten Bereicherungen der Gattung bildeten der von Otto in Breslau 1834 in einem Constrictor gefundene, dann von Creplin 1839 veröffentlichte Solenophorus grandis, und die von Kotschy im Jahre 1837 in Sennaar im Darm des Constrictor hieroglyphicus gesammelte und von mir als Solenophorus ovatus aufgeführte Art. Endlich beschrieb Valenciennes im Jahre 1850 nach Würmern, welche von einem Nil-Varan der Pariser Menagerie abgegangen waren, sein Bothridium du Varan du Nil.

Flucht mit den Seitenflächen des Körpers (bothria lateralia) oder in einer Flucht mit den Seitenrändern desselben (bethria marginalia). Sie sind entweder in den Kopf eingesenkt oder hervorstehend; die hervorstehenden ungestielt oder gestielt, in wenigen Fällen durch eine Membran unter sich verbunden 28).

Zu den Hülfsorganen der Befestigung gehören die Haken und Bohrrüssel am Kopfe und in wenigen Fällen Häkehen am Halse oder am Saugrüssel. Die Haken sind entweder einfach oder zusammengesetzt; die einfachen zu 2 24), 4 25) oder 6 26) auf jeder Sauggrube; die zusammengesetzten entweder doppelt gegabelt 27) oder dreizinkig 28).

Die Bohrrüssel sind immer zu vieren einander entgegengestellt, bewaffnet und aus- und einziehbar. Ihrer Form nach sind sie meist walzenförmig **) keulenförmig **) oder kegelförmig **) u. s. w.

Die Häkchen am Halse liegen auf beiden Seiten in drei Längsreihen gestellt ²²) und jene am Saugrüssel bilden an dessen Spitze eine einfache ²³) oder doppelte ²⁴) Hakenkrone.

Der Kopf ist der Form nach linienförmig 26), walzenförmig 26), eiförmig 37), keulenförmig 28), kegelförmig 39), kugelartig 40), dreieckig 41), pfeilförmig 42) oder vierekig 43) u.s. w.; er ist entweder vom Halse geschieden oder mit demselben gleichförmig verlaufend.

Die Mundöffnung **) befindet sich am Ende des Kopfes entweder unmittelbar oder an der Spitze eines vorstreckbaren Saugrüssels unbewaffnet und nur in wenigen Fällen, wie oben bemerkt, mit einem einfachen oder doppelten Hakenkränzchen umgeben.

Der Hals fehlt entweder, oder wo er vorhanden ist, ist er ungegliedert, entweder mit dem Körper gleichlaufend oder von ihm mehr oder weniger scharf geschieden. Bei den mit Bohrrüsseln versehenen Gattungen bildet er eine Röhre für den Apparat zum Aus- und Einziehen der erwähnten Organe.

Steganobothrium, Pterobothrium, Syndesmobothrium.
 O. verticillatum.
 O. septicolle.
 O. coronatum.
 Triaenophorus.
 Rhynchobothrium.
 Tetrarhynchus attenuatus.
 T. megacephalus.
 Echinobothrium.
 Scolex decipiens.
 Sc. commutatus.
 Dibothrium serratum.
 Stenobothrium appendiculatum.
 Dibothrium desdriticum.
 Tetrarhynchus megacephalus.

⁴⁰⁾ Dibothrium crassiceps. 41) D. Folium. 42) D. plicatum. 48) D. angustatum.

⁴⁴⁾ Nach Siebold und Beneden soll kein Mund vorhanden sein.

In einigen wenigen Fällen liegt hinter dem Halse eine blasenförmige Erweiterung, welche zur Aufnahme des Halses und Kopfes bestimmt ist 45).

Der parenchymatöse Leib ist meist niedergedrückt oder bandförmig, ungegliedert oder gegliedert; der ungegliederte gewöhnlich glatt oder quergerunzelt *6), der gegliederte besteht aus einer unbestimmten Anzahl von Gliedern, deren Gestalt außerordentlich mannigfaltig ist. Die wesentlichsten Formen sind dreieckig *7), trichterförmig *8), glockenförmig *0), viereckig *0), elliptisch *1), oval *2), kugelförmig *3), stabförmig *4) u. s. w. Der Hinterrand derselben ist zuweilen ausgerandet *5), ausgenagt *0), wellenförmig gekraust *7), oder mit 2 *8) oder 4 *50) dreieckigen Fortsätzen auf jeder Seite versehen. Er ist entweder straff anliegend oder umgeschlagen *0).

Bei der einzigen Gattung Anthocephalus befindet sich am Hinterrande des Körpers eine sackförmige Erweiterung, in welche der ganze Körper mit Hals und Kopf aufgenommen werden kann.

Gewöhnlich finden sich bei einem und demselben Thiere mehrere Glieder formen vereint. In der Regel sind die vordersten Glieder sehr kurz, nehmen in ihrem Verlaufe an Länge und Breite zu, während die letzten sich wieder verschmälern aber gewöhnlich am längsten sind. Das Wachsthum des oft viele Fuss langen Leibes erfolgt sowohl durch Ausdehnung als durch Vervielfältigung der Glieder. Darm canal ist keiner vorhanden.

An den beiden Seiten des Leibes laufen gegen die Ränder zu je 1 °1), 2 °2) oder 3 °2) Längscanäle. Dieselben entsenden auf ihrem Verlaufe fast rechtwinkelig vielfach verzweigte und wie es scheint, in einander einmündende Capillargefässe °4). Gegen den Kopf zu bilden die Längsgefässe verschiedenartige Verzweigungen

⁴⁵⁾ Acanthorhynchus und Pterobothrium. 46) Ligula. 47) Rhynchobothrium corollatum. 48) Dibothrium infundibuliforme. 49) Tetrabothrium macrocephalum. 50) Dibothrium dendriticum. 51) Tetrabothrium minimum. 52) T. variabile. 53) T. tumidulum. 54) Rhynchobothrium tenuicolle. 55) Tetrabothrium emarginatum. 56) Zygobothrium. 57) Dibothrium plicatum. 58) Tetrabothrium cornucopiae. 59) Onchobothrium verticillatum. 60) Rhynchobothrium crassiceps. 61) Sparganum. 62) Tetrabothrium. 63) Ligula, nach Beneden (L. simpliciss. Mem. 39).

⁴⁴⁾ Über die feineren Verzweigungen der Längscanäle (Capillargefässe), vergleiche Meissner, in: Zeitschrift für wissenschaftliche Zoologie, V, 380.

und Anastomosen. Bei den mit einem Saugrüssel versehenen Arten ist ein von den Längscanälen gebildeter, die Rüsselscheide umgebender Gefässring vorhanden.

Die Längscanäle sind stellenweise durch ähnliche Quercanäle verbunden und sie vereinigen sich *5) nur gegen den Hinterrand in ein in der Mitte liegendes contractiles Bläschen, welches mit einer kleinen Öffnung nach aussen mündet *6). Diese Gefässe besitzen Flimmerbewegung und enthalten eine farblose mit Kügelchen angefüllte Flüssigkeit. Zu den Ab- und Aussonderungs-

In neuester Zeit hat Beneden in seiner Denkschrift über die Costoden (Mém. Acad. Belgique, XXV) Beobachtungen veröffentlicht, welche ein neues Licht auf diesen Gegenstand werfen. Er entdeckte nämlich, dass die 2, 4 oder 6 Längsgefässe, welche nach ihm aus feinen Verüstelungen, die sich bald in ihrem Verlaufe, bald an ihrem vorderen Ende befinden, entstehen, gegen den Hinterrand zu in eine contractile, mit einer kleinen Öffnung nach aussen versehene, jedoch bei gegliederten Arten nur auf dem ursprünglich letzten Gliede vorhandene Blase münden und dass die in den Gefässen enthaltene von vorn nach rückwärts sich bewegende Flüssigkeit durch diese Öffnung entleert wird, was dens veranlasste, das ganze System für ein Ab- und Aussonderungs-Organ zu erklären.

Er wurde in seiner Ansicht durch die Vergleichung mit einem Shalichen Gefäss-Apparate bei den Trematoden bestärkt, welcher ebenfalls durch das sogenannte Foramen caudale, welches von Nardo und Baerals After, von Dujardin als Respirations-Organ, von Ehrenberg und Nordmann als Geschlechtsöffnung betrachtet wurde, sich nach aussen öffnen soll, von Laurer und mir aber gar nicht als Öffnung anerkannt, sondern als geschlossene Cisterna chylibezeichnet worden ist.

Diesem zufolge lässt sich die Vertheilung des Nahrungsstoffes bei den Cephalocotyleen auf folgende Weise annehmen:

Durch den Mund und vielleicht auch durch die Oberfläche des Körpers aufgenommene flüssige Nahrungstoffe werden durch Endosmose im Parenchym des Körpers verbreitet, von den überall vorhandenen Capillargefässen aufgenommes und in die Hauptstämme der Längsgefässe gebracht.

Die Längsstämme würden dann den bereiteten Nahrungssaft in die Verzweigungen am Kopftheile leiten, durch welche die Ernährung vermittelt wird, während der unbrauchbare Überschuss durch die Öffnung der contractilen Blase ausgeworfen würde.

Die Verrichtung dieses Geffiss-Apparates ware demnach eine dreifsche und zwar eine aufsaugende, eine absondernde und ernährende, und eine aussondernde

⁶⁵⁾ Nach Meisen er sind bei Scolex commutatus je 2 Längscanäle räckwärts in Verbindung.

⁶⁶⁾ Diese Längsgefässe waren bereits den ältesten Autoren bekannt, jedoch herrschten über ihre Natur und Function die abweichendsten Ansichten. So wurden sie noch von Rudolphi, Nordmann, Blanchard, u.m. a. für Verdauungs-Organe, von Siebold (Handbuch der vergleichenden Anatomie, 127) für Verdauungs-und Circulations-Organe zugleich gehalten.

Organen rechnete Beneden noch gewisse Drüsen unter der Haut, welche aber neueren Untersuchungen zufolge dem Geschlechts-Systeme angehören 47).

Die Cephalocotyleen sind entweder geschlechtslos 69) oder vereint geschlechtlich (Androgyna). Bei den letzteren besteht

Wenn Beneden diese Ordnung hinsichtlich ihres Gefäss-Apparates mit der vorhergehenden und namentlich der Unterordnung der Trematoden verglichen hat, erlauben wir uns noch einen Vergleich mit der nächstfolgenden Ordnung und zwar zunächst mit der Tribus der Acanthocephalen anzuknüpfen. Auch dort ist ein Mund an der Spitze des vorstreckbaren Saugrüssels, aber kein Verdauungscanal vorhanden. Wie Siebold in seinem Handbuche der vergleichenden Anatomie, 131, annimmt, besitzen diese Thiere ein aus wandungslosen Canälen zusammengesetztes Gefäss-System, welches sich in dem unter der Cutis gelegenen Parenchyme ausbreitet.

Man unterscheidet in demselben zwei grössere Seitencanäle, die sich vom Halse durch die ganze Länge des Leibes bis zum Schwanz-Ende herab erstrecken und rechts und links eine Menge kleinerer unter einander anastomosirender Quercanäle aussenden. Ein Netz solcher Canäle begibt sich auch unter der Haut des Rüssels bis zu dessen Spitze hinauf. Die grosse Übereinstimmung dieses Apparates mit dem bei den Cephalocotyleen beobachteten einerseits, so wie die von Beneden durchgeführte Analogie mit den Trematoden andererseits, erscheinen mir als eine wichtige Bestätigung der von mir den Cephalocotyleen zwischen den Myzhelminthen und Rhyngodeen eingeräumten Stellung.

87) Nach Beneden (a. a. O. 53) zeigen die reifen Glieder der Cestoden in ihrer ganzen Länge rechts und links am Rande Organe (oft für Ovarien genommen), welche opak sind und einen drüsenartigen Anblick bieten. Sie bestehen aus kurzen, leicht verzweigten Blindsäcken und sondern einen Schleim ab, der bestimmt ist, die Oberfläche schlüpfrig zu machen. Max Schultze behauptet hingegen nach seinen neuesten Untersuchungen in: Verhandl. d. phys. med. Gesellsch., Würzburg, IV (1854), 228, dass die zahlreichen zu beiden Seiten des Körpers liegenden kugeligen, mit feinkörniger Fettmasse gefüllten Blasen die Bildungsstätte des Dotters seien, während Beneden sie "organes de secretion cutanée" nannte und ihre Ausführungsgänge allein für die Dotterstöcke hielt.

Schultze's Beobachtungen wurden durch die neuesten von Beneden vorgenommenen Untersuchungen bestätigt, und es hat dieser Naturforscher desshalb seine frühere Ansicht zurückgenommen (Institut. 1854, 1070, 232).

68) Die geschlechtslosen Helminthen dieser Abtheilung sind entweder stets oder nur in ihrem jugendlichen Zustande geschlechtslos. Die letzteren zeigen in dieser Periode einen ungegliederten Körper und in den wesentlichen Theilen des Kopfes, den Sauggruben und Haken, eine vollkommene Übereinstimmung mit denen der erwachsenen geschlechtlichen Individuen, oder es treten nur solche weniger wichtige Modificationen ein, dass die Wahrscheinlichkeit der specifischen Einheit dadurch nicht gestört wird.

Vollkommen übereinstimmend hinsichtlich der Kopftheile in beiden Zuständen sind nach Van Beneden's Abhandlung in: Mémoires de l'Académie de Belgique, XXV:

der weibliche Geschlechts-Apparat aus dem Keimstocke, Dotterstocke, einem Uterus in Form einer vielfach gewundenen Röhre und einer Mutterscheide. Die Eier sind oval mit einer meist einfachen

— (Phyllobothrium) Thridax, Tab. V, fig. 4.

Onehobothrium (Euonehobothrium) uncinatum, Tab. XI, fig. 8.

— (Acanthobothrium) coronatum, Tab. IX, fig. 8.

im Allgemeinen übereinstimmend und nur in unwesentlichen Merkmalen abweichend sind:

Onehobothrium (Acanthebothrium) papilligerum, Tab. X, fig. 8, 9. Tetrabothrium (Orygmatobothrium) versatile, Tab. VII, fig. 9—11.

Die erwachsenen geschlechtslosen Thiere dieser Abtheilung erlangen entweder die Geschlechtsreife durch Übertragung in ein anderes Wohnthier (wie Ligula und Schistgeephalus, welche mit den Fischen, in deren Bauchhöhle sie ursprünglich leben, in den Speisecanal fischfressender Vögel gelangen und dort geschlechtlich entwickelt werden, ohne sonst in ihren Formen wesentliche Veränderungen zu erleiden), oder es ist der geschlechtsreife Zustand entweder noch zweifelhaft oder gänzlich unbekannt.

Zweiselhaft ist dieser Zustand bei Scolex polymorphus. Dujardin meint, es könnte der Bothriocephalus (Tetrabothrium) macrocephalus daraus werden oder noch wahrscheinlicher Bothriocephalus (Onchobothrium) coronatus und uncinatus, welcher letzteren Ansicht sich auch Siebold in: Zeitschrift für wissenschaftliche Zoologie, II, anschliesst. In diesem Falle wire die Kopsbildung der unentwickelten Thiere eine andere als jene der entwickelten, wogegen Beneden unentwickelte Individuen dieser beiden Arten von Onchobothrium sand, deren Kops mit jenem der entwickelten übereinstimmte. (Vergleiche die oben angesührten Abbildungen und Beneden's Abhandlung, 204.)

Von Steganobothrium meint Beneden, dass es vielleicht Jugendzustand von Phyllobothrium (Tetrabothrium) lactuca sein könnte, wogegen aber die bedeutende Verschiedenheit in der Kopfbildung beider Formen zu streiten scheint.

Stenobothrium macrobothrium soll nach Siebold vielleicht Jugendzustand von Bothriocephalus (Tetrarhynchobothrium) bicolor sein.

Weiter sollen nach Siebold a. a. O., Anthocephalus elongatus, granulum, paradoxus, rudicornis und Hippoglossi vulgaris, Dibothriorhynchus scolecinus und gracilis und endlich Tetrabothriorhynchus migratorius den geschlechtslosen Jugendzustand, dagegen Rhynchobothrium paleaceum, corollatum und tenuicolle den erwachsenen entwickelten Zustand einer und derselben Art bilden, weicher Siebold den Namen Tetrarhynchus corollatus beilegt.

Ginzlich unbekannt ist ein geschlechtlicher Zustand in den Gattungen und Arten (mit Ausnahme der noch zweifelhaften):

Sparganum.

Scolex megantiema.

- Acalepharum.

-- commutatus.

- decipiens.

Anthocephalus giganteus.

Acanthorhynchus.

Pterobothrium.

Dibothriorhynchus Linguatula.

-- excisus.

Tetrarhynchus s. strict.

Stenobothrium appendiculatum.

braungelben oder farblosen Ei-Schale und manchmal mit abspringendem Deckel. Die männlichen Geschlechtsorgane werden gebildet von den Hoden, welche entweder aus einer Reihe in einander mündender Blindsäcke oder aus einem zusammenhängenden spiralen Schlauche bestehen, von einem vas deferens, und einem Penis mit Penisbeutel. Der hervorstreckbare Penis ist entweder wehrlos oder am Grunde bewaffnet.

Die Spermatozoiden sind haarförmig und sehr beweglich.
Die Geschlechts-Organe münden entweder in eine gemeinschaftliche Geschlechts-Öffnung, oder die Geschlechts-Öffnungen sind getrennt und liegen entweder auf der einen oder andern Körperfläche oder auf einem oder beiden der Seitenränder, oder die einen auf der Fläche und die andern am Rande.

Die männlichen und weiblichen Geschlechts-Organe wiederholen sich sowohl bei den ungegliederten ***) als gegliederten Arten dieser Abtheilung hinter einander, stehen an demselben Thiere auf verschiedenen Entwickelungsstufen und nehmen an Ausbildung von vorne nach rückwärts zu, derart, dass sie nach vorne gänzlich verschwinden, nach hinten aber im letzten Gliede die volle Reife erreichen. Die letzten reifen Glieder werden häufig abgestossen ****op

. Kein Nervenganglion.

Von Sinnesorganen werden zwei glänzende rothe Punkte bei mehreren Arten der Gattung Scolex von einigen Naturforschern für Augen gehalten.

Die Thiere dieser Abtheilung sind vorzugsweise Parasiten in Fischen und Amphibien, seltener in Säugethieren oder Vögeln, und nur aus sehr wenigen wirbellosen Thieren bekannt. Auch der Mensch ist von ihnen nicht verschont.

Die Galtung Caryophyllaeus besitzt nur einen einzigen Penis sammt Beutel.

⁷⁰⁾ In Übereinstimmung mit seiner Ansicht über die Fortpflanzung dieser Helminthen nennt Van Beneden den ungegliederten Jugendzustand im Allgemeinen Scolex, den gegliederten Wurm Strobila und das abgestossene geschlechtsreife Endglied, welches er eigentlich für das vollkommene Thier hält, Proglottis. Diese Benennungen sind aber nicht durchaus in der Ordnung der Cephalocotyleen anwendbar, denn so ist z. B. der Leib der geschlechtlich entwickelten Ligula so wie jener des Disymphytobothrium und des Caryophyllaeus ungegliedert; sie können nicht als Scolex betrachtet werden, denn sie sind geschlechtlich; sie können nicht als Strobila bezeichnet werden, denn sie sind nicht gegliedert, endlich sind sie auch keine Proglottides, denn sie sind nicht abgelöste geschlechtsreife Glieder.

Die Geschlechtslosen kommen meist ausserhalb des Darmcanals eingekapselt oder frei vor, wogegen die geschlechtlichen sich fast immer im Darmcanal frei aufhalten.

Sie sind in 25 Gattungen mit 8 Untergattungen und 99 Arten (mit Ausschluss der zweifelhaften) vertheilt.

Die zweite Gruppe, welche die Taxobothrien bilden, zeichnet sich durch vier Sauggruben aus, welche unterhalb des oberen Kopfrandes in einer geraden oder bogenförmigen Linie vertheilt sind. Die Gruben sind meist spaltförmig, ganzrandig, nur selten dreilappig 71), in den Kopf eingesenkt.

Zu den Hülfsorganen der Befestigung gehört ein einfacher oder Doppelhaken am vorderen Ende jeder Grube, welcher aus derselben wie aus einer Scheide aus- und eingeschlagen werden kann.

Der Kopf ist der Form nach abgerundet ?3), abgestutzt 72), keulenförmig 74) oder fast dreieckig 75) und mit dem Körper gleichlaufend.

Die Mundöffnung liegt zwischen je zwei der Seitengruben ohne oder mit einem hervorstreckbaren Saugrüssel 76) versehen.

Ein Hals fehlt.

Der parench ymatöse Leib ist ungegliedert, entweder drehrund oder niedergedrückt, glatt oder ringförmig gefaltet, die Ränder der Ringfalten ganz oder gefranst 77). Das weibliche Schwanz-Ende abgerundet, zugespitzt, ausgerandet oder zweizinkig.

Der einfache aus einer Speiseröhre, einem Magen und einem kurzen Darm bestehende Verdauungs-Apparat ist an einem Ende durch den Mund, am andern durch einen After begrenzt und steht mit einem Gefässnetze in Verbindung. Die Geschlechter sind getrennt.

Der weibliche Geschlechts-Apparat wird von einem gegabelten Eierstock, einer zweihörnigen Gebärmutter mit sehr langem Eierschlauch und einer am Schwanz-Ende gelegenen Geschlechts-Öffnung; der männliche durch den Hoden und Oberhoden, das vas deferens, die Saamenblasen und den unterhalb der Mundöffnung hervortretenden Penis gebildet. Die Spermatozoiden sind verhältnissmässig gross 78).

⁷¹⁾ Pentastomum bifurcatum. 78) P. subcylindricum. 73) P. recurvatum. 74) P. gracile.
75) P. bifurcatum. 76) P. proboscideum. 77) Pentastomum denticulatum et serratum.

⁷⁸⁾ Über die Embryonen von Pentastomum und über die Stellung deraelben im Systeme, vergleiche die Note bei Pentastomum im synoptischen Theile dieser Abhandlung.

Die Taxobothrien besitzen ein Hauptnervenganglium, welches die Speiseröhre ringförmig umfasst und zahlreiche Nervenfäden nach allen Seiten ausschickt. Zwei Hauptnervenstämme laufen an der Rückenseite bis zur Schwanzspitze herab.

Auf der Oberstäche des Körpers sind Athemlöcher vorhanden. Die einzige 13 Arten zählende Gattung dieser Gruppe Pentastomum sindet sich sowohl im Menschen, als in Säugethieren, Amphibien und Fischen frei oder eingekapselt in den verschiedenartigsten Organen. Im Speisecanal kommen sie nie ursprünglich, sondern nur erratisch vor.

Die zweite grosse Abtheilung der Cephalocotyleen, die Cyclocotyleen, begreift sowohl zusammengesetzte als Einzelthiere. Sie besitzen 4 oder 8 einander gegenüberstehende Saugnäpfe, welche ursprünglich aus einer kreisrunden Scheibe bestehen, welche durch die gleichförmige Umschlagung ihres Randes Formen annimmt, welche sich mehr oder weniger den halbkugeligen, fast kugeligen, eiförmig oder birnförmig verlängerten anschliessen, derart, dass die mehr oder weniger kreisrunde Öffnung des Napfes der Basis desselben entgegengestellt ist.

Die vier Saugnäpfe liegen entweder unmittelbar am vorderen Kopf-Ende oder an den Seiten des Kopfes; nur bei der Gattung Amphoteromorphus liegt jeder Saugnapf seitlich am Kopfe in einer besonderen Grube, welche an der vorderen Fläche des viereckigen Halses sich befindet.

Bei der einzigen mit 8 Saugnäpfen versehenen Gattung Peltidocotyle liegen je 2 dieser Organe auf einem der 4 elliptischen, kreuzweise am Kopfe angewachsenen Schildchen.

Die Saugnäpfe sind entweder eingesenkt oder hervorstehend mit meist wulstigem Rande.

Der Kopf ist der Form nach scheibenförmig ⁷⁹), walzenförmig ⁸⁰), eiförmig ⁸¹), kegelförmig ⁸³), kugelich ⁸³) pyramidenförmig ⁸⁴), viereckig ⁸⁵) oder rautenförmig ⁸⁶) u. s. w. entweder vom Halse geschieden oder mit demselben gleichförmig verlaufend.

Die Mundöffnung befindet sich am Ende des Kopfes entweder unmittelbar oder an der Spitze eines vorstreckbaren Saug-

⁷⁹⁾ Sciadocephalus, Taenia macrorhyncha. 80) T. compacta. 81) T. crassula. 82) T. microsoma. 83) T. deadritica. 84) T. diminuta. 85) T. quadrata. 86) T. rhomboidea.

rüssels, unbewaffnet oder mit einem einfachen oder doppelten Hakenkranze umgeben. Der Umstand, dass der Hakenkranz mit der Zunahme des Alters des Wurmes häufig abfällt, erschwert oft die Bestimmung der Art, wesshalb es zu diesem Zwecke nöthig ist, nicht nur die bewaffneten, sondern auch die hakenlosen in Betracht zu ziehen.

Der Hals fehlt entweder, oder wo er vorhanden ist, ist er ungegliedert, entweder mit dem Körper gleichlaufend oder von ihm mehr oder weniger scharf geschieden.

Der parenchymatöse Leib ist meist niedergedrückt oder bandförmig, selten drehrund, ungegliedert oder gegliedert. Der ungegliederte, meist quergerunzelte Leib endigt nach hinten in eine
entweder vielen Individuen gemeinsame oder nur einem Individuum eigene Blase, welche meist mit einer klaren Flüssigkeit angefüllt ist; der gegliederte besteht aus einer unbestimmten Zahl von
Gliedern, unter deren sehr mannigfaltigen Formen die wichtigsten
sind: trichterförmig ⁸⁷), glockenförmig ⁸⁸), becherförmig ⁸⁹), rautenförmig ⁹⁰), viereckig ⁹¹), elliptisch ⁹³), eiförmig ⁹³), kreisförmig ⁹³), kugelförmig ⁹⁴), stabförmig ⁹⁶) u. s. w. Ihr Hinterrand
ist meist ganz, nur selten mondförmig ausgeschnitten ⁹⁷), gekerbt
oder gefranst ⁹⁸).

Die Verhältnisse der Glieder eines Thieres unter sich weichen nicht von jenen bei den Paramecocotyleen ab.

Darm canal ist keiner vorhanden. Der Gefäss-Apparat der Cyclocotyleen stimmt im wesentlichen mit jenem der Paramecocotyleen überein, jedoch beträgt die Zahl der Längsstämme in dieser Abtheilung, so weit man sie mit Bestimmtheit kennt, immer 4 und es ist das Vorkommen des contractilen Bläschens in dem ursprünglich letzten Gliede hier noch nicht beobachtet worden **).

 ⁸⁷⁾ Taenia infundibuliformis.
 88) T. campanulata.
 89) T. cyathiformis.
 90) T. rhomboidea.
 91) T. expansa.
 92) T. elliptica.
 93) T. farciminalis.
 94) T. dispar.
 95) T. cruciata
 96) T. festiva.
 97) T. Ralli.
 98) T. fimbriata.

⁹⁹⁾ Über die feinen Gefäss-Verzweigungen (Capillargefässe) vergleiche die Arbeit Blanchard's in: Annal. d. Sc. nat. 3. Ser. X, 332, Tab. XI, 1. (Taenia solium), 2. (T. serrata); Siebold, Bemerkungen darüber in: Zeitschrift für wissenschaftliche Zoologie, II, 206 und endlich die neuesten bei den Paramecocotyleen angeführten Beobachtungen Meissner's im 5. Bande der ebengemannten Zeitschrift, welche Blanchard's Untersuchungen theilweise bestätigen.

Unmittelbar unter der Haut dieser Thiere liegen eigenthümliche harte, kohlensauren Kalk enthaltende, ovale oder scheibenförmige Körperchen 100).

Die Cyclocotyleen sind entweder geschlechtslos 101) oder vereint geschlechtlich (Androgyna).

Bei diesen besteht der weibliche Geschlechts-Apparat aus dem Keimstocke, Dotterstocke, einem Uterus in Form eines zelligen oder mit vielen verästelten Blindsäcken versehenen Behälters und einer Mutterscheide. Die Eier sind fast immer von mehreren

Eine andere Art der Vermehrung wird von mehreren Naturforschern in der Weise angenommen, dass diese geschlechtslosen Formen durch Übertragung in den Darmeanal zu geschlechtlichen Taenien sich ausbilden sollen.

So soll z. B. aus Echinococcus nach Siebold (Band- und Blasenwürm. 95) im Darmeanale eines Hundes Taenia echinococcus werden. Coenurus cerebralis soil nach Haubner und Küchenmeister der Jugendzustand von Taenia Coenurus, nach Siebold a. a. O., 89 von T. serrata sein, worunter aber die erstgenannte Art um so gewisser verstanden sein dürfte, als Siebold die Taenia marginata des Wolfes, T. crassiceps des Fuchses, T. intermedia der Marder, T. solium und T. serrata sammtlich als zu einer und derselben Art gehörig betrachtet ; wogegen K ü c h e n m e i s t e r die Ansicht aufstellt, dass Taenia serrata Auct. aus 3 bisher verwechselten Arten bestehe und aus Cysticercus pisiformis, C. tennicollis und Coenurus sich entwickele. Ferner sollen als Entwickelungsphasen derselben Art zusammengehören: Cysticercus cellulosae mit Taenia solium, nach Küchenmeister; C. fasciolaris mit T. crassicollis nach Siebold, Zeitschrift, 221, und Küchenmeister oder mit T. murina Dujardin, nach Blanchard (Annal. 351); C. pisiformis, vielleicht mit T. pectinata, nach Blanchard, 354, dagegen mit T. serrata nach Beneden. Beneden behauptet (in Bulletin Acad. Belgique, XX. I, 239), dass aus der Übertragung dieses letzten Blasenschwanzes aus dem Peritonäum des Kaninchens und Hasens in dem Darmcanale des Hundes Taenia serrata entstehe. Er zeigte eine Reihe von Würmern aus dem Darmeanale des Hundes und bemerkte, dass die Dauer des Aufenthaltes des Cysticercus in diesem Organe von 2 Stunden bis 18 Tagen variire; nach 18 Tagen hätte die Taenia 3 Zoll Länge. Nach Siebold (Band- und Blasenwürmer 76, 80 und 86) soll sich durch Fütterung im Hunde sowohl aus Cysticercus pisiformis, als C. tenuicollis und C. cellulosae, Taenia serrata entwickeln. Vergleiche über die Entwickelung des C. pieiformis auch Lewald: De Cysticercorum in Taenias metamorphosi Diss. inaug. 1852 und Siebold, in: Zeitschrift für wissenschaftl. Zool. IV. 400,

¹⁰⁰⁾ Vergleiche Siebold's Handbuch der vergleichenden Anatomie, 115.

¹⁰¹⁾ Die geschlechtslosen Cyclocotyleen vermehren sich durch Sprossenbildung und die Sprösslinge gleichen dem Mutterthiere. Die Sprossenbildung geschieht entweder vollständig (Echinococcus) auf der inneren Fläche oder unvollständig auf der Oberfläche (Coenurus), einer vielen Individuen gemeinschaftlichen Schwanzblase oder vollständig innerhalb oder ausserhalb der Oberfläche einer nur einem Individuum angehörigen Schwanzblase (Cysticerus, Piestocystis).

farblosen Eihäuten umgeben und von mannigfaltiger Gestalt 102). Die männlich en Geschlechtsorgane werden auch hier von einem Hoden, vas deferens und Penis, mit dem die haarförmigen Spermatozoiden enthaltenden Penisbeutel gebildet. Der Penis ist meist glatt, manchmal stachelig oder borstig.

Die Geschlechtsöffnungen sind getrennt und liegen meist abwechselnd an den beiden Körperrändern; selten auf der Körperfläche 108) oder die weiblichen auf der Fläche, die männlichen am Rande 108).

Hinsichtlich der Wiederholung der Geschlechtsorgane an demselben Thiere gilt auch hier das bei der ersten Gruppe der Paramecocotyleen Gesagte.

Kein Nervenganglion 105).

Die Cyclocotyleen leben parasitisch im Menschen, in Säugethieren und Vögeln, seltener in Amphibien und Fischen.

Die Geschlechtslosen finden sich immer ausserhalb des Darmcanals in verschiedenen Organen eingekapselt oder frei; die Geschlechtlichen fast immer im Darmcanale.

Sie sind in 9 Gattungen mit 165 Arten (mit Ausschluss der zweifelhaften) vertheilt.

Die zweite Gruppe der Cyclocotyleen, nämlich die der Taxocyclocotyleen ist zwar bis jetzt noch nicht aufgefunden worden, mich aber an den noch immer unumstösslichen Ausspruch festhaltend: non datur saltus in natura, halte ich es für mehr als wahrscheinlich, dass die Repräsentanten derselben in den Eingeweiden der grossen Säugethiere des tropischen Asiens oder Africas sich vorfinden dürften.

¹⁰²⁾ Über die mannigfaltigen Formen der Eier, vergleiche Siebold in Burdach's Phys. II, 201 und Dujardin Hist. nat. des Helminth., Tab. IX—XII.

¹⁰³⁾ Taenia perlata. 104) Ephedrocephalus, Taenia ocellata.

¹⁰⁶⁾ Blanchard in den Annal. d. sc. nat., 3. ser., X. Bd., behauptet awar im Kopfe von Cysticercus und Taenien und namentlich der T. perfoliata und T. serrata Nervenknoten und Fäden entdeckt zu haben; welche Beobachtung jedoch seither nicht mehr bestätiget worden ist.

SPECIELLER THEIL.

Um dieser Abhandlung den möglichsten Grad der Vollständigkeit zu verleihen, ist in diesem Theile Alles aufgenommen worden, was seit der Erscheinung des I. Bandes des Systema Helminthum an Gattungen und Arten etc. neu hinzugekommen und mir zur Benützung zugänglich war.

Ordo IV. Cephalocotylea char. reform.

Entozoa cystica et Cestoidea omnia. Trematodum genus Pentastomum Rudolphi.

Character essentialis: Caput bothriis aut acetabulis instructum (Paramecocotylea aut Cyclocotylea).

Caput bothrio rarissime solum unico terminali aut 2, 4 v. 8 oppositis instructum (enantiobothria); nec tractus cibarius proprius nec anus (aprocta); — aut caput bothriis 4 uniserialibus instructum (taxobothria); tractus cibarius, simplex, ano stipatus (proctucha).

Caput a ceta bulis 4 v. 8 oppositis instructum (enantiocyclocotylea); nec tractus cibarius nec anus (aprocta); — aut caput acetabulis 4 uniserialibus instructum (taxocyclocotylea); tractus cibarius simplex, ano stipatus (proctucha) 1).

Character naturalis: Animalcula composita vel solitaria, alba vel grisea, transparentia v. opaca, coeca v. rarissime ocellata, praelonga, interdum ad 40—100 pedes increscentia. Corpus elongatum molle parenchymatosum, planum v. depressum, rarius teretiusculum, continuum (monarthra) v. articulatum (polyarthra), in receptaculum nunc in corporis extremitate caudali, nunc inter collum et corpus situm ampliatum, aut extremitate caudali in vesicam liquore limpido repletam tumens, nunc nec receptaculo nec vesica stipatum. Caput continuum vel collo (parte inarticulata pone caput) discretum. Acetabula nunc oblonga: in Paramecocotyleis (bothria s. foveae Auct.), marginibus suis patentia (anaegocheila), aut marginibus concreta (symphytocheila), nunc circularia in Cyclocotyleis

¹⁾ Character ultimus adhuc hypotheticus.

(acetabula s. oscula Auct.) capiti inserta. Os terminale vel subterminale anticum. Tractus intestinalis proprius nullus ejusque loco vasa longitudinalia 2, 4 aut 6 similibus transversalibus passim inter se juncta, vascula capillaria vibrantia reticulato-ramosa sub angulo recto emittentia; vasa longitudinalia antice in ramulos divisa, postice (in nonnullis saltem Paramecocotyleis) in articulo primitive ultimo in vesiculam contractilem, poro excretorio instructam, inserta; aut tractus intestinalis simplex ano stipatus cum rete vasculari junctus. Ganglion cerebrale in proctuchis solum visum. Organa genitalia nulla, aut utraque in uno individuo juncta, aut discreta. Penes (lemnisci Auct.) protractiles filiformes et aperturae genitalium femineae in androgynis (excepto Caryophyllaeo) postpositi numerosi, in illis sexu discreto singuli. Propagatio per prolificationem v. per ovula, in nonnullis adhuc dubia — Omnia endoparasita.

Sectio I. Paramecocotylea.

Caput bothriis 2, 4 v. 8 oppositis, rarissime unico terminali aut quatuor uniserialibus, proboscidibus nullis aut quatuor instructum. Corpus continuum vel articulatum. Animalcula solitaria organis genitalibus destituta vel androgyna, aprocta vel proctucha.

Subordo I. APROCTA.

Nec tractus intestinalis proprius nec anus.

* Proboscidibus nullis armata.

TRIBUS I. AGAMOARHYNCHOBOTHRIA.

Organa genitalia in animalculis in habitaculo primitivo degentibus nulla ac solum in individuis translatis evoluta — *Anaegocheila*.

* Dibothria: Bothria 2 inermia.

I. LIGULA BLOCH et CREPLIN char. reform.

Taenia et Fasciola Auctorum - Bothriocephalus Nitssek.

- I. Status in evolutus: Corpus continuum depressum longissimum sulco utrinque longitudinali simplici vel duplici exaratum. Nec caput discretum nec genitalia conspicua.
- II. Status evolutus: Corpus continuum depressum longissimum. Caput bothriis duobus, lateralibus oppositis sulciformibus. Os... Ovaria serie simplici vel duplici cum penibus in linea mediana.

In piscium fluviatilium, praeprimis Cyprinorum, cavo abdominis primitive; in avium piscivorarum ingluvie vel intestinis cum illis postmodum translata et in vario gradu evolutionis detenta.

l. Ligula menegramma CREPLIN.

Corpus continuum hinc inde transverse rugosum, in non evolutis sulco longitudinali simplici exaratum. Ovariorum series in evolutis solitaria continua vel alternatim interrupta. Longit. 1/2—5'; latit. 3'''—1".

Status inevolutus:

Ligula simplicissima *Blanchard* in: Annal. des se. nat. 3. Ser. XI. 134—136 (eum anatom.)

Ligula digramma stat. inevol. — Syst. Helm. I. 580. Nr. 2 (eum synon.). Ligula monogramma *Creplin*: in Wiegmann's Arch. 1851, 272.

Habitaculum. Leuciscus vulgaris (Pallas), L. rutilus (Hübner), L. erythrophthalmus (Bremser), L. Idus (Blanchard), Abramis Blicca (Goeze), A. Brama (Rudolphi et Bremser), Aspius alburnus (Bremser), Gobio vulgaris et Carassius Gibelio (Rudolphi), Amocoetes branchialis (Schrank), Acanthopsis Taenia (Frisch et Bloch), Salmo Salvelinus et Coregonus Wartmanni (Schrank), Silurus Glanis, Esox Lucius, Perca fluviatilis et Lucioperca Sandra: in cavo abdominis, vario anni tempore M. C. V.

Status evolutus.

Ligula sparsa Bellingham: in Ann. of nat. hist. XIV, 165. — Creplin: in Wiegmann's Arch. 1849. I, 69.

Ligula monogramma stat. evolut. — Syst. Helm. I. 579. Nr. 1 (cum synon.). — Creplin: in Wiegmann's Arch. 1851. 272.

Habitaculum. Falco chrysaetos (Braun), F. Albicilla (Bremser), Ciconia alba (Hildebrandt) et in Hibernia (Bellingham), Ardea Nycticorax et alba, Totanus Glottis, Sterna Hirundo et nigra, Colymbus septentrionalis et arcticus M. C. V. — Podiceps arcticus (Schilling), P. cristatus et rubricollis, Anas Boschas fera M. C. V. — Carbo Cormoranus (Creplin): cum piscibus depastis in intestina translata, vario anni tempore M. C. V.

2. Ligula digramma CREPLIN.

Corpus continuum passim transverse rugosum, in non evolutis sulcis longitudinalibus duobus 'parallelis exaratum. Ovariorum series: in evolutis duae alternantes v. interrupte oppositae. Longit. 1—1 1/2" et ultra; latit 3—6".

Status inevolutus.

Ligula monogramma stat. inevol.—Syst. Helm. I. 579. N. 1 (cum synon.). Ligula digramma *Creplin*, in: Ersch et Gruber Encycl. XXXII. 296 et in Wiegmann's Arch. 1851. 272.

Habitaculum. Carassius vulgaris: in abdomine vario anni tempore (Creplin et plur. alii, an et Pallas?).

Status evolutus:

Ligula alternans Creplin: in Wiegmann's Arch. 1849. I. 69. Ligula digramma stat. evolut. — Syst. Helm. I. 581. Nr. 2 (cum synon.)

Habitaculum. Larus tridactylus (Hübner), L. parasiticus, ridibundus et canus (Bremser), L. argentatus, Gryphiae (Schilling), Podiceps auritus (Bloch et Hübner), Colymbus articus et septentrionalis (Mehlis), Mergus Merganser (Nitzsch), M. Serrator et albellus M. C. V., Carbo Cormoranus (Creplin): cum piscibus depastis in intestina translata, vario anni tempore M. C. V.

Species inquirendae.

- 3. Ligula crispa RUDOLPHI. Syst. Helm. I. 583.
- 4. Ligula nedesa RUDOLPHI. Syst. Helm. I. 583.

II. SCHISTOCEPHALUS CREPLIN.

Schistocephalus dimerphus CREPLIN. — Syst. Helm. I, 584 adde:

Status inevolutus:

Bothriocephalus solidus Bellingham, in: Ann. of nat. hist. XIV. 254. Schistocephalus dimorphus (statu ante evolutionem) Creplin: in Wiegmann's Arch. 1849. I, 67, 68, 69, 72.

Habitaculum. Gasterosteus aculeatus: in cavo abdominis, in Hibernia (Allmann), Ardea stellaris (Creplin), Sterna Hirundo (Schilling), Colymbus arcticus, C. septentrionalis, Podiceps cristatus, P. subcristatus, Mergus Serrator, Uria Troile (Creplin), Mergus Merganser, Alca Torda (Schilling): in intestinis praesertim tenuibus; Colymbus septentrionalis; in proventriculo et ventriculo (Schilling).

Status evolutus:

Bothriocephalus nodosus Bellingham in: Ann. of nat. hist. XIV, 255. Schistocephalus dimorphus (stat. evolut.) Creplin: in Wiegmann's Arch.

1849. I. 60, 67 et 69. — Blanchard, in: Annal. des sc. nat. 3. Ser. XI. 121.

Habitaculum. Phoca foetida: in intestinis; Ardea stellaris (Creplin), Lestris pomarinus et Podiceps cornutus (obscurus), in Hibernia (Bellingham); Larus argentatus, L. argentatoides (Schilling) in intestinis tenuibus.

III. SPARGANUM DIESING.

Ligula Diesing.

Corpus continuum depressum longissimum sulco longitudinali nullo. Caput haud discretum bothriis duobus lateralibus oppositis. Organa genitalia nulla. — In Mammalium, Avium et Amphibiorum strato subcutaneo organisque variis aliis, excepto tractu intestinali, libere v. in folliculo endoparasita.

Status evolutus ignotus.

1. Sparganum reptans DIESING.

Corpus longissimum planum lineare, antrorsum incrassatum transverse rugosum, apice attenuatum, ceterum laeve, transparens. Bothria oblonga margine calloso retrorsum explanato. Longit. ad 1'; latit. 1—1'/4".

Corpus substantia granulosa conflatum. Canales longitudinales paralleli, in nonnullis saltem individuis conspicui.

Ligula reptans Diesing. — Syst. Helm. I, 581. — Creplin: in Wiegmann's Arch. 1851. 271.

Habitaculum. Cfr. Syst. Helm. l. c.

2. Sparganum affine DIESING.

Corpus lineare tenue, sublaeve, transparens, postice rotundatum. Caput incrassatum transverse rugosum apice obtuse trigonum. Bothria linearia. Longit. corp. 1" 9"; latit. 1/3"; crassit. 1/13".

Ligula Tritonis Leidy: in Proceed. Acad. Philadelph. V. 96.

Habitaculum. Lissotriton dorsalis: inter musculos dorsales (Baird.).

An a specie praecedente satis diversa?

Species inquirendae.

3. Sparganum Mygales moschatae DIESING.

Cephalocotyleum Mygales moschatae — Syst. Helm. I. 617.

Habitaculum. Mygale moschata; sub cute (Güldenstedt).

4. Sparganum Erinacei europaei DIESING.

Dubium Erinacei europaei Rud. — Syst. Helm. II. 345.

Habitaculum. Erinaceus europaeus: in thoracis hydatide (Tilesius).

5. Sparganum Falconis DIESING.

Cephalocotyleum Falconis. - Syst. Helm. I. 618.

Habitaculum. Falconis sp. incert.: in abdomine circa renes et ovaria (Tilesius).

6. Sparganum Strigis accipitrinae DIESING.

Cephalocotyleum Strigis accipitrinae. — Syst. Helm. I. 618.

Habitaculum. Strix accipitrina: sub pelle hypochondriorum (Naumann)

7. Sparganum Lanii pomerani DIESING.

Cephalocotyleum Lanii pomerani. - Syst. Helm. I. 618.

Habitaculum. Lanius rufus: in abdomine M. C. V.

8. Sparganum Ardeae coeruleae DIESING.

Cephalocotyleum Ardeae coruleae. - Syst. Helm. I. 618.

Habitaculum. Ardea coerulea: sub pelle et inter musculos colli et thoracis, in Brasilia (Natterer).

++ Tetrabothria: Bothria 4.

IV. SCOLEX MÜLLER char. reform.

Corpus elongatum depressum vel teretiusculum continuum. Caput subovale bothriis quatuor versatilibus cruciatim oppositis. Haustellum (Rostellum Auct.) terminale protractile inerme vel armatum. Os in rostelli apice. Organa genitalia nulla. — In piscibus marinis, rarius in molluscis tam marinis quam terrestribus, acalephis et insectis, nec non crustaceis endoparasita, libera aut in vesicula s. forsan in sporocystide vel sporotheca inclusa.

Status evolutus adhuc incertus.

De ocellis pone caput, seu punctis duobus sanguineis fulgentibus in hoc solum genere observatis, cfr. Siebold: in Handb. d. vergl. Anat. 126, idem in Zeitschr. für wissensch. Zool. II. 214 et Beneden: in Mém. Acad. Belgique XXV, 72.

* Haustellum inerme.

1. Scolex (Gymnoscolex) polymorphus RUDOLPHI. — Syst. Helm. I 597 adde:

Scolex polymorphus Bellingham in: Ann. of nat. hist. XIV, 164. — Sicbold in: Zeitschrift für wissenschaftl. Zool. II. 213—216. — Vern Beneden in: Mem. Acad. Belgique XXV. 71, Tab. I, 1—18.— Diesing. in: Sitaungsber. d. k. Akad. d. Wiss. X (1853), 41.

Habitaculo in meo tractatu modo cit. pag. 41 adde:

Conger vulgaris: in intestinis (Bellingham), Hippoglossus vulgaris: in appendicibus pyloricis et intestinis (Bellingham), in ventriculo (Beneden); Platessa Limanda: in ventriculo et intestinis (Bellingham), in ventriculo (Beneden); Lota Molva: in appendicibus pyloricis (Bellingham), in ventriculo (Beneden); Cyclopterus Lumpus: in intestinis, in Hibernia (Bellingham), in ventriculo (Beneden); Labrax Lupus, Trachinus Draco, T. vipera, Scomber Scombrus, Caranx trachurus, Cottus Scorpio, Mullus barbatus. Gadus Morrhua, G. Aeglefinus, G. barbatus (?), Merlangus carbonarius, M. communis, Platessa vulgaris, Rhombus vulgaris (?), Ammodytes tobianus: in ventriculo; Alausa vulgaris: in intestino caeco; Sepia officinalis, Carcinus maenas, Pagurus Bernardus: in intestinis, Ostendae (Beneden).

2. Scolex (Gymnoscolex) megantlema DIESING.

Corpus subcylindricum brevissimum. Caput bothriis subellipticis marginibus inflexis, septis transversalibus nullis. Haustellum subglobosum amplum capiti subaequilongum. Longit . . .

Scolex Rajae Van Beneden, in : Mém. Acad. Belgique XXV. 74, Tab. I. 23. Scolex Rajae Batis Van Beneden? l. c. Tab. I. 21, 22.

Habitaculum. Raja sp. incert.: in ventriculo; R. Batis: in intestinis, Ostendae (Beneden).

An species a praecedente distincta?

Scolex (Gymnoscolex) Acalepharum SARS. — Syst. Helm. I.
 599 et Sitz. Ber. d. kais. Akad. d. Wiss. X (1853). 42.

**Haustellum armatum.

4. Scelex (Onchescelex) commutatus DIESING in: Sitz. Ber. d. kais. Akad. d. Wiss. X (1853). 42 adde:

Ver vesiculaire Chaussat? in Gaz. medic. de Paris 20. ann. 3. Ser. V. (1850) 831.

Taenia Arionis Meissner, in: Zeitschr. für wissenschaftl. Zoolog. V. 380—391, Tab. XX (cum anatom).

Habitaculum. Arion empiricorum var. rufus: ad parietes cavi respiratoris, in sporocystide, Meudoniae (Chaussat), Hannoverae frequenter (Meissner) 1).

5. Scolex (Ouchoscolex) decipiens DIESING in: Sitz. Ber. l. c. 43*).

Species inquirendae.

6. Scolex (Gymnoscolex) Scyllii Caniculae BENEDEN.

Corpus subglobosum postice apiculo brevi. Caput subglobosum bothriis exiguis, suborbicularibus, septis transversalibus nullis. Haustellum . . . Longit . . .

Scolex Scillii Caniculae Beneden in: Mém. Acad. Belgique XXV. 74, Tab. I. 19, 20.

Habitaculum. Scyllium Canicula: in intestinis, Ostendae (Beneden).

Orygmatoscolex DIESING.

Corpus continuum. Caput a corpore strictura discretum quadrangulare, bothriis (quatuor?), singulo scrobiculis duobus postpositis, instructo. Os centrale acetabuliforme (haustello retracto?) Organa genitalia nulla.

1. Orygmatescolex pusillus DIESING.

Corpus contractum subglobosum, expansum ovale, transparens. Scrobiculi inaequales anteriores majores. — Animalcula microscopica.

Cestoideum Eledones Siebold in: Zeitsch. für wissenschaftl. Zoolog. II. 217—219. Taf. XV. 11.

Habitaculum. Eledone moschata: in intestinis libere vel interparietes intestinales, in vesiculis, Polae (Siebold).

Vermis nuperrime Tergesti a cl. Siebold in intestinis Musteli vulgaris repertus et eum illo Eledones moschatae pro statu juvenili Bothriocephali (Tetrabothrii) auriculati a cl. Beneden vero pro statu forsan juvenili Tetrabothrii (Orygmatobothrii) versatilis existimatus, ad hanc speciem majore jure revocandus.

¹⁾ Der Umstand, dass nach Meisener a. a. O. die 6 Häkchen nicht auf der Cyste, sondera im hinteren Drittheil oder Viertheil der Oberfläche des Wurmes in der Haut oder Leibeubstans neben einander festsitzend vorkommen, würde auf eine Weise der Entwickelung deuten, welche der bei Scolex decipiens dargestellten entgegengesetzt wäre, Es muss künftigen Beobachtungen anheimgestellt werden, diesen Widerspruch zu lösen.

^{*)} Ad calcem hujus generis forsan pertinet Cestoideum Eledones moschatae Siebold quod:

7. Scolex (Gymnoscolex) Rajae clavatae DIESING.

Corpus polymorphum postice apiculo brevi. Caput incrassatum bothriis subellipticis septis duobus transversis inaequaliter trilocularibus. Haustellum Longit. ¹/₈ — 1"".

Scolex Acanthobothrii coronati? Beneden in: Mém. Acad. Belgique XXV. 73. Tab. VIII.

Habitaculum. Raja clavata: in ventriculo, Ostendae (Beneden)

V. STEGANOBOTHRIUM DIESING.

Scolex Beneden.

Corpus subovatum continuum. Collum subcylindricum. Caput incrassatum, bothriis quatuor tubaeformibus cruciatim oppositis, antice capiti adnatis postice liberis membrana inter se junctis. Haustellum Organa genitalia nulla. Piscium marinorum endoparasita.

Status evolutus incertus.

1. Steganobothrium insigne DIESING.

Collum longum gracile. Longit. ad 3".

Scolex Phyllobothrii Lactucae? *Beneden* in: Mém. Acad. Belgique XXV. 73, Tab. I. 24, Tab. IV. 9—11.

Habitaculum. Mustelus vulgaris: in ventriculo, Ostendae (Beneden).

Statu evoluto secundum cl. Van Beneden forsan Phyllobothrium (Tetrabothrium) Lactuca.

TRIBUS II. GAMOARHYNCHOBOTHRIA.

Organa genitalia animalculorum in habitaculo primitivo degentium jam evoluta. — Androgyna, Anaegocheila aut Symphytocheila.

Subtrib. 1. ANAEGOCHEILA.

Bothria marginibus patentibus, nec concretis.

+ Monobothria: Bothrium unicum inerme.

VI. CARYOPHYLLAEUS GMEL.

1. Caryophyllaeus mutabilis RUDOLPHI. — Syst. Helm. I. 577 adde:

Blanchard in: Annal. des sc. nat. 3. Ser. X. 324. Tab. XII. 1—2 (cum anatom.). — Max. Schultze in: Verhandl. d. phys. med. Gesellsch. v. Würzburg IV. (1854) 228 (de organ. genital.).

†† Dibothria: Bothria duo inermia aut armata.

a. Bothriis inermibus.

VII. DIBOTHRIUM RUDOLPHI.

1. Dibothrium latum RUDOLPHI. — Syst. Helm. I. 585 adde:

Bothriocephalus latus *Bellingham* in: Ann. of nat. hist. XIV. 251. — William's ibid. 2. Ser. XII. 348. Tab. XIII. 9. — Blanchard in: Ann. des sc. nat. 3. Ser. XI. 110—116 (cum anatom.) — Dubini Entozoogr. umana 191—197. Tab. XII. XIII.

Taenia lata Pruner: Krankheiten d. Orients 1847. 245. — Tutschek in: Ausland 1853. Nr. 2.

Dibothrium latum Seeger: Bandwürmer der Menschen, 1852. 39 — 58. Taf. II. 1—17.

Habitaculum. Homo: rarius: in Hibernia (Aquilla Smith, Macartney et Graves), in montibus Syriae, prope Aleppo, in montibus Assir in Arabia, in Abyssinia et in regionibus a stirpe Aethiopica inhabitatis frequens, numquam in Aegypto (Prunner). — Prunero testante longitudinem 30—40 ulnarum et ultra vermis attingit.

 Dibethrium claviceps RUDOLPHI. — Syst. Helm. I. 589 adde: Bothriocephalus claviceps Bellingham in: Ann. of nat. hist. XIV. 251.

Habitaculum. Anguilla acutirostris: in intestinis, in Hibernia (Bellingham).

12. Dibethrium probescideum RUDOLPHI. — Syst. Helm. I. 590 adde. Bothriocephalus proboscideus Bellingham in: Ann. of nat. hist. XIV. 252. — Blanchard in: Annal. des sc. nat. 3. Ser. XI. 116—118; icon. ibid. X. Tab. XII. 8.

Habitaculum. Salmo Salar: in intestinis et appendicibus pyloricis; S. Trutta: in appendicibus pyloricis; S. Fario var. (Gillaroo trout): in intestinis, in Hibernia (Bellingham).

13. Dibethrium infundibuliforme RUDOLPHI — Syst. Helm. I. 590 adde:

Bothriocephalus infundibuliformis? Bellingham in: Ann. of nat. hist. XIV. 253.

Habitaculum. Salmo Trutta: in appendicibus pyloricis et intestinis, in Hibernia (Bellingham).

Dibethrium microcephalum RUDOLPHI. — Syst. Helm. I. 592 adde: Longit. 6"—3'; latit. 1—3".

Bothriocephalus microcephalus Bellingham in: Ann. of nat hist. XIV. 253. Habitaculum. Orthagoriscus Mola: in intestinis, in Hibernia (Bellingham). 20. Dibothrium punctatum RUDOLPHI. — Syst. Helm. I. 593 adde:

Bothriocephalus punctatus *Bellingham* in: Ann. of nat. hist. XIV. 254. — *Van Beneden* in: Bullet. Acad. Belgique XVI. II. 278 et in: Mem. Acad. Belgique XXV. 161. Tab. XXI.

Habitaculum. Rhombus maximus: in intestinis; Cottus Scorpius: in intestinis et appendicibus pyloricis, in Hibernia (Bellingham).

26. Dibethrium Pedicipedis DIESING.

Caput subsagittatum, bothriis subellipticis vel fissuraeformibus lateralibus capite longioribus. Collum nullum. Articuli lati, rugosi, brevissimi. Penis longus clavatus in articulis ultimis. Longit. 1½—2".

Bothriocephalus Podicipedis minoris Bellingham in: Ann. of nat. hist. XIV. 256.

Habitaculum. Podiceps minor: in intestinis tenuibus, in Hibernia (Bellingham).

Forsan Ligula statu evoluto?

β. Bothriis armatis.

VIII. TRIAENOPHORUS RUDOLPHI.

 Triaenepherus nedulesus RUDOLPHI. Syst. Helm. I. 604 adde Tricuspidaria nodulosa Van Beneden in: Mém. Acad. Belgique XXV. 164 Tab. XXII (cum anatom.)

Triaenophorus nodulosus Blanchard in: Annal. des sc. nat. 3. Ser. XI. 124—126 (cum anatom.). — G. Wagener: in Müller's Arch. 1851, 217 (de vas. capillar.).

Habitaculum. Esox Lucius: in intestinis, in Belgia (Beneden).

IX. ECHINOBOTHRIUM BENEDEN.

Corpus transverse plicatum vel articulatum, taeniaeforme. Collum depressum armatum. Caput versatile bothriis duobus lateralibus oppositis, infra marginem anticum processu horizontali protractili apice armato. Os... Aperturae genitales masculae in articulis posticis unilaterales, aperturae femineae..— Piscium marinorum endopaasita.

1. Rehinobothrium typus BENEDEN.

Caput depressum processibus conicis, apice uncinulis armatis bothriis oblongis versatilibus. Collum spinularum seriebus utrinque tribus longitudinalibus. Articuli superiores latiores quam longi, subsequentes longiores quam lati, ultimi duplo — triplo longiores quam lati, ovato lanceolati. Penes filiformes subinferi, porrecti longitudine articuli. Longit. ad $2\frac{1}{2}$ "; latit . . .

Echinobothrium typus Van Beneden in: Bullet. Acad. Belgique XVI. L. 182—192 cum Tab. (et anatom.). — Idem in: Mém. Acad. Belgique XXV. 160. — Blanchard in: Annal. des sc. nat. 3. Ser. XI. 126.

Habitaculum. Raja clavata: in intestinis in Belgia (Beneden).

††† Tetrabothria: Bothria quatuor inermia aut armata.

g. Bothrijs inermibus.

X. TETRABOTHRIUM RUDOLPHI char. auctus.

Taenia Auct., Rhytis Zeder, Bothriocephalus (Tetrabothrium) Rudolphi, Petalocephalus Van Lith de Jeude, Echeneibothrium, Phyllobothrium et Anthobothrium Beneden.

Corpus elongatum articulatum depressum vel teretiusculum. Caput corpore continuum vel collo discretum diversiforme, bothriis quatuor oppositis, lateralibus vel marginalibus, facie aut basi sua capiti adnatis. Os terminale. Aperturae genitales marginales v. laterales v. utrisque locis simul. Penes filiformes retractiles. — In Mammalium, avium et piscium marinorum intestinis.

Subgen. 1. EUTETRABOTHRIUM DIESING.

Bothria oblonga, subtriangularia aut subquadrangularia, nec scrobiculata, nec transverse costato-plicata, nec laciniata, nec marginibus crispata, tota facie, rarius solum margine antico v. postico capiti adnata.

1. Tetrabothrium (Rutetrabothrium) macrocephalum RUDOLPHI. — Syst. Helm. I. 599 adde:

Bothriocephalus macrocephalus Bellingham in: Ann. of nat. hist. XIV. 254. — Blanchard in: Annal. des sc. nat. 3 Ser. XI. 120.

Habitaculum. Colymbus septentrionalis et Podiceps cornutus: in intestinis tenuibus, in Hibernia (Bellingham).

- 2. Tetrabothrium (Kutetrabothrium) cyliudraceum RUDOLPHI. Syst. Helm. I. 600.
- 3. Tetrabothrium (Eutetrabothrium) heteroclitum DIESING. Syst. Helm. I. 600.
- 4. Tetrabethrium (Eutetrabethrium) emarginatum DIESING. Syst. Helm. I. 600.

- 5. Tetrabethrium (Rutetrabethrium) triangulare DIESING. Syst. Helm I. 601.
- 6. Tetrabethrium (Eutetrabethrium) anthecephalum DIESING. Syst. Helm. I. 601.

Subgen. 2. ECHENEIBOTRIUM VAN BENEDEN.

Bothria transverse costato-plicata versatilia margine postico interdum in pedicellum attenuato capiti adnata, haustello retractili.

7. Tetrabethrium (Echeneibethrium) tumidulum RUDOLPHI. — Syst. Helm. I. 601 adde:

Bothriocephalus tumidulus Bellingham in: Ann. of nat. hist. XIV. 255. — Blanchard in: Annal. des sc. nat. 3. Ser. XI. 120.

Habitaculum. Raja Batis: in intestinis, in Hibernia (Bellingham).

8. Tetrabethrium (Reheneibethrium) minimum DIESING.

Caput haustello exiguo, bothriis magnis cruciatim oppositis, versatilibus, costis 8—10. Collum longum. Articuli supremi subquadrati, subsequentes 5—6 plo. longiores quam lati, ultimi longe elliptici. Aperturae genitalium marginales; penes basi setosi. Longit. ad 8"; latit. ad 1/4".

Echeneibothrium minimum Van Beneden in: Mém. Academ. Belgique XXV. 113. Tab. II.

Habitaculum. Trygon Pastinaca: inter valvulas intestinorum, Martio et Augusto, Ostendae (Beneden).

Corpus pullorum in hac specie et sequente adhuc inarticulatum, capite cum illo adultorum penitus conformi.

9. Tetrabothrium (Echeneibothrium) variabile DIESING.

Caput haustello magno subgloboso, bothriis summe versatilibus, nunc linearibus v. ovalibus, nunc cochleariformibus vel calyciformibus, linea mediana longitudinaliter divisis et transverse pauce costatis. Collum longum. Articuli supremi latiores quam longi, medii quadrati, ultimi ovales. Aperturae genitalium marginales, penes basi haud setosi. Longit. ultra 4"; latit...

Echeneibothrium variabile Van Beneden in: Mém. Acad. Belgique XXV. 117. Tab. III.

Habitaculum. Raja clavata, Batis, rubus et asterias: in intestinis, omni anni tempore, frequens Ostendae (Beneden).

Tetrabothrium (Echeneibethrium) sphaerocephalum DIESING.
 — Syst. Helm. I. 602.

Subgen. 3. PHYLLOBOTHRIUM VAN BENEDEN.

Bothria laciniata crispata versatilia, sessilia.

11. Tetrabothrium (Phyllobothrium) Lactuca DIESING.

Caput subglobosum, bothriis subtriangularibus extremitate libera profunde bilobis, limbo laciniato-crispato marginato. Collum longissimum. Articuli subquadrati. Aperturae genitalium marginales. Longit. ad 1'; latit. retr. 2—21/2".

Bothriocephalus Echeneis *Leuckart*: (partim) Zool. Bruchst. I, Tab. I. solum Fig. 6 et 7.

Tetrabothrium tumidulum. — Syst. Helm. I. 601, quo ad notam in synonymia.

Phyllobothrium lactuca Van Beneden in: Mém. Acad. Belgique XXV. 120. Tab. IV. excl. fig. 9—11 (scolex).

Habitaculum. Trygon Pastinaca (Natterer); Mustelus vulgaris, Ostendae (Beneden); in intestinis: M. C. V.

Confer Steganobothrium.

12. Tetrabothrium (Phyllobothrium) Thridax DIESING.

Caput bothriis subtriangularibus, extremitate libera margine crenulatis, limbo crispato involuto. Collum longissimum. Articuli superiores brevissimi, subsequentes subquadrati, ultimi elongati. Aperturae genitalium marginales. Longit. ad 14"., latit. corp. antice 1/4", postice ad 2".

Phyllobothrium thridax Van Beneden in: Mém. Acad. Belgique XXV. 122.

Tab. V 1-3, 4 (stat. juv.) 5-11, exclus. Fig. 12-14.

Habitaculum. Squatina Angelus: in intestinis, Angusto, Ostendae (Beneden).

Fig. 12—14 l. c. hujus loci potius excludendae et Fig. 14 forsan ad Orygmatobothrium versatile stat. juv. referenda.

Subgen. 4. ORYGMATOBOTHRIUM DIESING.

Bothria scrobiculata.

13. Tetrabothrium (Orygmatobothrium) versatile DIESING.

Caput bothriis versatilibus cupuliformibus, nunc patentibus, nunc compressiusculis, scrobiculis duobus uno centrali altero submarginali instructis. Collum longum. Articuli superiores subquadrati, posteriores longiores quam lati. Aperturae genitalium marginales. Longit. 4—5",; latit. antice 1/4"; postice ad 3/4".

Bothriocephalus auriculatus Siebold (nec Rud.?) in: Zeitschr. f. wissensch. Zool. II. 218. Taf. XV. 12.

Anthobothrium Musteli Van Beneden in: Mém. Acad. Belgique XXV. 126. Tab. VII. 1—8, 9—11 (stat. juv.). Habitaculum. Mustelus vulgaris, Tergesti (Siebold), Ostendae (Beneden); Galeus Canis, Scyllium Canicula, frequens Ostendae (Beneden): in intestinis.

Phyllobothrium thridax statu juvenili Beneden l. c. t. V. 14 jure forsan ad hanc speciem referendum.

14. Tetrabothrium (Orygmatobothrium) persectum DIESING.

Caput bothriis cymbaeformibus versatilibus, scrobiculis duobus, antico multo minore quam postico. Collum longum. Articuli superiores rugaeformes, subsequentes subquadrati, ultimi longiores quam lati. Aperturae genitalium marginales. Latit. capit. 1/2—1"; longit. corp. 15—20"; latit. artic. adult. 21/2".

Ovula nigra elongata exappendiculata.

Anthobothrium perfectum *Beneden* in: Bullet. Acad. Belgique XX. II. 262. Tab. II.

Habitaculum. Laemargus borealis: inter valvulas spirales intestini, Majo, Ostendae (Beneden).

Subgen. 5. ANTHOBOTHRIUM VAN BENEDEN.

Bothria cyathiformia versatilia pedicello retractili.

15. Tetrabethrium (Anthebethrium) auriculatum RUDOLPHI. — Syst. Helm. I. 602 adde:

Bothriocephalus auriculatus *Blanchard* in: Annal. des sc. nat. 3. Ser. XI. 121. — *Valenciennes* in: Gazette med. de Par. 20. ann. 3. Ser. V. 119.

Habitaculum. Squatina (laevis) Angelus: in intestinis (Chaussat).

16. Tetrabothrium (Anthobothrium) cornucopiae DIESING.

Caput bothriis nunc cornuformibus, nunc mitraeformibus, nunc in discum explanatis. Collum longissimum tenuissimum. Articuli superores subquadrati, subsequentes parum longiores quam lati, ultimi margine postico processubus triangularibus utrinque duobus versus angulos sitis muniti. Aperturae genitalium marginales. Longit. ad 10" latit. ant. vix 1/4" (sec. icon.), post. ultra 2/4".

Anthobothrium cornucopia Van Beneden in : Mém. Acad. Belgique XXV 124. Tab. VI.

Habitaculum. Galeus Canis: in intestinis, Mustelus vulgaris; ad corporis superficiem, Ostendae (Beneden).

Tetrabothrio auriculato valde affine, articulorum ultimorum appendicibus vero diversum.

β. Bothriis armetis.

XI. ONCHOBOTHRIUM RUDOLPHI char. auctus.

Taenia Auct., Halysis Zeder, Bothriocephalus (Onchobothrium) Rudolphi Petalocephalus van Lith, Calliobothrium et Acanthobothrium Van Beneden, Tetrabothrium Leydig.

Corpus articulatum taeniaeforme. Caput corpore continuum vel collo discretum, bothriis quatuor oppositis, bothrio singulo uncinulis 2, 4 vel 6 simplicibus aut bis bifurcatis coronato. Os terminale. Aperturae genitalium marginales. — In Piscium marinorum intestinis endoparasita.

* Bothria uncinulis simplicibus coronata.

Subgen. 1. EUONCHOBOTHRIUM DIESING.

Bothrium singulum uncinulis 2 simplicibus armatum.

1. Onchebethrium (Euonchebethrium) uncinatum RUDOLPHI, char. reform.

Caput quadrangulare, collo longo, bothriis septis duobus transversis inaequaliter trilocularibus, apice convergentibus, uncinis duabus simplicibus ex utrisque apicibus dilatatis laminae corneae semicircularis prominentibus. Articuli supremi rugaeformes, mox subquadranguli, ultimi campanulati. Aperturae genitalium marginales. Longit. 7"—6"; latit. post. 1".

Onchob othrium uncinatum Syst. Helm. I. 606. — Van Beneden in: Mém. Acad. Belgique XXV. 135. Tab. XI.

Bothriocephalus uncinatus Siebold in: Zeitschr. f. wissenschaftl. Zool. II. 216.

Acanthobothrium uncinatum Van Beneden in: Bullet. Acad. Belgique XVI. II. 279. — Blanchard in: Annal. des sc. nat. 3. Ser. XI. 121—124 (cum anatom.).

Habitaculum. Raja Batis et clavata; Trygon Pastinaca: in intestinis, Februario et Martio, Ostendae (Beneden).

Secundum iconem cl. Beneden (tab. XI. f. 8) statu inevoluto corpus adhuc inarticulatum, capite cum illo adultorum penitus conformi.

Subgen. 2. CALLIOBOTHRIUM VAN BENEDEN.

Bothrium singulum uncinulis 4 simplicibus armatum.

2. Ouchobothrium (Calliobothrium) heteracanthum DIESING.

Caput magnum quadrangulare antice truncatum, collo mediocri, bothriis angularibus oblongo - ovatis, septis duobus transversis inaequaliter trilocularibus, uncinulis inaequalibus supraimpositis, superioribus longioribus parum curvatis, inferioribus validioribus magis curvatis. Articuli superiores latiores quam longi, subsequentes subquadrati, ultimi oblongi. Aperturae genitalium marginales, penibus alternantibus basi exasperatis. Longit. ad 3"; latit. ad 1/4".

Acanthobothrium Leuckartii *Van Beneden* in : Bullet. Acad. Belgique XVI. II. 279.

Calliobothrium Leuckartii Van Beneden in: Mém. Acad. Belgique XXV. 141. Tab. XIII.

Habitaculum. Mustelus vulgaris: in intestinis, haud raro, Ostendae (Beneden).

3. Inchebethrium (Calliebethrium) elegans DIESING.

Caput subquadrangulare, collo brevi, bothriis angularibus subellipticis, septis duobus transversis inaequaliter trilocularibus, apice antico papilla triloba scrobiculata instructis, uncinulis subaequalibus ad basin papillarum juxtapositis. Articuli superiores subquadrati, subsequentes longiores quam lati. Aperturae genitalium marginales. Longit. 2—2½"; latit...

Acanthobothrium Eschrichtii Van Beneden in: Bullet. Acad. Belgique XVI.
II. 280.

Calliobothrium Eschrichtii Van Beneden in: Mém. Acad. Belgique XXV. 142. Tab. XIV.

Habitaculum. Mustelus vulgaris: in intestinis, Ostendae (Beneden).

A specie subsequente praeprimis defectu processuum diversum.

4. Onchobethrium (Calliobethrium) verticillatum RUDOLPHI.

Caput subquadrangulare corpore continuum, bothriis angularibus subellipticis, septis duobus transversis inaequaliter trilocularibus, apice antico papilla triloba, lobulo singulo rotundato scrobiculato instructis, uncinulis aequalibus ad basin papillarum juxtapositis. Corpus antrorsum filiforme, retrorsum increscens, articulis margine postico processubus triangularibus in utroque latere quatuor. Aperturae genitalium marginales. Longit. 3—4"; latit. 1/2—1/2".

Onchobothrium verticillatum Rudolphi. — Syst. Helm. I. 606.
Bothriocephalus verticillatus Creplin: in Wiegmann's Arch. 1849. I. 73.
Acanthobothrium verticillatum Van Beneden in: Bullet. Acad. Belgique XVI. II. 279.

Calliobothrium verticillatum Van Beneden in: Mém. Acad. Belgique XXV. 138. Tab. XII. Habitae ulum. Hexanchus griseus: in intestinis crassis (Otto); Mustelus vulgaris, Galeus Canis, Squatina Angelus, vario anni tempore, haud raro, Ostendae (Beneden).

Subgen. 3. POLYONCHOBOTHRIUM DIESING.

Bothrium singulum uncinulis 6 simplicibus armatum.

5. Onchobothrium (Polyonchobothrium) septicolle DIESING.

Caput subglobosum, bothriis suborbicularibus uncinis 24 simplicibus, 6 bothrium singulum coronantibus, armatis, collo septis longitudinalibus 4 antrorsum versus bothria, retrorsum versus corpus directis instructo. Articuli superiores angusti, distantes, subsequentes latiores et multo breviores, ultimi iterum longiores subovales. Aperturae genitalium . . . Longit. 8"—13/4"; latit . . .

Tetrabothrium Polypteri *Leydig*: in Wiegmann's Arch. 1853. I. 219—221. Taf. XI. 1—5 (eum notit. anatom.)

Habitaculum. Polypterus Bichir: inter valvulas intestini (Leydig).

** Bothria uncinulis furcatis coronata.

Subgen. 4. ACANTHOBOTHRIUM VAN BENEDEN.

Bothrium singulum uncinulis bis bifurcatis armatum.

6. Onchobothrium (Acanthobothrium) corenatum RUDOLPHI.

Caput subquadratum collo longo, bothriis angularibus ovatooblongis, septis duobus transversis inaequaliter trilocularibus, apice
antico papilla contractili nunc subglobosa nunc scrobiculiformi
instructis, uncinis 4 bis bifurcatis, singulis bothrium singulum corotantibus ad basin papillarum sitis. Articuli superiores subquadrati,
postici vix duplo longiores quam lati, ultimi elliptici saepissime soluti.
Penes marginales prominentes. Longit. 3—8" et ultra; latit. 1"".

Onchobothrium coronatum Syst. Helm. I. 605.

Bothriocephalus coronatus Bellingham in: Ann. of nat. hist. XIV. 255.— Dujardin Hist. nat. des Helminth. 621 (exclus. Rajae clavatae cum Tab. XII. K.) — Siebold in: Zeitschr. f. wissensch. Zoologie. II. 216.

Acanthobothrium bifurcatum Van Beneden in: Bullet. Acad. Belgique XVI. II. 11.

Acanthobothrium coronatum Van Beneden in: Bullet. Acad. Belgique XVI. II. 278 et in Mém. Acad. Belgique XXV. 129. Tab. IX. — Blanchard in: Annal. des sc. nat. 3. Ser. XI. 121—124 (cum anatom.) Tab. XII. 9.

Habitaculum. Raja Batis: in intestinis crassis, in Hibernia (Bellingham), Ostendae (Beneden); R. clavata, Scyllium Canicula, Ostendae: in intestinis (Beneden).

Secundum iconem cl. V. Beneden Tab. IX. 8. corpus in statu inevoluto adhuc inarticulatum, capite illo adultorum penitus conformi.

7. Onchobothrium (Acanthobothrium) papilligerum DIESING.

Caput bothriis subellipticis, apice postico papilla foliacea, septis transversalibus nullis. Collum breve. Articuli superiores subquadrati, subsequentes multo longiores quam lati. Aperturae genitalium marginales. Longit. ad 10"; latit. post. ad 1/4".

Onchobothrium coronatum *Dujardin* (solum Rajae clavatae). Syst. Helm. I. 606.

Bothriocephalus coronatus *Dujardin*: Hist. nat. des Helminth. 621 (solum Rajae clavatae). Tab. XII. K.

Acanthobothrium Dujardinii Van Beneden in: Bullet. Acad. Belgique XVI. II. 278 et in: Mém. Acad. Belgique XXV. 133. Tab. X. 1—7, 8, 9.

Habitaculum. Raja clavata: in intestinis, Rhedoni (Dujardin), Ostendae (Beneden).

Corpus in statu inevoluto adhue inarticulatum, capite illo adultorum, papilla sola deficiente, conformi (Beneden, Tab. X. 8. 9.).

++++ Octobothria: Bothria 8 inermia.

XII. OCTOBOTHRIUM DIESING. — Syst. Helm. I. 603.

Subtrib. 2. SYMPHYTOCHEILA.

Bothria marginibus concreta.

* Disymphytobothria.

Bothria marginibus suis concretis in unum bothrium coalita.

XIII. DISYMPHYTOBOTHRIUM DIESING.

Bothrimonus Duvernoy.

Corpus elongatum depressum continuum. Collum nullum. Caput bothriis duobus, marginibus posticis capiti adnatis, marginibus lateralibus concretis, in bothrium unum caput includens coalitis, marginibus anticis patentibus. Os ... Aperturae genitalium in utroque latere uniseriales. — In intestinis piscium Americae borealis.

1. Disymphytobothrium paradoxum DIESING.

Corpus subaequale, retrorsum angustatum postice rotundatum, interdum fissum. Bothria subhemisphaerica marginibus suis in bothrium subglobosum coalita, apertura elongata. Longit. ad 2"; latit. ad 1".

Bothrimonus Sturionis *Duvernoy*. — Syst. Helm. I. 578. — *Blanckard* in: Annal. des sc. nat. 3. Ser. XI. 121. — *Creplin*: in Wiegmann's Arch. 1851. I. 297.

** Hecastosymphytobothria.

Bothria singula marginibus suis concreta.

+ Bothria marginibus suis immediate concreta.

XIV. SOLENOPHORUS CREPLIN char. reform.

Bothriocephalus Retzius, Prodicaelia Leblond, Bothridium Blainville.

Corpus utplurimum brevissime articulatum, taeniaeforme. Collum breve v. nullum. Caput incrassatum bothriis duobus oppositis marginalibus vel lateralibus, singulo marginibus suis lateralibus intime concretis, antice interdum et simul postice pervio. Os . . . Aperturae genitalium in articulis posticis laterales. — In intestinis Amphibiorum tropicorum praeprimis orbis veteris.

1. Selenophorus megacephalus CREPLIN.

Caput bothriis lateralibus, lagenaeformibus. Collum breve. Articuli supremi rugaeformes, sequentes transverse parallelopipedi, dein quadrati, ultimi longitudinaliter parallelopipedi, margine postico incrassato. Longit. corp. ad 19"; latit. 1½"; longit. capit. 2"; latit. 1½".

Solenophorus megacephalus *Creplin*. — Syst. Helm. I. 595.

Bothridium Pythonis *Blanchard* in: Annal. des sc. nat. 3. Ser. XI. 118—120 (cum anatom.)

2. Solenophorus evatus DIESING.

Caput bothriis lateralibus, ovalibus. Collum nullum. Articuli supremi brevissimi, subsequentes imbricato-perfoliati. Longit. corp. 6"—1'; latit. ad 5"; longit. capit. 11/2"; latit. 2".

Solenophorus ovatus Diesing. — Syst. Helm. I. 596.

3. Selenephorus grandis CREPLIN.

Caput bothriis lateralibus (?) tubuliformibus, antrorsum subcylindricis retrorsum incrassatis, postice obconicis. Collum breve. Articuli su premi brevissimi, subsequentes parum longiores, margine postico resupinato. Longit. corp. 6"; latit. 3"; longit. capit. 2"; latit. 2".

Solenophorus grandis Creplin. — Syst. Helm. I. 596.

4. Solenophorus laticeps DIESING.

Caput bothriis marginalibus subcylindricis, postice acuminatis. Collum nullum. Articuli brevissimi. Longit. 4—6"; latit. 1—3".

Solenophorus laticeps Diesing. — Syst. Helm. I. 596.

Species inquirenda:

5. Selenophorus imbriatus DIESING.

Caput bothriis infundibuliformibus, limbo fimbriatis.

Bothridium du varan du Nil Valenciennes in: Gazette med. de Paris. 20. Ann. 3. Ser. V. 119.

Habitaculum. Polydaedalus niloticus: in theriotrophio Parisiensi cum alvo depositum.

†† Bothria marginibus suis medio mediante jugo concreta.

XV. ZYGOBOTHRIUM. — Syst. Helm. I. 602.
(Deleatur nota l. c.)

** Proboscidibus quatuor armata.

TRIBUS III. AGAMORHYNCHOBOTHRIA.

Organa genitalia nulla. Corpus continuum receptaculo instructum vel destitutum — Anaegocheila.

Subtrib. 1. THECAPHORA.

Receptaculum inter collum et corpus vel ad corporis basin situm.

+ Dibothria: Bothria duo.

XVI. ANTHOCEPHALUS RUDOLPHI adde:

 Anthecephalus elengatus RUDOLPHI. — Syst. Helm. I. 561 adde: Edinburgh Philosoph. Journ... (1842, 1843 vel 1844).

Bellingham in: Charlesworth's Magaz. (1842, 1843 vel 1844) et in: Ann. of nat. hist. XIV. 399.

Floriceps saccatus Blanchard in: Annal. des sc. nat. 3. Ser. XI. 133.

Habitaculum. Orthagoriscus Mola: in hepate et peritoneo folliculo inclusus, Julio, in Hibernia (Bellingham).

Species inquirendae:

3. Anthocephalus Granulum RUDOLPHI. — Syst. Helm. I. 562. adde: Anthocephalus Granulum? Bellingham in: Ann. of nat. hist. XIV. 399 (cum descript.).

Anthocephalus Granulum Desir? in: Archiv. de Méd. compar. I. (1843) 309. Tab. IX. 15—20.

Habitaculum. Gadus luscus et Merlangus communis (vulgaris): in peritoneo intra folliculum duplicem (externo pyriformi oblongo flavido), nunc organorum substantiae immersum, nunc appendicibus pyloricis vel ventriculo mediante pedicello adhaerentem, in Hibernia (Bellingham); Scomber Scombrus: ad peritoneum ventriculi et intestinorum intra folliculum duplicem, Julio, Parisiis (Rayer et Désir).

4. Authocephalus paradexus DRUMMOND. Syst. Helm. I. 562. adde: Bellingham in: Ann. of nat. hist. XIV. 400.

Habitaculum. Rhombus maximus: in peritoneo intra folliculum, in Hibernia (Bellingham).

 Anthocephalus lippoglossi vulgaris BELLINGHAM. Longit. 3—6".

Anthocephalus Hippoglossi vulgaris *Bellingham* in: Ann. of nat. hist. XIV. 401 (descript. insufficiens).

Habitaculum. Hippoglossus vulgaris: in abdomine intra folliculum, in Hibernia (Bellingham).

7. Anthecephalus Gadi et Merlangi BELLINGHAM in: Ann. of nat. hist. XIV. 400.

Habitaculum. Gadus Aeglefinus, Merlangus Pollachius et M. carbonarius: in abdomine intra folliculum, in Hibernia (Bellingham).

8. Anthocephalus Meriucii et Triglae BELLINGHAM in: Ann. of nat. hist. XIV. 400.

Habitaculum. Merlucius vulgaris, Trigla Gurnardus et T. Pini: in abdomine intra folliculum, in Hibernia (Bellingham).

XVII. ACANTHORHYNCHUS DIESING.

- Acantherhynchus reptans DIESING. Syst. Helm. I. 563. adde: Tetrarhynchus strumosus Siebold in: Zeitschr. f. wissensch. Zool. II. 238 (part.).
- 2. Acantherhynchus herridus DIESING. Syst. Helm. I. 563 adde:

Gymnorhynchus horridus *Goodsir* in: Edinburgh new philosoph. Journ. 1841. 9. Tab. I. 4-8.

Tetrarhynchus strumosus Siebold in: Zeitschr. f. wissensch. Zool. II. 239 (partim).

†† Tetrabothria: Bothria quatuor.

XVIII. PTEROBOTHRIUM DIESING. — Syst. Helm. I. 564.

- Pterebethrium macreurum DIESING. Syst. Helm. I. 564. adde: Tetrarhynchus strumosus Siebold in: Zeitschr. f. wissensch. Zool. II. 238 (partim).
- 4. Pterebethrium Interruptum DIESING. Syst. Helm. I. 564. adde:
 Tetrarhynchus strumosus Siebold I. c. 238 (partim).

Subtrib. 2. ATHECA.

Receptaculum nullum.

† Dibothria: Bothria duo.

XIX. DIBOTHRIORHYNCHUS DIESING. — Syst. Helm. I. 566.

Corpus continuum teretiusculum aut depressiusculum. Collum tubulosum retractile corpore brevius. Caput bothriis duobus oppositis lateralibus. Proboscides quatuor terminales, armatae, retractiles. Os terminale (?) — Organa genitalia nulla. — In piscium marinorum cavo abdominis, carne et intestinis.

3. Dibethriorhynchus Linguatula DIESING.

Caput collo continuum apice rotundatum; bothriis angustis rimaeformibus limbo calloso, capiti immersis. Collum depressiusculum sublineare corpore latius. Proboscides breves clavatae apice scrobiculatae.
Corpus depressum lineare postice rotundatum. Longit. capit. et colli ad
10"; latit. ad 3"; longit. corporis ultra 2"; latit. ad 21/4" (sec. icon.)

Tetrarbynchus Linguatula Van Beneden in: Bullet. Acad. Belgique XX. II. 260. Tab. I.

Habitaculum. Laemargus borealis: in cavo abdominis ad peritoneum, Majo, Ostendae (Beneden).

4. Dibothriorhynchus excisus DIESING.

Caput collo continuum bothriis lateralibus (?) late ellipticis margine postico excisis. Proboscides filiformes. Collum tubulosum strictura a corpore discretum. Corpus subovatum. Longit. capit. et colli 2½—3′′′; latit. colli ad ½"′′; longit. corp. ad 2′′′; latit. corp. ultra 1′′′.

Tetrarhynchus? Van Beneden in: Mém. Acad. Belgique XXV. 150 Tab. XVI. 5—10.

Habitaculum. Trigla Hirundo: in cavo abdominis, semel Ostendae (Beneden).

Species inquirenda:

5. Dibothriorhynchus Mulli barbati DIESING.

Caput collo continuum bothriis subellipticis. Proboscides graciles breves. Collum tubulosum corpore vix angustius. Corpus elongatum postice attenuatum. Longit...latit...

Tetrarhynchus? Van Beneden 1. c. 146. Tab. XVI. 1-4.

Habitaculum. Mullus barbatus: in ventriculo et appendicibus pyloricis, Ostendae (Beneden).

XX. TETRARHYNCHUS 1) RUDOLPHI char. reform.

- 1. Tetrarhynchus megacephalus RUDOLPHI.—Syst. Helm. I. 567.adde: Siebold in: Zeitschr. f. wissensch. Zool. II. 237 (partim).
- 2. Tetrarhynchus discophorus RUDOLPHI. Syst. Helm. I. 568. adde: Tetrarhynchus megacephalus Siebold (nec Rud.) in: Zeitschr. f. wissensch. Zool. II. 238 (partim).
- 3. Tetrarhynchus attenuatus RUDOLPHI. Syst. Helm. I. 568. adde: Tetrarhynchus claviger Siebold in: Zeitschr. f. wissensch. Zool. IL 234 (partim).
 - 4. Tetrarhynchus grossus RUDOLPHI. Syst. Helm. I. 568. adde: Bellingham: in Ann. of nat. hist. XIV. 164.

Tetrarhynchus claviger Siebold in: Zeitschr. f. wissensch. Zool. II. 234 (partim).

Habitaculum. Salmo Salar: in intestino recto, in Hibernia (Drummond).

5. Tetrarhynchus solidus DRUMMOND.—Syst. Helm. I. 569. adde: Bellingham in: Ann. of nat. hist. XIV. 164.

Tetrarhynchus megacephalus Siebold (nec Rud.) in: Zeitschr. f. wissenschaftl. Zool. II. 568 (partim).

Habitaculum. Salmo Salar: in peritoneo et intestino recto, Julio, in Hibernia (Drummond), in cavo abdominis ad peritoneum, in Hibernia (Bellingham).

Species inquirendae:

 Tetrarhynchus Squali RUDOLPHI. — Syst Helm. I. 569. adde: Tetrarhynchus claviger Siebold in: Zeitschr. f. wissensch. Zool. II. 234 (partim).

++ Tetrabothria: Bothria quatuor.

XXI. TETRABOTHRIORHYNCHUS DIESING.

 Tetrabethrierhynchus migraterius DIESING. — Syst. Helm. 1. 573. adde:

Tetrarhynchus corollatus Siebold: in Zeitschr. f. wissensch. Zool. II. 241 partim, Tab. XV (ic. Miescheri bothriis solum duobus [?]).

¹⁾ Eine theilweise Entwickelungs-Geschichte dieser Gattung ohne Angabe der Artea, und zwar der einen aus dem Gekröse eines ascitischen Uranoscopus scaber, einer zweiten aus Trigla, aber ohne Angabe der Species und des Organs, und endlich einer dritten Art aus dem Muskelfleische des Mantels und dem Magenüberzuge von Sepis officinalis (vielleicht Tetrabothriorhynchus migratorius), nebst einer Bemerkung über die Gefässe und Flimmerbewegung in denselben lieferte R. Guido Wagener in: Müller's Arch. 1851. 211—220. Tab. VII.

Rhynchobothrius lingualis Van Beneden in: Bullet. Acad. Belgique XVI. II. 280 (Scolex).

Tetrarhynchus lingualis (scolex) Van Beneden? in: Mem. Acad. Belgique XXV. 151, Tab. XVII (Scolex Beneden) 1).

Tetrarhynchus Nordmann: in Zeitschr. f. wissensch. Zool. IV. 451 (de evolut.).

Habitaculum. Rhombus maximus; in cavo abdominis ad peritoneum in sporocystide subglobosa pedicellata; Solea vulgaris: in abdomine; Raja Batis *Linné*: in ventriculo libere, Ostendae (Beneden); Eledone moschata: inter tunicas ventriculi (Siebold).

Sporocystis hujus species a cl. viris Leblond et Miescher longa filiformis extremitatibus incrassata, a cl. Beneden subglobosa magnitudine pisi pedicello affixa visa.

Species inquirendae:

4. Tetrabothriorhynchus Aphroditae DIESING.

Vermes Hystricis marinae Redi: de animalculis vivis 281. Tab. XXV. 4 (rudis).

Tetrarbynchus Aphroditae Siebold in: Zeitschr. f. wissensch. Zool. II. 248. Nr. 1.

Habitaculum. Aphrodite aculeata: in cavo abdominis (Redi).

Tetrabethrierhynchus? Gadi Merrhuae et pisc. alier. DIESING.
Tetrarhynchus Gadi Morrhuae et piscium alierum Beneden in: Mém.
Acad. Belgique XXV. 148. Tab. XV. 1—3.

Habitaculum. Gadus Morrhua, et Aeglefinus, Belone Acus, Labrax Lupus, Cottus Scorpio, Trachini sp. (viva), Trigla Hirundo, Caranx trachurus: ad appendices pyloricas in sporocystide, Ostendae (Beneden).

Forsan Tetrabothriorhynchus migratorius.

6. Tetrabothriorhynchus Scombri DIESING.

Tetrarhynchus Beneden in: Mem. Acad. Belgique XXV. 147. Tab. XV.

Habitaculum. Scomber Scombrus: in appendicibus pyloricis in sporocystide, Julio, Ostendae (Beneden).

¹⁾ Nach Beneden's Eintheilung sollte unser Tetrabothriorhynchus migratorius, den er als Scolex, so wie Rhynchobothrium paleaceum, das er als Strobila derselben Art (seines Tetrarhynchus lingualis) ansieht, 4 Bothria haben. Ihre Anwesenheit jedoch ist an der Abbildung des Scolex nicht deutlich, bei der der Strobila hingegen sind deutlich nur 2 am Hinterrande ausgeschnittene Bothria vorhanden.

7. Tetrabothriorhynchus? Merlaugi vulganis DIESING.

Tetrarhynchus Beneden in: Mém. Acad. Belgique XXV. 150. Tab. XV. 4-16.

Habitaculum. Merlangus communis (vulgaris): ad peritoneum in sporocystide, Ostendae (Beneden).

XXII. STENOBOTHRIUM DIESING.

Syst. Helm. I. 575.

 Stenebethrium macrebethrium DIESING. — Syst. Helm. I. 575 adde: Tetrarhynchus macrobothrius Siebold in: Zeitschr. f. wissensch. Zool. II. 231 (partim).

TRIBUS IV. GAMORHYNCHOBOTHRIA.

Androgyna. Corpus articulatum. — Anaegocheila.

+ Dibothria: Bothria duo.

XXIII. RHYNCHOBOTHRIUM RUDOLPHI.

* Bothriis lateralibus.

1. Rhynchobothrium paleaceum RUDOLPHI.—Syst. Helm. I. 570 adde:
Bothriocephalus paleaceus Bellingham in: Ann. nat. hist. XIV. 255.

Tetrarhynchus corollatus Siebold in: Zeitschr. f. wissensch. Zool. II. 241 (partim).

Rhynchobothrius lingualis *Beneden* in: Bullet. Acad. Belgique XVI. Il. 280 (strobila).

Tetrarhynchus lingualis (atrobila) Beneden? in: Mém. Acad. Belgique XXV. 151. Tab. XVII.

Habitaculum. Acanthias vulgaris: in intestinis, in Hibernia (Bellingham), Ostendae (Beneden); Galeus Canis, Squatina Angelus, Raja Batis *Linné*: in intestinis, rarius in ventriculo, Ostendae (Beneden).

2. Bhyuchebethrium cerellatum RUDOLPHI. — Syst. Helm. I. 570 adde:

Bothriocephalus corollatus *Bellingham* in: Ann. of nat. hist. XIV. 255. Tetrarhynchus corollatus *Siebold* in: Zeitschr. f. wissensch. Zool. II. 241 (ex parte et exclus. synon.).

Rhynchobothrius corollatus *Blanchard* in: Annal. des sc. nat. 3. Ser. XI. 126—130 (cum anatom.), icon. in Vol. X. Tab. XII. 13.

Habitaculum. Acanthias vulgaris: in ventriculo et intestinis tenuibus et crassis, in Hibernia (Bellingham).

4. Rhynchebethrium tenuicelle. - Syst. Helm. I. 571 adde:

Tetrarhynchus eorollatus Siebold in : Zeitsch. f. wissensch. Zool. II. 241 (partim).

** Bothriis marginalibus.

8. Rhynchobothrium minutum BENEDEN.

Caput bothriis subovalibus marginalibus postice emarginatis, apice convergentibus. Collum longum subcylindricum. Corpus depressum parce articulatum, articulis multo longioribus quam latis, ultimo ovato-lanceolato. Aperturae genitalium . . . Longit. tot. ad 3"; latit. ad 1/4".

Rhynchobothrius minutus Van Beneden in: Bullet. Acad. Belgique XVI. II. 281.

Tetrarhynchus minutus Van Beneden in: Mém. Acad. Belgique XXV. 157 Tab. XX.

Habitaculum. Squatina Angelus: in intestinis, Ostendae (Beneden).

9. Bhynchebethrium lengicelle BENEDEN.

Caput bothriis subovatis marginalibus apice convergentibus (proboscidibus crassis). Collum longissimum cylindricum. Corpus depressiusculum, articulis supremis brevissimis, subsequentibus subquadratis. Aperturae genitalium... Longit. colli ad 1/2"; latit. ad 1/5"; longit. tot. 1 1/2"; latit. corp. postice 1".

Rhynchobothrius longicollis *Beneden* in: Bullet. Acad. Belgique XVI. II. 280.

Tetrarbynchus longicollis Beneden in: Mem. Acad. Belgique XXV. 156.

Habitaculum. Mustelus vulgaris: in intestinis, Augusto et Septembri, Ostendae (Beneden).

++ Tetrabothria: Bothria quatuor.

XXIV. TETRARHYNCHOBOTHRIUM DIESING.

Bothriocephalus Bartels, Rhynchobothrius Beneden et R. Leuckart, Tetrarhynchus Beneden.

Corpus depressum articulatum. Collum tubulosum. Caput bothriis quatuor lateralibus, binis oppositis. Proboscides quatuor terminales filiformes, armatae, retractiles. Aperturae genitalium marginales aut laterales. — In piscium marinorum intestinis.

1. Tetrarhynchobothrium tenuicolle DIESING.

Caput bothriis ovato — lanceolatis subfalcatis basi apiceque convergentibus. Proboscides capite longiores. Collum capite longius retrorsum parum increscens, corpore angustius. Corpus sublineare retrorsum sensim increscens, articulis supremis brevissimis, subsequentibus longioribus, ultimis 1½ — longioribus quam latis. Longit ad 3": latit. vix 1".

Tetrarhynchobothrium tenuicolle. - Syst. Helm. I. 576.

Habitaculum. Raja clavata: in intestinis, Augusto, in Dalmatia, (Kner) M. C. V.

2. Tetrarhynchobothrium affine DIESING.

Caput bothriis versatilibus, nunc subcylindricis, nunc subhemisphaericis excavatis. Proboscides breves graciles. Collum capite longius, subaequale, latitudine corporis. Corpus sublineare retrorsum sensim increscens, articulis supremis brevissimis, subsequentibus subquadratis, ultimis multo longioribus quam latis. Aperturae genitalium marginales vage alternae. Longit. ultra 3"; latit. postice 1"; longit. colli 1—11/4"; latit. ad 1/4".

Rhynchobothrius tetrabothrius Beneden in: Bullet, Acad. Belgique XVI.

Tetrarhynchus tetrabothrium *Beneden* in: Mém. Acad. Belgique XXV. 154. Tab. XVIII.

Habitaculum. Mustelus vulgaris, Acanthias vulgaris: in intestinis, Ostendae (Beneden).

3. Tetrarhynchobothrium rugosum DIESING.

Caput subclavatum, bothriis anguste ellipticis, postice in sulcum excurrentibus, capiti immersis ejusque fere longitudinis, parallelis, interstitiis transverse rugosis. Proboscides brevissimae gracillimae. Collum breve truncato-conicum, postice retractile, capite parum crassius. Corpus sublineare retrorsum sensim increscens, articulis supremis obsoletis, subsequentibus plus duplo latioribus quam longis. Aperturae genitalium in sulco longitudinali mediano corporis. Longit. capit. 2½—5"; crassit. ½"; longit. colli ½—1"; longit. corp. 6"—1"; latit. ½".

Rhynchobothrius rugosus Rud. Leuckart: in Wiegmann's Arch. 1850. I. 11-15. Tab. II. 2 (cum anatom.).

Habita culum. Charcharias vulgaris: in duodeno, Februario, in oceano atlantico versus aequatorem (Breusing).

Species inquirenda:

- 4. Tetrarhynchebethrium biceler DIESING.

Caput oblongum teres (violaceum), bothriis quatuor (?) angustis oblongis. Proboscides brevissimae gracillimae. Collum teres postice retractile. Corpus brevissime articulatum (albo-flavum) postice rotundatum. Aperturae genitalium in sulco mediano corporis. Longit. 1/2—2"; latit. 2".

Bothriocephalus bicolor *Bartels*: Syst. Helm. I. 608 adde:
Bothriocephalus bicolor? *Siebold* in: Zeitschr. f. wissensch. Zool. Vl.

Habitaculum. Pelamys Sarda: in intestino duodeno (Peters). Species praecedenti nimis affinis.

XXV. SYNDESMOBOTHRIUM *DIESING*. Synbothrium Syst. Helm. I. 576.

Subordo II. PROCTUCHA.

Tractus intestinalis simplex ano stipatus.

TRIBUS I. TAXOBOTHRIA DIESING.

Entozoa trematoda Rudolphi ex parte. Acanthotheca Diesing, Onchocephales Blainville.

Animalia solitaria, alia mascula, alia feminea ovipara. Corpus elongatum depressum v. teretiusculum, laeve v. transverse annulatoplicatum, annulis integris, v. fimbriatis. Caput corpore continuum, ore antico, utrinque bothriis duobus angustis rimaeformibus uniserialibus, hamulum simplicem v. compositum retractilem vaginantibus. Penis filiformis simplex infra os. Apertura feminea in apice caudali. Tractus intestinalis simplex, hinc ore, illinc ano terminatus. Systema vasorum. Stigmata respiratoria in corporis superficie. Ganglion cerebrale et fila duo nervea. — In mammalium, amphibiorum et piscium, praeprimis Americae tropicae, organis variis, excepto tractu intestinali, folliculo inclusa v. libera.

XXVI. PENTASTOMUM RUDOLPHI.

Taenia Chabert, Linguatula Fröhlich, Distoma et Porocephalus Humboldt, Tetragulus Bosc, Echinorhynchus Bronn, Halysis Zeder, Prionoderma Cuvier, Polystoma et Pentastoma Rudolphi, Monostomum Numau.

Character tribus simul generis unici.

Secundum cl. Van Beneden embryo Linguatulae (Pentastomi) probeseideae et Linguatulae Diesingii (Pentastomi euryzoni) pedicellis 4 ventralibus in quadrangulum dispositis articulatis apice uncino armatis est instructus, statu vero evoluto pedicellos in bothria quatuor uncinis armata transformatos offert et hanc ob rem a cl. observatore in Crustaceorum classem transfertur.

Cfr. etiam T. D. Schubart l. infr. c.

 Pentastemum taenieldes RUDOLPHI. — Syst, Helm. I. 609 adde: Linguatula taenieides Blanchard in: Annal. des sc. nat. 3. Ser. VIII. 127. XII. 49—50. — Idem in Regn. anim. nouv. edit. Zooph. Tab. XXIX. 2. et in Voyage en Sicile Vers. Tab. XXV. 2., nec non in Regn. anim. illust, Zooph. Tab. XXVIII.

Pentastoma taenioides Bellingham in: Ann. of nat. hist. XIV. 162. — Schubart in: Zeitschr. f. wissensch. Zool. IV. 117—118. Taf. VII. 1—8. VIII. 9—12 (de evolut.).

Habitaculum. Canis familiaris: in sinu frontali, raro, in Hibernia (Bellingham).

3*. Pentastemum constrictum SIEBOLD.

Corpus elongatum apice caudali acuminatum, ventre planum, dorso convexiusculum, passim annulato-constrictum. Caput obtusum Longit. 1/2".

Nematoideum Pruner Krankh. d. Orients. 1847, 249—250. Fig. II. 1 et 2. Nematoideum Hominis (viscerum) Pruner. — Syst. Helm. II. 329. (Pentastomum?).

Pentastomum constrictum Sichold in; Zeitschr. f. wissensch. Zool. IV. 65-70. Tab. V. 19, 20.

Habitaculum. Homo aethiopicus: ad superficiem anticam et posticam hepatis, ad intestina tenuia et ad laminas mesenterii in vesicis subannuliformibus v. ellipticis diametri fere 6" inclusum; erratice vesica haud inclusum in duodeno (Pruner) — in hepate hydatidibus inclusum et erratice in intestino tenui, Aprili, in Aegypto (Bilharz).

4. Pentastemum subcylindricum DIESING.—Syst. Helm. I. 611 adde: Pentastomum Didelphidis virginianae Leidy in: Proceed. Acad. nat. sc. Philad. V. 96.

Habitaculum. Didelphys virginiana: ad paginam inferiorem peritonei hepatis, capsula inclusum, Philadelphiae (Leidy).

 Pentastemum eurysenum DIESING. — Syst. Helm. I. 611 adde: Linguatula Diesingii Beneden in: Mém. Acad. Belgique XXIII. 24. Pentastomum tornatum Creplin: in Wiegmann's Arch. 1849. I. 54. Pentastomum eurysenum Leidy in: Proceed. Acad. nat. sc. Philad. V. 97. Habitaculum. Simia Maimon: in omento et mesenterio (Schultze), S. Cynomolgus: in omento majore (Gurlt), Simia Sphingiola *Herm*. (Cynocephalus porcarius): ad superficiem hepatis, capsula inclusum, Philadelphiae (Leidy).

- 6. Pentastemum probescideum RUDOLPHI.—Syst. Helm. I. 612 adde: Linguatula probescidea Beneden in: Mém. Acad. Belgique XXIII. 26. Blanchard in: Regn. anim. nouv. edit. Zooph. Tab. XXIX. 2 et in: Voyage en Sicile Vers. Tab. XXV et in: Annal. des sc. nat. 3. Ser. XII. 42—49 (cum anatom.).
- Pentastemum denticulatum RUDOLPHI.—Syst. Helm. I. 615 adde: Pentastema denticulatum Creplin: in Wiegmann's Arch. 1851. I. 276 et 278.

Habitaculum. Capra Hircus var. reversa: ad intestina (Creplin); Lepus Cuniculus domest.: ad pulmones et in peritoneo, folliculo inclusum, Gryphiae (Eichstedt).

13. Pentastemum serratum RUDO'LPHI. — Syst. Helm. I. 616 adde:
Linguatula ferox Gros: in Bullet. de Moscou XXII. 551, Tab. VI A.
Habitaculum. Lepus Cuniculus: ad pulmones et ad vesicam
felleam, Novembri et Decembri, Varsoviae (Gros).

A specie praecedente haud diversa.

Sectio II. Cyclocotylea.

Caput acetabulis 4 aut 8 oppositis (aut quatuor uniserialibus) 1). Corpus continuum extremitate caudali in vesicam tumens, aut corpus articulatum taeniaeforme. — Animalcula composita vel solitaria organis genitalibus destituta aut androgyna, aprocta vel (proctucha) 2).

Basis suborbicularis acetabuli suctorii aperturae suctoriae subcir-' culari diametraliter opposita.

Subordo I. APROCTA.

Nec tractus intestinalis proprius nec anus.

TRIBUS I. AGAMOCYCLOCOTYLEA.

Organa genitalia nulla; multiplicatio per prolificationem ad paginam internam vel externam vesicae. Corpus continuum.

¹⁾ Character adhue hypotheticus.

²⁾ Subordo hypotheticus.

† Animalcula composita.

XXVII. ECHINOCOCCUS RUDOLPHI.

Rehinococcus polymorphus DIESING. — Syst. Helm. I. 482 adde:
 Behinococcus Hominis E. Wilson in: Medico-chirurg. Transact. XXVIII.

 21. cum Tab. — Creplin: in Wiegmann's Arch. 1849. I. 53 (de evolut). — Dubini: Entozoogr. umana 214—223. Tab. XIV.

Echinococcus veterinorum Blanchard in: Regn. anim. nouv edit. Zooph. Tab. XLI. 4 et in: Annal. des sc. nat. 3. Ser. X. 357.

Echinococcus Arietis Blanchard in: Regn. anim. nouv edit. Zooph. Tab. XLI. 4 et in Annal. des sc. nat. 3. Ser. X. 360 (de evolut.) et cfr. Sichold in: Zeitschr. f. wissensch. Zool. II. 229.

XXVIII. COENURUS RUDOLPHI.

Coenurus cerebralis RUDOLPHI. — Syst. Helm. I. 485 adde:
 Bellingham in: Ann. of nat. hist. XIV. 401. — Blanchard in: Regn. anim.
 nouv edit. Zooph. Tab. XL. 4 et in Annal. des sc. nat. 3. Ser. X.
 361. — Siebold in: Zeitschr. f. wissensch. Zool. II. 226. — Idem
 Band- u. Blasenw. 1854. 89 et 103. Fig. 29 (ovis) 30 (vituli). —
 Quatrefages (Extrait des deux lettres de Van Beneden) in: Compt.
 rend. XXXIX (1854) 46 de evolut. et transform.

Habitaculum. Capra Aries: in cerebro, in Hibernia (Bellingham). Bos Taurus: in vitulorum cerebro; in Germania meridionali satis frequens; in Germania septentrionali, rarissime (Siebold).

++ Animalcula solitaria.

XXIX. CYSTICERCUS RUDOLPHI.

1. Cysticereus cellulesac RUDOLPHI. — Syst. Helm. I. 486 adde:

Sendler: Cystic. cellul. monograph. Diss. inaug. Hal. 1843. cum Tab.

(praecipue de syst. vas.). — Bellingham in: Ann. of nat. hist. XIV. 398.

— Dubini Entozoograf. umana 198—206. Tab. XIV.

Habitaculum. Sus Scrofa domest: inter musculos in folliculo, in Hibernia (Bellingham).

Vas annulare capitis cum vasis 4 longitudinaliter in corpus decurrentibus, saepe inter se anastomosantibus, retrorsumque accedentibus vasis minoribus valde increscentibus junctum vidit Sendler l. c.

2. Cysticercus tenuicellis RUDOLPHI. — Syst. Helm. I. 488 adde: Bellingham in: Ann. of nat. hist. XIV. 397.—Creplin: in Wiegm. Arch. 1851. I. 278. — G. Wagener: in Müller's Arch. 1851. 217 (de vascul. capillar.).

Habitaculum. Capra Hircus var. reversa: ad intestina (Creplin); C. Aries et Sus Scrofa: in peritoneo in folliculo, in Hibernia (Bellingham).

3. Cysticercus pisifermis ZEDER. — Syst. Helm. I. 489 adde:

Taenia pisiformis Gmelin: Syst. nat. 3061. N. 16.

Taenia cordata Gmelin: Syst. nat. 3061. N. 15.

Cysticercus pisiformis Bellingham in: Ann. of nat. hist. XIV. 398. — Blanchard in: Regn. anim. nouv. edit. Zooph. Tab. XLI. 1 et 1 a.; et in Annal. des sc. nat. 3. Ser. X. 352. — Van Beneden in: Bullet. Acad. Belgique XX. I. 239.

Habitaculum. Lepus Cuniculus: in peritoneo in folliculo, in Hibernia (Bellingham).

4. Cysticereus elengatus LEUCKART. — Syst. Helm. I. 490 adde: Hydatigena utriculenta Goeze: Naturg. 219, Tab. XVIII B. 8, 9. — Schrank: Vers. 30, N. 95.

Hydatigena utricularis Batsch: Bandw. 99.

Taenia utricularis Gmelin: Syst. nat. 3061. N. 17.

Cysticercus pisiformis Dujardin: Hist. nat. des Helminth. 634 (partim).

Cysticercus elongatus Creplin: in Wiegmann's Arch. 1851. I. 276 (expositio synonym. reformata et hine syn. Hydat. utric. in specie praecedente delendum).

Habitaculum. Lepus timidus: ad uterum (Goeze), L. Cuniculus: in peritoneo intra capsulam (Leuckart), in mesenterio et omento Novembri et Julio, Gryphiae (Eichstedt).

Cysticereus fascielaris RUDOLPHI. — Syst. Helm. I. 491 adde:
 Bellingham in: Ann. of nat. hist. XIV. 397. — Blanchard in: Regn. anim. nouv. edit. Zooph. Tab. XLI. 2 et in: Annal. des sc. nat. 3. Ser. X. 351 (cum anatom.) — Siebold in: Zeitsehr. f. wissensch. Zool. II. 221.

Habita culum. Mus decumanus et M. Musculus: in hepate in folliculo membranaceo, in Hibernia (Bellingham).

In individuis Muris Musculi vesicam caudalem corpore multo longiorem et haustellum, fortasse inerme, observavit el. Bellingham.

Species inquirendae

13*. Cysticercus dubius OTTO.

Creplin: in Wiegmann's Arch. 1849. L 58 (solum nomen).

Habitaculum. Pedetes caffer (capensis) Desm. . . . (Otto).

13**. Cysticercus Hominis dubius.

Schleisner: Forsög til en Nosographie of Island. Kjöbenhavn 1849. et extr. in Janus Central-Mag. f. Gesch. u. Liter. Gesch. d. Medicin I 300

Cysticercus? Siebold: Band- u. Blasenwürmer. 1854. 112.

Habitaculum. Homo: in hepate aliisque organis abdominalibus, nec non sub cute, in Islandia endemice (Schleisner).

XXX. PIESTOCYSTIS DIESING.

- Piestecystis crispa DIESING. Syst. Helm. I. 494 adde: Cysticercus crispus Siebold in: Zeitsehr. f. wissensch. Zool. H. 223.
- Piestecystis Dithyridium DIESING. Syst. Helm. I. 495 adde: Monostomum Lacertae Gurlt. — Syst. Helm. I. 331. Tetrathyrus obesus Creplin: in Wiegmann's Arch. 1851. I. 292.

TRIBUS II. GAMOCYCLOCOTYLEA.

Androgyna. Corpus articulatum.

† Tetracotylea: Acetabula 4.

XXXI. TAENIA LINNÉ. — Syst. Helm. I. 496. adde:

Anoplocephala Blanchard.

Sectio I. Arhynchotaenia.

Haustellum (Rostellum Auct.) nullum. Os inerme vel armatum.

c. Os inerme.

1. Taenia expansa RUDOLPHI. — Syst. Helm. I. 497. adde: Bellingham in: Ann. of pat. hist. XIV. 319.

Habitaculum. Capra Aries: in intestinis, in Hibernia (Bellingham).

3. Taenia pectinata GOEZE. — Syst. Helm. I. 498. adde:

Bellingham in: Ann. of nat. hist. XIV. 318.

Anoplocophala pectinata *Blanchard* in: Annal. des sc. nat. 3. Ser. X. 346, Tab. XI. 6 (juv.) de pull.

Habitaculum. Lepus Cuniculus ferus: in intestinis tenuibus, in Hibernia (Bellingham), Parisiis (Blanchard).

- 6. Taenia perfeliata GOEZE. Syst. Helm. I. 499. adde:
 - Anoplocephala perfoliata *Blanchard* in: Regn. anim. nouv. edit. Zooph. Tab. XXXIX. 2 et in: Annal. des sc. nat. 3. Ser. X. 345 (de syst. nerv. et de pullis).
 - Individua juvenilia organis genitalibus nondum evolutis cl. Blanchard observavit.
- 18. Taenia tenuicellis RUDOLPHI. Syst. Helm. I. 504. adde: Creplin: in Wiegmann's Arch. 1851. I. 289.

Ex observatione cl. Creplin speciebus armatis adnumeranda.

23. Taenia perlata Goeze. — Syst. Helm. I. 505. adde: Taenia margaritifera Creplin: in Wiegmann's Arch. 1851. I. 282. Habitaculum. Falco Milvus: in intestinis, Junio, Gryphiae (Creplin). 30. Taenia nasuta RUDOLPHI. — Syst. Helm. I. 508. adde:

Bellingham in: Ann. nat. hist. XIV. 319.

Creplin: in Wiegmann's Arch. 1851. I. 289.

Habitaculum. Parus coeruleus: in intestinis, in Hibernia (Bellingham).

Cl. Creplin caput armatum vidit.

36. Taenia microps DIESING. — Syst. Helm. I. 510. adde:

Taenia tumens *Meklis?* — *Creplin*: in Wiegmann's Arch. 1846. I. 133 et 1851. I. 285.

38. Taenia dispar GOEZE. — Syst. Helm. I. 511. adde:

Beneden in: Compt. rend. 1853. 2. semest. 788 et in: Annal. des sc. nat. 3. Ser. XX. 318 et Institut. 1854. N. 1059 (de evolut.).

Taenia pulchella Leidy: in Proceed. Acad. nat. sc. Philadelph. V. 241.

Habitaculum. Buso americanus: in intestinis tenuibus, Philadelphiae (Leidy); Rana temporaria: in intestinis, in Belgia (Beneden).

40. Taenia filicollis RUDOLPHI. — Syst. Helm. I. 512. adde:

Bellingham in: Ann. of nat. hist. XIV. 319.

Habitaculum. Gasterosteus aculeatus: in intestinis, Julio, in Hibernia (Bellingham).

43. Taenia ecellata RUDOLPHI. — Syst. Helm. I. 513. adde:

Aperturae genitalium femineae laterales. Penes marginales. Taenia ocellata Siebold: Handb. d. vergl. Anat. 147 (de apert. genital.).

β. Os limbo elevato uncinularum corona simplici vel duplici interdum decidua armatum.

47. Taenia Solium LINNÉ. — Syst. Helm. I. 514. adde:

Platner: in Müller's Arch. 1838. Heft 5. Taf. I. 17 (anatom.). — Bellingham in: Ann. of nat. hist. XIV. 321 — Pruner: Krankh. d. Orients 1847. 245 (et de remediis). — Blanchard in: Regn. anim. nouv. edit. Zooph. Tab. XXXIX. 1 et in Annal. des sc. nat. 3. Ser. X. 329—337, Tab. XI. 1. XII. 3, 4 (cum anatom.). — Dubini Entozoograf. umana 174—190. Tab. X. XI. — Seeger: Die Bandwürmer des Menschen 1852. 11—38. Tab. I. 1—8, 10—25; Tab. II. 18—23. — Küchenmeister: Cestoden 1853. 85—107. Tab. I. 1—4, 9°, 9°, 11, 18; Tab. II. 1. 2. — Williams in: Ann. of nat. hist. 2. Ser. XII. 348. Tab. XIII. 6 (de nutrit. et respirat.)

Habitaculum. Homo: in Hibernia (Bellingham).

Var. mediocanellata.

Caput subglobosum obtuse tetragonum ore inermi, acetabulis magnis angularibus anticis vel subterminalibus. Collum . . . Articuli supremi brevissimi triplo latiores quam longi, subsequentes parum latiores quam longi. Aperturae genitalium vage alternae marginales. Longit . . .

Bothriocephalus tropicus Schmidtmüller in: Hannover'sch. Annal. Jahrg. VII. Hft. 5 et 6. 602.

Taenia destoda Nicolai? in: Ammon, Choulant et Ficinus Neue Zeitsch.
f. Natur- und Heilkunde, I. 464.

Taenia tenella Pruner? Krankh. d. Orients 1847. 245 in nota.

Taenia mediocanellata Küchenmeister in: Prager Vierteljahrschr. et ej.: Cestoden 1853. 107—120. Tab. I. 5, 12, 13; Tab. II. 3—6; Tab. III. 1—3, 5, 6 (Vermis et ejus partes).

Habitaculum. Homo: in Batavia in Aethiopis (Schmidtmüller), in Aegypto (Pruner)? Hollandia, Saxonia, Würtembergia et ad littora maris baltici et germanici (Küchenmeister).

In Taeniae solium articulis ramus principalis uteri tortuosus absque omni praeparatione conspicuus; in var. mediocanellalae articulis Kali caustico tractatis uteri ramus principalis rectus, quibus characteribus, monente el. Küchenmeister, utraeque facile discriminandae.

Vix pisi Taenia solium inermis.

50. Taenia serrata GOEZE. — Syst. Helm. I. 517. adde:

Bellingham in: Ann. of nat. hist. XIV. 321. — Blanchard in: Annal. des sc. nat. 3. Ser. X. 337. Tab. XI. 2; XII. 5—6 (cum anatom.). — Seeger: Die Bandwürmer der Menschen 1852. Tab. I. 9 (syst. nervorum) fig. Blanchardii.

53. Taenia crassicellis RUDOLPHI. — Syst. Helm. I. 519, adde:

Bellingham in: Ann. of nat. hist. XIV. 321. — Siebold in: Zeitschr. f. wissensch. Zool. II. 221 (de transform. e Cysticerco fasciolari). Taenia crassicollis? Bellingham l. c. 322.

Habitaculum. Felis Catus ferus: in intestinis tenuibus, in duodeno, Martio; Felis maniculata: in intestinis tenuibus, in Hibernia (Bellingham).

53*. Tacnia conocephala DIESING.

Caput conicum magnum, ore prominulo corona duplici armato, acetabulis 'subhemisphaericis capiti immersis. Collum subnullum. Articuli supremi breves et lati, mediani duplo latiores quam longi, subsequentes subquadrati, ultimi longiores quam lati. Aperturae genitalium . . . Longit. ad 4"; latit

Taenia Foinae Blanchard in: Annal. des sc. nat. 3. Ser. X. 343. Tab. XI. 5 (cum anatom.).

Habitaculum. Mustela Foina: in intestinis, Parisiis (Blanchard).

55. Taenia compacta RUDOLPHI. — Syst. Helm. I. 520. adde: Creplin: in Wiegmann's Arch. 1849. I. 55 (de spec. dubiis.).

Sectio II. Rhynchotaenia.

Os in haustelli protractilis apice, inerme v. armatum.

a. Os inerme.

Taenia lanceolata BLOCH. — Syst. Helm. I. 521. adde:
 Bellingham in: Ann. of nat. hist. XIV. 319. — Creplin: in Wiegm. Arch. 1851. I. 289.

Habitaculum. Anas ferina: in intestinis tenuibus, in Hibernia (Bellingham).

Ex observatione cl. Creplin ad species armatas referenda.

59*. Taenia transverse elliptica DIESING.

Caput parvum subhemisphaericum acetabulis magnis profundis. Haustellum pyriforme dimidiae capitis longitudinis. Articuli supremi transverse elliptici, subsequentes brevissimi rugaeformes. Aperturae genitalium . . . Longit.

Taenia Fuligulae ferinae Bellingham in: Ann. of nat. hist. XIV. 323.

Habitaculum. Anas ferina: in intestinis tenuibus, Januario, copiose, in Hibernia (Bellingham).

- 60. Taenia Malleus GOEZE. Syst. Helm. I. 522. adde: Creplin: in Wiegmann's Arch. 1851. I. 289.
- Ex observatione cl. Creplin ad species armatas referenda.
- 63. Taenia sphacrophera RUDOLPHI. Syst. Helm. I. 523. adde: Bellingham in: Ann. of nat. hist. XIV. 319.

Habitaculum. Numenius arquatus: in intestinis, in Hibernia (Bellingham).

- 64. Tacuia variabilis RUDOLPHI. Syst. Helm. I. 523. adde: Creplin: in Wiegmann's Arch. 1851. I. 289.
 Secundum el. Creplin species armata.
- 64.* Taenia brachyrhyncha CREPLIN.

Caput parvum acetabulis lateralibus magnis. Haustellum breve. Collum breve filiforme. Corpus antrorsum filiforme, dein sensim latitudine increscens, fine denuo decrescens. Articuli primum bre-

vissimi, tum breves, aut subrecti, aut marginibus lateralibus convexiusculis, aut (medii) cuneati simulque minus breves, ultimi magis elongati, margine postico omnium protracto ac tegente. Aperturae genitalium...Longit ad 6"; latit. medio corp. 1 1/8", postice circa 1/4".

Taenia brachyrhyncha *Creplin:* in Abh. d. naturf. Gesellsch. Halle 1853.

Habitaculum. Dicholophus Marcgravi: in intestinis tenuibus, Julio, copiose, Terra dos Campos in Brasilia (Burmeister).

66. Taenia laevigata RUDOLPHI. — Syst. Helm. I. 524. adde: Bellingham in: Ann. of nat. hist. XIV. 319.

Habitaculum. Charadrius Hiaticula: in intestinis, in Hibernia (Bellingham).

- 67. Taenia amphitricha BUDOLPHI. Syst. Helm. I. 524. adde: Creplin: in Wiegmann's Arch. 1851. I. 289.
- Taenia cyathiformis FRÖLICH. Syst. Helm. I. 525. adde: Bellingham in: Ann. of nat. hist. XIV. 319. — Creplin: in Wiegmann's Arch. 1851. I. 289.

Habitaculum. Cypselus apus: in intestinis, in Hibernia (Bellingham).

- 73. Taenia bacillaris GOEZE. Syst. Helm. I. 526. adde: Creplin: in Wiegmann's Arch. 1851. I. 289.
- Secundum cl. Creplin species 67, 68 et 73 armatis adnumerandae.
- 74. Taenia platycephala RUDOLPHI. Syst. Helm. I. 527. adde: Bellingham in: Ann. of nat. hist. XIV. 320. Creplin: in Wiogmann's Arch. 1849. I. 65.

Habitaculum. Sylvia fluviatilis (Schilling), S. rubecula: in Hibernia (Bellingham): in intestinis.

75. Taenia aequabilis RUDOLPHI. — Syst. Helm. I. 527. adde: Bellingham in: Ann. of nat. hist. XIV. 320.

Habitaculum. Anas Cygnus ferus, A. Marila: in intestinis tenuibus, in Hibernia (Bellingham).

77. Taenia tennirestris RUDOLPHI. — Syst. Helm. I. 528. adde: Bellingham in: Ann. of nat. hist. XIV. 320.

Habitaculum. Mergus Merganser: in intestinis tenuibus, in Hibernia (Bellingham).

80. Tacnia capillaris *RUDOLPHI*. — Syst. Helm. I. 529. adde: Creplin: in Wiegmann's Arch. 1851. l. 289.

83. Taenia Filum GOEZE. - Syst. Helm. I. 530, adde:

Bellingham in: Ann. of nat. hist. XIV. 320. — Creplin: in Wiegmann's Arch. 1849. I. 67 et 1851. I. 289.

Taenia filum Creplin? l. c. 1849. I. 67.

Habitaculum. Tringa pugnax: in Hibernia (Bellingham), Scolopax major, Tringa minuta (Schilling): in intestinis.

87. Taenia cucumerina BLOCH. - Syst. Helm. I. 531, adde:

Bellingham in: Ann. of nat. hist. XIV. 319. — Creplin: in Wiegmann's Arch. 1851. I. 289. — Röll in: Zeitschr. d. k. Gesellsch. d. Ärzte zu Wien 1852. März. — Siebold Band- und Blasenw. 110. Fig. 36.
Taenia canina Blanchard in: Annal. des sc. nat. 3. Ser. X. 339. Tab. XI 3, 4, Tab. XII. 7 (cum anatom.).

Habitaculum. Canis familiaris: in intestinis tenuibus, in Hibernia (Bellingham).

88. Taenia elliptica BATSCH. — Syst. Helm. I. 532. adde:

Bellingham in: Ann. of nat. hist. XIV. 320. — Creplin: in Wiegmann's Arch. 1851. I. 289.

Habitaculum. Felis maniculata domest.: in intestinis tenuibus, in Hibernia (Bellingham).

Species 80, 83, 87 et 88 teste cl. Creplin ad armatas referendae.

90. Taenia leptocephala CREPLIN — Syst. Helm. I. 533. adde: Creplin: in Wiegmann's Arch. 1849. I. 57.

90.* Taenia imbricata DIESING.

Caput ovale. Haustellum breve. Collum . . . Articuli imbricati, supremi brevissimi, subsequentes latiores quam longi, ultimus oblongus. Aperturae genitalium marginales vage alternae. Longit. 1 1/3".

Taenia pusilla? Bellingham in: Ann. of nat. hist. XIV. 320.

Habitaculum. Mus Musculus: in intestinis tenuibus, in Hibernia (Bellingham).

90.** Taenia brachydera DIESING.

Caput parvum subglobosum, acetabulis orbicularibus prominulis. Haustellum cylindricum breve. Collum breve vel subnullum. Corpus filiforme antrorsum obsolete articulatum, articulis subsequentibus brevissimis sublinearibus gradatim longioribus, angulis acutis. Aperturae genitalium....Longit. 3—4½".

Taenia Muris decumani Bellingham in: Ann. of nat. hist. XIV. 322.

Habitaculum. Mus decumanus: in intestinis tenuibus, in Hibernia (Bellingham).

- 91. Taenia candelabraria GOEZE. Syst. Helm. I. 533. adde. Creplin: in Wiegmann's Arch. 1851. L. 289.
 Secundum cl. Creplin species armata.
- 92. Taenia farciminalis BATSCH. Syst. Helm. I. 534. adde: Bellingham in: Ann. of nat. hist. XIV. 320.

Habitaculum. Sturnus vulgaris: in intestinis tenuibus in Hibernia (Bellingham).

β. Os armatum.

95*. Tacnia nana BILHARZ et SIEBOLD.

Caput antice obtusum, versus collum sensim attenuatum, acetabulis subglobosis. Haustellum pyriforme uncinulorum bifidorum corona armatum. Collum . . . Corpus filiforme depressum articulis transversis. Aperturae genitalium femineae . . . Penes omnes unum eundemque marginem spectantes. Longit. 6".

Ovula globosa testa laevi simplici instructa.

Taenia nana Siebold in: Zeitschrift. f. wissenschaftl. Zool. IV. 64-65, Tab. V. 18.

Habitaculum. Homo aegyptiacus: in intestino tenui copiosissime, ast semel reperta, Kahirae (Bilharz).

96*. Taenia echinococcus SIEBOLD.

Caput subglobosum, acetabulis Haustellum rotundatum uncinulorum corona duplici armatum. Collum longiusculum postice constrictum. Corpus articulis duobus oblongis. Aperturae genitalium marginales alternantes. Longit. 11/2".

Taenia cucumerina juven. Rudolphi?: Entoz. hist. I.411 (solum de pullo Taeniae in Cane fricatore reperto). — Syst. Helm. I. 532. in nota.

Taenia serrata *Röll* nec *Goeze*: in Verhandl. d. physik. medic. Gesellsch. in Würzburg III. (1852), 55 et in k. Gesellsch. d. Ärzte zu Wien 1852. März (de pull.) cum Fig. xylograph.

Taenia Echinococcus Siebold in: Zeitschr. f. wissensch. Zool. IV. 409, Tab. XVI A. 1—8, 9 (caput abnorme acetabulis 6.).— Giebel in: Zeitschr. f. d. gesammt. Naturwissensch. Halle. 1853. 452.

Habitaculum Canis familiaris: in intestinis tenuibus (Siebold).

Species secundum auctorem in intestinis Canis e transformatione Echinocoecorum depastorum orta, nisi armata Taeniae cucumerinae pulla.

105. Taenia angulata RUDOLPHI. — Syst. Helm. I. 538. adde: Bellingham in: Ann. of nat. hist. XIV. 320.

Habitaculum. Turdus Musicus, T. Merula, T. pilaris: in intestinis tenuibus, in Hibernia (Bellingham).

108*. Taenia aspera MEHLIS.

Caput ovale acetabulis orbicularibus exiguis anticis. Haustellum validum uncinarum corona duplici armatum. Collum nullum. Corpus retrorsum latius, articulis brevibus cuneatis. Aperturae genitalium marginales nunc oppositae nunc alternae. Penes fortissimi uncinulis asperi, utrinque exserti. Longit. 23/4"—1'; latit. 21/2— ad 4".

Taenia lanceolata Rudolphi nec Goeze: Synops. 488—489 (solum Podicipedis subcristati).

Taenia aspera *Mehlis* in: Isis 1831. 196. (in nota). — *Creplin:* in Wiegmann's Arch. 1846. I. 139 et 1851. I. 288.

Habitaculum. Podiceps subcristatus: in intestinis, Aprili, Berolini (Rudolphi), Klausthaliae (Mehlis).

109. Taenia aenta RUDOLPHI. — Syst. Helm. I. 539. adde: Creplin in: Wiegmann's Arch. 1851. I. 272.

Habitaculum. Vespertilio serotinus: in intestinis (Creplin).

112. Taenia inflata RUDOLPHI. — Syst. Helm. I. 540. adde: Bellingham: in Ann. of nat. hist. XIV. 321.

Habitaculum. Fulica atra: in intestinis tenuibus, Aprili, in Hibernia (Bellingham).

113. Taenia setigera FRÖLICH. — Syst. Helm. I. 540. adde: Bellingham 1. c. 321.

Habitaculum. Anas Anser, A. Olor: in intestinis tenuibus, in Hibernia (Bellingham).

114. Taenia laevis BLOCH. — Syst. Helm. I. 541. adde: Bellingham 1. c. 320.

Habitaculum. Anas ferina, A. Marila, A. Fuligula: in intestinis tenuibus, in Hibernia (Bellingham).

115. Taenia gracilis RUDOLPHI. — Syst. Helm. I. 541. adde: Bellingham-1. c. 320. — Röll in: Zeitschr. d. k. Gesellsch. d. Ärzte. zu Wien 1852. (Marz) (de pullis).

Habitaculum. Anas Boschas fera: in intestino crasso: in Hibernia (Bellingham).

116. Taenia sinuesa RUDOLPHI. — Syst. Helm. I. 542. adde: Bellingham l. c. 321.

Habitaculum. Anas Boschas domest.: in intestinis, in Hibernia (Bellingham).

121. Taenia infundibuliformis GOEZE. -- Syst. Helm I. 543. adde: Bellingham 1. c. 319.

Habitaculum. Phasianus Gallus, Anas Boschas fera et domest. (?) Fringilla domestica (?): in intestinis tenuibus, in Hibernia (Bellingham).

125. Taenia stylesa RUDOLPHI. — Syst. Helm. I. 546. adde: Bellingham I. c. 320. — Creplin: in Wiegmann's Arch. 1851. L. 284.

Habitaculum. Corvus Pica in Hibernia (Bellingham), C. Monedula, Majo, Gryphiae (Creplin): in intestinis tenuibus.

126. Tacnia peresa RUDOLPHI. — Syst. Helm. I. 546. adde: Bellingham l. c. 322 (in copula).

Habitaculum. Larus argentatus: in intestinis tenuibus, in Hibernia (Bellingham).

135. Taenia multifermis CREPLIN. — Syst. Helm. I. 549. adde: Creplin: in Wiegmann's Arch. 1851. I. 287 (de identitate cum T. Unguicula).

Species inquirendae:

154. Taenia crenulata SCHULTZE. — Syst. Helm. I. 553. adde: Creplin: in Wiegmann's Arch. 1849. I. 63.

Teste cl. Creplin l. c. Taeniae globiferae specimen deformatum.

189. Taenia Turdi Musici Nr. 1. BELLINGHAM.

Caput parvum acetabulis magnis. Haustellum cylindricum breve crassum armatum. Corpus filiforme retrorsum parum dilatatum, articulis supremis brevibus, subsequentibus longioribus quam latis sub-infundibuliformibus, ultimis latioribus quam longis transverse sub-ellipticis. Aperturae genitalium . . . Longit. ad 2".

Taenia Turdi Musici N. 1. Bellingham in: Ann. of nat. hist. XIV. 322.

Habitaculum. Turdus Musicus: in initio intestinorum tenuium, in Hibernia (Bellingham).

190. Taenia Turdi Musici Nr. 2. BELLINGHAM.

Caput magnum acetebulis distinctis. Haustellum brevissimum, crassum, clavatum armatum. Collum breve. Articuli supremi indistincti rugaeformes, latitudine capitis, subsequentes longitudine increscentes attamen latiores quam longi, articulo ultimo brevi. Aperturae genitalium . . . Longit. 1"—11s".

Taenia Turdi Musici N. 2 Bellingham 1. c. 322.

Habitaculum. Turdus Musicus: in intestinis tennibus crassa versus, in Hibernia (Bellingham).

190*. Taenia Coenurus KÜCHENMEISTER.

Haubner in: Gurtl's Mag. t. d. gesammte Thierheilk. 1854. II. 243—260.— Röll in: Zeitschr. d. k. Gesellsch. d. Ärzte (14. Juli 1854) sub prelo. Taenia serrata, Siebeld: Band- u. Blasenw. 91—95. Fig. 34 et 35.

Habitaculum. Canis familiaris: in intestinis, e *Coenuris* depastis prodita. (Haubner, Küchenmeister, Röll et Siebold).

191. Taenia Tetraonis scotici BELLINGHAM.

Bellingham l. c. 323 (solum nomen).

Habitaculum. Tetrao scoticus: in intestinis tenuibus, in Hibernia (Bellingham).

192. Taenia Galli demestici BELLINGHAM.

Bellingham I. c. 323 (solum nomen).

Habitaculum. Phasianus Gallus: in duodeno pulli trium hebdomadum copiose, in Hibernia (Bellingham).

193. Taenia Naematopodis ostralegi BELLINGHAM.

Bellingham 1. c. 323 (solum nomen).

Habitaculum. Haematopus ostralegus: in intestinis tenuibus, in Hibernia (Bellingham).

194. Taenia Sternae Dongallii BELLINGHAM.

Bellingham l. c. 323 (solum nomen).

Habitaculum. Sterna Dongallii: in intestinis tenuibus, in Hibernia (Bellingham).

195. Taenia amphigya CREPLIN.

Creplin: in Wiegmann's Arch. 1851. I. 290 (solum nomen).

Habitaculum. Anas ferina: in intestinis, Gryphiae (Creplin).

196. Taenia bifaria SIEBOLD.

Siebold: Handb. d. vergleich. Anat. 147. in nota 26. — Creplin: in Wiegmann's Arch. 1851. I. 290.

Habitaculum. Anas Nyraca: in intestinis (Siebold).

197. Taenia abbreviata MEHLIS.

Creplin: in Wiegmann's Archiv. 1846. I. 139 (solum nomen).

Habitaculum. Podiceps subcristatus: in intestinis (Mehlis).

Species restellats.

198. Taenia Alcae Terdae BELLINGHAM.

Bellingham: in Ann. of nat. hist. XIV. 323 (solum nomen).

Habitaculum. Alca Torda: in intestinis tenuibus, in Hibernia (Bellingham).

199. Taenia Cobitidis barbatulae BELLINGHAM.

Bellingham 1. c. 323 (solum nomen).

Habitaculum. Cobitis Barbatula: in intestinis, in Hibernia (Bellingham).

XXXII. SCIADOCEPHALUS DIESING. — Syst. Helm. I. 559.

XXXIII. EPHEDROCEPHALUS DIESING. — Syst. Helm. I. 559.

XXXIV. AMPHOTEROMORPHUS DIESING. - Syst. Helm. I. 560.

++ Octocotylea: Acetabula 8.

XXXV. PELTIDOCOTYLE DIESING. — Syst. Helm. I. 560.

Subordo II. PROCTUCHA.

Tractus intestinalis simplex ano stipatus.

TRIBUS I. TAXOCYCLOCOTYLEA.

Caput acetabulis quatuor uniserialibus . . .

XXXVI. TAXOCYCLOCOTYLE.

Generis typus in hoc subordine adhuc ignotus, in visceribus Mammalium Asiae aut Africae tropicae haud frustra fortasse quaerendus.

Conspectus dispositionis:

Character essentialis ordinis: Caput bothriis aut acetabulis instructum.

Sectio I. Paramecocotylea.

Caput acetabulis elongatis s. bothriis instructum.

Subordo I. APROCTA.

Bothria 2, 4 aut 8 opposita rarissime unicum. Nec tractus cibarius proprius nec anus.

* Proboscidibus nullis armata.

TRIBUS I. AGAMOARHYNCHOBOTHRIA.

Organa genitalia in habitaculo primitivo nulla. Corpus continuum vel articulatum.

† Dibothria.

1. Ligula. Caput bothriis 2 lateralibus. Corpus continuum sulco utrinque longitudinali simplici vel duplici exaratum.

L

- 2. Schistocephalus. Caput apice costa divisum, profunde sissum, bothriis 2 marginalibus. Corpus articulatum.
- 3. Sparganum. Caput bothriis 2 lateralibus. Corpus continuum, sulco longitudinali nullo.

++ Tetrabothria.

- 4. Scolex. Caput bothriis 4 membrana nulla inter se junctis. Corpus continuum.
- 5. Steganebethrium. Caput bothriis 4 membrana inter se junctis. Corpus continuum.

TRIBUS II. GAMOARHYNCHOBOTHRIA.

Androgyna — Corpus articulatum rarissime continuum.

1. Anaegocheila: Bothria marginibus liberis, nec concretis.

+ Monobothria.

6. Caryophyllaeus. Caput bothrio 1 terminali. Corpus continuum.

++ Dibothria.

- 7. Dibethrium. Caput bothriis 2 inermibus. Corpus articulatum.
- 8. Triaenophorus. Caput bothriis 2 armatis. Collum inerme. Corpus continuum vel subarticulatum.
- 9. Echinebethrium. Caput bothriis 2 armatis. Collum armatum. Corpus transverse plicatum vel articulatum.

+++ Tetrabothria.

- 10. Tetrabethrium. Caput bothriis 4 inermibus. Corpus articulatum.
- 11. Onchobothrium. Caput bothriis 4 armatis. Corpus articulatum.

++++ Octobothria.

- 12. Octobethrium. Caput bothriis 8. Corpus articulatum.
 - 2. Symphytocheila: Bothria marginibus concretis.

+ Dibothria.

- 13. Disymphytobethrium. Caput bothriis 2 marginibus in bothrium unum coalitis. Corpus continuum.
- 14. Selenepherus. Caput bothriis 2, singulo marginibus suis immediate concretis. Corpus articulatum.

†† Tetrabothria.

15. Zygobothrium. Caput bothriis 4, singulo marginibus suis mediante jugo concretis.

** Proboscidibus quatuor armata.

TRIBUS III. AGAMORHYNCHOBOTHRIA.

Organa genitalia nulla. Corpus continuum.

1. The caphora: Receptaculum in extremitate corporis caudali v. inter collum et corpus situm.

+ Dibothria.

- 16. Anthocephalus. Caput bothriis 2. Receptaculum in extremitate caudali.
- 17. Acantherhynchus. Caput bothriis 2. Receptaculum inter collum et corpus situm.

 ++ Tetrabothria.
- 18. Pterebethrium. Caput bothriis 4. Receptaculum inter collum et corpus situm.
 - 2. Atheca: Receptaculum nullum.

+ Dibothria.

- 19. Dibethrierhynchus. Caput bothriis 2, septo longitudinali nullo discretis. Corpus continuum.
- 20. Tetrarhynchus. Caput bothriis 2, septo longitudinali bilocularibus. Corpus continuum.

†† Tetrabothria.

- 21. Tetrabethrierhynchus. Caput bothriis 4, apice convergentibus ovato-lanceolatis. Corpus continuum.
- 22. Stenebethrium. Caput bothriis 4 parallelis linearibus. Corpus continuum.

TRIBUS IV. GAMORHYNCHOROTHRIA.

Androgyna — Corpus articulatum.

† Dibothria.

23. Rhynchebethrium. Caput bothriis 2. Corpus articulatum.

++ Tetrabothria.

24. Tetrarhynchebethrium. Caput bothriis 4 membrana nulla inter se junctis. Corpus articulatum.

25. Syndesmobethrium. Caput bothriis 4 basi membrana inter se junctis. Corpus articulatum.

Subordo II. PROCTUCHA.

Bothria 4 uniserialia. Tractus cibarius simplex ano stipatus.

26. Pentastemam. Os subterminale inter bothria utrinque bina uncinata.

Sectio II. Cyclocotylea.

Caput acetabulis subcircularibus s. acetabulis sensu strictiori instructum.

Subordo I. APROCTA.

Acetabula 4 v. 8. opposita. Nec tractus cibarius proprius nec anus.

TRIBUS I. AGAMOCYCLOCOTYLEA.

Organa genitalia nulla. Corpus continuum.

+ Animalcula composita.

- 27. Echinocecens. Animalcula numerosa, vesicae matricis paginae internae primum affixa, demum intra eandem libera. Caput polymorphum echinis deciduis armatum.
- 28. Coenurus. Animalcula numerosa, vesicae matricis paginae externae affixa, numquam libera. Caput tetragonum armatum.

†† Animalcula solitaria.

- 29. Cysticercus. Animalcula vesica caudali elongata v. subglobosa. Caput tetragonum armatum.
- 30. Plestecystis. Animalcula vesica caudali compressa. Caput tetragonum inerme.

TRIBUS II. GAMOCYCLOCOTYLEA.

Androgyna. — Corpus articulatum.

+ Tetracotylea.

- 31. Taenia. Caput subglobosum vel tetragonum, acetabulis 4 oppositis. Os terminale aut in haustelli protractilis apice.
- 32. Sciadocephalus. Caput horizontaliter disciforme, acetabulis 4 centralibus hemisphaericis in quadratum dispositis. Os inter acetabula centrale.

- 616 Diesing. Über eine naturgemässe Vertheilung der Cephalocotyleen.
- 33. Ephedrocephalus. Caput parvum tetragonum, acetabulis 4 angularibus, collo brevissimo dilatato apice complanato marginibus reflexis quadrisinuato insidens. Os terminale.
- 34. Ampheteremerphus. Caput parvum pyramidale, acetabulis 4 angularibus, bothriis s. foveis 4 collo dilatato apiceque complanato immersis insidentibus munitum. Os terminale.

++ Octocotylea.

35. Peltidecetyle. Caput acetabulis 8, discis quatuor apice cruciatim convergentibus per paria immersis munitum. Os terminale.

Subordo II. PROCTUCHA.

Acetabula 4 uniserialia. Tractus cibarius simplex ano stipatus.

36. Taxecyclecetyle. . . .

Index generum et subgenerum.

(Subgenera litteris italicis sunt expressa).

Acanthobothrium 586. Acanthorhynchus 590. Amphoteromorphus 612. Anthobothrium 583. Anthocephalus 589. Calliobothrium 584. Caryophyllaeus 577. Coenurus 600. Cysticercus 600. Dibothriorhynchus 591. Dibothrium 578. Disymphytobothrium 587. Echeneibothrium 581. Echinobothrium 579. Echinococcus 600. Ephedrocephalus 612. Euonchobothrium 584. Eutetrabothrium 580. Gymnoscolex 574. Ligula 570. Octobothrium 587. Onchobothrium 584. Onchoscolex 575. Orygmatobothrium 582. Orygmatoscolex 576. (in nota), Peltidocotyle 612. Pentastomum 597. Piestocystis 602. Phyllobothrium 582. Polyonchobothrium 586. Pterobothrium 590. Rhynchobothrium 594. Schistocephalus 572. Sciadocephalus 612. Scolex 574. Solenophorus 588. Sparganum 573. Steganobothrium 577. Stenobothrium 594. Syndesmobothrium 597. Taenia 602. Taxocyclocotyle 612. Tetrabothriorhynchus 592. Tetrabothrium 580. Tetrarhynchobothrium 595. Tetrarhynchus 592. Triaenophorus 579. Zygobothrium 589.

Nachweis des Vorkommens von Sternen aus den Argelander's schen nördlichen Zonen in anderen Quellen.

Von Wilhelm Geltzen,
Assistent der k. k. Sternwarte zu Wien.

In dem Maihefte 1854 dieser Sitzungsberichte habe ich unter dem Titel: "Ergänzungen zur Histoire celeste française und einigen anderen Stern-Katalogen" eine Reihe Bemerkungen geliefert, die das Resultat einer Vergleichung aller grösseren Fixstern-Kataloge mit den Argelander'schen nördlichen Zonen-Beobachtungen waren. Ich liefere im Folgenden ein anderes Resultat dieser Vergleichung.

Je mehr sich in irgend einem Zweige der Wissenschaft das zu verarbeitende Material anhäuft, desto grösser wird das Bedürfniss nach einer Sichtung desselben, nach einer Zusammenstellung und Trennung des bereits Geschehenen und des noch zu Leistenden. In dem Zweige der Astronomie, welcher die Kenntniss der Fixsternörter zum Zwecke hat, macht sich dieses Bedürfniss besonders fühlbar, weil hier gar leicht eine rudis indigestaque moles aufgehäuft wird, wenn jeder Beobachter seinen eigenen Weg geht, und sich in der Wahl seiner Arbeiten nicht durch bestimmte, in dem Bedürfnisse der Wissenschaft gegründete Gesichtspunkte leiten lässt. Um die Richtung zu erkennen, in welcher hier erspriesslich zu wirken, wird es von Zeit zu Zeit nöthig, das bereits Geleistete zusammenzufassen.

Die Kenntniss des Fixsternhimmels, was die Reichhaltigkeit der gelieferten Sternörter betrifft, hat seit dem Ende des vorigen Jahrhunderts vornehmlich durch die Arbeiten von Lalande, Bessel und Argelander die glänzendsten Fortschritte gemacht. Während Lalande's Beobachtungen sich über den ganzen sichtbaren Theil des Himmels erstreckten, haben sich später Bessel und Argelander in eine mehr ins Einzelne gehende Wiederholung in denselben Raum getheilt, und etwa 125000 Beobachtungen geliefert, wo Lalande nur 50000 hatte. Wir beschäftigen uns hier nur mit den Arbeiten Argelander's über den nördlichen Theil des Himmels zwischen dem 45. bis 80. Grade der Declination, welche noch geraume Zeit die Hauptquelle unserer Kenntniss dieses Theiles bleiben werden. (Astronomische Beobachtungen auf der Sternwarte der königlichen

rheinischen Friedrich-Wilhelms-Universität zu Bonn. Erster Band, Bonn 1846.)

Die Form, in welcher diese Beobachtungen gegeben sind, nämlich die unmittelbar aufgezeichneten Zahlen so viel wie möglich beizubehalten, ist bei einer etwaigen spätern Verbesserung der Reductions-Elemente, so wie für die Zwecke der leichten und sichern Auffindung von Irrthümern und der Möglichkeit ihrer Correction die einzig anwendbare, durch keinen Katalog zu ersetzende. Ohne die Zonen-Beobachtungen der Histoire céleste zu besitzen, würden wir uns manche Fehler in dem Kataloge, die von Versetzungen und Verschiebungen ganzer Zeilen herrühren und die Örter vieler Sterne gleichzeitig entstellen, oder Fehler wie die Weglassung des Decimalzeichens bei den Zeitsecunden, z. B. 56 statt 5:6 kaum erklären, geschweige denn corrigiren können. So wie aber für diese Zwecke jene Form ganz unschätzbar ist, ebenso ist für andere ein aus den Beobachtungen berechneter Katalog ein unumgängliches Bedürfniss. Man verlange z. B. die Zonen-Beobachtungen der Histoire céleste mit den Zonen-Beobachtungen von Argelander zu vergleichen, durch Reduction der einen Epoche auf die andere; ohne die beiden bezüglichen Kataloge vorher abgeleitet zu haben, ist eine solche Arbeit gar nicht denkbar.

Betrachtet man einen solchen Katalog nur als ein Mittel, die auch in anderen Quellen vorkommenden Sternörter ausfindig zu machen, oder als ein blosses Register zu den Zonen-Beobachtungen, oder als Grundlage von Sternkarten, sowie alle grösseren Fehler und Irrthümer zu entdecken, so genügt die beiläufige Angabe des Ortes, der Rectascension etwa in ganzen Zeitsecunden, der Declination in ganzen oder Zehntel-Bogenminuten. Durch die genaue Reduction der Beobachtungen aber geht nicht nur keiner der eben angeführten Vortheile verloren, es erwachsen daraus vielmehr neue, durch welche der vergrösserte Aufwand an Zeit und Mühe reichlich entschädigt erscheint. Von den Reductions-Elementen der Präcession, Nutation und Aberration kann man wohl annehmen, sie seien so genau bekannt, dass etwaige spätere Correctionen derselben nur einen verschwindenden Einfluss auf die Positionen ausüben, im Vergleich mit den unvermeidlichen zufälligen Beobachtungsfehlern. Nicht ganz dasselbe ist vielleicht der Fall mit den von der Aufstellung des Instrumentes herrührenden Elementen. Das Vorhandensein derartiger

ungenauer Annahmen offenbart sich aber erst durch die Vergleichung der genau reducirten Örter einer Zone mit den gemeinschaftlich in anderen Zonen oder in anderen Katalogen vorkommenden Bestimmungen. In vollem Umfange sind also dergleichen Untersuchungen erst möglich, wenn alle Beobachtungen schon genau reducirt vorliegen. jede mit Angabe der Zone, welcher sie entnommen. Bei dem Gebrauche des Kataloges kann es dann nöthig werden, Correctionen, die sich eben aus jenen Untersuchungen ergeben haben, anzubringen; aber einerseits hat dies nicht die mindeste Schwierigkeit, wenn jeder Sternort mit der Numer der Zone versehen ist, andererseits ist auch die sorgfältige Benutzung von auf andere Art entstandenen Stern-Katalogen nicht immer frei von nachträglichen Verbesserungen, seien dies nun constante oder irgend ein Gesetz befolgende, wie sie sich durch spätere Untersuchungen der Theilungsfehler, der angewendeten meteorologischen Instrumente u. s. w. ergeben haben. Ein anderer Einwand, den man gegen die Anfertigung von Katalogen aus Zonen-Beobachtungen, mögen sie die genau oder nur beiläufig reducirten Örter enthalten, machen kann, ist der, dass alle in den Zonen selbst fehlerhaften Örter mit in den Katalog übergehen und noch vermehrt werden durch neue bei der Rechnung und Katalogisirung entstehenden. Dieser Einwand ist begründet; was aber die letzteren Fehler betrifft, so sind von ihnen auch andere Kataloge nicht frei, sie lassen sich durch die grösste Sorgfalt nicht ganz vermeiden, aber doch auf ein Mass zurückführen, das allen billigen Anforderungen entspricht. Bei einer vielfachen Benutzung des Baily'schen Kataloges der Histoire céleste française habe ich im Vergleich zu den Fehlern der Original-Beobachtungen, nur höchst selten solche angetroffen. welche in einer fehlerhaften Reduction zu suchen waren, und kommen auch solche vor, so sind auf der andern Seite wieder manche in den Zonen entdeckte Fehler bereits verbessert in den Katalog aufgenommen. Die noch unentdeckten gehen freilich in denselben über. Dieser Nachtheil scheint mir aber nicht erheblich genug, um als Einwand gegen die Katalogisirung überhaupt, in Anbetracht der sonstigen Vortheile der letzteren gelten zu können. Der Katalog kann manchen Nutzen stiften, auch ehe es gelungen ist, sich von der Richtigkeit aller Sternörter zu überzeugen. Die Beobachtungen lassen sich erst, in diese Form gebracht, bequem mit anderen Bestimmungen, und die dann noch übrig bleibenden nur einmal beobachteten Sterne unmittelbar mit dem Himmel vergleichen, so dass eben erst der Katalog das einzig bequeme Mittel wird, jede Beobachtung verificiren zu können.

Der genau reducirte Katalog hat nun ausser den Vortheilen, welche auch der beiläufig reducirte gewährt, noch den, dass der Rechner, welcher eine Stern-Position benutzen will, dieselbe schon reducirt vorfindet, und also der jedesmaligen, wenngleich nur kleinen Rechnung überhoben ist; will er diese dennoch vornehmen, so wird ihm die schon ausgeführte Rechnung eine willkommene Controle darbieten. Bei der Benutzung nur eines einzelnen Sternortes, wie in dem Falle, wo ein Stern als Vergleichstern bei der Beobachtung eines Planeten oder Kometen gedient hat, ist die Ersparniss an Zeit und Mühe allerdings nicht so erheblich; sie wird es aber, sobald eine grössere Menge von Sternen aus einem anderen Kataloge genau verglichen werden soll, etwa zur Entdeckung von eigenen Bewegungen, eine Arbeit, die jedenfalls ausgeführt werden muss, um in diesem Zweige diejenigen Kenntnisse zu erlangen, welche das vorhandene Material der Beobachtungen überbaupt zulässt. — Sowie der blosse Übersichts-Katalog nur grössere Irrthümer entdecken lässt, so gibt der genau reducirte auch Veranlassung zur Auffindung der kleineren und nicht blos der Irrthümer, sondern auch der grösseren unvermeidlichen Beobachtungsfehler. Er liefert ferner das vollständigste Material zur Ermittelung des wahrscheinlichen Fehlers einer einzelnen Beobachtung.

Von diesen Gesichtspunkten liess ich mich leiten bei der Ausarbeitung des in den Annalen der Wiener Sternwarte (dritte Folge, erster und zweiter Band, 1851 und 1852) erschienenen Kataloges der Argelander'schen nördlichen Zonen. Die in diese Form gebrachten Beobachtungen liessen sich nun zur Erzielung neuer Resultate benutzen. Zu diesem Zwecke reducirte ich alle grösseren, weiter unten aufgeführten Fixstern-Kataloge innerhalb der Grenzen jener Zonen auf die Epoche von 1842. Die Folge davon war zunächst die Auffindung und Berichtigung einer Reihe von Fehlern in den Zonen-Beobachtungen von Argelander, welche sich in den folgenden Bänden der Annalen der Sternwarte angezeigt finden, dann einer andern Reihe Bemerkungen zur Histoire celeste frunçaise und einigen anderen Stern-Katalogen, welche sich in dem heurigen Maihefte dieser Sitzungsberichte befinden. Ein weiteres Resultat war die Entdeckung

von Sternen mit beträchtlicher Eigenbewegung, welche mit unter jene Bemerkungen aufgenommen sind.

Ferner ergab sich dadurch eine Liste von Sternen, welche nur einmal bei Lalande und sonst nirgends vorkommen. Sind diese Sterne von neuem mit dem Himmel verglichen, eine auf der hiesigen Sternwarte vorbereitete Arbeit, so werden alle in diesem Raume in der Histoire celeste niedergelegten Sternörter, durch wenigstens eine spätere Beobachtung festgestellt sein. Dieser Vorgang wird mit der Zeit mit allen übrigen Zonen-Beobachtungen vorgenommen werden müssen, so dass von jedem Sterne wenigstens zwei Bestimmungen vorliegen.

Ein weiteres Resultat, welches den Gegenstand dieser Mittheilung ausmacht, ist die Zusammenstellung aller derjenigen Argelander'schen Sterne, welche sich auch in anderen Quellen vorfinden und zwar mit genauer Angabe dieser Quelle. Über die Art, auf welche diese Übersicht benutzt werden kann, mögen noch einige Andeutungen folgen.

Die Kenntniss der jedem Sterne zukommenden eigenen Bewegung, die uns in Zukunst die wichtigsten Aufschlüsse über die Bewegung unserer Sonne und die räumliche Anordnung der Weltkörper ausserhalb unseres Sonnen-Systems liefern wird, setzt zwei in entlegenen Epochen angestellte Beobachtungen derselben Sterne voraus. Das vorhandene Material an Beobachtungen ist zu diesem Zwecke noch nicht hinlänglich ausgebeutet, und es würde in dieser Beziehung gewiss eine lohnende Arbeit sein, die bei Lalande und Argelander gemeinschaftlich vorkommenden Sterne mit einander zu vergleichen 1). Dazu ist aber vorerst erforderlich, diese Sterne aufzusuchen und zusammenzustellen, was eben im Folgenden geschehen ist. Wenn sich bei der nur beiläufig angestellten Reduction schon einige, freilich sehr auffallende eigene Bewegungen offenbaren konnten, so ist anzunehmen, dass die genaue Reduction der Lalande'schen Sterne und ihre Vergleichung mit den etwa 50 Jahre später fallenden Argelander'schen Bestimmungen jene Liste noch beträchtlich vergrössern wird. Der Zwischenraum beider Epochen ist etwa derselbe,

¹⁾ So hat auch Struve in seinem Kataloge: Stellarum fixarum imprimis duplicium et multiplicium positiones mediae pro epocha 1830 aus der Vergleichung mit Lalande mehrere entschiedene eigene Bewegungen abgeleitet.

wie der zwischen den Beobachtungen von Bradley und Piazzi, welche Bessel zur Ableitung einer zahlreichen Menge entschiedener Eigenbewegungen geführt haben. Die Benutzung von Zonen-Beobachtungen zu diesem Zwecke gewährt freilich nicht dieselbe Genauigkeit. Aber stets müssen die sich zeigenden starken Unterschiede entweder in einer eigenen Bewegung oder in einem Fehler ihren Grund haben, und in beiden Fällen ist es wichtig, einen solchen Stern genau zu bestimmen, um künftigen Forschern eine sichere Grundlage zu liefern.

Einen andern Vortheil kann diese Übersicht gewähren, wenn Sterne aus den Argelander'schen Zonen-Beobachtungen als Vergleichsterne für die Ortsbestimmung der Wandelsterne gedient haben. Es ist aus denselben sogleich ersichtlich, ob ein solcher Stern noch in anderen Katalogen vorkommt, und an welcher Stelle er daselbst zu finden, macht also das sonst nöthige Nachschlagen aller dieser Kataloge überflüssig.

Es finden sich häufig zwischen den Bestimmungen derselben Sterne, die von verschiedenen Beobachtern, an verschiedenen Orten angestellt, herrühren, geringe, constante oder irgend ein Gesetz befolgende Unterschiede, die, wenn auch aus den Beobachtungen selbst als vorhanden anzusehen, doch nicht immer klar auf ihre letzten Ursachen zurückzuführen sind, und deren Kenntniss erforderlich ist, um die Fixsternörter so herzustellen, wie sie ein und derselbe Katalog gegeben haben würde, und wie sie sich erst zu einer Vergleichung eignen. Zur Ermittelung dieser Unterschiede ist die Reduction vieler Sternörter aus dem einen Kataloge auf den andern, also die vorhergegangene Kenntniss der identischen Sterne nöthig, welche eben in unserer Übersicht enthalten ist.

Auch für die Anfertigung von Sternkarten in dieser Gegend des Himmels ist dadurch ein vorbereitender Schritt gethan; die hier aufgeführten Argelander'schen Sterne sind sämmtlich durch andere Quellen bestätigt, und können als sichere Anhaltspunkte in ein Kartennetz eingetragen werden.

Bei den Zonen-Beoachtungen muss der spätere Beweis von dem Vorhandensein aller beobachteten Sterne als ein wichtiger Fortschritt bezeichnet werden, ganz abgesehen von dem anderweitigen Nutzen, den jede neue Bestimmung eines früher beobachteten Sternes hat. Durch unsere Übersicht sind alle auch in anderen Quellen entbaltenen Sterne als solche bezeichnet, mithin auch die nur von Argelander beobachteten angezeigt. Dadurch ist wenigstens die Richtung einer nützlichen Thätigkeit, und einer Arbeit von freilich grossem Umfange angedeutet.

Vorzüglich hat bisher Baily in diesem Zweige gearbeitet, der mehrere seiner reducirten Sternkataloge mit dem Nachweis des Vorkommens der Sterne in anderen Quellen begleitet hat, um gleichsam die vollständige Geschichte jedes einzelnen Sternes zu liefern. Auch enthalten die Kataloge zu den von der königlichen Berliner Akademie der Wissenschaften herausgegebenen Sternkarten denselben Nachweis über den in denselben bearbeiteten Theil des Himmels.

Für den nördlich angrenzenden Theil von 30 Graden Breite ist ein solcher gleichfalls schon in Verbindung mit der Zeichnung von Sternkarten von mir vorbereitet.

Die folgende Zusammenstellung bezieht sich nur auf den Katalog der Argelander'schen Zonen, so dass keine anderen Sterne als aus diesem Kataloge in dieselbe aufgenommen sind. Zur vollständigen Geschichte der Fixsternkunde in dieser Zone würden noch die auf die Epoche 1842 gebrachten Fixsternörter sammt Angabe der Quelle erforderlich sein, welche nicht bei Argelander vorkommen. Dieser Katalog, in Verbindung mit den Argelander'schen Zonen würde dann eine vollständige Grundlage zur Anfertigung von genauen Sternkarten dieser Gegenden des Himmels bilden. Die Mittheilung dieses Kataloges muss ich mir jedoch für eine andere Gelegenheit vorbehalten.

Die Einrichtung der nachfolgenden Übersicht ist folgende:

Die erste verticale Columne enthält die Numer des Argelanderschen Zonen-Kataloges. Bei dem Gebrauche ist nur darauf zu achten, ob ein Stern einmal oder mehrere Mal im Kataloge steht, im letzteren Falle ist nur eine der verschiedenen Numern gesetzt, unter denen er vorkommt. Die zweite Columne enthält die Numer, unter welcher der Stern in dem von Baily redigirten Kataloge der Histoire celeste vorkommt. Bei mehrmaligem Vorkommen ist, ausser in den Fällen, wo die Rectascension der kleineren Numer fehlerhaft war, die kleinste Numer gesetzt und ihr die Zahl der Wiederholungen als Exponent beigefügt. Die dritte grössere Columne enthält die übrigen Quellen und zwar unter folgenden Bezeichnungen:

- R. bedeutet: Rümker; mittlere Örter von 12000 Fixsternen für den Anfang von 1836. Die dem R. beigefügten Numern sind die des Haupt-Kataloges, die in () enthaltenen Zahlen beziehen sich auf die den einzelnen Stunden angehängten "Nachträge."
- R. 2, bedeutet: Rümker; neue Folge der mittleren Örter von Fixsternen für den Anfang von 1850. Von diesen konnten aber erst die bis jetzt erschienenen Stunden 0 und 1 benutzt werden.
- G. bedeutet: den von Airy herausgegebenen aus den Beobachtungen Groombridge's abgeleiteten Katalog von Circumpolar-Sternen, Epoche 1810.
- P. bedeutet: die zweite Ausgabe des Piazzi'schen Kataloges von 1814, Epoche 1800.
- Br. bedeutet: den von Bessel in den Fundamentis astronomiae gelieferten aus den Bradley'schen Beobachtungen abgeleiteten Katalog für die Epoche 1755.
- St. bedeutet: den von Struve aus den Dorpater Beobachtungen für die Epoche 1830 abgeleiteten Katalog: Stellarum fixarum imprimis duplicium et multiplicium positiones mediae.
- A. bedeutet: Argelander DLX stellarum fixarum positiones mediae incunte anno 1830.
- B. Z. bedeutet: Bessel's Zonen. Die hinzugefügte Zahl ist die Numer der Zone.
- H. C. bedeutet: den kleinen Katalog von 193 Sternen aus der Histoire céleste, welchen ich im Maihefte 1854 dieser Sitzungsberichte mitgetheilt habe. Epoche 1790.

Die Kenntniss des Beitrages, den jeder dieser Kataloge zu der nachfolgenden Übersicht geliefert hat, dürfte kaum ein besonderes Interesse darbieten. Die Anzahl der aufgeführten Argelander'schen Sterne beträgt gegen 5750 und die aller erforderlich gewesenen Reductionen beläuft sich auf nahe 9000. Da die Argelander'schen Zonen 22000 verschiedene Sterne enthalten (s. Jännerheft dieser Sitzungsberichte) und 5750 davon anderwärts vorkommen, so ergibt sich eine Zahl von 16300, deren Örter uns erst durch Argelander bekannt geworden sind. Diese Zahl dürfte geeignet sein, die hohe Bedeutung jener Beobachtungsreihe für die Wissenschaft in ihrem wahren Lichte erscheinen zu lassen und Bestrebungen hervorzurufen, welche auf dieser Grundlage weiter bauen.

· Von 0° 0° - 0° 20°.

Argeland. Lalande.		Verschiedene Kataloge.	Argeland, Lalande.		Verschiedene Katalege.
~~~~~~~~~~~~~~~~~~~~~~~~~~~~~~~~~~~~~~	47313		190	277	_
ĕ	47325		195		
10	71020	G. 4239.		284	
19	47340	G. 4241, Br. 3216.	196	287	•
20	47343°	G. 4242.	199	289	G 44
24	41343		203		G. 41.
	479223	R. 5.	206	302	
26	47355	G. <b>424</b> 3.	208	307	
31	47367		223	326	
33	47370	0 4 54 6	225	• • •	R. 2, 47.
34	47375*	G. 1, St. 3.	228	332	
39		R. 8.	230	334	R. 44, G. 44.
42	47386	G. 2.	234	384	
44	47387	G. 3, P. 288, Br. 3219,	237	353	R. 48, G. 46.
	_	B. Z. 383.	238	351	R. 49 u. 2, 35, G. 48.
46	2	~	241		R. 50.
47	5	Br. 3221.	244		R. 2, 59.
48	. 8	G. 4.	245	<b>37</b> 0	
54	15		247	371	
56	18		248		R. 2, 62.
79	45		253	389	R. 2, 67, G. 53.
91	80		256	394	•
97	93		260	<b>398</b>	
98	941	G. 18.	269		R. 2, 74.
99		R. 13.	272		P. 52.
100	97	İ	277		P. 54.
104	1048	G. 19.	278	422	
105	112		291	437	
109		R. 16.	292	438	
111		St. 7.	301	450	
114	129	R. 2, 14.	302	456	
116	136		305	458*	G. 58.
119		G. 21.	307	4623	G. 59.
120		G. 22.	311	467	G. 60, P. 58, Br. 21.
122		R. 18, G. 23.	320		B. Z. 444.
123		St. 8.	321	: :	B. Z. 444.
126		G. 25.	322		R. 2, 98, G. 62.
127	• •	St. 9.	326	506	R. 2, 102.
128	• •	R. 20.	330	490°	
131		G. 26.	331	511	DI. #2.
134	173	G. 20.	338	517	
149	196	G. 28.	341		R. 78.
150	197	R. 29, St. 11, Br. 6.	342	<b>528</b>	16.
154	199	10. 20, 50. 11, Di. 0.	350	545	TD 04
164	217	G. 31, P. 25.	358		R. 81.
165	222	G. 32.	362	558ª	D 9 499 C 64 64 64
166	232	G. 0D.	371		R. 2, 122, G. 64, St. 25
169	236	R. 31, G. 23.		586	D 09
174	239	ii. oi, u. so.	374	807	R. 92.
177	NOU	B. Z. 444.	380 284	607	D 9 449
180	252°	G. 35.	381	• •	R. 2, 143.
184			382	010	R. 96.
186	266	G. 37.	383	616	R. 97 und 2, 145.
		G. 39.	384		R. 98.
187	273 274		387	624	G. 66.
188	274		392	633	R. 2, 149, G. 68.

Von 0º 20" -- 0º 41".

YURU 20 U ZI.						
Argeland. Lalande.		Verschiedene Kataloge.	~~~	Verschiedene Katalege.		
395	627	Br. 34.	576 977	G. 113.		
396	603		585	G. 114.		
403	640		587 989	G. 115.		
414	659		<b>593</b> 1001	G. 116.		
417		R. 104 u. 2, 162, G. 69.	595 1006			
418	<b>66</b> 0		597 1008			
420	667		598 1015			
421	• •	R. 106.		A. 15.		
427	678		614 1051	C 499 C4 40		
429	684	0 ml D 00 D 00	619	G. 122, St. 49.		
431	681	G. 71, P. 90, Br. 37.		G. 123, P. 147. Br. 62.		
432	689	G. 72.	629 1089	D 4K0		
435	• •	8t. 27.	6 <b>3</b> 1 633	R. 159. R. 160.		
444	• •	R. 2, 174.	633 634 1093	16 100.		
445		R. 2, 175.		R. (9).		
448		N. 113 u. 2, 178, G.75.	642 648	G. 127.		
449	7243	G. 78.		G. 126.		
451	726 735	G. 79.	666	G. 129, P. 156, St. 50,		
452 454		H. 118.	••••	Br. 66.		
45 <del>4</del> 457	• •	R. 2, 192. G. 81, Br. 42.	669	St. 52.		
459		R. 122 u. 3, 197, G. 85,	670	R. 165.		
700	• •	P. 99, St. 30, Br. 43,	673 1147	1000		
		A. 8.	677	B. Z. 444.		
463		R. 2, 198.	678 1151			
465		R. 123.	680 1152	Br. 68.		
468	• •	R. 124.	681	R. 168.		
475	773	G. 88, P. 104.	686 1166			
489		R. 128.	688 1171	R. (11), G. 134, P. 162.		
497	823		691 1178			
498	818		692 1183			
499		R. 130.	693 1177			
501		R. 2, 226.	<b>694</b> 1186	G. 135.		
504		G. 94, P. 112.	707 1201	G. 137, P. 168.		
506	832		710	G. 136, P. 165, Br. 72.		
508	8343		720 1193	0. 100		
510	• •	St. 35.		G. 139.		
513	842	G. 95.	725 1223	n a acc		
519	853			R. 2, 286.		
522	864	D 400	734	R. <b>2, 299.</b> R. <b>175</b> .		
523		B. 139.	736 741 1244	n. 175.		
525	0044	G. 97.	741 1244 744 1256			
530	8743	G. 99.	746 1258			
536	889	C4 40	748	R. 179.		
837	891	St. 40.	756	R. 184.		
544 KAR	924	G. 104.	762 1280	24- 202-		
546 548	-	G. 105.	763	R. 186 und 2, 311.		
552		G. 106.	767 1265	G. 143.		
55 <b>6</b>	944	J. 100.	770	R. 188.		
558	947	G. 107.	774 1292			
562	958	G. 109.	776	R. 2, 320.		
564	965	G. 110.	777	R. 191.		
566	971	R. 152, G. 111. St. 44.	782	R. (12).		

Von 0º 40° - 0º 59°.

Argeland, Lalande.		Verschiedene Kataloge.	Argeland, Lalande.		Verschiedene Kataloge.
786	1314		- 0.10		G. 197.
790		R. 195 und 2, 318.		• •	R. 2, 438.
798	1347	R. 198.	951	• •	G. 200.
799	1351	R. 200.		 1658	G. 200.
804		R. 201.			
805	1367	R. 201.	004	1680	C 809
806	1307	R. 2, 336.			G. 203.
810	1383				
811	13883	8t. 64.		1685	D a Ava
814	1404				R. 2, 452.
819		R. 2, 352.	972 1		D 800
820	1420	R. 208, G. 158, P. 209,		 1712	R. 239.
0.00	1360	Br. 90.			G. 208.
821	1423	Dr. av.	004	• •	R. 2, 461.
825	1426			 1727	G. 209.
829	1430	G. 160.			D 0 400
830	1429	R. 210 and 2, 357.			R. 2, 462.
836	1434	R. 210 484 2, 331.		1721	C 848
837	1445	R. 2, 363, G. 161. G. 163.			G. 212.
844		U. 103. D 9 279		1728	0.010
845	1460	R. 2, 372. R. 2. 373.		• •	G. 216.
858				• •	R. 2, 471.
860	1498	<b>R. 2, 383.</b>			G. 215.
861		R. 2, 386.		1774	R. 242, G. 217.
862	1501	G. 169.		1768	0.040
	1511	G. 170.		1776	G. 219.
863		R. 2, 388, G. 171.		1783	G. 220.
864 867		R. 2, 390.		1781	G. 221.
	1810	G. 172.		1788	R. 2, 479, G. 223.
868	1512	G. 173.		• •	St. 79.
870		R. 2, 394.			G. 224.
876	1525	R. 221.		1804	G. 225.
877	1521	() 450		1809	G 000
882	1542	G. 179.		1816	G. 228.
885	1547	R. 2, 401.		1806	a
887 889	1549	R. 2, 402.		1814	G. 227.
COR	1548	R. 223 und 2, 403,			G. 226.
		G. 181, P. 225,			G. 229.
909	1220	Br. 99.	1060 1		G. 230, Br. 109.
892	1553	G. 185.	1064		G 233, P. 268.
893 894	1551	R. 224, G. 184.	1067		B. Z. 444 ¹ .
899	480	G. 182.		• •	B. Z. 444.
900	1560 1562		1070		G. <b>234.</b>
902		D 990 C 400		1864	
907	• •	R. 226, G. 187.		8703	
909	1580	G. 186.		1872	C 000
911		G. 190, B. Z. 444.		• •	G. 236.
917	• •	G. 189. R. 229.			B. Z. 444.
919	1592	n. 229. G. 192.		1891	0.040
	1606				G. 240.
926	1608*	G. 193, B. Z. 444.		1910	G. 241, P. 285.
928	1610	R. 230, G. 194, P. 237.		1917	
936		D 9 496 C 400		1943	
730	• •	R. 2, 426, G. 196.		1940	0 949 D 909 D- 44*
		B. Z. 444.	1120 1	800	G.242, P.283, Br. 117.
					40*

Von 0^h 59" — 1^h 15".

Von U 59" — 1" 15".						
Argeland	Lalande.	Verschiedene Kataloge.	Argeland,	Lalande.	Verschiedene Kataloge.	
1122	19448	G. 244.	1326	2279		
1129	1970		1331	2277		
1130		G. 247.	1334	2283	St. 102.	
1140	1983		1337	2288		
1141	1975	G. 248, P. 293, Br. 130.	1342		St. 100.	
1145	1985	G. 410,1 1.000, 2111200	1345	2299	G. 284, P. 31.	
1149	2003	G. 252, P. 298, Br. 134.	1351	2302	C. 201, 11 011	
1151	2000	G. 251.	1356		G. 283, Br. 163.	
1152	1996	O. 201.	1357	: :	G. 285.	
	2011	G. 253.	1363	2310	G. 2001	
1156	2010	<b>3. 200</b> .	1370	2325	R. 259.	
1159	2016	G. 254.	1371	2326	R. 260, G. 287, P. 35.	
	2042	<b>3. 201.</b>	1372		R. (4).	
1168	2033	Br. 138.	1374	2323	(1).	
1170	2048	DI. 1001	1375	2303	G. 286, Br. 166.	
	2015		1379		R. 261.	
1175	2049	G. 257, P. 307, Br. 142,	1382	2337	W. 201.	
1176	2055	[A. 29.	1385	2341		
1178		G. 258.	1386	2378	P. 39.	
1181	2058	G. 260.	1387	2345	R. 2, 582, G. 290,	
1184	2000	G. 259.	1001	2010	P. 40, St. 106, Br.	
1188	2072	G. 200.			170.	
1191	2074	G. 262.	1391		R. 262.	
1195	2079	G. 202.	1396	• •	R. 2, 586.	
1196	2081		1397	23548	G. 291.	
1197	2083		1398	2357	J. 201.	
1199		B. Z. 444.	1400	2365*	G. 293.	
1205	2105	G. 263, St. 93.	1401		B. Z. 444.	
1212	2110		1403	2376	R. 265.	
1221	21283	G. 265.	1404	2381		
1223	2125		1405	2382	R. 266, G. 295.	
1246	2151	G. 268.	1407		St. 107.	
1258		G. 266.	1408	2386		
1260	2155		1412	2380		
1261		G. 269.	1419	2402		
1263		G. 267.	1421	2398	R. 2, 599.	
1265		G. 271, P. 12, Br. 151.	1425		St. 109.	
1268		B. Z. 444.	1427		Br. 174.	
1273		G. 272.	1428		R. 2, 601.	
1276	2192	G. 273.	1429	2403°	G. 297.	
1279	2194		1431	2417	P. 49.	
1280	2199²	G. 274.	1436	2425	G. 298.	
1285	2206		1437		G. 296.	
1290	2212		1438	<b>243</b> 0	R. 274 und 2, 615,	
1299		Br. 160.	İ		G. 300, P. 51, Br.	
1301	<b>2230</b>	G. 277, P. 26.			177, B. Z. 444.	
1305	• • •	G. 276, Br. 155.	1445	2433	R. 275 u. 2, 620, St.	
1307	2233	A. 34.	1452	2454	[110.	
1311	2245	P. 27.	1453		B. Z. 444.	
1313	2252		1455	• •	G. 301.	
1314	2260		1458		R. 278 und 2, 633.	
1322	2264		1460		R. 279.	
1323	2232		1462	2464		
1324	2272		1469	2478		

Von 11 15" - 11 31".

VOD 1-15- — 1-31						
Argeland.	Lalaude.	Verschiedene Kataloge.	Argeland.	Lalande.	Verschiedene Kataloge.	
1470	24682	R. 282, G. 303, P. 53,	1645		G. 331.	
		St. 111, Br. 178.	1649	2765		
1481	2499 ³	R. 285 und 2, 639, G.	1666		G. 334, P. 102.	
		305, P. 62, St. 112,	1677	2803		
		Br. 180, A. 36.	1879	2808		
1482	<b>2502</b>		1690	<b>2828</b>	G. 336.	
1492	2503		1692	• •	R. 2, 745.	
1493		R. 2, 641.	1694	2839	G. 340.	
1 <b>49</b> 9	2530		1695	•••	R. 2, 748.	
1501	2533		1696	2840	C 664	
1502	2522	R. 2, 645.	1701	• •	G. 335.	
1504		G. 307.	1702	• •	G. 337, P. 106, Br. 206,	
1509	2573		4=0=	0040	R. 2, 752.	
1510	2566		1707	2843		
1515	2586	C 944 D 84	1708	2841	C 228 D 408 D- 208	
1525	2592	G. 311, P. 71.	1711	9056	G. 338, P. 105, Br. 205.	
1532	2601		1712	<b>2856</b>	B. Z. 444.	
1537	2609 ²	C 318	1713	2863	D. 2. 212.	
1540		G. 316.	1716 1717	2860		
1542	2613 2618 ²	R. 297 u. 2, 667 G. 315.	1718	2876	G. 343, P. 113, Br. 207.	
1543		R. 201 U. 2,001 G. 315.	1719	2872	G. 0-20, 1 . 1 10, D	
1545	2630	R. 298.	1721	2887		
1548 1554	26373	G. 319, P. 81.	1722	2868		
1558	2631	G. 318, P. 80, Br. 188.	1730		B. Z. 444.	
1 <b>56</b> 0	2642	G. 320, R. 2, 673.	1732	2898	2. 2	
1563	2633	G. 620, 10 5, 6.6.	1737		G. 345, P. 116, R. 2,	
1565	2651 ²				770.	
1569		R. 2, 678.	1738	2892		
1577		R. 2, 679.	1743		R. 2, 772.	
1578	2680	•	1744		B. Z. 444.	
1579	2684 ²	G. 324, P. 89, Br. 196,	1752	2933		
		R. 2, 681.	1753	2932	R. 349 und 2, 776, G.	
1580		G. <b>322.</b>			348, P. 124, Br. 212,	
1583	<b>2678</b>	G. 323, P.86, Br. 193.			A. 43.	
1584	2693		1755		B. Z. 444.	
1589		R. 307 und 2, 690.	1757	2931		
1590	• •	St. 120	1762	2938		
1592	2704		1764	2941		
1594	2714	G. 327.	1765	2943		
1595	2707		1768	2949	G 686	
1598		R. 2, 693.	1785	2968	G. 350.	
1602	• •	B. Z. 444.	1788	2972	D 970	
1603		St. 121.	1797	2997	R. 370.	
1617	2732		1800	2981	G. 351.	
1620	2743	് ബ	1801	3008	R. 371.	
1626	2741	G. 330.	1805 1808	3010	ic off.	
1627	2750	St. 123.	1809	9010	G. 354.	
1630 1632	2746		1812	30033	G. 359, P. 133, Br. 216.	
1638		St. 124.	1814	3007	J. 300,1.100, DI. 810.	
1641			1815		G. 358, P. 132, Br. 215,	
1642		R. 2, 716.		• •	R. 2, 805.	
1644	27592	R. <b>324</b> .	1817	3021		

# Von 1'31" - 1'46".

VOII 1"31" — 1"40".					
Argeland. Lalande.	Verschiedene Kataloge.	Argeland. Lalande.	Verschiedene Kataloge.		
1820	R. 2, 807.	1993 3216			
1821	R. 2, 808.	1997 3215			
18 <b>2</b> 3	R. 2, 811.	1999 3233	R. 421 und 2, 883,		
1824 3017		1	G. 382, P. 166.		
1825 3030		2000 3232			
1828 3033		2010 3252 ³			
1829 3029	R. 2, 815.	<b>2</b> 011 3246	R. 2, 891.		
1836	R. 2, 819.	2015 3257			
1838	R. 376.	2016	R. 2, 892.		
1842	G. 362, P. 139.	2018 3224	G. 383, P. 168, Br. 230.		
1843 3050		2021	R. <b>43</b> 5.		
1849	R. 380.	2022 3266			
1850 30 <b>52</b>		2024 3260	G/ 199		
1853	R. 2, 826.	2027 3268	St. 152.		
1858 3059	G. 365.	2030 3281	R. 2, 903.		
1860 3063	G. 366, P. 143, Br. 224.	2032	R. 431.		
1865	R. 2, 831	2035 3290			
1866	G. 363.	2037 3293	C 964 D 456 A TO		
1871 3081	G. 367.	2043 3305	G. 384, P. 176. A. 50.		
1872	B. Z. 444.	2046 3317	GL AKR		
1875 3067	D 6 000	2047	St. 156.		
1880	R. 2, 837.	2052 3323	G. 387.		
1884 3104	G. 369.	2057 3340	R. 2, 919.		
1886 3101	R. 389.	2061 2062 3327	R. 2, 818.		
1887 1892 3116°	B. Z. 444. R. 392 u. 2, 841, G.	2064 3351	G. 389, P. 181, Br. 238.		
1892 3116	372, P. 151, Br. 227.	2065 3346	R. 2, 922.		
1894	R. 393.	0000	R. 2, 924.		
1894 1896	P. 152.	2009 2071 3349			
1897	R. 395.	2076 3373	Br. 240.		
1898	R. 394.	2078 3372	R. 2, 930.		
1900 3120	R. 399.	2081 3375	R. 452 und 2, 934,		
1902	R. 2, 845.	2001 0010	G. 390, P. 184,		
1904 3121	R. 2, 846		G. 390, P. 184, St. 161, Br. 239,		
1905 3118	J. 1. 1. 1. 1. 1. 1. 1. 1. 1. 1. 1. 1. 1.		A. 53.		
1909 3140		2086 3389			
1914 3134		2091	G. <b>392.</b>		
1919	R. (9).	2092 3393 ⁸	R. 459, G. 394, P.		
1920 3146	G. 374.		18 <b>6,</b> Br. <b>24</b> 1.		
1923	St. 140.	2094 3408			
1929 3155		2098	R. <b>2, 946</b> .		
1930 3156	R. 2, 859.	2101 3418	G. <b>397.</b>		
1938 31 <b>62</b>		2112 3435°			
1940	R. 2, 864.	2119	G. 398.		
1941	G. 375.	<b>2120</b>	R. 2, 959.		
1945 3175	· · · ·	2123 3460	R. 2, 957.		
1947	St. 147.	2125 3445	St. 166.		
1948 3183	G. 377.	2129	G. 399, P. 194.		
1954	G. 376, P. 159.	2134 3474	D 0 00"		
1965	R. 2, 869, G. 378.	2135	R. 2, 965.		
1979	G. 380.	2138 3472			
1980 3214	D 0 074	2141 3467			
1986	R. 2, 876.	2143 3462	D 408		
1990	G. 381.	2144	P. 195.		

# Von 1 46 -- 2 2 2 --

Argeland. Lalando.	Verschiedene Kataloge.	Argeland. Lalande.	Verschiedene Kataloge.
2145	R. 2, 970, G. 403.	2275 3691	G. 439.
2146 3486	2, 0.0, 0. 200	2283 3690	G. 440, Br. 270.
2149 3500	R. 473, G. 406.	2284 3685	
2151	G. 407.	<b>2288</b>	B. Z. 444.
2153 3488°	G. 405.	2291	St. 183.
2154 35113	G. 408.	2294 3725	
2156 3518	B. Z. 444 und 831.	2297 3729	B, Z. 444 und 531.
2157 3513		2299 3708	R. 2, 1058, G. 442.
2159 3505°			P. 230.
2160	R. 2, 978.	<b>2302 3728</b>	
2164 3477	G. 404, Br. 246.	<b>2</b> 309	G. 444.
2165 35213	G. 411.	2311 3740°	R. 515.
2170 3533	R. 2, 984.	2312 .	R. 2, 1063.
2174 3544	G. 413.	2313	R. 2, 1062.
2176 3548		2314	R. \$18.
2180	G. 410, St. 169.	2321	B. Z. 444 und 531.
2181	G. 409.	2322	R. 2, 1071.
2182 3553		2323 3756	G. 446.
2189 3547	R. 2. 989.	2328	B. Z. 444.
2190 3549°	( <del>)</del> , 415.	2329 3716	G. 443.
2191 3561	G. 417.	2331 3784	G 148 G( 100
2192	R. 479.	2333 3730	G. 445, St. 188.
2193 3565		2339 3787	D 408 1 0 4084
2201 3587		2340	R. 527 und 2, 1074,
<b>2203 3589</b>			G. 448, P. 239,
<b>2204</b>	R. 486, G. 421, P.	2010 0000	Br. 274, A. 60.
	210, Br. 258.	2346 3802	
<b>22</b> 06 3588		2349 3810	
<b>22</b> 08	G. 422, St. 174.	2351 3814	
2213 3562	R. 2, 1007, G. 419,	2352 3820	
	P. 208, Br. 254.	2353 3816	
2214	G. 425.	2361 3822	R. 528.
2215 3613	TO 0 1000 C4 188	2362 · · · · · · · · · · · · · · · · · · ·	п. оло.
<b>22</b> 18	R. 2, 1008, St. 176.	7711	
2221	R. 2, 1010.	0000	G. 451.
2222	R. 491 und 2, 1014, G.	2369 2373 3841	G. <del>10</del> 1.
	427, P. 215, Br. 260,	2375 3839	
9090	A. 57.	2384 3858	
2226 2231	R. 2, 1015. G. 429.	2388 3827	G. 452.
2232 3602	G. 428, P. 217, Br. 259.	2389 3868	
2238 3643	R. 2, 1023, G. 432.	2394 3884	St. 194.
2240 3625	11. 2, 1020, 0. 402.	2400	G. 454, Br. 282.
2244	R. 500.	2402 3881	•
2245 3649	G. 434, P. 219, Br. 265.	2403 3885	
2246 3641	0.101,1.1010,2.1202.	2415	St. 196.
2247	G. 433.	2416 3915	
2251 3652	G. 436, P. 221, Br. 266.	2421	G. 460.
2255	G. 430.	2423 3929	
2256	R. 2, 1036, G. 435,	2427 8933	G. 461, P. 259, Br.
	P. 220, Br. 264.		289, A. <b>63</b> .
<b>2258</b>	R. 2, 1033.	2434 3946	
2261 3674	G. 438.	2440 3965 ²	
2265 3676	R. 504.	2443 3970	R. <b>543</b> .

Von 2^h 2^m - 2^h 22^m.

von 2- 2 2- 22						
Argeland, Lalande.	Verschiedene Kataloge.	Argeland. Lalande.	Verschiedene Kataloge.			
2445 3927		2664 4294	•			
<b>244</b> 8 <b>3961</b>		2669 4317				
<b>24</b> 51 3960		<b>2671 4319</b>				
2453 3972		<b>2678 4301</b>	R. 593, G. 501, P.			
2454 3975	G 444 D 844 D 900		55, Br. 326.			
2458 3969	G. 464, P. 264, Br. 292.	2692 4347	R. <b>597</b> .			
2462 3999	R. 544.	2696	G. 505.			
2466 3996 2469	R. <b>546</b> .	2704 43723	R. 602, G. 507, P. 64, Br. 331.			
2470 3984	•	2707 4374	G. 508, P. 65, Br. 330.			
2472 4002		2719	R. 606.			
2473 4012		2724 4400°	R. 607, B. Z. 531.			
2475 3987		2729 4395	•			
2477 4015	G. 466, P. 2.	2731 4403 ³	R. 608.			
2493 4038	St. 204.	2733 4409	R. 609, <b>B. Z. 531</b> .			
2497 40473	G. 470, St. 205.	2738 4408				
2499 4049	R. 551.	2741 4416				
2509 4037		2742 4414				
2511 4054		2746 4412	R. 612, G. 511, P. 72,			
2512	G. 472.		St. 231, Br. <b>332</b> .			
2513 4062	R. 555.	2752 4424				
2516 4059	0.100	2757	R. 613.			
2520 4019	G. 469.	2762 4392	G. 510.			
2522 4082	G. 473.	2763 4447	D 010			
2525 4079		2766	R. 618.			
2529 4090		2767 4459				
2539 4088	D 204	2768 4464	C 244 D 50 D			
2543 2548 4112	R. 561.	2769 4463	G. 514, P. 79, Br.			
- 11 1 0	G. 471.	2777 4472	337.			
2549 2555	G. 482.	2778 4429	G. 512.			
2566 4126	G. 484, P. 24.	2786 4489	G. 312.			
2570 4128	Br. 307.	2789 4490	St. 237.			
2574 4139	G. 485, P. 27, Br.	2791	R. 621.			
	310.	2792	R. 622.			
2575 4137		2797	R. 625, B. Z. 531.			
2581 4159		2798 4511				
<b>2587</b>	G. 479.	2799 4505				
<b>2588</b>	G. 478.	2804	G. 515.			
<b>2589 4165</b>		2806 4535				
2603 4197		2807 4522				
<b>2605</b>	R. 576.	2810 4534				
2608	B. Z. 531.	2812	St. 241.			
2616 4173	B WOL G B	2814	G. 516, P. 86.			
2621 4225	R. 581, G. 494, P. 41.	2822 4561				
2642 4258	D 7 VA	2828 4566				
2645	B. Z. 531.	2831 4589				
2646 <b>4267</b>	G. 497.	2833 4580	C 240 .			
<b>2651</b>	R. 590, G. 498, P.	2835	G. 519.			
2652 4274	53, Br. 324.	2836 4571 2837 <b>45</b> 76 ³	R. 633, G. 521.			
2658 4273		0045	C K99			
2659	G. 500.	2848 4601	G. 522.			
2661 <b>4283</b>	J. 900.		G. <b>523</b> .			
MAAT 3009		2853	u. Jaj.			

Von 21 22" — 21 43".

		VOL 2 22	20 720 .	•	
Argeland.	Lalande.	Verschiedene Kataloge.	Argeland, i	Lalande.	Verschiedene Kataloge.
2855	4603	_		4920	· ·
2860	4597			4985	
2862	4605		3102	4989	St. 265.
2863	4600			5001	
2865	4631	R. 639, G. 525, P. 100.	3108		G. 544.
2870	4649	,		5002	
2876	4633	G. <b>526</b> .	3115	4996	Br. 373.
2879	4655				G. 547.
2881	4648		3120		G. 548.
2892	4656		3126		_
2895		G. <b>528</b> .		5028	
2897	4678			5014	
<b>2898</b>	4674		3129	50253	
2902	4694°		3131	5031	
2906	4699		3132	<b>5032</b>	
2907		R. 656.	3137		G. 551.
2911	<b>46</b> 98	St. 247.	3139	<b>5</b> 03 <b>5</b> 3	
2913	4715	St. 248.	3142		G. 550.
2915	4705		3147		G. 549.
2922		G. 529.	3148		St. 268.
2924	4729		3150	<b>5060</b>	
		P. 144.	3155	5073	
	4756		3156	5071	
	4758		3158	5067	St. 270.
		R. 662, G. 533.	3159		P. 169.
2956		G. 532, Br. 353.	3161		G, <b>552.</b>
2962		P. 119.	3162	5065	
2963	4783		3163		
2965	4771			5104	
	4786			B101	
2969	4805	<b>a.</b> a	3175		Br. 382.
2973		St. 252.	_	5108	
2976	4809		3188		
2983	4835		3189		
2989		D 001 0 100 D 100	3194		<b>T. 20</b> 0
	4847	R. 674, G. 536, P. 132.	3197	5151*	R. 708, G. 559, P.
3001	4864*			~	179, St. 273.
	4857		5 15 1	5168	
3015 3017	4867	D 7 VO4		5156	a 220
3025		B. Z. 531.	3207		G. 558.
3048	4891	C 720 D 440 D- 000		5172	
	4923	G. 539, P. 142, Br. 369.		5182	C 760 C1 027
3057	4930			¥408	G. 562, St. 275.
3059		C XAI		5197	R. 714, G. 564.
	4918	G. 541.		5190 5145	
3063		G. 538.			
3070	4942	G. 543.		5202 5221	
	4937	J. <b>77</b> 5.		5207	
3081	4961				G. 568, St. 279.
	4967		3242		J. 800, Di. 418.
	49752	R. 687, G. 545, P. 150,		5237	
5000	2010	St. 264, Br. 374,	3247		
		A. 72.	3248		
			U-TO		

#### Von 24 43" - 34 6".

		- 4			W 14 1 W-And
Argeland. Leizade.		Verschiedene Kataloge.	~	$\sim$	Verschiedene Kataloge.
3250	• •	G. 569.	3435	5641	
3255	<b>526</b> 83	R. 727, G. 573, P	3438	5665	G. 610.
		190, Br. 399.	3439		G. 605, St. 303.
3259	• •	G. 574, P. 139.	3442		G. 608.
3260	5287	G. 576.	3443	5595	G. 606.
3261	5262		3446		0 414
3263	52733		3447		G. 611.
3264	• •	G. 572.	3451	5690	
3268	5264	St. 282.	3454	5685	G. 609.
3269	5285	C 200	3460 3461	5689	G. 008.
3276		G. 578.	3463	5705	G. 613, P. 253, A. 81.
3281	5319	C EUR	3472	5686	G. 612.
3283	5310	G. 575.	3475	5715	G. 012.
3284		G. 577, P. 191, St.	3477	5714	
3289	5271	287, Br. 392.	3484		B. Z. 531.
3295	5342	G. 581, P. 206.	3489		2. 2. 001
	5328	d. 301, 1. 200.	3493		
3302	5349	G. 386.	3494		
	5356	3. 500.	3501		
	5391		3504		
	5379	P. 211.	3505		
3326		G. 582.	3514		G. 618.
3327			3515		G. 616, P. 255, Br. 431.
3331		B. Z. 531.	3519	5786	
3334			3521		G. 619.
	5455	R. 757, G. 591, P.	3526	5802	
		220, St. 292.	3528	<b>5816</b>	
3347	5467		3533	5794	
3348	5469		3535	5814°	
3350	5462		3536	5815	D 100
3356	5495		3545	••••	Br. 437.
3363	5490°		3547	5838	CI 400 D 640
3370	• •	St. 296.	3548	****	G. 623, P. 268.
3373	5543		3551	5861	R. 800, G. <b>624</b> . P. <b>269</b> .
	5530		3552	2839	G. 622, Br. 442.
3381	5545	a <b>*00</b>	3555	5856	
3384		G. <b>596</b> .	3559 3561	5842 5876	
3392	5563*	70 man C 800 Th	3562		G. <b>62</b> 5.
3384	9909°	R. 769, G. 600, P. 234, Br. 422.	3573	• •	G. 626.
2205		G. 594.	3579	<b>587</b> 8	J. 000.
3395	5561	G. 98%.	3581	K8963	G. 627.
3397 3399	351 <b>3</b>	G. <b>599.</b>	3583		St. 318.
3400	5573	G. 601, P. 236.	3584	5880	P. 1, Br. 446.
3401	5582	J. 701, 1. 200.	3589	5917	•
3407		G. <b>597</b> .	3593	5869	
3411	5579		3597	• •	R. 805.
	5589		3600		R. 807, <b>C. 429</b> .
	5597	İ	3607		R. 808, G. <b>63</b> 1.
	5578	İ	3608	5916	G. <b>628</b> .
	5600		<b>36</b> 09	<b>593</b> 0	
3426		G. 604.	3616		G. 634, P. 7, Br. 448.
3434	5610	İ	3618	<b>594</b> 8	•

Von 3' 6" - 3' 27".

Argeland, Lalando.		Verschiedene Kataloge.	Argeland	Lalande.	Verschiedene Kataloge.
3627	5992		3792		G. 671, P. 54.
3628		St. 321.	3793	• •	G. 666.
3633	• •	G. 638.	3795	6276	G. 667.
3635	6022	G. 030.	3800		G. 674, P. 56.
	•	St. 324.	3803	6308	
3636 3637	6023		3807		G. 676. G. 665.
3037	• •	R. 828, G. 640. P. 16,		6940.8	
9,090		Br. 455.	3808	0010~	G. 678, P. 57, St. 338.
<b>363</b> 8		R. 830.	3809	6278	G. 669, Br. 471.
3643	6011		3810	6319	G. 681, P. 59, Br. 478.
3644 3647	6024 6021		3812 3815	6314° 6336	r. 90.
					64 944
	60343		3818	6334	St. 341.
3656	6054	C 011 B- 110	3826	6333	C 683
3657		G. 641, Br. 449.	3829 3833	• •	G. 677.
	6039		3835	6348	G. <b>679</b> .
3661	6078	C 849			
	• •	G. 643.	3836	6368	r
3665		R. 837.	3839	00.75	G. 689.
3669		St. 325.	3841	6373	
<b>3678</b>	6101		3842	<b>63</b> 55	C eno
	6098*	i	3844	6390	G. 690.
3682	6061		3845	6376	D 960 C 604
3683	6103		3846		R. 869, G. 691.
3685	6094		3848		G. 685.
3695	6096	C 040	3851	6397	G. 693.
3702		G. 648.	3823		G. 684, Br. 473.
3704	6049		3855	6395	
3706	6110		3857	6401	44 949
3708 3712	6118 613 <b>3</b>		3863 3865	6394	St. 343.
3716		St. \$29.	3871	6412	
<b>8719</b>	6151	Dt. 328.	3873	6398	
3729	6156		3875	64 <b>32</b>	
	6172	B. Z. 531.	3891	6435	
3735	6181	B. Z. 531.	3895	6473	
3736	6183	B. 2. 001.	3897	6448	
3740	6201		3907		G. 700.
3741		G. 651, Br. 459.	3914	6513	d. 100.
3744	6204	G. 001, Bi. 400.	3918	6512	
3745	6212		3928	65452	R. 892, G. 707, P.
3748	6207		00.00	00.10	84, Br. 488.
3752	6225		3929	6536	01, 21. 100.
3753	6229	G. 659.	3930	6560	B. Z. 514 und 531.
3754	6233*	B. Z. 531.	3936	6561	<b>2. 2. 011</b> and 001.
3757		G. 656.	3938	6558	
3758		G. 657.	3941	6554	
3760	• •	B. Z. 531.	3951	6587	B. Z. 531.
3764	6243		3952	6579	
3765	6218	l	3954		R. 899.
3768	6240	P. 48.	3955		G. 710.
3782		G. 664, P. 52.	3956	6593	
3786	6284	G. 668, P. 83, Br. 476.	3958		G. 711, St. 354.
3787		G. 67V.	3960	6601	-
3791		St. 336.	3961	6598	

#### Von 3' 27" -- 3' 52".

Argeland. Lalande.		Verschiedene Kataloge.	Argeland. Lalande.	Verschiedene Kataloge.
3963	6527	G. 709.	4167 6933	
3965	6606	G. 100.		G. 741.
3979	66282	G. 716, P. 94.		U. 721.
7 7 7 7				D 440
3986	6580	G. 712.	4176 6956	P. 148.
3987	• •	B. Z. 514.	4180 6971	0 744
3991		B. Z. 514.	4185	G. 744.
3994	6648		4187	G. 739.
3995	6646	a =10 a. a.	4189 6949	G. 742.
3997	6643	G. 718, St. 357.	4196 7017	
3999	6659	G. 719, P. 97.	4199 6978	
4002	• • •	G. 720.	4208 7019	5 100
4007	6660		4212	P. 167.
4013	6681		4215 7036	
4014	6695°		4217 7028	
4018	6678	G. 721, P. 102.	4219 7054	G. 747.
4020		B. Z. 514 und 531.	4229 7167	
4027	• •	St. 362.	4231 7087	
4031	6728	R. 930, G. 722, P.	4235	St. 383.
		106, St. 363, Br.	4236 7096	G. 752.
		499, A. 94.	4239 7100	
4036	672 <b>3</b> °	G. 723, P. 105.	4240 7097	
4038	6733		4245 7088	
4051	6753		4250 7103	G. 753, P. 177.
4052	6751		4252 7126	G. 755.
4062	6791		4255 71122	
4063	6793		4259 7128	G. 757.
4064	6787		4261 7115	
4065	6746	G. 724, P. 111.	4262 7134	
4079	6811	P. 119.	4263 7119	
4080	$6824^{2}$	B. Z. 514 und 531.		G. 759, P. 186.
4081	6773	_	4270	G. 760, P. 188, St.
4084	6843°	G. 730, B. Z. 514 und 531.		387, Br. 533, A. 98.
4086	6848 ⁸	G. 731, B. Z. 514	4281	G. <b>756.</b>
		und 531.	4282 7155	
4090	6816 ²	G. 726, P. 121.	4283 7188	
4091	68423	-	4288 7197	
4094	6814		4291 7200	
4097	6889	G. 732.	4297 7213	
4100		G. 727.	4299	G. 761.
4108	6854		4302 7207	
4114	6874	G. 734.	4305 7211	
4119	6858		4314 7244	
4123	6878		4315 7235	
4128	6890	St. 375.	4325 7179	G. 763.
4132	6898		4329	B. Z. 514.
4134	<b>6906</b>		4330 7268	
4135		G. <b>736</b> .	4339 7267	
4141	6922	B. Z. 514.	4344 7285	
4147	68952		4351 7284	
4149	6918	St. 376.	4358 7320	
4152	6930	İ	4364 7353	
4157	6937	į	<b>4369 7290</b>	G. 771.
4166	6926	i	4384	St. 399.

Von 3' 52" - 4' 15".

Argeland.	Lalande.	Verschiedene Kataloge.	Argeland. Lalande.	Verschiedene Kataloge.
4386	7359	G. 773.	4625 7807	
4387	7371		4626 7837	
4397	73823		4629 7830	
4400	7374		<b>4630</b>	G. 799.
4402	7378		4632 7835	St. 413.
4406	7390		4634 7852	
4412	7405		4642 7840°	G. 800, P. 10.
4415	7408		4644 78773	·
4416		G. 775.	4646 78813	
4420	7413		4647 7848	
4422	7432		4649 7851	
4425	7430		4650 7889	
4427	7433		4651	R. 1129, G. 802, P. 18.
4442	7464	R. 1070, G. 776, P.	4671	G. 803.
		<b>223.</b>	4672 7897	
4444		G. 777, P. 224, Br.	4678 7941	
4445	7454	[549.	<b>4</b> 680 7955	R. 139, G. 809.
4455	7494	G. 778.	4685 7924	
4458	7463		4686	R. 1140.
4462	7527		4687 7974	G. 813.
4471	7539		4688 7951	G. 811.
4474	7506°		4690	R. 1147.
4478		P. 239.	4691 7977	
4481	7562	R. 1082, G. 781, P.	4693 7975	
4.600	***	240, Br. 557.	4699	G. 810.
4483	7461		4705 8015	
4487	7557		4706	G. 807.
4489	7544		4709	St. 420.
4494	7573	G #00	4711 8005	~ 010
4498	7541	G. 780.	4712 8024	G. 816.
4522 4531	• •	G. 779.	4718	St. 421.
	7634	G. 786.	4720 8034	G. 819.
<b>4543</b> <b>4565</b>	7720	P. 257.	4721	B. Z. 514.
4566	7726	P. 231.	4723	G. 815.
<b>4569</b>		G. 788, P. 259.	4724 8003	D 7 V44
4573	7714	G. 160, F. 258.	4725 4728	B. Z. 514. St. 424.
4576	7749			G. 818.
4583		G. 790.	4734 4741 8084	G. 616.
4585	7747	G. 789, P. 260.	4746 8098	G. 821.
4590		G 792.		St. 426.
4594	7779	R. 1107, G. 793, P. 1,	4750 4751	B. Z. 514.
2002		Br. 564.	4758	G. 822, P. 44.
4598	7760	G. 791.	4762	G. 823.
4600		B. Z. 514.	4771	G. 820.
4606	7793		4778 8145	<del></del>
4608	7810		4779 8150	St. 429.
4609	7797	G. 795.	4780 8163	
4612	7774	St 408.	4781 8155	St. 430.
4614	• •	G. 796, St. 409.	4786 81773	<del></del>
4616	7820	G. 797, P. 7.	4788	G. 829.
4618	7812	• • • • • • • • • • • • • • • • • • • •	4790	G. 827.
4620		St. 411, B. Z. 514.	4791 8189	G. 830.
4624	7822	St. 412.	4796	G. 828.
		•		

Ven 4' 15" -- 4' 41".

	Yen 4" 15" 4" 41".						
Argeland	Lalande.	Verschiedene Kataloge.	Argeland.	Lalande.	Verschiedene Kataloge.		
4804	8236		4993	8672			
4805	8210	R. (3).	4995	8572	G. 848, P. 112.		
4806	8248	` `	4996		G. 855.		
4815	8253		5000	8635			
4820	8276		5001	8653			
	8274		5010		G. 854.		
4828	8257*	G. 833. P. 67.	5019	8695			
4837		G. 834,	5023	8706	G. 860.		
4839	8 <b>271</b>		5026	8700			
4846	8304		5031		G. 862.		
4847	8327	_	5036		St. 459.		
4852		R. (4).	5048	8731	_		
4855	• •	P. 59.	5052		G. 863, P. 136.		
4860	83232		5055	• •	G. 866.		
4868		G. 837,P. 84, St. 444,	5062	8756			
	0040	Br. 607.	\$063	8702	G. 861.		
4869	8252		5067	8774			
4871		R. (5), G. 836.	5070	• • •	G. <b>865</b> .		
4872	• •	R. (6)	5072	8751			
4873	8370		5078	8793	G. 869.		
4875	8369	D 1015	5080	8796			
4883	8415	R. 1217.	5083	8787			
4887		G. 838 St. 448.	5086	••••	G. <b>86</b> 8.		
4889	8394	•	5090	8811			
4890	8430		5097	8825	S: 422		
4893	8405		5112	• •	St. 466.		
4895	8416	D 80	5116	••••	B. Z. 514.		
4897	8451	P. 77.	5127	88412	O OFFE D AND DO		
4898 4902			5128	8849	G. 871, P. 164, Br.		
4904	_	D (7)	8190	0000	649, A. 109.		
4907	 8445	R. (7).	5129	8823	G. 870.		
4910		G. 842.	5137 5138	8863°	Br. 651. B. Z. 514.		
4913	8471	G. 012.	5157	• •			
4915	• •	G. 843.	5159	8901*	B. Z. 514. G. 875, B. Z. 514.		
	8500	G. 040.	5164	0901	G. 877.		
	8467	G. 841.	5170	8904	G. 878, P. 170.		
4926	8503	d. 011.	5172	8850	d. 010, 1. 11V.		
	8522		5174		G. 879.		
		B. Z. 514.	5184	• •	R. 1277, G. 880, P.		
4941	8441	J. 2. 013.	4101	•	176, St. 472.		
	85453	B. Z. 514.	5192		P. 180.		
	85533		5194	8953	2. 200.		
	8556		5199	8967			
	8551		5200	8956			
4969	8579		5201	8981	G. 882, P. 184.		
4971	8581	G. 847.	5202	8945			
4974	8594	_	5203	8964			
4977	8574	G. 846.	5211		G. 883.		
4980	86153		5219	9012	G. 884.		
4983	8600		5220	9096			
4984	8631	G. 852, P. 122, Br. 628.	5225		St. 477.		
4987	8667	G. 853, P. 123, Br. 629.	5233	9018	G. 885.		
4990	8628		5235	9025	R. 1288, G. 887.		

Von 4'41" -- 5' 12".

Argeland.	Lalande,	Verschiedene Katalege.	Argeland.	Lalande.	Verschiedene Kataloge.
5241	9014	P. 193.	5479		G. 923.
5248		G. 888.	5482	9455	
5249	90523	P. 199, Br. 659.	5485	9441	
5250	9033	,	5492		P. 275.
5251		St. 479.	5495		R. 1367.
5255	9035		5505	9478	St. 513.
5277		St. 482.	5514	9471	
5279	9085		5519		St. 511.
5281	9095	G. 892.	5524	9407	G. 919, P. 269, St. 514
5283	9098	G. 893, P. 212, Br. 665.	5529		St. 516.
5284	9113		5532		G. 924.
5297		G. 890, P. 204.	5533	9525	
<b>5298</b>	9128	R. 1309, P. 897, P. 217,	5534	9554	
		St. 484, Br. 669.	5538	9530	
5300		G. 891, P. 207.	5540	9537	
5304		G. 898.	5545	9583	
5307	9114	G. 896.	5547	<b>954</b> 8	
<b>5</b> 30 <b>9</b>	9160		5556	• •	G. 928.
5315	• •	G. 895.	5558		G. 930, P. 292, Br.
5318	9163				703.
5324	• •	G. 899, P. 218.	5559	9591	S 200 D 201
5326	9205		5561	9607	G. 932, P. 294.
5328	• •	Br. 671, A. 114.	5564	9608	G. <b>933</b> .
5331	••••	P. 225.	5571	9611	G 004 D 004
5332	9214	G. 901, P. 233, Br. 674.	5573	9637	G. 934, P. 301.
5336	9218	G 000	5581	9655	
5337	• •	G. 900.		9664	C 094
5346	• •	G. 902.		9575	G. 931.
<b>534</b> 8	0.40	G. 903.	5602 5604	9691 9696	G. 936.
5349 5350	9242	S4 400	5605	9717	G. 939.
5353	9251	St. 490.	5606	9705	G. 938, P. 315.
5358	9231	St. 491.	5620	9727	U. 830, F. 313.
5363	9275	St. 481.	5629	9708	
<b>5365</b>		St. 494.	5637	9753	
5374	9288	Gt. 707.	5641		R. (2).
3382	9306		5644	9751	u. (2).
5385	9302		5658	9663	G. 937, P. 311.
5390	9314		5667		G. 945, P. 5, Br. 721.
5400	9321	G. 909, St. 500.	5670	97751	R. 1398, G. 946, P. 6,
5408	9344	<b>2. 200,</b> 2 2001			St. 529, Br. 722,
5415	9361				A. 120.
5425	93693	G. 913, P. 283, Br. 691.	5672	9711	P. 317.
5426	9298	G. 908, P. 253.	5687		St. 533.
5428	93712	G, 914, P. 264, Br. 692.	<b>569</b> 0		G. 950, P. 8.
5434		G. 911, P. 254.	5695		St. 537.
5439	9398	G. 916.	5702	9803	
5450	9423		5709		St. 540.
5455		G. 917.	5712		G. 948.
5467		G. <b>92</b> 0.	5721		G. <b>9</b> 52.
5470	9464		5725	9828	
5474	9456		5754	98793	
5475	9428		5773	9915*	R. 1403, St. 549.
5477	9448		5786		St. 553.
			-		

# Von 51 12" - 51 48".

		20.	
Argeland. Lalande.	Verschiedene Kataloge.	Argeland. Lalande.	Verschiedene Kataloge.
5806 9884		6106	G. 1001.
5807 10004		6112 10639	G. 1007, B. Z. 514.
5821	G. 960.	6116 10593	,
<b>5833 10043</b>	G. 961, P. 57, Br., 745.	6124 10657	G. 1009.
58 <del>44</del>	St. 561.	6130	B. Z. 514 ³ .
5847 10098	G. 963.	6139	St. 620.
5848 10101	G. 964.	6147 10687	
5861	St. 568.	6150	G. 1015, P. 182, Br.
5863	P. 68.	0140 10800	812.
5864	G. 967.	6153 10723	D 1994 G 1010 D
5867 10141 5874 10188	1	6156	R. 1531, G. 1016, P.
5876	G. 968.	6165 10722	186. Br. 815.
5878	B. Z. 514.	6170 10771	
5883	G. 971.	6174 10783	
5888	G. 966.	6179	St. 630.
5890	G. 972.	6195 10819	St. 000.
5897 10177 ²	G. 973, P. 85, Br. 759,		G. 1019.
	A. 125.	6209	G. 1020, P. 203, St.
5907	G. 974.		821.
5910	G. 975.	6210 108543	B. Z. 511.
5913	G. 970	6213	G. 1021.
5915	St. 575.	6226	G. 1022, P. 208, Br.
5917 10243°			8 <b>25</b> .
5933 10256 ³		6228	G. 1024.
5935 10251		6230 109023	
5939 10286		6234 10870	
5940 10260	C 000 D 400 D 870	6237 10944	
	G. 982, P. 103, Br. 770.	6254 10924	
5947	St. 581.	6257 10982	C 4007 D 990 D-
5959	G. 981.	0204	G. 1027, P, 226, Br.
5973 · · · 5975 · ·	G. 984, P. 117. B. Z. 514.	6277	831. G. 1029, P. 233, Br.
5977 10 <b>369</b>	G. 985, P. 120, Br. 777.	0211	838.
5982 10398	G. 803,1 . 120, Di. 111.	6292 11069	<b>0.00</b> .
5983	B. Z. 514.		G. 1030.
5999	G. 986.		G. 1033.
6001 10431	J. 500.	6315	B. Z. 511.
	G. 989, P 129, Br. 785.	6316 11097	<b>2.</b> 2. 3.2
6003	G. 988, P. 128, Br. 782.		G. 1036.
6006	G. 990.	6325	G. 1031.
6020 10442		6326 11113	
6035 10484		6335 11146	G. 1039.
6043	P. 143.	6345	R. 1614. G. 1040, P.
6054	R.(29), G.995, P. 146.		262, Br. 852.
6056	G. 993.	6347	G. 1041, P. 264, Br.
6074 10552	2 000 P 1112 P 2211	2044	851.
6078	G. 999, P. 153, Br. 795.	6354	G. 1043, Br. 854.
6079 10565	G. 1003, P. 161, Br.		G. 1044.
0000 1000	797.		G. 1046.
6083 10579		6360 • •	G. 1047.
6094 10595 6095 10580		6979 4490 <u>6</u> 6966 • •	G. 1048. G. 1051, P. 271.
	G. 1005, P. 166, Br. 808.	6374	G. 1051, P. 271. G. 1052.
0105 10000	G. 1009, F. 100, DF. 505.	U3/4 · ·	U. 1034.

Von 5' 48" — 6' 24".

Argeland. Lalande.	Verschiedene Kataloge.	Argeland, Lalande.	Verschiedene Kataloge.
6378	G. 1053.	6676	R. 1769.
6380 11181	G. 1049.	6677	G. 1124.
6392 11206		6680 118352	G. 1125, P. 19, Br. 905.
6395	G. 1037.	6686	G. 1127.
6409	G. 1060, P. 280.	6688 118 <b>6</b> 88	G. 1128, P. 25, Br. 908.
6416 11290	G. 1061.	6693	G. 1118.
6420 11305	G. 1064.	6699 11893	G. 1131.
6432	G. 1062.	6708	G. 1132, P. 31, St.
6434	G. 1063.	1	706, Br. 910.
6437	G. 1066, P. 291, Br.	6711	R. 1793, G. 1133.
	864.	6714	St. 707.
6451 11373	G. 1068.	6720 11795	G. 1126.
6461 11393	G. 1070.	6727 11941	
6466 11403	G. 1072.	6728 119 <b>43</b> 3	St. 710.
6472 114232	B. Z. 511.	6754 11994	G. 1139.
<b>647</b> 8	B. Z. 511.	6765 12015	
<b>6492</b>	R. 1695, G. 1074, P.	6766	P. 50.
	310, Br. 876.	6775	P. 54.
6502 11496	G. 1081.	6781	G. 1143, P. 55.
<b>6513 .</b> .	G. 1080, P. 316.	6787	G. 1144.
651 <b>4</b>	G. 1076, P. 314, Br.	6795 12078	
	875.	<b>6797</b>	R. 1830, G. 1147, P.
6533	G. 1084.		66, Br. 926.
6541 11556	G. 1086.	6799	G. 1145, P. 61.
6543	G. 1082.	6802 12099	
6553	G. 1085.	6807	G. 1146, P. 63, St.
6562 11610	R. 1725, R. 1094, P.		718, Br. 925.
	333 . St. 679, Br.	6809	G. 1149.
	886.	6813	St. 719.
6564	G. 1090.	6819 12122	G. 1153.
6566 11614	G. 1096, B. Z. 511.	6830 12159 ³	G
6567	G. 1091.	6831	G. 1155.
6572	G. 1095.	6848 12192	Q 1191
6576	G. 1099, B. Z. 511.	6858 12171	G. 1151.
	G. 1101, B. Z. 511.	6859 12209	G. 1158.
6596	R. 1739, G. 1103.	6872	G. 1160, P. 83.
6597 11623	0.4404	6887 12238	G. 1164.
6599	G. 1104.	6891	G. 1163, P. 90, Br.
<b>6602</b>	G. 1102. P. 341, Br. 888.	6000 1000F3	930, A. 145.
6610	B. Z. 511.	6900 12285 ² 6904	G. 1166, P. 96, Br. 935. St. 729.
6611	St. 688.		G. 1159, P. 75.
6613	G. 1105, P. 343.	6932 6966	G. 1172, P. 115.
	P. 337.	6968 12397	G. 1112, F. 113.
	G. 1107, B. Z. 511.	6969 12401	
6623	G. 1108.	6977	B. Z. 511.
6626	G. 1109.	6980	G. 1177.
6631 11743	P. 1.	<b>6993</b>	G. 1179, P. 123, Br.
6633	R. 1753, G. 1111, P.		947.
3000	351, Br 893.	<b>6998</b>	St. 739.
6637	G. 1115.	7005	G. 1180, P. 125, Br.
6644 11767			946, A. 146.
6664 .	G. 1121, P. 10.	7006 12466	
<b>667</b> 0	G. 1122.	7012 12446	St. 742.
<b>60.</b> 1 1			4.4

## Ven 6124" — 6155".

VON 0"22" — 0"00".			
Argeland. Lalande.	Verschiedene Kataloge.	Argeland. Lalande.	Verschiedene Kataloge.
7015	G. 1182, P. 132, Br.	7298	G. 1226.
	949.	7299	G. 1227.
7018 12381	0.101	7306	B. Z. 511.
7019	G. 1184, P. 133, Br.	7318 13082	
	951.	7329 13153	
7026	G. 1186, P. 137.	7334	Н. С. 16.
7040	G. 1188, P. 141, Br.	7336	St. 778, H. C. 17.
	954.	7344 13184	St. 780.
7045	G. 1189, St. 750.	7348	G. 1231, P. 250, Br.
7064	G. 1193.		998. A. 150.
<b>7066</b>	G. 1194.	7349 13193	
<b>7069</b>	н. с. <b>5</b> .	7351 13201	
7084 12547		7359	G. 1232.
<b>7086</b>	St. 755.	7369 13242	
<b>7090</b>	н. с. 7.	7370	St. 782.
7092	G. 1200.	7376 13263	2 1000
7099	G. 1203.	7378	G. 1238.
7103 12575		7380 13271	C 4990
7108 12706		7381	G. 1239.
7117 12713		7384	St. 783.
7123 12728	O 4004 D 474 C4	7388 13293	D 9097 C 1949 D
7126	G. 1204, P. 174, St. 758, Br. 968.	7391 13300	R. 2027, G. 1243, P. 263, Br. 1006.
7131	G. 1205, P. 176.	7400	G. 1244.
7145 12761	G. 1206, P. 183, Br.	7405	Н. С. 19.
	973.	7407 13327	
7156	G. 1208, P. 184, St.	7410 13298	
	<b>760.</b>	7415	G. 1247, P. 269.
7158 12790		7416 13347	C 404W
7163	G. 1210.	7422	G. 1245.
7167	H. C. 9.	7424	B. Z. 511. B. Z. 511.
7172	G. 1212, P. 192, Br.	7426 . •	G. 1249, P. 273.
7175 12829	976.	7427	B. Z. 511.
7177 12782	P. 188.	7439 7446 134 <b>2</b> 7	D. Z. 311.
7179 12837	r. 100.	7451	G. 1252, P. 280.
7198 12864		7453	P. 284.
7199 12823	G. 1215, P. 194, Br.	7457 13445	2. 2017
1100 14040	974.	7458 13455	
<b>72</b> 06	St. 767.	7460 13441	
7207 12894		7461	G. 1254.
7210	Н. С. 10.	7462 13447	St. 798.
7218 12906	G. 1220, P. 210, Br.	7463 13454	
	984.	7473 13479	
7223 12924		7476	St. 800.
7231 12846	G. 1217, P. 201.	7485 13511	G. 1257, P. 298.
7233	P. 215.	7488	G. 1256, P. 293.
7247 12948		7492 13522	G. 1258, P. 299.
7258 13006	P. 220.	7496 13537	
7270	G. 1222, P. 222, St. 774, Br. 988.	7501 13539	R. 2070, G. 1260, P. 301, St. 804.
7282	P. 232.	7517 13572	•
7284 13022		7522	G. 1263.
7291	B. Z. 511.	7527 13604	

# Von 6º 55" — 7º 26".

You 0-55- — 7-26				
Argeland. Lalande.	Verschiedene Kataloge.	Argeland. Lalande.	Verschiedene Kataloge.	
7532 13613 7541 13649	P. 309.	7760	R. 2175, G. 1290, P. 36, St.843, Br.1051.	
7543 13633 7545 13651		7785 14135	G. 1293, P. 48, St. 847, Br. 1056.	
7557 13662		7786	G. 1294, P. 49.	
7559	Н. С. 25.	7794 14149	G. 1201, 1. 40.	
<b>7564 13698</b>		7810	G. 1299.	
7574	R. 2100.	7819 14220	P. 61.	
7575 13711		7821 14231	P. 62.	
7578 13766		7823	G. 1300.	
7581	G. 1268.	7835	R. 2197.	
7584 13726	D 99 <i>C</i>	7838	8t. 858.	
7593 13751 7598 13770	P. 326.	7849 14266		
7605 13785	P. <b>331</b> .	7854 14290 7857 14293		
7622	R. (2), G. 1272.	7858 14296		
7624	H. C. 26.	7863	G. 1304.	
7633 13842		7869 14322	G.1309, P.79, Br.1066.	
7640 13839		7877 14325	C.1300,1.75, Br. 1909.	
7644 13868	St. 823.	7878 14337	G. 1311.	
7649 13858		7883 14338		
7656 13874	St. 824.	7893 14353		
7664 13907		7895 14361		
7667	St. 828.	7897	G. 1310.	
7668	St. 827.	7902 14362		
7669 13916 7675 13962	C 4989	7904 14384	R. 2220.	
7676	G. 1282. G. 1280.	7917 14400° 7921 14406	G. 1318, P. 92.	
7682	R. 2137.	7921 14400	R. 2226.	
7685 13955	16. 2101.	7932	R. 2231. G. 1314.	
7688	R. 2138, St. 829.	7937	St. 873.	
7694	R. 2145, G. 1283, P.	7942 14429	o o	
	10, Br. 1037.	7943 14432		
7697 13974	G. 1284.	7950 1 <del>444</del> 7		
7701 13992		<b>7966</b>	G. 1321	
7705	G. 1285, P. 16, Br.	7972 14486	St. 876.	
~~1 a	1040.	7977	R. 2251.	
7712 7714	P. 20.	7983	G. 1324.	
7714	G. 1286, P. 22, Br. 1043.	7987 7990	R. (24).	
7715 14012	1020.	7993	B. Ž. 489, R. 2256. G. 1323.	
7717	R. 2158.	8001	R. 2261.	
7721	н. С. 30.	8005	St. 884.	
7726 14028		8011	G. 1327.	
7727	R. 2163, B. Z. 489.	8027 14612	3. 202	
7729 14036	R. 2164, G. 1287.	8038 14613		
7737	St. 839.	8041	G. 1 <b>3</b> 30.	
<b>7748</b>	St. 838, Br. 1035,	8046 14627		
07A0	H. C. 32.	8057 14671	G 1000	
	H. C. 33.	8063	G. 1333.	
7750 . 7752 .	P. 30. P. 33.	8064	B. Z. 489.	
7756	P. 33. R. 2174.	8068 14712 8070 14716		
	R. 2177.	8071 14723	B. Z. 489.	
		WII LTING	₽• //• ₹0 <b>₽</b> •	

## Von 7 26 -- 7 55 -.

			w 14 t #7 t
Argeland. Lalande.	Verschiedene Kataloge.	Argeland. Lainade.	Verschiedene Kataloge.
8072 14718		8294	St. 913.
8078	G. 1335, P. 133, Br.	8300 15099	
	1086.	8302 15111 8305	B. Z. 489.
8080	G. 1334.	8305	G. 1371.
8082 14738		8307	G. 1373.
8083 14730	G. 1336.	8308	G. 1369. G. 1370.
8084 14746	B. Z. 489.	8320	G. 1370.
8086 14745		8324 15143	
8088 14739		8326 15154	0 1084
8093 14759	a 1011 D 110 D	8345	G. 1374.
8099 14764	G. 1341, P. 140, Br.	8351 15198	N. 229U.
0101	1093.	8361	R. 2292, G. 1375, P.
8101	G. 1340.	8364	216. G. 1376.
8105 14779	0.4047	8366 15233	G. 1370.
8113	G. 1347.	8369 15225	
8118 14813 ²	C 494Y		G. 1377.
8120	G. 1345. G. 1348.	8375 8379	G. 1378, P. 221, Br.
8122	R. 2278.	0019	1125.
8125 8132 14851 ²		8380	G. 1379, P. 222, Br.
		0000	1126.
8136 14831	1096.	8390	R. 2311.
8141 14867	1080.	8392 15 <b>2</b> 80	10. 2011.
8143 14871		8403	St. 925.
8152	G. 1350.	8405 15307	R. 2315.
8161	G. 1353, P. 159, St.	8408	R. 2317.
0101	900.	8416 15336	30111
8162	G. 1354, P. 160.	8425	G. 1383, P. 236.
8168 14889	G. 1001, 1. 1001	8430 15378	R. 2325.
8170	G. 1344.	8435 15396	
8173 14898	G. 2022.	8441 15405	
8179	G. 1356, P. 164, Br.	8450 154273	
	1098.	8459 15456	St. 936.
8186	St. 903.	8460	G. 1386, St. 935.
8189 14919 ⁸	G. 1358, P. 169, Br.	8464	G. 1388.
	1104.	8466	St. 934.
8191	G. 1357, P. 167, Br.	8469	St. 937.
819 <b>6</b>	St. 906. [1100.	8471	R. <b>234</b> 0.
8198 14922	_	8474	R. 2346.
8203 14936		8464 8466 8469 8471 8474	St. 938.
8210 14949		8490 18491	( <del>)</del> . 1392.
8213 . •	G. 1355, P. 155.		R. 2361.
8222 14966		8513	R. <b>2363.</b>
8229	G. 1364.	8529 15589	D
8237	G. 1360.		G. 1396, P. 269.
8239	G. 1363.	8534	R. 2369.
8243	G. 1361.	8537 15610	
8248 14995		8543 15622	D 7 400
8257 14999			B. Z. 489.
8259 15005	D 77 400	8558 15650	C 4900
8263	B. Z. 408.	0201	U. 1380. D. 9970
8264	B. L. 409.	0209	n. 6018. D (10)
8268 8288	G. 1307.	8888	G. 1398. R. 2379. R. (40). G. 1401, P. 282.
0.600	G. 1909.		U. 1701; I'. 604.

Von 7º 55" -- 8º 19".

Argeland, Lalande.	Verschiedene Kataloge.	Argeland, Lalande.	Verschiedene Kataloge.
8570	R. (42).	8796	R. 2453, St. 974.
8575 15701	R. 2387.	8812 16121	R. 2457, G. 1426, P.
8584	R. 2388.		19, Br. 1178.
8590 15724		8815	St. 976.
8600 15747	R. 2396, G. 1406, P.	8821 16143	
	294, Br. 1154.	8822 16150	
8602	G. 1403.	8824	R. 2461, G. 1425.
8604 15756		8825	R. 2463.
8607 15754		8835	B. Z. 489.
8612	R. <b>239</b> 8.	8843 16178	R. 2466, G. 1427.
8613	R. 2397, G. 1404, Br.	8847 16201	
	1148.	8855 16230	
8615 15752	G. 1407.	8857	R. <b>24</b> 69.
	R. 2400.	8863 16219	
8617	R. 2401.	8873 16265	D 0140
8627	G. 1410.	8874	R. 2472.
8629 15812		8875 16262	R. 2473.
8630 15813	D 0100	8877	R. (4).
8635 15825	R. 2406.	8878 1 <b>62</b> 61 8882	R. 2474. R. 2478.
8642	R. 2409.	8884 16284°	R. 2479, G. 1429,
8646 15850	G. 1408, Br. 1147.	0004 10404	P. 40.
	G. 1409, Br. 1147.	8889	G. 1428.
8655 8661	R. 2413 und (1).	8893 16306	<b>U.</b> 1420.
8665	R. 2419.	8905 16 <b>326</b>	R. 2484.
8668 15894	11. 2710.	8908 16328	R. 2486.
	R. 2420, P. 309.	8930	R. 2494, G. 1432,
8671 15905	10 2120, 11 000.	0000	P. 46.
8673	G. 1414.	8934 16395	R. 2496.
8674 15902*		8937	R. 2498.
8676	G. 1412.	8942	R. 2500.
8679	G. 1413.	8944 16396	
8682 15909	R. 2427, G. 1415, P.	8946 16427	•
	311.	8949 16435	
8691 15923	R. 2428.	8953	R. 2505.
8697 15943		8954 16434	
8706 15953		8957	R. 2506.
8713	R. 2432.	8961 16448	R. 2508.
8717	G. 1417.	8963 16469	G. 1437.
8 <b>724</b>	G. 1419, St. 961, Br.	8968 16474	
0600	1160.	8972 16485	D 9813 C 1130 D
8733	R. 2437.	8976 16465	R. 2513, G. 1438, P. 57, St. 992, Br.
8737 8744	Br. 1169, A. 170. St. 967.		1186, A. 173.
	R. 2441.	8978	R. 2512, G. 1435, P.
8750	St. 968.	0010	52.
8751	R. 2442.	8980	R. 2514.
8754	G. 1422, P. 7, Br. 1171,	8992 16515	11. 2014.
8759 16055	[R. 2443.	8999 16524	St. 995.
8773 16047	R. 2445, G. 1424, P.	9000	G. 1439, P. 58.
37.0 .001.	10, Br. 1172.	9004 165362	R. 2521.
8775	G. 1423, P. 8.	9009	R. 2525.
8784 16085	R. 2450.	9010 165628	R. 2526.
8788 16092	R. 2452.	9011 16572	
	'	,	

## Von 81 19" --- 81 43".

Argeland, Lalande, 9015 . R. 2530, G. 1441, P. 71.  9018 16594 9029 16506 9033 16616 9033 16616 9033 16616 9033 16616 9033 16616 9033 16616 9033 16616 9033 16616 9033 16616 9033 16616 9033 16616 9033 16616 9033 16616 9033 16616 9033 16616 9033 16616 9034 16622 R. 2535, G. 1445, P. 78. 9046 1. G. 37. 9050 16625 R. 2537, St. 1003. 9053 16630 R. 2539, G. 1449. 9058 16648 9057 . R. 2541. 9008 16730 9079 16730 9096 16732 9066 16742 R. 2555. 9066 16742 R. 2555. 9066 16742 R. 2563. 9099 . R. 2563. 9099 . R. 2563. 9099 . R. 2563. 9099 . R. 2563. 9099 . R. 2563. 9099 . R. 2563. 9099 . R. 2563. 9099 . R. 2563. 9103 16739 9095 . R. 2563. 9099 . R. 2563. 9103 16739 9095 . R. 2563. 9103 16739 P. 131, St. 1025. 9262 . R. 2619. 9096 16773 R. 2562. 9096 16773 R. 2562. 9099 . R. 2563. 9103 16739 P. 131, P. 103. 9122 1 16805 G. 1456. 9107 16782 P. 93. 9104 16840 R. 2576, G. 1485, P. 96, Br. 1206. 9128 16822 P. 103. P. 103. 9124 16805 R. 2576, G. 1485, P. 96, Br. 1206. 9128 16822 P. 103. 9126 16822 R. 2577, G. 1485, P. 96, Br. 1206. 9135 16735 R. 2663. 9105 16738 R. 2576, G. 1485, P. 96, Br. 1206. 9136 16782 R. 2576, G. 1485, P. 96, Br. 1206. 9136 16821 R. 2576, G. 1485, P. 96, Br. 1206. 9136 17344 9110 16782 P. 103. 9135 16821 R. 2576, G. 1485, P. 96, Br. 1206. 9136 17374 9140 16840 R. 2576, G. 1485, P. 96, Br. 1206. 9136 17374 9140 16840 R. 2576, G. 1485, P. 96, Br. 1206. 9136 17374 9140 16840 R. 2576, G. 1485, P. 96, Br. 1206. 9136 17374 9140 16840 R. 2576, G. 1485, P. 9105 16844 R. 2586. 9155 R. (15). 9157 16951 G. 1461, B. Z. 489 9159 16884 R. 2586. 9155 R. (15). 9157 16951 G. 1462, B. Z. 489 9166 16904 R. 2586. 9156 16904 R. 2586. 9156 16904 R. 2586. 9156 16904 R. 2586. 9156 16904 R. 2586. 9156 16904 R. 2586. 9156 16904 R. 2586. 9156 16904 R. 2586. 9156 16904 R. 2586. 9156 16904 R. 2586. 9156 16904 R. 2586. 9156 16904 R. 2586. 9156 16904 R. 2586. 9156 16904 R. 2586. 9156 16904 R. 2586. 9156 16904 R. 2586. 9156 16904 R. 2586. 9156 16904 R. 2586. 9156 16904 R. 2586. 9156 16904 R. 2586. 9156 16904 R. 2586. 9156 16904 R. 2586.	40H Q. 19 Q. 40 .				
71.  9018 16594 9029 16606 9033 16816 9037 . R. 2532, G. 1442, P. 75, Br. 1195. 9041 16622 R. 2535, G. 1442, P. 78. 9046 . St. 1001. 9047 . H. C. 37. 9050 16625 R. 2537, St. 1003. 9053 16630 R. 2539, G. 1449. 9054 16646 9057 . R. 2541. 9058 16648 9065 . R. 2544, St. 1004. 9065 . R. 2544, St. 1004. 9066 . G. 1446, H. C. 38. 9076 16730 9079 16729 9086 16742 R. 2555. 9096 . R. 2561. 9096 16773 R. 2562. 9098 . R. 2563. 9099 . St. 101. 9102 . G. 1451, P. 90, Br. 1202. 9103 . R. 2563. 9099 . St. 101. 9102 . G. 1451, P. 90, Br. 1202. 9103 . R. 2563. 9099 . St. 101. 9102 . G. 1451, P. 90, Br. 1202. 9103 . R. 2563. 9105 16783 R. 2566. 9107 16791 P. 93. 9108 . R. 2568. 9109 . R. 2577, G. 1455, P. 96, Br. 1206. 9128 16822 Plane R. 2577, G. 1459, P. 103. 9145 16880 R. 2577, G. 1459, P. 103. 9145 16880 R. 2577, G. 1459, P. 103. 9145 16880 R. 2577, G. 1459, P. 103. 9145 16880 R. 2578, G. 1460, P. 105. 9157 16981 G. 1461, B. Z. 489 9157 R. 2601, G. 1465. 9126 R. 2577, G. 1459, P. 103. 9145 16880 R. 2577, G. 1459, P. 103. 9145 16880 R. 2579, G. 1460, P. 105. 9157 16981 G. 1461, B. Z. 489 9159 16884 R. 2568. 9160 16904 R. 2586. 9161 H. C. 40. 9162 16988 G. 1462, B. Z. 489 9166 16904 R. 2586. 9161 H. C. 40. 9162 16988 G. 1462, B. Z. 489 9187 R. 2694. 9179 16930 R. 2595. 9185 R. R. 2699. 9191 16930 R. 2595. 9191 16945 P. 115, Br. 1214. 9193 16973 R. 2601, G. 1465. P. 115, Br. 1214. 9199 G. 1468. 9221 17034 R. 2611. 9222 I. R. 2602. 9221 17034 R. 2611. 9222 I. R. 2610, St. 1023. 9229 17049 9221 17034 R. 2611. 9222 I. R. 2614. 9221 17034 R. 2611. 9222 I. R. 2614. 9222 I. R. 2614. 9221 17034 R. 2611. 9222 I. R. 2614. 9223 I. R. 2614. 9229 17049 9221 17034 R. 2611. 9228 I. R. 2614. 9229 17049 9221 17034 R. 2611. 9228 I. R. 2614. 9229 17049 9221 17034 R. 2614. 9228 I. R. 2614. 9229 17049 9221 17034 R. 2614. 9228 I. R. 2614. 9229 17049 9229 17049 9221 17034 R. 2614. 9228 I. R. 2614. 9229 17049 9229 17049 9229 17049 9229 17049 9229 17049 9229 17049 9229 17049 9229 17049 9220 I. R. 2600. 9244 I. R. 2614. 9229 I. R. 2614. 9229 I. R. 2614.	Argeland. Lalande.	Verschiedene Kataloge.	Argeland, Lalande.	Verschiedene Kataloge.	
71.  9018 16591 9023 16504 9029 16606 9037 . R. 2535, G. 1442, P. 75, Br. 1195. 9041 16622 R. 2535, G. 1445, P. 78. 9046 . St. 1001. 9047 . H. C. 37. 9050 16636 9057 . R. 2537, St. 1003. 9053 16630 R. 2539, G. 1449. 9054 16648 9057 . R. 2544, St. 1004. 9065 . R. 2544, St. 1004. 9066 . G. 1446, H. C. 38. 9076 16730 9079 16729 9086 16742 R. 2555. 9098 . R. 2561. 9099 . St. 1011. 9102 . G.1451, P90, Br. 1202. 9103 . R. 2563. 9099 . St. 1011. 9102 . G.1451, P90, Br. 1202. 9103 . R. 2566. 9105 16783 R. 2567. 9107 16791 P. 93. 9108 . R. 2568. 9113 . H. C. 39. 9124 16805 G. 1456. 9126 . R. 2577, G. 1459, P. 103. 9145 16859 R. 2579, G. 1459, P. 103. 9145 16859 R. 2579, G. 1460, P. 105. 9157 16951 G. 1461, B. Z. 489 9159 16884 R. 2586. 9151 . R. 2586. 9155 . R. (15). 9157 16951 G. 1461, B. Z. 489 9159 16884 R. 2586. 9161 H. C. 40. 9162 16985 G. 1462, B. Z. 489 9166 16904 R. 2586. 9161 H. C. 40. 9162 16985 G. 1462, B. Z. 489 9179 16930 R. 2599. 9185 . R. 2599. 9191 16945 9193 16973 R. 2601, G. 1465. P. 118, Br. 1214. 9199 16973 R. 2601, G. 1465. P. 118, Br. 1214. 9199 16973 R. 2601, G. 1465. P. 118, Br. 1214. 9199 16973 R. 2601, G. 1465. P. 118, Br. 1214. 9199 16973 R. 2601, G. 1465. P. 118, Br. 1214. 9199 16973 R. 2602, P. 118, Br. 1214. 9222 17034 R. 2602. 9221 17034 R. 2611, 9222 17034 R. 2611, 9222 17034 R. 2611, 9223 17088 P. 131, St. 1023. 9228 17049 9231 17088 P. 131, St. 1023. 9239 17088 P. 131, St. 1024. 9239 17049 9231 17088 P. 131, St. 1024. 9231 17088 P. 131, St. 1024. 9239 17049 9231 17088 P. 131, St. 1024. 9239 17049 9231 17088 P. 131, St. 1024. 9225 R. 2610, St. 1024. 9226 17044 9227 17034 R. 2611, 9226 I7044 9227 17034 R. 2611, 9226 I7044 9227 17034 R. 2611, 9226 I7044 9227 17034 R. 2611, 9226 I7044 9227 17034 R. 2611, 9226 I7044 9227 17034 R. 2611, 9226 I7044 9227 17034 R. 2611, 9226 I7044 9227 17034 R. 2611, 9226 I7044 9227 17034 R. 2611, 9226 I7044 9227 17034 R. 2611, 9226 I7044 9221 17038 P. 131, St. 1023. 9239 17088 P. 131, St. 1024. 9230 17089 P. 131, St. 1024. 9231 17088 P. 131, St. 1024. 9231 1708	9015	R. 2530, G. 1441, P.	0100	_	
9018 16594 9029 16606 9033 16816 9037 . R. 2532, G. 1442, P. 75, Br. 1195. 9041 16622 R. 2535, G. 1445, P. 78. 9046 . St. 1001. 9047 . H. C. 37. 9050 16625 R. 2537, St. 1003. 9053 16630 R. 2539, G. 1449. 9054 16648 9057 . R. 2541. 9058 16648 9065 . R. 2544, St. 1004. 9068 . G. 1446, H. C. 38. 9076 16730 9079 16729 9086 16742 R. 2555. 9096 16773 R. 2561. 9099 . R. 2561. 9099 . R. 2561. 9099 . R. 2563. 9099 . St. 1014. 9102 . G. 1451, P.90,Br. 1202. 9103 . R. 2568. 9107 16791 P. 93. 9108 . R. 2568. 9101 16782 P. 96, Br. 1206. 9128 16822 P. 96, Br. 1206. 9128 16824 R. 2572, G. 1455, P. 96, Br. 1206. 9128 16825 R. 2577, G. 1458, P. 1041. 9129 . G. 1464. 9179 16894 R. 2566. 9201 R. 2601, G. 1465. P. 115, Br. 1214. 9199 . G. 1466. 9211 . G. 1468. 9221 17034 R. 2611. 9228 . R. 2610, St. 1023. 9229 17049 9231 17038 P. 131, St. 1023. 9239 . St. 1026. 9239 . St. 1026. 9239 . St. 1026. 9239 . R. 2614. 9249 . B. Z. 499 . B. Z. 494. 9257 . R. 2619. 9262 . R. 2626. G. 1469, P. 137. 9263 17136 9276 . R. 2631. 9264 . R. 2631. 9264 . R. 2644. 9307 . R. 2642. 9330 17299 St. 1041. 9306 17244 9307 . R. 2642. 9331 17209 St. 1041. 9332 17299 St. 1047. 9341 17308 G. 1472, P. 168, Br. 1241, A. 179. 9341 17308 G. 1472, P. 168, Br. 1241, A. 179. 9341 17308 P. 174. 9363 17373 9360 17374 9363 17373 9360 17374 9363 17373 9360 17374 9363 17373 9360 17374 9363 17373 9360 17374 9363 17373 9370 . R. 2668. 9379 . R. 26672, G. 1477, 9363 17373 9370 . R. 2668. 9379 . R. 2668. 9379 . R. 2668. 9379 . R. 2668. 9379 . R. 2668. 9379 . R. 2668. 9379 . R. 2668. 9379 . R. 2668. 9379 . R. 2668. 9379 . R. 2668. 9379 . R. 2668. 9379 . R. 2668. 9379 . R. 2668. 9379 . R. 26672, G. 1477, 9368 9379 . R. 2668. 9379 . R. 2668.	•		0.100		
9029 16606 9033 16616 9037 . R. 2532, G. 1442, P. 75, Br. 1195, 9041 16622 R. 2535, G. 1445, P. 78. 9046 . St. 1001. 9047 . H. C. 37. 9050 16625 R. 2537, St. 1003. 9053 16630 R. 2539, G. 1449. 9054 16648 9057 . R. 2541. 9058 16648 9065 . R. 2544, St. 1004. 9068 . G. 1446, H. C. 38. 9076 16730 9079 16729 9086 16742 R. 2555. 9089 16759 9095 . R. 2561. 9096 16773 R. 2562. 9099 . St. 1014. 9062 . G. 1451, P.90,Br. 1202. 9103 . R. 2568. 9105 16783 R. 2567. 9107 16791 P. 93. 9108 . R. 2568. 9107 16791 P. 93. 9108 . R. 2568. 9101 16782 R. 2576, G. 1455, P. 137. 9108 . R. 2576, G. 1455, P. 104. 9128 16822 R. 2577, G. 1455, P. 103. 9145 16830 R. 2577, G. 1459, P. 103. 9145 16880 R. 2577, G. 1459, P. 103. 9145 16880 R. 2577, G. 1456, P. 105. 9147 . R. 2580. 9155 . R. (15). 9159 16884 R. 2584. 9160 16904 R. 2586. 9161 H. C. 40. 9162 16985 G. 1462, B. Z. 489 9161 H. C. 40. 9162 16985 G. 1462, B. Z. 489 9161 H. C. 40. 9162 16985 G. 1462, B. Z. 489 9161 H. C. 40. 9162 16985 G. 1462, B. Z. 489 9161 H. C. 40. 9162 16985 G. 1463, B. Z. 489 9161 H. C. 40. 9162 16985 G. 1463, B. Z. 489 9161 H. C. 40. 9162 16985 G. 1463, B. Z. 489 9185 G. 1465, P. 193. 9191 16943 9191 16943 9191 16943 9191 16943 9191 16943 9191 16943 9191 16943 9191 16943 9191 16943 9191 16943 9191 16943 9191 16993 R. 2601, G. 1468. 9221 17034 R. 2611. 9228 . B. Z. 489 und 494. 9229 17049 9231 17038 9231 17038 9231 17038 9249 . B. Z. 494. 9229 17049 9231 17038 9231 17038 9249 . B. Z. 494. 9249 . B. Z. 494. 9229 17049 9231 17038 924 . R. 2611. 9228 . B. Z. 489 und 494. 9229 17049 9231 17038 9231 17038 9231 17038 9249 . B. Z. 494. 9249 . B. Z. 494. 9250 . R. 2662. 9244 . R. 2614. 9249 . B. Z. 499  . P. 137, St. 1025. 9239 17035 9249 . R. 2626. 9240 . R. 2626. 9241 . R. 2614. 9229 17049 9231 17038 9231 17038 9231 17038 9231 17038 9231 17038 9231 17038 9231 17038 9249 . R. 2621. 9230 17049 9231 17038 9231 17049 9231 17049 9231 17049 9231 17049 9231 17049 9231 17049 9231 17049 9231 17049 9231 17049 9231 17049 9231 17049 9231 17049 9231 17049 9231 17049 9231 17049 9231	9018 16591			R. <b>2594.</b>	
9033 16616 9037 . R. 2532, G. 1442, P. 75, Br. 1195. 9041 16622 R. 2535, G. 1445, P. 78. 9046 . St. 1001. 9047 . H. C. 37. 9050 16625 R. 2537, St. 1003. 9053 16630 R. 2539, G. 1449. 9054 16648 9057 . R. 2541. 9058 16648 9057 . R. 2544, St. 1004. 9068 . G. 1446, H. C. 38. 9076 16730 9079 16729 9086 16742 R. 2555. 9098 16759 9095 . R. 2561. 9096 16773 R. 2562. 9098 . R. 2563. 9099 . St. 1014. 9102 . G. 1451, P.90, Br. 1202. 9103 . R. 2563. 9099 . St. 1014. 9102 . G. 1451, P.90, Br. 1202. 9103 . R. 2568. 9107 16791 P. 93. 9108 . R. 2568. 9107 16792 P. 96, Br. 1206. 9128 16822 9130 16821 R. 2576, G. 1457, P. 103. 9145 168403 R. 2576, G. 1457, P. 103. 9145 168404 R. 2577, G. 1459, P. 103. 9145 168404 R. 2577, G. 1459, P. 103. 9146 168404 R. 2577, G. 1459, P. 105. 9157 16951 G. 1461, B. Z. 489 9158 . R. 2576, G. 1457, 9341 17308 9159 16884 R. 2584. 9160 16904 R. 2586. 9161 H. C. 40, 9360 17373 9370 . R. 2668. 9379 . G. 1473, 9360 17373 9360 17373 9370 . R. 2668. 9379 . R. 2668. 9379 . G. 1473, 9361 17374 9363 17373 9370 . R. 2668. 9379 . G. 1478, 9379 . G. 1478, 9361 17374 9363 17373 9370 . R. 2668. 9379 . G. 1478, 9367, G. 1477, 9363 . G. 14778, 9363 . G. 1478, 9363 . G. 1478, 9363 . G. 1478, 9363 . G. 1478, 9363 . G. 1478, 9364 . R. 2672, G. 1477, 9364 . R. 2672, G. 1477, 9364 . R. 2672, G. 1477, 9364 . R. 2672, G. 1477, 9364 . R. 2672, G. 1477, 9364 . R. 2672, G. 1477, 9364 . R. 2672, G. 1477, 9364 . R. 2672, G. 1477, 9364 . R. 2672, G. 1477, 9364 . R. 2672, G. 1477, 9364 . R. 2672, G. 1477, 9364 . R. 2672, G. 1477, 9364 . R. 2672, G. 1477, 9364 . R. 2672, G. 1477, 9364 . R. 2672, G. 1477, 9364 . R. 2672, G. 1477, 9364 . R. 2672, G. 1477, 9364 . R. 2672, G. 1477, 9364 . R. 2672, G. 1477, 9364 . R. 2672, G. 1477, 9364 . R. 2672, G. 1477, 9364 . R. 2672, G. 1477, 9364 . R. 2672, G. 1477, 9364 . R. 2672, G. 1477, 9364 . R. 2672, G. 1477, 9364 . R. 2672, G. 1477, 9364 . R. 2672, G. 1477, 9364 . R. 2672, G. 1477, 9364 . R. 2672, G. 1477, 9364 . R. 2672, G. 1477, 9364 . R. 2672, G. 1477, 9364 . R. 2672, G. 1477, 9364 .			9179 16930		
9037 . R. 2532, G. 1442, P. 75, Br. 1195. 9041 16622 R. 2535, G. 1448, P. 78, R. 2602, P. 78, R. 1001. 9046 . St. 1001. 9047 . H. C. 37. 9050 16625 R. 2539, G. 1449. 9054 16646 9057 . R. 2541. 9058 16648 9065 . R. 2544, St. 1004. 9066 . G. 1446, H. C. 38. 9076 16730 9079 16729 9086 16742 R. 2555. 9099 16759 9096 16773 R. 2562. 9099 . R. 2561. 9099 . R. 2561. 9099 . R. 2562. 9099 . R. 2563. 9099 . St. 1011. 9102 . G. 1441, P. 90, Br. 1202. 9103 . R. 2868. 9105 16782 R. 2568. 9107 16791 P. 93. 9108 . R. 2568. 9105 16782 P. 136. 9126 . R. 2577, G. 1455, P. 96, Br. 1206. 9128 16822 R. 2573, G. 1458. 9139 . R. 2577, G. 1459, P. 103. 9145 16850 R. 2577, G. 1459, P. 103. 9145 16850 R. 2577, G. 1459, P. 103. 9145 16850 R. 2577, G. 1459, P. 103. 9147 . R. 2580. 9155 . R. (15). 9157 16951 G. 1461, B. Z. 489 und 494. 9159 16884 R. 2584. 9160 16904 R. 2586. 9161 H. C. 40. 9162 16958 G. 1462, B. Z. 489 9162 16958 G. 1462, B. Z. 489 9163 16924, R. 2584. 9160 16904 R. 2586. 9161 H. C. 40. 9162 16958 G. 1462, B. Z. 489 9163 16924 R. 2584. 9160 16904 R. 2586. 9161 H. C. 40. 9162 16958 G. 1462, B. Z. 489 9164 16924 R. 2584. 9162 16958 G. 1462, B. Z. 489 9189 16973 R. 2602. 9201 . R. 2602. 9201 . R. 2608. 9201 1. R. 2608. 9201 1. R. 2608. 9201 1. R. 2608. 9201 1. R. 2608. 9201 1. R. 2602. 9201 1. R. 2608. 9211 . G. 1468. 9221 17034 9226 17044 9227 17034 P. 131, St. 1023. 9229 17049 9231 17058 923 17058 923 17058 923 17058 923 17058 923 17058 923 17058 923 17058 924 . R. 2611. 9228 1. B. Z. 489 und 494. 9227 17034 R. 2611. 9228 1. B. Z. 489 und 494. 9231 17058 923 17058 924 . R. 2614. 9227 17034 R. 2611. 9228 1. B. Z. 489 und 494. 9231 17058 923 17058 924 . R. 2614. 9227 17034 R. 2611. 9228 1. B. Z. 489 und 494. 923 17058 P. 131, St. 1025. 9249 . R. 2614. 9230 17058 P. 131, St. 1025. P. 131, St. 1025. P. 131, St. 1025. P. 131, St. 1025. P. 241 . R. 2614. 9228 17044 9227 17034 P. 2601 R. 2610. P. 1468. 921 . R. 2611. 9228 17049 9231 17058 P. 12610. P. 12610. P. 12610. P. 12610. P. 1260. P. 1270. P. 137. P. 138. P. 1474. P. 1485. P.				R. <b>2599.</b>	
P. 75, Br. 1195. P. 78.  9041 16622 R. 2535, G. 1445, P. 78.  9046 . St. 1001. 9047 . H. C. 37. 9050 16625 R. 2537, St. 1003. 9053 16630 R. 2539, G. 1449. 9054 16646 9057 . R. 2541. 9058 16648 9065 . R. 2544, St. 1004. 9068 . G. 1446, H. C. 38. 9079 16729 9086 16730 9099 16729 9086 16759 9095 . R. 2561. 9096 16773 R. 2565. 9099 . St. 1011. 9102 . G. 1441, P.90,Br.1202. 9103 . R. 2568. 9105 16738 R. 2567. 9107 16791 P. 93. 9108 . R. 2568. 9110 16782 9113 . H. C. 39. 9124 16805 G. 1456. 9126 . R. 2572, G. 1455, P. 96, Br. 1206. 9128 16822 9130 16821 R. 2573, G. 1458. 9139 . R. 2576, G. 1457, 9140 168404 R. 2576, G. 1457, 9140 168404 R. 2577, G. 1459, P. 103. 9145 16859 R. 2573, G. 1459, P. 103. 9145 16859 R. 2573, G. 1459, P. 103. 9147 . R. 2380. 9155 . R. (15). 9157 16951 G. 1461, B. Z. 489 9155 . R. (15). 9159 16884 R. 2584. 9160 16904 R. 2586. 9161 H. C. 40. 9162 16958 G. 1462, B. Z. 489 9162 16958 G. 1462, B. Z. 489 9162 16958 G. 1462, B. Z. 489 9162 16958 G. 1462, B. Z. 489 9162 16958 G. 1462, B. Z. 489 9384 . R. 2672, G. 1477, 9383 . G. 1478. 9379 . G. 1468. 9211 . G. 1468. 9221 1 . G. 1468. 9221 1 . G. 1468. 9221 1 . G. 1468. 9221 1 . G. 1468. 9221 17044 9228 . R. 2611. 9228 . R. 2610. 9221 1 . G. 1468. 9227 17034 R. 2611. 9228 . R. 2611. 9229 17049 9231 17058 P. 131, St. 1023. 9226 17044 9239 . St. 1024. 9239 . St. 1024. 9239 . St. 1024. 9239 . R. 2614. 9249 . R. 2614. 9249 . R. 2614. 9249 . R. 2614. 9249 . R. 2614. 9249 . R. 2614. 9249 . R. 2614. 9249 . R. 2614. 9249 . R. 2614. 9249 . R. 2614. 9249 . R. 2614. 9249 . R. 2614. 9249 . R. 2614. 9249 . R. 2614. 9249 . R. 2614. 9249 . R. 2614. 9249 . R. 2614. 9249 . R. 2614. 9249 . R. 2614. 9249 . R. 2614. 9249 . R. 2614. 9249 . R. 2614. 9249 . R. 2614. 9249 . R. 2614. 9249 . R. 2614. 9249 . R. 2614. 9249 . R. 2614. 9249 . R. 2614. 9249 . R. 2614. 9249 . R. 2614. 9249 . R. 2614. 9249 . R. 2614. 9249 . R. 2614. 9249 . R. 2614. 9249 . R. 2614. 9249 . R. 2614. 9249 . R. 2614. 9249 . R. 2614. 9249 . R. 2624. 9231 17058 9236 17044 924 . R. 2614. 9249 . R. 2631. 925					
9041 16622 R. 2535, G. 1445, P. 78.  9046 . St. 1001. 9047 . H. C. 37. 9050 16625 R. 2537, St. 1003. 9053 16630 R. 2539, G. 1449. 9054 16646 9057 . R. 2541. 9058 16648 9065 . R. 2544, St. 1004. 9066 . G. 1446, H. C. 38. 9076 16730 9079 16729 9086 16742 R. 2555. 9096 16773 R. 2561. 9096 16773 R. 2563. 9099 . R. 2561. 9099 . R. 2563. 9099 . R. 2563. 9099 . St. 1011. 9102 . G. 1451, P.90, Br. 1202. 9103 . R. 2568. 9105 16783 R. 2568. 9107 16791 P. 93. 9108 . R. 2568. 9107 16791 P. 93. 9108 . R. 2568. 9101 16782 . P. 96, Br. 1206. 9128 16822 . P. 96, Br. 1206. 9128 16822 . P. 96, Br. 1206. 9128 16822 . P. 96, Br. 1206. 9128 16821 R. 2577, G. 1455, P. 96, Br. 1206. 9138 16821 R. 2577, G. 1459, P. 103. 9145 16859 R. 2577, G. 1459, P. 103. 9147 . R. 2380. 9145 16858 R. 2584. 9159 16884 R. 2577, G. 1459, P. 105. 9157 16951 G. 1461, B. Z. 489 9159 16884 R. 2584. 9160 16904 R. 2586. 9161 H. C. 40. 9162 16958 G. 1462, B. Z. 489 9162 16958 G. 1462, B. Z. 489 9162 16958 G. 1462, B. Z. 489 9162 16958 G. 1462, B. Z. 489 9163 17373 9384 . R. 2668. 9379 . G. 1478, 9384 . R. 2672, G. 1477, 9384 . R. 2672, G. 1477, 9384 . R. 2672, G. 1477, 9384 . R. 2672, G. 1477, 9384 . R. 2672, G. 1477, 9384 . R. 2672, G. 1477, 9384 . R. 2672, G. 1477, 9384 . R. 2672, G. 1477, 9384 . R. 2672, G. 1477, 9384 . R. 2672, G. 1477, 9384 . R. 2672, G. 1477, 9384 . R. 2672, G. 1477, 9384 . R. 2672, G. 1477, 9384 . R. 2672, G. 1477, 9384 . R. 2672, G. 1477, 9384 . R. 2672, G. 1477, 9384 . R. 2672, G. 1477, 9384 . R. 2672, G. 1477, 9384 . R. 2672, G. 1477, 9384 . R. 2672, G. 1477, 9384 . R. 2672, G. 1477, 9384 . R. 2672, G. 1477, 9384 . R. 2672, G. 1477, 9384 . R. 2672, G. 1477, 9384 . R. 2672, G. 1477, 9384 . R. 2672, G. 1477, 9384 . R. 2672, G. 1477, 9384 . R. 2672, G. 1477, 9384 . R. 2672, G. 1477, 9384 . R. 2672, G. 1477, 9384 . R. 2672, G. 1477, 9384 . R. 2672, G. 1477, 9384 . R. 2672, G. 1477, 9384 . R. 2672, G. 1477, 9384 . R. 2672, G. 1477, 9384 . R. 2672, G. 1477, 9384 . R. 2672, G. 1477, 9384 . R. 2672, G. 1477, 9384 . R. 2672, G. 1477, 9384 .	9037	R. 2532, G. 1442, P. 75, Br. 1195.	9193 16973	R. 2601, G. 1465. P. 115. Br. 1214.	
9046 . St. 1001. 9047 . H. C. 37. 9050 16625 R. 2537, St. 1003. 9053 16630 R. 2539, G. 1449. 9054 16646 9057 . R. 2541. 9058 16648 9065 . R. 2544, St. 1004. 9066 . G. 1446, H. C. 38. 9076 16730 9079 16729 9080 16742 R. 2555. 9089 16773 R. 2561. 9096 . R. 2561. 9096 . R. 2563. 9099 . St. 1011. 9102 . G. 1451, P.90, Br. 1202. 9103 . R. 2568. 9105 16783 R. 2567. 9107 16791 P. 93. 9108 . R. 2568. 9107 16780 G. 1456. 9124 16805 G. 1456. 9124 16805 G. 1456. 9126 . R. 2577, G. 1455, P. 96, Br. 1206. 9128 16822 9130 16821 R. 2577, G. 1455, P. 96, Br. 1206. 9128 16822 9130 16821 R. 2577, G. 1455, P. 103. 9145 16859 ¹⁸ R. 2577, G. 1456, 9329 17205 9147 . R. 2580. 9155 . R. (15). 9147 . R. 2580. 9155 . R. (15). 9157 16951 G. 1461, B. Z. 489 1159 16884 R. 2584. 9160 16904 R. 2586. 9161 H. C. 40. 9162 16986 G. 1462, B. Z. 489 1160 16904 R. 2586. 9161 H. C. 40. 9162 16988 G. 1462, B. Z. 489 19162 16988 G. 1462, B. Z. 489 19162 16988 G. 1462, B. Z. 489 19162 16988 G. 1462, B. Z. 489 19162 16988 G. 1462, B. Z. 489 19163 16994 R. 2586. 9161 H. C. 40. 9162 16988 G. 1462, B. Z. 489 19184 R. 2611. 9226 17044 9227 17034 R. 2611. 9228 i. R. 2619. 9229 17049 9231 17058 P. 131, St. 1026. 9231 17058 P. 131, St. 1026. 9244 . R. 2611. 9229 17049 9231 17058 P. 131, St. 1026. 9231 17058 P. 131, St. 1026. 9244 . R. 2614. 9229 17049 P. 231 17058 P. 131, St. 1026. 9244 . R. 2614. 9229 17049 P. 131, St. 1026. 9244 . R. 2614. 9229 17049 P. 131, St. 1026. 9244 . R. 2614. 9229 17049 P. 131, St. 1026. 9244 . R. 2614. 9229 17049 P. 131, St. 1026. 9244 . R. 2614. 9239 . St. 1046. 9231 17058 P. 131, St. 1026. 9244 . R. 2614. 9229 17049 P. 131, St. 1026. 9244 . R. 2614. 9297 . R. 2619. 9262 . R. 2619. 9262 . R. 2619. 9263 17136 P. 131, St. 1026. 9271 . R. 2619. 9282 . B. Z. 489 P. 103. 9263 17136 P. 2641. 9297 . R. 2638. 9299 17205 P. 137. 9263 17136 P. 131, St. 1026. 9244 . R. 2614. 9229 17049 P. 131, St. 1026. 9211 . R. 2611. 9262 . R. 2619. 9262 . R. 2619. 9262 . R. 2619. 9263 17168 P. 2642 . R. 2614. 9307 . R. 2641. 9306 17244 P. 103 . R. 2631. 9	9041 16622	R. 2535, G. 1445,	0001	G. 1466.	
9047 H. C. 37. 9050 16625 R. 2537, St. 1003. 9053 16636 R. 2539, G. 1449. 9054 16646 9057 . R. 2541. 9058 16648 9065 . R. 2544, St. 1004. 9068 . G. 1446, H. C. 38. 9076 16730 9079 16729 9086 16742 R. 2555. 9089 16759 9095 . R. 2561. 9096 16773 R. 2562. 9098 . R. 2563. 9099 . St. 1011. 9102 . G. 1451, P.90, Br. 1202. 9103 . R. 2565. 9107 16791 P. 93. 9108 . R. 2568. 9113 . H. C. 39. 9124 16805 G. 1456. 9126 . R. 2573, G. 1458. 9126 R. 2576, G. 1457, 9140 16840 ² R. 2577, G. 1459, P. 103. 9145 16859 ² R. 2577, G. 1459, P. 103. 9145 16859 ² R. 2577, G. 1459, P. 103. 9147 . R. 2580. 9155 . R. (15). 9157 16951 G. 1461, B. Z. 489 9159 16884 R. 2584. 9160 16904 R. 2586. 9161 H. C. 40. 9162 16986 R. 1462, B. Z. 489 9183 . G. 1478, 9189 16884 R. 2584. 9160 16904 R. 2586. 9161 H. C. 40. 9162 16986 G. 1462, B. Z. 489 9384 . R. 2672, G. 1477, 9383 . G. 1478. 9383 . G. 1478. 9383 . G. 1478. 9383 . G. 1478. 9384 . R. 2668. 9379 . R. 2668. 9379 . R. 2668. 9379 . R. 2668. 9379 . R. 2668. 9379 . R. 2668. 9379 . R. 2668. 9379 . R. 2668. 9379 . R. 2668. 9379 . R. 2668. 9379 . R. 2668. 9379 . R. 2668. 9379 . R. 2668. 9379 . R. 2668. 9379 . R. 2668. 9379 . R. 26672, G. 1477, 9383 . G. 1478. 9384 . R. 2672, G. 1477,	90AR		0011		
9050 16625 R. 2537, St. 1003. 9053 16636 R. 2539, G. 1449. 9054 16646 9057 . R. 2541. 9058 16648 9065 . R. 2544, St. 1004. 9068 . G. 1446, H. C. 38. 9076 16730 9079 16729 9086 16742 R. 2555. 9089 16759 9095 . R. 2561. 9006 16773 R. 2562. 9098 . R. 2563. 9099 . St. 1011. 9102 . G.1451, P.90, Br. 1202. 9103 1 R. 2568. 9105 16783 R. 2567. 9107 16791 P. 93. 9108 . R. 2568. 9110 16782 . 9113 . H. C. 39. 9124 16805 G. 1456. 9128 16822 9139 . R. 2573, G. 1458, 9126 . R. 2573, G. 1458, 9139 . R. 2576, G. 1457. 9140 16840* R. 2577, G. 1459, P. 105. 9147 . R. 2380. 9145 16859* R. 2579, G. 1460, P. 105. 9147 . R. 2380. 9153 . B. Z. 489. 9155 . R. (15). 9157 16951 G. 1461, B. Z. 489 9160 16904 R. 2586. 9161 H. C. 40. 9162 16988 R. 2584. 9160 16904 R. 2586. 9161 H. C. 40. 9162 16988 R. 2672, G. 1477, 9381 173374 9383 . G. 1478. 9370 . R. 2668. 9379 . R. 2668. 9379 . R. 2668. 9379 . R. 2668. 9379 . R. 2668. 9379 . R. 2668. 9379 . R. 2668. 9379 . R. 2668. 9379 . R. 2668. 9379 . R. 2668. 9379 . R. 2668. 9379 . R. 2668. 9379 . R. 2668. 9379 . R. 2668. 9379 . R. 2668. 9379 . R. 2672, G. 1477,			00111		
9053 16630 R. 2539, G. 1449. 9054 16646 9057 . R. 2541. 9058 16648 9065 . R. 2544, St. 1004. 9068 . G. 1446, H. C. 38. 9076 16730 9079 16729 9086 16742 R. 2555. 9099 16759 9095 . R. 2561. 9099 . R. 2561. 9099 . R. 2562. 9099 . R. 2563. 9103 . R. 2563. 9105 16783 R. 2567. 9107 16791 P. 93. 9108 . R. 2568. 9105 16782 9113 . H. C. 39. 9124 16805 G. 1456. 9126 . R. 2572, G. 1455, P. 96, Br. 1206. 9128 16822 9130 16821 R. 2573, G. 1458. 9139 . R. 2576, G. 1457. 9140 16840 R. 2577, G. 1459, P. 103. 9145 16859 R. 2577, G. 1459, P. 103. 9147 . R. 2580. 9155 . R. (15). 9157 16951 G. 1461, B. Z. 489 9160 16904 R. 2584. 9160 16904 R. 2584. 9161 H. C. 40. 9162 16988 G. 1462, B. Z. 489 9161 H. C. 40. 9162 16988 G. 1462, B. Z. 489 9161 H. C. 40. 9162 16988 G. 1462, B. Z. 489 9170 . R. 2668. 9379 . R. 2668. 9379 . R. 2668. 9379 . R. 2668. 9379 . G. 1475. 9384 . R. 2672, G. 1477,		R. 2537. St. 1003.			
9054 16646 9057 . R. 2541. 9058 16648 9065 . R. 2544, St. 1004. 9068 . G. 1446, H. C. 38. 9076 16730 9079 16729 9086 16742 R. 2555. 9096 16773 R. 2561. 9099 . R. 2561. 9099 . St. 1011. 9102 . G.1451, P.90, Br. 1202. 9103 . R. 2568. 9105 16783 R. 2567. 9107 16791 P. 93. 9108 . R. 2568. 9113 . H. C. 39. 9124 16805 G. 1456. 9126 . R. 2572, G. 1455, P. 96, Br. 1206. 9128 16822 9130 16821 R. 2573, G. 1458. 9129 17205 9140 168403 R. 2577, G. 1459, P. 103. 9145 168594 R. 2577, G. 1459, P. 103. 9145 168595 R. 2579, G. 1460, P. 105. 9153 . B. Z. 489. 9155 . R. (15). 9157 16951 G. 1461, B. Z. 489 9160 16904 R. 2586. 9161 H. C. 40. 9162 16958 G. 1462, B. Z. 489 9162 16958 G. 1462, B. Z. 489 9162 16958 G. 1462, B. Z. 489 9162 16958 G. 1462, B. Z. 489 9183 17373 9189 16884 R. 2584. 9160 16904 R. 2586. 9161 H. C. 40. 9162 16958 G. 1462, B. Z. 489 9384 . R. 2672, G. 1477,		R. 2539, G. 1449.		10.101 01.01	
9088 16648 9065 R. 2544, St. 1004. 9068 G. 1446, H. C. 98. 9076 16730 9079 16729 9086 16742 R. 2555. 9089 16759 9095 . R. 2561. 9096 16773 R. 2562. 9099 . St. 1011. 9102 . G.1451, P.90, Br. 1202. 9103 . R. 2568. 9105 16783 R. 2567. 9107 16791 P. 93. 9108 . R. 2568. 9107 16791 P. 93. 9108 . R. 2568. 9113 . H. C. 39. 9124 16805 G. 1456. 9124 16805 G. 1456. 9125 16822 9130 16821 R. 2573, G. 1455, P. 96, Br. 1206. 9128 16822 9130 16821 R. 2577, G. 1459, P. 103. 9145 16859* R. 2576, G. 14457, P. 105. 9147 . R. 2580. 9153 . B. Z. 489. 9155 . R. (15). 9157 16951 G. 1461, B. Z. 489 9159 16884 R. 2584. 9160 16904 R. 2586. 9161 H. C. 40. 9162 16958 G. 1462, B. Z. 489 9162 16958 G. 1462, B. Z. 489 9384 . R. 2672, G. 1477,				R. 2611.	
9088 16648 9065 R. 2544, St. 1004. 9068 G. 1446, H. C. 98. 9076 16730 9079 16729 9086 16742 R. 2555. 9089 16759 9095 . R. 2561. 9096 16773 R. 2562. 9099 . St. 1011. 9102 . G.1451, P.90, Br. 1202. 9103 . R. 2568. 9105 16783 R. 2567. 9107 16791 P. 93. 9108 . R. 2568. 9107 16791 P. 93. 9108 . R. 2568. 9113 . H. C. 39. 9124 16805 G. 1456. 9124 16805 G. 1456. 9125 16822 9130 16821 R. 2573, G. 1455, P. 96, Br. 1206. 9128 16822 9130 16821 R. 2577, G. 1459, P. 103. 9145 16859* R. 2576, G. 14457, P. 105. 9147 . R. 2580. 9153 . B. Z. 489. 9155 . R. (15). 9157 16951 G. 1461, B. Z. 489 9159 16884 R. 2584. 9160 16904 R. 2586. 9161 H. C. 40. 9162 16958 G. 1462, B. Z. 489 9162 16958 G. 1462, B. Z. 489 9384 . R. 2672, G. 1477,	9057	R. 2541.	9228	B. Z. 489 und 494.	
9068 . G. 1446, H. C. 98. 9076 16730 9079 16729 9086 16742 R. 2555. 9089 16759 9095 . R. 2561. 9096 16773 R. 2562. 9098 . R. 2563. 9099 . St. 1011. 9102 . G. 1451, P.90, Br. 1202. 9103 . R. 2568. 9105 16783 R. 2567. 9107 16791 P. 93. 9108 . R. 2568. 9110 16782 . 9113 . H. C. 39. 9124 16805 G. 1456. 9126 . R. 2572, G. 1455, P. 96, Br. 1206. 9128 16822 9130 16821 R. 2573, G. 1458. 9130 16821 R. 2573, G. 1458. 9130 16840* R. 2577, G. 1457, 9140 16840* R. 2576, G. 1487. 9147 . R. 2380. 9153 . B. Z. 489. 9159 16884 R. 2584. 9160 16904 R. 2586. 9161 H. C. 40. 9162 16938 G. 1462, B. Z. 489 9162 16938 G. 1462, B. Z. 489 9162 16938 G. 1462, B. Z. 489 9162 16938 G. 1462, B. Z. 489 9384 . R. 2672, G. 1477,	9058 16648		9229 17049		
9076 16730 9079 16729 9086 16742 R. 2555. 9089 16759 9095 R. 2561. 9096 16773 R. 2562. 9098 R. 2563. 9099 St. 1011. 9102 G.1451, P.90, Br. 1202. 9103 . R. 2565. 9105 16783 R. 2567. 9107 16791 P. 93. 9108 R. 2568. 9110 16782 9113 H. C. 39. 9124 16805 G. 1456. 9126 . R. 2572, G. 1455, P. 96, Br. 1206. 9128 16822 9130 16821 R. 2573, G. 1458. 9139 R. 2576, G. 1457. 9140 168404 R. 2577, G. 1459, P. 103. 9145 168594 R. 2577, G. 1459, P. 105. 9157 16951 G. 1461, B. Z. 489 9160 16804 R. 2586. 9160 16804 R. 2586. 9161 H. C. 40. 9162 16938 G. 1462, B. Z. 489 9162 16938 G. 1462, B. Z. 489 9162 16938 G. 1462, B. Z. 489 9162 16938 G. 1462, B. Z. 489 9162 16938 G. 1462, B. Z. 489 9162 16938 G. 1462, B. Z. 489 9162 16938 G. 1462, B. Z. 489 9162 16938 G. 1462, B. Z. 489 9162 16938 G. 1462, B. Z. 489 9162 16938 G. 1462, B. Z. 489 9162 16938 G. 1462, B. Z. 489 9164 H. C. 40. 9162 16938 G. 1462, B. Z. 489 9164 H. C. 40. 9164 16938 G. 1462, B. Z. 489 9165 16938 G. 1462, B. Z. 489 9166 16948 R. 2586. 9160 16904 R. 2586. 9166 16948 R. 2586. 9160 16904 R. 2586. 91679 R. 2614 R. 2614. 9244 R. 2614. 9244 R. 2614. 9249 . B. Z. 494. 9249 . B. Z. 494. 9249 . B. Z. 494. 9249 . B. Z. 491. 9249 . B. Z. 494. 9262 . R. 2626. G. 1469, 9262 . R. 2626. G. 1469, 9262 . R. 2626. G. 1469, 9262 . R. 2626. G. 1469, 9262 . R. 2626. G. 1469, 9262 . R. 2626. G. 1469, 9263 17136 9263 . R. 2663. 9299 17205 9304 . R. 2641. 9307 . R. 2644. 9307 . R. 2644. 9307 . R. 2644. 9307 . R. 2644. 9307 . R. 2644. 9307 . R. 2644. 9307 . R. 2644. 9307 . R. 2644. 9307 . R. 2644. 9307 . R. 2644. 9307 . R. 2644. 9307 . R. 2648. 9299 17205 9304 . R. 2644. 9307 . R. 2644. 9307 . R. 2644. 9307 . R. 2642. 9313 17299 St. 1047. 9312 . R. 2644. 9329 1726 . R. 2638. 9299 17205 9304 . R. 2644. 9306 17244 9307 . R. 2644. 9307 . R. 2648. 9290 1736 9282 . R. 2631. 9263 17136 9262 . R. 2646. 9299 17205 9304 . R. 2648. 9290 17205 9290 17205 9290 17205 9290 17205 9290 17205 9290 17205 920 17205 920 17205 9207 . R. 2638. 9299 17205 9304 . R. 2648. 9290 17205 920					
9079 16729 9086 16742 R. 2555. 9089 16759 9095 . R. 2561. 9096 16773 R. 2562. 9098 . R. 2563. 9099 . St. 1011. 9102 . G.1451, P.90, Br. 1202. 9103 . R. 2568. 9105 16783 R. 2567. 9107 16791 P. 93. 9108 . R. 2568. 9110 16782 . 9113 . H. C. 39. 9124 16805 G. 1456. 9126 . R. 2572, G. 1455, P. 96, Br. 1206. 9128 16822 . R. 2573, G. 1458. 9139 . R. 2576, G. 1457. 9140 16840 ²⁸ R. 2577, G. 1459, P. 103. 9145 16859 ²⁸ R. 2579, G. 1460, P. 105. 9147 . R. 2580. 9155 . R. (15). 9157 16951 G. 1461, B. Z. 489 9159 16884 R. 2586. 9160 16904 R. 2586. 9162 16938 G. 1462, B. Z. 489 9161 H. C. 40. 9162 16958 G. 1462, B. Z. 489 9162 16958 G. 1462, B. Z. 489 9162 16958 G. 1462, B. Z. 489 9162 16958 G. 1462, B. Z. 489 9162 16958 G. 1462, B. Z. 489 9164 H. C. 40. 9162 16958 G. 1462, B. Z. 489 9164 H. C. 40. 9164 16958 G. 1462, B. Z. 489 9165 16958 G. 1462, B. Z. 489 9165 16958 G. 1462, B. Z. 489 9166 16904 R. 2586. 9166 16904 R. 2586. 9170 16792 R. 2614. 9244 . R. 2614. 9249 . B. Z. 494. 9257 . R. 2619. 9262 . R. 2626. G. 1469, P. 137. 9263 17136 9278 . R. 2631. 9282 . B. Z. 494. 9297 . R. 2638. 9299 17205 9304 . R. 2631. 9282 . B. Z. 494. 9297 . R. 2638. 9299 17205 9304 . R. 2631. 9282 . B. Z. 494. 9307 . R. 2646. 9297 . R. 2631. 9282 . B. Z. 494. 9307 . R. 2646. 9297 . R. 2638. 9299 17205 9304 . R. 2641. 9307 . R. 2641. 9307 . R. 2644. 9307 . R. 2644. 9307 . R. 2644. 9307 . R. 2644. 9307 . R. 2644. 9307 . R. 2644. 9307 . R. 2644. 9307 . R. 2644. 9307 . R. 2644. 9307 . R. 2644. 9307 . R. 2644. 9307 . R. 2644. 9307 . R. 2644. 9307 . R. 2642. 9310 . St. 1041. 9328 . R. 2641. 9329 17205 9304 . R. 2642. 9310 . St. 1041. 9329 17205 9324 . R. 2631 9282 . B. Z. 494. 9297 . R. 2638. 9299 17205 9304 . R. 2644. 9307 . R. 2642. 9310 . St. 1041. 9312 . R. 2642. 9313 1736 9262 . R. 2626. G. 1469, 9263 17136 9278 . R. 2631. 9282 . B. Z. 494. 9307 . R. 2644. 9307 . R. 2644. 9307 . R. 2644. 9307 . R. 2642. 9310 . St. 1041. 9329 17205 9324 1736 9282 . R. 2643. 9329 17205 9324 1736 9282 . R. 2644. 9307 . R. 2642. 9310 . St. 1041. 9324 . R. 2642. 9		G. 1446, H. C. 38.			
9086 16742 R. 2555. 9089 16759 9095 . R. 2561. 9096 16773 R. 2562. 9098 . R. 2563. 9099 . St. 1011. 9102 . G.1451, P.90, Br. 1202. 9103 . R. 2568. 9105 16783 R. 2567. 9107 16791 P. 93. 9108 . R. 2568. 9110 16782 . 9299 17205 9107 16791 P. 93. 9108 . R. 2568. 9110 16782 . 9304 . R. 2638. 9110 16782 . 9304 . R. 2641. 9111 . H. C. 39. 9124 16805 G. 1456. 9126 . R. 2572, G. 1455, P. 96, Br. 1206. 9128 16822 . B. 2. 494. 9257 . R. 2619. 9262 . R. 2626. G. 1469, P. 137. 9293 17136 9278 . R. 2631. 9282 . B. Z. 494. 9257 . R. 2628. G. 1469, P. 137. 9290 17205 9304 . R. 2638. 9306 17244 9307 . R. 2642. 9310 . St. 1041. 9312 . R. 2643. 9329 17275 R. 2648. 9329 17205 9331 17399 St. 1041. 9320 . R. 2646. 9329 17275 R. 2648. 9320 . R. 2646. 9329 17205 9304 . R. 2646. 9329 17205 9304 . R. 2642. 9310 . St. 1041. 9312 . R. 2646. 9329 17275 R. 2648. 9320 . R. 2648. 9320 . R. 2646. 9321 . R. 2638. 9329 17205 9304 . R. 2646. 9320 . R. 2646. 9320 . R. 2638. 9299 17205 9304 . R. 2646. 9320 . R. 2646. 9320 . R. 2638. 9299 17205 9304 . R. 2646. 9320 . R. 2638. 9299 17205 9304 . R. 2646. 9320 . R. 2646. 9320 . R. 2638. 9299 17205 9304 . R. 2642. 9310 . St. 1041. 9312 . R. 2642. 9333 17299 St. 1041. 9324 . R. 2638. 9290 17205 9304 . R. 2642. 9331 17308 G. 1472, P. 165, Br. 1241, A. 179. 9344 17338 9353 17354 P. 174. 9353 17354 9353 17354 9353 17354 9353 17354 9353 17354 9353 17354 9353 17354 9353 17354 9353 17354 9368 17373 9368 17373 9368 17373 9370 . R. 2668. 9379 . G. 1475. 9462 16958 G. 1462, B. Z. 489 9384 . R. 2672, G. 1477,					
9089 16759 9095 R. 2561. 9096 16773 R. 2562. 9098 R. 2563. 9099 St. 1011. 9102 G.1451, P.90, Br. 1202. 9103 R. 2565. 9105 16783 R. 2567. 9107 16791 P. 93. 9108 R. 2568. 9110 16782 9113 R. 2568. 91124 16805 G. 1456. 9124 16805 G. 1456. 9128 16822 9130 16821 R. 2572, G. 1455, P. 96, Br. 1206. 9128 16822 9130 16821 R. 2573, G. 1458. 9139 R. 2576, G. 1457. 9140 168403 R. 2577, G. 1459, P. 103. 9145 168593 R. 2577, G. 1459, P. 103. 9145 168694 R. 2577, G. 1460, P. 105. 9157 16951 G. 1461, B. Z. 489 9159 16884 R. 2584. 9160 16904 R. 2586. 9161 H. C. 40. 9162 16958 G. 1462, B. Z. 489 9162 16958 G. 1462, B. Z. 489 9162 16958 G. 1462, B. Z. 489 9364 . R. 2672, G. 1477,	9079 16729				
9095 . R. 2561. 9096 16773 R. 2562. 9098 . R. 2563. 9099 . St. 1011. 9102 . G.1451, P.90, Br. 1202. 9103 . R. 2565. 9105 16783 R. 2567. 9107 16791 P. 93. 9108 R. 2568. 9110 16782 R. 2568. 9110 16782 R. 2578, G. 1455, P. 96, Br. 1206. 9124 16805 G. 1456. 9126 R. 2572, G. 1455, P. 96, Br. 1206. 9128 16822 R. 2641. 9130 R. 2573, G. 1458. 9130 R. 2576, G. 1457. 9140 168403 R. 2577, G. 1457. 9140 168404 R. 2580. 9155 R. (15). 9157 16951 G. 1461, B. Z. 489 und 494. 9162 16988 G. 1462, B. Z. 489 9162 16988 G. 1462, B. Z. 489 9162 16988 G. 1462, B. Z. 489 9162 16988 G. 1462, B. Z. 489 9162 16988 G. 1462, B. Z. 489 9162 16988 G. 1462, B. Z. 489 9383 . G. 1478. 9164 16988 G. 1462, B. Z. 489 9384 R. 2672, G. 1477,		R. 2555.			
9096 16773 R. 2562. 9098 R. 2563. 9099 St. 1011. 9102 G.1451, P.90, Br. 1202. 9103 R. 2565. 9105 16783 R. 2567. 9107 16791 P. 93. 9108 R. 2568. 9110 16782 R. 2568. 9113 H. C. 39. 9124 16805 G. 1456. 9126 R. 2572, G. 1455, P. 96, Br. 1206. 9128 16822 9130 16821 R. 2573, G. 1458. 9139 R. 2576, G. 1457. 9140 16840 ² R. 2577, G. 1459, P. 103. 9145 16859 ² R. 2577, G. 1459, P. 105. 9153 B. Z. 489. 9155 R. (15). 9157 16951 G. 1461, B. Z. 489 und 494. 9159 16884 R. 2586. 9160 16904 R. 2586. 9161 H. C. 40. 9162 16958 G. 1462, B. Z. 489 9162 16958 G. 1462, B. Z. 489 9162 16958 G. 1462, B. Z. 489 9162 16958 G. 1462, B. Z. 489 9162 16958 G. 1462, B. Z. 489 9162 16958 G. 1462, B. Z. 489 9384 R. 2672, G. 1477,		D ovel	00.00		
9098 R. 2563. 9099 St. 1011. 9102 G.1451, P.90, Br. 1202. 9103 R. 2567. 9107 16791 P. 93. 9108 R. 2568. 9110 16782 R. 2568. 9113 H. C. 39. 9124 16805 G. 1456. 9128 16822 9130 16821 R. 2572, G. 1455, P. 96, Br. 1206. 9128 16840 R. 2573, G. 1458. 9139 R. 2576, G. 1457. 9140 16840 R. 2577, G. 1459, P. 103. 9145 16859 R. 2577, G. 1460, P. 105. 9153 R. 2580. 9155 R. (15). 9157 16951 G. 1461, B. Z. 489 9160 16904 R. 2586. 9161 H. C. 40. 9162 16958 G. 1462, B. Z. 489 9162 16958 G. 1462, B. Z. 489 9162 16958 G. 1462, B. Z. 489 9162 16958 G. 1462, B. Z. 489 9162 16958 G. 1462, B. Z. 489 9162 16958 G. 1462, B. Z. 489 9164 R. 2574, G. 1467, 9361 17374 9162 16958 G. 1462, B. Z. 489 9384 . R. 2672, G. 1477,			8202		
9099 St. 1011. 9102 G.1451, P.90, Br.1202. 9103 R. 2567. 9107 16783 R. 2567. 9108 R. 2568. 9110 16782			0962 47498	P. 131.	
9102	0000		DOSO.	R 9824	
9103 R. 2568. 9105 16783 R. 2567. 9107 16791 P. 93. 9108 R. 2568. 9110 16782					
9105 16783 R. 2567. 9107 16791 P. 93. 9108 R. 2568. 9110 16782	9103		000=		
9107 16791 P. 93. 9108 R. 2568. 9110 16782	9105 16783				
9108 R. 2568. 9110 16782 9113 H. C. 39. 9124 16808 G. 1456. 9126 R. 2572, G. 1455, P. 96, Br. 1206. 9128 16822 9130 16821 R. 2573, G. 1458. 9139 R. 2576, G. 1457. 9140 16840 ² R. 2577, G. 1459, P. 103. 9145 16859 ² R. 2579, G. 1460, P. 105. 9147 R. 2580. 9153 B. Z. 489. 9155 R. (15). 9157 16951 G. 1461, B. Z. 489 9160 16904 R. 2586. 9161 H. C. 40. 9162 16958 G. 1462, B. Z. 489 9366 17244 9307 R. 2642. 9310 St. 1041. 9312 R. 2643. 9329 17275 R. 2648, St. 1046. 9333 17299 St. 1047. 9341 17308 G. 1472, P. 165, Br. 1241, A. 179. 9344 17334 9344 17334 9348 . R. 2655. 9357 17350 9357 17350 9359 . R. 2658. 9360 17367 9361 17374 9363 17373 9370 . R. 2668. 9379 . G. 1475. 9383 . G. 1475. 9383 . G. 1478. 9384 . R. 2672, G. 1477,		P. 93.		R. 2641.	
9113 H. C. 39. 9124 16805 G. 1456. 9126 R. 2572, G. 1455, P. 96, Br. 1206. 9128 16822 9130 16821 R. 2573, G. 1458. 9139 R. 2576, G. 1457. 9140 16840 ² R. 2577, G. 1459, P. 103. 9145 16859 ³ R. 2579, G. 1460, P. 105. 9147 R. 2580. 9153 B. Z. 489. 9155 R. (15). 9157 16951 G. 1461, B. Z. 489 9159 16884 R. 2584. 9160 16904 R. 2586. 9161 H. C. 40. 9162 16958 G. 1462, B. Z. 489 9361 St. 1041. 9312 R. 2643. 9326 R. 2648, St. 1046. 9329 17275 R. 2648, St. 1046. 9333 17299 St. 1047. 9341 17308 G. 1472, P. 165, Br. 1241, A. 179. 9342 St. 1050. 9344 17334 9348 R. 2655. 9357 17350 9359 R. 2658. 9360 17367 9361 17374 9363 17373 9370 R. 2668. 9379 G. 1473. 9383 G. 1478. 9384 R. 2672, G. 1477,		R. 2568.	9306 17244		
9124 16808 G. 1456. 9126 R. 2572, G. 1455, P. 96, Br. 1206.  9128 16822 9130 16821 R. 2573, G. 1458. 9139 R. 2576, G. 1457. 9140 16840 ² R. 2577, G. 1459, P. 103.  9145 16859 ² R. 2579, G. 1460, P. 105.  9147 R. 2580. 9153 B. Z. 489. 9155 R. (15). 9157 16951 G. 1461, B. Z. 489 9159 16884 R. 2584. 9160 16904 R. 2586. 9161 H. C. 40. 9162 16958 G. 1462, B. Z. 489 9360 1737.	9110 16782	•			
9126 R. 2572, G. 1455, P. 96, Br. 1206.  9128 16822 9130 16821 R. 2573, G. 1458. 9139 R. 2576, G. 1457. 9140 16840 ² R. 2577, G. 1459, P. 103. 9145 16859 ² R. 2579, G. 1460, P. 105. 9147 R. 2580. 9153 B. Z. 489. 9155 R. (15). 9157 16951 G. 1461, B. Z. 489 9159 16884 R. 2584. 9160 16904 R. 2586. 9161 H. C. 40. 9162 16958 G. 1462, B. Z. 489 9363 R. 2668. 9379 R. 2668. 9379 R. 2668. 9379 R. 2668. 9379 R. 2668. 9379 R. 2668. 9379 R. 2668. 9379 G. 1475. 9383 G. 1475. 9383 G. 1477,					
P. 96, Br. 1206.  9128 16822  9130 16821 R. 2573, G. 1458. 9139 R. 2576, G. 1457. 9140 16840 ² R. 2577, G. 1459, P. 103.  9145 16859 ² R. 2579, G. 1460, P. 105.  9147 R. 2580. 9153 B. Z. 489. 9155 R. (15). 9157 16951 G. 1461, B. Z. 489 und 494. 9159 16884 R. 2584. 9160 16904 R. 2586. 9161 H. C. 40. 9162 16958 G. 1462, B. Z. 489 9383 17299 St. 1047. 9341 17308 G. 1472, P. 165, Br. 1241, A. 179. 9342 . St. 1050. 9344 17334 9348 . R. 2655. 9353 17354 P. 174. 9357 17350 9359 . R. 2658. 9360 17367 9361 17374 9363 17373 9370 . R. 2668. 9379 G. 1475. 9383 G. 1475. 9383 G. 1478.					
9128 16822 9130 16821 R. 2573, G. 1458. 9139 R. 2576, G. 1457. 9140 16840 ³ R. 2577, G. 1459, P. 103. 9145 16859 ³ R. 2579, G. 1460, P. 105. 9147 R. 2580. 9153 B. Z. 489. 9155 R. (15). 9157 16951 G. 1461, B. Z. 489 und 494. 9159 16884 R. 2584. 9160 16904 R. 2586. 9161 H. C. 40. 9162 16958 G. 1462, B. Z. 489 9333 17299 St. 1047. 9341 17308 G. 1472, P. 165, Br. 1241, A. 179. 9341 17308 9341 17308 G. 1472, P. 165, Br. 1241, A. 179. 9342 . St. 1050. 9344 17334 9348 . R. 2655. 9353 17354 P. 174. 9353 17354 9359 . R. 2658. 9360 17367 9361 17374 9363 17373 9370 . R. 2668. 9379 G. 1475. 9383 G. 1475. 9383 G. 1478. 9384 R. 2672, G. 1477,	9126				
9130 16821 R. 2573, G. 1458. 9139 R. 2576, G. 1457. 9140 16840 ^a R. 2577, G. 1459, P. 103. 9145 16859 ^a R. 2579, G. 1460, P. 105. 9147 R. 2580. 9153 B. Z. 489. 9155 . R. (15). 9157 16951 G. 1461, B. Z. 489 und 494. 9159 16884 R. 2584. 9160 16904 R. 2586. 9161 H. C. 40. 9162 16958 G. 1462, B. Z. 489 9341 17308 G. 1472, P. 165, Br. 1241, A. 179. 9344 17334 9348 R. 2655. 9353 17354 P. 174. 9359 R. 2658. 9360 17367 9361 17374 9363 17373 9370 . R. 2668. 9379 . G. 1473. 9383 . G. 1475. 9383 . G. 1477,	0100 10000	P. 96, Br. 1206.			
9139 R. 2576, G. 1487. 9140 16840 ² R. 2577, G. 1489, P. 103. 9145 16859 ⁸ R. 2579, G. 1460, P. 105. 9147 R. 2580. 9153 B. Z. 489. 9155 R. (15). 9157 16951 G. 1461, B. Z. 489 und 494. 9159 16884 R. 2584. 9160 16904 R. 2586. 9161 H. C. 40. 9162 16958 G. 1462, B. Z. 489 9384 R. 2672, G. 1477,		D SEAS C 17EO			
9140 16840 ^a R. 2577; G. 1459, P. 103. 9145 16859 ^a R. 2579, G. 1460, P. 105. 9147 R. 2580. 9153 B. Z. 489. 9155 R. (15). 9157 16951 G. 1461, B. Z. 489 und 494. 9159 16884 R. 2584. 9160 16904 R. 2586. 9161 H. C. 40. 9162 16958 G. 1462, B. Z. 489 9342 St. 1050. 9344 17334 9348 R. 2655. 9357 17350 9359 R. 2658. 9360 17367 9361 17374 9363 17373 9370 R. 2668. 9379 G. 1473. 9383 G. 1478. 9384 R. 2672, G. 1477,		R. 4913, G. 1490.	8341 17300		
P. 103.  9145 16859 ⁸ R. 2579, G. 1460, P. 105.  9147 R. 2580. 9153 B. Z. 489. 9155 . R. (15). 9157 16951 G. 1461, B. Z. 489 und 494. 9159 16884 R. 2584. 9160 16904 R. 2586. 9161 H. C. 40. 9162 16958 G. 1462, B. Z. 489 9384 . R. 2672, G. 1477,			0349		
9145 16859* R. 2579, G. 1460, P. 105.  9147 R. 2580. 9153 B. Z. 489. 9155 R. (15). 9157 16951 G. 1461, B. Z. 489 und 494. 9159 16884 R. 2584. 9160 16904 R. 2586. 9161 H. C. 40. 9162 16958 G. 1462, B. Z. 489 9384 R. 2672, G. 1477,	2140 10040			U 1000-	
P. 105.  9147 R. 2580.  9153 B. Z. 489.  9155 R. (15).  9157 16951 G. 1461, B. Z. 489  und 494.  9159 16884 R. 2584.  9160 16904 R. 2586.  9161 H. C. 40.  9162 16958 G. 1462, B. Z. 489  9383 17354 P. 174.  9357 17350  9360 17367  9361 17374  9363 17373  9361 17374  9363 17373  9361 17374  9363 17373  9361 17374  9363 17373  9361 17374  9363 17373  9361 17374  9363 17373  9363 17373  9361 17374  9363 17373  9361 17374  9363 17373  9361 17374  9363 17374  9363 17374  9363 17374  9363 17374  9363 17374  9363 17374  9363 17374  9363 17374  9363 17374  9363 17374  9363 17374  9363 17374  9363 17374  9363 17374  9363 17374  9363 17374  9363 17374  9363 17374  9363 17374  9363 17374  9363 17377  9363 17374  9363 17377  9363 17374  9363 17377  9363 17374  9363 17377  9363 17377  9363 17377  9363 17377  9363 17377  9363 17377  9363 17377  9363 17377  9363 17377  9363 17377  9363 17377  9363 17377  9363 17377  9363 17377  9363 17377  9363 17377  9363 17377  9363 17377  9363 17377  9363 17377  9363 17377  9363 17377  9363 17377  9363 17377  9363 17377  9363 17377  9363 17377  9363 17377  9363 17377  9363 17377  9363 17377  9363 17377  9363 17377  9363 17377  9363 17377  9363 17377  9363 17377  9363 17377  9363 17377  9363 17377  9363 17377  9363 17377  9363 17377  9363 17377  9363 17377  9363 17377  9363 17377  9363 17377  9363 17377  9363 17377  9363 17377  9363 17377  9363 17377  9363 17377  9363 17377  9363 17377  9363 17377  9363 17377  9363 17377  9363 17377  9363 17377  9363 17377  9363 17377  9363 17377  9363 17377  9363 17377  9363 17377  9363 17377  9363 17377  9363 17377  9364 17377  9365 17377  9366 17377  9367 17377  9368 17377  9369 17367  9369 17367  9369 17367  9369 17367  9369 17367  9369 17367  9369 17367  9369 17367  9369 17367  9369 17367  9369 17367  9369 17367  9369 17367  9369 17367  9369 17367  9369 17367  9369 17367  9369 17367  9369 17367  9369 17367  9369 17367  9369 17367  9369 17367  9369 17367  9369 17367  9369 17367  9369 17367  9369 17367  9369 17367  9369 17367  9369 17367  9369	9145 16859*			R. 2655.	
9147 R. 2580. 9153 B. Z. 489. 9155 R. (15). 9157 16951 G. 1461, B. Z. 489 und 494. 9159 16884 R. 2584. 9160 16904 R. 2586. 9161 H. C. 40. 9162 16958 G. 1462, B. Z. 489 9384 R. 2672, G. 1477,	2-10 1000				
9155 R. (15). 9157 16951 G. 1461, B. Z. 489 und 494. 9159 16884 R. 2584. 9160 16904 R. 2586. 9161 H. C. 40. 9162 16958 G. 1462, B. Z. 489 9380 17367 9361 17374 9363 17373 9370 R. 2668. 9379 G. 1475. 9383 G. 1475. 9384 R. 2672, G. 1477,	9147				
9157 16951 G. 1461, B. Z. 489 und 494. 9159 16884 R. 2584. 9160 16904 R. 2586. 9161 H. C. 40. 9162 16958 G. 1462, B. Z. 489 9384 R. 2672, G. 1477,	1 1 1 1 1 1	B. Z. 489.		R. 2658.	
9157 16951 G. 1461, B. Z. 489 und 494. 9159 16884 R. 2584. 9160 16904 R. 2586. 9161 H. C. 40. 9162 16958 G. 1462, B. Z. 489 9384 R. 2672, G. 1477,		R. (15).			
und 494.  9159 16884 R. 2584.  9160 16904 R. 2586.  9161 H. C. 40.  9162 16958 G. 1462, B. Z. 489  9363 17373  9370 R. 2668.  9379 G. 1475.  9383 G. 1478.  9384 R. 2672, G. 1477,	9157 16951	G. 1461, B. Z. 489			
9160 16904 R. 2586. 9379 G. 1475. 9361 H. C. 40. 9383 G. 1478. 9162 16958 G. 1462, B. Z. 489 9384 R. 2672, G. 1477,		und 494.			
9161 H. C. 40. 9383 G. 1478. 9162 16958 G. 1462, B. Z. 489 9384 R. 2672, G. 1477,					
9162 16958 G. 1462, B. Z. 489   9384 R. 2672, G. 1477,					
unu 194. [ P. 178, Br. 1246.	9102 16958		y354		
		una 353.	l	r. 110, Dr. 1440.	

## Von 8' 43" - 9' 7".

Argeland. Lalande.	Verschiedene Kataloge.	Argeland, Lalande.	Verschiedene Kataloge.
9386	A. 181.	9571	G. 1511.
9390 17458	R. 2675.	9572	R. (29).
9397 17492	R. 2677.	9573	R. <b>273</b> 7.
9401 17506	A. 50***	9577	R 2738.
9408	G. 1483.	9578	G. 1510, P. 241, Br.
9410 17483	R. 2681.	0010	1276, St. 1075, A.
9411	B. Z. 494.		186.
9414 17493	R. 2683.	9589	St. 1077.
	R. Z. 494.	9590 17918	<b>56</b> 1011.
9420	G. 1484.		R. 2745.
9422	R. 2686, P. 199.	9591 9593	R. 2747.
9424 17538*		9596	R. 2749, G. 1516,
9425	G. 1485. R. 2687, G. 1486,	3350	P. 249, Br. 1280.
9430 17544		9598	G. 1515, P. 247, Br.
0100 15001	P. 202.	9598	1279.
9432 17551	D 7 404	9601 17931	1218.
9437	B. Z. 494.		D OGY4
9444	R. 2692.	9607	R. 2751.
9448 17567	D (0.0)	9621	St. 1080.
9449	R. (26).	9623	St. 1081.
9450	R. 2697, G. 1491.	9632 17974	D = 101
9455	R. 2700.	9635	B. Z. 494.
9457	R. 2701, G. 1490, P.	9640	G. 1517, H. C. 49.
	207, Br. 1257.	9644 17990	G. 1518, St. 1085.
<b>945</b> 8	G. 1489.	9647 17991	R. 2730 u. (33), G.
<b>946</b> 0	R. 2702.		1519.
9461	B. Z. 494.	9650	R. 2763.
9463 17614	R. 2704, G. 1492, P.	9657 18008	
	212, Br. 1260, St.	9664 18021	
	1065, A. 183.	9666 18043	
9469	G. 1493.	9669	R. 2769.
9470	B. Z. 494.	9676 18036	R. 2770, G. 1521. P.
9472 17627			261, Br. 1288.
9477	R. 2707.	9679	Н. С. 50.
9493 17695	G. 1494.	9688 18053	
9495	R. 2709.	9690	B. Z. 494.
9500 17720	G. 1497, B. Z. 494.	9691 180963	R. 2776, G. 1523.
9509 17742	G. 1500.		St. 1089.
9510 17743		9703 18115	St. 1091 (starke E. B).
9518	R. 2711.	9704 18122	,
9519 17754	R. 2712, G. 1501.	9705	R. 2779.
9520	Н. С. 46.	9709 18124	R. 2782, G. 1525,
9525	R. 2716.		P. 4, Br. 1293.
9526 177728	R. 2717, G. 1503,	9714	R. 2783.
	P. 230, Br. 1272,	9717	R. 2784.
	St. 1071.	9720 18147	R. 2786, G. 1526,
<b>9528</b>	н. С. 47.		P. 8, Br. 1297.
9540	R. 2724.	9736	R. 2791.
9541	G. 1505, P. 232, Br.	9738 18186	R. 2793.
· ·	1271.	9739 18203	R. 2794.
9553	R. 2731.	9743 18195	
9554 17862	Br. 1277.	9749	R. 2797.
9555 17858	R. 2732.	9756	St. 1094.
0440	R. 2733.	9758	R. 2804.
9567	R. 2734.	9761	R. 2801.
<i>9</i> 50 <i>i</i>	II. <i>2107.</i>	, 0,01	111 70011

#### Von 9¹8 - 9¹37.

	Y 0 U & O	- 6 51 .	
Argeland. Lalande.	Verschiedene Kataloge.	Argeland. Lalande.	Verschiedene Kataloge.
9773	R. 2807, St. 1099.	9979	P. 91.
9777	R. 2809.	9982	P. 99.
9778 18279	R. 2810, G. 1530.	9987	St. 1129.
9783	R. 2814.	9990 18691	
9784 18299	R. 2815, G. 1532,	9991 18687	D (10) 01 1101
	P. 28.	9997	R. (16), St. 1131.
9789	R. 2819, G. 1533,	10002 18716	
0704 10004	P. 31, Br. 1306.	10007 18722	D sore C Arre
9791 18291	D 0000 D 00	10010 18720	R. 2873, G. 1556, P. 104, Br. 1336.
9792	R. 2820, P. 36.	10014	G. 1555.
9794 9799	R. (6). R. (7).	10014	St. 1134.
9808 18 <b>353</b>	G. 1536.	10021 10140	St. 1136.
9817	St. 1107.	10027 18734	G. 1557.
9818		10028	G. 1558.
00.0	R. 2828, G. 1540, P. 47, St. 1108,	10046 18801	
	Br. 1310.	10049	G. 1561, P. 112.
9820	R. 2829.	10058	R. 2879.
9821	R. 2832.	10059 18844	
9827	R. 2836.	10072	G. 1562.
<b>9828</b>	R. 2835.	10077	G. 1563, P. 121, Br.
9834 . <b>.</b>	R. 2839, G. 1541.		1342.
<b>9849 18448</b>	R. 2845, G. 1543,	10082	R. 2883.
	P. 58, St. 1112,	10084 18847	G. 1564.
	Br. 1315.	10089	St. 1141.
9861 18470	R. 2848.	10090	R. 2888, G. 1 <b>566</b> .
9863 18474	D 7 404	10097	R. 2892.
9867	B. Z. 494.	10100 18901 10102 18878	G. 1568.
9875 9886	R. 2853. B. Z. 494.	10102 18678	R. 2895.
9886 · · · 9887 · ·	G. 1544, P. 70.	10108 10113 18916	II. 2003.
9896 18554	G. 19 <del>12</del> , 1. 10.	10124	R. 2900.
9899	R. 2858.	10128	R. 2906.
9900	St. 1115.	10129	R. 2902.
9902	R. 2859.	10138	B. Z. 494.
9908	R. 2861.	10145	G. 1571.
9916 18572	G. 1546, P. 78, St.	10150 18971	R. 2909, G. 1572.
	1117, Br. 1325, A.	10153	G. 1573.
	194.	10155	R. 2911.
9917	R. 2862.	10156	R. 2910.
9918 18575	G. 1547, P. 81.	10172	G. 1575.
9920	St. 1116.	10178	R. 2918, G. 1576,
9930	R. 2864, G. 1548,		P. 150, Br. 1355.
	P. 82, St. 1118,	10183 19030	D 0004 C 4900
0044	Br. 1323.	10193	R. 2924, G. 1577,
9945	G. 1549, P. 83, Br.	10101	P. 159, Br. 1364. Br. 1363.
UURT TORUT	1322. R. 2864, G. 1550,	10194 .	
9951 18594	P. 86, Br. 1324.	10201	R. (23). G. 1578, P. 162, Br.
9959	P. 80, Br. 1324. St. 1125.	10212	1367.
9959 9964	R. 2867.	10216 19094	1001.
9966	St. 1126.	10218	St. 1147, H. C. 52.
9972		10221	R. 2936.
9974	B. Z. 494.	10222	B. Z. 497.
			-· <del>-</del> ··

# Von 9 37 -- 10 10 .

Argeland. Lalande.	Verschiedene Kataloge.	Argeland, Lalande.	Verschiedene Kataloge.
10229 19111	· ·	10458	G. 1598.
10230 19139		10460 19569ª	
10231	R. 2939.	10463	R. 3041.
10232	G. 1579.	10469	R. 3048, G. 1601, P.
10237 · .	R. 2942.	10200	229.
10240	R. (26).	10488	R. 3051,
10242 19159	G. 1580, P. 169, Br.	10497 19592	
10010 10100	1369.	10498	G. 1604.
10256	н. с. 53.	10499	G. 1605.
10265	St. 1150.	10504	R. 3058, G. 1606, P.
10266	R. 2948, G. 1581, P.		233.
	174, St. 1151, Br.	10506 19627	•
	1371, A. 411.	10509	G. 1607.
10282	R. 2953.	10512	R. (43).
10283	R. 2954.	10522	R. 3063.
10285	R. 2962.	10525 19653	
10290 19249	R. 2959, G. 1583, P.	10532 19692	
	179, Br. 1375.	10535	St. 1176.
10299	R. 2961.	10539	н. с. 57.
10301 19247	St. 1156.	10541	R. (45), G. 1609.
10303	R. (30).	10544	R. 3064.
10311	R. <b>29</b> 69.	10545	н. с. 58.
10324	R. 2975, G. 1585.	10558 19725	
10332	R. 2978, G. 1586, P.	10559	G. 1614.
	187.	10562	R. (48).
10337	B. Z. 497.	10565	B. Ż. 497.
10338 19315		10573	R. 3067.
10351	G. 1587, P. 199, Br.	10576	R. 3068.
	<b>13</b> 8 <b>7.</b>	10587	G. 1616.
10353	St. 1159.	10603	G. 1618.
10354 19368		10605	R. 3074.
10355	R. 2990.	10608	н. с. 59.
10356	R. 2992, G. 1588.	10619	R. (1).
10357 19373	G. 1589.	10627	R. 3077.
10365	R. 2996.	10637	G. 1622.
10366	R. 2997, G. 1590, P.	10651	R. 3082, G. 1623.
	201.	10662 19843	St. 1184.
10367	R. 2999.	10663	R. 3086.
10373	Br. 1383, H. C. 55.	10665	R. 3089, G. 1624.
10374	R. 3005.	10672	R. 3095.
10375 19407	St. 1164.	10686	R. 3104, G. 1625, P.
10385 19424	G. 1591.		9, Br. 1415.
10386	R. 3009.	10694 19915	0 4004
10389	R. 3011.	10706	G. 1631.
10391	G. 1593.	10711	G. 1634.
10395 19422	St. 1168.	10712	G. 1632, P. 26
10401	R. 3018.	10716 19964	C 4898 D 94 D
10404 19458	64 4400	10717 19965	G. 1636, P. 31, B.
10413 19480	St. 1169.	10404 10061	Z. 497.
10418	P. 217.	10727 19954	C 4827 D 20
10439	H. C. 56.		G. 1637, P. 30.
10443	R. 3031.	10732 19970	G. 1638, St. 1193.
10451	G. 1597, P. 226.	10734	R. 3123.
10453 19562		10738	n. Jibd.

## Von 10^h 10^m — 10^h 50^m.

VOI 10 10 — 10 30 .			
Argeland. Lalande.	Verschiedene Kataloge.	Argeland, Lalande.	Verschiedene Kataioge.
10739	Н. С. 62.	11064	R. 3294, G. 1677, P.
10745	H. C. 63.		133, Br. 1481.
10746	R. 3126.	11065	St. 1233.
10762 19906		11071 20653	G. 1678, P. 1 <b>35</b> .
10765	St. 1196.	11074	R. 1300.
10772	R. 3148, G. 1640, P.	11077 20670	G. 1679, P. 137.
	42, Br. 1429.	11083	G. 1680.
10809	B. Z. 497.	11092	G. 1682, St. 1236.
10812 20152	P. 58. St. 1202.	11093 20704	G. 1683.
10827	R. 3180. G. 1646.	11094	R. 3311, G. 1681, P.
108 <b>44</b> 108 <b>4</b> 5	G. 1647.	11097	142, Br. 1486. G. 1684, P. 144, Br.
10845 10849	R. 3196, G. 1645, P.	11001	1488.
10010	69.	11107	R. 3316, St. 1238.
10853	н. С. 64.	11121	R. 3321.
10857 20258		11127	G. 1687, H. C. 69.
10871	St. 1209.	11128	P. 153.
10879 20300°		11130	G. 1688.
10885	R. 3207, G. 1649, P.	11131	R. 3331.
	80, Br. 1454.	11138 207903	G. 1690, P. 157, B.
108 <b>9</b> 0	St. 1210, H. C. 66.		Z. 497.
10892	G. 1650, P. 78, Br.	11151	G. 1693.
	1446, H. C. 68.	11155	G. 1695, P. 163, Br.
10895 20349	G. 1654.		1499.
10905 203643	P. 88.	11157	R. 3352. G. 1694, P.
10911 20374*	G. 1656, B. Z. 497.	44140	161, Br. 1498.
10917	R. 3224.	11158	R. 3353.
10923 20386° 10928	P. 95. G. 1657, P. 96.	11166 20846 11176	G. 1696. R. 3358.
10928 10939	G. 1659, P. 100.	11176 11178 20849	G. 1697.
10942	R. 3235, G. 1660, P.	11181	G. 1698.
10012	101, Br. 1464.	11185 20869	G. 1699, P. 170.
10947	R. 3241.	11186	G. 1700, P. 171.
10949 20433		11192	R. 3361.
10953 20453	R. 3244.	11198	R. 3366, G. 1701, P.
10962 20462	P. 109.		177, Br. 1506.
10964	G. 1664.	11205	R. 3369.
10979	Н. С. 67.	11213 20922	
10985	R. 3253, G. 1666.	11217	R. <b>337</b> 8.
10998	R. 3261.	11219	R. 3379.
11018	R. 3273, G. 1669.	11221	St. 1252.
11018	R. (19).	11228	R. 3385.
11022	R. 3277, G. 1672, P.	11229 20947	G. 1704.
11025	124, Br. 1476.	11233 11245	R. 3391, G. 1709. G. 1706, P. 188, Br.
11025 11035 <b>2059</b> 0	G. 1671.	11245	1508.
	R. 3280, G. 1673, P.	11249	R. 3398.
11037	126.	11249	G. 1708.
11041	R. 3281.	11254	R. 3400.
11044	St. 1230.	11260 20996	G. 1713.
11048	R. 3287, G. 1676.	11266 20997	G. 1714.
11052	R. 3289.	11272 21024	B. Z. 497.
11060	St. 1231.	11279	R. 3412.
11062	St. 1232.	11292 21055	
	•		

## Von 10³ 50^m - 11³ 18^m.

Argeland. Lalande.	Verschiedene Kataloge.	Argeland. Lalande.	Verschiedene Kataloge.
11295	St. 1263.	11528	R. 3464.
11302 21065	St. 1203.	11534 21379	II. DIUI.
11304 21076		11543 21391	
11305	R. 3421, G. 1719.	41244 01100	
	G. 1721. St. 1266. G. 1720, Br. 1521, H. C. 73.	11548	R. 3471.
11310	St. 1266.	11560 21424	R. 3474.
11315 21087	55 1200.	11561	G. 1747.
11319	G. 1720, Br. 1521, H.	11562 21415	
	C. 73.	11563	G. 1748, P. 7.
11322	B. Z. 497.	11565	R. 3476.
11332	R. 3423, G. 1726, P.	11567	R. 3477.
	G. 1720, Br. 1521, H. C. 73. B. Z. 497. R. 3423, G. 1726, P. 207, Br. 1523, St.	11573 21456	G. 1750, P. 8.
	1,000	11583 21479	G. 1751.
11343 21114	G. 1727.	11585	R. 3486.
11350	G. 1728.	11586 21469	
11352	R. 3428.	11598	G. 1752.
11358 21153		11000	R. 3488.
11365 21156	R. 3430, G. 1729, P. 217, St. 1272, Br.	11001 21497	G. 1754.
	217, St. 1278, Dr.	11004 21493	G. 1755, St. 1292.
11008	1528, A. 240.	11007	R. 3491. G. 1757, P. 19.
11395 11408 21213	St. 1274.	11021	R. 3499.
11412 21232	G. 1734, B. Z. 497.	11607	G. 1760.
11424	P. 235.	11627	
11428	St. 1277.	11631 21529	0, 10,
11429 21235	3	11632	R. 3501.
11434 21255	G. 1736.	11627 11631 21529 11632	R. 3503.
		11637	G. 1761.
11438	R. 3435. B. Z. 497.	11640	R. 3507, G. 1762.
	B. Z. 497.	11644	R. <b>351</b> 0.
	St. 1282.	11646 21549	
	R. 3441.	11659	St. 1298.
	R. 3442.	11008	G. 1765, P. 34.
11459 11465	G. 1738, P. 246. R. 3443.	11008	R. 3517. R. 3518.
	R. 3443. St. 1283. R. 3444. G. 1739.	11071	u. 2910.
11470	R. 3444.	11678 91809	
11473	G. 1739.	11680	G. 1766.
11483	G. 1740, P. 247.	11681	R. 3525.
11489 21336	G. 1741, P. 253, Br.	11682	R. 3527, G. 1767.
	1542, A. 244.	11691	R. 3529.
11491	R. <b>344</b> 8.	11700	G. 1770.
11495	R. <b>344</b> 9.	11691   11700   11702 21634	R. 3537, G. 1771, P.
11501 21347			43.
11504 21340		11705	R. 3540.
11507	St. 1284. St. 1285.	11710 21653	
11508	St. 1285.	11713	R. 3545.
11514 21355	D 24KK	11746	R. 3564.
11517 11520	R. 3455. R. 3456, G. 1743, P.	11747	R. 3565. G. 1776, P. 59.
	957	11751 21725	JJ.
11523	R. 3460.	11755	R. 3570.
11524	R. 3462.	11758	R. 3573
11525	R. 3463.	11764	R. 35773.
	•	•	

Von 11' 18" - 11' 57".

	<b>VOL 11 10</b>	11 01 .	
Argeland. Lalande.	Verschiedene Kataloge.	Argeland. Lalande.	Verschiedene Kataloge.
11765	G. 1779.	11989 221253	
11766 21758		11993 221348	G. 1819, P. 139, Br.
11768	G. 1780.		1595.
11769	R. 3579.	11995 22141	B. Z. 461.
11772	St. 1314.	11998 22149	R. 3703, G. 1820, B.
11773	R. 3583.		Z. 461.
11779		11999	St. 1342.
11781 21802	R. 3586.	12013	R. 3711.
11783	B. Z. 461.	12025 22189	
11785	R. 3591, G. 1783, P.	12029 22196	
	74.	12044	St. 1345.
11798	R. 3596, G. 1787.	12045	G. 1824.
11802	R. 3599.	12052 22236	
11804	G. 1788.		152, Br. 1600, St.
11811	G. 1791.	10000 00000	1346, A. 261.
11812	R. 3603.	12063 22252	G. 1824.
11813	R. 3605.	12066	R. 3737, G. 1826.
11815	R. 3604, G. 1790, P. 86, St. 1317, Br.	12073	P. 157.
	86, St. 1817, Br.	12076 12087 <b>2229</b> 8	R. 3740.
41040		14007 24480	D 9748
11818	G. 1796.	12097 12099	R. 3140. D 9747
11820	St. 1318. R. 3613.		G. 1828.
11826	R. 3013. D 2847 C 4707	49407	G. 1040.
11840 11842	R. 3617, G. 1797. St. 1320.	12140	St. 1352, B. Z. 461. R. 3752.
11842 11848	R. 3627.	12152 22411	G. 1831, P. 174, St.
11868	P. 102.	12102 2211	1358, Br. 1608, A.
11869	St. 1325.		266.
11873	St. 1326.	12157 22419	200.
11879	G. 1799.	12163	P. 181.
11883		12172 22452	
11884	R. 3640.	12175	R. 3754.
11885	G. 1801.	12176	G. 3835, P. 190, Br.
11887	R.3642 u.(19),G.1802,		1612.
	P. 107, Br. 1581.	12177	St. 1361.
11899	G. 1803.	12183 22487	
11900	R. 3647, St. 1328.	12190	R. 3757, G. 1839.
11904	R. 3651.	12201 22517	
11909	R. 3654, G. 1804.	12212	R. 3760, G. 18 <b>43</b> .
11920	G. 1807.	12216 22542	R. 3762, P. 204.
11924	G. 1808.	12220	R. 3763, G. 1844.
11932	R. 3666, G. 1809, St.	12230	St. 1367.
	1335.		St. 1370.
11935	G. 1811, P. 123, Br.		R. 3772, P. 210.
	1589.	12250	G. 1846.
11940 22069	G. 1812, St. 1337.	12259 22600	
11945	R. 3674.	12261 22609	n 0004
11947	St. 1338.	12266	R. 3784.
11958 22088	G. 1813.	12283 22657	
11962	R. 3683, G. 1814, P.	12294 22680	n n000
44000	127.	12297 12304	n. 30V4.
11966	G. 1816.	12304	
11984 22118			G. 1852. B. Z. 461.
11987 22121		12315	D. 4. TUI.

Von 11' 57" — 12' 26".

12316
12317 R. 3809.       12318 R. 3810, G. 1853.       12319 R. 3811, B. Z. 461.       12541 St. 1408.         12319 R. 3811, B. Z. 461.       12340 R. 3816, P. 233.       12542 22738         12340 R. 3816, P. 233.       12552 G. 1868, P. 45, Br. 1680.         12344 22740       12556 23105       1680.         12348 St. 1381.       12556 23105       [1651         12353 . R. 3821.       12564 . G. 1872.       12567 . R. 3917.         12363 22779 B. Z. 461.       12577 . R. (12).       12580 . G. 1876.         12372 22785 12375 . P. 242.       12583 23159       12577 . R. 3922, G. 1873.         12383 . R. 3831.       12587 . R. 3931, G. 1877.       12580 . G. 1876.         12383 . R. 3836.       12587 . R. 3936, G. 1877.       12580 . R. 3936, G. 1880.         12383 . R. 3836.       12614 . R. 3948.       12614 . R. 3948.         12387 22800       12389 . R. 3853.       12614 . R. 3948.       12615 23209 R. 3949, G. 1883, P. 71, Br. 1662.         12431 22872 R. 3854, St. 1388.       12635 23251 R. 3965, G. 1886.       12635 23251 R. 3965, G. 1886.         12432 22874 R. (3).       12635 23251 R. 3965, G. 1895, P. 8, Br. 1631.       12660 . R. 3981.       12660 . R. 3981.         12440 22885 12443 . R. 3862.       12669 . R. (21).       12669 . R. (22).         12447 . St. 1390.
12318        R. 3810, G. 1853.       12319        R. 3811, B. Z. 461.       12546 23078       12546 23078       12546 23078       12546 23078       12546 23078       12546 23078       12546 23078       12546 23078       12555       G. 1868, P. 45, Br 1650.       12555       G. 1869, P. 45, Br 1650.       12555       G. 1869, P. 45, Br 1650.       12555       G. 1869, P. 45, Br 1650.       12555       G. 1869, P. 45, Br 1650.       12555       G. 1869, P. 48, Br 12556 23105       12555       R. 3917.       12562       R. 3917.       12562       R. 3917.       12562       R. 3917.       12564       G. 1872.       12567       R. 3922, G. 1873.       12567       R. 3922, G. 1873.       12567       R. 3922, G. 1873.       12560       G. 1876.       12580       G. 1876.       12580       G. 1876.       12580       G. 1876.       12587       R. 3931, G. 1877.       12580       G. 1876.       12587       R. 3934, G. 1880.       12614       R. 3934, G. 1880.       12614       R. 3934, G. 1880.       12614       R. 3948.       12614       R. 3948.       12614       R. 3948.       12615 23209 R. 3949, G. 1883, P. 12632 23230 G. 1886, St. 1420.       12632 3230 G. 1886, St. 1420.       12632 32320 G. 1886, St. 1420.       12633 23257 St. 1421.       12643
12319       R. 3811, B. Z. 461.       12546 23078       12536 22724       12552       G. 1868, P. 45, Br 1680.         12342 22738       12555       G. 1869, P. 48, Br 1680.       12556 23105       [1651]         12346       R. (41).       12556 23105       [1651]         12346       R. 3821.       12556       R. 3917.         12353       R. 3821.       12564       G. 1872.         12363 22779 B. Z. 461.       12577       R. (12).       12580       G. 1876.         12367       P. 242.       12580       G. 1876.       1876.         12375       P. 244.       12580       G. 1876.       12587       R. 3931, G. 1877.         12387 22800       12387 22800       12587       R. 3936, G. 1880.       12614       R. 3936, G. 1880.         12387 22800       12387 22800       12615 23209 R. 3949, G. 1883, P. 12614       R. 3949, G. 1883, P. 12614       R. 3949, G. 1883, P. 12614       R. 3949, G. 1883, P. 12614       R. 3949, G. 1883, P. 12614       R. 3949, G. 1883, P. 12614       R. 3949, G. 1883, P. 12614       R. 3949, G. 1883, P. 12614       R. 3949, G. 1883, P. 12614       R. 3949, G. 1883, P. 12614       R. 3949, G. 1883, P. 12632       R. 3949, G. 1883, P. 12632       R. 3941, L. 12614
12336       22724       P. 232.       12340       R. 3816, P. 233.         12342       22738       12555       G. 1869, P. 48, Br         12344       22740       12556       23105       [1651         12348       R. 3821.       12552       R. 3917.       [1651         12348       St. 1381.       12552       R. 3917.       [1651         12348       St. 1381.       12552       R. 3917.       [1651         12353       R. 3821.       12564       G. 1872.       [1651         12363       22779       B. Z. 461.       12567       R. 3922, G. 1873.       [12580       G. 1876.       [12580       G. 1876.       [12580       G. 1876.       [12580       G. 1876.       [12587       R. (12).       [12587       R. (12).       [12580       R. (12).       [12580       R. (12).       [12580       R. (12).       [12587       R. (12).       [12587       R. (12).       [12587       R. (12).       [12587       R. (12).       [12587       R. (12).       [12587       R. (12).       [12587       R. (12).       [12587       R. (12).       [12587       R. (12).       [12587       R. (12).       [12587       R. (12).       [12587       R. (12).       [12616       R. (12
12340
12342       22738       12555       G. 1869, P. 48, Br [1651]         12348       R. (41).       12556       23105       [1651]         12348       St. 1381.       12556       R. 3917.       12552       B. Z. 461.       12564       G. 1872.       12567       R. 3922, G. 1873.       12567       R. 3922, G. 1873.       12577       R. (12).       12580       G. 1876.       12577       R. (12).       12580       G. 1876.       12580       G. 1876.       12580       G. 1876.       12580       G. 1876.       12580       G. 1876.       12580       G. 1876.       12580       G. 1876.       12580       G. 1876.       12580       G. 1876.       12580       G. 1876.       12580       G. 1876.       12580       G. 1876.       12580       G. 1876.       12580       G. 1876.       12580       G. 1876.       12580       G. 1876.       12580       G. 1876.       12580       G. 1876.       12580       G. 1876.       12580       G. 1876.       12580       G. 1876.       12580       G. 1876.       12580       G. 1876.       12580       G. 1876.       12580       G. 1880.       12612       G. 1880.       12612       G. 1880.       12612       G. 1880.       12612       G. 1880.       12612       G. 1886, St.
12346 R. (41).       12348 St. 1381.       12562 B. Z. 461.         12353 . R. 3821.       12564 G. 1872.       12363 22779 B. Z. 461.       12567 . R. 3922, G. 1873.         12363 22779 B. Z. 461.       12577 . R. (12).       12580 G. 1876.         12367 . P. 242.       12583 23159       12587 . R. 3931, G. 1877.         12375 . P. 244.       12580 . R. 3936, G. 1880.       12587 . R. 3948, G. 1880.         12383 . R. 3831.       12614 . R. 3948, G. 1883, P.       12615 23209 R. 3949, G. 1883, P.         12389 . R. 3836.       12615 23209 R. 3949, G. 1883, P.       71, Br. 1662.         12413 . B. Z. 461.       12635 23230 G. 1886, St. 1420.       12635 23251 R. 3965, G. 1888.         12426 . R. 3853.       12634 . R. 3965.       12634 . R. 3965.         12431 22872 R. 3854, St. 1388.       12632 23230 G. 1886, St. 1420.         12432 22874 R. (3).       12635 23251 R. 3965, G. 1888.         12432 22874 R. (3).       12654 . G. 1893.         12440 22885       12643 23257 St. 1421.         12440 22885       12660 . R. 3981.         12447 . St. 1390.       12660 . R. 3985, G. 1895, P.         12452 . Br. 1633.       12675 23350         12453 22891 R. 3867, G. 1859, P.       12679 23350         12462 22904       12691 . R. 3996, G. 1899, P.         12691 .
12348       . St. 1381.       12562       . B. Z. 461.         12353       . R. 3821.       12564       . G. 1872.         12363       22779       B. Z. 461.       12567       . R. 3922, G. 1873.         12366       22780       12577       . R. (12).         12372       22785       12580       . G. 1876.         12375       . P. 244.       12590       . R. 3931, G. 1877.         12383       . R. 3831.       12614       . R. 3948.         12389       . R. 3836.       12614       . R. 3949, G. 1883, P         12413       . B. Z. 461.       12616       . R. 3951.         12426       . R. 3853.       12616       . R. 3951.         12427       . B. Z. 461.       12634       . R. 3962.         12431       22872       R. 3854, St. 1388.       12634       . R. 3965, G. 1888.         12432       22874       R. (3).       12654       . G. 1893.         12434       . R. 3857.       12660       . R. 3981.         12443       . R. 3859, G. 1857, P. 8, Br. 1631.       12663       . R. 3985, G. 1895, P. 93, Br. 1670.         12440       22885       12660       . R. 3986.       12669       . R. (21).         12457
12353       R. 3821.         12366       St. 1382.         12363       22779         B. Z. 461.       12567         12366       22780         12372       22785         12375       P. 242.         12383       R. 3831.         12387       22800         12389       R. 3836.         12413       B. Z. 461.         12426       R. 3853.         12427       B. Z. 461.         12431       22872         12432       R. 3854, St. 1388.         12435       R. 3859, G. 1857, P.         8, Br. 1631.         12440       22885         12447       St. 1390.         12445       R. 3862.         12447       St. 1390.         12445       R. 3863.         12447       St. 1390.         12445       R. 3862.         12447       St. 1390.         12445       R. 38663.         12457       R. 3867, G. 1859, P.         10, Br. 1634.       12689         12699       R. 3996, G. 1897.         12699       R. 3996, G. 1899, P.
12356 . St. 1382.       12363 22779 B. Z. 461.       12567 . R. 3922, G. 1873.         12366 22780       12367 . P. 242.       12580 . G. 1876.         12372 22785       12375 . P. 244.       12583 23159         12383 . R. 3831.       12590 . R. 3936, G. 1880.         12389 . R. 3836.       12614 . R. 3948.         12413 . B. Z. 461.       12615 23209 R. 3949, G. 1883, P. 71, Br. 1662.         12414 22845       12616 . R. 3951.         12427 . B. Z. 461.       12632 23230 G. 1886, St. 1420.         12431 22872 R. 3854, St. 1388.       12635 23251 R. 3965, G. 1888.         12432 22874 R. (3).       12634 . R. 3965, G. 1888.         12434 . R. 3857, B. B. B. 1631.       12660 . R. 3981.         12440 22885       12660 . R. 3981.         12447 . St. 1390.       12669 . R. (21).         12447 . St. 1390.       12669 . R. (21).         12447 . St. 1390.       12673 . R. 3991.         12452 . Br. 1633.       12669 . R. (21).         12453 22891 R. 3863.       12674 . R. 3991.         12457 . R. 3867, G. 1859, P. 10, Br. 1634.       12689 . G. 1896.         12691 . R. 3999, G. 1899, P. 107, Br. 1678.          12689 . R. 3999, G. 1899, P. 107, Br. 1678.
12363       22779       B. Z. 461.       12577       R. (12).         12367       P. 242.       12583       23159         12372       22785       12587       R. 3931, G. 1877.         12375       P. 244.       12587       R. 3936, G. 1880.         12383       R. 3831.       12614       R. 3948.         12389       R. 3836.       12614       R. 3949, G. 1883, P.         12414       22845       12615       23209       R. 3949, G. 1883, P.         12426       R. 3853.       12616       R. 3951.       12616       R. 3951.         12427       B. Z. 461.       12623       23230       G. 1886, St. 1420.       12635       23251       R. 3965, G. 1885, F.       12635       23251       R. 3965, G. 1888.       12643       23257       St. 1421.       12654       G. 1893.       12660       R. 3981.       12660       R. 3985, G. 1895, P.       93, Br. 1670.       93, Br. 1670.         12443       R. 3862.       12673       R. (21).       12673       R. (22).       12674       R. 3991.       12669       R. (21).       12675       23350       12689       R. 3996, G. 1897.       12689       R. 3996, G. 1899, P.       12689       G. 1896.       12689       R. 3999, G.
12366       22780         12367       P. 242.         12372       22785         12375       P. 244.         12383       R. 3831.         12387       22800         12389       R. 3836.         12413       B. Z. 461.         12414       22845         12427       B. Z. 461.         12431       22872         12432       R. 3854, St. 1388.         12434       R. 3857.         12435       R. 3869, G. 1857, P.         8, Br. 1631.         12440       22885         12447       St. 1390.         12447       St. 1390.         12447       St. 1390.         12452       Br. 1633.         12453       R. 3867, G. 1859, P.         12669       R. (21).         12674       R. 3991.         12675       23350         12689       R. 3996, G. 1897.         12689       G. 1896.         12691       R. 3999, G. 1899, P.         107, Br. 1678.
12367
12372       22785         12375       P. 244.         12383       R. 3831.         12387       22800         12389       R. 3836.         12413       B. Z. 461.         12426       R. 3853.         12427       B. Z. 461.         12431       22872         12432       R. 3854, St. 1388.         12434       R. 3857.         12435       R. 3859, G. 1857, P.         8, Br. 1631.       12660         12440       22885         12447       St. 1390.         12445       R. 3862.         12447       St. 1390.         12452       Br. 1633.         12453       22891         12453       R. 3867, G. 1859, P.         10, Br. 1634.       12689         12689       R. 3996, G. 1897.         12689       R. 3999, G. 1899, P.         1077, Br. 1678.
12375       . P. 244.       12590       . R. 3936, G. 1880.         12387       22800       12614       . R. 3948.         12389       . R. 3836.       12615       23209       R. 3949, G. 1883, P. 71, Br. 1662.         12413       . R. 3853.       12616       . R. 3951.       12623       23230       G. 1886, St. 1420.         12427       . B. Z. 461.       12634       . R. 3962.       12634       . R. 3965, G. 1888.         12431       122872       R. 3854, St. 1388.       12643       23257       St. 1421.         12432       122874       R. (3).       12654       . G. 1893.         12434       . R. 3857.       12660       . R. 3981.         12435       . R. 3869, G. 1857, P. 8, Br. 1631.       12663       . R. 3981.         12440       22885       12660       . R. 3985, G. 1895, P. 93, Br. 1670.         12447       . St. 1390.       12673       . R. (21).         12453       22891       R. 3863.       12689       . R. 3996, G. 1897.         12453       12891       R. 3867, G. 1859, P. 10, Br. 1634.       12689       . G. 1896.         12457       . R. 3867, G. 1859, P. 10, Br. 1634.       12689       . G. 1896.       12689       . R. 3999, G. 1899, P. 107, Br. 16
12383       R. 3831.         12387       22800         12389       R. 3836.         12413       B. Z. 461.         12414       22845         12426       R. 3853.         12427       B. Z. 461.         12431       22872       R. 3854, St. 1388.         12432       22874       R. (3).         12434       R. 3857.       12664         12435       R. 3859, G. 1857, P.         8, Br. 1631.       12660       R. 3981.         12440       22885         12447       St. 1390.         12452       Br. 1633.         12453       22891       R. 3867, G. 1859, P.         10, Br. 1634.       12689       R. 3996, G. 1897.         12689       G. 1896.         12691       R. 3999, G. 1899, P.         12678       23909, G. 1899, P.
12387       22800         12389       R. 3836.         12413       B. Z. 461.         12414       22845         12426       R. 3853.         12427       B. Z. 461.         12431       22872       R. 3854, St. 1388.         12432       22874       R. (3).         12434       R. 3857.       12654       G. 1893.         12434       R. 3859, G. 1857, P.       8, Br. 1631.         12440       22885       12632       R. 3985, G. 1895, P.         12447       St. 1390.       12669       R. (21).         12452       Br. 1633.       12674       R. 3991.         12453       R. 3863, G. 1859, P.       12674       R. 3991.         12457       R. 3867, G. 1859, P.       12689       R. 3996, G. 1897.         12689       R. 3999, G. 1899, P.       12689       R. 3999, G. 1899, P.         12462       22904       R. 1638.       12689       R. 3999, G. 1899, P.
12389 R. 3836.       71, Br. 1662.         12413 B. Z. 461.       12616 R. 3951.         12426 R. 3853.       12623 23230 G. 1886, St. 1420.         12427 . B. Z. 461.       12634 R. 3962.         12431 22872 R. 3854, St. 1388.       12635 23251 R. 3965, G. 1888.         12432 22874 R. (3).       12643 23257 St. 1421.         12434 . R. 3857.       12660 . R. 3981.         12435 . R. 3869, G. 1857, P. 8, Br. 1631.       12663 . R. 3985, G. 1895, P. 93, Br. 1670.         12440 22885       12669 . R. (21).         12447 . St. 1390.       12673 . R. (22).         12452 . Br. 1633.       12674 . R. 3991.         12453 22891 R. 3863.       12688 . R. 3996, G. 1897.         12457 . R. 3867, G. 1859, P. 10, Br. 1634.       12689 . R. 3999, G. 1899, P. 107, Br. 1678.
12413        B. Z. 461.       12616        R. 3951.       12623       23230       G. 1886, St. 1420.       12634        R. 3962.       12634        R. 3962.       12635       23251       R. 3965, G. 1888.       12634        R. 3965, G. 1888.       12635       23251       R. 3965, G. 1888.       12643       23257       St. 1421.       12654        G. 1893.       12654        G. 1893.       12654        G. 1893.       12654        G. 1893.       12654        R. 3981.       12654        R. 3981.       12654        R. 3981.       12654        R. 3985, G. 1895, P.       93, Br. 1670.       12663        R. 3985, G. 1895, P.       93, Br. 1670.       12669        R. (21).       12669        R. (21).       12673        R. (22).       12674        R. 3991.       12673        R. 3991.       12673        R. 3991.       12675       23350       12674        R. 3991.       12675       23350       12689        R. 3996, G. 1897.       12689        R. 3999, G. 1899, P.       12689        R. 3999, G.
12414       22845         12426       . R. 3853.         12427       . B. Z. 461.         12431       22872       R. 3854, St. 1388.         12432       22874       R. (3).         12434       . R. 3857.       12660       R. 3981.         12435       . R. 3889, G. 1857, P.       12660       R. 3981.         12440       22885       12660       R. 3985, G. 1895, P.         12447       . St. 1390.       12669       R. (21).         12452       . Br. 1633.       12673       R. 3991.         12453       22891       R. 3867, G. 1859, P.       12688       R. 3996, G. 1897.         12457       . R. 3867, G. 1859, P.       10, Br. 1634.       12689       . R. 3999, G. 1899, P.         12462       22904       R. 3999, G. 1899, P.       107, Br. 1678.
12426       . R. 3853.         12427       . B. Z. 461.         12431       22872       R. 3854, St. 1388.         12432       22874       R. (3).         12434       . R. 3857.       12660       R. 3981.         12435       . R. 3889, G. 1857, P.       12660       R. 3985, G. 1895, P.         8, Br. 1631.       12663       . R. 3985, G. 1895, P.         12440       22885       12660       . R. 3985, G. 1895, P.         12447       . St. 1390.       12669       . R. (21).         12452       . Br. 1633.       12673       . R. 3991.         12453       22891       R. 3863.       12688       . R. 3996, G. 1897.         12457       . R. 3867, G. 1859, P.       12689       . G. 1896.         10, Br. 1634.       12691       . R. 3999, G. 1899, P.         12462       22904       127, Br. 1678.
12427
12431       22872       R. 3854, St. 1388.       12643       23257       St. 1421.         12432       22874       R. (3).       12654       G. 1893.         12434       R. 3857.       12660       R. 3981.         12435       R. 3859, G. 1857, P.       93, Br. 1670.         12440       22885       12669       R. (21).         12447       St. 1390.       12673       R. (22).         12452       Br. 1633.       12674       R. 3991.         12453       22891       R. 3863.       12688       R. 3996, G. 1897.         12457       R. 3867, G. 1859, P.       10, Br. 1634.       12689       G. 1896.         12681       R. 3999, G. 1899, P.       107, Br. 1678.
12432       22874       R. (3).       12654       G. 1893.         12434       R. 3857.       12660       R. 3981.         12435       R. 3889, G. 1857, P.       93, Br. 1670.         12440       22885       12663       R. 3985, G. 1895, P.         12447       St. 1390.       12673       R. (21).         12452       Br. 1633.       12674       R. 3991.         12453       22891       R. 3863.       12688       R. 3996, G. 1897.         12457       R. 3867, G. 1859, P.       12689       G. 1896.         10, Br. 1634.       12691       R. 3999, G. 1899, P.         107, Br. 1678.
12434 R. 3857.       12660 R. 3981.         12435 R. 3889, G. 1857, P. 8, Br. 1631.       12663 R. 3985, G. 1895, P. 93, Br. 1670.         12440 22885       12443 R. 3862.         12447 St. 1390.       12673 R. (22).         12452 Br. 1633.       12674 R. 3991.         12453 22891 R. 3863.       12675 23350         12457 R. 3867, G. 1859, P. 10, Br. 1634.       12691 R. 3999, G. 1899, P. 107, Br. 1678.
12435       . R. 3859, G. 1857, P.       12663       . R. 3985, G. 1895, P.         12440       22885       12443       . R. 3862.       12669       . R. (21).         12447       . St. 1390.       12673       . R. (22).       12674       . R. 3991.         12452       . Br. 1633.       12675       23350       12688       . R. 3996, G. 1897.         12457       . R. 3867, G. 1859, P.       12689       . G. 1896.       12691       . R. 3999, G. 1899, P.         12462       22904       107, Br. 1678.       1678.
8, Br. 1631.  12440 22885 12443 R. 3862. 12447 St. 1390. 12452 Br. 1633. 12453 22891 R. 3863. 12457 R. 3867, G. 1859, P. 10, Br. 1634.  12669 R. (21). 12673 R. (22). 12674 R. 3991. 12675 23350 12688 R. 3996, G. 1897. 12689 G. 1896. 12691 R. 3999, G. 1899, P. 12462 22904
12443       . R. 3862.         12447       . St. 1390.         12452       . Br. 1633.         12453       22891         12457       . R. 3863.         12457       . R. 3867, G. 1859, P.         10, Br. 1634.       12688         12462       22904             12673       . R. (22).         12674       . R. 3991.         12688       . R. 3996, G. 1897.         12689       . G. 1896.         12691       . R. 3999, G. 1899, P.         107, Br. 1678.
12447
12452 . Br. 1633. 12453 22891 R. 3863. 12457 . R. 3867, G. 1859, P. 10, Br. 1634. 12691 . R. 3996, G. 1897. 12691 . R. 3999, G. 1899, P. 127, Br. 1678.
12453 22891 R. 3863. 12457 . R. 3867, G. 1859, P. 10, Br. 1634. 12691 . R. 3996, G. 1897. 12691 . R. 3999, G. 1899, P. 127, Br. 1678.
12457 R. 3867, G. 1859, P. 12689 G. 1896. 10, Br. 1634. 12691 R. 3999, G. 1899, P. 12462 22904
10, Br. 1634.   12691 R. 3999, G. 1899, P 12462 22904   107, Br. 1678.
12462 22904 107, Br. 1678.
1 1000 D 0000 C 1000 D
12465 . R. 3869. 12692 . R. 3998, G. 1898, P. 12466 . R. 3870. 106, Br. 1677.
1000 B 1000 C 1000
12470 . St. 1393. 12695 . R. 4000, G. 1800. 12479 . R. 3875. 12698 . R. 4001.
12482 22942 ³ 12700 G. 1901, P. 110, Br
12484 22946 1680.
12486 22949 12703 23415 G. 1903.
12487 22951 R. 3879, G. 1861, P.   12709 23438 R. 4008.
19, Br. 1636.   12718 R. (29).
12495 22963 12719 R. 4012.
12499 G. 3863.   12726 23458 R. 4014.
12500 R. 3882, G.1862, P. 22,   12728 R. 4015.
Br. 1637, St. 1399.   12740 23474
12502 B. Z. 461. 12741 St. 1435.
12508 R. 3889. 12749 B. Z. 461.
12517 23010 R. 3892, G. 1866. 12751 B. Z. 461.
12522 St. 1404.   12753 23506

## Ven 12' 26" -- 13' 8".

Argeland. Lalande.	Verschiedene Kataloge.	Argeland. Lalande.	Verschiedene Kataloge.
12755	R. 4029, G. 1906, P.	13027	R. 4151.
	129, Br. 1689, St.	13055	R. 4162.
	1437.	13065	R. 4166.
12756	R. 4031.	13075 24008	P. 209.
12761 23528	D 4000	13086 24039	D 4470
12769	R. 4039.	13089	R. 4176.
12772	R. 4040, G. 1908. P. 135, Br. 1691.	13095 13103 <b>24</b> 059	R. (53). R. 4179, G. 1932, P.
12775	R. (36).	19109 22099	220, St. 1472, Br.
12776 23569*	11. (50).		1722.
12780	R. 4043, St. 1443.	13105 24063	
12787	R. 4046.	13110 24085	G. 1933.
12792 23594		13111	R. 4185.
12795 23602	R. 4049.	13113 24089	B. Z. 504.
12802 23612		13116	G. 1934.
12803	R. 4052.	13127	G. 1936.
12810	P. 144.	13130	B. Z. 504.
12823	R. 4055, G. 1910.	13137	G. 1939, P. 228, Br. 1727.
12828	R. 4056.	13145	R. 4197, G. 1941, 8t
12830 23640 12838	R. 4061.	13145	1479, Br. 1726, A.
10010	R. 4063, G. 1913.		290.
12849 12855	R. 4068.	13148 24132	2001
12861	St. 1449.	13151	St. 1481.
12875	R. 4074, G. 1914.	13153 24144	G. 1942.
12878	G. 1915.	13168	G. 1944.
<b>12890</b>	R. 4079.	13191	G. 1946.
1 <b>2893</b>	R. 4081, G, 1916.	13196	R. 4209.
12906	St. 1453.	13207	G. 1947.
12911	R. (42), G. 1917, P. 163, Br. 1703.	13220	R. 4215, G. 1948, P. 248, Br. 1736.
12913 237153	P. 164.	13221	G. 1949, P. 250, Br.
12919	R. 4087.		1 <b>73</b> 7.
12924	R. (43).	13237 24296	
12931	R. 4092, G. 1918.	13238	Gr. 1950, P. 258.
12947	R. 4100.	13243	R. (55).
12948 23765	G. 1919, B. Z. 461, 504.	13255	G. 1952.
12950 23776	R. 4102.	13261 13268	B. Z. 504. P. 261.
12954	B. Z. 461, 504. R. 4108.	10000	P. 264.
12959 12961 23793	G. 1922.	13276 13289	St. 1496.
12973	St. 1462.	13292	G. 1955.
12981 23842	3	13293 243593	G. 1956.
12984	R. 4127.	13301	G. 1957.
12993 23876		13320	P. 273.
12998	R. 4135, G. 1926.	13324	G. 1960.
12999	R. 4134, G. 1925.	13328	G. 1959, P. 278.
13005	R. 4142, G. 1928, P.	13384	P. 11.
	190, Br. 1713.	13387 24511	G. 1965, P. 12.
13008	R. 4143, G. 1929, P.	13413 24562	D 94
40044	191, Br. 1712.	13423 24576 13433	P. 24. R. 4235, G. 1969.
13011	R. 4146. R. 4147 G. 1030	13436	R. (1), G. 1970.
13015 13024	R. 4147, G. 1930. R. 4149.	13444	G. 1971.
TOUNT	att TATU		<b></b>

Von 13¹8" -- 13¹ 37".

Argeland. Lalande.	Verschiedene Kataloge.	Argeland. Lalande.	Verschiedene Kataloge.
13455	G. 1972.	13694 25018 ⁸	R. <b>432</b> 8.
13468	P. 39.	13696	G. 2005.
13503	R. 4262.	13708	R. 4341.
13509	R. 4265.	13709	R. 4342.
13510	R. 4268.	13710	R. 4344.
13513	R. 4269.	13720 25062	R. 4349, G. 2009,
13514	R. 4270, G. 1976, P.	-	P. 123.
	54, Br. 1767.	13723	G. 2012, P. 133, H. C.
13522	R. 4274.		80.
13524	R. 4273.	13740	St. 1535.
13527	Н. С. 79.	13743	R. 4357.
13528	R. (5).	13747	R. 4358.
13542	G. 1980.	13756 25124	
13552	P. 65, B. Z. 504.	13764	R. 4362.
13558 24797		13769	St. 1537.
	P. 71, B. Z. 504.	13774	R. 4369, G. 2015,
13573	G. 1982.		P. 138, Br. 1791,
13576 24839			A. 308.
13580	B. Z. 504.	13779	R. 4370, G. 2016, •
13583 24842			P. 141, Br. 1792.
13585	G. 1984.	13780	St. 1538.
13587	G. 1985.	13781	R. 4372.
13591	R. 4296.	13787	R. 4373.
13602 24868	G. 1987, P. 78, St.	13788 25157	G. 2017, B. Z. 504.
	1522, Br. 1776, A.	13796 25174	
	303.	1380 <b>3</b>	St. 1542.
13619	G. 1989, P. 83.	13806	R. <b>43</b> 86.
13624	G. 1990, P. 85, Br.	13809	R. 4387, G. 2018.
	1779.	13812	Br. 1794.
13630 24907	R. 4302, G. 1991.	13817	R. (20).
1 <b>36</b> 31 <b>249</b> 16		13820	R. 4398, Br. 1795.
13633	R. 4303.	13821	R. 4399.
13639 24945	G. 1993, P. 96.	13822	G. 2023.
13641 24935		13833	P. 157.
13645	St. 1524.	13842	G. 2025.
13650 24966		13848	R. 4408.
13654 24969	R. 4313.	13850 25249	G. 2026.
13655	G. 1998.	13862 25272	R. 4415, G. 2028,
13658	R. 4314, G. 1995,	10000 04000	P. 165, Br. 1799.
10000	P. 100.	13863 25278	
13660	G. 1996.	13866 25286	
13662	G. 1997.	13869 25290	D 4440 C4 4550
13670	G. 2001, P. 109.	13870 13875 25321	R. 4419, St. 1550.
13672	R. 4316, G. 1999,	13881 25302	R. 4423, G. 2030.
19071	P. 105.	10000	B. Z. 504 u. 473.
13674	G. 2003.		R. 4428.
13675 24989 13681	R. 4319, G. 2000. G. 2002, P. 110.	13890 138 <b>93</b>	R. 4420. St. 1553.
	G. 2002, P. 110. R. 4322.	13896	R. 4433.
10001	R. 4322. G. 2004.	13898	R. (23).
13684 13688 25003	G. 2007.	13907	G. 2034, P. 184.
13690	R. 4325, P. 113, St.	13908	G. 2033.
10000	1528.	13909	R. 4443.
13692	R. 4329.	13913	G. 2037, H. C. 82.
	AL TUNG.		

## Von 13' 37" - 14' 16".

Argeland, Lalande,	Verschiedene Kataloge.	Argeland, Lalande,	Verschiedene Kataloge.
13916			St. 1575, H. C. 86.
	H. C. 81.		
13917 25355	D 4447 C 909Y	14192	R. 4570.
13923	R. 4447, G. 2035.	14197	H. C. 87.
1392 <b>9 25</b> 381	R. 4452, G. 2036,	14204	R. (29).
10000	P. 189.	14208	H. C. 88.
13938	G. 2040.	14213	R. 4585, G. 2073,
13939	G. 2038.	44044	P. 296.
13941	R. 4454.	14214	G. 2074.
13946	G. 2041.	14223	R. (31).
13957	G. 2046.	14229	G. 2075, P. 306.
13963	G. 2045, P. 200.	14230	R. 4591.
13972	B. Z. 504.	14252 25907	R. 4596.
13978	St. 1560.	14261	R. 4600.
13979	R. 4469, G. 2049,	14267 25933	R. 4603.
10000 08180	P. 205, Br. 1812.	14272	R. 4605, G. 2076,
13982 25458			P. 312, St. 1581,
13988	G. 2050, P. 209, St.		Br. 1836, A. 317.
	1561, Br. 1815, A.	14280	R. 4608.
	312.	14286	R. <b>461</b> 1.
13997	G. 2052.	14289 25954	•
13999 25488		14307 25981	
14003	G. 2053, H. C. 83.	14313	St. 1584.
14006 25486	-	14332	G. 2082.
14018	R. 4482.	14334	B. Z. 473.
14025 25526		14362	R. 4638.
14028	G. 4493, P. 226.	14363	St. 1590.
14032	G. 2055.	14371	G. 2085, P. 27.
14033 25557	R. 4494.	14379	St. 1593.
14035	B. Z. 473.	14386	G. 2087.
14038	R. 4497, G. 2056,	14396 26126	P
14040	P. 233.	14397	G. 2088, P. 30, 31,
14040	R. 4499.	44400	St. 1598, Br. 1849.
14052	R. 4505.	14407	B. Z. 473.
14062	R. 4511, G. 2059,	14415	G. 2091.
11001	P. 243, Br. 1823.	14418	St. 1604.
14064	R. 4513.	14421	G. 2094, P. 49, Br.
14068	G. 2060.		1859, A. 322, H. C.
14070	G. 2061.	11400 00100	<b>89.</b>
14077 25626	P. 244.	14427 26170	C 9009 D 40 C4
14085 25638	G. 2062, P. 250, Br.	14431	G. 2093, P. 42, St.
44400	1824.		1606, Br. 1854, A.
14106	P. 261.	44400	324.
14111	G. 2066.	14433	St. 1607.
14121	R. 4535.	14439 26209	St. 1609.
14128	P. 272.	14445	G. 2096, P. 50, Br.
14137	G. 2067. R. 4541.	14449	1856. P. 52.
14138 25733 14142	R. 4541. R. 4543, G. 2088.		R. 4661, P. 56.
14142 14148 25754	R. 4543, G. 2008. P. 277, St. 1572.	14455 14458	G. 2101.
	P. 277, St. 1572. R. 4554.	14464	R. 4664, G. 2102.
14162 14165	R. 4560.	14480	St. 1611.
14166	R. 4561. G. 2070.	14496 26324	~~ .v
14175	R. 4564, P. 285.	14504	R. 4682, St. 1615.
14182	R. 4565.	14505	R. 4683.

Von 14' 16" — 14' 58".

Argeland. Lalande. Verschiedene Kataloge.  14508 R. 4688.  14511 26345 R. 4689, G. 2103, 14809 G. 2147.	
14511 26345 R. 4689, G. 2103,   14809 G. 2147.	
P. 79. 14810 R. 4811, G. 21	ia.
14512 R. (9). St. 1655.	,
14515 G. 2105, St. 1618. 14812 26891	
14536 G. 2108. 14821 26933 P. 179.	
14540 R. 4701. 14844 G. 2150, St. 1658	
14548 26401 St. 1619. 14846 R. (23).	
14556 H. C. 90.   14850 R. 4818.	
14563 R. 4707, G. 2110, 14858 P. 189.	
P. 92, St. 1623. 14875 27074 R. 4830, G. 21	
Br. 1867, A. 326. P. 198, Br. 190	Ю,
14565 26431 R. 4709, G. 2111. A. 339.	
14573 G. 2112, St. 1627. 14882 H. C. 95.	
14578 . R. 4714. 14883 . R. 4833.	
14582 R. 4716. 14884 R. 4834.	•••
14587 26487 R. 4721. 14889 R. 4836, G. 21114591 R. (10). P. 200, St. 160	55,
	57,
14604 R. 4728. Br. 1902.	
14605 26512 ³ R. 4729, G. 2114, 14895 27111	
B. Z. 473.   14900 27128 14611 G. 2119.   14906 27136	
A SACRA TO THE TOTAL TO THE TOTAL TO THE TOTAL TO THE TOTAL TO THE TOTAL TO THE TOTAL TO THE TOTAL TO THE TOTAL TO THE TOTAL TO THE TOTAL TO THE TOTAL TO THE TOTAL TO THE TOTAL TO THE TOTAL TO THE TOTAL TO THE TOTAL TO THE TOTAL TO THE TOTAL TO THE TOTAL TO THE TOTAL TO THE TOTAL TO THE TOTAL TO THE TOTAL TO THE TOTAL TO THE TOTAL TO THE TOTAL TO THE TOTAL TO THE TOTAL TO THE TOTAL TO THE TOTAL TO THE TOTAL TO THE TOTAL TO THE TOTAL TO THE TOTAL TO THE TOTAL TO THE TOTAL TO THE TOTAL TO THE TOTAL TO THE TOTAL TO THE TOTAL TO THE TOTAL TO THE TOTAL TO THE TOTAL TO THE TOTAL TO THE TOTAL TO THE TOTAL TO THE TOTAL TO THE TOTAL TO THE TOTAL TO THE TOTAL TO THE TOTAL TO THE TOTAL TO THE TOTAL TO THE TOTAL TO THE TOTAL TO THE TOTAL TO THE TOTAL TO THE TOTAL TO THE TOTAL TO THE TOTAL TO THE TOTAL TO THE TOTAL TO THE TOTAL TO THE TOTAL TO THE TOTAL TO THE TOTAL TO THE TOTAL TO THE TOTAL TO THE TOTAL TO THE TOTAL TO THE TOTAL TO THE TOTAL TO THE TOTAL TO THE TOTAL TO THE TOTAL TO THE TOTAL TO THE TOTAL TO THE TOTAL TO THE TOTAL TO THE TOTAL TO THE TOTAL TO THE TOTAL TO THE TOTAL TO THE TOTAL TO THE TOTAL TO THE TOTAL TO THE TOTAL TO THE TOTAL TO THE TOTAL TO THE TOTAL TO THE TOTAL TO THE TOTAL TO THE TOTAL TO THE TOTAL TO THE TOTAL TO THE TOTAL TO THE TOTAL TO THE TOTAL TO THE TOTAL TO THE TOTAL TO THE TOTAL TO THE TOTAL TO THE TOTAL TO THE TOTAL TO THE TOTAL TO THE TOTAL TO THE TOTAL TO THE TOTAL TO THE TOTAL TO THE TOTAL TO THE TOTAL TO THE TOTAL TO THE TOTAL TO THE TOTAL TO THE TOTAL TO THE TOTAL TO THE TOTAL TO THE TOTAL TO THE TOTAL TO THE TOTAL TO THE TOTAL TO THE TOTAL TO THE TOTAL TO THE TOTAL TO THE TOTAL TO THE TOTAL TO THE TOTAL TO THE TOTAL TO THE TOTAL TO THE TOTAL TO THE TOTAL TO THE TOTAL THE TOTAL TO THE TOTAL TO THE TOTAL TO THE TOTAL TO THE TOTAL TO THE TOTAL TO THE TOTAL TO THE TOTAL TO THE TOTAL TO THE TOTAL TOTAL TO THE TOTAL TO THE TOTAL TO THE TOTAL TO THE TOTAL TO THE TOTAL TO THE TOTAL TO THE TOTAL TO THE TOTAL TO THE TOTAL TO THE TOTAL TO THE TOTAL TO THE TOTAL TO THE TOTAL TO THE TOTAL TO THE	
14623 R. (45), G. 2118.   14924 R. 4854.   14628 B. Z. 473.   14929 27175	
14643 G. 2126.   14935 R. (24).   14646 R. 4744.   14949 27232	
14648 R. 4746. 14953 27238 R. 4870, G. 2167.	
14654 . G. 2122. 14971 . R. 4878.	
14657 . R. 4747.   14984 . G. 2171, P. 235.	
14660 R. 4750. 14985 G. 2172, P. 240,	Rt.
14666 G. 2130, P. 136, St. 1674, Br. 1917,	
1637, Br. 1873, A. 340.	•••
332. 14988 R. 4886.	
14669 G. 2129. 14989 B. Z. 473.	
14673 26640 R. 4759, G. 2127. 14991 27323 B. Z. 473.	
14680 St. 1639. 14992 27332	
14685 R. 4764, A. 333.   14996 St. 1676.	
14693 H. C. 91, 92.   15001 27357	
14710 G. 2132.   15004 R. 4897.	
14719 G. 2134.   15014 273968 R. 4904, G. 2174.	
14721 R. (18). 15018 27416	
14726 26712   15019 27417 St. 1681.	
14745 R. 4776, G. 2136, 15023 R. 4912.	
P. 148, St. 1641.   15025 R. 4911. G. 21	76,
14746 26751 St. 1682.	
14752 26770 R. 4782, G. 2139, 15037 G. 2180, P. 273.	
P. 156.   15047 G. 2184, H. C. 1	18,
14756 . R. 4786. 99, 100. 14760 . R. (21). 15052 . G. 2181 P. 274.	
	7.
14791 26880 St. 1649.   15065 G. 2185, P. 283.   14793 St. 1650.   15068 R. 4931.	
Ritch & mathem patrices (1 VIII D. II U.S. A.	

# Von 14, 58" — 15, 43".

	VOL 14 00		
Argeland. Lalande.	Verschiedene Kataloge.	Argeland. Lalande.	Verschiedene Kataloge.
15070	G. 2186.	15357	G. <b>2231</b> .
15073 27514	R. 4935. G. 2183.	15360 28204	G. 2230.
	P. 175, St. 1687,	15369 28214	R. 5093, G. 2232.
	P. 175, St. 1687, Br. 1923, A. 344.	15373	R. 5097, G. 2236,
15087	G. 2187.		P. 95, St. 17 <b>23</b> .
15090 27578	G. 2188, Br. 1925,		Br. 1962, A. 354,
	R. <b>494</b> 8.	15380	R. 5101, G. 2235,
15099 27627			P. 92, Br. 1957.
15106	P. 7.	15391 28265	
15113	G. 2192.	15392	St. 1725.
15114	G. 2193.	15404	H. C. 106.
15126 27651	G 0101	15412 28326	R. 5118, G. 2239.
15137	G. 2194.	15419 · · · · · · · · · · · · · · · · · · ·	G. 2241. G. 2240.
15138	R. (1).	15423 · · · · · · · · · · · · · · · · · · ·	G. 2242, P. 110.
15146 27712	G. 2195.	15430 28358	G. 2242, 1. 110.
15149 27736 15152 27723	G. 2195. P. 12.	15431	B. Z. 419.
15161	R. 4977, G. 2197.	15434	R. 5125, G. 2245.
15173	R. 4981, St. 1697.	15444	R. 5130, G. 2246,
15178	B. Z. 419.		P. 119.
15179 27796	G. 2199.	15463	St. 1734.
15180	G. 2200, P. 27.	15473 28488 15479 15496	G. 2250, P. 136.
42404	R. 4989, G. 2198.	15479	G. 2252.
15184 15187	R. 4993.	15496	B. Z. 419.
15195 27822	G. 2202.	15497 28521	P. 140.
15201 27829	G. 2203.	15497 28521 15499 28522 15509 28559	G. <b>2254</b> .
15203	G. 2207.	15509 28559	
15215 15216 27867	36. 1102.	15527 28602 15528 28608	C 9980
15210 27807	G. 2209. R. 5009.	15526 26006 18890 98889	G. 2263.
15218 15223	R. 2008. C 2242	15529 28652 15536 28624 ²	G. 2262
15226 27894	G. 2211.	15542	B. Z. 420, 419.
15228 27886	G. <b>2</b> 211.	15548	B. Z. 419.
15247	H. C. 102.	15549	G. 2265.
15262 27983		15553	G. 2266.
15264 28017	G. 2214.	15554	R. 5159.
15266 27992	R. 5030.	15556 286802	<b>5 6 6 6</b>
15272	R. 5033, B. Z. 419.	15558	B. Z. 419.
15276	G. 2215.	15565	G. 2268, P. 172, Br.
15287	B. Z. 473.	1000	2008. R. 5164.
	G. 2217, P. 56. R. 5050, B. Z. 473,	15583 15595	G. 2271.
15304	419.	15599	G. 2269.
15307 28071	710.	15601 287623	G. 2270.
15309 28074		15616	B. Z. 419.
15322	B. Z. 419.	15633 28825	
15323	B. Z. 419.	15 <b>63</b> 8	St. 1749.
15324	G. 2224.		B. Z. 419.
15328	G. <b>2228</b> , P. <b>78</b> , Br.	15642	R. 5184, B. Z. 420.
15329	1954.	15645 28853	
15329	Н. С. 105.	15648 28874	<b>₽ 997</b> 0
15347 28164	H. Z. 419.	15649 15658 28884 ³	G. 2278.
15350 <b>2</b> 8176	B. Z. 473.	15660 .	R 7. 420
15355	D. 4. 719.	14000 .	TAL DOL SMALL

#### Von 15' 43" - 16' 22".

Argeland. Lalando.	Verschiedene Kataloge.	Argeland. Lalande.	Verschiedene Kataloge.
15664	B. Z. 419.	18969	B. Z. 419.
15672	G. 2280, P. 198.	15976 <b>29</b> 620	
			G. 2320.
15675 28941		15978 29641 15985 15986 29629 15992 29634 15994 29636 15996 16006	R. 5340.
15676	G. 2281.	15986 29629	
15678	G. 2281. B. Z. 419.	15992 29634	
15681 28944		15994 29636	
	B. Z. 419.	15996	B. Z. 419.
15688 28960		16006	G. 2323.
	G. 2287.		P. 32.
1 4799	B. Z. 419.	16012 29676	
15726	G. 2288.	16023 29723	
15732 15743	B. Z. 419.	16024	R. 5360.
15743	R. 5245. G. 2294.	16039 29730	20000
	P. 238. St. 1762.	16053 29756	
	Br. 2041. A. 374.	16056 29784	G. 2326.
15745	R. Z. A193.	16057 29768	G. 2325, P. 86.
5770 29197	B. Z. 419.  R. 5245, G. 2294, P. 238, St. 1763, Br. 2041, A. 374.  B. Z. 419 ² .	16075	B. Z. 419.
5775	St. 1768. B. Z. 419.	16081	G. 2329, P. 69.
15788	R Z A10	16088 29841	G. 2020, 1. 0g.
15791 29181	D. 21. 110.	16090 29849	
15797	R. Z. A19.	16092 29833	
15799	B. Z. 419. R. 5267, G. 2296.	16057 29768 16075 16081 16088 29841 16090 29849 16092 29833 16098 16100 29842 16111	G. 2332.
15817	G. 2300	16100 29842	G. 2330.
15818	G. 2300. B. Z. 419.	16106	B. Z. 419.
15836 29324	2. 2. 2.0.	16111	G. 2334, P. 82, Br.
	G. 2303.		2096.
15840 29329	G. 2303.  B. Z. 419, 420. R. 5286. B. Z. 419. G. 2308, P. 288, Br. 2063. B. Z. 419.	16114	B. Z. 419.
15844 29360		16118 29873	2. 2. 2.0.
18851	R. Z. A19. A20.	16124 29892	
15853	R. 5286.	16126	G. 2335.
15855	R. Z. 419.	16128 29891	G. 2333.
15865	G. 2308, P. 288, Br.	16129 29917	
	2063.	16131	G. 2336, P. 86, Br.
15868	B. Z. 419.		2099.
1 KO70 90490		16138	G. 2337.
15877	G. 2307.	16140 29879	B. Z. 419, 420.
15884 29434	G. <b>20</b> 01.	16143 29914	2. 2. 110, 120.
15896 29451		16146	R. 5412.
15898	R. Z. 419.	16152 29965	
15898 15913	B. Z. 419.	16155	R. 5413, St. 1816.
	B. Z. 419.	16161 29949	B. Z. 419, 420.
	R. 5315, G. 2310.	16178 29984	G. 2339, B. Z. 419,
15922 29497	11. 0010, 4. 2010.	10110 20002	420.
15934	G. 2312.	16182 29999	B. Z. 419.
15935 29527°		16183 300023	G. 2340.
10000 20021	P. 13, Br. 2061.	16198	G. 2343.
15940 29542	1. 13, Di. 2001.	16200 30021	G. 2342.
15942	St 1789. R Z. 410	16203	B. Z. 420.
15948	St. 1789, B. Z. 419. B. Z. 420.	16210	G. 2345, St. 1826.
15952 29593	D. E. TAV.	16211 30043	G. MUTU, DE. IUNU.
15956 295673	C 231A	18919	R. 5425 u. (21), G.
15958	B. Z. 419.	10616	2346, P. 102, St.
15968	G. 2319.		1827, Br. 2104.
	G. 8010.	l	-
			42 •

## Von 16^h 22^m - 16^h 56^m.

Argeland, Lalande,	Verschiedene Kataloge.	Argeland. Lalande.	Verschiedene Kataloge.
18218	G. 2349, P. 114, Br.	16461 30540	_
10010	2111, A. 387.	16473	B. Z. 419 und 420.
16220 30056	2111, 121 0011	16475 30569	2. 2. 110 422 1201
16222	B. Z. 419.	16481 30589	R. 5544, P. 194.
16228	B. Z. 419.	16485 30612	
16240 30100°	G. 2350.	10100 00012	2375, P. 197, Br.
16243 30116		16491	G. 2378. [2141.
16251 301223	G. 2351.	16493	B. Z. 419.
16252 301253	G. 2352.	16496 30626*	
16263	B. Z. 420.	16496 30626 ² 16499 30624	
16265	St. 1834.	16503	G. 2379.
16267 30159		16512 <b>3</b> 0669	
16268	B. Z. 419.	16514 30662	R. (62), G. 2377.
16272 30149	G. 2354.	16517	P. 213.
16289 30187	St. 1838, B. Z. 419.	16526	G. <b>2382.</b>
16290	G. 2356.	16527	R. (64).
16298 30237	•	16532 30699	
16304 30253		16538	P. 219.
16306	R. (37), G. 2359, Br.	16544 30702	
	2118, P. 135.	16549 30709	G. 2380, P. 224, Br.
16310 30242			2149.
16314 30252		16558	P. 229.
16315 30241	R. 5464 und (38), G.	16563	St. 1879.
	2357.	16565	G. 2388.
16334	R. 5472.	16567	G. 2386.
16338 30282		16569 30757*	C 000# D 000
	G. 2360.	16570	G. 2387, P. 239.
16341	R. 5473, G. 2361,	16571 30797	
	P. 140.	16573 30798	
16344 30306	D 440	16577 30775	
16350	P. 146. St. 1844.	16586 30791 16597 30802°	D 944
16353 16359 303 <b>2</b> 6	St. 10 <del>51</del> . C 9269	16600 30806	r. 231.
		10010 00010	
16367	C 998K D 4K9 D.	18899 3080K	
10919 90909	9199 A 900	18827 30888	P. 253.
16377 20366	C 2388 P 153 Re	16631 30881	R. (79).
10011 30300	St. 1849. G. 2365, P. 152, Br. 2122, A. 390. G. 2366, P. 153, Br. 2124, St. 1848, A.	18848 30915	z (.b).
	391.	16649 30922	
16379 30388	R. 5493, P. 158.	16650 30966	
16384 30382	111 0100, 11 1001	16656	R. 2390.
16388 30413		16658 30936°	
16400	G. 2367.	16661 30981	
16406 30404		16667	B. Z. 419.
16415	G. 2370.	16670 30952	
16420	G. 2372, P. 182, H. C.	16678 309843	
	119 und 120.	16684	St. 1890.
16428 30440°		16690	P. 275.
16440 30487	P. 171.	16691 31013	
16442 .	B. Z. 419.	16694 31016	St. 1892.
16446	St. 1863.	16691 31013 16694 31016 16695 16697	R. 5645.
16447	B. Z. 419.	16697	G. 2398.
16451	G. 2373, P. 195.	10705	K. 5048.
16457 30545	R. 5539.	16720	G. 2402.

Von 16^h 56^m - 17^h 29^m.

von 10-50- — 17-29			
Argeland, Lalande.	Verschiedene Kataloge.	Argeland. Lalande.	Verschiedene Kataloge.
16723 31082	G. 2399, P. 291, A. 400.	16995 16999 31615	P. 69.
16737 31112*	R. (98).	17000	St. 1928.
16741	н. с. 128.	17004 31655	
16744 31132		17008	St. 1929.
16746 31136		17011 31676	G. 2432, St. 1931.
16751 31139		17015 31641	P. 81.
16753 31185		17020 31690	G. 2433. St. 1932.
16757	St. 1899.	17029 31691	D 4000
16765	R. 5678, P. 304.	17035	R. 5806.
16766 31202 16768	G. 2407. B. Z. 419.	17036 31708	
16768 16771	R. 5679.	17039 31717 17041 31679	R. 5808, G. 2434, P.
16772	B. Z. 419.	11041 01010	87, Br. 2203.
16775	G. 2411.	17044 31698*	01, 211 22001
16779	St. 1901.	17055 31710	
16782	G. 2412.	17062	P. 101.
16784 31233		17065	R. 5818.
16794	P. 310.	17068 31757	
16802	St. 1905.	17076 31778	S. 1011
16805	B. Z. 419 und 420.	17084	St. 1941.
16821	G. 2416. R. 5710.	17087 31828 17093 31861	
16844 16847	G. 2420.	17095 31601	R. 5849.
16848	G. 2418.	17100 31864	11. 0010.
16849	G. 2419.	17105 31830	R. 5854.
16862	- 10	10100 01000	
16864	St. 1912.	17109 31870   17110 31854 ³   17445 34884	P. <b>120</b> .
16866	II. JI WW.	11110 01002	
16867	G. 2417.	17119 31928	C 0400
16869	G. 2420.	17123 31920	G. <b>2439</b> .
16873 16885	P. 22. G. 2424.	17126 31871   17130	P. 124.
16893 31353	G. 2424.	17130 17137 31889	F. 122.
16896 31369	G. 2423, P. 30.	17138 31915	
16900	G. 2427.	17146 31906	R. 5869, G. 2440, P.
16908	R. (7).		130, Br. 2211.
16909 31385		17147 31959	G 2441.
16915	St. 1918.	17151 31945	
16918	G. 2429.	17156 319353	D VOTO
16923 31445	G. 2428, P. 42, Br.	17158 31934	R. 5879.
16930 31425	2193.	17161 17162 31946	P. 139.
16933 31460		17170 31971	
16938	St. 1920.	17186 31993	•
16942 31459	20. 20.00	17202 320273	
16945 31472		17205	R. 5895.
16949	R. (9).	17224 32090	
16952 31519		17225	R. 5908.
16962 315263		17232 32079	
16969 31521 16975 31536	G. 2430, P. 61.	17238 32109 17239 32103	
16980 31522	U. 443U, F. UI.	17239 32103	
16994 31573		17245 32107	
TANKE ATOLO		* . * ZO O * TO !	

# Ven 17 29 - 17 48 -.

	VOII 21 20		
Argeland, Lalande.	Verschiedene Kataloge.	Argeland. Lalande.	Verschiedene Katalege.
17247 32118		17437	R. 6007.
17251 32125		17440 32590	•
17252 32181		17443 32489	
17257	R. 5919.	17446 325323	
17258 32131	R. 5920.	17449 32512	
17260 32140	R. 5922, St. 1964.	17452 32583	
17262 32196	•	17453 32544	St. 1990.
17265 32189		17455 32511	B. Z. 430.
17270 32190		17459	St. 1991.
17277 32193		17460 32541	
17287 <b>3223</b> 9		17462 32586	
17294 32234		17466 32630	
<b>17297</b> 32213	R. <b>5933</b> .	17467	B. Z. 478.
17299	B. Z. 478.	17471 32563	
<b>17303 3227</b> 0		17474 32566	
17306	G. 2456, H. C. 130.	17481 32575	P. 252.
17315 32268		17482 32593	
17317 32251		17483 32635	
17320	G. 2447, P. 189.	17487 32595	St. 1998.
17323 32255	R. 5943, G. 2448,		
	P. 190, Br. 2227.	17493 32609	St. 1999.
17329 32312	R. 5946, G. 2451,		
	P. 198, Br. 2234.	17505 32663	
17332	R. <b>5944</b> .	17506 32676	a a.a.
17341 32409	- waw.	17509 32641	G. 2467.
17344	R. 5951.	17511 32725	
17353 32363	D 4000	17515 32672	
17354	R. 5960.	17516 32733	
17358 32342		17518 32719	D 0044 C 0400
17361 32377		17522 32687	R. 6055, G. 2470.
17367 32360		17526 32698	
17368 32412		17531 32769	D (Y0)
17369 32361	D ROAD C STAR	17536	R. (52).
17370 323583	R. 5970, G. 2455,	17539 32708	R. 6069.
	P. 211, St. 1970. Br. 2233.	17540 32790	R. 6078, G. 2475,
18989 99111	P. 220.		P. 286, St. 2008, Br. 2251, A. 417.
17373 32414 17374 32374	P. 220.	17543 32791	R. 6079, G. 2477,
	R. 5974.	11949 92181	P. 287, Br. 2252,
17375 17381 32395	St. 1974.		A. 418.
17384 32391	St. 1874.	17544 32713	A. 410.
17393 32447		17545 32738	
17404 32468	P. 232.	17546	R. 6072.
17406	P. 224.	17550 32783	10. 0012.
17410 32451	R. 5996.	17555 32786	
17413 32482	P. 237.	17575 32842	
17417 32454	R. 6001.	17580 32814	
17419 32488	AL WYVE	17582 328053	
17426 325023	R. 6006, G. 2461,	17589 32834	R. 6109, G. 2481.
1.280 0800	P. 241, Br. 2238,	17592	G. 2482.
	A. 415.	17594 328713	
17430 32474	R. 6005.	17596 32853*	
17432	B. Z. 478.	17600 328633	
17436	St. 1984.	17607 328833	
	- · -		

Von 17^h 48^m - 18^h 8^m.

	VOII 11 40	_ 10 0 .	
Argeland. Lalande.	Verschiedene Kataloge.	Argeland. Lalande.	Verschiedene Kataloge.
17613 32926	_	17800 33273	R. 6218, G. 2502,
17615 32953			St. 2050.
17621 32899		17802 33315	
17633 32955		17803	R. <b>6221</b> .
17635 329243		17811 334528	
17639	G. 2486, P. 306.	17814 33296	R. 6227.
17640 32922	R. 6134, G. 2487, B.	17821	St. 2051.
	Z. 478.	17822 33331	
17641 33030		17827 33369	
17643 329873		17829 33326	
17648 · ·	St. 2019.	17838 33337	G. 2510.
17649 33024		17841	G. 2511.
17650 32960°	G. 2488, P. 316, St.	17844 33354	
	2022, Br. 2263, R.	17845 33406	St. 2056.
17659	R. 6149. [6140.	17848 33409	
17661 33011		17849 333634	G. 2513.
17663 32981	R. 6151, G. 2489.	17854 33399	
17671 33046	D (00) C 0404	17858 33486	
17673 33006*	R. (66), G. 2491.	17864 33445	
17674	R. 6161.	17865 33389	
17675 33032	G4 0004	17867 33398 17870 33400 ³	U 0515
17682	St. 2031.	17871 334072	G. 2515. G. 2516.
17683 33083 17685 33043*	G. 2492, P. 335, St.	17875 33396	R. <b>6264</b> .
11000 00040~	2032, Br. 2267,	17880	R. 6268.
	2032, Br. 2201, A. 420.	17886 33420	R. 0200.
17689 33057	A. 450.	17889	R. 6273, B. Z. 430.
17691 33099		17892 33464	n. 0213, D. 2. 430.
17700 33146		17897 33442	
17703 33094	G. 2494.		G. 2518.
17707 33108	St. 2035.	17905 33593	G. 2010.
17711 33277	<b>31. A000.</b>	17906 33485	
17726 33128	G. 2496. P. 353.	17907 33471	
17734 332503	P. 370.	17910 33582	
17745 33166		17911 33479	
17749 33311		17920 33487	
17752 33292*		17926	R. <b>6293, Q. 2523</b> .
	P. 380, Br. 2287, A.	17927 33527	
	<b>422</b> .	17928 33551	
17760 33196		17931 33553	
17768 33217		17941 33544	R. 6306.
17770 33225		17946 33587	
17775 33209		17947 33579	R. <b>6316, G. 2526</b> .
17777 33304	R. 6211, G. 2504,	17958 33586	
10000 00010	P. 382, Br. 2289.	17960 33630	D 4000
17778 33248		17963	R. 6328.
17785 33224		17967	G. 2528, St. 2071.
17786 33230	C4 B040	17969 33 <b>6</b> 20	R. 6330, G. 2527.
17787 33232	St. 2049.	17976	R. 6331.
17789 33247	R. 6213.	17979 33619	D 8998
17790 33265	D WOTE	17983 17985 33625	R. 6336.
17792 17793	R. 6215.	17985 33625	
	R. 6216.		P. 31.
17794 33258°		17998	r. ui.

## Von 18^h8⁻ - 18 28⁻.

Argeland. Lalande.	Verschiedene Kataloge.	Argeland, Lalande.	Verschiedene Kataloge
17999 336614	R. 6346, G. 2531.	18179 34091	
18000 33770	R. 6352, G. 2534,	18184	R. 6481.
	St. 2076.	18188 34109 18193 34094* 18204 18205 34194 18209 34166 18212 34187	
18008 33722		18193 34094°	R. 6485, G. 2559.
18009	R. 6353.	18204	R. <b>65</b> 00.
18010 33711	D 4044	18205 34194	
18011	R. 6355.	18209 34166	
18016 33750		18212 34167 18213 34198	
18023 33764 18030	R. 6365.	10419 93170	R. 6505.
18031 <b>3376</b> 8	11. 0300.		R. 6507, G. 2565.
18038 33791			
	R. 6380, G. 2536. G. 2535, B. Z. 430, 478.	18221 341613	
18047 33754	G. 2535, B. Z. 430,	18228 34184*	R. 6517.
20011 00101	478.	18238 34209 ³	R. 6521, G. 2569.
18051 33774		18241	R. 6522.
18053 33773		18244 34293	Br. 2331, A. 427.
18056 33826		18246 342413	R. 6526, G. 2570,
18061	R. 6391, G. 2539.		P. 98, St. 2097,
18070 33811	1		Br. 2328.
18071 33930	D 4000	18248 34246	a aver
18072 33814	R. 6398. R. 6399.	18260 34247	G. 2571.
18074	R. 6399. R. 6410, G. 2542. R. 6413, G. 2543, P. 54, Br. 2309,	10200 34314	R. 6536, G. 2572.
10004 33038	R. 0410, U. 2042.	10210	R. 6543, G. 2573.
10001 33008	D KA R. 2200	18275 34602	G. 2581, P. 113,
	A. 425.	10010 04040	Br. 2334.
18096 33882	n. Tau.	18276 34295	G. 2574.
18097 33900°		18277 343048	R. 6554, G. 2578.
18099	B. Z. 430, 478.	18281 34470	
18102 33922	-	18282	G. 2579.
1810 <b>4 3386</b> 8	G. 2544.	18283	R. 6560.
18107	R. 6431.	18281 34470 18282 18283 18286 34321 18288 34332	
18109 <b>33963</b>	P. 61.	18288 34332	R. 6564.
18111	R. 6433.	18291 18292 34377 18293 34361 18301 34348 18306 343672	R. 6565, G. 2582.
18112 34056	C 04/4 D 0404	18292 34377	C 8404
	G. 2545, R. 6435.	18293 34301	G. 2584.
18125 18128 33980	R. 6440.	18306 34367 ²	R. 6570, G. 2583. G. 2585.
18132	R. 6447.	18312 34425	
18137 33969	n. offi.	10012 37720	2336, A. 429.
18138 34008		18314 34408	R. 6578, G. 2590.
18143 34044	G. 2554, P. 67, Br.		10 00 to, or 2000.
10110 01111	2316.	18317 34539	
18144 34032		18330	R. 6591.
18145 34050°		18332	R. 6594.
18147 33986°	G. 2549.	18335 18339 34567	R. 6595.
18161	R. <b>6467, G. 2553.</b>	18339 34567	
18168 34041	R. 6470, G. 2555.	18345 34450	R. 6603, G. 2594.
	R. 6473, G. 2556.	18347	R. 6605.
18175 34126	G. 2561, P. 80, Br.	18356 34472	G. 2597.
10180	2322.	10350 34401	K. 0008.
		18363 18364 34487	n. 001V. C. 2800
18177	R. 6479.	10304 34407	u. 4000,

Von 18^h 29^m — 18^h 51^m.

	, , , , , , , , , , , , , , , , , , , ,		
Argeland. Lalande.	Verschiedene Kataloge.	Argeland. Lalande.	Verschiedene Kataloge.
18384 34563	G. 2606, St. 2117.	18567 34968	St. 2148.
18385	R. 6613.	18570 35082	•
18386 34541		18572 34913	
18387 34535	G. 2603, P. 135.	18580 34934	R. 6712.
18390 34611	-	18586 34955	R. 6719, G. 2652.
18397 34566	G. 2609, P. 139, Br.	18591 35041	
	<b>234</b> 0.	18592 35006	P. 199.
18 <b>399</b>	G. 2613.	185 <b>9</b> 3 <b>349</b> 60	G. 2654, B. Z. 478.
18408 34579		18598	R. 6731, G. 2659.
18409 34580	G. 2612, St. 2119.	18604 35000	St. 2161.
18412	R. 6621, G. 2614.	18609	St. 2164.
18 <b>42</b> 9	R. 6626.	18617	R. 6745.
18432 34738		18623 35158	P. <b>221</b> .
18436 34702		18628	G. 2670, Br. 2370,
18443 34649			St. 2169.
18450 34806		18629 35072	R. 6755, G. 2669.
18452 34662		18632	P. 212.
18462	G. <b>2</b> 625.	18640 35113	R. 6765, G. 2671.
18465 34732		18646 351198	G. 2672.
18467 34851		18651	R. 6773.
18468 34757	St. 2134.	18653 35143	R. 6778, G. 2675,
18472 34708	G 0000 G4 040V	10000 001000	B. Z. 485.
18474	G. 2630, St. 2135.	18656 351533	R. 6779, G. 2677.
18476 348743		18657	G. 2681.
18477 34802		18663 35232	G 0000 D 7 40V
18479 34850	D 4490	18665 35164	G. 2679, B. Z. 485.
18489	R. <b>6639</b> .	18668 35246	G 8401
18490 34744	D 0011 C 9039	18673	G. 2684.
18493 34762	R. 6641, G. 2632, P. 165, St. 2136.	18675 35256	Br. 2382.
18499		18678 35323 ⁸	P. 229.
18499 18500 34886	G. 2634, Br. 2348.	18680	P. 229. B. Z. 485.
18510 34817	G. 2640, P. 173.	18684 18685	R. 6802.
18514 34783	G. 2010, F. 173.	18685 18689	R. 6817.
18517	G. 2641, P. 174.	18691 35357	R. 0011.
18523 34808	R. 6646, G. 2638,	18694	R. 6822, G. 2691.
10000 07000	P. 170.	18701 35266	G. 2692.
18524 34856	1. 110.	18703	R. 6838, G. 2694.
18528 34972		18714 353054	R. 6844, G. 2696.
18532 35017		18719	R. 6851.
18533 34827		18720 35326	R. 6852, G. 2699.
18534 34918	P. 186.	18721	R. 2857.
18536 34829	2. 2001	18724 35399	
18539	G. 2645.	18725	G. 2705.
18540	R. 6659.	18726 35342	R. 6860, G. 2702.
18543 349943	G. 2655.	18740 353793	R. 6873, G. 2709.
18551 349542		18742 35387	R. 6875, G. 2710.
18553 34937		18743	G. 2714.
18555 34973		18761 354233	R. 6896, G. 2718,
18559	R. 6674.		P. 254.
18561 34883		18766	G. 2720.
18564 34885	R. 6683, G. 2646,	18767 35442	
	St. 2146.	18779 35559 ³	R. 6920, G. 2726,
18565	R. 6685.		P. 279, Br. 2404.

## Von 18^h 51^m - 19^h 11^m.

Armeland Lalanda	ı	Armeland Lalanda	Verschiedene Kataloge.
$\sim\sim\sim$	Verschiedene Kataloge.		
18783 35466 18784 35479		18 <b>926</b> 18 <b>927</b> 35915	R. 7108.
18789	R. 6928.	18930	G. 2768, P. 3, Br. 2416.
18790 35563	R. 0826.	18931 35914	St. 2235.
18792 35495	G. 2722.	18942 35930	St. 2233.
18794 35508	R. 6938, G. 2723.	18943	G. 2771.
18795	R. 6947, St. 2201.	18951	R. 7122.
18796 35531	n. 0011, Di. 22011	18954 36042	11. 11.22.
18797 35535	R. 6949.	18958 35982	
18803 35627		18959 35984	R. 7131.
18805	St. 2204.	18960 35987	
18806 35571	R. 6964.	18962 36006	R. 7138.
18811	G. 2732.	18966 36012	
18816 35675		18967	St. 2247.
18819	R. <b>6977</b> .	18969 36058	-
18820 35614°	G. <b>2733</b> .	18972	R. 7151.
18823 35618	P. 285.	18973 36064	
18829 35708	•	18975 360312	R. 7153.
18835	G. 2742, St. 2209.	18978	R. 7154.
18836 35695		18979 36078	
18838 35679 ⁸	R. 7011.	18988	R. 7164.
18839 <b>35749</b> 3	G. 2748, P. 308, Br.	18990	R. 7168, G. 2776.
	2411.	18991 36071	R. 7170, G. 2777.
18843 35723		18992 362063	
18845 35869			2440.
18846	R. 7021, G. 2747.	18993	R. 7177, B. Z. 485.
18847	G. 2752.	18997	R. 7180.
18849 35705°	R. 7029, G. 2746, P.	18998	R. 7181, G. 2779. R. 7186, G. 2781, St. R. 7187. [2251.
10000 00001	299.	19002	R. 7180, G. 2781, St.
18850 35751	D 7022	19005	R. 7200.
18852	R. 7033. B. Z. 485,	19015 19032 36273	R. 1200.
18853 18858	R. 7038, G. 2750, P.		
10090	307, Br. 2408.	19033 19036	R. 7212.
18859	R. 7039.	19039	R. 7219.
	R. 7042.	19042	P. 37.
18863	R. 7048.		R. 7230, G. 2786.
18868	R. 7057.	19052 362493	R. 7238, G. 2789.
18873	St. 2224.	19061	St. 2258.
	R. 7058.		R. 7259, G. 2791, P.
18875	R. 7062.	19066	52, Br. 2433.
18879 35835		19067 36424	R. 7262.
18887 35967			P. 81, hat starke E. B.
18893	R. 7073.	19069	R. <b>7264</b> , G. <b>2793</b> .
18897 35997		19072 36340	G. 2796, P. 63, Br.
18898	R. 7077.		<b>244</b> 3.
18900 35827	G. <b>27</b> 58.	19073 36381	
18902 359054		19077 36354	
18904 35840		19078 36318	G. 2794.
18906 35839	R. 7080, G. 2759.	19080	R. 7270.
	R. 7083.	19087 36335	R. 7274.
18911	R. 7089.	19088	G. 2798.
18914	R. 7096.	19089	R. 7276.
18922	P. 6.	19090 36425	

Von 19' 11" - 19' 31".

Argeland, Lalande.	Verschiedene Kataloge.	Argeland, Lalande.	Verschiedene Kataloge.
19097	R. 7290, G. 2804,		A. 444.
19097	P. 74, Br. 2444.	19233	R. 7461.
19098	R. 7291.	10232 368248	G. 2841, P. 140.
19098 19100	R. 7302, G. 2803.	19890 30082	R 7473
19101	R. 7304.	10010	D 7488
19102 36408	R. 7507.	10252	R 7487 G 2847
	G. 2806.	19263	R. 7473. R. 7488. R. 7487, G. 2847. R. 7501. G. 2850.
	R. 7317.	19270	G 2850
19112 36519	N. 1011.	19272 37035	d. <b>2</b> 000.
	G. 2808.		R. 7513, G. 2852,
	R. 7320, G. 2809.	10271	P. 156.
	G. 2810.	19278 36988	
	R. 7325.	19283 37063	
19121 36510	R. 7330, G. 2811,		G. 7539.
	P. 90, Br. 2449,	19293	R. 7548.
	St. 2274, A. 440.	19295 37005	
19127 36534		19296	R. 7558.
19134 36615		19297 37129	•
19135 36485	R. 7338.	19298	G. 2855.
19136 36512		19299	R. 7561.
	P. 91, Br. 2447.	19300 37124	
19139 .	P. 98.	19301	P. 167.
19140 36565	P. 99.	19303	B. Z. 485.
19144	R. 7354.	19306	B. Z. 485.
19145 365434	R. 7353, G. 2815.	19307 37032 19308	
19147	G. 2819, P. 109.	19308	G. 2856.
19148	G. 2816.	19311 37049	G. 2858.
	R. 7359, G. 2817.		R. <b>7590</b> .
19151 36608		19318 37072	
19155 36571			R. 7601, G. 2861.
19157	R. 7367.	19333 37102	G. 2863.
19159	G 2821.P.108.8t.2284. (	19336 37241	G 8044
19164	R. 7371.	19337 37122	G. 2805.
	R. 7375.	19338	R. 7619, G. 2866.
19176	G. 2823.	19342	G. 2867.
19182 36711	R. 7386, R. 2826.	19349 37101	R. 7632, G. 2871, P. 191.
	R. 7400, G. 2827.	19351	F. 191. G. 2869.
19192 19195	R. 7404.	19351 1935 <b>3</b>	R. 7634, P. 193.
	St. 2290.	19359	G. 2872.
19205 36851	St. 2280.	19360 37164	G. 2012.
	R. 7420, G. 2830.	19365	St. 2318.
	R. 7426, G. 2833.	19365 19368 37177	G. 2873.
19210	G. 2835.	19370	R. 7653, G. 2875.
19213	0490 O 4040 G	10070 07990	D 2000 C 9070
-2-10	P. 141, Br. 2472.	19380	St. 2320.
19216	R. 7427.	19384	R. 7675.
19217	R. 7437.	19389 37328	St. 2327.
	G. 2836, P. 131.	19394 37260	
19225 36822	,	19395 37266	G. 2880.
19228 36775	G. 2837.	19398 372713	St. 2320. R. 7675. St. 2327. G. 2880. G. 2881, P. 211.
	G. 2839.	19355 37308	-
19232 36839		19403	G. 2885.
	2471, St. 2300,	19404	R. 7695.

## Von 19¹ 31" - 19 54".

Argeland, Lalande,	Verschiedene Kataloge.	Argeland, Lalande.	Verschiedene Kataloge.
19410	R. 7701.	19633 37818	
	R. 7701.		G. 2941.
19412 37286	1	19635 37794	
19413 37339		19657	G. 2947.
19414 37288		19660 37827	
19421 37293	G 8000	19663 37923	D # 40#
19425 37305	G. 2888.	19665	B. Z. 485.
19427	R. 7713.	19666	B. Z. 485.
19428 37309	<b>6</b>	19671 37937	St. 2373.
19430	St. 2330.	19676	G. 2952.
19434 37454		19687	B. Z. 322, 485.
19436	R. 7724.	19689	P. 316.
19437	R. 7725, St. 2331.	19691 37886	
19440 3733 <b>2</b>		19695	G. <b>2953</b> .
19441 37340	R. 7726b, G. 2894,	19701 37893	
	P. 220, Br. 2496,	19712 37934	G. 2957.
	A. 446.	19714 37948	G. 2958, P. 325, Br.
19 <b>44</b> 3	R. 7729.		2542.
19 <del>444</del>	R. 7731.	19715	B. Z. 322.
19 <b>44</b> 6 37418		19720 37957	
19449 37389		19722 37964	
19450 37355	R. <b>7736</b> .	19727 38071	
19452 373581	R. 7738, G. 2895,	19728 37976	
	P. 223, Br. 2498,	19729 379683	G. 2962.
	A. 447.	19737	G. 2968.
19455	St. 2333.	19738	R. 7847.
19457	R. 7757, G. 2898,	19740 37997	G. 2963.
	P. 236, Br. 2505,	19746 380243	G. 2967.
	A. 448.	19750	P. 347.
19460 37429		19751	G. 2974, P. 343, Br.
19463 37400			2554, St. 2383.
19466	R. 7774.	19753	B. Z. 485.
19472 37417	R. 7775, G. 2897,	19754 38040	G. 2971, B. Z. 322,485.
10112 01111	P. 233.	19756 .	B. Z. 485.
19473 375753		19759 38058	2. 2. 200.
19476 374453	G. 2904.	19762 38062	
19487	P. 251.	19772 38070	
19492 374762	G. 2906.	19775	G. 2975.
19497	G. 2907.	19777 38125	G. 2010.
19512	R. 7816, G. 2917.	19779	G. 2976. P. 349, Br.
19513	R. 7815, P. 259.	10	2552.
19517 37528	10. 10.10, 11. 400.	19800 38133	2002.
19532 37670	St. 2347.	19812 38201	
19533 37669	O. 2011.	19815 38213	•
19534 37554		19820	R. 7866, G. 2992,
19547 37703		19822	G. 2993.
19554	R. 7826, St. 2349.	19823	G. 2991.
19561 376108	11. 1020, 51. 2020.	19825 381962	
19570 37628*		19834	P. 370.
19593	R. 7830, G. 2935.	19840	R. 7882. G. 2999.
19599 37806	it. 1000, U. 4000.	19843	Br. 2566.
10000	G. 2936, P. 284.	19848 38278	DI. #000.
10014	P. 292.	19851	R. 7899.
7 7 7 7 7 7 7 7 7 7 7 7 7 7 7 7 7 7 7 7	P. <b>292.</b> P. <b>293.</b>	19858 38306	AL. 1000.
19621	г. 200.		C4 9208
19622 37777	1	19860	St. 2396.

# Von 19^h 54^m — 20^h 12^m.

Argeland, Lalando.	Verschiedene Kataloge.	Argeland, Lalande.	Verschiedene Kataloge.
19861	G. 3002.	20107 38737	G. 3056.
19864 38379		20110	G. 3057.
19871	St. 2399.	20118	R. 8098, G. 3060,
19872 38300			P. 42.
19876	G. 3003.	20132	G. 3065.
19879	R. 7922, G. 3008.	20134 38774	St. 2432.
19888	R. 7930, G. 3012.	20139	G. 3061.
19890	G. 3011, P. 391.	20143 38781	
19904	G. 3019.	20152 38832	
19905	G. 3016.	20153 38793	
19907 38381	G. 3015, B. Z. 322,	20157 38790	
	485.	20159	St. 2435.
19911	R. 7947, G. 3021.	20163	G. 3070.
19919 38421		20168 38822	
19924	G. 3025.	<b>2</b> 01 <b>69</b>	G. 3082.
19929	R. 7965.	20173	G. 3076.
19939 38448		20175	R. 8122, St. 2439.
19944	G. 3026.	20184	G. 3085.
19957 38464	G. 3027.	20189	R. 8124.
19960 38469		20195	G. 3083.
19972 38492	D 7004 D 77 000	20199	B. Z. 322.
	R. 7991, B. Z. 322.	20202 38867	D 7 988
19982 38519		20207	B. Z. 322.
19983 38525 ² 19985 38521		20214 38905° 20220 38918	G. 3087. R. 8142, G. 3089,
19994 38562	· ·	20220 30810	P. 59, Br. 2601.
20000 38563		20222	G. 3090.
20000 38363		20229 38935	R. 8145, G. 3091,
	G. 3035.	#U### #U###	P. 62, Br. 2603.
20009	R. 8020, B. Z. 322.	20231 38937	P. 63.
20010 38578	i i	20241	R. 8147, G. 3097,
20012	G. 3039.	li .	P. 71, Br. 2610.
20017	G. 3040.	20244 38950 ³	
20027	R. 8041, G. 3041.	20251	B. Z. 322.
	G. 3042.	20252 389643	
20041 38675	R. 8046, G. 3048,	20253	B. Z. 322.
	P. 21, Br. 2587.	20255	R. 8154, G. 3103.
20049	B. Z. 322.	20257	G. 3107.
20053	B. Z. 322, 485.	20263	R. 8158, G. 3102,
20056 38645	D 0040 C 004W	00001 00080	P. 74, Br. 2611.
20059 38652	R. 8053, G. 3047.	20264 38976	C1 0110
20062	G. 3051, St. 2423.	20266	St. 2448.
20068 38658	D 7 402	20269	G. 3104.
20071 20078	B. Z. 485. R. 8067.	20271 38993 20272	G. 3106. R. 8164, G. 3112.
20078 20084	B. Z. 485.	00000	G. 3100, St. 2446.
20085	G. 3055, P. 30, St.	20282 20286 39007 ³	G. 3108, P. 78, Br.
	2426.	20200 38001	2612.
20089	R. 8073.		G. 3110.
20091 .	G. 3053.	20294	R. 8172.
20093 38709		20298 39048	
20095 38815	G. 3066, P. 47, Br.	20312 .	R. 8183.
00100 00000	2604, A. 460.	20314 39058	
<b>2</b> 0103 38 <b>773</b>	G. 3059, Br. 2592.	20315	G. 3123.

## Von 20° 12" — 20° 29".

		, von 20 12	20 20 .	
	Argeland, Lalande.	Verschiedene Kataloge.	Argeland. Lalande.	Verschiedene Kataloge.
•	20319 · · · · 20320 · · ·	R. 8187.	20536 39535	
	<b>2</b> 03 <b>20</b>	R. 8189.	20539	G. 3182.
	20328	R. 8198, G. 3129,	20544	R. 8328, G. 3183.
		P. 99, Br. 2620.	20549 39490	
	<b>20333</b>	G. 3127.	20551	G. 3185.
	20335 39092	St. 2455.	20552	G. 3189, R. 8337.
	20342 39105	G 0404	20553	R. 8338.
	20346 39113*	G. 3131.	20555 39487	D 0949 C 9400
	20349 39124	0 9494	20555	n. 5342, G. 3184.
	20300	D 9940 C 9496	20000	C 2498 D 480 B.
	20366 39149	R. 8187. R. 8189. R. 8198, G. 3129, P. 99, Br. 2620. G. 3127. St. 2455. G. 3131. G. 3134. R. 8210, G. 3136.	EUBUI JOHON	<b>2639.</b>
	20369 39158		20583 39503	2639.  R. 8347, G. 3192. R. 8354.  St. 2485, H. C. 142. H. C. 143. R. 8375. G. 3194, St. 2486.  G. 3199. R. 8389, G. 3196.  R. 8395, G. 3201, P. 192. Br. 2645.
	20370	R 8214.	20566	R. 8347, G. 3192.
	20375	R. 8214. G. 3136.	20573	R. 8354.
	20380 39184	G. 01000	20577 39528	
	20382	G. 3141. R. 8224, P. 112.	20588 39684	St. 2485, H. C. 142.
	20385	R. 8224, P. 112,	20596 39700	Н. С. 143.
	20392	R. 8226.	20608	R. 8375.
	20394	R. 8227, G. 3145.	20612	G. 3194, St. 2486.
	<b>2</b> 0395 39 <b>206</b>		20621 39592	
	20399	G. 3146, B. Z. 322.	20624	G. 3199.
	20411	G. 3150.	20625 39591	R. 8389, G. 3196.
	20418 39260	~ ~ ~ ~	20638 39623	D 000H G 000H
	20426 39284	G. 3153.	20643 39618	R. 8395, G. 3201,
	20429 39363	G 9484	90044	P. 192. Br. 2645.
	20430 39273	G. 3153. G. 3151. G. 3152. R. 8261, G. 3159, P. 135, Br. 2628. G. 3158. G. 3161. R. 8270. G. 3163. R. 8278. G. 3168.	20044	R. 8397, G. 3288.
	20433	G. 3152.	20045	R. 0400.
	20430	n. 0601, G. 3198,	200 <del>1</del> 0	U. 3402. D. 9409
	20208	F. 135, Dr. 2026.	20883 30888	G 3205 P 499 St
	20430 38300 20444 <b>30</b> 340	G 3164	20000 00000	2490
	2044R	R. 8270.	20888	G. 3207.
	20453 39325	G. 3163.	20670	R. 8411, G. 3211.
	20458	R. 8278.	20677	P. 208, Br. 2655.
	20461	G. 3168.	20681 39673	G. 3210, P. 203, Br.
	20463 39331	R. 8278. G. 3168. St. 2470. R. 8283. R. 8288.		2647, St. 2491.
	<b>20470</b> .	St. 2470.	20690	G. 3214.
	20471 39340	R. 8283.	20693 <b>39698</b>	
	20475	R. 8288.	20715	G. 3222.
	20476 39369		20719 39749	
	20486 39445	G 0400 B # 000	20725 39764	G. 3224.
	20487	G. 3169, B. Z. 322.	20726 39751*	G. 3223.
	20490	St. 24/b.	20731 38708	D 0469. C 2920
	90400 90400		20132 90722	n. 0402, G. 3230. D 9484
	20488 38400	G. 3169, B. Z. 322. G. 3169, B. Z. 322. St. 2475. G. 3176. St. 24777. H. C. 139. P. 162. P. 182. H. C. 140. G. 3180.	20133 20738 30778	п. 0 <del>101</del> . С 3998
	20817	St 2477	20740 397803	G. 3229.
	20518 39KKA*	H. C. 139.	20742	G. 3231.
	20519	P. 162.	20745 39795	G. 3232.
	20521 39439		20751	G. 3234.
	20523 395463	P. 182.	20757 39807	G. 3235.
	20524 39585	н. С. 140.	20759 39808	P. 226.
	20534	G. 3180.	20764 39818	

## Von 20^h 29 - 20^h 47 -.

Argeland. Lalande.	Verschiedene Kataloge.	Argeland. Lalande.	Verschiedene Kataloge.
20778	G. 3238, B. Z. 322.	21032 40171	G. 3275.
20780 398453	G. 3239, P. 236.	21040 40178	
20787	G. 3241, P. 257, Br.	21049	B. Z. 322.
	2673.	21051	P. 326.
20790	G. 3237. G. 3238, B. Z. 322. G. 3239, P. 236. G. 3241, P. 257, Br. 2673. P. 244. R. 8495. P. 252.	21058 40200	P. 321.
20795	R. 8495.	21067	G. 3283, P. 335, Br.
20796	P. 252.		2697.
20827 39919		21071 40304 ²	
20829 40004		21073 40221	R. 8558, G. 3278.
<b>20</b> 830 .	G. 3246, P. 265.	21074 40226	
<b>20837</b>	G. 3247.	21076 40301	
20838 39953°	G. 3246, P. 265. G. 3247. G. 3245. St. 2501. R. 8521. P. 263. H. C. 144.	21073 40221 21074 40226 21076 40301 21078 21090 21095 40253*	G. 3281, P. 332.
20842 39949	St. 2501.	21090	G. 3282.
20846	R. 8521.	21095 40253	G. 3285.
20847 39952		21099 40251	R. 8568, G. 3284,
20856 39961	P. 263.	21102	R. 8577, G. 3286,
20859 40071	H. C. 144. R. 8525, G. 3251,		P. 338, Br. 2698,
20864			St. 2524, A. 478.
00000 000019	P. 279, Br. 2682.	21111	G. 3288.
20869 399843	D- 0074	21113 40201	K. 8981.
20879 39986°	D 0290 C 9920	21121 40270	G 2000
<b>20892</b>	R. 0928, G. 329V,	21128 40280	G 3280.
90000	D GRAU	21132 40281	D 6KU3
90004 40084	R. 0930.	21130	R. COOS. D. CRAM
20301 40004	D 980	21138	G 330K
20303 90004	P. 279, Br. 2682.  Br. 2674. R. 8529, G. 3250, St. 2509. R. 8530. P. 280. G. 3254. G. 3255.	91140 4020	C 3208
20043	G. 3253.	21144	R 8599.
20914 40021	G. 3255. G. 3259.	21145 40302	16. 66667
20918	G. 3255.	21147	G. 3296, P. 349.
20927	G. 3259.	21151	R. 8606.
20933 40116		21155 40317	
20940 400495	G. 3257, P. 285, Br.	21159	R. 8618.
	2679,St.2512,A.474.	21161 40328	St. 2528.
<b>20944</b>	G. 3262.	21164	R. 8620.
<b>20948</b>	R. 8538.	21170	G. 3304.
<b>20956</b>	G. 3263.	21173	R. 8625.
<b>20966</b>	G. 3264, P. 293, Br.	21175	G. 3303.
	2683.	21176 40347	
20982 40231	G. 3276, P. 331. Br.	21177	G. 3305.
00000 10100	2704. н. С. 147.	21185	G. 3307.
20988 40108	G 9947	21188 40378	G 2000
20993	G. 3207.	21109	G. 3308.
90004 40492	r. 302. C 2922	94904 40984	P. 3/4.
20880 40129 94004	D QKAK	94904	D QAAQ
94009	n. 6949. G 3970	21204	D QAAR
21009	G 3274	21219 40407	III OUTU.
21010 A0158	G. 3269.	21222 40488	
21012 40215	G. 08001	21223	G. 3312.
21016	G. 3254. G. 3253. G. 3255. G. 3259. G. 3257, P. 285, Br. 2679,St.2512,A.474. G. 3262. R. 8538. G. 3263. G. 3264, P. 293, Br. 2683. G. 3276, P. 331. Br. 2704. H. C. 147. G. 3267. P. 302. G. 3266. R. 8545. G. 3270. G. 3274. G. 3269. G. 3271. P. 315. B. Z. 322.	21225 40420	G. 3311.
21019	P. 315.	21226	R. 8647.
21024	B. Z. 322.	21231 40428	G. 3313.
•		1	- · <del>-</del>

## Von 201 47" - 211 1".

Argeland. Lalande.	Verschiedene Kataloge.	Argeland. Lalande.	Verschiedene Kataloge. R. 8784, G. 3363. G. 3361. R. 8793, G. 3362, P. 437, Br. 2732, St. 2539. R. 8810, G. 3373, Br. 2749, A. 480, H. C. 152. R. 8811, G. 3364. G. 3365. R. 8816. R. 8817. R. 8822. R. 8826, G. 3366, P. 446, Br. 2735. G. 3368. R. 8840. G. 3369. G. 3377, Br. 2748. B. Z. 322. G. 3384. G. 3378, St. 2547. B. Z. 322. G. 3389. G. 3381. G. 3386. G. 3389. G. 3387. R. 8886. G. 3388. G. 3390. G. 3392. G. 3392. G. 3393.
21232 40429		21440	R. 8784. G. 3363.
21234 40436		94AKA	G 3381
21240	D SAKS	91479	R 8703 C 3362
21243 40439	R. 0055.	MITIM	P 437 Rr 2732
21243 40438	D 9857		St 2530
21251	D GARG	24478 40887	R 9840 C 2272
21253 21258	D QRR9	21710 70001	R- 9740 A 480
21230 · ·	C 334 K		ы. ж. ж. ж. ж. ы С 4к9
21261 21262	C 3399 D 380	94470	R 9944 C 3364
21268 40470	D 8877	94494	C 3385
21269	R 9879	9448K 40787	R 8848
21208	R. 8671, G. 3319.	21403 40101	R 9847
21272 40489	C 3394	94497	R 8822
21279 40482	D 9877	94409 40708	R 8898 C 3388
21280	R 9870	EITER TOTO	P AAR Rr 2735
21289	R 9893	24409	C 3368
94904	R 8880	94 KU3	R 8833
21291 21293	B 8803	21203	11. 0000.
21294	G 3398	94847	Rr 2738
21295 · .	G 3328	94848	R. 8840.
21208 40516	R. 8699, G. 3327.	21510	G. 3369.
21299	G. 3329. P. 391.	21526 40895	G. 3377. Br. 2748.
21303	R. 8705.	21542 40848	B. Z. 322.
21308 40533	G. 3331.	21545 40857	
21309	R. 8713.	21549 40856	B. Z. 322.
21320	G. 3335.	21555 40868	2, 2, 322
21322 40552	G. 3334.	21557 40870	
21326	P. 400.	21560 409428	G. 3384.
21351 40694		21562	G. 3378, St. 2547.
21354 40581	Br. 2720.	21563 40976	•
21366	R. 8733, G. 3339.	21564	B. Z. 322.
21371 40627	Br. 2725. P. 412. G. 3341.	21566 40893	
21375 406292	P. 412.	21569	G. 3379.
21377 40640°	G. 3341.	21572	G. 3380.
21383 40648		21581 40919	
21393 40656		21589	G. 3382.
21395	R. 8748, G. 3346,	<b>2159</b> 0	G. 3381.
	Br. 2727.	21595 40929	G. 3383.
21405	R. 8753, G. 3347.	21599	G. 3386.
21407	R. 8754.	21600	G. 3389.
21408 40676		21603 · .	G. 3387.
21417	R. 8760, G. 3354.	21606 40947	
21418 40693	G. 3348.	21607	R. 8886. G. 3388.
21425	R. 8768.	21631	G. 3390.
21431	G. 3355.	21637	G. 3392.
	St. 2537.	21641	G. 3393.
21433	к. 8771.	21644 41040	C 2001 D 100
21435 40711	G. 3349.	21645 40984	G. 3391, P. 486.
21436 40720	R. 8748, G. 3346, Br. 2727. R. 8753, G. 3347. R. 8754. R. 8760, G. 3354. G. 3348. R. 8768. G. 3355. St. 2537. R. 8771. G. 3349. R. 8770, G. 3352, P. 429, St. 2536. R. 8774. G. 3356.	21651 40997	D GOOP
0.4.800	r. 429, St. 2536.	Z165Z	n. out.
21438	n. 8774.	21004 41U13*	R. 8919, G. 3394, P. 491, Br. 2750.
21439 40725	G. 3356.	01007 11017	r. 491, Br. 215U.
21443 21446	tr. 3300.	21007 41U17	R. 8921.
W177U	H. 0111.	21671 41022	

Von 21' 1" — 21' 19".

Argeland, Lalande.	Verschiedene Kataloge.	Argeland, Lalande.	Verschiedene Kataloge.
21676	R. 8924.	21959 41413	
21683 41032	G. 3396, P. 3.	21962	St. 2582.
21688	G. 3397.	21963 41430	G. 3425.
21687 41039	R. 8932.	21964	R. 9103.
21693	St. 2561.	21972	R. 9110.
21698	R. 8937.	21973	P. 83.
<b>21708</b>	G. 3400.	21976 41444	
<b>21</b> 716	G. <b>34</b> 03.	21979	R. 9112.
21719	R. 8951, St. 2562.	<b>21988</b>	R. 9115.
21720	R. 8952.	21993 41465	
21721	R. 8953, G. 3401.	21996 41558	G. 3433.
21722 41098		21999 41539	D 0101 G 0100
21724	St. 2568.	22004 414903	
21729 41113	R. 8963, P. 15.	22017	St. 2584.
21744	R. 8968.	22019 41621	н. с. 157.
21746 41128	R. 8967.	22020 41502	D 0490
21749 41244	D 0000	22032	R. 9130.
21751	R. 8969.	22045 41535	G. 3432. R. 9137.
21752	R. 8977. G. 3404.	22047 . •   22048 41551	R. 9137.
21753 21764	R. 8981.	22049 41602	
21765	R. 8983.	22062	G. 3437, P. 105, Br.
21772	G. 3406.		2786, St. 2589, A.
21777 41171	G. 5100.		489.
21780 41178		22063	R. 9144.
21789	R. 8998.	22065	G. 3435.
21790 411962	R. 8997, G. 3408,	22066	St. 2590.
	P. 32.	22069	R. 9145.
21791	G. 3409.	22071 41665	G. 3446.
<b>21803</b>	R. 9006.	22072 41574	
21804 41314		<b>22078</b>	R. 9148.
21807	R. 9014, G. 3410.	22087	R. 9151.
21824	R. 9050.	22088 41589	G. 3838.
	G. 3411.	22090 41660	
21843	R. 9035.	22091 41597	D VIAN
21852 41280	G 0440	22092	R. 9155.
21854 21858	G. 3413. R. 9049.	22095 41600 22098	R. 9157, G. 3442,
21862	R. 9052.	22098	P. 117, Br. 2788.
21867 41292	II. 8032.	22102 41626	1. 111, bi. 2100.
21873	R. 9057, G. 3415,	22105 41623	
21010	P. 51, St. 2576.	22128 41632°	G. 3441.
21894	R. 9071, G. 3416,	22136	G. 3448.
	P. 61.	22146 41650 ³	G. 3447.
21904	R. 9081.	22152	St. 2596.
<b>21</b> 916	R. 9089 St. 2580.	22153	G. 3452, P. 137, Br.
<b>21918</b>	R. 9088.		2796.
21920 41374		22156 41675	G. 3450.
21922	R. 9091.	22170	R. 9168.
21927 41377		22179 41695	D 0150
21933 41380	R. 9092.	22181	R. 9173.
21937	G. 3422.	22184 .	P. 133.
21950 41510	H. C. 156.	22193 41778	St. 2598.
21953	R. 9101.	22196	R. 9177.

#### Von 21^h 19^m — 21^h 37^m.

Argeland. Lalande.	Verschiedene Kataloge.	Argeland, Lalande.	Verschiedene Kataloge.
22199 .	R. 9178.	22470	G. 3503.
22202 41730	0110.	22482 42175	
22203	R. 9181.	22484	R. Z. 322.
22205	P. 142.	22490 422453	G. 3511. H. C. 184.
22206	G. 3455.	22404 42432	B. Z. 322. G. 3511, H. C. 164.
22211 41733	G. <b>9299.</b>	22508	R 7. 329
22214 41738	C RAKT	22500	G. 3505, P. 221.
22216 .	G. 3457. P. 141.	22522	Q. 3503, 1. 221.
22224 41746	1. 171.	22524 42482	R 7. 275
22234 41754		22529 42208	D. 2. 313.
22239	D 4AR		
22247 41763	P. 146.	33K3K	B 0344 dal
	R. 9190.	22532	C 8810
22251 22252		SOLIO TOTAL	G. 3515.
22256 41779	R. 9193, G. <b>3462</b> .	22545 42236	
22260	R. 9195.	22547 42177	
22268	G. 3464.	22550	R. 9320, G. 3510.
22275 41797	U. 9101.		G. 3513, St. 2615.
22276 41801	C 2166	22552	D 998
22285 41808	R. 9209, G. 3467.	22554 22562 42225	C 2890
22292	n. 8208, G. 3407.	2016 4666	C 2299
22296 41822	N. 8213. D 440	22569 42228 22576	D 0944
22247 22247	r. 198.	22592 .	G. 3527.
22317 22321	R. 9215. P. 159. R. 9230. R. 9234, P. 173.	99809 49889	G. 3921.
ANUNI	R. 9231.	99804	G. 3526, St. 2617.
22327	R. 9233.	22610	R. 9354, G. 3528,
22330	R. 9236, G. 3473.	22010	P. 241.
22332 41893	R. 9237, G. 3472,	99848 49984	r. 241.
22000 A1000	P. 168, Br. 2799.	22621	R. 9358.
22335 41968	G. 3479.	22626	R. 9361, G. 3535.
22336 41897	G. 5116.	***********	P. 247, Br. 2830.
22342	R. 9241.	22629 42291	1. ATI, DI. 2000.
22359 41930	G. 3476, St. 2604.	22634 42308	G. 3533.
22370 41949 ²	G. 3480.		
22381	B. Z. 375.	22636 22637	G. 3538
22397 42004°	G. 3487.	22641	R. 9367
22402 42013 ²	G. <b>51</b> 011	22644	R. 9368. G. 3836.
22405	P. 194.	22644	R. 9367. R. 9368, G. <b>3536</b> , P. 248, St. 2619.
22407	G. 3488.	22662	B. 9375.
22411 42024	a. 5155.	22664	G. 3537.
22415	R. 9264, G. 3493,	22669	R. 9380, G. 3540.
***************************************	R. 9264, G. 3493, P. 198, Br. 2811, St. 2609, A. 491. P. 205. G. 3492.	22673	G. 3542.
	St. 2609. A. 491.	22680 A2346	
22422	P. 205.	22684 42349	
22424	G 3492.	22687	G. 3545, P. 256, St.
22429 42037	0.0400		2621.
22430 42040	G. 3491.	22693	R. 9409.
22436	G 3492. G. 3490. G. 3491. R. 9270. Br. 2807.		G. 3550.
22441 42042	Br. 2807.	22696	G. 3551.
22444 42050		22701 42378	
22447	G. 3494.	22705 42376°	
22452	G. 3496.	22714	R. 9420.
22453 42070°	G. 3495, P. 202, Br.	22714 22715	R. 9422.
	2810, B. Z. 322, 375.	22716 42396³	G. 3554.

## Von 211 37" — 211 52".

	YOU 21 01	_ ~	
Argeland. Lalande.	Verschiedene Kataloge.	Argeland. Lalande.	Verschiedene Kataloge.
22722	St. 2623.	22979	R. 9608, G. 3596,
22726 42408	G. 3556.		P. 328.
22727 42446		<b>22993</b>	G. 3602.
22729	R. 9431, G. 3558,	22994 42764	
	Br. 2854, A. 497.	23000	<b>G. 36</b> 00.
22735	R. 9432.	23002	R. 9627.
<b>2274</b> 0 · ·	R. 9435.	23005	R. 9629, G. 3604.
22741	G. 3560.	23008 · · 23011 · ·	G. 3603.
22742	R. 9437, G. 3557, P. 277.	23011	R. 9634 duplex, G. 3608, St. 2644.
22759	R. 9446, G. 3561.	23012	G. 3607.
22760 42438		23015 427532	G. 3605, P. 335, Br.
22767	R. 9450.		2867.
22770 42449	G. 3563.	23016	R. 9637, G. 3606,
22772	P. 281.		P. 336, Br. 2868.
	P. 285.	23017	R. 9638.
22781	R. 9463.	23024 42758	B. Z. 375, 383.
22787 · · · 22809 ·	R. 9464.	23028 42761	D 0010
22809	St. 2628,	23029	R. 9648.
22820 42487	D 000	23038 42769	C4 0040 D 7 978
<b>22823</b> ·	P. 288.	23039 42776	St. 2646, B. Z. 375.
22834 . 22842 42517	R. 9483, P. 293.	23041 42785 23046 42790	
22545 42511	G. 3567, P. 295, Br.	23050	R. 9664.
	2855.	23052	G. 3615.
22862	R. 9512.	23054	R. 9665.
22883 42579	10. 0014.	23064 42821	
	R. 9538.	20001	2871.
22892 · ·	R. 9539. G. 3576.	23071	R. 9671, P. 347, Br.
• •	P. 306, Br. 2862,		2872, St. 2648.
22894	R. 9541.	23073	G. 3614.
22895	G. 3575.	23076	R. 9677.
22897 42599	D 0848	23079	G. 3620.
22903	R. 9547.	23080 42845	
22905	R. 9548. P. 309.	23084 42848 23089 42854	G. 3619.
<b>22908</b> · · <b>22910</b> · ·	P. 310.	23091	B. Z. 375.
22910 · · · 22912 · · ·			R. 9695, G. 3621.
EAGIE	St. 2633.	23096	G. 3625.
<b>22</b> 913 <b>4</b> 2620		23098 42863	
22920	G. 3581. G. 3582. G. 3583. G. 3590.		B. Z. 375, 383.
22922	G. 3582.	23100 23103 42901	G. 3631, P. 357, Br.
	G. 3583.	•	2880.
<b>22</b> 931 · ·	G. 3590.	23107	R. 9703.
22933 42682		23109 42867	
	G. 3587.	23111	н. С. 171,
22939 42695	D 040	23112 42874	G. 3624.
22941	P. 318.	23115	G. 3629. R. 9708.
22947	St. 2638. R. 9591, G. 3591,	23121	R. 9707, G. <b>3626</b> .
22954	64 9630	99497	D 0744
22959 42681	Jt. #UUD.	23130 42886	G. 3627.
22970	G. 3592.	23136	R. 9720.
22973 42702		23143	G. 3632.
			A3 *

#### Von 21 52 - 22 7.

Argeland. Lalande.	Verschiedene Kataloge.	Argeland. Lalande.	Verschiedene Kataloge.
23151	R. 9738, G. 3634.	23391 43216	_
23159	~ ~~~		R. 9849.
<b>2</b> 3173 .	R. 9749.	23401	G. 3688.
	G. 3638, P. 368.	23406 43223	
	R. 9764.	23401	R. 9851.
	G. 3648, Br. 2894.	23418	R. 9852.
23204	P. 373, Br. 2884.	23424 43198	G. 3687.
	R. 9767, G. 3642.	23426 43197	
23212	G. 3644. G. 3641. G. 3640. G. 3643. G. 3646. R. 9777.	23429 43201	
23213	G. 3641.	23431	St. 2669.
23215 42977	G. 3640.	23432 43244	
23218	G. 3643.	23435	R. <b>9855.</b>
<b>23228</b>	G. 3646.	23438 432053	G. 3689.
<b>23231</b>	R. 9777.	23452 432318	G. 3690.
23244 43014		23459	
<b>2</b> 32 <b>54</b>	R. 9788.		P. 4.
23260			R. 9874.
23261	G. 3651.	23480	G. <b>3693</b> .
23266	R. 9794, G. 3654.	23481 43253	G. 3692.
23269	St. 2656.	23481 43253* 23494 43270	D 0000 C 000W
23273 43077	G. 3660, Br. 2897.	23496 · •	R. 9886, G. 3695,
23278	G. 3667.	6686 47670	St. 2073.
23282 43045	C 9044 D 904 D-	23502 49610	D 44
<b>23285</b>	G. 3657, P. 385, Br.	%3515	F. 11.
00000	D OOOD C DOVE D	23510	n. 2023, U. 3020. D 49 S4 9874
<b>23286</b>	R. 9802, G. 3658, P.	23317 · ·	C 3807
92909	G. 3660, Br. 2897. G. 3667, P. 385, Br. 2892. R. 9802, G. 3658, P. 386. R. 9806. G. 3665, P. 394, Br. 2900, A. 504. R. 9815, G. 3666.	938978	D 18
23292	D 204 D. 2000	92890	C 3608
	A KOA	23838	G. 3701.
23298 43072	n. 001.	23553	G. 3702.
23306	R. 9815, G. 3666.	23555 43321	
23309 430873	0010, a. 0000.	23557 433222	G. 3699.
23314 43095 ⁸		23570	R. 9937.
23322	St. 2663.	23576	R. 9938.
23331 431179	G. 3669.	23588 43346 ³	
23334	G. 3670, P. 399, Br.	23590	R. 9949, G. 3704,
23343 43127	G. 3672.	23591 43349	G. 3703.
23346	2902. G. 3672. G. 3674, P. 401. R. 9834, G. 3676, Br.	23605 43395	G. 3711.
23356	R. 9834, G. 3676, Br.	23606 43360	G. 3705.
	2906.	23609	R. 9953, G. 3706, P. 26, Br. 2925,
23357	R. 9835.		P. 26, Br. <b>2925</b> ,
23358	R. 9836, G. 3678,		St. 2680.
	P. 408, Br. 2907,	23612	P. <b>27</b> .
	St. 2667.	23620 43380	G. <b>37</b> 08.
23362 43149°		23621 43376°	
23367	G. 3680.	23621 43376° 23624 23635	R. 9962.
23374	G. 3683.	23635	R. 9967.
23385 431773		23654	n. yy/0, G. 3/13.
23389	G. 3685, P. 415, Br. 2911.	23664	G. 3718, P. 40, Br. 2932.
23390	G. 3686, P. 416, Br.	23668	R. 9981.
	2910.	23671	G. 3719, St. 2685.

## Von 22' 7" — 22' 23".

Argeland. Lalande.	Verschiedene Kataloge.		Verschiedene Kataloge.
23674	G. 3723, P. 45, Br.	23983	G. 3755.
20012	2934.	23985	R. 10193, G. 3760,
23681	St. 2688.	• •	St. 2709.
23687	R. 9995, P. 42.	23986 .	R.10198,G.3757, P.92.
23696	G. 3724.	23989	G. 3759.
23699	P. 47.	23991 43781	R10201, G. 3761,
23716	R. 10016.		P. 95, Br. 2956,
23721	R. 10026, Br. 2938,		A. 514, St. 2710.
	P. 53.	23992 43774	
23726 43498		24000 43830	G. 3766.
23742	R. 1031, G. 3728,	24005	G. 3763.
	P. 54, Br. 2937.	24007	R. 10207.
23746	R. 10034.	24009 43792	
23766	St. 2695.	24018 43808	R. 10216, G. 3764,
23776	G. 3733, P. 64.		P. 99, Br. 2958.
23777	G. 3731, P. 61.	24024 43817	G. 3765.
23781	G. 3735.	<b>24</b> 036	G. 3770.
23784	R. 10070.	24037 43832	R. 10226.
23796 43559	R. 10073.	<b>24</b> 038	R. 10227.
23798	R. 10075.	24039 43826	
<b>23</b> 808	R. 10085.	<b>24</b> 041	G. 3767, P. 103.
23815	G. 3734.	24045	G. 3768.
23833 43593	B. Z. 383.	<b>24047</b>	R. 10232.
23836 43594°		24049 43843	G. 3769. P. 105.
23837 43599		24055 43857	
23842	R. 10104.	<b>24</b> 059 <b>43896</b>	G. 3776.
23847	R. 10108.	24061	R. 10244.
23851	R. 10113.	24064 43863 ²	
23854 43619		24073 43883	
<b>2</b> 38 <b>57</b>	G. 3741, P. 75, Br.	24079 43885	CI DEWENT D. ALM
00040 10010	2947.	24085	G. 3777, P. 115.
23858 43646	<b>5</b> 10110	24099	R. 10263.
23862	R. 10118.	24100	R. 10266.
23863 43653	B 40400	24107 43922	
23865	R. 10120.	24118 43932 24120 43935	
23867	St. 2701.	24120 43935 24125	G. 3784.
23869 43633 23873 43637	G. 3742.	24125	G. 3102.
	R. 10125.	24133	G. 3783, P. 128, Br.
	G. 3743.	64100	2969.
23883 23889 43644	G. 3143.	24135	G. 3782.
23899 43685		24139 43952	G. 010a.
23903 43657		24142	B. Z. 383.
23905	G. 3744.	24145 43964	<b>D. D.</b> 600.
23912 43664	G. 3747, P. 79, Br.	24151 44004	G. 3788.
MOUNT TOUT	2948.	24160	G. 3786.
23931	R. 10150, G. 3752.	24166 43990	J. 2100.
23937 43712	1. 10100, 0. 0100	24167 43991°	G. 3787, P. 132, Br.
23946 43728		~110. 20001	2970.
23957 43783	G. 3756. P. 96.	24169 43993 ²	
23963 43739		24170 43995	R. 10305.
23971	R. 10184.	24177	G. 3795.
	St. 2708.	24179	R. 10309, P. 134,
23982 43762			Br. 2972.

#### Von 221 23" — 221 40".

Argeland, Lalande,	Verschiedene Kataloge.	Argeland. Lalande.	Verschiedene Kataloge.
24180	R. 10311. G. 3791,	24406	G. 3842.
<b>41100</b>	P. 135, Br. 2973,	24416 44306°	
	St. 2721, A. 519.	24418	R. 10472.
24181	R. 10315.	24425	R. 10474.
24188 44014	G. 3793, P. 137.	24429	R. 10478, G. 3846,
24191 44015	-	A1100	P. 185, Br. 2994.
24193	R. 10318.	24434	R. 10481.
24212	R. 10328.	24437	R. 10483, G. 3845.
24221	St. 2723.	24445	R. 10486.
24222	R. 10333.	24447 44343	
24225	G. 3797.	24462 44360	
24231 • •	G. 3798.	24463	G. 3848.
24233 44054	R. 10343, G. 3799,	24465	R. 10500.
	P. 141, Br. 2975,	24467	G. 3850, P. 190, Br.
	St. 2726.		2996.
<b>24</b> 236 · ·	St. 2727.	24468	R. 10501.
24237	R. 10350.	I GARUK	G. 3852.
<b>24</b> 238 · ·	G. 3800.	24494	G. 3853.
24245	G. 3805.	24494 24496	R. 10512.
24258	R. 1036 <b>2,</b> G. <b>3806</b> .	<del>441</del> 88	R. 10513.
24267 44098	<b>G. 3</b> 80 <b>7</b> .	24504	R. 10523.
<b>24</b> 268 • •	R. 10366.	24513	G. <b>3</b> 859.
<b>2427</b> 0 · ·	R. 10367.	24518	R. 10530.
24272	G. 3813.	! 24522 <del>44444</del>	
24273 44101	B. Z. 383.	24529	R. 10536.
24274	R. 10372.	<b>24</b> 536	R. 10541.
24275 441023	B. Z. 383.	24537 444533	
24280 44108	G 0011	24546 44475	G. 3862.
24282	G. 3811.	24547	R. 10550.
24283	R. 1038 <b>2</b> .	24554	G. 3863.
24285 44114	G 0040	24559 44484*	
24290 44145	G. 3812.	24568	R. 10563, G. 3868.
24297	G. 3821. B. Z. 383.	24569 24574 44509	G. 3870.
24301			G. 3872.
24302	R. 10397. G. 3816, P. 156.	24576 24577	St. 2750.
24303 · · · 24311 · ·	G. 3818.	24585 44530	GL 2130.
24315	G. 3819.	24588	G. 3875.
24316 44166	G. 301 <i>6</i> .	24591 44536	R. 10579, G. 3874.
24318 44165		24597 44542	G. 3876.
24319	G. 3823.	24601	R. 10587.
24326	G. 3826, St. 2730.	24608	R. 10592.
24334	R. 10426, G. 3827,	24612	R. 10594, G. 3878.
	St. 2732.	24613 44565	1 10001, 01 00101
24335	G. 3828.	24619	R. 10600.
24348	R. 10435.	24622	G. 3880.
24353 44242		24627 44576	
24357 44213	G. 3829.	24628 44577 24635 44603°	
24365 44265	G. 3834.	24635 44603°	P. 222.
24380 44243		24639	G. 3884.
24383	B. Z. 383.	24646	R. 10626, G. 3886. R. 10628. G. 3891.
<b>24386</b>	G. 3835.	24648	R. 10628.
24389	G. 3836.	24655	G. 3891.
<b>24</b> 396	G. 3837.	<b>24656</b>	R. 10634, G. 3889.

## Von 22' 40" - 23' 0".

Argeland, Lalando.	Verschiedene Kataloge.	Argeland. Lalande.	Verschiedene Kataloge.
$\sim\sim\sim$	ŭ	24914	St. 2772.
24658 44627	G. 3888.	24915	R. 10759.
24662 44639	R. 10647.		St. 2771.
24671 44647			R. 10761.
24677	G. 3892, Br. 3014.	24920 24921 44925	R. 10701.
24687 44654		24934 44934	D 40782
24692 44656	G. 3893.	24946	R. 10703. D 40788
24693 44675	R. 10662.	24951	R. 10775, G. 3938.
24701 24704	R. 10667, G. 3895.	24952	R. 10776.
24706 44671	n. 10001, G. 3089.		G. 3939.
24708 44680		24953 24957 45010	G. 9808.
24712 44677		24967	R. 10782.
24713	B. Z. 383.		G. 3944.
24716 44681	D. 21. 303.	24978	G. 3946.
24719 44724	R. 10678, G. 3902,	24983 45031	G. 5510.
MILL DIES	H. C. 183.		R. 10796.
24720 44689	G. 3896.	24995	G. 3949.
24727	G. 3897.	24999 45048	G. 00 TO.
24736 44703	u. 3687.		
24739	R. 10688.	25005 45068 ³ 25009 45082	
24747	R. 10694, G. 3904,	25012	Br. 3044.
WIIII	St. 2757.	25014 45085	DI. OVER
24755	R. 10700, St. 2758.	25015 45087	
24756 44738	R. 10100, St. 2136.	25019 45091	
24763	R. 10703.	25027	G. 3960.
24766 44745	10.1010	25037 45122	G. 3963.
24769 44750		25038	R. 10807.
24771 44752			R. 10809.
24775 44761	C 3008	25049	R. 10810.
24781 44770	G. 3800.	25050	G. 3968.
24783	R. 10715.	25051	G. 3973, H. C. 190.
24788	R. 10718, G. 3910,	25055 45144	G. 3969.
	Br. 3028, St. 2761.	25057	R. 10811.
24791 24797	R. 10719.	25061	R. 10812.
24707	G. 3911.	25070 45164	R. 10814, G. 3972,
24805	R. 10724, G. 3913.	20010 10101	P. 293. Rr. 3052.
24806 44788°	G. 3912.	25081	P. 293, Br. 3052. R. 10815, G. 3975,
24810	G. 3915.		Br. 3054.
24816	R. 10727.	25086	G. 3976.
24820	R. 10735.	25092 45187	a. <b>33.</b> 0.
24825	St. 2763.	25098	G. 3977.
24841 44830	C 3020	25098 25103 451943	
24855	R. 10741.	25110	G. 3979.
24863	R. 10742.	25121 45244	
24870	R. 10744.	25128 452298	
24871	R. 10745.	25110 25121 45244 25128 45229 ³ 25131 45236	
24872	G. 3921.	25136	G. 3981.
24877	R. 10750.	25137	R. 10825.
24878 44878	G. 3925.	25138	G. 3982.
34892	G. 3929.	25143	St. 2786.
24895 44895°	G. 3930.	25146 45267	
24898	R. 10757, G. 3931.		G. 3985, Br. 3060.
24900 44898		25151 , .	
24912 44908	G. 3933.	25153 45275	

#### Von 23'0" — 23'21".

Argeland, Lalande.	Verschiedene Kataloge.	Argeland, Lalande.	Verschiedene Kataloge.				
25156 452848	G. 3988, P. 311, Br.	25430 45726	R. 11036.				
	3063.	25437	G. 4041.				
25162 45290	G. 3989, P. 312, Br.	25441	G. 4042.				
	3064, A. 537.	25 <del>444</del>	Br. 3101.				
25180 45337	G. 3995, P. 1.	<b>25446</b>	G. 4044				
<b>25182</b>	G. 3994.	<b>254</b> 51	R. 11058, Br. 3104.				
25189 45339	R. 3996.	<b>25452</b>	G. 4045.				
25213 45381	G. 4002, P. 8, Br.	25454 45769					
	3074.	25455 45770					
25216	R. 10854.	25467	G. 4047.				
25217 45367		25469	R. 11073.				
25219	G. 3998, P. 6, Br. 3071.	25473 45793					
25221	G. 4001.	25478 45797					
25223	G. 4000.	25479 45784	D 11000				
25225	St. 2797.	25483	R. 11089.				
25234	R. 10868, G. 4005.		R. 11091. R. 11101.				
25240	R. 10871.		G. 4050, Br. 3110.				
25244 45432	G. 4008, H. C. 192. G. 4007.	25495 25498	R. 11106.				
25249 25250 45442	G. 4009, H. C. 193.	25501 45817	R. 11100.				
25257	R. 10888.	25504	R. 11052.				
25258 45423	R. 10889.	25507	R. 11113.				
25266 45441	11. 10000.	25509 45820	11110.				
25268	G. 4010.	25511 45826					
25270 45447*	R. 10898, G. 4011,		R. 11116.				
20210 10111	P. 14, Br. 3075.	04401	TO 11101				
25291	R. 10911.	25524	R. 11124. R. 11127. R. 11129. R. 11130. R. 11139, G. 4056. R. 11138.				
25292 45454		25526	R. 11129.				
25309	G. 4017.	25527	R. 11130.				
<b>25327</b>	R. 10941.	25534	R. 11139, G. 4056.				
<b>25343</b>	R. 10960.	25535	R. 11138.				
<b>25355</b>	R. 10968.	AUUTO	MG IIIIO				
<b>25358</b>	R. 10970.	25543	R. 11154, G. 4058.				
<b>25361</b>	R. 10976, G. 4024,	25544	R. 11155.				
	Br. 3086.	25549	R. 11158, G. 4059,				
25369	R. 10984.	AUUUA 4 VOG4	P. 81, Br. 3115.				
25381 45626	G. 4026, P. 39, Br.	25550 45864	D 44464				
WASSA	3089.	25558 25559 45883 ³	R. 11161. G. 4060.				
25385 25394 45661	R. 10996.	25560	St. 2820.				
	G. 4031.	25561 45887	GL 2020.				
25395 25404 45668	G. 4031.	25564 458913					
0440H	G. 4030.	25567 45898 ³	G. 4061.				
25405 25410	R. 11016.	25568	G. 4062.				
25412 45679		25569	R. 11175.				
25414 45681	G. 4032.	25573 45909°	G. 4063, P. 86.				
25417 45690	G. 4035, P. 50, Br.		•				
20000	3098.	25586	R. 11192. G. 4068, Br. 3121. R. 11195. R. 11205, G. 4069. R. 11214.				
25418	R. 11049, G. 4038,	25589	G. 4068, Br. 3121.				
	P, 53. Br. 3097,	25592	R. 11195.				
	St 2881.	<b>25600 .</b> .	R. 11205, G. 4069.				
25420	R. 11025, G. 4040.						
25422 45696	R. 11027, G. 4036,	<b>256</b> 10	R. 11217, G. 4071,				
	P. 51, Br. 3094.		Br. 3125.				
	·						

Von 23¹ 21² - 23¹ 42².

Arceland, Lalanda,	Verschiedene Kataloge.	Arceland, Lalande,	Verschiedene Katalege.
	ACISCHICACHE WWWINEC.	21100	
25622 45976	C 4080 C4 000V	25887	G. 4120, P. 152.
25628 46000	G. 4073, St. 2825.	25892	G. 4121.
25630 46044		25893 46419	R. 11461, G. 4122, P. 155, Br. 3152,
25631 46001	D 44949		P. 100, Dr. 3102,
25636	R. 11243.	OVOOR	St. 2841, A. 553.
25644 46016	R. 11248.	25895	R. 11462.
25645	R. 11253.	25899	R. 11467.
25648	R. 11254.	25900 46410	
25657 46050	D 44969	25901 46411	
25658 25661	R. 11262.	25904 46424	
	R. 11268.	25916 46439	D 44477 C 4498
25663 46063	G. 4080, Br. 3131.	25917 464378	R. 11477, G. 4125.
25668	R. 11275.	25920	R. 11478.
25692 46089	R. 11293.	25921	R. 11479.
25705	G. 4085.	25931 46456	
25708	P. 112.	25944 46476	D 44400
25712 46135	G. 4086.	25947	R. 11498.
25720	R. 11326, G. 4088.	25952	G. 4131.
25721	R. 11328.	25954 464863	
25738	R. 11336, G. 4089.	25955 46488	
20747 40100	R. 11340, G. 4090.	25956 46491	D 401
25751	R. 11347.	25960 46495	P. 164.
25754	R. 11353.	25963	R. 11511.
25756	R. 11356	25991	R. 11532.
25762 46209	G. 4094.	25998 46560	D 11940
25769 46208	0 1002	25999	R. 11543.
25770	G. 4095.	26004	R. 11552.
25777 46234	D 440%0 C 4000	26011 46595	R. 11559.
25780	R. 11378, G. 4098.	26013 46598	
25781	G. 4099.	26015 46602	
25793	R. 11387.	26016 46600*	D 44400
25795	R. 11389.	26017	R. 11566.
25796	R. 11392.	26023 46607	D 44860 C 4490
25812 46269	D 4440% C 4409	26024	R. 11569, G. 4138,
25813	R. 11407, G. 4103.	0000 40047	P. 187, Br. 3164.
25815 46278	C 4404	26025 46617	D 44004 C 4444
25816 46290	G. 4104.	26034	R. 11601, G. 4141,
25817 25827 46287	R. 11413.		P. 191, Br. 3166,
25830 46293		9600F	A. 555.
25831 46291 ²	D 44440 C 4400	26035	R. 11598.
20001 40281-	R. 11418, G. 4106,	26038 46644	R. 11604.
•	P. 138, Br. 3143,	26041	R. 11607.
25833 46297	St. 2837, A. 551.	26042 46649	D 44600
25837	B. Z. 383.	26044	R. 11609.
25838 46300°	R. 11425.	26048	R. 11616.
	R. 11435.	26049	R. 11620.
25851 25861		26050	R. 11621, G. 4144.
25864 46346³	R. 11443.	26051	R. 11624, G. 4145,
20003 30940°	G. 4111, P. 144, Br. 3146.	90043 10001	P. 195, Br. 3169.
25869	3140. G. 4114.	26053 46664	R. 11626.
		26055 46673	R. 11630.
	G. 4115. R. 11448.	26056	G. 4146, Br. 3170.
04000		26060 46677	
25886	G. 4117.	26064 46679	
Citch 3 mathe		. A.	49 ++

## Von 23' 42" — 23' 59".

10h by 22 - 20 co :						
Argeland. Lalande.	Verschiedene Kataloge.	Argeland. Lalande.	Verschiedene Kataloge.			
26068	G. 4147, P. 202.	26234 46989	G. 4179.			
26074 46697	R. 11653.	26239 46999	R. 11817, G. 4180.			
<b>26</b> 076	R. 11658.	26240	G. 4182.			
26078	R. 11661.	26242	G. 4181.			
26079	R. 11662.	26244 47006	G. 4183.			
26080	G. 4149.	26247 47012	R. 11826. G. 4186.			
26092	R. 11672, G. 4152.	2022, 2002	R. 11826, G. 4186, P. 245, Br. 3190.			
26094 46728			St. 2860.			
<b>26101</b>	R. 11678.	26248 47014	G. 4187.			
26106 46757		26249	R. 11827, G. 4188.			
26112 46776	R. 11690, Br. 3181.	26252 47018	G. 4189.			
26113	R. 11691.	26254 470203	G. 4190. P. 247.			
<b>26122</b>	R. 11708.	26256 47031	R. 11832.			
<b>26126</b>	R. 11713.	26258 47026	G. 4191.			
26128 46813		26259 47035				
<b>26131 46819</b>		26278	R. 118 <b>63.</b>			
26134 46822°	G. 4157, P. 223.	<b>26280</b>	R. 11867, Br. 3193.			
26137 46825		26282	G. 4195.			
26138	R. 11720.	26288 47097				
26145	G. 4158.	26289 47099				
26146 46839		26297 47110	R. 11883, G. 4198,			
26150	R. 11732.		Br. 3195.			
26152 46853		26299	G. 4200.			
26153 46852		26304	R. 11893.			
26154 46856	G 4404 D 600 D	26309 47127	G 1000			
26155	G. 4161, P. 226, Br.	26313	G. 4203.			
90140	3182.	26315 47137	G. 4204.			
<b>26158</b>	R. 11737.	26320 47144	D 44000 D 0000			
26168 26173	G. 4163. R. 11753.	26321	R. 11909, Br. 3202, St. 2862.			
26177 46898	R. 11756.	00200 17/14	St. 2002.			
26178 46899	R. 11757, G. 4164,	26322 47146 26325 47159	St. 2863.			
#U110 400##	P. 231.	26327 47155	St. 2003.			
26179 46902	R. 11758.	26329	B. Z. 383.			
26181 46901	Br. 3184, P. 232.	26335	R. 11923, G. 4209.			
26182 46900	Di. 3104, 1. 232.	26336 47172	II. 11823, G. 4208.			
26184	G. 4167.	26343 47182	G. 4211.			
26189	R. 11765.	26345	G. 4213. R. 11930.			
26190	R. 11767.	26346	G. 4214.			
26195 46919	B. Z. 383.	26351	R. 11937.			
26196 46920	B. Z. 383.	26363	R. 11943.			
26197 46923	G. 4169.	26369 47218	G. 4222.			
26198	R. 11774.	26371	R. 11951, G. 4225.			
26199	G. 4170.	26372	G. 4224.			
26201 46941	R. 11783, G. 4171.	26374 47237				
26207 46953	G. 4175.	26375 47240	R. 11957.			
26210 46957		26380 47255				
<b>26212</b>	R. 11797.	26384 47258	R. 11964.			
<b>26216 46948</b>	R. 11798.	26386	G. 4233, P. 275, Br.			
26217	G. 4176.		3211.			
26225	St. 2858.	<b>264</b> 08	G. 4234.			
<b>2</b> 6229	G. 4177, P. 242.					
		,				

#### **VERZEICHNISS**

DER

#### EINGEGANGENEN DRUCKSCHRIFTEN.

(JULI.)

- Akademie, Leopold.-Carolinische der Naturforscher. Verhandlungen. Bd. 24. Bonn 1854; 40.
- Akademie, königl. preussische, der Wissenschaften, Monatsbericht. Mai 1854.
- Allen, C. F., Breve og Aktstykker till Oplysning of Christiern den Andens og Frederik den Forstes Historie. Bd. I. Kjöbenh. 1854: 8°
- Anzeiger, für Kunde der deutschen Vorzeit. Nr. 6.
- Bleeker, P. Algemeen Verslag der Werkzaamheden van der Natuurk. Vereeniging in Nederlandsch Indie. Batavia 1854; 8°
- Bijdrage tot de Kennis der ichthyolog. Fauna van Halmaheira Batavia 1853; 8°.
- Nieuwe tientallen diagnostische Beschrijv. v. nieuwe of weinig bekende Vischsoorten van Sumatra. Batavia 1853; 80.

Cosmos, Vol. V. livr. 1, 2, 3.

Flora, 1854. Nr. 9-24.

Förstemann, E., Altdeutsches namenbuch. Bd. I, Lief. 1.

Gesellschaft, oberhessische, für Natur- und Heilkunde. Bericht 4. Giessen 1853; 8°

Heffner, L., Notice sur Auger-Ghislaire de Busbeck. Bruxelles 1853; 80-

- Jahrbuch, Neues, für Pharmacie etc. Bd. I, Heft 2-4. Lotos, 1854, Nr. 5, 6.
- Magazin, Neues, Lausitzisches. Bd. 29, Heft 3, 4; 30, Heft 1, 2; 31, Heft 1—4.
- Memorial de Ingenieros. Anno IX, Nro. 3, 4.
- Miklosich, Franz, Formenlehre der altslovenischen Sprache. 2. Aufl. Wien 1854; 80.
- Phillips, Georg, Rirchenrecht, Bb. V. Regensb. 1854; 80
- Schallhammer, Kriegerische Ereignisse im Herzogthum Salzburg v. b. 3. 1800, 1805 und 1809. Salzburg 1853; 80-
- Schweigger, Über die Umdrehung der magnetischen Erdpole und ein davon abgeleitetes Gesetz des Trabanten- und Planeten-Umlaufes. Halle 1854; 40.
- Selskab, K. Danske Videnskaberness, Oversight over det Forhandlinger og dets Medlemmers Arbeider. 1853; 80.
- Société géolog. de France, Bulletin Tom. XI, 1-10.
- So ciété du Museum d'histoire naturelle de Strassbourg. Mémoires Tom. IV, livr. 2, 3.
- Société Imp. des Naturalistes de Moscou, Bulletin, 1854; Nr. 1.
- Society, Cambridge philosophical, Transactions. Vol. 9, p. 1. 2.
- Spring, A., Monographie de la Hernie du cerveau et de quelques lésions voisines. Bruxelles 1853; 4°.
- Sur des ossements humains, découverts dans une caverne de la province de Namur. Bruxelles 1853; 8°.
- Steenstrup, J. J. Sm., Reclamation contre, "la génération alternante et la digenèse" communication faite à l'Académie de Bruxelles par le Prof. J. Van Beneden. Copenh. 1854; 8°.
- Vereeniging, Naturkundige in Nederländsch Indië, Tijdschrift. N. Serie Vol. I, II. Batavia 1853; 8°.
- Verein f. vaterl. Naturkunde in Würtemberg. Jahreshefte, VI, Nr. 3.
- Besque, von Puttlingen, Joh., übersicht ber Verträge Desterreichs mit ben auswärtigen Staaten, von bem Regierungsantritte Maria Theresia's angefangen bis auf die neueste Zeit. Wien 1854; 8°.

Beobachtungsort.	M 1 Anmerkungen. P R
Ragusa Triest Venedig 1) Mailand Szegedin Debreczin Meran 2) Pesth Fünfkirchen 8) Zavalje 4) Coilli 5) Gran 6) Pressburg St. Paul Laibach 7) Wien 8) Jolsva 11) Hermannstadt Czernowitz Stanislau Wallendorf 18) Prag Adelsberg Kronstadt 18) Linz 14) Brünn Lemberg Olmütz Pürglitz Czaslau 15) Innsbruck Krakau 16) Bregenz Pürglitz Czaslau 15) Innsbruck Krakau 16) Bregenz Pilsen Leutschau Bodenbach Kremsmünster 17) Saybusch Linz 18) Oderberg Strakonitz 19)	9. Gewitter, am 6. Sturm a. SO., am 9.  [Hagel. 0' bis 3' Ab. u. 11. Gew., am 13. u. 21. 20. 22, am 17. Ab. Gewitter. Gewitter, am 28. Gewittersturm. 3°. am 15. Gewitter. Gewitter. 3. ferne Gewitter. Gewitter. 3. ferne Gewitter. Gewitter. 4. Hagel, am 16. um 3' 30' Ab. St. a. SW. 29. u. 30. Gewitter. 8, am 28. 6 + 23 6, a. 20. Ab. St. a. S. 2. Gewitter. 4. Hagel, a. M. am 11. a. N. 4. am 4. u. 5. Hagel, a. 3. u. 22. Wttrlchten. 4. am 4. a. 9. 22. 23. G., a. 4. u. 9. m. Hgl. 26. G., a. 3. St. a. WSW., a. 20. a. SW., a. 39. W. 4. 29. dann am 14. Nachts G., a. 10. mit Hgl. 23. 24. u. 30. G., a. 11. H., a. 3. u. 22. Wttrlcht. 4. G., a. 2. u. 30. m. H., am 2. 8. 14. 20. stürm. 4. G., a. 6. H., a. 2. St. a. S., a. 30. u. 3' 45' a. W. 4. Gewitter, am 15. u. 16. Hagel. 4. 26. G., a. 26. H., a. 3. 10. u. 20. stürmisch. 4. dann am 21. Nachts G., am 2. wenig Hgl. 4. 29. Gewitter, am 6. 9. 11. Hagel. 4. 20. u. 29. Gew., am 2. Sturm a. W. 4. 29. 30. Gewitter. 4. 30. Gew., am 29. um 1' 30' Ab. + 24' 0. 6. Gewitter, am 43. mit etwas Hagel. 6. Gewitter. 6. 1 Hgl., a. 2. 10. 13. 20. 26. 30. G., a. 7. 23.

¹⁾ Ve nedig am 2. dirchen, am 30. 6 Ab. Sturm a. HW. mit Hagel. — b) Zavalje, diagel, am 29. um 2 45 Ab. Sturm u. Hagel. — 6) Gran, in der Naché Ab. Verheerender Sturm. — 7) Laibach. Gewitter waren: am 6. u, am 29. um 1 40 und um 9 20 Ab. Am. 30. um 9 Ab. Sturm a. N Stationen in Kärnthen Sturm a. SW.; am 13., 13., 17., 24. u. 29. G 30. Gewitter, am 7. Hagel, am 2., 16., 17. u. 18. Wetterleuchten. — auch Nachts Gewitter, am int Sturm a. W. begleitet, am 22. u. 23. auch Nachts Gewitter, am int sturm a. W. begleitet, am 22. u. 23. auch Nachts Gewitter, am 30. um 1 37 Ab. verwüstender Orkan. — 15) Czaslau, W. — 17) Kremsmünster, am 30. um 0 20 Hittags grosser (HW. — 19) Strakonitz, am 20. 8 Ab. seltenes Wasserziehen de

Sitzb. d. mathem.-no

dr.	Dunst- druck Par. Lin.	Nieder- schlag Par. Lia.	Herr- sebeuder Wind	Anmerkungen.
13 05 17 54 45 97 99 40 71 49 93 24 50 53	4-99 4 · 26 4 · 33 4 · 05 - 4 · 22 - 4 · 12 4 · 70 4 · 10 - 4 · 58 - 3 · 61 - -	78 ⁷ 20 35·34 79·60 49·00 53·70 57·94 52·01 	NW. N. SW. NW. SO. NW. SO. W. NW. SO. W. N. SO. O. O. O.	Am 2. 19. 20. 24. 26. 27. 28. 29. Gewitter. Am 18. 19. u. 30. Gew., am 17. Wetterleuchten.  *Am 20. 6+21.2, am 19. Sturm a. NO. *Am 7. 3+5.2, am 7. 10. 14. 24. 25. 27. 28. Gew., [am 10. mit Hagel. Am 21. starke Gewitter, am 21. u. 26. Sturm a. N. Am 2. 13. 14. 17. 20. 28. 30. Gewitter.  Am 1. 2. 14. 21. stürmisch, am 2. 17. 26. Gewitter.  Am 2. 25. 26. 29. 30. Gew., am 7. Regen u. Schnee. Am 14. 17. 19. 20, 23. u. 26. Gewitter.  *Am 19. 6+21.4. Am 9. Schnee, am 13. 17. Gewitter.  *Am 7. u. 10. Schnee, am 22. Sturm a. NW.
53	- - - -	- - - 87·25	- - N. ssw.	Am 20. 6 + 10°0, am 2. 21. u. <b>30</b> . <b>Schneegewitter</b> .

igen.

#### igesendet:

_				
77 76 54 51 33	5700 4·28	5720 18·82 13·17 5·41 16·17 — 64·01 27·09 26·04 31·29 29·79	SW. NNW. W. S. N. S. N. N.	Am 2. Sturm a. W., am 8. 17. 21. aus SW. Am 14. 18. Ab. Gewitter, a. 25. mit Sturm a. NW. Vom 5. auf 6. u. am 19. Gewitter. Am 6. um 4 Ab. Gewitter, am 21. Graupenregen. Am 7. 18. 19. 25. ferne Gewitter. Am 15. 17. 18. G., a. 1. u. 2. Stürme a. SW. a. 14. Wetterl. Am 6.23.24.25.30. G., a. 20. Schnee a. d. Brgn. u. a. 21. Frost. *Am 21. + 1 ? 3, a. 11. 14. 16. 17. 18. 24. G., a. 5. Ab. Witrl. Am 6.5 Ab., a. 25. u. 5 d. u. 8 Ab. G., a. 6. Ab. hft. Witrl. imW. Am 28. 6 + 17 ? 8, am 9. Ab. Gewitter. Am 1. Schnee, a. 9. 3 Ab. Gow., a. 12. St., a. S., a. 24. a. No.
'9		29.79	NO.	Am 1. Schnee, a. 9. 3° Ab. Gew., a. 12. St., a.S., a.24.a.NO.
.5		33.05	_	*Am 4. 6+16 [?] 1.

Trautenau, vom 6. bis 8. Schneefall im Umkreise des Riesengebirges. Am 27. um . heftiges Gewitter aus SW.mit Sturm bis 5 45′ Ab. — 4) Reichenau, am 30. um .b. Sturm aus 0. und NO. — 6) Senftenberg. bei Reichenau im Königgrätzer Kreise turm aus H.

⁹ Beobachtungen mit Mai auf.

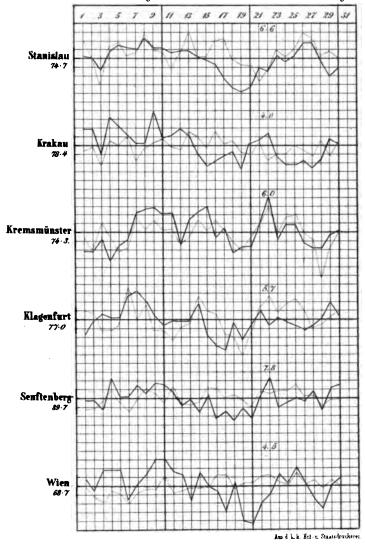
• 



## Gang der Feuchtigkeit und des Ozongehaltes der Luft im Juni 1851.

Die punktirten Linien steller, die Feuchtigkeit, die ausgezogenen den Oxongehalt dar. Die am Rande befindlichen Zahlen sind die Monatmittel der Feuchtigkeit, jene swischen den Curven die Monatmittel des Oxongehaltes.

Den Monatmitteln entsprechen die stärkeren Horizontallinien.
Ein Netztheil beträgt für die Feuchtigkeit 5 Procente, für den Oxongehalt einen Theil der Far, benscala, welche vom völligen Weis bis zum tießten Blau zehn Abtheilungen enthält.



Sitsungsb. d. k. Akad. d. W. math. naturw. Cl. XIII Bd. 2 Heft. 1854.

·		
,		

Die Sitzungsberichte jeder Classe der kais. Akademie der Wissenschaften bilden jährlich 10 Hefte, von welchen nach Massgabe ihrer Stärke zwei oder mehrere einen Band bilden, so dass jährlich nach Bedürfniss 2 oder 3 Bände Sitzungsberichte mit besonderen Titeln erscheinen.

Von grösseren Abhandlungen sind Separatabdrücke in Braumüller's Buchhandlung zu haben.

WIEN. AUS DER K. K. HOF- UND STAATSDRUCKEREI. 1854.

. · · . ·

- Aller Control

• . · • .

This book should be returned to the Library on or before the last date stamped below.

A fine of five cents a day is incurred by retaining it beyond the specified time.

Please return promptly.



